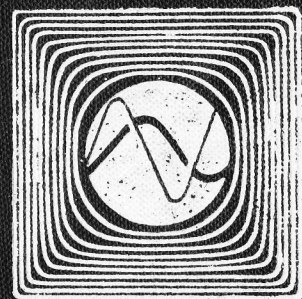


**MEMORATORUL  
INGINERULUI  
ELECTRICIAN**





SIEMENS

*Ing. Rotariu Victoria  
Iasi*

# MEMORATORUL INGINERULUI ELECTRICIAN

Traducere din limba germană,  
cu adaptări la condiții din România

Editura tehnică  
București





SIEMENS

# FORMEL- UND TABELLENBUCH FÜR STARKSTROM-INGENIEURE

Herausgeber: Siemens Aktiengesellschaft, Berlin-München

Lucrarea originală a fost elaborată de un grup de specialiști ai întreprinderii Siemens

Dr. Fritz Abmus	2.5.
Hans K. Berckmüller	7.1., 7.2., 7.5.—7.8.
Hans Busch	11.4.
Hans-Horst Caemmerer	9.1.
Josef Denzler	8.9.
Dr. Werner Dietrich	8.4.
Alfred Emig	13.1.
Gert Epha	8.3.
Dr. Manfred Erche	3.6., 3.7., 3.8.
Dr. Karl-H. Feist	8.3.
Hans Fruth	5.5.
Prof. Dr. Werner Gebauhr	2.2., 2.3.
Mrs. Dr. Gerda Giesecke	2.4.
Hans Glas	5.6.
Eduard Goerk	5.3.
Lothar Goryczka	9.4.
Hans-Christian Grassmann	11.3.
Paul Haak	5.4., (5.1., 5.2.)
Rolf Hahn	15.
Hermann Heiden	9.3.
Lothar Heinhold	8.7.
Hans Hoffmann	3.1.
Werner Hübner	1.2., 1.3.
Karl Heinz Ittmann	8.9.
Dieter Kämmerer	13.1.
Rudolf Kahnt	8.1.
Gerd Kettler	11.1.
Dr. Heinz Kimmel	7.3.
Otto v. Klewitz	4.
Othmar Kopriva	9.2.1.—9.2.4.
Werner Lehmann	8.2.3.
Dr. Gustav Leiner	1.1., 3.2.—3.5.
Prof. Dr. Wolfgang Liebe	7.4.
Karl Maaz	2.9.2.—2.9.4.
Prof. Dr. Otfried Madelung	2.1.
Wilhelm Mosch	11.2.
Kurt-Willy Mugele	13.3.



Dr. Karl-Heinz Neeb	2.2.
Dr. Hans Neumann	2.5., 4.
Dr. Rudolf Oetker	14.
Dr. Hans Pfister	2.11
Hermann Reizuch	8.6.
Heinz Rink	5.1., 5.2.
Richard Roeper	8.2.1., 8.2.2.
Dr. Wolfgang Rößner	11.4.
Hans-Martin Roth	13.2.
Walter Roth	16.2.
Dr. Eugen Sauter	2.2., 2.3., 5.5.
Gerd Schulz	8.9.
Wilhelm Schweizer	9.3.
Werner Seibert	10.1.—10.3.
Dr. Alfred Stoll	5.1., 5.2., 5.4.
Dr. Josef Tittel	6.
Prof. Dr. Ferdinand Trendelenburg	2.10.
Otto Völcker	9.2.5.
Siegfried Waller	7.5., 16.1.
Dr. Jürgen Weber	8.5.
Alfred Webs	8.8.2.
Dr. Erhard Weidlich	2.8., 12.
Dr. Herbert Weiß	2.9.1.
Theodor Wittenzellner	8.8.1., 10.4.
Dr. Theodor Wörner	2.6.
Kurt Wullschläger	1.2., 1.3., 4.

\*  
\*   \*  
\*

#### Completările la ediția în limba română au fost elaborate de:

Dr. ing. Răzvan Măgureanu	6.1.—6.3., 7.2., 7.3.1.—7.3.3.
Ing. Emanoil Vărzaru	8.5.3., 8.5.4.5.—8.5.4.7.

#### Traducerea a fost efectuată de:

Ing. Victor Ioan Antonescu	3.2.—3.8.
Ing. Viorel Buta	4., 14.
Ing. Teodor David	8., 9.
Ing. Radu Dimitriu	5.
Sofia Encescu	1., 2.1.—2.4., 2.7., 3.1.
Dr. ing. Balazs Mathe	10., 11.1—11.3., 12., 13.
Ing. Friedrich Schattner	6., 7., 11.4., 2.1.—2.4.
Ing. Claudiu Tanasiciuc	15., 16.
Ing. Iacob Vaisman	2.5., 2.6., 2.8.—2.11.

#### Controlul științific și adaptarea ediției în limba română au fost efectuate de:

Ing. Hermina Albert	1., 3., 4., 8.1—8.7.
Ing. Grigore Brăileanu	14., 15., 16.
Ing. Petre Ciortan	10.
Ing. Dan Iosif	13.2.—13.3.
Ing. Aureliu Leca	5.
Ing. Gabriela Maltezeanu	12.
Ing. Dănilă Mark	2.1.—2.4., 2.7.
Dr. ing. Răzvan Măgureanu	6., 7.
Conf. dr. ing. Viorel Micloși	11.4.
Ing. Constantin Petrescu	8.8.
Ing. Emil Pietrăreanu	8.9.
Prof. ing. Cristina Popescu	2.5.—2.6., 2.8.—2.11.
Ing. Oscar Rosenberg	9.
Fiz. Dinu Savopol	13.1
Ing. Liviu Segal	10
Ing. Fănică Spinei	4.
Ing. Mauriciu Sufrim	8.3.
Ing. Valeriu Șerban	13.4.
Ing. Emanoil Vărzaru	8.5.
Ing. Lascăr Zamfirescu	11.1.—11.3.

Recenzenți: ing. Diegis Hrinco  
ing. Maria Lăzărescu  
ing. Rodica Răzmeriță  
ing. Mihai Stavrică  
Redactor: ing. Paulina Dumitrescu  
Tehnoredactor: Theodor Ivan  
Coperta: Nicolae Nicolaev



## PREFAȚĂ

Acest memorator al inginerului electrician reprezintă traducerea versiunii în limba engleză a ultimei ediții a lucrării „Manual de tabele și formule pentru inginerul de curenți tari”, realizată de întreprinderea Siemens. Cele patru ediții apărute în limba germană s-au bucurat de o foarte bună apreciere din partea specialiștilor, astfel că la fiecare dintre acestea au fost necesare mai multe tiraje. Bazată pe aceste considerente, Editura tehnică a inițiat traducerea ultimei ediții a lucrării, cu speranța că aceasta se va bucura și în țara noastră de același succes.

Față de lucrarea originală, ediția în limba română prezintă unele adaptări, a căror necesitate a rezultat din dorința ca indicațiile de calcul și caracteristicile materialelor, echipamentelor și instalațiilor prezentate să fie puse de acord cu standardele, prescripțiile și normativele în vigoare în țara noastră. Astfel, în cap. 8, 9, 10 și 13 tabelele originale, conținând caracteristici ale aparatelor și echipamentelor electrice fabricate de firma Siemens, au fost înlocuite cu caracteristicile produselor românești corespunzătoare. În cazul subcap. 8.8, datele cuprinse în standardele noastre neacoperind întregul domeniu al datelor din tabelele originale, ele au fost prezentate în paralel cu acestea. În cazul în care standardele noastre indică numai valorile limită admise pentru anumite caracteristici, s-au făcut doar trimiteri la standardele respective, menținându-se, cu titlu orientativ, și tabelele din lucrarea originală.

De asemenea, au fost aduse lucrării unele completări, în cazurile în care s-a considerat că definițiile, caracteristicile sau relațiile de calcul prezentate nu acopereau în măsura necesară domeniul respectiv. Astfel, în cap. 7 au fost adăugate două subcapitole privind caracteristicile mașinilor de curent continuu și ale mașinilor asincrone, iar în cap. 8 a fost dezvoltat subcapitolul privind mutatoarele, în cadrul căruia au fost prezentate datele referitoare la funcționarea, construcția și calculul tiristoarelor.

Toate modificările și completările efectuate față de lucrarea originală au fost evidențiate printr-o linie verticală pe marginea stângă a paginii.

Memoratorul a fost adus la această formă, care sperăm a fi utilă cititorilor noștri, cu contribuția unui numeros colectiv de specialiști din producție, proiectare, cercetare și învățământ, cărora le aducem și pe această cale mulțumirile noastre.

EDITURA TEHNICĂ

## CUPRINS

### Partea întâi

#### NOȚIUNI FUNDAMENTALE

	pag.
1. Unități de măsură .....	15
1.1 Sisteme de unități de măsură.....	15
1.2 Unități electrice și magnetice.....	17
1.3 Coeficienți de transformare.....	19
2. Proprietățile materialelor .....	35
2.1. Structura materiei .....	35
2.2. Radioactivitatea .....	42
2.2.1. Definirea noțiunilor .....	42
2.2.2. Dezintegrarea radioactivă..	43
2.2.3. Legile dezintegrării radioactive.....	45
2.2.4. Radioactivitatea naturală..	46
2.2.5. Radioactivitatea artificială	47
2.2.6. Protecția contra radiațiilor	48
2.3. Noțiuni chimice și constante fizice	56
2.4. Constante de material .....	58
2.5. Materiale magnetice .....	64
2.6. Materiale izolante .....	70
2.7. Conductoare electrice metalice....	82
2.8. Conductoare electrice ionice .....	85
2.9. Materiale semiconductoare .....	89
2.9.1. Definiții principale .....	89
2.9.2. Generatoare (sonde) Hall..	96
2.9.3. Dispozitive cu sonde Hall..	110
2.9.4. Sonde magnetorezistive ..	112
2.10. Acustică .....	118
2.10.1. Definiții principale .....	118
2.10.2. Mărimi și formule de importanță practică în acustică	120
2.10.3. Intensitatea acustică, nivelul de tărie, tărie, nivelul acustic, spectrul acustic	125
3. Metode de calcul în electrotehnică.....	132
3.1. Formule matematice .....	132
3.1.1. Formule de aproximație pentru funcții circulare, hiperbolice, exponențiale și serii binomiale.....	132
3.1.2. Serii finite și infinite .....	135
3.1.3. Determinanți .....	153
3.1.4. Matrice .....	157
3.1.5. Metode numerice de aproximație .....	162
3.1.6. Transformarea Laplace ....	168
3.2. Câmpuri plane de potențial fără surse .....	169

	pag.
3.3. Reguli de semn și de sens.....	178
3.4. Mărimi complexe în calculul circuitelor de curent alternativ .....	181
3.5. Locuri geometrice .....	187
3.6. Cuadripoli pasivi .....	190
3.7. Parametrii unei linii omogene....	193
3.8. Sisteme de componente .....	197
4. Mărimi electrice și magnetice (terminologie și definiții) .....	201
<b>Partea a doua</b>	
<b>INSTALAȚII ȘI ECHIPAMENTE PENTRU PRODUCEREA, TRANSPORTUL ȘI DISTRIBUȚIA ENERGIEI ELECTRICE</b>	
5. Centrale electrice.....	237
5.1. Consumuri specifice de abur și de căldură .....	237
5.2. Producerea aburului cu combustibili clasici .....	251
5.3. Turbine cu abur.....	263
5.4. Date referitoare la calculul componentelor și materialelor .....	270
5.5. Producerea aburului din energia nucleară .....	306
5.6. Instalații hidroelectrice .....	322
5.6.1. Tipuri de instalații hidroelectrice .....	322
5.6.2. Mașini și echipamente electrice .....	322
5.6.3. Lucrări pregătitoare la locul de amplasare .....	331
6. Probleme generale ale mașinilor electrice	334
6.1. Tipuri constructive .....	334
6.2. Protecția mașinilor electrice contra atingerilor și contra apei.....	334
6.3. Limitele termice admisibile ale materialelor electroizolante folosite în construcția mașinilor și transformatoarelor electrice .....	336
6.4. Transferul de căldură .....	338
6.5. Răcirea mașinilor electrice.....	343
6.5.1. Debitul necesar al agentului de răcire pentru mașinile cu ventilație interioară....	343
6.5.2. Creșterea temperaturii .....	344



6.5.3. Conductivitatea termică...	350
<b>7. Caracteristicile mașinilor electrice...</b>	<b>351</b>
7.1. Mașina sincronă .....	351
7.1.1. Caracteristicile mașinilor sincrone .....	351
7.1.2. Reactanțele mașinilor sincrone .....	353
7.1.3. Constantele de timp ale mașinilor sincrone .....	363
7.1.4. Caracteristicile de tensiune ale mașinilor sincrone .....	366
7.2. Mașina de curent continuu .....	371
7.2.1. Generatorul de curent continuu .....	372
7.2.2. Motorul de curent continuu .....	373
7.2.3. Pornirea, reglajul vitezei și frinarea .....	373
7.3. Mașina asincronă .....	375
7.3.1. Diagrama cercului .....	377
7.3.2. Pornirea, reglarea vitezei și frinarea .....	378
7.3.3. Tipuri speciale de motoare asincrone .....	380
7.3.4. Comportarea motorului asincron în condiții de funcționare anormală .....	380
7.4. Parametrii de funcționare ai motoarelor electrice .....	381
7.5. Acționări electrice .....	385
7.5.1. Caracteristicile mecanice .....	385
7.5.2. Timpul de pornire .....	386
7.5.3. Regimurile de funcționare .....	390
7.5.4. Măsurarea puterii motoarelor electrice .....	392
7.5.5. Măsurarea turației .....	394
<b>8. Rețele electrice, stații de transformare și mutatoare .....</b>	<b>395</b>
8.1. Parametrii rețelelor electrice și valori caracteristice .....	395
8.2. Curenți de scurtcircuit în sisteme trifazate .....	408
8.2.1. Calculul curenților de scurtcircuit .....	408
8.2.2. Solicitări termice datorite curentului de scurtcircuit .....	420
8.2.3. Solicitarea mecanică datorită curentului de scurtcircuit .....	434
Protecția contra tensiunilor accidentale în instalațiile de curenți tari .....	451
8.3.1. Instalații cu tensiuni nominale până la 1000 V .....	451
8.3.2. Legarea la pământ în instalații de curent alternativ cu tensiuni nominale de 1 kV și peste 1 kV .....	458
Transformatoare .....	472
8.4.1. Tipuri de transformatoare, mod de funcționare .....	472
8.4.2. Reglajul raportului de transformare .....	473
8.4.3. Grupe de conexiuni .....	473
8.4.4. Metode de răcire, temperaturile agenților de răcire, creșteri de temperatură .....	477
8.4.5. Caracteristicile transformatoarelor .....	478
8.5. Mutatoare .....	488
8.5.1. Tipuri de mutatoare .....	488
8.5.2. Aplicații .....	492
8.5.3. Tiristoare. Caracteristicile tehnice principale ale tiristoarelor .....	493
8.5.3.1. Definiții. Structură fizică .....	493
8.5.3.2. Caracteristici tehnice principale .....	494
8.5.3.3. Protecția tiristoarelor .....	498
8.5.4. Mutatoare cu comutație de la rețea .....	501
8.5.4.1. Definiții .....	501
8.5.4.2. Curbe de sarcină, coeficientul de diferență de tensiune $K$ .....	510
8.5.4.3. Pierderi de conducție .....	513
8.5.4.4. Legația celulelor în serie și în paralel .....	514
8.5.4.5. Invertoare .....	518
8.5.4.6. Convertizoare de curent continuu .....	524
8.5.4.7. Convertizoare de curent alternativ .....	527
8.6. Condensatoare .....	530
8.6.1. Calculul unui condensator pentru o putere cerută .....	531
8.6.2. Exploatarea condensatoarelor de putere .....	533
8.7. Cabluri de forță .....	539
8.8. Linii electrice aeriene .....	565
8.8.1. Caracteristici mecanice .....	565
8.8.2. Caracteristici electrice .....	585
8.9. Instalații electrice .....	603
<b>9. Aparat electrice .....</b>	<b>615</b>
9.1. Aparataj de joasă tensiune .....	615
9.2. Aparataj de înaltă tensiune .....	627
9.2.1. Întreruptoare .....	627
9.2.2. Separatoare de sarcină .....	633
9.2.3. Separatoare .....	633
9.2.4. Siguranțe de înaltă tensiune cu mare putere de rupere (siguranțe ITMPR) .....	634
9.2.5. Echipament de protecție împotriva supratensiunilor .....	638
9.3. Aparat electrice de măsurat .....	639
9.4. Transformatoare de măsură și contoare .....	652
9.4.1. Transformatoare de curent și de tensiune .....	652
9.4.2. Contoare .....	656
<b>10. Tracțiune electrică .....</b>	<b>667</b>
10.1. Generalități .....	667
10.2. Vehicule motoare .....	678
10.3. Substații de tracțiune .....	690
10.4. Linia de contact .....	691

## Partea a treia

## INSTALAȚII DE UTILIZARE A ENERGIEI ELECTRICE

10. Tracțiune electrică .....	667
10.1. Generalități .....	667
10.2. Vehicule motoare .....	678
10.3. Substații de tracțiune .....	690
10.4. Linia de contact .....	691

11. Încalzirea electrică industrială .....	701
11.1. Cuptoare cu arc electric și cuptoare de inducție .....	701
11.2. Încalzirea prin inducție .....	703
11.3. Tratamentele bazate pe încălzirea dielectricului .....	709
11.4. Sudarea electrică .....	711
11.4.1. Sudare cu arc electric .....	711
11.4.2. Sudarea electrică prin presiune .....	720
11.4.3. Procedee speciale de sudare electrică .....	732
12. Electrochimie .....	737
12.1. Tehnica galvanizării .....	737
12.2. Diferite procedee electrochimice .....	740
12.3. Pile de combustie .....	742
12.4. Baterii de acumulare .....	752
13. Alte aplicații .....	756
13.1. Tehnica iluminatului .....	756
13.2. Tehnica ventilației industriale .....	768
13.2.1. Instalații de ventilație .....	768
13.2.2. Principii și noțiuni de ventilație .....	773
13.2.3. Alegerea ventilatoarelor .....	777
13.3. Conducte și pompe pentru fluide .....	788
13.4. Aparat electrocasnice .....	795
<b>Partea a patra</b>	
<b>TEHNICA REGLĂRII AUTOMATE ȘI AUTOMATIZAREA</b>	
14. Sisteme de reglare automată .....	803
14.1. Noțiunile fundamentale ale tehnicii reglării automate .....	803
14.2. Proprietățile elementelor de transfer .....	804
14.3. Definițiile dispozitivelor reglate .....	809
14.4. Dispozitive de reglare .....	811
14.5. Lanț de reglare automată și buclă de reglare automată .....	813
15. Sisteme de circuite electronice pentru prelucrarea informației .....	817
15.1. Semnale ca purtătoare de informații .....	817
15.2. Sisteme numerice .....	819
15.2.1. Sistemele numerice zecimal și binar .....	819
15.2.2. Calculul cu numerele binare .....	821
15.2.3. Conversiunea numerelor din zecimal în binar și invers .....	822
15.3. Coduri .....	823
15.4. Funcțiile fundamentale ale circuitelor electronice .....	827
15.5. Algebră circuitelor .....	830
15.6. Simboluri de comutație folosite în sistemele de comutație electronică .....	832
16. Aplicații din tehnica reglării automate .....	835
16.1. Comanda numerică a mașinilor unelte .....	835
16.2. Sistemele de comandă tranzistorizată folosite în tehnica acționărilor electrice și energetice .....	837
16.2.1. Structura de bază și aplicații analogice .....	837
16.2.2. Module tranzistorizate pentru sistemele de reglare analogice .....	843
16.2.3. Schemele amplificatoarelor de reglare; caracteristicile reglatoarelor automate .....	849
16.2.4. Optimizarea .....	857

## PARTEA ÎNȚII

## NOȚIUNI FUNDAMENTALE

## 1. UNITĂȚI DE MĂSURĂ

### 1.1. SISTEME DE UNITĂȚI DE MĂSURĂ

Atât timp cât s-au folosit numai ecuații cu valori numerice, prin sisteme de unități de măsură, se înțelegeau numai sisteme de unități. În ultimele patru decenii însă ne-am obișnuit să raționăm cu mărimi fizice și, — corespunzător regulii

*mărimea este valoarea numerică înmulțită cu unitatea*

să folosim ecuații cu mărimi ale căror unități sînt invariabile: în acest fel prin sisteme de unități de măsură se înțeleg acum *sisteme de mărimi și de unități*.

Prin mărimi fizice se înțeleg proprietățile măsurabile ale obiectelor, proceselor sau stărilor fizice<sup>1)</sup>. O unitate este o anumită mărime aleasă convențional dintr-un număr de mărimi de același fel. Sistemele de unități de măsură au la bază un număr de *unități fundamentale*<sup>2)</sup> independente între ele. Toate celelalte unități ale sistemului — *unități derivate* — pot fi deduse din aceste unități fundamentale.

Cea de a 10-a Conferință Generală Internațională pentru măsuri și greutatea din 1954 a adoptat următoarele șase unități fundamentale:

- 1) pentru lungime, *metrul* (m);
- 2) pentru masă, *kilogramul* (kg);
- 3) pentru timp, *secunda* (s);
- 4) pentru curentul electric, *amperul* (A);
- 5) pentru temperatură, *gradul Kelvin* (K);
- 6) pentru intensitatea luminoasă, *candela* (cd).

Aceste șase unități fundamentale, formează, împreună cu unitățile derivate coerente (adică fără factori numerici suplimentari), „Sistemul Internațional de unități” pe scurt „SI”. Pe lângă acest sistem, o perioadă de timp s-au folosit sistemul CGS (în domeniul fizicii) și sistemul tehnic MKFS, amîndouă bazîndu-se pe cîte trei unități fundamentale:

<sup>1)</sup> De ex. distanța, masa, temperatura.

Proprietatea esențială a acestora este de a putea crește sau descrește.

<sup>2)</sup> Unitățile fundamentale corespund mărimilor fundamentale ale unui sistem de dimensiuni.



Sistemul de unități de măsură	Lungime	Masă	Timp	Forță	Curent electric
CGS	cm	g	s	u. derivată	u. derivată
MKS	m	u. derivată <sup>1)</sup>	s	kgf <sup>2)</sup>	—
SI	m	kg	s	u. derivată	A

<sup>1)</sup> În sistemul tehnic de unități, unitatea derivată de măsură a masei, pentru care nu s-a stabilit o denumire, este de 9,80665 kg.

<sup>2)</sup> În limba germană kp (kilopond). Unitatea de forță în sistemul MKS s-a considerat mult timp kilogramul, împotriva celor convenite la cea de a 3-a Conferință Generală de Unități și Măsuri din anul 1901. Kilopond-ul este unitatea de forță derivată din ecuația  $F = m \cdot a$  unde masa este în kg, iar accelerația în m/s<sup>2</sup>. Libra (lb) este unitatea pentru greutate și masă utilizată în Anglia și S.U.A.

În timp ce în sistemele CGS și SI se consideră ca mărime fundamentală masa ( $m$ ), în sistemul MKS se consideră ca mărime fundamentală forța ( $F$ ). Notind accelerația cu  $a$ , legea de bază a dinamicii — legea lui Newton — se exprimă prin  $F = m \cdot a$ . Rezultă definițiile:

în sistemul CGS: 1 dyn (dyna) este forța necesară pentru a imprima unui corp cu masa de 1 g o accelerație de 1 cm/s<sup>2</sup>;

în sistemul MKS: 1 kgf (kilogram-forță) <sup>1)</sup> este forța necesară pentru a imprima unui corp cu masa 1 kg o accelerație egală cu valoarea standardizată pentru accelerația gravitațională, 9,80665 m/s<sup>2</sup>;

în sistemul SI: 1 N (newton) este forța necesară pentru a imprima unui corp cu masa 1 kg accelerația de 1 m/s<sup>2</sup>.

De aici rezultă relația dintre unități:

$$1 \text{ N} = 10^5 \text{ dyn} = 1/9,80665 \text{ kgf.}$$

În sistemul CGS, care se bazează numai pe cele trei mărimi fundamentale din mecanică, mărimile și unitățile electromagnetice s-au putut deduce numai introducând cel puțin o ipoteză suplimentară. Unitățile electrostatice ale sistemului CGS s-au determinat presupunând  $\epsilon_0 \equiv 1$ , unitățile electromagnetice ale sistemului CGS presupunând  $\mu_0 \equiv 1$ , iar unitățile sistemului simetric Gauss presupunând  $\epsilon_0 \equiv 1$  și  $\mu_0 \equiv 1$ . În aceste trei sisteme, în care se obișnuia scrierea neraționalizată, mărimile mai sus amintite aveau dimensiuni diferite, adesea cu exponenți fracționari ai mărimilor fundamentale. Aceste dezavantaje au fost eliminate prin introducerea amperului — unitate de măsură a curentului electric — ca o a patra unitate fundamentală în sistemul electromagnetic de patru unități, care a fost adoptat la cea de a 9-a Conferință Generală pentru Măsuri și Greutăți din 1948. Cu această ocazie, corespunzător unei propuneri făcute de CEI (Comitetul Electrotehnic Internațional) s-a recomandat folosirea scrierii raționalizate. Unitățile electrice „internaționale” definite empiric s-au înlocuit în 1948 cu unități „absolute” care, prin intermediul forței de interacțiune dintre două conductoare paralele străbătute de curent, au fost cuprinse în unitățile mecanice, astfel încît este valabilă relația

$$1 \text{ V} \cdot 1 \text{ A} = 1 \text{ W} = 1 \text{ Nm/s.}$$

<sup>1)</sup> În trecut unitatea de forță a sistemului tehnic de măsură MKS s-a definit ca acea forță (kg-forță) cu care o greutate de 1 kg acționează asupra suportului său la o accelerație gravitațională standardizată  $g_n = 9,80665 \text{ m/s}^2$ .

Între vechile unități internaționale și noile unități absolute folosite în prezent există relațiile;

$$1 \text{ V}_{int} = 1,00034 \text{ V}_{abs}; \quad 1 \text{ F}_{int} = 0,99951 \text{ F}_{abs};$$

$$1 \text{ A}_{int} = 0,99985 \text{ A}_{abs}; \quad 1 \text{ C}_{int} = 0,99985 \text{ C}_{abs};$$

$$1 \Omega_{int} = 1,00049 \Omega_{abs}; \quad 1 \text{ H}_{int} = 1,00049 \text{ H}_{abs};$$

$$1 \text{ W}_{int} = 1,00019 \text{ W}_{abs}; \quad 1 \text{ J}_{int} = 1,00019 \text{ J}_{abs}.$$

**Observație.** În cuprinsul memoratorului, din motive practice, au trebuit să fie folosite adesea unități care se abat de la cele fundamentale. În asemenea cazuri, a fost explicată detaliat dependența dintre mărime și unitate. Dacă nu s-au dat explicații corespunzătoare, se va considera că s-au folosit exclusiv unități fundamentale și unități derivate din acestea <sup>1)</sup>.

## 1.2. UNITĂȚI ELECTRICE ȘI MAGNETICE

Tabelul 1.1. Unități electrice și magnetice

Mărimea	Simbolul	Unitate internațională (unitate SI)		Unități magnetice speciale		
		Denumire	Simbol	Denumire	Simbol	O unitate SI este egală cu <sup>1)</sup>
Potențial, tensiune electrică, tensiune electromotoare	$V, U, e$	volt	V			
Curentul electric	$I$	amper	A			
Densitatea de curent electric	$J$		A/m <sup>2</sup>			
Rezistența electrică	$R$	ohm	$\Omega = \text{V/A}$			
Rezistivitate	$\rho$		$\Omega \cdot \text{m}$			
Conductanță	$G$	siemens	$S = \text{A/V} = 1/\Omega$			
Conductivitate electrică	$\gamma$		$S/\text{m} = 1/\Omega \cdot \text{m}$			
Flux magnetic	$\Phi$	weber	$\text{Wb} = \text{Vs}$	maxwell	$\text{Mx}$	$10^8 \text{ Mx}$
Inducție magnetică	$B$	tesla	$\text{T} = \text{Wb/m}^2$	gauss	$\text{Gs}$	$10^4 \text{ Gs}$
Tensiune magnetică	$U_m$	amper	A			

<sup>1)</sup> În România sînt valabile următoarele standarde privind unitățile de măsură:

STAS 737-62 Unități fundamentale ale sistemului internațional de unități de măsură SI.

737/8-68 Sistemul internațional de unități (SI). Mărimi electromagnetice. Unități de măsură.

7496-66 Unități suplimentare și derivate ale sistemului internațional de unități de măsură SI.

3087-67 Electrotehnica. Simboluri literale și semne convenționale.

Tabelul 1.1 (continuare)

Mărimea	Simbolul	Unitate internațională (unitate SI)		Unități magnetice speciale		
		Denumire	Simbol	Denumire	Simbol	O unitate SI este egală cu: <sup>1)</sup>
Intensitatea cîmpului magnetic	$H$	henry	A/m	oersted	Oe	$4\pi \cdot 10^{-3}$ Oe
Permeanța	$\Lambda$		$H = \text{Wb/A}$			
Permeabilitatea absolută	$\mu$	henry	H/m	$\frac{\text{gauss}}{\text{oersted}}$	Gs/Oe	$\frac{10^7}{4\pi}$ Gs/Oe
Inductanță, inductanță mutuală	$L, M$		$H = \text{Wb/A}$			
Tensiune magnetică, ten- siune magnetomotoare, solenafie	$U_m, F_m, \Theta$	amper	A			
Sarcină electrică	$Q, q$	coulomb	C = As			
Inducție electrică	$D$		C/m <sup>2</sup>			
Intensitatea cîmpului electric	$E$		V/m			
Permitivitatea (constanta dielectrică absolută)	$\epsilon$	farad	F/m			
Capacitatea electrică	$C$		F = As/V			

<sup>1)</sup> Acești coeficienți de transformare sînt valabili numai în cazul cînd unitățile Mx, Gs și Oe se consi-  
deră a fi mărimi ale sistemului CGS electromagnetic de patru unități raționalizat.

Permitivitatea (constanta electrică, constanta dielectrică a vidului)

$$\epsilon_0 = \frac{1}{4\pi c^2} \approx 0,885410 \cdot 10^{-12} \text{ F/m.}$$

Permeabilitatea vidului (constanta magnetică)

$$\mu_0 = 4\pi \cdot 10^{-7} \text{ H/m} \approx 1,256637 \cdot 10^{-6} \text{ H/m.}$$

Viteza de propagare a undelor electromagnetice în vid

$$c_0 \approx 2,997925 \cdot 10^8 \text{ m/s.}$$

#### Coeficienți de transformare

$$\begin{aligned} 1 \text{ } \Omega \text{ cm} &= 10^4 \text{ } \Omega \text{ mm}^2/\text{m}; \\ 1 \text{ A/in} &= 0,394 \text{ A/cm}; & 1 \text{ A/cm} &= 2,54 \text{ A/in}; \\ 1 \text{ Oe} &= 0,796 \text{ A/cm}; & 1 \text{ A/cm} &= 1,257 \text{ Oe}; \\ &= 2,02 \text{ A/in}; \\ 1 \text{ kGs} &= 6,452 \text{ kilolinii/in}^2 \\ &= 10^{-5} \text{ Vs/cm}^2; \\ 1 \text{ V/mil} &= 39,4 \text{ V/mm}; \\ 1 \text{ W/lb} &= 2,21 \text{ W/kg}; & 1 \text{ W/kg} &= 0,454 \text{ W/lb.} \end{aligned}$$

### 1.3. COEFICIENȚI DE TRANSFORMARE

Tabelul 1.2. Valorile prefixelor pentru multiplii și submultiplii unităților  
metrice (zecimale)

T	tera	$10^{12}$	da	deca	$10$	n	nano	$10^{-9}$
G	giga	$10^9$	d	deci	$10^{-1}$	p	pico	$10^{-12}$
M	mega	$10^6$	c	centi	$10^{-2}$	f	femto	$10^{-15}$
k	kilo	$10^3$	m	mili	$10^{-3}$	a	atto	$10^{-18}$
h	hecto	$10^2$	$\mu$	micro	$10^{-6}$			

Tabelul 1.3. Unități de lungime

1 in = 25,4 mm				1 yd = 0,9144 m		
10 mm = 1 cm		10 dm = 1 m		10 dam = 1 hm		
10 cm = 1 dm		10 m = 1 dam		10 hm = 1 km		
	mm	cm	m	in	ft	yd
1 mm	1	0,1	0,001	0,039 3701	0,003 280 84	0,001 093 61
1 cm	10	1	0,01	0,393 701	0,032 808 4	0,010 936 1
1 m	1000	100	1	39,3701	3,280 84	1,093 61
1 in	25,4	2,54	0,0254	1	0,083 333	0,027 777 8
1 ft	304,8	30,48	0,3048	12	1	0,333 333
1 yd	914,4	91,44	0,9144	36	3	1
	m	km	ft	furlongs	milă	milă marină
1 m	1	0,001	3,280 84	0,004 970 97	0,000 621 37	0,000 539 61
1 km	1000	1	3 280,84	4,970 97	0,621 37	0,539 61
1 ft	0,3048	0,000 304 8	1	0,001 515 2	0,000 189 394	0,000 164 74
1 furlong	201,168	0,201 168	660	1	0,125	0,108 553
1 milă	1609,344	1,609 344	5280	8	1	0,868 42
1 milă marină	1853,18	1,853 18	6080	9,212 12	1,151 52	1

Tabelul 1.4. Transformări de metri în yarzi și invers

m	0	1	2	3	4	5	6	7	8	9
	yd	yd	yd	yd	yd	yd	yd	yd	yd	yd
0	—	1,0936	2,1872	3,2808	4,3745	5,4681	6,5617	7,6553	8,7489	9,8425
10	10,9361	12,0297	13,1234	14,2170	15,3106	16,4042	17,4978	18,5914	19,6850	20,7786
20	21,8723	22,9659	24,0595	25,1531	26,2467	27,3403	28,4339	29,5276	30,6212	31,7148
30	32,8084	33,9020	34,9956	36,0892	37,1828	38,2765	39,3701	40,4637	41,5573	42,6509
40	43,7445	44,8381	45,9317	47,0254	48,1190	49,2126	50,3062	51,3998	52,4934	53,5871
50	54,6807	55,7743	56,8679	57,9615	59,0551	60,1487	61,2423	62,3360	63,4296	64,5232
60	65,6168	66,7104	67,8040	68,8976	69,9913	71,0849	72,1785	73,2721	74,3657	75,4593
70	76,5529	77,6465	78,7402	79,8338	80,9274	82,0210	83,1146	84,2082	85,3018	86,3955
80	87,4891	88,5827	89,6763	90,7699	91,8635	92,9571	94,0507	95,1444	96,2380	97,3316
90	98,4252	99,5188	100,612	101,706	102,800	103,893	104,987	106,080	107,174	108,268
yd	0	1	2	3	4	5	6	7	8	9
	m	m	m	m	m	m	m	m	m	m
0	—	0,9144	1,8288	2,7432	3,6576	4,5720	5,4864	6,4008	7,3152	8,2296
10	9,1440	10,0584	10,9728	11,8872	12,8016	13,7160	14,6304	15,5448	16,4592	17,3736
20	18,2880	19,2024	20,1168	21,0312	21,9456	22,8600	23,7744	24,6888	25,6032	26,5176
30	27,4320	28,3464	29,2608	30,1752	31,0896	32,0040	32,9184	33,8328	34,7472	35,6616
40	36,5760	37,4904	38,4048	39,3192	40,2336	42,1480	42,0624	42,9768	43,8912	44,8056
50	45,7200	46,6344	47,5488	48,4632	49,3776	50,2920	51,2064	52,1208	53,0352	53,9496
60	54,8640	55,7784	56,6928	57,6072	58,5216	59,4360	60,3504	61,2648	62,1792	63,0936
70	64,0080	64,9224	65,8368	66,7512	67,6656	68,5800	69,4944	70,4088	71,3232	72,2376
80	73,1520	74,0664	74,9808	75,8952	76,8096	77,7240	78,6384	79,5528	80,4672	81,3816
90	82,2960	83,2104	84,1248	85,0392	85,9536	86,8680	87,7824	88,6968	89,6112	90,5256

Tabelul 1.5. Frațiuni de țoli (in), valoarea lor zecimală și valoarea corespunzătoare în milimetri

in	in	mm	in	in	mm	in	in	mm	in	in	mm
1/16	0,063	1,587	5/16	0,313	7,937	9/16	0,563	14,287	13/16	0,813	20,637
1/8	0,125	3,175	3/8	0,375	9,525	5/8	0,625	15,875	7/8	0,875	22,225
3/16	0,188	4,762	7/16	0,438	11,112	11/16	0,688	17,462	15/16	0,938	23,812
1/4	0,25	6,35	1/2	0,5	12,7	3/4	0,75	19,05	1	1	25,4

Tabelul 1.6. Unități de măsură a unghiurilor

1 radian = 57,29578°				Diferența pentru 0,001 rad = 3'261/4"								
	Grade în radiani	Minute în radiani	Secunde în radiani		Radiani în grade, minute și secunde							
			"	rad	rad	°	'	"	rad	°	'	"
1	0,017453	0,000291	10	0,000048	0,01	—	34	23	0,1	5	43	46
2	0,034907	0,000582	20	0,000097	0,02	1	8	45	0,2	11	27	33
3	0,052360	0,000873	30	0,000145	0,03	1	43	8	0,3	17	11	19
4	0,069813	0,001164	40	0,000194	0,04	2	17	31	0,4	22	55	6
5	0,087266	0,001454	50	0,000242	0,05	2	51	53	0,5	28	38	52
6	0,104720	0,001745	60	0,000291	0,06	3	26	16	0,6	34	22	39
7	0,122173	0,002036			0,07	4	0	39	0,7	40	6	25
8	0,139626	0,002327			0,08	4	35	1	0,8	45	50	12
9	0,157080	0,002618			0,09	5	9	24	0,9	51	33	58
10	0,174533	0,002909			0,10	5	43	46	1,0	57	17	45

Tabelul 1.7. Unități de suprafață

1 milă pătrată = 640 acri = 258 999 ha.  
 1 acru = 4 rods = 10 chains pătrați = 4840 yd².  
 1 chain pătrat = 16 perch pătrați (rods pătrați) = 484 yd² = 404,686 m²  
 100 mm² = 1 cm²  
 100 cm² = 1 dm²  
 100 dm² = 1 m²  
 100 m² = 1 a (ar)  
 100 a = 1 ha  
 100 ha = 1 km²

	mm²	cm²	m²	in²	ft²	yd²
1 mm² .....	1	0,01	0,000001	0,00155	0,0000107639	0,000001196
1 cm² .....	100	1	0,0001	0,15500	0,00107639	0,0001196
1 m² .....	1 000 000	10 000	1	1550	10,7639	1,19599
1 in² .....	645,16	6,4516	0,00064516	1	0,0069444	0,000771605
1 ft² .....	92 903	929,03	0,092903	144	1	0,111111
1 yd² .....	836 127	8 361,27	0,836127	1296	9	1
	m²	ha	yd²	acri		
1 m² .....	1	0,0001	1,19599	0,000247105		
1 ha .....	10 000	1	11 959,9	2,47105		
1 yd² .....	0,836127	0,0000836127	1	0,000206612		
1 acru .....	4046,86	0,404686	4840	1		
Circular mil (CM)	in²	mm²	Circular mil (CM)	in²	mm²	
50 000	0,0393	25,3	550 000	0,4320	278,7	
100 000	0,0785	50,7	600 000	0,4712	304,0	
150 000	0,1178	76,0	650 000	0,5105	329,4	
200 000	0,1571	101,3	700 000	0,5498	354,7	
250 000	0,1963	126,7	750 000	0,5890	380,0	
300 000	0,2356	152,0	800 000	0,6283	405,3	
350 000	0,2749	177,3	850 000	0,6676	430,7	
400 000	0,3142	202,7	900 000	0,7068	456,0	
450 000	0,3534	228,0	950 000	0,7461	481,4	
500 000	0,3927	253,4	1 000 000	0,7854	506,7	

Tabelul 1.8. Unități de volum și de capacitate

1 gallon britanic	= 277,42 in <sup>3</sup> = 4,54596 l	1000 mm <sup>3</sup> = 1 cm <sup>3</sup> 1000 cm <sup>3</sup> = 1 dm <sup>3</sup>
1 gallon S.U.A.	= 231,001 in <sup>3</sup> = 3,78533 l	1000 dm <sup>3</sup> = 1 m <sup>3</sup> 10 ml = 1 cl
1 l (1000 ml)	= 1000,028 cm <sup>3</sup>	10 cl = 1 dl
1 uncie de lichid	= 0,960754 uncii de lichid S.U.A.	10 dl = 1 l
1 drachmă de lichid	= 0,960754 drachme de lichid S.U.A.	100 l = 1 hl
1 minim	= 0,960754 minimi S.U.A.	1:0,960754 = 1,04085

	cm <sup>3</sup>	in <sup>3</sup>	Minim	Drachme de lichid	Uncii de lichid
1 cm <sup>3</sup> .....	1	0,061024	16,8936	0,281560	0,035195
1 in <sup>3</sup> .....	16,3871	1	276,837	4,6139	0,57674
1 minim.....	0,059194	0,0036122	1	0,0166667	0,00208333
1 drachmă de lichid.....	3,5516	0,216734	60	1	0,125
1 uncie de lichid.....	28,413	1,7339	480	8	1

	dm <sup>3</sup>	ft <sup>3</sup>	l	Pints	Quarți	Galloni britanici
1 dm <sup>3</sup> .....	1	0,0353147	0,999972	1,75975	0,87988	0,219969
1 ft <sup>3</sup> .....	28,3169	1	28,3161	49,831	24,9153	6,2288
1 l.....	1,000028	0,0353156	1	1,75980	0,87990	0,219975
1 pint.....	0,56826	0,020068	0,56825	1	0,5	0,125
1 quart.....	1,13652	0,040136	1,13649	2	1	0,25
1 gallon britanic.....	4,54609	0,160544	4,54596	8	4	1

	m <sup>3</sup>	yd <sup>3</sup>	Galloni SUA	Galloni britanici	Acru-picioare
1 m <sup>3</sup> .....	1	1,30795	264,17	219,969	0,00081071
1 yd <sup>3</sup> .....	0,76455	1	201,974	168,178	0,000619834
1 gallon S.U.A. ....	0,0037854	0,0049511	1	0,83267	0,000030689
1 gallon britanic....	0,0045461	0,0059461	1,20095	1	0,000036856
1 acru-picior.....	1233,48	1613,33	325 848,41	271 327,36	1

Tabelul 1.9. Unități de forță și masă

1 lb <sup>1)</sup> (av)<sup>2)</sup> = 16 uncii <sup>1)</sup> (av) = 7000 grains = 0,45359237 kg.  
 1 lb <sup>2)</sup> (tr) <sup>3)</sup> = 12 uncii <sup>2)</sup> (tr) = 5760 grains (unități S.U.A)  
 1000 kg = 10 quintale = 1 t (metrică)  
 1 bbf = 0,45359237 kgf = 32,1740 poundali = 4,44822 N.  
 = 10<sup>-3</sup> N.  
 = 980 665 dyn = 9,80665 N = 70,9316 poundali  
 = 10<sup>5</sup> dyn = 1 kg m/s<sup>2</sup> = 0,224809 pound-forță = 7,23301 poundali  
 = 0,101972 kgf  
 = 1 lb ft/s<sup>2</sup> = 0,0140981 kgf = 0,0310810 lbf = 0,138255 N

	g	grains	drachme	uncii(tr)	uncii(av)	carate metrice
1 g.....	1	15,4324	0,257206	0,0321507	0,035274	5
1 grain.....	0,064799	1	0,0166667	0,00208333	0,0022857	0,323995
1 drachmă.....	3,88794	60	1	0,125	0,137143	19,4397
1 uncie (tr).....	31,1035	480	8	1	1,09714	155,517
1 uncie (av).....	28,3495	437,5	7,2917	0,91146	1	141,748
1 carat metric.....	0,2	3,08647	0,05144112	0,00643015	0,00705479	1

	kg	lb <sup>1)</sup> (tr)	lb <sup>2)</sup> (av)	quarters
1 kg.....	1	2,67923	2,20462	0,07874
1 lb <sup>2)</sup> (tr).....	0,373242	1	0,82286	0,02939
1 lb <sup>1)</sup> (av).....	0,453592	1,21528	1	0,03571
1 quarter.....	12,7006	34,0278	28	1

	t (metric)	chintale	t lungă	t scurte
1 t (metric).....	1	19,6841	0,98421	1,10231
1 chintal.....	0,050802	1	0,05	0,056
1 t lungă.....	1,01605	20	1	1,12
1 t scurtă.....	0,90718	17,8571	0,89286	1

<sup>1)</sup> Unitate comercială

<sup>2)</sup> Unitate de giuvaergie

<sup>3)</sup> av reprezintă prescurtarea de la avoir du pois

<sup>4)</sup> tr reprezintă prescurtarea de la troy



Tabelul 1.10. Unități de presiune și eforturi

1000,028 cm <sup>3</sup> de apă distilată la 4°C și 760 mm Hg au o masă de 1 kg. Densitatea mercurului la 0°C este 13,5951 g/cm <sup>3</sup>					
	kgf/mm <sup>2</sup>	kgf/mm <sup>2</sup>	kgf/cm <sup>2</sup>	tf/cm <sup>2</sup>	
1 kgf/mm <sup>2</sup>	1		100	0,1	
1 kgf/cm <sup>2</sup>	0,01		1	0,001	
1 tf/cm <sup>2</sup>	10		1000	1	
1 lb/in <sup>2</sup>	0,00070307		0,070307	0,00070307	
1 tf/in <sup>2</sup>	1,574 88		157,488	0,157 488	
1 tf/ft <sup>2</sup>	0,0109366		1,09366	0,00109366	
	lb/in <sup>2</sup>	lb/in <sup>2</sup>	tf/in <sup>2</sup>	tf/ft <sup>2</sup>	
1 kgf/mm <sup>2</sup>	1 422,33		0,63497	91,436	
1 lb/in <sup>2</sup>	14 223,3		0,0063497	0,91436	
1 kgf/cm <sup>2</sup>	14 223,3		6,3497	914,36	
1 lb/in <sup>2</sup>	1		0,000446429	0,064286	
1 tf/in <sup>2</sup>	2 240		1	144	
1 tf/ft <sup>2</sup>	15,5556		0,0069444	1	
	kgf/cm <sup>2</sup>	lb/in <sup>2</sup>	m H <sub>2</sub> O	ft H <sub>2</sub> O	mm Hg (torr)
1 kgf/cm <sup>2</sup>	1	14,2233	10,00028	32,8093	735,559
1 lb/in <sup>2</sup>	0,070307	1	0,70309	2,3067	51,715
1 m H <sub>2</sub> O	0,099997	1,4223	1	3,28084	73,554
1 ft H <sub>2</sub> O	0,030479	0,43352	0,3048	1	22,419
1 mm Hg (1 torr)	0,0013595	0,019337	0,013596	0,04605	1
1 in Hg	0,034532	0,49115	0,34532	1,1390	25,4

Notă: Valorile sînt pentru coloana de apă la 4°C, pentru coloana de mercur la 0°C

1 bar = 1 Mdyn/cm<sup>2</sup> = 10<sup>5</sup> N/m<sup>2</sup>

1 μ bar = 1 dyn/cm<sup>2</sup>

Tabelul 1.10 (continuare)

	Atmosferă tehnică	lb f/in <sup>2</sup>	Atmosferă fizică	Bar <sup>1)</sup>	mm Hg <sup>2)</sup>
1 atmosferă tehnică (at)	1	14,2233	0,96784	0,98066	735,56
1 lb f/in <sup>2</sup>	0,070307	1	0,068046	0,068948	51,715
1 atmosferă fizică (atm)	1,0332	14,696	1	1,0132	760
1 bar	1,01972	14,504	0,98693	1	750,06
10 <sup>3</sup> mm Hg	1,3595	19,337	1,3158	1,3332	1000

<sup>1)</sup> În calculul echivalențelor s-a folosit pentru accelerația gravitațională valoarea internațională standard 980,665 cm/s<sup>2</sup> (32,1740 ft/s<sup>2</sup>). Aceasta este valoarea adoptată de Comisia Internațională de Măsură și Greutăți. Comitetul internațional de metrologie folosește valoarea de 980,62 cm/s<sup>2</sup>.

<sup>2)</sup> Valorile corespund pentru coloana de mercur la 0°C.

Pentru valoarea accelerației gravitaționale de la meridianul de la Greenwich de 32,1906 ft/s<sup>2</sup> (981,17 cm/s<sup>2</sup>), valorile echivalente în bar sînt:

Atmosferă fizică	Atmosferă tehnică	lb f/in <sup>2</sup>	Bar	mm Hg
0,98642	1,01919	14,496	1	749,68

Echivalenți: 1 atmosferă fizică = 1,0138 bar  
1 atmosferă tehnică = 0,98117 bar

1 lb f/in<sup>2</sup> = 0,068983 bar  
1000 mm Hg = 1,3339 bar

Tabelul 1.11. Formule pentru calculul temperaturilor

	$T, K$	$\theta, ^\circ C^1$	$t, ^\circ F$	$r, ^\circ R$
Grade Kelvin K .....	$T$	$\theta + 273,15$	$\frac{5}{9}(t + 459,67)$	$\frac{5}{9}r$
Grade Celsius $^\circ C$ .....	$T - 273,15$	$\theta$	$\frac{5}{9}(t - 32)$	$\frac{5}{9}(r - 491,67)$
Grade Fahrenheit $^\circ F$ .....	$\frac{9}{5}T - 459,67$	$\frac{9}{5}\theta + 32$	$t$	$r - 459,67$
Grade Rankine $^\circ R$ .....	$\frac{9}{5}T$	$\frac{9}{5}\theta + 491,67$	$t + 459,67$	$r$

<sup>1)</sup> Denumite anterior centigrade.

Tabelul 1.12. Viteza (liniară)

1 in = 25,4 mm				
	milă/h	ft/s	cm/s	km/h
1 milă/h .....	1	1,46667	44,704	1,609344
1 ft/s .....	0,681818	1	30,48	1,09728
1 cm/s .....	0,0223694	0,328084	1	0,036
1 km/h .....	0,621371	0,911344	27,7778	1

Tabelul 1.13. Densitatea

1 in = 25,4 mm		1 lb = 0,453 592 37 kg		
	$t/m^3$ <sup>1)</sup>	lb (av)/in <sup>3</sup>	lb (av)/ft <sup>3</sup>	chintale/yd <sup>3</sup> (englezești)
1 $t/m^3$ .....	1	0,0361273	62,428	15,0496
1 lb (av)/in <sup>3</sup> .....	27,6799	1	1728	416,571
1 lb (av)/ft <sup>3</sup> .....	0,0160185	0,00057870	1	0,241071
1 chintal englez/yd <sup>3</sup> .....	0,066447	0,00240055	4,14815	1

<sup>1)</sup> Tone pe metru cub are aceeași valoare cu kilograme pe centimetru cub și de asemenea cu gram pe centimetrul cub; 1  $t/m^3 = 10$  chintale/ $m^3$ .

Tabelul 1.14. Unități de concentrație

1 in = 25,4 mm 7000 grains = 1 lb = 453,59237 g 1 gallon britanic (gallon br) = 277,42 in <sup>3</sup> = 4,54596 l				
	g/l	uncii (av)/gallon britanic (UK)	lb (av)/ft <sup>3</sup>	
1 g/l .....	1	0,160354	0,0624262	
1 uncie (av)/gallon britanic (UK) ....	6,23620	1	0,389301	
1 lb (av)/ft <sup>3</sup> .....	16,0189	2,56870	1	
	g/m <sup>3</sup>	părți la 100 000 <sup>1)</sup>	grains pe gallon britanic (UK)	grains/ft <sup>3</sup>
1 g/m <sup>3</sup> .....	1	0,100003	0,0701568	0,437
1 parte la 100 000 .....	9,9997	1	0,70155	4,3698
1 grain/gallon britanic (UK) .....	14,2538	1,4254	1	6,22884
1 grain/ft <sup>3</sup> .....	2,28835	0,22884	0,160544	1

<sup>1)</sup> Interpretat ca centigrame pe litru (cg/l). Coloanele 1 și 4 pot fi folosite de asemenea și pentru umiditatea absolută.

Tabelul 1.15. Momentul forței <sup>1)</sup>

1 in = 25,4 mm		1 lbf = 0,45359237 kgf		
	kgf · m	tf · m	lbf · in	
1 kgf m .....	1	0,001	86,7962	
1 tf m .....	1000	1	86 796,2	
1 lbf in .....	0,0115212	0,0000115212	1	
1 lbf ft .....	0,138255	0,000138255	12	
1 tf in .....	25,8076	0,0258076	2 240	
1 tf ft .....	309,691	0,309691	26 880	
	lbf · ft	tf · in	tf · ft	
1 kgf m .....	7,23301	0,0387483	0,00322902	
1 tf m .....	7233,01	38,7483	3,22902	
1 lbf in .....	0,0833333	0,00044643	0,0000372024	
1 lbf ft .....	1	0,0053571	0,00044643	
1 tf in .....	186,667	1	0,083333	
1 tf ft .....	2240	12	1	

<sup>1)</sup> Acest tabel se poate folosi și pentru transformarea unităților de energie.

Tabelul 1.16. Unități de lucru mecanic, căldură și energie

Tabelul se referă la caloria din tabelele de abur (revizuite) și la Unitatea Termică Britanică (BTU) din tabelele de abur (revizuite); tabelul este calculat cu factorii de transformare 1 in = 2,54 cm și 1 lbf = 0,45359237 kgf.  
 1 eV =  $1,63 \cdot 10^{-20}$  kgf. m =  $4,44 \cdot 10^{-26}$  kWh.  
 =  $3,82 \cdot 10^{-23}$  kcal =  $1,517 \cdot 10^{-22}$  BTU (unități termice britanice)  
 1 erg = 1 dyn. cm =  $10^{-7}$  J

	kgf m	kWh	kJ	kcal	Unități Termice Britanice (BTU)	CPh
10 <sup>6</sup> kgf.m	1 000 000	2,72407	9 806,65	2342,28	9 294,91	3,65304
1 kWh	367 098	1	3 600	859,845	3 412,14	1,34102
10 <sup>3</sup> kJ	101 972	0,277778	1 000	238,846	947,817	0,372506
10 <sup>3</sup> kcal	426 935	1,1630	4 186,8	1000	3 968,32	1,55961
10 <sup>3</sup> Unități Termice Britanice	107 586	0,293071	1 055,06	251,996	1 000	0,393015
1 CPh	273 745	0,745700	2 684,52	641,187	2 544,43	1
	MJ	kWh	CPh	10 <sup>6</sup> ft. lbf	10 <sup>6</sup> poundali · ft	10 <sup>6</sup> kgf · m
1 MJ	1	0,277778	0,372506	0,737562	23,7304	0,101972
1 kWh	3,6	1	1,34102	2,65522	85,4293	0,367098
1 CPh	2,68452	0,745700	1	1,98000	63,7046	0,273745
10 <sup>6</sup> ft. lbf	1,35582	0,376616	0,505051	1	32,1740	0,138255
10 <sup>6</sup> ft. poundali <sup>1)</sup>	0,0421501	0,0117056	0,0156974	0,031081	1	0,004297
10 <sup>6</sup> kgf · m	9,80665	2,72407	3,65304	7,23301	232,715	1

Diferite unități termice și de uz general.  
 1 Unitate Termică Britanică/lb = 5/9 kcal/kg.  
 1 in = 25,4 mm.  
 1 lb = 0,45359237 kg.  
 1 gallon britanic = 4,5459631 l.

<sup>1)</sup> 1 poundal = 1 lb · ft/s<sup>2</sup>.

Tabelul 1.17. Unități de putere

1 in = 25,4 mm 1 W = 10 <sup>7</sup> erg/s = 0,238846 cal/s		1 lbf = 0,45359237 kgf 1 cal/s = 4,1868 W			
kW		CP	CP	ft · lbf/s	
Greenwich <sup>1)</sup>	Lat. 45°N. <sup>2)</sup>	metrici			
1 kW (Greenwich)	1	1,35892	1,34033	737,18	
1 kW (lat. 45°N.)	—	1,35962	1,34102	737,56	
1 CP (metric <sup>3)</sup> )	0,73588	0,73550	0,98632	542,48	
1 CP	0,74608	0,74570	1,01387	550	
1 ft. lbf/s	0,00135652	0,00135582	0,00184340	0,00181818	1

<sup>1)</sup> Accelerația gravitației = 32,1906 ft/s<sup>2</sup> (981,17 cm/s<sup>2</sup>).

<sup>2)</sup> Valoarea internațională standard a accelerației gravitației, la nivelul mării, 980,665 cm/s<sup>2</sup> (32,1740 ft/s<sup>2</sup>).

<sup>3)</sup> Alte denumiri pentru această unitate sînt „cheval vapeur“ (75 kgf m/s) sau Pferdestärke

Tabelul 1.18. Flux de căldură

	cal cm <sup>2</sup> s	kcal m <sup>2</sup> h	W cm <sup>2</sup>	Btu ft <sup>2</sup> h
1 cal/cm <sup>2</sup> s	1	36 000	4,1868	13 272,1
10 <sup>3</sup> kcal/m <sup>2</sup> h	0,0277778	1 000	0,1163	368,669
1 W/cm <sup>2</sup>	0,239	8 600	1	3 169
10 <sup>3</sup> Btu/ft <sup>2</sup> h	0,075346	2 712,46	0,316	1 000

Tabelul 1.19. Transport de căldură

	cal cm <sup>2</sup> s °C	kcal m <sup>2</sup> h °C	W cm <sup>2</sup> °C	Btu ft <sup>2</sup> h °F
1 cal/cm <sup>2</sup> s °C	1	36 000	4,1868	7 373,4
10 <sup>3</sup> kcal/m <sup>2</sup> h °C	0,0277778	1 000	0,1163	204,816
1 W/cm <sup>2</sup> °C	0,239	8 600	1	1 761
10 <sup>3</sup> Btu/ft <sup>2</sup> h °F	0,135623	4 882,43	0,568	1 000

Tabelul 1.20. Conductivitate termică

	cal cm s °C	kcal m h °C	W cm °C	Btu in ft <sup>2</sup> h °F
1 cal/cm s °C	1	360	4,1868	2 902,91
10 <sup>3</sup> kcal/m h °C	2,77778	1 000	11,63	8 063,6
1 W/cm °C	0,238846	85,9845	1	693
10 <sup>3</sup> Btu in/ft <sup>2</sup> h °F	0,344482	124,014	1,44228	1 000

Tabelul 1.21. Unități fotometrice internaționale și germane

Luminanță	sb	cd/m <sup>2</sup>	asb	Footlambert	Lambert	Mililambert
1 sb	1	10 000	31 400	2919	3,142	3 142
1 cd/m <sup>2</sup>	0,0001	1	3,14	0,2919	0,00031	0,314
1 asb	0,000032	0,3184	1	0,093	0,0001	0,1
1 footlambert	0,00034	3,4	10,76	1	0,00108	1,076
1 lambert	0,3183	3 183	10 000	929	1	1 000
1 mililambert	0,00032	3,183	10	0,929	0,001	1
Iluminare			1 lx = 0,0929 ft · cd 1 ft · cd = 10,76 lx			

Tabelul. 1.22. Moment de rotație

Momentul de rotație este definit în sistemul de unități engleze prin expresia  $Wk^2$  în  $\text{lbf ft}^2$ , și în sistemul de unități germane prin  $GD^2$  în  $\text{kgf m}^2$ .

Aceste transformări constituie adesea o sursă de erori deoarece este necesar nu numai să se treacă de la un sistem de unități la altul, ci să se țină seama și de diferența dintre definiții. De remarcat că: Momentul de inerție în unități metrice este:

Simbolurile folosite:

$$J = mk^2 = \frac{G}{g} \frac{D^2}{4}$$

sau în unități engleze

$$J = mk^2 = \frac{W}{g} k^2$$

$J$  = moment de inerție, în  $\text{kg m}^2$  sau  $\text{lb ft}^2$ ;

$m$  = masa, în  $\text{kg}$  sau  $\text{lb}$ ;

$k$  = raza de inerție, în  $\text{m}$  sau  $\text{ft}$ ;

$D$  = 2  $k$ , în  $\text{m}$  sau  $\text{ft}$ ;

$G$  = greutatea în  $\text{kgf}$ ;

$W$  = greutatea, în  $\text{lbf}$ ;

$g$  = accelerația gravitațională, în  $\text{ms}^{-2}$  sau  $\text{ft s}^{-2}$ .

De aici  $\frac{GD^2}{4}$  (definiția germană) este egal cu momentul de rotație  $Wk^2$  (definiția engleză).

În acest caz este valabil: 1  $\text{kgf m}^2 = 2,2 \text{ lbf} \cdot 3,28^2 \text{ ft}^2 = 23,7 \text{ lb ft}^2$ .

Ținând seama de diferența dintre definiții, dacă  $GD^2 = x \text{ kgf m}^2$ , se obține:

$$Wk^2 = \frac{23,7}{4} x \text{ lbf ft}^2 = 5,9x \text{ lbf ft}^2 \approx 6x \text{ lbf ft}^2.$$

Dacă de exemplu  $GD^2 = 10\,000 \text{ kgf m}^2$  vom avea  $Wk^2 = 59\,000 \text{ lbf ft}^2$ .

Din această cauză este greșit a se exprima

$GD^2$  în  $\text{lbf ft}^2$  sau  $Wk^2$  în  $\text{kgf m}^2$ ,

deoarece nu reiese clar dacă s-a ținut seama de diferența dintre cele două definiții.

De la  $GD^2$  în  $\text{kgf m}^2$ , la  $Wk^2$  în  $\text{lbf ft}^2$

$\text{kgf m}^2$	0 $\text{lbf ft}^2$	1 $\text{lbf ft}^2$	2 $\text{lbf ft}^2$	3 $\text{lbf ft}^2$	4 $\text{lbf ft}^2$	5 $\text{lbf ft}^2$	6 $\text{lbf ft}^2$	7 $\text{lbf ft}^2$	8 $\text{lbf ft}^2$	9 $\text{lbf ft}^2$
0	—	5,9	11,8	17,7	23,6	29,5	35,4	41,3	47,2	53,1
10	59	64,9	70,8	76,7	82,6	88,5	94,4	100	106	112
20	118	124	130	136	142	148	153	159	165	171
30	177	183	189	195	201	207	212	218	224	230
40	236	242	248	254	260	266	271	277	283	289
50	295	301	307	313	319	325	330	336	342	348
60	354	360	366	372	378	384	389	395	401	407
70	413	419	425	431	437	443	448	454	460	466
80	472	478	484	490	496	502	507	513	519	525
90	531	537	543	549	555	561	566	572	578	584

De la  $Wk^2$  în  $\text{lbf ft}^2$ , la  $GD^2$  în  $\text{kgf m}^2$

$\text{lbf ft}^2$	0 $\text{kgf m}^2$	1 $\text{kgf m}^2$	2 $\text{kgf m}^2$	3 $\text{kgf m}^2$	4 $\text{kgf m}^2$	5 $\text{kgf m}^2$	6 $\text{kgf m}^2$	7 $\text{kgf m}^2$	8 $\text{kgf m}^2$	9 $\text{kgf m}^2$
0	—	0,169	0,338	0,507	0,676	0,845	1,01	1,18	1,35	1,52
10	1,69	1,86	2,03	2,20	2,37	2,54	2,70	2,87	3,04	3,21
20	3,38	3,55	3,72	3,89	4,06	4,23	4,39	4,56	4,73	4,90
30	5,07	5,24	5,41	5,58	5,75	5,92	6,08	6,25	6,42	6,59
40	6,76	6,93	7,10	7,27	7,44	7,61	7,77	7,94	8,11	8,28
50	8,45	8,62	8,79	8,96	9,13	9,30	9,46	9,63	9,80	9,97
60	10,1	10,3	10,5	10,6	10,8	11,0	11,2	11,3	11,5	11,7
70	11,8	12,0	12,2	12,3	12,5	12,7	12,8	13,0	13,2	13,4
80	13,5	13,7	13,9	14,0	14,2	14,4	14,5	14,7	14,9	15,0
90	15,2	15,4	15,5	15,7	15,9	16,1	16,2	16,4	16,6	16,7

Cei mai importanți coeficienți de transformare<sup>1)</sup>

acre <sup>2</sup> (acru) (—) <sup>3)</sup> 0,404686 ha 4046,86 m <sup>2</sup> 4840 yd <sup>2</sup>	bar (gravitație Standard) (—) 1,01972 at 0,98693 atm 14,504 lbf/in <sup>2</sup> 750,06 mmHg 10 <sup>6</sup> dyn/cm <sup>2</sup>	centimetru cub (cm <sup>3</sup> ) 0,061 024 in <sup>3</sup> 0,281 560 UK drahme lichide 0,035 195 UK fl oz 16,8936 UK minims
acre foot (acru picior) (acre ft) 1233,48 m <sup>3</sup> 271 327,36 UKgal 325 848,41 USgal 1 613,33 yd <sup>3</sup>	British thermal unit (Btu) 0,000393015 hp h 0,251996 kcal 107,586 kgf m 1,05506 kJ	chain (—) 0,1 furlong 100 links 20,12 m 4 rods 22 yd
apostilb (asb) 0,3184 cd/m <sup>2</sup> 0,093 ft L 0,0001 L 0,000032 sb	candelă pe metru pătrat (cd/m <sup>2</sup> ) 3,14 asb 0,2919 ft L 0,00031 L 0,0001 sb	circular mil (CM) 0,0785 × 10 <sup>-5</sup> in <sup>2</sup> 50,7 × 10 <sup>-5</sup> mm <sup>2</sup>
atmosfera fizică (atm) 1,0332 at 1,0132 bar 1,0138 bar (Greenwich) 14,696 lbf/in <sup>2</sup> 760 mmHg	carat, metric (—) 3,08647 gr 200 mg	cubic foot (picior cub) (ft <sup>3</sup> ) 28,3169 dm <sup>3</sup> 28,3161 l 0,0283169 m <sup>3</sup> 6,2288 UKgal 49,831 UKpt 24,9153 UKqt
atmosfera tehnică (at) 0,967 84 atm 0,98066 bar 0,98117 bar (Greenwich) 14,2233 lbf/in <sup>2</sup> 735,56 mmHg	centimetru (cm) 0,0323084 ft 0,393701 in 0,01 m 10 mm 0,0109361 yd	cubic inch (inch cub) (in <sup>3</sup> ) 16,3871 cm <sup>3</sup> 4,6139 UK fluid drachms 0,57674 UK fl oz 276,837 UK minims
bar (Greenwich) (—) 1,01919 at 0,98642 atm 14,496 lbf/in <sup>2</sup> 749,68 mmHg	centimetru pă- trat (cm <sup>2</sup> ) 0,00107639 ft <sup>2</sup> 0,155 in <sup>2</sup> 0,0001 m <sup>2</sup> 100 mm <sup>2</sup> 0,0001196 yd <sup>2</sup>	cubic yard (yard cub) (yd <sup>3</sup> ) 0,000619834 acre ft 0,76455 m <sup>3</sup>

<sup>1)</sup> Pentru unitățile engleze s-au dat în paranteze denumirile care sînt cunoscute, în general, în R.S.R.

<sup>2)</sup> Pentru recalcularea acrilor în hectare se înlocuiește un acru cu 0,40468 ha; de exemplu 377 acri =

<sup>3)</sup> (—) înseamnă că pentru aceste unități nu există simboluri.



168,178 UKgal	footlamber (ft L)	head of water
201,974 USgal	10,76 asb	in metres
	3,4 cd/m <sup>2</sup>	(metri coloană de apă)
decimetru cub	0,00108 L	(m H <sub>2</sub> O)
(dm <sup>3</sup> )	0,000 34 sb	2,8958 inHg
0,0353147 ft <sup>3</sup>		0,099997 kgf/cm <sup>2</sup>
0,999972 l	furlong (-)	1,4223 lbf/in <sup>2</sup>
0,219969 UKgal	660 ft	73,554 mmHg
1,75975 UKpt	201,168 m	
0,87988 UKqt	0,125 mile	hectar (ha)
	0,108553 UK	2,47105 acri
drachm (drahmă) (-)	nautical mile	10 000 m <sup>2</sup>
3,88794 g		11 959,9 yd <sup>2</sup>
60 gr	gallon (UKgal)	horsepower
0,137143 oz	4,54609 dm <sup>3</sup>	(cal putere) (hp)
0,125 oz tr	0,160544 ft <sup>3</sup>	550 lbf ft/s
dynă (dyn) 10 <sup>-5</sup> N	4,54596 l	0,74608 kW
	0,0045461 m <sup>3</sup>	(Greenwich)
electronvolt (eV)	8 UKpt	0,74570 kW
1,517 × 10 <sup>-22</sup> Btu	4 UKqt	(Lat. 45°N)
3,82 × 10 <sup>-23</sup> kcal	1,20095 USgal	1,01387 metric
1,63 × 10 <sup>-20</sup> kgf m	0,0059461 yd <sup>3</sup>	horsepower (CP)
4,44 × 10 <sup>-26</sup> kWh	gallon (USgal)	horsepower,
erg (erg)	0,0037854 m <sup>3</sup>	metric
1 dyn cm 10 <sup>-7</sup> J	0,83267 UKgal	(cal putere, metric) (CP)
	0,0049511 yd <sup>3</sup>	0,98632 hp
fluid drachm	grain (gr)	542,48 lbf ft/s
(drahmă lichide)	0,323995 carat	0,735 88 kW
(UK fl drachm)	0,0166667 drachm	(Greenwich)
3,5516 cm <sup>3</sup>	64,799 mg	0,735 50 kW
0,216 734 in <sup>3</sup>	0,0022857 oz	(Lat. 45°N)
0,125 UK fl oz	0,00208333 oz tr	horsepower
60 UK minims		hour (cal putere
fluid ounce (uncie	gram (g)	oră) (hp h)
lichide) (UK fl oz)	0,257206 drachm	2544,43 Btu
28,413 cm <sup>3</sup>	15,4324 gr	1,98 × 10 <sup>6</sup> ft lbf
1,7339 in <sup>3</sup>	0,035274 oz	63,7046 × 10 <sup>6</sup> ft pdl
8 UK fluid	0,0321507 oz tr	641,187 kcal
drachms		273 745 kgf m
480 UK minims	head of water	2 684,52 kJ
	in feet	0,7457 kWh
foot (picior) (ft)	(picioare coloană de apă)	hundredweight
30,48 cm	(ft H <sub>2</sub> O)	(cwt)
0,0015152 furlong	0,88065 inHg	0,056 sh tn
12 in	0,030479 kgf/cm <sup>2</sup>	0,050 802 t
0,3048 m	0,433 52 lbf/in <sup>2</sup>	0,05 ton
0,333333 yd	22,419 mmHg	

inch (in)	0,62137 mile	metru pătrat (m <sup>2</sup> )
2,54 cm	0,539 UK nautical mile	0,000247105 acre
0,083333 ft		10 000 cm <sup>2</sup>
0,0277778 yd	kilometru pătrat	10,7639 ft <sup>2</sup>
	(km <sup>2</sup> )	0,0001 ha
inch of mercury	0,386102 square mile	1550 in <sup>2</sup>
(inch coloană de mercur)		1,19599 yd <sup>2</sup>
(in Hg)	kilowatt (-)	
1,1330 ft H <sub>2</sub> O	(Greenwich)	metru cub (m <sup>3</sup> )
0,34532 m H <sub>2</sub> O	737,18 ft lbf/s	0,00081071 acre ft
0,49115 lbf/in <sup>2</sup>	1,34033 hp	35,3147 ft <sup>3</sup>
25,4 mmHg	1,35892 CP	219,969 UKgal
		264,17 USgal
kilocalorie (kcal)	kilowatt (kW)	1,30795 yd <sup>3</sup>
3,968 32 Btu	(Lat. 45°N)	
0,001559 61 hp h	737,56 ft lbf/s	mile, nautical (-)
4,1868 kJ	1,341 02 hp	(UK nautical mile)
0,001163 kWh	1,35962 CP	(milă marină engleză
426,935 kgf m		6 080 ft
kilogram (kg)	kilowatt-oră (kWh)	9,21212 furlongs
2,20462 lb	3412,14 Btu	1,85318 km
2,67923 lb tr	2,65522 × 10 <sup>6</sup> ft lbf	1,15152 miles
	85,4293 × 10 <sup>6</sup> ft pdl	2 026,66 yd
	1,341 02 hp h	
	859,845 kcal	mile, statute
kilogram-forță	367 098 kgf m	(mile)
(kgf)	3 600 kJ	5 280 ft
980 665 dyn		8 furlongs
9,80665 N		1,609344 km
70,9316 pdl		0,86842 UK
		nautical mile
kilogram-forță		1760 yd
metru (kgf m)		
0,00929491 Btu		
2,34228 cal		
7,23301 ft lbf		
232,715 ft pdl		
3,65304 × 10 <sup>-6</sup> hp h		
9,80665 J		
2,72407 × 10 <sup>-6</sup> kWh		
kilojoule (kJ)		
0,947 817 Btu		
0,000 372 506 hp h		
0,238846 kcal		
0,000277778 kWh		
101,972 kgf m		
kilometru (km)		
3280,84 ft		
4,97097 furlongs		
1000 m		

minim (—) (UK minim) 0,059194 cm <sup>3</sup> 0,0036122 in <sup>3</sup> 0,0166667 UK fluid drachm 0,00208333 UK fl oz	32,1740 pdl 4,44822 N  pound-force per square inch (lbf/in <sup>2</sup> ) 0,068046 atm 0,068948 bar 2,3067 ft H <sub>2</sub> O 0,70309 m H <sub>2</sub> O 2,03602 in Hg 0,070307 kgf/cm <sup>2</sup> 51,715 mm Hg 0,064286 tonf/ft <sup>2</sup>	square yard (yard pătrat) (yd <sup>2</sup> ) 0,000206612 acre 8361,3 cm <sup>2</sup> 9 ft <sup>2</sup> 1296 in <sup>2</sup> 0,83613 m <sup>2</sup>  stilb (sb) 31 400 asb 10 000 cd/m <sup>2</sup> 2919 ft L 3,142 L
newton (N) 0,224809 lbf 7,23301 pdl 0,101972 kgf 10 <sup>5</sup> dyn	poundal (pdl) 0,0140981 kgf 0,0310810 lbf 0,138255 N  quart (UK qt) 1,13652 dm <sup>3</sup> 0,040136 ft <sup>3</sup> 1,13649 l 0,25 UKgal 2 UKpt  short ton (sh tn) 17,8571 cwt 2 000 lb 0,90718 t 0,89286 ton	tonă metrică (t) 19,6841 cwt 2 204,62 lb 1,10231 sh tn 0,984207 ton  tonă pe oră (t/h) 0,61240 lb/s  tonă forță pe metru pătrat (tf/m <sup>2</sup> ) 0,091436 tonf/ft <sup>2</sup>  ton (—) 20 cwt 2 240 lb 1,12 sh tn 1,01605 t
ounce avoir du pois (oz) 141,748 carat 7,2917 drachms 28,3495 g 437,5 gr 0,911 46 oz tr	ounce troy (oz tr) 155,517 carat 8 drachms 31,1035 g 480 gr 1,09714 oz	ton-force per square inch (tonf/in <sup>2</sup> ) 157,488 kgf/cm <sup>2</sup> 0,157488 t/cm <sup>2</sup> 144 tonf/ft <sup>2</sup>  yard (yd) 91,44 cm 3 ft 36 in 0,9144 m
pint (UK pt) 0,56826 dm <sup>3</sup> 0,020068 ft <sup>3</sup> 34,6774 in <sup>3</sup> 0,56825 l 0,125 UKgal 0,5 UKqt	square foot (picior pătrat) (ft <sup>2</sup> ) 929,03 cm <sup>2</sup> 144 in <sup>2</sup> 0,092903 m <sup>2</sup> 92,903 mm <sup>2</sup> 0,111111 yd <sup>2</sup>	watt (W) 10 <sup>7</sup> erg/s 0,101972 kgf m/s 0,238846 cal/s 0,859845 kcal/h
pound (libră) avoir du pois (lb) 8,92857 × 10 <sup>-3</sup> cwt 0,453592 37 kg 1,21528 lb tr 0,0005 sh tn 4,464 29 × 10 <sup>-4</sup> ton	square inch (inch pătrat) (in <sup>2</sup> ) 6,4516 cm <sup>2</sup> 0,0069444 ft <sup>2</sup> 0,00064516 m <sup>2</sup> 645,16 mm <sup>2</sup> 0,00077160 yd <sup>2</sup>	
pound troy (lb tr) 0,373 242 kg 0,822 86 lb	square mile (milă pătrată) (sq mile) 2,58999 km <sup>2</sup>	
pound-force (lbf) 0,45359237 kgf		

## 2. PROPRIETĂȚILE MATERIALELOR

### 2.1. STRUCTURA MATERIEI

Compoziții de bază ai materiei sînt: *protonul*, *neutronul* și *electronul*. Pe lângă acestea există încă circa o sută de alte *particule subatomice*, în general instabile, care în scurt timp după producerea lor în procese nucleare se dezintegrează. În prezent se evită denumirea de *particule elementare* folosită deseori în trecut. Toate aceste particule se caracterizează prin patru însușiri principale: sarcină electrică, masă de repaus, spin (moment cinetic propriu) și moment magnetic. Pe lângă aceste însușiri principale, particulele se deosebesc și prin alte proprietăți ca spin izotopic, hipersarcină, paritate etc.

Însușirile principale sînt date în tabelul 2.1. Aproape tuturor particulelor subatomice le sînt asociate antiparticule. Particulele și antiparticulele pot fi generate spontan prin radiație de mare energie (generare de perechi) și se pot anihila cu emisie de radiație.

Tabelul 2.1. Particule subatomice

Denumirea	Sarcina (în unități ale sarcinii elementare)	Masa de repaus (în unități ale masei electronului)	Însușiri
Foton .....	0	0	Cuantă de energie de radiație electromagnetică (cuantă de lumină)
<i>Leptoni</i>			
Neutrino .....	0	0	Particule stabile, produse prin dezintegrarea de mezon și barioni
Antineutrino .....	0	0	
Electron .....	-1	1	Unitatea stabilă formînd învelișul de electroni al atomilor și purtător al curențului electric
Pozitron .....	+1	1	Stabil, antiparticulă corespunzătoare electronului.
Mion .....	-1	206,8	Instabil cu durata de viață de 10 <sup>-6</sup> s, găsit în radiațiile cosmice.
Antimion .....	+1	206,8	
<i>Mezoni</i>			
Mezon $\pi$ .....	0	264	Mezonii sînt particule instabile, cu durata de viață de 10 <sup>-8</sup> ...10 <sup>-10</sup> s. Sînt produși prin dezintegrarea de barioni, precum și în procese nucleare.
Mezon $\kappa$ .....	-1, +1	273,3	
Mezon $\eta$ .....	-1, +1	966	
	0	~1100	

Tabelul 2.1 (continuare)

Denumirea	Sarcina (în unități ale sarcinii elementare)	Masa de repaus (în unități ale masei electronului)	Înșușiri
<i>Barioni</i>			
Proton .....	+ 1	1836	Particulă nucleară stabilă.
Antiprotion .....	- 1	1836	Stabil
Neutron .....	0	1838,5	Particulă nucleară instabilă în vid (durata de viață $10^8$ s).
Antineutron .....	0	1838,5	
Barioni $\Xi$ , $\Sigma$ , $\Lambda$ , $\Delta$ și $\Omega$	-2 la + 2	2200...3800	Particule instabile, observate în reacțiile nucleare. Durata lor de viață este citeodată de numai $10^{-23}$ s. În prezent sînt cunoscute circa 60.

Notă: Sarcina elementară  $e = 4,8 \cdot 10^{-10}$  unități CGS electrostatice =  $1,6 \cdot 10^{-19}$  As. Masa electronului  $m_e = 9,1 \cdot 10^{-28}$  g.

Atomul este cea mai mare particulă de sine stătătoare a unui corp chimic unitar (element). El este format din nucleu și din învelișul de electroni.

Nucleul atomic este constituit din protoni și neutroni. Numărul protonilor indică numărul de sarcină al nucleului sau numărul atomic al elementului, pe cînd numărul total de protoni și neutroni determină cu aproximație masa totală a atomului (masa atomică). Hotărîtor pentru însușirile chimice ale atomului este numărul protonilor din nucleu. Atomii cu același număr de protoni însă cu un număr diferit de neutroni se numesc *izotopi*. Masa atomică relativă chimic determinată a unui element este o valoare medie a maselor atomice relative ale izotopilor săi (tabelul 2.2).

Învelișul de electroni al atomului cuprinde un număr de electroni egal cu cel al protonilor din nucleu. Astfel atomul considerat ca un întreg este neutru din punct de vedere electric. Conform *modelului de atom al lui Bohr*, electronii se rotesc în jurul nucleului pe orbite de energii diferite. Fiecare orbită se caracterizează prin patru numere cuantice și poate fi ocupată numai de un singur electron. Mai multe orbite formează cîte o subgrupă, iar acestea la rîndul lor pături. Prin excitația produsă prin irradiație de lumină sau șoc electronii se pot ridica la orbite sau niveluri energetice mai mari. La revenirea unui electron pe orbita inițială, această energie va fi emisă ca radiație electromagnetică (radiație Roentgen, lumină). Dacă primesc suficientă energie, electronii pot fi smulși din înveliș (ionizare). În acest caz, atomul rămîne ca ion cu sarcină pozitivă. În mod corespunzător, prin captarea de electroni pot apare ioni cu sarcină negativă.

Molecula este cea mai mică particulă unitară a unei combinații chimice. Molecula este formată din atomi, legați între ei prin legătură chimică.

În corpuri solide atomii și moleculele sînt în general dispuse în mod regulat într-o rețea. Unitățile de bază ale rețelei pot fi atomii (în cazul metalelor, ca de ex. la cupru), cristalele covalente (de ex. la diamant), ionii (în rețele ionice, de ex. la sare gemă brută) sau moleculele (în rețele moleculare, de ex. la oxigen solid).

Tabelul 2.2. Masa atomică relativă a elementelor <sup>1)</sup>

Elementul	Masa atomică relativă	Numărul atomic	Elementul	Masa atomică relativă	Numărul atomic
Actiniu .....	Ac (227)	89	Mendeleviu .....	Md (256)	101
Aluminiu .....	Al 26,9815	13	Mercur .....	Hg 200,59	80
Americiu .....	Am (243)	95	Molibden .....	Mo 95,94	42
Antimoniu .....	Sb 121,75	51	Neodmiu .....	Nd 144,24	60
Argint .....	Ag 107,870	47	Neon .....	Ne 20,183	10
Argon .....	Ar 39,948	18	Neptuniu .....	Np (237)	93
Arsen .....	As 74,9216	33	Nichel .....	Ni 58,71	28
Astatin .....	At (210)	85	Niobiu .....	Nb 92,906	41
Aur .....	Au 196,967	79	Nitrogen .....	N 14,0067	7
Bariu .....	Ba 137,34	56	Nobelium .....	No (253)	102
Beriliu .....	Be 9,0122	4	Osmiu .....	Os 190,2	76
Berkeliu .....	Bk (247)	97	Oxigen .....	O 15,9994	8
Bismut .....	Bi 208,980	83	Paladiu .....	Pd 106,4	46
Bor .....	B 10,811	5	Platină .....	Pt 195,09	78
Brom .....	Br 79,909	35	Plumb .....	Pb 207,19	82
Cadmium .....	Cd 112,40	48	Plutoniu .....	Pu (242)	94
Calcium .....	Ca 40,08	20	Poloni .....	Po (210)	84
Californiu .....	Cf (249)	98	Potasiu .....	K 39,102	19
Carbon .....	C 12,01115	6	Praseodimiu .....	Pr 140,907	59
Ceriu .....	Ce 140,12	58	Prometiu .....	Pm	
Cesiu .....	Cs 132,905	55	(Il.niu .....	Il (145)	61
Clor .....	Cl 35,453	17	Protactiniu .....	Pa (231)	91
Crom .....	Cr 51,996	24	Radiu .....	Ra (226)	88
Cripton .....	Kr 83,80	36	Radon .....	Rn (222)	86
Cobalt .....	Co 58,9332	27	Reniu .....	Re 186,2	75
Cupru .....	Cu 63,54	29	Rodiu .....	Rh 102,905	45
Curiu .....	Cm (247)	96	Rubidiu .....	Rb 85,47	37
Disprosiu .....	Dy 162,50	66	Ruteniu .....	Ru 101,07	44
Einsteinium .....	Es (254)	99	Sumariu .....	Sm 150,35	62
Erbium .....	Er 167,26	68	Scandiu .....	Sc 44,956	21
Europiu .....	Eu 151,96	63	Seleniu .....	Se 78,96	34
Fermiu .....	Fm (253)	100	Siliciu .....	Si 28,086	14
Fier .....	Fe 55,847	26	Sodiu .....	Na 22,9898	11
Fluor .....	F 18,9984	9	Staniu .....	Sn 118,69	50
Fosfor .....	P 30,9738	15	Stronțiu .....	Sr 87,62	38
Franciu .....	Fr (223)	87	Sulf .....	S 32,064	16
Gadolinium .....	Gd 157,25	64	Tantal .....	Ta 180,948	73
Galliu .....	Ga 69,72	31	Tehnetiu .....	Tc (99)	43
Germaniu .....	Ge 72,59	32	Teluriu .....	Te 127,60	52
Hafniu .....	Hf 178,49	72	Terbiu .....	Tb 158,924	65
Heliu .....	He 4,0026	2	Talliu .....	Tl 204,37	81
Holmiu .....	Ho 164,930	67	Toriu .....	Th 232,038	90
Hydrogen .....	H 1,00797	1	Tuliu .....	Tm 168,934	69
Indiu .....	In 114,82	49	Titan .....	Ti 47,90	22
Iod .....	I 126,9044	53	Tungsten (Wolfram) ..	W 183,85	74
Iridiu .....	Ir 192,2	77	Uranium .....	U 238,03	92
Lantan .....	La 138,91	57	Vanadiu .....	V 50,942	23
Lawrenciu .....	Lw (257)	103	Xenon .....	Xe 131,30	54
Litiu .....	Li 6,939	3	Yterbiu .....	Yb 173,04	70
Lutețiu .....	Lu 174,97	71	Ytriu .....	Y 88,905	39
Magneziu .....	Mg 24,312	12	Zinc .....	Zn 65,37	30
Mangan .....	Mn 54,9380	25	Zirconiu .....	Zr 91,22	40

<sup>1)</sup> Factorul de conversiune pentru transformare de la scara chimică în scara fizică este 1,000275. Cifrele scrise în paranteză în tabelele 2.2 și 2.3 dau numărul de masă a izotopilor elementelor radioactive sintetice care au cea mai lungă perioadă de înjumătățire sau sînt cele mai ușor accesibile.

Așezarea regulată a structurii rețelei se poate extinde pe zone largi (structura cristalină) sau să fie restrinsă la zone mici (structura microcristalină, cazul limită: starea amorfă). La temperatura de zero absolut ( $-273,16^{\circ}\text{C}$ ), unitățile rețelei sînt virtual în repaus. La temperaturi mai mari, ele vibrează în jurul poziției lor de echilibru. Totodată se slăbesc forțele de coeziune în rețea. Cu creșterea mai departe a temperaturii, rețeaua se distruge, substanța devine lichidă și în final gazoasă, iar moleculele se pot disocia.

### Natura corpusculară a luminii

Unele particularități ale luminii, — ca de exemplu efectul fotoelectric, — nu se pot explica pe baza teoriei naturii ondulatorii a luminii. De aceea a trebuit să se atribuie luminii și proprietăți corpusculare, în afară de cele ondulatorii. În acest caz, lumina este considerată ca fiind constituită din particule mici, fără masă de repaus și fără sarcină, adică din cuante de lumină sau fotoni a căror energie depinde de frecvența luminii și anume:  $E = h\nu$ , unde  $h$  este constanta lui Planck, iar  $\nu$  — frecvența.

### Natura ondulatorie a luminii

Totodată este necesar de a atribui electronilor și proprietăți ondulatorii pentru a explica difracția electronilor și fenomenele de interferență. Proprietățile corpusculare și cele ondulatorii sînt legate între ele prin ecuația lui Broglie  $\lambda = \frac{h}{mv}$ . Definind

$V$  (în V) ca  $V = \frac{mv^2}{2e}$ , putem scrie  $\lambda = \sqrt{150/V} \cdot 10^{-8} \text{ cm}$ . În aceste două cazuri vorbim

de dualismul undă-particulară.

Aceste dificultăți de concepție le preîntîmpină mecanica cuantelor care arată că astfel de întrebări ca „Electronul este în realitate de natură corpusculară sau ondulatorie?” sînt lipsite de sens din punct de vedere fizic, deoarece nu li se poate da un răspuns pe bază de demonstrații experimentale. Mecanica cuantelor se rezumă la precizarea și corelarea unor rezultate care pot fi deduse din cantități ce pot fi determinate pe cale experimentală (de ex. intensități, transformări de energie, probabilități pe baza observațiilor), folosind metode matematice. Se renunță în mare măsură la o redare demonstrativă a proceselor. În consecință, afirmațiile privind proprietățile corpusculare sau ondulatorii ale electronilor sau ale cuantelor de lumină dau numai o imagine-model incompletă a unor procese care nu pot fi descrise prin concepții vizuale.

### Tabloul periodic al elementelor

Analizînd elementele în ordinea crescătoare a numărului atomic, se pot distinge anumite periodicități și asemănări ale proprietăților lor. În funcție de modul de grupare adoptat, se observă mai ușor asemănările privind proprietățile lor fizice, — de exemplu structura electronilor sau proprietățile lor chimice (tabelul 2.3).

Tabelul 2.3. Sistemul periodic al elementelor

I		II		III		IV		V		VI		VII		VIII		0	
a	b	a	b	a	b	a	b	a	b	a	b	a	b	a	b	a	b
1 H 1,00797																2 He 4,0026	
3 Li 6,939		4 Be 9,0122		5 B 10,811		6 C 12,01115		7 N 14,0067		8 O 15,9994		9 F 18,9984				10 Ne 20,183	
11 Na 22,9898		12 Mg 24,312		13 Al 26,9815		14 Si 28,086		15 P 30,9738		16 S 32,064		17 Cl 35,453				18 Ar 39,948	
19 K 39,102		20 Ca 40,08		21 Sc 44,956	22 Ti 47,90	23 V 50,942	24 Cr 51,996	25 Mn 54,9380		26 Fe 55,847	27 Co 58,933	28 Ni 58,71					
29 Cu 63,54		30 Zn 65,37		31 Ga 69,72		32 Ge 72,59		33 As 74,9216		34 Se 78,96		35 Br 79,909				36 Kr 83,80	
37 Rb 85,47		38 Sr 87,62			39 Y 88,905	40 Zr 91,22		41 Nb 92,906		42 Mo 95,94		43 Tc (99)		44 Ru 101,07	45 Rh 102,903	46 Pd 106,4	
	47 Ag 107,870		48 Cd 112,41	49 In 114,82		50 Sn 118,69		51 Sb 121,75		52 Te 127,60		53 I 126,9044				54 Xe 131,30	
55 Cs 132,905		56 Ba 137,34		57-71 Pământuri rare <sup>1)</sup>		72 Hf 178,49		73 Ta 180,948		74 W 183,85		75 Re 186,2		76 Os 190,2	77 Ir 192,2	78 Pt 195,09	
	79 Au 196,967		80 Hg 200,59	81 Tl 204,37		82 Pb 207,19		83 Bi 208,980		84 Po (210)		85 At (210)				86 Rn (222)	
87 Fr (223)		88 Ra (226)		89 Ac (227)	90 Th 232,038	91 Pa (231)		92 U 238,03				93 ... Elemente transurice <sup>2)</sup>					
57 La 138,91		58 Ce 140,12	59 Pr 140,907	60 Nd 144,24	61 Pm (145)	62 Sm 150,35	63 Eu 151,96	64 Gd 157,25	65 Tb 158,924	66 Dy 163,50	67 Ho 164,930	68 Er 167,26		69 Tm 168,934	70 Yb 173,04	71 Lu 174,97	
93 Np (237)		94 Pu (242)	95 Am (243)	96 Cm (247)	97 Bk (247)	98 Cf (249)	99 E (254)	100 Fm (253)	101 Md (256)	102 No (258)	103 Lw (257)						



## Substanțe chimice

Tabelul 2.4. Denumirile comerciale și chimice ale unor materiale

Denumirea comercială	Denumirea chimică	Formula
Acetilenă	Acetilenă	$C_2H_2$
Acid carbonic	Fenol	$C_6H_5OH$
Acid carbonic	Bioxid de carbon	$CO_2$
Acid cianhidric	Acid cianhidric	$HCN$
Acid clorhidric	Acid clorhidric	$HCl + xH_2O$
Acid cromic	Trioxid de crom	$CrO_3$
Acid fluorhidric	Acid fluorhidric	$HF$
Acid oxalic	Acid oxalic	$C_2O_4H_2 \cdot 2H_2O$
Acid sulfuric	Acid sulfuric	$H_2SO_4$
Alaun (Alaun de potasiu)	Sulfat de aluminiu-potasiu	$KAl(SO_4)_2 \cdot 12H_2O$
Alaun amoniac	Sulfat de aluminiu-amoniu	$(NH_4)Al(SO_4)_2 \cdot 12H_2O$
Alaun crom	Sulfat de potasiu - crom	$KCr(SO_4)_2 \cdot 12H_2O$
Alaun de sodiu	Sulfat de sodiu - aluminiu	$NaAl(SO_4)_2 \cdot 12H_2O$
Albastru de Prusia	Ferocianură ferică	$Fe_4[Fe(CN)_6]_3$
Alb de barită (alb permanent)	Sulfat de bariu	$BaSO_4$
Alb de plumb	Carbonat de plumb bazic	$2 PbCO_3 \cdot Pb(OH)_2$
Alb de zinc	Oxid de zinc	$ZnO$
Alumină calcinată	Oxid de aluminiu	$Al_2O_3$
Amoniac soluție	Hidroxid de amoniu	$NH_3 + xH_2O$
Anticlor	Tiosulfat de sodiu	$Na_2S_2O_3 \cdot 5H_2O$
Antimonit	Trisulfură de antimoniu (III)	$Sb_2S_3$
Apă de clor	Apă de clor	$Cl_2 + xH_2O$
Apă regală	Apă regală	$HNO_3 + 3HCl$
Apă tare	Acid azotic	$HNO_3$
Argilă decolorantă	Silicați Al-Mg cu conținut de apă	
Arsen	Trioxid de arsen (III)	$As_2O_3$
Azotat de potasiu	Azotat de potasiu	$KNO_3$
Bachelită	Produs de condensare a formaldehidei de fenol	—
Barită	Oxid de bariu	$BaO$
Betonită	Silicați de aluminiu cu conținut de apă	—
Baritină	Sulfat de bariu	$BaSO_4$
Bicarbonat de sodiu	Bicarbonat de sodiu	$NaHCO_3$
Blendă	Sulfură de zinc	$ZnS$
Borax	Bi-tetraborat de sodiu	$Na_2B_4O_7 \cdot 10H_2O$
Calaican	Sulfat feros	$FeSO_4 \cdot 7H_2O$
Calce sodată	Oxid de calciu + Hidroxid de sodiu	$CaO + NaOH$
Calgon	Preparat din polimetafosfați cu greutate moleculară mare și medie	—
Calomel	Clorură de mercur (II)	$Hg_2Cl_2$
Caolină	Silicat de aluminiu	$Al_2O_3 \cdot 2SiO_2 \cdot 2H_2O$
Carborund	Carbură de siliciu	$SiC$
Cenușă de oase	Fosfați impuri de calciu	—
Cerargirit	Clorură de argint	$AgCl$
Cianamidă de calciu	Cianamidă de calciu	$CaCN_2$
Cianură de potasiu	Cianură de potasiu	$KCN$
Clorură de calciu	Clorură de calciu	$CaCl_2 + 6H_2O$
Clorură de staniu (II)	Clorură de staniu (II)	$SnCl_2 \cdot 2H_2O$
Clorură de staniu (IV)	Clorură de staniu (IV)	$SnCl_4$
Clorură de var	Clorură de var	$CaOCl_2$
Clorură de zinc	Clorură de zinc	$ZnCl_2$
Cocleală	Amestec de acetate de cupru bazici	$Cu(C_2H_3O_2)_2 + nCu(OH)_2 + yH_2O$
Corindon (Șmirghel)	Oxid de aluminiu	$Al_2O_3$
Cretă	Carbonat (silicat) de calciu	$CaCO_3(CaSiO_3)$

Tabelul 2.4 (continuare)

Denumirea comercială	Denumirea chimică	Formula
Cretă (Aragonită, calcită)	Carbonat de calciu	$CaCO_3$
Criolit	Fluorură de sodiu-aluminiu	$Na_3AlF_6$
Cromat de potasiu galben	Cromat de potasiu	$K_2CrO_4$
roșu	Bicromat de potasiu	$K_2Cr_2O_7$
Decalină	Decahidronaftalină	$C_{10}H_{18}$
Dextroză	Glucoză	$C_6H_{12}O_6 \cdot H_2O$
Emetic	Tartrat de antimoniu și potasiu	$2K(SbO)C_4H_4O_6 \cdot H_2O$
Eter	Eter dietilic	$(C_2H_5)_2O$
Ferocianură de potasiu	Ferocianură de potasiu	$K_4Fe(CN)_6 \cdot 3H_2O$
Formol	Soluție de formaldehidă de 35-40%	—
Fosgen	Oxiclorură de carbon	$COCl_2$
Galben de crom	Cromat de plumb	$PbCrO_4$
Galben de zinc	Cromat de zinc	$K_2O \cdot 4ZnO \cdot 4CrO_3 \cdot 3H_2O$
Galenă	Sulfură de plumb naturală	$PbS$
Gaz ilariant	Protoxid de azot	$N_2O$
Gaz metan	Metan	$CH_4$
Glicerină	Glicerină	$C_3H_5O_3$
Hidrogen sulfurat	Hidrogen sulfurat	$H_2S$
Hidroxid de aluminiu	Hidroxid de aluminiu	$Al(OH)_3$
Hidroxid de potasiu	Hidroxid de potasiu	$KOH$
Hidroxid de sodiu anhidru	Hidroxid de sodiu	$NaOH$
Hidroxid de sodiu cristalizat	Hidroxid de sodiu	$NaOH + xH_2O$
Ipsos	Sulfat de calciu	$CaSO_4 \cdot 2H_2O$
Kieserit (Sare amară)	Sulfat de magneziu	$MgSO_4 \cdot H_2O$
Leșie potasică caustică	Hidroxid de potasiu	$KOH + xH_2O$
Litargă	Oxid de plumb (II)	$PbO$
Litopon	Sulfură de zinc + sulfură de bariu	$ZnS + BaSO_4$
Lizol	Soluție de săpun creuzolic	—
Magnezie	Oxid de magneziu	$MgO$
Malahit	Carbonat de cupru bazic	$CuCO_3 \cdot Cu(OH)_2$
Marmură	Carbonat de calciu	$CaCO_3$
Metanol	Alcool metilic	$CH_3OH$
Minu de plumb	Oxid de plumb (II, IV)	$Pb_3O_4$
Negru de fum	Carbon	$C$
Oleum	Acid sulfuric fumigent	$H_2SO_4 \cdot SO_3$
Oxid de fier	Hidroxid de fier (II)	$Fe_2O_3 \cdot Fe(OH)_2$
Oxid de antimoniu	Oxid de antimoniu	$Sb_2O_3$
Oțet	Acid acetic	$CH_3COOH$
Piatră de var	Carbonat de calciu	$CaCO_3$
Piatra iadului	Azotat de argint	$AgNO_3$
Piatră vinătă	Sulfat de cupru	$CuSO_4 \cdot 5H_2O$
Piroluzit	Bioxid de mangan (IV)	$MnO_2$
Piroluzit amestecat cu alte minerale mangănifere	Oxid de mangan (II)	$MnO$
Potasă	Carbonat de potasiu	$K_2CO_3$
Potasă caustică	Hidroxid de potasiu	$KOH$
Praf de copt	Bicarbonat de sodiu	$NaHCO_3$
Rugină	Hidroxid de fier (III)	$Fe_2O_3 \cdot Fe(OH)_3$
Salpetru	Azotat de potasiu	$KNO_3$
Salpetru de Chile	Azotat de sodiu	$NaNO_3$
Săpun moale (lichid)	Sarea de potasiu a acidului gras	—

Tabelul 2.4 (continuare)

Denumirea comercială	Denumirea chimică	Formula
Săpun tare (solid)	Sarea de sodiu a acidului gras	—
Sare de bucătărie	Clorură de sodiu	NaCl
Sare de fixaj	Tiosulfat de sodiu	$\text{Na}_2\text{S}_2\text{O}_3 \cdot 5\text{H}_2\text{O}$
Sare de lipit	Clorură (II) de staniu + Clorură de amoniu	$\text{SnCl}_2 + 2\text{NH}_4\text{Cl}$
Sare de măcriș	Oxalat acid de potasiu	$\text{C}_2\text{O}_4\text{KH} \cdot \text{C}_2\text{O}_4\text{H}_2 \cdot 2\text{H}_2\text{O}$
Sare de staniu	Clorură stanoasă	$\text{SnCl}_2 \cdot 2\text{H}_2\text{O}$
Sarea lui Pink	Clorură de staniu — clorură de amoniu	$\text{SnCl}_2\text{NH}_4\text{Cl}$
Sarea lui Mohr	Sulfat de feroamoniu	$\text{Fe}(\text{NH}_4)_2(\text{SO}_4)_2 \cdot 6\text{H}_2\text{O}$
Sare Seignette	Tartrat de potasiu — sodiu	$\text{KNaC}_4\text{H}_4\text{O}_6 \cdot 4\text{H}_2\text{O}$
Silicagel	Bioxid de siliciu	$\text{SiO}_2$
Silvin	Clorură de potasiu	KCl
Sodă calcinată	Carbonat de sodiu	$\text{Na}_2\text{CO}_3$
Sodă caustică	Hidroxid de sodiu	NaOH
Sodă cristalină	Carbonat de sodiu	$\text{Na}_2\text{CO}_3 \cdot 10\text{H}_2\text{O}$
Soluție de lipit	Soluție apoasă de sare de lipit	—
Spat fluorhidric	Fluorură de calciu	$\text{CaF}_2$
Spirit	Alcool	$\text{C}_2\text{H}_5\text{OH}$
Steatit (o varietate de talc)	Steatit	$\text{Mg}(\text{OH})_2$
Sticlă solubilă	Silicat de sodiu sau Sare de potasiu	$\text{Si}_2\text{O}_6$ Compoziție variabilă
Sublimat corosiv	Clorură mercurică	$\text{HgCl}_2$
Sulfat de cupru	Sulfat de cupru	$\text{CuSO}_4 \cdot 5\text{H}_2\text{O}$
Sulfat feros cristalizat	Sulfat de fier (II)	$\text{FeSO}_4 \cdot 7\text{H}_2\text{O}$
Sulfat de sodiu (cristalizat)	Sulfat de sodiu	$\text{Na}_2\text{SO}_4 \cdot 10\text{H}_2\text{O}$
Talc	Talc	$\text{Mg}(\text{OH})_2 \cdot \text{Si}_2\text{O}_6$
Tartrat acid de potasiu	Tartrat acid de potasiu	$\text{KC}_4\text{H}_4\text{O}_6$
Triclorură de antimoniu	Clorură de antimoniu (III)	$\text{SbCl}_3$
Tipirig	Clorură de amoniu	$\text{NH}_4\text{Cl}$
Ulei de fuzel	Amestec de amilizobutil și n-propilic	—
Var		
ars	Oxid de calciu	CaO
stins	Hidroxid de calciu	$\text{Ca}(\text{OH})_2$
Verde de crom	Hidrat de oxid de crom (III)	$\text{Cr}_2\text{O}_3 \cdot x\text{H}_2\text{O}$
Zahăr de plumb	Acetat de plumb	$\text{Pb}(\text{C}_2\text{H}_3\text{O}_2)_2 \cdot 3\text{H}_2\text{O}$

## 2.2. RADIOACTIVITATEA

### 2.2.1. Definirea noțiunilor

Un *element chimic* reprezintă o grupare de specii de atomi capabili de reacții chimice identice. Aceste grupări sunt caracterizate prin numărul atomic <sup>1)</sup> care corespunde cu numărul protonilor existenți în nucleul atomic; modul curent de denumire este numele elementului.

Un *nuclid* înseamnă o specie atomică definită de un singur număr atomic *Z* și un număr de masă *A*; acesta din urmă reprezintă suma protonilor și neutronilor existenți în nucleu

<sup>1)</sup> Atomii unui element au același număr atomic.

și este cu aproximație egal cu masa atomică relativă a nuclidului respectiv. Nuclizii se caracterizează prin numărul de masă atașat la numele elementului de exemplu <sup>238</sup>U (se obișnuiesc și alte moduri de scriere <sup>238</sup>U, U—238 sau uraniu 238).

*Izotopii* sînt nuclizi cu același număr atomic, însă cu număr de masă diferit; astfel <sup>235</sup>U și <sup>238</sup>U sînt izotopi ai uraniului. Noțiunile de nuclid și izotop nu spun nimic în legătură cu faptul dacă specia atomică respectivă este stabilă sau radioactivă; nucleele radioactive sînt denumite radionuclizi sau radioizotopi.

*Nuclizii izobari* au aceleași număr de masă, însă număr atomic diferit. Din doi izotopi vecini întotdeauna cel puțin unul este radioactiv<sup>1)</sup>, de ex.



*Nuclizii izomeri* au același număr atomic și același număr de masă, se deosebesc însă prin nivelul de energie al nucleelelor. Nucleul cu nivel de energie mai mare (indicat printr-un *m* așezat după numărul de masă, de ex. <sup>110m</sup>Ag) poate trece într-o stare de energie mai mică prin emiterea unei cuante de energie (<sup>110</sup>Ag).

### 2.2.2. Dezintegrarea radioactivă

Nuclizii sînt stabili numai dacă nucleul prezintă o compoziție optimă, care se exprimă printr-un echilibru între protoni și neutroni. Nuclizii din afara domeniului de stabilitate au tendința de a se stabiliza printr-o transformare radioactivă, adică prin emiterea unei particule sau cuante de energie din nucleu. În funcție de poziția nuclidului față de domeniul de stabilitate, apar în acest proces diferite feluri de dezintegrări.

*Dezintegrarea α* este însoțită de emiterea unui nucleu de heliu, constînd din doi protoni și doi neutroni; nuclidul inițial se transformă astfel într-un nuclid cu numărul de masă cu patru unități mai ușor și cu numărul atomic mai mic cu două unități (de ex. <sup>238</sup>U α <sup>234</sup>Th). Dezintegrarea α apare în special la nucleele atomice grele existente în natură (situate după bismut).

Parcursul particulelor aflat într-un mediu și deci și energia lor este constantă pentru un anumit nuclid. În funcție de energia particulelor, parcursul în aer al acestora este de pînă la circa 12 cm. Particulele alfa sînt absorbite chiar de hirtia subțire.

*Dezintegrarea β<sup>-</sup>*. O dezintegrare β<sup>-</sup> apare în cazul în care numărul neutronilor din nucleul inițial este mai mare decît cel corespunzător configurației stabile. La dezintegrarea β<sup>-</sup> un neutron al nucleului se transformă într-un proton și un electron, acesta din urmă părăsind nucleul ca radiație β. În acest caz, nuclidul inițial trece în nuclidul izobar cu următorul număr atomic mai mare. În același timp cu pierderea electronului, nucleul emite și un neutrino, care preia o parte variabilă din energia de dezintegrare; radiațiile β nu sînt deci monoenergetice, ci prezintă un spectru de energii continuu. Pentru radiațiile β cu o energie *E* (în MeV) parcursul măsurat în gram materie pe cm<sup>2</sup> secțiune de fascicul, este<sup>2)</sup>

$$\begin{aligned} 0,542 E - 0,133 & \text{ pentru } E > 0,8 \text{ MeV,} \\ 0,407 E^{1,38} & \text{ pentru } 0,15 \text{ MeV} < E < 0,8 \text{ MeV,} \\ \frac{2}{3} E^{5/3} & \text{ pentru } 0,05 \text{ MeV} < E < 0,15 \text{ MeV.} \end{aligned}$$

<sup>1)</sup> Semnul \* indică elementele radionuclide.

<sup>2)</sup> Landolt-Börnstein, vol. I, partea 5 (Nuclee atomice); Berlin — Göttingen — Heidelberg, editura Springer 1952.

Parcursul pentru diferitele substanțe, în centimetri, se poate obține împărțind aceste valori cu densitatea respectivă în g/cm<sup>3</sup> (fig. 2.1).

Dezintegrarea  $\beta^+$  este însoțită de emiterea unui pozitron; nucleul inițial trece în nucleul izobar cu următorul număr atomic mai mic (cel mai apropiat). Dezintegrarea  $\beta^+$

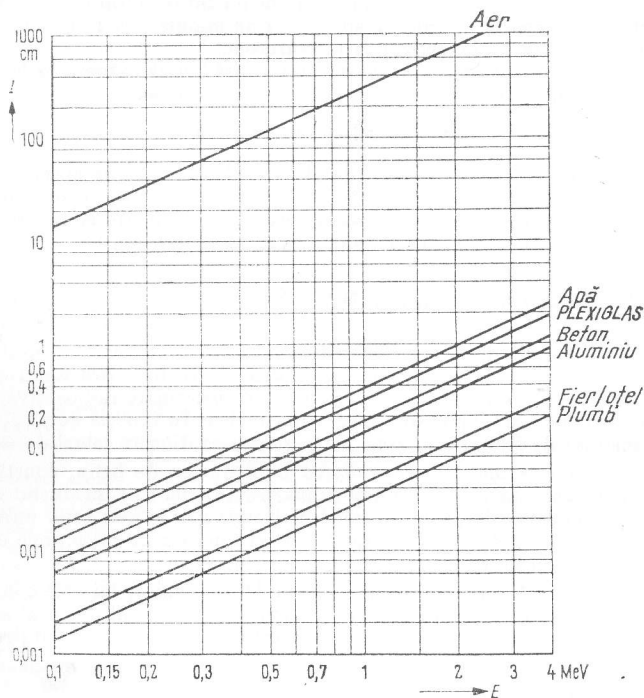


Fig. 2.1. Parcursul electronilor în diferite materiale, în funcție de energie.

are loc la nucleele care prezintă o lipsă de neutroni. Pozitronul emis se transformă la întâlnirea cu un electron, împreună cu acesta, în două cuante  $\gamma$  cu o energie de câte 0,51 MeV fiecare (radiație de anihilare).

Radiația  $\gamma$  este emisă la trecerea unui nucleu de la un nivel de energie mai mare la unul mai mic; energia cuantei corespunde diferenței de energie dintre cele două nivele. Radiația  $\gamma$  apare adesea o dată cu dezintegrarea  $\beta^-$ , deoarece aceasta din urmă nu conduce în general la o stare stabilă a nucleului final, ci la o stare de mare energie, așa-numită stare de excitație. Radiațiile  $\gamma$  cu energii mai mari de 1,02 MeV pot pierde energie prin producere de perechi („crearea” unui electron și a unui pozitron).

Captura-K: La acest gen de transformare nucleul captează un electron din pătura anterioară a învelișului de electroni (pătura K); la deplasarea electronilor externi pentru a ocupa locul rămas liber se emite radiația Roentgen (radiația K) caracteristică elementului respectiv. Captura K apare ca și dezintegrarea  $\beta^+$  la nucleizii cu lipsă de neutron

conducând, ca și dezintegrarea  $\beta^+$  la nucleul izobar cu următorul (cel mai apropiat) număr atomic mai mic.

Tranziție izomeră: v. nucleizi izomeri.

Fisiune spontană. La o serie de nuclee grele din domeniul elementelor transuraniene, pe lângă dezintegrarea  $\alpha$  se observă și fracțiunea nucleelor în fragmente mari.

Radiație neutronică. În cazuri foarte rare, un surplus de neutroni poate conduce în mod direct la emisia unui neutron.

### 2.2.3. Legile dezintegrării radioactive

$$N(t) = N(0) e^{-\lambda t}$$

unde:  $N(0)$  este numărul atomilor existenți într-un radionuclid la momentul  $t = 0$ ;

$N(t)$  — numărul de atomi ai radionuclidului după timpul  $t$ ;

$\lambda$  — constanta de dezintegrare a radionuclidului (fracțiunea atomului dezintegrat într-o unitate de timp aleasă suficient de mică).

Timpul de înjumătățire este timpul în care se dezintegrează jumătate din atomii radioactivi ai unui radionuclid

$$T_{\frac{1}{2}} = 0,693 \lambda^{-1}$$

Activitatea unui radionuclid este

$$A(t) = \lambda N(t) = \lambda N(0) e^{-\lambda t} = A(0) e^{-\lambda t}.$$

Pentru activitatea reziduală  $A$  după timpul  $t$  este deci valabilă aceeași lege ca și pentru restul de atomi radioactivi;  $\lambda$  are aceeași dimensiune ca și  $t^{-1}$ . În continuare este dată o regulă empirică pentru aprecierea aproximativă a vitezei de dezintegrare, respectiv a activității unui nuclid dat, cu activitatea inițială cunoscută:

- după 3 timpi de înjumătățire mai rămâne numai circa 10%;
- după 6 timpi de înjumătățire mai rămâne numai circa 1%;
- după 10 timpi, de înjumătățire mai rămân numai circa 0,1% din activitatea inițială.

Unitatea de activitate este curie-ul (Ci).

1 Ci  $\approx 3,700 \cdot 10^{10}$  dezintegrări pe secundă.

În fig. 2.2 se prezintă o nomogramă de determinare a radioactivității reziduale  $100 N(t)/N(0)$  respectiv  $100 \cdot A(t)/A(0)$ .

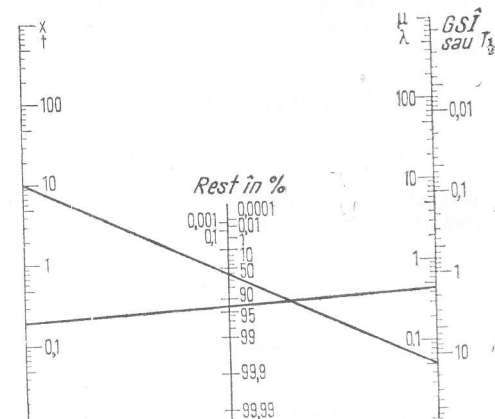


Fig. 2.2. Nomograma pentru determinarea restului de atomi radioactivi și a radiației reziduale în spatele unui ecran. Unitățile de timp și de lungime trebuie alese egale la ambele scări de timp. Prin grosimea stratului de înjumătățire se înțelege grosimea unui corp absorbant, necesară pentru a reduce la jumătate debitul dozei la un fascicul de radiație:  $x$ —grosimea ecranului;  $t$ —timpul de descreștere;  $\mu$ —coeficientul de atenuare;  $\lambda$ —constantă de dezintegrare;  $T_{\frac{1}{2}}$ —timpul de înjumătățire;  $GSI$ —grosimea stratului de înjumătățire a ecranului.

Exemplu: Timpul de înjumătățire  $T_{\frac{1}{2}}$  a radiului este de circa 1600 ani. După un timp de descreștere

$t = 200$  ani cantitatea de radium existentă încă este de 92%. Ca unitate de timp s-au ales  $10^8$  ani. În tabelul 2.5 sunt dați timpii de înjumătățire și constantele de dezintegrare ale citorva radionuclizi importanți.

Tabelul 2.5. Timpii de înjumătățire și constantele de dezintegrare

Elementul	Izotopul	Timp de înjumătățire $T_{\frac{1}{2}}$	Constanta de dezintegrare $\lambda$	Emisiune specifică de radiații $\gamma$ $\frac{Rm^2}{h \text{ Ci}}$
Argon .....	$^{41}\text{Ar}$	1,83 h	0,378 $\text{h}^{-1}$	0,66
Cesiu .....	$^{137}\text{Cs}$	30 a	$2,3 \cdot 10^{-2} \text{ a}^{-1}$	0,36
Carbon .....	$^{14}\text{C}$	$5,5 \cdot 10^3$ a	$1,3 \cdot 10^{-4} \text{ a}^{-1}$	—
Cripton .....	$^{85}\text{Kr}$	10 a	0,069 $\text{a}^{-1}$	$2,1 \cdot 10^{-3}$
Crom .....	$^{51}\text{Cr}$	28 d	$2,5 \cdot 10^{-2} \text{ d}^{-1}$	0,018
Cobalt .....	$^{60}\text{Co}$	5,2 a	0,13 $\text{a}^{-1}$	1,3
Hidrogen (tritiu) .....	$^3\text{H}$	12,3 a	0,056 $\text{a}^{-1}$	—
Iod .....	$^{131}\text{I}$	8,1 d	0,086 $\text{d}^{-1}$	0,23
Iridiu .....	$^{192}\text{Ir}$	74 d	$9,3 \cdot 10^{-3} \text{ d}^{-1}$	0,55
Mangan .....	$^{56}\text{Mn}$	2,58 h	0,269 $\text{h}^{-1}$	0,84
Radiu .....	$^{226}\text{Ra}$	$1,62 \cdot 10^3$ a	$4,27 \cdot 10^{-4} \text{ a}^{-1}$	0,93
Stronțiu .....	$^{90}\text{Sr}$	28 a	$2,5 \cdot 10^{-2} \text{ a}^{-1}$	—
Uranu .....	$^{238}\text{U}$	$4,5 \cdot 10^9$ a	$1,5 \cdot 10^{-10} \text{ a}^{-1}$	$9,1 \cdot 10^{-3}$
Uranu .....	$^{235}\text{U}$	$7,1 \cdot 10^8$ a	$9,8 \cdot 10^{-10} \text{ a}^{-1}$	$9,0 \cdot 10^{-2}$
Xenon .....	$^{135}\text{Xe}$	5,3 d	0,13 $\text{d}^{-1}$	$1,4 \cdot 10^{-3}$

## 2.2.4. Radioactivitatea naturală

Nuclizii radioactivi existenți în natură se pot împărți în două grupe:

a) Nuclizi care datorită timpului lor lung de înjumătățire de peste  $10^8$  ani au rezistat timpului de la formarea elementelor și pînă în zilele noastre. Cîțiva nuclizi importanți din această grupă sunt dați în tabelul 2.6.

Tabelul 2.6. Cîțiva radionuclizi naturali

Radionuclidul	Timpul de înjumătățire	Felul dezintegrării	Activitatea specifică <sup>1)</sup> Ci/g de element <sup>2)</sup>
Plumb 204 .....	$1,4 \cdot 10^{17}$	$\alpha$	$1,8 \cdot 10^{-16}$
Potasiu 40 .....	$1,3 \cdot 10^9$	$\beta^-, \text{K}, \gamma$	$8,1 \cdot 10^{-19}$
Radiu 226 .....	$1,62 \cdot 10^3$	$\alpha, \gamma$	1
Rubidiu 87 .....	$4,7 \cdot 10^{10}$	$\beta^-$	$2,5 \cdot 10^{-8}$
Samariu 147 .....	$1,2 \cdot 10^{11}$	$\alpha$	$3,0 \cdot 10^{-9}$
Toriu 232 .....	$1,4 \cdot 10^{10}$	$\alpha, \gamma$	$1,1 \cdot 10^{-7}$
Uranu 235 .....	$7,1 \cdot 10^8$	$\alpha, \gamma$	$1,5 \cdot 10^{-8}$
Uranu 238 .....	$4,5 \cdot 10^9$	$\alpha, \gamma$	$3,3 \cdot 10^{-7}$

<sup>1)</sup> Fără substanțe intermediare.

<sup>2)</sup> Amestec natural de izotopi.

La dezintegrarea izotopilor de uraniu și toriu — în contrast cu celalți nuclizi amintiți — nu se formează nuclee stabile, ci substanțe intermediare, care la rîndul lor sînt și ele radioactive. Acestea se stabilizează printr-o serie de dezintegrări  $\alpha$  și  $\beta^-$ , pînă ce se formează izotopi de plumb ca produse finale stabile. Fiecare din cei trei nuclizi amintiți (uraniu — 235, uraniu — 238, toriu — 232) formează o serie proprie de dezintegrare; unul din cei mai cunoscuți produși de dezintegrare îl constituie radiu<sup>1</sup> — 226 (timp de înjumătățire 1620 ani) care se formează la seria de dezintegrare a  $^{238}\text{U}$ . Nivelul activității produselor intermediare se determină prin producerea din substanța de bază și dezintegrarea proprie și se definește printr-un așa numit *echilibru de dezintegrare*.

b) Nuclizi care se produc continuu din reacțiile nucleare din natură. Cele mai importante exemple pentru aceasta sînt radionuclizi tritiu și carbon (hidrogen greu și carbon cu numărul de masă 3 și 14), formați sub acțiunea radiațiilor cosmice în straturile superioare ale atmosferei.

## 2.2.5. Radioactivitatea artificială

Din majoritatea nuclizilor stabili se pot produce prin reacții nucleare nuclizi cu radioactivitate artificială; ca agent de activare în acest proces pot servi particule (neutroni, protoni etc.) precum și — în cazuri rare — radiațiile  $\gamma$  de mare energie. Ca măsură a probabilității ca să apară o astfel de reacție — sau în general o interacțiune între corpuscul sau foton și substanță — servește secțiunea eficace. În funcție de felul interacțiunii se deosebesc secțiuni de dispersie, secțiuni de absorbție, secțiuni eficace totale etc.

Secțiunea eficace *microscopică*  $\sigma$  (în  $\text{cm}^2$ ) se poate reprezenta ca o suprafață de întîlnire față de radiație a unei singure particule și depinde atît de proprietățile particulei și ale nucleului ciocnit, cît și de energia radiației. Ca unitate a secțiunii eficace *microscopice*  $\sigma$  se folosește adesea barn-ul (b);  $1\text{b} = 10^{-24} \text{ cm}^2$ . Secțiunea eficace *macroscopică*  $\Sigma$  (în  $\text{cm}^{-1}$ ) este produsul dintre secțiunea eficace microscopică ( $\text{cm}^2$ ) și numărul nucleelor cuprinse într-un  $\text{cm}^3$  din suprafața supusă iradierii.  $\Sigma \Delta x$  este fracțiunea de corpusculi sau de fotoni, care la străpungerea unui strat subțire de grosime  $\Delta x$  intră în interacțiune cu nucleele acestuia.

În cazul practic cel mai important de producere a radionuclizilor artificiali prin iradiere cu neutroni, activitatea specifică rezultată, pentru un timp de iradiere  $t$ , este dată de următoarea relație

$$A = \frac{\Phi \sigma \cdot 10^{-24} N_A G H}{P 3,7 \cdot 10^{10} \cdot 10^2} (1 - e^{-\lambda t}),$$

în care:  $A$  este activitatea rezultată la sfîrșitul iradiației, în Ci/g;

$\Phi$  — densitatea fluxului de neutroni, în  $\text{cm}^{-2} \cdot \text{s}^{-1}$ ;

$\sigma$  — secțiunea eficace pentru reacția nucleară respectivă, în barni;

$N_A$  — numărul lui Avogadro ( $6,0 \cdot 10^{23}$ );

$G$  — greutatea elementului folosit în reacția nucleară;

$P$  — masa atomică relativă a elementului;

$H$  — frecvența relativă a nuclidului activabil în amestecul de izotopi al elementului respectiv.

Din expresia cuprinsă între paranteze reiese că activitatea rezultată nu crește liniar cu timpul de iradiere  $t$ . În tabelul 2.7 sînt date, pentru unele elemente, cei mai importanți radionuclizi formați în câmpul de neutroni cu valorile  $\sigma$ ,  $H$  și  $T$ , precum și activitatea specifică maximă posibilă care poate fi atinsă pentru un gram al elementului inițial, la o densitate a fluxului de neutroni de  $1 \cdot 10^{13} \text{ cm}^{-2} \cdot \text{s}^{-1}$ .

Tabelul 2.7. Activarea unor elemente prin neutroni

Element inițial	Reacția nucleară	$\sigma$ barni	$H$ %	$T$ $\frac{1}{2}$	Activitatea maximă posibilă spe- cifică Ci/g
Antimoniu	$^{121}\text{Sb}(n, \gamma)^{122}\text{Sb}$	6,8	57,3	2,8 zile	5,2
	$^{123}\text{Sb}(n, \gamma)^{124}\text{Sb}$	25	42,7	60 zile	1,4
Argint	$^{107}\text{Ag}(n, \gamma)^{108}\text{Ag}$	45	51,4	2,3 min	35
	$^{109}\text{Ag}(n, \gamma)^{110m}\text{Ag}$	3,2	48,6	253 zile	2,3
Crom	$^{50}\text{Cr}(n, \gamma)^{51}\text{Cr}$	15,9	4,3	27,8 zile	2,2
	$^{54}\text{Cr}(n, \gamma)^{55}\text{Cr}$	0,38	2,4	3,6 min	0,027
Cobalt	$^{59}\text{Co}(n, \gamma)^{60}\text{Co}$	16	100	10,5 min	44
	$^{59}\text{Co}(n, \gamma)^{60}\text{Co}$	20	100	5,2 ani	47
Cupru	$^{63}\text{Cu}(n, \gamma)^{64}\text{Cu}$	4,51	69,1	12,8 h	8,0
Pier	$^{54}\text{Fe}(n, \gamma)^{55}\text{Fe}$	2,8	5,8	2,6 ani	0,49
	$^{54}\text{Fe}(n, \gamma)^{55}\text{Fe}$	1,0	0,33	45 zile	0,0092
Mangan	$^{55}\text{Mn}(n, \gamma)^{56}\text{Mn}$	13,3	100	2,58 h	39
Nichel	$^{62}\text{Ni}(n, \gamma)^{63}\text{Ni}$	15	3,7	120 ani	0,57
	$^{64}\text{Ni}(n, \gamma)^{65}\text{Ni}$	1,5	1,1	2,56 h	0,044
Sodiu	$^{23}\text{Na}(n, \gamma)^{24}\text{Na}$	0,53	100	15,4 h	3,7

## 2.2.6. Protecția contra radiațiilor

Radiația substanțelor radioactive, ca și radiația Roentgen, este dăunătoare sănătății. Din această cauză la folosirea substanțelor radioactive trebuie luate măsuri de protecție. În cele ce urmează se va vorbi despre felul și gravitatea pericolului, precum și despre eficacitatea dispozitivelor de protecție.

*Doza de energie* este energia absorbită de la câmpul de radiație ionizantă în unitatea de masă a corpului iradiat. Unitatea dozei de energie este rad-ul (rd).

$$1 \text{ rd} = 10^{-2} \text{ J/kg} = 100 \text{ erg/g.}$$

Energia de radiație ionizantă necesară pentru formarea unei perechi de ioni este pentru aer și țesuturi de 31 pînă la 35 eV ( $1 \text{ eV} = 1,60 \cdot 10^{-12} \text{ erg}$ ).

**Doza de ioni și doza standard de ioni**

La producerea unei sarcini electrice într-un volum de aer

doza de ioni

doza standard de ioni

a unei

radiații ionizante

radiații Roentgen sau gama

este raportul dintre sarcina electrică a ionilor de același semn și masa volumului de aer

fără echilibrul electronilor

în cazul echilibrului electronilor

Echilibrul electronilor se obține dacă pentru fiecare electron cu energie  $E$ , care pătrunde din volumul de aer al camerei de măsurare în pereții ei, un electron cu aceeași energie va trece din pereți în volumul de aer.

Unitatea dozei de ioni și a dozei de ioni standard este roentgenul, R

$$1\text{R} = 2,58 \cdot 10^{-4} \text{ As/kg de aer}$$

$$1\text{R} \approx 87,7 \text{ erg/g de aer}$$

$$1\text{R} = \frac{1 \text{ unitate electrostatică de sarcină electrică}}{\text{cm}^3 \text{ de aer (în condiții normale)}}$$

$$1\text{R} = 2,08 \cdot 10^9 \frac{\text{perechi purtătoare de sarcini}}{\text{cm}^3 \text{ de aer (în condiții normale)}}$$

*Doza biologică echivalentă.* Efectul biologic al radiației depinde nu numai de numărul ionilor formați în țesut prin radiație, ci și de distribuția lor în țesut. Radiațiile  $\alpha$ , care la pătrunderea prin substanță dau naștere unei succesiuni dense de ioni, sînt deci mai eficace decît radiațiile  $\beta$  sau  $\gamma$ . Factorul care indică de cîte ori trebuie să fie mai mare doza de energie de radiații Roentgen pentru a produce același efect biologic ca alte tipuri de radiații (de ex. radiații  $\alpha$ ,  $\beta$  neutroni) se numește factor EBR (eficiență biologică relativă). Factorul EBR indică deci eficiența unui fel de radiație:

Tabelul 2.8. Factorii EBR

Felul radiației	Factorul EBR <sup>1)</sup>	Felul radiației	Factorul EBR <sup>1)</sup>
Radiații Roentgen (X)		Neutroni (termici)	3
0,1 pînă la 100 MeV	1	Neutroni 0,02 MeV	5
Radiații $\gamma$	1	Neutroni 0,1 MeV	8
Fascicul de 0,1 la 100 MeV	1	Neutroni 0,5 MeV	10
Protoni pînă la 10 MeV	10	Neutroni 1 MeV	10,5
Nuclee de recul grele	20	Neutroni 5 MeV	7
Radiații $\alpha$	20	Neutroni 10 MeV	6,5

<sup>1)</sup> U.S. Department of Commerce, National Bureau of Standards Handbook 63, 1957.

în comparație cu radiațiile Roentgen sau radiații  $\gamma$  de 200 eV. Factorii EBR depind nu numai de tipul radiației, ci și de tipul organismului sau organului iradiat. În tabelul 2.8 se dau valorile estimative ale factorilor EBR.

Doza biologică echivalentă se indică în „rem” (rad echivalent man),  $\text{rem} = \text{EBR rd}$ . Rem-ul este doza de energie (în rd) de radiații  $\gamma$  care produce în țesutul omenesc același efect biologic ca și o doză de  $1/\text{EBR rd}$  a unui alt fel de radiație. Doza indicată în rem este deci o doză biologică echivalentă.



Debitul dozei (sau doza debit) este doza absorbită în unitatea de timp. Unitatea pentru debitul dozei de energie este  $\text{rd/s} = 10^{-2} \text{ W/kg} = 100 \text{ erg/(g.s)}$ , iar pentru debitul dozei biologice este  $\text{rem/s}$ .

Ca unitate de timp se folosesc adesea și ora (h) și anul (a) rezultând pentru mărimile de mai sus unitățile  $\text{rd/h}$ ,  $\text{rd/a}$ , respectiv  $\text{rem/h}$ ,  $\text{rem/a}$ .

### Calculul debitului dozei pentru radiații $\beta$

Debitul dozei de radiație  $d$  (în  $\text{rd/s}$ ) într-un strat este

$$d = 1,6 \cdot 10^{-8} J \frac{1}{\rho} \frac{dE}{dx},$$

unde:  $\frac{dE}{dx}$  este capacitatea de frinare a absorbantului pentru electroni de energie  $E$ ,

în  $\text{MeV/cm}$  (v. tab. 2.9);

$\rho$  — densitatea absorbantului, în  $\text{g/cm}^3$ ;

$\frac{1}{\rho} \frac{dE}{dx}$  — capacitatea de frinare de masă, în  $\text{MeV cm}^2/\text{g}$ ;

$J$  — densitatea fluxului de electroni, în  $\text{cm}^{-2} \cdot \text{s}^{-1}$ .

Tabelul 2.9. Valori ale capacității de frinare pentru țesuturi ( $\rho = 1 \text{ g/cm}^3$ )

Energia electronilor, keV	1	2	4	10	20	40	100	200	500
Capacitate de frinare, MeV/mm	12,3	7,7	4,6	2,3	1,34	0,78	0,417	0,284	0,205

Deoarece capacitatea de frinare este dependentă de energie și numai o mică parte din electronii emiși posedă energie maximă  $E$ , ecuația de mai sus se poate folosi numai la aprecieri aproximative ale debitului dozei de radiație a unei surse de radiații  $\beta$ .

Pentru orientare, în ce privește ordinul de mărime al debitului dozei, amintim că la o distanță de 10 cm de la o sursă de radiații  $\beta$  neecranată, având o intensitate de  $1 \text{ mCi}$  (energie 0,2 MeV) debitul dozei este de 5  $\text{rd/h}$ .

### Măsurarea dozei de radiație și a debitului dozei pentru radiații $\beta$

Se folosesc camere de ionizare și detectoare proporționale, care trebuie prevăzute cu ferestre sau pereți foarte subțiri. La măsurarea intensităților mici de radiație o importanță tot mai mare revine detectorului cu scintilație.

Doza de radiație se măsoară cu aparate integratoare de măsurare; ea poate fi determinată și cu dozimetre fotografice (fotodozimetre) (pentru stabilirea intensității de iradiere a persoanelor).

### Calculul debitului dozei pentru radiații Roentgen și $\gamma$

Debitul dozei energetice  $\dot{D}$  (în  $\text{rd/s}$ ) în obiectul iradiat este

$$\dot{D} = 1,60 \cdot 10^{-8} \frac{1}{\rho} E J \mu,$$

unde:  $E$  este energia fotonilor, în  $\text{MeV}$ ;

$J$  — densitatea fluxului, de fotoni, în  $\text{cm}^{-2} \cdot \text{s}^{-1}$ ;

$\rho$  — densitatea, în  $\text{g/cm}^3$ ;

$\mu$  — coeficientul liniar de absorbție de energie pentru substanța iradiată, în  $\text{cm}^{-1}$  (v. fig. 2.6, 2.7, 2.8).

Debitul dozei biologice echivalente, în  $\text{rem/s}$ , se poate calcula cu aceeași formulă ca pentru radiații  $\gamma$  și Roentgen din cauză că  $\text{EBR} = 1$ . Pentru  $\rho$  și  $\mu$  se vor introduce apoi valorile pentru țesuturi (mușchi).

Debitul dozei de ioni, în  $\text{mR/h}$ , este

$$\dot{D} = 6,58 \cdot 10^{-2} \frac{1}{\rho_{\text{aer}}} E J \mu_{\text{aer}},$$

unde:  $\mu_{\text{aer}}$  este coeficientul liniar de absorbție de energie pentru aer, în  $\text{cm}^{-1}$ ;

$\rho_{\text{aer}}$  — densitatea aerului, în  $\text{g/cm}^3$ .

Legătura dintre debitul dozei biologice echivalente și debitul dozei măsurate în  $\text{mR/h}$ .

$$\dot{D} [\text{m rem/h}] = 0,877 \frac{\rho_{\text{aer}} \mu_{\text{țesut}}}{\rho_{\text{țesut}} \mu_{\text{aer}}} \dot{D} (\text{mR/h}) = f \dot{D} [\text{mR/h}].$$

În domeniul de energie între 0,1 și 3 MeV factorul  $f$  este aproape egal cu unitatea, așa încât pentru radiații gama doza biologică echivalentă se poate considera egală cu doza măsurată în roentgeni.

Debitul dozei biologice echivalente  $\dot{D}$  (în  $\text{m rem/h}$ ) pentru o sursă punctiformă de radiație  $\gamma$  dacă la fiecare dezintegrare se emit mai mulți fotoni, este

$$\dot{D} = 4,57 \cdot 10^{-5} \frac{1}{\rho r^2} A A_1 \sum (E \mu_{\text{țesut}}) e^{-\mu_{\text{aer}} r},$$

unde:  $A$  este activitatea, în dezintegrări/s;

$A_1$  — factorul de acumulare al dozei;

$p$  — probabilitatea de emisie, în %, a unui foton de energie  $E$ , în  $\text{MeV}$ ;

$r$  — distanța în aer a țesutului iradiat de la sursa punctiformă, în  $\text{cm}$ ;

$\rho$  — densitatea țesutului, în  $\text{g/cm}^3$ ;

$\mu_{\text{țesut}}$  — coeficientul de absorbție liniar de energie al țesutului, în  $\text{cm}^{-1}$ ;

$\mu_{\text{aer}}$  — coeficientul liniar de atenuare pentru aer, în  $\text{cm}^{-1}$ .

Fig. 2.3 arată dependența debitului dozei biologice echivalente de distanța unei surse de radiație cu o intensitate de 1  $\text{mCi}$  în aer, care emite la fiecare dezintegrare 1 foton. La distanțe mici (laboratoare), absorbția radiației în aer poate fi neglijată, iar factorul de acumulare al dozei se poate considera ca fiind  $A_1 = 1$ . Pentru o orientare rapidă asupra ordinului de mărime al sarcinii de radiație create printr-o sursă radioactivă punctiformă se poate considera că 1  $\text{mCi}$  al unei surse de radiații  $\gamma$  (energia fotonului 2 MeV) produce la o distanță de 1 m un debit al dozei biologice de 1  $\text{mrem/h}$ .

Din fig. 2.4 se poate afla debitul dozei biologice echivalente care rezultă de la o sursă radioactivă de 1 Ci cu o energie de 0,5 sau 2 MeV/dezintegrare

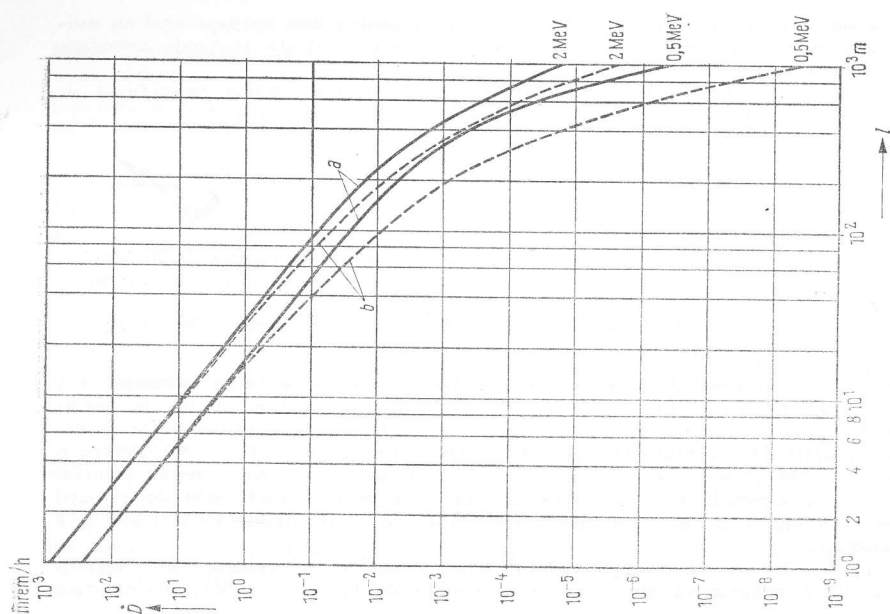


Fig. 2.3. Debitul dozei biologice echivalente  $\tilde{D}$  a unei surse de radiație punctiforme cu o intensitate de 1 Ci în funcție de distanța  $l$  în aer, pentru energiile de radiație de 0,5 și de 2 MeV/dezintegrare: a - cu luarea în considerare a factorului de acumulare în aer; b - fără luarea în considerare a factorului de acumulare în aer.

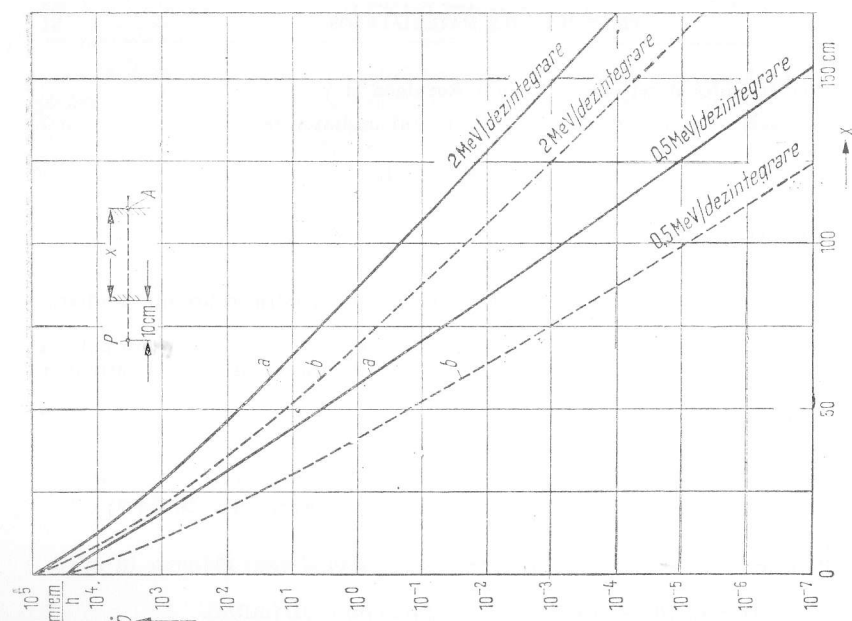


Fig. 2.4. Debitul dozei echivalente  $\tilde{D}$  a unei surse punctiforme  $P$  (de radiații  $\gamma$ ) de 1 Ci la o distanță de 10 cm în fața unui perete de beton ( $\rho = 2,3 \text{ g/cm}^3$ ) cu grosimea  $x$  și punct de captare  $A$ .

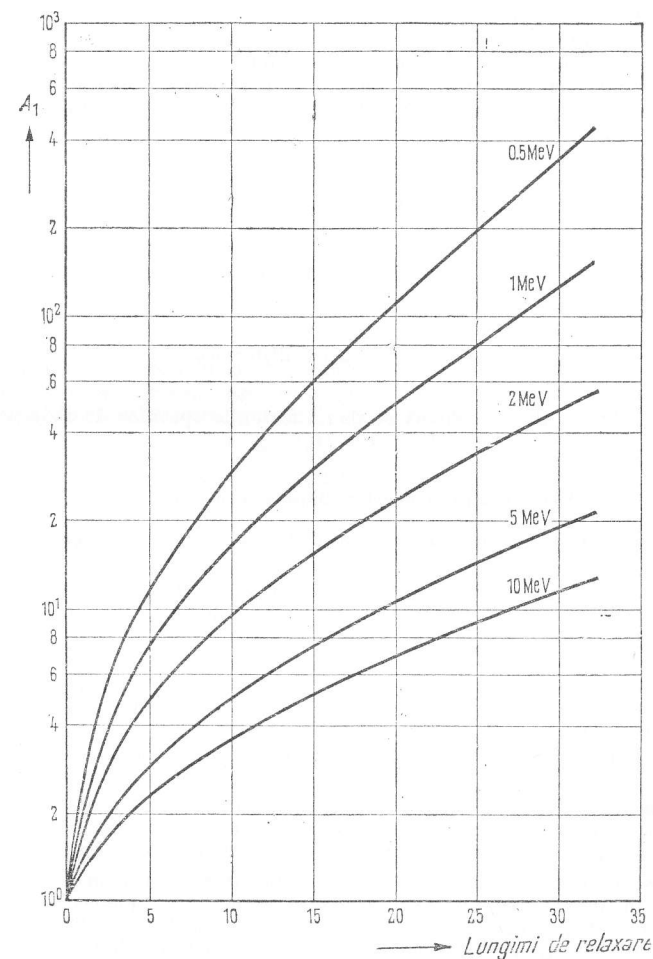


Fig. 2.5. Factorul de acumulare al dozei  $A_1$  pentru beton (densitatea  $2,3 \text{ g/cm}^3$ ) pentru o sursă punctiformă.

situată la 10 cm înaintea unui perete de beton ( $\rho = 2,35 \text{ g/cm}^3$ ), într-un punct aflat imediat în spatele peretelui. Factorii de acumulare ai dozei pentru beton sînt indicați în fig. 2.5 pentru fotoni de diferite energii, în funcție de grosimea peretelui de beton (în lungimi de relaxare). Unitatea lungimii de relaxare este  $1/\mu$ , în cm.

Debitul dozei de ioni  $\dot{D}$ , în R/h, printr-o sursă de radiații  $\gamma$  considerată punctiformă, este:

$$\dot{D} = 1,5 \frac{1}{r^2} A A_1 \sum (E p \mu_a) e^{-\mu_a r},$$

unde:  $A$  este activitatea, în Ci;

$A_1$  — factorul de acumulare al dozei;

$p$  — probabilitatea de emisie, în %, a unui foton de energie  $E$ , în MeV;

$\mu_a$  — coeficientul liniar de atenuare pentru aer, în  $m^{-1}$ ;

$r$  — grosimea stratului de aer dintre sursa de radiație și punctul de captare, în m.

Pentru prescurtare se scrie adesea

$$\dot{D} = I_\gamma \frac{1}{r^2} A A_1 e^{-\mu_a r},$$

unde  $I_\gamma$  este emisiunea specifică de radiații, reprezentând debitul dozei de ioni a unei surse cu intensitatea de 1 Ci la o distanță de 1 m,

$$I_\gamma = 1,5 \sum E p \mu_a [R \cdot m^2/h \cdot Ci],$$

În tabelul 2.5, în ultima coloană se dau emisiunile specifice de radiații  $\gamma$  pentru unii nuclizi.

#### Măsurarea dozei și a debitului dozei radiațiilor Roentgen și $\gamma^1$

Pentru măsurarea debitului dozei și a dozei se folosesc în mod curent următoarele aparate de măsurat:

*Camerele de ionizare standard* fiind incomode se folosesc numai pentru etalonări. Condițiile de echilibru electronic se pot realiza ușor până la o energie a fotonilor de 0,5 MeV. Pentru radiații până la 3 MeV camerele se pot așeza în recipiente care conțin aer sub o presiune de 10... 15 at.

*Camere perete.* Pereții constau dintr-un material echivalent cu aerul, adică dintr-un material al cărui număr atomic efectiv este același ca și pentru aer. Pentru măsurarea debitului dozei în țesuturi se folosesc camere ai căror pereți sînt echivalenți cu țesuturile. De asemenea și gazul de umplere trebuie să fie în acest caz echivalent cu țesuturile.

*Detectoarele proporționale* funcționează cu gaz sub presiune; necesită însă o stabilizare mai bună a tensiunii de lucru în comparație cu camerele de ionizare. Impulsul de curent este proporțional cu energia fotonului care amorsează ionizarea.

*Detectoarele Geiger-Müller* se pot folosi în practică pentru măsurarea debitului dozei numai în anumite condiții. Impulsul de curent este independent de energia unui foton absorbit de volumul de măsurat. Prin natura sa detectorul Geiger-Müller este un aparat care poate fi folosit numai pentru detectarea radiațiilor.

<sup>1)</sup> Riezler and Walcher: Kerntechnik, Stuttgart; Teubner 1958. Kiefer-Maushart: Strahlenschutz-messtechnik, Karlsruhe, Braun 1964.

*Detectoare cu scintilație.* Din cauza timpului mort redus detectorul cu scintilație se folosește pentru măsurarea intensităților mari de radiație. Datorită raportului bun între semnal și zgomotul de fond, detectorul este indicat pentru transmiterea impulsurilor prin conducte cu o lungime până la circa 100 m la un aparat indicator.

Doza de ionizare se determină cu aparate de măsurat integratoare, dozimetre. Foarte răspindite sînt camerele de ionizare care se bazează pe descărcarea prin ionizare, precum și fotodozimetrele.

#### Ecranare

Densitatea fluxului de fotoni  $J$  într-un fascicul îngust în spatele unui ecran gros de  $x$  cm este  $J(x) = J(0) e^{-\mu x}$ ,

în care:  $\mu$  este coeficientul de atenuare liniar total, în  $cm^{-1}$ ;

$\Delta x \mu$  — probabilitatea absorbției sau a dispersiei unui foton într-un strat gros de  $\Delta x$  cm al corpului iradiat.

Radiația este atenuată prin fotoabsorbție, prin dispersia Compton (dispersia fotonului însoțită de emisie de energie) și prin formarea de perechi. Astfel, coeficientul de atenuare  $\mu$  poate fi scris sub forma

$$\mu = \tau + \sigma + \kappa, \quad (m)$$

unde atenuarea Compton este constituită dintr-o fracțiune de absorbție  $\sigma_A$  și o fracțiune de dispersie  $\sigma_D$ ;  $\mu - \sigma_D$  este coeficientul liniar de absorbție al energiei. Valorile numerice  $\tau$ ,  $\sigma$  și  $\kappa$  depind de materialul și de energia (lungimea de undă) a fotonilor incidenți. Pentru unele materiale ele sînt cuprinse în fig. 2.6, 2.7 și 2.8; pentru alte elemente ele se pot calcula din următoarele ecuații:<sup>1)</sup>

$$\tau = \tau_{pb} \cdot 4,04 \cdot 10^{-7} \rho Z^4 A^{-1};$$

$$\sigma = \sigma_{pb} \cdot 0,223 \rho Z A^{-1};$$

$$\kappa = \kappa_{pb} \cdot 2,72 \cdot 10^{-3} \rho Z^2 A^{-1},$$

în care:  $\tau$  este coeficientul de fotoabsorbție, în  $cm^{-1}$ ;

$\sigma$  — coeficientul de atenuare Compton, în  $cm^{-1}$ ;

$\kappa$  — coeficientul de formare a perechilor, în  $cm^{-1}$ ;

$\tau_{pb}$ ,  $\sigma_{pb}$ ,  $\kappa_{pb}$ ,  $\mu_{pb}$  — v. fig. 2.6;

$\rho$  — densitatea, în  $g/cm^3$ ;

$Z$  — numărul de sarcini ale nucleului;

$A$  — masa atomică relativă.

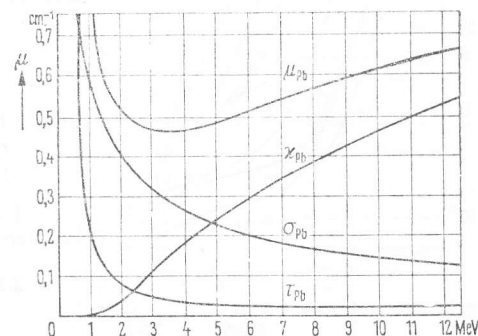
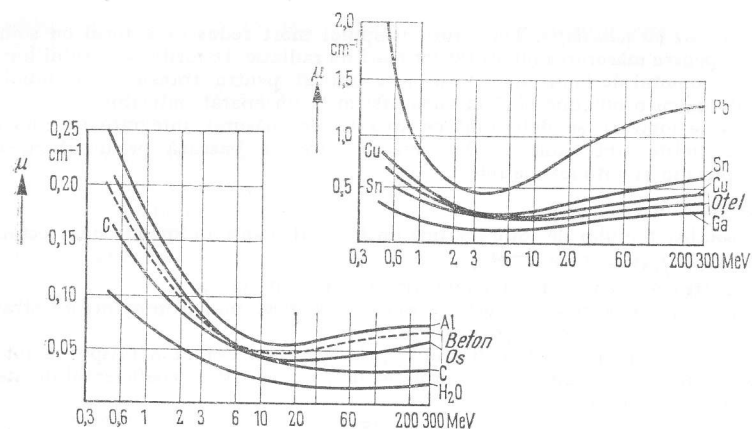


Fig. 2.6. Coeficientul de absorbție liniar pentru plumb:

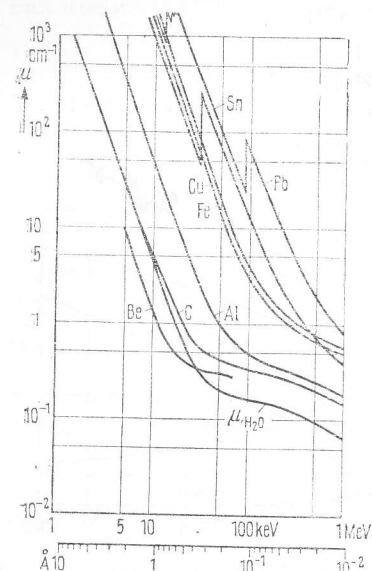
$\tau_{pb}$  — efectul foto;  $\sigma_{pb}$  — efectul Compton;

$\kappa_{pb}$  — efectul formării perechilor;  $\mu_{pb}$  — coeficientul total de atenuare.

<sup>1)</sup> Landolt-Börnstein, vol. I, partea V (Nuclei atomice), ed. Springer, Berlin — Göttingen — Heidelberg, 1952.

Fig. 2.7. Coeficienții liniari de atenuare în funcție de energia radiațiilor  $\gamma$ .

Nomograma din fig. 2.2 servește la determinarea rapidă a radiației reziduale în spatele unui ecran. În domeniul de energie al fotonilor, în care interacțiunea cu substanța apare mai ales datorită efectului Compton, atenuarea radiației depinde aproximativ numai de densitatea materialului.

Fig. 2.8. Coeficienții de atenuare ai diferitelor materiale în funcție de energia radiațiilor  $\gamma$ .

În cazul unui fascicul larg, o parte din radiația dispersată în ecran poate atinge, datorită fenomenului de dispersie, și punctele situate în spatele ecranului, așa încât densitatea fluxului de fotoni trebuie calculată cu ecuația  $J(x) = A_1 J(0) e^{-\mu x}$ . Factorul de acumulare  $A_1$  este supraunitar. Pentru aer, factorul de acumulare la o energie de radiație  $E$  între 0,5 și 2 MeV, se calculează din

$$A_1 = 1 + \mu r + \frac{(\mu r)^2}{7E^{2,4}},$$

unde:  $E$  este energia fotonilor, în MeV;  
 $r$  — grosimea stratului de aer, în cm;  
 $\mu$  — coeficientul liniar de atenuare, în  $\text{cm}^{-1}$ .

În general  $A_1$  nu se poate determina explicit. Pentru calculul lui  $J(x)$  există nomograma.

### 2.3 NOȚIUNI CHIMICE ȘI CONSTANTE FIZICE

Masa atomică relativă (scara fizică) este raportul dintre masa unui atom și a 12-a parte din masa izotopului de carbon  $^{12}\text{C}$ .

Masa moleculară relativă ( $M$ ): Suma maselor atomice ale tuturor atomilor care participă la structura moleculei.

Atom-gram: Cantitatea dintr-un element, avînd masa în grame, numeric egală cu masa atomică relativă. Un atom-gram conține un număr de atomi egal cu numărul lui Avogadro.

Moleculă-gram (mol): Masa moleculară a unui compus, exprimată în grame.

Echivalent-gram: Echivalentul-gram este definit ca atomul-gram sau molecula-gram pe valență.

Echivalentul electrochimic: Cantitatea de material separată electrolitic printr-un curent de 1 A în 1 s.

Volumul molar: Volumul unui mol al unei substanțe.

Pentru un gaz ideal, volumul molar la  $0^\circ\text{C}$  și 760 mm Hg este

$$V = 22,4 \cdot 10^3 \text{ cm}^3 \cdot \text{mol}^{-1}.$$

Tabelul 2.10. Constante fizice

Denumirea	Simbol	Valoare numerică	Unitatea
Accelerația gravitațională (valoarea normală) .....	$g_n$	9,80665	$\text{m/s}^2$
Constanta de gravitație .....	$G$	$6,670 \cdot 10^{-11}$	$\text{m}^2/(\text{kg s}^2)$
Constanta dielectrică în vid .....	$\epsilon_0$	$8,85419 \cdot 10^{-12}$	F/m
Constanta gazelor .....	$R$	8,3143	J/(grd mol)
Constanta lui Avogadro (numărul lui Loschmidt) .....	$N_A$	$6,02252 \cdot 10^{23}$	$\text{mol}^{-1}$
Constanta lui Boltzmann .....	$k$	$1,38054 \cdot 10^{-23}$	J/grd
Constanta lui Faraday pentru valența 1 .....	$F$	$9,64870 \cdot 10^4$	C/mol
Constanta lui Planck .....	$h$	$6,6256 \cdot 10^{-34}$	Js
Constanta lui Ștefan-Boltzmann .....	$\sigma$	$5,6697 \cdot 10^{-8}$	$\text{W}/(\text{m}^2 \text{K}^4)$
Echivalentul de energie al materiei ....	—	$5,6697 \cdot 10^{-8}$	$\text{erg}/(\text{cm}^2 \text{s K}^4)$
Energia unui electron, accelerat prin 1 V .....	—	$8,9876 \cdot 10^{16}$	J/kg
Impedanța caracteristică a vidului .....	$Z_0$	$1,6021 \cdot 10^{-19}$	J/(10 <sup>7</sup> erg = 1 J)
Lungimea de undă Compton a electronilor .....	$\lambda_C$	376,73	$\Omega$
Magnetonul lui Bohr .....	$\mu_B$	$2,42621 \cdot 10^{-18}$	$\text{m}(1\text{\AA} = 10^{-10}\text{m})$
Magnetonul nuclear .....	$\mu_N$	$9,2732 \cdot 10^{-24}$	J/T (= A m <sup>2</sup> )
Permeabilitatea vidului .....	$\mu_0$	$5,0505 \cdot 10^{-27}$	J/T
Pilă etalon Weston (tensiunea la 20°C) .....	$E_0$	$1,256637 \cdot 10^{-8}$	H/cm
Punct triplu pentru apă ( $\text{D}_2\text{O}$ ) .....	$T_{tr}$	1,0186	V
Raza electronului .....	$r_e$	276,98	$^\circ\text{C}$
Raza traiectoriei standard a unui electron H .....	$r$	$2,81777 \cdot 10^{-15}$	m
Sarcina electrică elementală .....	$e$	$5,29167 \cdot 10^{-11}$	m
Viteza luminii în vid .....	$c_0$	$1,60210 \cdot 10^{-19}$	C
Viteza unui electron cu o energie de 1eV .....	—	$4,80298 \cdot 10^{-10}$	unități electrostatice CGS
Viteza termică a electronului (25°C, 300 K) .....	—	$2,997925 \cdot 10^8$	m/s
Viteza termică a unui neutron (25°C, 300 K) .....	—	$5,94 \cdot 10^6$	m/s
Volumul unui mol ....	—	$1,17 \cdot 10^8$	m/s
		$2,74 \cdot 10^3$	m/s
		$2,2414 \cdot 10^4$	$\text{cm}^3/\text{mol}$

Numărul de molecule în  $1 \text{ cm}^3$  este în consecință:

$$N_L = L/V = 2,69 \cdot 10^{19} \text{ cm}^{-3} \text{ la } 0^\circ\text{C și } 760 \text{ mm Hg.}$$

## 2.4. CONSTANTE DE MATERIAL

În tabelele 2.11, 2.12 și 2.13 se dau constantele pentru cele mai importante materiale folosite în electrotehnică.

Tabelul 2.11 Constante ale

Materialul	Densi- tatea $\frac{\text{cm}^3}{\text{g}}$	Viscozi- tatea la $20^\circ\text{C}$ cP	Coefici- entul de dilatație la $18^\circ\text{C}$ $\times 10^{-3}$	Punctul de topire la 760 mm Hg $^\circ\text{C}$	Punctul de fier- bere la 760 mm Hg $^\circ\text{C}$
Acetonă .....	0,791	0,337	1,43	- 94,6	56,2
Acid acetic ....	1,049	1,30	1,07	+ 16,7	118,5
Acid sulfuric ..	1,834	25,4	0,57	+ 10,38	338
Acid sulfuros ..	1,03	—	—	- 73	-10
Alcool etilic ..	0,789	1,20	1,10	- 112	78,5
Alcool metilic ..	0,792	0,597	1,19	- 97,8	64,96
Amoniac .....	0,771	0,010	—	- 77,73	-33,41
i-amil-acetat....	0,874	0,805	—	- 70,8	124
Anilină .....	1,022	4,40	0,84	- 6,2	184,32
Apă .....	0,998	1,005	0,18	0	100
Apă grea .....	1,105	1,226	0,154 ( $20^\circ\text{C}$ )	+ 3,82	101,42
Benzen .....	0,879	0,652	1,16	+ 5,5	80,1
Cloroform .....	1,489	0,58	1,28	- 63,5	61,2
Eter etilic.....	0,714	0,233	1,62	- 116,3	34,6
Glicerină .....	1,261	1490	0,50	+ 17,9	290
Mercur .....	13,55	1,554	0,181	- 38,86	356,73
Naftalină .....	1,145	—	—	+ 80,2	210,8
Nitrobenzen ..	1,204	2,03	0,83	+ 5,7	210,8
Petrol .....	0,80	—	0,99	—	—
Sulfură de carbon	1,271	0,363	1,20	- 112,1	46,25
Toluen .....	0,866	0,590	110,90	- 95	110,6
Ulei de in ....	0,93...0,94	51,6	—	- 20	316
Ulei de mașină	0,9 ...0,93	ușor 113,8 greu 660,6 ( $15,6^\circ\text{C}$ )	—	—	—
Ulei de ricin ..	0,960...0,967	950	0,69	+ 13	—
Terebentină ....	0,855	1,46	9,7	- 10	161
Xilen-m .....	0,864	0,620	0,96	- 47,4	139

Observație: Unitatea de viscozitate (viscozitate dinamică) este Poise (P); centipoise (cP) este un submulțiplu, folosit în mod curent:

$$1 \text{ cP} = 10^{-3} \text{ kg/ms.}$$

Unitatea de viscozitate cinematică (viscozitate/densitate) este stokes (St); centistokes (cSt) este folosit în mod curent ca submulțiplu:

$$1 \text{ cSt} = 10^{-6} \text{ m}^2/\text{s.}$$

unor materiale lichide

Căldura latentă de topire $\frac{\text{kcal}}{\text{kg}}$	Căldura specifică $\frac{\text{kcal}}{\text{grd} \cdot \text{kg}}$	Căldura latentă de evaporare $\frac{\text{kcal}}{\text{kg}}$	Tempera- tura critică $^\circ\text{C}$	Presiunea critică atm	Constanta dielectrică relativă la $20^\circ\text{C}$	Formula chimică
23,0	0,514	124,5	236	62	20,7	$\text{C}_3\text{H}_6\text{O}$
46,4	0,491	96,8	321,6	57,11	6,15	$\text{C}_2\text{H}_4\text{O}_3$
26,0	0,331	122,1	—	—	> 84	$\text{H}_2\text{SO}_4$
—	0,32	94,9	—	—	13,8	$\text{H}_2\text{SO}_3$
25	0,578	204	243	65,1	24,3	$\text{C}_2\text{H}_6\text{O}$
24	0,595	262,8	240	102,3	32,63	$\text{CH}_4\text{O}$
108,1	1,0	283,6	132,4	115,2	17,8	$\text{NH}_3$
—	0,459	—	326,18	—	4,8	$\text{C}_7\text{H}_{14}\text{O}_2$
20,95	0,478	107	425,65	52,35	6,89	$\text{C}_6\text{H}_7\text{N}$
79,7	0,997	584,9	374,1	217,7	80,4	$\text{H}_2\text{O}$
—	1,006	—	307,8... 371,1	225,8	78,25 ( $25^\circ\text{C}$ )	$\text{D}_2\text{O}$
30,4	0,416	94,3	288,94	47,9	2,284	$\text{C}_6\text{H}_6$
19,0	0,234	59,0	260	56,7	4,806	$\text{CHCl}_3$
24	0,556	89,3	195	37,5	4,335	$\text{C}_4\text{H}_{10}\text{O}$
42	0,540	—	—	—	42,5	$\text{C}_3\text{H}_8\text{O}_3$
2,8	0,0332	69,7	1460	1076	1,0074 ( $400^\circ\text{C}$ )	Hg
35,62	0,309	75,5	468,2	39,2	2,54	$\text{C}_{10}\text{H}_8$
23,5	0,339	95	—	—	35,74	$\text{C}_6\text{H}_5\text{O}_2\text{N}$
—	0,500	—	—	—	2,1 ( $18^\circ\text{C}$ )	—
17,7	0,237	87,83	277	77,5	2,64	$\text{CS}_2$
17,2	0,42	86	318,6	41,6	2,379	$\text{C}_2\text{H}_8$
—	—	—	—	—	2,2 ( $18^\circ\text{C}$ )	—
—	0,46	—	—	—	—	—
—	0,43	70	(376)	—	4,6 ( $18^\circ\text{C}$ )	—
25,8	0,412	82	346	35,8	2,7	$\text{C}_{10}\text{H}_{16}$
					2,374	$\text{C}_8\text{H}_{10}$



Tabelul 2.12. Constante ale unor materiale solide

Materiul	Densitatea g cm <sup>3</sup>	Coefficientul de dilatatie liniară pe grad, între 0 și 100°C · 10 <sup>-6</sup>	Punctul de topire °C	Punctul de fierbere °C	Căldura latentă de topire kcal kg	Căldura specifică kcal grad · kg	Conductivitatea termică (la 20°C) kcal · 10 <sup>-3</sup> grad · cm · s	Căldura de combustie kcal kg	Rezistența la întindere kgf mm <sup>2</sup>
Alamă .....	8,1 ... 8,6	18,75	900	~ 2300	40	0,0917	0,26	—	40 ... 60
Aliaj de lipit pe bază de cositor .....	—	—	100 ... 210	—	—	—	—	—	—
Alpaca .....	8,4	18,36	1100	—	—	—	—	—	—
Aluminu .....	2,70	23,86	659,7	2447	85	0,094	0,055...0,115	—	—
Antimoniu .....	6,69	12,8	630,5	1637	40	0,216	0,570	—	20 ... 30
Argint .....	10,50	19,3	961,3	2180	26,0	0,050	0,042	—	10
Asfalt .....	1,1 ... 1,5	—	—	—	—	0,0565	0,975	9530	13 ... 14,5
Aur .....	19,3	14,2	1084,76	2707	15,9	0,031	0,0017	—	13,4
Bariu .....	3,61	19	710	1637	250 ... 275	0,068	0,71	—	—
Beriliu .....	1,86	12,3	1283	2477	—	0,43	—	—	—
Beton .....	2,2 ... 2,5	10 ... 14	—	—	—	0,002...0,003	—	—	—
Bismut .....	9,79	13,5	271,3	1560	13	0,029	0,0194	—	—
Bronz .....	7,4 ... 8,9	16,8 ... 29,5	321	765	13	~ 0,086	0,061...0,14	—	15 ... 80
Cadmiu .....	8,64	29,4	880	1487	78,5	0,086	0,22	—	7,0    10,0
Calciu .....	1,54	25,2	—	—	—	0,157	—	—	—
Carbon diamant .....	3,01 ... 3,52	1,3	~ 3600	4200	~ 4000	0,121	—	{ 8140 CO <sub>2</sub> 2440 CO	—
grafit .....	2,3 ... 2,72	7,86	Subl. 3652	4200	~ 4000	1,170	0,012	~ 7860	—
cox .....	1,0 ... 1,7	5,40	—	—	~ 4000	0,204	0,0085	~ 7000	—
carbune .....	1,2 ... 1,5	—	—	—	—	—	0,00029	~ 7500	—
turbă .....	0,6 ... 0,8	—	—	—	—	—	0,00015	~ 3800	—
Carbune de lemn .....	0,3 ... 0,5	—	—	—	—	—	0,000139	7260	—
Cauciuc .....	0,92 ... 0,99	77	125	—	—	0,16	0,502	10700	175 ... 300
Ceară .....	1,8	—	60 ... 65	—	—	0,7	0,00009	9000	—
Chilimbar .....	1,05 ... 1,1	—	250 ... 300	—	—	0,20	—	—	—
Ciment .....	2,7 ... 3,0	10 ... 14	—	—	—	0,00071	—	—	—
Constantan .....	8,9	14,5 ... 17	1190	—	—	0,054	—	—	—
Crom .....	7,20	6,6	1903	2642	61,53	0,107	0,165 (18°C)	—	10 ... 40
Cupru .....	8,86	16,86	1083	2595	49 ... 51	0,0921	0,941	590 (CuO)	40
Fenol .....	1,071	—	40,6	182	29	0,39	—	—	—
Fibră vulcan .....	1,1 ... 1,45	63,6	—	—	—	0,3312	0,001	—	—
Fier pur .....	7,87	11,5	1536	3070	67 ... 94	0,107	0,161	{ 1260 FeO 1680 Fe <sub>2</sub> O <sub>3</sub> 1890 Fe <sub>3</sub> O <sub>4</sub>	20 ... 25 12 ... 26 37 ... 64
fontă cenușie .....	7,6	10,6	1200	—	~ 23	0,13 ... 0,17	0,11	5950	—
oțel .....	7,7	10,5 ... 13,2	1170 ... 1530	—	—	0,11	0,108...0,115	—	—
Fosfor (galben) .....	1,82	124	44,1	280	5,2	0,089	—	—	—
Galun .....	5,91	~ 18	29,78	2227	—	0,089	—	—	—
Germaniu .....	5,33	6	937,2	2830	—	0,077	0,148	—	—
Indiu .....	7,30	30	156,17	2047	—	0,0556	—	—	—
Invar .....	7,9	0,9	—	—	—	0,120	0,0263	—	—
Iridiu .....	22,42	6,5	2443	4350	—	0,0311	0,35	—	56

Jenn	0,7 ... 0,9	2,57	61,4	—	—	—	—	—	13
lag	1,11 ... 1,33	3,61	40,4	—	—	—	—	—	7,9
abanos	0,37 ... 0,85	5,41	34,1	—	—	—	—	—	9,5
molid	0,6 ... 0,9	4,92	54,4	—	—	—	—	—	7,5
stejar	0,37 ... 0,85	5,41	34,1	—	—	—	—	—	12
pin	—	—	—	—	—	—	—	—	—
Magneziu .....	1,74	26,0	649,5	88	0,245	0,40	—	—	—
Mangan .....	7,43	23,0	1244	63,7	0,114	0,12	—	—	—
Manganin .....	8,4	17,5	910	—	0,097	0,052	—	—	—
Mercur .....	13,55	61	—	2,8	0,0353	0,02	—	—	—
Metal Wood .....	8,7	—	356,73	8	0,0352	0,031	—	—	—
Molibden .....	10,22	5,1	4800	69,8	0,106	0,33	—	—	—
Nichel .....	8,91	13,3	1455	73,8	0,106	0,2	—	—	—
Niobiu .....	8,55	7,31	2468	68,9	0,084	0,17	—	—	—
Paladiu .....	12,1	11,9	1550	36,3	0,0584	0,0066	—	—	—
Parafină .....	0,86 ... 0,93	107 ... 477	42 ... 75	35	0,694	0,0020	—	—	—
Patră de var .....	2,5 ... 2,8	—	—	—	0,21	0,0315	—	—	—
Platină .....	21,5	0,09	1769	27,2	0,031	0,17	—	—	—
Plumb .....	11,34	29,4	327,4	5,6	0,031	0,0842	—	—	—
Plută .....	0,2 ... 0,35	—	—	—	0,4 ... 0,5	0,00013 ...	—	—	—
Plutoniu .....	15,92 ... 19,74	—	3000 ... 3200	3773	0,032	0,00017	—	—	—
Potasiu .....	0,86	84	63,2	13	0,18	0,0105	—	—	—
Renu .....	21,04	6,6	3180	42,42	0,0326	0,17	—	—	—
Rodiu .....	12,5	8,5	1960	—	0,0592	0,36	—	—	—
Seleniu (metalic) .....	4,79	36,8 (40°C)	217,4	16,4	0,0767	0,006	—	—	—
Silicon .....	2,33	7,63	1423	2355	0,168	0,347	—	—	—
Sodiu .....	0,971	71	97,82	890	0,292	0,33	—	—	—
Staniu (alb) .....	7,29	27	231,9	14,2	0,0531	0,16	—	—	—
Sticlă de cuarț .....	2,65	0,5	—	—	0,12 ... 0,2	0,03...0,016	—	—	—
Sticlă (medie) .....	2,4 ... 2,8	7 ... 10	1700	—	—	~ 0,002	—	—	—
Sulf (rombic) .....	2,07	64,13	444,6	9,4	0,168	0,0006	—	—	—
Tantal .....	16,65	6,5	2986	41,5	0,0336	0,130	—	—	—
Titan .....	4,51	8,35	5400	41,5	0,0336	0,130	—	—	—
Toriu .....	11,7	10,5	1668	10,43	0,1249	0,037 (50°C)	—	—	—
Tungsten .....	19,27	4,5	4200	19,82	0,0281	0,090 (100°C)	—	—	—
Uranu .....	19,1	15,3	3390	5500	0,0322	0,310	—	—	—
Vanadiu .....	6,12	19,1	1130	19,74	0,0278	0,0574 (0°C)	—	—	—
Var (stins) .....	1,3 ... 1,4	8,3 (23 ... 100°C)	~ 3380	78,5	0,115	0,084 (70°C)	—	—	—
Vopsea de email (email) .....	2,4 ... 5,0	—	—	—	0,023 ...	0,002	—	—	—
Zgură de furnal înalt .....	2,0 ... 3,9	5,41	1300 ... 1430	~ 50	0,0028	0,003	—	—	—
Zinc .....	7,13	30,7	419,5	26	0,0931	0,27	—	—	—
Zircaloy 2 .....	6,55	5,49 (100°C)	907	—	—	0,030	—	—	—
Zirconiu .....	6,50	6,10 ... 7,52	1855	60,3	0,0659	0,050 (25°C)	—	—	—

1) Fără indicarea temperaturii.

2) În funcție de grosimea barei și de timpul de depozitare.

Tabelul 2.13. Constante

Materialul	Densitatea (la 0°C și 760 mm Hg) $\frac{\text{kg}}{\text{m}^3}$	Conductivitatea termică la 4,4°C $\frac{\text{cal. } 10^{-4}}{\text{grd. cm s}}$	Căldura specifică $\frac{\text{kcal}}{\text{grd. kg}}$	$\gamma = \frac{cp}{cv}$ (15 °C)	Presiunea critică atm
Acetilenă .....	1,175	0,45	0,3832	1,26	61,7
Aer (fără CO <sub>2</sub> ) ....	1,293	0,58	0,219 (0 °C)	1,40 (0 °C)	38,49
Amoniac .....	0,771	0,53	0,5232	1,310	115,2
Argon .....	1,784	0,42 <sup>1)</sup>	0,1253	1,668	49,6
Azot .....	1,250	0,583	0,2477	1,404	34,5
Bioxid de carbon ..	1,977	0,356	0,1989	1,304	75,27
Bioxid de sulf ....	2,926	0,20 <sup>1)</sup>	0,1516	1,29	80,4
Butan .....	2,732	0,33	—	—	37,4
Clor .....	3,214	0,19	0,1149	1,355	78,5
Deuteriu .....	0,1796	3,09	—	—	16,98
Etan .....	1,357	0,446	0,3861	1,22	48,4
Etilenă .....	1,2604	0,434	0,3592	1,255	50,1
Fluor .....	1,696	0,599	—	—	56,8
Heliu .....	0,1785	3,43	1,25 (-180°C)	1,66 (-180°C)	2,336
Hexafluorură de sulf	6,602	0,336 (30°C)	0,159	—	38,3
Hexafluorură de raniu .....	4,68	0,140 (0°C)	0,108	1,063	≈50
rădrogen .....	0,0899	4,174	3,389	1,410	13,22
Hidrogen sulfurat ..	1,536	0,314	0,2533	1,32	91,9
Kripton .....	3,744	0,21 <sup>1)</sup>	—	1,68 (19°C)	56,0
Metan .....	0,717	0,744	0,5284	1,31	47,2
Neon .....	0,900	1,10	—	1,64 (19 °C)	27,06
Oxid de carbon ....	1,250	0,559	0,2478	1,404	35,68
Oxid nitric .....	1,340	0,555	0,2329	1,400	66,7
Oxigen .....	1,429	0,594	0,2178	1,401	51,8
Oxon .....	2,142	—	—	1,29 (0°C)	56,4
Propan .....	2,0096	0,372	—	1,13 (16)°C	42,1
Propilenă .....	1,915	—	—	0,5 atm	45,6

<sup>1)</sup> Fără indicarea temperaturii

ale unor materiale gazoase

Temperatura critică °C	Punct de topire °C	Punct de fierbere °C	Densitatea lichidului la punctul de fierbere g/cm <sup>3</sup>	Constanta dielectrică relativă la 0°C și 760 mm Hg	1 l de apă dizolvă la 20 °C	Formula chimică
+ 35,5	- 80,8	- 84,03	0,613	—	1,03	C <sub>2</sub> H <sub>2</sub>
- 140,73	—	- 191,4	0,875	1,000576	0,0187	—
+ 132,4	- 77,73	- 33,41	0,68	1,0072	700	NH <sub>3</sub>
- 122,44	- 187,9	- 185,88	1,404	1,00056	0,04	Ar
- 146,9	- 210,5	- 195,82	0,81	1,000606	0,016	N <sub>2</sub>
+ 31,0	- 57	- 78,45	1,53	1,000946	0,88	CO <sub>2</sub>
+ 157,5	- 72,5	- 10,02	1,460	1,00905	39,4	SO <sub>2</sub>
+ 152,01	- 138,29	- 0,50	0,600	—	—	C <sub>4</sub> H <sub>10</sub>
+ 144	- 101,5	- 34,1	1,558	1,97	2,300	Cl <sub>2</sub>
- 234,8	- 245,6	- 249,48	—	1,277 (20 K)	—	D <sub>2</sub>
+ 32,05	- 183,3	- 88,6	0,546	1,00150	0,047	C <sub>2</sub> H <sub>6</sub>
+ 9,50	- 169,15	- 103,78	0,568	1,00150	0,122	C <sub>2</sub> H <sub>4</sub>
- 129	- 217,9	- 188,1	1,11	—	—	F <sub>2</sub>
- 267,95	- 272,1	- 268,94	0,125	1,000074	0,0088	He
+ 45,58	- 56	- 63,8	1,91 (- 50 °C)	1,00191 (27,5 °C)	—	SF <sub>6</sub>
≈ + 240	+ 64,05	+ 56,5	3,624 (65 °C)	1,0038 (19,6°)	—	UF <sub>6</sub>
- 239,9	- 259,5	- 252,77	0,0708	1,000264	0,0181	H <sub>2</sub>
+ 100,38	- 82,9	- 60,2	0,92	1,00332	2,61	H <sub>2</sub> S
- 63,75	- 156,6	- 153,40	2,15	—	0,062	Kr
- 82,5	- 182,52	- 161,5	0,415	1,000944	0,0331	CH <sub>4</sub>
- 228,75	- 248,6	- 246,06	1,207	1,000127	0,0104	Ne
- 140,2	- 207	- 191,55	0,801	1,000695	0,023	CO
- 92,9	- 163	- 151,75	—	1,00592	0,0471	NO
- 118,32	- 219	- 182,97	1,131	1,000547	0,0315	O <sub>2</sub>
- 12,1	- 192,1	- 111,9	—	—	0,450	O <sub>3</sub>
+ 96,8	- 187,7	- 42,1	0,585	—	—	C <sub>3</sub> H <sub>8</sub>
+ 91,76	- 185,25	- 47,70	0,609	—	0,210	C <sub>3</sub> H <sub>6</sub>

## 2.5. MATERIALE MAGNETICE

Tabelul 2.14. Materiale

Clasificare	Producătorul (v. nota la tabel)	Compoziția (în afară de Fe)  % greutate	Permeabilitatea inițială		Permeabi- litatea maximă $\mu_{\max}$ Gs/Oe	Cîmpul coerciv $B_c$ Oe
			$\mu_0$ (la $H \approx 0$ ) Gs/Oe	$\mu_5$ (la $H = 50$ Oe) Gs/Oe		
I. Fier pur:						
Oțel electrotehnic (purificat)	3	< 0,01 C		600... 2000	10 000... 40 000	0,08... 0,4
HYPERM O, grosime 0,35 mm .....	4	< 0,05 C	300		6200	1,0 (0,4... 1,5)
II. Fontă .....	1	2...3,5 C; 0,6...1,2 Si	300		2100	1,6
III. Tablă silicioasă:						
Tablă silicioasă I .....	1	0,7 Si	150		3000	2
Tablă silicioasă II .....	1	1,0 Si	180		4000	0,8
Tablă silicioasă III .....	1	1,7...2,7 Si	250		6000	0,8...1,0
Tablă silicioasă IV (0,9) ..	1	3,4...4,3 Si	300... 600		4000... 10 000	0,3...0,6
Tablă silicioasă IV (0,9) ....	1	4,3 Si			10 600	0,25
TRAFOPERM N 2 cu miez toroidal (TC) <sup>1)</sup> .....	3	2,9 Si		3000	35 000	0,1
M 7 X cu cristale orientate (texturat) .....	2	3,2 Si			≈ 57 300 ≈ 36 000	0,09 0,2
HYPERM 5 T TC .....	4	4 Si	400		19 600	0,5
IV. Materiale care conțin nichel:						
PERMENORM 3601 K1 TC	3	pină la 36 Ni		2000	8000	0,1
HYPERM 36 .....	4	36 Ni	2000		11 000... 14 000	0,015
Nichel pur .....		99 Ni; 0,2 Cu; 0,4 Fe	250		2500	2,0
PERMAX M TC .....	3	50 Ni		50 000	125 000	0,05
PERMENORM 5000 H2 TC	3	50 Ni		6000	60 000... 80 000	0,08... 0,1

magnetic moi

Intensi- tatea de polarizație magnetică la saturație $J_s/Gs$	Rezisti- vitatea $\rho$ $\Omega mm^2/m$	Densitatea $\gamma/cm^3$	Tempe- ratura Curie $^{\circ}C$	Pierderile prin his- terezis $erg/cm^3$	Pierderile magnetice totale			
					$V_6$ W/kg	$V_{10}$ W/kg	$V_{15}$ W/kg	$V_{20}$ W/kg
21... 21 500	0,1	7,8	770					
21 500	0,12	7,86	768			1,6		
> 15 000	0,5	7,2... 7,6						
21 000	0,18	7,85	762			3,6	8,6	
20 000	0,23	7,8	760			3,0	7,2	
19 500	0,31... 0,43	7,7	755... 745			2,6... 2,0	6,3... 4,9	
19 000	0,5... 0,6	7,55... 7,6	738... 726			1,7... 1,0	4,0... 2,5	
19 000	0,6				0,24	0,84	2,2	
20 300	0,4	7,65	750			0,45	1,0	
20 300	0,48	7,65	740		0,14	0,47	1,1	2,7
20 000	0,57	7,55	730			0,55		
13 000	0,75	8,15	250		0,3	1,1		
13 000	0,65	8,15	230		0,18	0,6		
15 000	0,45	8,25	500			0,1		
6000	0,085	8,8	358	3000				
15 500	0,45	8,25	470			0,25	0,7	
16 000	0,4	8,25	470					

Tabelul 2.14 (continuare)

Clasificare	Producătorul (v. nota la tabel)	Compoziția (în afară de Fe)  % greutate	Permeabilitatea inițială		Permeabi- litatea maximă $\mu_{\max}$ Gs/Oe	Cimpul coerciv $B^H_c$ Oe
			$\mu_0$ (la $H \approx 0$ )	$\mu_5$ (la $H = 5$ Oe)		
			Gs/Oe	Gs/Oe		
PERMENORM 5000 H 3 și S masiv .....	3	50 Ni		3000	35 000	
HYPERM 50 .....	4	50 Ni	3350		28 000	0,06... 0,1
PERMENORM 5000 Z TC	3	50 Ni		300	50 000	0,12
MUMETAL TC .....	3	} 76 Ni; 5 Cu; 2 Cr		45 000	120 000	0,015
MUMETAL masiv .....	3			25 000	60 000	0,035
M 1040 TC .....	3	} 72 Ni; 14 Cu; 3 Mo		75 000	150 000	0,01
M 1040 masiv .....	3			40 000	80 000	0,015
ULTRAPERM 10 SUPERMALLOY TC .....	3, 7, 9	} 79 Ni; 5 Mo; 0,5 Mn		130 000	300 000	0,005
ULTRAPERM 10 (SUPERMALLOY) masiv ..	3, 7, 9				500 000	0,006
V. Materiale care conțin alu- miniu:						
SENDUST.....		5,4 Al; 9,6 Si	35 000		120 000	0,022
VACODUR 16 .....	3	16 Al	8000		40 000	0,05
VI. Materiale care conțin cobalt:						
VACOFLEX 50 .....	3	49 Co; 1,8 V		1000	12 000	1,4
Cobalt pur .....		99 Co	70		240	10
VII. Aliaje termomagnetice:						
THERMOFLUX 65/100 ..	3	30 Ni	Inducția puternic dependentă de temperatură De exemplu: cind $H = 100$ Oe, avem $t =$ $0^\circ\text{C}$ $20^\circ\text{C}$ $40^\circ\text{C}$ $50^\circ\text{C}$			
(THERMALLOY, THERMOPERM) .....	4		$B = 4100$ Gs $3000$ Gs $1800$ Gs $1200$ Gs			

Intensi- tatea de polarizație magnetică la saturație $J_s/\text{Gs}$	Rezisti- vitatea $\rho$ $\Omega\text{mm}^2/\text{m}$	Densitatea $\rho$ $\text{g}/\text{cm}^3$	Tempe- ratura Curie $^\circ\text{C}$	Pierderile prin his- terezis $\text{erg}/\text{cm}^3$	Pierderile magnetice totale			
					$V_5$ W/kg	$V_{10}$ W/kg	$V_{15}$ W/kg	$V_{30}$ W/kg
15 000	0,45	8,25	470		0,15	0,5		
15 500	0,45	8,25	470		0,175	0,4	0,78	
8000	0,55	8,6	400		0,025			
8000	0,55	8,6	400		—			
5800	0,6	8,7	270		0,015			
5800	0,6	8,7	270		—			
7800	0,6	8,7	400		0,01			
8000	0,6	8,75	410		—			
11 000	0,8	8,8	500	100				
9000	1,45	6,5	350					
23 500	0,4	8,15	950		0,54	2,0	3,2	5,5
18 000	0,07	8,8	1115	2000				
60°C	0,8	8,18	30...120					
650 Gs								

1) Miez toroidal TC pentru producătorul 3:  $\mu_5$  și  $\mu_{\max}$  pentru: miez toroidal la 50 Hz; părți masive în curent continuu.

Notă: Producători de materiale magnetice:

1. Hüten și Walzwerke.
2. Armco Steel Corp. Middletown, Ohio.
3. Vakuumschmelze GmbH, Hanau (VAC).
4. Fried. Krupp, WIDIA-Fabrik, Essen.
5. Deutsche Edelstahlwerke, Krefeld.
6. Gebr. Böhler & Co., Kapfenberg.
7. Bell Telephone Co., New York.
8. M. Baermann, Köln-Bensberg.
9. The Arnold Engineering Co., Marengo, Illinois.

Tabelul 2.15. Materiale magnetice dure

Clasificarea	Producător (v. nota la tab. 2.14)	Compoziția nestandardizată (în afară de Fe), % greutate									
		Al	Co	Cr	Cu	Ni	Ti	W	V		
I.	1	3	4	5	6	7	8	9	10		
Materiale standardizate 1):											
1	Co 040	—	2,1	4,0	—	25,0...28,0	—	0,7	—		
2	AlNiCo 120	12,0...13,0	0 ... 4,0	—	2,0...4,0	18,0...24,0	0 ... 1,0	—	—		
3	AlNiCo 160	9,0...13,0	12,0...17,0	—	2,0...6,0	19,0...24,0	0 ... 1,0	—	—		
4	AlNiCo 190 (în direcție preferențială)	9,0...12,0	12,0...17,0	—	2,0...4,0	13,0...19,0	5,0...9,0	—	—		
5	AlNiCo 220	6,0...8,0	24,0...30,0	—	3,0...6,0	14,5...15,0	5,0...5,5	—	—		
6	AlNiCo 350	7,2...7,7	30,0...34,0	—	4,0...4,5	14,0...15,0	0 ... 1,0	—	—		
7	AlNiCo 400 (în direcție preferențială)	8,0...9,0	23,0...25,0	—	3,0...4,0	14,0...16,0	—	—	—		
8	AlNiCo 500 (în direcție preferențială)	8,0...9,0	23,0...25,0	—	3,0...4,0	14,0...16,0	—	—	—		
9	Ferită de bariu 100	—	—	—	BaO · 6Fe <sub>2</sub> O <sub>3</sub>	—	—	—	—		
10	Ferită de bariu 300 (în direcție preferențială)	—	—	—	—	—	—	—	—		
Materiale nestandardizate:											
1	AlNiCo 600 (în direcție preferențială)	9,0	23,0	—	3,0	14,0	—	cu adaos de tantal	—		
2	AlNiCo 800 {policristalizare	9,0	23,0	—	3,0	14,0	—	—	—		
3	KOERZIT I (Vicalloy) (în direcție preferențială)	—	50,0	—	—	—	—	—	—		
4	MAGNETOFLEX, turnat (în direcție preferențială)	—	—	—	60,0	20,0	—	—	—		
5	MAGNETOFLEX, laminat (în direcție preferențială)	—	—	—	60,0	20,0	—	—	—		
6	CoNiCuA	—	49,0	—	25,0	26,0	—	—	—		
7	CoNiCuB	—	45,1	—	30,0	25,0	—	—	—		
8	CoNiCuC	—	41,0	—	35,0	24,0	—	—	—		
9	CoNiCuD	—	37,0	—	40,0	23,0	—	—	—		
10	CoNiCuE	—	29,0	—	50,0	21,0	—	—	—		
11	TROMALIT	7	19,0	—	4,0	18,0	4,0	—	—		
12	Mn Bi	—	—	79,2%	Bi; 20,8% Mn	—	—	—	—		

1) După normele DIN.

Tabelul 2.15 (continuare)

Prehucarea prin 2)	Produsul (BH) <sub>max</sub> corespunzător energiei maxime 10 <sup>6</sup> GsOe	Intensitatea cimpului magnetic de funcționare la (BH) <sub>max</sub>	Inducția de funcționare la (BH) <sub>max</sub>	Permeabilitatea reversibilă la H <sub>a</sub> B <sub>a</sub> p <sub>rev</sub> Gs/Oe	Inducția remanentă B <sub>r</sub> Gs	Cîmpul coercitiv B <sub>Hc</sub> Oe	Cîmpul coercitiv intrinsec JH <sub>c</sub> Oe	Densitatea g/cm <sup>3</sup>	Rezistivitatea ρ Ωmm <sup>2</sup> /m	Intensitatea de polarizație magnetică la saturație J <sub>s</sub> Gs
I										
1	F.R.M.	0,34	6800	22 ... 28	9400	70	70	7,9	0,4	17 000
2	C.S.G.	1,1	3400	4,5 ... 5,5	5800	630	671	6,8	0,49	10 000
3	C.S.G.	1,5	3900	4 ... 5	6600	700	735	7,1	0,6	11 600
4	C.S.G.	1,8	4500	4 ... 5	7500	760	803	7,2	0,6	11 400
5	C.S.G.	1,9	3600	3 ... 4	6200	1000	1103	7,2	0,61	13 500
6	C.S.G.	3,3	5200	3 ... 4	8400	1150	1200	7,2	0,63	14 000
7	C.S.G.	3,8	700	4 ... 5	11 200	610	611	7,2	0,6	15 000
8	C.S.G.	4,5	500	4,5 ... 6	12 000	630	631	7,3	0,56	—
9	S.G.	0,8	850	1,1 ... 1,2	2 100	1650	—	4,8	10 <sup>3</sup> /10 <sup>13</sup>	4500
10	S.G.	2,5	2 000	1,1 ... 1,2	3500	1900	≈ 2110	4,9	10 <sup>3</sup> /10 <sup>13</sup>	4500
II										
1	C.G.	6,0	600	3,2	13 000	770	775	7,3	0	15 000
2	C.G.	8,1	710	1,1	13 300	820	825	7,6	—	—
3	F.R.M.	2,0	245	7,5	9740	293	294	8,15	0,55	16 000
4	F.R.M.	0,45	250	3,1	3090	429	458	8,65	0,19	5900
5	F.R.M.	0,91	270	3,1	5200	420	502	8,65	0,19	—
6		0,68	159	6,9	6250	232	235	8,5	0,25	9750
7		0,89	225	5,4	5890	335	341	8,5	0,26	9030
8	F.R.M.	0,99	288	4,4	5330	444	457	8,7	0,26	8570
9		0,88	333	3,6	4390	549	580	8,7	0,29	7570
10		0,68	369	2,7	3200	642	725	8,5	0,32	5760
11	P.G.	1,3	540	3,0	4380	987	≈ 1200	—	300	6500
12	P.G.	4,3	1810	1,01	4420	3360	—	—	—	—

2) F — forjare, R — laminare, M — așchiere, C — turnare, S — sinterizare, G — polizare, P — presare.  
Materialele sînt definite suficient prin punctul de funcționare cel mai favorabil (B<sub>a</sub>, H<sub>a</sub>) sau după alți autori prin B<sub>a</sub>, H<sub>a</sub> și permeabilitatea reversibilă p<sub>rev</sub>.



## 2.6. MATERIALE IZOLANTE

Tabelul 2.16. Rășini

Nr. crt.	Tipul	Materialul	Densi- tatea	Rezistența la încovo- iere	Reziliența	Reziliența cu creșă- tură	Rezistența la tracțiune
			g/cm <sup>3</sup>	kgf/cm <sup>2</sup>	kgf/cm <sup>2</sup>	kgf/cm <sup>2</sup>	kgf/cm <sup>2</sup>
1	PE	Poliетенă de înaltă presiune .....	0,917	800 <sup>1)</sup>	f.r. <sup>2)</sup>	f.r. <sup>2)</sup>	—
2	PE	Poliетенă de joasă presiune .....	0,960	800 <sup>1)</sup>	f.r. <sup>2)</sup>	f.r. <sup>2)</sup>	250
3	PP	Polipropilenă .....	0,906	450 <sup>1)</sup>	f.r. <sup>2)</sup>	5	330
4	PVC 642	Policlorură de vinil cu reziliență mare .....	1,35	200	—	> 30	230
5	PS 502	Polistiren standard ....	1,05	1000	22	2,5	550
6	AS	Polistiren + acrilnitril	1,07	1200	28	3,5	600
7	ABS	Polistiren + acrilnitril + + budadienă .....	1,06	750 <sup>1)</sup>	f.r. <sup>2)</sup>	15	490
8	PA	Poliamidă-6 .....	1,12	950 <sup>1)</sup>	f.r. <sup>2)</sup>	5	600
9	PA	Poliamidă-6-6 .....	1,14	850 <sup>1)</sup>	f.r. <sup>2)</sup>	5	570
10	PA	Poliamidă-6-10 .....	1,08	650 <sup>1)</sup>	f.r. <sup>2)</sup>	10	400
11	PA	Poliamidă-11 .....	1,04	550 <sup>1)</sup>	f.r. <sup>2)</sup>	5	500
12	PA	Poliamidă-12 .....	1,01	570 <sup>1)</sup>	f.r. <sup>2)</sup>	8	470
13	PUR	Poliuretan .....	1,21	600	f.r. <sup>2)</sup>	2	600
14	PC 300	Policarbonat .....	1,20	750 <sup>1)</sup>	f.r. <sup>2)</sup>	20	650
15		Poliacetal .....	1,41	1100 <sup>1)</sup>	80	7	650
16	PMMA 528	Polimetilmetacrilat ....	1,18	1150	18		760
17	PTFE	Politetrafluoretilenă ..	2,20	190 <sup>1)</sup>	f.r. <sup>2)</sup>	13	200
18	PCTFE	Politrifluoretilenă ....	2,10	540 <sup>1)</sup>	f.r. <sup>2)</sup>	8	320
19	Ca 434	Acetat de celuloză ....	1,29	600 <sup>1)</sup>	75	5	460
20	CAB 411	Acetobutirat de celu- loză .....	1,21	550 <sup>1)</sup>	18	2	370
21	PPO	Oxid de polifenilenă ..	1,06	1000 <sup>1)</sup>	f.r. <sup>2)</sup>	2	750
22		Polisulfonă .....	1,24	1200 <sup>1)</sup>	f.r. <sup>2)</sup>	3	750
23	PETP	Tereftalat de polietilenă	1,38	1170 <sup>1)</sup>	f.r. <sup>2)</sup>	4	540

<sup>1)</sup> Rezistența la încovoiere limitată.<sup>2)</sup> Fără rupere.

## termoplastice

Modulul de elasticitate	Punctul de înmu- iere Vicat	Conductivi- tatea ter- mică	Stabili- tatea termică	Indicele de eroziune (tracking) compa- rativ <sup>3)</sup>	Rigidi- tatea dielec- trică	Rezistivi- tatea de volum	Permitivitatea (relativă) la frecvențele		
							50 Hz	800 Hz	10 <sup>6</sup> Hz
0,001	60	0,29	80	KA 3 c	40	10 <sup>17</sup>	2,28	2,28	2,28
0,014	65	0,41	95	KA 3 c	45	10 <sup>17</sup>	2,30	2,30	2,30
0,012	85	0,19	105	KA 3 c	40	10 <sup>17</sup>	2,27	2,26	2,25
0,015	50	0,14	70		50	10 <sup>12</sup>	3,7	3,7	3,1
0,032	100	0,12	60	KA 2	50	10 <sup>14</sup>	2,5	2,5	2,5
0,034	100	0,14	80	KA 3 c	40	10 <sup>15</sup>	3,0	2,9	2,9
0,028	120	0,18	80	KA 3 b	33	10 <sup>14</sup>	4,5	4,4	3,7
0,032	>200	0,3	90	KA 3 c	34	10 <sup>14</sup>	4,3	4,1	3,6
0,017	250	0,22	110	KA 3 c	45	10 <sup>15</sup>	3,7	3,7	3,6
0,020	>200	0,19	105	KA 3 c	45	10 <sup>15</sup>	3,5	3,4	3,3
0,015	170	0,25	85	KA 3 c	45	10 <sup>14</sup>	3,7	3,7	3,6
0,014	140	0,21	80	KA 3 b	40	10 <sup>15</sup>	3,5	3,3	3,2
0,012	180	0,3	90	KA 2	35	10 <sup>15</sup>	3,6	2,5	3,4
0,022	150	0,17	130	KA 1	25	10 <sup>15</sup>	3,0	3,0	3,0
0,030	150	0,27	85	KA 3 c	0	10 <sup>1</sup>	3,9	3,8	3,7
0,032	110	0,16	100	KA 3 c	30	10 <sup>15</sup>	3,6	3,1	2,6
0,004	110	0,21	250	KA 3 c	30	10 <sup>17</sup>	2,0	2,0	2,0
0,009	80	0,10	155	KA 3 c	40	10 <sup>17</sup>	2,7	2,6	2,4
0,016	80	0,22	65	KA 3 b	33	10 <sup>15</sup>	5,1	4,8	4,1
0,022	100	0,20	75	KA 3 c	36	10 <sup>16</sup>	4,0	3,8	3,4
0,023	>200	0,28	110	KA 1	40	10 <sup>17</sup>	2,6	2,6	2,6
0,023	195	0,21	155	KA 1	35	10 <sup>17</sup>	3,0	2,9	2,9
0,028	>250	0,25	120	KA 1	30	10 <sup>17</sup>	3,5	3,4	3,4

<sup>3)</sup> Pentru definirea indicilor de eroziune (tracking) ai materialelor izolante conform procesului KA, v. tabelul 2.16 bis.

Tabelul 2.16 (continuare)

## Denumirea comercială

Nr. crt.	Materialul	Denumirea comercială (exemple)
1	Politilenă de înaltă presiune	Lupolen 18; Trolen
2	Polietilenă de joasă presiune	Hostalen G; Vestolen A; Lupolen 60
3	Polipropilenă	Hostalen PP; Vestolen P; Novolen
4	Policlorură de vinil	Vestolit; Vinoflex; Vinnol; Hostalit
5	Polistiren standard	Polystyrene VI; Vestyron; Trolitul VI
6	Polistern + acrilnitril	Luran; Vestoran
7	ABS	Novodur; Vestodur; Cycolac
8	Poliamidă-6	Ultramid B; Durethan BK
9	Poliamidă-6 · 6	Ultramid A; Maranyl; Zytel
10	Poliamidă-6 · 10	Ultramid S
11	Poliamidă-11	Rilsan BM
12	Poliamidă-12	Vestamid; Rilsan AM
13	Poliuretan	Direthan U
14	Policarbonat	Makrolon; Lexan
15	Poliacetal	Delrin; Hostaform C
16	Polimetilmetacrilat	Plexigum; Resarit
17	Politetrafluoretilenă	Hosraflon TF; Teflon
18	Politrifluoretilenă	Hostaflon C2; KEL-F
19	Acetat de celuloză	Cellidor A
20	Acetobutirat de celuloză	Cellidor B
21	Oxid de polifenilenă	PPO
22	Polisulfonă	
23	Tereftalat de polietilenă	Arnit AR

Tabelul 2.16 bis

Categoria	KA 1	KA 2	KA 3 a	Ka 3 b	KA 3 c
Numărul de picături .....	1...10	11...100	101 peste 2	101 între 1 și 2	101 pînă la 1
Adîncimea de eroziune, max., mm .....	—	—			

Cifrele de mai sus reprezintă valori minime și sînt extrase din normele germane corespunzătoare.

Tabelul 2.17. Comparație între proprietățile electrice și stabilitățile termice ale materialelor izolante standardizate

	Permitivitatea (relativă) $\epsilon_r$	Tangenta unghiului de pierderi $\operatorname{tg} \delta$	Rigiditatea dielectrică kV/mm	Stabilitatea termică °C
Ulei de transformator .....	2,2	0,004	20	95
Hîrtie electroizolantă .....	2,4	0,002	8	105
Prespan .....	3,6	0,003	12	105
Hîrtie stratificată .....	4,0	0,030	15	120
Material format din rășini fenolice	4,0	0,300	8	120
Material format din rășină melaminică	6,0	0,500	8	105
Material format din rășină poliesterică .....	3,6	0,030	10	120
Polietilenă .....	2,3	0,001	40	90
Polistiren .....	2,5	0,001	50	60
Poliamidă .....	3,7	0,025	40	100
Policarbonat .....	3,0	0,001	25	180
Folie de triacetat .....	4,0	0,014	120	120
Folie de poliester .....	3,1	0,002	160	125
Folie de policarbonat .....	3,0	0,003	170	130
Folie poliamidică .....	3,8	0,003	200	180
Rășină epoxidică de turnare .....	3,3	0,006	20	130
Rășină poliesterică de turnare .....	3,4	0,006	25	105
Porțelan .....	6,0	0,017	35	> 200
Aer .....	1,00058	—	45	—

Proprietățile electrice de mai sus sînt date la 20°C și 50 Hz pentru un strat cu grosimea de 1 mm sau 0,4 mm în cazul foliilor.

Tabelul 2.18.

Nr. crt.	Tipul	Rășina de bază	Materialul de umplutură	Densitatea g/cm <sup>3</sup>	Rezistența la încoviere kgf/cm <sup>2</sup>	Reziliența kgf cm/cm <sup>2</sup>	Reziliența cu creșterea kgf/cm <sup>2</sup>
1	11,5	Fenol	Pulbere de rocă .....	1,8	500	3,5	1,0
2	12		Fibră de azbest .....	1,8	500	3,5	2,0
3	13,9		Mică .....	1,9	500	3,0	2,4
4	15		Fibre de asbest .....	1,8	500	5,0	5,0
5	16		Șnur de azbest .....	2,0	700	15,0	15,0
6	30,5		Făină de lemn .....	1,4	600	5,0	1,5
7	31,5		Făină de lemn .....	1,4	700	6,0	1,5
8	32		Făină de lemn .....	1,4	700	6,0	1,5
9	51,5		Fibre de hirtie .....	1,4	600	5,0	3,5
10	52		Pastă .....	1,4	550	3,5	2,0
11	54		Tocătură de hirtie .....	1,4	800	8,0	5,5
12	57		Țesătură de hirtie .....	1,4	1200	15,0	10,0
13	77		Fibră de bumbac .....	1,4	600	6,0	6,0
14	74,5		Pinză din cilți de bumbac .....	1,4	600	12,0	12,0
15	75	Uree	Mătase artificială .....	1,4	600	14,0	14,0
16	77		Țesătură din cilți de bumbac .....	1,4	800	25,0	18,0
17	83		Făină de lemn și fibră de bumbac .....	1,4	600	5,0	3,5
18	84		Pinză din cilți de bumbac — fibră de tocătură de hirtie .....	1,4	600	7,0	7,0
19	130,5		Făină de lemn .....	1,5	700	6,0	1,2
20	131,5		Pastă .....	1,5	800	6,5	1,5
21	150		Făină de lemn .....	1,5	700	6,0	1,5
22	152		Fibră de pastă .....	1,5	800	7,0	1,5
23	153,5		Fibră de bumbac .....	1,5	600	5,0	3,5
24	154		Pinză din cilți de bumbac .....	1,5	600	6,0	6,0
25	155		Pulbere de rocă .....	2,0	400	2,5	1,0
26	156		Fibră de azbest .....	1,8	500	3,5	2,0
27	157		Fibră de azbest + făină de lemn .....	1,7	600	4,5	1,5
28	180	Melamină/fenol	Făină de lemn .....	1,6	800	6,0	1,5
29	181,5		Fibră de pastă .....	1,6	800	7,0	1,5
30	182		Făină de lemn + pulbere de rocă .....	1,6	700	4,1	1,2
31	801	Poliester	Fibre de sticlă .....	1,7	600	22,0	22,0
32	802		Fibre de sticlă .....	2,1	550	4,5	3,0
33	803		Fibre de sticlă .....	1,8	600	22,0	22,0
34			Fibre textile .....	1,5	600	12,0	12,0
35			Pinză tocată .....	1,5	400	8,0	8,0
36	870	Epoxi	Pulbere de rocă .....	1,9	700	6,0	1,5
37	871		Fibră de sticlă scurtă .....	1,8	800	8,0	3,0
38	872		Fibră de sticlă lungă .....	1,9	1200	16,0	15,0
39		Silicon	Pulbere de cuarț .....	1,9	500	2,0	1,0
40			Fibre de sticlă .....	1,8	600	30,0	25,0

## Rășini de turnare

41		Poliester	întărire la rece .....	1,2	1100	9,0	1,2
42		Poliester	întărire la cald .....	1,3	1500	20,0	1,5
43		Epoxi	întărire la rece .....	1,2	900	15,0	1,5
44		Epoxi	întărire la cald .....	1,3	1400	16,0	1,5
45		Metacrilat	întărire la cald .....	1,2	1200	15,0	1,5

## Rășini termoreactive

Rezistența la tracțiune kgf/cm <sup>2</sup>	Stabilitatea termică Martens °C	Conductivitatea termică kcal/m h grd	Stabilitatea termică °C	Indicele de eroziune (tracking) comparativ <sup>1)</sup>	Rigiditatea dielectrică kV/mm	Rezistivitatea de volum Ω cm	Absorbția de apă mg
150	150	0,65	130	KA 1	10	10 <sup>11</sup>	45
200	150	0,65	130	KA 1	4	10 <sup>9</sup>	60
200	150	0,60	130	KA 2	12	10 <sup>12</sup>	20
200	150	0,60	130	KA 1	3	10 <sup>8</sup>	130
250	150	0,65	130	KA 1	3	10 <sup>8</sup>	90
250	100	0,30	120	KA 1	15	10 <sup>11</sup>	200
250	125	0,27	120	KA 1	8	10 <sup>11</sup>	180
250	125	0,27	120	KA 1	5	10 <sup>10</sup>	180
250	125	0,31	120	KA 1	8	10 <sup>11</sup>	300
250	125	0,27	120	KA 1	6	10 <sup>11</sup>	100
250	125	0,25	120	KA 1	5	10 <sup>8</sup>	500
400	125	0,25	120	KA 1	5	10 <sup>8</sup>	1500
250	125	0,32	120	KA 1	5	10 <sup>8</sup>	250
250	125	0,29	120	KA 1	8	10 <sup>11</sup>	300
250	125	0,29	120	KA 1	5	10 <sup>11</sup>	300
600	125	0,29	120	KA 1	5	10 <sup>8</sup>	450
250	125	0,30	120	KA 1	5	10 <sup>9</sup>	200
250	125	0,31	120	KA 1	5	10 <sup>8</sup>	150
250	100	0,31	80	KA 2	8	10 <sup>11</sup>	400
300	100	0,31	80	KA 2	8	10 <sup>11</sup>	300
300	120	0,34	105	KA 3 b	5	10 <sup>10</sup>	250
300	120	0,34	105	KA 3 b	8	10 <sup>11</sup>	200
300	125	0,34	105	KA 3 b	8	10 <sup>11</sup>	300
300	125	0,34	105	KA 3 b	5	10 <sup>8</sup>	300
300	130	0,55	105	KA 3 c	5	10 <sup>9</sup>	200
200	140	0,55	105	KA 3 c	3	10 <sup>8</sup>	200
250	140	0,45	105	KA 3 b	4	10 <sup>9</sup>	200
120	110		110	KA 3 a	8	10 <sup>9</sup>	180
120	110		110	KA 3 c	5	10 <sup>9</sup>	150
120	110		110	KA 3 b	6	10 <sup>8</sup>	120
450	125		120	KA 3 c	10	10 <sup>12</sup>	100
450	140		120	KA 3 c	10	10 <sup>12</sup>	45
125	120		120	KA 3 c	10	10 <sup>12</sup>	100
100	105		105	KA 3 c	6	10 <sup>9</sup>	250
100	105		105	KA 3 c	8	10 <sup>9</sup>	250
115	0,25		140	KA 3 b	18	10 <sup>15</sup>	20
110	0,22		155	KA 3 b	15	10 <sup>18</sup>	20
120	0,18		155	KA 3 c	15	10 <sup>15</sup>	20
200	250	0,50	180	KA 3 c	10	10 <sup>15</sup>	40
200	250	0,50	180	KA 3 c	10	10 <sup>16</sup>	45

## Rășini de turnare

600	75	0,16	80	KA 2	30	10 <sup>15</sup>	35
850	60	0,13	105	KA 3 c	25	10 <sup>15</sup>	35
550	50	0,15	85	KA 3 c	20	10 <sup>12</sup>	50
600	95	0,15	125	KA 3 c	18	10 <sup>14</sup>	20
700	90	0,16	120	KA 3 c	40	10 <sup>14</sup>	60

Cifrele de mai sus reprezintă valori minime extrase din standardele germane corespunzătoare.  
<sup>1)</sup> V. nota <sup>2)</sup> de la tabelul 2.16.

Tabelul 2.19. Materiale

Nr. crt.	Tipul	Materialul	Densitatea g/cm <sup>3</sup>	Rezistența la tracțiune		Rezistența la compresiune	
				glazu-rat kgf/cm <sup>2</sup>	neglazu-rat kgf/cm <sup>2</sup>	glazu-rat kgf/cm <sup>2</sup>	neglazu-rat kgf/cm <sup>2</sup>
1	KER 110,1	Predominant silicat de aluminiu	2,4	300	250	4500	4600
2	KER 110,2		2,5	600	450	5500	5500
3	KER 111		2,3			3000	2500
4	KER 220	Predominant silicat de magneziu	2,6	600	450	8500	8500
5	KER 221		2,8	600	450	9000	9000
6	KER 240		1,9				1000
7	KER 310	Oxid de titan .....	3,5		300		3000
8	KER 330	Titanați .....	4,0		300		3000
9	KER 350	Titanați de bariu .....	5,2				2000
10	KER 410	Silicat de magneziu și aluminiu	2,1		250		
11	KER 520	Silicat de magneziu .....	2,0		100		2500
12	KER 610	Oxid de aluminiu .....	2,6		400		7000
13	KER 712	Oxid de aluminiu .....	3,1				
14	KER 720	Oxid de magneziu .....	2,5				
15		Silicat de zirconiu .....	2,5				
16		Eucryptit .....	2,4				
17		Sticlă cu borosilicați .....	2,3				

## Denumiri comerciale:

Nr. crt.	Materialul	Denumiri comerciale (exemple)
1	KER 110,1	Porțelan 1008, 1009; Porțelan tare; Melalith
2	KER 110,2	Predur; Karbowid 1203
3	KER 111	Porțelan presat; Porțelan tare
4	KER 220	Steatit
5	KER 221	Elit; Frequentă; Calit; Rosalit 7; Deltan
7	KER 310	Sirutit; Kerafar U; Rosalit 85; Condensa
8	KER 330	Konstit; Kerafar X; Rosalit 40; Tempa

Cifrele de mai sus reprezintă valori minime.

## izolante anorganice

Rezistența la încovoire		Rezi-liența kgf cm/ cm <sup>2</sup>	Conduc-tivita- tea ter- mică kcal mh grd	Rigidi-tatea dielec- trică kV/cm	Rezis-tivita- tea de vo- lum Ωcm	Permi-tivita- tea (rela- tivă)	Tangenta unghiului de pierderi la 20°C și frecvențele			Absorbția de apă %
glazu-rat kgf/cm <sup>2</sup>	neglazu-rat kgf/cm <sup>2</sup>						50 Hz 10 <sup>-3</sup>	800 Hz 10 <sup>-3</sup>	10 <sup>6</sup> Hz 10 <sup>-3</sup>	
600	400	1,8	1,4	350	10 <sup>11</sup>	6,0	17		6	0,55
1000	800	2,2	2,0	390	10 <sup>12</sup>	6,0	17		6	0,55
	300	1,3	1,0							
1200	1200	3,0	2,0	200	10 <sup>12</sup>	6,0	2,5		1,5	0
1400	1400	4,0	2,0	300	10 <sup>12</sup>	6,0	1,0	0,8	0,3	0
1500	350	1,6	1,2			4,5			0,2	0
	900	2,5	3,0	100		60		0,3	0,3	0
	900	2,5		100		30		0,2	0,05	0
	600	1,6		30		350			2,5	
	500	1,8	1,7	100	10 <sup>11</sup>	5,0	20		4,0	0
	500	1,8	1,1							3,0
	1200	4,0	2,5	250	10 <sup>12</sup>	7,0				0
	1200		9,5							5
			7,0						0,6	10,0
	900	2,0	2,9							9,0
	1300		0,9	300	10 <sup>10</sup>	28	200	200	100	0
800		1,0	220	10 <sup>13</sup>	4,6				5,5	0

## Denumiri comerciale:

Nr. crt.	Materialul	Denumiri comerciale (exemple)
9	KER 350	Sibatit; Vibrit
10	KER 410	Siematherm; Sipa H; Rosaltherm I
11	KER 520	Masă ceramică pentru aparate încălzitoare; Sipa 11; Rosaltherm III; Pyrostat
12	KER 610	Masă ceramică pentru piometre; Degussit; Pythagorasmasse
13	KER 712	Sinterkorund
14	KER 720	Ceramică cu MgO
15		Ceramică cu zirconiu

Tabelul 2.20. Împărțirea materialelor izolante în clase de izolație <sup>1)</sup> conform publicației CEI 85

Clasa		Materiale izolante	Lianți, materiale de impregnare sau acoperire <sup>2)</sup> folosite de producătorul materialelor izolante din coloana 3	Materiale de impregnare utilizate la tratarea echipamentelor izolate instalate
Y	Tabel principal	Bumbac Mătase naturală Lină sintetică Mătase artificială Fibră poliamidică Hîrtie și produse din hîrtie Prespan Fibră Lemn Rășină de anilină-formaldehidică Rășină carbamidică	fără	fără
	Tabel anexă	Poliacrilat Polietilenă Polistiren Policlorură de vinil cu sau fără plastifiant Cauciuc vulcanizat	fără	fără
A	Tabel principal	Bumbac Mătase naturală Lină sintetică Mătase artificială Fibră poliamidică Hîrtie și produse din hîrtie Prespan Fibră Lemn	fără	Lac bituminos Lac pe bază de rășini naturale sau sintetice, modificat cu ulei sicativ
		Materiale textile, impregnate cu lac, pe bază de bumbac, mătase naturală, mătase artificială sau fibră poliamidică Hîrtie lăcuită	Lac pe bază de rășini naturale sau sintetice modificat cu ulei sicativ	Șelac, copal și alte rășini naturale Soluții sau suspensii de celuloză, esterii și eteri
		Lemn stratificat	Rășină fenol — formaldehidică	Ulei izolat și fluide dielectrice sintetice
		Folie de acetat de celuloză Rășini poliesterice reticulate Email pentru conductoare pe bază de ulei sicativ și rășini	fără	
	Tabel anexă	Elastomeri policloroprenici Elastomeri butadien-acrilnitrilici	fără	nu sint necesare

Tabelul 2.20 (continuare)

Clasa		Materiale izolante	Lianți, materiale de impregnare sau acoperire <sup>2)</sup> folosite de producătorul materialelor izolante din coloana 3	Materiale de impregnare utilizate la tratarea echipamentelor izolate instalate
E	Tabel principal	Email pentru conductoare pe bază de acetat de polivinil, poliuretan, rășini epoxidice sau poli-amidice Rășini poliesterice reticulate Folie de acetobutirat Folie de policarbonat Folie de triacetat de celuloză	fără	Lacuri pe bază de rășini sintetice, de asemenea rășini poliesterice reticulate, modificate cu ulei, rășini epoxidice (temperatura de funcționare maximă admisibilă $\geq 120^{\circ}\text{C}$ )
		Piese formate cu umplutură de celuloză Stratificate din bumbac Stratificate din hîrtie	Rășini melamino-formaldehidice Rășini fenolformaldehidice Rășini furfural-fenolice	
		Materiale textile tratate	Tereftalat de polistilenă	
B	Tabel principal	Fibră de sticlă Azbest	fără	Lacur pe bază de rășini sintetice, de asemenea rășini poliesterice reticulate, modificate cu ulei, rășini epoxidice (temperatura de funcționare maximă admisibilă $\geq 130^{\circ}\text{C}$ )
		Țesături din fibră de sticlă lăcuită Azbest lăcuit	Lac pe bază de rășini sintetice, de asemenea modificat cu ulei	
		Produse din mica, cu sau fără material suport	Șelac, asfalt sau compus de bitum Lac pe bază de rășini sintetice, de asemenea rășini poliesterice reticulate, modificate cu ulei Rășini epoxidice Rășini alchidice	
		Emailuri pentru conductoare pe bază de politereftalat	fără	
		Fibră de sticlă stratificată Azbest stratificat Piese formate cu material de umplutură mineral	Rășină melamino-formaldehidice Rășini fenol-formaldehidice	
	Tabel anexă	Piese formate cu material de umplutură mineral	Rășini poliesterice reticulate	
		Polimonoclortrifluoretilenă Folie de tereftalat de polietilenă Fibră de tereftalat de polietilenă Folie cristalizată de policarbonat	fără	



Tabelul 2.20 (continuare)

Clasa		Materiale izolante	Lianți, materiale de impregnare sau acoperire <sup>1)</sup> folosite de producătorul materialelor izolante din coloana 3	Materiale de impregnare utilizate la tratarea echipamentelor izolate instalate
F	Tabel principal <sup>1</sup>	Fibre de sticlă Azbest	fără	
	Tabel anexă	Țesături din fibră de sticlă lăcuită Azbest lăcuit Produse din mica, cu sau fără material suport	Rășini alchidice, rășini epoxi, rășini reticulate poliesterice și poliuretane, rășini alchidice, siliconice (temperatură de funcționare maximă admisibilă $\geq 155^{\circ}\text{C}$ )	Rășini alchidice, rășini epoxi, rășini reticulate poliesterice și poliuretane, rășini alchidice, siliconice (temperatură de funcționare maximă admisibilă $\geq 155^{\circ}\text{C}$ )
		Emailuri de conductoare pe bază de poliester imidic sau tereftalat imidic și emailuri de conductoare pe bază de poli-tereftalat cu stabilitate termică mărită	fără	
H	Tabel principal	Fibre de sticlă Azbest	fără	
		Țesături din fibră de sticlă lăcuite Azbest lăcuit	Rășini siliconice cauciuc siliconic (temperatură de funcționare maximă admisibilă $\geq 180^{\circ}\text{C}$ )	Rășini siliconice (temperatură de funcționare maximă admisibilă $\geq 180^{\circ}\text{C}$ )
		Produse din mica, cu sau fără material suport Fibră de sticlă stratificată Azbest stratificat	Rășini siliconice (temperatură de funcționare maximă admisibilă $\geq 180^{\circ}\text{C}$ )	
		Cauciuc siliconic	fără	fără
	Tabel anexă	Email de conductoare pe bază de poliimidă pură	fără	Rășini siliconice (temperatură de funcționare maximă admisibilă $\geq 180^{\circ}\text{C}$ )

Tabelul 2.20 (continuare)

Clasa		Materiale izolante	Lianți, materiale de impregnare sau acoperire <sup>1)</sup> folosite de producătorul materialelor izolante din coloana 3	Materiale de impregnare utilizate la tratarea echipamentelor izolate instalate
C	Tabel principal	Mică, porțelan și alte materiale ceramice, sticlă, cuarț (temperatură de funcționare maximă este limitată de proprietățile fizice și tehnice)	fără	fără, sau lianți anorganici, ca sticlă sau ciment
	Tabel anexă	Țesături de fibră de sticlă, tratate Produse tratate din azbest, produse din mică	Rășini siliconice cu stabilitate termică mărită (temperatură de funcționare maximă admisibilă $> 225^{\circ}\text{C}$ )	Rășini siliconice cu stabilitate termică mare (temperatură de funcționare maximă admisibilă $> 225^{\circ}\text{C}$ )
		Politetrafluoretilenă (temperatură de funcționare maximă admisibilă $> 225^{\circ}\text{C}$ )	fără	fără

<sup>1)</sup> Materialele din coloana 4 sînt utilizate de producătorii materialelor izolante din coloana 3. Materialele din coloana 5 sînt utilizate de producătorii mașinilor electrice pentru tratarea bobinelor și a celorlalte părți izolate. Pentru fiecare clasă de materiale izolante producătorul trebuie să aleagă pe acelea din coloana 5 care sînt adecvate utilizării, împreună cu cele din coloanele 3 și 4 corespunzătoare aceleiași clase sau uneia superioare.

<sup>2)</sup> Utilizarea lianților și materialelor de impregnare este foarte frecvent restrînsă datorită nu atât stabilității termice, ci altor factori, ca de ex. proprietățile mecanice la temperatura de funcționare. Astfel, de exemplu, anumite rășini epoxi și poliesterice trebuie încadrate în unele cazuri în clasa A în cazul unor sarcini mecanice mari.

## 2.7. CONDUCTOARE ELECTRICE METALICE

Tabelul 2.21. Rezistivitatea și coeficientul de temperatură la 20°C, temperatura maximă de regim, punctul de topire

Materialul	Rezistivitatea $\rho$ $\Omega \cdot \text{mm}^2/\text{m}$	Coeficientul de temperatură $\alpha \cdot 10^3/\text{grd}$	Temperatura maximă de regim $t_{\text{max}}$ $^{\circ}\text{C}$	Punctul de topire $t_s$ $^{\circ}\text{C}$
Aluminiu				
Bronz (Cu cu 5 pînă la 10% aluminiu).....	0,13—0,29	0,6—1,0		$\approx 1037$
Tras dur.....	0,0303			
Foarte pur.....	0,0265	4,3		659,7
Moale.....	0,02778	4,0		
Sîrmă (99,6%).....	0,029	4,0		
Bismut.....	1,2	4,0		271,3
Alamă (60—70% Cu, restul Zn)	0,06—0,08	1,5		900—950
Sîrmă de alamă.....	0,07—0,08	1,0—1,2		
Cărbune.....	40—100	— 0,3...—0,9	400	>3500
Crom nichel				
CN 80 (80% Ni, 20% Cr, O pînă la 3% Fe).....	1,12	0,14	1100—1150	$\approx 1400$
CN 20 (20% Ni, 25% Cr, 55% Fe).....	0,97	0,44	950	$\approx 1375$
Constantan				
(54% Cu, 45% Ni, 1% Mn) ..	0,50	— 0,03 <sup>1)</sup>	400	
Cupru				
Tras dur.....	0,0179			
Pentru conductoare.....	0,0178	3,92		
Foarte curat.....	0,017	4,2		1083
Moale.....	0,0175	3,82		
Ferropyr 1 AC7				
(85% Fe, 7% Al, 7% Co, 1% Mn + Si).....	1,25	0,13	1000	$\approx 1480$
Ferropyr 2 AC7				
(90% Fe, 1% Co, 8% Al, 1% Mn + Si).....	0,92	0,42	800	$\approx 1480$
Aur.....	0,023	3,8—4,0		>1063
Fier turnat.....	0,6—1,6			
Fier (99,0 pînă la 99,9%).....	0,1—0,15	6,51—6,57		1535

Tabelul 2.21 (continuare)

Materialul	Rezistența specifică $\rho$ $\Omega \cdot \text{mm}^2/\text{m}$	Coeficientul de temperatură $\alpha \cdot 10^3/\text{grd}$	Temperatură maximă de regim $t_{\text{max}}$ $^{\circ}\text{C}$	Punctul de topire $t_s$ $^{\circ}\text{C}$
Isabellin (84% Cu, 13% Mn, 3% Al)	0,50	— 0,024	400	
Kanthal A1 (67,5% Fe, 25% Cr, 5,5% Al, 2% Co) ..	1,45	0,014	1300	$\approx 1500$
Plumb.....	0,2065	3,9		327,43
Manganin (86% Cu, 12% Mn, 2% Ni)	0,42	0,01— 0,02 <sup>2)</sup>	300	$\approx 960$
Megapyr AC 30 (65% Fe, 30% Cr, 5% Al) ..	1,40	0,07	1300—1350	$\approx 1500$
Megatherm.....	0,95	0,58	1050	$\approx 1470$
Mercur.....	0,968	0,8—0,9		— 38,87
Nichel.....	0,069	6,1—6,9	400	1455
Nichelină (67% Cu, 30% Ni, 3% Mn).....	0,40—0,44	0,18—0,21	300	$\approx 1230$
Nichel-argint.....	0,35—0,41	0,07		
Platină.....	0,10—0,1	3,0—3,8	1500	1773,5
Aliaj pentru rezistențe electrice 306 (Cu, Mn, Sn).....	0,32	$5 \cdot 10^{-3}$ <sup>3)</sup>	300	
Tablă de fier	0,12	6,5		
Aliaj (1,0 pînă la 5% conținut de Si, v. tab. 2.14).....	0,25—0,68			
Argint.....	0,0165	3,8		960,5
Oțel.....	0,10—0,25	4,5—5		
Sîrmă de oțel.....	0,17	5,2		
Tantal.....	0,16	3,83		
Staniu.....	0,12	4,2—4,63		232
Tungsten.....	0,055	4,0	2000 <sup>7)</sup>	3380
Zinc curat.....	0,61	4,19		419,47

<sup>1)</sup> Minimul rezistenței, la 250°C.

<sup>2)</sup> Cuprul pentru conductoare va avea, la 20°C, max  $\rho = 0,01784$ . Densitatea se va calcula la 8,9 kg/dm<sup>3</sup>. Sîrma de cupru recoaptă ireproșabil conf. normelor internaționale are, la 20°C,  $\rho = 0,07124 = 1/58$   $\alpha = 0,00393 = 1/254,5$ , densitatea 9,0 kg/dm<sup>3</sup>. Impurități în cantități mici pot modifica puternic aceste valori. Pentru calcule estimative de conductoare s-ar putea considera la cupru, ținînd seama de încălzire,  $\rho = 1:53$ ; la mașini electrice,  $\rho = 1:50$  pînă la 1:46.

La topirea unui metal, rezistența este aproximativ de două ori mai mare.

<sup>3)</sup> și <sup>4)</sup> Minimul rezistenței la circa 250°C, maximul la 5°C.

<sup>5)</sup> Maximul rezistenței la 30...40°C.

<sup>6)</sup> Maximul rezistenței, la 20...50°C.

<sup>7)</sup> În gaz de protecție.

Tabelul 2.22. Greutatea și rezistența în curent continuu a sîrmelor de cupru, la 20° C

Diametrul mm	Secțiunea mm <sup>2</sup>	Masa kg/km	Rezistența Ω/km	Lungimea m/kg	Lungimea m/Ω	Diametrul mm	Secțiunea mm <sup>2</sup>	Masa kg/km	Rezistența Ω/km	Lungimea m/kg	Lungimea m/Ω
0,6	0,283	2,52	61,9	397	16,2	3,57	10	88,9	1,78	11,25	563
0,8	0,503	4,47	34,8	224	28,7	4	12,57	111,8	1,39	8,9	720
0,9	0,636	5,66	27,6	177	36,2	4,52	16	142,2	1,11	7,03	898
1	0,785	6,99	22,3	143	44,3	5,64	25	222,1	0,714	4,5	1400
1,2	1,131	10,07	15,5	100	64,7	8	50	444,5	0,357	2,23	2800
1,83	1,5	13,33	11,86	75	84,4	11	95	845	0,188	1,184	5315
1,5	1,767	15,73	9,90	64	101	13,8	150	1333	0,119	0,752	8410
1,78	2,5	22,22	7,12	45	140	17,5	240	2115	0,0744	0,473	13 440
2	3,14	27,96	5,57	35,8	180	22,6	400	3556	0,0446	0,281	22 400
2,11	3,5	31,11	5,08	32,1	197	25,2	500	4445	0,0357	0,225	28 000
2,26	4	35,56	4,45	28,2	225	31,9	800	7110	0,0223	0,1405	44 850
2,76	6	53,34	2,96	18,75	338	35,7	1000	8890	0,0178	0,1125	56 200
3	7,07	62,9	2,48	15,9	403						

## Seria de tensiune termoelectrică a metalelor

La stratul limită a două metale apare o tranziție de electroni, care produce un câmp între suprafețele de contact. Aportul de energie la punctul de contact (punctul de sudură sau de lipire) mărește, prin încălzire, tensiunea de contact în comparație cu cea de la capetele reci ale conductoarelor.

Tensiunea termoelectrică între două metale reprezintă diferența dintre valorile indicate în mV în tabelul 2.23, raportate la platină ca punct neutru și la diferența de temperatură de 100°C.

Tabelul 2.23. Seria de tensiune termoelectrică a metalelor

Metalul	Tensiunea mV	Metalul	Tensiunea mV
Bismut	- 7,70	Argint	+ 0,67 ... + 0,79
Constantan	- 3,47 ... - 3,40	Cupru	+ 0,72 ... + 0,77
Cobalt	- 1,99 ... - 1,52	Oțel V2A	+ 0,77
Nichel	- 1,94 ... - 1,20	Zinc	+ 0,60 ... + 0,79
Mercur	- 0,07 ... + 0,04	Manganin	+ 0,57 ... + 0,82
Platină	0,00	Iridiu	+ 0,65 ... + 0,68
Grafit	+ 0,22	Aur	+ 0,56 ... + 0,80
Tantal	+ 0,34 ... + 0,51	Cadmium	+ 0,85 ... + 0,92
Staniu	+ 0,4 ... + 0,44	Molibden	+ 1,16 ... + 1,31
Plumb	+ 0,41 ... + 0,46	Fier	+ 1,87 ... + 1,89
Magneziu	+ 0,4 ... + 0,43	Crom-nichel	+ 2,20
Aluminu	+ 0,37 ... + 0,41	Antimoniu	+ 4,70 ... + 4,86
Tungsten	+ 0,65 ... + 0,90	Silicon	+ 44,8
Rhodi	+ 0,65	Tellur	+ 50,0

*Utilizări.* Punctele de lipire ale metalelor corespunzătoare sînt folosite ca termoelemente sau „termometre electrice”, pentru măsurarea temperaturilor înalte, pentru observarea temperaturilor în locuri greu accesibile, ca „circuit termic” la fabricarea aparatelor sensibile pentru măsurarea curentului alternativ (v. tabelele 9.31 și 9.32).

Tabelul 2.24 Cîteva termoelemente uzuale raportate la temperatura de 0°C

Temperatura lipiturii calde	100°C	500°C	1000°C	1500°C
Perechea de metale	Tensiunea termoelectrică, în mV			
Fier-constantan	5,37	27,84	—	—
Cupru-constantan	4,25	27,40	—	—
Nichel-crom nichel	4,04	20,64	41,32	—
Platină-platină rhodiu (10%)	0,64	4,22	9,60	15,58

## 2.8. CONDUCTOARE ELECTRICE IONICE

Tabelul 2.25. Seria electrochimică a elementelor în soluție apoasă<sup>1)</sup>

Semiceluloză	$E_h$ V	Semiceluloză	$E_h$ V	Semiceluloză	$E_h$ V
Li/Li <sup>+</sup>	- 3,045	Ca/Ca <sup>2+</sup>	- 0,4026	Pt(O <sub>2</sub> )/OH <sup>-</sup>	+ 0,401
K/K <sup>+</sup>	- 2,924	In/In <sup>3+</sup>	- 0,338	Cu/Cu <sup>+</sup>	+ 0,522
Ca/Ca <sup>2+</sup>	- 2,87	Tl/Tl <sup>+</sup>	- 0,3363	Te/Te <sup>2+</sup>	+ 0,56
Na/Na <sup>+</sup>	- 2,7109	Co/Co <sup>2+</sup>	- 0,28	As/AsO <sub>3</sub> <sup>-</sup>	+ 0,58
Mg/Mg <sup>2+</sup>	- 2,375	Ni/Ni <sup>2+</sup>	- 0,23	2 Hg/Hg <sub>2</sub> <sup>2+</sup>	+ 0,7961
Ce/Ce <sup>3+</sup>	- 2,335	Mo/Mo <sup>3+</sup>	- 0,2	Ag/Ag <sup>+</sup>	+ 0,7996
Be/Be <sup>2+</sup>	- 1,70	Sn/Sn <sup>2+</sup>	- 0,1364	Pt/Pt <sup>2+</sup>	+ 1,2
Al/Al <sup>3+</sup>	- 1,66	Pb/Pb <sup>2+</sup>	- 0,1262	Pt(Cl <sub>2</sub> )/Cl <sup>-</sup>	+ 1,3583
Mn/Mn <sup>2+</sup>	- 1,029	H <sub>2</sub> /2 H <sup>+</sup>	0,000	Au/Au <sup>3+</sup>	+ 1,42
Zn/Zn <sup>2+</sup>	- 0,7628	Sb/SbO <sup>+</sup>	+ 0,212	Pt(F <sub>2</sub> )/F <sup>-</sup>	+ 2,87
Cr/Cr <sup>3+</sup>	- 0,74	Bi/BiO <sup>+</sup>	+ 0,32		
Fe/Fe <sup>2+</sup>	- 0,409	Cu/Cu <sup>2+</sup>	+ 0,3402		

<sup>1)</sup>  $E_h$  măsurat în condiții standard (25°C, 1 atm), în raport cu electrodul de hidrogen ca electrod de referință.

## Măsurarea valorii pH

Valoarea pH se utilizează ca măsură a acidității soluțiilor apoase și se definește, după Sørensen, ca fiind logaritmul zecimal cu semnul minus al concentrației  $c$  a ionilor de hidrogen sau al activității  $a$  a ionului de hidrogen

$$pH \equiv -\log c_{H_2O^+} \text{ sau } pH = -\log a_{H_2O^+}.$$

Aici  $c_{H_2O^+}$  este concentrația ionilor de hidrogen în ioni-gram pe litru de soluție. Activitatea  $a_{H_2O^+}$  este produsul între concentrația  $c_{H_2O^+}$  și coeficientul de activitate  $f_{H_2O^+}$

$$pH \equiv -\log a_{H_2O^+} = -(\log c_{H_2O^+} + \log f_{H_2O^+}).$$

## Metode de măsurare

1) Metoda electrochimică utilizează electrodul de hidrogen, electrodul de chin-hidronă, electrodul de sticlă, electrodul de antimoniu sau de bismut ca electrod de măsurare. Precizia metodei este de circa 0,01 pH.

2) Metoda colorimetrică care folosește soluție indicatoare sau hîrtie indicatoare are o precizie de circa 0,1 pH.

## Electrodul normal de hidrogen

Electrodul de hidrogen este format dintr-o placă acoperită cu un strat subțire de platină, care este cufundată într-un electrolit (acid) avînd o activitate a ionilor de hidrogen  $a_{H_3O^+}$  (1 mol/litru) și dincolo de care hidrogenul aflat la presiune parțială ( $p_{H_2}$ ) de 1 at se degajă sub formă de bășici.

Electrozi de referință (electrozi secundari) măsurați în raport cu electrodul normal de hidrogen la 25°C:

Electrodul de calomel saturat	$E = + 0,2376 \text{ V};$
Electrodul de calomel 1N	$E = + 0,2797 \text{ V};$
Electrodul de calomel 0,1 N	$E = + 0,3376 \text{ V};$
Electrodul de clorură de argint 0,1 N	$E = + 0,2225 \text{ V};$
Electrodul de oxid de mercur 1N NaOH	$E = + 0,0984 \text{ V}^1).$

## Dependența de temperatură a electrodului de hidrogen

În combinație cu electrodul de calomel 0,1 N:

$t$	18°C	20°C	25°C	30°C	40°C
$E$	0,3380 V	0,3379 V	0,3376 V	0,3372 V	0,3360 V

Pentru celelalte temperaturi  $E$  se calculează prin interpolare după formula

$$E = 0,3376 - 2,78 \cdot 10^{-5}(t - 25) - 2,9 \cdot 10^{-6}(t - 25)^2.$$

Pentru condiții standard (25°C, 1 atm) valoarea pH se poate obține din relația

$$pH = \frac{\Delta E - 0,3376}{0,05914}.$$

$\Delta E$  este t. e. m. măsurată în volți.

În combinație cu electrodul de clorură de argint 0,1 N:

$t$	18°C	20°C	25°C	30°C	40°C
$E$	0,2268 V	0,2256 V	0,2225 V	0,2192 V	0,2121 V

<sup>1)</sup> Pentru măsurări în regiunea puternic alcalină.

Pentru condiții standard (25°C, 1 atm) valoarea pH se poate calcula cu relația

$$pH = \frac{\Delta E - 0,2225}{0,05914}.$$

Tabelul 2.26. Valorile pH ale soluțiilor standard, între 0° și 95°C  
(Biroul Național de Standarde<sup>1)</sup>)

$t$ °C	Sol. 0,05 M de tetroxalat de K	Tartrat de KH saturat la 25°C	Sol. 0,05 M de ftalat de KH	Sol. 0,025 M de $KH_2PO_4$ + 0,025 M de $Na_2HPO_4$	Sol. 0,01 M de borax
0	1,67	—	4,01	6,98	9,46
5	1,67	—	4,01	6,95	9,39
10	1,67	—	4,00	6,92	9,33
15	1,67	—	4,00	6,90	9,27
20	1,68	—	4,00	6,88	9,22
25	1,68	3,56	4,01	6,86	9,18
30	1,68	3,55	4,01	6,85	9,14
35	1,68	3,55	4,02	6,84	9,10
40	1,70	3,54	4,03	6,84	9,07
45	1,70	3,55	4,04	6,83	9,04
50	1,71	3,55	4,06	6,83	9,01
55	1,72	3,56	4,08	6,84	8,99
60	1,73	3,57	4,10	6,84	8,96
70	—	3,59	4,12	6,85	8,92
80	—	3,61	4,16	6,86	8,88
90	—	3,64	4,20	6,86	8,85
95	—	3,65	4,22	6,87	8,83

<sup>1)</sup> Din Anglia.

Tabelul 2.27. Indicatori de pH cu gamă de variație a culorii

Indicator	Gama de variație a culorii	Variația culorii la creșterea lui pH
Roșu de crezol, prima schimbare de culoare .....	0,2... 1,8	roșu-galben
Purpură de metacrezol .....	1,2... 2,8	roșu-galben
Galben de dimetil .....	2,9... 4,1	roșu-galben
Portocaliu de metil .....	3,1... 4,4	roșu-galben/portocaliu
Verde de bromfenol .....	3,8... 5,4	galben-albastru
Roșu de metil .....	4,2... 6,3	roșu-galben
Roșu de clorofenol .....	4,8... 6,4	galben-roșu
Turnesol .....	5,0... 8,0	roșu-albastru
Roșu de fenol .....	6,8... 8,4	galben-roșu
Roșu de crezol, a doua schimbare de culoare .....	7,2... 8,8	galben-roșu
Albastru de timol .....	8,0... 9,6	galben-albastru
Fenolftaleină .....	8,3... 10,0	incolor-roșu
Timolftaleină .....	9,3... 10,5	incolor-albastru
Galben de alizarină R .....	10,1... 12,1	galben deschis-porto- caliu
Tropaeolină O .....	11,1... 12,7	galben-portocaliu

## Legile lui Faraday

1. Cantitatea  $M$  (în grame) de material care se depune pe un electrod sau este extrasă din acesta este direct proporțională cu cantitatea de electricitate consumată,

$$M \approx It.$$

2. Cantitățile  $M$  (în grame) de materiale degajate sau depuse de diferiți electroliți de către aceeași cantitate de electricitate  $It$  sînt proporționale cu masele lor echivalente  $A$  (*masa echivalentă* este cîmul dintre masa atomică sau moleculară și valența electrochimică).

$$M = \frac{A}{F} It \text{ (unde } F \text{ este constanta lui Faraday).}$$

Pentru a separa sau a face să intre în reacție un echivalent gram dintr-un material (prin oxidare la anod sau prin reducere la catod) este necesară o cantitate de electricitate de

$$1 \text{ Faraday} = 96\,487,0 \pm 1,6 \text{ C/echivalent-g} = 26,802 \text{ Ah.}$$

## Valorile pH pentru cîteva soluții

	Scara pH
Acid clorhidric 1 M = 1 mol/l (3,6% HCl)	— 0
Acid clorhidric 0,1 M (0,36% HCl)	— 1
	— 2
Acid acetic ( $\approx 5\%$ CH <sub>3</sub> COOH)	— 3
Apă de mlaștină	— 4
	— 5
	— 6
Apă de râu	— 7
Apă curentă	— 8
Apă de mare	— 9
	— 10
Amoniac în apă 0,1 M (0,17% NH <sub>3</sub> )	— 11
Apă calcaroasă saturată [0,17% Ca(OH) <sub>2</sub> ]	— 12
Hidroxid de sodiu 0,1 M (0,4% NaOH)	— 13

acid

neutru

bazic

## Rezistivitatea apei

Soluțiile apoase au o conductivitate mai scăzută decît metalele și conductivitatea lor depinde de conținutul de sare solubilă. În tabelul 2.28, se dă rezistivitatea apei la diferite temperaturi [pentru apă curentă pură (conținutul de săruri al apei curente variază local) și pentru apă care conține adaosuri de sodă].

Tabelul 2.28. Rezistivitatea  $\rho$  a unei soluții de sodă la diferite temperaturi și diferite concentrații,  $M\Omega \text{ mm}^2/\text{m}$

Concentrația %	Temperatura, în °C								
	20	30	40	50	60	70	80	90	100
0 <sup>1)</sup>	19,60	16,20	13,90	12,30	11,10	10,00	9,00	8,30	7,60
0,1	8,80	7,20	6,00	5,10	4,30	3,80	3,80	3,00	2,80
0,5	1,60	1,40	1,20	0,98	0,84	0,72	0,63	0,56	0,51
1	1,20	1,00	0,88	0,76	0,66	0,58	0,52	0,47	0,53
3	0,45	0,35	0,29	0,26	0,24	0,22	0,21	0,20	0,19
5	0,33	0,28	0,24	0,20	0,18	0,16	0,15	0,14	0,13
10	0,21	0,17	0,15	0,13	0,11	0,10	0,10	0,10	0,10
20	0,15	0,13	0,11	0,10	0,08	0,07	0,06	0,055	0,05
25	0,12	0,11	0,09	0,08	0,07	0,06	0,05	0,045	0,04

<sup>1)</sup> Valorile pentru 0% se referă la apa curentă de la Berlin—Charlottenburg.

Rezistivitatea apei de ploaie depinde de cantitatea de materiale conductoare absorbite de ploaie. Rezistivitatea este mare dacă ploaia a căzut în aer liber curat; dar chiar în vecinătatea uzinelor ne putem încă aștepta la valori de 90 ... 100  $M\Omega \text{ mm}^2/\text{m}$ .

Rezistența apei de mare corespunde grosso-modo rezistenței unei soluții de 10% sodă.

## 2.9. MATERIALE SEMICONDUCTOARE

## 2.9.1. Definiții principale

Un semiconductor este un solid cristalin. Din punctul de vedere al conductivității electrice el ocupă o situație intermediară între metale și izolanti (dielectrici). Conductivitatea lui electrică depinde de temperatură, iar la temperatura zero absolut un semiconductor pur este un izolant.

Reprezentarea în plan din fig. 2.9, *a* a rețelei cristaline a germaniului se referă la un cristal semiconductor. Rețeaua cristalină este de tipul rețelei diamantului, la care fiecare atom este înconjurat de patru atomi vecini. Cuplarea cu acești patru atomi vecini se realizează prin patru perechi de *electroni de valență*. Pentru eliberarea electronilor din astfel de perechi, așa încît ei să se poată deplasa liber în cristal sub acțiunea



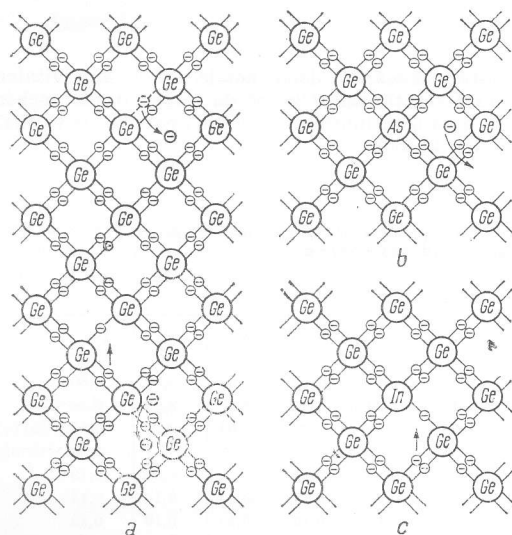


Fig. 2.9. Rețeaua cristalină a germaniului:  
a - mecanismul de conducție;  
b - conducția electronică sau de tip n;  
c - conducția de tip p.

unui câmp electric exterior (partea de sus a fig. 2.9, a) — deci ca semiconductorul să devină un conductor electric — este necesară o anumită energie care este caracteristică pentru fiecare semiconductor și care se numește *interval de energie*  $\Delta E$ .

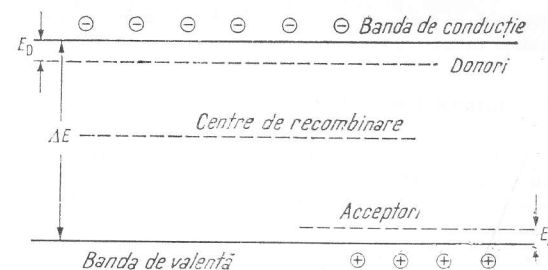
Locul liber care rezultă în punctele de electroni în urma eliminării unui electron, numit *gol* sau *lipsa de electron*, se poate deplasa într-un câmp electric. Un electron situat în apropierea golului și aflat sub influența câmpului electric ocupă golul (fig. 2.9, a, partea de jos). De fapt golul s-a deplasat în acest caz în sens opus față de electron. Există două moduri de a imprima unui electron această energie:

*Prin încălzirea cristalului.* Agitația termică a atomilor face ca electronii individuali să se elibereze din legăturile lor. Concentrația electronilor liberi și deci conductivitatea crește o dată cu temperatura. Acest fapt este utilizat în mod industrial la *termistor*.

Electronii și golurile care apar prin încălzirea semiconductorului se găsesc în concentrații egale, corespunzătoare *concentrației intrinsece*. Valoarea ei este de  $2,4 \cdot 10^{13}$  electroni/cm<sup>3</sup> pentru germaniu,  $2 \cdot 10^{10}$  electroni/cm<sup>3</sup> pentru siliciu și  $1,6 \cdot 10^{16}$  electroni/cm<sup>3</sup> pentru antimoniu de indiu la temperatura camerei.

*Prin iradierea cristalului,* în care caz electronii sunt expulzați din legăturile lor prin cuantele de lumină, ale căror cuante de energie  $h \nu$  trebuie să depășească valoarea  $\Delta E$ . Aplicații: fotorezistența (celula fotoconductivă) și fotoelementul (celula fotoelectrică). La încetarea radiației are loc recombinarea electronilor și a golurilor. Scăderea concentrațiilor purtătorilor de sarcină este direct proporțională cu  $e^{-t/\tau}$ , unde  $\tau$  este *durata de viață*. Recombinarea se produce de obicei prin intermediul centrilor de recombinare situați în apropierea mijlocului intervalului de energie  $\Delta E$  (fig. 2.10). Dacă numai o mică parte din semiconductor este supusă iradierii, atunci purtătorii de sarcină difuzează în partea neiradiată. Acolo concentrația lor scade direct proporțional cu  $e^{-x/L}$ , unde  $L$  se numește *lungimea de difuziune*.

Fig. 2.10. Modelul benzilor de energie.



În afară de încălzire și de iradiere cu cuante de lumină există un alt mod de a atribui conductivitate electrică unui semiconductor. În cazul germaniului unui atom — cu cei patru electroni de valență ai lor — sînt înlocuiți cu atomi de arseniu avînd cinci electroni de valență (impurificînd cu o cantitate de arseniu germaniul topit înainte de solidificarea cristalului). Cel de al cincilea electron al atomului de arseniu, nemăfiînd necesar pentru cuplarea atomului de arseniu cu atomii învecinați, se poate deplasa liber, ca *electron de conducție*, în rețeaua cristalină a germaniului (fig. 2.9, b); în acest caz cristalul are *conductivitatea electronică* (prin sarcini negative) sau de *tipul n*. Arseniul este un *donor* de electroni.

Dacă însă un atom de germaniu se înlocuiește cu un atom de *indiu*, care are numai trei electroni de valență, atunci se produce un gol în vecinătatea atomului de indiu (fig. 2.9, c). Cristalul este de *tipul p* în acest caz și are o *conductivitate de goluri* (prin sarcini pozitive). Indiu este un *acceptor* de electroni.

Concentrația de electroni sau goluri disponibile pentru transportul sarcinii este virtual identică cu cea a atomilor de impuritate adăugați. Spre deosebire de un metal, care are o rezistivitate tipică (bine definită), independentă de cantități mici de impurități, conductivitatea unui semiconductor poate fi stabilită și reglată după cerință cu ajutorul unor adausuri foarte mici de impurități. Acest proces se numește *dopare* sau *dotare*.

Energia necesară pentru a smulge un electron dintr-un donor sau un gol dintr-un acceptor se numește *energia de activare*  $E_D$  sau  $E_A$ ; în general  $E_D$  și  $E_A$  sînt mici în comparație cu  $\Delta E$ .

Nivelele de energie dintr-un semiconductor pot fi reprezentate cu ajutorul modelului benzilor de energie (fig. 2.10). Nivelele donozilor se găsesc imediat sub marginea inferioară a *benzii de conducție*, iar nivelele acceptozilor se găsesc imediat deasupra *benzii de valență*.

În semiconductoare pure de germaniu și siliciu virfurile rețelei cristaline sînt ocupate de atomi identici ai aceluiași element; în compuşii III—V însă, virfurile sînt ocupate alternativ de atomi ai unui element făcînd parte din grupa III a sistemului periodic (aluminiu, galiu, indiu) și de atomi din grupa V (fosfor, arsen, antimoniu). În medie, fiecare atom al unui compus III—V conține de asemenea  $3/2 + 5/2 = 4$  electroni de valență, exact ca și semiconductoarele formate din elemente pure. În mod corespunzător atomii au exact același aranjament geometric ca și în germaniu și siliciu. Pentru a introduce electroni suplimentari într-un compus III—V, el poate fi dotat, de exemplu, cu seleniu sau telur. Aceste elemente conțin un electron de valență în plus față de elementele din grupa a cincea și sînt servesc ca donori. Astfel, prin dotarea cu zinc sau cadmiu a rețelei cristaline a unui element din grupa III se obține un deficit de

electroni, și prin urmare o conducție de goluri, ca și în cazul semiconductorului de germaniu dotat cu indiu.

### Semiconductorul omogen

Atunci când un semiconductor cu electroni de conducție având concentrația  $n$ , sau cu goluri având concentrația  $p$ , se introduce într-un câmp electric, electronii se deplasează cu o viteză  $v = \mu E$  în direcția câmpului. *Mobilitatea*  $\mu$  reprezintă viteza într-un câmp având intensitatea de 1 V/cm. *Rezistivitatea*  $\rho$  poate fi determinată cu ajutorul dispozitivului arătat în fig. 2.11, prin măsurarea tensiunii  $U_H$  în lipsa câmpului magnetic:

$$\rho = \frac{1}{\gamma} = \frac{1}{en\mu_n} \quad \text{în semiconductorul de tip } n;$$

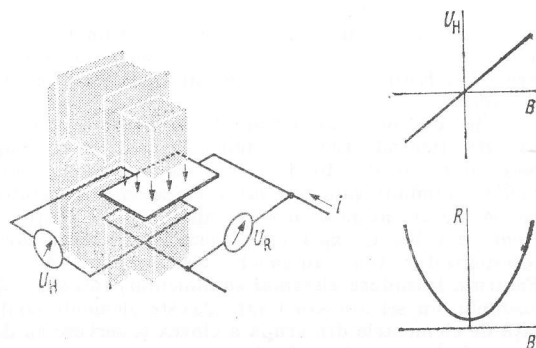
$$\rho = \frac{1}{\gamma} = \frac{1}{ep\mu_p} \quad \text{în semiconductorul de tip } p.$$

unde:  $e$  este sarcina elementară;  
 $\mu_p$  — mobilitatea golurilor;  
 $\mu_n$  — mobilitatea electronilor;  
 $\gamma$  — conductivitatea.

La apariția inducției magnetice  $B$  rezistivitatea crește la valoarea  $\rho_B$ . *Rezistența relativă*  $R_B/R_0 = \rho_B/\rho_0$  este mărimea fundamentală care caracterizează o *sondă magnetorezistivă*. În cimpurile slabe  $(\rho_B - \rho_0)/\rho_0 \sim B^2$ , unde  $\rho_B$  este independent de semnul lui  $B$ . În afară de aceasta, se poate măsura *tensiunea Hall*  $U_H$  într-un câmp magnetic conform următoarei legi

$$U_H = R_H \frac{i}{d} B,$$

Fig. 2.11. Măsurarea tensiunii  $U_H$ .



unde  $d$  este grosimea stratului semiconductor, iar  $R_H$  este constanta lui Hall:

$$R_H = -\frac{C}{en} \quad \text{pentru semiconductoare de tip } n$$

$$R_H = \frac{C}{ep} \quad \text{pentru semiconductoare de tip } p.$$

Factorul de proporționalitate  $C$  diferă foarte puțin de 1.

Concentrațiile purtătorilor de sarcini pot fi determinate prin măsurarea constantei Hall  $R_H$ .

*Efectul Hall* este utilizat în generatorul Hall.

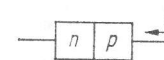
Dacă pe lungimea unui semiconductor există o diferență de temperatură, se poate măsura între extremitățile semiconductorului o tensiune electrică numită *tensiunea termoelectrică*. Aceasta din urmă este utilizată în *generatorul termoelectric* pentru convertirea directă a energiei termice în energie electrică. Pe de altă parte, când un curent trece printr-un semiconductor se produce o diferență de temperatură între extremitățile sale, care poate fi utilizată pentru *răcirea termoelectrică*.

### Semiconductoare cu joncțiuni p-n

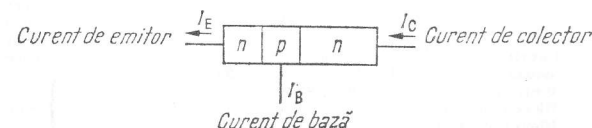
Atunci când un semiconductor se dotează astfel încât o parte din el să aibă conductivitate de tip  $n$ , iar restul conductivitate de tip  $p$ , suprafața de separare a celor două părți constituie o *joncțiune p-n*. Ea prezintă o rezistență mică față de curent într-un sens și o rezistență mare în celălalt sens, putând să redreseze un curent alternativ. Când se aplică o tensiune de polarizare apare un *strat de sarcină spațială*. Din fig. 2.12 se vede că diodele, tranzistoarele și tiristoarele sînt formate din zone dotate în mod diferit și avînd între ele joncțiuni p-n.

Cînd se injectează unei joncțiuni p-n din arсениură de galiu un curent în sensul direct, are loc o emisie de lumină; aceasta are lungimea de undă de circa  $0,9 \mu\text{m}$  la intensitatea mică a curentului, joncțiunea constituind o *diodă luminescentă*; ea constituie o *diodă laser* atunci cînd curentul are intensitatea mare. Prin dotare intensă se obține o *diodă tunel* a cărei caracteristică curent-tensiune este parțial negativă.

*Diodă:*



*Tranzistor n-p-n*



*Tiristor:*

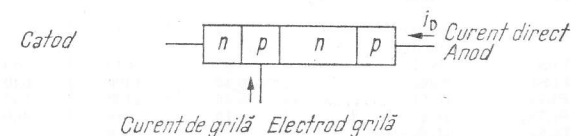


Fig. 2.12. Comparația între diodă, tranzistor și tiristor.

Joncțiunile  $p-n$  din siliciu sau germaniu cu rezistență ridicată sînt folosite ca detectoare de radiație pentru înregistrarea și măsurarea energiei particulelor  $\beta$ , protonilor și particulelor  $\alpha$ .

În fig. 2.13 sînt reprezentate caracteristicile unui tranzistor de siliciu în circuit de emitor: curentul de colector  $I_C$  ca funcție de tensiunea  $U_{CE}$  dintre colector și emitor, pentru diferite valori ale curentului de bază  $I_B$ .

În fig. 2.14 sînt reprezentate curbele tipice ale caracteristicilor curent-tensiune ale unui tiristor. Acesta este la început blocat în ambele sensuri, astfel încît chiar la tensiuni ridicate  $U_{AK}$  între anod și catod nu pot circula decît curenți mici (curentul de blocare  $i_B$  sau curentul invers  $i_I$ ). După cum arată caracteristica directă din primul cadran al diagramei din fig. 2.14, la o anumită tensiune de amorsare  $U_{Am}$  tiristorul este amorsat spre caracteristica directă. Aceasta din urmă arată relația dintre tensiunea directă  $U_D$  și curentul direct  $i_D$ , linia dreaptă din fig. 2.14. Tensiunea de amorsare  $U_{Am}$  este determinată de curentul de grilă.

Tabelul 2.29. Caracteristicile fizice ale citorva semiconductoare

Semiconducturul	Structura	$\Delta E$ la 0°K eV	$\mu_n$	$\mu_p$	Utilizări industriale
			$\frac{\text{cm}^2}{\text{Vs}}$	$\frac{\text{cm}^2}{\text{Vs}}$	
			la temperatura camerei		
Si	De diamant .....	1,12	1900	425	Redresor, celulă solară, detector de radiații, tranzistor, tiristor
Ge	De diamant .....	0,78	3900	1700	Redresor, detector de radiații, tranzistor
Ge-Si	Hexagonală .....	0,78–1,12			Generator termoelectric
Se		1,6–1,9		$\approx 1$	Redresor
AlSb		1,65	150	400	
GaP		2,33	> 100	150	Diodă luminescentă
GaAs	Blendă de zinc	1,52	7000	450	Diodă tunel, diodă lumi- nescentă, laser
GaSb		0,8	4000	2000	
InP		1,42	4500	150	Filtru de infraroșu
InAs		0,43	27 000	450	Filtru de infraroșu, gene- rator Hall
InSb		0,24	76 000	760	Filtru de infraroșu, de- tector de infraroșu, ge- nerator Hall, sondă magnetorezistivă
Cu <sub>2</sub> O	Cuprit .....	2,06		100	Redresor
ZnO	Wurtzit .....	3,2	200		
ZnS	Wurtzit .....	3,5–3,8			
	Blendă de zinc				Substanțe fluorescente
ZnSe	Blendă de zinc	2,8			
CdS	Wurtzit .....	2,5			Fotorezistență, dozi- metru pentru raze X
CdSe	Wurtzit .....	1,84	240		Fotorezistență
	Blendă de zinc				
PbS	NaCl .....	0,37	640	350	
PbSe	NaCl .....	0,45	1400	640	Fotoelemente
PbTe	NaCl .....	0,45	2100	840	
Bi <sub>2</sub> Te <sub>3</sub>	Hexagonal .....	0,15	310	400	
Bi <sub>2</sub> Se <sub>3</sub>	Hexagonal .....	0,28	600		Răcire termoelectrică

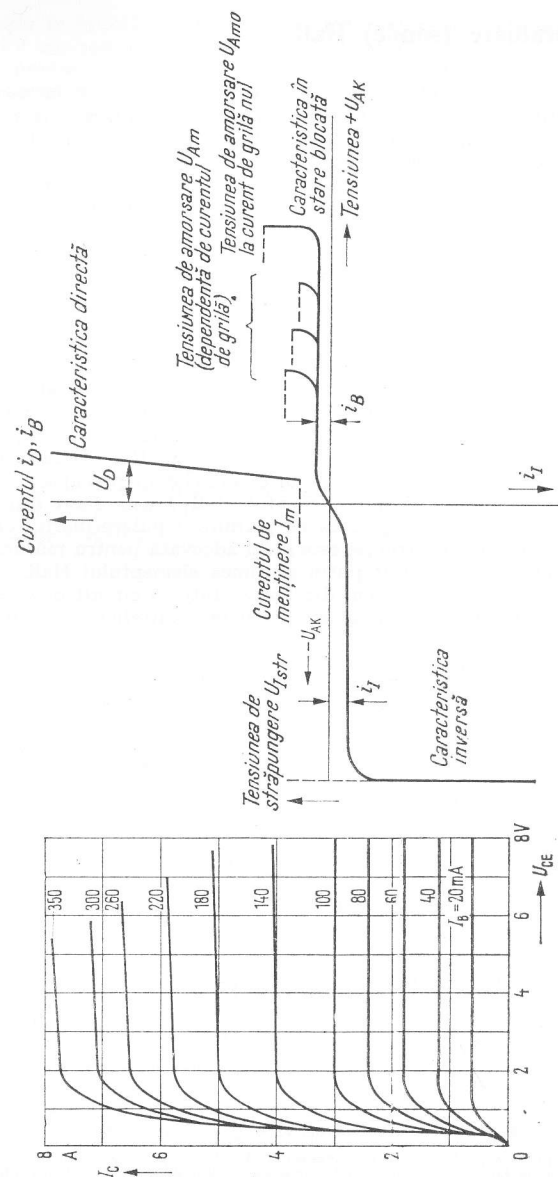


Fig. 2.13. Caracteristicile unui tranzistor cu siliciu, în circuitul emitorului.

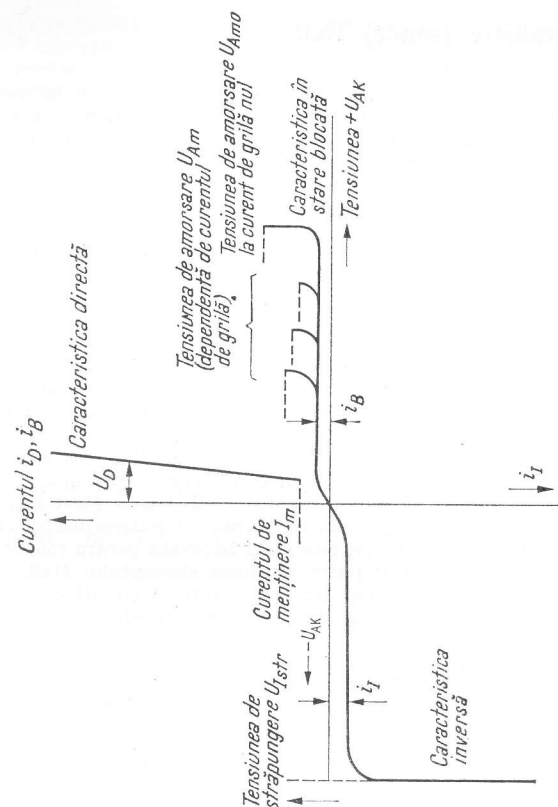


Fig. 2.14. Caracteristicile curent-tensiune ale unui tiristor.

## 2.9.2. Generatoare (sonde) Hall

Generatorul Hall este un element semiconductor care poate fi influențat magnetic și care servește la utilizarea tehnică a efectului Hall; el se utilizează la măsurarea cîmpurilor magnetice, la multiplicarea analogică, la indicarea fără contact a poziției și la citirea datelor înmagazinate magnetic.

Există numeroase tipuri constructive deosebindu-se, atît din punctul de vedere al materialului cît și al construcției, pentru a adapta generatorul la diferite aplicații posibile.

**Execuția deschisă** (fig. 2.15, a): elementul Hall 1 este fixat pe o placă suport subțire nemagnetică și este protejat numai printr-o peliculă 5 din lac izolat sau rășină epoxidică. Această formă constructivă este destinată măsurării cîmpurilor magnetice din întrefieruri înguste. Printre variante se numără tipul în formă de limbă și sonde pentru cîmp axial.

**Execuția închisă** (fig. 2.15, b); elementul Hall 1 este protejat de o cutie formată din placa de bază 2, rama 3 și un capac 4. Cutia este din  $Al_2O_3$ . Se utilizează ca sondă de precizie pentru măsurarea cîmpului în întrefieruri care depășesc 2 mm. Printre variante se numără sonda pentru cîmp tangențial (cu elementul Hall 1 în partea frontală) și sonda multiplă pentru măsurarea gradientilor de cîmp. Răcirea se face numai pe o singură față și anume pe placa de bază (tipul se marchează pe capac).

**Construcția sandviș** (fig. 2.15, c): elementul Hall 1 este fixat direct între placa de bază și capac, ambele din  $Al_2O_3$ , ceea ce permite o putere mărită cînd răcirea se face pe ambele fețe. Această construcție este ideal adecvată pentru măsurarea cîmpului în întrefieruri care nu depășesc decît puțin grosimea elementului Hall.

Variante: placa de bază și capacul din ferită; într-un circuit magnetic închis are o sensibilitate mare față de fluxul magnetic, deoarece întrefierul efectiv este egal cu grosimea elementului Hall.

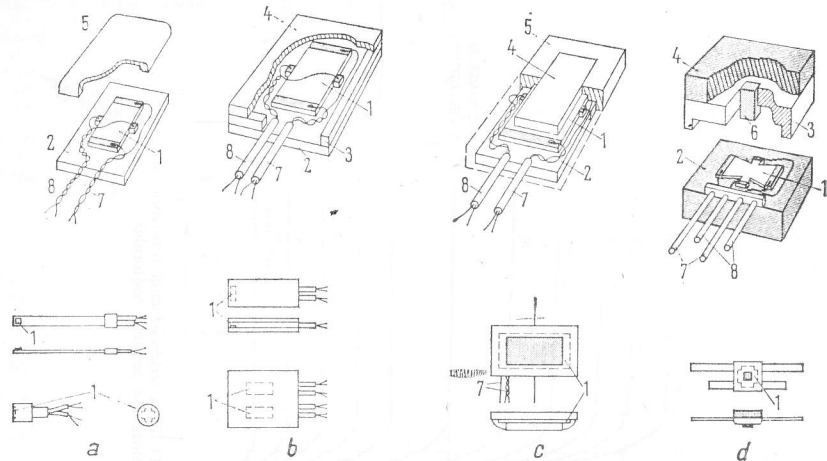


Fig. 2.15. Tipuri constructive de generatoare Hall:

1 - element Hall; 2 - placă suport; 3 - ramă nemagnetică; 4 - capac; 5 - capac lăcuit sau din rășină epoxi; 6 - bară de ferită; 7 - conexiunile curentului de comandă; 8 - conexiunile Hall.

**Construcția în formă de bară** (fig. 2.15, d): fluxul magnetic la care sînt supuse plăcile din ferită 2 și 4 este concentrat în mijlocul elementului Hall 1 cu ajutorul barei fero-magnetice 6; puntea 3 este nemagnetică ( $Al_2O_3$ ). Construcția este destinată sondelor Hall de tipul cu ferită, sensibile la fluxul magnetic. Variantă: sondă miniaturală pentru indicarea poziției bobinelor.

### Termeni și definiții

*Conexiuni, identificarea conexiunilor*<sup>1)</sup>

Sonde Hall cu sîrme emailate răsucite

Cele două conexiuni Hall (galben-roșu) și cele două conexiuni ale curentului de comandă (verde-violet) sînt întotdeauna răsucite împreună.

Sonde Hall cu sîrme emailate răsucite în tuburi izolante

Tubul albastru pentru tensiunea Hall, tubul roșu pentru curentul de comandă.

Sonde Hall cu conexiuni izolate și armate cu tresă

Conexiunile Hall albastru-roșu, conexiunile curentului de comandă galben-negru.

Sonde Hall cu sîrme neizolate

Tensiunea Hall — sîrme scurte, curentul de comandă — sîrme lungi.

Sonde Hall cu papuci lipiți: vezi date de catalog<sup>1)</sup>

Părți cu conexiuni numerotate:

1-2 curentul de comandă;

3-4 tensiunea Hall;

5-6

7-8 } bobinaje de excitație.

Pentru atribuirea polarităților v. fig. 2.16.

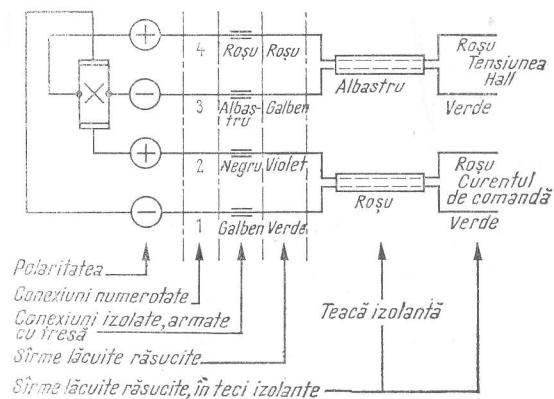


Fig. 2.16. Polaritățile tensiunii Hall și curentului de comandă la diferite execuții. Cîmpul magnetic traversează sonda Hall în direcția → capac (pe care e marcat tipul) sau strat de lac → element Hall → placă suport.

*Curentul de comandă  $i_1$*

Este curentul care circulă în elementul Hall și produce tensiunea Hall atunci cînd elementul este traversat în același timp de un cîmp magnetic.

<sup>1)</sup> Pentru sondele Hall produse de firma Siemens.

În cazul aplicațiilor care necesită un curent de comandă constant, trebuie să se țină seama de un curent de comandă indus care apare datorită efectului cîmpului magnetic asupra lui  $R_1$  (v. „Rezistențe”).

Curentul de comandă maxim  $i_{1max}$ :

Curentul de comandă necesar pentru atingerea încălzirii maxime admisibile  $\Delta T_{max}$ <sup>1)</sup>; se indică de obicei pentru funcționarea în aer liniștit. Dacă  $i_{1max}$  se depășește fără răcire specială, se poate produce distrugerea elementului Hall datorită supraîncălzirii

Curentul de comandă maxim cu răcire suplimentară:

În general, curentul de comandă  $i_1$  poate fi calculat cu ajutorul valorii rezistenței termice care se indică în catalog pentru răcire specială

$$i_{1max} \sqrt{\frac{\Delta T_{max}}{R_{10B} R_t}},$$

unde:

$i_{1max}$  este curentul de comandă maxim, în A;

$R_t$  — rezistența termică, în grd/W.

$R_{10B}$  — valoarea maximă a rezistorului de comandă, la un anumit regim de funcționare, în  $\Omega$ ;

$\Delta T_{max}$  — încălzirea maximă admisibilă a elementului Hall, în grd<sup>1)</sup>.

La  $\Delta T_{max} = 15$  grd curentul de comandă nominal se obține pentru condițiile de răcire corespunzătoare lui  $R_t$ .

Curentul de comandă sub formă de impuls:

Dacă se utilizează un curent de comandă sub formă de impuls, valoarea maximă poate fi considerabil depășită și anume:

— la un singur impuls

— la impulsuri periodice

$$i_{1P} = \sqrt{\frac{\Delta T_{max} C_t}{R_{10B} \Delta t}} \quad i_{1F} = \sqrt{\frac{\Delta T_{max}}{R_{10B} R_t} \frac{1 - e^{-\frac{1}{f C_t R_t}}}{1 - e^{-\frac{\Delta t}{C_t R_t}}}}$$

unde:

$i_{1P}$  și  $i_{1F}$  sint curenții de comandă sub formă de impuls, în A;

$C_t$  este capacitatea termică, în Ws/grd;  $C_t = c A d \rho$ ;

$c$  — căldura specifică a materialului semiconductor, în Ws/grd (v. tab. 2.30);

$A$  — suprafața elementului Hall, în cm<sup>2</sup>;

$d$  — grosimea elementului Hall, în cm;

$\rho$  — densitatea materialului semiconductor, în g/cm<sup>3</sup> (v. tab. 2.30);

$\Delta t$  — durata impulsului, în s;

$f$  — frecvența de repetare, în Hz ( $= s^{-1}$ ).

Curentul de comandă nominal  $i_{1n}$ :

Valoarea eficace a curentului de comandă care produce o încălzire de circa 15°C într-un element Hall care funcționează în regim staționar în aer liniștit și este supus

<sup>1)</sup> Dacă nu se specifică altfel,  $\Delta T_{max} = 30^\circ C$

la valoarea de referință a mărimii magnetice de măsurat (v. de asemenea „Valori de referință pentru mărimile magnetice de măsurat”).

În cataloage se indică de obicei 10 kGs ca valoare de referință a inducției magnetice. Dacă sonda Hall urmează a fi utilizată la  $x$  [kGs] ( $x > 15$  kGs) curentul de comandă trebuie să fie redus de la  $i_{1n}$  la  $i_{1nx}$ , din cauza influenței cîmpului magnetic asupra rezistenței  $R_1$  (v. „Rezistențe”),

$$i_{1nx} = i_{1n} \sqrt{\frac{R_{10n}}{R_{10x}}},$$

unde:

$i_{1n}$  este curentul de comandă nominal la  $B = x$  [kGs],

$R_{10n}$  — valoarea lui  $R_{10}$  la  $B = B_n$ ;

$R_{10x}$  — valoarea lui  $R_{10}$  la  $B = x$  [kGs].

Valoarea eficace maximă admisibilă a curentului de comandă de înaltă frecvență  $i_{1efmax}$  a sondei Hall într-un cîmp magnetic staționar:

$$i_{1efmax} = i_{1max} (f = 0)$$

pentru sonde Hall cu capac nemagnetic;

$$i_{1efmax} < i_{1max} (f = 0)$$

pentru sonde Hall pe material feromagnetic la frecvențe de peste 300 kHz ale curentului de comandă (fig. 2.17).

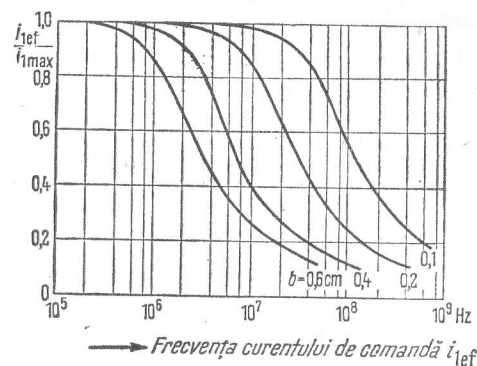


Fig. 2.17. Curentul de comandă alternativ maxim în funcție de frecvență și de lățimea  $b$  a elementului Hall pentru o sondă situată în cîmp staționar.

Curentul de comandă continuu pentru sonde Hall în cîmp magnetic alternativ de înaltă frecvență:

Din cauza pierderilor suplimentare prin curenți turbionari în elementele Hall, trebuie să se reducă valoarea maximă a curentului de comandă  $i_{1max}$  care era valabil pentru cîmpuri staționare.



În fig. 2.18 este reprezentat curentul de comandă admisibil  $i_1$  pentru un element Hall din InSb, avind dimensiunile  $a \cdot b \cdot d = 6 \cdot 3 \cdot 0,1 \text{ mm}^3$ , fixat între două plăci de ferită, în funcție de frecvența cîmpului, la diferite amplitudini ale acestuia. Pentru o sondă Hall dată există o frecvență limită  $f_l$  (punctul la care curba curentului inter-

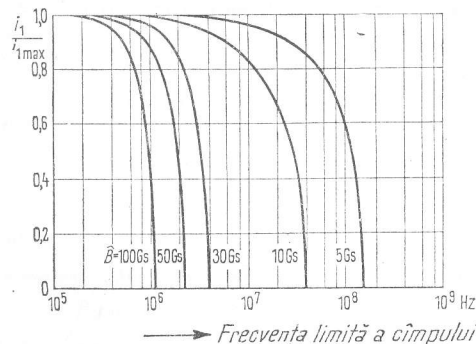


Fig. 2.18. Curentul de comandă continuu maxim  $i_1$  pentru sonde Hall în cîmp alternativ, în funcție de frecvență și de amplitudinea cîmpului magnetic.

sectează axa absciselor). La depășirea lui  $f_l$  elementul Hall poate fi distrus chiar la  $i_1 = 0$ .

Într-un element Hall fără carcasă din ferită pierderile prin curenți turbionari sînt și mai mari, deoarece lipsește amortizarea cîmpului autoindus prin curenții turbionari.

#### Mărimi magnetice de măsurat

v. „Valori de referință pentru mărimi magnetice de măsurat“.

#### Mobilitatea electronilor $\mu_n$

O proprietate a materialului funcție de temperatură. Valorile lui  $\mu_n$  sînt date în tabelul 2.30.

Tabelul 2.30. Proprietățile fizice ale aliajelor InSb, InAs și InAsP

$R_H$ — coeficientul Hall	$\gamma$ — conductivitatea
$\alpha_n$ — mobilitatea electronilor	$\eta_H$ — randamentul Hall
$\mu$ — coeficientul de temperatură al rezistivității	$\rho$ — densitatea
$\beta$ — coeficientul de temperatură al lui $R_H$ sau al tensiunii Hall în gol $U_{20}$	$c$ — căldura specifică

Materialul	$R_H$ cm <sup>3</sup> /As	$\mu_n$ cm <sup>2</sup> /Vs	$\alpha$ %/grd	$\beta$ %/grd	$\gamma$ S/cm	$\eta_H$ %	$\rho$ g/cm <sup>3</sup>	$c$ Ws/g · grd
In Sb	380	76 000	-1,2	-1,5	200	16	5,7	0,223
In As	100	23 000	0,2	-0,07	230	7	5,5	0,27
In(As <sub>0,8</sub> P <sub>0,2</sub> )	180	10 000	0,2	-0,04	55	4	5,4	0,273

#### Răspunsul la frecvență

Tensiunea Hall urmărește fără întârziere atât un curent de comandă de înaltă frecvență, cit și un cîmp magnetic de înaltă frecvență.

Amplitudinea tensiunii Hall nu este influențată de frecvență:

- la excitarea cu curent de înaltă frecvență;
- în cazul sondelor Hall cu capac nemagnetic situate într-un cîmp magnetic de înaltă frecvență.

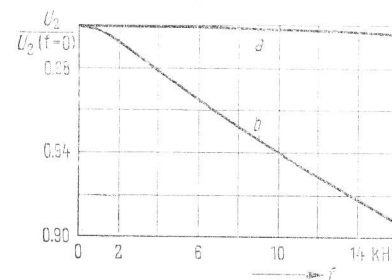


Fig. 2.19. Frecvența în funcție de amplitudinea tensiunii Hall:

- Sondă Hall în miez de ferită (RMY 10);
- Sondă Hall MB 26 în miez din mumetal EJ 38.

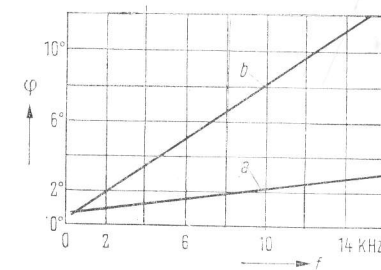


Fig. 2.20. Defazajul dintre curentul de excitație și tensiunea Hall:

- Sondă Hall în miez de ferită (RMY 10);
- Sondă Hall MB 26 în miez din mumetal JE 38

Amplitudinea este influențată de frecvență în cazul sondelor Hall cu ferită introduse în circuite magnetice închise, corespunzător răspunsului la frecvență al materialului feromagnetic utilizat. De asemenea se produce un defazaj în cîmpul magnetic între curentul de excitație al acestuia și tensiunea Hall respectivă (v. fig. 2.19 și 2.20).

#### Coeficientul Hall $R_H$

Coeficientul Hall  $R_H$  este o constantă de material care depinde de temperatură (fig. 2.21) și care pînă la inducții de 150 kGs nu este influențată de cîmpul magnetic în cazul arсениurii de indiu (InAs) și arсениurii-fosfurii de indiu (InAsP), pe cînd în cazul antimoniurii de indiu (InSb) ea este influențată de acest cîmp începînd de la circa 50 kGs.

#### Efectul Hall

Dacă un curent  $i_1$  parcurge în direcția  $x$  un conductor electric avind forma unei benzi de grosime  $d$  (fig. 2.22) și în același timp acest conductor se găsește într-un cîmp de inducție  $B$  avind direcția  $z$ , apare o tensiune Hall în gol  $U_{20}$  în direcția  $y$ , între punctele 3 și 4.

#### Ecuația lui Hall:

$$U_{20} = \frac{R_H}{d} i_1 B,$$

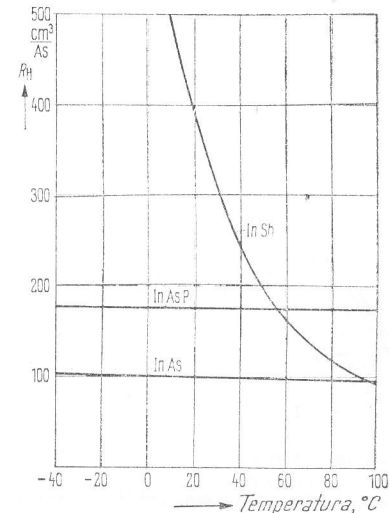


Fig. 2.21. Influența temperaturii asupra coeficientului Hall.

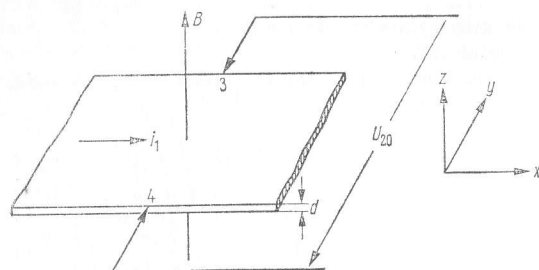


Fig. 2.22. Efectul Hall.

unde:  $U_{20}$  — tensiunea Hall în gol, în V;  
 $R_H$  — coeficient Hall, în  $\text{cm}^3/\text{As}$ ;  
 $i_1$  — curentul de comandă, în A;  
 $d$  — grosimea conductorului, în cm;  
 $B$  — inducția, în  $\text{Vs}/\text{cm}^2$ .

Elementul Hall sau „sistemul electric”.

Este format din plăcuța semiconductoră a sondei Hall împreună cu electrozii pentru curentul de comandă și cei pentru tensiunea Hall (fig. 2.23).

Elementul Hall cristalin: plăcuța semiconductoră se obține prin tăierea, polizarea și decaparea unor bare din material semiconductor topit; grosimea de 5 ... 100  $\mu\text{m}$ .

Elementul Hall obținut prin depunere de vapori: o peliculă semiconductoră se depune prin evaporare pe o placă suport; grosimea de circa 2 ... 3  $\mu\text{m}$ .

Tensiunea Hall

Ecuția Hall  $U_{20} = \frac{R_H}{d} i_1 B$  se aplică numai unui conductor care este

infințit de lung în direcția curentului de comandă și în cazul electrozilor punctiformi. În cazul elementelor Hall infinite de lungi și având electrozi infiniți se aplică relația:

$$U_{20} = \frac{R_H}{d} i_1 B G_H(a/b, s/a, B).$$

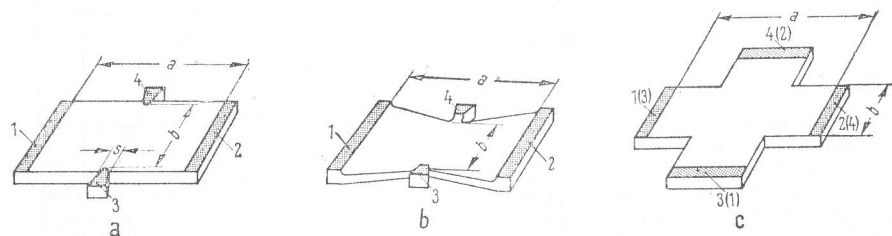


Fig. 2.23. Forme de elemente Hall:

$a$  — forma dreptunghiulară;  $R_{sl}/R_{20} \approx 3$ ; tensiunea Hall mare;  $b$  — forma de fluture: sensibilitate ridicată la flux  $K\Phi$ , dacă fluxul este concentrat pe suprafața centrală  $b.a/2$ ;  $c$  — formă de cruce simetrică: electrozii de comandă și electrozii Hall interschimbabili; sensibilitate ridicată la inducție;  $b = s$ ;  $R_{sl}/R_{20} > 10$ . 1, 2 — electrozi de comandă; 3, 4 — electrozi Hall;  $a$  — lungimea în direcția curentului de comandă;  $b$  — lățimea efectivă a elementului Hall;  $s$  — lățimea electrodului Hall.

Pentru o sondă Hall dată, expresia constantă  $R_H G_H/d$  se poate nota cu  $K_{B0}$  ( $B$ ) care se va numi „sensibilitatea în gol al fluxul magnetic”. (v. „Sensibilitatea în gol”).

Sensibilitatea în gol relativă la o anumită valoare a inducției magnetice se notează cu  $K_{B0B}$ , astfel că ecuația se poate scrie sub forma

$$U_{20} = K_{B0B} i_1 B,$$

iar folosind celelalte sensibilități enumerate în tabelul 2.31 rezultă:

$$U_{20} = K_{\Phi 0 B} i_1 \Phi;$$

$$U_{20} = K_{\Phi 0 B} i_1 i_3 w;$$

$$U_{20} = K_{F0B} B.$$

Tensiunea Hall  $U_2$  a sondei Hall în sarcină:

$$U_1 = R_{10B} i_1 + K_{B0B} i_2 B;$$

$$U_2 = K_{B0B} i_1 B - R_{20B} i_2,$$

unde:

$U_1$  — tensiunea la bornele curentului de comandă;

$U_2$  — tensiunea Hall la bornele Hall;

$R_{10B}$  și  $R_{20B}$  — rezistența în gol la curentul de comandă, respectiv la bornele Hall, corespunzătoare inducției  $B$ ;

$K_{B0B}$  este sensibilitatea magnetică în gol corespunzătoare inducției respective  $B$ ;

$i_1$  — curentul de comandă;

$i_2$  — curentul de sarcină.

Dacă  $U_2 = R_s i_2$ , unde  $R_s$  este rezistența de sarcină, rezultă din aceste ecuații că tensiunea Hall a sondei Hall în sarcină este

$$U_2 = \frac{K_{B0B} i_1 B}{1 + \frac{R_{20B}}{R_s}} = \frac{U_{20}}{1 + \frac{R_{20B}}{R_s}}.$$

În ceea ce privește influența temperaturii, a se vedea „Răspunsul la temperatură”.

Liniarizarea

Există o rezistență de sarcină  $R_s$  și numai una singură pentru fiecare domeniu al cîmpului de măsurat la care abaterea față de o dreaptă a curbei tensiunii Hall în funcție de acest cîmp este minimă. Această rezistență se notează cu  $R_{sl}$  (rezistența de sarcină de liniarizare). Cu cît domeniul cîmpului de măsurat este mai mare, cu atît este mai ridicată valoarea lui  $R_{sl}$ .

Liniaritatea

Dependența tensiunii Hall de curentul de comandă și de mărimea magnetică de măsurat.

La un cîmp magnetic tensiunea Hall este riguros proporțională cu curentul de comandă  $i_1$ , atît în gol cît și în plină sarcină.

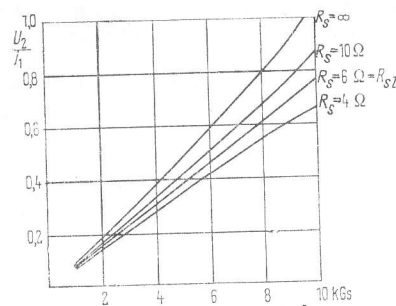


Fig. 2.24. Tensiunea Hall standardizată în funcție de inducția de măsurat, cu diferite rezistențe de sarcină ca parametri.

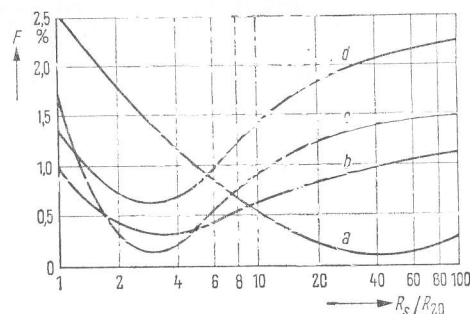


Fig. 2.25. Eroarea de liniaritate  $E$  în funcție de raportul de adaptare  $R_s/R_{20}$  pentru diferite elemente Hall, pentru  $B = 10$  kGs:

$a$  — InAs, formă de cruce;  $b$  — InAs, formă de fluturi;  
 $c$  — InAsP, dreptunghiular;  $d$  — InAs, dreptunghiular.

Relația dintre tensiunea Hall și cîmpul magnetic nu este reprezentată printr-o linie dreaptă nici în gol și nici în sarcină (fig. 2.26). Abaterea curbei în gol în regiunea inducțiilor mici se datorește lungimii finite a elementului Hall, iar abaterea de sens contrar a sondei Hall în sarcină în regiunea inducțiilor mari se datorește influenței cîmpului magnetic asupra lui  $R_2$  (fig. 2.24).

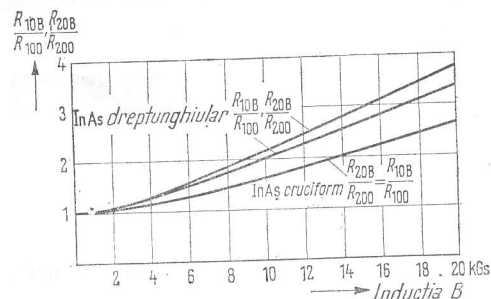


Fig. 2.26. Rezistența în gol în funcție de inducție pentru elementul Hall în formă de cruce și dreptunghiular din InAs, cu  $R_H = 100$  cm<sup>2</sup>/Vs,  $a/b = 2$ .

#### Eroarea de liniaritate $E$

Cîtul dintre abaterea maximă a curbei  $U-B$  reale de la cea ideală și tensiunea corespunzătoare limitei superioare a domeniului cîmpului de măsurat, în procente (fig. 2.27);

$$E = \frac{\Delta U_{max} \cdot 100}{U_{2n}}$$

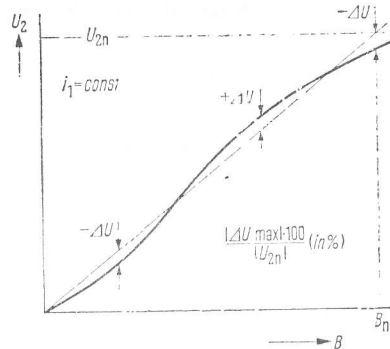


Fig. 2.27. Definirea erorii de liniaritate.

Eroarea de liniaritate  $E$  depinde de forma geometrică a elementului Hall, de mobilitatea electronilor  $\mu_n$  a materialului semiconductor, de domeniul cîmpului de măsurat și de rezistența de sarcină  $R_s$  (fig. 2.25).

#### Materiale pentru elemente Hall

Combi-națiile semiconductoare III-V InSb, InAs<sub>0,5</sub>P<sub>0,5</sub> cu mobilitate  $\mu_n$  ridicată a electronilor sînt deosebit de adecvate pentru valorificarea tehnică a efectului Hall (tensiunea Hall în gol  $U_{20}$  ridicată, randament Hall  $\eta$  ridicat și stabilitate mare a punctului de zero), deoarece (tabelul 2.30)

$$U_{20 max} \sim \sqrt{R_H \mu_n} \text{ și } \eta \sim (\mu_n B)^2.$$

În ipoteza că există numai conducție electronică pură (conducție de tip  $n$ ), există următoarea relație între constanta Hall și mobilitatea electronilor:

$$\mu_n = \gamma R_H; \quad R_H = \frac{1}{ne}; \quad \gamma = ne\mu_n,$$

unde:  $R_H$  este constanta Hall, în cm<sup>2</sup>/Vs;

$\mu_n$  — mobilitatea electronilor, în cm<sup>2</sup>/Vs;

$e$  — sarcina elementară, egală cu  $1,6 \cdot 10^{-19}$ , în As;

$n$  — concentrația purtătorilor, dată în număr de electroni pe cm<sup>3</sup>;

$\gamma$  — conductivitatea, în S/cm.

#### Valori de referință pentru mărimile magnetice de măsurat.

Pentru a se putea face evaluări cantitative asupra proporționalității dintre tensiunea Hall și cîmpul magnetic de măsurat, asupra curentului de comandă nominal și a tensiunii Hall reziduale remanente, trebuie să se definească întreg domeniul de variație al mărimilor magnetice. Limita superioară a acestuia se numește valoarea de referință, sau valoarea nominală. Sonda Hall nu este periclitată dacă aceste valori de referință se depășesc, cu condiția ca la inducții de peste 15 kGs tensiunea de comandă nominală să se reducă în consecință (v. „Curentul de comandă”).

$B_n$  — valoarea de referință a inducției magnetice, se aplică sondelor Hall cu carcasă nemagnetică;

$\Phi_n$  — valoarea nominală a fluxului magnetic. Se utilizează în cazul sondelor Hall în ferită: valoarea  $\Phi_n$  se găsește sub cotul de saturație al feritei;

$F_m$  — valoarea nominală a tensiunii magnetomotoare utilizată la modulatori și multiplicatoare; la valori ale  $t$  m. m. pînă la  $F_m = i_{3n} w$  nu apare saturația în circuitul magnetic;

$i_{3n}$  — valoarea nominală a curentului de excitație;

$w$  — numărul de spire ale înfășurării de excitație.

#### Tensiuni reziduale

Tensiunea reziduală inductivă  $U_{i0}$ :

T. e. m. produsă de o inducție variabilă — în suprafața  $A_2$  (cunoscută sub numele de „componentă de zero inductivă” și care se indică în cm<sup>2</sup>), formată de conexiunile Hall și calea de curent din elementul Hall, este

$$U_{i0} = A_2 \frac{dB}{dt}.$$

☞ Sondele Hall pentru măsurarea cîmpului și pentru multiplicare sînt de obicei astfel bobinate, încît să se reducă inducția (fig. 2.28, b), spre deosebire de tipul de sondă cu elemente Hall obținute prin depunere și de sondele Hall cu ferită pentru emiterea

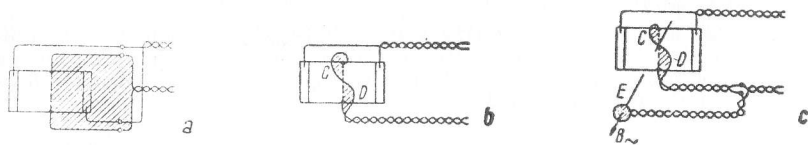


Fig. 2.28. Tensiunea reziduală inductivă și compensarea ei:

a - componenta de zero inductivă  $A_2$ , proporțională cu aria hașurată; b - sondă Hall cu inducție redusă prin modul de înfășurare a bobinelor. Componenta de zero inductivă  $A_2 = \text{aria } D - \text{aria } C$ ; c - compensarea tensiunii reziduale inductive. În cîmpul magnetic se prevede o a doua buclă E în serie cu circuitul Hall astfel încît tensiunea indusă în această buclă și în sonda Hall să se anuleze reciproc. Echilibrat la  $i_1 = 0$ .

semnalelor (fig. 2.28, a). Posibilitatea de compensare este ilustrată în fig. 2.28, c.

Tensiunea Hall reziduală remanentă  $U_{rem}$ :

Este o tensiunea reziduală Hall în gol care apare numai la sondele Hall în ferită și deci într-un circuit magnetic; această tensiunea reziduală rămîne la un curent de comandă dat, după aplicarea unui anumit cîmp magnetic de comandă, ca rezultat al remanenței materialului feromagnetic.

Dacă  $U'_0$  reprezintă tensiunea Hall reziduală în gol la curentul de comandă nominal  $i_{1n}$  și  $\Phi = 0$  după aplicarea lui  $+\Phi_n$ , iar  $U'_0$  reprezintă tensiunea Hall reziduală la  $i_{1n}$  și  $\Phi = 0$  după aplicarea lui  $-\Phi_n$ , avem

$$U_{rem} = \pm \frac{1}{2} (U'_0 - U''_0).$$

Tensiunea reziduală rezistivă  $U_{2r0}$

Este tensiunea reziduală în gol produsă de curentul de comandă  $i_1$  la inducția  $B = 0$ , datorită faptului că electrozii Hall nu sînt dispuși în același plan echipotențial

$$U_{2r0} = R_0 i_1.$$

Factorul de proporționalitate  $R_0$ , exprimat în V/A, se numește componenta de zero rezistivă.  $R_0$  poate fi influențat de temperatură și de cîmpul magnetic.

Stabilitatea acestei componente de zero este o caracteristică importantă a sonda Hall.

Separarea tensiunii reziduale rezistive  $U_{2r0}$  de cea reziduală termică  $U_{2T}$  pentru scopuri de măsurare, la curentul de comandă nominal  $i_{1n}$ , se face astfel:

Dacă  $U'_2$  este tensiunea reziduală în gol măsurată la  $i_{1n}$  într-un spațiu care nu este influențat de cîmp (după ce în prealabil s-a demagnetizat sonda Hall cu ferită), iar  $U''_2$  este tensiunea la  $-i_{1n}$ , atunci

$$U_{2r0} = \frac{1}{2} (U'_2 - U''_2), \quad U_{2T} = \frac{1}{2} (U'_2 + U''_2).$$

În ce privește posibilitatea de compensare v. fig. 2.29.

Tensiunea reziduală termică  $U_{2T}$ .

Electrozii Hall conectați la bornele de intrare formează două termocupluri ale căror tensiuni se anihilează reciproc dacă electrozii Hall se găsesc la aceeași temperatură. Dacă însă temperaturile sînt diferite, apare o diferență între aceste tensiuni, numită tensiunea reziduală termică  $U_{2T}$ .

Condiția de a menține această tensiune la o valoare mică: În cazul funcționării în aer se va evita convecția și radiația unilaterală; în condiții de răcire artificială se va intercala o pastă bună conducătoare de căldură între suprafața de răcire și placa suport a elementului Hall.

Pentru determinarea prin măsurare v. „Tensiunea reziduală rezistivă“.

Rezistențe

$R_1$  - rezistența internă a căii curentului de comandă:

$R_{10}$  - valoarea lui  $R_1$  măsurată cu circuitul Hall deschis;

$R_{10B}$  - valoarea lui  $R_{10}$  la inducția corespunzătoare  $B$ ;

$R_{100}$  - valoarea lui  $R_{10}$  la inducția  $B = 0$ .

$R_2$  - rezistența internă corespunzătoare tensiunii Hall:

$R_{20}$  - valoarea lui  $R_2$  măsurată cu circuitul de comandă deschis;

$R_{20B}$  - valoarea lui  $R_{20}$  la inducția corespunzătoare  $B$ ;

$R_{200}$  - valoarea lui  $R_{20}$  la inducția  $B = 0$ .

Rezistențele interne sînt influențate de temperatură și de cîmpul magnetic (fig. 2.26).

Influența cîmpului magnetic asupra lui  $R_2$  și  $R_{20}$  explică de ce caracteristicile  $U_2 - B$  ale sondei Hall în gol și în sarcină sînt diferite.

Trebuie să se țină seama de creșterea lui  $R_1$  în cîmpul magnetic atunci cînd se măsoară inducții mari pentru determinarea curentului de comandă (v. „Curentul de comandă nominal“) chiar atunci cînd sursa de alimentare are o tensiune de comandă constantă.

Cîmpul autoindus al sondei Hall

Este cîmpul magnetic produs în elementul Hall de către circuitul curentului de comandă; în cazul curentului alternativ, el produce o tensiune perturbatoare de frecvență dublă.

Sensibilitatea în gol  $K_{B0}(B)$

Este o mărime constantă pentru fiecare sondă Hall (v. și „Tensiunea Hall“) referitoare la mărimea magnetică de măsurat, și anume

$$K_{B0}(B) = \frac{1}{d} R_H G_H,$$

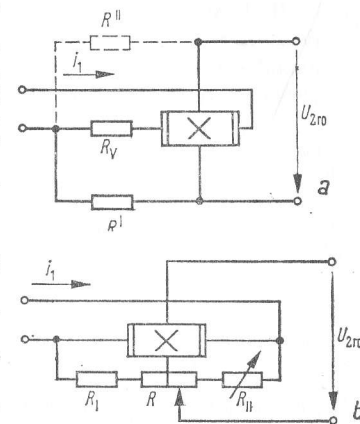


Fig. 2.29. Compensarea tensiunii reziduale rezistive  $U_{2r0}$ :

a - compensarea la temperatură constantă conform polarității lui  $U_{2r0}$  pentru:  $R'$  sau  $R''$ ;  $R', R'' \gg R_0$ ; b - compensare slab influențată de temperatură, pentru  $R_I \approx 0,8 R_{II}$ ;  $R \ll R_I, R_{II}$ .

unde:  $R_H$  este coeficientul Hall;

$G_H$  — o funcție geometrică care depinde de dimensiunile laturilor și electrozilor  
 $a/b, s/a$  (v. fig. 2.23) și de inducția  $B$  însăși;  
 $d$  — grosimea elementului Hall.

Unitățile practice pentru mărimile magnetice de măsurat:

Inducția magnetică  $B$  ..... kGs;

Fluxul magnetic  $\Phi$  ..... Mx;

Tensiunea magnetomotoare în circuit magnetic închis

$F_m = i_3 \omega$  ..... A.

Definițiile și simbolurile sensibilităților relative la aceste mărimi sint date în tabelul 2.31.

Sensibilitățile în gol depind de temperatură și de mărimea magnetică de măsurat: drept consecință ele pot fi specificate numai pentru valori de referință particulare (v. „Valori de referință pentru mărimile magnetice de măsurat”).

Tabelul 2.31. Sensibilitatea în gol

Denumirea <sup>1)</sup>	Dimensiuni	Ecuatia de definiție	Dependență	Utilizare
Sensibilitatea de inducție în gol $K_{B0(B)} = K_{B0B}$	$\frac{V}{A \text{ kGs}}$	$\frac{u_{20}}{i_1 B}$	$\sim R_H, \sim \frac{1}{d}$ depinde puțin de $ab$	Generatoare Hall cu carcase nemagnetice
Sensibilitatea de flux în gol $K_{\Phi 0(B)} = K_{\Phi 0B}$	$\frac{V}{AMx}$	$\frac{u_{20}}{i_1 \Phi}$	$\sim R_H$ $\sim \frac{1}{d}, \sim \frac{1}{ab}$	Generatoare Hall cu ferită
Sensibilitatea de t.m.m în gol $K_{\Theta 0(B)} = K_{\Theta 0B}$	$\frac{V}{A^2}$	$\frac{u_{20}}{i_1 i_3 \omega}$	$\sim R_H, \sim \frac{1}{\delta}$	Generator Hall în circuit magnetic închis
Sensibilitatea de cîmp în gol $K_{F0(B)} = K_{F0B}$	$\frac{V}{kGs}$	$K_{B0B} i_1$	$\sim R_H, \sim \frac{1}{d},$ $\sim ab$	Compararea generatoarelor Hall cu carcasă nemagnetică în privința tensiunii Hall maxime care se poate atinge în gol

<sup>1)</sup> Forma simplificată a formulei sensibilității referitoare la o anumită mărime magnetică de măsurat

Pentru sensibilitățile mijlocii în gol ale sondelor Hall produse în serie de către firma Siemens, v. tabelul 2.32.

Tabelul 2.32. Sensibilitatea medie în gol a generatoarelor Hall produse în serie de firma Siemens

Sensibilitatea	Unitatea	Materialul semiconductor					
		InAs		InAsP	InSb		
		A	C	A	A	B	C
$K_{B0}$ la 10 kGs .....	$\frac{V}{A \text{ kGs}}$	0,1	0,6	0,15	—	5	5
$K_{\Phi 0}$ la 10 Mx .....	$\frac{V}{A \text{ Mx}}$	$10^{-3}$	—	—	$2 \cdot 10^{-3}$	0,2	—
$K_{\Theta 0}$ la 20 A .....	$\frac{V}{A^2}$	0,07	—	—	—	—	—
$K_{F0}$ la 10 kGs (fără răcire specială; în aer) .....	$\frac{V}{kGs}$	0,04	0,07	0,03	—	0,15	0,1

#### Temperatura la suprafață

Dacă nu se specifică altfel (de exemplu în cazul sondelor cu peliculă depusă, destinate temperaturilor înalte și joase), sonda Hall poate funcționa la temperaturi cuprinse între  $-50^\circ\text{C}$  și  $+120^\circ\text{C}$ .

Pentru a ne asigura că limita de  $120^\circ\text{C}$  nu este depășită, se va respecta următoarea relație privitoare la temperatura maximă admisibilă la suprafață

$$T_{s \max} = 120^\circ\text{C} - \Delta T_{\max}$$

(pentru  $\Delta T_{\max}$  v. „Curentul de comandă”).

#### Răspunsul la temperatură

La variația temperaturii ambiante de la  $T_0$  la  $T_0 + \Delta T$  este valabilă următoarea relație pentru tensiunea Hall în gol

$$U_{20}(T_0 + \Delta T) = U_{20}(T_0)(1 + \beta \Delta T).$$

În cazul unei sonde Hall în sarcină, tensiunea Hall este

$$U_2(T_0 + \Delta T) = \frac{U_{20}(T_0)(1 + \beta \Delta T)}{1 + \frac{R_{20B}(T_0)(1 + \alpha \Delta T)}{R_s}}$$

unde:  $\alpha$  este coeficientul de temperatură mediu al rezistențelor  $R_{100}$  și  $R_{200}$ , în % grd;

$\beta$  — coeficientul de temperatură mediu al tensiunii Hall în gol  $U_{20}$ , în % grd.



Coeficienții de temperatură depind de temperatura de referință  $T_0$  și de intervalul  $\Delta T$  în care ei se definesc, astfel:

$$\alpha = \frac{100}{R(T_0)} \frac{\Delta R}{\Delta T}; \quad \beta = \frac{100}{U_{20}(T_0)} \frac{\Delta U_{20}}{\Delta T}.$$

Pentru valorile lui  $\alpha$  și  $\beta$  v. tabelul 2.30.

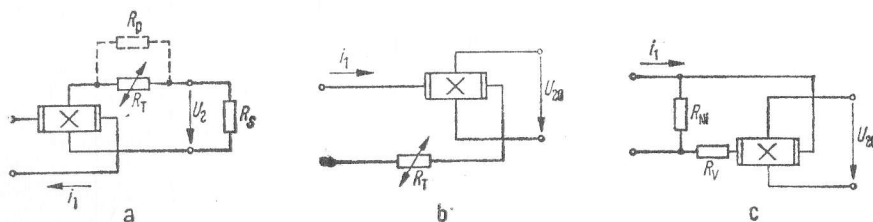


Fig. 2.30. Compensarea la temperatură a tensiunii Hall:

Posibilă numai pentru o rezistență de sarcină dată  $R \leq 10R_{200}$ ; slab influențată de cîmpul magnetic.

La intervale de temperatură mici se aplică următoarea formulă pentru rezistența conductorului termoelectric avînd coeficientul de temperatură  $\lambda$ .

$$R_T(T_0) \approx \frac{R_{200}(T_0)(\alpha - \beta) - \beta R_s}{\beta - \lambda}$$

unde  $\alpha$  și  $\beta$  se iau din tabelul 2.30;

Tensiunea de comandă constantă aplicată sondei Hall. În cazul elementelor Hall din InSn se obține o îmbunătățire în ce privește influența temperaturii și fără conductor termoelectric, dat fiind că coeficientul de temperatură al lui  $R_{100}$  este negativ.

Puternic influențată de cîmpul magnetic. Rezistența de nichel în paralel cu calea de curent. Cu cît  $R_v$  este mai mare, cu atît compensarea este mai puțin dependentă de cîmpul magnetic. Pentru  $R_v = 8R_{100}$  se poate obține o precizie de  $0,5^\circ/10$  grd.

$$R_{Ni}(T_0) \approx (R_{100} + R_v) \left( \frac{\alpha N_i}{\beta'} - 1 \right)$$

$$\beta' = \frac{U_2(T_0) - U_2(T_0 + \Delta T)}{U_2(T_0) \Delta T}$$

În gol  $\beta' = \beta$ ;  $\alpha$  și  $\beta$  conform tabelului 2.30.

În fig. 2.30 sînt reprezentate cele trei posibilități pentru compensarea temperaturii tensiunii Hall.

Trebuie să se aibă în vedere că elementele influențate de temperatură și elementul Hall ating întotdeauna aceeași temperatură.

### 2.9.3. Dispozitive cu sonde Hall

Emițătoare de semnal fără contacte și fără atingerea obiectivelor supravegheate  
Acționate prin magneți (tip KSM)

Sonde Hall cu ferită montate în carcase din mumetal, cu fișă și conexiuni lipite.

În fig. 2.31 a, b și c sînt reprezentate curbele tensiunii Hall în cazul emițătoarelor de semnal cu elementele Hall așezate perpendicular pe direcția de mișcare, pentru diferite dispoziții ale magneților; în fig. 2.31, d este reprezentat emițătorul de semnal cu memorie, iar în fig. 2.31, e — cel destinat unor distanțe mici între polii magnetului ( $\geq 0,7$  mm).

Dacă elementul Hall este paralel cu direcția de mișcare, curba tensiunii Hall are forma din fig. 2.31, f și g.

Acționate de piese feromagnetice (tip KSE)

Punte echilibrată cu magneți permanenți, cum se arată în fig. 2.31, h, înglobată într-o carcasă nemagnetică.

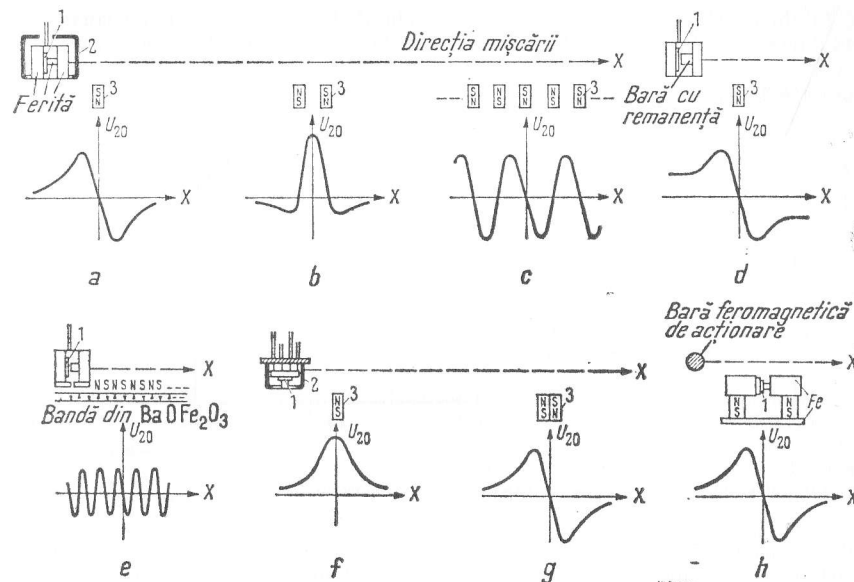


Fig. 2.31. Curbele tensiunii Hall pentru emițătoare de semnal fără contacte:  
a...g — pentru acționare prin magneți; h — pentru acționare prin piese feromagnetice;  
1 — elementul Hall; 2 — ecran din mumetal; 3 — magneți în formă de bară.

#### Traductor Hall de separare

Construcție specială a unui multiplicator Hall pentru curenți de excitație  $\leq 3000$  A pentru măsurarea puterii în c.c. și pentru determinarea valorilor reale ale curentului continuu fără conductoare de legătură.

#### Modulatorul Hall

Dispozitiv utilizat pentru modularea tensiunilor sau curenților continui.

#### Multiplicatorul Hall

Este o sondă Hall montată în întrefierul unui circuit feromagnetic închis și echipat cu o înfășurare de excitație, destinată multiplicării a doi curenți. Dacă cîmpul magnetic din întrefier este mare în comparație cu cel din materialul feromagnetic, se poate scrie următoarea relație pentru inducția din întrefier

$$B_\delta = \mu_0 \cdot i_3 \cdot \frac{w}{\delta},$$

unde:  $B_\delta$  este inducția în întrefier, în Gs;

$\mu_0$  — permeabilitatea magnetică a vidului ( $= 1,2566 \text{ H/cm} \cdot 10^{-9}$ );

$i_3$  — curentul de excitație, în A;

$w$  — numărul de spire;

$\delta$  — lățimea întrefierului, în cm.

Tensiunea Hall este proporțională cu produsul dintre curentul de comandă  $i_1$  și curentul de excitație  $i_3$ . În fig. 2.32 este reprezentată curba erorilor datorite histerezisului

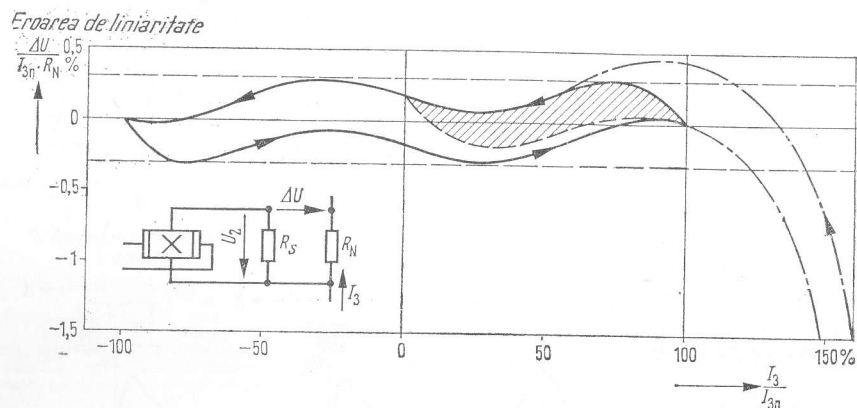


Fig. 2.32. Eroarea de multiplicare a unui multiplicator Hall;  $R_N = U_{2n}/i_n$ .

circuitului magnetic și neliniarității sondei Hall. Lățimea buclei formată de curba erorilor depinde de materialul circuitului magnetic și de neliniaritatea sondei Hall. Dacă curentul de excitație crește pînă la  $i_{3n}$  numai într-o singură direcție, eroarea se înscrie în suprafața hașurată.

Dacă  $i_{1min}$  și  $i_{3min}$  reprezintă valorile cele mai scăzute care apar în timpul funcționării curenților ce urmează a fi multiplicați, iar  $i_{1n}$  și  $i_{3n}$  respectiv valorile lor nominale, eroarea de multiplicare atinge un minim,

$$\frac{i_{3n}}{i_{3min}} < \frac{i_{1n}}{i_{1min}}.$$

Pentru influența frecvenței asupra amplitudinii tensiunii Hall și asupra defazajului dintre curentul de excitație și tensiunea Hall v. fig. 2.19 și 2.20.

## 2.9.4. Sonde magnetorezistive

Sondele magnetorezistive sînt formate de rezistențe semiconductoare din antimoniu de indiu și ele pot fi comandate direct și fără contact prin electromagneți sau magneți permanenți care se deplasează în raport cu sonda magnetorezistivă. Ele se utilizează pentru potențiometre fără contacte, măsurări speciale ale cîmpului magnetic și pentru determinarea fără contact a poziției magneților.

### Tipuri

Tipul deschis (fig. 2.33, a); elementul magnetorezistiv 1 este fixat pe placa suport 2 și este protejat prin capacul izolant 3. Placa suport poate fi din oxid de aluminiu ( $\text{Al}_2\text{O}_3$ ) sau dintr-o folie, de exemplu de hostaphan. Acest tip de sondă magnetorezistivă se utilizează în principal în întrefierurile înguste pentru măsurarea cîmpurilor magnetice. Tipuri auxiliare sînt sondele duble și cele axiale.

Tipul sandviș (fig. 2.33, b); elementul magnetorezistiv 1 este așezat între o placă suport 2 și un capac 4. Rezistența termică este redusă datorită dispărării bilaterale a căldurii. Există un tip auxiliar la care placa suport și capacul sînt din ferită, dar acesta este adecvat numai pentru inducții mai mici decît 4 kGs.

Simbolizare (pentru sondele magnetorezistive produse de Siemens)

Exemplu:

FP	28	D	50	— Rezistența la bază $R_0$ , $\Omega$ .
				Codul literal al semiconductorului utilizat; caracteristicile (conform tabelului 2.33).
				Codul numeric referitor la tip și la dimensiunile geometrice (numărul de serie al tipodimensiunii)
				Sondă magnetorezistivă (Field Plate)

### Capacitatea de încărcare a sondelor magnetorezistive

Temperatura maximă admisibilă a elementului

$$T_R = 95^\circ\text{C}.$$

Încălzirea maximă admisibilă a elementului

$$\Delta T_{max} = 30^\circ\text{C}.$$

Curentul maxim admisibil

$$i_{max} = \sqrt{\frac{\Delta T_{max}}{R_{Bmax} R_t}} \quad ^1)$$

Tensiunea maximă admisibilă de aplicat elementului magnetorezistiv

$$U_{max} = \sqrt{\frac{\Delta T_{max} R_{min}}{R_t}} \quad ^1)$$

<sup>1)</sup> Pentru temperatură ambiantă sau a suprafeței de răcire  $T_a > 65^\circ\text{C}$   $\Delta T_{max}$  trebuie înlocuit cu  $(95 - T_a)$ .

unde:  $R_{B \max}$  este rezistența maximă a sondei magnetorezistive în timpul funcționării, în  $\Omega$ ;

$R_t$  — rezistența termică, în  $\text{grd/W}$  (specificată în catalog pentru diferite condiții de răcire);

$R_{\min}$  — rezistența minimă a sondei magnetorezistive în timpul funcționării,  $\Omega$ .

#### Răspunsul la frecvență

Variația rezistenței urmărește fără întârziere un cimp magnetic de înaltă frecvență.

Rezistența de bază  $R_0$

Rezistența elementului magnetorezistiv, în  $\Omega$ , măsurată la  $25^\circ\text{C}$  și la inducția  $B = 0$ .

#### Coefficientul de temperatură $T_K$

Coefficientul de temperatură al materialului elementului magnetorezistiv depinde de inducție și de temperatura însăși și se exprimă în  $\%/ \text{grd}$ . Valorile lui  $T_K$  pentru materialele semiconductoare utilizate la elementele magnetorezistive sînt date în tabelul 2.33 și fig. 2.40.

#### Efectul magnetorezistiv

Într-o piesă din material semiconductor de lungime  $a$  și lățime  $b$  (fig. 2.34, a) căile de curent în lipsa cimpului magnetic reprezintă distanța cea mai scurtă dintre electrozii conductori. Dacă materialul este supus unui cimp magnetic perpendicular, căile

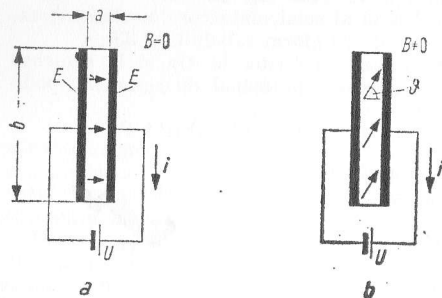


Fig. 2.34. Direcția căilor de curent ( $\rightarrow$ ) într-o placă semiconductoră de dimensiuni  $a \cdot b$  cu electrozi metalici:  
a — în absența cimpului magnetic; b — într-un cimp magnetic perpendicular pe planul figurii ( $\Phi$  — unghiul Hall).

de curent sînt deviate cu un unghi Hall  $\Phi$  (fig. 2.34, b) și devin astfel mai lungi. Creșterea rezistenței datorită lungimii căii de curent depinde de:

- mobilitatea purtătorilor de sarcină ai materialului elementului, în  $\text{cm}^2/\text{Vs}$ ;
- valoarea inducției, în  $\text{Vs}/\text{cm}^2$ ;
- raportul  $b/a$  dintre lățime și grosime

#### Elementele magnetorezistive

În mod teoretic acestea sînt constituite dintr-un număr mare de plăci semiconductoare (fig. 2.35, a) legate în serie, fiecare dintre ele avînd raportul dintre lățime și grosime  $b/a \geq 6$ .

Există următoarele execuții practice de elemente magnetorezistive:

— Placă semiconductoră din antimoniu de indiu (InSb) cu o rețea de indiu la suprafață (fig. 2.35, b).

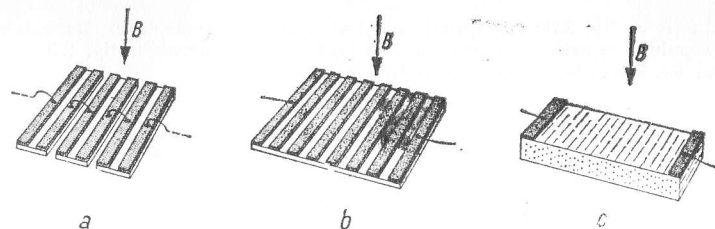


Fig. 2.35. Structura elementelor magnetorezistive.

— Fișii semiconductoare de antimoniu de indiu care conține ace din antimoniu de nichel (fig. 2.35, c), a căror conductivitate este de 200 ... 300 ori mai mare decît cea de InSb. Aele au dimensiunile  $\approx 1 \mu\text{m} \cdot 50 \mu\text{m}$ . Elementele simbolizate cu literele D, L și N conform tabelului 2.33.

Tabelul 2.33. Variația relativă a rezistenței și a coeficientului de temperatură pentru diferite materiale semiconductoare

Materi- alul semi- conduc- tor	$\gamma$ $S'$ cm	Variația relativă a rezistenței la $25^\circ$ și $B =$		Coeficientul de temperatură $T_h$ la $25^\circ\text{C}$ și $B =$		
		$\pm 3 \text{ kGs}$	$\pm 10 \text{ kGs}$	0	$\pm 3 \text{ kGs}$	$\pm 10 \text{ kGs}$
D	200	3,2	17	-1,7	-2,7	-2,7
L	550	1,8	8	-0,2	-0,4	-0,55
P	800	2,1	10	0	-0,125	-0,18
N	800	1,7	7,5	0	-0,125	-0,18
R	1000	1,8	8	+0,05	-0,1	-0,13
T	1300	1,7	6,5	+0,1	-0,025	-0,08

— Fișii semiconductoare din antimoniu de indiu care conțin ace din antimoniu de nichel cu acoperire (rețea) suplimentară de indiu. Elementele simbolizate cu literele P, R și T conform tabelului 2.33.

Dispunerea geometrică a plăcilor semiconductoare și orientarea acelor de NiSb sînt conforme cu destinația elementului magnetorezistiv (fig. 2.36). Direcțiile indicate

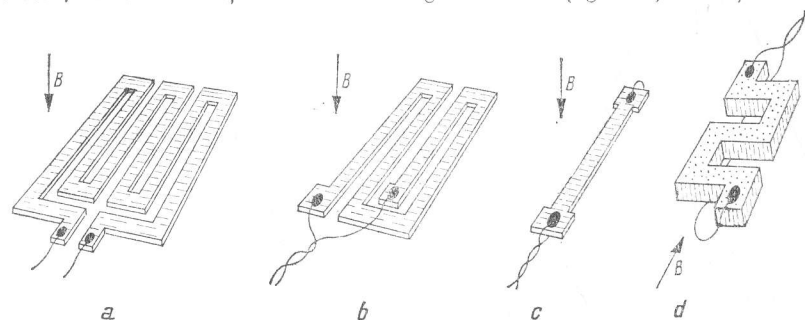


Fig. 2.36. Forme de elemente magnetorezistive:

a — forma de labirint; rezistența de bază, în funcție de arie, ajunge la câțiva kΩ; b — formă de labirint pentru inducții mici; c — forma de bară, adecvată cimpurilor magnetice alternative; d — formă destinată sondelor axiale.

pentru inducție în fig. 2.36 corespund variației maxime a rezistenței elementelor. Dacă direcția cîmpului magnetic deviază cu unghiul  $\varphi$  față de cea normală (fig. 2.37) rezistența elementului scade conform curbei din fig. 2.38.

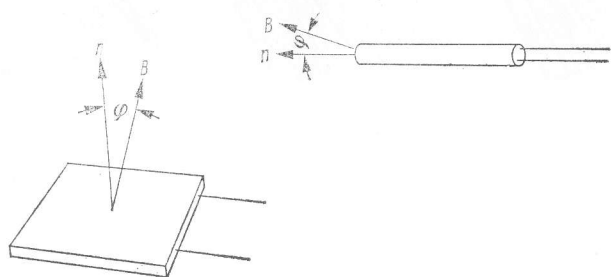


Fig. 2.37. Direcția  $n$  a cîmpului magnetic corespunzător sensibilității maxime.

#### Raportul rezistențelor $R_B/R_0$

Este raportul dintre rezistența  $R_B$  a unei sonde magnetorezistive în cîmpul magnetic și rezistența de bază a acesteia  $R_0$  în absența cîmpului magnetic.

Acest raport depinde de inducție pînă la 3 kGs, iar peste această valoare, el variază liniar cu inducția. În fig. 2.39 este reprezentată variația lui  $R_B/R_0$  la 25°C pentru diferite materiale pentru elemente magnetorezistive.

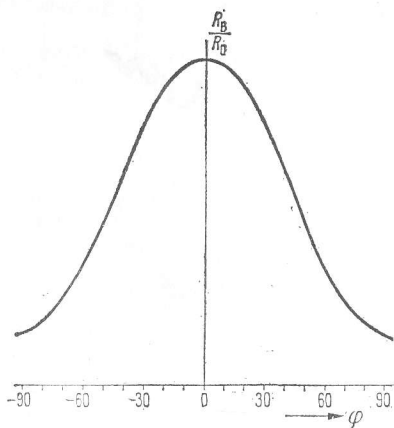


Fig. 2.38. Dependența fundamentală a raportului rezistențelor  $R_B/R_0$  de direcția cîmpului magnetic.

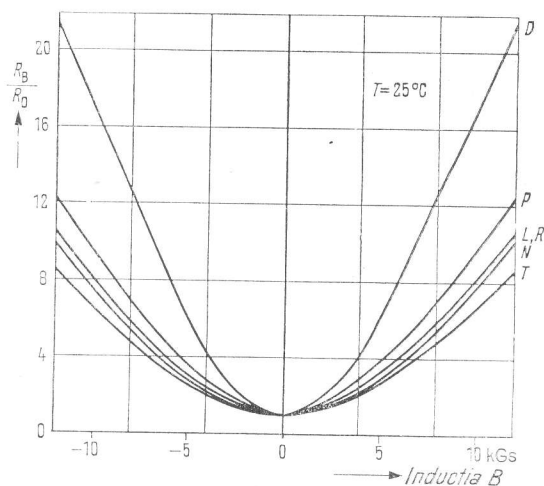


Fig. 2.39. Raportul rezistențelor  $R_B/R_0$  în funcție de inducția  $B$  pentru materialele semiconductoare D, L, N, P, R și T.

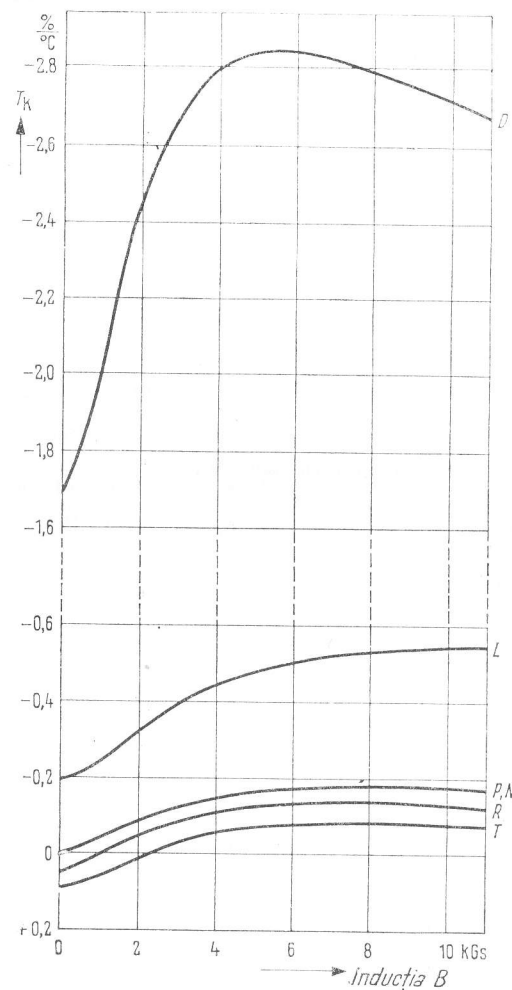


Fig. 2.40. Coeficientul de temperatură  $T_K$  în funcție de inducție pentru materialele semiconductoare D, L, N, P, R și T la o temperatură de 25°C.

## 2.10. ACUSTICĂ

2.10.1. Definiții principale<sup>1)</sup>

*Amplitudine* : (a unei mărimi sinusoidale simple):  
Valoarea maximă (valoarea de vîrf).

\* *Armonică* :  
Variația sinusoidală a cărei frecvență este un multiplu întreg al frecvenței fundamentale.

*Bel* :  
Unitatea adimensională utilizată pentru compararea valorilor puterilor. Numărul de beli care exprimă valorile relative a două puteri este logaritmul zecimal al raportului puterilor.

*Ciclu* : (al unei mărimi periodice):  
Repetarea completă a seriei de variații care au loc în timpul perioadei unei mărimi variabile care se repetă.

*Decibel* :  
A zecea parte dintr-un bel. Prescurtare: dB.

\* *Frecvență* :  
Numărul de perioade în unitatea de timp. Unitatea: Hz.

*Frecvență fundamentală* :  
Frecvența componentei fundamentale a unei mărimi periodice nesinusoidale.

\* *Impedanță acustică specifică* :  
Raportul complex dintre presiunea acustică eficace într-un punct și viteza de deplasare eficace a particulei în acel punct.

\* *Intensitate acustică* :  
Fluxul de energie acustică care străbate unitatea de arie perpendiculară pe direcția de propagare.

*Mărime periodică* :  
O mărime oscilatorie ale cărei valori se repetă la anumite intervale de timp egale.

*Nivel* (al unei mărimi legate de putere):  
Raportul, exprimat în decibeli, dintre valoarea mărimii respective și o valoare de referință standardizată.

*Perioadă* :  
Creșterea minimă a variabilei pentru care mărimea periodică dependentă de această variabilă ia valori egale.

\* *Presiunea acustică instantanee* :  
Presiunea totală într-un punct al unui mediu la un moment dat, minus presiunea statică în acel punct.

<sup>1)</sup> Pentru mărimile notate cu \* definițiile sînt reproduse după STAS 1957-66 „Acustica. Terminologie, simboluri și unități de măsură”, iar restul definițiilor sînt extrase din British Standard 561 (1955) „Glosar de termeni acustici”.

\* *Presiune de radiație* :  
Presiunea exercitată într-un punct dat al unui obstacol, de o vibrație acustică ce se propagă într-un mediu elastic.

\* *Son* :  
Unitatea de tărie a unui sunet avînd o frecvență de 1000 Hz.

\* *Spectru acustic* :  
Reprezentarea în funcție de frecvență a amplitudinii (și uneori a fazei) componentelor unui sunet complex sau unui zgomot.

\* *Spectru continuu* :  
Spectrul acustic al unui sunet complex sau al unui zgomot ale cărui componente sînt distribuite în mod continuu într-o porțiune sau în totalitatea spectrului.

\* *Spectru de linii* :  
Spectru acustic ale cărui componente au o frecvență determinată (discret) și care se poate reprezenta prin linii.

\* *Sunet* :  
Vibrație acustică capabilă să producă o senzație auditivă.

\* *Sunet pur* :  
Sunet datorit unei vibrații sinusoidale.

*Tărie* :  
Caracterul senzației auditive, legat de presiunea acustică a unui sunet, care permite ordonarea sunetelor pe o scară, de la „slabe” la „puternice”.  
*Valoarea medie pătratică* (valoare eficace sau efectivă a unei mărimi variabile):

Rădăcina pătrată a valorii medii a pătratelor valorilor instantanee ale mărimii. În cazul unei vibrații periodice, media se ia pe o perioadă.

\* *Viteza de deplasare instantanee* :  
Valoarea componentei alternative a vitezei unei particule la un moment dat, particula făcînd parte dintr-un mediu în vibrație în acel moment.

\* *Zgomot* :  
Vibrația acustică care nu are componente bine definite. Sunet supărător.

## Bibliografie

1. Recomandarea R226 a ISO (Decembrie 1961). Contururile normale de egală tărie pentru sunete pure și pragul normal de audibilitate în condiții de ascultare în câmp liber.
2. Recomandarea R357 a ISO (Decembrie 1963). Exprimarea nivelelor de putere și de intensitate ale sunetului sau zgomotului.
3. Recomandarea R495 a ISO (August 1966). Cerințele generale pentru pregătirea prescripțiilor de încercare pentru măsurarea zgomotului emis de mașini.
4. Recomandarea R532 a ISO (Decembrie 1966). Metodă de calcul a nivelului de tărie.
5. Publicația Nr. 179 (1965) a Comisiei Electrotehnice Internaționale: Aparat de precizie pentru măsurarea nivelului acustic.



## 2.10.2. Mărimi și formule de importanță practică în acustică

Tabelul 2.34. Simboluri și unități utilizate în acustică

Simbol	Mărimea	Unități	
		CGS <sup>1)</sup>	MKS
<i>a</i>	Amplitudine acustică .....	cm	m
<i>c</i>	Viteza sunetului .....	cm s <sup>-1</sup>	m s <sup>-1</sup>
<i>E</i>	Modulul lui Young .....	cm <sup>-1</sup> g s <sup>-2</sup> = dyn cm <sup>-2</sup>	m <sup>-1</sup> kg s <sup>-2</sup> = N m <sup>-2</sup>
<i>F</i>	Forță .....	cm g s <sup>-2</sup> = dyn	m kg s <sup>-2</sup> = N(Newton)
<i>f</i>	Frecvență .....	s <sup>-1</sup> = Hz	s <sup>-1</sup> = Hz
<i>G</i>	Modulul de tăiere .....	cm <sup>-1</sup> g s <sup>-2</sup> = dyn cm <sup>-2</sup>	m <sup>-1</sup> kg s <sup>-2</sup> = Nm <sup>-2</sup>
<i>I</i>	Intensitatea acustică .....	g s <sup>-3</sup> = erg cm <sup>-2</sup> s <sup>-1</sup>	kg s <sup>-3</sup> = J m <sup>-2</sup> s <sup>-1</sup>
<i>J</i>	Moment de inerție polar .....	cm <sup>4</sup>	m <sup>4</sup>
<i>K</i>	Compresibilitatea adiabatică .....	cm g <sup>-1</sup> s <sup>2</sup> = dyn <sup>-1</sup> cm <sup>3</sup>	N <sup>-1</sup> m <sup>2</sup> = m kg <sup>-1</sup> s <sup>2</sup>
<i>r</i>	Factor de reflexie acustică .....	—	—
<i>L</i>	Nivel de presiune acustică .....	(dB)	(dB)
<i>m</i>	Masă .....	g	kg
<i>m<sub>s</sub></i>	Masa mediului oscilant .....	g	kg
<i>N</i>	Tărie .....	(son)	(son)
<i>P</i>	Putere acustică .....	cm <sup>2</sup> g s <sup>-3</sup> = erg s <sup>-1</sup>	m <sup>2</sup> kg s <sup>-3</sup> W
<i>P<sub>s</sub></i>	Putere disipată .....	g cm <sup>2</sup> s <sup>-3</sup> = erg s <sup>-1</sup>	m <sup>2</sup> kg s <sup>-3</sup> W
<i>p</i>	Presiune acustică .....	cm <sup>-1</sup> g s <sup>-2</sup> = dyn · cm <sup>-2</sup>	m <sup>-1</sup> kg s <sup>-2</sup> = N m <sup>-2</sup>
<i>p<sub>0</sub></i>	Presiunea gazului la echilibru .....	= μbar cm <sup>-1</sup> g s <sup>-2</sup> = dyn · · cm <sup>-2</sup> = μbar	m <sup>-1</sup> kg s <sup>-2</sup> = N m <sup>-2</sup>
<i>q</i>	Arie (secțiune transversală) .....	cm <sup>2</sup>	m <sup>2</sup>
<i>r<sub>s</sub></i>	Rezistența la radiație acustică .....	g s <sup>-1</sup> = dyn s cm <sup>-1</sup>	kg s <sup>-1</sup> = N m <sup>-1</sup> s
<i>S</i>	Arie (suprafață) .....	cm <sup>2</sup>	m <sup>2</sup>
<i>T</i>	Intervalul de timp .....	s	s
<i>T<sub>1</sub></i>	Timp de reverberație .....	s	s
<i>t</i>	Timp .....	s	s
<i>V</i>	Volum .....	cm <sup>3</sup>	m <sup>3</sup>
<i>v</i>	Viteză de deplasare instantanee .....	cm s <sup>-1</sup>	m s <sup>-1</sup>
<i>W</i>	Energie .....	cm <sup>2</sup> g s <sup>-2</sup> = erg	m <sup>2</sup> kg s <sup>-2</sup> = N m (Joule)
<i>Z<sub>s</sub></i>	Impedanță acustică specifică .....	cm <sup>2</sup> g s <sup>-1</sup> = μbar s cm <sup>-1</sup> (Rayl)	m <sup>-2</sup> kg s <sup>-1</sup> = N m <sup>-2</sup> s (1 Rayl = 10 Ns m <sup>-2</sup> )
<i>Z<sub>r</sub></i>	Impedanță de radiație acustică .....	g s <sup>-1</sup> = dyn s cm <sup>-1</sup>	kg s <sup>-1</sup> = N m <sup>-1</sup> s
<i>x, y, z, (r)</i>	Coordonate de poziție .....	cm	m
<i>Z<sub>a</sub></i>	Impedanță acustică .....	cm <sup>-4</sup> g s <sup>-1</sup> = μbar cm <sup>-3</sup> s (Ohm acustic)	m <sup>-4</sup> kg s <sup>-1</sup> = N m <sup>-3</sup> s
<i>α</i>	Coefficient de absorbție acustică .....	—	—
<i>ΔL</i>	Diferența de presiune acustică .....	(dB)	(dB)
<i>Δ</i>	Nivel de tărie .....	(phon)	(phon)
<i>ζ</i>	Coefficientul de reflexie acustică .....	—	—
<i>λ</i>	Lungime de undă .....	cm	m
<i>ν</i>	Raportul lui Poisson .....	—	—
<i>ρ</i>	Densitate .....	cm <sup>-3</sup> g	m <sup>-3</sup> kg
<i>τ</i>	Coefficient de transmisie acustică .....	—	—
<i>ω</i>	Pulsafie .....	s <sup>-1</sup>	s <sup>-1</sup>

<sup>1)</sup> Sistemul CGS este încă larg utilizat în acustica fizică, pe când sistemul MKS se preferă în prezent în acustica industrială (v. 1.3 „Factori de conversiune”, p. 19).

Simbol	Mărimea	Sistemul MKSA	Unități combinate
<i>B</i>	Factor de transmisie electroacustic: pentru receptor .....	V/μbar	Vm <sup>2</sup> /N
<i>B<sub>E</sub></i>		μbar/V	N/Vm <sup>2</sup>
<i>B<sub>S</sub></i>			
<i>η</i>	Randament .....		
<i>A</i>	Absorbția acustică .....		m <sup>2</sup>

### 1. Viteza propagării sunetului<sup>1)</sup>

a) în gaze	$c = \sqrt{\frac{1}{K\rho}} = \sqrt{\frac{\gamma p_0}{\rho}}; \gamma = \frac{c_p}{c_v}$ γ este raportul căldurilor specifice
b) în lichide	$c = \sqrt{\frac{1}{K\rho}}$
c) în corpuri elastice solide infinite  unde longitudinale  unde transversale	$c_{long} = \sqrt{\frac{E(1-\nu)}{\rho(1-\nu-2\nu^2)}}$  $c_{trans} = \sqrt{\frac{E}{2\rho(1+\nu)}} = \sqrt{\frac{G}{\rho}}$
d) în bare  unde longitudinale  unde de flexiune  bară dreptunghiulară avînd secțiunea de lățime <i>b</i> și grosime <i>d</i> ; vibrația paralelă cu <i>b</i>  bară cu secțiune rotundă de rază <i>r</i>	$c_{bare\ long} = \sqrt{\frac{E}{\rho}}$  $c_{bare\ flex} = \frac{2\pi}{\lambda} \sqrt{\frac{EJ}{\rho q}}$  $c_{\square\ flex} = \frac{\pi d}{\lambda} \sqrt{\frac{E}{3\rho}}$  $c_{\circ\ flex} = \frac{\pi r}{\lambda} \sqrt{\frac{E}{\rho}}$
e) în corzi întinse, unde transversale	$c_{coardă} = \sqrt{\frac{\sigma}{\rho}}$ σ este tensiunea din coardă pe unitatea de arie

<sup>1)</sup> Pentru simboluri și unități v. tabelul 2.34.

2. Presiunea acustică:  $p = vW_0$ ;  $p_{ef} = \frac{p}{\sqrt{2}}$  pentru unde sinusoidale.

Viteza de deplasare instantanee

$$v = \frac{p}{W_0}; v_{ef} = \frac{v}{\sqrt{2}} \text{ pentru unde sinusoidale}$$

impedanța acustică specifică

$$W_0 = \rho c \cos \varphi$$

pentru unde plane

$$\varphi = 0 \text{ și } \cos \varphi = 1$$

pentru unde sferice

$$\operatorname{tg} \varphi = \frac{\lambda}{2\pi r}$$

$r$  este distanța dintre obiect și sursă

amplitudinea acustică

$$a = \frac{v}{\omega} = \frac{p}{\omega W_0}$$

3. Puterea acustică:  $P = \oint I dS$ .

Intensitatea acustică

$$I = \frac{pv}{2} \cos \varphi = p_{ef} v_{ef} \cos \varphi =$$

$$= \frac{1}{2} v^2 W_0 \cos \varphi = v_{ef}^2 W_0 \cos \varphi =$$

$$= \frac{1}{2} v^2 \rho c \cos^2 \varphi = v_{ef}^2 \rho c \cos^2 \varphi =$$

$$= \frac{1}{2} \frac{p^2}{W_0} \cos \varphi = \frac{p^2}{2\rho c} = \frac{p_{ef}^2}{\rho c}$$

4. Rezistența de radiație acustică  $R_r$  și masa mediului oscilant  $m_s$ .

a) pentru o sursă de radiație sferică de ordinul zero (sferă vibrantă cu raza  $R_0$ )

$$R_r = \frac{4\pi R_0^2 \rho c}{1 + \left(\frac{\lambda}{2\pi R_0}\right)^2}$$

$$m_s = 4\pi R_0^3 \rho \frac{1}{1 + \left(\frac{2\pi R_0}{\lambda}\right)^2}$$

caz particular ( $\lambda \gg 2\pi R_0$ )

$$R_r = \frac{4\pi R_0^2 \rho c}{c}$$

$$m_s = 4\pi R_0^3 \rho$$

caz particular ( $\lambda \ll 2\pi R_0$ )

$$R_r = 4\pi R_0^2 \rho c$$

$$m_s = 0$$

b) diafragmă cu piston (de rază  $R_0$ ) într-un perete rigid infinit, radiație unidirecțională)

$$R_r = \rho c \pi R_0^2 h(y)$$

$$m_s = \frac{8}{3} \rho R_0^3 g(y)$$

caz particular ( $\lambda \gg 2\pi R_0$ )

$$R_r = \frac{\rho \pi R_0^4 \omega^2}{c}$$

$$m_s = \frac{8}{3} \rho R_0^3$$

caz particular ( $\lambda \gg 2\pi R_0$ )

$$R_r = \pi R_0^2 \rho c$$

$$m_s = 0$$

$$y = \frac{4\pi R_0}{\lambda}$$

$J_1(y)$  funcția Bessel de ordinul I

$$h(y) = 1 - \frac{2J_1(y)}{y}$$

$$K_1(y) = \frac{2}{\pi} \left( \frac{y^3}{1^2 \times 3} - \frac{y^5}{1^2 \times 3^2 + 5} + \frac{y^7}{1^2 \times 3^2 \times 5^2 \times 7} \mp \dots \right)$$

$$g(y) = \frac{3\pi}{y^3} \frac{1}{2} K_1(y)$$

Putere disipată

$$P_r = R_r \frac{v^2}{2} = R_r v_{ef}^2$$

5. Timpul de reverberație:  $T_1 = 13,8 \frac{4V}{Ac} = 13,8 \frac{4V}{\alpha S c}$

pentru aer la 20°C și 760 mm Hg

$$T_1 = 0,161 \frac{V}{\alpha S}$$

$V$  este volumul încăperii, în  $m^3$   
 $S$  — aria în plan a încăperii, în  $m^2$

absorbția acustică

$$A = \alpha S$$

presiunea acustică eficace într-un volum închis cu timpul de reverberație  $T_1$  și puterea  $P$  a sursei acustice, în W

$$p_{ef} = 101,5 \sqrt{\frac{T_1 P}{V}} [N \cdot m^{-2}]$$

$$p_{ef} = 1015 \sqrt{\frac{T_1 P}{V}} [\mu bar]$$

Tabelul 2.35. Valori numerice ale vitezei sunetului

Materialul	Temperatura °C	Viteza sunetului m s <sup>-1</sup>
<i>În gaze și vapori</i>		
Aer .....	+ 500	558
	+ 100	387,2
	+ 20	343
	0	331,8
	- 20	319,3
Bioxid de carbon .....	+ 100	297,2
	+ 18	265,8
Etilenă .....	0	371
Helium .....	0	971
Hidrogen .....	+ 100	1643
	+ 18	1301
	0	1286
<i>În lichide</i>		
Alcool .....	+ 20	1168
Glicerină .....	+ 20	1923
Mercur .....	+ 20	1451
Ulei de parafină .....	+ 33,5	1420
Apă (ușoară) .....	+ 25	1497
Apă (grea) .....	+ 25	1401
Apă de mare (conținut de sare 3,235%): la suprafață .....	0	1440
	+ 15	1498
la adâncime de 1500 m .....	0	1456
	+ 15	1511
<i>În solide</i>		
a) Metale		
Aluminiiu .....	(v = 0,34)	5240
Alamă .....	(v = 0,35)	3420
Cupru .....	(v = 0,35)	3580
Fier .....	(v = 0,27)	5170
Plumb .....	(v = 0,45)	1250
Oțel .....		5050
b) Alte materiale		
Lemn de fag (de-a lungul fibrelor) .....		3400
Lemn de brad (de-a lungul fibrelor) .....		5260
Degussir (oxid de aluminiiu Degussa) .....		9600
Sticlă .....		3490...5300
Granit .....		3950
Gheață (-4°C) .....		3232
Cuarț de cristal (în planul X) .....		5440
Sare Seignette (la 45° în planul Y) .....		2740
Nisip .....		100...300
Cuarț sticlos .....		5370

În materialele plastice viteza sunetului depinde foarte mult de temperatură și de frecvență.

#### Puteri ale unor surse acustice

Conversație (valoare mijlocie) .....	7.10 <sup>-6</sup> W
Puterea maximă a vocii umane .....	2.10 <sup>-3</sup> W
Vioară fortissimo .....	1.10 <sup>-3</sup> W
Pian cu coadă .....	3.10 <sup>-1</sup> W
Trompetă .....	3.10 <sup>-1</sup> W
Orgă .....	pină la 10 <sup>3</sup> W
Megafon mare .....	pină la 10 <sup>3</sup> W
Emițător ultrasonic .....	pină la 1 kW
Motor de avion cu reacție .....	câțiva kW
Rachetă interplanetară în timpul lansării .....	pină la 100 MW

### 2.10.3. Intensitatea acustică, nivelul de tărie, tărie, nivelul acustic, spectrul acustic

#### Intensitate acustică

În gama sensibilității maxime a urechii, adică în gama de frecvență de circa 1000 Hz, intensitatea acustică a pragului de audibilitate și cea care provoacă un început de senzație dureroasă diferă între ele printr-un factor de 10<sup>13</sup>. Din cauza acestei game largi de variație a intensității se utilizează de obicei o scară logaritmică, anume scara decibelilor (dB), și nu o scară liniară, pentru caracterizarea intensităților acustice. În prezent se utilizează în general scara logaritmică zecimală, care este astfel împărțită încît două intensități  $I_1$  și  $I_2$  să difere pe scară logaritmică prin  $10 \log_{10} I_1/I_2$  diviziuni de scară sau prin  $20 \log_{10} p_1/p_2$  dacă se iau ca bază presiunile acustice  $p_1$  și  $p_2$ , ținînd seama că intensitatea acustică și presiunea acustică sînt legate între ele după o lege pătratică. Astfel, creșterea cu un factor 10 a intensității acustice corespunde la o creștere de 10 dB, o creștere cu factorul 100 corespunde la o creștere de 20 dB, iar creșterea cu factorul 10<sup>13</sup> corespunde la o creștere de 130 dB. Nivelul absolut al presiunii acustice (pe scurt nivelul acustic) se exprimă în raport cu presiunea de referință, egală cu  $2 \cdot 10^{-5} \text{ N/m}^2 = 2 \cdot 10^{-4} \text{ } \mu\text{bar}$ .

#### Nivelul de tărie

Sensibilitatea urechii diferă considerabil în cazul unor sunete pure de diferite înălțimi. În fig. 2.41 sînt reprezentate așa-numitele contururi de egală tărie. Curba cea mai de jos reprezintă variația în pragul de audibilitate (cîmpul audibil minim). Pentru determinarea subiectivă a nivelului de tărie se procedează astfel:

Cu ajutorul comparațiilor auditive se ajustează intensitatea fizică a sunetului standard de 1000 Hz astfel încît el să aibă aceeași tărie ca și procesul acustic care se măsoară; atunci nivelul acustic al sunetului standard se utilizează cu coeficient pentru măsurarea nivelului de tărie al procesului acustic în cauză.

Pe baza observațiilor de mai sus se poate defini deci scara nivelului de tărie astfel:

Dacă  $I_1$  și  $I_2$  sînt două intensități acustice ale sunetului standard, atunci nivelele de tărie diferă cu  $10 \log_{10} I_1/I_2$  foni sau, dacă în locul intensităților acustice se specifică presiunile acustice  $p_1$  și  $p_2$ , respectiv prin  $20 \log_{10} p_1/p_2$  foni.

Punctul de zero al nivelului de tărie se găsește la intensitatea acustică a sunetului standard „în condiții de cîmp liber”, egală cu  $10^{-12} \text{ W/m}^2 = 10^{-16} \text{ W/cm}^2$ . Aceasta înseamnă deci că 0 foni corespund la un sunet de 1000 Hz avînd presiunea acustică  $p_{ef} = 2 \cdot 10^{-5} \text{ Nm}^{-2} = 2 \cdot 10^{-4} \text{ } \mu\text{bar}$  ( $t = 20^\circ\text{C}$ ,  $p_0 = 736 \text{ mm Hg}$ ).

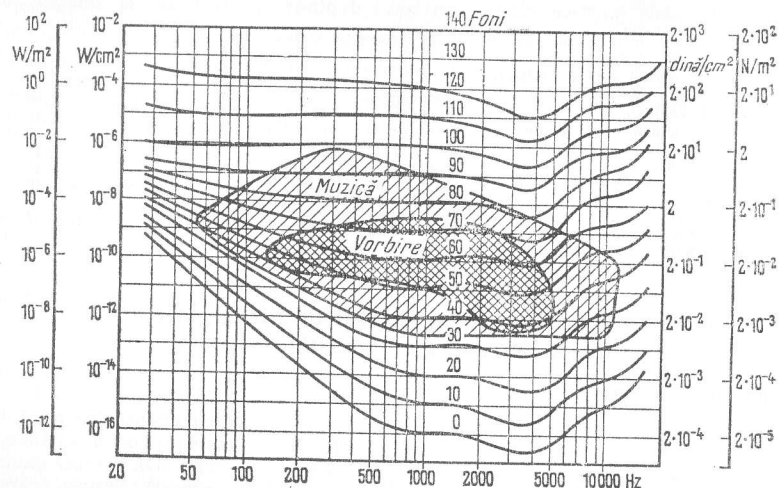


Fig. 2.41. Curbele de egală tărie: domeniul vorbirii și al muzicii.

## Nivelul de tărie al zgomotului (valori din experiența practică)

Motoare de avion la distanța de câțiva metri)	peste 120 foni
Cazangerie .....	circa 110 foni
Burghie pneumatice .....	circa 90 foni
Strigăt puternic .....	circa 80 foni
Zgomot în străzi de oraș .....	circa 70 foni
Conversație obișnuită .....	circa 50...70 foni
Zgomot în suburbii .....	circa 30...40 foni
Ticăitul unui ceas de buzunar .....	circa 20 foni
Pragul de audibilitate:	0 foni

## Tăria

Scara logaritmică a nivelului de tărie (scara fonilor) nu descrie în mod corect creșterea tăriei sensibile a sunetului prin creșterea excitației fizice. Scara de tărie (a sonilor) este mai adecvată pentru tăria sensibilă a sunetului. La această scară se ajunge astfel: Se cere unor observatori să stabilească diferențele de tărie pe scara fonilor corespunzătoare la dublarea sau înjumătățirea tăriei percepute subiectiv, plecând de la nivelul de tărie de 40 foni, care se adoptă în mod convențional ca tărie 1. Relația determinată experimental dintre tăria  $N$  în soni și nivelul de tărie  $A$  în foni poate fi exprimată satisfăcător prin relația  $N = 2^{0,1(A-40)}$  (făcând abstracție de gama nivelurilor de tărie foarte joase, de exemplu sub 20 foni). Recomandarea ISO R131<sup>1)</sup> se bazează pe relația de conversie a fonului în son. Astfel, conform acestei relații tăria crește cu un factor 2 la o creștere cu 10 foni a nivelului de tărie. Pentru un observator neinițiat în utilizarea scărilor logaritmice este adeseori mai ușor să definească o scădere a zgomotului pe scara tăriei decât pe scara nivelului de tărie.

<sup>1)</sup> I.S.O. — Oficiu Internațional de Standardizare.

Valorile tăriei se pot însuma, spre deosebire de valorile nivelului de tărie. Pe această proprietate se bazează o metodă de calcul al tăriei totale, pe baza tărieilor parțiale în așa-numitele „grupe de frecvențe” [după E. Zwicker<sup>1)</sup>]. Lățimea unui grup de frecvențe se poate determina oferind urechii un zgomot alb cu o bandă de frecvență foarte îngustă, dar care crește treptat și cu o intensitate constantă, și stabilind apoi acea lățime a benzii la care se constată o mărire a tăriei.

Trebuie să se țină seama că la tărieile parțiale se adaugă anumite efecte de mascare din grupe de frecvență învecinate.

## Măsurarea nivelului acoustic

Măsurarea obiectivă a nivelului acoustic se poate efectua cu ajutorul aparatelor pentru măsurarea nivelului acoustic — al hipsometrelor —, în particular cu ajutorul hipsometrelor de precizie. În aceste dispozitive, diferitele componente conținute într-un proces acoustic sînt evaluate în funcție de ponderea lor de frecvență față de sensibilitatea urechii. Aprecierea se face prin amplificarea dependentă de frecvență. În hipsometrul corespunzător normelor germane DIN se utilizează mai multe curbe cunoscute de frecvență și anume „curba de ponderare A”, „curba de ponderare B” și „curba de ponderare C” (fig. 2.42).

Aceste curbe de frecvență se pot introduce după dorință. „Curba A” corespunde în linii generale curbei de nivel al tăriei de 30 foni, „curba B” corespunde curbei de nivel al tăriei de 60 foni, iar „curba C” transmite uniform hipsometrului frecvențe cuprinse în gama dintre aproximativ 50 Hz și 8000 Hz. Domeniul de transmisie uniformă se

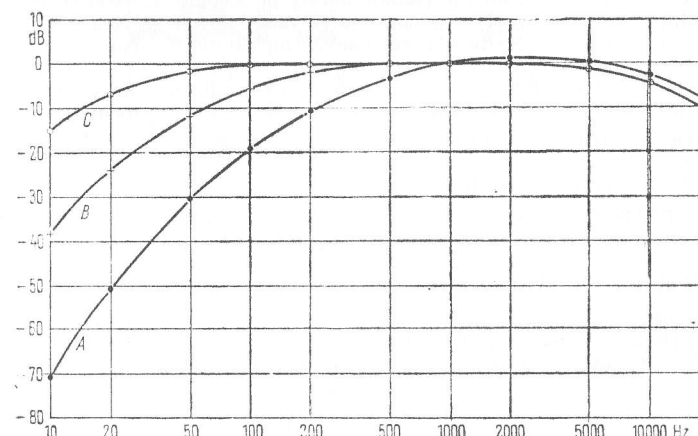


Fig. 2.42. Curbele de ponderare A, B și C ale hipsometrului de precizie.

extinde și mai mult în „poziția liniară”. Datele măsurate sînt indicate cu ajutorul unui aparat de măsurat valorile eficace, cu un timp de stabilizare suficient de scurt ( $\approx 250$  ms). Valoarea indicată în dB de către hipsometrul de precizie (raportată din nou la nivelul acoustic de referință  $p_0 = 2 \cdot 10^{-5} \text{ Nm}^{-2} = 2 \cdot 10^{-4} \text{ } \mu\text{bar}$ ) se numește *nivelul de pre-*

<sup>1)</sup> E. Zwicker, în: *Acustica*, 10, 304 (1960); *J. Acoust. Soc. Amer.*, 33, 248 (1961).

siune acustică absolută  $L$ , sau pe scurt, *nivelul acustic*, respectiv *nivelul acustic „ponderat A”*, „ponderat B”, „ponderat C”, notate cu  $L_A$ ,  $L_B$ ,  $L_C$  cînd se utilizează curbele de ponderare<sup>1)</sup> A, B, sau respectiv C.

Ponderea A se utilizează aproape exclusiv în practică, iar nivelul acustic ponderat A constituie în prezent valoarea prescrisă în normele și standardele de măsurare.

Nivelele acustice se exprimă în decibeli (dB), de exemplu nivelul acustic ponderat A (nivelul ponderat A al presiunii acustice) este de 70 dB. Prescurtarea 70 dB (A) este permisă în calcule și tabele, ea indicînd că cifra măsurată s-a obținut cu curba de ponderare A.

Nivelul acustic constituie o măsură obiectivă a unei intensități acustice ponderate. Deoarece ponderea frecvențelor ține seama în principal numai de o singură proprietate a organului auzului și anume de dependența de frecvență a acestuia, făcînd abstracție de alte proprietăți importante cum sînt compoziția globală a tăriei (tăriile parțiale), nivelul acustic ponderat trebuie conceput nu ca o mărime de măsurat care simulează nivelul de tărie, ci ca o mărime de măsurat independentă, fizic definită, care reprezintă o măsură practică a intensității și este limitată la partea activă din punct de vedere audiofizologic a spectrului acustic.

### Spectrul acustic

Alte date privitoare la compoziția unui sunet se pot obține din studiul repartiției spectrale a intensității în gama de frecvențe. De obicei, în cercetarea practică a zgomotului, nu este necesar să se utilizeze metode bazate pe fenomenul bătăilor, cu mare putere de rezoluție; este suficient în general să se descompună spectrul cu ajutorul filtrelor de bandă. Filtrele trece-bandă de octavă sau filtrele de bandă de o treime de octavă își găsesc o largă utilizare în acest domeniu. Reprezentînd grafic în funcție de frecvență nivelul acustic determinat în benzile individuale prin intercalarea de filtre, se poate obține nivelul de octavă sau de o treime de octavă a procesului acustic.

Spectrele acustice oferă specialiștilor mai multe detalii asupra componentelor principale ale zgomotului global și permit o analiză mai riguroasă a tipului particular de zgomot și a căilor pentru reducerea acestuia.

Cu ajutorul spectrelor de octavă a treia se pot calcula tăria totală în soni și nivelul de tărie în soni.

### Prescripții pentru măsurarea zgomotului mașinilor electrice<sup>2)</sup>

În standardele germane nivelul de tărie se măsoară cu nivelul ponderat al presiunii acustice, utilizîndu-se pentru mașinile electrice valoarea de ponderare „A”. Nivelul presiunii acustice se raportează la presiunea acustică de referință

$$p_0 = 2 \cdot 10^{-5} \text{ Nm}^{-2} = 2 \cdot 10^{-4} \mu \text{ bar.}$$

Punctele de măsurare trebuie să se amplaseze în spațiul care înconjoară mașinile la o distanță de 1 m de la suprafața exterioară a acestora. În această situație, intensitatea zgomotului produs de mașină se calculează ca valoare medie.

<sup>1)</sup> Înainte se utiliza un hipsometru care cupla „curbele de ponderare A și B” cu domenii de măsurare a nivelului, astfel încît „curba de ponderare A” se utiliza întotdeauna pentru nivele sub 60 dB, pe cînd „curba de ponderare B” se utiliza întotdeauna pentru nivelele de peste 60 dB.

<sup>2)</sup> V. STAS 7301-65 „Mașini electrice rotative. Metode de măsurare a nivelului zgomotului”.

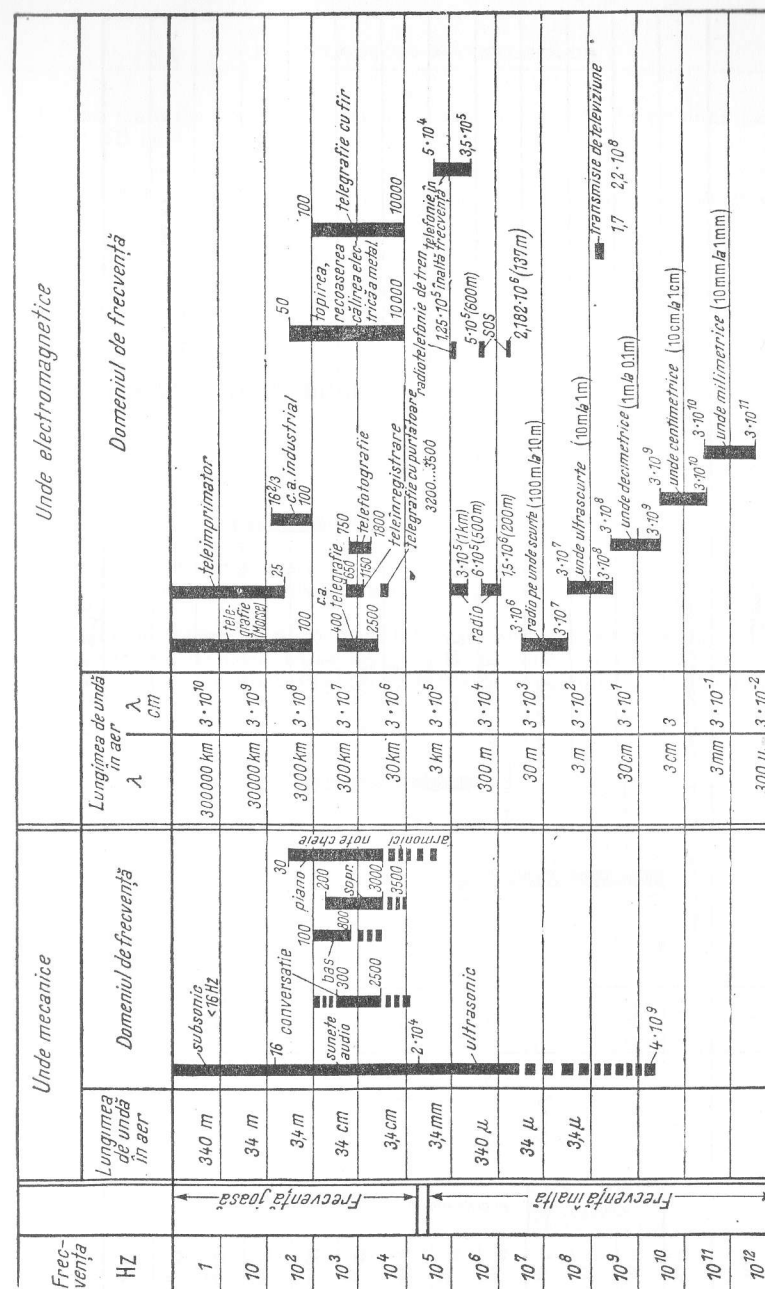


Fig. 2.43. a. Domenii de frecvență.



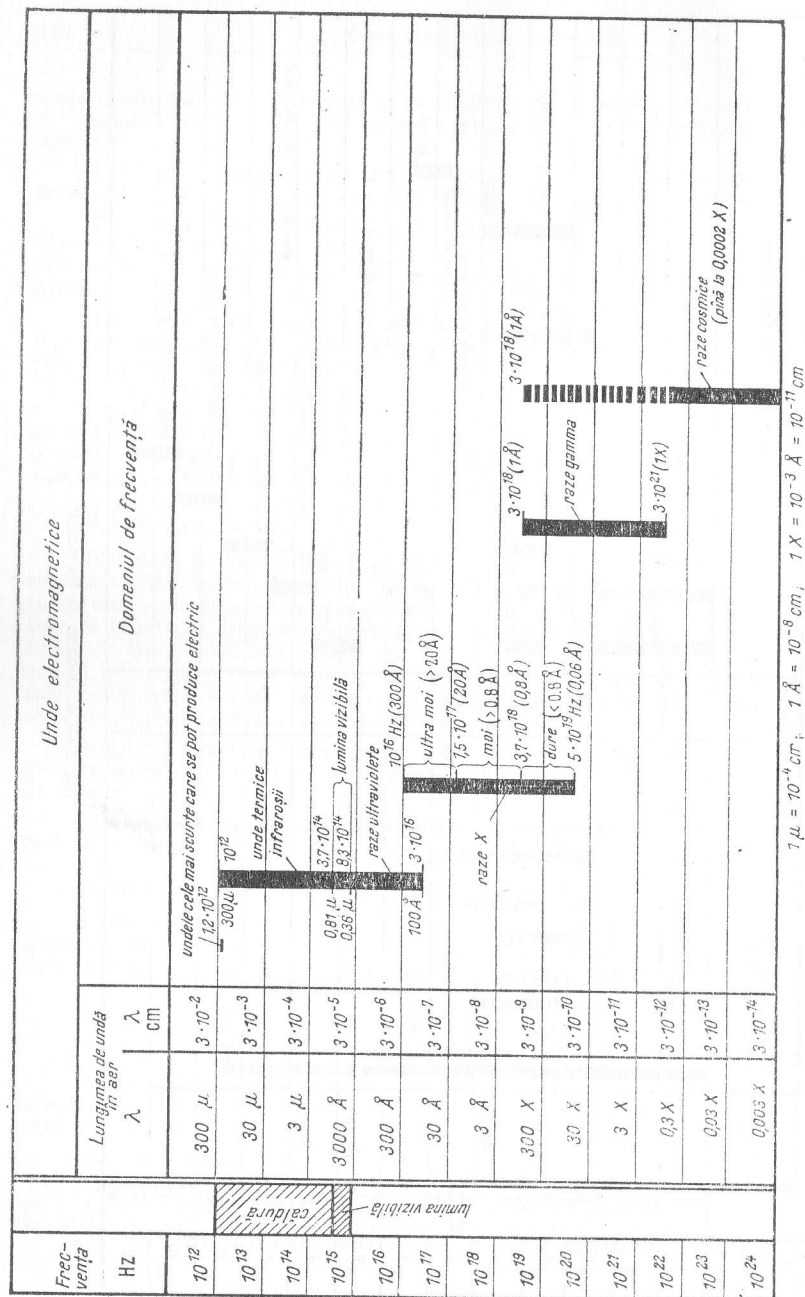


Fig. 2 43, b. Domeniul de frecvență

Pentru mașinile electrice se admit următoarele nivele de presiune acustică, exprimate în dB (A):

Puterea nominală kW		Răcire internă la turația rot/min				Răcire la suprafață la turația rot/min			
de la	pînă la	3000	1500	1000	750	3000	1500	1000	750
		dB (A)				dB (A)			
—	45	85	80	78	75	89	85	80	78
45	132	90	85	82	80	94	90	88	85
132	400	95	90	86	83	95	93	90	88
400	1250	—	92	90	88	97	95	93	93

Nivelul mediu al presiunii acustice la o distanță dată de la suprafața mașinii li-mitează de asemenea puterea acustică emisă de o mașină de o mărime dată (fiind date puterea și turația ei).

Comparînd așa dar puterea acustică a unor mașini avînd același gabarit este sufi-cient să se compare între ele nivelele medii ale presiunii acustice  $L_{p,1m}$  la distanța de 1 m.

Atunci cînd trebuie să se compare între ele zgomotele emise de mașini de mărimi foarte diferite, este de dorit să se dispună de informații suplimentare asupra ariei  $S$  (în  $m^2$ ) a suprafeței de măsurare (v. ISO R495) și să se calculeze nivelul puterii acustice (pentru condiții normale) conform relației

$$L_P = L_{p,1m} + 10 \lg \frac{S}{1 m^2} \quad [dB \text{ sau } 10^{-12} W].$$

### 3. METODE DE CALCUL ÎN ELECTROTEHNICĂ

#### 3.1. FORMULE MATEMATICE

##### 3.1.1. Formule de aproximație pentru funcții circulare, hiperbolice, exponențiale și serii binomiale

Tabelul 3.1. Funcții circulare (trigonometrice)

$f(x) \approx f_g(x)$	$\Delta \leq 0,1\%$	$\Delta \leq 1\%$	$\Delta \leq 10\%$	
$\sin x \approx x$	$\pm 0,077$	$\pm 0,24$	$\pm 0,7$	Formulele de aproximație sînt valabile (pentru argument natural în radiani) cu o precizie de 0,1 : 1 și 10% în cadrul limitelor indicate pentru domeniul x
$\sin x \approx x - \frac{x^3}{6}$	$\pm 0,581$	$\pm 1,01$	$\pm 1,7$	
$\cos x \approx 1$	$\pm 0,045$	$\pm 0,14$	$\pm 0,4$	
$\cos x \approx 1 - \frac{x^2}{2}$	$\pm 0,386$	$\pm 0,66$	$\pm 1,0$	
$\operatorname{tg} x \approx x$	$\pm 0,055$	$\pm 0,17$	$\pm 0,5$	
$\operatorname{tg} x \approx x + \frac{x^3}{3}$	$\pm 0,294$	$\pm 0,52$	$\pm 0,9$	
$\operatorname{ctg} x \approx \frac{1}{x}$	$\pm 0,055$	$\pm 0,17$	$\pm 0,5$	Definiția erorii $\Delta = \frac{f_g(x) - f(x)}{f(x)}$ $f(x)$ funcția exactă $f_g(x)$ funcție aproximată
$\operatorname{ctg} x \approx \frac{1}{x} - \frac{x}{3}$	$\pm 0,450$	$\pm 0,76$	$\pm 1,2$	
$\frac{1}{\cos x} \approx 1$	$\pm 0,045$	$\pm 0,14$	$\pm 0,4$	
$\frac{1}{\cos x} \approx 1 + \frac{x^2}{2}$	$\pm 0,264$	$\pm 0,47$	$\pm 0,8$	
$\frac{1}{\sin x} \approx \frac{1}{x}$	$\pm 0,077$	$\pm 0,24$	$\pm 0,8$	
$\frac{1}{\sin x} \approx \frac{1}{x} + \frac{x}{6}$	$\pm 0,478$	$\pm 0,86$	$\pm 1,6$	

Tabelul 3.2. Funcții de arc

$f(x) \approx f_g(x)$	$\Delta \leq 0,1\%$	$\Delta \leq 1\%$	$\Delta \leq 10\%$
$\operatorname{arc} \sin x \approx x$	$\pm 0,077$	$\pm 0,24$	$\pm 0,7$
$\operatorname{arc} \sin x \approx x + \frac{x^3}{6}$	$\pm 0,335$	$\pm 0,58$	$\pm 0,9$
$\operatorname{arc} \operatorname{tg} x \approx x$	$\pm 0,055$	$\pm 0,17$	$\pm 0,6$
$\operatorname{arc} \operatorname{tg} x \approx x - \frac{x^3}{3}$	$\pm 0,268$	$\pm 0,48$	$\pm 0,9$
$\operatorname{arc} \operatorname{tg}  x  \approx \frac{\pi}{2}$	$637 \dots \infty$	$64 \dots \infty$	$6 \dots \infty$
$\operatorname{arc} \operatorname{tg}  x  \approx \frac{\pi}{2} - \frac{1}{ x }$	$6,15 \dots \infty$	$2,9 \dots \infty$	$1,4 \dots \infty$

Tabelul 3.3. Funcții hiperbolice

$f(x) \approx f_g(x)$	$\Delta \leq 0,1\%$	$\Delta \leq 1\%$	$\Delta \leq 10\%$
$\operatorname{sh} x \approx x$	$\pm 0,077$	$\pm 0,24$	$\pm 0,8$
$\operatorname{sh} x \approx x + \frac{x^3}{6}$	$\pm 0,596$	$\pm 1,09$	$\pm 2,1$
$\operatorname{ch} x \approx 1$	$\pm 0,045$	$\pm 0,14$	$\pm 0,4$
$\operatorname{ch} x \approx 1 + \frac{x^2}{2}$	$\pm 0,401$	$\pm 0,74$	$\pm 1,5$
$\operatorname{th} x \approx x$	$\pm 0,055$	$\pm 0,17$	$\pm 0,6$
$\operatorname{th} x \approx x - \frac{x^3}{3}$	$\pm 0,295$	$\pm 0,52$	$\pm 0,9$
$\operatorname{coth} x \approx \frac{1}{x}$	$\pm 0,055$	$\pm 0,17$	$\pm 0,6$
$\operatorname{coth} x \approx \frac{1}{x} + \frac{x}{3}$	$\pm 0,471$	$\pm 0,88$	$\pm 1,8$
$\frac{1}{\operatorname{ch} x} \approx 1$	$\pm 0,045$	$\pm 0,14$	$\pm 0,4$
$\frac{1}{\operatorname{ch} x} \approx 1 - \frac{x^2}{2}$	$\pm 0,263$	$\pm 0,46$	$\pm 0,8$
$\frac{1}{\operatorname{sh} x} \approx \frac{1}{x}$	$\pm 0,077$	$\pm 0,24$	$\pm$
$\frac{1}{\operatorname{sh} x} \approx \frac{1}{x} - \frac{x}{6}$	$\pm 0,474$	$\pm 0,84$	$\pm 1,5$
$\operatorname{th}  x  \approx 1$	$3,80 \dots \infty$	$2,64 \dots \infty$	$1,5 \dots \infty$
$\operatorname{th}  x  \approx 1 - 2e^{-2 x }$	$1,91 \dots \infty$	$1,34 \dots \infty$	$0,8 \dots \infty$
$\operatorname{coth}  x  \approx 1$	$3,80 \dots \infty$	$2,64 \dots \infty$	$1,5 \dots \infty$
$\operatorname{coth}  x  \approx 1 + 2e^{-2 x }$	$1,90 \dots \infty$	$1,31 \dots \infty$	$0,7 \dots \infty$

Tabelul 3.4. Funcții de arie

$f(x) \approx f_g(x)$	$\Delta \leq 0,1\%$	$\Delta \leq 1\%$	$\Delta \leq 10\%$
$\arg \operatorname{sh} x \approx x$	$\pm 0,077$	$\pm 0,25$	$\pm 0,8$
$\arg \operatorname{sh} x \approx x - \frac{x^3}{6}$	$\pm 0,323$	$\pm 0,63$	$\pm 1,2$
$\arg \operatorname{th} x \approx x$	$\pm 0,055$	$\pm 0,17$	$\pm 0,5$
$\arg \operatorname{th} x \approx x + \frac{x^3}{3}$	$\pm 0,264$	$\pm 0,46$	$\pm 0,8$

Tabelul 3.5. Funcții exponențiale și logaritmice

$f(x) \approx f_g(x)$	$\Delta \leq 0,1\%$	$\Delta \leq 1\%$	$\Delta \leq 10\%$
$e^x \approx 1 + x$	$-0,044 \dots + 0,045$	$-0,14 \dots + 0,15$	$-0,4 \dots + 0,5$
$e^x \approx 1 + x + \frac{x^2}{2}$	$-0,174 \dots + 0,191$	$-0,36 \dots + 0,44$	$-0,7 \dots + 1,1$
$\ln(1+x) \approx x$	$-0,002 \dots + 0,002$	$-0,02 \dots + 0,02$	$-0,2 \dots + 0,2$
$\ln(1+x) \approx x - \frac{x^2}{2}$	$-0,054 \dots + 0,054$	$-0,17 \dots + 0,18$	$-0,5 \dots + 0,6$
$\ln(1+x) \approx 2x$	$-0,104 \dots + 0,116$	$-0,29 \dots + 0,42$	$-0,7 \dots + 2,2$
$\ln(1+x) \approx 2\left(x + \frac{x^2}{3}\right)$	$-0,418 \dots + 0,719$	$-0,63 \dots + 1,72$	$-0,9 \dots + 6,9$
$\ln x \approx 2y$	$+0,896 \dots + 1,116$	$+0,71 \dots + 1,42$	$+0,3 \dots + 3,2$
$\ln x \approx 2\left(y + \frac{y^2}{3}\right)$	$+0,582 \dots + 1,718$	$+0,37 \dots + 2,72$	$+0,1 \dots + 7,9$

În acest tabel

$$y = \frac{x-1}{x+1}, \quad z = \frac{x}{x+2}.$$

Formule auxiliare:

$$\ln(a+\delta) = \ln a + \ln(1+x) \quad \text{unde } x = \delta/a, \quad a > 0, \quad \delta > -a.$$

Erorile indicate se vor multiplica în cazul de față cu  $a$ .  
Logaritmi lui Brigg (zecimali),

$$\log_{10}(1+x) = \lg(1+x) = M \ln(1+x)$$

unde  $M = 0,4343$ .

Tabelul 3.6. Serii binom  $(1+x)^n$ 

$f(x) \approx f_g(x)$	$\Delta \leq 0,1\%$	$\Delta \leq 1\%$	$\Delta \leq 10\%$
$(1+x)^2 \approx 1+3x$	$-0,018 \dots + 0,019$	$-0,05 \dots + 0,06$	$-0,1 \dots + 0,2$
$(1+x)^2 \approx 1+2x$	$-0,031 \dots + 0,033$	$-0,09 \dots + 0,11$	$-0,2 \dots + 0,4$
$\sqrt{1+x} \approx 1 + \frac{1}{2}x$	$-0,086 \dots + 0,094$	$-0,25 \dots + 0,33$	$-0,6 \dots + 1,4$
$\sqrt[3]{1+x} \approx 1 + \frac{1}{3}x$	$-0,091 \dots + 0,099$	$-0,26 \dots + 0,34$	$-0,6 \dots + 1,4$
$\frac{1}{\sqrt{1+x}} \approx 1 - \frac{1}{2}x$	$-0,068 \dots + 0,068$	$-0,20 \dots + 0,22$	$-0,6 \dots + 0,8$
$\frac{1}{\sqrt{1+x}} \approx 1 - \frac{1}{2}x$	$-0,051 \dots + 0,052$	$-0,16 \dots + 0,17$	$-0,5 \dots + 0,6$
$\frac{1}{(1+x)} \approx 1 - x$	$-0,031 \dots + 0,031$	$-0,10 \dots + 0,10$	$-0,3 \dots + 0,3$
$\frac{1}{(1+x)^2} \approx 1 - 2x$	$-0,018 \dots + 0,018$	$-0,06 \dots + 0,05$	$-0,2 \dots + 0,2$
$\frac{1}{(1+x)^2} \approx 1 - 3x$	$-0,013 \dots + 0,013$	$-0,04 \dots + 0,04$	$-0,1 \dots + 0,1$

### 3.1.2. Serii finite și infinite

Formulele sumelor seriilor finite

Serii aritmetice

$$S_0 = \sum_{v=0}^{n-1} a_0 = na_0;$$

$$S_1 = \sum_{v=0}^{n-1} \left[ a_1 + \binom{v}{1} a_0 \right] = \binom{n}{1} a_1 + \binom{n}{2} a_0;$$

$$S_2 = \sum_{v=0}^{n-1} \left[ a_2 + \binom{v}{1} a_1 + \binom{v}{2} a_0 \right] = \binom{n}{1} a_2 + \binom{n}{2} a_1 + \binom{n}{3} a_0;$$

$$S_m = \sum_{v=0}^{n-1} \sum_{\mu=0}^m \binom{v}{\mu} a_{m-\mu} = \binom{n}{1} a_m + \binom{n}{2} a_{m-1} + \dots + \binom{n}{m+1} a_0.$$

## Serii geometrice

$$S = a + ax + ax^2 + \dots + ax^{n-1} = a \frac{x^n - 1}{x - 1}.$$

## Sume de puteri:

$$\sum_{v=1}^n v^0 = \frac{1}{1} n = n;$$

$$\sum_{v=1}^n v^1 = \frac{1}{2} n^2 + \frac{1}{2} n = \frac{n(n+1)}{2};$$

$$\sum_{v=1}^n v^2 = \frac{1}{3} n^3 + \frac{1}{2} n^2 + \frac{1}{6} n = \frac{n(n+1)(2n+1)}{6};$$

$$\sum_{v=1}^n v^3 = \frac{1}{4} n^4 + \frac{1}{2} n^3 + \frac{1}{4} n^2 = \left[ \frac{n(n+1)}{2} \right]^2;$$

$$\sum_{v=1}^n v^4 = \frac{1}{5} n^5 + \frac{1}{2} n^4 + \frac{1}{3} n^3 - \frac{1}{30} n = \frac{n(n+1)(2n+1)(3n^2+3n-1)}{30};$$

$$\sum_{v=1}^n v^5 = \frac{1}{6} n^6 + \frac{1}{2} n^5 + \frac{5}{12} n^4 - \frac{1}{12} n^2 = \frac{n^2 + (n+1)^2 (2n^2 + 2n - 1)}{12};$$

$$\sum_{v=1}^n v^6 = \frac{1}{7} n^7 + \frac{1}{2} n^6 + \frac{1}{2} n^5 - \frac{1}{6} n^3 + \frac{1}{42} n;$$

$$\sum_{v=1}^n v^7 = \frac{1}{8} n^8 + \frac{1}{2} n^7 + \frac{1}{12} n^6 - \frac{7}{24} n^4 + \frac{1}{12} n^2;$$

$$\sum_{v=1}^n v^8 = \frac{1}{9} n^9 + \frac{1}{2} n^8 + \frac{2}{3} n^7 - \frac{7}{15} n^5 + \frac{2}{9} n^3 - \frac{1}{30} n;$$

$$\sum_{v=1}^n v^9 = \frac{1}{10} n^{10} + \frac{1}{2} n^9 + \frac{3}{4} n^8 - \frac{7}{10} n^6 + \frac{1}{2} n^4 - \frac{3}{20} n^2.$$

## Serii binomiale cu exponenți întregi și pozitivi:

$$(a+b)^n = \sum_{v=0}^n \binom{n}{v} a^{n-v} b^v = a^n + \binom{n}{1} a^{n-1} b + \binom{n}{2} a^{n-2} b^2 + \dots + b^n;$$

$$(1+x)^n = \sum_{v=0}^n \binom{n}{v} x^v = 1 + \binom{n}{1} x + \binom{n}{2} x^2 + \dots + x^n;$$

$$(1-x)^n = \sum_{v=0}^n \binom{n}{v} (-x)^v = 1 - \binom{n}{1} x + \binom{n}{2} x^2 - \dots + (-x)^n.$$

## Serii de puteri

## Serii Taylor

$$f(x) = f(x_0) + \frac{h}{1!} f'(x_0) + \frac{h^2}{2!} f''(x_0) + \dots + \frac{h^{n-1}}{(n-1)!} f^{(n-1)}(x_0) + R_n,$$

$$h = x - x_0, \quad R_n = \frac{h^n}{n!} f^{(n)}(x_0 + \vartheta h), \quad 0 < \vartheta < 1;$$

$$f(x) = f(0) + \frac{x}{1!} f'(0) + \frac{x^2}{2!} f''(0) + \dots + \frac{x^{n-1}}{(n-1)!} f^{(n-1)}(0) + R_n,$$

$$h = x - 0, \quad R_n = \frac{x^n}{n!} f^{(n)}(\vartheta x), \quad 0 < \vartheta < 1.$$

## Serii binomiale cu puteri generalizate

$$(1+x)^\alpha = 1 + \binom{\alpha}{1} x + \binom{\alpha}{2} x^2 + \dots + \binom{\alpha}{n} x^n + \dots = \sum_{v=0}^{\infty} \binom{\alpha}{v} x^v.$$

Seria este convergentă pentru

$|x| < 1$ , pentru  $x = -1, \alpha > 0$  și pentru  $x = +1, \alpha > -1$ .

Coeficientul binomial

$$\binom{\alpha}{v} = \frac{\alpha(\alpha-1)(\alpha-2)\dots(\alpha-v+1)}{1 \times 2 \times 3 \dots v};$$

$$(1+x)^{-1} = 1 - x + x^2 - x^3 + \dots \quad -1 < x < +1;$$

$$(1-x)^{-1} = 1 + x + x^2 + x^3 + \dots \quad -1 < x < +1;$$

$$(1+x)^{+1/2} = 1 + \frac{1}{2} x - \frac{1}{2 \times 4} x^2 + \frac{1 \times 3}{2 \times 4 \times 6} x^3 - \dots \quad -1 \leq x \leq +1;$$

$$(1-x)^{+\frac{1}{2}} = 1 - \frac{1}{2}x - \frac{1}{2 \times 4}x^2 - \frac{1 \times 3}{2 \times 4 \times 6}x^3 - \dots \quad -1 \leq x \leq +1;$$

$$(1+x)^{-\frac{1}{2}} = 1 - \frac{1}{2}x + \frac{1 \times 3}{2 \times 4}x^2 - \frac{1 \times 3 \times 5}{2 \times 4 \times 6}x^3 + \dots \quad -1 < x \leq +1.$$

$$(1-x)^{-\frac{1}{2}} = 1 + \frac{1}{2}x + \frac{1 \times 3}{2 \times 4}x^2 + \frac{1 \times 3 \times 5}{2 \times 4 \times 6}x^3 + \dots \quad -1 \leq x < +1.$$

Serii exponențiale și logaritmice:

$$e^x = 1 + \frac{x}{1!} + \frac{x^2}{2!} + \frac{x^3}{3!} + \frac{x^4}{4!} + \dots;$$

$$e^{jx} = 1 - \frac{x^2}{2!} + \frac{x^4}{4!} - \frac{x^6}{6!} + \frac{x^8}{8!} - \dots + j \left[ x - \frac{x^3}{3!} + \frac{x^5}{5!} - \frac{x^7}{7!} + \dots \right];$$

$$\frac{x}{e^x - 1} = 1 + B_1 \frac{x}{1!} + B_2 \frac{x^2}{2!} + B_4 \frac{x^4}{4!} + \dots \quad |x| < 2\pi;$$

$$\frac{2}{e + e^{-x}} = 1 + E_2 \frac{x}{2!} + E_4 \frac{x^4}{4!} + E_6 \frac{x^6}{6!} + \dots \quad |x| < \frac{\pi}{2};$$

$$\ln(1+x) = x - \frac{x^2}{2} + \frac{x^3}{3} - \frac{x^4}{4} + \dots + \frac{(-1)^{v+1}x^v}{v} + \dots \quad 0 \leq x \leq 1;$$

$$\ln \frac{1+x}{1-x} = \ln y = 2 \left[ x + \frac{x^3}{3} + \frac{x^5}{5} + \dots + \frac{x^{2v+1}}{2v+1} + \dots \right] \quad x = \frac{y-1}{y+1};$$

$$\ln(a+x) = \ln a + 2 \left[ z + \frac{z^3}{3} + \frac{z^5}{5} + \dots + \frac{z^{2v+1}}{2v+1} + \dots \right] \quad z = \frac{x}{2a+x}.$$

$$\text{Ei}(x) = C + \ln|x| + \frac{x}{1 \times 1!} + \frac{x^2}{2 \times 2!} + \dots = \int_{-\infty}^x \frac{e^{-x}}{x} dx;$$

$$\text{Chi}(x) = C + \ln|x| + \frac{x^2}{2 \times 2!} + \frac{x^4}{4 \times 4!} + \dots = \int_0^x \frac{\text{ch } x - 1}{x} dx + \ln|x| + C;$$

$$\text{Shi}(x) = \frac{x}{1 \times 1!} + \frac{x^3}{3 \times 3!} + \frac{x^5}{5 \times 5!} + \dots = \int_0^x \frac{\text{sh } x}{x} dx;$$

$$\text{Ci}(x) = C + \ln|x| - \frac{x^2}{2 \times 2!} + \frac{x^4}{4 \times 4!} - \dots = - \int_x^\infty \frac{\cos x}{x} dx;$$

$$\text{Si}(x) = \frac{x}{1 \times 1!} - \frac{x^3}{3 \times 3!} + \frac{x^5}{5 \times 5!} - \dots = \int_0^x \frac{\sin x}{x} dx;$$

$$\frac{\sqrt{\pi}}{2} \Phi(x) = \frac{x}{1 \times 0!} - \frac{x^3}{3 \times 1!} + \frac{x^5}{5 \times 2!} - \dots = \int_0^x e^{-x^2} dx;$$

$$\sqrt{\frac{\pi}{2}} S(x) = \sqrt{x} \left[ \frac{x}{3 \times 1!} - \frac{x^3}{7 \times 3!} + \frac{x^5}{11 \times 5!} - \dots \right] = \int_0^{\sqrt{x}} \sin x^2 dx;$$

$$\sqrt{\frac{\pi}{2}} C(x) = \sqrt{x} \left[ \frac{1}{1 \times 1!} - \frac{x^2}{5 \times 2!} + \frac{x^4}{9 \times 4!} - \dots \right] = \int_0^{\sqrt{x}} \cos x^2 dx.$$

Constanta Euler este  $C = 0,577216$ ; pentru numerele Bernoulli  $B_v$  și numerele Euler  $E_v$  - v. pag. 142.

Funcții circulare (trigonometrice) și hiperbolice ( $v = 1, 2, 3, \dots$ ):

$$\cos x = 1 - \frac{1}{2}x^2 + \frac{1}{24}x^4 - \frac{1}{720}x^6 + \dots + \frac{(-1)^v}{(2v)!}x^{2v};$$

$$\cos^2 x = 1 - x^2 + \frac{1}{3}x^4 - \frac{2}{45}x^6 + \dots;$$

$$\cos^3 x = 1 - \frac{3}{2}x^2 + \frac{7}{8}x^4 - \frac{61}{240}x^6 + \dots;$$

$$\cos^4 x = 1 - 2x^2 + \frac{5}{3}x^4 - \frac{34}{45}x^6 + \dots;$$

$$\sin x = x - \frac{1}{6}x^3 + \frac{1}{120}x^5 - \frac{1}{5040}x^7 + \dots + \frac{(-1)^v}{(2v+1)!}x^{2v+1};$$



$$\sin^2 x = x^2 - \frac{1}{3} x^4 + \frac{2}{45} x^6 - \frac{1}{315} x^8 + \dots;$$

$$\sin^3 x = x^3 - \frac{1}{2} x^5 + \frac{13}{120} x^7 - \frac{41}{3024} x^9 + \dots;$$

$$\sin^4 x = x^4 - \frac{2}{3} x^6 + \frac{1}{5} x^8 - \frac{102}{2835} x^{10} + \dots;$$

$$\operatorname{tg} x = x + \frac{1}{3} x^3 + \frac{2}{15} x^5 + \frac{17}{315} x^7 + \dots + (-1)^{v-1} \frac{2^{2v}}{(2v)!} (2^{2v} - 1) B_{2v} x^{2v-1};$$

$$\operatorname{cotg} x = \frac{1}{x} - \frac{1}{3} x - \frac{1}{45} x^3 - \frac{2}{945} x^5 - \dots + (-1)^v \frac{2^{2v}}{(2v)!} B_{2v} x^{2v-1};$$

$$\frac{1}{\cos x} = 1 + \frac{1}{2} x^2 + \frac{5}{24} x^4 + \frac{61}{720} x^6 + \dots + (-1)^v \frac{1}{(2v)!} E_{2v} x^{2v};$$

$$\frac{1}{\sin x} = \frac{1}{x} + \frac{1}{6} x + \frac{7}{360} x^3 + \frac{31}{15120} x^5 + \dots + (-1)^{v-1} \frac{1}{(2v)!} (2^{2v} - 2) B_{2v} x^{2v-1};$$

$$\operatorname{ch} x = 1 + \frac{1}{2} x^2 + \frac{1}{24} x^4 + \frac{1}{720} x^6 + \dots + \frac{1}{(2v)!} x^{2v};$$

$$\operatorname{sh} x = x + \frac{1}{6} x^3 + \frac{1}{120} x^5 + \frac{1}{5040} x^7 + \dots + \frac{1}{(2v+1)!} x^{2v+1};$$

$$\operatorname{th} x = x - \frac{1}{3} x^3 + \frac{2}{15} x^5 - \frac{17}{315} x^7 + \dots + (-1)^{v-1} \frac{2^{2v}}{(2v)!} B_{2v} x^{2v-1};$$

$$\operatorname{coth} x = \frac{1}{x} + \frac{1}{3} x - \frac{1}{45} x^3 + \frac{2}{945} x^5 - \dots + \frac{2^{2v}}{(2v)!} B_{2v} x^{2v-1}.$$

Produse ale funcțiilor circulare și hiperbolice

$$\sin x \cdot \operatorname{sh} x = \frac{2^1}{2!} x^2 - \frac{2^3}{6!} x^6 + \frac{2^5}{10!} x^{10} - \frac{2^7}{14!} x^{14} + \dots;$$

$$\sin x \cdot \operatorname{ch} x = \frac{2^0}{1!} x + \frac{2^1}{3!} x^3 - \frac{2^2}{5!} x^5 - \frac{2^3}{7!} x^7 + \dots;$$

$$\cos x \cdot \operatorname{sh} x = \frac{2^0}{1!} x - \frac{2^1}{3!} x^3 - \frac{2^2}{5!} x^5 + \frac{2^3}{7!} x^7 + \dots;$$

$$\cos x \cdot \operatorname{ch} x = \frac{2^0}{1!} - \frac{2^2}{4!} x^4 + \frac{2^4}{8!} x^8 - \frac{2^6}{12!} x^{12} + \dots;$$

Funcții inverse ale funcțiilor hiperbolice și ale celor circulare (trigonometrice):

$$\arg \operatorname{sh} x = x - \frac{1}{2} \frac{x^3}{3} + \frac{1 \times 3}{2 \times 4} \frac{x^5}{5} - \frac{1 \times 3 \times 5}{2 \times 4 \times 6} \frac{x^7}{7} + \dots \quad -1 < x < +1;$$

$$\arg \operatorname{sh} x = \operatorname{sgn} x \left[ \ln |2x| + \frac{1}{2} \frac{1}{2x^2} - \frac{1 \times 3}{2 \times 4} \frac{1}{4x^4} + \frac{1 \times 3 \times 5}{2 \times 4 \times 6} \frac{1}{6x^6} - \dots \right] \quad |x| \geq 1;$$

$$\arg \operatorname{ch} x = \ln 2x - \frac{1}{2} \frac{1}{2x^2} - \frac{1 \times 3}{2 \times 4} \frac{1}{4x^4} + \frac{1 \times 3 \times 5}{2 \times 4 \times 6} \frac{1}{6x^6} - \dots \quad +1 \leq x;$$

$$\arg \operatorname{th} x = x + \frac{1}{3} x^3 + \frac{1}{5} x^5 + \frac{1}{7} x^7 + \dots \quad -1 < x < +1;$$

$$\arg \operatorname{coth} x = \frac{1}{x} + \frac{1}{3x^3} + \frac{1}{5x^5} + \frac{1}{7x^7} + \dots \quad x < -1 \text{ sau } 1 < x;$$

$$\operatorname{arc} \sin x = x + \frac{1}{2} \frac{x^3}{3} - \frac{1 \times 3}{2 \times 4} \frac{x^5}{5} + \frac{1 \times 3 \times 5}{2 \times 4 \times 6} \frac{x^7}{7} + \dots \quad -1 < x < +1;$$

$$\operatorname{arc} \cos x = \frac{\pi}{2} - x - \frac{1}{2} \frac{x^3}{3} - \frac{1 \times 3}{2 \times 4} \frac{x^5}{5} - \frac{1 \times 3 \times 5}{2 \times 4 \times 6} \frac{x^7}{7} - \dots \quad -1 < x < +1;$$

$$\operatorname{arc} \operatorname{tg} x = x - \frac{1}{3} x^3 + \frac{1}{5} x^5 - \frac{1}{7} x^7 + \dots \quad -1 < x < +1;$$

$$\operatorname{arc} \operatorname{ctg} x = \frac{1}{x} - \frac{1}{3} \frac{1}{x^3} + \frac{1}{5} \frac{1}{x^5} - \frac{1}{7} \frac{1}{x^7} + \dots \quad +1 < x;$$

$$= \pi + \frac{1}{x} - \frac{1}{3} \frac{1}{x^3} + \frac{1}{5} \frac{1}{x^5} - \frac{1}{7} \frac{1}{x^7} + \dots \quad x < -1.$$

Numerele Bernoulli

$$B_1 = -\frac{1}{2}, \quad B_2 = +\frac{1}{6}, \quad B_4 = -\frac{1}{30}, \quad B_6 = +\frac{1}{42},$$

$$B_8 = -\frac{1}{30}, \quad B_{10} = +\frac{5}{66}, \quad B_{12} = -\frac{691}{2730}, \dots$$

$$B_3 = B_5 = \dots = B_{2v+1} = 0.$$

Formula simbolică de recurență

$$(B+1)^v = B^v \quad \text{unde} \quad B^v = B_v, \quad v = 2, 3, 4, \dots$$

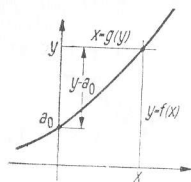
Numerele Euler

$$E_2 = -1, \quad E_4 = +5, \quad E_6 = -61, \quad E_8 = +1385,$$

$$E_{10} = -50521, \quad E_{12} = +2702765, \dots \quad E_1 = E_3 = \dots = E_{2v+1} = 0.$$

Numerele Euler satisfac formula de recurență:

$$(E+1)^v + (E-1)^v = 0 \quad \text{unde} \quad E^v = E_v, \quad v = 1, 2, 3, \dots$$



Inversa unei serii de puteri

$$y = f(x) = f(0) + \frac{f'(0)}{1!}x + \frac{f''(0)}{2!}x^2 + \frac{f'''(0)}{3!}x^3 + \dots$$

$$= a_0 + a_1x + a_2x^2 + a_3x^3 + \dots$$

$$x = g(y) = \frac{g'(a_0)}{1!}(y - a_0) + \frac{g''(a_0)}{2!}(y - a_0)^2 + \dots$$

$$= b_1(y - a_0) + b_2(y - a_0)^2 + b_3(y - a_0)^3 + \dots$$

Determinarea lui  $b_v$  prin diferențierea funcției inverse:

$$g'(a_0) = \frac{dx}{dy} \quad \frac{1}{f'} = \frac{1}{a_1} \quad = b_1 \times 1!;$$

$$g''(a_0) = \frac{d^2x}{dy^2} \quad -\frac{f''}{f'^3} = -\frac{2a_2}{a_1^3} \quad = b_2 \times 2!;$$

$$g'''(a_0) = \frac{d^3x}{dy^3} \quad \frac{3f''^2 - f'f'''}{f'^5} = \frac{12a_2^2 - 6a_1a_3}{a_1^5} \quad = b_3 \times 3!;$$

$$g''''(a_0) = \frac{d^4x}{dy^4} = \frac{10f'f''f''' - f'^2f'''' - 15f''^3}{f'^7} \\ = \frac{120a_1a_2a_3 - 24a_1^2a_4 - 120a_2^3}{a_1^7} \quad = b_4 \times 4!.$$

Determinarea lui  $b_v$  prin compararea coeficienților:

$$y = a_0 + a_1x + a_2x^2 + a_3x^3 + \dots;$$

$$x = b_1(y - a_0) + b_2(y - a_0)^2 + b_3(y - a_0)^3 + \dots$$

$$x = b_1(a_1x + a_2x^2 + a_3x^3 + \dots) + b_2(a_1x + a_2x^2 + a_3x^3 + \dots)^2 + \\ + b_3(a_1x + a_2x^2 + a_3x^3 + \dots)^3 + \dots$$

$$x = c_1x + c_2x^2 + c_3x^3 + \dots \quad c_1 = 1; \quad c_2 = c_3 = \dots = 0;$$

$$c_1 = b_1a_1;$$

$$c_2 = b_1a_2 + b_2a_1^2;$$

$$c_3 = b_1a_3 + b_2 \times 2a_1a_2 + b_3a_1^3;$$

$$c_4 = b_1a_4 + b_2(2a_1a_3 + a_2^2) + b_3 \times 3a_1^2a_2 + b_4a_1^4;$$

$$c_5 = b_1a_5 + b_2(2a_1a_4 + 2a_2a_3) + b_3(3a_1a_2^2 + 3a_1^2a_3) + b_4 \times 4a_1^3a_2 + b_5a_1^5;$$

$$c_6 = b_1a_6 + b_2(2a_1a_5 + 2a_2a_4 + a_3^2) + b_3(3a_1^2a_4 + 6a_1a_2a_3 + a_2^3) + b_4(4a_1^3a_3 + 6a_1^2a_2^2) + \\ + b_5 \times 5a_1^4a_2 + b_6a_1^6.$$

Rezultă: coeficienții  $b_v$  ai seriei de puteri a funcției inverse:

$$x = g(y) = b_1(y - a_0) + b_2(y - a_0)^2 + b_3(y - a_0)^3 + \dots;$$

$$b_1 = \frac{1}{a_1}; \quad b_2 = \frac{-a_2}{a_1^3}; \quad b_3 = \frac{-a_1 a_3 + 2a_2^2}{a_1^5};$$

$$b_4 = \frac{-a_1^2 a_4 + 5a_2(a_1 a_3 - a_2^2)}{a_1^7};$$

$$b_5 = \frac{-a_1^3 a_5 + 3a_2^2(2a_2 a_4 + a_3^2) - 7a_3(3a_1 a_3 - 2a_2^2)}{a_1^9};$$

$$b_6 = \frac{-a_1^4 a_6 + 7a_3^2(a_2 a_5 + a_3 a_4) - 28a_2^2 a_2(a_2 a_4 + a_3^2) + 42a_2^3(2a_1 a_3 - a_2^2)}{a_1^{11}}.$$

#### Serii Fourier

Coeficienții Fourier (formula lui Euler):

$$f(t) = f(t + kT) = \frac{a_0}{2} + a_1 \cos \omega t + a_2 \cos 2\omega t + \dots + a_v \cos v\omega t + \\ + b_1 \sin \omega t + b_2 \sin 2\omega t + \dots + b_v \sin v\omega t + \dots,$$

$$k = 1, 2, 3, \dots,$$

$$a_0 = \frac{2}{T} \int_0^T f(t) dt, \quad a_v = \frac{2}{T} \int_0^T f(t) \cos v\omega t dt,$$

$$b_v = \frac{2}{T} \int_0^T f(t) \sin v\omega t dt.$$

Valoarea absolută a amplitudinii armonicii de ordinul  $v$ :  $c_v = \sqrt{a_v^2 + b_v^2}$ .

Defazajul armonicii de ordinul  $v$ :

$$\varphi_v, \quad \text{cu} \quad a_v = c_v \sin \varphi_v, \quad b_v = c_v \cos \varphi_v.$$

Procedee de determinare a coeficienților  $a_v$  și  $b_v$ :

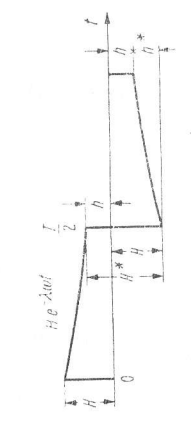
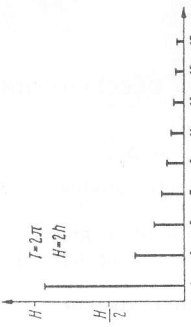
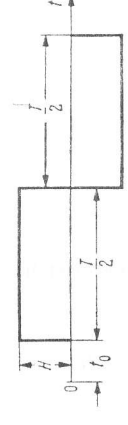

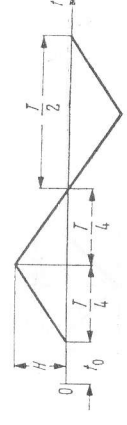

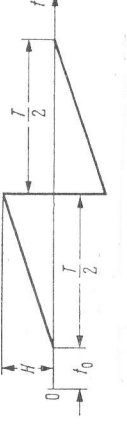
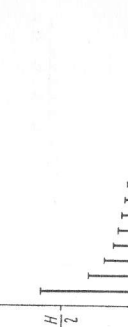
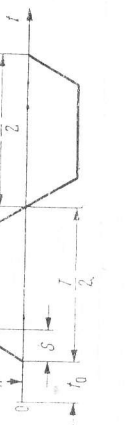

Funcția analitică: integrala unei funcții produs se calculează folosind integrarea prin părți.

Funcții grafice (oscilोगrame): cu ajutorul unui analizor de armonice, Valori echidistante ale funcției: metoda de aproximație

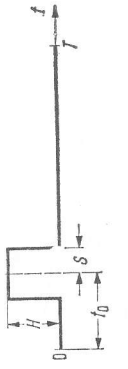
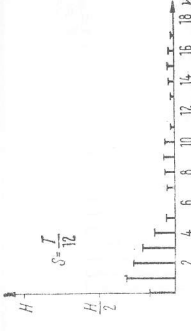

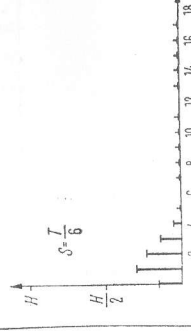
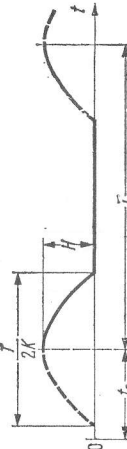

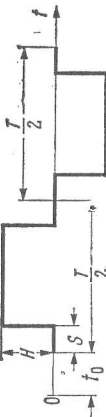
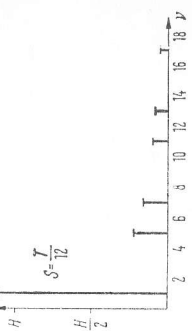
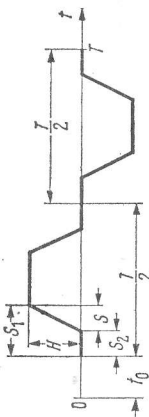
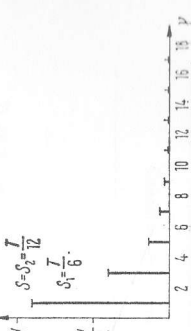
Tabelul 3.7. Oscilații armonice

Mărimi caracteristice ale armonicilor		Exemplu: oscilație sinusoidală pură
Funcția:	$f(t) = \frac{c_0}{2} + \sum c_v \sin(v\omega t + \varphi_v)$	$f(t) = H \sin(\omega t + \varphi)$
Perioada:	$T = \frac{2\pi}{\omega}$	$T = \frac{2\pi}{\omega}$
Pulsăția fundamentalei:	$\omega = \frac{2\pi}{T}$	$\omega = \frac{2\pi}{T}$
Frecvența fundamentalei:	$f = \frac{\omega}{2\pi} = \frac{1}{T}$	$f = \frac{\omega}{2\pi} = \frac{1}{T}$
Frecvența armonicii de ordinul $v$ :	$f_v = \frac{v\omega}{2\pi} = \frac{v}{T}$	$f_v = 0$
Valoarea medie a funcției $f(t)$ :	$f_m = \frac{1}{T} \int_0^T f(t) dt = \frac{c_0}{2}$	$f_m = 0$
Valoarea medie absolută a funcției $f(t)$ :	$f_a = \frac{1}{T} \int_0^T  f(t)  dt$	$f_a = \frac{2}{\pi} H = 0,6366 H$
valoarea medie pătratică a funcției $f(t)$ :	$f_e = \sqrt{\frac{1}{T} \int_0^T f^2(t) dt}$ (valoarea efectivă)	$f_e = \frac{1}{\sqrt{2}} H = 0,7071 H$
Factor de vîrf al funcției $f(t)$ :	$\sigma_s = \frac{H}{f_e}$ $H$ este valoarea maximă	$\sigma_s = \sqrt{2} = 1,4142$
Factor de formă a funcției $f(t)$ :	$\sigma_f = \frac{f_e}{f_a}$	$\sigma_f = \frac{\pi}{2\sqrt{2}} = 1,1107$

Tabelul 3.8. Funcții periodice



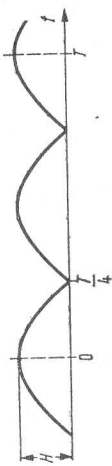


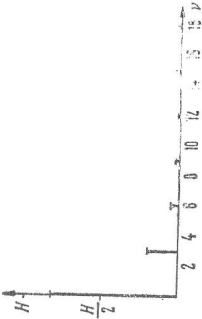

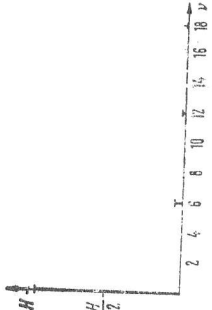
Ecuație și valori caracteristice	Exemplu	Forma curbei	Conținutul de armonice
<p>Funcția exponențială: <math>e^{-\lambda \omega t}</math></p> $f(t) = \frac{2}{\pi} H^* \sum_{v=1,3,5}^{\infty} \frac{1}{\sqrt{\lambda^2 + v^2}} \sin(v\omega t + \varphi_v)$ $f_a = \frac{h^*}{\lambda \pi} \quad \lambda = \frac{1}{\pi} \ln \frac{H}{h}$ $f_e = \sqrt{\frac{H^* h^*}{2\pi \lambda}} \quad \text{tg } \varphi_v = \frac{\lambda}{v}$	<p><math>\lambda = 0,2206</math>  <math>T = 2\pi</math>  <math>f_a = 0,7213 H</math>  <math>f_e = 0,7355 H</math>  <math>\sigma_s = 1,3596</math>  <math>\sigma_f = 1,0197</math></p>		
<p>Dreptunghi:</p> $f(t) = \frac{4}{\pi} H \sum_{v=1,3,5}^{\infty} \frac{1}{v} \sin v\omega (t - t_0)$ $f_a = H \quad \sigma_s = 1$ $f_e = H \quad \sigma_f = 1$			
<p>Triunghi:</p> $f(t) = \frac{8}{\pi^2} H \sum_{v=1,3,5}^{\infty} \frac{v-1}{v^2} \sin v\omega (t - t_0)$ $f_a = 0,5000 H \quad \sigma_s = 1,7321$ $f_e = 0,5774 H \quad \sigma_f = 1,1547$			
<p>Dinte de ferăstrău:</p> $f(t) = \frac{2}{\pi} H \sum_{v=1}^{\infty} \frac{(-1)^{v+1}}{v} \sin v\omega (t - t_0)$ $f_a = 0,5000 H \quad \sigma_s = 1,7321$ $f_e = 0,5774 H \quad \sigma_f = 1,1547$			
<p>Trapez:</p> $f(t) = \frac{2HT}{\pi^2 S} \sum_{v=1,3,5}^{\infty} \frac{\sin v\omega S}{v^2} \sin v\omega (t - t_0)$ $f_a = H \left[ 1 - \frac{2S}{T} \right] \quad f_e = H \sqrt{\frac{3T-8S}{3T}}$	<p><math>S = \frac{T}{12}</math>  <math>f_a = 0,8333 H</math>  <math>f_e = 0,8819 H</math>  <math>\sigma_s = 1,1339</math>  <math>\sigma_f = 1,0583</math></p>		

Tabelul 3.9. Funcții impuls

Ecuații și valori caracteristice	Exemplu	Forma curbei	Conținutul de armonice
<p>Impuls dreptunghiular :</p> $f(t) = \frac{2HS}{T} + \frac{2H}{\pi} \sum_{v=1}^{\infty} \frac{1}{v} \sin v\omega S \cos v\omega (t - t_0)$ $f_a = \frac{2HS}{T} \quad \sigma_s = \sqrt{\frac{T}{2S}}$ $f_e = H \sqrt{\frac{2S}{T}} \quad \sigma_f = \sqrt{\frac{T}{2S}}$	<p> <math>f_a = 0,1667 H</math>  <math>f_e = 0,4082 H</math>  <math>\sigma_s = 2,4495</math>  <math>\sigma_f = 2,4495</math> </p>		
<p>Impuls triunghiular :</p> $f(t) = \frac{HS}{T} + \frac{2HT}{S\pi^2} \sum_{v=1}^{\infty} \frac{1}{v^2} \sin^2 \frac{v\pi S}{T} \cos v\omega (t - t_0)$ $f_a = \frac{HS}{T} \quad \sigma_s = \sqrt{\frac{3T}{2S}}$ $f_e = H \sqrt{\frac{2S}{3T}} \quad \sigma_f = \sqrt{\frac{2T}{3S}}$	<p> <math>f_a = 0,1667 H</math>  <math>f_e = 0,3333 H</math>  <math>\sigma_s = 3,0000</math>  <math>\sigma_f = 2,0000</math> </p>		
<p>Impuls sinusoidal :</p> $f(t) = \frac{H}{\pi K} + \frac{2HK}{\pi} \sum_{v=1}^{\infty} \frac{\cos \frac{v\pi}{K}}{K^2 - v^2} \cos v\omega S \cos v\omega (t - t_0)$ $f_a = \frac{H}{\pi K} \quad \sigma_s = 2\sqrt{K}$ $f_e = \frac{H}{2\sqrt{K}} \quad \sigma_f = \frac{\pi}{2} \sqrt{K}$	<p> <math>f_a = 0,1061 H</math>  <math>f_e = 0,2887 H</math>  <math>\sigma_s = 3,4641</math>  <math>\sigma_f = 2,7207</math> </p>		
<p>Undă dreptunghiulară :</p> $f(\cdot) = \frac{4H}{\pi} \sum_{v=1,3,5}^{\infty} \frac{1}{v} \cos v\omega (t - t_0) S \sin v\omega$ $f_a = \left[ -1 \frac{4S}{T} \right] H \quad f_e = H \sqrt{1 - \frac{4S}{T}}$	<p> <math>f_a = 0,6667 H</math>  <math>f_e = 0,8165 H</math>  <math>\sigma_s = 1,2247</math>  <math>\sigma_f = 1,2247</math> </p>		
<p>Undă trapezoidală :</p> $f(t) = \frac{2HT}{S\pi^2} \sum_{v=1,3,5}^{\infty} \frac{\sin v\omega (t - t_0)}{v^2} (\sin v\omega S_1 - \sin v\omega S_2)$ $f_a = H \left[ 1 - 2 \frac{S_2 + S_1}{T} \right], f_e = H \sqrt{\frac{S_2 + 2S_1}{1 - 4 \frac{S_2 + S_1}{T}}}$	<p> <math>f_a = 0,5000 H</math>  <math>f_e = 0,6667 H</math>  <math>\sigma_s = 1,5000</math>  <math>\sigma_f = 1,3333</math> </p>		



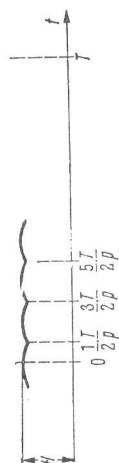
Tabelul 3.10. Funcții de redresăre

Forma și ecuația curbelor	Valorile caracteristice și conținutul de armonice
<p>Monofază:</p>  $f(t) = \frac{H}{\pi} + \frac{H}{2} \cos \omega t - \frac{2H}{\pi} \sum_{v=2,4,6}^{\infty} \frac{(-1)^{\frac{v}{2}}}{v^2 - 1} \cos v \omega t$	$f_a = 0,3183 H$ $f_e = 0,5000 H$ $\sigma_s = 2,0000$ $\sigma_f = 1,5708$ 
<p>Dublă alternanță</p>  $f(t) = \frac{2H}{\pi} - \frac{4H}{\pi} \sum_{v=2,4,6}^{\infty} \frac{(-1)^{\frac{v}{2}}}{v^2 - 1} \cos v \omega t$	$f_a = 0,6366 H$ $f_e = 0,7071 H$ $\sigma_s = 1,4142$ $\sigma_f = 1,1107$ 
<p>Trei faze:</p>  $f(t) = \frac{3\sqrt{3}}{2\pi} H - \frac{3\sqrt{3}}{\pi} H \sum_{v=3,6,9}^{\infty} \frac{(-1)^{\frac{v}{3}}}{v^2 - 1} \cos v \omega t$	$f_a = 0,8270 H$ $f_e = 0,8407 H$ $\sigma_s = 1,1895$ $\sigma_f = 1,0165$ 
<p>Șase faze:</p>  $f(t) = \frac{3}{\pi} H - \frac{6}{\pi} H \sum_{v=6,12,18}^{\infty} \frac{(-1)^{\frac{v}{6}}}{v^2 - 1} \cos v \omega t$	$f_a = 0,9549 H$ $f_e = 0,9555 H$ $\sigma_s = 1,0463$ $\sigma_f = 1,0009$ 

Forma și ecuația curbelor

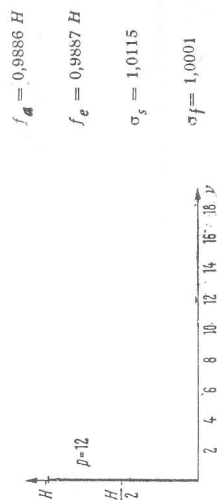
Valorile caracteristice și conținutul de armonice

p-faze:



$$f(t) = \frac{2}{\pi} H p \sin \frac{\pi}{p} \left[ \frac{1}{2} - \sum_{k=1}^{\infty} \frac{(-1)^k}{(kp)^2} \cos \frac{\pi}{p} \right]$$

$$f_a = \frac{H p}{\pi} \sin \frac{\pi}{p}, \quad f_e = H \sqrt{\frac{1}{2} + \frac{p}{4\pi} \sin \frac{2\pi}{p}}$$



$$f_a = 0,9886 H$$

$$f_e = 0,9887 H$$

$$\sigma_f = 1,0115$$

$$\sigma_f = 1,0001$$

## 3.1.3. Determinanți

Sistem de ecuații liniare cu două necunoscute

$$a_{11}x_1 + a_{12}x_2 = b_1,$$

$$a_{21}x_1 + a_{22}x_2 = b_2.$$

$$D = \begin{vmatrix} a_{11} & a_{12} \\ a_{21} & a_{22} \end{vmatrix}$$

Soluții

$$x_1 = \frac{b_1 a_{22} - a_{12} b_2}{a_{11} a_{22} - a_{12} a_{21}} = \frac{D_1}{D},$$

$$D_1 = \begin{vmatrix} b_1 & a_{12} \\ b_2 & a_{22} \end{vmatrix}$$

$$x_2 = \frac{a_{11} b_2 - b_1 a_{21}}{a_{11} a_{22} - a_{12} a_{21}} = \frac{D_2}{D}.$$

$$D_2 = \begin{vmatrix} a_{11} & b_1 \\ a_{21} & b_2 \end{vmatrix}$$

Sistem de ecuații liniare cu trei necunoscute:

$$a_{11}x_1 + a_{12}x_2 + a_{13}x_3 = b_1,$$

$$a_{21}x_1 + a_{22}x_2 + a_{23}x_3 = b_2,$$

$$a_{31}x_1 + a_{32}x_2 + a_{33}x_3 = b_3.$$

Soluții:

$$x_1 = \frac{b_1(a_{22}a_{33} - a_{23}a_{32}) - b_2(a_{12}a_{33} - a_{13}a_{32}) + b_3(a_{12}a_{23} - a_{13}a_{22})}{a_{11}(a_{22}a_{33} - a_{23}a_{32}) - a_{12}(a_{21}a_{33} - a_{23}a_{31}) + a_{13}(a_{21}a_{32} - a_{22}a_{31})} = \frac{D_1}{D},$$

$$x_2 = \frac{b_1(a_{21}a_{33} - a_{23}a_{31}) - b_2(a_{11}a_{33} - a_{13}a_{31}) + b_3(a_{11}a_{23} - a_{13}a_{21})}{a_{11}(a_{22}a_{33} - a_{23}a_{32}) - a_{12}(a_{21}a_{33} - a_{23}a_{31}) + a_{13}(a_{21}a_{32} - a_{22}a_{31})} = \frac{D_2}{D},$$

$$x_3 = \frac{b_1(a_{21}a_{32} - a_{22}a_{31}) - b_2(a_{11}a_{32} - a_{12}a_{31}) + b_3(a_{11}a_{22} - a_{12}a_{21})}{a_{11}(a_{22}a_{33} - a_{23}a_{32}) - a_{12}(a_{21}a_{33} - a_{23}a_{31}) + a_{13}(a_{21}a_{32} - a_{22}a_{31})} = \frac{D_3}{D},$$

$$D = \begin{vmatrix} a_{11} & a_{12} & a_{13} \\ a_{21} & a_{22} & a_{23} \\ a_{31} & a_{32} & a_{33} \end{vmatrix}, \quad D_1 = \begin{vmatrix} b_1 & a_{12} & a_{13} \\ b_2 & a_{22} & a_{23} \\ b_3 & a_{32} & a_{33} \end{vmatrix}, \quad D_2 = \begin{vmatrix} a_{11} & b_1 & a_{13} \\ a_{21} & b_2 & a_{23} \\ a_{31} & b_3 & a_{33} \end{vmatrix}, \quad D_3 = \begin{vmatrix} a_{11} & a_{12} & b_1 \\ a_{21} & a_{22} & b_2 \\ a_{31} & a_{32} & b_3 \end{vmatrix}.$$

Determinanți de ordinul doi:

$$\begin{vmatrix} a_{11} & a_{12} \\ a_{21} & a_{22} \end{vmatrix} = a_{11}a_{22} - a_{12}a_{21},$$

$$\begin{vmatrix} a_{11} & a_{12} \\ a_{21} & a_{22} \end{vmatrix} = a_{11}a_{22} - a_{12}a_{21}.$$

Determinanți de ordinul trei:

$$\begin{vmatrix} a_{11}a_{12}a_{13} \\ a_{21}a_{22}a_{23} \\ a_{31}a_{32}a_{33} \end{vmatrix} = a_{11} \begin{vmatrix} a_{22}a_{23} \\ a_{32}a_{33} \end{vmatrix} - a_{12} \begin{vmatrix} a_{21}a_{23} \\ a_{31}a_{33} \end{vmatrix} + a_{13} \begin{vmatrix} a_{21}a_{22} \\ a_{31}a_{32} \end{vmatrix}.$$

Determinanți de ordinul  $n$ :

$$\begin{vmatrix} a_{11}a_{12}a_{13} \dots a_{1n} \\ a_{21}a_{22}a_{23} \dots a_{2n} \\ a_{31}a_{32}a_{33} \dots a_{3n} \\ \vdots \\ a_{n1}a_{n2}a_{n3} \dots a_{nn} \end{vmatrix} = |a_{ij}|$$

prin dezvoltarea determinantului după o linie sau coloană se pot obține determinanți de ordinul  $(n-1)$ .  
 $a_{ij}$  = element al determinantului aflat în  
 — coloana  $j$  (vertical) și  
 — linia  $i$  (orizontal)

Reguli de calcul pentru determinanți de ordinul  $n$

Valoarea lui  $D$  nu se modifică dacă se schimbă între ele liniile cu coloanele

$$\begin{vmatrix} a_{11} & a_{12} \\ a_{21} & a_{22} \end{vmatrix} = \begin{vmatrix} a_{11} & a_{21} \\ a_{12} & a_{22} \end{vmatrix}$$

$D$  își schimbă semnul dacă se schimbă între ele două linii (sau două coloane)

$$\begin{vmatrix} a_{11} & a_{12} \\ a_{21} & a_{22} \end{vmatrix} = - \begin{vmatrix} a_{21} & a_{22} \\ a_{11} & a_{12} \end{vmatrix}$$

Dacă se înmulțesc elementele unei linii (coloane) cu același factor  $\lambda$ , atunci  $D$  se va transforma în  $\lambda D$

$$\begin{vmatrix} a_{11} & a_{12} \\ \lambda a_{21} & \lambda a_{22} \end{vmatrix} = \lambda \begin{vmatrix} a_{11} & a_{12} \\ a_{21} & a_{22} \end{vmatrix}$$

Dacă toate elementele unui determinant de ordinul  $n$  se înmulțesc cu același factor  $\lambda$ , atunci  $D$  se transformă în  $\lambda^n D$  (o matrice  $D$  se transformă în acest caz numai în  $\lambda D$ )

$$\begin{vmatrix} \lambda a_{11} & \lambda a_{12} \\ \lambda a_{21} & \lambda a_{22} \end{vmatrix} = \lambda^2 \begin{vmatrix} a_{11} & a_{12} \\ a_{21} & a_{22} \end{vmatrix}$$

Dacă elementele unei linii (unei coloane) sunt proporționale cu elementele unei alte linii (unei alte coloane) atunci  $D = 0$

$$\begin{vmatrix} a_{11} & a_{12} \\ \lambda a_{11} & \lambda a_{12} \end{vmatrix} = 0$$

Valoarea lui  $D$  nu se modifică dacă elementele unei linii (unei coloane) înmulțite cu același factor  $\lambda$  se adună cu elementele unei alte linii (unei alte coloane)

$$\begin{vmatrix} a_{11} & a_{12} \\ a_{21} & a_{22} \end{vmatrix} = \begin{vmatrix} a_{11} + \lambda a_{12} & a_{12} \\ a_{21} + \lambda a_{22} & a_{22} \end{vmatrix}$$

Dacă elementele unei linii (unei coloane) sînt sume de doi termeni, atunci  $D$  se poate descompune într-o sumă de doi determinanți

$$\begin{vmatrix} \alpha_1 + \beta_1\alpha_2 + \beta_2\alpha_3 + \beta_3 \\ a_{21} & a_{22} & a_{23} \\ a_{31} & a_{32} & a_{33} \end{vmatrix} = \begin{vmatrix} \alpha_1 & \alpha_2 & \alpha_3 \\ a_{21} & a_{22} & a_{23} \\ a_{31} & a_{32} & a_{33} \end{vmatrix} + \begin{vmatrix} \beta_1 & \beta_2 & \beta_3 \\ a_{21} & a_{22} & a_{23} \\ a_{31} & a_{32} & a_{33} \end{vmatrix}$$

Dezvoltarea după o linie:

$$\begin{vmatrix} a_{11} & a_{12} & \dots & a_{1n} \\ a_{21} & a_{22} & \dots & a_{2n} \\ \vdots & \vdots & & \vdots \\ a_{n1} & a_{n2} & \dots & a_{nn} \end{vmatrix} \begin{matrix} D = a_{11}A_{11} + a_{12}A_{12} + \dots + a_{1n}A_{1n} \\ D = a_{21}A_{21} + a_{22}A_{22} + \dots + a_{2n}A_{2n} \\ \vdots \\ D = a_{n1}A_{n1} + a_{n2}A_{n2} + \dots + a_{nn}A_{nn} \end{matrix} \begin{matrix} \text{(după prima linie)} \\ \text{(după a doua linie)} \\ \vdots \\ \text{(după linia } n) \end{matrix}$$

Dezvoltarea după o coloană

$$\begin{vmatrix} a_{11} & a_{12} & \dots & a_{1n} \\ a_{21} & a_{22} & \dots & a_{2n} \\ \vdots & \vdots & & \vdots \\ a_{n1} & a_{n2} & \dots & a_{nn} \end{vmatrix} \begin{matrix} D = a_{11}A_{11} + a_{21}A_{21} + \dots + a_{n1}A_{n1} \\ D = a_{12}A_{12} + a_{22}A_{22} + \dots + a_{n2}A_{n2} \\ \vdots \\ D = a_{1n}A_{1n} + a_{2n}A_{2n} + \dots + a_{nn}A_{nn} \end{matrix} \begin{matrix} \text{(după prima coloană)} \\ \text{(după a doua coloană)} \\ \vdots \\ \text{(după coloana } n) \end{matrix}$$

$$A_{ij} = (-1)^{i+j} \begin{vmatrix} a_{11} & a_{12} & a_{13} & \dots & a_{1, j-1} & a_{1, j+1} & \dots & a_{1n} \\ a_{21} & a_{22} & a_{23} & \dots & a_{2, j-1} & a_{2, j+1} & \dots & a_{2n} \\ a_{31} & a_{32} & a_{33} & \dots & a_{3, j-1} & a_{3, j+1} & \dots & a_{3n} \\ \vdots & \vdots & \vdots & & \vdots & \vdots & & \vdots \\ a_{i-1, 1} & a_{i-1, 2} & a_{i-1, 3} & \dots & a_{i-1, j-1} & a_{i-1, j+1} & \dots & a_{i-1, n} \\ a_{i+1, 1} & a_{i+1, 2} & a_{i+1, 3} & \dots & a_{i+1, j-1} & a_{i+1, j+1} & \dots & a_{i+1, n} \\ \vdots & \vdots & \vdots & & \vdots & \vdots & & \vdots \\ a_{n1} & a_{n2} & a_{n3} & \dots & a_{n, j-1} & a_{n, j+1} & \dots & a_{nn} \end{vmatrix}$$

$A_{ij}$  este determinantul de ordinul  $(n-1)$  (fără linia  $i$  și coloana  $j$ ) — complementul algebric al elementului  $a_{ij}$

$$\begin{vmatrix} a_{11} & 0 & 0 & 0 \\ a_{21} & a_{22} & 0 & 0 \\ a_{31} & a_{32} & a_{33} & 0 \\ a_{41} & a_{42} & a_{43} & a_{44} \end{vmatrix} = a_{11} \begin{vmatrix} a_{22} & 0 & 0 \\ a_{32} & a_{33} & 0 \\ a_{42} & a_{43} & a_{44} \end{vmatrix} = a_{11} a_{22} \begin{vmatrix} a_{33} & 0 \\ a_{43} & a_{44} \end{vmatrix} = a_{11} a_{22} a_{33} a_{44}$$

Un sistem de ecuații liniare omogene

$$\begin{cases} a_{11}x_1 + a_{12}x_2 + \dots + a_{1n}x_n = 0 \\ a_{21}x_1 + a_{22}x_2 + \dots + a_{2n}x_n = 0 \\ \vdots \\ a_{n1}x_1 + a_{n2}x_2 + \dots + a_{nn}x_n = 0 \end{cases} \quad \begin{vmatrix} a_{11} & a_{12} & \dots & a_{1n} \\ a_{21} & a_{22} & \dots & a_{2n} \\ \vdots & \vdots & \ddots & \vdots \\ a_{n1} & a_{n2} & \dots & a_{nn} \end{vmatrix} = 0$$

are o soluție diferită de zero dacă

Dacă, de exemplu, în sistemul

$$\begin{cases} a_{11}x_1 + a_{12}x_2 + a_{13}x_3 = 0 \\ a_{21}x_1 + a_{22}x_2 + a_{23}x_3 = 0 \\ a_{31}x_1 + a_{32}x_2 + a_{33}x_3 = 0 \end{cases} \quad \text{determinantul} \quad \begin{vmatrix} a_{11} & a_{12} & a_{13} \\ a_{21} & a_{22} & a_{23} \\ a_{31} & a_{32} & a_{33} \end{vmatrix} = 0 \text{ și } x_1 \neq 0,$$

atunci din ecuațiile

$$\begin{cases} a_{22} \frac{x_2}{x_1} + a_{23} \frac{x_3}{x_1} = -a_{21} \\ a_{32} \frac{x_2}{x_1} + a_{33} \frac{x_3}{x_1} = -a_{31} \end{cases} \quad \text{se pot calcula rapoartele } x_2/x_1 \text{ și } x_3/x_1 \text{ dacă}$$

$$A_{11} = \begin{vmatrix} a_{22} & a_{23} \\ a_{32} & a_{33} \end{vmatrix} \neq 0,$$

și anume

$$\frac{x_2}{x_1} = -\frac{\begin{vmatrix} a_{21} & a_{23} \\ a_{31} & a_{33} \end{vmatrix}}{\begin{vmatrix} a_{22} & a_{23} \\ a_{32} & a_{33} \end{vmatrix}}, \quad \frac{x_3}{x_1} = -\frac{\begin{vmatrix} a_{21} & a_{22} \\ a_{31} & a_{32} \end{vmatrix}}{\begin{vmatrix} a_{22} & a_{23} \\ a_{32} & a_{33} \end{vmatrix}}.$$

Dacă se introduc valori arbitrare  $x_1 \neq 0$ , atunci pentru fiecare valoare se obțin valori corespunzătoare pentru  $x_2$  și  $x_3$ .

### 3.1.4. Matrice

$m \times n$  numere, aranjate într-un tablou dreptunghiular de  $m$  linii și  $n$  coloane

$$A = (a_{ij})_{m,n} = \begin{pmatrix} a_{11} & a_{12} & a_{13} & \dots & a_{1n} \\ a_{21} & a_{22} & a_{23} & \dots & a_{2n} \\ a_{31} & a_{32} & a_{33} & \dots & a_{3n} \\ \vdots & \vdots & \vdots & \ddots & \vdots \\ a_{m1} & a_{m2} & a_{m3} & \dots & a_{mn} \end{pmatrix} \quad a_{ij} = \text{element al matricei, situat în coloana } j \text{ și în linia } i$$

formează o matrice.

Egalitatea matricelor:

$$\begin{pmatrix} a_{11} & a_{12} & a_{13} & \dots & a_{1n} \\ a_{21} & a_{22} & a_{23} & \dots & a_{2n} \\ a_{31} & a_{32} & a_{33} & \dots & a_{3n} \\ \vdots & \vdots & \vdots & \ddots & \vdots \\ a_{m1} & a_{m2} & a_{m3} & \dots & a_{mn} \end{pmatrix} = \begin{pmatrix} b_{11} & b_{12} & b_{13} & \dots & b_{1n} \\ b_{21} & b_{22} & b_{23} & \dots & b_{2n} \\ b_{31} & b_{32} & b_{33} & \dots & b_{3n} \\ \vdots & \vdots & \vdots & \ddots & \vdots \\ b_{m1} & b_{m2} & b_{m3} & \dots & b_{mn} \end{pmatrix}$$

dacă pentru orice  $i$  și  $j$

$$a_{ij} = b_{ij}$$

Suma matricelor:

$$\begin{pmatrix} a_{11} & a_{12} & \dots & a_{1n} \\ a_{21} & a_{22} & \dots & a_{2n} \\ \vdots & \vdots & \ddots & \vdots \\ a_{m1} & a_{m2} & \dots & a_{mn} \end{pmatrix} + \begin{pmatrix} b_{11} & b_{12} & \dots & b_{1n} \\ b_{21} & b_{22} & \dots & b_{2n} \\ \vdots & \vdots & \ddots & \vdots \\ b_{m1} & b_{m2} & \dots & b_{mn} \end{pmatrix} =$$

$$\begin{pmatrix} a_{11} + b_{11} & a_{12} + b_{12} & \dots & a_{1n} + b_{1n} \\ a_{21} + b_{21} & a_{22} + b_{22} & \dots & a_{2n} + b_{2n} \\ \vdots & \vdots & \ddots & \vdots \\ a_{m1} + b_{m1} & a_{m2} + b_{m2} & \dots & a_{mn} + b_{mn} \end{pmatrix}$$

Reguli de calcul

$$A + B = B + A; \quad A + (B + C) = (A + B) + C.$$

Multiplicarea cu un număr  $\lambda$ :

$$\lambda A = \lambda \begin{pmatrix} a_{11} & a_{12} & \dots & a_{1n} \\ a_{21} & a_{22} & \dots & a_{2n} \\ \vdots & \vdots & \ddots & \vdots \\ a_{m1} & a_{m2} & \dots & a_{mn} \end{pmatrix} = \begin{pmatrix} \lambda a_{11} & \lambda a_{12} & \dots & \lambda a_{1n} \\ \lambda a_{21} & \lambda a_{22} & \dots & \lambda a_{2n} \\ \vdots & \vdots & \ddots & \vdots \\ \lambda a_{m1} & \lambda a_{m2} & \dots & \lambda a_{mn} \end{pmatrix}$$

(la determinanți se înmulțește cu  $\lambda$  numai o linie sau o coloană)

$$\lambda(A + B) = \lambda A + \lambda B.$$

Înmulțirea matricelor

$$\begin{pmatrix} a_{11} & a_{12} & \dots & a_{1n} \\ a_{21} & a_{22} & \dots & a_{2n} \\ \vdots & \vdots & \ddots & \vdots \\ a_{m1} & a_{m2} & \dots & a_{mn} \end{pmatrix} \begin{pmatrix} b_{11} & b_{12} & \dots & b_{1p} \\ b_{21} & b_{22} & \dots & b_{2p} \\ \vdots & \vdots & \ddots & \vdots \\ b_{n1} & b_{n2} & \dots & b_{np} \end{pmatrix} = \begin{pmatrix} c_{11} & c_{12} & \dots & c_{1p} \\ c_{21} & c_{22} & \dots & c_{2p} \\ \vdots & \vdots & \ddots & \vdots \\ c_{m1} & c_{m2} & \dots & c_{mp} \end{pmatrix},$$

unde:

$$\begin{aligned} c_{11} &= a_{11} b_{11} + a_{12} b_{21} + \dots + a_{1n} b_{n1} \\ c_{12} &= a_{11} b_{12} + a_{12} b_{22} + \dots + a_{1n} b_{n2} \\ &\vdots \\ c_{1p} &= a_{11} b_{1p} + a_{12} b_{2p} + \dots + a_{1n} b_{np} \\ &\vdots \\ c_{ij} &= a_{i1} b_{1j} + a_{i2} b_{2j} + \dots + a_{in} b_{nj} \\ &\vdots \\ c_{m1} &= a_{m1} b_{11} + a_{m2} b_{21} + \dots + a_{mn} b_{n1} \\ c_{m2} &= a_{m1} b_{12} + a_{m2} b_{22} + \dots + a_{mn} b_{n2} \\ &\vdots \\ c_{mp} &= a_{m1} b_{1p} + a_{m2} b_{2p} + \dots + a_{mn} b_{np} \end{aligned}$$

Schema de înmulțire

$$C = AB$$

$$c_{ij} = \sum_{v=1}^n a_{iv} b_{vj}$$

$a_{11}$	$a_{12}$	$\dots$	$a_{1n}$	$c_{11}$	$c_{12}$	$\dots$	$c_{1j}$	$\dots$	$c_{1p}$
$a_{21}$	$a_{22}$	$\dots$	$a_{2n}$	$c_{21}$	$c_{22}$	$\dots$	$c_{2j}$	$\dots$	$c_{2p}$
$\vdots$	$\vdots$	$\ddots$	$\vdots$	$\vdots$	$\vdots$	$\ddots$	$\vdots$	$\vdots$	$\vdots$
$a_{i1}$	$a_{i2}$	$\dots$	$a_{in}$	$c_{i1}$	$c_{i2}$	$\dots$	$c_{ij}$	$\dots$	$c_{ip}$
$\vdots$	$\vdots$	$\ddots$	$\vdots$	$\vdots$	$\vdots$	$\ddots$	$\vdots$	$\vdots$	$\vdots$
$a_{m1}$	$a_{m2}$	$\dots$	$a_{mn}$	$c_{m1}$	$c_{m2}$	$\dots$	$c_{mj}$	$\dots$	$c_{mp}$

Prima matrice trebuie să aibă tot atâtea coloane câte linii are a doua matrice, în caz contrar nu s-ar putea defini produsul.

$$A(BC) = (AB)C; \quad A(B+C) = AB + AC;$$

$$(A+B)C = AC + BC.$$

În general,  $AB \neq BA$ . În cazul excepțional când  $AB = BA$  (produs comutativ),  $A$  și  $B$  se numesc matrice permutabile.

Dacă  $z = Ay$ ,  $y = Bx$ , atunci vom avea  $z = ABx$  (unde  $x$ ,  $y$  și  $z$  sînt vectori). Matricea inversă  $A^{-1}$ :

$$A^{-1} \cdot A = A \cdot A^{-1} = \begin{pmatrix} 1 & 0 & 0 & \dots & 0 \\ 0 & 1 & 0 & \dots & 0 \\ \vdots & \vdots & \vdots & \ddots & \vdots \\ 0 & 0 & 0 & \dots & 1 \end{pmatrix} = E \text{ (matricea unitate).}$$

$$(AB)^{-1} = B^{-1} A^{-1}$$

Matricea  $A'$  transpusă: dacă în  $A$  se schimbă liniile și coloanele între ele atunci noua matrice se numește matrice transpusă a lui  $A$ .

$$A' = \begin{pmatrix} a_{11} & a_{21} & \dots & a_{m1} \\ a_{12} & a_{22} & \dots & a_{m2} \\ \vdots & \vdots & \ddots & \vdots \\ a_{1n} & a_{2n} & \dots & a_{mn} \end{pmatrix} \quad (AB)' = B' A'.$$

Exemple de calcul folosind matricea

Legea lui Ohm

Într-o porțiune de circuit:  $u = Ri$  ( $u$  — tensiune;  $i$  — curent;  $R$  — rezistență) Rețea din  $n$  conductoare:

Mod de scriere a componentelor

Mod de scriere matriceală

$$u_1 = r_{11} i_1 + r_{12} i_2 + r_{13} i_3 + \dots + r_{1n} i_n$$

$$u = Zi$$

$$u_2 = r_{21} i_1 + r_{22} i_2 + r_{23} i_3 + \dots + r_{2n} i_n$$

$u$  — matrice tensiune (vector)

$$u_3 = r_{31} i_1 + r_{32} i_2 + r_{33} i_3 + \dots + r_{3n} i_n$$

$i$  — matrice curent (vector)

$$\vdots$$

$$\vdots$$

$Z$  — matrice impedanță

$$u_n = r_{n1} i_1 + r_{n2} i_2 + r_{n3} i_3 + \dots + r_{nn} i_n$$

$$z_{\nu\nu} = R_\nu + j\omega L_\nu + \frac{1}{j\omega C_\nu}; \quad z_{\nu\mu} = j\omega L_{\nu\mu} \quad (\nu \neq \mu)$$



$$u = \begin{pmatrix} u_1 \\ u_2 \\ u_3 \\ \vdots \\ u_n \end{pmatrix} \quad i = \begin{pmatrix} i_1 \\ i_2 \\ i_3 \\ \vdots \\ i_n \end{pmatrix} \quad Z = \begin{pmatrix} z_{11} & z_{12} & z_{13} & \dots & z_{1n} \\ z_{21} & z_{22} & z_{23} & \dots & z_{2n} \\ z_{31} & z_{32} & z_{33} & \dots & z_{3n} \\ \vdots & \vdots & \vdots & \ddots & \vdots \\ z_{n1} & z_{n2} & z_{n3} & \dots & z_{nn} \end{pmatrix}$$

Ecuatii liniare

O ecuație cu o necunoscută:

$$ax = b. \quad \text{Soluția: } x = a^{-1} b \quad a^{-1} = \frac{1}{a}.$$

Cazul a  $n$  ecuații cu  $n$  necunoscute:

Modul de scriere a componentelor

$$\begin{aligned} a_{11} x_1 + a_{12} x_2 + a_{13} x_3 + \dots + a_{1n} x_n &= b_1 \\ a_{21} x_1 + a_{22} x_2 + a_{23} x_3 + \dots + a_{2n} x_n &= b_2 \\ a_{31} x_1 + a_{32} x_2 + a_{33} x_3 + \dots + a_{3n} x_n &= b_3 \\ \vdots & \\ a_{n1} x_1 + a_{n2} x_2 + a_{n3} x_3 + \dots + a_{nn} x_n &= b_n \end{aligned}$$

Notarea matricelor

$$Ax = b$$

$A$  matricea sistemului de ecuații

$x$  matricea soluțiilor (vector)

$b$  matricea (vector) termenilor liberi

Soluția:

Modul de scriere a componentelor

$$\begin{aligned} x_1 &= \alpha_{11} b_1 + \alpha_{12} b_2 + \alpha_{13} b_3 + \dots + \alpha_{1n} b_n \\ x_2 &= \alpha_{21} b_1 + \alpha_{22} b_2 + \alpha_{23} b_3 + \dots + \alpha_{2n} b_n \\ x_3 &= \alpha_{31} b_1 + \alpha_{32} b_2 + \alpha_{33} b_3 + \dots + \alpha_{3n} b_n \\ \vdots & \\ x_n &= \alpha_{n1} b_1 + \alpha_{n2} b_2 + \alpha_{n3} b_3 + \dots + \alpha_{nn} b_n \end{aligned}$$

Modul de scriere matriceală

$x = A^{-1}b$  ( $A^{-1}$  este matricea inversă a lui  $A$ )

$$x_i = \begin{vmatrix} a_{11} & a_{12} & \dots & a_{1,i-1} & b_1 & a_{1,i+1} & \dots & a_{1n} \\ a_{21} & a_{22} & \dots & a_{2,i-1} & b_2 & a_{2,i+1} & \dots & a_{2n} \\ \vdots & \vdots & & \vdots & \vdots & \vdots & & \vdots \\ a_{n1} & a_{n2} & \dots & a_{n,i-1} & b_n & a_{n,i+1} & \dots & a_{nn} \end{vmatrix}$$

$$\alpha_{ij} = \begin{vmatrix} & & & & & & & \\ & & & & & & & \\ & & & & & & & \\ & & & & & & & \\ & & & & & & & \\ & & & & & & & \\ & & & & & & & \\ & & & & & & & \end{vmatrix}$$

Ecuatia caracteristică

Exemplu: rezolvarea unui sistem de ecuații diferențiale de ordinul I

Modul de scriere a componentelor

Modul de scriere matriceală

$$\begin{aligned} \dot{x}_1 &= a_{11} x_1 + a_{12} x_2 + a_{13} x_3 + \dots + a_{1n} x_n \\ \dot{x}_2 &= a_{21} x_1 + a_{22} x_2 + a_{23} x_3 + \dots + a_{2n} x_n \\ \dot{x}_3 &= a_{31} x_1 + a_{32} x_2 + a_{33} x_3 + \dots + a_{3n} x_n \\ \vdots & \\ \dot{x}_n &= a_{n1} x_1 + a_{n2} x_2 + a_{n3} x_3 + \dots + a_{nn} x_n \end{aligned}$$

$$\dot{x} = Ax$$

Înlocuind  $x_1 = e^{\lambda t} b_1$ ,  $x_2 = e^{\lambda t} b_2$ , ...,  $x_n = e^{\lambda t} b_n$  se obține  $x = e^{\lambda t} b$

$$\begin{aligned} (a_{11} - \lambda) b_1 + a_{12} b_2 + a_{13} b_3 + \dots + a_{1n} b_n &= 0 \\ a_{21} b_1 + (a_{22} - \lambda) b_2 + a_{23} b_3 + \dots + a_{2n} b_n &= 0 \\ a_{31} b_1 + a_{32} b_2 + (a_{33} - \lambda) b_3 + \dots + a_{3n} b_n &= 0 \\ \vdots & \\ a_{n1} b_1 + a_{n2} b_2 + a_{n3} b_3 + \dots + (a_{nn} - \lambda) b_n &= 0 \\ (A - \lambda E) b &= 0 \end{aligned}$$

$$A - \lambda E = \begin{pmatrix} a_{11} - \lambda & a_{12} & a_{13} & \dots & a_{1n} \\ a_{21} & a_{22} - \lambda & a_{23} & \dots & a_{2n} \\ \vdots & & & & \\ a_{n1} & a_{n2} & a_{n3} & \dots & a_{nn} - \lambda \end{pmatrix} \text{ matricea caracteristică}$$

$$0 = |A - \lambda E| = \begin{vmatrix} a_{11} - \lambda & a_{12} & a_{13} & \dots & a_{1n} \\ a_{21} & a_{22} - \lambda & a_{23} & \dots & a_{2n} \\ \vdots & & & & \\ a_{n1} & a_{n2} & a_{n3} & \dots & a_{nn} - \lambda \end{vmatrix} \text{ ecuație caracteristică}$$

Ecuația caracteristică este un polinom de gradul  $n$ .

Valorile proprii  $\lambda$  ale unei matrice  $A$  sînt rădăcinile  $\lambda$  ale polinomului lor caracteristic  $|A - \lambda E| = 0 \times \dot{x} = Ax$ , care are soluția  $x = c_1 e^{\lambda_1 t} b_1 + \dots + c_n e^{\lambda_n t} b_n$ , cu constante de integrare arbitrare  $c_1, c_2, \dots, c_n$ ; în acest caz  $(A - \lambda_v E)b_v = 0$ .

### 3.1.5. Metode numerice de aproximație

Rezolvarea ecuațiilor diferențiale de ordinul 1:

$$y' = f(x, y); \quad y = y_0 + \int_{x_0}^x f(x, y) dx.$$

Metoda de integrare de ordinul întâi Euler-Cauchy

Dezvoltarea în serie

$$y(x+h) = y(x) + hy'(x) + \frac{h^2}{2} y''(x) + \dots \quad y_{n+1} = y_n + hf(x_n, y_n).$$

Se va folosi numai pentru o primă orientare asupra modului de rezolvare în imediata apropiere a lui  $P_0(x_0, y_0)$ . Eroarea metodei de aproximație este în raport direct cu pătratul mărimii treptei  $h$ .

Metoda trapezului înscris

Eliminarea lui  $y''(x)$  din seriile

$$y(x+h) = y(x) + hy'(x) + \frac{h^2}{2} y''(x)$$

$$y'(x+h) = y'(x) + hy''(x) \quad \text{duce la}$$

$$y_{n+1} = y_n + \frac{1}{2} h \left( f(x_n, y_n) + f\left[x_n + h, y_n + h \cdot f(x_n, y_n)\right] \right)$$

Metoda trapezului circumscris

Eliminarea lui  $y''(x)$  din seriile

$$y(x+h) = y(x) + hy'(x) + \frac{1}{2} h^2 y''(x).$$

$$y'\left(x + \frac{1}{2} h\right) = y'(x) + \frac{1}{2} h y''(x) \quad \text{duce la}$$

$$y_{n+1} = y_n + hf\left[x_n + \frac{1}{2} h, y_n + \frac{1}{2} hf(x_n, y_n)\right]$$

Metoda de integrare de ordinul trei a lui Simpson

Eliminarea lui  $y''(x)$  și  $y'''(x)$  din seriile

$$y(x+h) = y(x) + hy'(x) + \frac{1}{2} h^2 y''(x) + \frac{1}{6} h^3 y'''(x) + \dots$$

$$y'\left(x + \frac{1}{2} h\right) = y'(x) + \frac{1}{2} h y''(x) + \frac{1}{8} h^2 y'''(x)$$

$$y'(x+h) = y'(x) + hy''(x) + \frac{1}{2} h^2 y'''(x) \quad \text{duce la}$$

$$y_{n+1} = y_n + \frac{1}{6} h \left( f(x_n, y_n) + 4f\left[x_n + \frac{1}{2} h, y_n + \frac{1}{2} hf(x_n, y_n)\right] + f(h) \right)$$

$$f(h) = f[x_n + h, y_n + hf(x_n, y_n)]$$

Metoda de integrare de ordinul patru Runge-Kutta

$$k_1 = hf(x_n, y_n),$$

$$k_3 = hf\left(x_n + \frac{1}{2} h, y_n + \frac{1}{2} k_2\right),$$

$$k_2 = hf\left(x_n + \frac{1}{2} h, y_n + \frac{1}{2} k_1\right),$$

$$k_4 = hf(x_n + h, y_n + k_3)$$

$$y_{n+1} = y_n + \frac{1}{6} (k_1 + 2k_2 + 2k_3 + k_4)_{n+1}.$$

Rezolvarea ecuațiilor diferențiale de ordinul 2  $y'' = f(x, y, y')$

Metoda de integrare de ordinul doi Euler-Cauchy

$$y(x+h) = y(x) + hy'(x) + \frac{1}{2} h^2 y''(x), \quad y'(x+h) = y'(x) + hy''(x),$$

$$\begin{cases} y_{n+1} = y_n + hy'_n + \frac{1}{2} h^2 f(x_n, y_n, y'_n), \\ y'_{n+1} = y'_n + hf(x_n, y_n, y'_n). \end{cases}$$

Această metodă se recomandă atunci când este vorba de o primă orientare asupra modului de rezolvare și când ecuația diferențială este dată de forma

$$y'' + f_1(x, y) y' + f_2(x, y) = F(x).$$

Schema de aproximare duce la formulele de recurență

$$y_{n+1} = y_n + h \left[ 1 - \frac{1}{2} h^2 f_1(x_n, y_n) \right] y'_n + \frac{1}{2} h^2 [F(x_n) - f_2(x_n, y_n)],$$

$$y'_{n+1} = y'_n [1 - hf_1(x_n, y_n)] + h [F(x_n) - f_2(x_n, y_n)].$$

Metoda de integrare de ordinul trei a lui Encke

$$\begin{aligned} y(x+h) &= y(x) + hy'(x) + \frac{1}{2} h^2 y''(x) \\ y(x-h) &= y(x) - hy'(x) + \frac{1}{2} h^2 y''(x) \\ \hline y(x+h) &= -y(x-h) + 2y(x) + h^2 y''(x) \\ y'(x+h) &= y'(x) + hy''(x) + \frac{1}{2} h^2 y'''(x) \\ y'(x-h) &= y'(x) - hy''(x) + \frac{1}{2} h^2 y'''(x) \\ \hline y'(x+h) &= +y'(x-h) + 2hy''(x). \end{aligned}$$

De aici rezultă schema de aproximare

$$\begin{cases} y_{n+1} = 2y_n - y_{n-1} + h^2 f(x_n, y_n, y'_n) \\ y'_{n+1} = y'_{n-1} + 2hf(x_n, y_n, y'_n). \end{cases}$$

Pentru stabilirea valorilor  $y_1$  și  $y'$  (calcul preliminar) se va folosi metoda Euler-Cauchy.

Metoda de integrare de ordinul patru Runge-Kutta

$$y'_I = y'_n = f(x_n, y_n, y'_n),$$

$$y''_{II} = f\left(x_n + \frac{h}{2}, y_n + \frac{h}{2} y'_n + \frac{h^2}{8} y''_I, y'_n + \frac{h}{2} y'_I\right),$$

$$y''_{III} = f\left(x_n + \frac{h}{2}, y_n + \frac{h}{2} y'_n + \frac{h^2}{8} y''_I, y'_n + \frac{h}{2} y''_{II}\right),$$

$$y''_{IV} = f\left(x_n + h, y_n + hy'_n + \frac{h^2}{2} y''_{III}, y'_n + hy''_{III}\right).$$

$$Y''_{II} = y''_{II} + y''_{III} + y''_{IV},$$

$$Y''_I = y''_I + y''_{II} + y''_{III}.$$

$$\begin{cases} y_{n+1} = y_n + hy'_n + \frac{1}{6} h^2 Y''_I \\ y'_{n+1} = y'_n + \frac{1}{6} h [Y''_I + Y''_{II}] \end{cases}$$

Metoda de integrare de ordinul patru a lui Blaess

Corectarea metodei lui Euler-Cauchy la fiecare cinci pași

pentru $n = 0,$	1,	2,	3,	4,	$n \neq 5$
V,	6,	7,	8,	9,	10
X,	11,	12,	13,	14,	15
...					...

este valabil

$$\begin{cases} y_{n+1} = y_n + hy'_n + \frac{h^2}{2} f(x_n, y_n, y'_n), \\ y'_{n+1} = y'_n + hf(x_n, y_n, y'_n). \end{cases}$$

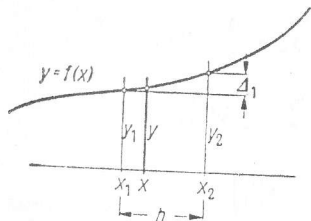
Corecția: pentru  $K = V, X, XV, \dots$  este valabil

$n = 5, 10, 15, \dots$

$$\begin{cases} y'_K = y'_n + h \left( \frac{11}{24} y''_n + \frac{5}{24} y''_{n-4} - \frac{16}{24} y''_{n-5} \right), \\ y_K = y_n + \frac{h^2}{2} \left( \frac{45}{24} y''_{n-1} + \frac{100}{24} y''_{n-4} - \frac{145}{24} y''_{n-5} \right). \end{cases}$$

## Interpolarea numerică a valorilor funcțiilor

## Interpolarea liniară:

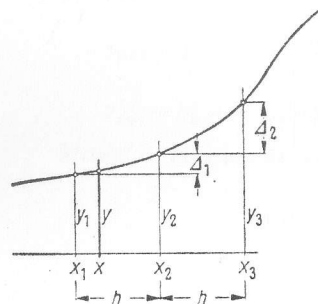


$$y = y_1 + (x - x_1) \frac{y_2 - y_1}{x_2 - x_1},$$

$$\xi = \frac{x - x_1}{x_2 - x_1}, \quad 0 < \xi < 1,$$

$$h = x_2 - x_1, \quad \boxed{y = y_1 + \xi \Delta_1.}$$

## Interpolarea pătratică:



$$y = y_1 + A_1(x - x_1) + A_2(x - x_1)^2,$$

$$\xi = \frac{x - x_1}{x_2 - x_1}, \quad 0 < \xi < 2,$$

$$\Delta_1 = y_2 - y_1, \quad \Delta_2 = y_3 - y_2,$$

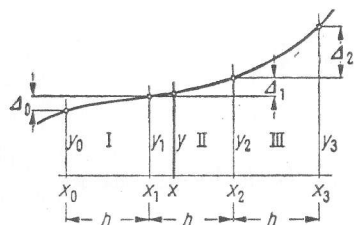
$$h = x_3 - x_2 = x_2 - x_1$$

pe cât posibil, numai pentru

$$0,5 < \xi < 1,5$$

$$\boxed{y = y_1 + \frac{\xi}{2} (3 - \xi) \Delta_1 - \frac{\xi}{2} (1 - \xi) \Delta_2.}$$

## Interpolarea cubică:



$$y = y_1 + A_1(x - x_1) + A_2(x - x_1)^2 + A_3(x - x_1)^3,$$

$$\xi = \frac{x - x_1}{x_2 - x_1} \quad -1 < \xi < 2,$$

$$\Delta_0 = y_1 - y_0, \quad \Delta_1 = y_2 - y_1,$$

$$\Delta_2 = y_3 - y_2,$$

$$h = x_3 - x_2 = x_2 - x_1 = x_1 - x_0.$$

Domeniul II se va folosi la interpolare normală

$$0 < \xi < 1 \quad f_0(\xi) = \frac{\xi}{6} (\xi^2 - 3\xi + 2).$$

Domeniul I se va folosi numai la capătul din stînga al figurii de la p. 166 jos

$$-1 < \xi < 0 \quad f_1(\xi) = \frac{\xi}{6} (2\xi^2 - 3\xi - 5).$$

Domeniul III se va folosi numai la capătul din dreapta al figurii de la p. 166 jos

$$1 < \xi < 2 \quad f_2(\xi) = \frac{\xi}{6} (\xi^2 - 1).$$

$$\boxed{y = y_1 + f_0(\xi) \Delta_0 - f_1(\xi) \Delta_1 + f_2(\xi) \Delta_2.}$$

## Metoda integrării

Se dă

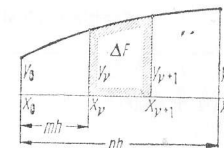
$$x_{v+1} - x_v = h, \quad 0 \leq m \leq n-1.$$

## Regula trapezului (aproximare liniară)

Aria elementului de suprafață

$$\Delta F = \frac{h}{2} (y_v + y_{v+1}).$$

$$\boxed{F = h \left( \frac{y_0}{2} + y_1 + y_2 + \dots + y_{n-1} + \frac{y_n}{2} \right)}$$

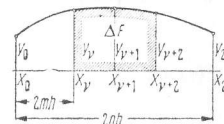


## Regula Simpson (aproximare pătratică)

Aria elementului de suprafață

$$\Delta F = \frac{h}{3} (y_v + 4y_{v+1} + y_{v+2}).$$

$$\boxed{F = \frac{h}{3} [y_0 + 2(y_2 + y_4 + y_6 + \dots + y_{2n-2}) + 4(y_1 + y_3 + y_5 + \dots + y_{2n-1}) + y_{2n}]}$$

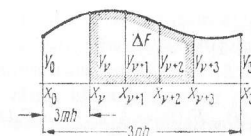


## Aproximarea cubică a funcției

Aria elementului de suprafață

$$\Delta F = \frac{3}{8} h (y_v + 3y_{v+1} + 3y_{v+2} + y_{v+3}).$$

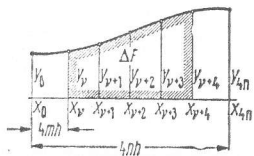
$$\boxed{F = \frac{3}{8} h [y_0 + 3(y_1 + y_4 + y_7 + \dots + y_{3n-5} + y_{3n-2}) + 3(y_2 + y_5 + y_8 + \dots + y_{3n-4} + y_{3n-1}) + 2(y_3 + y_6 + y_9 + \dots + y_{3n-3}) + y_{3n}]}.$$



Aproximarea bipătratică a funcției

Aria elementului de suprafață

$$\Delta F = \frac{4h}{90} (7y_v + 32y_{v+1} + 12y_{v+2} + 32y_{v+3} + 7y_{v+4}).$$



$$F = \frac{2h}{45} [7y_0 + 32(y_1 + y_3 + y_5 + \dots + y_{4n-1}) + 12(y_2 + y_6 + y_{10} + \dots + y_{4n-2}) + 14(y_4 + y_8 + y_{12} + \dots + y_{4n-4}) + 7y_{4n}]$$

### 3.1.6. Transformarea Laplace

Funcția originală $F(t)$	Funcția imagine $\varphi(p) = L[F(t)]$
$F_1(t) + F_2(t)$	$\varphi_1(p) + \varphi_2(p)$ (regulă de adunare)
$F(at - b)$	$\frac{1}{a} e^{-\frac{b}{a}p} \varphi\left(\frac{p}{a}\right)$
$\frac{1}{a} e^{-\frac{b}{a}t} F\left(\frac{t}{a}\right)$	$\varphi(ap + b)$
$\int_0^t F(\tau) d\tau$	$\frac{1}{p} \varphi(p)$ (regulă de integrare)
$\frac{F(t)}{t}$	$\int_p^\infty \varphi(p) dp$ (regulă de împărțire)
$\frac{d^n}{dt^n} F(t)$	$p^n \varphi(p) - [p^{n-1} F(0) + p^{n-2} F'(0) + \dots + F^{n-1}(0)]$
$(-1)^n t^n F(t)$	$\frac{d^n}{dp^n} \varphi(p)$ (regulă de înmulțire)
$F_1(t) * F_2(t) = \int_0^t F_1(\tau) \cdot F_2(t - \tau) \cdot d\tau$	$\varphi_1(p) \cdot \varphi_2(p)$ (teorema produsului)

$F(t)$	$\varphi(p)$	$F(t)$	$\varphi(p)$
1	$\frac{1}{p}$	$t$	$\frac{1}{p^2}$
$\frac{t^n}{n!}$	$\frac{1}{p^{n+1}}$ (n număr întreg)	$e^{\pm at}$	$\frac{1}{(p \mp a)}$ (Re $p > \text{Re } a$ )
$1 - e^{-at}$	$\frac{a}{p(p+a)}$	$te^{-at}$	$\frac{1}{(p+a)^2}$
$\sin at$	$\frac{a}{p^2 + a^2}$	$\cos at$	$\frac{p}{p^2 + a^2}$
$\text{sh } at$	$\frac{a}{p^2 - a^2}$	$\text{ch } at$	$\frac{p}{p^2 - a^2}$
$e^{-bt} \sin at$	$\frac{a}{(p+b)^2 + a^2}$	$e^{-bt} \cos at$	$\frac{p+b}{(p+b)^2 + a^2}$
$e^{-a_1 t} - e^{-a_2 t}$	$\frac{a_2 - a_1}{(p+a_1)(p+a_2)}$		

$$F(t) = \frac{2e^{-\frac{a_1}{2}t}}{\sqrt{4a_0 - a_1^2}} \sin \frac{\sqrt{4a_0 - a_1^2}}{2} t$$

$$F(t) = \frac{2e^{-\frac{a_1}{2}t}}{\sqrt{a_1^2 - 4a_0}} \text{sh} \frac{\sqrt{a_1^2 - 4a_0}}{2} t$$

$$\varphi(p) = \frac{1}{p^2 + a_1 p + a_0}$$

### 3.2. CÂMPURI PLANE DE POTENȚIAL FĂRĂ SURSE

Un câmp fizic se caracterizează prin liniile sale de câmp și liniile echipotențiale, care trec între limitele acestui câmp. Geometria unui astfel de câmp fizic este independentă de tipul acestuia, adică el este supus acelorași legi geometrice, indiferent că este vorba de un câmp electrostatic, un câmp magnetostatic, un câmp electric sau un câmp de căldură. Liniile de câmp și cele echipotențiale sînt perpendiculare între ele în oricare punct al câmpului. Cazul cel mai simplu îl constituie *câmpul omogen*.



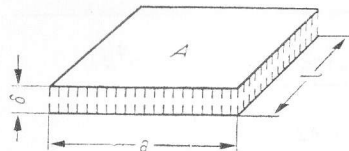


Fig. 3.1. Cîmp omogen.

Fie un cîmp omogen (fig. 3.1) între două plăci plane de lățimea  $a$ , lungimea  $l$  și distanța între ele  $\delta$  (fenomenele marginale nu se iau deocamdată în considerație). Conductanța geometrică a unei astfel de configurații este

$$G_g = \frac{A}{\delta} = \frac{a}{\delta} l. \quad (3.1)$$

Raportul de lungimi  $a/\delta$  este denumit *conductanță geometrică raportată la lungime*,

$$\Lambda_g = \frac{G_g}{l} = \frac{a}{\delta}. \quad (3.2)$$

Această mărime are dimensiunea unei lungimi cu exponentul zero<sup>1)</sup>.

Cîmpurile care în orice secțiune paralelă cu planul format de muchiile  $a$  și  $\delta$  prezintă același spectru de linii de cîmp, se numesc *cîmpuri plane*. Și pentru aceste cîmpuri conductanța geometrică se poate raporta la lungimea  $l$ .

În cazul cîmpurilor plane delimitate prin drepte expresia conductanței geometrice raportate la lungime se poate aduce la forma corespunzătoare cîmpului omogen prin expresia

$$\Lambda_g = \frac{a}{\delta} + \zeta \quad (3.3)$$

sau

$$\Lambda_g = \frac{a}{\delta} + \zeta \frac{b}{\delta}. \quad (3.4)$$

În cazul cîmpurilor delimitate prin cercuri se obține expresia

$$\Lambda_g = \frac{2\pi r}{\delta} \zeta. \quad (3.5)$$

Pentru cîmpuri irotaționale, delimitate prin drepte sau cercuri, sînt date cîteva soluții în tabelul 3.12 care parțial pot fi utilizate în domeniul construcțiilor de mașini electrice. În tabelul 3.11 sînt date valorile mărimii auxiliare  $\zeta$ .

Cu ajutorul valorilor numerice din tabelul 3.11, se pot trasa curbe ajutătoare, care ușurează aplicarea funcțiilor respective, de multe ori destul de complicate. Alte posibilități de aplicare reies dintr-o teoremă a teoriei potențialului: prin schimbarea liniilor de cîmp și a liniilor echipotențiale între ele, conductanța geometrică calculată devine o rezistență geometrică.

Exemple de aplicare a conductanțelor geometrice la cîmpuri plane irotaționale fără sursă

*Cîmp electrostatic.* Capacitatea unei dispoziții determinate a suprafețelor conductoare (de ex. nr. 1, 2 și 16 pînă la 20<sup>2)</sup>) este dată de

$$C = \epsilon \Lambda_g \cdot l. \quad (3.6)$$

<sup>1)</sup> Astfel de mărimi sînt deseori denumite, pe scurt, dar nu tocmai corect, „fără dimensiune“.

<sup>2)</sup> Numerele menționate aici și în cele ce urmează se referă la tabelul 3.12.

Capacitatea a doi cilindri paraleli de același diametru, dar de încărcare diferită, se găsește (conform nr. 19 din tab. 3.12) cu relația

$$C = \epsilon \frac{1}{2} \Lambda_g \cdot l, \quad (3.7)$$

în care, corespunzător figurii, litera  $a$  reprezintă jumătatea distanței între centrele cilindrilor.

*Cîmpul electric.* Pentru calculul rezistenței în curent continuu a unui conductor, liniile echipotențiale din cazurile 3 pînă la 7 pot fi considerate ca linii de cîmp. Liniile groase marginale devin limita conductorului. Conductanța geometrică raportată la lungime  $\Lambda_g$  capătă semnificația unei rezistențe geometrice raportate la lungime,

$$R = \rho \Lambda_g \cdot \frac{1}{l} \quad \text{cu} \quad \Lambda_g = \frac{a}{\delta} + \zeta + \frac{c}{b}. \quad (3.8)$$

Dimensiunile  $a$  și  $c$  sînt în direcția scurgerii, iar  $l$  este grosimea conductorului.

*Cîmp magnetic.* Pentru calculul fluxurilor magnetice de dispersie între polii mașinilor sincrone (de ex: nr. 9 pînă la 13 și nr. 20) sau al dispersiei creștăturilor semiînchise (de ex: nr. 3 pînă la 7) ale mașinilor electrice, permeanța, se calculează cu relația

$$\Lambda_m = \mu_0 \Lambda_g l; \quad (3.9)$$

inductivitatea proprie este dată de

$$L = \mu_0 \Lambda_g l N^2 \quad (N = \text{numărul de spire}). \quad (3.10)$$

Dacă se dorește, de exemplu, să se calculeze inductivitatea proprie a unui cablu gol, se pot schimba între ele, în cazul nr. 16, liniile de cîmp cu cele echipotențiale. Expresia  $\Lambda_g$  de acolo devine astfel rezistența geometrică raportată la lungime și se obține pentru inductivitatea proprie a cablului gol expresia

$$L = \mu_0 \frac{l}{\Lambda_g} = \mu_0 \frac{l}{2\pi} \ln \frac{r_2}{r_1}. \quad (3.11)$$

*Factorul de creștătură (factor Carter)* este raportul dintre permeanța întrefierului la statoare și rotoare fără creștături și permeanța în cazul în care una din aceste două părți este cu creștături (de ex. nr. 2 și 10):

$$k_c = \frac{(a+b)}{\delta \Lambda_g} = \frac{a+b}{a+\zeta b}. \quad (3.12)$$

Corespunzător figurilor din cazurile nr. 2 și 10,  $a$  reprezintă aici jumătate din lățimea dintelui, iar  $b$  jumătate din lățimea creștăturii. Mărimea ajutătoare  $\zeta$  trebuie determinată pentru  $x = \frac{b}{\delta}$ , unde  $\delta$  este întrefierul.  $\zeta b$  este deci jumătate din partea magnetică activă a lățimii creștăturii.

*Forța magnetică axială* la mașinile electrice este influențată de conductanța cîmpului magnetic la capetele frontale ale mașinii la o deplasare axială. Energia cîmpului magnetic la unul din capete este

$$W = \frac{1}{2} \int_V BH \, dV = \frac{1}{2} \frac{B^2}{\mu_0} l \delta^2 \Lambda_g. \quad (3.13)$$

cu conductanța cîmpului din întrefier, conform nr. 14,

$$\Lambda_g = \frac{a}{\delta} - \zeta + \frac{1}{\pi} \ln \left( \frac{\pi}{2} \frac{c}{\delta} \right) \text{ și } l = \pi D. \quad (3.14)$$

Aici  $D$  este o valoare medie cuprinsă între diametrul interior al statorului și diametrul rotorului. Forța magnetică la un capăt al mașinii este deci

$$F = \frac{\partial W}{\partial b} = \frac{\pi}{2} \frac{B^2}{\mu_0} D \delta^2 \frac{\partial \Lambda_g}{\partial b} = - \frac{\pi}{2} \frac{B^2}{\mu_0} D \delta^2 \frac{\partial \zeta}{\partial b}. \quad (3.15)$$

*Cîmpul fluxului de căldură.* Coeficientul de conductibilitate calorică al unei dispoziții oarecare este conform ecuațiilor (3.1) și (3.2)

$$\Lambda_w = \lambda \Lambda_g \cdot l. \quad (3.16)$$

Tabelul 3.11. Valori numerice pentru mărimile auxiliare  $\zeta$ ,  $\left(\frac{h}{b}, \text{Nr. 13}\right)$  și  $\left(\frac{\partial \zeta}{\partial x}, \text{Nr. 15}\right)$  în funcție de  $x$

Nr.	$x$	0,0	0,5	0,7	1,0	1,5	2,0	2,5	3,0	4,0	5,0
2		1,0000	0,8127	0,7480	0,6645	0,5573	0,4796	0,4211	0,3760	0,3109	0,2661
8		0,3951	0,5983	0,6677	0,7587	0,8908	1,0009	1,0955	1,1780	1,3172	1,4282
9		0,4413	0,8395	0,9331	1,0491	1,2021	1,3238	1,4253	1,5124	1,6569	1,7743
10		1,0000	0,8479	0,7935	0,7206	0,6245	0,5513	0,4945	0,4491	0,3814	0,3331
14		-0,3183	-0,0300	+0,1043	0,3214	0,7134	1,1304	1,5636	2,0080	2,9188	3,8490
15		0,0000	0,2952	0,3888	0,5000	0,6257	0,7048	0,7578	0,7952	0,8440	0,8743

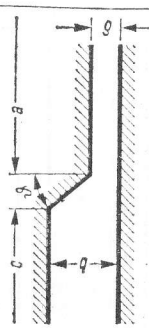
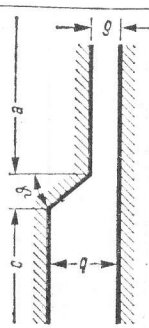
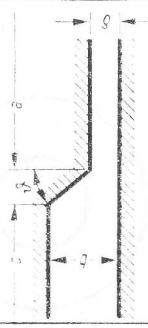
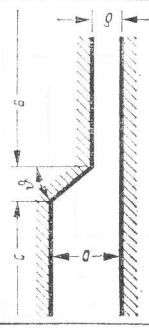
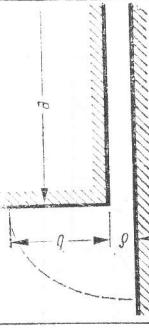
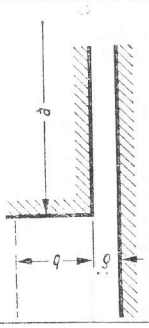
Nr.	$x$	1,0	1,2	1,5	2,0	2,5	3,0	4,0	6,0	8,0	10,0
3		0,0000	0,0154	0,0557	0,1249	0,1860	0,2387	0,3250	0,4503	0,5406	0,6110
4		0,0000	0,0432	0,1131	0,2155	0,2996	0,3698	0,4823	0,6464	0,7565	0,8451
5		0,0000	0,0508	0,1291	0,2412	0,3321	0,4077	0,5282	0,6992	0,8201	0,9160
6		0,0000	0,0649	0,1587	0,2889	0,3930	0,4789	0,6154	0,8086	0,9459	1,0523
7		0,0000	0,1017	0,2371	0,4173	0,5586	0,6744	0,8573	1,1154	1,2985	1,4406
11		0,2794	0,3734	0,4954	0,6614	0,7949	0,9062	1,0814	1,3389	1,5223	1,6623
12		-0,2794	-0,1906	-0,0929	0,0178	0,0909	0,1406	0,2110	0,2834	0,3213	0,3381
13		0,0000	0,0301	0,0892	0,1717	0,2323	0,2774	0,3391	0,4071	0,4431	0,4656

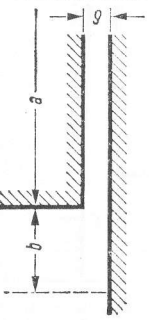
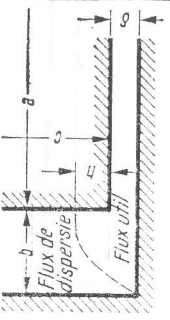

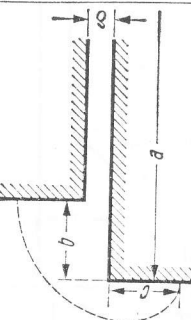
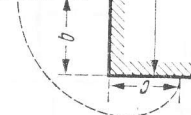
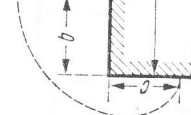
Nr.	$x$	1,00	1,04	1,10	1,30	1,60	2,0	2,5	3,0	4,0	5,0
16		1,0000	1,0199	1,0490	1,1434	1,2766	1,4427	1,6370	1,8205	2,1640	2,4853
17, 18, 19		0,0000	0,1419	0,2254	0,3966	0,5729	0,7593	0,9574	1,1346	1,4539	1,7449
20		0,0000	0,1094	0,1836	0,3233	0,4322	0,5390	0,6517	0,7470	0,9217	1,0788

Numărul care se termină cu 5, s-a format prin rotunjire în minus iar un număr care se termină cu 5 s-a format prin rotunjire în plus.

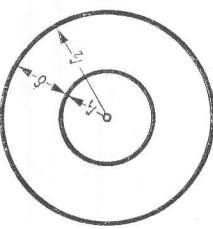
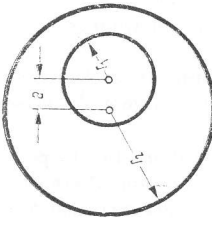
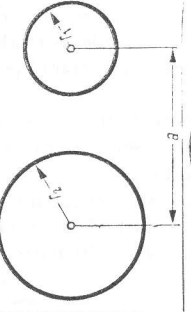
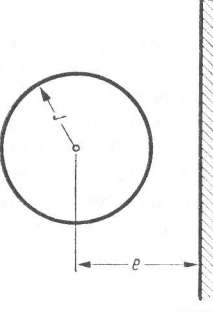
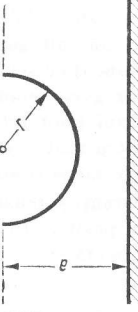
Tabelul 3.12. Conductanțe geometrice pe unitatea de lungime, pentru cîmpuri irotaționale, fără sură

Nr.	Figura	Conductanța geometrică	Formula	Aplicare
I. Delimitare prin drepte				
1		$\Lambda_g = \frac{a}{\delta} + \zeta$	$\zeta = \frac{2}{\pi} \ln 2 = 0,4413$	Condensator cu trei plăci
2		$\Lambda_g = \frac{a}{\delta} + \zeta + \frac{b}{\delta}$	$\zeta = 1 - \frac{1}{\pi x} \frac{2x^2}{1 - \alpha^2}, x = \frac{b}{\delta}$ $\pi x = \frac{2\alpha}{1 - \alpha^2} + \ln \frac{1 + \alpha}{1 - \alpha}$	Condensator pentru inel de protecție
3		$\Lambda_g = \frac{a}{\delta} + \zeta + \frac{c}{b}$	$\zeta = \frac{1}{2\pi} \left[ \left( x + \frac{1}{x} \right) \ln \frac{x+1}{x-1} + 2 \ln \frac{1}{4} \left( x - \frac{1}{x} \right) \right]$ $x = \frac{b}{\delta}, b > \delta$	Factor de creșterea de creșterea
4		$\Lambda_g = \frac{a}{\delta} + \zeta + \frac{c}{b}$	$\zeta = \frac{1}{2\pi} \left[ \frac{1}{\sqrt{5}} \ln \frac{1 + \sqrt{5}}{2} - \frac{5}{2} \ln 5 \right] - \frac{1}{4} \left[ \frac{1}{\sqrt{5 - 2\sqrt{5}}} x + \frac{1}{\sqrt{1 + \sqrt{5}}} \ln \left( x + \frac{1 + \sqrt{5}}{2} \sqrt{x+1} \right) - \frac{1 - \sqrt{5}}{2} \ln \left( x + \frac{1 - \sqrt{5}}{2} \right) - \ln \left( \sqrt{x-1} \right) + 2 \ln \left( x^2 - \sqrt{x} \right) - \frac{7}{2} \ln x + \dots \right]$ $x = \frac{b}{\delta}, b > \delta$	Creșterea seminuclisă

Nr.	Figura	Conductanța geometrică	Formula	Aplicare
4			$+x \left[ \sqrt{\frac{5+\sqrt{5}}{2}} \operatorname{arc} \operatorname{tg} \frac{1+\sqrt{5}+4\sqrt{x}}{2\sqrt{\frac{5-\sqrt{5}}{2}}} - \sqrt{\frac{5-\sqrt{5}}{2}} \operatorname{arc} \operatorname{tg} \frac{1-\sqrt{5}+4\sqrt{x}}{2\sqrt{\frac{5+\sqrt{5}}{2}}} + \frac{1}{x} \left[ \sqrt{\frac{5+\sqrt{5}}{2}} \operatorname{arc} \operatorname{tg} \frac{1+\sqrt{5}+\frac{4}{\sqrt{x}}}{2\sqrt{\frac{5-\sqrt{5}}{2}}} - \sqrt{\frac{5-\sqrt{5}}{2}} \operatorname{arc} \operatorname{tg} \frac{1-\sqrt{5}+\frac{4}{\sqrt{x}}}{2\sqrt{\frac{5+\sqrt{5}}{2}}} \right] \right]$	Idem
5		$\Lambda_g = \frac{a}{\delta} + \zeta + \frac{c}{b}$	$\theta = 22,5^\circ$ $\zeta = \frac{1}{2\pi} \left\{ \sqrt{8} \ln(1 + \sqrt{2}) - 8 \ln 2 + 2 \ln(x^3 - x) - \frac{1}{x^3} - \frac{10}{3} \ln x + \left(x + \frac{1}{x}\right) \left( \frac{\frac{1}{\ln x^3} + 1}{x^3 - 1} - \frac{1}{\sqrt{2}} \ln \frac{1 + \frac{1}{\sqrt{2}x^3 + x^3}}{1 - \frac{1}{\sqrt{2}x^3 + x^3}} \right) + \left(x - \frac{1}{x}\right) \left( \frac{2 \operatorname{arc} \operatorname{tg} x^{\frac{1}{3}}}{x^3 - 1} + \sqrt{2} \operatorname{arc} \operatorname{tg} \frac{\frac{1}{\sqrt{2}x^3} - \pi}{x^3 - 1} \right) \right\}$	Idem
6		$\Lambda_g = \frac{a}{\delta} + \zeta + \frac{c}{b}$	$\theta = 30,0^\circ$ $\zeta = \frac{1}{2x} \left\{ 2 \ln(x^3 - 1) - 3 \ln 3x + \left(x + \frac{1}{x}\right) \times \left[ \frac{1}{2} \ln(x^2 + x + 1) - \ln(x - 1) \right] + \sqrt{3} \left[ x \operatorname{arc} \operatorname{tg} \frac{\sqrt{3}}{1 + 2x} + \frac{1}{x} \left( \operatorname{arc} \operatorname{tg} \frac{\sqrt{3}x}{2 + x} - \frac{\pi}{3} \right) \right] \right\}$	Idem
7		$\Lambda_g = \frac{a}{\delta} + \zeta + \frac{c}{b}$	$\theta = 45,0^\circ$ $\zeta = \frac{1}{2\pi} \left\{ \left(x + \frac{1}{x}\right) \ln \frac{x+1}{x-1} + 2 \left[ \ln \frac{1}{4} \left(x - \frac{1}{x}\right) + \ln(x^2 + 1) - \ln 2x \right] + \left(x - \frac{1}{x}\right) (\pi - 2 \operatorname{arc} \operatorname{tg} x) \right\}$	Idem
8		$\Lambda_g = \frac{a}{\delta} + \zeta$	$\zeta = \frac{1}{\pi} \ln \left[ \frac{\pi^2}{4} (x+1)^2 + 1 \right], \quad x = \frac{b}{\delta}$	Intrefier și spațiu frontal la mașini electrice
9		$\Lambda_g = \frac{a}{\delta} + \zeta$	$\zeta = \frac{1}{\pi} [(x+2) \ln(x+2) - x \ln x], \quad x = \frac{b}{\delta}$	Dispersie la poli

Nr.	Figura	Conductanția geometrică	Formula	Aplicare
10		$\Lambda_g = \frac{a}{\delta} + \zeta \frac{b}{\delta}$	$\zeta = 1 + \frac{1}{\pi} \left[ \frac{1}{x} (\ln(x^2 + 1) - 2 \operatorname{arctg} x) \right], \quad x = \frac{b}{\delta}$	Factor de creștere a Factorului lui Carter
11		$\Lambda_n = \frac{a}{\delta} + \zeta_n$	$\zeta_n = x \left( 1 - \frac{2}{\pi} \operatorname{arctg} x \right) + \frac{1}{\pi} \ln \left[ \frac{1}{4} (x^2 + 1) \right], \quad x = \frac{b}{\delta}$	Flux magnetic sub pol și în spațiu
12		$\Lambda_s = \frac{c}{b} - \zeta_s$	$\zeta_s = \frac{1}{x} \left( \frac{2}{\pi} \operatorname{arctg} \frac{1}{x} - 1 \right) - \frac{1}{\pi} \ln \left[ \frac{1}{4} \left( \frac{1}{x^2} + 1 \right) \right], \quad b > \delta$	Flux util: indice n
13		$\Lambda_g = \frac{a}{\delta} - \zeta + \frac{1}{\pi} \ln \left( \frac{\pi c}{2 \delta} \right)$	$\frac{h}{b} = \frac{1}{\pi} \left[ \ln \frac{1 + \alpha}{1 - \alpha} + \frac{2}{x} \operatorname{arctg} \frac{1}{\alpha x} \right] - \frac{1}{x}, \quad \alpha = \sqrt{\frac{1}{2} \left( 1 - \frac{1}{x^2} \right)}$	Flux de dispersie: indice s
14		$\frac{\partial \Lambda_g}{\partial b} = -\frac{1}{\delta} \frac{\partial \zeta}{\partial b}$	$\zeta = \frac{x}{2} \left[ \frac{2}{\pi} \operatorname{arctg} x + 1 \right] - \frac{2}{\pi} [\ln(x^2 + 1) + 2]$	Întrefier și spațiu frontal al mașinilor electrice
15		$\frac{\partial \Lambda_g}{\partial b} = -\frac{1}{\delta} \frac{\partial \zeta}{\partial b}$	$-\frac{\partial \zeta}{\partial x} = \frac{2}{\pi} \operatorname{arctg} x, \quad x = \frac{b}{\delta}$	Forța axială la mașini electrice

## II. Delimitare prin cercuri

16		$\Lambda_g = \frac{2\pi}{\ln \frac{r_2}{r_1}} = \frac{2\pi r_1}{\delta} \zeta$ $\zeta = \frac{2\pi r_1}{r_2 - r_1}, \quad \zeta = \frac{2\pi}{x - 1}$	$\zeta = \frac{x - 1}{\ln x}$ cu $x = \frac{r_2}{r_1}$	Cilindri concentrici Căblu cu conductoare tubulare
17		$\Lambda_g = \frac{2\pi}{\arg \operatorname{ch} x} = \frac{2\pi}{x - 1} \zeta$ $x = \frac{r_1^2 + r_2^2 - a^2}{2r_1 r_2}$	$\zeta = \frac{x - 1}{\arg \operatorname{ch} x} = \frac{x - 1}{\ln(x + \sqrt{x^2 - 1})}$	Cilindri excenetrici
18		$\Lambda_g = \frac{2\pi}{\arg \operatorname{ch} x} = \frac{2\pi}{x - 1} \zeta$ $x = \frac{a^2 - r_1^2 - r_2^2}{2r_1 r_2}$	$\zeta = \frac{x - 1}{\arg \operatorname{ch} x} = \frac{x - 1}{\ln(x + \sqrt{x^2 - 1})}$	Cilindri paraleli
19		$\Lambda_g = \frac{2\pi}{\arg \operatorname{ch} x} = \frac{2\pi}{x - 1} \zeta$ $x = \frac{a}{r}$	$\zeta = \frac{x - 1}{\arg \operatorname{ch} x} = \frac{x - 1}{\ln(x + \sqrt{x^2 - 1})}$	Cilindru și plan
20		$\Lambda_g = \frac{2\pi}{x - 1} \zeta$ $x = \frac{a}{r}$	$\zeta = \frac{x - 1}{2} \frac{\coth^2 \frac{\pi}{4x} + \operatorname{ctg} \frac{\pi}{4x}}{\coth^2 \frac{\pi}{4x} \ln \operatorname{ctg} \frac{\pi}{4x} + \operatorname{ctg} \frac{\pi}{4x} \ln \coth \frac{\pi}{4x}}$	Flux de dispersie al pieselor polare rotunde

Explicații la figuri:

— linie echipotențială, delimitare;

▨ linie echipotențială, delimitare, dar având partea din spate înaccessibilă;

..... linie de cîmp împusă.

## 3.3. REGULILE DE SEMN ȘI DE SENS

În cazul studiului fenomenelor într-un circuit de curent continuu sau alternativ, trebuie reprezentată mai întâi schema de conexiuni a acestui circuit. Apoi trebuie stabilit sensul pozitiv al tensiunilor și al curenților, care se notează prin săgeți de referință pe schemă. Abia acum poate fi scrisă ecuația de stare a circuitului. La sisteme de curent alternativ, în locul acesteia poate fi trasată, ca reprezentare geometrică a ecuației de stare, *diagrama fazorială*.

## Simbolul pentru tensiuni și curenți

În schemele de conexiuni *sensul de referință al unei tensiuni* se reprezintă printr-o săgeată. Această săgeată (fig. 3.2) este dirijată dinspre o bornă 1, căreia i se atribuie potențialul mai ridicat, înspre o bornă 2, căreia i se atribuie potențialul mai coborât.

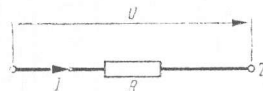


Fig. 3.2. Săgeți de referință la un conductor de rezistență  $R$   
 $U = IR$ .

Acolo unde poate fi presupus sau cunoscut dinainte, *sensul de referință al curentului* se va alege și se va nota printr-o săgeată în așa fel, încât vârful săgeții de pe conductor să fie îndreptat dinspre borna cu potențial mai ridicat spre borna cu potențialul mai coborât.

Dacă din calculul unei mărimi a rețelei (tensiune sau curent) rezultă o valoare pozitivă, aceasta înseamnă că sensul presupus și cel real coincid. În caz contrar se obține semnul negativ. De exemplu, conform primei teoreme a lui Kirchhoff suma tuturor curenților în fiecare nod este nulă. La efectuarea acestei sume curenții ale căror săgeți de referință sînt îndreptate spre nod au un semn, iar aceia ale căror săgeți sînt îndreptate dinspre nod spre exterior au semnul opus. Conform teoremei a doua a lui Kirchhoff suma tuturor tensiunilor parțiale de-a lungul unui circuit este nulă. Acest lucru este valabil pentru fiecare din cele două sensuri de parcurgere posibile. Alegînd un anumit sens de parcurgere, toate tensiunile parțiale ale căror sensuri de referință coincid cu sensul de parcurgere ales vor avea semnul pozitiv, în timp ce toate celelalte vor avea semnul negativ<sup>1)</sup>.

În cazul unor rețele puternic buclate poate fi util să se adopte un același sens pozitiv pentru toate mărimile rețelei și un același sens pozitiv de parcurgere. În acest caz se poate alege o singură săgeată de referință.

La curenți și tensiuni alternative se poate acorda uneia din cele două direcții posibile semnul pozitiv. În plus este necesar ca în problemele tehnicii curenților alternativi să fie clarificată succesiunea în timp a fiecărei mărimi în parte, prin alegerea unei *faze de referință*.

<sup>1)</sup> Această metodă nu este unică și nu este utilizată întotdeauna.

## Exemple

Deși sensurile de referință pentru tensiuni și curenți și implicit poziția săgeților de referință pot fi alese în mod arbitrar, au intrat în uzanță anumite dispoziții ale săgeților de referință pentru dipolii generator, dipolii receptor și pentru cuadripoli. În continuare sînt date câteva exemple:

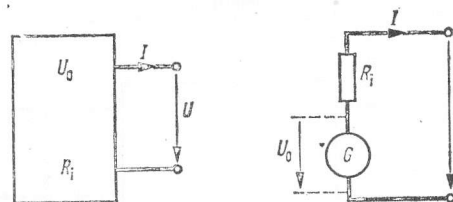


Fig. 3.3. Dipol generator (sistem de săgeți de referință pentru generator).

$$U - U_0 = R_i \cdot I; \text{ pentru } I = 0, U = U_0.$$

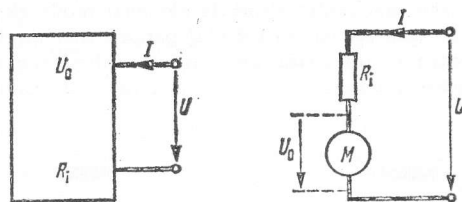


Fig. 3.4. Dipol receptor (sistem de săgeți de referință pentru receptor).

$$U = U_0 + R_i I; \text{ pentru } I = 0 \text{ este necesar } U = U_0.$$

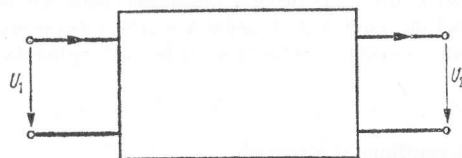


Fig. 3.5. Cuadripol (sistem de săgeți de referință în lanț).



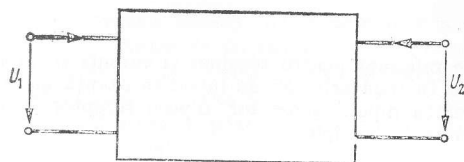


Fig. 3.6. Cuadripol (sistem de săgeți de referință simetric).

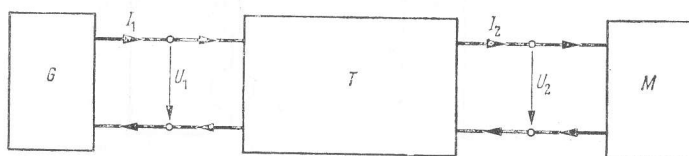


Fig. 3.7. Sistem simplu de transmitere a energiei cu sursă (generator), transformator și consumator (motor).

### Bobine și înfășurări

Dacă între două sau mai multe elemente ale unei rețele electrice există cuplaje magnetice, trebuie să se țină seama, în calculul parametrilor electrici ai rețelei, și de rețeaua magnetică. Pentru a caracteriza interacțiunea a două sau a mai multor bobine care fac parte din aceeași ramură a unei rețele magnetice (transformator, amplificator



Fig. 3.8. Exemplu de utilizare a punctului de înfășurare (polaritate). (\$L\$ este inductivitatea totală; \$L\_1\$, \$L\_2\$ — inductivitățile proprii ale celor două bobine; \$L\_{12}\$ — inductivitatea mutuală a celor două bobine).

magnetic), se poate marca începutul fiecărei înfășurări printr-un punct (polaritate) la un colț al fiecărui simbol de bobină. Prin această marcare se presupune că fiecare spirală înconjoară miezul comun (miezul de fier) în același sens, începînd de la capătul cu punct (fig. 3.8).

### Puterea în curent continuu și alternativ

În sistemul de referință pentru generator (fig. 3.3) săgețile de referință pentru curent și pentru tensiune au același sens în raport cu sensul de parcurgere. La producerea

de energie direcția curentului coincide cu aceea a săgeții de referință pentru curent. Puterea produsă \$P = U \cdot I\$ capătă sensul pozitiv. În cazul consumului de energie sensul curentului este opus săgeții de referință. Puterea absorbită este în acest caz negativă.

La sistemul de referință pentru consumator (fig. 3.4) săgețile de referință pentru curent și tensiune au sensuri opuse față de sensul de parcurgere. În cazul consumului de energie, curentul are aceeași direcție cu a săgeții sale de referință. Prin urmare puterea absorbită \$P = U \cdot I\$ capătă în acest caz semnul pozitiv și cea produsă, semnul negativ.

Această reglementare este valabilă fără restricții pentru curent continuu. În cazul circuitelor de curent alternativ ea este valabilă separat pentru puterea activă și pentru puterea reactivă. După C.E.I., prin putere reactivă trebuie înțeleasă puterea produsă de un condensator și cea absorbită de o bobină cu reactanță inductivă. Pe baza acestei reglementări se poate spune în loc de putere reactivă de magnetizare, pe scurt putere reactivă subcap. 3.4).

### 3.4. MĂRIMI COMPLEXE ÎN CALCULUL CIRCUITELOR DE CURENT ALTERNATIV

În tehnica de calcul a rețelilor de curent alternativ, nu se utilizează valorile instantanee ale curenților și ale tensiunilor, ci se ține seama de valorile lor efective și de unghiul de fază.

O mărime care variază în timp după o lege sinusoidală sau cosinusoidală, de exemplu o tensiune alternativă \$u\$, poate fi reprezentată printr-un vector fix a cărui lungime este proporțională cu valoarea eficace \$U = \hat{u}/\sqrt{2}\$; dacă se proiectează acest vector pe o axă a timpului (adică o axă gradată în unități de timp, pe care este fixat un sens pozitiv), care se rotește cu viteza unghiulară (pulsatia) \$\omega = 2\pi f = 2\pi/T\$ (unde \$f\$ = frecvență; \$T\$ = perioada) în sens invers celui trigonometric, — durata unei rotații complete a vectorului fiind egală cu perioada mărării sinusoidale, — atunci proiecțiile pe axa timpului în fiecare moment dau variația în timp a tensiunii alternative:

$$u = \hat{u} \cos \omega t = \sqrt{2} U \cos \omega t \quad (\hat{u} \text{ este valoarea maximă}). \quad (3.17)$$

Același rezultat se obține, dacă vectorul se rotește cu viteza unghiulară \$\omega\$ în sens trigonometric (adică contrar acelor ceasornicului) și se proiectează pe axa reală și pe cea imaginară ale unui sistem fix de coordonate:

$$\underline{U} = \hat{u} e^{j\omega t} = \sqrt{2} U e^{j\omega t} = \sqrt{2} U (\cos \omega t + j \sin \omega t). \quad (3.18)$$

Calculul simbolic folosește regulile calculului vectorial pentru mărimi reprezentate în planul complex (Gauss). Această metodă este utilizată în special la analiza proceselor

avînd aceeași frecvență. Sînt valabile următoarele reguli de calcul (fig. 3.9):

$\underline{a} = a_1 + ja_2$	expresia în complex a unui fazor;
$ \underline{a}  = a = \sqrt{a_1^2 + a_2^2}$	modulul unui fazor
$\alpha = \arctg \frac{a_2}{a_1}$	unghiul (argumentul) unui fazor față de axa reală pozitivă;
$a_1 = a \cos \alpha$	partea reală a unui fazor;
$a_2 = a \sin \alpha$	partea imaginară a unui fazor;
$\underline{a} = a(\cos \alpha + j \sin \alpha) = ae^{j\alpha}$	expresia în coordonate polare complexe a unui fazor;
$e^{j\alpha} = \cos \alpha + j \sin \alpha$	este un operator (fazor unitate).

Prin multiplicarea unui fazor cu acest operator  $e^{j\alpha}$ , fazorul este rotit cu unghiul  $\alpha$  în sensul pozitiv al unghiurilor pentru  $\alpha$  pozitiv, și în sensul negativ al unghiurilor pentru  $\alpha$  negativ, fără ca valoarea sa să fie modificată prin aceasta.

Pentru un operator care se rotește cu un unghi drept sau cu un multiplu al acestuia, sînt valabile următoarele:

Operatorul	Rotește fazorul în
$e^{j\frac{\pi}{2}} = j = \sqrt{-1}$	sensul pozitiv al unghiurilor cu un unghi drept (90°)
$e^{j\pi} = j^2 = -1$	sensul pozitiv al unghiurilor cu două unghiuri drepte (180°)
$e^{j\frac{3\pi}{2}} = j^3 = -j$	sensul pozitiv al unghiurilor cu trei unghiuri drepte (270°)
$e^{j2\pi} = j^4 = +1$	sensul pozitiv al unghiurilor cu patru unghiuri drepte (360°)
$e^{-j\frac{\pi}{2}} = j^{-1} = -j$	sensul negativ al unghiurilor cu un unghi drept (90°).

Fazorul  $\underline{a}^*$  este fazorul complex conjugat al lui  $\underline{a}$  (fig. 3.9)

$$\underline{a}^* = a_1 - ja_2 = ae^{-j\alpha}.$$

### Reguli de calcul

$$\underline{a} + \underline{a}^* = 2a_1, \quad \underline{a} \cdot \underline{a}^* = a_1^2 + a_2^2 = a^2;$$

$$\underline{a} - \underline{a}^* = j2a_2, \quad \frac{\underline{a}}{\underline{a}^*} = e^{j2\alpha}.$$

Este de remarcat că, prin împărțirea unui fazor prin fazorul complex conjugat corespunzător, se obține un operator care provoacă o rotire cu  $2\alpha$ .

**Suma a doi fazori.** Pentru a aduna doi fazori  $\underline{a}$  și  $\underline{b}$  se adună separat părțile reale și părțile imaginare:

$$\underline{a} = a_1 + ja_2$$

$$\underline{b} = b_1 + jb_2$$

$$\underline{a} + \underline{b} = (a_1 + b_1) + j(a_2 + b_2)$$

**Produsul a doi fazori** este dat de produsul modulelor și suma argumentelor:

$$\underline{a} \cdot \underline{b} = (a_1 + ja_2)(b_1 + jb_2) = ae^{j\alpha} \cdot be^{j\beta}$$

$$\underline{a} \cdot \underline{b} = (a_1b_1 - a_2b_2) + j(a_1b_2 + a_2b_1) = ab \cdot e^{j(\alpha+\beta)}.$$

**Derivarea și integrarea unui fazor.** Dacă unghiul de fază a unui fazor este funcție de timp, de exemplu

$$\alpha = \omega t + \varphi$$

atunci fazorul

$$\underline{a} = ae^{j(\omega t + \varphi)}$$

poate fi derivat în raport cu timpul,

$$\frac{d\underline{a}}{dt} = \frac{d}{dt} [a e^{j(\omega t + \varphi)}] = j\omega \cdot a e^{j(\omega t + \varphi)} = j\omega \underline{a}.$$

Prin derivarea unui fazor  $\underline{a}$  în raport cu timpul, modulul său se multiplică cu pulsația  $\omega$ , iar argumentul său este mărit cu  $\frac{\pi}{2}$ , adică fazorul mărit de  $\omega$  ori se rotește în sens trigonometric cu 90°.

Prin integrarea în raport cu timpul a unui fazor

$$\int \underline{a} dt = \int a e^{j(\omega t + \varphi)} dt = \frac{1}{j\omega} a e^{j(\omega t + \varphi)} = -j \frac{a}{\omega}$$

modulul fazorului  $\underline{a}$  se împarte cu  $\omega$  și argumentul său se reduce cu  $\frac{\pi}{2}$ , adică fazorul se reduce la  $\frac{1}{\omega}$  din valoarea sa inițială și este rotit cu 90° în sens invers celui trigonometric.

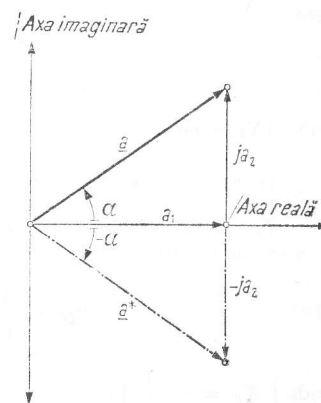


Fig. 3.9. Fazorul  $\underline{a}$  în plan complex (Gauss) și fazorul său conjugat  $\underline{a}^*$ .

## Aplicații

Tensiunea la bornele unei bobine de reactanță (fără pierderi ohmice) străbătută de un curent

$$\underline{I} = \frac{\hat{i}}{\sqrt{2}} \cdot e^{j\omega t} = I e^{j\omega t} \quad (3.19)$$

este

$$\underline{U}_L = L \frac{dI}{dt} = j\omega L I = jX_L I \quad (3.20)$$

unde ( $X_L = \omega L$ ).

Tensiunea este în avans față de curent cu un sfert de perioadă.

Tensiunea la bornele unui condensator (fără pierderi ohmice) parcurs de un curent  $I$  conform ecuației (3.19) este

$$\underline{U}_C = \frac{1}{C} \int I dt = -j \frac{1}{\omega C} I = jX_C I \quad (3.21)$$

unde ( $X_C = -\frac{1}{\omega C}$ ).

Tensiunea este în urma curentului cu un sfert de perioadă.

Tensiunea la bornele unei bobine cu rezistență și reactanță inductivă (legea lui Ohm pentru curent alternativ) parcursă de un curent conform ecuației (3.19) este:

$$\underline{U} = \underline{U}_R + \underline{U}_L = R \underline{I} + \omega L \underline{I}. \quad (3.22)$$

Tensiunea este în avans față de curent cu un unghi

$$\varphi = \arctg \frac{\omega L}{R}. \quad (3.23)$$

Impedanța complexă este dată de

$$\underline{Z} = \frac{\underline{U}}{\underline{I}} = R + j\omega L = R + jX_L = Z \cdot e^{j\varphi}, \quad (3.24)$$

iar modulul ei este:

$$Z = \sqrt{R^2 + (\omega L)^2} = \sqrt{R^2 + X_L^2}. \quad (3.25)$$

Tensiunea la bornele unui circuit serie format dintr-un rezistor (rezistență ohmică) o bobină de reactanță (inductivitate) și un condensator (capacitate) parcurs de un curent conform ecuației (3.19) este egală cu

$$\underline{U} = \underline{U}_R + \underline{U}_L + \underline{U}_C = \left( R + j\omega L - \frac{j}{\omega C} \right) \underline{I} = (R + jX) \underline{I}. \quad (3.26)$$

Ea este în avans față de curent cu un unghi

$$\varphi = \arctg \frac{X}{R} \quad \left( X = X_L + X_C = \omega L - \frac{1}{\omega C} \right). \quad (3.27)$$

Impedanța complexă este dată de

$$\underline{Z} = \frac{\underline{U}}{\underline{I}} = R + j \left( \omega L - \frac{1}{\omega C} \right) = R + jX = Z e^{j\varphi}, \quad (3.28)$$

și modul ei este

$$Z = \sqrt{R^2 + \left( \omega L - \frac{1}{\omega C} \right)^2} = \sqrt{R^2 + X^2}. \quad (3.29)$$

Dacă  $\omega L = \frac{1}{\omega C}$  se obține frecvența de rezonanță

$$\omega_0 = 2\pi f_0 = \frac{1}{\sqrt{LC}}, \quad (3.30)$$

iar circuitul serie format din rezistență ohmică, bobină de reactanță și condensator se comportă ca și o rezistență ohmică. Frecvența de rezonanță  $f_0$  este frecvența pentru un circuit oscilant neamortizat.

Deoarece pentru calculul puterilor activă și reactivă defazajul dintre tensiune și curent are importanță, puterea aparentă se exprimă în complex astfel

$$\begin{aligned} \underline{S} &= \underline{U} \underline{I}^* = U e^{j\varphi_u} \cdot I e^{-j\varphi_i} = UI e^{j\varphi}; \\ \underline{S} &= UI \cos \varphi + jUI \sin \varphi = P + jQ, \end{aligned} \quad (3.31)$$

unde  $\varphi = \varphi_u - \varphi_i$ .

Dacă fixăm curentul  $\underline{I}$  în axa pozitivă reală a sistemului de coordonate complexe avem  $\underline{I} = \underline{I}^* = I$ ; în cazul unei tensiuni  $\underline{U}_L$  conform ecuației (3.20) pentru puterea reactivă absorbită de o bobină de reactanță se obține o valoare imaginară pozitivă; în cazul unei tensiuni  $\underline{U}_C$  conform ecuației (3.21) se obține pentru puterea reactivă absorbită de un condensator o valoare imaginară negativă.

Tabelul 3.13. Relații între funcțiile trigonometrice și hiperbolice pentru scriere în complex

$\cos j\varphi = \operatorname{ch} \varphi$	$e^{j\varphi} = \cos j\varphi - j \sin j\varphi = \operatorname{ch} \varphi + \operatorname{sh} \varphi$	$\operatorname{ch} j\varphi = \cos \varphi$
$\sin j\varphi = j \operatorname{sh} \varphi$	$e^{-j\varphi} = \cos \varphi + j \sin \varphi = \operatorname{ch} j\varphi + \operatorname{sh} j\varphi$	$\operatorname{sh} j\varphi = j \sin \varphi$
$\operatorname{tg} j\varphi = j \operatorname{th} \varphi$	$e^{-j\varphi} = \cos j\varphi + j \sin j\varphi = \operatorname{ch} \varphi - \operatorname{sh} \varphi$	$\operatorname{th} j\varphi = j \operatorname{tg} \varphi$
$j \operatorname{cotg} j\varphi = \operatorname{coth} \varphi$	$e^{-j\varphi} = \cos \varphi - j \sin \varphi = \operatorname{ch} j\varphi - \operatorname{sh} j\varphi$	$j \operatorname{coth} j\varphi = \operatorname{cotg} \varphi$
$2 \cos \varphi = e^{j\varphi} + e^{-j\varphi}$	$e^{x+jy} = e^{x(\cos y + j \sin y)}$	$2 \operatorname{ch} \varphi = e^{\varphi} + e^{-\varphi}$
$2 j \sin \varphi = e^{j\varphi} - e^{-j\varphi}$	$e^{j\varphi} = e^{j(\varphi + 2k\pi)} \quad (k = 0, \pm 1, \pm 2, \dots)$	$2 \operatorname{sh} \varphi = e^{\varphi} - e^{-\varphi}$
$j \operatorname{tg} \varphi = \frac{e^{2j\varphi} - 1}{e^{2j\varphi} + 1}$	$\ln z = \ln(x + jy) = \ln  z  + j(\varphi + 2k\pi)$	$\operatorname{th} \varphi = \frac{e^{2\varphi} - 1}{e^{2\varphi} + 1}$
$j \arcsin x = \operatorname{argsh} jx = \ln(jx + \sqrt{1-x^2})$	$-j \arcsin jx = \operatorname{argsh} x = \ln(x + \sqrt{1-x^2})$	
$j \arccos x = \operatorname{argch} x = \pm \ln(x + j\sqrt{1-x^2})$	$j \arccos jx = \operatorname{argch} jx = \pm \ln(x + \sqrt{1-x^2}) + \frac{\pi}{2} j$	
$2 j \operatorname{arctg} x = 2 \operatorname{argth} jx = \ln(1+jx) - \ln(1-jx)$	$-2 j \operatorname{arctg} jx = 2 \operatorname{argth} x = \ln(1+x) - \ln(1-x)$	

Tabelul 3.14. Funcții trigonometrice cu sin sau cos ca funcții de intrare, cu cinci zecimale

$\sin \alpha$	$\cos \alpha$	$\operatorname{tg} \alpha$	$\operatorname{cotg} \alpha$	$\alpha$ , în rad	$\frac{\pi}{2} - \alpha$ , în rad	$\alpha^\circ$
$\cos \beta$	$\sin \beta$	$\operatorname{cotg} \beta$	$\operatorname{tg} \beta$	$\frac{\pi}{2} - \beta$ , în rad	$\beta$ , în rad	$90^\circ - \beta^\circ$
0,00	1,00000	0,00000	$\infty$	0,00000	1,57080	0,0000
0,05	0,99875	0,05006	19,97498	0,05002	1,52078	2,8660
0,10	0,99499	0,10050	9,94987	0,10017	1,47063	5,7392
0,15	0,98869	0,15172	6,59124	0,15057	1,42023	8,6269
0,20	0,97980	0,20412	4,89898	0,20136	1,36944	11,5370
0,25	0,96825	0,25820	3,87298	0,25268	1,31812	14,4775
0,30	0,95394	0,31449	3,17980	0,30469	1,26610	17,4576
0,35	0,93675	0,37363	2,67643	0,35757	1,21323	20,4873
0,40	0,91652	0,43644	2,29129	0,41152	1,15928	23,5782
0,45	0,89303	0,50390	1,98451	0,46677	1,10403	26,7437
0,50	0,86603	0,57735	1,73205	0,52360	1,04720	30,0000
0,55	0,83516	0,65855	1,51848	0,58236	0,98843	33,3670
0,60	0,80000	0,75000	1,33333	0,64350	0,92730	36,8699
0,65	0,75993	0,85534	1,16913	0,70758	0,86321	40,5416
0,70	0,71414	0,98020	1,02020	0,77540	0,79540	44,4270
0,75	0,66144	1,13389	0,88192	0,84806	0,72273	48,5904
0,80	0,60000	1,33333	0,75000	0,92730	0,64350	53,1301
0,85	0,52678	1,61357	0,61974	1,01599	0,55481	58,211
0,90	0,43589	2,06474	0,48432	1,11977	0,45103	64,1581
0,95	0,31225	3,04243	0,32868	1,25324	0,31756	71,8051
1,00	0,00000	$\infty$	0,00000	1,57080	0,00000	90,0000

Un număr care se termină cu  $\frac{5}{10}$  s-a format prin rotunjire în plus, un număr terminat cu  $\frac{5}{10}$  s-a format prin rotunjire în minus.

## 3.5. LOCURI GEOMETRICE

Studiul proceselor staționare în curent alternativ poate fi simplificat folosind reprezentările cu ajutorul locurilor geometrice. Fiecărui punct al locului geometric îi corespunde o anumită valoare a parametrului. De aceea locurile geometrice pot fi considerate scări gradate în planul complex (Gauss). Dacă se pornește de la circuite liniare, în care toate elementele (rezistențe, bobine de reactanță și condensatoare) sunt independente de sarcină suportii scărilor sunt curbe algebrice. Parametrul  $p$  este în general real și poate avea valori între  $-\infty$  și  $+\infty$ .

Ecuatia generală a dreptei gradate proiectiv este liniară în funcție de  $p$  la numărător și numitor și are un numitor real. Pentru  $a = a_1 + ja_2$  și  $b = b_1 + jb_2$  se obține

$$\underline{K} = \frac{a + bp}{c + dp}$$

Această dreaptă trece prin punctele  $P_0$  și  $P_\infty$ , care sunt determinate de

$$\underline{K}_0 = \frac{a}{c} \quad \text{și} \quad \underline{K}_\infty = \frac{b}{d}$$

(fig. 3.10). Deoarece numitorul este real, el influențează numai mărimea fazorilor pornind din originea axelor de coordonate aferente diferitelor valori ale parametrilor  $\underline{K}$ , dar nu și direcția lor. În consecință poate fi utilizat numărătorul, care reprezintă o dreaptă cu gradații liniare

$$\underline{G} = a + bp$$

pentru raportarea parametrului la  $\underline{K}$ . Scara la care este reprezentată dreapta  $\underline{G}$  poate fi aleasă arbitrar (fig. 3.10). Fazorul care determină distanța minimă dintre dreaptă și originea sistemului de axe de coordonate este pentru dreapta gradată proiectiv

$$\underline{N}_K = \frac{ab^* - a^*b}{2b^*c - d \left( \frac{a}{b} + a^* \right)}$$

Pentru dreapta gradată liniar deci pentru  $c = 1$  și  $d = 0$  rezultă

$$\underline{N}_G = \frac{ab^* - a^*b}{2b^*}$$

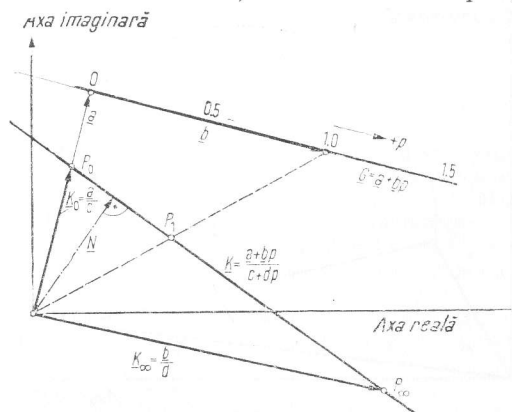


Fig. 3.10. Dreapta gradată proiectiv.

Cercul ca loc geometric cu gradație proiectivă este determinat de o funcție de forma unei fracții liniare avînd, în general, coeficienți complecși

$$\underline{K} = \frac{\underline{a} + \underline{b}p}{\underline{c} + \underline{d}p}.$$

La variația parametrului real  $p$  vârful vectorului  $\underline{K}$  descrie un cerc trecînd prin punctele  $P_0$  și  $P_\infty$  care sînt determinate de

$$\underline{K}_0 = \frac{\underline{a}}{\underline{c}} \quad \text{și} \quad \underline{K}_\infty = \frac{\underline{b}}{\underline{d}}.$$

Pentru constituirea cercului mai este necesară încă o indicație și anume centrul cercului care este determinat de vectorul

$$\underline{m} = \frac{\underline{a}\underline{d}^* - \underline{b}\underline{c}^*}{\underline{c}\underline{d}^* - \underline{c}^*\underline{d}} = j \frac{\underline{a}\underline{d}^* - \underline{b}\underline{c}^*}{2(c_1d_2 - c_2d_1)}.$$

Vectorul care determină centrul cercului poate fi scris și în altă formă

$$\underline{m} = \underline{K}_\infty + \frac{\underline{K}_0 - \underline{K}_\infty}{2} \left( 1 - j \frac{q_1}{q_2} \right),$$

unde:

$$\underline{q} = q_1 + jq_2 = \frac{\underline{c}}{\underline{d}}.$$

Aceasta înseamnă că: centrul cercului este pe axa de simetrie a segmentului  $P_0P_\infty$  la distanța de

$$\underline{h} = \frac{P_0P_\infty}{2} \frac{q_1}{q_2}$$

față de acest segment (fig. 3.11). Dacă raportul  $q_1/q_2$  este pozitiv, centrul cercului este situat în dreapta segmentului  $P_0P_\infty$  (văzut dinspre  $P_\infty$ ); iar dacă este negativ, în stînga ei. Dacă  $\underline{c} \perp \underline{d}$  și în consecință  $q_1 = 0$ , atunci și  $\underline{h} = 0$ . În acest caz centrul cercului se află pe linia  $P_0P_\infty$ .

Pentru a determina distribuția parametrului pe cerc trebuie să ne imaginăm ori-

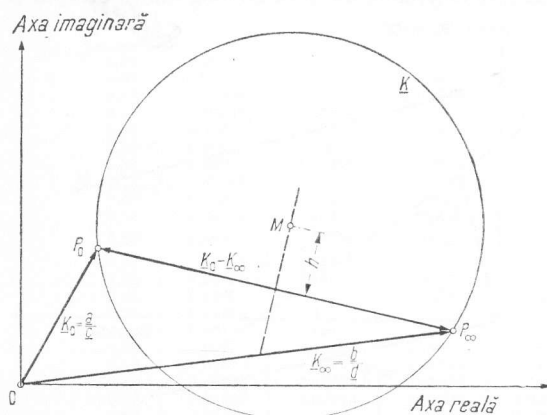


Fig. 3.11. Determinarea centrului cercului.

gina axelor de coordonate deplasată spre  $P_\infty$ , iar partea pozitivă a axei imaginare trecînd prin centrul cercului  $M$  (fig. 3.12). Pentru cercul în această poziție  $K'$  ecuația dreptei parametrice este

$$\underline{G}' = \lambda(\underline{q}^* + p) = \lambda(q_1 - jq_2 + p).$$

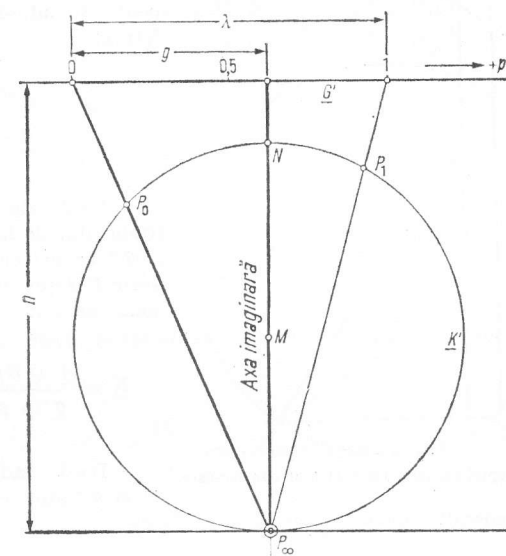


Fig. 3.12. Construcția dreptei parametrice corespunzătoare originii razelor vectoare în  $P_\infty$ .

Datele de construcție ale dreptei parametrice sînt:

$$n = -q_2\lambda \quad \text{și} \quad g = q_1\lambda.$$

Mărimea  $\lambda$  indică, pe dreapta parametrică gradată liniar, distanța dintre punctele corespunzătoare la  $p = 0$  și  $p = 1$ , în unități de lungime. În consecință  $\lambda$  poate fi denumită „diviziunea scării”; ea poate fi aleasă convenabil. Semnul lui  $\lambda$  se va alege astfel ca  $n$  să fie pozitiv. De aici rezultă sensul pozitiv al dreptei parametrice.

Dacă dreapta parametrică corespunzătoare originii razelor vectoare în  $P_\infty$  este tangentă într-un punct ce interesează, atunci originea razelor vectoare poate fi mutată în alt punct al cercului așa cum se arată în fig. 3.13.

Ecuația generală a unei conice (cu excepția cercului), are atât numărătorul cit și numitorul de gradul doi în  $p$ , numărătorul fiind real. Ea poate fi scrisă sub forma:

$$\underline{K} = \frac{\underline{a} + \underline{b}p + \underline{c}p^2}{\underline{d} + \underline{e}p + p^2}.$$



Dacă trinomul de la numitor are două rădăcini distincte reale, atunci conica este o *hiperbolă*; dacă are două rădăcini reale, este o *parabolă*; în sfârșit, dacă rădăcinile sînt complexe conjugate, conica este o *elipsă*.

Ecuția cvadrice bicirculare poate fi adusă întotdeauna la forma:

$$\underline{K} = \frac{\underline{a} + \underline{b}p + \underline{c}p^2}{\underline{d} + \underline{e}p + p^2}.$$

Dacă cele două rădăcini ale trinomului de la numitor sînt  $\underline{q}'$  și  $\underline{q}''$  atunci cvartica bicirculară poate fi reprezentată ca suma a două cercuri:

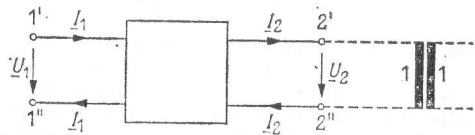
$$\underline{K} = \frac{\underline{A} + \underline{B}p}{\underline{q}' - p} + \frac{\underline{C} + \underline{D}p}{\underline{q}'' - p}.$$

Fig. 3.13. Construcția dreptei parametrice pentru un caz oarecare.

Dacă rădăcinile complexe  $\underline{q}'$  și  $\underline{q}''$  sînt egale, atunci cvadrice bicirculară generală devine *melcul lui Pascal*.

### 3.6. CUADRIPOLI PASIVI

Bornele de intrare și ieșire ale fiecărui cuadripol (perechile de borne) sînt traversate de un același curent, dar în sens contrar (în unele cazuri poate fi necesar un transformator).



Cuadripolul se poate defini prin următoarele sisteme de ecuații (văzut dinspre perechea de borne 1):

Matricea impedanțelor

$$\begin{aligned} \underline{U}_1 &= \underline{W}_{11}I_1 + \underline{W}_{12}I_2 \\ \underline{U}_2 &= \underline{W}_{12}I_1 + \underline{W}_{22}I_2 \end{aligned} \quad \underline{W} = \begin{pmatrix} \underline{W}_{11} & \underline{W}_{12} \\ \underline{W}_{21} & \underline{W}_{22} \end{pmatrix}.$$

Matricea admitanțelor

$$\begin{aligned} I_1 &= \underline{Y}_{11}U_1 + \underline{Y}_{12}U_2 \\ I_2 &= \underline{Y}_{21}U_1 + \underline{Y}_{22}U_2 \end{aligned} \quad \underline{Y} = \begin{pmatrix} \underline{Y}_{11} & \underline{Y}_{12} \\ \underline{Y}_{21} & \underline{Y}_{22} \end{pmatrix}.$$

Matricea serie-paralel:

$$\begin{aligned} \underline{U}_1 &= \underline{H}_{11}I_1 + \underline{H}_{12}I_2 \\ \underline{U}_2 &= \underline{H}_{21}I_1 + \underline{H}_{22}I_2 \end{aligned} \quad \underline{H} = \begin{pmatrix} \underline{H}_{11} & \underline{H}_{12} \\ \underline{H}_{21} & \underline{H}_{22} \end{pmatrix}.$$

Matricea paralel-serie

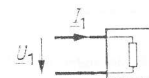
$$\begin{aligned} I_1 &= \underline{P}_{11}U_1 + \underline{P}_{12}I_2 \\ I_2 &= \underline{P}_{21}U_1 + \underline{P}_{22}I_2 \end{aligned} \quad \underline{P} = \begin{pmatrix} \underline{P}_{11} & \underline{P}_{12} \\ \underline{P}_{21} & \underline{P}_{22} \end{pmatrix}.$$

Matricea lanț

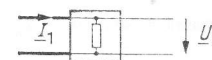
$$\begin{aligned} \underline{U}_1 &= \underline{K}_{11}U_2 + \underline{K}_{12}I_2 \\ I_1 &= \underline{K}_{21}U_2 + \underline{K}_{22}I_2 \end{aligned} \quad \underline{K} = \begin{pmatrix} \underline{K}_{11} & \underline{K}_{12} \\ \underline{K}_{21} & \underline{K}_{22} \end{pmatrix}.$$

Semnificația fizică și stabilirea elementelor matricei raportată la perechea de borne 1

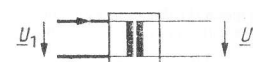
$$I_2 = 0 \quad \underline{W}_{11} = \frac{1}{\underline{P}_{11}} = \underline{W}_{11} = \frac{U_1}{I_1} \quad \text{impedanța la mers în gol}$$



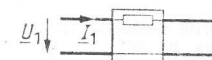
$$\underline{W}_{21} = \frac{1}{\underline{K}_{21}} = \underline{W}_{1m} = \frac{U_2}{I_1} \quad \text{impedanța de transfer la mers în gol}$$



$$\underline{K}_{11} = \frac{1}{\underline{P}_{21}} = \underline{U}_{1U} = \frac{U_1}{U_2} \quad \text{raportul tensiunilor la mersul în gol}$$



$$U_2 = 0 \quad \underline{Y}_{11} = \frac{1}{\underline{H}_{11}} = \underline{Y}_{1k} = \frac{I_1}{U_1} \quad \text{admitanța de scurt-circuit}$$



$$\underline{Y}_{21} = \frac{1}{\underline{K}_{12}} = \underline{Y}_{1m} = \frac{I_2}{U_1} \quad \text{admitanța de transfer de scurtcircuit}$$



$$\underline{K}_{22} = \frac{1}{\underline{H}_{21}} = \underline{U}_{1I} = \frac{U_1}{I_2} \quad \text{raportul curenților de scurtcircuit}$$



Celelalte elemente se obțin în mod analog pentru  $I_1 = 0$ , respectiv  $U_1 = 0$ .

Tabelul 3.15. Relații pentru obținerea cuadripolului echivalent al mai multor cuadripoli

	Montaj în serie	Montaj în paralel	Montaj în cascadă	Montaj serie-paralel	Montaj serie-paralel
Conexiune					
Cuadripol echivalent					
Matrice rezultată	$W = W_1 + W_2$	$Y = Y_1 + Y_2$	$K = K_1 \cdot K_2$	$H = H_1 + H_2$	$P = P_1 + P_2$

Tabelul 3.16. Parametri ai unor cuadripoli simetrici importanți

	Circuit în T	Circuit în II	Circuit în X
Impedanța la mers în gol $\underline{W}_1$	$\underline{Z}_r + \underline{Z}_p$	$\frac{\underline{Z}_p(\underline{Z}_r + \underline{Z}_p)}{\underline{Z}_r + 2\underline{Z}_p}$	$\frac{1}{2}(\underline{Z}_r + \underline{Z}_p)$
Admitanța de scurtcircuit $\underline{Y}_k$	$\frac{(\underline{Z}_r + \underline{Z}_p)}{\underline{Z}_r(\underline{Z}_r + 2\underline{Z}_p)}$	$\frac{1}{\underline{Z}_r} + \frac{1}{\underline{Z}_p}$	$\frac{1}{2}\left(\frac{1}{\underline{Z}_r} + \frac{1}{\underline{Z}_p}\right)$
Impedanța de transfer la mers în gol ..... $\underline{W}_m$	$\underline{Z}_p$	$\frac{\underline{Z}_p^2}{\underline{Z}_r + 2\underline{Z}_p}$	$\frac{1}{2}(\underline{Z}_p - \underline{Z}_r)$
Admitanța de transfer la scurtcircuit ..... $\underline{Y}_m$	$\frac{\underline{Z}_p}{\underline{Z}_r(\underline{Z}_r + 2\underline{Z}_p)}$	$\frac{1}{\underline{Z}_r}$	$\frac{1}{2}\left(\frac{1}{\underline{Z}_r} - \frac{1}{\underline{Z}_p}\right)$
Raportul tensiunilor la mers în gol, ..... $\underline{u}U$ și al curenților de scurtcircuit ..... $\underline{u}I$	$1 + \frac{\underline{Z}_r}{\underline{Z}_p}$	$1 + \frac{\underline{Z}_r}{\underline{Z}_p}$	$\frac{\underline{Z}_p + \underline{Z}_r}{\underline{Z}_p - \underline{Z}_r}$
Impedanța caracteristică .. $\underline{Z}$	$\sqrt{\underline{Z}_r(\underline{Z}_r + 2\underline{Z}_p)}$	$\underline{Z}_p \cdot \sqrt{\frac{\underline{Z}_r}{\underline{Z}_r + 2\underline{Z}_p}}$	$\sqrt{\underline{Z}_r \underline{Z}_p}$

Pentru caudripolul simetric sistemul de ecuații devine:

$$\underline{U}_1 = \underline{K}_{11}\underline{U}_2 + \underline{K}_{12}\underline{I}_2 = \text{ch } \underline{g} \times \underline{U}_2 + \underline{Z} \text{ sh } \underline{g} \times \underline{I}_2$$

unde  $\text{ch } \underline{g} = \underline{K}_{11} = \underline{K}_{22}$ ,

$$\underline{I}_2 = \underline{K}_{21}\underline{U}_2 + \underline{K}_{22}\underline{I}_2 = \text{ch } \underline{g} \times \underline{I}_2 + \frac{1}{\underline{Z}} \text{ sh } \underline{g} \times \underline{U}_2$$

unde  $\underline{Z} \text{ sh } \underline{g} = \underline{K}_{12}$ ;  $\frac{1}{\underline{Z}} \text{ sh } \underline{g} = \underline{K}_{21}$ .

Pentru cazul particular a  $n$  cuadripoli simetrici conectați unul după altul în lanț rezultă:

$$\underline{U}_1 = \text{ch } \underline{g} \cdot n \cdot \underline{U}_2 + \underline{Z} \text{ sh } \underline{g} \cdot n \cdot \underline{I}_2;$$

$$\underline{I}_1 = \text{ch } \underline{g} \cdot n \cdot \underline{I}_2 + \frac{1}{\underline{Z}} \text{ sh } \underline{g} \cdot n \cdot \underline{U}_2.$$

Pentru montarea în serie a unui număr infinit de mici cuadripoli identici (circuit în T sau II) se obțin cu  $g \times n \rightarrow \gamma \times l$  ecuațiile de linie, unde cu  $\underline{Z}_p \gg \underline{Z}_r$  se aplică impedanțele caracteristice

$$\underline{Z} \rightarrow \sqrt{2\underline{Z}_r \underline{Z}_p} \text{ (circuit T) și } \underline{Z} \rightarrow \sqrt{\frac{\underline{Z}_r}{2\underline{Z}_p}} \text{ (circuit II)}.$$

### 3.7. PARAMETRII UNEI LINII OMOGENE

Valorile pe unitatea de lungime (în afară de  $\underline{Z}$  și  $v$ ):

rezistența specifică  $R' = \frac{R}{l}$ ; conductanța specifică  $G' = \frac{G}{l}$ ;

inductivitatea specifică  $L' = \frac{L}{l}$ ; capacitatea specifică  $C' = \frac{C}{l}$ ;

impedanța longitudinală  $R' + j\omega L'$ ; admitanța transversală  $G' + j\omega C'$

Impedanța caracteristică:

$$\underline{Z} = \sqrt{\frac{R + j\omega L}{G + j\omega C}} = \sqrt{\frac{L}{C}} \sqrt{\frac{1 + \frac{R}{j\omega L}}{1 + \frac{G}{j\omega C}}}$$

Constanta de propagare a liniei:

$$\gamma = \alpha + j\beta = \sqrt{(R' + j\omega L')(G' + j\omega C')} = j\omega \sqrt{L'C'} \sqrt{\left(1 + \frac{R'}{j\omega L'}\right)\left(1 + \frac{G'}{j\omega C'}\right)}$$

unde:  $\alpha$  este constanta de atenuare;

$\beta$  — constanta de fază sau de lungime de undă

Viteza de propagare a fazei

$$v = \frac{\omega}{\beta}$$

$$v \approx \frac{1}{\sqrt{L'C'}} \text{ (cazurile 1...4 din tabelul 3.17); } v \approx \sqrt{\frac{2\omega}{C'R'}} \text{ (cazul 5).}$$

Tabelul 3.17. Impedanța caracteristică și constanta de propagare

Cazul	Atenuarea	Impedanța caracteristică $Z$	Constanta de propagare $\gamma = \alpha + j\beta$	$\alpha$	$\beta$
1	$R \ll \omega L$ $G \ll \omega C$	$\sqrt{\frac{L}{C}} \left[ 1 - \frac{j}{2} \left( \frac{R}{\omega L} - \frac{G}{\omega C} \right) \right]$	$j\omega \sqrt{L'C'} \left[ 1 - \frac{j}{2} \left( \frac{R'}{\omega L'} + \frac{G'}{\omega C'} \right) \right]$	$\frac{1}{2} \frac{R'}{\sqrt{L'C'}} + G' \sqrt{\frac{L'}{C'}}$	$\omega \sqrt{L'C'}$
2	$R \ll \omega L$ $G = 0$	$\sqrt{\frac{L}{C}} \left( 1 - \frac{j}{2} \frac{R}{\omega L} \right)$	$j\omega \sqrt{L'C'} \left( 1 - \frac{j}{2} \frac{R'}{\omega L'} \right)$	$\frac{1}{2} \frac{R'}{\sqrt{L'C'}}$	$\omega \sqrt{L'C'}$
3	$R = 0$ $G = 0$	$\sqrt{\frac{L}{C}}$	$j\omega \sqrt{L'C'}$	0	$\omega \sqrt{L'C'}$
4	$\frac{R}{\omega L} = \frac{G}{\omega C}$	$\sqrt{\frac{L}{C}}$	$j\omega \sqrt{L'C'} \left( 1 + \frac{R'}{j\omega L'} \right)$	$\frac{R'}{\sqrt{L'C'}}$	$\omega \sqrt{L'C'}$
5	$R \gg \omega L$ $G = 0$	$\sqrt{\frac{R}{j\omega C}} = \sqrt{\frac{R}{\omega C}} e^{-j\frac{\pi}{4}}$	$\sqrt{j\omega C'R} = \sqrt{\frac{\omega C'R'}{2}} e^{j\frac{\pi}{4}}$	$\sqrt{\frac{\omega C'R'}{2}}$	$\sqrt{\frac{\omega C'R'}{2}}$

Notă. 3 și 4 — cazuri speciale; 1, 2 și 5 — valori aproximative.

Se utilizează:

1 și 2 (linii cu pierderi mici): pentru linii obișnuite de înaltă tensiune, linii de înaltă frecvență;

3 (linii fără pierderi): pentru aproximarea comportării transportului pe linii de înaltă și foarte înaltă tensiune;

4 (linii fără distorsiune): pentru telecomunicații;

5 pentru linii aeriene și în special cabluri cu secțiune mică și/sau la frecvență joasă.

Pentru o linie de lungime  $l$  sînt valabile următoarele valori ( $f = \omega/2\pi$  este frecvența transmisiei):

$$\text{constanta de transmisie: } \underline{g} = \gamma l$$

$$\text{constanta de atenuare: } a = \alpha l,$$

$$\text{lungimea de undă: } \lambda = \frac{2\pi}{\beta} = \frac{v}{f},$$

$$\text{constanta de fază: } b = \beta l;$$

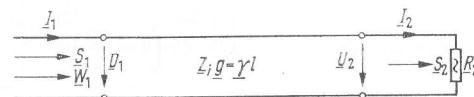
$$\text{perioada: } t_{ph} = \frac{b}{\omega} = \frac{\beta l}{\omega} = \frac{l}{v}.$$

### Ecuațiile de linie

Pentru o linie de lungime arbitrară sînt valabile, în general, următoarele relații:

$$\underline{U}_1 = \underline{U}_2 \cosh \underline{g} + \underline{I}_2 Z \sinh \underline{g}, \quad \underline{U}_2 = \underline{U}_1 \cosh \underline{g} - \underline{I}_1 Z \sinh \underline{g},$$

$$\underline{I}_1 = \underline{I}_2 \cosh \underline{g} + \frac{\underline{U}_2}{Z} \sinh \underline{g}, \quad \underline{I}_2 = \underline{I}_1 \cosh \underline{g} - \frac{\underline{U}_1}{Z} \sinh \underline{g}.$$



Parametrii liniei sînt:

$$\text{impedanța de intrare: } \underline{W}_1 = \underline{U}_1 / \underline{I}_1;$$

$$\text{puterea aparentă de intrare: } \underline{S}_1 = \underline{U}_1 \cdot \underline{I}_1^*;$$

$$\text{impedanța de sarcină: } \underline{R}_2 = \underline{U}_2 / \underline{I}_2$$

$$\text{puterea aparentă debitată: } \underline{S}_2 = \underline{U}_2 \cdot \underline{I}_2^*.$$

Cînd linia funcționează în gol se admite:

$$\underline{R}_2 = \infty, \quad \underline{I}_2 = 0;$$

la scurtcircuit:

$$\underline{R}_2 = 0; \quad \underline{U}_2 = 0$$

cînd linia este închisă pe o impedanță  $\underline{Z}$ :

$$\underline{R}_2 = \underline{Z} \text{ (transmiterea puterii nominale).}$$

În plus, impedanța de intrare a unei linii scurte cu pierderi reduse ( $R \ll \omega L$ ;  $G \ll \omega C$ ) este, pentru linia în gol:  $\underline{W}_1 \approx \frac{1}{G + j\omega C}$  ( $\underline{R}_2 = \infty$ ;  $\underline{I}_2 = 0$ );

linia în regim de scurtcircuit:  $\underline{W}_1 \approx R + j\omega L$  ( $\underline{R}_2 = 0$ ;  $\underline{U}_2 = 0$ ).

La frecvența de funcționare de 50 sau 60 Hz liniile cu lungimi pînă la 200 km pot fi considerate întotdeauna ca linii scurte, iar cele de 200 pînă la 400 km pot fi considerate scurte numai pentru calcule aproximative.

Ecuațiile generale se simplifică pentru cazurile din tab. 3.18.

Tabelul 3.18. Ecuații de linie (cazuri speciale)

		Linie fără pierderi $R = 0; G = 0$	Linie scurtă $g \ll 1$	Linie scurtă fără pierderi $R = 0; G = 0; g \ll 1$
$\frac{R_2}{\text{oarecare}}$	$\underline{U}_1$	$\underline{U}_2 \cos \omega \sqrt{LC} + j \underline{I}_2 \sqrt{\frac{L}{C}} \sin \omega \sqrt{LC}$	$\underline{U}_2 \left(1 + \frac{g^2}{2}\right) + \underline{I}_2 \underline{Z} \underline{g}$	$\underline{U}_2 \left(1 - \frac{\omega^2 LC}{2}\right) + \underline{I}_2 j \omega L$
	$\underline{I}_1$	$\underline{I}_2 \cos \omega \sqrt{LC} + j \frac{\underline{U}_2}{\sqrt{\frac{L}{C}}} \sin \omega \sqrt{LC}$	$\underline{I}_2 \left(1 + \frac{g^2}{2}\right) + \frac{\underline{U}_2}{\underline{Z}} \underline{g}$	$\underline{I}_2 \left(1 - \frac{\omega^2 LC}{2}\right) + \underline{U}_2 j \omega C$
	$\underline{W}_1$	$\frac{1 + j \frac{\sqrt{LC}}{R_2} \tan \omega \sqrt{LC}}{1 + j \frac{R_2}{\sqrt{LC}} \tan \omega \sqrt{LC}}$	$\underline{R}_2 \left[1 + \left(\frac{\underline{Z}}{\underline{R}_2} - \frac{\underline{R}_2}{\underline{Z}}\right) \cdot g\right]$	$\underline{R}_2 \left[1 + j \left(\frac{\omega L}{\underline{R}_2} - \omega C \underline{R}_2\right)\right]$
$\frac{R_2}{\infty}$	$\underline{U}_1$	$\underline{U}_2 \cos \omega \sqrt{LC}$	$\underline{U}_2 \left(1 + \frac{g^2}{2}\right)$	$\underline{U}_2 \left(1 - \frac{\omega^2 LC}{2}\right)$
	$\underline{I}_1$	$j \frac{\underline{U}_2}{\sqrt{\frac{L}{C}}} \sin \omega \sqrt{LC}$	$\frac{\underline{U}_2}{\underline{Z}} \cdot g$	$\underline{U}_2 j \omega C$
	$\underline{W}_1$	$-j \sqrt{\frac{L}{C}} \cot \omega \sqrt{LC}$	$\frac{\underline{Z}}{\underline{g}}$	$\frac{1}{j \omega C}$
$\frac{R_2}{0}$	$\underline{U}_1$	$j \underline{I}_2 \sqrt{\frac{L}{C}} \sin \omega \sqrt{LC}$	$\underline{I}_2 \underline{Z} g$	$\underline{I}_2 j \omega L$
	$\underline{I}_1$	$\underline{I}_2 \cos \omega \sqrt{LC}$	$\underline{I}_2 \left(1 + \frac{g^2}{2}\right)$	$\underline{I}_2 \left(1 - \frac{\omega^2 LC}{2}\right)$
	$\underline{W}_1$	$j \sqrt{\frac{L}{C}} \tan \omega \sqrt{LC}$	$\underline{Z} \cdot g$	$j \omega L$
$\frac{R_2}{Z}$	$\underline{U}_1$	$\underline{U}_2 e^g$	$\underline{U}_2 (1 + g)$	$\underline{U}_2 (1 + j \omega \sqrt{LC})$
	$\underline{I}_1$	$\underline{I}_2 e^g$	$\underline{I}_2 (1 + g)$	$\underline{I}_2 (1 + j \omega \sqrt{LC})$
	$\underline{W}_1$	$\underline{Z}$	$\underline{Z}$	$\underline{Z} = \sqrt{\frac{L}{C}}$

## 3.8. SISTEME DE COMPONENTE

Sistemele de componente servesc în rețele polifazate cu încărcări asimetrice sau cu defecte urmate de deconectări electrice și magnetice ale porțiunii simetrice a rețelei. Aceasta constă în reducerea numărului de ecuații (ochiuri, noduri) necesare pentru calculul rețelei și a numărului de elemente de modelare (ramuri) necesare reprezentării analitice a rețelei. Semnificația fizică a componentelor individuale (de ex. componentele directe și inverse — respectiv componentele longitudinale și transversale la mașinile electrice) ușurează interpretarea corelațiilor fizice și luarea în considerație a unor caracteristici speciale. Sistemele de componente sînt aplicabile, în principiu, la rețele polifazate cu număr arbitrar de faze cit și pentru orice frecvență, inclusiv frecvența de lucru, adică și pentru curent continuu, armonice superioare și fenomene tranzitorii.

Pentru rețelele trifazate se disting următoarele sisteme de componente:

Sistemul de componente

Notația prescurtată

componente  $\alpha\beta 0$  (după E. Clarke)  
componente simetrice (după C. L. Fortescue)  
componente dq0 (după R. H. Park)

 $\alpha\beta 0$ 

120

dq0

Principalele domenii de aplicație ale sistemelor de componente:

- $\alpha\beta 0$  — fenomene electromagnetice și magnetice ale porțiunii simetrice a rețelei (de ex. supra-tensiuni de comutație), cit și fenomene supratranzitorii (de ex. curenți de scurtcircuit de șoc) în special în cazul perturbațiilor multiple;
- 120 — curenți și tensiuni de frecvență normală ținînd seama de comportarea mașinilor rotative (de ex. pentru diferite impedențe directe și inverse ale generatorilor);
- dq0 — fenomene în mașini electrice.

Relațiile dintre tensiunile — respectiv curenții — în diferitele sisteme de componente sînt date de matricea de transformare (tabelul 3.19).

De exemplu matricea de transformare  $T_{RST-\alpha\beta 0}$  pentru curenți și tensiuni se

obține din coloanele  $\begin{bmatrix} 0 & \alpha & \beta \\ \cdot & \cdot & \cdot \end{bmatrix}$  și liniile  $\begin{bmatrix} R \\ S \\ T \end{bmatrix}$  și cu ajutorul e se obțin următoarele relații:

$$T_{REST-\alpha\beta 0} = \begin{pmatrix} 1 & 1 & 0 \\ 1 & -\frac{1}{2} & \frac{\sqrt{3}}{2} \\ 1 & -\frac{1}{2} & -\frac{\sqrt{3}}{2} \end{pmatrix}$$

$$\underline{U}_R = \underline{U}_0 + \underline{U}_\alpha$$

$$\underline{I}_R = \underline{I}_0 + \underline{I}_\alpha$$

$$\underline{U}_S = \underline{U}_0 - \frac{1}{2} \underline{U}_\alpha + \frac{\sqrt{3}}{2} \underline{U}_\beta \quad (3.32)$$

$$\underline{I}_S = \underline{I}_0 - \frac{1}{2} \underline{I}_\alpha + \frac{\sqrt{3}}{2} \underline{I}_\beta \quad (3.33)$$

$$\underline{U}_T = \underline{U}_0 - \frac{1}{2} \underline{U}_\alpha - \frac{\sqrt{3}}{2} \underline{U}_\beta$$

$$\underline{I}_T = \underline{I}_0 - \frac{1}{2} \underline{I}_\alpha - \frac{\sqrt{3}}{2} \underline{I}_\beta$$

Din matricele diagonale pentru RST și  $0\alpha\beta$  (diagonala principală din tabelul 3.19) se obține ca o condiție pentru invarianța puterii complexe:

$$\begin{aligned} P_{RST} &= 1 \cdot \underline{U}_R \underline{I}_R^* + 1 \cdot \underline{U}_S \underline{I}_S^* + 1 \cdot \underline{U}_T \underline{I}_T^* \\ &= P_{\alpha\beta 0} = 3 \cdot \underline{U}_0 \underline{I}_0^* + \frac{3}{2} \cdot \underline{U}_\alpha \underline{I}_\alpha^* + \frac{3}{2} \cdot \underline{U}_\beta \underline{I}_\beta^*. \end{aligned} \quad (3.34)$$

În plus mai este valabil:

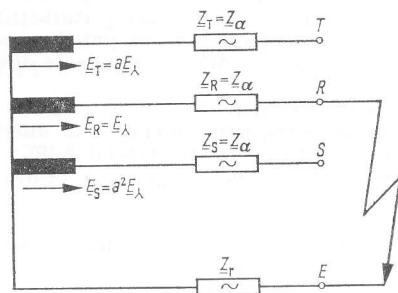
$$\begin{aligned} \underline{U}_R &= \underline{E}_R - \underline{I}_R \underline{Z}_R; & \underline{U}_S &= \underline{E}_S - \underline{I}_S \underline{Z}_S; & \underline{U}_T &= \underline{E}_T - \underline{I}_T \underline{Z}_T; \\ \underline{U}_0 &= \underline{E}_0 - \underline{I}_0 \underline{Z}_0; & \underline{U}_\alpha &= \underline{E}_\alpha - \underline{I}_\alpha \underline{Z}_\alpha; & \underline{U}_\beta &= \underline{E}_\beta - \underline{I}_\beta \underline{Z}_\beta. \end{aligned} \quad (3.35)$$

Relații analoge sînt valabile pentru toate celelalte transformări.

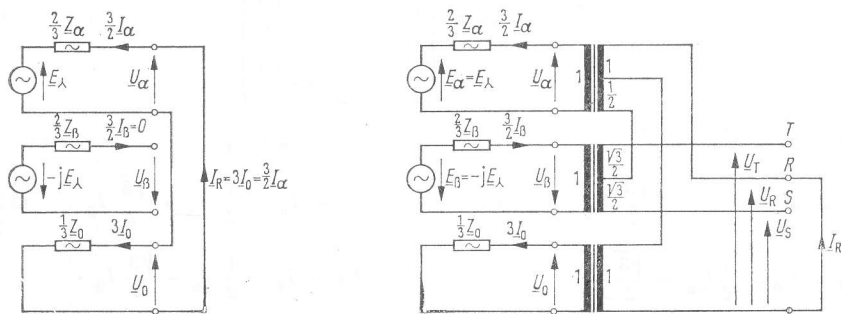
*Exemplu:* Reprezentarea unui scurtcircuit monofazat în componente  $\alpha\beta 0$ .

Din ecuațiile (3.32) și (3.33) se obține pentru locul defectului:

$$\begin{aligned} \underline{U}_R &= \underline{U}_0 + \underline{U}_\alpha = 0 \rightarrow \underline{U}_0 = -\underline{U}_\alpha \\ \underline{I}_S &= \underline{I}_0 - \frac{1}{2} \underline{I}_\alpha + \frac{\sqrt{3}}{2} \underline{I}_\beta = 0 \rightarrow \underline{I}_0 = \frac{1}{2} \underline{I}_\alpha = \frac{1}{3} \underline{I}_R \\ \underline{I}_T &= \underline{I}_0 - \frac{1}{2} \underline{I}_\alpha - \frac{\sqrt{3}}{2} \underline{I}_\beta = 0 \rightarrow \underline{I}_\beta = 0 \end{aligned} \quad (3.36)$$



Ținînd seama de relațiile (3.34), (3.35) și (3.36) rezultă următoarea schemă echivalentă:



În dreapta figurii de la p. 198 jos este reprezentată o schemă generală de transfer care satisface matricele de transformare  $T_{RST-0}$  și  $T_{\alpha\beta 0-RST}$  cit și ecuațiile (3.34) și (3.35). Schema echivalentă pentru un scurtcircuit monofazat (desenată gros) poate fi dedusă de aici.

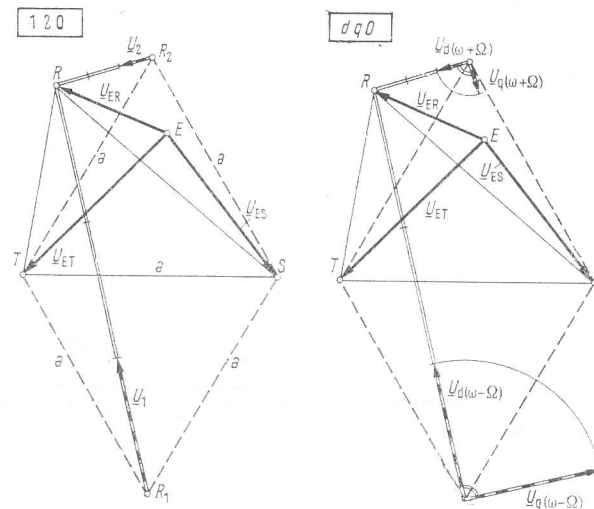


Fig. 3.14. Determinarea grafică a componentelor pentru un sistem asimetric de tensiuni în stea. Tensiunea punctului de nul se determină în toate cazurile ca pentru sistemul  $\alpha\beta 0$ .

$M$  — centrul de greutate al triunghiului RST;  $R_1ST$  și  $R_2ST$  — triunghiuri echilaterale construite pe  $ST$ ;  $\omega$  — pulsația de funcționare;  $\Omega$  — turația motorului;  $\omega - \Omega$  — pulsația de alunecare.

Conform ecuațiilor de transformare date un sistem de tensiune asimetric în stea (steaua curenților) poate fi descompus în componentele sale (fig. 3.14) respectiv poate fi compus din componentele sale (fig. 3.15).

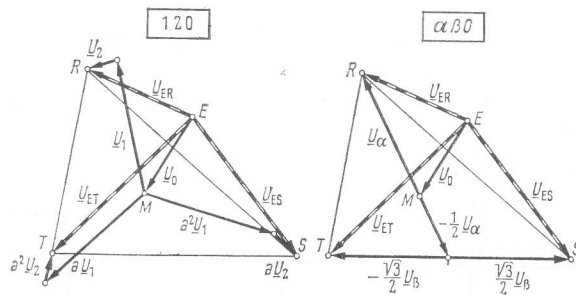


Fig. 3.15. Compunerea grafică a unui sistem asimetric de tensiuni în stea din componentele ei.



Tabelul 3.19. Matricele de transformare pentru diferite sisteme de componente

	R	S	T	0	1	2	0	$\alpha$	$\beta$	0	d	q
R	1	0	0	1	1	1	1	1	0	1	$\cos \Omega t$	$-\sin \Omega t$
T	0	1	0	1	$a^2$	$a$	1	$-\frac{1}{2}$	$\frac{\sqrt{3}}{2}$	1	$\cos(\Omega t - 120^\circ)$	$-\sin(\Omega t - 120^\circ)$
	0	0	1	1	$a$	$a^2$	1	$-\frac{1}{2}$	$-\frac{\sqrt{3}}{2}$	1	$\cos(\Omega t + 120^\circ)$	$-\sin(\Omega t + 120^\circ)$
0	$\frac{1}{3}$	$\frac{1}{3}$	$\frac{1}{3}$	3	0	0	1	0	0	1	0	0
1	$\frac{a}{3}$	$\frac{a^2}{3}$	$\frac{a^2}{3}$	0	3	0	0	$\frac{1}{2}$	$\frac{j}{2}$	0	$\frac{1}{2}e^{j\Omega t}$	$\frac{j}{2}e^{j\Omega t}$
2	$\frac{a^2}{3}$	$\frac{a}{3}$	$\frac{a}{3}$	0	0	3	0	$\frac{1}{2}$	$-\frac{j}{2}$	0	$\frac{1}{2}e^{-j\Omega t}$	$-\frac{j}{2}e^{-j\Omega t}$
0	$\frac{1}{3}$	$\frac{1}{3}$	$\frac{1}{3}$	1	0	0	3	0	0	1	0	0
$\alpha$	$\frac{2}{3}$	$-\frac{1}{3}$	$-\frac{1}{3}$	0	1	1	0	$\frac{3}{2}$	0	0	$\cos \Omega t$	$-\sin \Omega t$
$\beta$	0	$\frac{1}{\sqrt{3}}$	$-\frac{1}{\sqrt{3}}$	0	-j	+j	0	0	$\frac{3}{2}$	0	$\sin \Omega t$	$\cos \Omega t$
d	$\frac{1}{3}$	$\frac{1}{3}$	$\frac{1}{3}$	1	0	0	1	0	0	3	0	0
q	$\frac{2}{3} \cos \Omega t$	$\frac{2}{3} \cos(\Omega t - 120^\circ)$	$\frac{2}{3} \cos(\Omega t + 120^\circ)$	0	$e^{-j\Omega t}$	$e^{j\Omega t}$	0	$\cos \Omega t$	$\sin \Omega t$	0	$\frac{3}{2}$	0
	$-\frac{2}{3} \sin \Omega t$	$-\frac{2}{3} \sin(\Omega t - 120^\circ)$	$-\frac{2}{3} \sin(\Omega t + 120^\circ)$	0	$-je^{-j\Omega t}$	$je^{j\Omega t}$	0	$-\sin \Omega t$	$\cos \Omega t$	0	0	$\frac{3}{2}$

#### 4. MĂRIMI ELECTRICE ȘI MAGNETICE, (TERMINOLOGIE ȘI DEFINIȚII)

Admitanță

V. tabelul 4.2

Alunecare

Dreapta care pornește din origine, înclinată față de axa  $J$  (cu unghiul  $\vartheta$ ) și care este determinată de configurația unui circuit magnetic cu întrefier  $\text{tg } \vartheta = N$ . (v. fig. 4.1, 4.2 și „Factor de demagnetizare” pag. 213).

Capacitate

Capacitatea unui sistem de două conductoare încărcate cu sarcini egale și de semne contrare se definește ca

$$C = \frac{Q}{u}, \text{ unitatea: farad (F),}$$

unde  $Q$  este sarcina electrică a unui conductor, în C, iar  $u$  este valoarea tensiunii dintre acest conductor și celălalt, în V.

Relații între unități:  $1\text{F} = \frac{1\text{C}}{1\text{V}}$ ;  $1\text{C} = 1\text{As}$ .

Capacitatea condensatorului plan

$$C = \epsilon_0 \epsilon_r \frac{A}{d},$$

unde  $A$  este suprafața unei plăci, în  $\text{m}^2$ ;  
 $d$  — distanța dintre plăci, în m;  
 $\epsilon_r$  și  $\epsilon_0$  — v. la „Permitivitate” (pag. 224).

Capacitatea condensatorului cilindric:

$$C = \epsilon_0 \epsilon_r \frac{2\pi h}{\ln \frac{r_e}{r_i}},$$

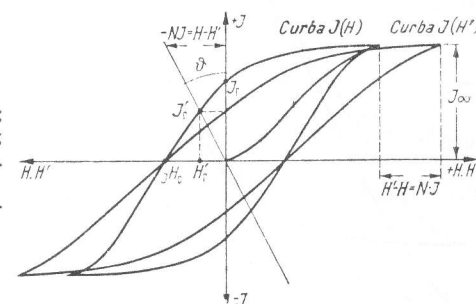


Fig. 4.1. Definiția alunecării și a factorului de demagnetizare  $N = \text{tg } \theta$ .

unde:  $h$  este înălțimea cilindrului, în m;  
 $r_e$  — raza cilindrului exterior, în m;  
 $r_i$  — raza cilindrului interior, în m.

#### Cîmp coercitiv

Cîmpul magnetic coercitiv (intensitatea cîmpului coercitiv de polarizație magnetică)  $JH_c$  corespunde punctului de intersecție al ciclului  $J(H)$  cu axa  $H$ . Cîmpul coercitiv real (intensitatea reală a cîmpului coercitiv de inducție magnetică)  $BH_c$  corespunde punctului de intersecție al ciclului  $B(H)$  cu axa  $H$ .

Cîmpul coercitiv aparent  $BH'_c$  corespunde punctului de intersecție al ciclului  $B(H')$  cu axa  $H$ ,  $H'$  fiind cîmpul exterior (v. factorul de demagnetizare  $N$ ).

$$BH'_c = BH_c(1 - N),$$

unde:  $BH_c$  este cîmpul coercitiv pentru o magnetizare ciclică simetrică, precum și pentru ciclul incomplet;

$JH_c \sim$  cîmpul coercitiv intrinsec  $H_{ci}$ , pentru  $B_i = 0$  (adică pentru  $J = 0$ ). Valoarea limită pentru cicluri complete corespunzătoare magnetizării pînă la saturație) se numește *coercitivitate*.

#### Cîmp electric

Între electrozii unui condensator încărcăți cu sarcină electrică  $Q$ , există un cîmp electric.

Un mic corp conductor, avînd sarcina electrică  $Q^*$ , introdus în acest cîmp, este supus unei forțe  $F$  (exprimată în  $\text{mkg/s}^2$ ), care în general variază ca valoare și direcție de la punct la punct. Intensitatea cîmpului electric în punctul în care se află micul corp este definită prin

$$E = \frac{F}{Q^*}, \text{ unitatea: } V/m.$$

Sensul acestui vector  $E$  este același cu al forței  $F$  atunci cînd  $Q^*$  este o sarcină pozitivă.

Relații între unități:

$1 \text{ mkg/s}^2 = 1 \text{ VAs/m}$  și  $1C = 1As$ .

Relația care exprimă cîmpul din condensator este dată de

$$E = \frac{dU}{dx} \text{ pe direcția } x.$$

Pentru cîmpul electric omogen dintre plăcile unui condensator plan

$$E = \frac{U}{d},$$

unde:  $U$  este tensiunea, în V;  
 $d$  — distanța dintre plăci, în m.

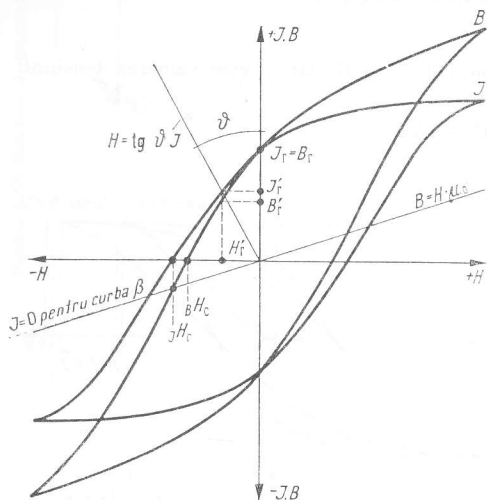


Fig. 4.2. Ciclu de histerezis reprezentat ca  $B(H)$  și  $J(H)$ .

#### Cîmp exterior (magnetic)

Valoarea cîmpului de dispersie  $H_L$  al unui corp magnetizat (feromagnetic) sau al unei bobine prin care circulă un curent, într-un anumit punct din spațiu în exteriorul corpului, care poate fi obținută măsurînd inducția magnetică în aer  $B_L = H_L/\mu_0$  ( $\mu_0$  este permeabilitatea vidului).

#### Cîmp magnetic

Prin integrare pe un contur închis (v. „Tensiunea magnetomotoare“ p. 233), obținem

$$\oint \mathbf{H} d\mathbf{l} = F_m.$$

Pentru  $\mathbf{H}$  constant și omoparalel cu  $d\mathbf{l}$  se obține  $Hl = F_m$ , de unde

$$H = \frac{U_m}{l} = \frac{F_m}{l}.$$

Dacă se măsoară  $F_m$  în A obținem

$$H = \frac{wi}{l},$$

unde:  $F_m$  este tensiunea magnetomotoare, în A;

$U_m$  — tensiune magnetică, în Oe cm;

$l$  — lungimea conturului, în cm;

$i$  — curentul, în A;

$w$  — numărul de spire.

Relații între unități:

$$1\text{Oe} = \frac{1\text{Gb(gilbert)}}{\text{cm}} = \frac{1}{0,4\pi} \cdot \frac{\text{A}}{\text{cm}};$$

$$1 \frac{\text{A}}{\text{m}} = 4\pi\text{mOe} = 4\pi 10^{-3} \frac{\text{Gb}}{\text{cm}}.$$

*Intensitatea cîmpului magnetic interior  $H$* : componenta tangențială a cîmpului magnetic măsurată la suprafața materialului magnetic (în circuite magnetice deschise și închise).

#### Intensitatea cîmpului magnetic exterior

$H' = wi/l$ . Într-un circuit complet închis avem

$$H' = H.$$

*Intensitatea cîmpului magnetic indus  $H_e$*  în cazul magneților permanenți (valabilă numai pentru schimbări de stare reversibile)

$$H_e = \frac{B}{\mu_\Delta} - H = \frac{J_p}{\mu_\Delta}, \text{ unitatea: } A/cm,$$

unde:  $B$  este inducția magnetică, în Vs/cm<sup>2</sup>;

$\mu_{\Delta}$  este permeabilitatea incrementală, în H/cm;

$J_p$  — polarizația magnetică, în Vs/cm<sup>2</sup>;

$H$  — intensitatea cîmpului magnetic, în A/cm.

Intensitatea  $H_e$  a cîmpului magnetic indus este numai un parametru pentru calcul și nu poate fi măsurată direct.

#### Coeficientul de pierderi

(cifra de pierderi) este pierderea (exprimată în W/kg) produsă într-o epruvetă cu masa de 1 kg prin histerezis și curenți turbionari pentru o anumită inducție magnetică maximă (exprimată în kGs), inducția magnetică avînd o variație sinusoidală și o frecvență de 50 Hz.

Exemplu:  $V_{10}$  înseamnă pierderile la 10 kGs.

#### Coeficient de scăpări

$$\nu = \frac{\Phi_T}{\Phi_L}; \quad \sigma = \frac{\Phi_T - \Phi_L}{\Phi_T} = 1 - \frac{1}{\nu} \text{ (scăparea specifică),}$$

unde:

$\Phi_T$  este cel mai mare flux magnetic din secțiunea transversală neutră;

$\Phi_L$  — fluxul util în întrefier.

#### Conductanța

V. tabelul 4.2

#### Constanta dielectrică

V. „Permitivitatea“ p. 224.

#### Curba de comutație

**Curba de comutație statică:** curba de magnetizare obținută folosind curentul continuu: corespunde aproximativ cu curba de magnetizare normală (v. pag. 208).

**Curba de comutație dinamică:** curba de magnetizare ridicată cu ajutorul curentului alternativ ( $B_{max}$ ,  $H_{max}$ ); în cazul unor pierderi mici provocate de curenții turbionari curbele de curent alternativ prezintă maxime prin a căror unire se formează curba de comutație dinamică. Ea corespunde practic curbei de comutație de curent continuu (fig. 4.20, pag. 211) în special la inducții mijlocii sau mari. În cazul unor pierderi prin histerezis mari, extremitățile ciclurilor de curent alternativ sînt rotunjite (formă eliptică), atunci cînd există un defazaj între  $B_{max}$  și  $H_{max}$  și nu există nici o corespondență cu curba de curent continuu (fig. 4.3, pag. 205). Aceasta se întîmplă numai în cazul unor valori ale lui  $B$  și  $H$  care corespund în timp, adică atunci cînd curba de curent alternativ este definită de valorile  $B_{max}$ ,  $H$  pentru  $B_{max}$  (fig. 4.3, pag. 205), în care curba de curent continuu trece prin valorile maxime ale inducției magnetice ale ciclurilor în curent alternativ).

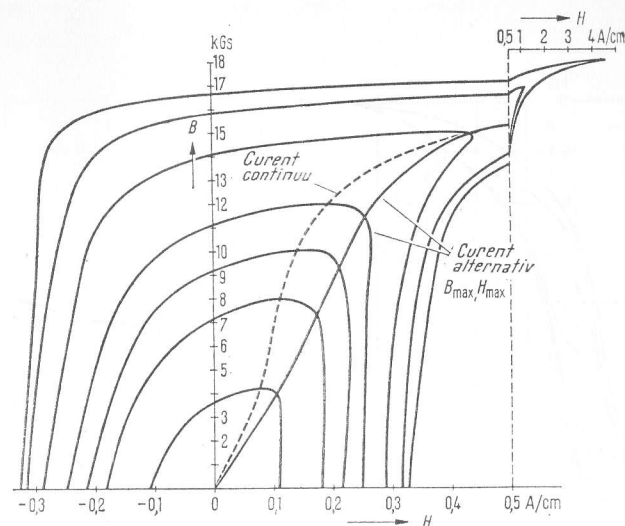


Fig. 4.3. Ciclu de histerezis în curent alternativ și curbele de magnetizare pentru curent continuu și curent alternativ ( $B_{max}$ ,  $H_{max}$ ) ale tablei de oțel „Orientat M7X“, măsurată într-un patrat Epstein cu latura de 50 cm. Măsurarea cîmpului se face cu un voltmetru magnetolectric, bobinajul de magnetizare este așezat direct pe epruvetă; lungimea ariei de măsurare este 31 mm. Măsurările în curent alternativ sînt efectuate cu ferometrul; măsurările în curent continuu sînt efectuate cu galvanometrul balistic; măsurările au fost efectuate de Siemens AG.

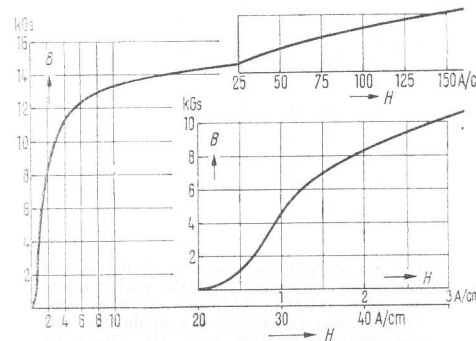


Fig. 4.4. Curba de comutație în curent continuu a miezurilor perforate confecționate din tablă de transformator III, 0,5 mm; măsurare balistică a cîmpului de curent continuu.

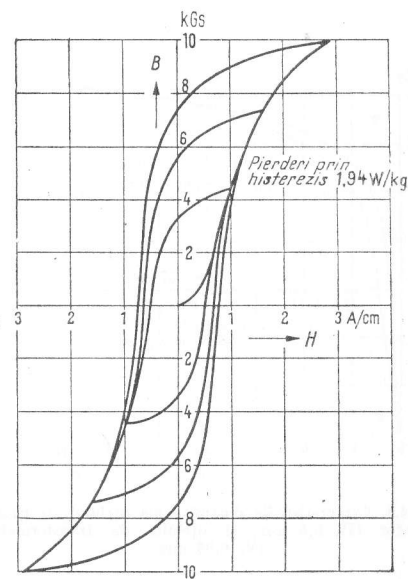


Fig. 4.5. Ciclu de histerezis în curent continuu și curba de comutație a inelelor perforate confecționate din tablă de transformator III 0,5 mm.

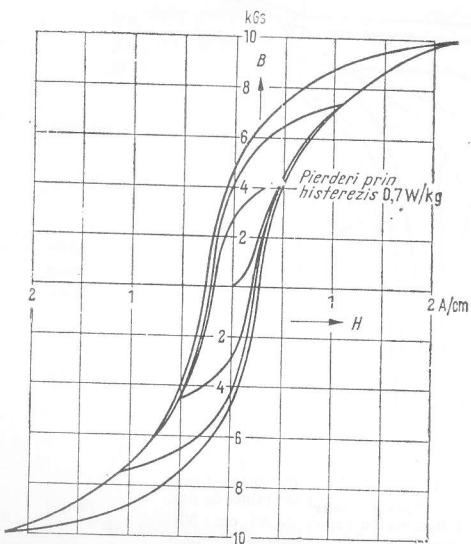


Fig. 4.6. Ciclul de histerezis în curent continuu și curba de comutație a inelelor perforate confecționate din tablă de oțel de transformator IV, 0,35 mm; măsurare balistică a cîmpului de curent continuu.

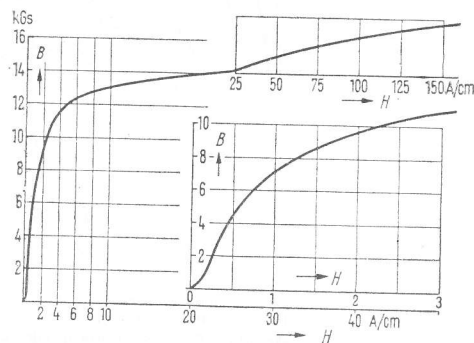


Fig. 4.7. Curba de comutație în curent continuu a miezurilor perforate confecționate din tablă de oțel pentru transformator IV, 0,35 mm, măsurare balistică a cîmpului de curent continuu.

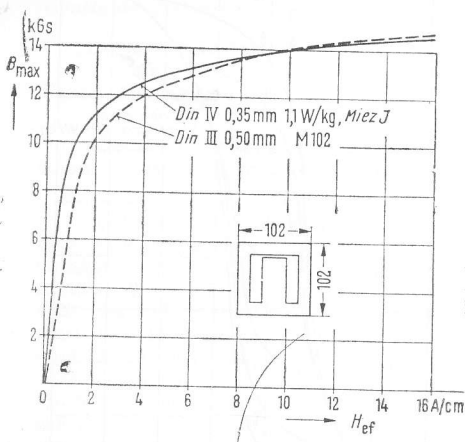


Fig. 4.8. Caracteristicile dinamice ale oțelului de transformator III, 0,5 mm, și oțelului de transformator IV, 0,35 mm.

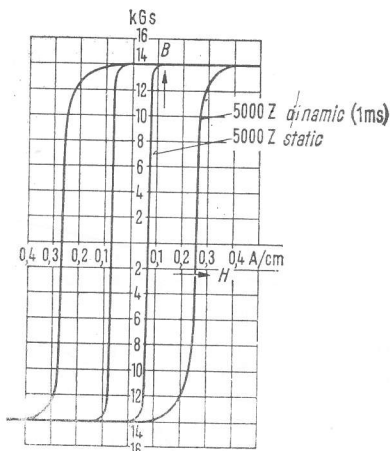


Fig. 4.9. Ciclurile de histerezis static și dinamic ale miezurilor toroidale confecționate din 5000 Z (VAC), 0,015 mm și 0,03 mm. Static: măsurare balistică a cîmpului de curent continuu; dinamic : 50 Hz, viteză de histerezis 1 ms.

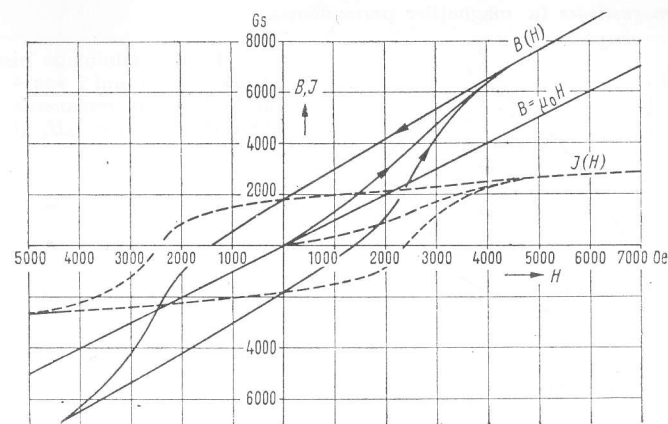


Fig. 4.10. Ciclul de histerezis reprezentat ca  $B(H)$  și  $J(H)$  al materialului FERROXDURE izotrop produs de Philips <sup>1)</sup> măsurat de Siemens AG.

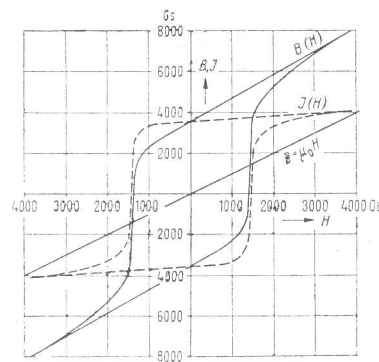


Fig. 4.11. Ciclul de histerezis reprezentat ca  $B(H)$  și  $J(H)$  al materialului FERROXDURE, anizotrop, produs de Philips <sup>1)</sup>, măsurat de Siemens AG.

1) Philips: N. V. Philips Gloeilampenfabrieken Eindhoven.





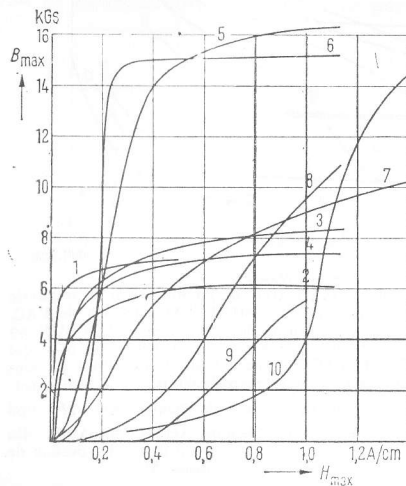


Fig. 4.16. Curbele de magnetizare în curent alternativ ale câtorva materiale magnetice moi la intensități mici ale câmpului: 1 — ULTRAPERMI 10 produs de VAC<sup>1)</sup>, tor, 0,05 pînă la 0,15 mm măsurat de VAC; 2 — M 1040, tor, 0,1... 0,35 mm măsurat de VAC; 3 — PERMALLOY C, tor, 0,1... 0,35 mm măsurat de VAC; 4 — MUMETALL, tor, 0,1... 0,35 mm măsurat de VAC; 5 — TRAFOPERM N2 produs de VAC, tor, 0,1... 0,35 mm măsurat de VAC; 6 — PERMENORM 5000 Z produs de VAC, tor, 0,05... 0,75 mm, măsurat de VAC; 7 — tablă electrică VI/0,9 patrat Epstein, 0,35 mm, măsurat de Siemens AG; 8 — TRAFOPERM N1 produs de VAC, tor, 0,1... 0,35 mm, măsurat de VAC; 9 — tablă electrică I/3,6 patrat Epstein, 0,5 mm măsurat de Siemens AG; 10 — VACOFUX 50 produs VAC, tor, 0,05... 0,35 mm, măsurat de VAC.

Fig. 4.18. Ciclul de histerezis cu interferență de cîmp de curent continuu pentru SUPERMALLOY; tor 0,05... 0,35 mm, 60 Hz.

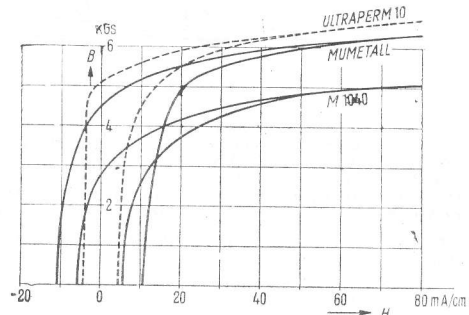


Fig. 4.17. Ciclul de histerezis în curent continuu al torurilor (0,05... 0,35 mm) produs de VAC; măsurare efectuată de VAC.

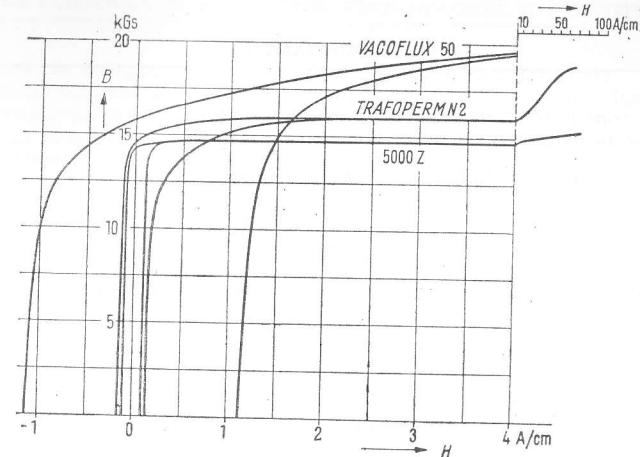
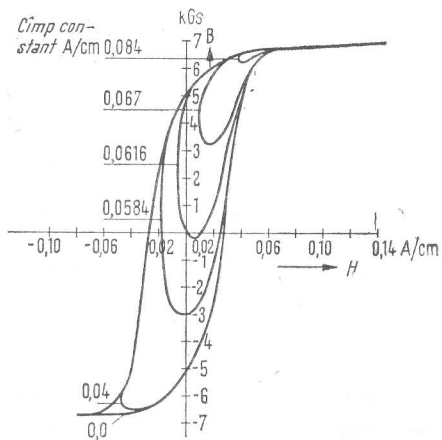


Fig. 4.19. Ciclul de histerezis în curent continuu al miezurilor toroidale (0,05... 0,35 mm) produse de VAC; măsurare efectuată de VAC.

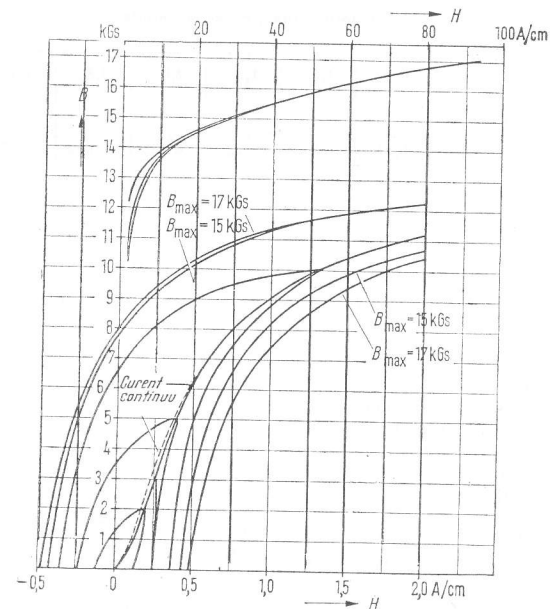


Fig. 4.20. Cicluri de histerezis de curent alternativ și curbele de magnetizare pentru curent continuu și alternativ ( $B_{max}$ ,  $H_{max}$ ) ale oțelului de transformator IV, 0,9 mm măsurate într-un pătrat Epstein cu latura de 50 cm, două teacuri paralele cu direcția de laminare, iar două teacuri perpendiculare pe această direcție. Măsurarea cîmpului a fost efectuată cu un voltmetru magnetic, iar bobinajul de magnetizare a fost așezat direct pe epruvetă; lungimea ariei de măsurare 31 mm. Măsurările în curent alternativ au fost efectuate cu ferometrul, iar cele în curent continuu cu galvanometrul balistic. Măsurarea efectuată de Siemens AG.

<sup>1)</sup> VAC — Vacumschmelze Aktiengesellschaft, Hanau

Curenți tranzitorii (curenți tranzitorii de comutare)  
pentru bobine de inducție, de pildă bobine de excitație.

Curentul crește la închiderea circuitului conform expresiei

$$i = I_0 \left( 1 - e^{-\frac{t}{\tau}} \right).$$

Curentul scade la deschiderea circuitului conform expresiei

$$i = I_0 e^{-\frac{t}{\tau}}; \quad \frac{i}{I_0} = \frac{1}{e} \text{ pentru } t = \tau,$$

unde  $I_0$  este curentul de regim permanent, în A;  $t$  — timpul, în s;  $\tau$  — constanta de timp  
 $\tau = \frac{L}{R}$ , în s.

Tabelul 4.1. Valorile funcției exponențiale  $e^{-\frac{t}{\tau}}$

$\frac{t}{\tau} =$	0,2	0,4	0,6	0,8	1,0	1,5	2,0	2,5	3,0	4,0	5,0
$e^{-\frac{t}{\tau}} =$	0,82	0,67	0,55	0,45	0,37	0,22	0,135	0,082	0,050	0,018	0,0067

#### Energie

V. „Energie magnetică“.

#### Energia magnetică

$$W_m = \frac{1}{2} vBH = \frac{1}{2} \mu vH^2 = \frac{1}{2} \Phi i = \frac{1}{2} Li^2, \quad \text{unitatea: Ws (joule)}$$

unde:  $B$  este inducția magnetică, în Vs/cm<sup>2</sup>;  
 $H$  — intensitatea cîmpului magnetic, în A/cm;  
 $L$  — inductanța, în H (1H = 1 Vs/A);  
 $\mu$  — permeabilitatea, în H/cm;  
 $v$  — volumul, în cm<sup>3</sup>;  
 $\Phi$  — fluxul magnetic, în Vs (Wb);  
 $i$  — curentul, în A.

Observație 1 Ws = 1J (Joule); 1Vs = 1Wb.

Densitatea de energie (pe unitatea de volum):

$$\frac{W_m}{v} = \frac{1}{2} BH = \frac{1}{2} \mu H^2 = \frac{1}{2} \frac{B^2}{\mu}, \quad \text{unitatea: Ws/cm}^3.$$

Dacă se măsoară  $B$  în Gs și  $H$  în Oe, obținem

$$\frac{W_m}{v} = \frac{1}{8\pi} BH, \quad \text{unitatea: erg/cm}^3.$$

Produsul de energie, energia cîmpului magnetic din întrefier;

$(BaHa)_{max}$  este energia magnetică  $W_m$  pe care un magnet cu volumul  $v = 1 \text{ cm}^3$  o poate înmagazina pentru dimensiuni optime în întrefier.

$(BH)_{max}$  este produsul maxim al valorilor corelate ale lui  $B$  și  $H$  de pe curba de demagnetizare, aproximat prin construcție cu cel corespunzător unui punct situat pe diagonala dreptunghiului  $B_rH_c$  din fig. 4.12 (pag. 208).

În punctul de intersecție  $P$

$$BaHa = (BH)_{max}$$

$(BH)_{max}$  este uneori numit și indice de calitate sau energia magnetică exterioară.

Factorul de curbă (sau factorul de completitudine)

al curbei de demagnetizare a magneților permanenți (notat de asemenea și cu  $\xi$ ) este

$$\gamma = \frac{(BH)_{max}}{B_r H_c}.$$

V. „Remanența“ p. 229, „Cîmp coercitiv“ p. 202 și fig. 4.12.

Factor de demagnetizare  
are expresia generală

$$N = \frac{H' - H}{\frac{J}{\mu_0}} = \frac{H' - H}{\frac{B}{\mu_0} - H}$$

unde:  $H'$  este intensitatea cîmpului magnetic exterior } în A/m;  
 $H$  — intensitatea cîmpului magnetic interior }  
 $J$  — polarizația magnetică } în Vs/m<sup>2</sup>;  
 $B$  — inducția magnetică }  
 $\mu_0$  — permeabilitatea vidului, în H/m.

$$N = \frac{H' - H}{4\pi J} \text{ cînd } J \text{ se măsoară în A/mm și } H \text{ în Oe.}$$

$N = \text{tg } \vartheta$ ; v. fig. 4.1, 4.2 și 4.12 și „Alunecarea“ p. 201.

În particular (pentru  $H' = 0$ ) pentru magneții permanenți (fig. 4.2):

$$N = \text{tg } \vartheta = \frac{H'_r}{\frac{J'_r}{\mu_0}} = \frac{H'_r}{\frac{B'_r}{\mu_0} + H'_r},$$

$$\frac{1}{N} = \frac{1}{\text{tg } \vartheta} = \frac{B'_r}{H'_r \mu_0} + 1; \quad \frac{B'_r}{H'_r \mu_0} = \text{tg } \psi.$$

Relația dintre  $N$  și  $B_a/H_a$ :

$$\text{tg } \vartheta = N = \frac{1}{\frac{B_a}{H_a} + 1} = \frac{1}{\text{tg } \psi + 1}; \quad \text{tg } \psi = \frac{B_a}{H_a} = \frac{1}{\text{tg } \vartheta} - 1.$$

unde:  $B_a$  este inducția magnetică în punctul de funcționare de pe curba de demagnetizare, în Gs,

$H_a$  — intensitatea cîmpului magnetic în punctul de funcționare de pe curba de demagnetizare, în Oe.

#### Factor de pierderi

Factorul de pierderi  $\tan \delta$  al unui material izolant este tangenta unghiului prin care defazajul dintre curentul și tensiunea la bornele condensatorului diferă de  $\pi/2$  atunci cînd dielectricul condensatorului constă exclusiv din materialul izolant despre care este vorba.

#### Ferită

Materialul magnetic bazat pe oxid de fier ( $\text{FeO}$  sau  $\text{Fe}_2\text{O}_3$ ); conține alți oxizi de metale bivalente (X) care dau formula  $\text{XO} \cdot \text{Fe}_2\text{O}_3$ . Metalele X sînt: Mn, Cu, Mg, Ni, Zn. Aceste materiale au o rezistivitate foarte mare, de aproximativ  $10^6 \Omega \text{mm}^2/\text{m}$ . Materia primă este, în mod normal, sub formă de pulbere și este presată și sinterizată.

Magnetismul feritelor este numit ferimagnetism.

#### Flux magnetic

$$\Phi = \int B \, dA \quad (\text{în general}).$$

În particular dacă  $B$  este constant și normal pe suprafața  $A$ ,

$$\Phi = BA = \mu HA = \frac{\mu F_m A}{l} = \frac{\mu i w A}{l} = \frac{i w}{R_m}, \quad \text{unitatea: Vs (Wb)},$$

unde  $R_m = \frac{1}{\mu A}$  este reluctanța în cazul unui material cu permeabilitatea absolută  $\mu$ .

- $\mu A$  — inducția magnetică în Vs/cm<sup>2</sup>;
- $H$  — intensitatea cîmpului magnetic, în A/cm;
- $F_m$  — tensiunea magnetomotoare, în A;
- $\mu$  — permeabilitatea absolută, în H/cm;
- $i$  — curentul, în A,
- $A$  — suprafața, în cm<sup>2</sup>,
- $w$  — numărul de spire,
- $l$  — lungimea, în cm.

Relații între unități: 1Vs = 1Wb =  $10^8$  Gs cm<sup>2</sup> =  $10^8$  Mx; 1 H = 1 Vs/A.

Cînd se măsoară  $B$  în Gs se obține unitatea absolută maxwell. 1 Mx (maxwell) = 1 Gs cm<sup>2</sup>.

Dacă circuitul magnetic este alcătuit din porțiuni de permeabilitate diferită  $\mu_1, \mu_2, \dots$  avînd lungimi diferite  $l_1, l_2, \dots$ , atunci

$$\Sigma F_m = \frac{B_1 l_1}{\mu_0 \mu_1} + \frac{B_2 l_2}{\mu_0 \mu_2} + \dots = \frac{1}{1,256} \left[ \frac{B_1 l_1}{\mu_1} + \frac{B_2 l_2}{\mu_2} + \dots \right];$$

$$\Sigma F_m = \frac{1}{1,256} \left[ \frac{l_1}{\mu_1 A_1} + \frac{l_2}{\mu_2 A_2} + \dots \right] \Phi; \quad B_1 A_1 = B_2 A_2 = \dots = \Phi.$$

#### Flux magnetic total

$$\Phi w = BA w,$$

unde:  $\Phi$  este fluxul magnetic, în Wb (Vs);

$w$  — numărul de spire;

$B$  — inducția magnetică, în Vs/cm<sup>2</sup>;

$A$  — suprafața, în cm<sup>2</sup>.

#### Formula puterii

pentru proiectarea mașinilor electrice. Formula puterii pe care se bazează proiectarea mașinilor electrice și a transformatoarelor este

$$S = UI \cdot 10^{-3} = 4,44 f w \Phi I \cdot 10^{-11} \text{ kVA}^3).$$

Din această formulă se poate determina fluxul magnetic necesar pentru valorile dorite ale tensiunii și puterii. Uzual valoarea numerică a lui  $\Phi/Iw$  este cuprinsă între 150 și 250.

#### Forțe în cîmp magnetic

Forța portantă. Forța de atracție dezvoltată de un magnet este

$$F = \frac{B^2 A}{2\mu_0} = \frac{B^2 A}{8\pi}; \quad \text{unitatea: dyna},$$

unde:  $B$  este inducția magnetică, în Vs/cm<sup>2</sup>;

$A$  — suprafața magnetului, în cm<sup>2</sup>.

Dacă se măsoară  $F$  în kgf se obține

$$F = \frac{1}{9,81 \cdot 10^5} \frac{B^2 A}{8\pi} = 1,02 \cdot 10^{-6} \frac{B^2 A}{8\pi} = 4,05 \cdot 10^{-8} B^2 A \text{ kgf}.$$

Forțe electrodinamice. Două conductoare paralele de lungime  $l$ , în m, aflate la o distanță  $a$ , în m, unul de altul și prin care circulă un curent  $i$ , în A, acționează unul asupra celuilalt cu o forță  $F$

$$F = \frac{\mu_0}{2\pi} \frac{l}{a} i^2 = 2 \frac{l i^2}{a} \frac{1}{9,81 \cdot 10^7} = 2,04 \frac{l}{a} i^2 \cdot 10^{-8} \text{ kgf}.$$

#### Frecvența rețelei de curent alternativ

$$f = \frac{n}{60} p, \quad \text{unitatea: s}^{-1} \text{ (Hz)},$$

unde:  $n$  este turația generatorului, în rot/min;

$p$  — numărul de perechi de poli a generatorului.

#### Gama

$1\gamma = 10^{-5}$  Gs, cea mai mică unitate de cîmp folosită în geofizică.

#### Impedanța

V. tabelul 4.2.

\*)  $U$  în kV;  $I$  în kA

## Impedanțe și admitanțe

Tabelul 4.2. Valorile impedanței și admitanței în cazul unor elemente în serie

Denumirea	Unitatea	Simbolul (modul)	Expresia în funcție de $L$ și $C$	Expresia în funcție de $U$ și $I$
Rezistența	$\Omega$	$R$	—	$\frac{U}{I} \cos \varphi$
Reactanța	$\Omega$	$X$	$\omega L - \frac{1}{\omega C}$	$\frac{U}{I} \sin \varphi$
Impedanța	$\Omega$	$Z$	$\sqrt{R^2 + \left(\omega L - \frac{1}{\omega C}\right)^2}$	$\frac{U}{I}$
Conductanța	S sau $\frac{1}{\Omega}$	$G$	$\frac{R}{Z^2}$	$\frac{I}{U} \cos \varphi$
Susceptanța	S sau $\frac{1}{\Omega}$	$B$	$-\frac{X}{Z^2}$	$\frac{I}{U} \sin \varphi$
Admitanța	S sau $\frac{1}{\Omega}$	$Y$	$\frac{1}{Z}$	$\frac{I}{U}$

Pentru regimuri tranzitorii, de exemplu tensiuni în formă de impuls sau șoc în linii aeriene sau în bobinaje, se utilizează următoarele mărimi:  
Frecvența de rezonanță

$$\omega_0 L = \frac{1}{\omega_0 C} \text{ și, prin urmare, } \omega_0 = 2\pi f_0 = \frac{1}{\sqrt{LC}}.$$

## Oscilații amortizate

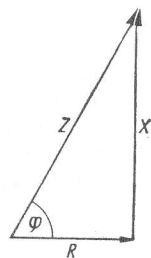


Fig. 4.21. Diagrama impedanței în plan complex.

$$D = R \sqrt{\frac{C}{L}} \text{ amortizarea; } Z_0 = \sqrt{\frac{L}{C}} \text{ impedanța caracteristică.}$$

Constanta de timp (răspunsuri tranzitorii)

$$\tau = \frac{L}{R} \text{ (circuit LR)}$$

$\tau = RC$  (circuit CR),  
unde:  $\tau$  este constanta de timp;  
 $L$  — inductivitatea, în H;  
 $R$  — rezistența, în  $\Omega$ ;  
 $C$  — capacitatea, în F.

În planul complex impedanța se reprezintă ca în fig. 4.21.

Tabelul 4.3. Impedanța în circuitele serie, paralel și mixt

Schema	Impedanța complexă	$Z =  Z $
Circuit serie		
	$\underline{Z} = R - j \frac{1}{\omega C}$	$Z = \sqrt{R^2 + \frac{1}{\omega^2 C^2}}$
	$\underline{Z} = R + j\omega L$	$Z = \sqrt{R^2 + \omega^2 L^2}$
	$\underline{Z} = R + j\left(\omega L - \frac{1}{\omega C}\right)$	$Z = \sqrt{R^2 + \left(\omega L - \frac{1}{\omega C}\right)^2}$
Circuit paralel		
	$\underline{Z} = \frac{R}{1 + \omega^2 C^2 R^2} - j \frac{\omega C R^2}{1 + \omega^2 C^2 R^2}$	$Z = \frac{R}{\sqrt{1 + \omega^2 C^2 R^2}}$
	$\underline{Z} = \frac{R\omega^2 L^2}{R^2 + \omega^2 L^2} + j \frac{R^2 \omega L}{R^2 + \omega^2 L^2}$	$Z = \frac{R\omega L}{\sqrt{R^2 + \omega^2 L^2}}$
	$\underline{Z} = \frac{R^2 \omega^2 L^2 + j R^2 \omega L (1 - \omega^2 LC)}{R^2 (1 - \omega^2 LC)^2 + \omega^2 L^2}$	$Z = \frac{R\omega L}{\sqrt{R^2 (1 - \omega^2 LC)^2 - \omega^2 L^2}}$
Circuit mixt		
	$\underline{Z} = \omega L \frac{\omega^2 R C^2 L + j(\omega^2 R^2 C^2 - \omega^2 CL + 1)}{(\omega^2 CL - 1)^2 + \omega^2 R^2 C^2}$	$Z = \frac{\omega L \sqrt{\omega^2 R^2 C^2 + 1}}{\sqrt{(\omega^2 CL - 1)^2 + \omega^2 R^2 C^2}}$
	$\underline{Z} = \frac{R + j\omega(L - \omega^2 CL^2 - R^2 C)}{(1 - \omega^2 CL)^2 + \omega^2 C^2 R^2}$	$Z = \frac{\sqrt{R^2 + \omega^2 L^2}}{\sqrt{(1 - \omega^2 CL)^2 + \omega^2 C^2 R^2}}$

## Indice de pierderi (învechit)

Indicele de pierderi  $\epsilon_r''$  al unui material izolant este egal cu produsul dintre permitivitatea relativă  $\epsilon_r$  a acestuia și factorul lui de pierderi  $\tan \delta$ ;

$$\epsilon_r'' = \epsilon_r \tan \delta.$$

Pierderile de putere din dielectricul unui condensator pot fi calculate cu formula:

$$P = U^2 \omega C \epsilon_r'',$$

în care:  $P$  este pierderea de putere, în W;

$U$  — valoarea efectivă a tensiunii aplicate la bornele condensatorului, în V;

$\omega$  — pulsația, în rad/s;

$C$  — capacitatea, în F.

#### Inducția magnetică

O buclă din sîrmă conductoare, avînd suprafața  $A$  și o rezistență electrică  $R$ , face să circule o cantitate de electricitate  $Q$  atunci cînd se scoate (se introduce) într-un cîmp magnetic, caracterizat prin inducția magnetică  $B$ .

$$B = \frac{RQ}{A} = \int \frac{Edt}{A}, \quad B = \frac{\Phi}{A} = \mu H = \frac{\mu iw}{l},$$

unde  $\int Edt$  este integrala în funcție de timp a intensității cîmpului electric.

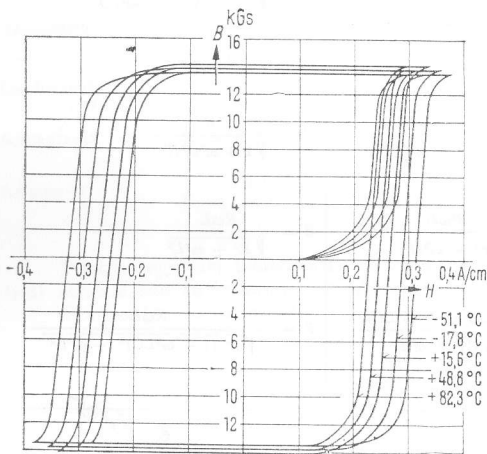


Fig. 4.22. Efectul temperaturii asupra ciclului de histerezis a materialului PERMENORM 5000 Z produs de VAC, miez toroidal de 0,127 mm, 60 Hz. Viteza de histerezis 1 ms.

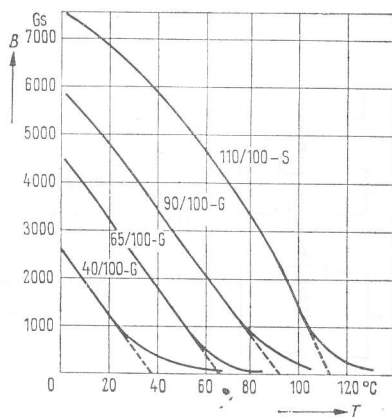


Fig. 4.23. Curbele  $B(T)$  ale celor mai obișnuite aliaje THERMOFLUX produse de VAC<sup>1)</sup>, măsurate de VAC.

#### Intensitatea cîmpului

V. „Cîmp electric,” (p. 202) „Cîmp magnetic” (p. 203) și „Cîmp exterior” (p. 203).

#### Încărcarea unui condensator

Energia electrică:

$$W = \frac{1}{2} Cu^2 = \frac{1}{2} \frac{Q^2}{C} \quad \left( \frac{1}{2} u^2 = U^2 \right).$$

Curentul de încărcare (c.a.):  $I = 2\pi fCU$ ,

unde:  $W$  este energia necesară pentru încărcarea condensatorului, în Js (J);

$C$  — capacitatea, în F;

$u$  — tensiunea, în V (valoarea instantanee);

<sup>1</sup> VAC: Vacuumschmelze Aktiengesellschaft, Hanau.

$Q$  este sarcina electrică a condensatorului, în C;

$U$  — valoarea efectivă a tensiunii, în V;

$I$  — valoarea efectivă a curentului, în A;

$f$  — frecvența curentului alternativ, în  $s^{-1}$  ( $2\pi f = \omega$ ).

Legea inducției electromagnetice v. „Legea lui Faraday”.

Legea lui Faraday (legea inducției electromagnetice)

$$e = -w \frac{d\Phi}{dt} = -L \frac{di}{dt}; \quad L = \frac{w\Phi}{i},$$

unde:  $e$  este tensiunea indusă, în V;

$w$  — numărul de spire;

$\Phi$  — fluxul magnetic, în Wb;

$t$  — timpul, în s;

$L$  — inductivitatea proprie, în H;

$i$  — curentul, în A.

Cînd se măsoară  $\Phi$  în Mx și  $L$  în H se obține

$$e = -w \frac{d\Phi}{dt} 10^{-8} \text{ V.}$$

Cînd variația fluxului în timp este sinusoidală, valoarea efectivă a t.e.m. este

$$E = 4,44 fw\Phi \cdot 10^{-8} \quad (2\pi/\sqrt{2} \approx 4,44)$$

unde  $\Phi$  este valoarea maximă a fluxului, exprimată în Mx.

Factorul de formă ( $C_f$ ) =  $\frac{\text{valoarea efectivă}}{\text{valoarea medie}}$

$$= \frac{\frac{1}{2} \sqrt{2}}{2/\pi} \approx \frac{0,707}{0,637} \approx 1,11.$$

Observație:  $4C_f = 4,44$ .

Valoarea maximă, valoarea efectivă și valoarea medie ale unei sinusoidale sînt în raport 1 : 0,707 : 0,637.

#### Magnetism terestru

În Germania<sup>2)</sup> inducția magnetică provocată de cîmpul magnetic al Pămîntului este de aproximativ 0,45Gs =  $0,45 \cdot 10^{-4}$  Wb/m<sup>2</sup>; componenta orizontală este de circa 0,2 Gs, iar componenta verticală este de aproximativ 0,4 Gs. Unitatea de cîmp cea mai mică folosită în geofizică este 1γ =  $10^{-5}$  Gs.

<sup>1)</sup> Corespunde cazului cînd inductivitatea  $L$  este constantă.

<sup>2)</sup> În România inducția magnetică terestră este: componenta orizontală 22 490 γ; componenta verticală 41 005 γ.



**Magnetizare**

a) Polarizația magnetică  $J$  (Intensitatea magnetizării, inducția intrinsecă  $B_i$ );

$$J = B - \mu_0 H, \text{ unitatea: Vs/cm}^2;$$

b) Magnetizația:

$$M = \frac{J}{\mu_0} = \frac{B}{\mu_0} \text{ unitatea: A/cm},$$

unde:  $B$  este inducția magnetică, în Vs/cm<sup>2</sup>;

$H$  — intensitatea cîmpului, în A/cm;

$\mu_0$  — permeabilitatea magnetică a vidului, în H/cm.

**Materiale diamagnetice**

Permeabilitatea relativă  $\mu_r < 1$  } sint independente de  
Susceptivitatea relativă  $\chi_r < 0$  } intensitatea cîmpului magnetic.

V. de asemenea „Permeabilitatea“ (p. 221), „Susceptivitatea“ (p. 232) și fig. 4.24 și 4.25.

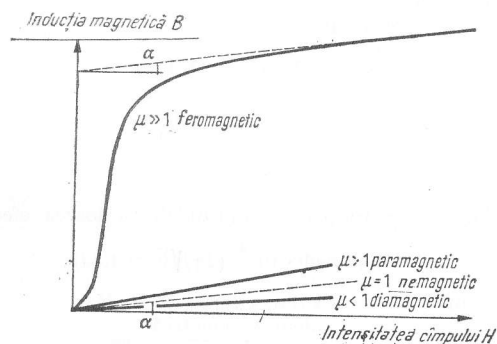


Fig. 4.24. Curbele  $B(H)$  tipice pentru materialele feromagnetice ( $\mu \gg 1$ ), paramagnetice ( $\mu > 1$ ), diamagnetice ( $\mu < 1$ ) și nemagnetice ( $\mu = 1$ ).

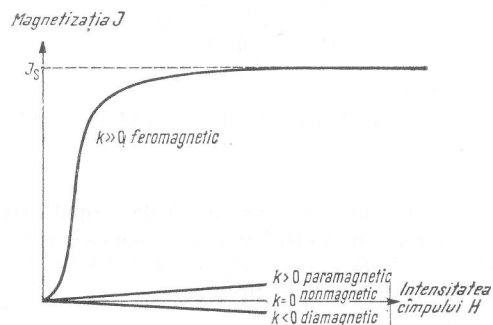


Fig. 4.25. Curbele  $J(H)$  tipice pentru materialele feromagnetice ( $k \gg 0$ ), paramagnetice ( $k > 0$ ), diamagnetice ( $k < 0$ ) și nemagnetice ( $k = 0$ ).

**Materiale feromagnetice**

Permeabilitatea relativă  $\mu_r \gg 1$  } depind în mare măsură de intensitatea cîmpului  
Susceptivitatea relativă  $\chi_r \gg 1$  } magnetic  
(v. figura 4.24 și 4.25).

**Materiale paramagnetice**

Permeabilitatea relativă  $\mu_r > 1$  } aproximativ independente de intensitatea  
Susceptivitatea relativă  $\chi_r > 0$  } cîmpului magnetic.

V. „Permeabilitatea“, „Susceptivitatea“ (p. 232) și fig. 4.24 și 4.25.

**Moment magnetic**

În conformitate cu Coulomb:  $m = \frac{C}{H} = Jv$ , unitatea: Vs cm;

În conformitate cu Ampère:  $m' = \frac{C}{B} = \frac{C}{H\mu_0}$ , unitatea: A cm<sup>2</sup>;

unde:  $C$  este cuplul maxim exercitat asupra corpului magnetizat în cîmpul  $H$ , în Vs A;

$H$  — intensitatea cîmpului magnetic, în A/cm;

$J$  — polarizația magnetică, în Vs/cm<sup>2</sup>;

$v$  — volumul, în cm<sup>3</sup>;

$B$  — inducția magnetică a cîmpului exterior, în Vs/cm<sup>2</sup>;

$\mu_0$  — permeabilitatea magnetică a vidului, în H/cm.

**Permanența unui magnet permanent**

Punctul  $J_p$  de intersecție al curbei de magnetizare inversă (figura 4.12, curba  $P'$ ,  $P''$   $J_p$ ) care își are originea într-un punct de pe curba de demagnetizare, cu axa  $B$  (v. și fig. 4.28).

Unitatea: aceeași ca pentru inducția magnetică.

**Permeabilitatea**

Permeabilitatea absolută  $\mu$  este raportul dintre inducția magnetică și intensitatea cîmpului magnetic în același punct într-un cîmp magnetic. În aer ea este aproximativ egală cu permeabilitatea vidului (v. pag. 224). Unitatea: aceeași ca pentru permeabilitatea vidului.

**Permeabilitatea relativă**

$$\mu_r = \frac{B}{H\mu_0} \text{ sau } \mu_r = \frac{\mu}{\mu_0}.$$

Permeabilitatea inițială  $\mu_a$  este coeficientul unghiular (panta) al curbei de magnetizare normală față de axa  $H$ , în origine;  $\tan \alpha = \mu_a$  (figura 4.26, pag. 222).

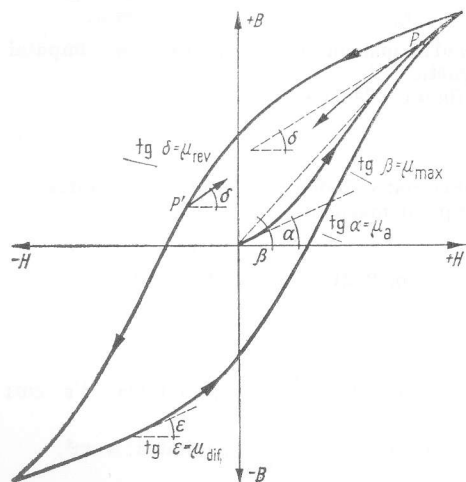


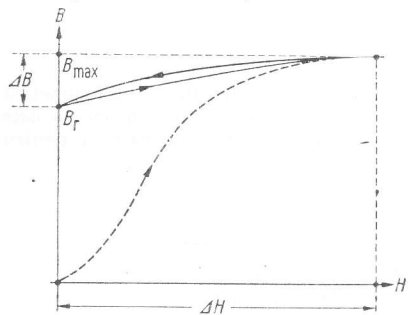
Fig. 4.26. Definirea permeabilităților magnetice.

este raportul dintre o variație ciclică finită a lui  $B$  (inducția incrementală  $B_\Delta$ ) și variația ciclică corespunzătoare a lui  $H$  (intensitatea incrementală  $H_\Delta$  a cîmpului magnetic), atunci cînd densitatea fluxului înainte de variație este  $B_b \neq 0$ , adică în cazul unui cîmp magnetic de polarizație  $H_b$ .

Permeabilitatea de impuls  $\bar{\mu}$  (figura 4.27).

$$\bar{\mu} = \frac{\Delta B}{\Delta H}$$

este raportul dintre creșterea  $\Delta B$  a inductanței magnetice și creșterea  $\Delta H$  a intensității cîmpului magnetic în cazul unei magnetizări într-un singur sens, adică atunci cînd intensitatea cîmpului magnetic variază între zero și  $+H$ , sau între zero și  $-H$ .

Fig. 4.27. Definirea permeabilității de impuls  $\bar{\mu} = \Delta B / \Delta H$ .

Permeabilitatea permanentă  $\mu_p$  (magnet permanent) depinde de valoarea variației  $\Delta B$  și  $\Delta H$ , și, în consecință, depinde de amplitudine (figura 4.28).

Pentru punctul cel mai depărtat  $B_p$ :

$$\mu_p = \tan \delta_2 = \frac{B_p - B}{H - H_p}$$

Pentru punctul cel mai depărtat  $J_p$ :

$$\mu_p = \tan \delta_3 = \frac{J_p - B}{H}$$

Permeabilitatea reversibilă  $\mu_{rev}$ , în general, pentru variații de stare reversibile foarte mici în cazul unui ciclu de magnetizare invers, permeabilitatea incrementală  $\mu_\Delta$  se transformă în permeabilitatea reversibilă  $\mu_{rev}$ ; ea devine apoi egală cu permeabilitatea  $\mu_a$  pentru punctul de plecare al unei curbe de magnetizare inversă (figura 4.26):  $\tan \delta_1 = \mu_{rev}$ ;  $\tan \epsilon = \mu_a$ ;

În particular, pentru magnetii permanenți (figura 4.28), pentru variații foarte mici ale lui  $B$  și  $H$  are loc relația  $\mu_p = \mu_{rev}$ .

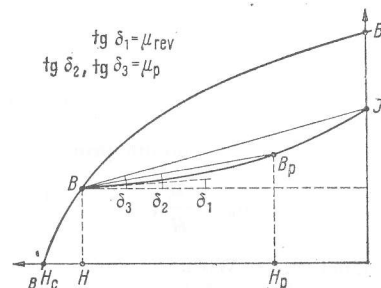


Fig. 4.28. Definirea permeabilității reversibile și a permanenței magnetice.

Permeabilitatea în cîmp alternativ. În cazul unei magnetizări sinusoidale cîmpul  $H$  prezintă armonice, iar armonica fundamentală  $H_1$  a cîmpului prezintă un defazaj  $\delta$  față de inducția magnetică  $B$ . În acest caz se pot defini următoarele:

Permeabilitatea alternativă, raportată la valoarea maximă; valoarea ei absolută este  $B_{max}/H_{max}$ , iar valoarea ei relativă este  $B_{max}/(\mu_0 H_{max})$ .

Permeabilitatea alternativă raportată la valoarea efectivă; valoarea ei absolută este  $B_{ef}/(\mu_0 H_{ef})$ .

Permeabilitatea aparentă; valoarea ei absolută este  $\mu_a = B_{max}/H_{1max}$ , iar valoarea ei relativă este  $\mu_a/\mu_0 = B_{max}/(\mu_0 H_{1max})$ .

În relațiile de mai sus  $B_{max}$  este valoarea maximă, iar  $B_{ef}$  este valoarea efectivă a inducției magnetice, care variază sinusoidal;  $H_{max}$  este valoarea maximă, iar  $H_{ef}$  este valoarea efectivă a cîmpului magnetic total;  $H_{1max}$  este valoarea maximă a armonicii fundamentale a cîmpului magnetic.

Permeabilitatea complexă:

$|\mu| = \mu_a$  permeabilitatea aparentă;

$\mu_{Re} = \mu' = \mu_a \cos \delta$  componenta reală;

$\mu_{Im} = \mu'' = \mu_a \sin \delta$  componenta imaginară.

O definiție întrutotul corespunzătoare se poate obține pentru cazul curentului alternativ, cînd intensitatea  $H$  a cîmpului magnetic variază sinusoidal în raport cu timpul.

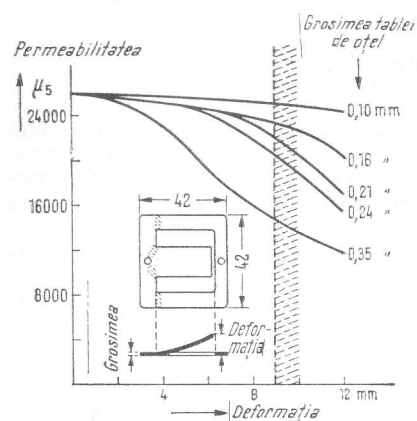


Fig. 4.29. Efectul deformării unei tole asupra permeabilității materialului MUMETALL, produs de VAC.

Inducția magnetică  $B$  are atunci armonică, iar armonică sa fundamentală prezintă un defazaj față de intensitatea sinusoidală a cîmpului. Pentru evitarea confuziilor trebuie să se arate la care dintre cele două cazuri se referă cifrele date.

Uneori întîlnim definiția „Permeabilitate efectivă”:

$$p = \frac{B_{max}}{H_{ef}}, \text{ unitatea: } \frac{\text{Gs cm}}{\text{mA}_{(ef)}} \left( \frac{\text{Wb}}{\text{mA}_{(ef)}} \right).$$

Transformarea în  $\mu$  pentru  $H$  sinusoidal:

$$p = 0,4\pi \sqrt{2} \mu = 1,78 \mu.$$

Permeabilitatea magnetică a vidului

Permeabilitatea vidului (practic este egală cu cea a aerului) este o constantă definită prin

$$\mu_0 = \frac{B}{H};$$

unde:  $B$  este inducția magnetică, în  $\text{Wb/m}^2$ ;

$H$  — intensitatea cîmpului, în  $\text{A/m}$ ,  
cele două mărimi corespunzînd unui punct din aer (vid)

$$\mu_0 = 1 \frac{\text{Gs}}{\text{Oe}} = 0,4\pi \cdot 10^{-8} \frac{\text{Vs}}{\text{A cm}} = 4\pi \cdot 10^{-9} \frac{\text{H}}{\text{cm}} = 4\pi \cdot 10^{-7} \frac{\text{H}}{\text{m}}.$$

#### Permeanța

Valoarea reciprocă a reluctanței  $R_m$ , numită de asemenea conductanță magnetică.

$$\Lambda = \frac{\Phi}{wi} = \frac{A\mu}{l}, \text{ unitatea: henry (H),}$$

unde:  $\Phi$  este fluxul magnetic, în  $\text{Vs}$ ;

$w$  — numărul de spire;  
 $l$  — lungimea circuitului, în  $\text{cm}$ ;  
 $\mu$  — permeabilitatea, în  $\text{H/cm}$ ;  
 $A$  — suprafața, în  $\text{cm}^2$ ;  
 $i$  — curentul, în  $\text{A}$ .

#### Permitivitatea

Permitivitatea relativă  $\epsilon_r$  a unui material izolat este raportul dintre capacitatea  $C_x$  a unui condensator în care spațiul dintre electrozi și din jurul acestora este umplut

complet și exclusiv cu materialul izolat respectiv, și capacitatea  $C_0$  a aceleiași configurații de electrozi în aer:

$$\epsilon_r = \frac{C_x}{C_0} = \frac{\epsilon}{\epsilon_0},$$

unde:  $\epsilon = \epsilon_0 \epsilon_r$  este permitivitatea absolută, în  $\text{F/cm}$ ;

$$\epsilon_0 = \frac{1}{\mu_0 C^2} = \frac{1}{4\pi \cdot 9 \cdot 10^9} \approx 0,885 \cdot 10^{-12} \text{ F/cm} - \text{permitivitatea vidului.}$$

#### Pierderi în dielectric

V. „Factor de pierderi”.

#### Pierderi magnetice

Pierderi prin histerezis, pierderi în fier, pierderi în miez, pierderi prin curenți turbionari.

Pierderi prin histerezis pe ciclu de magnetizare  $Q_h$ :

Energia magnetică care este transformată prin histerezis în căldură sau cea parte din energia magnetică înmagazinată, care nu este redată circuitului din cauza histerezisului. Pierderile prin histerezis pe ciclu de magnetizare și pe unitatea de volum

$$\frac{Q_h}{v} = \oint H dB = \oint H dJ, \text{ unitatea } \text{Ws/cm}^3,$$

unde:  $v$  este volumul, în  $\text{cm}^3$ ;

$B$  — inducția magnetică, în  $\text{Vs/cm}^2$ ;

$H$  — intensitatea cîmpului magnetic, în  $\text{A/cm}$ ;

$J$  — polarizația magnetică în  $\text{Vs/cm}^2$ .

Cînd se măsoară  $B$  și  $J$  în  $\text{Gs}$  și  $H$  în  $\text{Oe}$ , obținem:

$$\frac{Q_h}{v} = \frac{1}{4\pi} \oint H dB = \frac{1}{4\pi} \oint H dJ, \text{ unitatea: erg/cm}^3.$$

Observație:  $\oint H dB$ ,  $\oint H dJ$  sînt integrale de suprafață ale buclelor de histerezis cuprinse între limitele  $+B$  și  $-B$ , sau  $+J$  și  $-J$ .

Pierderile prin histerezis  $P_h$ :

Puterea măsurată de obicei la 50 Hz (sau 60 Hz în S.U.A.), disipată prin histerezis (frecvența  $f$  în  $\text{s}^{-1}$ ) în unități de timp și volum.

Raportate la unitatea de volum

$$P_h = \frac{Q_h}{v} f = f \oint H dB = f \oint H dJ, \text{ unitatea: W/cm}^3.$$

Folosind factorul  $1/4\pi$  obținem unitatea  $\text{erg/s cm}^3 = 10^{-7} \text{ W/cm}^3$ .

Raportate la masă:

$$\frac{P_h}{\rho} = \frac{Q_h}{v} \frac{f}{\rho} \quad (\rho \text{ este densitatea în g/cm}^3).$$

$$\frac{P_h}{\rho} = 10^{-3} \frac{f}{\rho} \oint H dB \quad \text{unitatea raționalizată: W/kg,}$$

$$\frac{P_h}{\rho} = \frac{10^{-3}}{4\pi} \frac{f}{\rho} \oint H dB \quad \text{unitatea neraționalizată: erg/kg.}$$

La frecvențe  $f$  înalte sau în cazul unor grosimi  $d$  mari ale epruvetei vor avea loc atât pierderi prin curenți turbionari, cât și prin histerezis, suma lor reprezentând pierderile totale de energie (adeseori numite „pierderi watt”). Formulele date mai sus conțin, din această cauză, și pierderile prin curenți turbionari atunci când  $f$  și  $d$  au valoare mare.

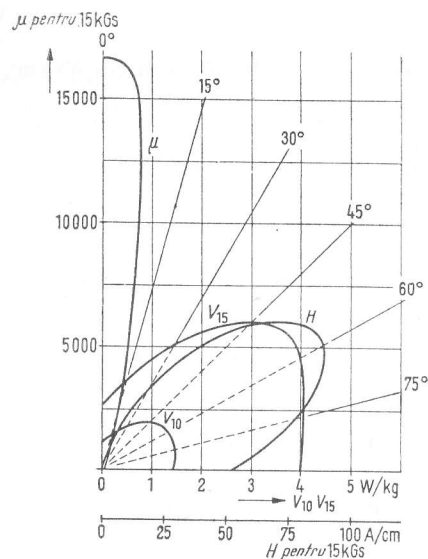


Fig. 4.30. Dependența de direcția de magnetizare a lui  $\mu$  și  $H$  pentru 15 kGs,  $V_{10}$ ,  $V_{15}$  pentru tablă de oțel „Orientat M7X”: măsurare efectuată de Siemens AG.

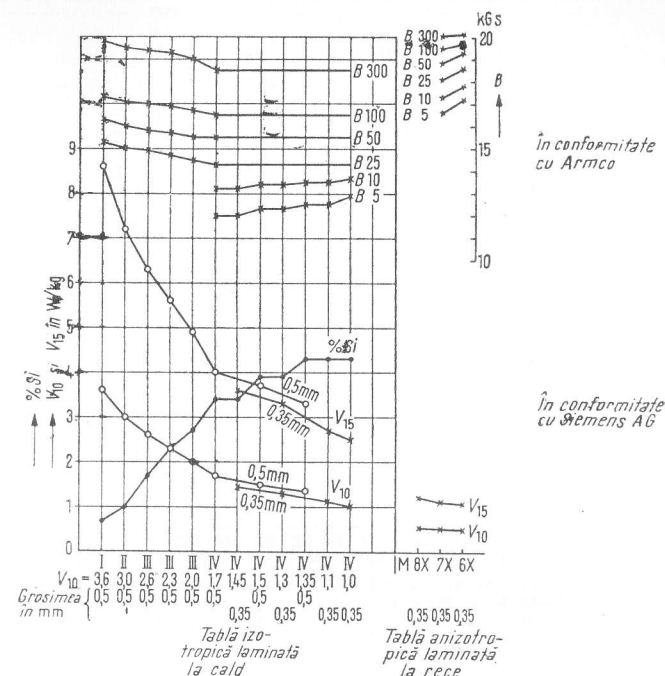
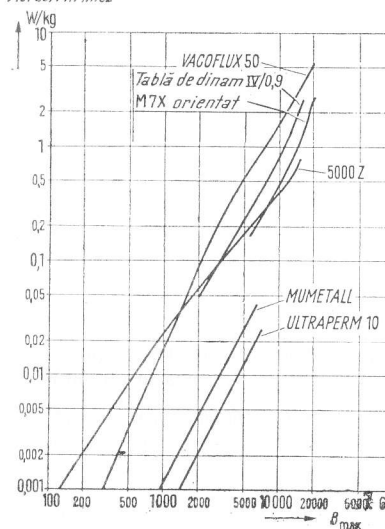


Fig. 4.31. Inducția și pierderile tablei de oțel pentru dinam și transformator.

Pierderi în miez



Polarizația magnetică

V. „Magnetizare”.

Punct de funcționare

Punctul de funcționare este punctul aflat pe curba de magnetizare, pe ciclul de histerezis sau pe o linie de magnetizare interioară determinat de inducția  $B$  și de intensitatea  $H$  a cîmpului magnetic, care reprezintă starea magnetică a unei anumite părți a unui circuit magnetic, într-un anumit moment.

Fig. 4.32. Curbele care reprezintă pierderile în funcție de inducția magnetică maximă. Măsurare: VAC<sup>1)</sup> și Siemens AG.

<sup>1)</sup> VAC: Vacuumschmelze Aktiengesellschaft, Hanau

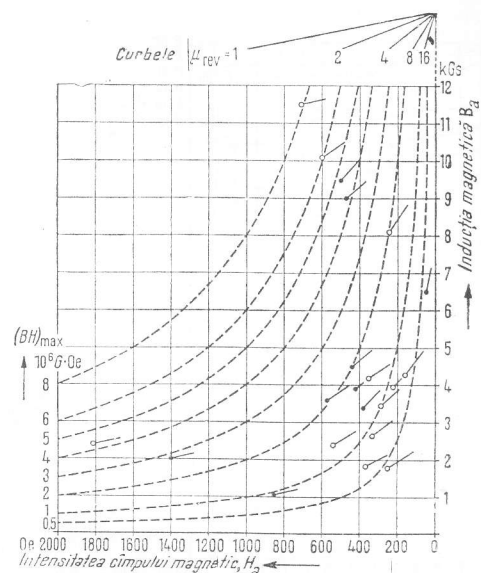


Fig. 4.33. Poziția punctului de funcționare la materialele standardizate (●) și nestandardizate (○) pentru magneți permanenți (pentru un conținut maxim de energie) cu curbele  $\mu_{rev}$  și hiperbolele  $(BH)_{max}$ .

Definiție specială pentru magneții permanenți:

Punctul  $P'$  din figura 4.12, pag. 207 (punctul de funcționare de pe curba de demagnetizare), sau punctul  $P''$  de pe curba de magnetizare interioară  $P' J_P$ .

#### Puterea și energia electrică

$$\begin{aligned} P &= RI^2 = U^2/R = UI && \text{în curent continuu (c. c.),} \\ P &= UI \cos \varphi && \text{în curent alternativ monofazat (c.a.);} \\ P &= \sqrt{3} UI \cos \varphi && \text{în curent alternativ trifazat în regim} \\ &&& \text{simetric } (\cos \varphi = \text{factorul de putere}); \end{aligned}$$

$$W = \int_{t_1}^{t_2} u i \, dt \quad (t_2 - t_1 = \text{intervalul de timp}),$$

unde:  $P$  este puterea electrică, în W;  
 $U$  — tensiunea (valoarea efectivă), în V;  
 $W$  — energia electrică, în Ws;  
 $I$  — curentul (valoare efectivă), în A;  
 $R$  — rezistența circuitului, în  $\Omega$ ;  
 $t$  — timpul, în s.

Într-o rețea de curent alternativ diferitele puteri, date în tabelul 4.4, sînt folosite pentru scopuri de calcul; acestea pot fi reprezentate geometric cu ajutorul unui triunghi dreptunghic (fig. 4.34).

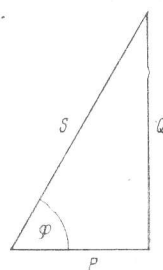


Fig. 4.34. Diagrama puterilor.

Tabelul 4.4. Puterile în curent alternativ

Mărimea	Curent monofazat	Curent trifazat, simetric
Puterea aparentă $S$ , în VA	$UI$	$\sqrt{3}UI$
Puterea activă $P$ , în W	$UI \cos \varphi$	$\sqrt{3} UI \cos \varphi$
Puterea reactivă $Q$ , în Var	$UI \sin \varphi$	$\sqrt{3} UI \sin \varphi$
Factorul de putere $\cos \varphi$	$P/S$	$P/S$

#### Reactanță

V. tabelul 4.2.

#### Reluctanță

Valoarea reciprocă a permeanței:

$$R_m = \frac{1}{\Lambda} \cdot \text{Definită la „Flux magnetic (p. 214).”}$$

#### Remanență

În general în circuite deschise și închise, precum și în cicluri incomplete. Caz particular pentru  $H = 0$ , cînd materialul se găsește într-o stare magnetică simetrică. Valoarea limită a remanenței (pentru  $H = 0$ ) în cazul magnetizării pînă la saturație se numește retentivitate (v. fig. 4.2 intensitatea cîmpului de demagnetizare  $H'_r$ ).

Remanența reală  $B_r = J_r$ . Punctul de intersecție al ciclului de histerezis cu axa  $B$  (fig. 4.2).

Remanența aparentă: polarizația magnetică remanentă aparentă  $J'_r$ : punctul de intersecție al curbei de demagnetizare sau de alunecare (v. fig. 4.1, și 4.2)

$$H = \frac{J}{\mu_0} \tan \vartheta \quad (\mu_0 = \text{permeabilitatea vidului})$$

cu curba de demagnetizare  $J = f(H)$ .

Inducția remanentă aparentă:

$$B'_r = J'_r - H'_r \mu_0.$$

Unitățile de măsură sînt aceleași ca pentru inducția magnetică și polarizația magnetică.

#### Retentivitate

V. „Remanență”

#### Rezistența de izolație

Rezistența de izolație dintre doi electrozi care sînt în contact cu un material izolant sau sînt înglobați în acesta, este raportul dintre tensiunea continuă aplicată elec-

trozilor și curentul total dintre aceștia la un anumit timp după aplicarea acelei tensiuni (după dispariția eventualului regim tranzitoriu).

Rezistența de izolație depinde atât de rezistența de volum, cât și de rezistența de suprafață ale materialului izolat (v. „Rezistența de suprafață” și „Rezistența de volum”).

#### Rezistența în c.c.

Rezistența în c.c. a unui conductor este

$$R = \frac{\rho l}{A} = \frac{l}{\gamma A} \quad \left( \gamma = \frac{1}{\rho} \right)^1$$

unde  $l$  este lungimea conductorului, în m;  
 $A$  — secțiunea transversală, în mm<sup>2</sup>;  
 $\rho$  — rezistivitatea, în  $\Omega\text{mm}^2/\text{m}$ ;  
 $\gamma$  — conductivitatea, în  $\text{m}/\Omega\text{mm}^2$ .

Creșterea rezistenței ca urmare a încălzirii conductorului pînă la  $\theta^\circ\text{C}$  este  $R_\theta - R_{20}$  în care  $R_\theta$  este rezistența la  $\theta^\circ\text{C}$ , iar  $R_{20}$  este rezistența la  $20^\circ\text{C}$ . Formula este

$$R_\theta = R_{20} [1 + \alpha_{20}(\theta - 20)]^1.$$

Rezistențe legate în serie:  $R = R_1 + R_2 + R_3 + \dots$

Rezistențe legate în paralel:  $\frac{1}{R} = \frac{1}{R_1} + \frac{1}{R_2} + \frac{1}{R_3} + \dots$

Două rezistențe legate în paralel:

$$R = \frac{R_1 R_2}{R_1 + R_2}.$$

#### Rezistență de suprafață

Rezistența de suprafață  $R_s$  dintre doi electrozi plasați pe suprafața unui material izolat este raportul dintre tensiunea continuă și curentul care curge între electrozi printr-un strat subțire de pe suprafață. Aceasta nu este o proprietate specifică materialului, dar ea furnizează informații cu privire la starea izolației la suprafața unui material izolat, care poate fi modificată de influențe exterioare ca umiditatea, aciditatea etc.

#### Rezistență de volum

Rezistența de volum  $R_v$  dintre doi electrozi care sînt în contact cu un material izolat sau sînt înglobați într-un asemenea material este raportul dintre tensiunea continuă aplicată electrozilor și acea parte din curentul care circulă între ei care este distribuită în volumul materialului izolat.

#### Rezistivitatea de volum

Rezistivitatea de volum  $\rho_v$  a unui material izolat este raportul dintre gradientul de potențial paralel cu direcția de curgere a curentului prin material și densitatea curentului. Rezistivitatea de volum a unui material izolat, în  $\Omega\text{cm}$ , este egală cu re-

<sup>1)</sup> Pentru valorile lui  $\alpha$  și  $\rho$  v. tabelul 2.21, pag. 82.

zistența de volum dintre fețele opuse ale unui centimetru cub din materialul respectiv. Valorile rezistivității de volum a diverselor materiale sînt date în figura 4.35.

Unitatea în sistemul SI:  $1 \Omega\text{m} = 10^2 \Omega\text{cm}$ .

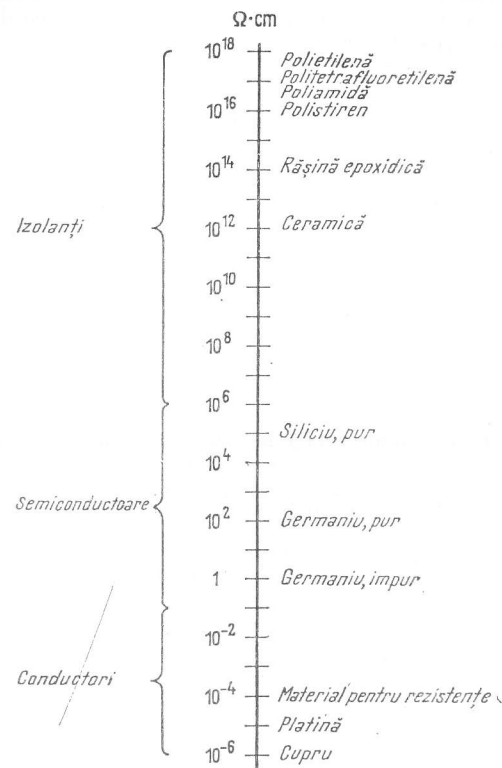


Fig. 4.35. Rezistivitatea de volum a materialelor electrice, în  $\Omega\text{cm}$ .

#### Rigiditatea dielectrică

Rigiditatea dielectrică  $E_d$  a unui material izolat este definită ca raportul dintre tensiunea de străpungere  $U_d$  (în V) și distanța  $d$  dintre cei doi electrozi (în cm) cărora li se aplică tensiunea:

$$E_d = \frac{U_d}{d}, \quad \text{unitatea uzuală: V/cm.}$$

Definiția rigidității dielectrice este valabilă numai pentru un câmp uniform între electrozi.

Rigiditatea dielectrică nu este o proprietate specifică materialului. Ea depinde de grosimea epruvetei, de forma de undă a tensiunii de încercare, de viteza de creș-



tere a tensiunii, de durată de aplicare a tensiunii, de temperatura ambiantă, de presiunea aerului și de umiditatea relativă.

Tensiunea de străpungere  $U_d$  este valoarea la care tensiunea dintre doi electrozi străpunge și distruge materialul izolant.

#### Saturație

Polarizația magnetică de saturație  $J_s$  (inducția magnetică de saturație  $B_s$ ). Valoarea limită a polarizației magnetice  $J$  la intensități foarte mari ale cîmpului. (Strict vorbind, nu există o inducție magnetică de saturație, deoarece  $B$  crește neînterupt cu  $H$ ). V. de asemenea „Magnetizare” (p. 220).

#### Susceptanță

V. tabelul 4.2.

#### Susceptivitate de masă și susceptivitate molară

V. „Susceptivitatea magnetică”

#### Susceptivitate magnetică

##### Susceptivitate de volum

$$\kappa = \frac{J}{H \mu_0} = \mu_r - 1,$$

unde:  $J$  este polarizația magnetică, în Vs/cm<sup>2</sup>;  
 $H$  — intensitatea cîmpului magnetic, în A/cm;  
 $\mu_r$  — permeabilitatea magnetică relativă;  
 $\mu_0$  — permeabilitatea magnetică a vidului.  
 Cînd se măsoară  $J$  în A/mm și  $H$  în Oe se obține

$$\kappa_n = \frac{J}{H} = \frac{\kappa}{4\pi} = \frac{\mu_r - 1}{4\pi}.$$

##### Susceptivitate de masă

$$\chi = \frac{\kappa}{\rho} \text{ (unde } \rho \text{ este densitatea)}$$

##### Susceptivitate molară

$$\chi_A = \chi A = \frac{\kappa}{\rho} A \text{ (unde } A \text{ este masa atomică).}$$

#### Tensiunea magnetică

$$U_m = \sum i = F_m.$$

V. „Tensiune magnetomotoare”.

#### Tensiunea magnetomotoare

$$F_m = \oint \mathbf{H} d\mathbf{l} = \frac{1}{\mu} \oint \mathbf{B} d\mathbf{l}, \quad \text{unitatea: amper-spira (în SI — amperul)}$$

$$F_m = \sum i = U_m; \quad F_m = w i = U_m,$$

unde:  $\sum i$  este suma tuturor curenților  $i$  (în A) care trec printr-o suprafață arbitrară ce se sprijină pe curba închisă;

$H$  — intensitatea cîmpului magnetic, în A/cm;

$B$  — inducția magnetică, în Vs/cm<sup>2</sup>;

$w$  — numărul de spire (bobină cu cîmp omogen);

$U_m$  — tensiunea magnetică, în A.

Tensiunea magnetomotoare este definită în cazul magneților permanenți ca integrala de contur a intensității cîmpului magnetic indus  $H_e$  pentru variații de stare reversibile; v. „Cîmp magnetic”.

#### Teoremele lui Kirchhoff

Într-o rețea compusă din rezistoare liniare și surse de tensiune electromotoare au fost stabilite următoarele teoreme:

1. În orice nod din circuit suma algebrică a curenților care intră și care iese este egală cu zero  $\sum I = 0$ .

2. În orice contur închis (ochi de rețea) al rețelei suma tensiunilor electromotoare (t. e. m.) este egală cu suma căderilor de tensiune  $\sum E = \sum IR$  sau  $\sum U_i + \sum IR = 0$  (unde s-a notat  $U_i = -E$ ).

Curenții, tensiunile electromotoare, tensiunile și căderile de tensiune trebuie să fie indicate cu semnul corespunzător sensului lor (reguli referitoare la semne v. pag. 178). În cazul curenților alternativ aceste teoreme se aplică numai la valorile instantanee; în cazul folosirii valorilor efective trebuie să se țină seama de defazaj. În acest ultim caz sînt valabile sumele și diferențele vectoriale ale tensiunilor și curenților sinusoidali.

#### Transfigurarea impedanțelor

Transfigurarea a trei impedanțe legate în triunghi (fig. 4.36)

$$\underline{Z}_{12} = R_{12} + j X_{12}; \quad \underline{Z}_{23} = R_{23} + j X_{23}; \quad \underline{Z}_{31} = R_{31} + j X_{31}$$

într-o configurație în stea, care se compune din

$$\underline{Z}_1 = R_1 + j X_1; \quad \underline{Z}_2 = R_2 + j X_2; \quad \underline{Z}_3 = R_3 + j X_3$$

are drept rezultat

$$\underline{Z}_1 = \frac{\underline{Z}_{12} \underline{Z}_{31}}{\underline{Z}_{12} + \underline{Z}_{23} + \underline{Z}_{31}} = \frac{(R_{31} R_{12} - X_{31} X_{12}) R + (X_{31} R_{12} + R_{31} X_{12}) X}{R^2 + X^2} + j \frac{(X_{31} R_{12} + R_{31} X_{12}) R - (R_{31} R_{12} - X_{31} X_{12}) X}{R^2 + X^2},$$

$$\underline{Z}_2 = \frac{\underline{Z}_{23} \underline{Z}_{12}}{\underline{Z}_{12} + \underline{Z}_{23} + \underline{Z}_{31}} = \frac{(R_{12} R_{23} - X_{12} X_{23}) R + (X_{12} R_{23} + R_{12} X_{23}) X}{R^2 + X^2} + j \frac{(X_{12} R_{23} + R_{12} X_{23}) R - (R_{12} R_{23} - X_{12} X_{23}) X}{R^2 + X^2},$$

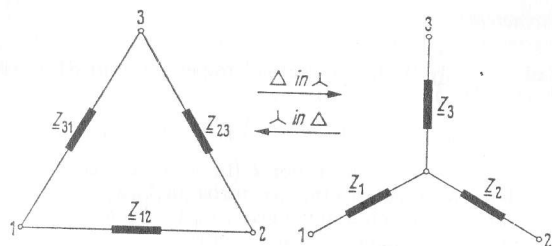


Fig. 4.36. Transfigurarea impedanțelor conectate în triunghi în impedanțe conectate în stea și invers.

$$+ j \frac{(X_{12} R_{23} + R_{12} X_{23}) R - (R_{12} R_{23} - X_{12} X_{23}) X}{R^2 + X^2};$$

$$Z_3 = \frac{Z_{31} Z_{23}}{Z_{12} + Z_{23} + Z_{31}} = \frac{(R_{23} R_{31} - X_{23} X_{31}) R + (X_{23} R_{31} + R_{23} X_{31}) X}{R^2 + X^2} +$$

$$+ j \frac{(X_{23} R_{31} + R_{23} X_{31}) R - (R_{23} R_{31} - X_{23} X_{31}) X}{R^2 + X^2}$$

unde  $R = R_{12} + R_{23} + R_{31}$  și  $X = X_{12} + X_{23} + X_{31}$ .

Transfigurarea a trei impedanțe legate în stea (fig. 4.36).

$$Z_1 = R_1 + j X_1; Z_2 = R_2 + j X_2; Z_3 = R_3 + j X_3$$

într-o configurație în triunghi care se compune din

$$Z_{12} = R_{12} + j X_{12}; Z_{23} = R_{23} + j X_{23}; Z_{31} = R_{31} + j X_{31}$$

are drept rezultat:

$$Z_{12} = \frac{Z_1 Z_2 + Z_2 Z_3 + Z_3 Z_1}{Z_3} =$$

$$= R_1 + R_2 + \frac{R_3 (R_1 R_2 - X_1 X_2) + X_3 (R_1 X_2 + R_2 X_1)}{R_3^2 + X_3^2} +$$

$$+ j \left[ X_1 + X_2 + \frac{R_3 (R_1 X_2 + R_2 X_1) - X_3 (R_1 R_2 - X_1 X_2)}{R_3^2 + X_3^2} \right]$$

$$Z_{23} = \frac{Z_1 Z_2 + Z_2 Z_3 + Z_3 Z_1}{Z_1} = R_2 + R_3 + \frac{R_1 (R_2 R_3 - X_2 X_3) + X_1 (R_2 X_3 + R_3 X_2)}{R_1^2 + X_1^2} +$$

$$+ j \left[ X_2 + X_3 + \frac{R_1 (R_2 X_3 + R_3 X_2) - X_1 (R_2 R_3 - X_2 X_3)}{R_1^2 + X_1^2} \right]$$

$$Z_{31} = \frac{Z_1 Z_2 + Z_2 Z_3 + Z_3 Z_1}{Z_2} = R_3 + R_1 + \frac{R_2 (R_3 R_1 - X_3 X_1) + X_2 (R_3 X_1 + R_1 X_3)}{R_2^2 + X_2^2} +$$

$$+ j \left[ X_3 + X_1 + \frac{R_2 (R_3 X_1 + R_1 X_3) - X_2 (R_3 R_1 - X_3 X_1)}{R_2^2 + X_2^2} \right].$$

## PARTEA DOUA

# INSTALAȚII ȘI ECHIPAMENTE PENTRU PRODUCEREA, TRANSPORTUL ȘI DISTRIBUȚIA ENERGIEI ELECTRICE

## 5. CENTRALE ELECTRICE

### 5.1. CONSUMURI SPECIFICE DE ABUR ȘI DE CĂLDURĂ

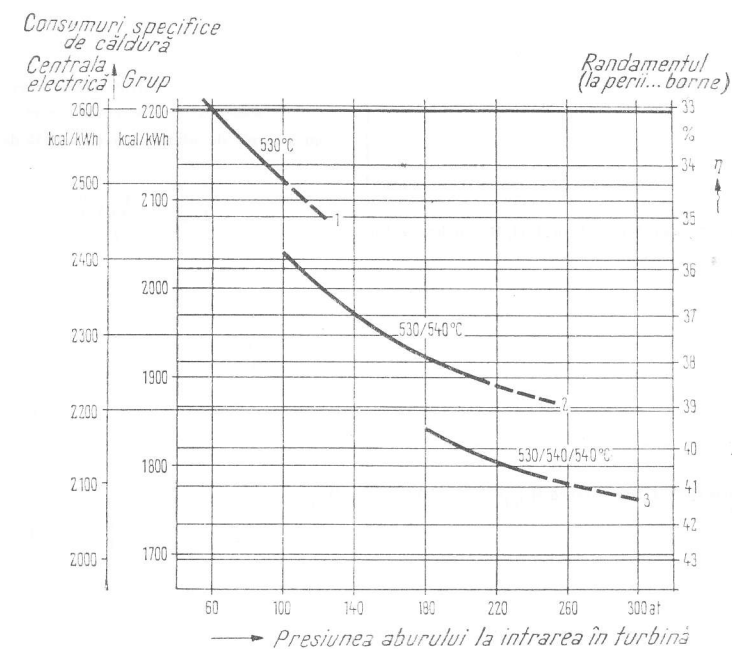
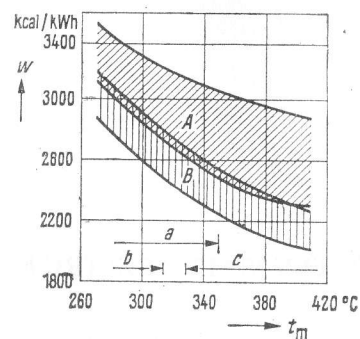


Fig. 5.1. Consumul specific de căldură la bornele generatorului și transformatorului în funcție de parametrii aburului viu și de supraîncălzirea intermediară (temperatura apei de răcire 10°C)  
— fără supraîncălzire intermediară; 2 — cu o singură supraîncălzire intermediară; 3 — cu dublă supraîncălzire intermediară.

Fig. 5.2. Consumul specific de căldură în funcție de temperatura medie  $t_m$  a agentului de răcire al reactorului. Presiunea în condensator 0,05 ata:

A — consumul specific de căldură total al centralei; B — consumul specific de căldură al grupului turbogenerator; a — ciclu cu două presiuni; b — ciclu cu abur saturat; c — ciclu cu o singură presiune cu și fără supraîncălzire intermediară.



Tabelul 5.1. Consumuri

	Centrale electrice convenționale
	cu pompă de alimentare antrenată de motor
Consum specific de căldură al turbinei, $W_T$ în kcal/kWh	$W_T = \frac{Q_{zuTu}}{P_T}$
	<p>pentru mașini fără supraîncălzire intermediară cu gaze de ardere</p> $Q_{zuTu} = G_{ab} (i_{ab} - i_{al})$ <p>pentru mașini cu supraîncălzire în armături cu gaze de ardere</p> $Q_{zuTu} = G_{ab} (i_{ab} - i_{al}) + G_{si} (i_{ic2} - i_{ec1})$
Consum specific total de căldură $W_{tot}$ în kcal/kWh	$W_{tot} = \frac{Q_{zuTu}}{P_T \eta_{DE} \eta_{tr} \eta_V \left(1 - \frac{EB}{100}\right)}$
Consumul serviciilor interne EB, în %	$EB_{SpPp} + EB_{KpP} + EB_{gl}$

Puterea pompei de alimentare:  $EB_{SpPp}^1$  iar pentru pompele principale de răcire sau ventilatoarelor

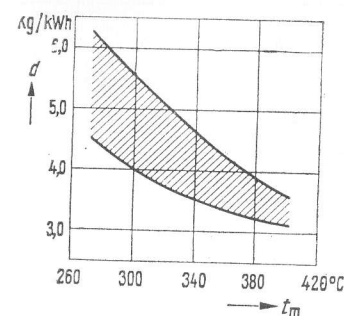


Fig. 5.3. Consumul specific de abur  $d$  al grupului turbogenerator în funcție de temperatura medie  $t_m$  a agentului de răcire al reactorului. Presiunea în condensator 0,05 ata.

specifice de căldură

cu turbopompă de alimentare	Centrale electrice nucleare
$W_T = \frac{Q_{zuTu}}{P_T + P_{SpT}}$	$W_T = \frac{Q_{DE} \eta_V}{P_T + P_{TP}}$
	cînd
	$Q_{DE} = Q_R + Q_P - Q_{RV}$
$W_{tot} = \frac{Q_{zuTu}}{P_T \eta_{DE} \eta_{tr} \eta_V \left(1 - \frac{EB_{gl}}{100}\right)}$	$W_{tot} = \frac{Q_{DE}}{\eta_R \eta_{tr} (P_T - P_{Eel})}$
	cînd $\eta_R = \frac{Q_{DE}}{Q_R} = 1 + \frac{Q_P}{Q_R} - \frac{Q_{RV}}{Q_R}$

$EB_{KpP}$  (în % din puterea instalată la bornele generatorului grupului).

Presiunea la intrarea în turbină, în at și tipul reactorului	165	180	200
$EB_{SPPP}$ , în %	2,6	2,9	3,2
$EB_{KPP}$ , în %	—	—	—

Consumul serviciilor interne generale  $EB_{gl}^1)$  (inclusiv randamentul transformatorului pentru servicii

Energia primară sau tipul de reactor	Lignit	Cărbune
$EB_{gl}$ , în %	4,1	3,0

Randamentul generatorului de abur:  $\eta_{DE}$  și randamentul transmisiei  $\eta_R$

Combustibilul sau tipul de reactor	Lignit	Cărbune uscat
$\eta_{DE}$	0,89	0,92
$\eta_R$	—	—

- $EB$  — alimentarea serviciilor interne;  
 $EB_{gl}$  — alimentarea serviciilor interne generale;  
 $EB_{KPP}$  — puterea pompelor principale de răcire sau ventilatoarelor;  
 $EB_{SPPP}$  — puterea pompelor de alimentare  
 $G_{ab}$  — debitul aburului viu, în kg/h;  
 $G_{si}$  — debitul aburului prin supraîncălzitorul intermediar, în kg/h;  
 $P_T$  — puterea la borne, în kW;  
 $P_{SPPT}$  — puterea turbopompei de alimentare, în kW;  
 $P_{Eel}$  — puterea serviciilor interne ale centralei, în kW;  
 $P_{TP}$  — puterea la arbore a turbinelor primare pentru pompe sau ventilatoare, în kW;  
 $Q_{zuTu}$  — căldura furnizată ciclului apă-abur, raportat la turbină, în kcal/h;  
 $Q_{DE}$  — căldura transmisă generatorului de abur, în kcal/h;

<sup>1)</sup> Valori aproximative pentru  $P_{GRUP} > 100$  MW, pentru turbogrupuri cu condensare și o singură supraîncălzire intermediară cu gaze de ardere.

<sup>2)</sup> Construcție integrată.

Tabelul 5.1 (continuare)

225	250	H <sub>2</sub> O sub presiune	D <sub>2</sub> O sub presiune 2)	Răcit cu CO <sub>2</sub>
3,5	3,9	1,35 — 1,45	aproximativ 1,5	aproximativ 2,7
—	—	1,8 — 2,5	aproximativ 1,1	7 — 12

interne)

Păcură	H <sub>2</sub> O sub presiune	D <sub>2</sub> O sub presiune 2)	Răcire cu CO <sub>2</sub>
2,4	1,2 — 2,2	aproximativ 2,6	3,0 — 3,5

Cărbune de calitate	Păcură	Vas de presiune	Conductă de presiune
0,93	0,93	—	—
—	—	1,005 — 1,01	aproximativ 0,95

- $Q_R$  — căldura totală produsă în reactor, în kcal/h;  
 $Q_P$  — căldura transmisă prin pompele principale de răcire sau ventilatoare;  
 $Q_{RV}$  — pierderile de căldură ale reactorului, în kcal/h (v. tabelul 5.31, pag. 315);  
 $i_{ab}$  — entalpia aburului viu, în kcal/kg;  
 $i_{al}$  — entalpia apei de alimentare după preîncălzitorul final de înaltă presiune, în kcal/kg;  
 $i_{ic2}$  — entalpia la intrarea în al doilea corp, în kcal/kg;  
 $i_{ec1}$  — entalpia la ieșirea din primul corp, în kcal/kg;  
 $\eta_{DE}$  — randamentul generatorului de abur;  
 $\eta_V$  — randamentul conductei — pierderi prin radiație (0,99);  
 $\eta_{tr}$  — randamentul transformatorului (0,99);  
 $\eta_R$  — factor de transmisie a căldurii reactorului.

Metodă aproximativă pentru determinarea consumurilor specifice de abur și de căldură prin utilizarea gradientului de temperatură „de calcul”  $H'_0$  (neaplicabil în cazul separării mecanice a umidității și supraîncălzirii intermediare a aburului).

Consumul specific de abur  $d$  pentru un grup turbogenerator fără supraîncălzire intermediară cu gaze de ardere și cu preîncălzire regenerativă este:

$$d = \frac{w_T}{i_{ab} - i_{al}} \text{ [kg/kWh]}.$$

Influența preîncălzirii regenerative a apei de alimentare este inclusă în  $w_T$ ; pentru eliminarea acesteia se introduce un consum specific de abur „fictiv”:

$$d' = \frac{w_T}{i_{ab} - i_c} \text{ [kg/kWh]},$$

în care:

$w_T$  este consumul specific de căldură al grupului turbogenerator, în kcal/kWh;

$i_{ab}$  — entalpia aburului viu, în kcal/kg;

$i_{al}$  — entalpia apei de alimentare la intrarea în cazan, în kcal/kg;

$i_c$  — entalpia condensatului la ieșirea din condensator, în kcal/kg.

Gradientul de temperatură „de calcul”  $H'_0$  este:

$$H'_0 = \frac{860}{d' \eta_T \eta_{gen}} \text{ [kcal/kg]},$$

în care:

$\eta_T$  este randamentul intern al turbinei;

$\eta_{gen}$  — randamentul generatorului.

Pentru instalațiile cu o supraîncălzire intermediară cu gaze de ardere:

$$d' = \frac{w_T}{i_{ab} - i_c + \Delta i_{st}}, \quad H'_0 = \frac{860}{d' \eta_{Tmed} \eta_{gen}},$$

în care:  $\Delta i_{st}$  este căldura adăugată în supraîncălzitorul intermediar, în kcal/kg;

$\eta_{Tmed}$  — randamentul efectiv mediu al turbinei pentru partea de înaltă presiune, medie presiune și joasă presiune (raportat la căderea totală de entalpie).

Pentru o instalație cu dublă supraîncălzire intermediară cu gaze de ardere:

$$\Delta i_{st} = \Delta i_{st1} + \Delta i_{st2}.$$

Calculule aproximative pentru determinarea consumului specific de abur pentru o centrală cu și fără supraîncălzire intermediară cu gaze de ardere (neaplicabile în cazul separării mecanice a umidității și al supraîncălzirii intermediare a aburului).

În formulele de mai jos, valabile pentru o centrală cu supraîncălzire intermediară a aburului, cu gaze de ardere, se consideră că prima priză se găsește după partea de înaltă presiune.

Puterea totală de borne este:

$$P_T = P_{ip} + P_c + P_{pn}.$$

Pentru o centrală cu supraîncălzire intermediară a aburului cu gaze de ardere, echipată cu un grup cu două axe:

$$P_T = \frac{G_{ab} H_{oip} \eta_{Tip} \eta_{genip} + (G_c H_{omp} + \sum G_{pn} H_{opn}) \eta_{Tmp} \eta_{genmp}}{860},$$

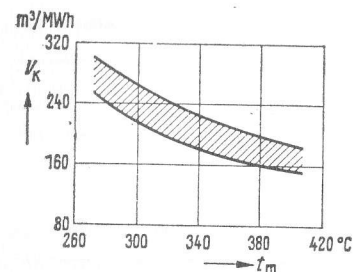


Fig. 5.4. Consumul specific de apă de răcire  $V_k$  raportat a puterea la bornele generatorului în funcție de temperatura medie  $t_m$  a agentului de răcire al reactorului. Preziunea în condensator 0,05 ata, temperatura mediului de răcire 21°C.

din care se obține debitul de abur condensat:

$$G_c = \frac{PT860(1-f_2)}{(f_1 H_{oip} \eta_{Tip} \eta_{genip}) + (H_{omp} \eta_{Tmp} \eta_{genmp})},$$

în care:  $f_1 = G_{ab}/G_c$  și  $f_2 = P_{pn}/P_T$ .

Consumul specific de abur condensat:

$$d_c = \frac{G_c}{P_T} = \frac{860(1-f_2)}{(f_1 H_{oip} \eta_{Tip} \eta_{genip}) + (H_{omp} \eta_{Tmp} \eta_{genmp})}.$$

Consumul specific de abur viu pentru un grup cu două axe, cu supraîncălzire intermediară cu gaze de ardere:

$$d_{ab} = d_c f_1 = \frac{860(1-f_2)f_1}{(f_1 H_{oip} \eta_{Tip} \eta_{genip}) + (H_{omp} \eta_{Tmp} \eta_{genmp})}.$$

Consumul specific de abur viu, pentru un grup cu un ax, cu supraîncălzire intermediară cu gaze de ardere (un singur generator)

$$d_{ab} = \frac{860(1-f_2)f_1}{\eta_{gen}(f_1 H_{oip} \eta_{Tip} + H_{omp} \eta_{Tmp})}.$$

Consumul specific de abur viu pentru centrale fără supraîncălzire intermediară cu gaze de ardere, pentru grupuri cu un ax:

$$d_{ab} = \frac{860(1-f_2)f_1}{H_{oip} \eta_{Tip} \eta_{gen}},$$

în care:  $d_{ab}$  este consumul specific de abur viu al turbogeneratorului, în kg/kWh;

$d_c$  — consumul specific de abur condensat al turbogeneratorului, în kg/kWh;

$G_{pn}$  — debitul de abur al prizei, în kg/h;

$G_c$  — debitul de abur condensat, în kg/h;

$G_{ab}$  — debitul de abur viu, în kg/h;

$H_{opn}$  — căderea adiabatică de entalpie în prizele nereglabile, în kcal/kg;

$H_{oip}$  — căderea adiabatică de entalpie în partea de înaltă presiune, înainte de supraîncălzirea intermediară, în kcal/kg;

$H_{omp}$  — căderea adiabatică de entalpie, în părțile de medie presiune și de joasă presiune, după supraîncălzirea intermediară sau căderea totală în părțile de înaltă presiune, medie presiune și joasă presiune pentru instalațiile fără supraîncălzire intermediară, în kcal/kg;

$P_{pn}$  — puterea în prizele de abur nereglabile după supraîncălzirea intermediară, în kW;

$P_{ip}$  — puterea părții de înaltă presiune, în kW;

$P_T$  — puterea la bornele generatorului electric, în kW;

$P_c$  — puterea produsă de debitul de abur condensat, după supraîncălzirea intermediară, în kW;

$\eta_{Tip}$  — randamentul intern efectiv al părții de înaltă presiune a turbinei înainte de supraîncălzirea intermediară;

$\eta_{Tmp}$  — randamentul intern efectiv al părților de înaltă presiune și joasă presiune, după supraîncălzirea intermediară, sau al părților de înaltă, medie, și joasă presiune pentru cazul fără supraîncălzire intermediară;

$\eta_{gen}$  — randamentul generatorului (indicii  $ip$  și  $mp$  pentru părțile de înaltă, respectiv medie și joasă presiune).



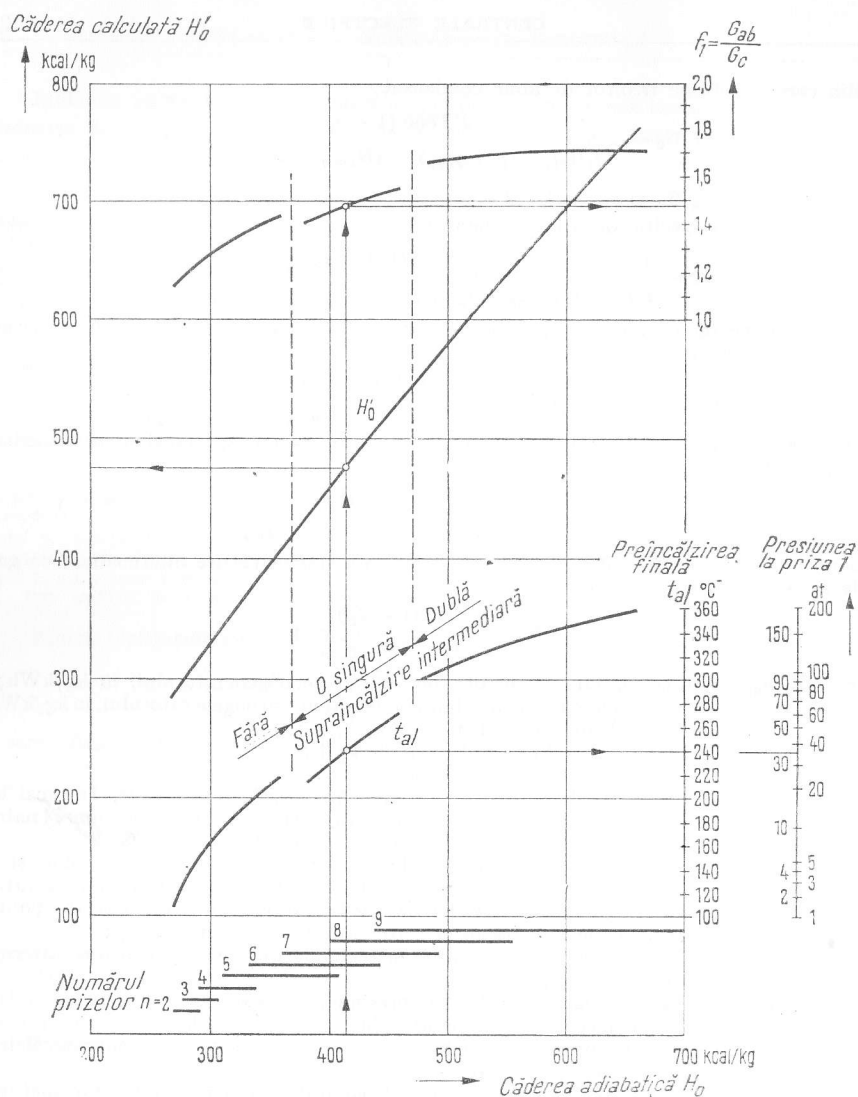


Fig. 5.5. Relația dintre căderea adiabatică  $H_0$  și căderea calculată  $H'_0$ :

Parametrii aburului viu	at	38	55	100	140	180	150	300
	°C	420	450	525	525	560	560	560
Prima treaptă de supraîncălzire	°C	—	—	—	525	560	560	560
A doua treaptă de supraîncălzire	°C	—	—	—	—	—	—	560

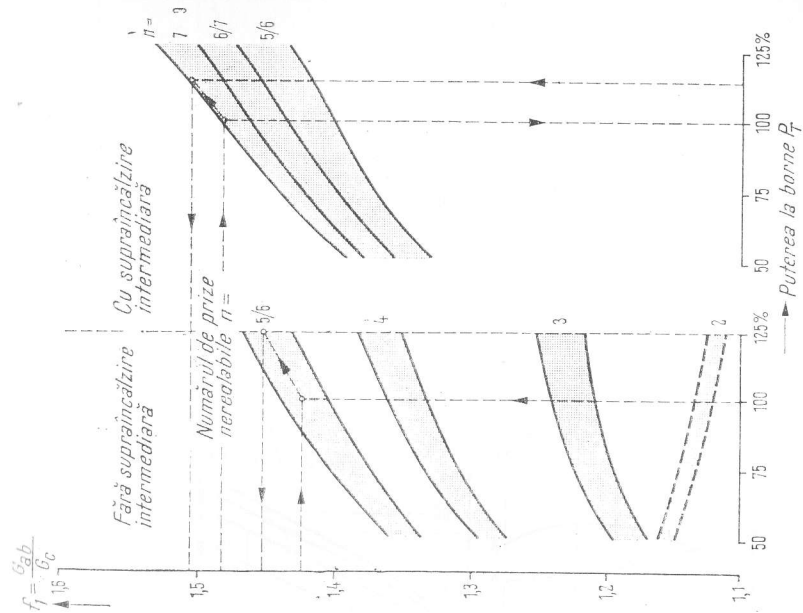


Fig. 5.7. Relația dintre debitul de abur viu și debitul de condensat  $f_1$  în funcție de sarcină pentru centrala cu și fără supraîncălzire intermediară și pentru parametri constanți ai aburului viu:

— entalpia finală a apei de alimentare.  
— variabilă  
--- constantă

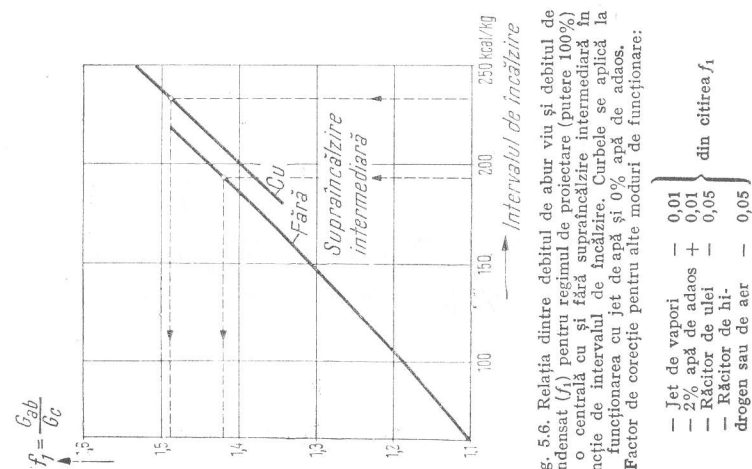


Fig. 5.6. Relația dintre debitul de abur viu și debitul de condensat ( $f_1$ ) pentru regimul de proiectare (putere 100%) la o centrală cu și fără supraîncălzire intermediară în funcție de intervalul de încălzire. Curbele se aplică la funcționarea cu jet de apă și 0% apă de adaos.

Factor de corecție pentru alte moduri de funcționare:

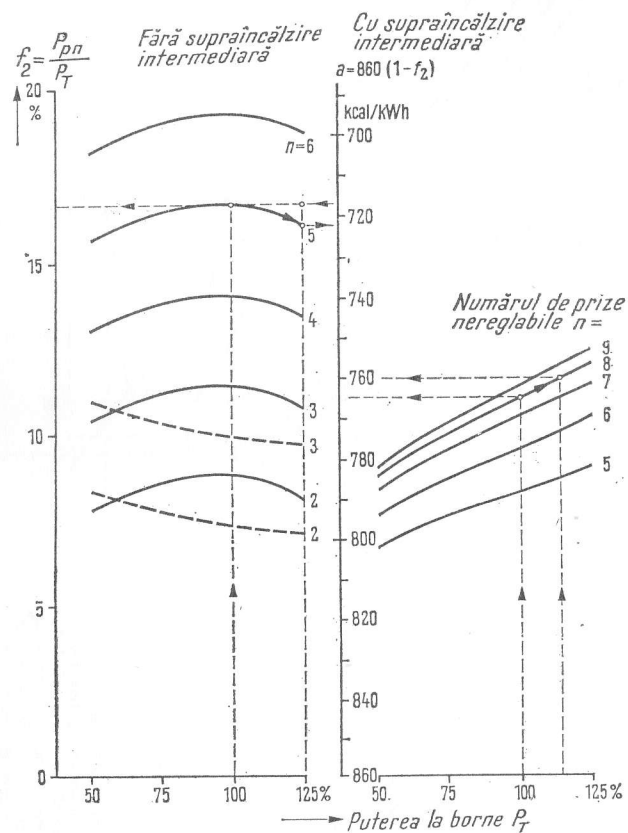


Fig. 5.8. Puterea prizelor nereglabile raportată la puterea totală,  $f_2$ , în funcție de sarcină pentru centrala cu și fără supraîncălzire intermediară și pentru parametri constanți ai aburului viu.

— variabilă } entalpia finală a apei de alimentare  
 ---- constantă }

#### Servicii interne

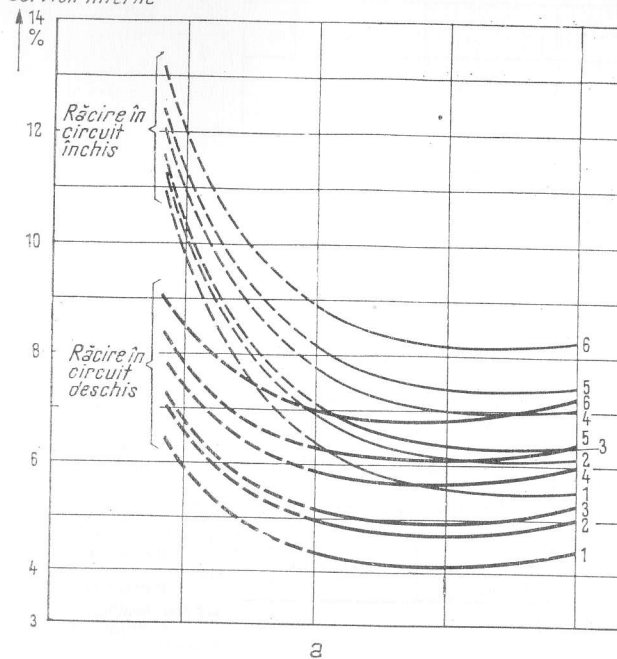


Fig. 5.9. Puterea serviciilor interne la centralele termoelectrice cu abur raportată la puterea la bornele generatorului  $P_T$  la funcționarea la presiune constantă:

a) Combustibil: păcură sau gaz;

Focar: arzător frontal, lateral sau de tavan;

Putere calorică:  $H_i = 9600$  kcal/kg.

b) Combustibil: lignit;

Focar: arzător frontal, lateral sau de tavane;

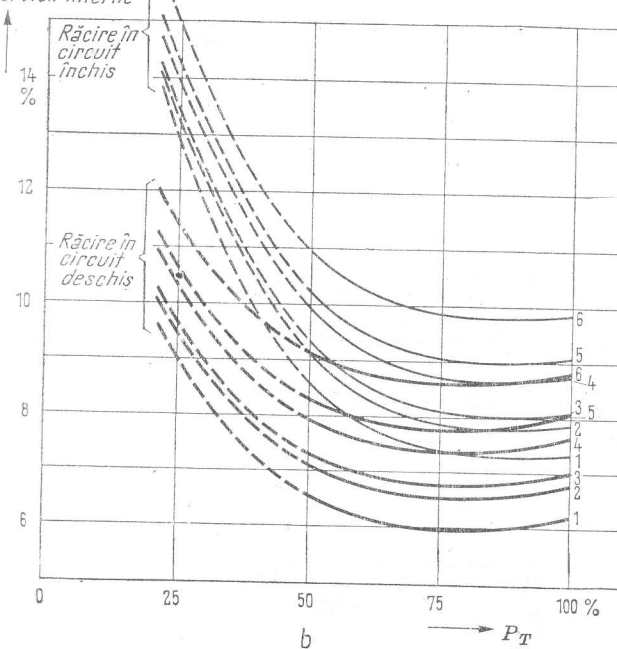
Evacuarea cenușii: uscată;

Puterea calorică:  $H_i = 2000$  kcal/kg;

Conținut de cenușă  $A = 4\%$ ;

Conținut de materii volatile:  $V = 50\%$  (cărbune curat).

#### Servicii interne



# Servicii interne

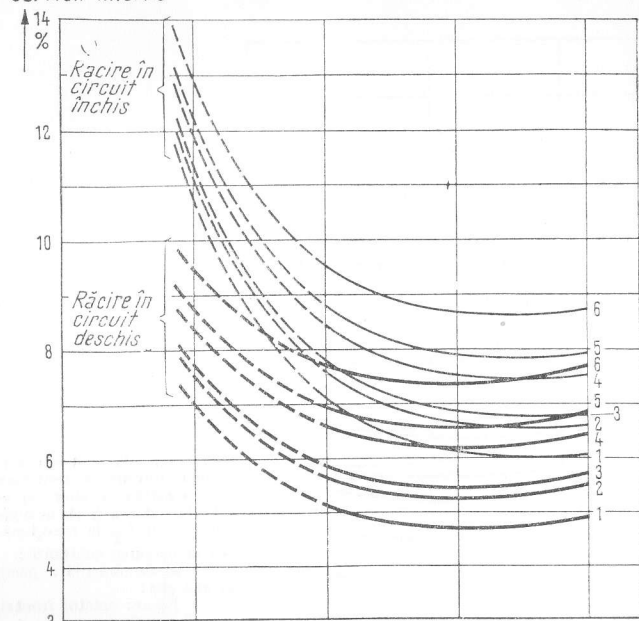


Fig. 5.10. Puterea serviciilor interne la centralele termoelectrice cu abur, raportată la puterea la bornele generatorului  $P_T$ , la funcționarea la presiune constantă:  
a) Combustibil: cărbune;

Focar: arzător, frontal, lateral sau de tavan;  
Evacuarea cenușii: lichidă;

Puterea calorică:  $H_i = 7500$  kcal/kg;

Conținut de cenușă:  $A = 6\%$ ;

Conținut de materii volatile:  $V = 25\%$  (cărbune curat);

b) Combustibil: cărbune;

Focar: ciclon — orizontal;

Evacuarea cenușii: lichidă;

Puterea calorică:  $H_i = 7500$  kcal/kg;

Conținut de cenușă:  $A = 6\%$ ;

Conținut de materii volatile:  $V = 25\%$  (cărbune curat).

# Servicii interne

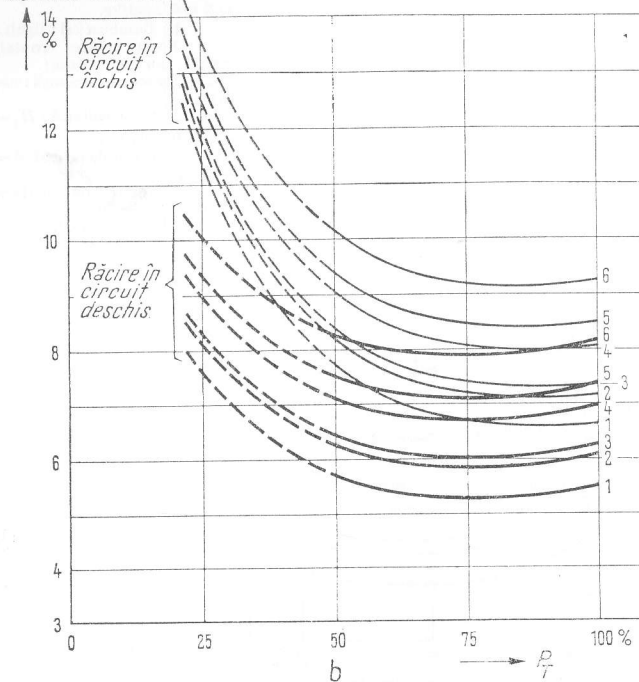


Fig. 5.11. Puterea serviciilor interne la centralele termoelectrice cu abur raportată la puterea la bornele generatorului  $P_T$ , la funcționarea la presiune variabilă:  
a) Combustibil: păcură sau gaz;

Focar: arzător frontal, lateral sau de tavan;

Puterea calorică:  $H_i = 9600$  kcal/kg.

b) Combustibil: lignit;

Focar: arzător frontal, lateral sau de tavan;

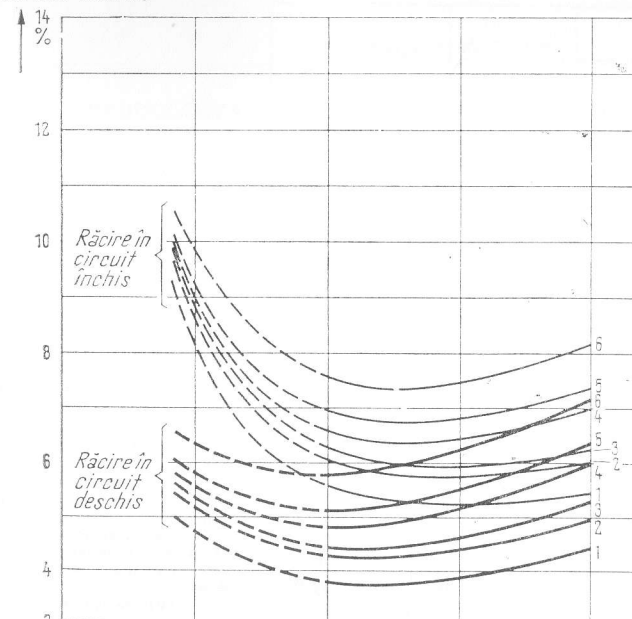
Evacuarea cenușii: uscată;

Puterea calorică:  $H_i = 2000$  kcal/kg;

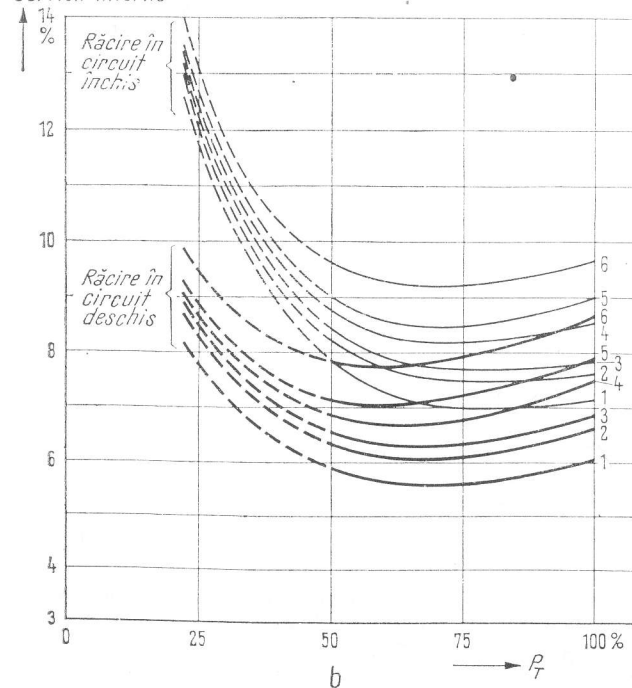
Conținut de cenușă  $A = 4\%$ ;

Conținut de materii volatile:  $V = 50\%$  (cărbune curat).

# Servicii interne



# Servicii interne



# Servicii interne

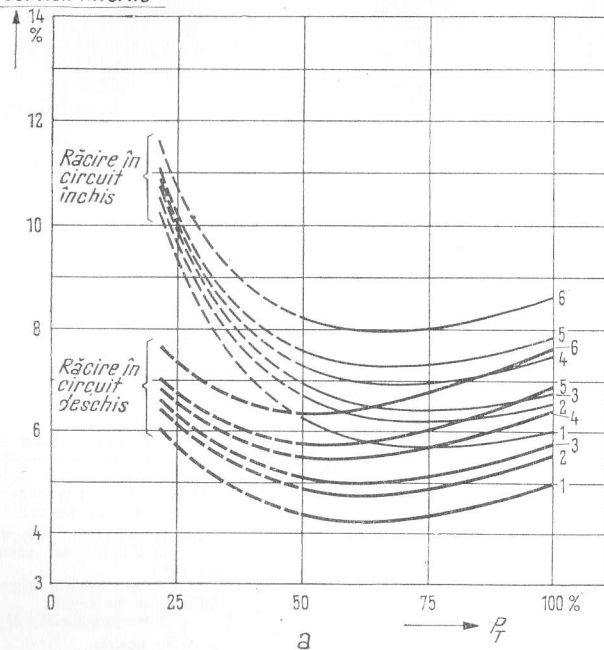


Fig. 5.12 Puterea serviciilor interne la centrale cu abur raportată la puterea la bornele generatorului  $P_T$  la funcționarea la presiune variabilă:

a) Combustibil: cărbune; Focar: arzător frontal, lateral sau de tavan; Evacuarea cenușii: lichidă;

Puterea calorică:  $H_t = 7500$  kcal/kg; Conținut de cenușă:  $A = 6\%$ ;

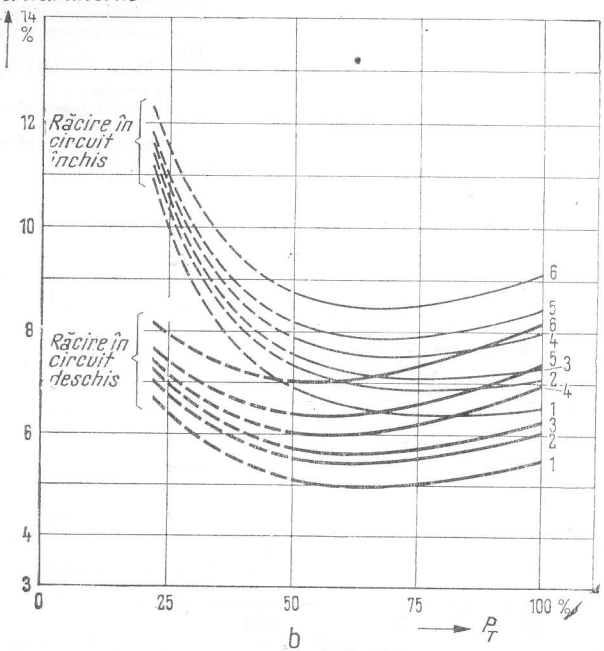
Conținut de materii volatile:  $V = 25\%$  (cărbune curat);

b) Combustibil: cărbune; Focar: ciclon — orizontal; Evacuarea cenușii: lichidă;

Puterea calorică:  $H_t = 7500$  kcal/kg; Conținut de cenușă:  $A = 6\%$ ;

Conținut de materii volatile:  $V = 25\%$  (cărbune curat).

# Servicii interne



## 5.2. PRODUCEREA ABURULUI CU COMBUSTIBILI CLASICI

Tabelul 5.2. Puterile calorice ale combustibililor lichizi

Tipul	Densitatea g/ml	Compoziția %					Puterea calorică kcal/kg	
		C	H	O	N	S	superioară	inferioară
							$H_s$	$H_f$
Păcuri								
Extra ușoară (EU)	0,840	85,9	13,0	0,4	0,4	0,7	10 880	10 200
Ușoară (U)	0,880	85,5	12,5	0,8	0,8	1,2	10 700	10 050
Medie (M)	0,920	85,3	11,6	0,6	0,6	2,5	10 350	9 725
Grea (G)	0,970	84,0	11,0	1,11	0,39	3,5	10 200	9 600
Extra grea (EG)	—	—	—	—	—	—	—	9 200
Gudroane	1,02—1,10	89,8	6,5	1,7	1,2	0,8	9 300	9 000

Tabelul 5.3. Caracteristicile unor combustibili gazoși

Tipul	Densi- tatea <sup>1)</sup> kg/m <sup>3</sup>	Compoziția, în % din volum										Puterea calorifică kcal/kg	
												superi- oară	inferi- oară
		CO	H <sub>2</sub>	CH <sub>4</sub>	C <sub>2</sub> H <sub>6</sub>	C <sub>3</sub> H <sub>8</sub>	C <sub>2</sub> H <sub>4</sub>	H <sub>2</sub> S	CO <sub>2</sub>	N <sub>2</sub>	H <sub>s</sub>	H <sub>i</sub>	
<b>Gaz natural</b>													
SUA (California) ...	0,850	—	—	86,8	7,2	4,3	—	—	0,5	—	10 900	9860	
SUA (Texas, epurate)	0,775	—	—	89,8	2,3	—	—	—	0,2	7,7	8930	8030	
Germania (Bentheim)	0,754	—	—	93,2	0,6	—	—	—	—	6,2	8960	8060	
Austria .....	0,751	—	0,7	94,7	1,8	0,2	—	—	1,4	1,2	9380	8440	
Italia (Cortemaggiore)	0,766	—	—	91,8	5,1	—	—	—	—	3,1	9590	8630	
Franța (Lacq, brut)	1,034	—	—	69,52	3,20	1,42	—	15,30	9,60	—	8740	7900	
Franța, (Lacq, pur) ..	0,746	—	—	95,9	3,2	0,5	—	—	—	0,4	9780	8800	
Sahara (Hassi R'Mel)	0,928	—	—	81,3	6,8	2,3	—	—	0,5	4,8	11 040	9990	
URSS (Saratov) ....	0,772	—	—	93,1	2,5	1,5	—	—	0,6	2,3	9640	8680	
<b>Gaz de iluminat (amestecat)</b>													
	0,591	21,5	51,5	17,0	—	—	2,0	—	4,0	4,0	4140	3710	
<b>Gaz de apă .....</b>													
	0,705	40,0	50,0	0,3	—	—	—	—	5,0	4,7	2760	2520	
<b>Gaz de jurnal .....</b>													
	1,287	31,0	2,3	0,3	—	—	—	—	9,0	57,4	1035	1020	

1) Volumul, în m³, la  $t = 0^\circ\text{C}$  și  $p = 760$  mm Hg.

Tabelul 5.4. Puterile calorice

Combustibili solizi	Raportat la material fără apă și cenușă					
	Compozenți volatili	C	H	O	N	S
	%	%	%	%	%	%
<i>Lignit</i>						
Halle-Bitterfeld ....	57,5	71,9	5,6	18,3	0,8	3,4
Schwandorf .....	55,25	63,63	5,10	26,08	1,27	3,92
Rhineland .....	55	68,3	5,0	27,5	0,5	0,5
Yallourn .....	51,4	67,58	4,76	26,86	0,54	0,26
Fohndorf .....	47,2	72,5	5,4	17,5	17,5	4,6
Moscova .....	46	67,5	5,2	19,5	1,3	6,5
<i>Cărbune bituminos</i>						
Bavaria .....	52	73,9	5,5	15,0	1,4	4,2
<i>Cărbune cu ardere în aer liber</i>						
Illinois, Madison....	46,7	77,0	5,4	10,6	1,3	5,7
Scotia .....	41,5	81,4	5,4	10,3	2,1	0,8
West Midlands ....	39,6	80,5	5,5	11,9	1,4	0,7
Cărbune de Ruhr (nuci) .....	36,8	82,84	5,15	9,34	1,78	0,89
Cărbune mărunț de Saar .....	36,6	85,00	5,42	7,24	1,22	1,21
<i>Cărbune de gaz</i>						
Yorkshire .....	34,4	82,3	5,2	8,0	1,7	0,8
Cărbune mărunț de Ruhr .....	33,7	85,91	5,51	6,20	1,63	0,75
Pennsylvania, Fayette .....	33,4	85,55	5,23	6,24	1,52	1,46
Virginia, Dickenson .....	31,2	87,38	5,30	4,58	1,70	0,44
Durham .....	29,4	87,8	5,3	4,6	1,4	0,9
<i>Cărbune gras</i>						
Cărbune de Ruhr (nuci) .....	27	86,88	4,80	5,82	1,58	0,92
Cărbune mărunț de Rhur .....	24,4	88,70	4,90	4,14	1,60	0,66
<i>Cărbune de forjă</i>						
Cărbune de Rhur (nuci) .....	15,4	90,20	4,33	3,22	1,58	0,67
<i>Cărbune greu</i>						
Cărbune de Rhur (nuci) .....	12,4	90,70	3,98	2,52	1,50	1,30
Cărbune mărunț de Ruhr .....	10,5	90,85	3,84	2,73	1,74	0,84
<i>Antracit</i>						
Cărbune de Rhur (nuci) .....	7,7	91,80	3,56	2,55	1,38	0,71
Pennsylvania (Schuykill) .....	2,45	93,67	2,34	2,30	0,80	0,89

ale unor combustibili solizi

Puterea calorică, în kcal/kg		Conținutul de apă în cărbunele brut	Conținut de apă	Conținut de cenușă în cărbunele brut	Conținut de cenușă	Puterea calorică, în kcal/kg (în cărbunele brut)	
superioară	inferioară	Valori medii		Valori medii		superioară	inferioară
$H_s$	$H_i$	%	kg/kg	%	kg/kg	$H_s$	$H_i$
7125	6830	15,1	0,2057	11,5	0,1567	5230	4925
6049	5780	53,1	1,5436	12,5	0,3634	2081	1678
6300	6037	61,0	1,6086	2,7	0,0724	2350	1900
6152	5900	65,5	2,0336	0,8	0,0245	2012	1540
7270	6986	9,0	0,1268	20,0	0,2817	5162	4623
6750	6476	33,0	0,7143	20,8	0,4502	3119	2799
7365	7075	10,0	0,1299	13,0	0,1688	5671	5389
7850	7566	12,5	0,1673	12,8	0,1714	5864	5379
8111	7327	13,8	0,1691	4,6	0,0564	6619	6306
7883	7593	8,6	0,0994	4,9	0,0566	6819	6518
8203	7932	4,5	0,0503	6,0	0,0670	7342	7073
8412	8127	9,0	0,1084	8,0	0,0964	6982	6693
8600	8326	2,0	0,0219	6,8	0,0746	7843	7581
8417	8127	9,0	0,1084	8,0	0,0964	6986	6694
8579	8304	3,9	0,0450	9,5	0,1097	7429	7168
8608	8329	3,2	0,0351	5,6	0,0614	7850	7577
8700	8421	2,6	0,0287	6,9	0,0762	7874	7606
8548	8295	4,5	0,0503	6,0	0,0670	7650	7398
8636	8378	9,0	0,1084	8,0	0,0964	7168	6901
8645	8417	4,8	0,0539	6,2	0,0697	7694	7463
8644	8434	4,5	0,0503	6,0	0,0670	7736	7522
8614	8412	9,0	0,1084	8,0	0,0964	7150	6929
8576	8389	4,5	0,0503	6,0	0,0670	7676	7482
8314	8191	2,8	0,0324	10,8	0,1250	7183	7061

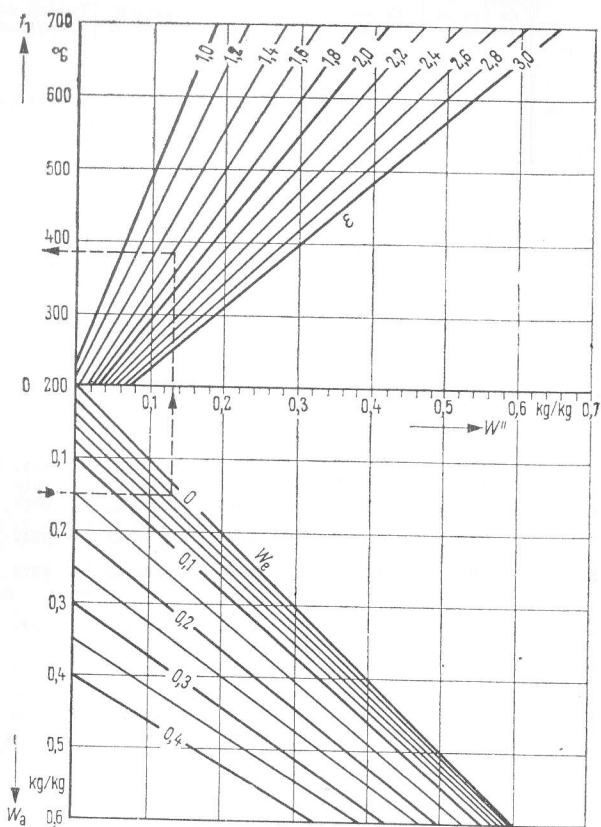


Fig. 5.13. Cărbune uscat cu aer uscat. Temperatura vaporilor  $t_2 = 100^\circ\text{C}$ ; la altă temperatură  $t$ , temperatura inițială a aerului este

$t'_1 = t_1 + (t_2 - 100) (1 + 1,3/\varepsilon) \dots^\circ\text{C}$ ;  
 $W_a$  — conținutul inițial de apă al cărbunelui brut, în kg/kg;  
 $W_e$  — conținutul final de apă raportat la cărbunele uscat, în kg/kg;  
 $W_g$  — conținutul de apă extrasă raportat la cărbunele brut, în kg/kg;  
 $\varepsilon$  — proporția de gaze-cărbune, în kg/kg cărbune brut;  
 $t_1$  — temperatura necesară pentru aerul morii, în  $^\circ\text{C}$ .  
 Exemplu:  $W_a = 0,15 \text{ kg/kg}$ ;  
 $W_e = 0,2 \text{ kg/kg}$ ;  
 $W_g = 0,133 \text{ kg/kg}$ ;  
 $\varepsilon = 1,6 \text{ kg/kg} \rightarrow t_1 = 390^\circ\text{C}$ .

## Încărcarea și necesarul de putere al morilor

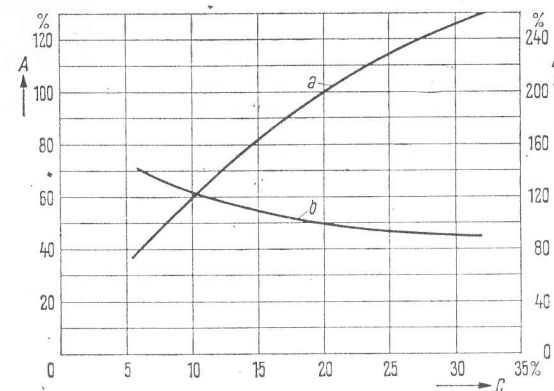


Fig. 5.14. Încărcarea și puterea specifică a morii în funcție de calitatea cărbunelui pentru mori cu turație joasă:  
 $A$  — încărcarea morii (debit maxim) pentru  $a$ ;  $a$  — încărcarea morii;  $B$  — puterea specifică pentru  $b$ ;  $b$  — puterea;  $C$  — finețea de măcinare. Restul pe sita 0,09 mm.

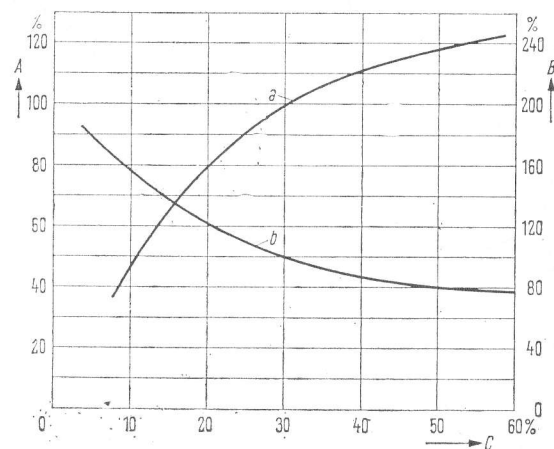


Fig. 5.15. Încărcarea și puterea specifică a morii în funcție de calitatea cărbunelui pentru mori cu turație ridicată:  
 $A$  — încărcarea morii (debit maxim) pentru  $a$ ;  $a$  — încărcarea morii;  $B$  — puterea specifică pentru  $b$ ;  $b$  — puterea;  $C$  — finețea măcinării. Restul pe sita 0,09 mm.



Determinarea volumelor de aer și de gaze de ardere<sup>1)</sup>

S-au folosit următoarele relații:

- $L_{min}$  — volumul minim de aer, în m<sup>3</sup>/kg sau m<sup>3</sup>/m<sup>3</sup>;  
 $V_{min}$  — volumul minim de gaze de ardere, în m<sup>3</sup>/kg sau m<sup>3</sup>/m<sup>3</sup>;  
 $V_L$  — volumul real de aer, în m<sup>3</sup>/kg sau m<sup>3</sup>/m<sup>3</sup>;  
 $V_g$  — volumul real de gaze de ardere, în m<sup>3</sup>/kg sau m<sup>3</sup>/m<sup>3</sup>;  
 $H_i$  — puterea calorică inferioară, pentru combustibili solizi și lichizi, în kcal/kg, iar pentru combustibili gazoși, în kcal/m<sup>3</sup>;  
 $n$  — excesul de aer.

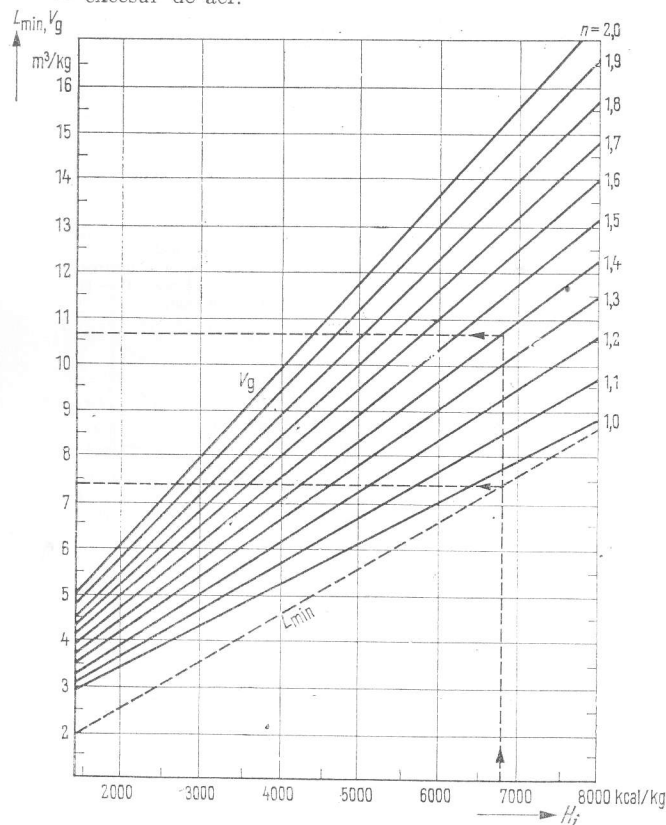


Fig. 5.16. Volumul de aer și de gaze de ardere pentru combustibilii solizi:

Exemplu:  $H_i = 6800$  kcal/kg:

$$\begin{aligned}
 n &= 1,4; \\
 L_{min} &= 7,4; \\
 V_L &= 1,4 \times 7,4 = 10,3; \\
 V_g &= 10,7.
 \end{aligned}$$

<sup>1)</sup> Volumul, în m<sup>3</sup>, la  $t = 0^\circ\text{C}$  și  $p = 760$  mm Hg.

Tabelul 5.5. Necesarul de aer și volumul de gaze de ardere pentru combustibilii solizi

Excesul de aer $n$	1,0	1,1	1,2	1,3	1,4	1,5	1,6	1,7	1,8	1,9	2,0
Cărbune ..... CO <sub>2</sub>	18,85	17,2	15,75	14,5	13,4	12,6	11,8	11,1	10,4	9,8	9,3
Lignit ..... CO <sub>2</sub>	19,25	17,5	16,0	14,8	13,8	12,8	12,0	11,3	10,7	10,2	9,6

Pentru combustibili solizi:

$$L_{min} = \frac{H_i + 550}{990} [\text{m}^3/\text{kg}];$$

$$V_{min} = \frac{0,898H_i + 1634}{990} [\text{m}^3/\text{kg}].$$

Pentru păcură:

$$L_{min} = \frac{H_i - 1115}{808} [\text{m}^3/\text{kg}];$$

$$V_{min} = \frac{1,25H_i - 3052}{808} [\text{m}^3/\text{kg}].$$

Pentru gaz de cocs:

$$L_{min} = 1,088 \frac{H_i}{1000} - 0,239 [\text{m}^3/\text{m}^3];$$

$$V_{min} = 0,486 + 1,085 \frac{H_i}{1000} [\text{m}^3/\text{m}^3].$$

Pentru gaz de furnal:

$$L_{min} = 0,866 \frac{H_i}{1000} - 0,614 [\text{m}^3/\text{m}^3];$$

$$V_{min} = 0,929 + 0,715 \frac{H_i}{1000} [\text{m}^3/\text{m}^3].$$

Pentru gaz natural:

$$L_{min} = 1,142 \frac{H_i}{1000} - 0,251 [\text{m}^3/\text{m}^3];$$

$$V_{min} = 0,526 + 1,173 \frac{H_i}{1000} [\text{m}^3/\text{m}^3].$$

Pentru gaz de generator:

$$L_{min} = 0,996 \frac{H_i}{1000} - 0,173 [\text{m}^3/\text{m}^3];$$

$$V_{min} = 0,7575 + 0,9026 \frac{H_i}{1000} [\text{m}^3/\text{m}^3].$$

Tabelul 5.6. Necesarul de aer și volumul de gaze de ardere pentru combustibili gazoși și lichizi

Excesul de aer $n$	1,0	1,1	1,2	1,3	1,4	1,5	1,6	1,7	1,8	1,9	2,0
Gaz de furnal..... $\text{CO}_2$	24,8	23,7	22,7	21,8	21,0	20,2	19,4	18,8	18,1	17,6	17,0
Gaz de generator .... $\text{CO}_2$	19,3	18,1	16,9	16,0	15,1	14,3	13,6	13,0	12,4	11,9	11,4
Gaz de apă ..... $\text{CO}_2$	19,6	17,9	16,6	15,4	14,6	13,7	12,9	12,2	11,5	10,9	10,4
Gaz de cocs ..... $\text{CO}_2$	10,3	9,3	8,5	7,8	7,2	6,7	6,2	5,8	5,5	5,2	4,9
Păcură ..... $\text{CO}_2$	15,7	14,2	12,9	11,9	11,0	10,2	9,6	9,0	8,5	8,0	7,6

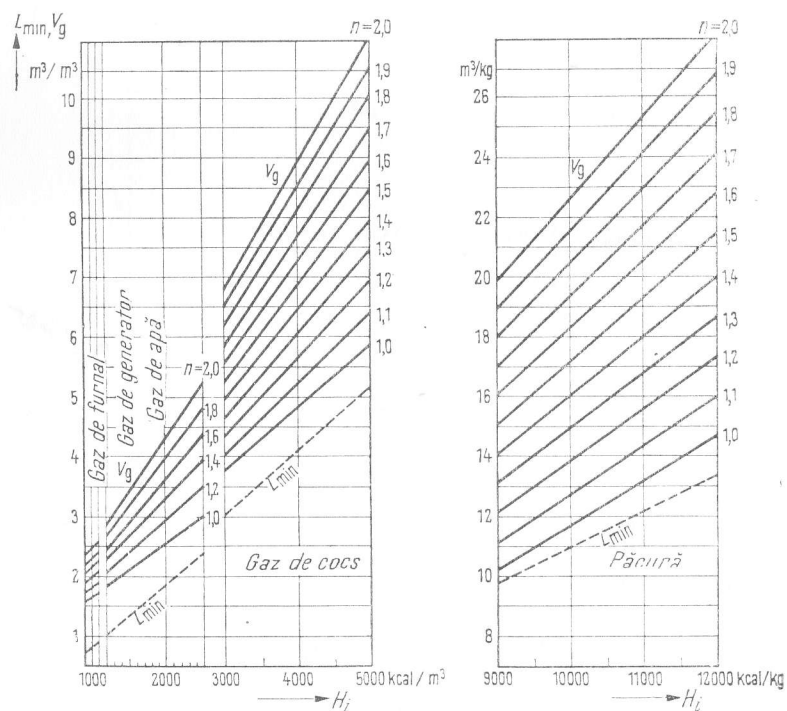


Fig. 5.17. Volumele de aer și de gaze de ardere pentru combustibilii lichizi și gazoși (vezi legenda la pag 256).

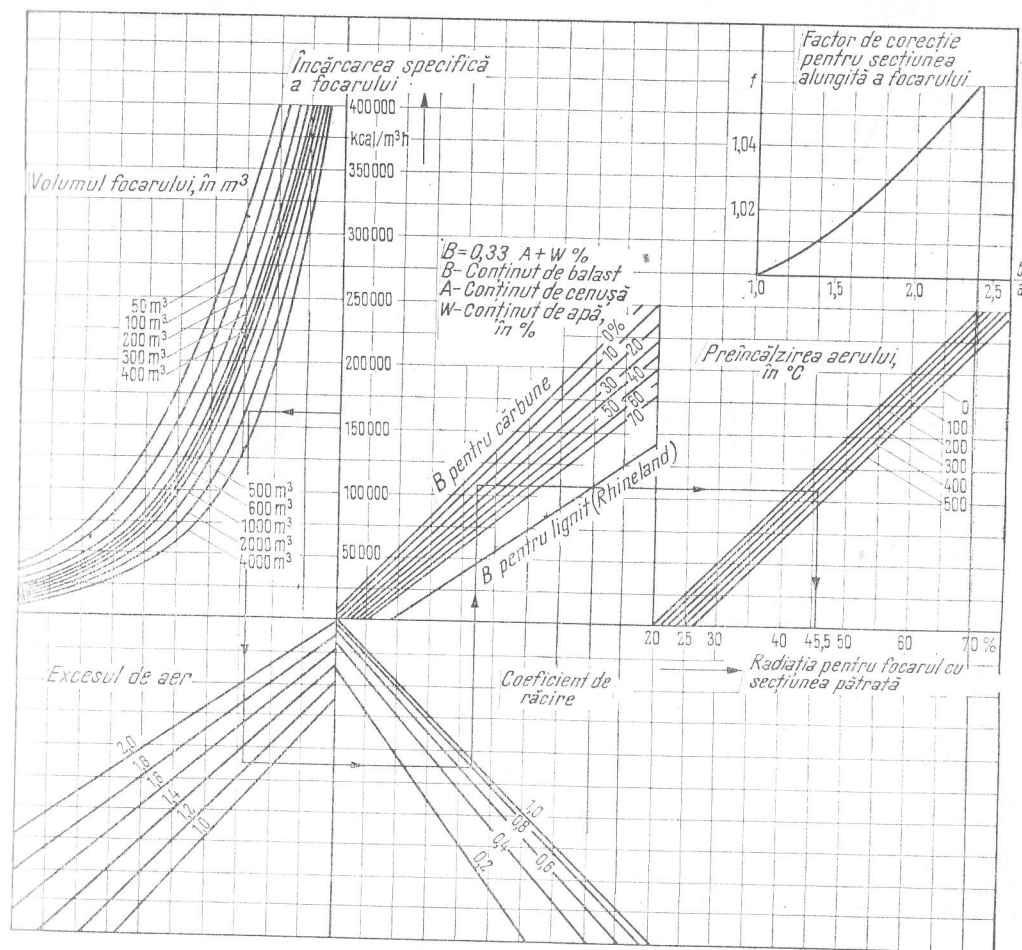


Fig. 5.18. Diagramă pentru determinarea radiației în focar:  
b — latura mare a dreptunghiului; a — latura focarului pătrat la același volum.

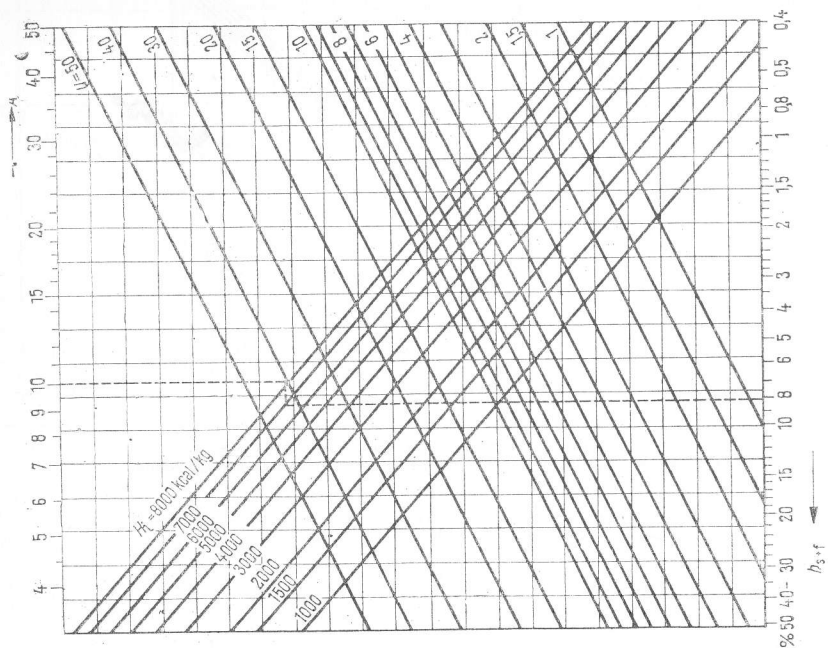


Fig. 5.19. Pierderile  $h_{s+f}$  datorite particulelor nense în cenușă

Exemplu:

$$h_{s+f} = \frac{7900 \times A \times u}{(100-u) H_i} = \frac{7900 \times 10 \times 41}{(100-41) 6800} = 8.09\%$$

Conținutul de cenușă al cărbunelui  $A = 10\%$

Particule nense și antrenate cu gazele de ardere  $n = 41\%$ .

Puterea calorică inferioară  $H_i = 6800$  kcal/kg.

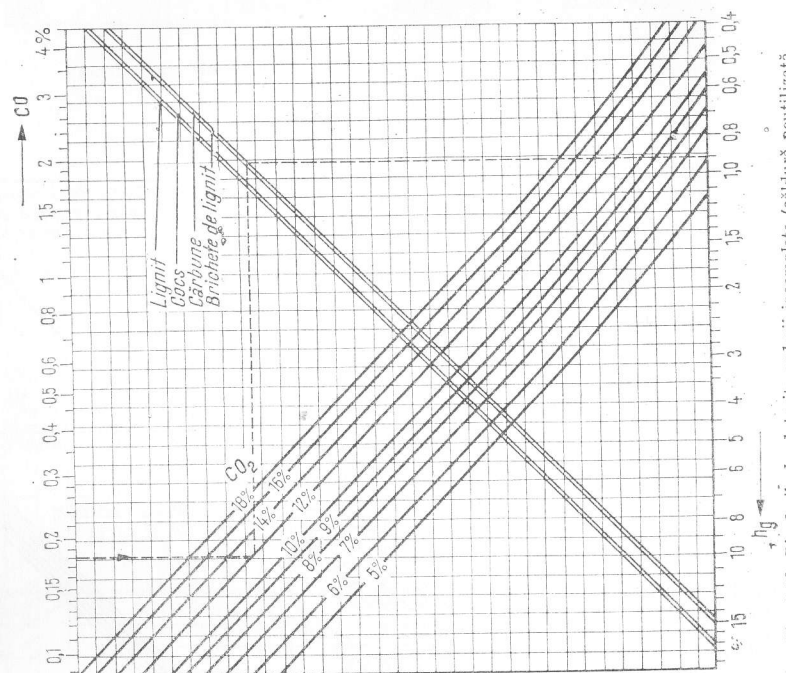


Fig. 5.20. Pierderile  $h_g$  datorite ardării incomplete (căldură neutilizată).

Exemplu:

Conținut de CO în gazele de ardere  $CO = 0.18\%$

Conținut de CO<sub>2</sub> în gazele de ardere  $CO_2 = 12\%$

Combustibil = cărbune.

Pierdere datorită ardării incomplete 0.92%.

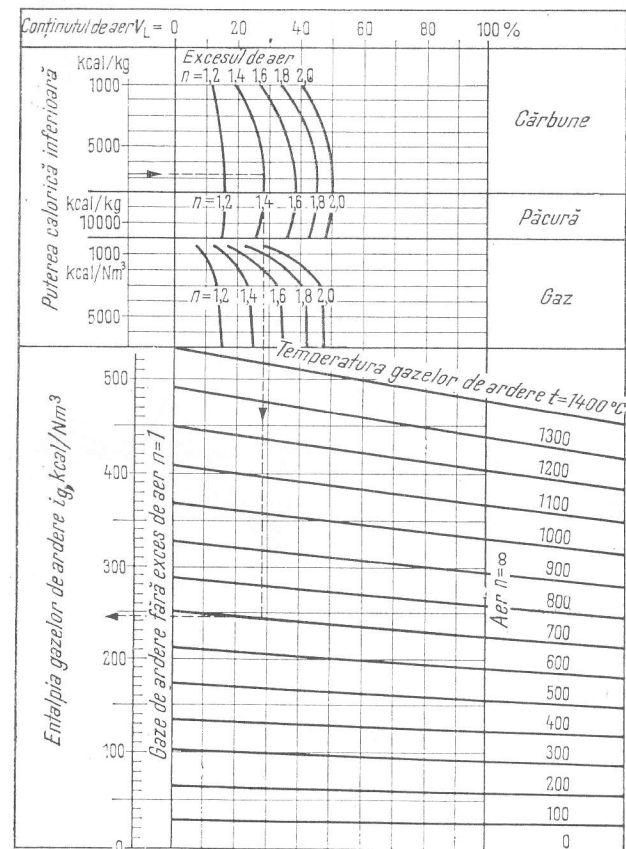


Fig. 5.21. Entalpia, temperatura și conținutul de aer din gazele de ardere.

Unitatea de măsură kcal/Nm³ = 1m³ la 760 mm Hg și 20°C

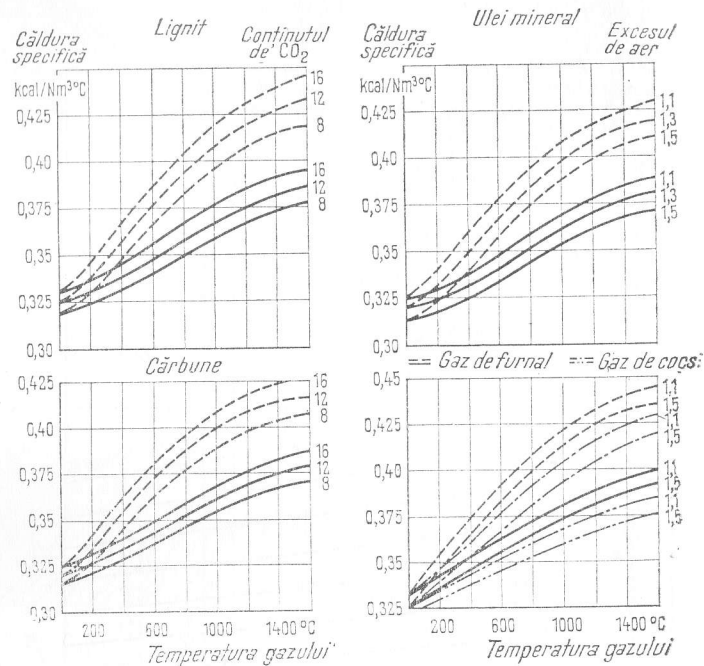
Exemplu:

Cărbune,  $H_i = 6800$  kcal/kg;

Excesul de aer  $n = 1.4$ ;

Temperatura gazelor de ardere  $t = 700^\circ\text{C}$ ;

Entalpia gazelor de ardere:  $i_g = 245$  kcal/m³.



— Reală — Căldură specifică medie

Fig. 5.22. Căldura specifică reală  $C_p$  și căldura specifică medie  $C_{pm}$  a gazelor de ardere.

°C	Căldură specifică reală $C_p$				Căldură specifică medie $C_{pm}$			
	N <sub>2</sub> și CO	O <sub>2</sub>	CO <sub>2</sub>	H <sub>2</sub> O	N <sub>2</sub> și CO	O <sub>2</sub>	CO <sub>2</sub>	H <sub>2</sub> O
0	0,310	0,312	0,384	0,356	0,310	0,312	0,384	0,356
100	0,312	0,319	0,432	0,361	0,310	0,316	0,408	0,359
200	0,315	0,329	0,467	0,371	0,312	0,320	0,429	0,362
300	0,321	0,340	0,501	0,382	0,314	0,325	0,447	0,367
400	0,327	0,350	0,526	0,394	0,317	0,330	0,463	0,373
500	0,334	0,358	0,546	0,407	0,319	0,334	0,477	0,379
600	0,341	0,365	0,564	0,420	0,323	0,339	0,491	0,385
700	0,348	0,371	0,578	0,434	0,326	0,343	0,501	0,391
800	0,354	0,375	0,589	0,447	0,329	0,347	0,511	0,397
900	0,359	0,380	0,598	0,460	0,332	0,350	0,521	0,403
1 000	0,364	0,383	0,607	0,472	0,335	0,353	0,529	0,409
1 200	0,371	0,390	0,618	0,494	0,340	0,359	0,442	0,422
1 400	0,377	0,395	0,627	0,513	0,345	0,365	0,553	0,433

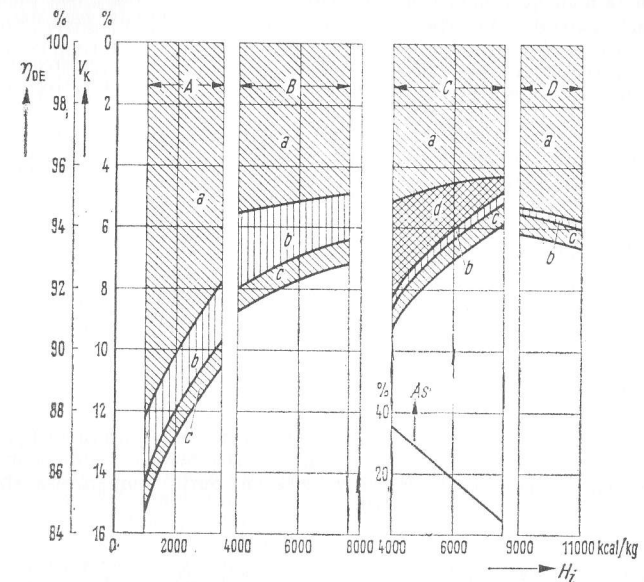


Fig. 5.23. Randamentul  $\eta_{DE}$  pierderile  $V_k$  ale generatoarelor de abur și conținutul de cenușă  $A_s$ :

A — lignit; B — cărbune, evacuarea uscată a cenușii; C — cărbune distilat; D — păcură; a — pierderi prin gaze evacuate; b — pierdere la aprindere; c — pierderi prin conducție și radiație; d — pierderi prin particule neare în cenușă.

Pierdere prin gaze evacuate se bazează pe următoarele temperaturi:  
 150 — 160°C — cazane cu lignit;  
 120 — 130°C — cazane cu cărbune, cu evacuarea uscată a cenușii;  
 110 — 120°C — păcură distilată;  
 130 — 150°C — păcuri sulfuroase.

### 5.3. TURBINE CU ABUR

#### Tipuri de turbine cu abur

Turbinele cu acțiune au paletel rorului prinse pe roți, ultimele fiind montate pe un arbore sau prelucrate prin forjare dintr-un arbore unitar. Paletel rorului formează ajutaje menținute în poziție de diafragme sectorizate fixate de carcasă.

Căderea termică totală de-a lungul unei trepte de acțiune a unei turbine este transformată în viteză prin intermediul paletel rorului, astfel încât presiunea este aceeași înaintea și după roata turbinei. Turbinele cu reacțiune au paletel mobile montate pe un tambur sau rotor rigid, paletel rorului fiind prinse fie direct de carcasă, fie cu ajutorul unor dispozitive de fixare speciale. Căderea de presiune este transfor-



mată în viteză, în mod egal sau neegal, de către paletele rotorului, care au aceeași secțiune, astfel încât presiunea în fața unui șir de palete ale rotorului este mai mare decât în spatele lui (fig. 5.24).

Trebuie notat că mărirea puterii unitare a grupurilor, creșterea parametrilor inițiali ai aburului și supraîncălzirea intermediară tind să micșoreze diferența dintre cele două tipuri de bază.

Numărul de trepte depinde de căderea termică totală care urmează a fi transformată de turbină, fiind determinat de parametrii de intrare și de ieșire ai aburului. Considerente economice impun o presiune ridicată la intrare și supraîncălzire intermediară a aburului după un anumit număr de trepte. Pentru randamente optime, căderile mari de entalpie necesită trepte numeroase, care trebuie amplasate în mai multe corpuri. Arborii individuali ai turbinei și rotorul generatorului sînt cuplați rigid.

**Turbinele de abur cu condensafie** sînt utilizate mai ales pentru producerea de energie electrică. Căldura latentă de vaporizare a aburului este evacuată în apa de răcire în condensator, unde nu mai este utilă economic, datorită temperaturii sale scăzute. În Germania, temperaturile apei de răcire (circulație) sînt cele ce urmează: 8–12°C la răcirea în circuit deschis, 24–25°C în turnuri de răcire cu tiraj natural, 21–22°C în turnuri de răcire cu tiraj artificial, pentru o temperatură a termometrului umed de 12°C.

Turbinele cu condensafie cu mai multe corpuri de mare putere sînt fabricate pentru parametri înalți și foarte înalți (170–250 at și 520–565°C). Temperatura de supraîncălzire intermediară este egală sau depășește cu puțin temperatura aburului viu.

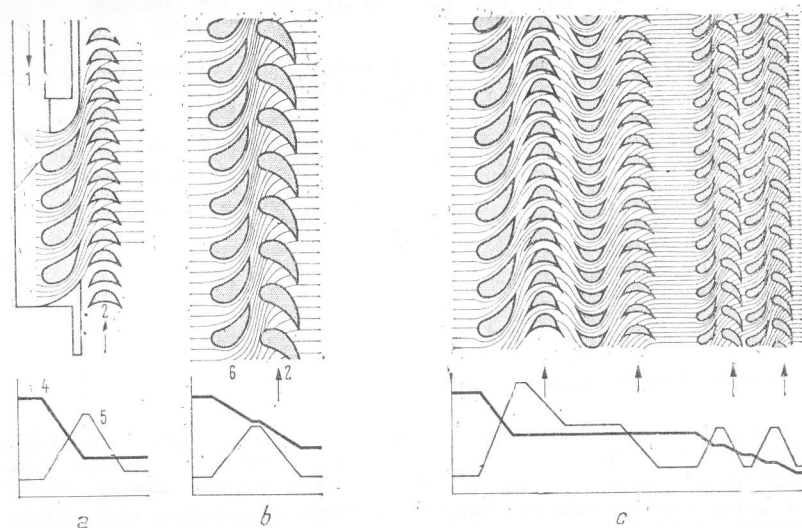


Fig. 5.24. Curgerea aburului în treptele turbinei de acțiune, reacțiune și mixte:  
a — treaptă de acțiune; b — treaptă de reacțiune; c — treaptă mixtă de viteză și reacțiune; 1 — intrarea aburului; 2 — palete mobile; 3 — ajutoare; 4 — presiunea aburului; 5 — viteza aburului; 6 — palete fixe.

Limita pentru grupurile cu un singur ax, care sînt practic singurele potrivite pentru condițiile din Europa, este în prezent de circa 1000 MW, utilizînd răcirea în circuit deschis. În cazuri speciale presiunile la intrare au fost totuși peste 300 at, iar temperaturile pînă la 650°C; cîteva instalații au fost, de asemenea, construite pentru dublă supraîncălzire intermediară. Parametrii aburului peste 250 at și 565°C impun utilizarea materialelor austenitice, costul lor ridicat făcînd aceste mașini discutabile din punct de vedere economic. Ca atare, alegerea lor se limitează la cazuri speciale.

**Turbinele cu contrapresiune** sînt utilizate în industrie unde există totdeauna o cerere simultană de putere și căldură. După destindere și lucru în turbină, aburul este furnizat unui proces tehnologic. Acoperirea cererilor simultane de putere și căldură din industrie de către centrale pentru producerea combinată a energiei electrice și căldurii (centrale de termoficare), reprezintă cea mai eficientă transformare a proprietăților calorice ale combustibilului. Puterea turbinei este determinată în principal de cerințele de abur ale procesului tehnologic și numai într-o mai mică măsură de parametrii aburului viu (controlul contrapresiunii).

**Turbinele cu contrapresiune și prize reglabile de abur** sînt utilizate în industrie atunci cînd trebuie să se alimenteze două circuite de abur la presiuni diferite. Turbina este echipată cu două rînduri de vane de control, fiecare acționată de cîte un regulator de presiune. Și în acest caz puterea turbinei este determinată de cererea de abur a procesului tehnologic.

**Turbinele de abur cu condensafie și prize reglabile de abur** pot fi privite ca o combinație a unei părți fără condensafie și a unei părți cu condensafie. Ambele părți pot fi amplasate fie în carcase separate, fie în aceeași carcasă. Presiunea prizei reglabile de unde aburul este prelevat pentru procesul tehnologic este menținută constantă de un ansamblu de vane de control montate între cele două secțiuni. La o alimentare constantă cu abur, partea cu condensafie poate fi supusă unor sarcini variabile de către sistemul de prelevare de abur, astfel încît acest tip de turbină poate acoperi necesitățile de abur și de energie electrică ale unei fabrici în mod independent una față de cealaltă. Sistemele de control pentru aburul viu și pentru priza reglabilă sînt întotdeauna interconectate în centralele moderne, adică presiunea și variațiile de putere acționează simultan asupra celor două ansambluri de vane de control. Aceasta asigură un sistem mai stabil de control și o reacție mai rapidă.

**Turbine pentru diverse aplicații.** Turația cea mai ridicată pentru turbinele cuplate direct cu generatoarele de putere este la 50 Hz de 3 000 rot/min, iar la 60 Hz (ca de exemplu în S.U.A.) de 3 600 rot/min. Turbinele proiectate pentru debite volumetrice mai scăzute, care funcționează economic la turații mai ridicate (pînă la 18 000 rot/min) trebuie să fie prevăzute, prin urmare, cînd antrenează generatoare, cu un angrenaj reductor de turație. Cuplarea directă, cu turații peste 3 000 rot/min este în prezent frecvent adoptată pentru pompele de alimentare; în mod similar, pentru turbocompresoare în industria petrochimică și în industria de îngrășăminte, puterea ajungînd pînă la 25 MW.

#### Calculul de bază pentru turbinele cu abur

Fig. 5.25 reprezintă diagrama de stare pentru o turbină cu abur în diagrama  $i$ - $s$ .  $A$  este originea destinderii determinată de presiunea  $p_1$  și temperatura  $t_1$ .  $AB$  corespunde destinderii adiabactice pînă la contrapresiunea  $p_2$ . Punctele  $A$  și  $B$  reprezintă anumite valori ale entalpiei  $i_1$  și  $i_2$  în diagrama  $i$ - $s$ .  $H_0 = i_1 - i_2$  reprezintă deci căderea izen-

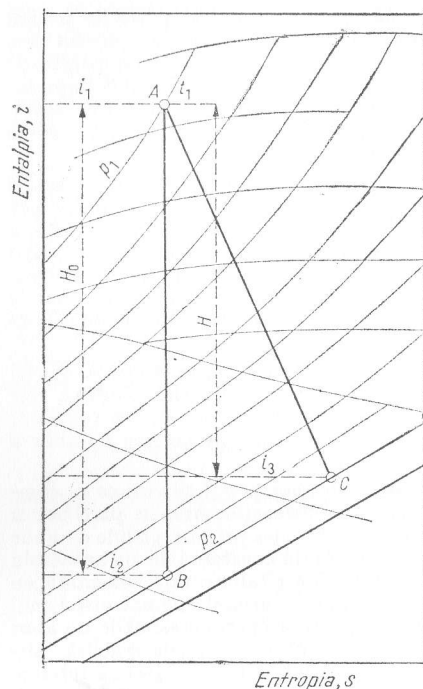


Fig. 5.25. Destinderea aburului la turbina cu condensatie în diagrama  $i, s$ .

- $\eta_i$  — randamentul intern al turbinei, în %;  
 $\eta_m$  — randamentul mecanic al turbinei, în %;  
 $\eta_{gen}$  — randamentul generatorului, în %;  
 $\eta_{red}$  — randamentul reductorului, în %.  
 Lucrul mecanic transformabil în putere și transmis rotorului este:

$$H_t = i_1 - i_2 = H_0 \eta_i.$$

Randamentul mecanic  $\eta_m$  ia în considerație frecarea în lagărele turbinei și alte câteva pierderi mecanice, astfel încât puterea pe kilogramul de abur, disponibilă la cuplă este:

$$P = \frac{G_{ab}}{860} H_0 \eta_i \eta_m.$$

Inversa acestei relații dă consumul de abur  $d$  pe kWh la cuplă:

$$d = \frac{860}{H_0 \eta_i \eta_m} [\text{kg/kWh}].$$

tropică de entalpie, din care rezultă puterea teoretică a turbinei pentru un debit de abur de 1 kg. În practică destinderea are loc după politropa  $AC$ , rezultând entalpia finală  $i_3$ , datorită entropiei mărite.

Notațiile utilizate în relațiile de calcul sînt cele care urmează (v. și fig. 5.25):

- $i_1$  — entalpia aburului la intrarea în turbină, în kcal/kg;  
 $i_{Atp}$  — entalpia aburului la ieșirea din corpul de înaltă presiune, în kcal/kg;  
 $i_p$  — entalpia aburului de priză, în kcal/kg;  
 $i_{al}$  — entalpia apei de alimentare, în kcal/kg;  
 $i_{si}$  — entalpia aburului după supraîncălzirea intermediară, în kcal/kg;  
 $t_{sc}$  — temperatura aburului saturat la condensator, în °C;  
 $G_p$  — debitul prelevat la priză reglabilă, în kg/h;  
 $G_{ab}$  — debitul de abur viu, în kg/h;  
 $G_c$  — debitul de condensat, în kg/h;  
 $G_{si}$  — debitul aburului prin supraîncălzitorul intermediar, în kg/h;  
 $H_0$  — căderea izentropică de entalpie, în kcal/kg;  
 $P$  — puterea la borne, în kW (echivalent caloric 860 kcal/kWh);

Produsul  $\eta_i \eta_m = \eta_e$  este denumit randament al turbinei sau randament efectiv.

Tabelul 5.7. Criterii pentru randamentul turbinelor

	Randamentul	Turbină cu condensatie	Turbină cu contrapresiune
Puteri mari (peste 50 MW) ....	$\eta_i$	0,83–0,87	—
Puteri medii .....	$\eta_i$	0,78–0,85	0,78–0,88
Puteri mari .....	$\eta_m$	0,98–0,995	—
Puteri scăzute (mici) .....	$\eta_m$	0,95–0,99	—
Cuplajul .....	$\eta_m$	0,97–0,98	—

#### Consumuri specifice de abur și de căldură

Consumul specific de abur raportat la bornele generatorului se obține cu ajutorul randamentului generatorului  $\eta_{gen}$ :

$$d = \frac{860}{H_0 \eta_e \eta_{gen}}.$$

Dacă există și un reductor de turație, consumul specific devine:

$$d = \frac{860}{H_0 \eta_e \eta_{red} \eta_{gen}}.$$

Figura 5.26 cuprinde o comparație între curbele de destindere pentru o centrală funcționând la 180 at cu o singură treaptă de supraîncălzire intermediară și una funcționând la 250 at cu dublă supraîncălzire intermediară.

Consumul specific de căldură  $w_T$  este definit ca fiind cantitatea de căldură furnizată turbinei — prin aburul viu și eventual prin supraîncălzirea intermediară — pe kWh produsă, minus cantitatea de căldură cedată apei de alimentare de către aburul de priză.

Consumul specific de căldură  $w_T$  (în kcal/kWh) se calculează astfel:

— pentru o turbină cu condensatie:

$$w_T = \frac{G_{ab}(i_1 - i_{al})}{P};$$

— pentru o turbină cu supraîncălzire intermediară:

$$w_T = \frac{G_{ab}(i_1 - i_{al}) + G_{st}(i_{st} - i_{Atp})}{P};$$

— pentru o turbină cu condensatie cu priză de abur fără prize nereglabile:

$$w_T = \frac{G_{ab}i_1 - (G_p i_p + G_c t_{sc})}{P};$$



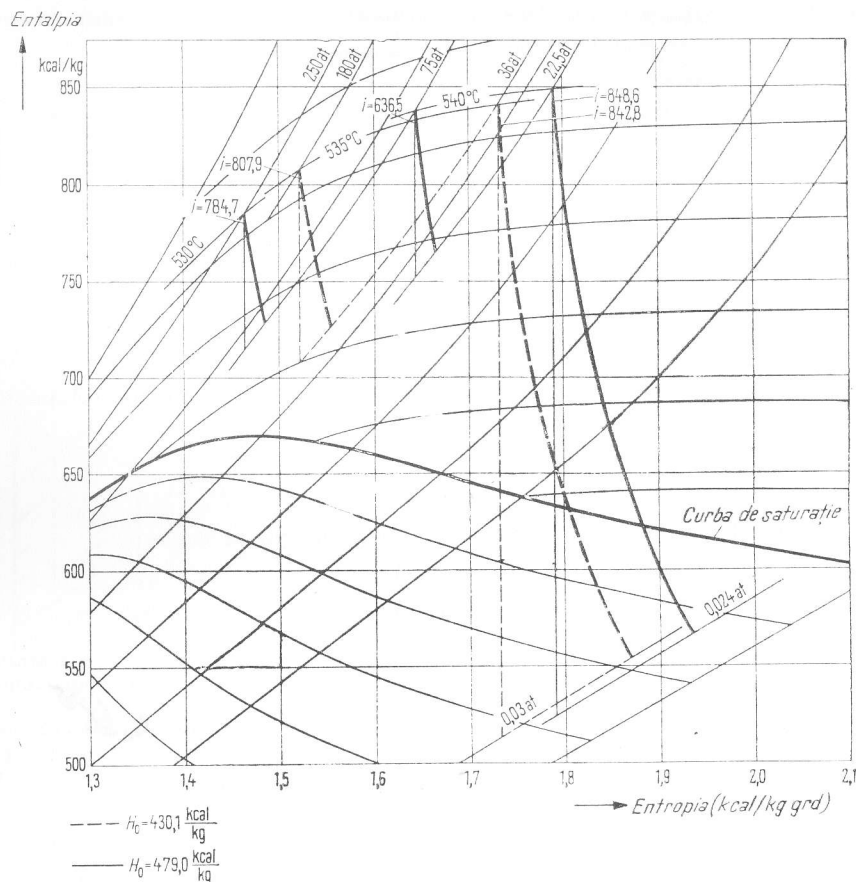


Fig. 5.26. Destinderea aburului cu parametrii 180 at/535/535°C și 250 at/530/540/54°C în diagrama  $i, s$ :

---  $H_0 = 430,1$  kcal/kg;  
 —  $H_0 = 479,0$  kcal/kg.

— pentru o turbină cu contrapresiune:

$$w_T = \frac{860}{\eta_m \cdot \eta_{red} \cdot \eta_{gen}} + \begin{cases} \text{pierderi pentru aburul de} \\ \text{etanșare și căldura radiată.} \end{cases}$$

### Condensafia

Tabelul 5.8. Vidul aproximativ la intrarea condensatorului în ata, în funcție de temperatura de intrare a apei de răcire

$q =$	60		80	
	12	20	12	27
$t_e =$				
$g = 40$	0,036—0,031	0,056—0,048	0,031—0,026	0,068—0,061
$g = 60$	0,039—0,033	0,059—0,051	0,034—0,029	0,072—0,064

$q$  — Raportul dintre debitul de apă de circulație și debitul de abur condensat la punctul optim (de proiectare) (apă de riu și răcire cu turnuri cu circulație: 70—80, răcire cu turnuri cu circulație forțată: 55—60).

$t_e$  — Temperatura de intrare a apei de răcire în condensator, în °C.

$g$  — Raportul dintre debitul de abur condensat și suprafața de răcire a condensatorului, în  $\text{kg/m}^2\text{h}$  (încărcarea suprafeței de răcire).

### Echipamentul auxiliar al turbinelor cu abur

Turnurile cu răcire uscată sînt adoptate dacă cantitatea de apă necesară pentru răcirea condensatorului nu este disponibilă ca apă proaspătă. Apa utilizată este circulată într-un sistem închis, după încălzirea în condensator ea trebuind răcită.

Turnurile de răcire (fig. 5.27) sînt preferate. Apa de răcire caldă cade sub formă de picături și este răcită prin circulația naturală, sau mai eficient, prin circulația forțată a aerului. Pierderile prin evaporare sînt de același ordin de mărime cu cele ale debitului de abur la condensator, la care trebuie adăugate pierderile prin stropire ale debitului de apă de răcire de aproximativ 0,5—1% și pierderile prin decantare. Aceste pierderi urmează a fi compensate printr-o cantitate corespunzătoare de apă de adaos.

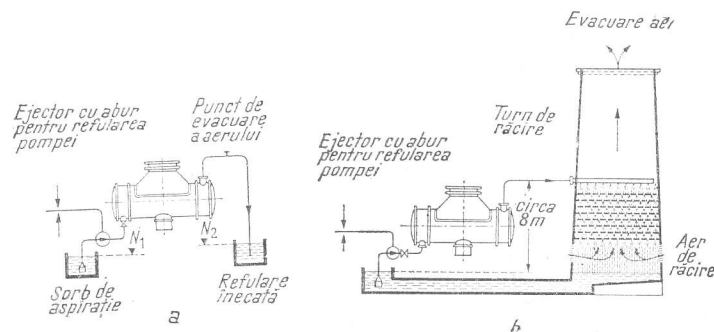


Fig. 5.27. Răcirea în circuit deschis și în circuit închis cu turnuri pentru turbinele cu abur inclusiv presiunile pompelor de apă de răcire:  
 a — utilizându-se apă proaspătă și sifonare,  $N_2 \geq N_1$ , înălțimea geodezică  $h_g \geq 0$  înălțimea manometrică  $h_{man} \approx 6$  m; b — utilizându-se turn de răcire, înălțimea geodezică  $h_g = N_2 - N_1 \approx 8$  m, înălțimea manometrică  $h_{man} \approx 12$  m.

Tratamentul chimic al apei de adaos este în mod normal necesar pentru a se menține duritatea și conținutul de săruri al apei de răcire sub nivelele admisibile.

Decarbonatarea înlătură atât bioxidul de carbon liber, cât și cel dizolvat reducând duritatea la aproximativ 2°dH (1°dH este un grad de duritate germană și corespunde la 10 mg CaO la un litru de apă), apa trecând în final printr-un filtru.

Dedurizarea intermediară prin procedeul de schimb cationic este adesea recomandabil, în special dacă apa brută conține mult sulfat de calciu ( $\text{CaSO}_4$ ); acesta reduce duritatea apei de adaos la sub 0,1°dH. Astfel se asigură o mai mare depunere a nămolului, creșterile ulterioare nemaifiind dependente de duritate ci de conținutul total de săruri.

Dedurizarea prin schimb cationic de adaos este uneori adecvată, deși nu se poate obține o depunere tot atât de importantă de nămol ca în cazul decarbonatării prealabile, datorită alcalinității mai ridicate.

Dacă se utilizează răcirea în circuit deschis (v. fig. 5.27), de exemplu cu apă de mare (lac), pot fi acceptate valori superioare, cu condiția utilizării unor materiale speciale.

Tabelul 5.9. Date referitoare la apa de răcire

	O singură circulație	Recirculată	
Temperatura peretelui ..... °C	< 60 – 80	< 60 – 80	> 100
Valoarea pH .....	> 7,0	> 7,0	> 7,0
CO <sub>2</sub> liber ..... mg/l	< 20	< 3,0	< 3,0
Duritatea carbonaților ..... °dH <sup>1)</sup>	8 – 15 <sup>2)</sup>	4 – 15 <sup>2)</sup>	< 1
Duritatea necarbonaților ..... °dH <sup>1)</sup>	< 50	< 80	< 1
Clor combinat (Cl) ..... mg/l	< 1000	< 1000	< 1000
Conținutul total de săruri .. mg/l	< 3000	< 3000	< 3000
Creșterea algelor .....	nu este permisă	nu este permisă	nu este permisă
Cu tratarea apei de adaos:..			
Alcalinitatea totală ..... factorul m		< 15	< 15
La o duritate totală ..... °dH <sup>1)</sup>		< 1	< 0,1

<sup>1)</sup> 1°dH (grad de duritate german) corespunde la 10 mg CaO în 1 l de apă.

<sup>2)</sup> Valoarea maximă numai în prezența fosfaților polimeri.

În unele condensatoare, apa de răcire este înlocuită cu aer, ventilatoarele recirculând aerul între elementele condensatorului. Aceste condensatoare răcite cu aer sunt instalate oriunde apa de adaos nu este suficientă.

#### 5.4. DATE REFERITOARE LA CALCULUL COMPONENTELOR ȘI MATERIALELOR

##### Ventilatoare

Necesarul de putere este dat de relația:

$$P = \frac{GH_{vent}}{102\eta} = \frac{V_s \rho_s H_{vent}}{102\eta} = \frac{V_s p_{vent}}{102\eta} k \text{ [kW]}$$

factorul de compresibilitate fiind:

$$k = p_{st1} \frac{1}{\Delta p_{st}} \frac{\kappa}{\kappa - 1} \left[ \left( \frac{p_{st2}}{p_{st1}} \right)^{\frac{\kappa - 1}{\kappa}} - 1 \right],$$

în care  $G$  este debitul masic, în kg/s;

$H$  — presiunea de refulare, în m coloană de gaz:

$$H = \frac{k \Delta p_{st} + \Delta p_d}{\rho_s}$$

$H_{vent}$  — presiunea de refulare a ventilatorului<sup>1)</sup>, în m coloană de gaz,  $H_{vent} \approx \frac{p_{vent}}{\rho_s} k$ . Comparată cu diferența dintre presiunile statice  $\Delta p_{st}$ ,

diferența dintre presiunile dinamice  $\Delta p_d$  este mică, astfel încît factorul  $k$  se poate referi la diferența dintre presiunile totale;

$k$  — factor de compresibilitate;

$\rho$  — densitatea, în kg/m<sup>3</sup>;

$p$  — presiunea totală, în mm H<sub>2</sub>O;

$p_{st}$  — presiune statică, în mm H<sub>2</sub>O;

$p_{vent}$  — presiunea ventilatorului, în mm H<sub>2</sub>O;

$V$  — debitul volumetric, în m<sup>3</sup>/s;

$\Delta p_d$  — diferența dintre presiunile dinamice, în mm H<sub>2</sub>O;

$\Delta p_{st}$  — diferența dintre presiunile statice, în mm H<sub>2</sub>O;

$\rho_s$  — densitatea, în kg/m<sup>3</sup>;

$\eta$  — randamentul ventilatorului;

$\kappa$  — raportul căldurilor specifice (exponentul izentropic).  $\kappa = c_p/c_v$ . Mărimile înainte de ventilator au indicele 1 și după ventilator, indicele 2.

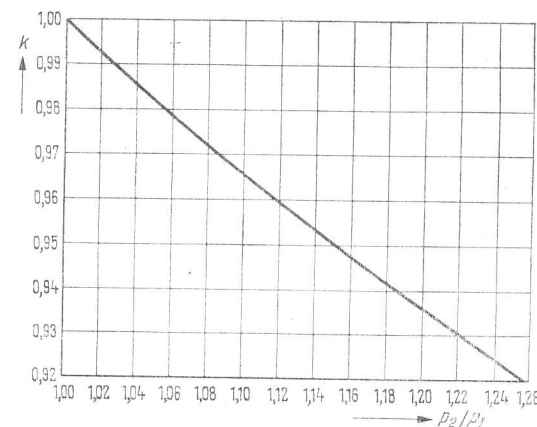


Fig. 5.28. Factorul de compresibilitate.

<sup>1)</sup> Când se calculează puterea utilă a ventilatorului trebuie luată în considerare „comprimarea” produsă la presiuni de refulare ridicate. Comprimarea este presupusă adiabatică. Schimbarea de stare adiabatică  $p v^\kappa = \text{const}$  este utilizată ca bază pentru calculul puterii utile.

Tabelul 5.10 Densitatea gazelor de ardere cu compoziție medie și ale aerului cu umiditate medie

Gazul de ardere la			Aerul la		
Temperatura °C	760 mmHg = 760 torr = 1 bar = 10,33 m H <sub>2</sub> O	735,56 mmHg = 1 at = 10 m H <sub>2</sub> O	Temperatura °C	760 mmHg = 760 torr = 1 bar = 10,33 m H <sub>2</sub> O	735,56 mmHg = 1 at = 10 m H <sub>2</sub> O
	kg/m <sup>3</sup>	kg/m <sup>3</sup>		kg/m <sup>3</sup>	kg/m <sup>3</sup>
130	0,900	0,869	0	1,295	1,251
140	0,878	0,848	10	1,249	1,207
150	0,857	0,828	20	1,207	1,166
160	0,838	0,809	30	1,167	1,127
170	0,819	0,795	40	1,130	1,091
180	0,801	0,773	50	1,095	1,057
190	0,783	0,756	60	1,062	1,026
200	0,767	0,740	70	1,031	0,996

## Pompe centrifuge

Notațiile pentru pompele centrifuge sînt:

- $A$  — înălțimea datorită presiunii la nivelul de aspirație, în m coloană de lichid;  
 $c_a$  — viteza medie de ieșire, în m/s;  
 $c_D$  — viteza medie a fluidului în conductele de refulare, în m/s;  
 $c_S$  — viteza medie a fluidului în conductele de aspirație, în m/s;  
 $D_1$  — diametrul de intrare al rotorului, în mm;  
 $e$  — înălțimea de refulare geodezică, în m coloană de lichid:

$$e = H_{S \text{ geod}} + H_{D \text{ geod}} \text{ sau } e = H_{D \text{ geod}} - H_{Z \text{ geod}};$$

- $e_{s \text{ extr}}$  — înălțimea maximă geodezică de aspirație sau înălțimea geodezică minimă de alimentare, în m coloană de lichid;  
 $f_H$  — coeficient de corecție pentru  $H$  la diferite viteze;  
 $f_P$  — coeficient de corecție pentru  $P$  la diferite viteze;  
 $f_Q$  — coeficient de corecție pentru  $Q$  la diferite viteze;  
 $G$  — debitul, în t/h;  
 $g$  — accelerația gravitației,  $g = 9,81 \text{ m/s}^2$ ;  
 $H$  — înălțimea totală de refulare a pompei, în m coloană de lichid;  
 $H_{D \text{ geod}}$  — înălțimea datorită presiunii geodezice, în m coloană de lichid (diferența de înălțime dintre axul pompei — pentru pompele verticale nivelul minim al aspirației în rotor — și nivelul lichidului sau centrul secțiunii de evacuare pe partea de refulare);  
 $H_{man}$  — înălțimea manometrică de refulare, în m H<sub>2</sub>O (1m H<sub>2</sub>O = 0,1 at);  
 $H_{S \text{ geod}}$  — înălțimea geodezică de aspirație, în m coloană de apă (diferența dintre nivelul de aspirație și axul pompei sau nivelul minim al aspirației în rotor);  
 $H_{S \text{ max}}$  — înălțimea de aspirație maximă admisibilă, în m coloană de lichid;  
 $H_t = \frac{10p_t}{\rho}$  — înălțimea de presiune a vaporilor mediului, în m coloană de lichid;

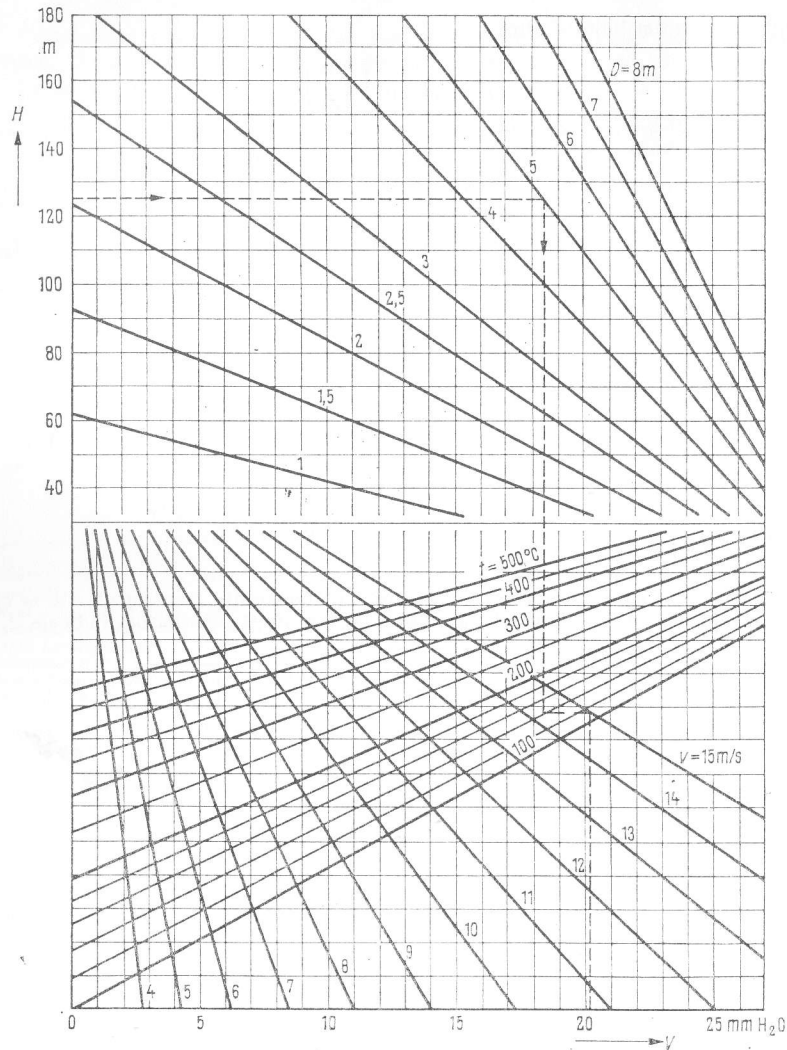


Fig. 5.29. Pierderile prin frecare și de evacuare în coșurile de fum:

$H$  — înălțimea coșului de fum;  $D$  — diametrul mediu al coșului;  $t$  — temperatura medie a gazelor arse;  $v$  — viteza medie a gazelor arse;  $V$  — pierderile de presiune.

$H_{z\text{ geod}}$	— înălțimea geodezică de alimentare, în m coloană de lichid;
$H_1$	— înălțimea de refulare a pompei la diferite turații;
$n$	— turația pompei, în rot/min;
$n_1$	— turația schimbată în rot/min;
$P$	— puterea absorbită de pompă, în kW;
$P'$	— puterea absorbită de pompă, în kW;
$P_1$	— puterea absorbită de pompă la diferite turații, în kW;
$P_D$	— presiunea în conducta de refulare, în at;
$p_s$	— presiunea în conducta de aspirație, în at;
$p_t$	— presiunea de saturație a lichidului, în at;
$p'$	— presiunea absolută la nivelul de aspirație, în ata;
$p''$	— presiunea absolută la nivelul de refulare, în ata;
$Q$	— debitul, în m <sup>3</sup> /h;
$Q_1$	— debitul pompei la diferite turații, în m <sup>3</sup> /h;
$y$	— diferența de înălțime între manometre, în m coloană de lichid;
$Z$	— pierderile totale de presiune, în m coloană de lichid;
$Z_s$	— pierderile de presiune în conducta de aspirație, în m coloană lichid;
$\eta$	— randamentul pompei;
$\rho$	— densitatea lichidului pompat, în t/m <sup>3</sup> .

#### Calculul parametrilor pompelor centrifuge

Presiunea de refulare:

$$H_{man} = H\rho[\text{mH}_2\text{O}] \text{ sau } H_{man} = 0,1 H\rho [\text{at}].$$

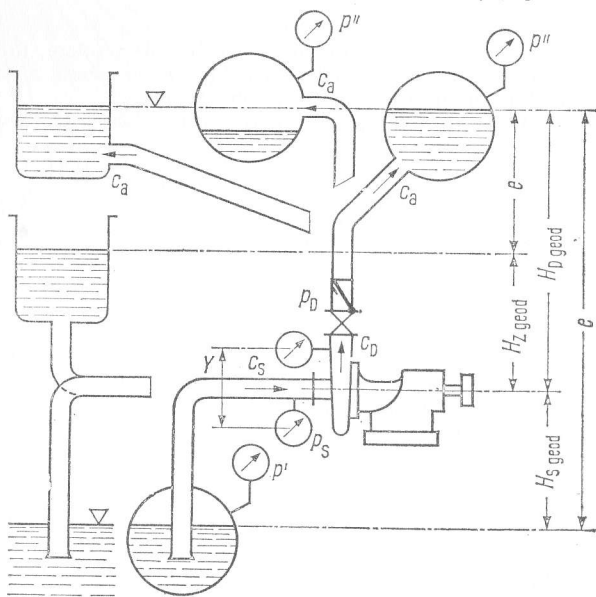


Fig. 5.30. Notații pentru presiuni și înălțimi la pomparea lichidelor.

Înălțimea de refulare determinată prin măsurători este:

$$H = 10 \frac{p_D - p_s}{\rho} + y + \frac{c_D^2 - c_s^2}{2g} [\text{m coloană lichid}].$$

Înălțimea de refulare este:

$$H = e + \frac{10(p'' - p')}{\rho} + z [\text{m coloană de lichid}].$$

Puterea  $P$  absorbită de pompă poate fi calculată cu ajutorul înălțimii de refulare și debitului:

$$P = \frac{\rho Q H}{3,6 \times 10^2 \eta},$$

sau raportat la greutate:

$$P = \frac{G H}{3,6 \times 10^2 \eta}.$$

Relațiile regimurilor de funcționare ale pompelor centrifuge sînt:

$$Q_1 = \left(\frac{n_1}{n}\right) Q.$$

$$H_1 = \left(\frac{n_1}{n}\right)^2 H,$$

$$P_1 \approx \left(\frac{n_1}{n}\right)^3 P.$$

Înălțimile de aspirație sau de poziție pentru pompe centrifuge.

Presiunea pozitivă:

$$\Delta h = \frac{10p'}{\rho} - H_{s\text{ max}} - \frac{10p_t}{\rho}.$$

Presiunea pozitivă la presiunea barometrică normală și apa la 18°C: (formulă aproximativă):

$$\Delta h = 10 - H_{s\text{ max}}.$$

Înălțimea datorită presiunii la nivelul de aspirație:

$$A = \frac{10p'}{\rho} = \frac{10p_t}{\rho} + \Delta h + \frac{c_s^2}{2g} + \frac{D_1}{2} + Z_s + e_{s\text{ extr}}.$$

Înălțimea pozitivă netă de aspirație

$$\Delta h_{ges} = \Delta h + \frac{c_s^2}{2g} + \frac{D_1}{2}.$$

Înălțimea de aspirație maximă sau înălțimea de poziție minimă:

$$e_{s\text{ extr}} = \frac{10p'}{\rho} - \frac{10p_t}{\rho} Z_s - \Delta h_{ges}.$$

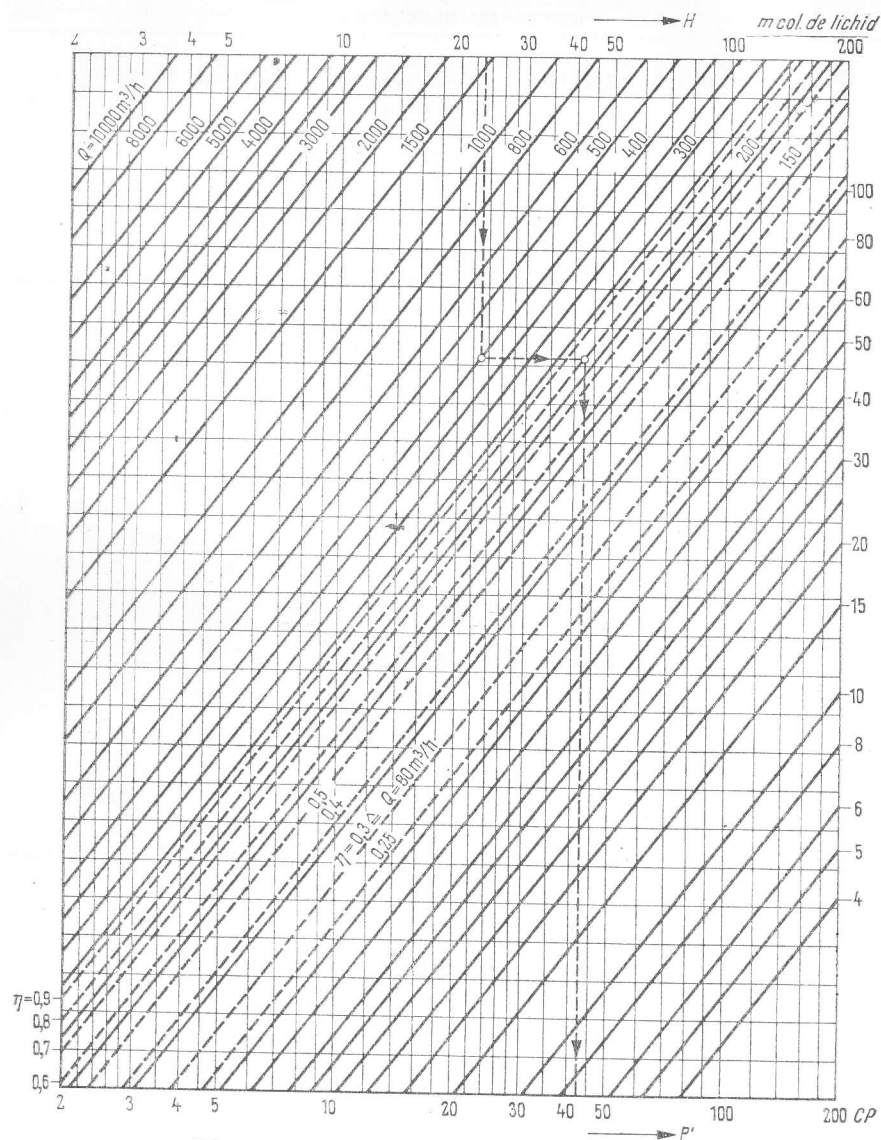


Fig. 5.31. Determinarea puterii absorbite de pompe la pomparea apei reci:

Exemplu:

$H$  — 23 m coloană lichid;

$Q$  — 400 m³/h;

$\eta$  — 0,8;

$p'$  — 42,5 CP ( $P$  — 0,735 P' kW).

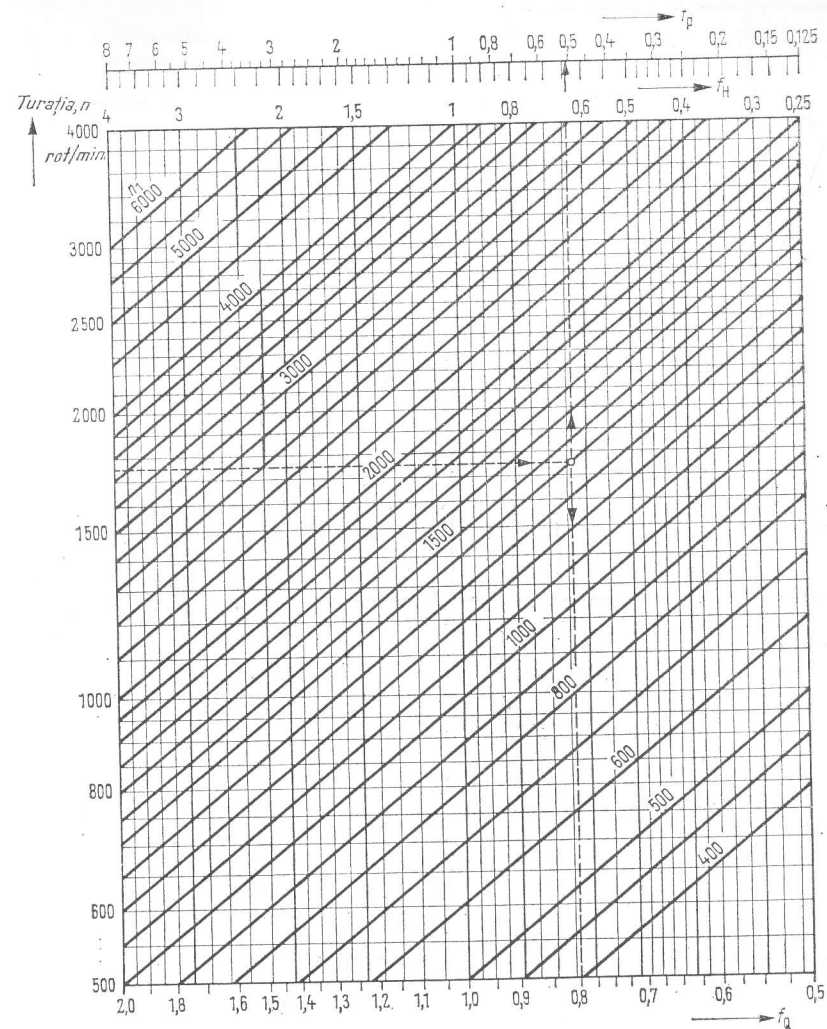


Fig. 5.32. Determinarea puterii pompelor centrifuge a diferite turații. Datele inițiale sînt  $Q$ ,  $H$  și  $P$  la turațiile inițiale  $n = 1750$  rot/min schimbată la  $n_1 = 1400$  rot/min la care corespund factorii  $f_Q = 0,8$ ,  $f_H = 0,64$ ,  $f_P = 0,51$ , de unde  $Q_1 = 0,8 Q$ ,  $H_1 = 0,64 H$ ,  $P_1 = 0,51 P$ .



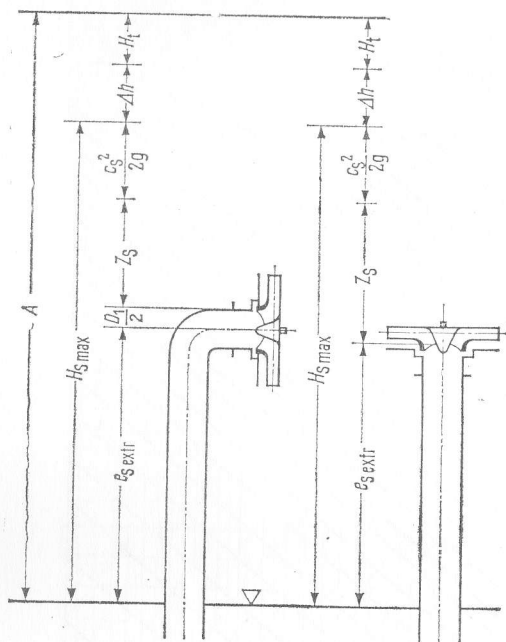


Fig. 5.33. Înălțimile de aspirație sau de poziție pentru pompe rotative.

## Schimbătoare de căldură

Bilanțul termic:

$$\Sigma Q_{\text{intrat}} = \Sigma Q_{\text{ieșit.}}$$

Schimbătorul de căldură de suprafață abur/lichid (fig. 5.34).

Cazul A: fără drenaje provenite de la aburul de încălzire ( $E' = 0$ ):

$$E = \frac{G(i_2 - i_1)}{(i - i')\eta}$$

Cazul B: cu drenaje provenite de la aburul de încălzire ( $E' \neq 0$ ):

$$E = \frac{G(i_2 - i_1) - E'(i_{E'} - i')}{(i - i')\eta}$$

Mediul absorbant de căldură:

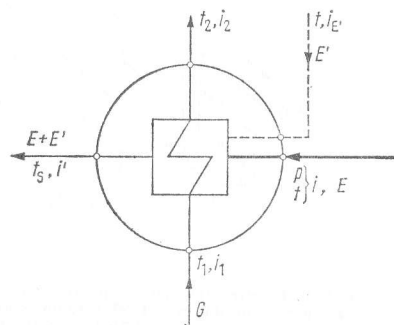
 $G$  — debitul, în kg/h; $t_1$  — temperatura de intrare, în °C; $i_1$  — entalpia de intrare, în kcal/kg;

Fig. 5.34. Schimbător de căldură de suprafață (abur/lichid); schema bilanțului termic.

 $t_2$  — temperatura de ieșire, în °C; $i_2$  — entalpia de ieșire, în kcal/kg;

Schimbătorul de căldură prin amestec sau de tipul deschis (fig. 5.35)

În acest caz  $i_2 = i'$ . Calculele pentru cazul A și cazul B sînt ca pentru schimbătorul de căldură de suprafață de mai sus.

Schimbătorul de căldură de suprafață lichid/lichid (fig. 5.36)

$$\Delta i = i_2 - i_1 = \frac{E(i_{tse} - i_{tsa})}{G}$$

Mediul care cedează căldura:

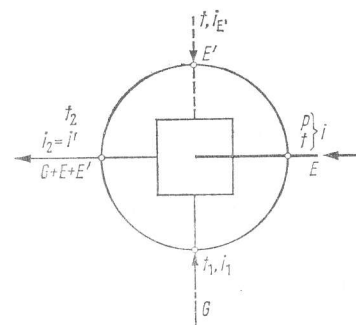
 $E$  — debitul, în kg/h; $E'$  — debitul drenajelor aburului de încălzire, în kg/h (de exemplu din schimbătorul de căldură superior); $F$  — suprafața de încălzire, în m<sup>2</sup>; $i$  — entalpia mediului cald, în kcal/kg; $i_{E'}$  — entalpia drenajelor, în kcal/kg; $i_{tsa}$  — entalpia de ieșire, kcal/kg; $i_{tse}$  — entalpia de intrare, în kcal/kg; $i'$  — entalpia de ieșire, în kcal/kg; $k$  — coeficientul de schimb de căldură, în kcal/m<sup>2</sup>·h·grad. $p$  — presiunea de intrare, în at; $Q$  — debitul de căldură transferat, în kcal/h; $t$  — temperatura, în °C; $t_s$  — temperatura de saturație a condensatului aburului de încălzire, în °C; $t_{sa}$  — temperatura condensatului la ieșirea din răcitor, în °C; $t_{se}$  — temperatura condensatului la intrarea în răcitor, în °C; $\Delta i$  — diferența de entalpie dintre intrare și ieșire pe partea apei de alimentare, în kcal/kg;

Fig. 5.35. Schema bilanțului termic la un preîncălzitor prin amestec.

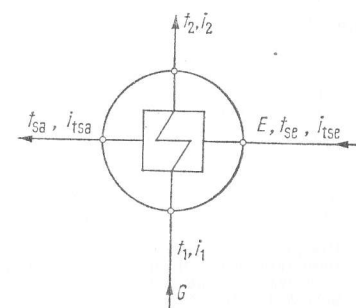


Fig. 5.36. Schimbător de căldură de suprafață (lichid/lichid); schema bilanțului termic.



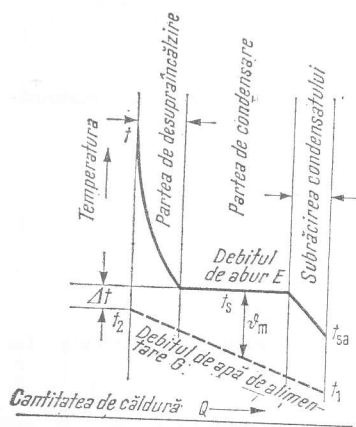


Fig. 5.37. Curbele de temperatură într-un schimbător de căldură de suprafață.

îmbunătățind însă randamentul instalației. Diferențele mici de temperatură finală sînt însă adecvate numai pentru instalațiile proiectate pentru eficiență economică maximă (tab. 5.11).

Tabelul 5.11. Diferențele de temperatură finale normale și tipuri de schimbătoare de căldură de suprafață

	Presiunea aburului	Diferența de temperatură finală normală	Proiectare uzuală
Partea de vid	0,1 – 1 at	Aproximativ 3 – 5 grd	Dacă este posibil, toate de tip similar, în cele mai frecvente cazuri verticale sau orizontale
Partea de joasă presiune	1 – 5 at		
Partea de medie presiune	5 – 10 at		
	înaintea pompei de alimentare		
Partea de înaltă presiune	5 – 80 at	1 – 6 grd inclusiv desupraîncălzitorul	Tip vertical, variante speciale
	după pompa de alimentare		

Tabelul 5.12. Coeficienți de schimb de căldură pentru diferite schimbătoare

Denumirea	Coeficientul de schimb de căldură $k$ (aproximativ), kcal/m <sup>2</sup> · h · grd
Desupraîncălzitor și supraîncălzitor (abur/abur)	100 – 200
Desupraîncălzitor (integrat sau separat) pentru răcirea aburului cu apă de alimentare	180 – 700
Schimbător de căldură (abur/lichid):	
preîncălzitor de înaltă presiune	2500 – 3600
preîncălzitor de joasă presiune	1500 – 2500
preîncălzitor de vid	900 – 1500

- $\Delta t$  — diferența de temperatură finală, în grd;  
 $\eta$  — factorul care ia în considerație pierderile de căldură prin radiație (în cazul schimbătoarelor de căldură 0,99; pentru evacuare, evaporatoare și transformatoare, în mod uzual 0,98);  
 $\theta_m$  — diferența de temperatură medie logaritmică, în grd.

Curbele de temperatură pentru un schimbător de căldură de suprafață cu desupraîncălzitor și răcitor de drenaj (fig. 5.37). Temperatura mediului de încălzire scade de la temperatura  $t_a$  a aburului pînă la temperatura  $t_s$  corespunzătoare presiunii aburului și mai departe pînă la temperatura  $t_{sa}$  a drenajului răcit, în timp ce apa de alimentare se încălzește de la  $t_1$  pînă la temperatura de ieșire  $t_2$ .  $\theta_m$  este folosită pentru a reprezenta diferența medie de temperatură, iar  $\Delta t$  diferența de temperatură finală a preîncălzitorului de apă de alimentare. Diferențele mici de temperatură finală necesită suprafețe de schimb de căldură mai mari,

Tabelul 5.12 (continuare)

Denumirea	Coeficientul de schimb de căldură $k$ (aproximativ) kcal/m <sup>2</sup> · h · grd
Schimbător de căldură (lichid/lichid) răcitor de condensat de înaltă presiune:	
integrat	600 – 1500 conform proiectului
separat	1400 – 2100
Răcitor de condensat de joasă presiune:	
integrat	400 – 700
separat	600 – 1400

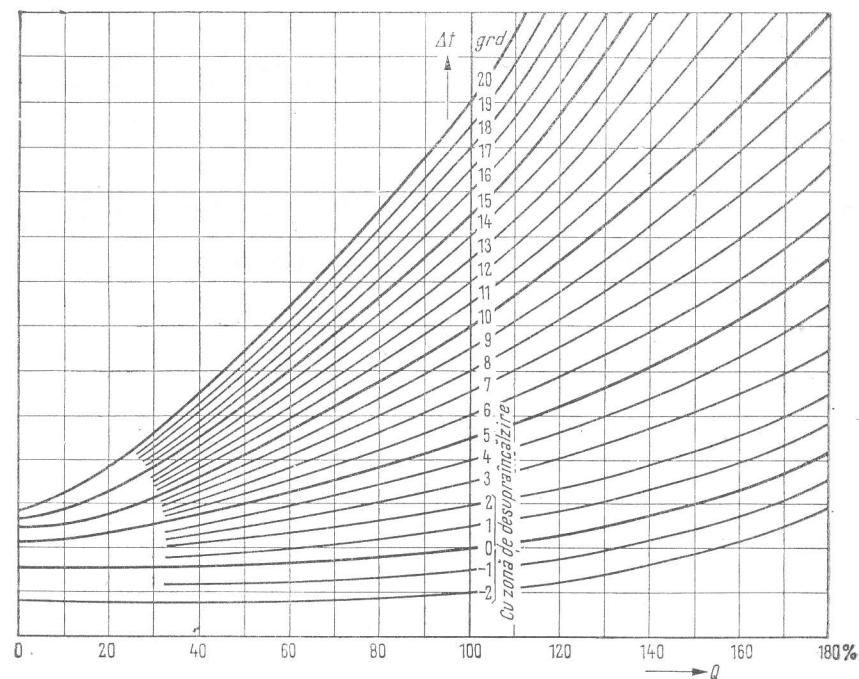


Fig. 5.38. Variația diferenței finale de temperatură în schimbătoarele de căldură în funcție de variația sarcinii.

Suprafața de încălzire se calculează cu relația:

$$F = \frac{Q}{k\theta_m} [\text{m}^2]$$

în care:  $Q$  este căldura transmisă, în kcal/h;  
 $\theta_m$  — diferența de temperatură medie  
 logaritmică, în grd;  
 $k$  — coeficientul de schimb de căldură,  
 în kcal/m<sup>2</sup>·h·grd;  
 $G$  — debitul apei de alimentare, în t/h.

#### Conducte

Pierderea de presiune în conductele de abur  
 se determină din:

$$\Delta p = \frac{\lambda \gamma c^2}{10 d 2g} \text{ sau } \Delta p = \frac{638 \lambda G^2}{\gamma d^5};$$

$$Re = \frac{c d \gamma}{1000 \eta g} \text{ sau } Re = \frac{0,036 G}{d \eta}.$$

Lungimea conductei echivalente rezistențelor  
 hidraulice individuale se calculează cu relația:

$$l = \frac{\zeta d}{1000 \lambda}.$$

Pierderile de înălțime în conductele de apă se calculează cu:

$$\Delta h = \frac{1000 \lambda l c^2}{d 2g}.$$

În aceste relații s-au folosit notațiile:

- $c$  — viteza de curgere, în m/s;
- $d$  — diametrul conductei, în mm;
- $G$  — debitul de abur, în kg/h;
- $g$  — accelerația gravitației, 9,81 m/s<sup>2</sup>;
- $k$  — rugozitatea conductei, în mm;
- $k/d$  — rugozitatea relativă;
- $l$  — lungimea conductei, în m;
- $Re$  — numărul lui Reynolds;
- $t_k$  — temperatura punctului critic, în °C;
- $\Delta h$  — pierderea de înălțime în conductele de apă, în m H<sub>2</sub>O;
- $\alpha$  — conținutul de vapori (100% = 1,0);
- $\gamma$  — greutatea specifică a aburului, în kgf/m<sup>3</sup>;
- $\Delta p$  — pierderea de presiune în conducte de abur, în at;
- $\zeta$  — coeficientul de pierderi al rezistențelor locale;
- $\eta$  — viscozitatea dinamică, în kgf·s/m<sup>2</sup>;
- $\eta_k$  — viscozitatea dinamică în punctul critic;
- $\lambda$  — coeficientul de pierderi prin frecare al conductei.

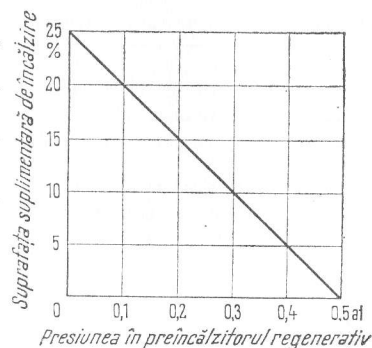


Fig. 5.39. Suprafața suplimentară de încălzire cu preîncălzitoare regenerativ cu vid, ținând seama de conținutul de aer din abur.

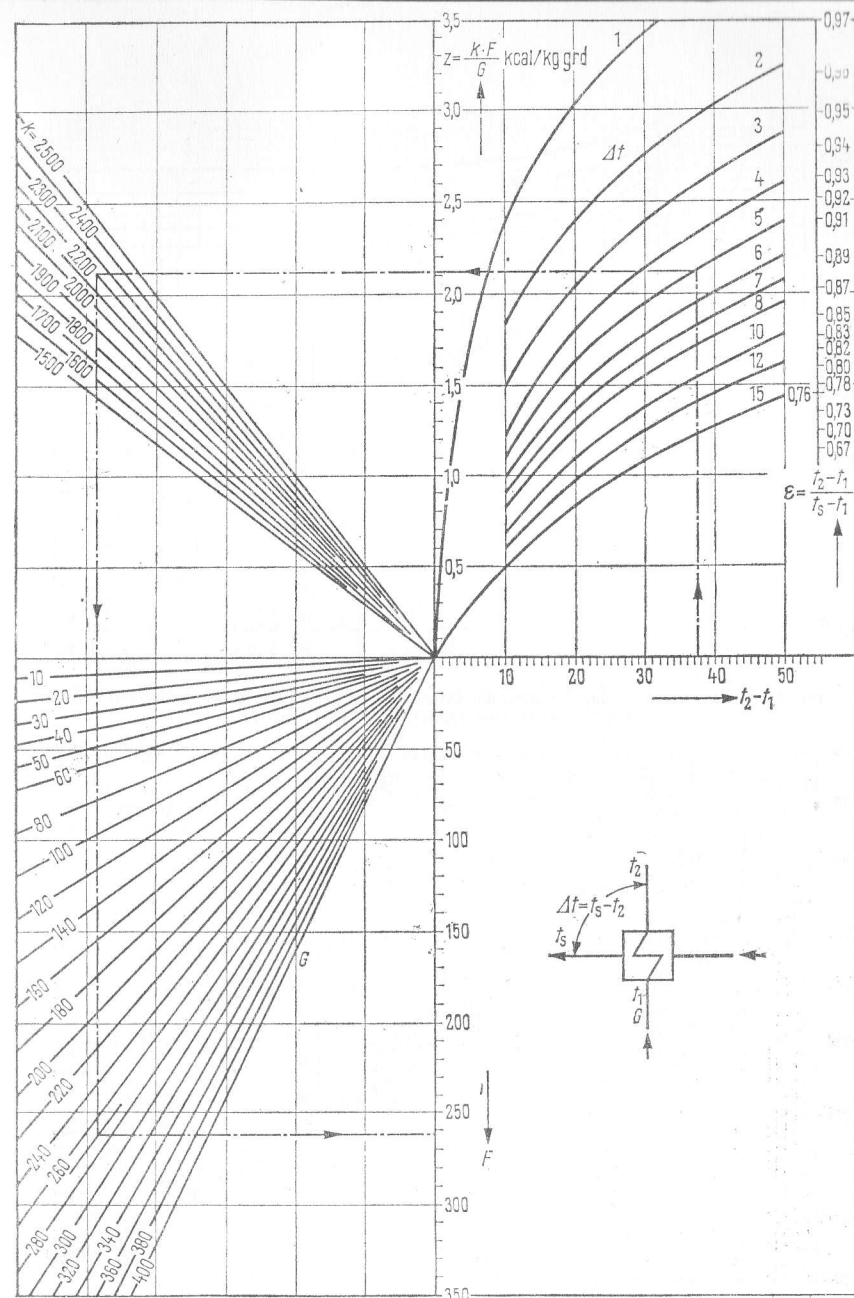
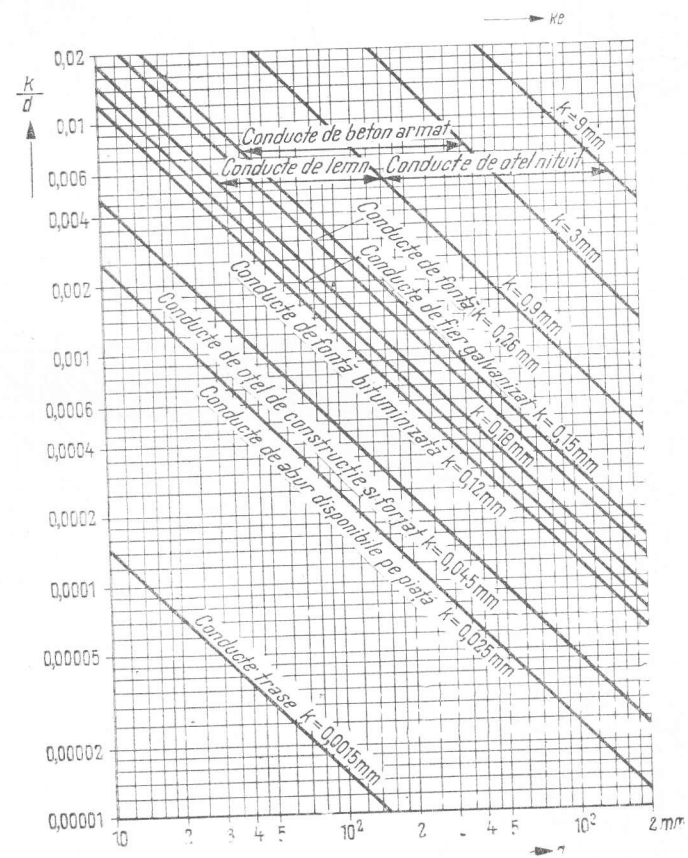
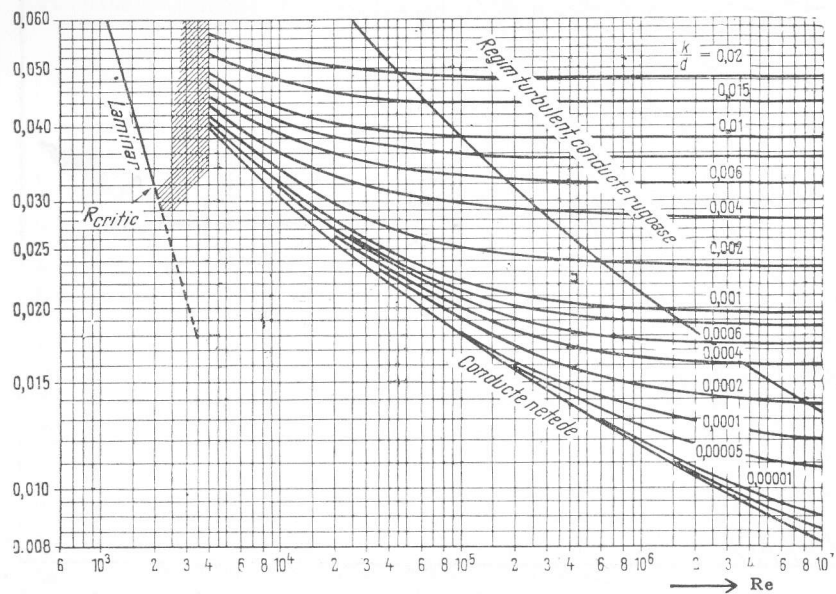
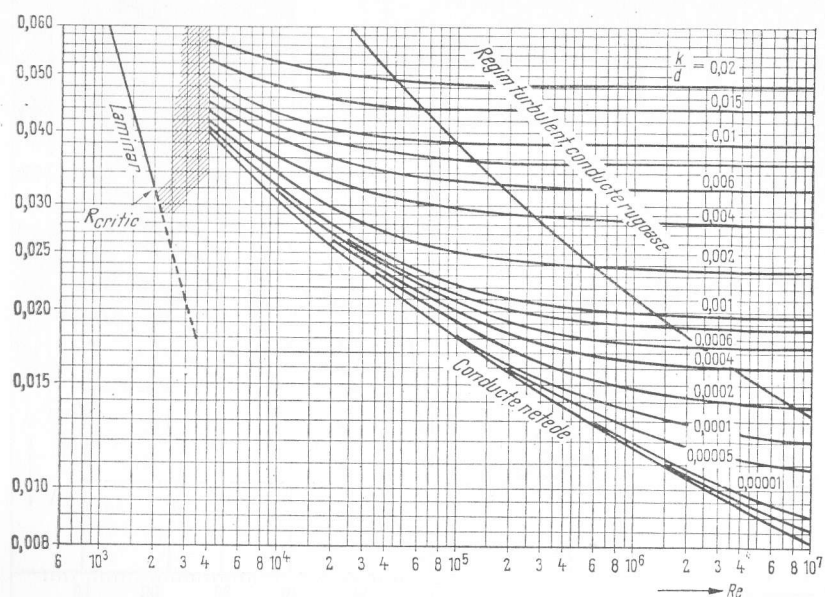


Fig. 5.40. Determinarea aproximativă a suprafețelor de schimb de căldură la schimbătoarele de căldură de suprafață:

#### Exemplu:

Creșterea de temperatură  $t_2 - t_1 = 37,5$  grd;  
 Diferența de temperatură finală  $\Delta t = 5$  grd;  
 Coeficientul de schimb de căldură  $k = 2200$  kcal/m<sup>2</sup>·h·grd;  
 Debitul apei de alimentare  $G = 270$  t/h;

Suprafața de încălzire  $F = 262$  m<sup>2</sup>;  
 Criteriu al suprafeței specifice de încălzire necesare  
 $Z = kF/G$  kcal/kg·grd;  
 Factorul de utilizare  $\varepsilon = (t_c - t_1) / (t_s - t_1)$ .



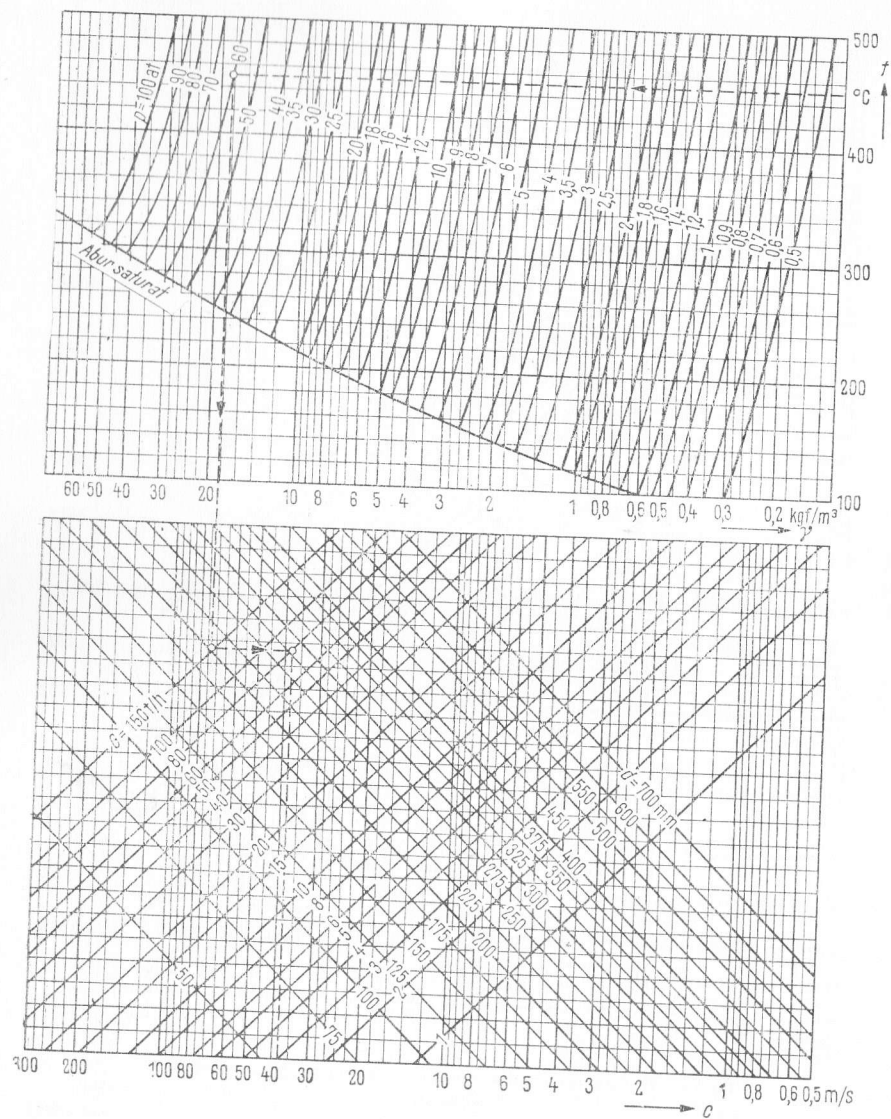


Fig. 5.44. Viteza în conductele de abur.

Exemplu:  
Presiunea aburului  
Temperatura aburului  
Diametrul conductei  
Debitul de abur  
Viteza

$p = 60$  at;  
 $t = 450^\circ\text{C}$ ;  
 $d = 200$  mm;  
 $G = 80$  t/h;  
 $c = 38$  m/s.

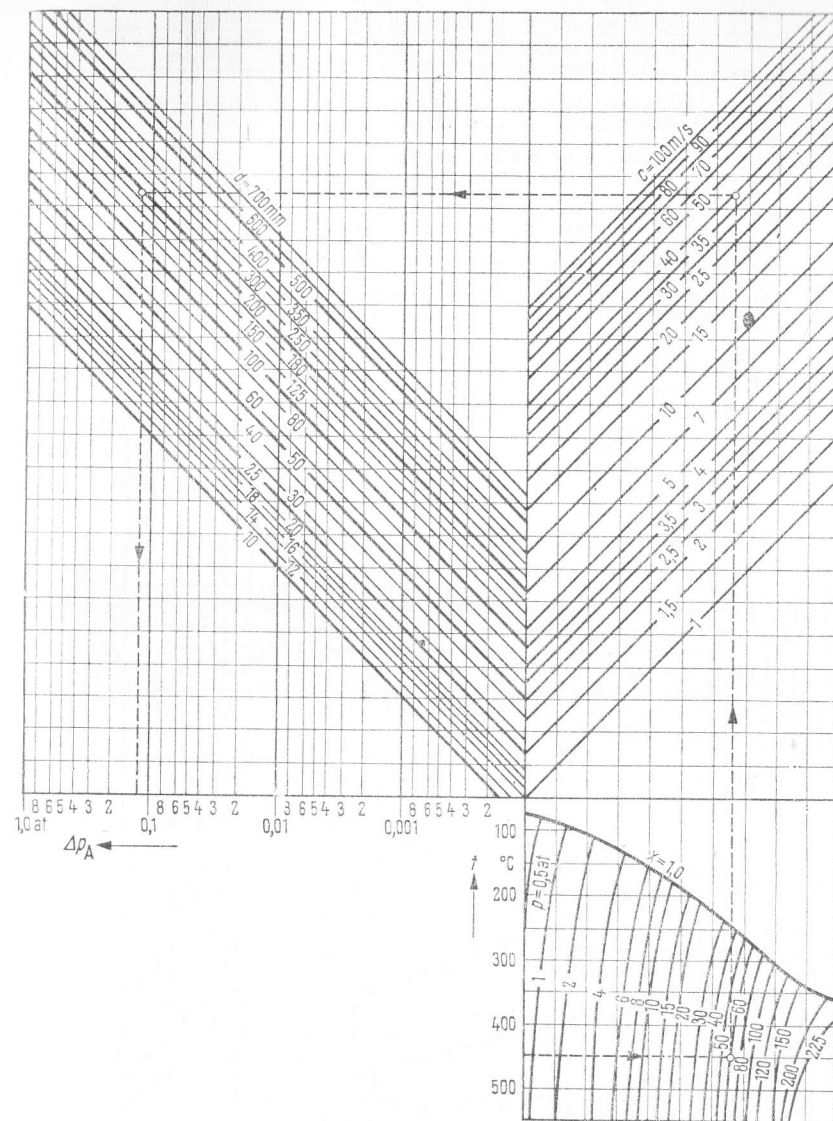


Fig. 5.45. Căderea de presiune în conducte de abur cu lungimea de 10 m.

Exemplu:  
Temperatura aburului  
Presiunea aburului:  
Viteza  
Diametrul conductei  
Pierdere de presiune

$t = 450^\circ\text{C}$ ;  
 $p = 60$  at;  
 $c = 38$  m/s;  
 $d = 200$  mm;  
 $\Delta p_A = 0,13$  at.



Tabelul 5.13. Viteze de scurgere a fluidului prin conducte

	Viteza de curgere $c$ m/s
Conducte de abur supraîncălzit .....	25 — 45
Conducte de abur saturat .....	20 — 30
Conducte de vid .....	45 — 70
Conducte de refulare pentru apa de alimentare .....	1,5 — 4,0
Conducte de aspirație pentru pompe (funcție de presiunea și temperatura apei) .....	0,5 — 1,5
Conducte de condensat sub presiune .....	1,5 — 2,5
Conducte de refulare a apei de răcire .....	1,5 — 2,5
Conducte de alimentare pentru apa de răcire .....	0,5 — 1,5
Conducte de aer comprimat .....	10 — 15
Conducte de gaz de joasă presiune .....	15 — 20
Conducte de păcură (funcție de viscozitate, temperatură și lungimea conductei) .....	0,8 — 2

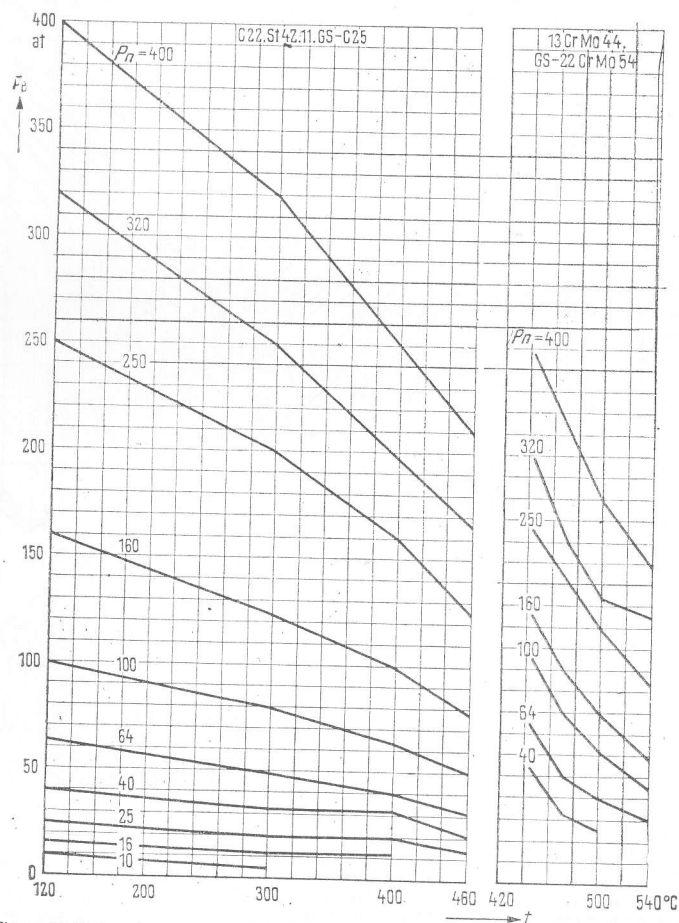


Fig. 5.46. Determinarea presiunii nominale ( $P_n$ ) a armăturilor la temperaturi până la 540°C și diverse presiuni până la 400 at.  
 Exemplu: Presiunea maximă de lucru  $p_B = 70$  at, temperatura  $t = 300$ °C.  
 $P_n = 100$  pentru oțel C22, St42-11 sau oțel turnat GS-C25

Pierderi de presiune în vane și fittinguri:

$$H_v = \zeta \frac{c^2}{2g} [\text{m coloană lichid}].$$

Tabelul 5.14. Valorile coeficientului de rezistență pentru ventile și vane armate

Armături

Diametrul nominal, mm	25	32	40	50	65	80	100	125	150	200
Ventile cu două căi:										
cu rezistență foarte redusă .....	1,7	1,4	1,2	1,0	0,9	0,8	0,7	0,6	0,6	0,6
cu rezistență redusă .....	2,1	2,2	2,3	2,3	2,4	2,5	2,4	2,3	2,1	2,0
standard german .....	4,0	4,2	4,4	4,5	4,7	4,8	4,8	4,5	4,1	3,6
armate, cu scurgere liberă .....	1,0	1,0	1,0	1,0	1,0	1,0	1,3	1,3	1,3	1,6
armate, forjate .....	6,5	6,5	6,5	6,5	3,0	3,0	3,0	3,5	3,5	4,0
armate, oțel turnat .....										
Ventile înclinate:										
cu rezistență scăzută .....	1,6	1,6	1,7	1,9	2,0	2,0	1,9	1,7	1,5	1,3
standard german .....	2,8	3,0	3,3	3,5	3,7	3,9	3,8	3,3	2,7	2,0
Ventile de reținere:										
cu rezistență foarte scăzută .....	2,7	2,8	3,0	2,0	2,0	2,0	1,6	1,6	2,0	2,5
cu rezistență scăzută .....	4,5	4,8	5,3	3,3	3,6	3,9	4,1	3,9	3,3	2,6
standard german .....				6,0	6,6	7,4	7,6	7,2	6,0	4,5
Clapete de reținere <sup>1)</sup> .....	1,9	1,6	1,5	1,4	1,4	1,3	1,2	1,0	0,9	0,8
Ventile plane fără limitare							0,25 — 0,15			
Filtru cu supapă de aspirație							2,5 — 2,2			
Filtru cu orificiu							1,1 — 1,9			

Vană cu setar, armată, de înaltă presiune<sup>2)</sup>

Diametrul interior nominal, mm ....	80	100	125	150	175	200	250	300	350	400
Diametrul interior <sup>3)</sup> , mm .....	65	80	100	125	150	150	200	250	300	300
Coeficientul de limitare 1 la .....	0,66	0,64	0,64	0,69	0,74	0,56	0,64	0,69	0,74	0,56
$\xi$	0,4	0,42	0,42	0,36	0,3	0,6	0,42	0,36	0,3	0,6

<sup>1)</sup>  $H_v$  cel puțin 0,2 m coloană lichid fără braț și greutate, sau 0,5 m coloană lichid cu braț și greutate;

<sup>2)</sup> După porțiunea lineară a conductei, minimum 12 diametre nominale măsurate după vană cu setar;

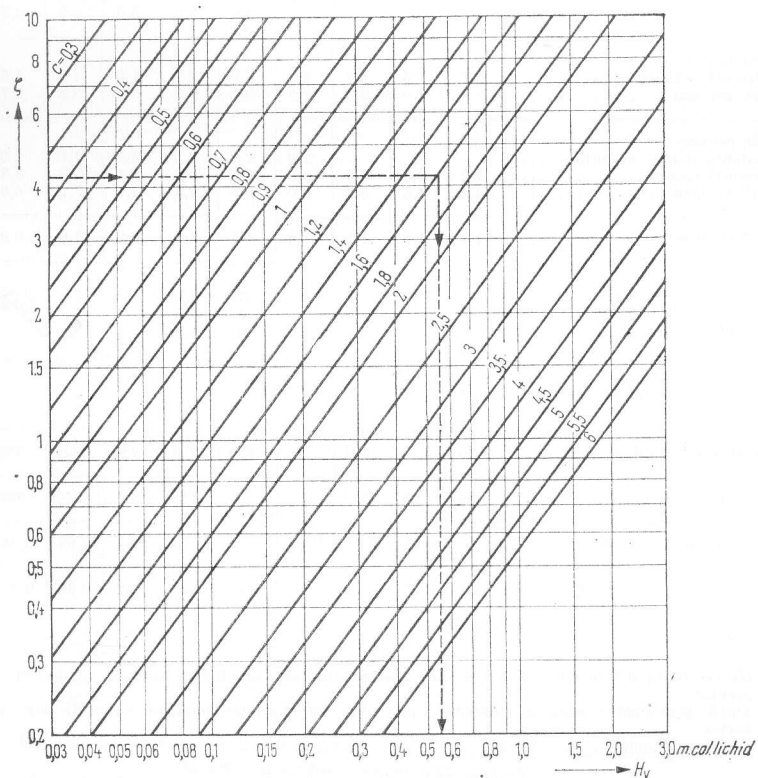
<sup>3)</sup> Trecerea directă.

## Caracteristicile materialelor

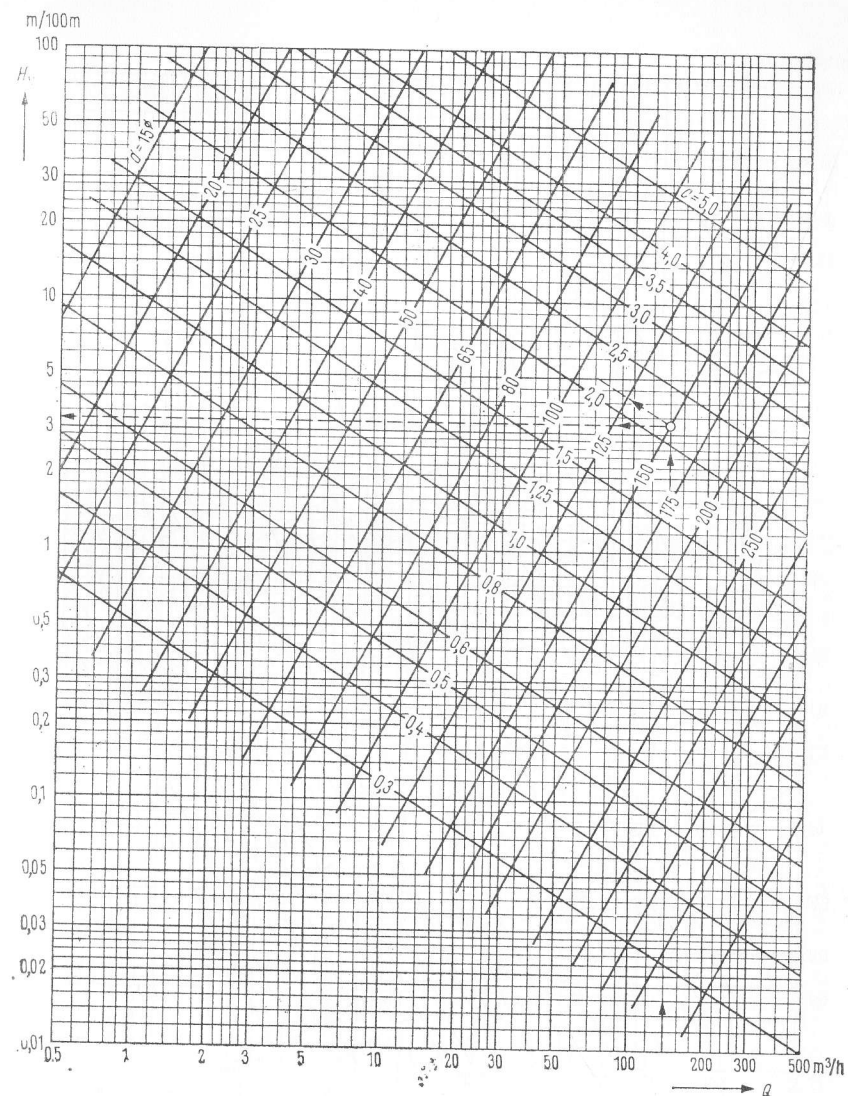
Tabelul. 5.15. Gamă de temperaturi a oțelurilor rezistente la temperatură

Materialul <sup>1)</sup>	Temperatura admisibilă de regim (limita superioară) °C	Utilizat în practică până la °C
St 35,8.....	520	450
15 Mo 3.....	530	510
13 Cr Mo 44.....	560	530
10 Cr Mo 910.....	590	530
14 Mo V 63.....	560	550
X 20 Cr Mo V 121.....	600	580
X 8 Cr Ni Mo V Mb 1613.....	650	640
X 8 Cr Ni Nb 1613.....	850	700
X 8 Cr Ni Mo Nb 1616.....	800	700
X 10 Cr Ni Nb 189.....	—	550

1) Standard german

Fig. 5.47. Determinarea pierderilor de înălțime  $H_v$  în ventile și armături.

Exemplu: Pentru o armătură cu un coeficient de rezistență  $\xi = 42$  și  $c = 1,6$  m/s pierderea de presiune este  $H_v$  0,55 m coloană de lichid.

Fig. 5.48. Pierderile de înălțime în conductele drepte cu diametrul interior de 15-250 mm și debitul  $Q$  de 0,5-500 m³/h, pentru apă la 18°C.

Exemplu: Debitul de apă la 18°C:  $Q = 140$  m³/h; conductă turnată  $d$  (interior) = 150 mm; Rezultă: pierderea de înălțime  $H_v = 3,25$  mm coloană de lichid/100 m; viteza  $c = 2,2$  m/s.



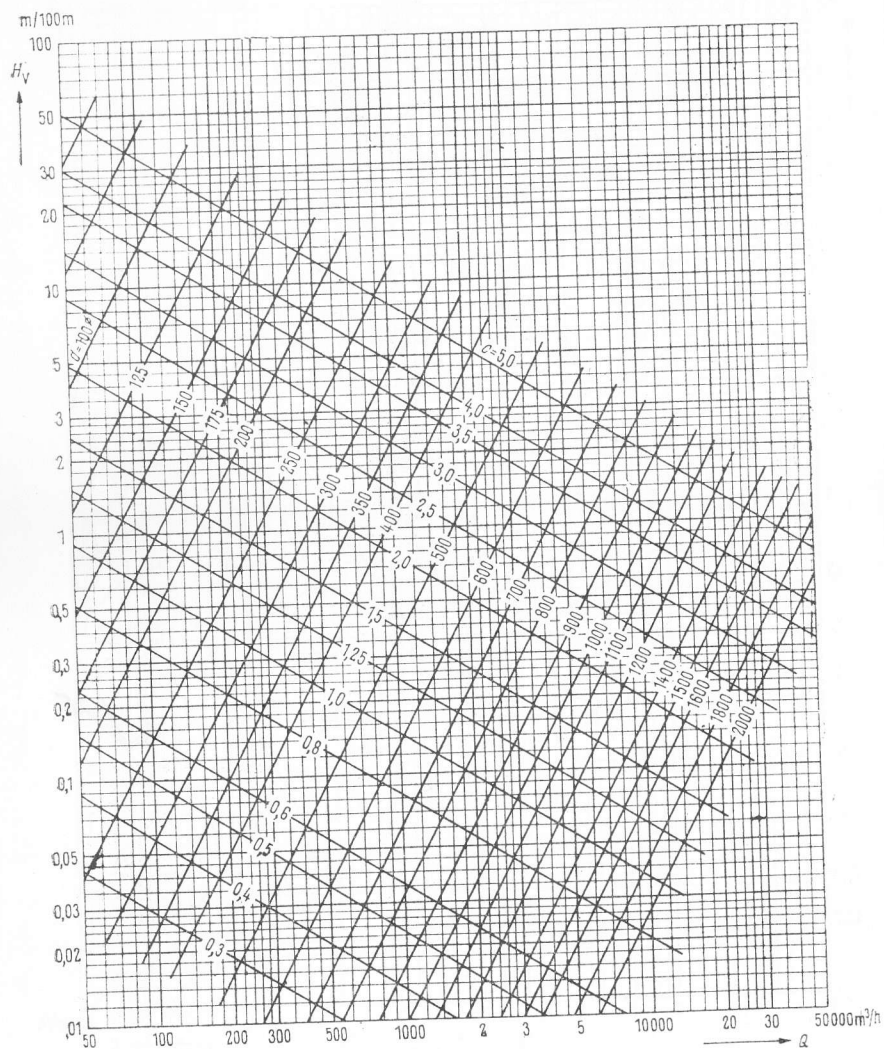


Fig. 5.49. Pierderile de presiune în conductele drepte cu diametrul interior de 100 – 2 000 mm și debite  $Q$  de 50 – 50 000 m<sup>3</sup>/h, pentru apă la 18°C.

Pierderile de presiune trebuie înmulțite cu: 0,8 pentru conducte noi, laminate din oțel; 1,25 pentru conducte de fier mai vechi, ruginite; 1,7 pentru conducte cu cruste, depunerile reducând diametrul interior.

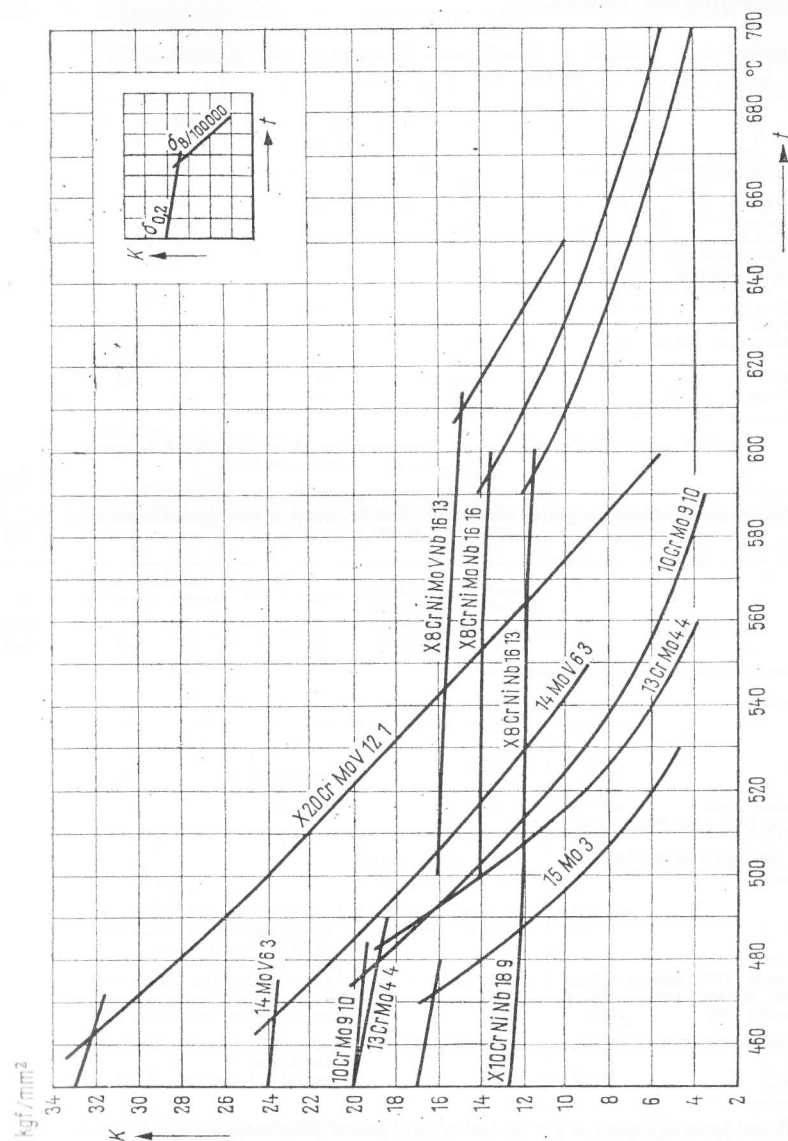


Fig. 5.50. Caracteristicile mecanice ale oțelurilor rezistente la temperatură:  $K$  – coeficient caracteristic al materialului, în kgf/mm²;  $t$  – temperatura, în °C;  $\sigma_{0.2}$  – rezistența de curgere (efortul cu 0,2% alungire permanentă);  $\sigma_{0.9}/10^5$  – rezistența la fluaj (sarcina constantă pe epruvetă, care se rupe după durata probei de 100 000 h).

## Cerințe pentru apa utilizată

Tabelul 5.16. Îndreptar de valori pentru vaporizatorul apei de alimentare și reziduuri provenite din evaporare

	Apa de alimentare	Reziduuri provenite din evaporare
Duritate .....	< 0,05	—
Indicele $p$ .....	—	< 6
Factorul $pH$ la 20°C .....	7–9,5	8,5–11
Conductivitatea la 20°C .....	—	< 5 000
(după neutralizarea cu HCl în prezența fenoltaleinei)		( $D < 0,25$ Bé)
Conținutul total de săruri .....	< 1 000	< 3 000
$P_2O_5$ .....	1–5	< 25
Bioxid de carbon legat .....	< 20	—
Oxygen .....	< 0,02	—
$SiO_2$ .....	< 10	< (30 + 3 p)
Consum de $KMnO_4$ .....	< 10	—

<sup>1)</sup> °dH (gradul de duritate german) corespunde la 10 mg CaO în 1 l de apă.

Tabelul 5.17. Apa de alimentare pentru cazanele cu țevi de apă și pentru centralele nucleare cu circulație naturală

	Cazan cu circulație forțată și injecție de apă la răcitorul de abur supraîncălzit	Cazan cu circulație multiplă			
		20 at <sup>1)</sup>	40 at <sup>1)</sup>	44 at <sup>1)</sup>	80 at și peste și centrală nucleară
Condiții generale:					
Oxygen	mg $O_2$ /l	Maximum, 03 (în timpul pornirii și opririi); în exploatare de regim < 0,02			
Duritate	mval/l	Lipsă			
Fier total	mg Fe/l	0,02   0,01   0,01			
Cupru	mg Cu/l	preferabil 0,05			
Bioxid de carbon total	mg $CO_2$ /l	< 0,005			
( $CO_2 + HCO_3^- + CO_3^{2-}$ ) considerat ca $CO_2$		< 1			
$pH$ la 20°C		7 – 9,5			
de reținut pompele și prefabricatoarele de alimentare		Numai agenți volatili de alcalinizare			
Acid silicic	mg $SiO_2$ /l	În exploatare de regim < 0,02			
Conductivitatea la 20°C măsurată după schimbătorul cationic puternic acid și după eliminarea $CO_2$	$\mu S/cm$	În exploatare de regim < 0,2			
Conținut de permanganat	mg $KMnO_4$ /l	Dacă este posibil < 5			
Ulei	mg/l	< 0,3			

<sup>1)</sup> Cu fluxuri locale de căldură > 2 < 10<sup>5</sup> kcal/m<sup>2</sup> · h și pentru generatoare de abur în centrale nucleare trebuie utilizate pentru presiunile cazanelor valorile peste 80 at.

Tabelul 5.18. Apa de cazan pentru cazane cu țevi de apă și generatoare de abur pentru centrale nucleare cu circulație naturală

	20 at	40 at	64 at	80 at	125 at	160 at	Centrale nucleare
Indicele $p$ mval/l	< 10	< 6	< 3	Dacă este posibil, nu trebuie adăugați hidroxizi-alkalni			
Acid silicic mg $SiO_2$ /l	calculat cu valoarea lui $p$ și cu formula			< 1	< 0,3	< 0,1	< 1
cind conținutul de $SiO_2$ din abur < 0,02mg/kg							
Fosfat..... mg $P_2O_5$ /l	< (70 + 7p)	< (30 + 3p)	< 10	< 4	< 1,2	< 0,4	< 4
dacă duritatea nu apare în mod cert (de exemplu la demineralizarea condensatului, poate fi complet exclus)	< 25	< 10	< 10	< 3	< 3	< 3	< 3
Conductivitatea la 20°C .....	< 8 000	< 5 000	< 2 500	< 1 500	< 250	< 50	< 500
după neutralizarea cu HCl în prezența fenoltaleinei .....	( $D = 0,4$ °Bé)	( $D = 0,25$ °Bé)					
Clor .....	mg/l						< 75 <sup>1)</sup>

Dacă fluxurile locale de căldură > 2 × 10<sup>5</sup> kcal/m<sup>2</sup> · h, este recomandată utilizarea valorilor pentru 160 at pentru toate treptele de presiune (cu excepția  $SiO_2$ ).

<sup>1)</sup> Aplicabilă pentru țevi Inconel.

Tabelul 5.19. Agentul de răcire pentru reactorul cu apă sub presiune

	Reactoare de putere cu $H_2O$ cu control cu acid boric, $H_2O$	Reactoare cu apă grea $D_2O$
Parametrii apei:		
Conductivitatea în $\mu S/cm$	< 40	< 30
Factorul $pH$ sau $pD$	5–10	9–10,5
(conform acidului boric adăugat)		
Concentrația $D_2O$ în mol %	—	> 99,5
Adaosuri:		
Agent de control al $pH$ , molar (bază puternică sau amoniac)	1 × 10 <sup>-4</sup> – 3 × 10 <sup>-4</sup>	—
Agent de control al $pD$ , molar (LiOD sau deuteroamoniac)	—	1 × 10 <sup>-4</sup> – 3 × 10 <sup>-4</sup>
Hidrogen sau deuteriu, în mg/kg	2 – 3	4 – 6
Acid boric, în mg/kg	0 – 25 000	—
Contaminare:		
Oxygen, în mg/kg	< 0,2	< 0,2
Clor, în mg/kg	< 0,2	< 0,1
Sodiu, în mg/kg	< 0,5	< 0,5
Substanțe grase în suspensie, în mg/kg	< 1,0	< 1,0

În cazul contaminării, limitele superioare pentru unele substanțe dăunătoare sînt date numai informativ.



## Caracteristicile materialelor

Tabelul 5.2.2. Parametrii caracteristici ai apei și aburului la saturație

Temperatura $t$ °C	Presiunea $p$ at	Volumul specific		Entropia		Entalpia		Căldură latentă de vaporizare $r$ kcal/kg
		apă $v'$ dm <sup>3</sup> /kg	abur $v''$ m <sup>3</sup> /kg	apă $s'$ kcal/kg·grd	abur $s''$ kcal/kg·grd	apă $i'$ kcal/kg	abur $i''$ kcal/kg	
0	0,006228	1,0002	206,3	0	2,1865	0	597,2	597,2
5	0,008894	1,0000	147,1	0,0182	2,1552	5,03	599,4	594,4
10	0,012517	1,0002	106,4	0,0361	2,1254	10,04	601,6	591,6
15	0,017381	1,0008	77,96	0,0536	2,0969	15,04	603,8	588,8
20	0,02383	1,0017	57,84	0,0708	2,0697	20,03	606,0	586,0
25	0,03229	1,0029	43,40	0,0876	2,0436	25,02	608,2	583,2
30	0,04325	1,0043	32,94	0,1042	2,0186	30,00	610,4	580,4
35	0,05732	1,0059	25,25	0,1205	1,9947	34,98	612,5	577,5
40	0,07519	1,0078	19,56	0,1366	1,9718	39,97	614,7	574,7
45	0,09770	1,0099	15,28	0,1524	1,9497	44,96	616,8	571,8
50	0,12577	1,0121	12,05	0,1679	1,9286	49,94	618,9	569,0
55	0,16050	1,0146	9,683	0,1832	1,9082	54,94	621,0	566,1
60	0,2031	1,0172	7,682	0,1983	1,8887	59,93	623,1	563,2
65	0,2550	1,0200	6,205	0,2132	1,8698	64,93	625,1	560,2
70	0,3178	1,0229	5,047	0,2279	1,8517	69,93	627,2	557,3
75	0,3931	1,0260	4,135	0,2424	1,8342	74,94	629,2	554,3
80	0,4829	1,0293	3,410	0,2567	1,8173	79,95	631,2	551,2
85	0,5894	1,0327	2,829	0,2708	1,8011	84,96	633,1	548,1
90	0,7149	1,0363	2,361	0,2847	1,7854	89,98	635,0	545,0
95	0,8619	1,0400	1,982	0,2984	1,7702	95,01	636,9	541,9
100	1,0332	1,0438	1,673	0,3120	1,7555	100,05	638,8	538,8
105	1,2318	1,0479	1,419	0,3254	1,7413	105,09	640,6	535,5
110	1,4609	1,0520	1,210	0,3387	1,7276	110,14	642,4	532,3
115	1,7239	1,0563	1,036	0,3518	1,7143	115,2	644,2	529,0
120	2,0245	1,0608	0,8913	0,3647	1,7014	120,3	645,9	525,6
125	2,3666	1,0654	0,7709	0,3775	1,6890	125,3	647,6	522,3
130	2,7544	1,0702	0,6679	0,3902	1,6769	130,4	649,3	518,9
135	3,192	1,0751	0,5817	0,4028	1,6652	135,5	650,9	515,4
140	3,685	1,0802	0,5083	0,4152	1,6538	140,7	652,5	511,8
145	4,237	1,0855	0,4459	0,4275	1,6427	145,8	654,0	508,2
150	4,854	1,0910	0,3924	0,4397	1,6319	150,9	655,5	504,6
155	5,540	1,0966	0,3464	0,4518	1,6214	156,1	657,0	500,9
160	6,302	1,1024	0,3068	0,4637	1,6112	161,3	658,4	497,1
165	7,146	1,1085	0,2724	0,4756	1,6012	166,5	659,7	493,2
170	8,076	1,1147	0,2426	0,4874	1,5914	171,7	661,0	489,3

Tabelul 5.22 (continuare)

Temperatura $t$ °C	Presiunea $p$ at	Volumul specific		Entropia		Entalpia		Căldura latentă de vaporizare $r$ kcal/kg
		apă $v'$ dm <sup>3</sup> /kg	abur $v''$ m <sup>3</sup> /kg	apă $s'$ kcal/kg·grd	abur $s''$ kcal/kg·grd	apă $i'$ kcal/kg	abur $i''$ kcal/kg	
175	9,101	1,1211	0,2166	0,4991	1,5818	176,9	662,3	485,4
180	10,225	1,1278	0,1939	0,5107	1,5724	182,2	663,4	481,2
185	11,456	1,1347	0,1739	0,5222	1,5632	187,4	664,5	477,1
190	12,800	1,1418	0,1564	0,5337	1,5541	192,8	665,5	472,7
195	14,265	1,1491	0,1409	0,5450	1,5451	198,1	666,4	468,3
200	15,857	1,1568	0,1273	0,5563	1,5363	203,5	667,3	463,8
205	17,585	1,1647	0,1151	0,5676	1,5276	208,9	668,0	459,1
210	19,456	1,1729	0,1043	0,5788	1,5189	214,3	668,6	454,3
215	21,478	1,1814	0,09471	0,5899	1,5103	219,7	669,2	449,5
220	23,659	1,1903	0,08611	0,6010	1,5017	225,2	669,6	444,4
225	26,007	1,1994	0,07841	0,6120	1,4932	230,8	669,9	439,1
230	28,531	1,2090	0,07149	0,6230	1,4847	236,4	670,0	433,6
235	31,239	1,2190	0,06527	0,6340	1,4762	242,0	670,1	428,1
240	34,140	1,2293	0,05967	0,6450	1,4677	247,7	670,0	422,3
245	37,244	1,2402	0,05460	0,6559	1,4592	253,4	669,8	416,4
250	40,56	1,2515	0,05002	0,6668	1,4507	259,2	669,4	410,2
255	44,10	1,2633	0,04586	0,6777	1,4421	265,0	668,8	403,8
260	47,87	1,2757	0,04208	0,6886	1,4335	270,9	668,1	397,2
265	51,88	1,2888	0,03865	0,6996	1,4248	276,9	667,3	390,4
270	56,14	1,3025	0,03552	0,7105	1,4161	282,9	666,3	383,4
275	60,66	1,3169	0,03266	0,7215	1,4073	289,0	665,1	376,1
280	65,46	1,3322	0,03005	0,7324	1,3984	295,2	663,7	368,5
285	70,54	1,3483	0,02766	0,7435	1,3894	301,5	662,1	360,6
290	75,92	1,3655	0,02546	0,7546	1,3804	307,9	660,4	352,5
295	81,60	1,3837	0,02345	0,7658	1,3712	314,4	658,5	344,1
300	87,61	1,4033	0,02160	0,7770	1,3620	321,1	656,3	335,2
305	93,95	1,4024	0,01989	0,7884	1,3526	327,8	654,0	326,2
310	100,64	1,447	0,01832	0,7990	1,3431	334,7	651,5	316,8
315	107,69	1,471	0,01687	0,8115	1,3337	341,8	648,9	307,1
320	115,12	1,498	0,01549	0,8234	1,3232	349,0	645,5	296,5
325	122,95	1,527	0,01420	0,8354	1,3118	356,5	641,5	285,0
330	131,18	1,560	0,01298	0,8478	1,2999	364,2	636,9	272,7
335	139,85	1,598	0,01183	0,8605	1,2870	372,2	631,6	259,4
340	148,96	1,638	0,01076	0,8736	1,2735	380,6	625,8	245,2
345	158,54	1,687	0,009765	0,8874	1,2595	389,4	619,4	230,0
350	168,63	1,746	0,008803	0,9021	1,2441	398,9	612,0	213,1
355	179,24	1,817	0,007878	0,9179	1,2270	409,5	603,6	194,1
360	190,42	1,908	0,006867	0,9353	1,2072	420,9	593,1	172,2
365	202,21	2,03	0,00604	0,9557	1,1833	434,2	579,4	145,2
370	214,68	2,23	0,00499	0,9824	1,1481	452,3	558,9	106,6
374	225,22	2,79	0,00362	1,033	1,086	488,0	522,5	34,5



Apă în fierbere

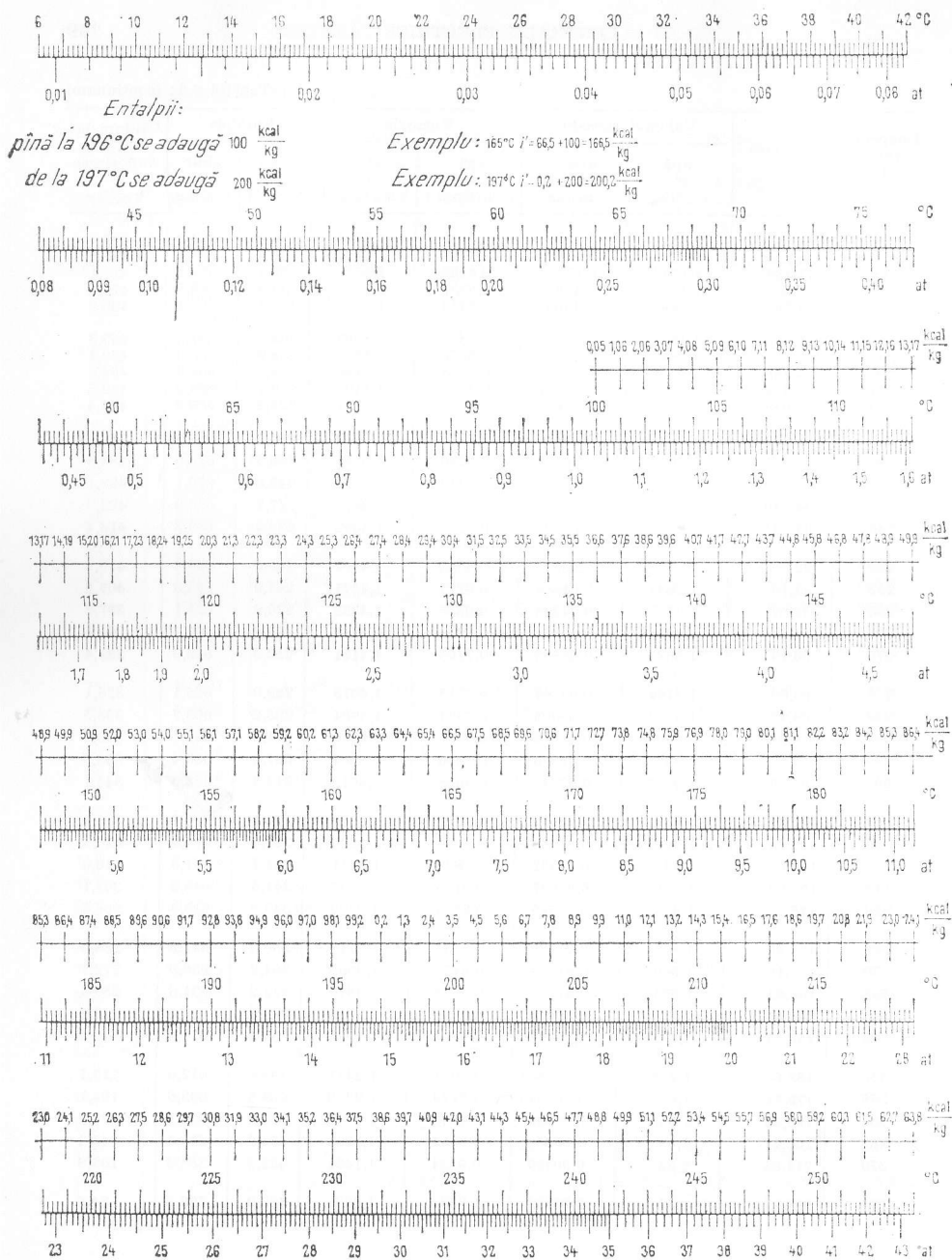


Fig. 5.53. Scările presiune — temperatură — entalpie.

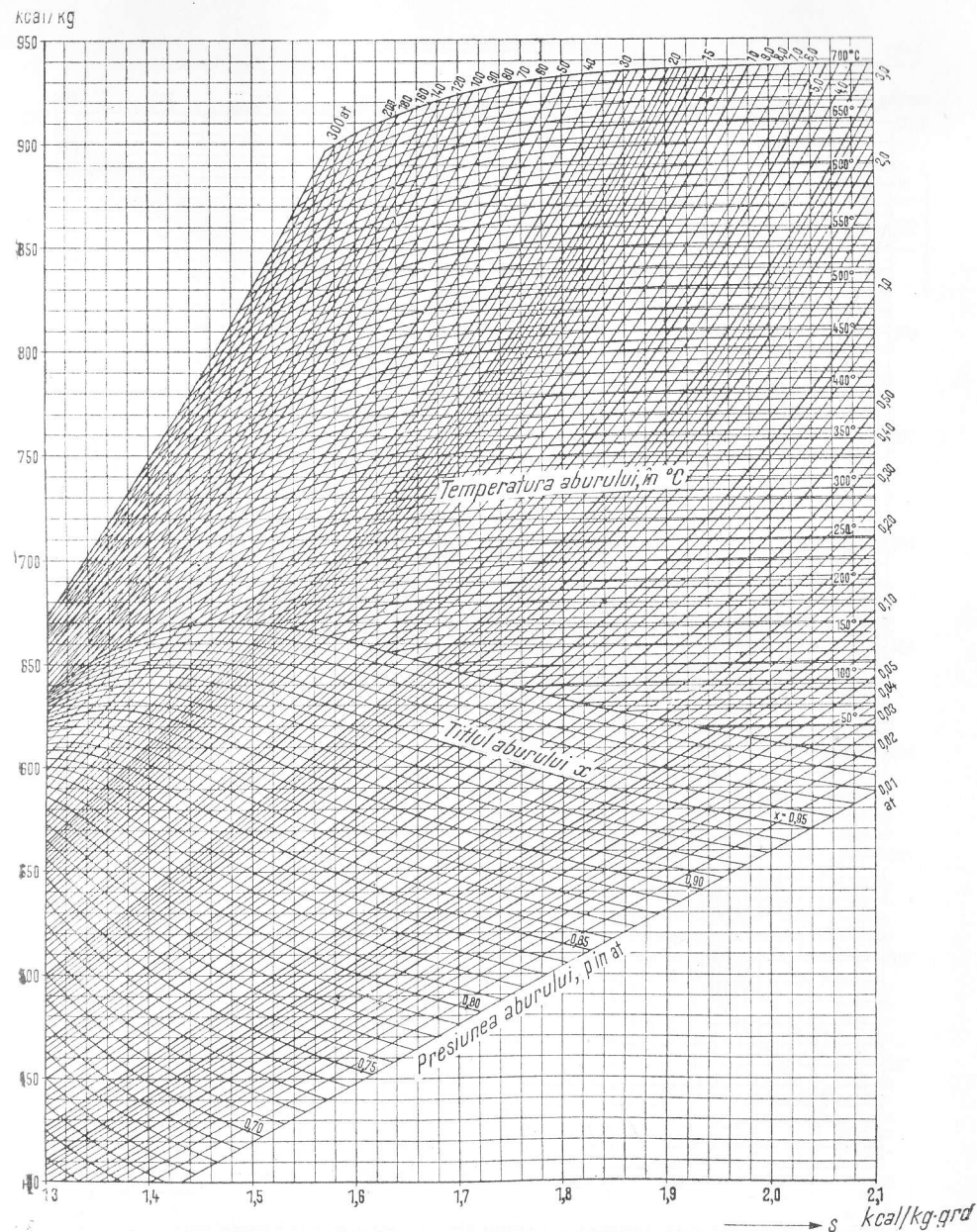
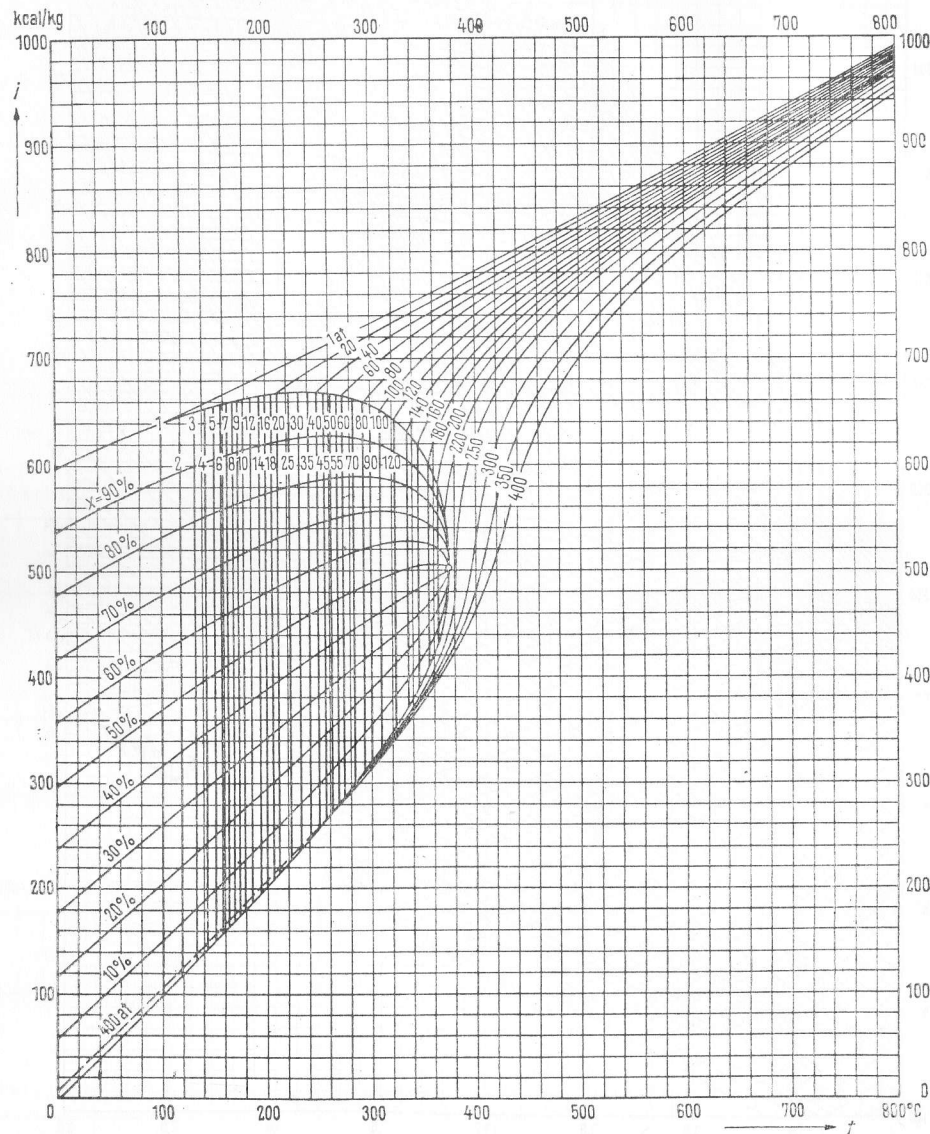


Fig. 5.54. Diagrama  $t, s$  (Mollier) pentru abur:  $t$  — entalpia;  $s$  — entropia.



Fig. 5.55. Diagrama  $i, t$  pentru abur:  $i$  - entalpia;  $t$  - temperatura.Tabelul 5.23. Mărimile de stare ale apei grele ( $D_2O$ ) și aburului provenit din apa grea la saturație

Tempera- tura $t$ C°	Presiunea $p$ at	Volumul specific		Entropia <sup>1)</sup>		Entalpia <sup>1)</sup>		Căldura latentă de vaporizare $r$ kcal/kg
		apă $v'$ dm <sup>3</sup> /kg	abur $v''$ m <sup>3</sup> /kg	apă $s'$ kcal/kg · grd	abur $s''$ kcal/kg · grd	apă $i'$ kcal/kg	abur $i''$ kcal/kg	
3,82	0,0060	0,9019	169,5	0	2,0012	0	554,27	554,27
5	0,0074	0,9019	156,3	0,0048	1,9945	1,17	554,74	553,57
10	0,0106	0,9022	111,8	0,0224	1,9670	6,24	556,75	550,51
15	0,0149	0,9028	81,13	0,0398	1,9407	11,30	558,76	547,45
20	0,0206	0,9037	59,56	0,0570	1,9155	16,36	560,77	544,40
25	0,0282	0,9084	44,24	0,0740	1,8914	21,42	562,77	541,35
30	0,0382	0,9082	33,23	0,0907	1,8683	26,46	564,77	538,30
35	0,0512	0,9077	25,24	0,1072	1,8462	31,50	566,76	535,26
40	0,0677	0,9094	19,36	0,1234	1,8251	36,52	568,74	532,22
45	0,0888	0,9114	15,00	0,1393	1,8048	41,54	570,72	529,18
50	0,1153	0,9134	11,73	0,1550	1,7853	46,54	572,68	526,13
55	0,1482	0,9157	9,263	0,1704	1,7666	51,54	574,64	523,09
60	0,1889	0,9181	7,373	0,1855	1,7487	56,53	576,58	520,04
65	0,2388	0,9207	5,917	0,2004	1,7315	61,51	578,50	516,98
70	0,2993	0,9234	4,785	0,2151	1,7150	66,49	580,41	513,92
75	0,3724	0,9262	3,898	0,2295	1,6991	71,46	582,30	510,84
80	0,4599	0,9292	3,198	0,2437	1,6839	76,43	584,17	507,74
85	0,5640	0,9323	2,641	0,2576	1,6692	81,39	586,02	504,62
90	0,6871	0,9356	2,195	0,2714	1,6550	86,35	587,85	501,49
95	0,8317	0,9390	1,835	0,2849	1,6414	91,31	589,65	498,33
100	1,00	0,9425	1,543	0,2982	1,6282	96,27	591,42	495,14
105	1,19	0,9462	1,305	0,3114	1,6155	101,24	593,17	491,93
110	1,42	0,9500	1,109	0,3244	1,6032	106,20	594,89	488,68
115	1,68	0,9540	0,9478	0,3372	1,5913	111,16	596,57	485,40
120	1,98	0,9581	0,8134	0,3498	1,5799	116,13	598,22	482,08
125	2,32	0,9623	0,7011	0,3623	1,5687	121,11	599,84	478,73
130	2,71	0,9667	0,6069	0,3747	1,5579	126,08	601,42	475,33
135	3,14	0,9712	0,5275	0,3869	1,5475	131,07	602,96	471,88
140	3,64	0,9759	0,4602	0,3990	1,5373	136,06	604,45	468,39
145	4,19	0,9808	0,4030	0,4110	1,5274	141,06	605,91	464,84
150	4,81	0,9858	0,3540	0,4229	1,5177	146,07	607,32	461,24
155	5,49	0,9909	0,3121	0,4346	1,5083	151,09	608,68	457,58
160	6,26	0,9963	0,2759	0,4463	1,4992	156,12	609,99	453,86
165	7,11	1,001	0,2447	0,4578	1,4902	161,16	611,25	450,08
170	8,05	1,007	0,2176	0,4693	1,4814	166,22	612,45	446,22
175	9,08	1,013	0,1940	0,4807	1,4729	171,30	613,59	442,29
180	10,21	1,019	0,1735	0,4920	1,4644	176,39	614,68	438,28
185	11,46	1,025	0,1554	0,5032	1,4562	181,51	615,70	434,19
190	12,81	1,032	0,1396	0,5144	1,4481	186,64	616,65	430,00
195	14,30	1,039	0,1256	0,5255	1,4401	191,80	617,54	425,73
200	15,91	1,046	0,1133	0,5365	1,4322	196,99	618,35	421,35
205	17,66	1,053	0,1024	0,5475	1,4245	202,21	619,09	416,87
210	19,56	1,061	0,09273	0,5585	1,4168	207,46	619,75	412,28
215	21,62	1,069	0,08410	0,5694	1,4093	212,75	620,33	407,57
220	23,83	1,077	0,07640	0,5803	1,4018	218,08	620,82	402,74
225	26,22	1,085	0,06952	0,5911	1,3944	223,45	621,23	397,78
230	28,79	1,094	0,06335	0,6020	1,3871	228,87	621,55	392,67
235	31,55	1,103	0,05781	0,6128	1,3798	234,35	621,78	387,42
240	34,50	1,113	0,05283	0,6237	1,3726	239,88	621,90	382,01
245	37,66	1,123	0,04833	0,6345	1,3654	245,48	621,92	376,44

Tabelul 5.23 (continuare)

Temperatura $t$ °C	Presiunea $p$ at	Volumul specific		Entropia <sup>1)</sup>		Entalpia <sup>1)</sup>		Căldura latentă de vaporizare $r$ kcal/kg
		apă $v'$ dm <sup>3</sup> /kg	abur $v''$ m <sup>3</sup> /kg	apă $s'$ kcal/kg·grd	abur $s''$ kcal/kg·grd	apă $i'$ kcal/kg	abur $i''$ kcal/kg	
250	41,03	1,134	0,04427	0,6454	1,3582	251,15	621,84	370,69
255	44,63	1,145	0,04059	0,6563	1,3510	256,89	621,64	364,75
260	48,46	1,156	0,03726	0,6672	1,3438	262,71	621,32	358,61
265	52,53	1,168	0,03423	0,6782	1,3366	268,61	620,87	352,26
270	56,86	1,181	0,03147	0,6893	1,3294	274,61	620,29	345,68
275	61,44	1,195	0,02895	0,7004	1,3221	280,71	619,57	338,85
280	66,31	1,209	0,02665	0,7116	1,3148	286,91	618,69	331,77
285	71,45	1,225	0,02454	0,7229	1,3074	293,24	617,65	324,41
290	76,89	1,241	0,02261	0,7344	1,2998	299,68	616,43	316,74
295	82,64	1,258	0,02083	0,7459	1,2922	306,26	615,01	308,75
300	88,71	1,277	0,01919	0,7577	1,2843	312,98	613,38	300,40
305	95,11	1,297	0,01768	0,7695	1,2763	319,85	611,53	291,67
310	101,87	1,319	0,01628	0,7816	1,2680	326,88	609,41	282,52
315	109,00	1,343	0,01495	0,7939	1,2595	334,10	607,01	272,91
320	116,51	1,369	0,01376	0,8064	1,2506	341,50	604,28	262,77
325	124,45	1,397	0,01263	0,8192	1,2413	349,12	601,18	252,05
330	132,81	1,430	0,01157	0,8323	1,2314	356,98	597,65	240,67
335	141,65	1,466	0,01057	0,8458	1,2210	365,11	593,63	228,52
340	150,99	1,507	0,009632	0,8598	1,2099	373,57	589,04	215,45
345	160,87	1,556	0,008740	0,8743	1,1979	382,45	583,77	201,32
350	171,34	1,616	0,007892	0,8897	1,1849	391,93	577,75	185,81

<sup>1)</sup> Punctul zero pentru entalpie și entropie la punctul triplu la  $t = 3,82$  °C.

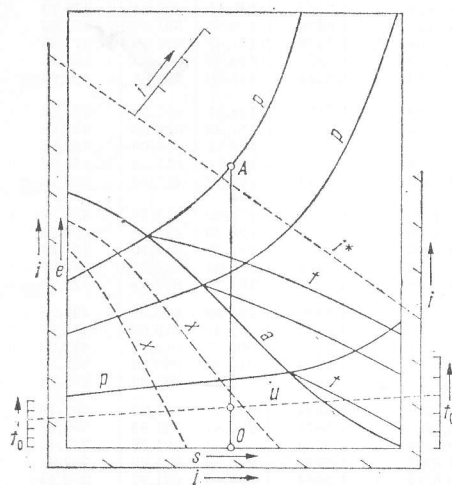


Fig. 5.56. Diagrama exergiei aburului. Temperatura ambiantă  $t_0 = 0$  °C:

$a$  — curba limită superioară;  $p$  — izobare;  $t$  — izoterme;  $x$  — curbe de titlu constant;  $i$  — scări (laterale) pentru entalpie;  $i_0$  — scări (laterale) pentru temperatura mediului ambiant;  $i^*$  — curbe izentalpice;  $u$  — curba temperaturii mediului ambiant  $t_0 > 0$  °C.

Calculul exergiei (energia disponibilă)

$$e = (i - i_0) - T_0 (s - s_0) \text{ (kcal/kg)}.$$

Entropia este reprezentată în diagramă în abscisă, în kcal/kg·grd, iar exergia în kcal/kg în ordonată. Pe lângă curba limită superioară, sunt reprezentate izotermele, izobarele și curbele de titlu constant. Scările laterale permit determinarea curbelor de entalpie constantă (preferabil în culori), acestea fiind linii drepte care unesc puncte similare de pe scara din partea stângă și de pe scara din partea dreaptă.

Exergia pentru temperatura ambiantă  $t_0 = 0$  °C poate fi citită direct. Pentru temperatura ambiantă  $t_0 > 0$  °C, trebuie trasată mai întâi curba mediului ambiant, între punctele corespunzătoare de pe scara din partea stângă și de pe scara din partea dreaptă.

Exergia se găsește ca distanță izentropică a punctului de stare față de curba mediului ambiant.

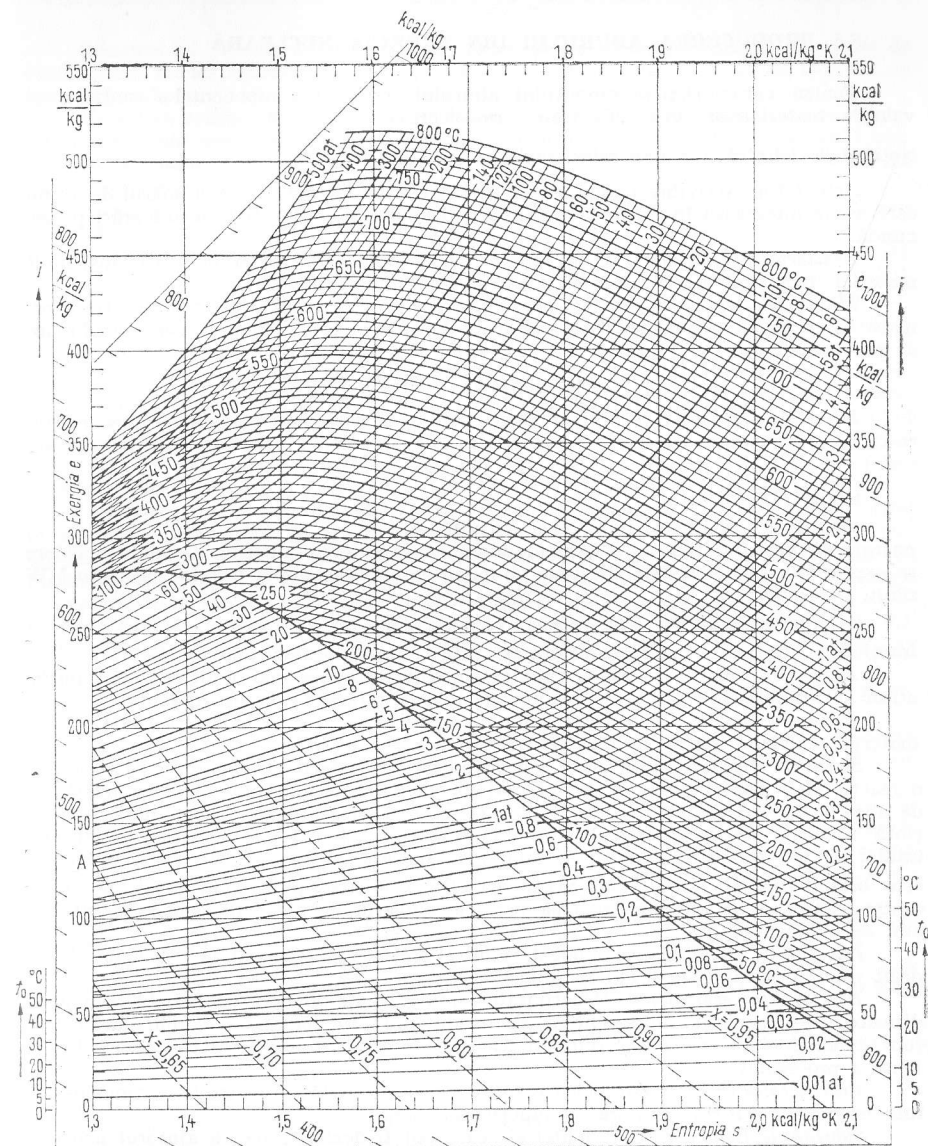


Fig. 5.56 b.

## 5.5. PRODUCEREA ABURULUI DIN ENERGIA NUCLEARĂ

Pentru caracteristicile circuitului aburului, calculul componentelor centralei și valorile materialelor, vezi „Centrale termoelectrice”.

## Noțiuni de tehnică a reactoarelor nucleare

**Activitatea.** Activitatea unui nucleid sau material radioactiv este numărul de atomi care se dezintegrează în unitatea de timp.  $1 \text{ Ci (curie)} = 3,7 \times 10^{10}$  dezintegrări pe secundă.

**Reactorul reproducător** este un reactor care produce din materiale fertile mai mult material fisionabil decât consumă pentru a produce energie.

**Materialele reproducătoare sau materialele fertile** sînt materialele care sînt transformate în materiale fisionabile prin captarea de neutroni și eliberarea corespunzătoare de particule  $\beta$



**Reproducerea** este raportul dintre cantitatea de material fisionabil produs într-un reactor reproducător și cantitatea consumată. El depinde de perioada de lucru a reactorului.

## Gradul de ardere

pentru materiale fisionabile:

energia termică produsă pe unitatea de masă de combustibil nuclear. Gradul de ardere se exprimă de obicei în MW zile/tona de metal greu (de exemplu uraniu), adică în MW zile/t.

pentru materiale nefisionabile:

fracțiunea dintr-un nucleid transformat prin captarea de neutroni.

**Barele de control** absorb neutronii; ele sînt introduse mai mult sau mai puțin adînc într-o rețea de găuri din reactor, pentru a influența reacția în lanț.

**Reactorul convertor** este un reactor care produce din materiale fertile mai puțin material fisionabil decât consumă pentru producerea energiei.

**Secțiunea eficace** este o măsură a probabilității ca o particulă sau foton să producă o reacție cînd este dirijat spre un material (de exemplu secțiuni eficace de împrăștiere, de absorbție și de fisiune). Secțiunea eficace microscopică  $\sigma$  poate fi imaginată ca aria-țintă a unei singure particule pentru radiație; ea depinde atît de materialul iradiat, cît și de energia radiației. Unitatea de măsură a secțiunii eficace microscopice este barnul (b);  $1\text{b} = 10^{-24} \text{ cm}^2$ . Secțiunea eficace microscopică  $\Sigma(\text{cm}^{-1})$  este produsul dintre secțiunea eficace microscopică ( $\text{cm}^2$ ) și numărul de particule conținute într-un  $\text{cm}^3$  de substanță-țintă.

**Îmbogățirea.** Uraniul este îmbogățit cînd el prezintă un conținut de  $^{235}\text{U}$  mai ridicat decât uraniul natural de 0,714 la sută  $^{235}\text{U}$ .

**Reactivitatea echivalentă.** Reactivitatea unui reactor poate fi schimbată prin modificarea poziției unui component al reactorului sau prin modificarea unui parametru funcțional. Schimbarea care rezultă în reactivitate este denumită reactivitatea echivalentă a procesului.

**Reactivitatea în exces** este valoarea pozitivă a reactivității care trebuie compensată într-un reactor critic la o stare de funcționare dată.

**Substanțele fisionabile** sînt materiale care pot fi dezintegrate cu ajutorul neutronilor, adică absorbția de neutroni de către acestea conduce în majoritatea cazurilor la fisiune nucleară ( $^{235}\text{U}$ ,  $^{233}\text{U}$ ,  $^{239}\text{Pu}$ ,  $^{241}\text{Pu}$ ).

**Otrăvirea cu produse de otrăvire** este prezența nuclizilor produsă de procesele de dezintegrare nucleară dintr-un reactor, care au o secțiune eficace mare de captură de neutroni, reducînd astfel reactivitatea în exces a reactorului.

**Elementul combustibil** este un ansamblu de bare combustibile asamblate cu ajutorul materialelor structurale, ca de exemplu piese de distanțare, benzi de capăt etc.

**Bara combustibilă** este o cantitate de combustibil nuclear, de exemplu pastile de  $\text{UO}_2$  sinterizat, închise într-o teacă tubulară.

**Apa grea** este  $\text{D}_2\text{O}$ . Deuteriul este un izotop al hidrogenului de masă 2 care conține hidrogen natural pînă la 0,014%.

**Moderatorul** este o substanță care absoarbe neutronii într-o proporție limitată și care încetinește neutronii de fisiune prin ciocniri elastice, de la energia inițială ridicată a acestora (valoarea medie 2 MeV) pînă la energia termică ( $< 0,5 \text{ eV}$ ) într-un timp foarte scurt ( $10^{-5} - 10^{-4} \text{ s}$ ). Se utilizează în mod frecvent  $\text{H}_2\text{O}$ ,  $\text{D}_2\text{O}$  sau grafitul.

**Factorul de multiplicare  $k_{\infty}$**  este numărul de neutroni rezultați prin fisiune într-o generație, raportat la numărul de neutroni absorbiți în precedenta generație într-un reactor presupus infinit de mare. Factorul de multiplicare efectiv sau raportul de reproducere  $k_{ef}$  ia în considerație faptul că unii neutroni scapă în mediul înconjurător în timpul producerii prin suprafața de fisiune.

**Densitatea fluxului de neutroni** ( $\text{cm}^{-2} \text{ s}^{-1}$ ) este suma vitezelor tuturor neutronilor liberi prezenți în  $1 \text{ cm}^3$ .

**Reactoarele nucleare** sînt instalații în care atomii utilizați drept combustibil nuclear sînt dezintegrați cu ajutorul neutronilor într-o reacție în lanț autointreținută, din care se produce energie. Depinzînd de parametrii de transformare ai instalației, în timpul acestui proces se poate produce mai mult combustibil nuclear. Se face distincție între reactoarele termice, epitermice (intermediare) și reactoarele rapide, după cum fisiunea este cauzată în principal de neutroni cu o energie  $< 0,5 \text{ eV}$ , de la  $0,5 \text{ eV}$  la  $0,1 \text{ MeV}$ , sau  $> 0,01 \text{ MeV}$ . Intervalele de energie ale neutronilor din reactoare uneori se suprapun.

**Centrala nucleară electrică** este o centrală termoelectrică cu abur care folosește ca sursă de căldură un reactor nuclear.

**Bilanțul reactivității** este comparația excesului maxim de reactivitate cu toate reactivitățile echivalente corespunzătoare. Bilanțul reactivității depinde de modul de exploatare a reactorului și de funcționarea sa anterioară.

**Reactor cu țevi sub presiune.** Țevile sub presiune conțin agentul de răcire; ele înconjoară elementele combustibile. Moderatorul și reflectorul sînt la presiune scăzută.

**Reactorul cu vas de presiune.** Un reactor în care presiunea agentului de răcire este conținută de un vas de presiune care înconjoară zona activă a reactorului și componentele sale interne.

**Coeficientul de reactivitate** este coeficientul diferențial de reactivitate raportat la un parametru funcțional, ca temperatura sau presiunea, care îl influențează.

**Viteza reactivității** este coeficientul de reactivitate diferențial raportat la timp.

**Reactivitatea** este o măsură a deviației reactorului de la starea critică. Se definește prin următoarea relație:

$$\rho = \frac{k_{ef} - 1}{k_{ef}}$$

în care  $\rho$  este reactivitatea și  $k_{ef}$  este factorul de multiplicare efectiv.

Un reactor este critic atunci cînd  $k_{ef} = 1$  și prin urmare  $\rho = 0$ .

**Combustibilul reactorului** este un amestec de substanțe fisionabile și fertile, în majoritate oxizi, carburi sau metale (de exemplu  $\text{UO}_2$ , amestec de oxizi de Th-U).



*Reflectorul.* Acesta este o substanță moderatoare dispusă în jurul zonei active a reactorului pentru a preveni pierderile prin scăpare de neutroni.

*Reactivitatea de oprire* este reactivitatea reactorului după oprirea prin mijloacele uzuale. Ea depinde, în general, de metoda de exploatare a reactorului și de durata ciclului de oprire și este întotdeauna negativă (vezi de asemenea și reactivitatea).

#### Combustibili nucleari, tipuri de reactoare, gradul de ardere a combustibilului

Tabelul 5.24. Materiale de fisiune primare și secundare și materiale fertile

Materiale de fisiune primare (naturale): Uraniu, natural, care conține 0,714% $^{235}\text{U}$ Uraniu îmbogățit, care conține > 0,714% $^{235}\text{U}$	fisiune cu neutroni termici și rapizi
Materiale secundare (artificiale) de fisiune: $^{233}\text{U}$ , obținut din $^{232}\text{Th}$ $^{239}\text{Pu}$ , obținut din $^{238}\text{U}$	fisiune cu neutroni termici și rapizi
Materiale fertile: Uraniu $^{238}\text{U}$ , poate fi format în Pu prin, $^{232}\text{Th}$ poate fi transformat în $^{233}\text{U}$ prin	neutroni rapizi

Dependența duratei de serviciu a elementelor combustibile și a costului combustibilului de gradul de ardere: durata de serviciu a elementelor combustibile în reactor se calculează cu relația

$$t_{st} = \frac{B_u}{L_{sp}} \quad (\text{în zile de plină sarcină})$$

în care  $B_u$  este gradul mediu de ardere, în MW zile/t uraniu;

$L_{sp}$  — puterea specifică medie a combustibilului, în MW/t.

Tabelul 5.25 Tipuri de reactoare de putere

Tipul	Combustibil	Moderator	Agent de răcire	Temperatura	Gradul de ardere MW zile/t	Exemplu <sup>1)</sup>
Convertor termic	Uraniu natural sau ușor îmbogățit	$\text{D}_2\text{O}$	$\text{D}_2\text{O}$ (apă sub presiune)	joasă	8000	MZFR
		$\text{D}_2\text{O}$	$\text{H}_2\text{O}$ (apă în fierbere)	joasă	(uraniu natural)	SGHWR
		$\text{D}_2\text{O}$	$\text{CO}_2$	înaltă		KKN
	Uraniu îmbogățit	C(grafit)	$\text{CO}_2$	joasă	4000	Calder Hall
		C(grafit)	$\text{CO}_2$	înaltă	20 000	AGR
		$\text{H}_2\text{O}$	$\text{H}_2\text{O}$ (apă sub presiune)	joasă	25 000	KWO
		$\text{H}_2\text{O}$	$\text{H}_2\text{O}$ (apă în fierbere)			KRB

Tabelul 5.25 (continuare)

Tipul	Combustibil	Moderator	Agent de răcire	Temperatura	Gradul de ardere MW zile/t	Exemplu <sup>1)</sup>
Reproducător rapid	$\text{Pu}/^{239}\text{U}$	—	NA $\text{H}_2\text{O}$ (abur)	înaltă	100 000	BN 350 (USSR)
Reproducător termic	$^{235}\text{U}/\text{Th}$	$\text{D}_2\text{O}$ C	$\text{D}_2\text{O}$ $\text{CO}_2$ , He	joasă înaltă	30 000 60 000	(AVR)

<sup>1)</sup> MZFR Mahrzweck — Forschungsreaktor Karlsruhe (Siemens); SGHWR Steam Generating Heavy Water Reactor, Winfrith; KKN Kernkraftwerk Niederaichbach (Siemens); AGR Advanced Gas-cooled Reactor, e.g. Dungeness B; KWO Kernkraftwerk Obrigheim (Siemens); KRB Kernkraftwerk RWE Beyerwerk (AEG); AVR Arbeitsgemeinschaft Versuchsreaktor Jülich (BBC-Krupp).

Costul combustibilului  $k_v$  pentru 1 kWh (fără investițiile capitale pentru prima zonă activă) produsă de combustibilul nuclear se calculează cu relația

$$k_v = \frac{\Sigma K}{24 m_u \eta B_u}$$

în care:  $K$  sînt costurile individuale, conform tabelului 5.26;  
 $m_u$  — cantitatea de uraniu în zona activă nouă, în kg;  
 $\eta$  — randamentul general al instalației;  
 $B_u$  — gradul mediu de ardere, în MWzile/t uraniu.

Tabelul 5.26. Parametrii de cost pentru calculul costului combustibilului

Cheltuieli	Venituri
Costul uraniului (elemente combustibile noi) Costuri de fabricație (de la $\text{UF}_6$ la centrala electrică) Cheltuieli de exploatare: Depozitarea elementelor combustibile uzate Transportul elementelor combustibile uzate Retratarea elementelor combustibile uzate Retransformarea nitrului de U în $\text{UF}_6$ Transformarea nitrului de Pu în Pu Transportul $\text{UF}_6$ și Pu	Valoarea uraniului rezidual Valoarea Plutoniului $^{239}\text{Pu}$ + $^{241}\text{Pu}$

#### Economia de neutroni a reactorului

Secțiunea eficace macroscopică este

$$\Sigma = N\sigma \times 10^{24} = \frac{\rho_a}{A_r} N_A \sigma \times 10^{24} \text{ cm}^{-1},$$

în care:  $N$  este numărul de atomi pe  $\text{cm}^3$ ;

$\sigma$  — secțiunea eficace microscopică, în barni ( $1 \text{ barn} = 10^{-24} \text{ cm}^2$ );

$A_r$  — masa atomică relativă, în g/mol;

$\rho_d$  — densitatea, în g/cm<sup>3</sup>;

$$N_A = 6,02252 \times 10^{23} \text{ mol}^{-1} \text{ (numărul lui Avogadro).}$$

Tabelul 5.27. Secțiunile microscopice eficace pentru neutronii termici în barni ( $10^{-24} \text{ cm}^2$ ) și punctele de topire pentru diferite elemente

Procesul	Împrăștierea $\sigma_s$	Absorbția <sup>1)</sup> $\sigma_a$	Fisiunea $\sigma_f$	Punctul de topire °C
Al aluminiu		0,215	—	660
B bor	4	750	—	2000 + 2300
Be beriliu	7	0,009	—	1315
Bi bismut	9,0	0,032	—	271
Cd cadmiu	7	2400	—	321
Cr crom		2,90	—	1800
H hidrogen	38	0,33	—	
K potasiu		1,97	—	
Mg magneziu		0,059	—	650
Na sodiu		0,49	—	
Ni nichel		4,5	—	1455
Fe fier	11	2,43	—	1500
<sup>239</sup> Pu plutoniu	...	1300	905	
U uraniu natural	8,2	7,42	3,92	1133
<sup>235</sup> U izotop al uraniului	8,2	672	565	
<sup>238</sup> U izotop al uraniului	8,2	2,80	0	
Zr zirconiu		0,18	—	1845
H <sub>2</sub> O apă ușoară		0,66	—	
D <sub>2</sub> O apă grea		0,0011	—	
C carbon	4,8	0,0045	—	
O oxigen	4,2	$< 0,2 \times 10^{-3}$	—	
<sup>135</sup> Xe xenon	4,3	$3,2 \times 10^6$	—	

<sup>1)</sup> Inclusiv fisiunea.

Densitatea fluxului de neutroni este:

$$\Phi = n\bar{v}[\text{cm}^{-2} \text{ s}^{-1}]$$

în care:  $n$  este densitatea de neutroni pe  $\text{cm}^3$ ;

$\bar{v}$  — viteza medie a neutronilor, în cm/s.

Factorul de multiplicare efectiv al reacției în lanț este

$$k_{ef} = \frac{P_N}{A_N + L_N},$$

în care  $P_N$  este producția de neutroni în unitatea de timp;

$A_N$  — absorbția de neutroni în unitatea de timp;

$L_N$  — scurgerea de neutroni în unitatea de timp.

Tabelul 5.28. Exemple de bilanț al neutronilor pentru reactoarele termice (fierbinți, plină sarcină,  $k_{ef} = 1$ )

Reactor cu uraniu natural răcit și moderat cu apă grea D<sub>2</sub>O, cu vas de presiune  $P_{el} = 50 \text{ MW}$   
Reactor cu uraniu îmbogățit, răcit și moderat cu apă ușoară H<sub>2</sub>O, proaspăt încărcat,  $P_{el} = 600 \text{ MW}$

	D <sub>2</sub> O	H <sub>2</sub> O
Neutroni rapizi de fisiune (stare inițială)	1000	1000
Pierderi prin scurgere de neutroni epitermici	30	15
Pierderi prin scurgere de neutroni termici	40	1
Absorbție de rezonanță la <sup>238</sup> U (→ Pu)	100	150
Captură în <sup>238</sup> U (→ Pu)	280	155
Captură în <sup>235</sup> U	70	42
Absorbție în moderator și agentul de răcire	13	50
Absorbție în materiale structurale și în O <sub>2</sub> formindu-se bioxid de uraniu	27	35
Absorbție în produsele de fisiune (Xe, Sm, etc.)	35	25
Absorbție în bor	—	110
Fisiunea <sup>238</sup> U și fisiunea rapidă	405	417
Neutroni rapizi de fisiune	1000	1000

Reactivitatea reactorului:

$$\rho = \frac{k_{ef} - 1}{k_{ef}};$$

la un reactor subcritic

$$k_{ef} < 1, \rho < 0;$$

la un reactor critic

$$k_{ef} = 1, \rho = 0;$$

la un reactor supracritic

$$k_{ef} > 1, \rho > 0.$$

Contribuțiile de reactivități la schimbarea reactivității rezultă din relația

$$\rho = \Delta\rho_{RS} + \Delta\rho_B + \Delta\rho_X + \rho_{st} + \Gamma_{K(M)} \Delta T_K + \Gamma_U \Delta T_u + \Gamma_p \Delta p_k + \dots$$

în care  $\rho_{RS}$  este reactivitatea barelor de control;

$\rho_B$  — reactivitatea absorbantului de neutroni (de exemplu bor);

$\rho_X$  — reactivitatea produselor de fisiune;

$\rho_{st}$  — reactivitatea perturbațiilor;

$T_K$  — temperatura mediului de răcire, în K;



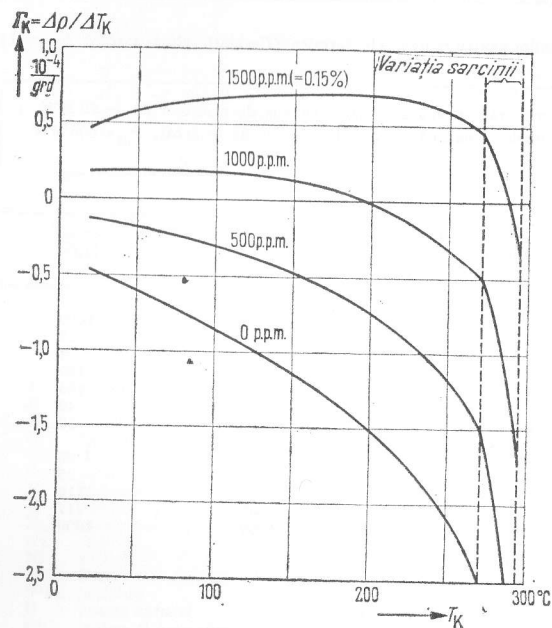


Fig. 5.57. Curbele caracteristice ale coeficientului de reactivitate a temperaturii agentului de răcire  $\Gamma_K$  la diferite concentrații de bor în funcție de temperatura agentului de răcire  $T_K$ .

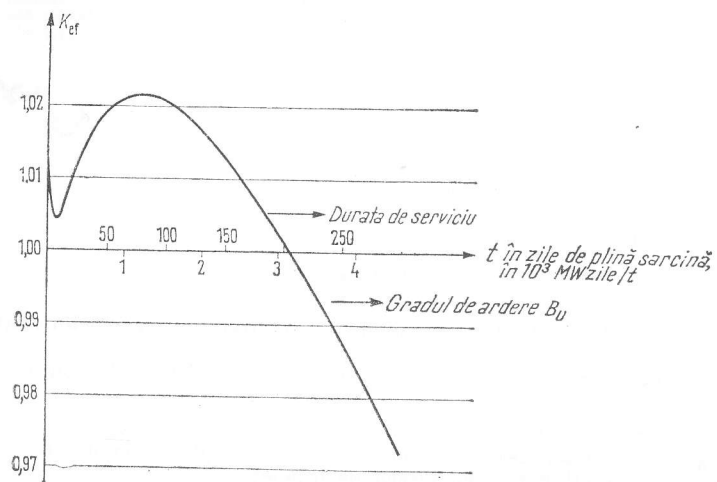


Fig. 5.58. Curbă caracteristică a factorului efectiv de multiplicare  $k_{ef}$  pentru un reactor cu apă grea în funcție de gradul de ardere  $B_u$ .

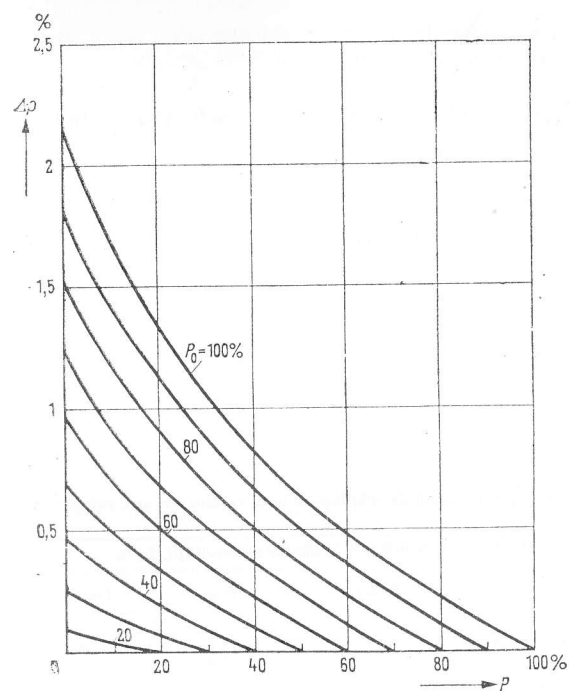


Fig. 5.59. Reactivitatea  $\Delta\rho$  necesară trecerii virfului de otrăvire cu Xe după reducerea puterii într-o singură treaptă:  
 $P_0$  — puterea reactorului înainte de modificarea sarcinii;  
 $P$  — puterea reactorului după modificarea sarcinii.

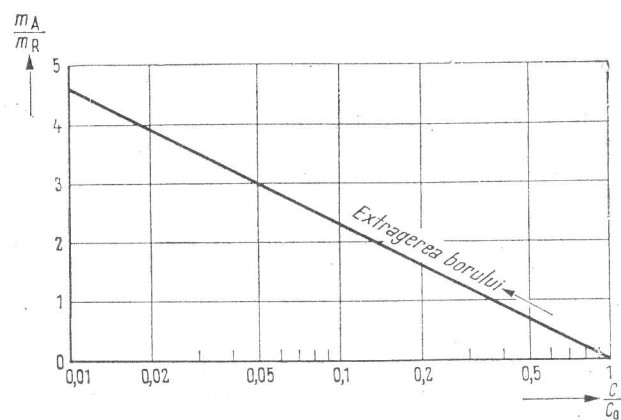


Fig. 5.60. Cantitățile efluente în cazul extragerii borului:  
 $C/C_0$  — variația concentrației borului;  $m_A/m_R$  — cantitatea de efluent raportată la cantitatea principală de agent de răcire.

$T_u$  este temperatura combustibilului, în °K;  
 $p_k$  — presiunea mediului de răcire, în kgf/cm<sup>2</sup>;

$\Gamma_{K(M)} = \frac{\partial \rho}{\partial T_{K(M)}}$  — coeficientul de temperatură al reactivității mediului de răcire (moderator), în grd<sup>-1</sup>;

$\Gamma_u = \frac{\partial \rho}{\partial T_u}$  — coeficientul de temperatură al reactivității combustibilului,

$\Gamma_p$  — în grd<sup>-1</sup> (coeficientul Doppler);  
 — coeficientul de presiune al reactivității mediului de răcire (moderator), în (kgf/cm<sup>2</sup>)<sup>-1</sup>.

Coeficienții de reactivitate ai reactoarelor cu apă sub presiune sînt:

$\Gamma_{K(M)} \approx (-45... + 10) \times 10^{-5}$  grd<sup>-1</sup> (v. fig. 5.57);

$\Gamma_u \approx (-3... - 1) \times 10^{-5}$  grd<sup>-1</sup> (de la funcționarea în gol la plină sarcină);

$\Gamma_p \approx 0$ .

Tabelul 5.29. Exemplu de bilanț de reactivitate pentru ciclul de echilibru al unui reactor cu apă sub presiune

Starea reactorului	Valorile reactivității, în %		
	Reactor	Bor	Control
20 °C, neîncărcat, neotrăvit cu reactivitate de oprire		14,8	6,2
20 °C, neîncărcat, neotrăvit, la începutul ciclului ..	18	14,8	3,2
274,1 °C neîncărcat, neotrăvit, la începutul ciclului ..	14,5	11,3	3,2
297,6 °C plină sarcină, neotrăvit, la începutul ciclului	12,2	11,3	0,9
297,6 °C plină sarcină, echilibru Xe/Sm, la începutul ciclului ..	9,8	8,9	0,9
297,6 °C, plină sarcină, echilibru Xe/Sm la sfîrșitul ciclului ..	1,2	0,3	0,9

Controlul prin acid boric

Reactivitatea echivalentă a acidului boric este:  $1\% \Delta \rho \triangle (80-120)$  p. p. m. bor.  
 Variația debitului de alimentare în funcție de concentrația de acid boric este:

$$\frac{dC_R}{dt} = -\frac{\dot{m}_Z}{m_R} (C_R - C_Z).$$

Cantitățile efluente în cazul extragerii borului în funcție de alimentarea cu apă curată se obțin din:

$$\frac{\dot{m}_A}{\dot{m}_R} = -\ln \left( 1 - \frac{\Delta C}{C_{R0}} \right)$$

$$C_Z = \frac{\dot{m}_1}{\dot{m}_Z} C_1 + \frac{\dot{m}_2}{\dot{m}_Z} C_2 + \dots \text{și } \Delta C = C_{R0} - C_R,$$

în care  $\dot{m}_Z$  este debitul de alimentare a circuitului de răcire al reactorului, în kg/h;  
 $\dot{m}_1, \dot{m}_2$  — debitele parțiale (de exemplu apă curată, acid boric foarte concentrat etc.) în kg/h;  
 $m_R$  — cantitatea de agent de răcire în circuitul de răcire al reactorului, în kg;  
 $m_A$  — efluentul (cantitatea care se extrage), în kg;  
 $C$  — concentrația de bor (greutatea de bor raportată la greutatea de lichid), în p.p.m.sau %;  
 $C_R, C_Z, C_1, C_2$  — concentrațiile de bor în mediul de răcire al reactorului, respectiv în debitul de alimentare și în debitele parțiale;  
 $C$  — variația concentrației de bor în  $C/C_0$  și  $C_1, C_2$ .

Puterea termică a reactorului

Puterea termică de fisiune a unui reactor este dată de relația

$$P_s = \frac{\sum_f V_u \Phi_u}{S} [W],$$

în care  $\sum_f$  este secțiunea eficace macroscopică de fisiune a uraniului, în cm<sup>-1</sup>;  
 $V_u$  — volumul total de uraniu, în cm<sup>3</sup>;  
 $\Phi_u$  — densitatea medie a fluxului de neutroni pentru volumul de uraniu, în cm<sup>-2</sup> s<sup>-1</sup>;  
 $S = 3,1 \times 10^{10} (Ws)^{-1}$  — numărul reacțiilor de fisiune necesare pentru a genera 1 Ws.

Tabelul 5.30. Bilanțul termic al unui reactor

	Vas de presiune „moderator fierbinte“	Tub de presiune „moderator rece“
Puterea termică totală a reactorului .....	100%	100%
Puterea termică efectivă a reactorului .....	99,9%	92%
Pierderi în moderator .....	—	6
Alte pierderi (răcirea protecției, radiația termică a circuitului de răcire a reactorului etc.) .....	0,1% (neglijabilă)	2
Căldura disipată după oprirea reactorului .....		

Tabelul 5.31. Energia (în MeV) eliberată prin fisiunea unui nucleu de <sup>235</sup>U

	Total	Componentele căldurii
Energia cinetică a produselor de fisiune .....	168	168
Radiația gamma tranzitorie .....	5	5
Energia cinetică a neutronilor de fisiune .....	5	5
Radiația beta a produselor de fisiune .....	7	7
Radiația gamma a produselor de fisiune .....	6	2
Energia particulelor neutrino .....	10	—
Energia totală de fisiune .....	201 MeV	191 MeV
Radiațiile gamma la reacțiile (n, v) .....	7	7
Radiația de la produsele (n, v) .....		2
Energia totală eliberată la dezintegrarea nucleului .....	2	200 MeV <sup>1)</sup>

<sup>1)</sup> 1 MeV = 3,83 × 10<sup>-17</sup> kcal = 1,6 × 10<sup>-13</sup> Ws.

Puterea de dezintegrare  $P_N$   
Puterea de funcționare  $P_B$

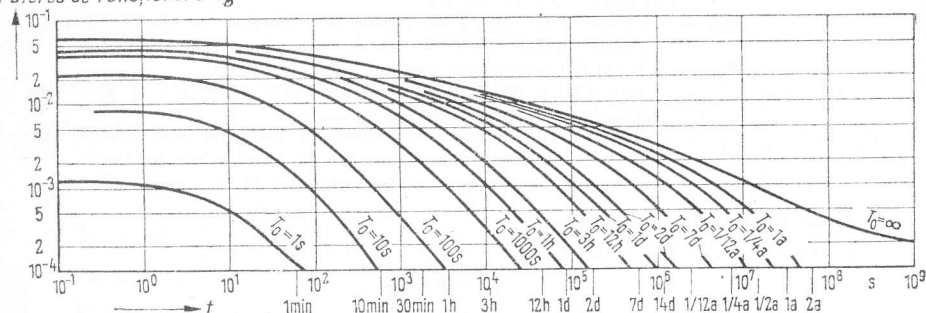


Fig. 5.61. Puterea termică relativă a radiațiilor beta și gamma din produsele de fisiune pentru un combustibil iradiat timp de  $T_0$  zile, în funcție de timpul  $t$  după oprirea reactorului;  $t$  este durata de funcționare a reactorului.

#### Temperaturile și fluxurile termice în barele de combustibil și în canalul de răcire

Temperaturi admisibile ale combustibilului

uraniu (metalic):  $< 665^\circ\text{C}$  (schimbul de fază  $\alpha \rightarrow \beta$ );

bioxid de uraniu  $< 2800^\circ\text{C}$  (punct de topire);

carbură de uraniu  $< 2400^\circ\text{C}$  (punct de topire).

Fluxul termic maxim admisibil al barei ( $q_s < 700 \text{ W/cm}$  cu pastile de bioxid de uraniu la minimum 95% din densitatea teoretică) este:

$$q_s = 4\pi \int_{T_R}^{T_0} \lambda(T) dT.$$

Variația tip a temperaturii în secțiunea transversală a barei de combustibil rezultă din:

$$\int_{T_R}^{T_r} \lambda(T) dT = \frac{q_s}{4\pi} \left( 1 - \frac{r^2}{R^2} \right).$$

Variația temperaturii suprafeței învelișului de protecție de-a lungul canalului de răcire pentru o distribuție cosinusoidală a densității fluxului de neutroni (fără a considera efectele cuplării elementelor combustibile, dispozitivele de distanțare etc., la coeficient constant de transmisie a căldurii, fără curgere transversală, fierbere sau factori de siguranță) este dată de relația:

$$T_H = T_K(z) + \frac{q_{s \max}}{D_H \pi \alpha} \cos \frac{\pi z}{H'}.$$

Temperatura maximă a suprafeței tubulare a învelișului de protecție este:

- pentru reactoare cu apă sub presiune:  $< 350^\circ\text{C}$  (Zircaloy);
- pentru reactoare răcite cu gaz:  $< 700^\circ\text{C}$  (oțel inoxidabil).

Variația tip a temperaturii agentului de răcire de-a lungul canalului de răcire (cu aceleași ipoteze de mai sus) se obține din relația:

$$T_K = T_{Kz} + \frac{\Delta T_K}{2} \left( \frac{\sin \frac{\pi z}{H'}}{\sin \frac{\pi H}{2H'}} + 1 \right).$$

Diferența de temperatură maximă a stratului limită dintre suprafața protecției tubulare și mediul de răcire (aceleași ipoteze ca mai sus) are loc când  $z = 0$ :

$$\Delta T_{HK \max} = \frac{\Delta T_K}{2} \sqrt{\left[ \frac{2(T_{H \max} - T_{KE})}{\Delta T_K} - 1 \right]^2 - \frac{1}{\sin^2 \frac{\pi H}{2H'}}},$$

în care  $\frac{D_H}{H}$  este diametrul exterior al tubului de protecție;  
— înălțimea efectivă a zonei active;  
 $H'$  — înălțimea extrapolată a zonei active  $\left( \frac{H}{H'} \approx 0,85 \right)$ ;

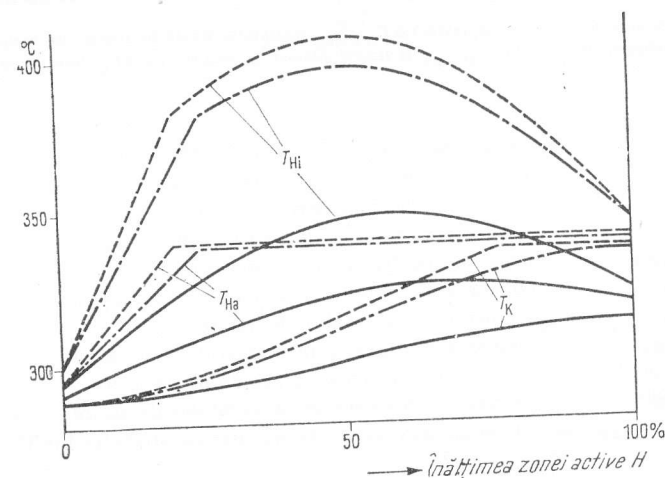


Fig. 5.62. Curbe de temperatură caracteristice într-un reactor cu apă sub presiune:

- canal fierbinte cu sarcina de 120%;
- .-.- canal fierbinte cu sarcina de 100%;
- canal normal cu sarcina de 100%;
- $T_{Hi}$  temperatura suprafeței interioare a protecției elementului combustibil;
- $T_{Ha}$  temperatura suprafeței exterioare a protecției elementului combustibil;
- $T_K$  temperatura agentului de răcire.

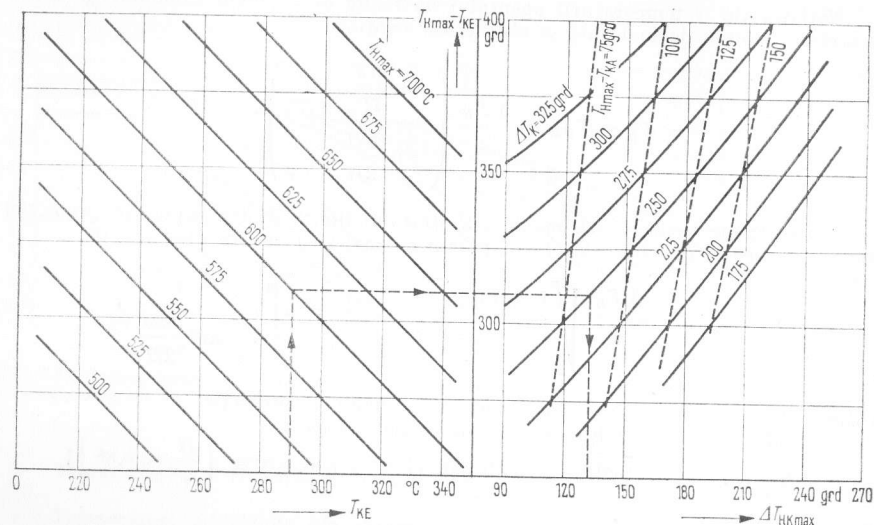


Fig. 5.63. Diferența maximă de temperatură  $\Delta T_{HKmax}$  a stratului limită în funcție de temperatura maximă a învelișului de protecție  $T_{Hmax}$  și timpul necesar de încălzire cu  $\Delta T_K$  (reactor răcit cu gaz).

- $q_s$  — puterea specifică a barei raportată la lungimea acesteia;  
 $r$  — distanța radială de la centrul barei de combustibil;  
 $R$  — raza barei de combustibil;  
 $T_0$  — temperatura combustibilului în centrul barei;  
 $T_r, T_R$  — temperatura barei de combustibil în punctul  $r$  sau  $R$ ;  
 $T_H$  — temperatura suprafeței învelișului tubular de protecție;  
 $T_K$  — temperatura agentului de răcire;  
 $T_{KE}$  — temperatura de intrare a agentului de răcire;  
 $T_{KA}$  — temperatura de ieșire a agentului de ieșire;  
 $\Delta T_K$  — creșterea de temperatură a agentului de răcire =  $T_{KA} - T_{KE}$ ;  
 $\Delta T_{HKmax}$  — diferența maximă de temperatură a stratului limită în canalul de răcire;  
 $z$  — coordonata axială a canalului de răcire (măsurată din centrul zonei active);  
 $\alpha$  — coeficientul de schimb de căldură de la tubul de protecție la agentul de răcire;  
 $\lambda$  — conductivitatea termică a combustibilului.

Fluxul critic al suprafețelor de încălzire ale barelor de combustibil pentru reac-toare răcite cu apă la tranziția de la fierberea nucleară la cea de fierbere peliculară (DNB = depărtarea de la fierberea nucleară după L. S. Tong) este:

$$\begin{aligned}
 q_{DNB} = & \frac{1}{K} [2,022 - 0,0061 p + (0,1722 - 0,0014 p) \times e^{(18,177 - 0,0587 p)x}] \times \\
 & \times [3\,271 + (0,1484 - 1,596 x + 0,1729 x|x|) \times 6,465 \times 10^{-4} G] \times \\
 & \times (1,157 - 0,869 x) \times (0,2664 + 0,8357 e^{-0,124 d_h}) + \\
 & + [0,8258 + 0,00143 (i'_K + i_{KE})].
 \end{aligned}$$

#### Raportul DNB

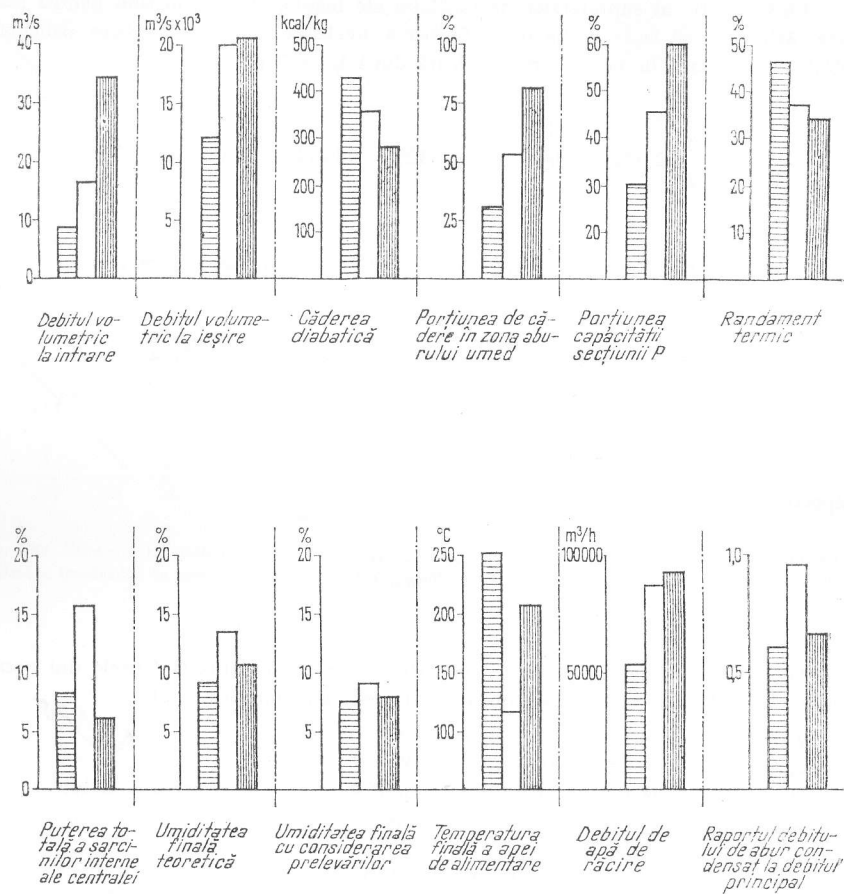
$$S_F = \frac{q(z)}{q_{DNB}(z)}.$$

Semnificația și unitățile de măsură ale parametrilor utilizați (cifrele din paranteză reprezintă domeniul de valabilitate al formulei empirice) sînt:

- $q(z)$  — fluxul local real, în  $W/cm^2$ ;  
 $q_{DNB}(z)$  — fluxul local critic, în  $W/cm^2$ ;  
 $K(z)$  — factor de corecție pentru distribuția neuniformă a debitului;  
 $p(z)$  — presiunea, în  $kgf/cm^2$  (55–160  $kgf/cm^2$ );  
 $x(z)$  — titlul local al aburului ( $-0,15 \dots +0,15$ ),  $= \frac{r}{i_K - i'_K}$ ;  
 $G$  — densitatea debitului gravimetric, în  $kg/m^2 \cdot s$  (680 – 6 800  $kg/m^2 \cdot s$ );  
 $d_h$  — diametrul hidraulic al canalului de răcire, în mm (5–18 mm);  
 $i_K(z)$  — entalpia locală, în kcal/kg;  
 $i'_K(z)$  — entalpia apei la presiunea de saturație  $p(z)$ , în kcal/kg;  
 $i_{KE}$  — entalpia la intrarea în canalul de răcire, în kcal/kg ( $> 220$  kcal/kg);  
 $r(z)$  — căldura latentă, în kcal/kg.

Lungimea canalului de răcire: 250 – 3 700 mm.

Efectul condițiilor de temperatură din reactor asupra ciclului de abur



Ciclu convențional, 180at/535°C/535°C  
 Ciclu cu supraîncălzire, 100at/530°C (centrală nucleară cu reactor răcit cu gaz)  
 Ciclu cu abur saturat, 50at/530°C (centrală nucleară cu reactor răcit cu apă)

Fig. 5.64. Diferențele principale între diverse procese pentru o putere de 600 MW.

Proiectarea clădirii reactorului

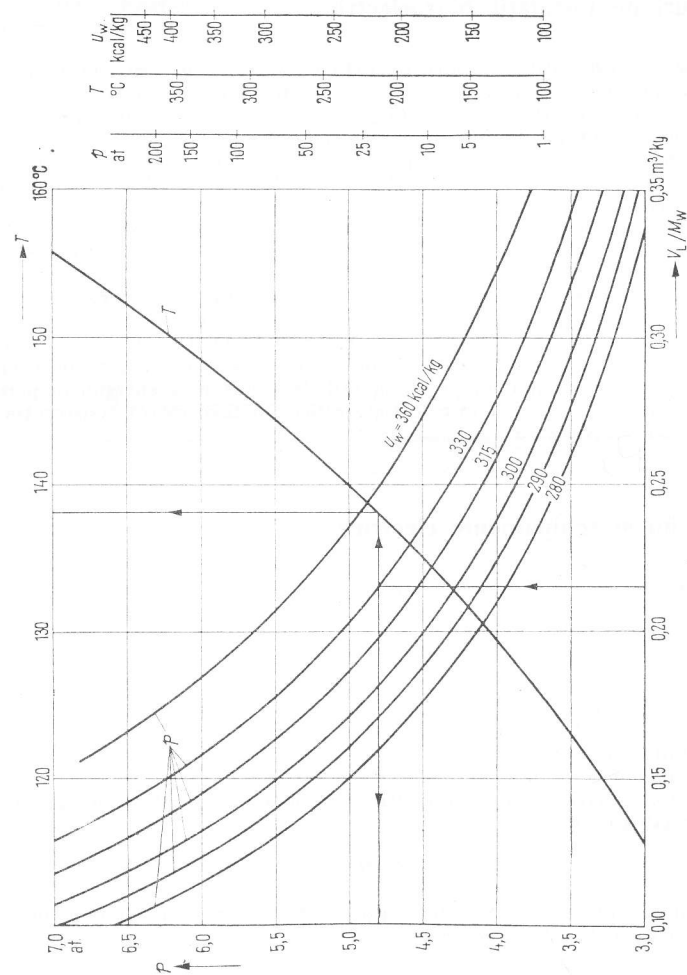


Fig. 5.65. Presiunea și temperatura în cazul rușii unei conducte principale de agent de răcire la un reactor cu apă sub presiune (fără sistem de reducere a presiunii):  
 $V$  — volumul liber în interiorul clădirii, în  $\text{m}^3$ ;  $M$  — cantitatea de apă pusă în libertate (funcție de conținutul vasului reactorului, dispozitivul de presurizare și sistemul circuitului de răcire a reactorului), în  $\text{kg}$ ;  $U_w$  — energia internă a apei pusă în libertate, în  $\text{kcal/kg}$ ;  $p$  — presiunea de egalizare, în  $\text{at}$ ;  $T$  — temperatura de saturație corespunzătoare presiunii, în  $^{\circ}\text{C}$ .



## 5.6. INSTALAȚII HIDROELECTRICE

## 5.6.1. Tipuri de instalații hidroelectrice

*Centralele pe firul apei* utilizează apa în mod continuu, având capacitate de acumulare mică; apa care nu este utilizată deversează peste baraj și este pierdută. Centrala de forță poate fi amplasată pe albia riului sau de-a lungul lui, în care caz instalația este denumită centrală de tip canal de derivație.

*Centralele cu acumulare* în funcție de capacitatea lor de acumulare sînt centrale cu acumulare săptămînală, sezonieră sau anuală. În perioadele cu cerere de sarcină redusă, apa poate fi acumulată și utilizată cînd cererea este mare, aceasta asigurînd o exploatare elastică. Singura pierdere este constituită de debitul minim de apă care trebuie evacuat în aval cînd centrala este oprită. Avantaj: controlul acumulărilor de apă, în acest fel nivelul riului devenind mai uniform.

*Centralele cu pompă-acumulare* reprezintă forma cea mai perfecționată a centralei cu acumulare, dacă cursurile de apă nu alimentează pe cale naturală rezervoarele de acumulare; aceste centrale nu se clasifică ca un tip major. În prezent acestea constituie singura metodă economică de a acumula mari rezerve de energie electrică. Mai mult, ele reprezintă un procedeu util de furnizare a energiei în perioadele de vîrf chiar în țări în care condițiile topografice nu favorizează construcția de centrale cu acumulări importante.

## 5.6.2. Mașini și echipamente electrice

Puterea disponibilă a generatorului, este:

$$P_{gen} = \frac{1000 QH}{102} \eta_t \cdot \eta_g \text{ [kW]},$$

în care:  $Q$  este debitul de apă, în  $m^3/s$ ;

$H$  — căderea netă, în  $m$ ;

$\eta_t$  — randamentul turbinei;

$\eta_g$  — randamentul generatorului.

Ca un îndreptar aproximativ pentru instalații mai mici (cu  $\eta_t = 0,85$  și  $\eta_g = 0,96$ ) se poate folosi următoarea relație:

$$P_{gen} = 8 QH.$$

Dacă volumul util de apă  $K$ , în  $m^3$ , este cunoscut (de exemplu capacitatea unui rezervor, debitul anual etc.) lucrul mecanic produs este:

$$A = \frac{1000 KH}{3600 \times 102} \eta_t \eta_g \text{ [kWh]},$$

Dacă  $1000 \eta_t \eta_g / 102 = 8$ , atunci  $A = 0,0022 KH$  [kWh], astfel încît pentru fiecare metru cub pot fi generate  $0,0022 H$  [kWh],

## Mașini

Cele mai importante tipuri de turbine sînt:

*Turbina Kaplan* cu paletel rotorului și statorului reglabile. *Turbina Francis* cu paletel statorului reglabile. *Turbina Pelton* cu unul sau mai multe ajutaje, cu sau fără deflector de jet.

Domeniul de aplicare este impus de  $Q$  și  $H$  și este arătat în fig. 5.66.

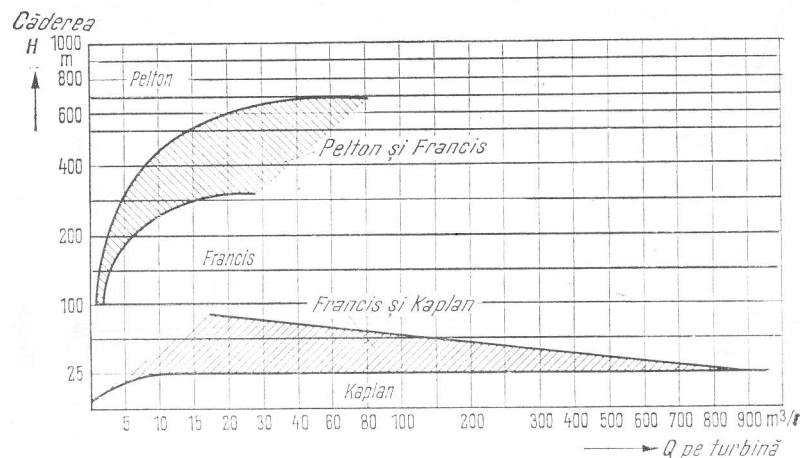


Fig. 5.66. Domeniul de aplicare a tipurilor de turbine Kaplan, Francis și Pelton.

Alegerea precisă a turbinei este determinată în principal de rapiditatea specifică  $n_s$ , calculată din relația:

$$n_s = \frac{n \sqrt{P}}{H \sqrt{H}} \text{ [rot/min]}^{\frac{1}{2}},$$

în care puterea  $P$  este exprimată în CP, iar turația turbinei  $n$  în rot/min. Aceasta înlesnește stabilirea tipului de rotor pentru turbina care urmează să fie aleasă.

Cu unele toleranțe admise, mărimea turbinei Kaplan poate fi aleasă din fig. 5.67, iar mărimea turbinei Francis din fig. 5.68.

Curbele permit stabilirea turației de regim maxim ca și a diametrului aproximativ al rotorului  $D$ . Turația obținută trebuie apoi redusă la cea mai apropiată turație de sincronism (v. generatoare). Această turație poate fi utilizată ca turație nominală pentru scopuri ulterioare. În multe cazuri, ea trebuie însă redusă încă mai mult, în parte pentru a se evita construcția prea în adîncime a turbinei (fundații adînci, neafectate de apele de viitură) și în parte pentru a se obține randamente bune la sarcini scăzute.

<sup>1)</sup> Presupusă pentru o turbină model cu căderea de 1 m și dezvoltînd puterea de 1 CP.

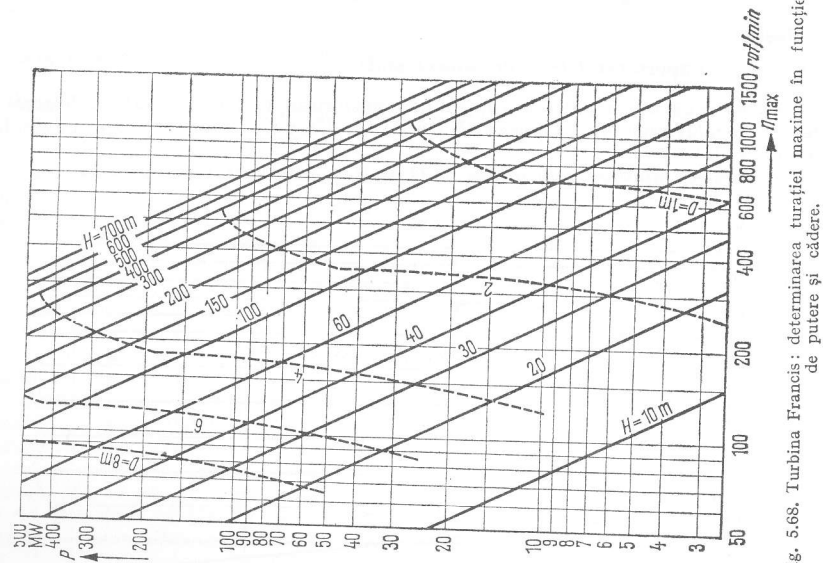


Fig. 5.68. Turbina Francis: determinarea turației maxime în funcție de putere și cădere.

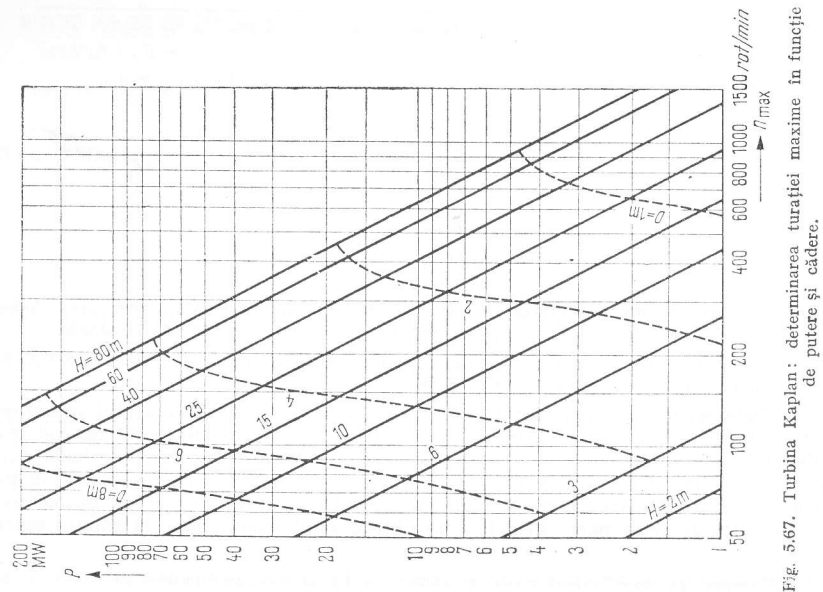


Fig. 5.67. Turbina Kaplan: determinarea turației maxime în funcție de putere și cădere.

Turația nominală  $n_N$  permite de asemenea determinarea aproximativă a unei alte mărimi, care are o influență considerabilă asupra proiectării generatorului.

Aceasta este turația de ambalare  $n_D$ . Raportul  $n_D/n_N$  pentru tipurile de turbine menționate sînt:

turbina Pelton  $n_D/n_N \approx 1,8$ ;

turbina Francis  $n_D/n_N \approx 1,8 - 2,4$ ;

turbina Kaplan  $n_D/n_N \approx 2,5 - 3,5$ .

Turbinele Kaplan și Francis funcționînd la o cădere disponibilă  $H$  mai scăzută au o valoare mai mare pentru  $n_D$ .

În plus față de cele de mai sus, există alte tipuri de turbine corespunzătoare unor condiții speciale.

*Turbina bulb* (fig. 5.69) a fost special construită pentru a folosi cantități de apă mari la căderi mici. Aceste mașini nu necesită o carcasă spirală masivă, astfel încît distanța dintre grupuri poate fi mai mică. Costurile construcțiilor pot fi reduse în mod corespunzător, curgerea aproape în linie dreaptă a debitului de apă conducînd și la o îmbunătățire a condițiilor hidraulice de funcționare (spor de randament). Axul turbinei Kaplan este sau orizontal sau ușor înclinat și este cuplat cu generatorul, astfel încît carcasa etanșă față de apă este complet imersată în apă.

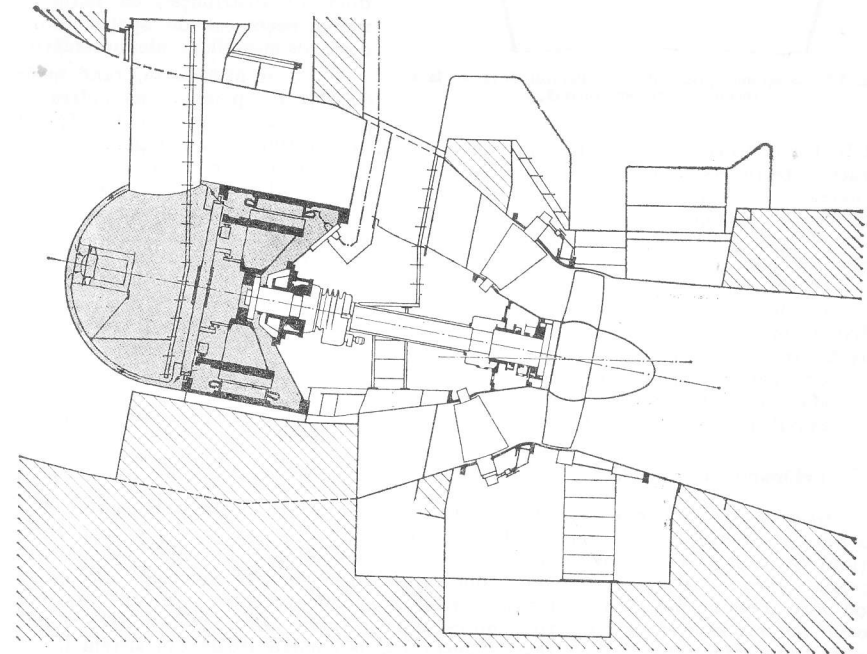


Fig. 5.69. Turbină bulb cuplată direct cu generatorul.

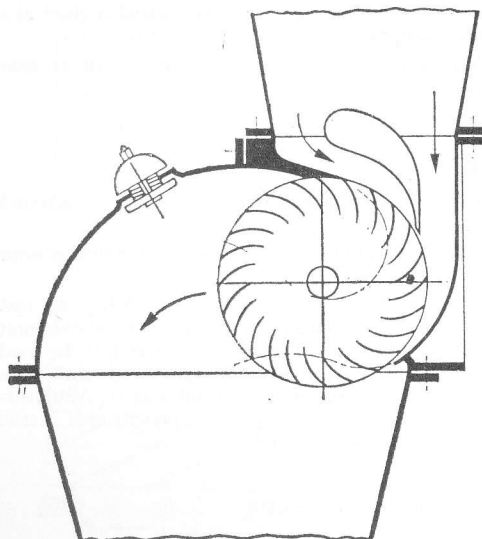


Fig. 5.70. Secțiunea prin rotor și aparatul director la o turbină cu trecere directă.

cît în cazul prevederii separate a unei pompe și a unei turbine. La pompare, sensul de rotație este invers față de cel de la funcționarea ca turbină. Prin urmare, cînd funcționarea se schimbă, turația trebuie să treacă prin zero. Mai mult, deoarece nu se dispune de o turbină care să antreneze grupul pînă la turația de pompare, trebuie să se utilizeze în acest scop, mașini hidraulice sau electrice (motor cu pornire la tensiune redusă cu pornire de frecvență, motor de lansare sau turbină de pornire).

Mașinile includ de asemenea, următoarele părți componente principale:

Elemente de control, ca de exemplu vane amonte și aval pentru închiderea intrării și conductelor de aspirație în vederea reviziilor sau, dacă se utilizează o conductă forțată, o vană fluture, inel sau sferică.

Grătarul de intrare, inclusiv mașina pentru curățarea grătarelor.

Macara rulantă pentru montajul pieselor grele.

Stavilele deversorului: de obicei segmenti, mici stavile de golire sau rotative.

### Echipamentul electric

**Generatoare.** Singurele mașini utilizate pentru instalații medii și mari sînt de tip sincron, deși centralele mai mici pot fi echipate cu mașini asincrone. Totuși, trebuie reținut că ultimele au dezavantaje care depășesc avantajul costurilor lor mai scăzute. Pentru a furniza energie, ele trebuie conectate la un sistem în funcțiune, deoarece în mod normal ele nu pot furniza energie în mod independent pentru o regiune. Mai mult, ele nu pot produce energie reactivă, necesitînd ele însele acest fel de putere. Această putere trebuie fie extrasă din rețea, fie furnizată de condensatoare din sistem (asemănător cu puterea reactivă cerută de consumatori ca motoarele electrice).

**Turbina cu trecere directă** (fig. 5.70), cunoscută în mod diferit ca fiind de tipul Banki, Michell sau Ossberger, este în special potrivită pentru cazurile în care debitul de apă de alimentare prezintă fluctuații considerabile ( $P$  pînă la aproximativ 220 kW, cu  $H = 1 \dots 100$  m, iar  $Q = 4\,000 \dots 25$  l/s). În plus, pentru datele mici se folosesc proiecte economice speciale ale primelor tipuri de turbine mici.

**Pompa-turbină** reprezintă o formă specială de instalație hidraulică concepută pentru centrale cu pompare-acumulare, fiind utilizabilă atît ca turbină cît și ca pompă, pentru valori ale lui  $H \leq 400$  m (într-o singură treaptă). Deoarece această soluție economisește o unitate hidraulică completă cu vană de control și conducte de distribuție, ea reduce nu numai necesarul de spațiu, dar și costurile mașinilor și ale construcțiilor.

Pe de altă parte, randamentul ciclului de pompare-acumulare este puțin mai scăzut (cu 2–4%) de-

Turația generatoarelor sincrone poate fi calculată cu relația:

$$n_0 = 60 \frac{f}{p}$$

în care  $f$  este frecvența, în Hz;

$p$  — numărul de perechi de poli.

Valorile turației determinate cu ajutorul acestei relații sînt folosite pentru a se obține turațiile turbinei conform diagramelor din fig. 5.67 și 5.68.

Cele mai importante tipuri de generatoare hidroelectrice sînt enumerate în tabelul 5.32. Poziția verticală sau orizontală a arborelui principal este decisă de obicei de tipul turbinei sau de amplasarea conductelor și de condițiile instalației. Alegerea poziției

Tabelul 5.32. Tipuri de hidrogenatoare

Proiect tip $W_{21}^{1)}$	<b>Generator:</b> 1 lagăr de ghidare 1 lagăr axial 1 arbore cu flanșă	Proiect tip $W_{12}^{1)}$	<b>Generator:</b> 2 lagăre de ghidare 1 lagăr axial 1 arbore cu flanșă
	<b>Turbină:</b> 1 lagăr de ghidare 1 arbore cu flanșă		<b>Turbină:</b> 1 lagăr de ghidare 1 arbore cu flanșă
Proiect tip $W_3$	<b>Generator:</b> 2 lagăre de ghidare 1 arbore cu flanșă	Proiect tip $W_6$	<b>Generator:</b> fără lagăr fără arbore
	<b>Turbină:</b> 1 lagăr de ghidare 1 lagăr canelat de sprijin 1 arbore cu flanșă		<b>Turbină:</b> 2 lagăre de ghidare 1 lagăr axial 1 arbore generator
Proiect tip $W_{41}^{1)}$	<b>Generator:</b> 2 lagăre cu ghidare 1 lagăr axial 1 arbore cu flanșă	Proiect tip $W_8$	<b>Generator:</b> 1 lagăr de ghidare 1 lagăr axial 1 arbore cu flanșă
	<b>Turbină:</b> 1 lagăr de ghidare 1 arbore cu flanșă		<b>Turbină:</b> 1 lagăr de ghidare 1 arbore cu flanșă

Tabelul 5.32 (continuare)

Proiect tip D <sub>3</sub>	Generator: 1 lagăr cu picior 1 arbore cu flanșă Placă de bază comună pentru carcasă și lagăre	Proiect tip D <sub>11</sub>	Generator: 2 lagăre cu picior 1 arbore cu dilatare liberă 2 plăci de sprijin ale carcasei 2 plăci de sprijin ale lagărului
Proiect tip D <sub>5</sub>	Generator: 2 lagăre cu picior 1 arbore cu dilatare liberă Placă de bază comună pentru carcasă și lagăre	Proiect tip D <sub>13</sub>	Generator: 2 lagăre cu picior 1 arbore cu flanșă 2 plăci de sprijin ale lagărului 2 plăci de sprijin ale lagărului
Proiect tip D <sub>6</sub>	Generator: 2 lagăre cu picior 1 arbore cu flanșă Placă de bază comună pentru lagăre cu picior		

1) A doua cifră indicativă înseamnă: 1 lagăr axial superior, 2 lagăre axiale inferioare

verticale este adesea dictată de tipul generatorului. Diagrama din fig. 5.66 arată limitele aproximative de utilizare a diferitelor tipuri de hidrogenatoare. Efectul de volant este important în scopuri de control, respectiv pentru limitarea supraturației, atunci când mașina este oprită sub plină sarcină. Deoarece rotorul turbinei contribuie în mică măsură la aceasta, întregul efect de volant urmează a fi produs de rotorul generatorului. Aceasta se calculează din greutatea rotorului  $G$  și din diametrul de rotație  $D$ .

Momentul de inerție =  $GD^2$  [kgf·m<sup>2</sup>].

Momentul de inerție este, de asemenea, egal cu  $WR^2$ , exprimat în lbf·ft<sup>2</sup> (livre forță × picior pătrat), în care  $W$  este greutatea în livre forță și  $R$  raza de rotație, în picioare, astfel încât:

$$1 GD^2 \text{ [kgf·m}^2\text{]} = \frac{1}{5,94} WR^2 \text{ [lbf·ft}^2\text{]} \quad (\text{v. pag. 30})$$

Turația de ambalare  $n_D$  este un alt parametru important pentru proiectarea generatorului. Valorile raportului  $n_D/n_N$  pentru cele mai importante tipuri de turbine au fost menționate anterior.

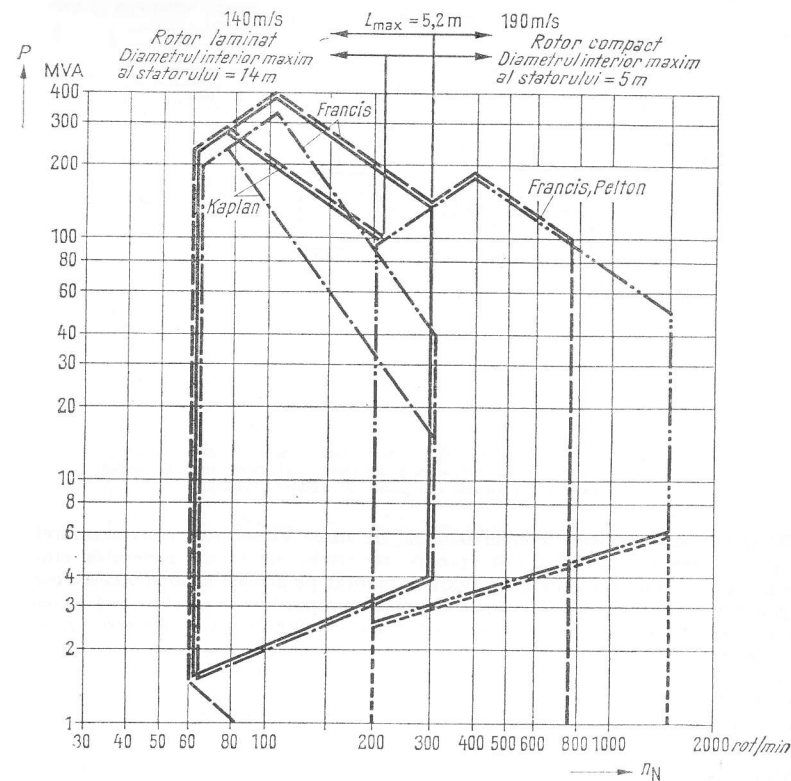


Fig. 5.71. Generatoare hidroelectrice (pentru puteri  $\geq 1$  MVA): domeniul normal de aplicație pentru diferite proiecte.

În mod normal părțile în rotație nu sînt solicitate pînă la punctul de curgere la turația  $n_D$  (de exemplu numai pînă la  $2/3$  din valoarea punctului de curgere). În consecință, eforturile în metal la turația nominală sînt foarte scăzute. Ar fi în afara scopului acestui articol să se ocupe de toate criteriile pentru generatoare, astfel încît acestea au fost rezumate în tabelul 5.32.

#### Amplasarea excitatoarei

Generatoarele cu o turație de peste 200 rot/min sînt în mod normal echipate cu o excitatoare principală montată pe generator sau cu o excitatoare auxiliară de curent continuu; la turații sub 200 rot/min se preferă alte soluții pentru excitație, aceasta deoarece mașinile de curent continuu sînt prea voluminoase și reacția lor în scopuri de control este prea înecată.



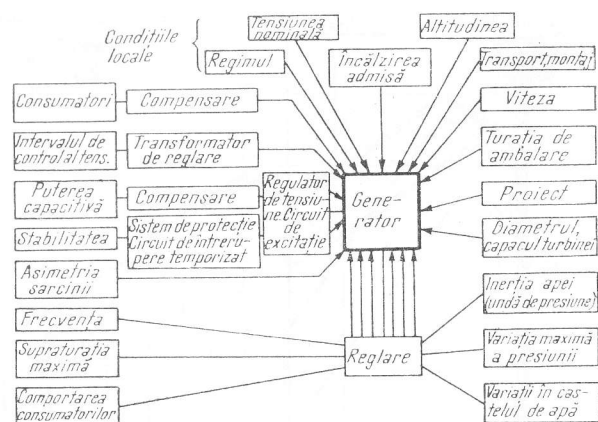


Fig. 5.72. Criterii de proiectare pentru hidrogeneratoarele electrice. Partea din stânga: necesitățile consumatorilor și ale sistemului interconectat; partea din dreapta: cerințele din punct de vedere hidrolic.

De obicei sînt utilizate convertizoarele de mare viteză sau convertizoarele tiristoare, alimentarea lor obținându-se aproape invariabil de la un generator sincron cu autoexcitație, așa-numitul generator auxiliar montat pe același arbore. Acesta este montat în generatorul principal, astfel încît el practic nu produce o creștere a dimensiunilor. În afară de aceste dispozitive pentru generatoare sub 100 MVA se folosesc circuite statice de excitație, constînd din transformatoare, bobine de reactanță, redresoare sau tiristoare; acestea elimină toate piesele în mișcare și întreținerea respectivă. În plus ele răspund la variațiile de sarcină mai repede decît excitatoarele rotative cu regulatoare de tensiune. Astfel de circuite de excitație sînt patentate sub denumirea de TRANSIPOL sau THYRIPART.

**Sisteme auxiliare.** Serviciile interne ale centralelor hidroelectrice necesită putere relativ redusă. Acestea pot fi grupate în două părți: (1) servicii interne necesare în special pentru exploatarea mașinilor (pompe pentru uleiul din circuitul de comandă, uleiul de control, apă de răcire, ulei de transformator și stația de aer comprimat) și (2) servicii interne ale centralei în general (ventilație, încălzire, aer condiționat, pompe de drenare, macarale, mașini de curățat grătarele de intrare, mecanismele deversorului).

Primul grup de servicii interne este afectat de cădere: la putere constantă a mașinii, el crește cu cantitatea de apă. Mărimea lui este desigur determinată de puterea centralei electrice. La proiectarea alimentării serviciilor interne, grupul (1) trebuie multiplicat cu un factor de simultaneitate de 0,8–0,9.

Al doilea grup de servicii interne este determinat în principal de „confortul” centralei (ventilație, încălzire, aer condiționat, iluminat) și este numai în mică măsură afectat de puterea centralei. La proiectarea acestei părți trebuie să se adopte un factor de simultaneitate de 0,25–0,3.

Puterea totală a serviciilor interne este reprezentată în fig. 5.73 printr-o curbă plină, iar partea întâi printr-o curbă întreruptă; partea a doua se obține determinîndu-se diferența între aceste două curbe, această parte fiind în mod obișnuit cea mai mare

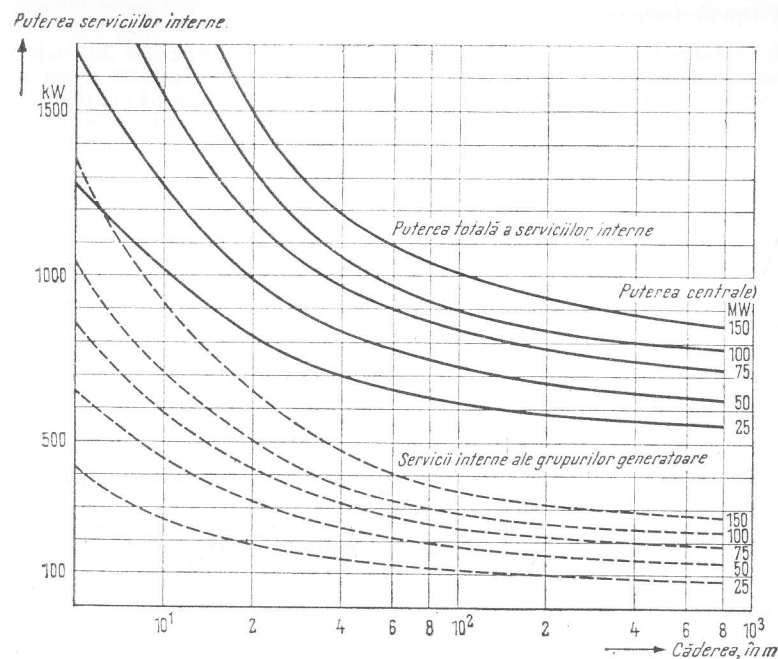


Fig. 5.73. Puterea pentru alimentarea serviciilor interne.

Alimentarea serviciilor interne este asigurată cel puțin prin două surse independente: una formată din unul dintre generatoarele instalate în centrală, cealaltă din conectarea la un sistem sigur sau la altă centrală electrică. Alimentarea serviciilor interne devine în întregime independentă dacă un grup generator Diesel este instalat în centrală, mărimea acestuia fiind în mod uzual determinată de serviciile proprii ale unui grup generator și de iluminatul de siguranță.

### 5.6.3. Lucrări pregătitoare la locul de amplasare

Dacă criteriile pentru calculul puterii disponibile nu sînt cunoscute, cum este de obicei cazul centralelor hidroelectrice mici, trebuie determinate debitul de apă  $Q$  și căderea  $H$ , folosindu-se pentru aceasta cîteva procedee.

#### Debitul de apă

Debitul de apă  $Q$  poate fi, de exemplu, calculat din viteza de scurgere și secțiunea transversală de scurgere.



### Viteza de scurgere a apei

În vederea limitării erorii la valori mici, viteza de scurgere în diferitele puncte de măsură trebuie să difere cât mai puțin posibil. În mod corespunzător, măsurătorile se execută cel mai bine într-un sector drept cu secțiunea transversală cât mai constantă posibil. Lungimea de măsurare este jalonată în intervale de aproximativ 30 m, aruncându-se în apă o sticlă astupată într-un punct reper din partea amonte. Timpul necesar pentru a atinge al doilea reper este înregistrat și procedeul repetat de mai multe ori pentru a se obține o cifră medie. Această cifră medie are o valoare mai redusă (cu circa 20%) în straturile limită datorită frecării cu țărmul și patul albiei. Presupunându-se că se obține 1 m/s va rezulta o viteză:

$$v_{medie} = 1 \text{ m/s} \times 0,8 = 0,8 \text{ m/s.}$$

### Secțiunea transversală de curgere

Lățimea totală a cursului de apă este împărțită în mai multe secțiuni de la  $A_1$  la  $A_n$ , fiecare de aceeași lățime (în m), adâncimea apei fiind măsurată în mijlocul fiecărei secțiuni și notată cu  $T_1$  până la  $T_n$  (în m). Aria secțiunii transversale este atunci:

$$F = A_1 T_1 + A_2 T_2 + \dots + A_n T_n [\text{m}^2].$$

Dacă este posibil, această măsurătoare trebuie efectuată la începutul, mijlocul și sfîrșitul sectorului de măsură, astfel că:

$$F_{medie} = \frac{F_{inceput} + F_{mediu} + F_{final}}{3}.$$

Exemplu: Lățimea unui curs de apă este 10 m, se aleg cinci secțiuni  $A$  fiecare de 2 m, adâncimile fiind:

$$T_1 = 0,4; T_2 = 1,2 \text{ m}; T_3 = 2,0 \text{ m}; T_4 = 0,7 \text{ m}; T_5 = 0,2 \text{ m};$$

$$F = (2 \times 0,4 + 2 \times 1,2 + 2 \times 2,0 + 2 \times 0,7 + 2 \times 0,2) \text{ m}^2 = 9,0 \text{ m}^2.$$

Fie celelalte două secțiuni de 8,6 și 9,1 m<sup>2</sup>.

$$F_{medie} = \frac{9,0 + 8,6 + 9,1}{3} = 8,9 \text{ m}^2.$$

Debitul de apă:

$$Q = V_{medie} \times F_{medie};$$

Înlocuindu-se valorile:

$$Q = 0,8 \text{ m/s} \times 8,9 \text{ m}^2 = 7,12 \text{ m}^3/\text{s}.$$

### Căderea brută

Dacă nu se dispune de instrumente de măsură, căderea brută poate fi determinată cu ajutorul unei bare de lemn rigide, drepte cu lungimea unei nivele de aproximativ 5 m, și citorva jaloane de lemn.

După cum se arată în fig. 5.74, bara de lemn se așază pe jalonul 1, dispusă la nivel, măsurându-se apoi distanța verticală  $h$  la jalonul 2. Acest procedeu se repetă până

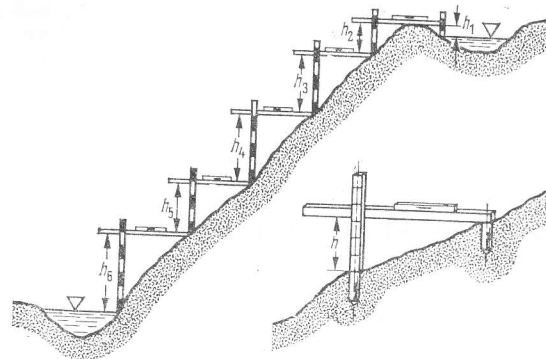


Fig. 5.74. Determinarea căderii totale.

cînd se măsoară toată distanța dintre extremitățile amonte și aval. Căderea totală brută este astfel suma tuturor căderilor parțiale  $h$ .

Deoarece  $h_1$  este negativ, se obține:

$$H_{brut} = -h_1 + h_2 + h_3 + h_4 + h_5 + h_6.$$

Dacă  $H_{brut}$  se determină ca fiind de 5 m, puterea disponibilă poate fi determinată aproximativ după cum urmează:

$$P_{gen} = 8 QH = (8 \times 7,12 \times 5) \text{ kW} \approx 285 \text{ kW}.$$

Întrucît  $Q$  și  $H$  sînt supuse variațiilor sezoniere nu este suficient să se lucreze cu un singur rînd de date; este recomandabil să se cunoască valorile maxime, medii și minime ale debitului de apă și căderile aferente. Dacă apa disponibilă este folosită numai parțial, este suficient să se calculeze debitul maxim pentru care urmează să se proiecteze turbina și valorile pentru  $H_{min}$ ,  $H_{max}$  și  $H_n$ .

## 6. PROBLEME GENERALE ALE MAȘINILOR ELECTRICE

### 6.1. TIPURI CONSTRUCTIVE

Mașinile electrice se realizează în diferite tipuri constructive, standardizate prin STAS 3998-53. Tipurile în care pot fi executate mașinile electrice sînt împărțite în nouă grupe, indicate în tabelul 6.1.

Tabelul 6.1. Grupele tipurilor constructive ale mașinilor electrice

Grupele tipurilor constructive ale mașinilor electrice rotative	Simbolurile grupelor
Mașini cu axa orizontală fără lagăre .....	L
Mașini cu axa orizontală și lagăre în scuturi .....	S
Mașini cu axa orizontală, cu lagăre picior separate .....	SP
Mașini cu axa orizontală și cu lagăre picior .....	P
Mașini cu axa orizontală și fixare cu flanșă .....	F
Mașini cu axa verticală .....	V
Mașini cu axa verticală, tip hidrogenerator .....	HV
Mașini cu axa verticală și fixare prin flanșă și inel .....	VF
Agreate cu două mașini electrice .....	A

### 6.2. PROTECȚIA MAȘINILOR ELECTRICE CONTRA ATINGERILOR ȘI CONTRA APEI

Diversitatea condițiilor legate de mediu a determinat stabilirea unor tipuri constructive cu protecții bine definite, urmînd ca fiecare beneficiar să solicite, pentru mașina comandată, în funcție de locul unde urmează să o monteze, o protecție din cadrul celor adoptate ca protecții tip. Aceste tipuri de protecții sînt standardizate prin STAS 625-63, iar terminologia și simbolizarea lor prin STAS 5325-62.

Stabilirea tipurilor normale de protecție are la bază:

- protecția contra atingerilor și contra pătrunderii corpurilor străine;
- protecția contra pătrunderii lichidelor.

Tipurile normale de protecție sînt simbolizate prin literele IP urmate de două cifre, dintre care prima simbolizează tipul de protecție contra atingerilor și contra

pătrunderii corpurilor străine, iar cea de a doua caracterizează tipul de protecție contra pătrunderii lichidelor.

Sînt standardizate șase grade normale de protecție contra atingerilor și contra pătrunderii corpurilor străine și opt grade normale de protecție contra pătrunderii lichidelor.

**Protecția contra atingerii și contra pătrunderii corpurilor străine** este simbolizată după cum urmează:

Simbolul 0 indică mașini fără protecție; prin urmare sînt posibile atingeri ale părților aflate sub tensiune și ale părților în mișcare din interiorul mașinii, precum și pătrunderi ale corpurilor străine. Această execuție nu se recomandă decît în cazuri cu totul speciale, dat fiind pericolul pe care-l prezintă din punctul de vedere al protecției muncii și al deteriorării în urma pătrunderii corpurilor străine.

Simbolul 1 indică mașini cu protecție împotriva atingerii întîmplătoare cu o mare suprafață a corpului omenesc, de exemplu mina, însă la care este posibilă atingerea voită a părților interioare sub tensiune sau în mișcare. Carcasa sau învelișurile de protecție ale utilajului pot avea deschideri de 50 mm diametru sau lărgime. Această protecție este folosită mai mult la mașinile mari și la cele destinate a fi instalate în locuri speciale, unde are acces numai personal specializat.

Simbolul 2 este pentru mașini cu protecție împotriva atingerii cu degetele și a pătrunderii corpurilor străine solide cu dimensiuni peste 12,5 mm, ele putînd avea deschideri de 12,5 mm diametru sau lărgime. Această execuție este cea mai indicată pentru mașini care lucrează în încăperi, întrucît asigurînd îngrădiri suficiente în ceea ce privește posibilitatea de pătrundere a corpurilor străine și de atingere a părților interioare, permite autoventilarea interioară a mașinilor, care constituie factorul hotărîtor în reducerea dimensiunilor acestora.

Simbolul 3 este pentru mașini cu protecție împotriva atingerii cu unelte sau a pătrunderii corpurilor străine cu dimensiuni peste 2,5 mm, ele putînd avea deschideri de 2,5 mm diametru sau lungime.

Această protecție permite autoventilarea mașinilor, asigurînd o protecție mai mare împotriva atingerii și a pătrunderii corpurilor străine.

Simbolul 4 este pentru mașini cu protecție împotriva atingerii cu unelte și a pătrunderii corpurilor străine cu dimensiuni peste 1 mm. Această protecție este suficientă, în general, pentru mașini destinate să funcționeze în locuri descoperite, cu procent redus de praf. Carcasa sau învelișul mașinii nu poate avea deschideri, admițîndu-se interstii de maximum 1 mm la îmbinări, la trecerea arborilor și intrarea cablurilor în cutia de borne.

Simbolul 5 este pentru mașini cu protecție contra atingerii cu orice fel de mijloace și protecție parțială împotriva pătrunderii prafului, prin folosirea de garnituri, labirinți etc. Deși pătrunderea prafului nu este complet împiedicată, protecția este totuși suficientă pentru a permite montarea mașinilor în locuri cu praf mult, de exemplu în fabricile de ciment.

Simbolul 6 este pentru mașini la care pătrunderea prafului este complet împiedicată. Este o protecție greu de realizat și nu este necesară decît în cazuri speciale.

**Protecția contra pătrunderii lichidelor** se simbolizează după cum urmează:

Simbolul 0 este pentru mașini fără protecție. Se adoptă pentru mașini destinate a fi montate în încăperi închise, în care nu există pericolul ca aburul să condenseze pe plafoan și să cadă apoi pe mașină sub formă de picături.

Simbolul 1 este pentru mașini cu protecție contra picăturilor de apă condensată, fiind prevăzute cu acoperiș la partea superioară.

Simbolul 2 este pentru mașini cu protecție contra picăturilor de lichide căzând pe verticală. Este o protecție care permite adoptarea unei soluții constructive care să asigure o puternică ventilație a mașinii, întâlnită la mașinile de curent continuu de mare intensitate, la care problema răcirii colectorului este esențială.

Simbolul 3 este pentru mașini la care protecția nu permite pătrunderea lichidelor sub formă de stropi căzând pe direcții înclinate până la 45° față de verticală. Această protecție se recomandă și este foarte răspândită, deoarece este cea mai severă protecție care permite totuși construcția mașinilor autoventilate cu circulație prin interior a aerului, ceea ce conduce așa cum s-a arătat, la gabarite reduse ale mașinilor electrice.

Utilizarea mașinilor în locuri complet neferite de precipitațiile atmosferice impune însă multă prudență, întrucât acestea pot cădea și pe direcții a căror înclinație este mai mare de 45° față de verticală.

Simbolul 4 este pentru mașini cu protecție contra stropilor cu lichide din orice direcție. Mașinile cu această protecție pot fi montate în principiu în locuri expuse precipitațiilor atmosferice. Se va evita însă montarea lor în regiuni caracterizate prin ploi torențiale frecvente, dat fiind că protecția este asigurată numai contra stropilor de apă.

Simbolul 5 este pentru mașini cu protecție contra jeturilor de apă aruncate de către un furtun. Mașina poate avea deschideri, care sînt însă prevăzute cu acoperiri speciale.

Simbolul 6 este pentru mașini cu protecție împotriva pătrunderii în interior a apei provenite din valuri, potrivită condițiilor de pe puntea navelor.

Simbolul 7 este pentru mașini cu protecție împotriva cufundării în lichid. Protecția nu permite intrarea apei, care ar putea împiedica buna funcționare a utilajului, după menținerea lui un anumit timp în apă.

Simbolul 8 este pentru mașini cu protecție împotriva cufundării în apă sub presiune. Această protecție nu permite intrarea apei în mașină în cursul cufundării la o anumită presiune și într-un anumit timp. Mașinile electrice care prin construcția lor și prin izolația folosită sînt destinate a funcționa în apă și la care apa pătrunde normal în interior în timpul funcționării (de exemplu unele motoare pentru pompe submersibile) se consideră din punctul de vedere al protecției egale cu gradul de protecție 8.

Între protecția contra atingerii și pătrunderii corpurilor străine și cea contra pătrunderii apei există o corelație indirectă, neputînd fi concepută, de exemplu, protecția 4 contra atingerii și protecția 1 contra pătrunderii apei. De aceea, STAS 625-63 stabilește protecțiile indicate mai jos, celelalte tipuri putînd fi solicitate numai în cazuri speciale. Protecțiile stabilite prin acest standard sînt: IP 00, IP 11, IP 12, IP 13, IP 22, IP 23, IP 33, IP 44, IP 54, IP 55, IP 66, IP 67.

### 6.3. LIMITELE TERMICE ADMISIBILE ALE MATERIALELOR ELECTROIZOLANTE FOLOSITE ÎN CONSTRUCȚIA MAȘINILOR ȘI TRANSFORMATORELOR ELECTRICE

Temperatura limită la care poate funcționa un material electroizolant este precizată în STAS 6247-60, standard care corespunde integral cu recomandările C. E. I., Publicația 85. Aceste limite de temperatură — menționate în tabelul 6.2 — sînt determinate de stabilitatea termică a materialelor respective.

Tabelul 6.2. Caracteristicile termice ale materialelor electroizolante

Simbolul clasei de izolație	Temperatura care caracterizează stabilitatea termică a materialelor respective °C	Denumirea materialelor care corespund clasei de izolație respective
Y	90	Izolații compuse din bumbac, hîrtie sau mătase fără a fi impregnate sau introduse în lichide electroizolante.
A	105	Izolații compuse din bumbac, mătase sau hîrtie impregnate sau introduse în lichide electroizolante.
E	120	Unele pelicule organice sintetice precum și diverse materiale ce pot funcționa stabil la această temperatură.
B	130	Materiale pe bază de mică, azbest, fibre de sticlă cu lianți și compunduri de impregnare corespunzătoare.
F	155	Materiale pe bază de mică, azbest, fibre de sticlă cu lianți și compunduri de impregnare corespunzătoare.
H	180	Materiale pe bază de mică, azbest și fibre de sticlă cu lianți și compunduri silico-organice (elastomeri silico-organici).
C	peste 180	Materiale pe bază de mică, cuarț, porțelan, sticlă cu sau fără lianți anorganici etc. Temperatura limită de utilizare este dictată de caracteristicile lor fizice, chimice și electrice.

Prin *stabilitate termică* se înțelege capacitatea unui material de a-și îndeplini funcția sub acțiunea temperaturii de serviciu un timp comparabil cu cel calculat pentru durata normală de serviciu a utilajului electric în care se folosește.

În acest standard se presupune că materialele izolante sînt folosite în aer. În lipsa oxigenului se pot admite temperaturi mai mari pentru unele materiale la care stabilitatea termică este condiționată de acest fapt.

În funcție de clasa materialelor electroizolante folosite s-au stabilit limitele de încălzire pentru bobinajele mașinilor electrice și pentru celelalte elemente ale acestora.

Aceste limite de încălzire s-au fixat în ipoteza că temperatura fluidului de răcire nu depășește 40°C.

În tabelul 6.3 este cuprinsă o situație rezumativă a limitelor încălzirii care satisface necesitățile legate de construcția mașinilor electrice din țara noastră.

Tabelul 6.3. Limitele de încălzire ale mașinilor electrice

Partea componentă a mașinii	Izolații clasa					Metoda de determinare a încălzirii
	A	E	B	F	H	
Înfășurările mașinilor de curent continuu și alternativ.....	60	75	80	100	125	Variația rezistenței
Miezurile de fier și alte părți în contact cu înfășurările	60	75	80	100	125	Termometrul
Colectoare și inele colectoare	60	70	80	90	100	Termometrul
Lagăre .....	45	45	45	45	45	Termometrul

Temperaturile admise pentru înfășurările mașinilor electrice sînt mai mici decît cele corespunzătoare materialelor folosite pentru izolarea acestor înfășurări. Aceasta se explică prin faptul că metodele de măsurare a încălzirilor determină valoarea medie a încălzirii înfășurărilor. În realitate există însă locuri în care temperatura înfășurării este mai ridicată față de această valoare medie. Deoarece nici în aceste locuri nu trebuie depășite limitele prescrise pentru materialele electroizolante, limitele admise pentru înfășurările mașinilor electrice sînt mai scăzute.

Diferențele între limitele pe care le pot avea temperaturile înfășurărilor și temperaturile la care pot funcționa materialele sînt următoarele:

clasa A :	5°C;	clasa F:	15°C;
clasa B :	5°C;	clasa H:	15°C.
clasa E :	10°C;		

Dacă la locul de exploatare a mașinii, valoarea maximă a temperaturii de intrare a agentului gazos de răcire depășește 40°C, limitele de încălzire specificate trebuie reduse în consecință.

#### 6.4. TRANSFERUL DE CĂLDURĂ

Căldura poate fi transferată de la un corp cu temperatură mai ridicată la un corp cu temperatură mai scăzută în trei moduri:

- prin *conducție* în materiale solide, lichide sau gazoase (conducția de căldură);
- prin *convecție* în corpuri lichide sau gazoase (prin mișcarea moleculară);
- prin *radiații electromagnetice*, care sînt independente de existența unui mediu material pentru transferul căldurii (radiația de căldură).

##### Conducția de căldură

Fluxul de căldură  $q$  este egal cu cantitatea de căldură care trece într-o secundă printr-o secțiune de 1 cm<sup>2</sup>, fluxul fiind îndreptat de la locul de temperatură mai mare la locul de temperatură mai mică. Acest flux de căldură se calculează cu formula:

$$q = -\lambda \text{ grad } \theta,$$

în care:  $\lambda$  este coeficientul de conductivitate termică, în cal/cm·s·grad;  
grad  $\theta$  — gradientul de temperatură, în grad/cm.

Pentru regimul staționar ( $\partial\theta/\partial t = 0$ ), care intervine în multe cazuri practice cantitatea de căldură transmisă se poate calcula foarte simplu cu formula:

$$\frac{Q}{tA} = \frac{\theta_1 - \theta_2}{\delta} \lambda,$$

în care:  $Q$  este cantitatea de căldură transmisă, în cal;  
 $t$  — timpul, în s;  
 $A$  — aria secțiunii, în cm<sup>2</sup>;  
 $\theta_1 - \theta_2$  — diferența de temperatură, în grad;  
 $\delta$  — distanța între suprafețele care se găsesc la temperatura  $\theta_1$ , respectiv  $\theta_2$ , în cm;  
 $\lambda$  — coeficientul de conductivitate termică, în cal/cm·s·grad.

Pe baza principiului conservării energiei și legii fluxului termic pentru un proces termic care variază în timp se poate scrie următoarea ecuație a conductivității termice:

$$\frac{\partial\theta}{\partial t} = a \left( \frac{\partial^2\theta}{\partial x^2} + \frac{\partial^2\theta}{\partial y^2} + \frac{\partial^2\theta}{\partial z^2} \right) = a \text{ div grad } \theta,$$

unde  $a$  este coeficientul de difuzie termică ce depinde de material (v. tab. 6.7),

$$a = \frac{\lambda}{c\rho} [\text{cm}^2/\text{s}],$$

unde  $c$  este căldura specifică, în cal/g·grad, iar  $\rho$  — densitatea, în g/cm<sup>3</sup>.

Pentru scopuri tehnice sînt foarte utile unele metode de aproximație. Trebuie menționate în special metoda diferențială, propusă de E. Schmidt, precum și metodele analoge electrice. Aceste metode se bazează pe similitudinea ecuațiilor diferențiale care exprimă legile cîmpului termic pe de o parte și legile cîmpului electromagnetic pe de altă parte.

##### Convecția

Se face o deosebire între mișcarea naturală a mediului care transportă căldură (de ex. ridicarea aerului cald) și mișcarea forțată (de ex. printr-un ventilator). Dacă o suprafață de arie  $A$  cm<sup>2</sup> are o temperatură  $\theta_1$  și dacă mediul care curge de-a lungul acestei suprafețe are o temperatură  $\theta_2$ , cantitatea de căldură transmisă prin această suprafață într-o secundă este

$$\frac{Q}{t} = \alpha A (\theta_1 - \theta_2),$$

unde  $\alpha$  este coeficientul de transfer termic, în cal/cm<sup>2</sup>·s·grad, care ține seama de toți factorii care influențează curgerea și transferul de căldură;  $\alpha$  depinde de temperatură, de caracteristicile suprafeței, de viscozitatea mediului, de viteza mediului, de felul curgerii (laminară sau turbulentă).

Ca exemplu, se indică formula aproximativă a lui Nusselt, valabilă pentru transferul de căldură pe un perete vertical plan, pentru convecție naturală:

$$\alpha = 6,1 \cdot 10^{-5} \sqrt[4]{\theta_1 - \theta_2} \left[ \frac{\text{cal}}{\text{cm}^2 \text{ s. grad}} \right]$$

Tabelul 6.4. Coeficientul de transfer de căldură  $\alpha$  pentru convecția artificială pe un perete neted (după Jörges)

$v_{red} = v_{ef} \frac{293}{273 + \theta_{aer}}$	Temperatura medie de 20 °C pentru mediul fluid Valori pentru	
	$v_{red} \leq 5 \text{ m/s}$	$v_{red} > 5 \text{ m/s}$
Pe pereți netezi ..... $\alpha \times 10^5 =$	13,4 + 9,4 $v_{red}$	17,0 ( $v_{red}$ ) <sup>0.78</sup>
Pe pereți cu rugozitate ..... $\alpha \times 10^5 =$	14,7 + 10,0 $v_{red}$	18,0 ( $v_{red}$ ) <sup>0.78</sup>

$v_{red}$  — viteza aerului, în m/s, redusă la 20 °C;  $v_{ef}$  — viteza reală a aerului cald, în m/s.

## Radiația de căldură

Radiațiile de căldură (radiații infraroșii, radiații termice) sînt unde electromagnetice. Poziția lor în cadrul spectrului electromagnetic se poate vedea din fig. 2.43, pag. 130.

În cazul incidenței pe un corp a unei radiații de intensitatea 1, fracțiunea reflectată reprezintă coeficientul de reflexie  $R$ , fracțiunea absorbită — coeficientul de absorbție  $A$  și fracțiunea care trece prin corp — coeficientul de permeabilitate  $D$ . Avem:

$$R + A + D = 1.$$

În funcție de mărimea acestor coeficienți diferiți de radiație, un corp se numește:

- alb, dacă  $R = 1$ , adică dacă radiația incidentă este complet reflectată;
- cenușiu, dacă  $R$  este cuprins între 0 și 1, fiind independent de lungimea de undă în domeniul considerat;
- negru, dacă  $A = 1$ , adică dacă radiația incidentă este complet absorbită.

Corpul negru este caracterizat nu numai prin faptul că absoarbe complet radiația incidentă, dar și prin faptul că emite cantitatea maximă posibilă de radiație termică, așa zisa „radiație a corpului negru”, la orice temperatură și pentru orice lungime de undă. Pentru corpul negru, de căldură  $q$  (radiată) este dată de legea Ștefan-Boltzmann

$$q = \sigma T^4,$$

unde:  $\sigma = 1,38 \cdot 10^{-12}$  cal/s.  $\text{cm}^2$  (grd)<sup>4</sup> este constanta de radiație a corpului negru;  
 $T$  — temperatura absorbită, în grade K ( $T = 273,16 + \theta$ ).

În practică, legea Ștefan-Boltzmann se folosește frecvent într-o formă puțin schimbată prin faptul că densitatea fluxului de căldură  $q$  nu se măsoară în cal/cm<sup>2</sup>·s, ci în kcal/m<sup>2</sup>·h, ceea ce dă

$$q = C_N \left( \frac{T}{100} \right)^4,$$

Coeficientul de radiație al corpului negru are în acest caz valoarea

$$C_N = 4,96 \text{ kcal/m}^2 \cdot \text{h} \cdot (100 \text{ grd})^4.$$

La transferul de căldură prin radiație trebuie să se țină seama nu numai de emisia corpului conform ecuației de mai sus, dar și de radiația incidentă pe corp din mediul ambiant, care se poate afla, ținînd seama de poziția geometrică a suprafețelor radiante, conform aceleiași legi; această radiație compensează în parte radiația emisă de corp.

Orice alt corp emite o radiație de căldură mai mică decît corpul negru, iar raportul între emisivitatea  $E$  a corpului respectiv și cea a corpului negru  $E_N$  este egal cu coeficientul lor de absorbție  $A$

$$\frac{E_\lambda}{E_{N\lambda}} = A_\lambda.$$

Pentru corpuri „cenușii”,  $A$  este, conform definiției, independent de  $\lambda$ .

Pentru cantitatea de căldură radiată în unitatea de timp pe unitatea de suprafață, rezultă pentru corpul cenușiu:

$$q = C \left( \frac{T}{100} \right)^4,$$

unde  $C = AC_N$  este coeficientul de radiație.

Radiatoarele și receptoarele termice pot fi considerate, cu o bună aproximație, drept corpuri cenușii (v. tabelele 6.5, 6.6 și 6.7)

Tabelul 6.5. Caracteristicile termice pentru diferite materiale

Materialul	Domeniul de temperatură °C	Căldura specifică medie $c_m$ kcal kg grd	Căldura latentă de evaporare $\gamma$ kcal kg	Căldura latentă de fuziune $s$ kcal kg
<b>Metale:</b>				
Aluminiu .....	20 18...300	0,214 0,2290	2800	85
Plumb .....	18... 500	0,237	—	—
Fier pur .....	20	0,031	220	5,7
Oțel cu 1,25% C; 0,46% Si; 0,62% Mn	0... 100	0,111	1520	65
Cupru .....	10... 130	0,1225	—	—
	18... 100	0,0928	1110	50
<b>Cărămidă refractară:</b>				
Sillimanită .....	20...1000	0,175	—	—
Șamotă .....	20...1000	0,261	—	—
Corund .....	20... 100	0,203	—	—
<b>Alte materiale:</b>				
Beton .....	20	0,21	—	—
Sticlă de cuarț .....	0... 500	0,23	—	—
Porțelan .....	0...1000	0,26	—	—
Faianță .....	20... 100	0,186	—	—
Cărămidă .....	20	0,16	—	—
Apă .....	20	0,9986	539,1	79,4

Tabelul 6.6. Coeficienții de radiație pentru diferitele materiale <sup>1)</sup>

Materialul	Calitatea suprafeței	Coeficientul de radiație $C$ kcal m <sup>2</sup> h(100 grd) <sup>4</sup>
a) La temperatura camerei		
Corpul negru		4,96 ± 0,07
<b>Metale curate:</b>		
Aluminiu	Lustruită .....	0,26
Cupru	Lustruită .....	0,20
Alamă	Lustruită .....	0,25
Nichel	Tablă de oțel nichelată, lustruită .....	0,27...0,30

<sup>1)</sup> Conform cu Schack, A.: „Der industrielle Wärmeübergang“ (Transferul termic industrial), ediția a 5-a, Düsseldorf, 1957.



Tabelul 6.6 (continuare)

Materialul	Calitatea suprafeței	Coeficientul de radiație C
		kcal m <sup>2</sup> h(100 grd) <sup>4</sup>
<i>Metale oxidate:</i>		
Plumb	Oxidat, cenușiu .....	1,4
Oțel	Laminat la cald .....	3,2 ... 3,3
Oțel	Turnat la suprafață netedă sau rugoasă .....	4,0 ... 4,1
Cupru	Negru .....	3,9
<i>Acoperiri:</i>		
Lac de aluminiu	Cu lac pe tablă de oțel .....	1,9 ... 2,0
Lac email	Alb strălucitor .....	4,5
Lac	Negru, lucitor .....	4,4
Vopsea cu ulei	.....	3,9
Email	Alb .....	4,5
<i>Materiale de construcție, sintetice și naturale:</i>		
Carton asfaltat	.....	4,5
Lemn de stejar	Dat la rindea .....	4,4
Ipsos	Cu grosime de 0,5 mm .....	4,5
Sticlă	Neted .....	4,7
Mortar de var	Rugos, alb .....	4,6
Hirtie	.....	4,0
Porțelan	Glazurată .....	4,6
Materiale de lână, mătase și bumbac	.....	3,9
Cărămidă	Roșie, aspră, însă fără denivelări mari .....	4,6

b) La temperaturi mai ridicate

Oțel	Oxidată, netedă la	800°C	4,6
Cărbune	Șlefuită 0,9% cenușă la	630°C	3,9
Șamotă	Glazurată prin utilizare practică, la	1000°C	3,7
Cărămidă de silice	Aspră, la	1000°C	4,0

Tabelul 6.7. Coeficienții de difuzie pentru diverse materiale

Materialul	Coeficientul de difuzie cm <sup>2</sup> /s	Materialul	Coeficientul de difuzie cm <sup>2</sup> /s
Alamă	0,33 ... 0,35	Azbest	0,00035 ... 0,00046
Aliaj cu cositor	—	Asfalt	0,005 ... 0,007
Aliaj Wood	0,089	Aur	1,24
Alpaca	0,074	Bariu	—
Aluminiu	0,853	Beriliu	0,526
Ambră	—	Beton	0,004 ... 0,008
Antimoniu	1,56	Bismut	0,097
Argint	1,717	Bronz	0,08 ... 0,22
Arsen	—	Cadmiu	0,455

Tabelul 6.7 (continuare)

Materialul	Coeficientul de difuzie cm <sup>2</sup> /s	Materialul	Coeficientul de difuzie cm <sup>2</sup> /s
Calciu	—	Magneziu	0,93
Carbon:		Mangan	0,14
Diamant	—	Manganină	0,064
Grafit	0,31	Mercur	0,044
Cox	0,022 ... 0,026	Mică	0,0027 ... 0,0034
Carbon	—	Molibden	0,53
Cărbune	—	Nichel	0,208
Turbă	—	Paladiu	0,198
Cărbune de lemn	0,0019	Parafină	0,0013 ... 0,0014
Cauciuc	0,0015 ... 0,0016	Platină	0,248
Ceară	0,00013 ... 0,00014	Plumb	0,233
Ciment	0,073	Plută	0,009 ... 0,0019
Constantan	0,063	Potasiu	1,51
Crom	0,219	Reniu	0,251
Cupru	1,12	Rodiu	0,27
Fenol	—	Seleniu (metalic)	—
Fibră vulcan	0,0023 ... 0,030	Siliciu	—
Fier	0,195	Sodiu	1,18
Fontă	0,11	Staniu	0,400
Fier chimic pur	0,195	Sticlă (în medie)	0,0033 ... 0,0044
Invar	0,028	Sticlă de cuarț	0,0088
Oțel	0,12	Sulf (ortorombic)	0,0014
Fosfor	—	Tantal	0,237
Galiu	—	Titan	—
Germaniu	0,33	Toriu	—
Indiu	—	Tungsten	0,646
Iridiu	0,195	Uraniu	—
Lemn	0,00013 ... 0,00014	Var ars	—
Abanos	—	Vopsea de email	—
Brad	—	Zgură de furnal	0,0035
Stejar	0,0009 ... 0,002	Zinc	0,434
Molid	0,0007 ... 0,0015		

## 6.5. RĂCIREA MAȘINILOR ELECTRICE

## 6.5.1. Debitul necesar al agentului de răcire pentru mașinile cu ventilație interioară

Pierderile  $P_p$ , care se produc în mașină, sint transmise mediului de răcire, în funcție de capacitatea lui termică  $c_p$ , rezultînd o creștere a temperaturii  $\Delta\theta$  a acestui mediu

$$P_p = c_p K \Delta\theta,$$

de unde se poate calcula debitul necesar al agentului de răcire pentru o creștere dată a temperaturii

$$K = \frac{P_p}{c_p \Delta\theta}$$

unde:  $c$  este căldura specifică a agentului de răcire la presiunea constantă, în kW/kg·grd; dacă căldura specifică este dată în kcal/kg·grd, se va înmulți cu factorul de transformare 4,19 kW/kcal;

$K$  — debitul agentului de răcire, în m<sup>3</sup>/s;

$P_p$  — suma pierderilor electrice și mecanice, în kW, minus căldura radiată de carcasa motorului și cea preluată de uleiul de ungere a lagărelor;

$\Delta\theta$  — creșterea temperaturii agentului de răcire, în grd;

$\rho$  — densitatea agentului de răcire la temperatura  $\theta$ , în locul în care se măsoară debitul, în kg/m<sup>3</sup>.

### Încărcarea admisibilă a agentului de răcire

Încărcarea agentului de răcire  $P_p/K$  depinde de creșterea admisibilă a temperaturii agentului. Valorile date în tabelul 6.8 se referă la agenții de răcire utilizați în mod normal.

Tabelul 6.8. Încărcarea admisibilă pentru agentul de răcire

Agentul de răcire	$\Delta\theta$ grd	$P_p/K$ pentru $\theta = 40^\circ\text{C}$
		$\frac{\text{kW}}{\text{m}^3/\text{s}}$
Aer sau hidrogen .....	20...30	23...34
Hidrogen:		
1 at suprapresiune .....	25	57
2 at suprapresiune .....	25	85
3 at suprapresiune .....	25	114
Apă .....	10...20	42...84 · 10 <sup>3</sup>

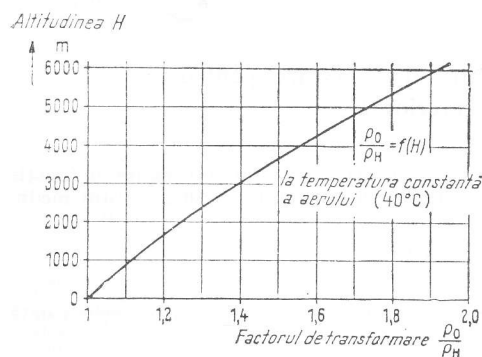


Fig. 6.1. Efectul altitudinii asupra debitului necesar al agentului de răcire

### Efectul altitudinii asupra răcirii cu aer

Dacă  $K$  este debitul agentului de răcire necesar la nivelul mării ( $H = 0$ ), debitul necesar la altitudinea  $H$  va fi

$$K_H = K\rho_0/\rho_H.$$

Pentru valorile factorului de transformare  $\rho_0/\rho_H$  vezi fig. 6.1.

### 6.5.2. Creșterea temperaturii

Creșterea temperaturii unei părți componente a unui motor, de ex. a înfășurării lui, se compune din trei

părți: 1) creșterea de temperatură a agentului de răcire în locul părții respective a mașinii; 2) diferența de temperatură între partea respectivă a mașinii și agentul de răcire, determinată de transferul de căldură; 3) diferența de temperatură dintre partea respectivă a mașinii și suprafața răcită, determinată de conductivitatea termică a straturilor intermediare:

$$\theta_i = \Delta\theta_1 + \theta_\alpha + \theta_\lambda,$$

$$\theta_i = \frac{\Sigma P_p}{c\rho K} + \frac{V_i}{A} \frac{1}{\alpha} + \frac{V_i}{A} \frac{s}{\lambda_s},$$

unde:  $V_i$  este fluxul de căldură eliminat de partea respectivă a motorului;

$A$  — suprafața răcită de agent;

$\alpha$  — coeficientul de transfer de căldură;

$s$  — grosimea straturilor intermediare, avînd conductivitatea termică  $\lambda_s$ .

### Transferul de căldură

Căldura transmisă de o parte a motorului agentului de răcire depinde de mărimea  $A$  a suprafeței părții respective, de coeficientul de transfer de căldură  $\alpha$  și de diferența de temperatură  $\theta_\alpha$  între partea respectivă a motorului și agentul de răcire:

$$V_i = \alpha A \theta_\alpha,$$

unde  $\theta_\alpha$  este definit ca:

$$\theta_\alpha = \theta_A - \left( \theta_0 + \frac{\Delta\theta}{2} \right),$$

unde:

$\theta_A$  este temperatura pe suprafața părții respective a mașinii;

$\theta_0$  — temperatura agentului de răcire cînd vine în contact cu partea respectivă;

$\Delta\theta$  — creșterea temperaturii agentului de răcire în apropierea părții respective a mașinii.

Coeficientul de transfer de căldură sub forma dată de Nusselt (factorul Nusselt) este

$$Nu = \frac{\alpha D}{\lambda_k}$$

unde:

$D$  este o lungime caracteristică pentru geometria construcției respective, de ex. diametrul țevii în cazul unei țevi;

$\lambda_k$  — conductivitatea termică a agentului de răcire.

Ecuatiile empirice indicate de Nusselt, avînd forma:

$$Nu = f(Re, Pr) \text{ pentru convecție forțată}$$

și

$$Nu = f(Gr, Pr) \text{ pentru convecția naturală,}$$

permit stabilirea relațiilor între transferul de căldură, viteza agentului de răcire și caracteristicile fizice ale agentului. Mărimile care apar în aceste ecuații sint:

— numărul lui Reynolds

$$Re = \frac{wD}{\nu} = \frac{wD\rho}{\mu},$$

$$\nu = \mu/\rho$$

— numărul lui Prandtl

$$Pr = \frac{c\mu}{\lambda_k} = \frac{cv\rho}{\lambda_k};$$

— numărul lui Grashof

$$Gr = \frac{g\beta\theta_\alpha D^3}{\nu^2}$$

unde:

- $w$  — este viteza de curgere;
- $D$  — lungimea caracteristică a formei geometrice respective;
- $\nu$  — viscozitatea dinamică;
- $\mu$  — viscozitatea cinematică;
- $g$  — accelerația gravitației;
- $\beta$  —  $1/T$ , coeficientul de expansiune;
- $T$  — temperatura agentului de răcire, în K.

Calculul coeficientului mediu de transfer de căldură în cazul convecției forțate<sup>1)</sup>

*Curgerea în lungul unui perete plan*

În acest caz, lungimea caracteristică este lungimea de curgere.

în cazul unui strat limită laminar, adică pentru  $Re < 10^5$ ,

$$Nu = 0,664 Re^{0,5} Pr^{0,4}$$

relație aplicabilă pentru apă, ulei și gaz.

în cazul unui strat limită turbulent, adică pentru  $Re > 10$

$$Nu = 0,037 Re^{0,8} Pr^{0,4}$$

relație aplicabilă pentru apă, ulei și gaze.

<sup>1)</sup> După Michejew, Bazele transferului de căldură.

*Curgerea printr-o conductă cu secțiune circulară.*

În acest caz, lungimea caracteristică este diametrul țevii.

în cazul unei curgeri laminare, adică pentru  $Re < 2300$

$$Nu = 0,15 \varepsilon_l Re^{0,3} Pr^{0,4},$$

unde  $\varepsilon_l$  este un factor de admisie, care depinde de lungimea relativă  $L/D$  a țevii respective (tabelul 6.9).

Tabelul 6.9. Factorul de admisie la curgerea laminară

$L/D$	1	2	5	10	20	30	50
$\varepsilon_l$	1,9	1,7	1,44	1,27	1,13	1,05	1,0

în cazul unei curgeri turbulente, adică pentru  $Re > 8000$  (tabelul 6.10),

$$Nu = 0,021 \varepsilon_t Re^{0,8} Pr^{0,4}.$$

Tabelul 6.10. Factorul de admisie la curgerea turbulentă

$L/D \backslash Re$		1	2	5	10	20	50
$\varepsilon_t$	$10^4$	1,65	1,50	1,34	1,23	1,13	1
	$10^5$	1,28	1,22	1,15	1,10	1,06	1
	$10^6$	1,14	1,11	1,08	1,05	1,03	1

Cele două ecuații se aplică de asemenea pentru apă, ulei și gaze, în domeniul de tranziție (tabelul 6.11) adică pentru  $2000 < Re < 10^6$

$$Nu = z Pr^{0,4}$$

cu limitele  $z_1$  și  $z_2$

$$z_{1,2} = f(Re).$$

Tabelul 6.11. Limitele în zona tranzitorie

$Re$	2,1 ×	2,3 ×	2,5 ×	4 ×	6 ×	10 × 10 <sup>4</sup>
$z_1$	1,9	3,3	4,4	11,4	19,5	33,5
$z_2$	9,5	10,3	11,0	16	22	

Curgerea prin conductă cu secțiune transversală oarecare

În locul diametrului țevii  $D$ , se va utiliza diametrul hidraulic  $HD$

$$HD = \frac{4F}{U}$$

unde:  $F$  este secțiunea transversală a curgerii;

$U$  — perimetrul umezit, indiferent dacă această suprafață ia parte la transferul de căldură sau nu.

De exemplu, în cazul unei conducte cu o secțiune transversală alungită (oblong) având parametrii principali  $a$  și  $b$ , diametrul hidraulic este:

$$HD = \frac{4ab}{2(a+b)} = \frac{2a}{1 + \frac{a}{b}}$$

În cazul curgerii printr-o fantă, pentru care  $b$  este mult mai mare decât  $a$ , acest diametrul hidraulic va fi

$$HD = 2a \text{ (aproximativ)}$$

Curgerea transversală pe un cilindru

$$a) Re < 10^3: Nu = 0,59 Re^{0,5} Pr^{0,4}$$

$$b) Re > 10^3: Nu = 0,21 Re^{0,6} Pr^{0,4}$$

Calculul coeficientului mediu de transfer de căldură în caz de convecție naturală

Numărul mediu Nusselt pentru un corp având înălțimea  $D$  poate fi apreciat, folosind tabelul 6.12, dacă sînt cunoscute numerele Grashof și Prandtl.

Tabelul 6.12. Coeficientul mediu de transfer termic la convecție naturală

$Gr \times Pr$	1	pină la $5 \cdot 10^5$	pină la $2 \cdot 10^7$	pină la $10^{13}$
$Nu$	0,5	$1,18 (Gr \times Pr)^{0,13}$	$0,54 (Gr \times Pr)^{0,25}$	$0,135 (Gr \times Pr)^{0,33}$

Influența agentului de răcire asupra transferului de căldură

$Re$ ,  $Gr$ , și  $Pr$  depind de caracteristicile fizice ale agentului de răcire. În tabelul 6.14 se dau datele pentru agenții de răcire cei mai importanți, în funcție de natura lor.

Densitatea  $\rho$  crește proporțional cu creșterea presiunii gazului, pe cînd viscozitatea cinematică  $\nu$  scade aproximativ în aceeași proporție ca și presiunea gazului.

În cazul hidrogenului, gradul de puritate are un efect considerabil asupra densității gazului  $\rho$ , asupra căldurii specifice  $c$  și asupra conductivității termice  $\lambda$ . Capacitatea ter-

mică  $c$ ,  $\rho$ , din contră, este practic independentă de gradul de puritate al oxigenului. În tabelul 6.13 se dau factorii respectivi de influență în funcție de gradul de puritate  $1 - x$ , unde  $x$  este proporția de gaz străin raportată la volumul total.

Tabelul 6.13. Efectul gradului de puritate  $1-x$  asupra caracteristicilor fizice ale hidrogenului

	$1-x$	1,00	0,99	0,98	0,97	0,96	0,95
Impurificare cu aer	$f_\rho$	1,0	1,13	1,26	1,40	1,53	1,66
	$c$	1,0	0,99	0,98	0,97	0,96	0,95
$H_2$ + aer	$f_\lambda$	1,0	0,97	0,94	0,91	0,88	0,86
Impurificare cu bioxid de carbon	$f_\rho$	1,0	1,2	1,4	1,6	1,8	2,0
	$c$	1,0	0,99	0,98	0,97	0,96	0,95
$H_2$ + $CO_2$	$f_\lambda$	1,0	0,95	0,90	0,87	0,83	0,80

Tabelul 6.14. Caracteristicile agenților de răcire

Agentul de răcire	Temperatura $\theta$	Densitatea $\rho$	Căldura specifică $c$	Capacitatea $c_p$	Conductivitatea termică $\lambda$	Viscozitatea cinematică $\nu$	Numărul lui Prandtl $Pr = \frac{c\nu\rho}{\lambda}$
	°C	kg/m <sup>3</sup>	kWs/kg grd	kWs/m <sup>3</sup> · grd	W/m · grd	m <sup>2</sup> /s	
Hidrogen $H_2$	20 40 60	0,085 0,080 0,076	14,3	1,22 1,14 1,09	0,186 0,197 0,206	$10^{-6} \times \begin{cases} 105 \\ 114 \\ 127 \end{cases}$	0,67
Heliu He	20 40 60	0,168 0,159 0,149	5,2	0,87 0,83 0,77	0,151 0,158 0,161	$10^{-6} \times \begin{cases} 117 \\ 128 \\ 141 \end{cases}$	0,67
Amoniac $NH_3$	20 40 60	0,695 0,650 0,610	2,2	1,53 1,43 1,34	0,023 0,024 0,027	$10^{-6} \times \begin{cases} 14,4 \\ 16,5 \\ 18,9 \end{cases}$	0,96
Azot $N_2$	20 40 60	1,17 1,09 1,02	1,04	1,22 1,14 1,06	0,025 0,026 0,0265	$10^{-6} \times \begin{cases} 15,0 \\ 16,8 \\ 18,8 \end{cases}$	0,74
Aer uscat	20 40 60	1,20 1,13 1,06	1,0	1,20 1,13 1,06	0,026 0,027 0,0285	$10^{-6} \times \begin{cases} 15,1 \\ 17,0 \\ 18,9 \end{cases}$	0,71
Bioxid de carbon $CO_2$	20 40 60	1,78 1,67 1,57	0,84	1,50 1,40 1,32	0,016 0,017 0,0185	$10^{-6} \times \begin{cases} 8,2 \\ 9,3 \\ 10,4 \end{cases}$	0,80
Uleiuri minerale ușoare	20 40 60	878 865 853	1,9	1670 1640 1620	0,12	$10^{-6} \times \begin{cases} 31,2 \\ 13,3 \\ 6,0 \end{cases}$	434 182 86
Apă $H_2O$	20 40 60	998 992 983	4,2	4190 4170 4130	0,598 0,628 0,652	$10^{-6} \times \begin{cases} 1,00 \\ 0,66 \\ 0,48 \end{cases}$	7,0 4,35 3,0

De exemplu densitatea hidrogenului impurificat ar fi

$$\rho_{1-x} = f_{\rho} \rho_{1,0}$$

O relație similară există de asemenea pentru căldura specifică și conductivitatea termică.

### 6.5.3. Conductivitatea termică

Căldura evacuată dintr-o parte a mașinii înconjurată de un strat cu efect de ecranare (izolație), este

$$V_1 = \frac{\lambda}{s} A \theta_{\lambda}$$

unde:

- $\theta_{\lambda}$  este gradientul de temperatură în stratul de ecranare;
- $A$  — aria suprafeței prin care se evacuează căldura;
- $s$  — grosimea stratului de ecranare;
- $\lambda$  — conductivitatea termică a stratului de ecranare.

Dacă există mai multe straturi cu efecte de ecranare, gradientul total de temperatură va fi

$$\theta_{\lambda} = \frac{V}{A} \left[ \left( \frac{s}{\lambda} \right)_1 + \left( \frac{s}{\lambda} \right)_2 + \dots \right]$$

În tabelul 6.15 se dau conductivitățile termice pentru diferite materiale și agenți de răcire, utilizate în practică.

Tabelul 6.15. Conductivitatea termică pentru diferite materiale și agenți de răcire  $\lambda$  în  $W/m \cdot ^\circ C$

Metale		Alte materiale		Agentul de răcire la 40 °C	
Argint .....	400	Repelit .....	0,30	Aer .....	0,03
Cupru .....	380	Lemn .....	0,20	Bioxid de carbon $CO_2$ .....	0,02
Aluminiu .....	210	Portelan .....	0,90	Hexafluorură de sulf $SF_6$ .....	0,01
Alamă 70/30 .....	110	Sticlă .....	1,10	Hidrogen, $H_2$ .....	0,20
Oțel .....	40...60	Plexiglass .....	0,20	Hidrogen (97%) + bioxid de carbon $H_2 + CO_2$ .....	0,17
				Heliu, He .....	0,16
Mercur, Hg .....	9,30	Azotură de bor .....	35		
Oțel nichel-crom .....	16	Araldit B .....	0,20	Ulei .....	0,12
		Araldit B + nisip de cuarț .....	1,30	Apă, $H_2O$ .....	0,63
Tole de dinam, în sens longitudinal .....	20 ... 40	Lac .....	0,16		
Tole de dinam, în sens transversal .....	1 ... 2	Izolație de șelac .....	0,22		

## 7. CARACTERISTICILE MAȘINILOR ELECTRICE

### 7.1. MAȘINA SINCRONĂ

#### 7.1.1. Caracteristicile mașinilor sincrone

Tensiunile și curenții sint exprimați în unități relative ca raportul între valoarea lor reală și valoarea lor nominală.

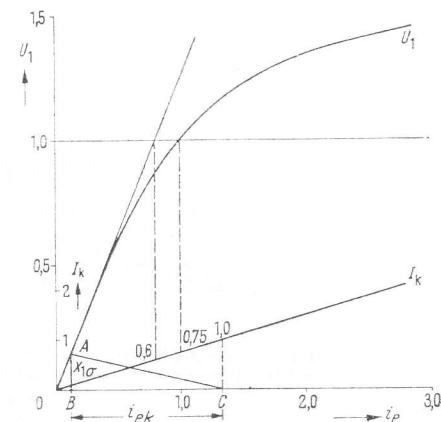
Curenții de excitație sint exprimați ca raportul între valoarea lor reală și curentul de excitație la mers în gol la tensiunea nominală  $i_0$  (unități relative).

Notății folosite:

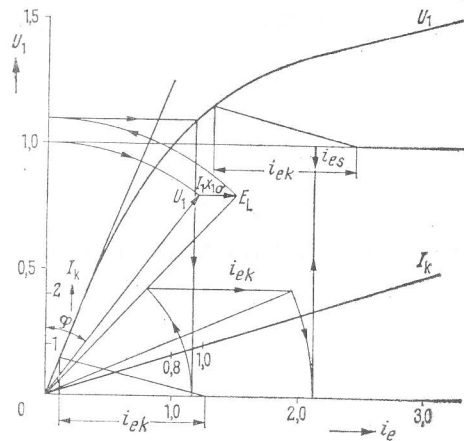
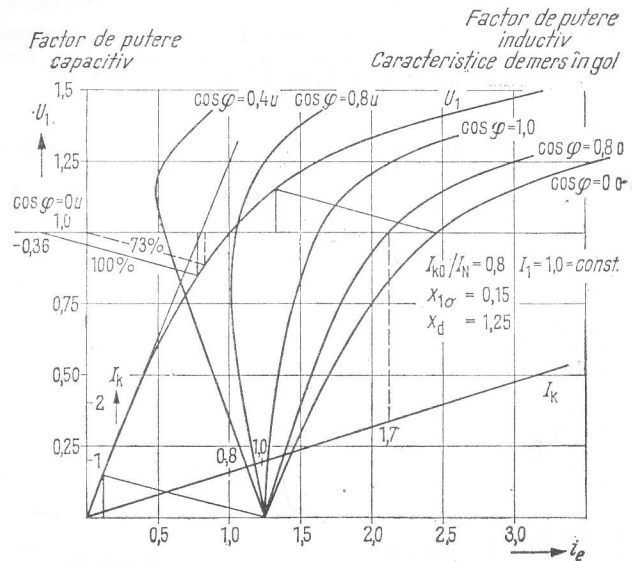
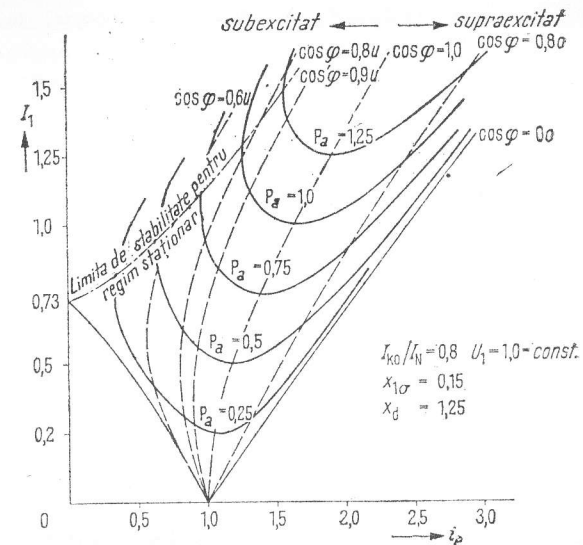
- $i_e$  — curentul de excitație;
- $i_{e0}$  — curentul de excitație la mers în gol, la tensiunea nominală;
- $i_{ek}$  — curentul de excitație corespunzător unui curent de scurtcircuit trifazat simetric egal cu curentul nominal;
- $I_N$  — curentul nominal;
- $I_k$  — curentul permanent de scurtcircuit;
- $I_{k0}$  — curentul permanent de scurtcircuit pentru o excitație corespunzătoare funcționării în gol la tensiune nominală;
- $I_{k0}/I_N$  — raportul curenților la scurtcircuit;
- $U_N$  — tensiunea nominală;
- $U_1$  — tensiunea de fază.

Fig. 7.1. Caracteristicile la mersul în gol și la scurtcircuit.

- $\frac{I_{k0}}{I_N} = \begin{cases} 0,6 \text{ nesaturat} \\ 0,75 \text{ saturat} \end{cases}$   
 $ABC$  — Triunghiul Potier;  
 $AB$  — căderea de tensiune corespunzătoare reactanței de dispersie a statorului, în unități relative (pentru curentul nominal);  
 $BC$  — reacția indusului — unități relative (pentru curentul nominal).  
 $x_{1\sigma}$  — reactanță de dispersie a statorului, în unități relative.






 Fig. 7.2. Determinarea curentului de excitație  $i_e$  în sarcină.

 Fig. 7.3. Variația tensiunii la bornele mașinii funcție de curentul de excitație  $U_1 = f(i_e)$ , pentru curent statoric constant  $I = \text{const}$  și factor de putere constant  $\cos \varphi = \text{const}$ .

 Fig. 7.4. Variația curentului statoric funcție de curentul de excitație  $I_1 = f(i_e)$  la funcționarea în paralel cu un sistem de putere infinită și cu tensiunea la borne constantă  $U = \text{const}$ .  
 — pentru putere activă constantă ( $P_a = \text{const}$ );  
 ..... pentru factor de putere constant,  $\cos \varphi = \text{const}$ .

### 7.1.2. Reactanțele mașinilor sincrone

Reactanțele sincrone longitudinale și transversale  $x_d$  și  $x_q$

$$\text{Notînd } X_d = \frac{U_1}{I_k} \Omega \text{ și } X_N = \frac{U_N}{I_N} \Omega$$

unde:  $U_N$  și  $U_1$  sînt tensiunile de fază, în V;

$I_N$  și  $I_k$  — curenții de fază, în A,  
se obține

$$x_d = \frac{X_d}{X_N} = \frac{U_1}{I_k} \cdot \frac{I_N}{U_N}$$

sau

$$x_d = \frac{U_1/U_N}{I_k/I_N} \text{ (unități relative).}$$

Pentru  $U_1/U_N = 1,0$  rezultă  $I_k = I_{k0}$ , deci  $I_{k0}/I_N$  este raportul de scurtcircuit la mers în gol.

$$x_d = \frac{1}{I_{k0}/I_N}; \quad x_d = x_a + x_{1\sigma};$$

reactanța transversală

$$x_q = \frac{c_q}{c_d} x_a + x_{1\sigma}; \quad \frac{c_q}{c_d} = f\left(\frac{b}{\tau}\right),$$

unde:  $x_a$  este reactanța corespunzătoare cimpului de reacțiune;

$b$  — lățimea polilor;

$\tau$  — pasul polar;

$c_d, c_q$  v. mai jos<sup>1</sup>).

Exemplu (fig. 7.5):

$$x_d(\text{nesaturat}) = \frac{1}{0,6} = 1,66 \text{ (166\%)}, \text{ (unități relative);}$$

$$x_d(\text{saturat}) = \frac{1}{0,75} = 1,33, \quad x_{1\sigma} = 0,15 \text{ (unități relative);}$$

$$\frac{c_q}{c_d} \approx 0,55 \text{ pentru } \frac{b}{\tau} = 0,75;$$

$$x_a = 1,66 - 0,15 = 1,51 \text{ (151\%);}$$

$$x_q = 0,55 \cdot 1,51 + 0,15 = 0,98 \text{ (98\%)}. \quad \square$$

$c_q$  și  $c_d$  sînt factori de reducere.  $I_{k0}/I_N$  determină de asemenea puterea subexcitată admisibilă  $P_c$  a unui generator în cazul funcționării pe o linie aeriană lungă.

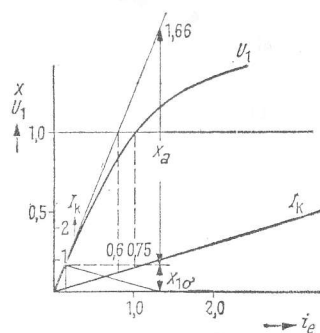


Fig. 7.5. Reactanțele sincrone.

$$\frac{P_c}{P_N} \approx 0,9 \frac{I_{k0}}{I_N}; \quad P_c = \frac{U^2}{x_c},$$

unde:  $P_N$  este puterea nominală, în kVA;

$$x_c \approx 350 \cdot 10^3 \Omega \text{ km (pină la 220 kV, 50 Hz linie monofazată).}$$

$$\text{De exemplu la 220 kV } P_c = \frac{220^2}{350} = 138 \text{ kVA/km.}$$

Reactanțele tranzitorii

Reactanțele supratranzitorii  $x_d''$ ,  $x_q''$

$x_{2\sigma}$ —reactanța de dispersie a înfășurării excitației

$x_{3\sigma}$ —reactanța de dispersie a înfășurării de amortizare;

$x_{L\sigma}$ —reactanța de dispersie longitudinală rezultantă a rotorului.

Reactanța longitudinală supratranzitorie  $x_d''$  (fig. 7.6)

$$x_d'' = x_{1\sigma} + \frac{x_a x_{L\sigma}}{x_a + x_{L\sigma}};$$

$$x_{L\sigma} = \frac{x_{2\sigma} x_{3\sigma}}{x_{2\sigma} + x_{3\sigma}};$$

$$x_d'' \approx x_{1\sigma} + x_{3\sigma}.$$

Reactanța transversală supratranzitorie  $x_q''$

$$x_q'' = x_{1\sigma} + \frac{x_a x_{3\sigma} c_q / c_d}{x_a c_q / c_d + x_{3\sigma}}.$$

În cazul mașinilor cu piese polare laminate și fără înfășurare de amortizare:

$$x_{3\sigma} = \infty, \text{ adică } x_q'' = x_q.$$

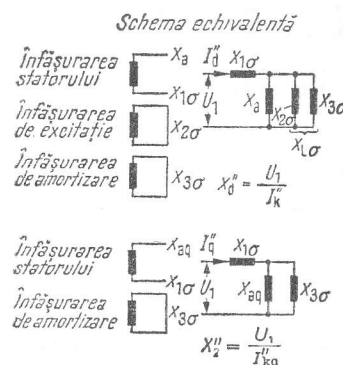


Fig. 7.6. Reactanțele supratranzitorii.

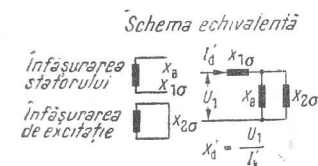


Fig. 7.7. Reactanța tranzitorie.

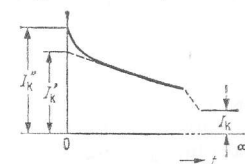


Fig. 7.8. Amplitudinea componentei alternative a curentului de scurtcircuit brusc.

În tabelul 7.1 sînt date valori ale raportului  $x_q''/x_d''$  pentru diferite execuții ale înfășurării de amortizare.

Tabelul 7.1. Valori ale raportului  $x_q''/x_d''$  pentru diferite execuții ale înfășurării de amortizare

Execuție	$x_q''/x_d''$
Cu colivie completă de amortizare	0,9...1,2
Amortizare numai pe axa longitudinală și poli lamelați	2...3
Fără înfășurare de amortizare cu poli lamelați	3...4
Cu piese polare masive	1,5...1,8

<sup>1</sup> E. v. Rziha, Stahstromtechnik, ediția a 8-a, 1955, pag. 440.

Reactanțele tranzitorii  $x'_d$  și  $x'_q$

$$x'_d = x_{1\sigma} + \frac{x_a x_{2\sigma}}{x_a + x_{2\sigma}},$$

unde:  $x'_q = x_q$ ;

$x_d(\text{saturat}) \approx 0,88 x'_d(\text{nesaturat})$ .

Măsurarea lui  $x'_d$  și  $x''_d$  din încercarea la scurtcircuit trifazat simetric brusc:

$$x''_d = \frac{U_1}{I''_k}; \quad x'_d = \frac{U_1}{I'_k}.$$

Reactanțele la sarcini asimetrice

Reactanța de succesiune inversă a fazelor (reactanța inversă)

$$x_2 = \frac{U_2}{I_2},$$

unde:  $U_2$  este tensiunea sistemului invers;  
 $I_2$  — curentul sistemului invers.

$$x_2 \approx \frac{x''_d + x''_q}{2}.$$

Măsurarea reactanței  $x_2$  la un scurtcircuit bifazat fig. (7.9):

$$x_2 = \frac{U_{AC}}{\sqrt{3} I_{kAB}}.$$

Reactanța homopolară

$$x_0 = \frac{U_0}{I_0}$$

unde:  $U_0$  este tensiunea sistemului homopolar;  
 $I_0$  — curentul sistemului homopolar.

Măsurarea lui  $x_0$  (v. fig. 7.10). Generatorul funcționează cu înfășurarea de excitație scurtcircuitată, tensiunea  $U$  este aplicată la o sursă exterioară.

$$x_0 = \frac{U}{3I_k}.$$

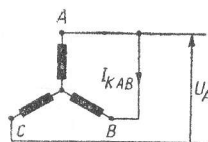


Fig. 7.9. Măsurarea reactanței inverse.

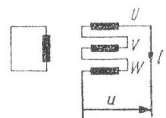


Fig. 7.10. Măsurarea reactanței homopolare.

Tabelul 7.2. Valori tipice pentru reactanțe relative ale mașinilor sincrone de fabricație germană \*)

Execuție	Saturat $x_d$	$x_d = x'_q$	$x'_d$	$x''_d$	$x''_q$	$x_d = \frac{x''_d + x''_q}{2}$	$x_s$ *)
Turbogeneratoare cu doi poli	1,2 ... 2,0	1,10 ... 1,8 <sup>2)</sup>	0,16 ... 0,26	0,10 ... 0,15	0,10 ... 0,15	0,09 ... 0,15	0,02 ... 0,1
Generatoare cu poli mai puțin de 16 poli	0,8 ... 1,4	0,52 ... 0,9	0,22 ... 0,35	0,14 ... 0,23	0,14 ... 0,26	0,14 ... 0,25	0,03 ... 0,2
Generatoare cu poli mai puțin de 16 poli și mai mult	0,75 ... 1,25	0,45 ... 0,8	0,25 ... 0,4	0,15 ... 0,25	0,16 ... 0,28	0,15 ... 0,27	0,03 ... 0,22
Generatoare cu poli mai puțin de 16 poli	0,8 ... 1,4	0,52 ... 0,9	0,22 ... 0,35	0,22 ... 0,35	0,52 ... 0,9	0,36 ... 0,63	0,04 ... 0,24
Generatoare cu poli mai puțin de 16 poli și mai mult	0,75 ... 1,25	0,45 ... 0,8	0,25 ... 0,4	0,25 ... 0,4	0,45 ... 0,8	0,35 ... 0,6	0,04 ... 0,3

1) În caz de saturație, valorile lui  $x'_d$  scad la 88% din valorile în stare nesaturată.

2)  $x_s$  depinde în primul rând de scurtarea pasului înfășurării satorice  $s/\tau$ , precum și de execuția pieselor polare (lățimea  $b$ , raportul  $b/\tau \approx 0,8$  pentru  $b/\tau \approx 0,02$  și un pas scurtat  $s/\tau \approx 10/12$ ,  $x_s \approx 0,7 x_{1\sigma}$ ).

3) Valabil numai pentru mașina cu poli lamelați, fără înfășurare de excitație pe axa transversală. Pentru poli masivi:  $x_q \approx 1,5 x'_d \dots 3,0 x'_d$ .

4) Dacă dinții sînt saturați în măsură apreciabilă, valorile pentru  $x''_d$  scad la 90% din valorile pentru cazul nesaturat.

\*) Datele din tabel sînt valabile și pentru mașinile de fabricație românească.

Utilizarea diferitelor reactanțe

Curentul de scurtcircuit permanent

$$I_k = \frac{U_1}{x_d} \text{ (pentru } U_1 = 1,0; I_{k0}).$$

Curentul de scurtcircuit trifazat simetric brusc

$$I_k'' = \frac{U}{x_d''},$$

de ex. dacă  $x_d'' = 0,12$  (adică 12%),  $I_k'' = 1/0,12 = 8,33$  (adică de 8,33 ori curentul nominal).

Valoarea maximă a curentului de scurtcircuit instantaneu inclusiv componenta de curent continuu  $I_{ks} = \sqrt{2} \cdot 1,8 I_k''$  nu trebuie să depășească mai mult de 15 ori amplitudinea curentului nominal; numai în cazul unui turbogenerator cu doi poli, de peste 25 MVA, se poate admite o valoare de 18 ori mai mare adică se cere ca

$$x_d'' \geq 0,12 \text{ sau } x_d'' \geq 0,1.$$

Curentul de scurtcircuit tranzitoriu

$$I_k' = \frac{U_1}{x_d'}.$$

Pentru curenții de scurtcircuit la scurtcircuiturile bifazate și monofazate, v. tab. 7.4.

Diagrama fazorială pentru regimul staționar și tranzitoriu

$E_0$  este tensiunea electromotoare de mers în gol, depinzind de curentul de excitație raportul  $i_e/i_{e0}$ ;

$\delta_0$  este unghiul intern rotor.

În diagrama fazorială pentru regimul staționar (fig. 7.11) sarcina este

$$Z_{s0} = R_{s0} + jx_{s0}, \quad \tan \varphi_0 = \frac{x_{s0}}{R_{s0}}, \quad \tan \psi_0 = \frac{x_{s0} + x_q}{R_{s0}},$$

$$\delta_0 = \psi_0 - \varphi_0, \quad E_0 = U_1 \cos \delta_0 + I_1 x_d \sin(\delta_0 + \varphi_0).$$

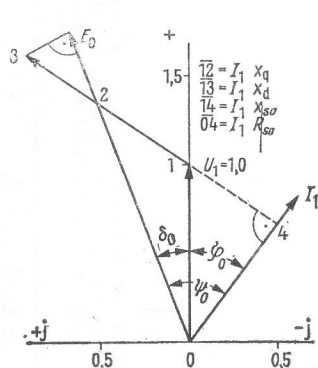


Fig. 7.11. Diagrama fazorială pentru regimul staționar.

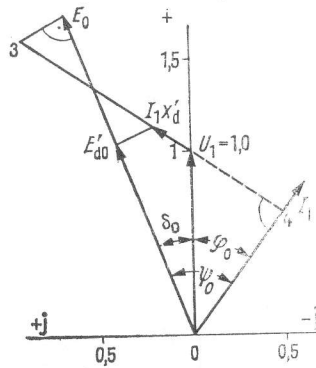


Fig. 7.12. Diagrama fazorială pentru regimul tranzitoriu.

Tensiunea electromotoare corespunzătoare regimului tranzitoriu  $E_{d0}'$  (fig. 7.12)

$$E_{d0}' = E_0 \frac{x_d'}{x_d} + U_1 \frac{x_d - x_d'}{x_d} \cos \delta_0.$$

Puterea activă și critică, pentru regimul staționar și tranzitoriu  $P_a$  și  $P_{er}$

Pentru regimul staționar

$$P_a = \frac{E_0 U_1}{x_d} \sin \delta + \frac{U_1^2}{2} \frac{x_d - x_q}{x_d x_q} \sin 2\delta.$$

Unghiul intern critic pentru regim staționar (fig. 7.13) rezultă din ecuația

$$\frac{E_0}{U_1} \frac{x_q}{x_d - x_q} = \frac{\cos 2\delta_{cr}}{\cos \delta_{cr}}.$$

Pentru regimul tranzitoriu

$$P_a' = \frac{E_{d0}' U_1}{x_d'} \sin \delta + \frac{U_1^2}{2} \frac{x_d' - x_q}{x_d' x_q} \sin 2\delta.$$

Unghiul intern critic în regim tranzitoriu  $\delta_{cr}'$  rezultă din ecuația

$$\frac{E_{d0}'}{U_1} \frac{x_q}{x_d' - x_q} = - \frac{\cos 2\delta_{cr}'}{\cos \delta_{cr}'}.$$

Puterea de sincronizare la variații de sarcină foarte lente este

$$P_{sin} = \frac{E_0 U_1}{x_d} \cos \delta + U_1^2 \frac{x_d - x_q}{x_d x_q} \cos 2\delta,$$

iar la variații rapide de sarcină

$$P_{sin}' = \frac{E_{d0}' U_1}{x_d'} \cos \delta + U_1^2 \frac{x_d' - x_q}{x_d' x_q} \cos 2\delta.$$

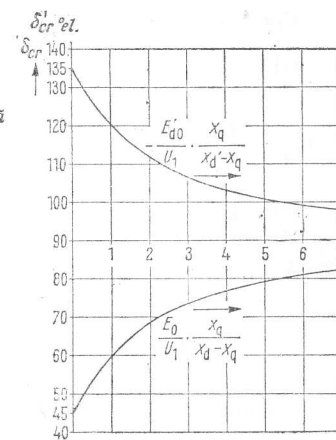


Fig. 7.13. Unghiurile critice pentru regimurile staționar și tranzitoriu ( $\delta_{cr}'$  respectiv  $\delta_{cr}$ ), pentru generatoare cu poli aparenti.

În fig. 7.15 este reprezentat un exemplu de variație în regim staționar și dinamic a puterii active în cazul funcționării în paralel cu un sistem de putere infinită.

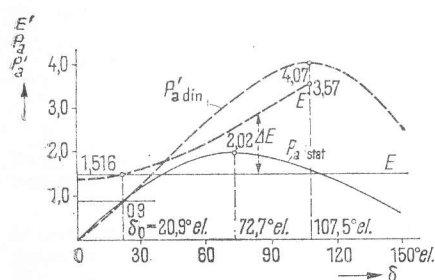


Fig. 7.14. Caracteristicile puterii active. Exemplu de calcul a puterii active:

$$E' = E_0 + U_1 \frac{x_d - x'_d}{x'_d} (\cos \delta_0 - \cos \delta).$$

$$U' = 1,0$$

$$I_1 = 0,9 - j 0,436$$

$$x_d = 0,8$$

$$x_q = 0,52$$

$$x'_d = 0,3$$

Curenții permanenți de scurtcircuit

trifazat

bifazat

monofazat

$$I_{k\lambda} = \frac{U_1}{x_d}$$

$$I_{k\lambda} = \frac{\sqrt{3} U_1}{x_d + x_2}$$

$$I_{k1} = \frac{3U_1}{x_d + x_2 + x_0}$$

Exemplu:

Pentru  $x_d = 1,0$ ;  $x_2 = 0,18$ ;  $x_0 = 0,10$ ;  $U_1 = 1,0$ ,

rezultă

$$I_{k\lambda} = \frac{1,0}{1,0} = 1;$$

$$I_{k\lambda} = \frac{\sqrt{3}}{1,0 + 0,18} = 1,47;$$

$$I_{k1} = \frac{3}{1,0 + 0,18 + 0,10} = 2,35.$$

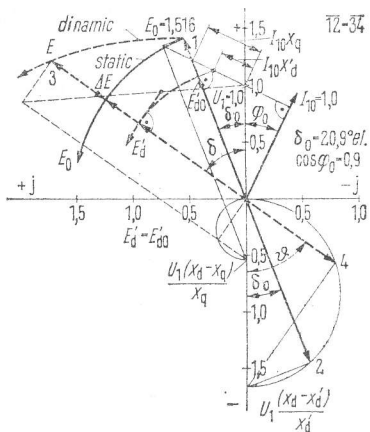
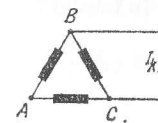


Fig. 7.15. Diagrama fazorială pentru o mașină sincronă care pendulează.

Valori medii generale:

$$I_{k\lambda} : I_{k\lambda} : I_{k1} = 1,0 : 1,5 : 2,5;$$

$$I_{k\Delta} = \frac{3U_1}{x_d + x_2 + x_0}.$$



(Scurtcircuit bifazat la borne pentru conexiuni în triunghi).

Deformarea tensiunii și supratensiunea ce apare la bornele fazei deschise în momentul unui scurtcircuit brusc (fig. 7.16 și 7.17).

$$\frac{U(t)}{U_f} = \frac{\frac{x_q''}{x_d''} \sin \alpha}{\frac{x_q''}{x_d''} \cos^2 \alpha + \sin^2 \alpha} - \left( \frac{x_q''}{x_d''} - 1 \right) \frac{\frac{x_q''}{x_d''} \sin \alpha \cos^2 \alpha - \left( \frac{x_q''}{x_d''} \cos^2 \alpha - \sin^2 \alpha \right) \sin \delta_0}{\frac{x_q''}{x_d''} \cos^2 \alpha + \sin^2 \alpha};$$

$$\frac{U(t)_{max}}{U_f} = \left( 2 \frac{x_q''}{x_d''} - 1 \right) \text{ pentru } \delta_0 = \frac{\pi}{2} \quad \alpha = \delta_0 + \omega t.$$

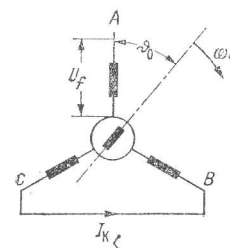


Fig. 7.16. Reprezentarea schematică a mașinii în cazul deformării tensiunii la un scurtcircuit brusc bifazat la borne:

$U_f$  — tensiunea de fază înainte de scurtcircuit;

$\delta_0$  — unghiul intern în momentul scurtcircuitului.

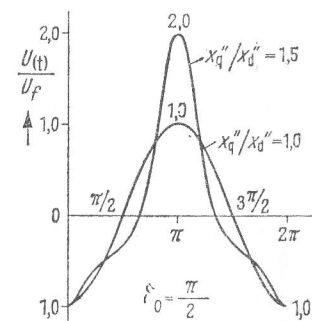


Fig. 7.17. Deformarea tensiunii și supratensiunea la bornele fazei deschise în timpul unui scurtcircuit brusc bifazat.



În tabelul 7.3 sint date valori ale raportului  $\frac{U_{(t)max}}{U_f}$  pentru diferite execuții ale înfășurării de amortizare la  $\delta_0 = \frac{\pi}{2}$ .

Tabelul 7.3. Valori ale raportului  $U_{(t)max}/U_f$  pentru diferite execuții ale înfășurării de amortizare la  $\delta_0 = \frac{\pi}{2}$

Execuție	$\frac{x''_q}{x''_d}$	$\frac{U_{(t)max}}{U_f}$
Cu colivie completă de amortizare .....	0,9...1,2	0,8...1,4
Numai cu amortizare longitudinală și cu poli lminați	2...3	3...5
Fără înfășurare de amortizare, cu poli lminați .....	3...4	5...7
Cu piese polare masive .....	1,5...1,8	2...2,6

#### Șocuri de cuplu la scurtcircuit

La un scurtcircuit bifazat brusc la borne, neglijînd efectul înfășurării de amortizare cuplul electromagnetic este egal cu

$$M_p(t) = \frac{U_1^2}{x''_d} \left( \sin \omega t - \frac{1}{2} \sin 2\omega t \right), \text{ (unități relative)}$$

$M_p$  atinge valoarea maximă pentru  $\omega t = \frac{2}{3} \pi$ , astfel că:

$$M_{pmax} = \frac{U_1^2}{x''_d} \left( \frac{\sqrt{3}}{2} + \frac{1}{2} \frac{\sqrt{3}}{2} \right) = \frac{3\sqrt{3}}{4} \frac{U_1^2}{x''_d} = 1,3 \frac{U_1^2}{x''_d}.$$

Exemplu: Dacă  $x''_d = 0,15$  și  $U_1 = 1,0$  se obține:

$$M_{pmax} = 1,3 \cdot \frac{1}{0,15} = 8,66 \text{ ori cuplul nominal.}$$

La un scurtcircuit brusc trifazat cuplul de șoc se datorează numai componente continue, astfel că:

$$M_{p(t)} = \frac{U_1^2}{x''_d} \sin \omega t; \quad M_{pmax} = \frac{U_1^2}{x''_d},$$

$$M_{pmax} = \frac{1}{0,15} = 6,66 \text{ ori cuplul nominal.}$$

### 7.1.3. Constantele de timp ale mașinilor sincrone

Constanta de timp la mers în gol  $T'_{d0}$  (în s)

Determină timpul de excitare și demagnetizare a mașinii sincrone la mers în gol (fig. 7.18).

$$T'_{d0} = \frac{L_2}{r_2} = \frac{\Phi_{20} w_2 2p}{i_{e0} r_2}.$$

Din schema echivalentă rezultă de asemenea

$$T'_{d0} = \frac{L_2}{r_2} = \frac{x_a + x_{2\sigma}}{\omega r_2}.$$

În aceste relații:

$\Phi_{20}$  este fluxul total al rotorului la mers în gol, la tensiune nominală;

$w_2$  — numărul de spire pe pol;

$2p$  — numărul de poli;

$i_{e0}$  — curentul de excitație la mers în gol, la tensiune nominală;

$r_2$  — rezistența circuitului de excitație;

$L_2$  — inductanța circuitului de excitație.

Constanta de timp tranzitorie  $T'_d$

Determină variația în timp a componentei ( $I'_K - I_K$ ) din curentul statoric în cazul unui scurtcircuit trifazat brusc la bornele mașinii (fig. 7.19).

$$T'_d = T'_{d0} \frac{x'_d}{x_d},$$

$$T'_d = \frac{L_{sc}}{r_2} = \frac{x_{2\sigma} + \frac{x_{1\sigma} x_a}{x_{1\sigma} + x_a}}{\omega r_2}.$$

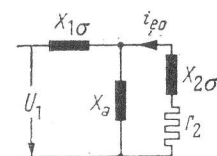


Fig. 7.18. Schema echivalentă a reactanțelor mașinii sincrone pentru determinarea constantei de timp  $T'_{d0}$  la mersul în gol.

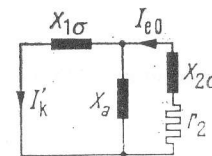


Fig. 7.19. Schema echivalentă a reactanțelor mașinii sincrone pentru determinarea constantei de timp tranzitorii  $T'_d$ .

Constanta de timp supratranzitorie  $T_d''$ 

Determină variația în timp a componentei  $(I_k'' - I_k')$  din curentul statoric în cazul unui scurtcircuit trifazat brusc.

$$T_d'' = T_{d0}'' \frac{x_d''}{x_d'} \approx \begin{cases} 0,01 \dots 0,03 \text{ s pentru mașini mici și medii;} \\ 0,03 \dots 0,05 \text{ s pentru mașini mari peste 10 MVA.} \end{cases}$$

( $T_{d0}''$  este constanta de timp la mers în gol corespunzătoare înfășurării de excitație și de amortizare).

Constanta de timp  $T_a$  a componentei continue a curentului de scurtcircuit brusc

$$T_a = \frac{x_2}{\omega r_a},$$

unde:

$r_a$  este rezistența înfășurării statorului;

$x_2$  — reactanța inversă.

Amplitudinea înfășurătoarei componente alternative a curentului de scurtcircuit brusc trifazat

$$I_{k(t)} = \sqrt{2} \left[ (I_k'' - I_k') e^{-t/T_d''} + (I_k' - I_k) e^{-t/T_d'} + I_k \right].$$

Constanta de timp la funcționarea în sarcină  $T_s'$ 

În cazul funcționării independente a mașinii pe o impedanță de sarcină  $Z_s = R_s + jx_s$  valoarea lui  $T_s'$  este:

$$T_s' = T_{d0}' \frac{R_s^2 + (x_s + x_q)(x_s + x_d')}{R_s^2 + (x_s + x_q)(x_s + x_d)}.$$

Pentru  $Z_s = 0$  rezultă:

$$T_s' = T_{d0}' \frac{x_d'}{x_d} = T_d'.$$

La funcționarea în paralel cu un sistem de putere infinită

$$T_s' \approx T_d' \approx T_{d0}' \frac{x_d' + x_v}{x_d + x_v},$$

unde  $x_v$  este reactanța între mașină și sistem.

În tabelul 7.4 se dau formulele pentru calcularea curenților, reactanțelor și constantelor de timp în cazul unor scurtcircuite asimetrice.

Tabelul 7.4. Curenții de scurtcircuit și constantele de timp la scurtcircuitele asimetrice

Circuitul	$I_k$	$I_k'$	$I_k''$	$T_d'$	$T_d''$	$T_a$
	$\frac{U_1}{x_d}$	$\frac{U_1}{x_d'}$	$\frac{U_1}{x_d''}$	$\frac{x_d'}{T_{d0}'} \frac{x_d'}{x_d}$	$\frac{x_d''}{T_{d0}''} \frac{x_d''}{x_d'}$	$T_a$
	$\frac{\sqrt{3} U_1}{x_d + x_2}$	$\frac{\sqrt{3} U_1}{x_d' + x_2}$	$\frac{\sqrt{3} U_1}{x_d'' + x_2}$	$\frac{x_d'}{T_{d0}'} \frac{x_d' + x_2}{x_d + x_2}$	$\frac{x_d''}{T_{d0}''} \frac{x_d'' + x_2}{x_d' + x_2}$	$T_a$
	$\frac{3 U_1}{x_d + x_2 + x_0}$	$\frac{3 U_1}{x_d' + x_2 + x_0}$	$\frac{3 U_1}{x_d'' + x_2 + x_0}$	$\frac{x_d'}{T_{d0}'} \frac{x_d' + x_2 + x_0}{x_d + x_2 + x_0}$	$\frac{x_d''}{T_{d0}''} \frac{x_d'' + x_2 + x_0}{x_d' + x_2 + x_0}$	$T_a$
	$\frac{\sqrt{3} U_1}{x_d + x_2 + 2x_0}$	$\frac{\sqrt{3} U_1}{x_d' + x_2 + 2x_0}$	$\frac{\sqrt{3} U_1}{x_d'' + x_2 + 2x_0}$	$\frac{x_d'}{T_{d0}'} \frac{x_d' + x_2 + 2x_0}{x_d + x_2 + 2x_0}$	$\frac{x_d''}{T_{d0}''} \frac{x_d'' + x_2 + 2x_0}{x_d' + x_2 + 2x_0}$	$T_a$
	$\frac{3 U_1}{x_d + x_2 + x_0 + 3(x_1 + x_2)}$	$\frac{3 U_1}{x_d' + x_2 + x_0 + 3(x_1 + x_2)}$	$\frac{3 U_1}{x_d'' + x_2 + x_0 + 3(x_1 + x_2)}$	similar	similar	similar

În cazul unui generator monofazat avem:

$$x_{de} = \frac{x_d + x_2}{\sqrt{3}}; \quad x_{de}' = \frac{x_d' + x_2}{\sqrt{3}}; \quad x_{de}'' = \frac{x_d'' + x_2}{\sqrt{3}},$$

$$I_k = \frac{U_1}{x_d}; \quad I_k' = \frac{3U_1}{x_d + x_2 + x_0}$$

dacă reactanțele individuale  $x_d$ ,  $x_d'$  și  $x_d''$  se calculează ca pentru o mașină trifazată, cu același curent nominal și cu aceeași tensiune între faze.

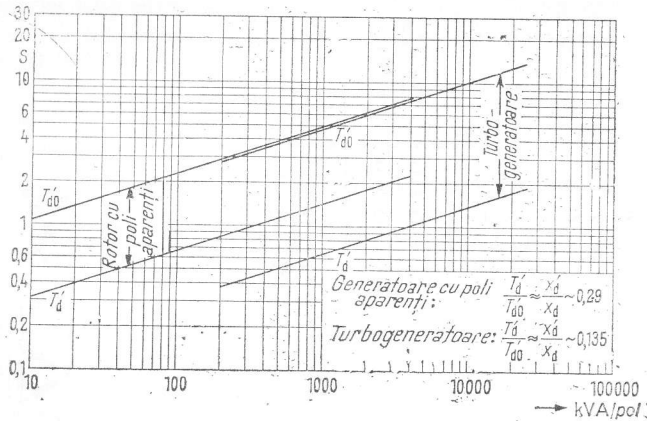


Fig. 7.20. Constantele de timp ale mașinii sincrone la funcționarea în gol și în scurtcircuit.

În fig. 7.20 sînt reprezentate constantele de timp medii pentru mașini sincrone întilnite în practică.

#### 7.1.4. Caracteristicile de tensiune ale mașinii sincrone

##### Reglarea automată a tensiunii

**Fără reglare automată:** La o variație bruscă a sarcinii, tensiunea electromotoare  $E'_{d0}$  (v. fig. 7.22), rămîne la început constantă. În fig. 7.22 este reprezentată diagrama fazială pentru regimul tranzitoriu în cazul unei sarcini inițiale.

$$U_{10} = 1,0; \quad I_{10 \text{ abs}} = 1,0; \quad I_{10} = 0,8 - j 0,6; \\ Z_{s0} = 0,8 + j 0,6; \quad \varphi_0 = 36,87^\circ \text{ (grade electrice);} \quad \cos \varphi_0 = 0,8.$$

Caracteristicile generatorului sînt:

$$\frac{I_{k0}}{I_N} = 0,9; \quad x_{1\sigma} = 0,15; \\ x'_d = 0,25; \quad \frac{c_q}{c_d} = 0,5 \text{ (poli de cîmp sinusoidal } b/\tau \approx 0,75).$$

În acest caz:

$$x_d = \frac{1}{0,9} = 1,11; \quad x_a = x_d - x_{1\sigma} = 0,96; \\ x_q = \frac{c_q}{c_d} x_a + x_{1\sigma} = 0,63.$$

Unghiul intern  $\delta_0$  al rotorului la sarcina inițială este dat de

$$\operatorname{tg} \delta_0 = \frac{I_{10} x_q \cos \varphi_0}{1 + x_q I_{10} \sin \varphi_0} = \frac{0,63 \cdot 0,8}{1 + 0,63 \cdot 0,6} = 0,365;$$

$$\delta_0 + \varphi_0 = 20,65^\circ + 36,87^\circ = 57,52^\circ \text{ (electrice);}$$

$$E_0 = U_{10} \cos \delta_0 + I_{10} x_d \sin (\delta_0 + \varphi_0) = 1,869 \approx 1,87.$$

Tensiunea electromotoare tranzitorie este

$$E'_{d0} = E_0 \frac{x'_d}{x_d} + U_{10} \frac{x_d - x'_d}{x_d} \cos \delta_0 = 1,15.$$

La o încărcare suplimentară bruscă cu un curent egal cu de două ori curentul nominal ( $I_{1 \text{ supl}} = 2,0$ ) raportat la  $U_{10} = 1,0$ ,  $\cos \varphi = 0,3$ , sarcina totală devine:

$$I_{1 \text{ supl}} = 2(0,3 - 0,954) = 0,6 - j 1,908 \quad Z_s = (1,4 - j 2,508)^{-1}$$

$$I_{10} = \frac{0,8 - j 0,6}{1,4 - j 2,508} = R_s + j x_s$$

$$I_{1s} = \frac{1,4 - j 2,508}{0,17 + j 0,303} = 0,17 + j 0,303.$$

Pentru  $t = 0$ , curentul statorului sare de la  $I = 1,0$  la

$$I'_1 = E'_{d0} \frac{\sqrt{R_s^2 + (x_s + x_q)^2}}{R_s + (x_s + x_q)(x_s + x'_d)} = 2,01.$$

Pentru  $t = 0$ , tensiunea scade brusc la  $U'_1$ . (Fenomenul supratranzitoriu, care durează aproximativ 0,03...0,05 s, poate fi neglijat).

$$U'_1 = I'_1 \sqrt{R_s^2 + x_s^2} = 2,01 \sqrt{0,17^2 + 0,303^2} = 0,7.$$

În prima stare tranzitorie ( $t = 0$ , linia punctată în fig. 7.21), unghiul  $\psi$  între fazorul  $\underline{E}_0$  și curentul de sarcină  $\underline{I}'_1$  este

$$\operatorname{tg} \psi = \frac{x_s + x_q}{R_s} = \frac{0,303 + 0,63}{0,17} = 5,5;$$

$$\psi - \varphi = \delta = 79,7^\circ - 60,72^\circ = 18,98^\circ \approx 19^\circ \text{ (grade electrice);}$$

$$\operatorname{tg} \varphi = \frac{x_s}{R_s} = \frac{0,303}{0,17} = 1,783.$$

Tensiunea rotorului  $E_0 = 1,87$  (corespunzătoare sarcinii inițiale  $I_{10} = 1,0$ ,  $\cos \varphi = 0,8$ ) sare acum (excitația rămînînd constantă) la valoarea:

$$E' = E_0 + \frac{x_d - x'_d}{x'_d} (U_{10} \cos \delta_0 - U'_1 \cos \delta) = \\ = 1,87 + 3,44 (1,0 \cdot 0,9415 - 0,7 \cdot 0,9456) = 2,84.$$

Dacă nu se procedează la un reglaj al excitației, tensiunea rotorului  $E'$  scade în continuare până la valoarea inițială  $E_0 = 1,87$ , cu constanta de timp  $T'_s$  (v. pag. 364) în final stabilindu-se valoarea (linie-punct în fig. 7.21):

$$U_1 = U'_1 \frac{E_0}{E'} = 0,7 \frac{1,87}{2,84} = 0,46,$$

$$I_1 = I'_1 \frac{E_0}{E'} = 2,01 \frac{1,87}{2,84} = 1,32.$$

Tensiunea electromotoare corespunzătoare regimului tranzitoriu  $E'_{d0}$  scade la

$$E'_d = E'_{d0} \frac{I_1}{I'_1} = 1,15 \frac{1,32}{2,01} = 0,755.$$

În fig. 7.22 sînt reprezentate valorile corespunzătoare pornirii cu sarcină inițială nulă. Tensiunea electromotoare sare de la  $E_0 = 1,0$  la  $E' = 2,12$ . Tensiunea la borne scade la  $U'_1 = 0,69$ , iar curentul tranzitoriu la  $I'_1 = 1,36$ ; în final, aceste mărimi ajung la  $U_1 = 0,33$  și  $I_1 = 0,64$ .

*Cu regulator de tensiune:* Tensiunea electromotoare tranzitorie care a crescut instantaneu la valoarea  $E' = 2,84$  va scădea numai pînă la o valoare  $E'_{min}$  datorită intervenției regulatorului de tensiune. Spre sfîrșitul fenomenului tranzitoriu această tensiune electromotoare va reveni la o valoare normală.

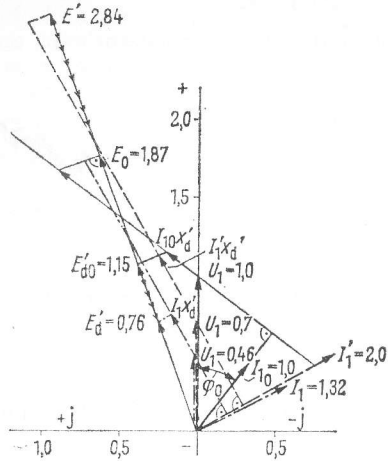


Fig. 7.21. Diagrama fazorială pentru regimul dinamic în cazul unei încărcări bruște pentru o sarcină inițială.

— sarcina inițială;  
- - - șoc de sarcină suplimentar,  $t = 0$ ;  
- · - · șoc de sarcină suplimentar,  $t = \infty$ .

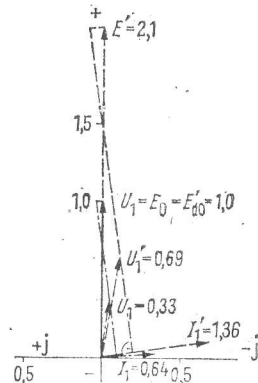


Fig. 7.22. Diagrama fazorială în regim dinamic pentru cazul fără sarcină inițială.

Eficiența reglării tensiunii este determinată de:

1) Viteza de excitație  $V$ , adică creșterea medie a tensiunii de excitație pe secundă, în comparație cu tensiunea de excitație la sarcina nominală a generatorului

$$V = \frac{d}{dt} \left( \frac{E}{E_N} \right).$$

Această valoare medie cuprinde eventualele întârzieri care pot interveni în reglare.

2) Capacitatea de excitație  $E_{max}/E_N$ , adică raportul între tensiunea electromotoare de excitație maximă ( $E_{max}$ ) ce poate fi atinsă și tensiunea electromotoare nominală.

3) Constantele de timp pentru mers în gol  $T'_{d0}$  respectiv în sarcină  $T'_s$ , ale generatorului.

Tabelul 7.5. Valori privind excitația

Viteza de excitație (valori medii) la:		Capacitatea de excitație $E_{max}/E_N$
Excitatoare cu autoexcitație	0,2...0,3	Generatoare cu capacitate de excitație standardizată $\approx 1,3$
Excitatoare cu excitație independentă	0,8	
Dispozitive pentru forțarea excitației	1,2...1,5	Generatoare pentru condiții de stabilitate mărită $\approx 1,5...1,6$
Excitație prin redresoare	> 5	Generatoare pentru sarcini reactive aplicate brusc $\approx 2,0$

În exemplul precedent viteza de excitație a fost  $V = 0,8$ , capacitatea de excitație  $E_{max}/E_N = 1,6$ , sarcina inițială a fost egală cu sarcina nominală ( $I_{10} = 1,0$  la  $\cos \varphi = 0,8$ ), tensiunea electromotoare  $E_0 = E_N = 1,87$  și constanta de timp la mers în gol  $T'_{d0} = 2,5$  s; tensiunea  $E_0$ , care datorită creșterii bruște a sarcinii a sărit la  $E'$ , scade valoarea:

$$E'_{min} = E_0 + VE_N T'_s \ln \frac{E' - E_0 + VE_N T'_s}{VE_N T'_s}.$$

Conform relației pentru funcționarea unui generator independent (v. sub „Constanta de timp la funcționarea în sarcină”) avem

$$\begin{aligned} T'_s &= T'_{d0} \frac{R_s^2 + (x_s + x_q)(x_s + x'_d)}{R_s^2 + (x_s + x_q)(x_s + x_d)} = \\ &= 2,5 \frac{0,17^2 + (0,303 + 0,63)(0,303 + 0,25)}{0,17^2 + (0,303 + 0,63)(0,303 + 1,11)} = 1,01, \\ T'_s &= 1,01 \text{ s.} \end{aligned}$$

$$E'_{min} = 1,87 + 0,8 \cdot 1,87 \cdot 1,01 \ln \frac{(2,84 - 1,87) + 0,8 \cdot 1,87 \cdot 1,01}{0,8 \cdot 1,87 \cdot 1,01};$$

$$E'_{min} = 2,62 \text{ V.}$$

Totodată tensiunea  $U_{10} = 1,0$ , care inițial a scăzut la valoarea  $U'_1 = 0,7$  scade mai departe la

$$U'_{1min} = U'_1 \frac{E'_{min}}{E'} = 0,7 \frac{2,62}{2,84} = 0,644;$$

$$U'_{1min} = 0,644 \text{ V};$$

apoi crește din nou și, asigurând o capacitate de excitație  $E_{max}/E_N = 1,6$ , ajunge în sfârșit la valoarea

$$U_1 = 0,7 \frac{1,6 \cdot 1,87}{2,84} = 0,74;$$

$$U_1 = 0,74 \text{ V}.$$

Curentul inițial statoric  $I'_1 = 2,01$  scade la  $I'_{1min} = 2,01 \frac{2,62}{2,84} = 1,85$  și crește pe urmă iarăși la valoarea finală  $I_1 = 2,01 \frac{1,6 \cdot 1,87}{2,84} = 2,14$ .

Dacă generatorul a funcționat inițial în gol (fig. 7.23), valorile corespunzătoare sînt:

$$T'_s = 1,16 \text{ s}; E'_{min} = 1,85 \text{ și } U'_{1min} = 0,69 \frac{1,85}{2,12} = 0,61.$$

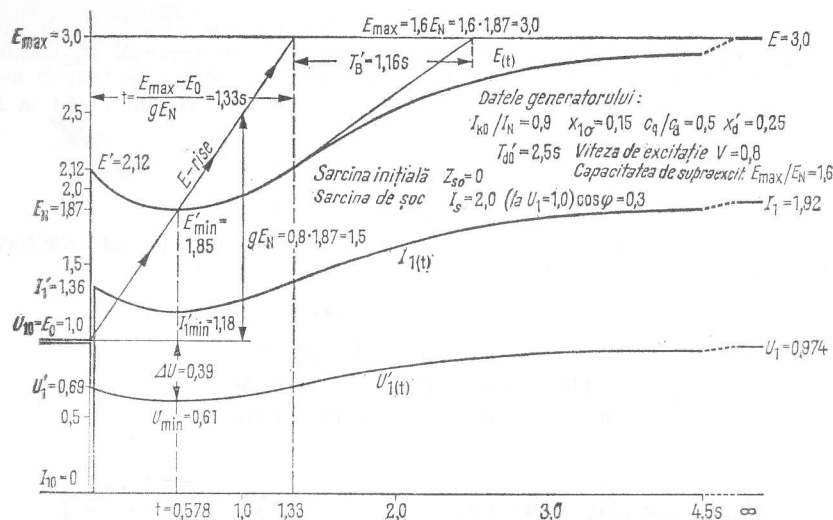


Fig. 7.23. Caracteristicile tensiunii electromotoare, tensiunii la borne și curentului de sarcină, în funcție de timp, pentru mașina cu regulator de tensiune, atunci cînd se aplică brusc o sarcină finită.

Curentul tranzitoriu  $I'_1$  scade de la

$$I'_1 = 1,36$$

$$\text{la } I'_{1min} = 1,36 \frac{1,85}{2,12} = 1,19.$$

Pe urmă, valorile cresc iarăși și anume:

$$U'_1 \text{ la } U_1 = 0,69 \frac{1,6 \cdot 1,87}{2,12} = 0,974,$$

iar

$$I'_1 \text{ la } I_1 = 1,36 \frac{1,6 \cdot 1,87}{2,12} = 1,92 \text{ A}.$$

În fig. 7.24 și 7.25 sînt reprezentate caracteristicile de tensiune și curent pentru diferite sarcini adiționale brusc introduse ( $I_{s \text{ supl}}$ ) la  $\cos \varphi = 0,3$ , atît pentru mașina inițial încărcată, cît și pentru mașina inițial în gol:

— tensiunea electromotoare  $E'$ , valoarea minimă a tensiunii la borne în timpul procesului tranzitoriu fără regulator  $U'_1$  sau cu regulator la tensiune  $U'_{1min}$ , curentii corespunzători tranzitorii  $I'_1$ ,  $I'_{1min}$ , valorile finale stabilizate  $U_1$ ,  $I_1$  respectiv  $U'_1$  și  $I'_1$ .

În fig. 7.23 sînt reprezentate caracteristicile tensiunii electromotoare  $E$ , tensiunii  $U_1$  și curentului  $I_1$  la aplicarea unei sarcini bruște ( $I_s = 2,0$ ) după o funcționare prealabilă în gol, mașina fiind prevăzută cu reglarea tensiunii ( $V = 0,8$ ,  $E_{max}/E_N = 1,6$ ).

## 7.2. MAȘINA DE CURENT CONTINUU

În diverse aplicații industriale poate fi utilizată ca generator (fig. 7.26, a) ca motor (fig. 7.26, b).

Pentru generator ecuația de funcționare este

$$R_A I_A + \Delta U_p + U_A = E,$$

iar pentru motor

$$R_A I_A + \Delta U_p - U_A = E,$$

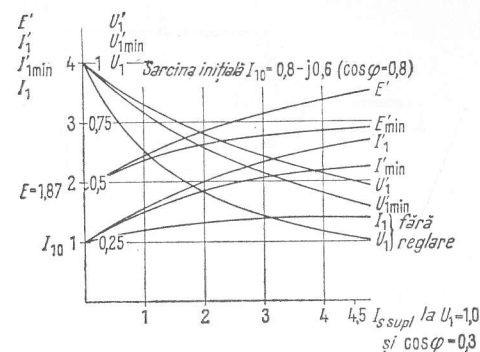


Fig. 7.24. Valori ale mărimilor electrice caracteristice ale unei mașini sincrone încărcate după aplicarea bruscă a unei sarcini.

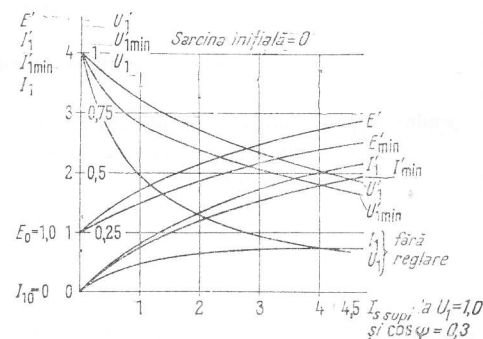


Fig. 7.25. Valori ale mărimilor electrice caracteristice ale unei mașini sincrone funcționând inițial în gol, imediat după aplicarea bruscă a unei sarcini.



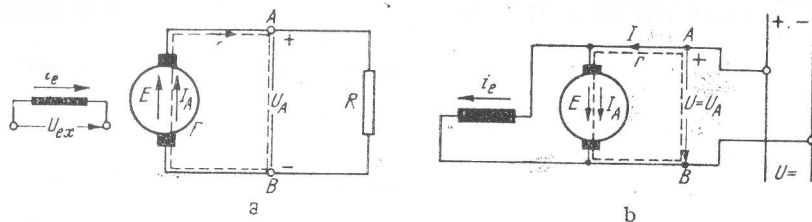


Fig. 7.26. Schema de principiu a mașinii de curent continuu: a - generator; b - motor.

unde:  $E$  este tensiunea electromotoare;

$I_N$  - curentul nominal;

$U_A$  - tensiunea la borne;

$\Delta U_p$  - căderea de tensiune la perii (1,5...3 V);

$R_A$  - rezistența indusului.

Tensiunea electromotoare este dată de relația

$$E = \frac{pNn}{a} \Phi = K_e n \Phi, \quad K_e = \frac{pN}{a},$$

unde:  $p$  este numărul de perechi de poli;

$a$  - numărul de căi de curent;

$N$  - numărul total de conductoare din creștături;

$n$  - turația, în rotații pe secundă;

$\Phi$  - fluxul de excitație.

Puterea electromagnetică  $P$  este

$$P = M\Omega = EI_A = \frac{p}{a} N\Phi I_A n.$$

Cuplul electromagnetic, în N·m, este

$$M = \frac{p}{2\pi a} N\Phi I_A = K_m \Phi I_A, \quad \text{unde} \quad K_m = \frac{pN}{2\pi a}.$$

### 7.2.1. Generatorul de curent continuu

Tensiunea la borne este

$$U_A = E - R_A I_A - \Delta U_p = \frac{p}{a} Nn - R_A I_A - \Delta U_p.$$

Fluxul de excitație depinde de curentul de excitație prin caracteristica magnetică a mașinii și reprezintă curba de mers în gol. La mersul în gol tensiunea la

borne este egală cu tensiunea electromotoare. La mersul în sarcină tensiunea la borne scade cu câteva procente (fig. 7.27, a).

La generatorul cu excitație derivație această scădere este și mai pronunțată, pentru ca la scurtcircuit tensiunea să fie egală cu zero (fig. 7.27, b). Pentru compensarea acestei căderi de tensiune se poate utiliza o înfășurare de excitație suplimentară serie (excitație compund) care să asigure o tensiune la borne aproximativ constantă (fig. 7.27, c).

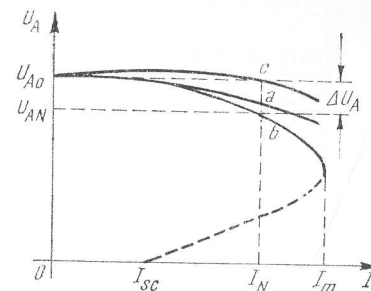


Fig. 7.27. Caracteristicile externe ale generatorilor de curent continuu, cu excitație: a - separată; b - derivație; c - compund (mixtă).

### 7.2.2. Motorul de curent continuu

Se folosesc trei tipuri de excitație: separată, serie și mixtă. În funcție de aceste tipuri, caracteristica mecanică are formele din fig. 7.28.

Înglobând căderea de tensiune la perii în rezistența indusului, turația  $n$  pentru mașina cu excitație separată are expresia:

$$n = \frac{U_A}{K_e \Phi} - \frac{R_A}{K_e K_m \Phi} \cdot M,$$

care reprezintă o dreaptă ușor căzătoare (fig. 7.28, a).

Pentru motorul serie în ipoteza unei caracteristici de mers în gol liniare, cuplul devine  $M = KI_A^2$ , iar caracteristica mecanică are expresia:

$$n = \frac{U_A - (R_A + R_e) K_1 \sqrt{M}}{K_2 \sqrt{M}},$$

în care:  $R_e$  este rezistența circuitului de excitație;

$$K_1 = K_e K;$$

$$K_2 = K_m K.$$

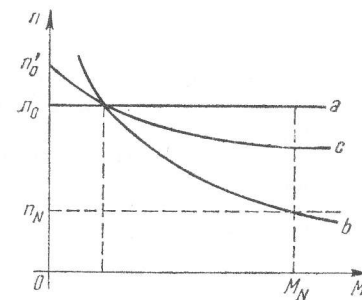


Fig. 7.28. Caracteristicile mecanice ale motoarelor de curent continuu cu excitație: a - derivație; b - serie; c - compund (mixtă).

Forma ei este aproximativ o hiperbolă (fig. 7.28, b).

Motorul cu excitație mixtă prezintă o caracteristică intermediară între aceste două extreme, având forma din fig. 7.28, c.

### 7.2.3. Pornirea, reglajul vitezei și frînarea

Curentul care parcurge indusul unei mașini de curent continuu este  $I_A = \frac{U_A - E}{R_A}$ .

Deoarece la pornire  $E = 0$ , mărimea curentului poate atinge valori periculoase. Curentul poate fi limitat fie micșorând tensi-

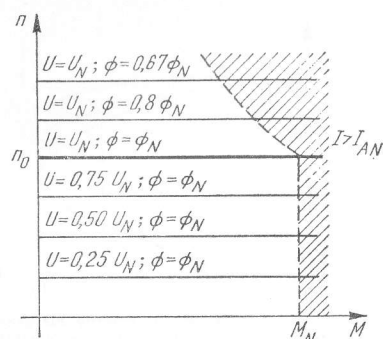
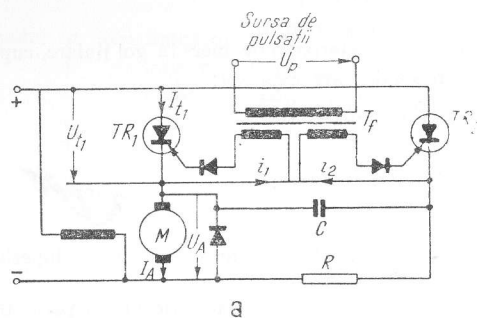


Fig. 7.29. Caracteristicile mecanice ale motorului de curent continuu la reglarea tensiunii și excitației.

unea la borne, fie introducând în circuitul indusului o rezistență de pornire  $R_p$  de valoare

$$R_p = (1,3 \dots 1,5) \frac{U_A}{I_N}.$$



Reglarea vitezei motorului de curent continuu se poate efectua prin mai multe metode: reglarea curentului de excitație (fig. 7.29); introducerea de rezistențe în circuitul rotoric (fig. 7.30); reglarea tensiunii la borne (fig. 7.29); reglarea prin impulsuri utilizând instalații cu tiristoare (fig. 7.31).

Pentru frinare se pot utiliza trei metode (fig. 7.32):

1) funcționarea în regim de generator cu recuperare, turația mai mare decât turația de mers în gol ( $n > n_0$ );

2) frinare dinamică; motorul funcționând în regim de generator debitează pe o rezistență de frinare;

Fig. 7.31. Reglarea vitezei unui motor de curent continuu cu ajutorul tiristoarelor: a - schema electrică; b - variația în timp a mărimilor funcționale.

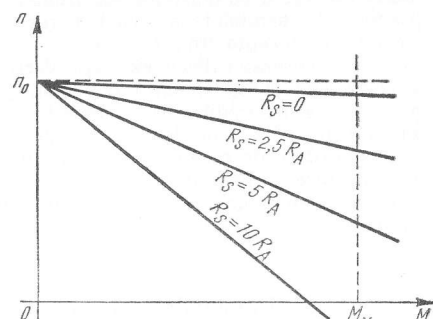


Fig. 7.30. Reglarea vitezei prin inserierea unor rezistențe în circuitul rotorului.

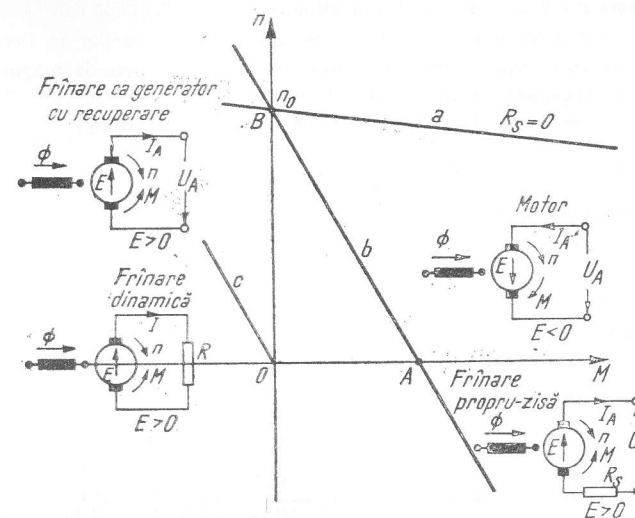


Fig. 7.32. Funcționarea motorului de c. c. în regim de frină.

3) frinare propriu-zisă, prin inversarea fie a polarității tensiunii la borne, fie a sensului de rotație, cuplul rezistent depășind cuplul electromagnetic.

### 7.3. MAȘINA ASINCRONĂ

Motoarele asincrone se construiesc în două variante: cu inele de contact (rotorice), sau cu rotor în scurtcircuit. Pentru ambele tipuri este valabilă schema echivalentă din fig. 7.33, pe baza căreia se pot determina caracteristicile de funcționare, unde:

- $U_1$  este tensiunea de fază;
- $I_1$  — curentul statoric;
- $I'_2$  — curentul raportat la stator;
- $I_{10}$  — curentul de mers în gol la sincronism;
- $R_1$  — rezistența circuitului statoric;

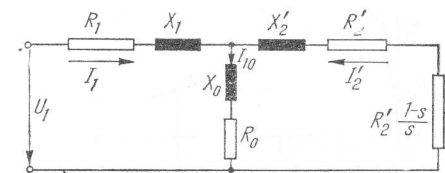


Fig. 7.33. Schema echivalentă în T a mașinii asincrone.

$X_1$  este reactanța de scăpări a circuitului statoric;  
 $R_0$  — rezistența echivalentă corespunzătoare pierderilor în fier;  
 $X_0$  — reactanța echivalentă corespunzătoare fluxului de magnetizare;  
 $R'_2$  — rezistența rotorică raportată la stator;  
 $X'_2$  — reactanța de scăpări rotorică raportată la stator;

$s$  — alunecarea:  $s = \frac{n_1 - n_2}{n_1}$ ;

$n_1$  — turația de sincronism, rot/min;

$n_2$  — turația reală;

$n_1 = \frac{60f}{p}$ ,

unde:  $f$  este frecvența de alimentare;

$p$  — numărul de perechi de poli;

$\Omega_1$  — viteza unghiulară de sincronism.

Cuplul electromagnetic are valoarea

$$M = \frac{3R'_2 U_1^2}{2\pi f \left[ \left( R_1 + \frac{R'_2}{s} \right)^2 + (X_1 + X_2)^2 \right]}$$

În fig. 7.34 este reprezentată variația cuplului în funcție de alunecare — caracteristica mecanică — cu următoarele notații:

$M_m$  este cuplul maxim;

$M_p$  — cuplul de pornire;

$M_N$  — cuplul nominal;

$s_m$  — alunecarea critică, corespunzătoare cuplului maxim;

$s_N$  — alunecarea nominală.

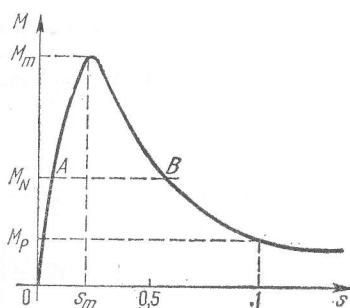


Fig. 7.34. Caracteristica mecanică  $M = f(s)$  a motorului asincron cu inele.

Sub o formă simplificată, relația cuplului devine:

$$M = \frac{2M_m}{\frac{s}{s_m} + \frac{s_m}{s}}$$

Alunecarea are expresia:

$$s_m = \frac{R'_2}{\sqrt{R_1^2 + (X_1 + X_2)^2}}$$

### 7.3.1. Diagrama cercului

Caracteristicile mașinii asincrone se pot obține, fie pe cale directă — încărcând mașina — fie prin metode indirecte — grafice sau analitice. Se prezintă în cele ce urmează o metodă grafică, diagrama cercului, metodă bazată pe faptul că locul geometric al curentului rotoric la variația alunecării între  $-\infty$  și  $+\infty$  este un cerc. Pentru trasarea unui cerc sînt necesare trei puncte. Primul se determină din încercarea de mers în gol, al doilea din încercarea de scurtcircuit la tensiune redusă, iar al treilea printr-o construcție grafică ajutătoare. Mașina decuplată de orice altă instalație este alimentată la tensiunea nominală. Se măsoară curentul de mers în gol  $I_{10}$ , puterea la mers în gol  $P_0$  și  $\cos \varphi_0$ . Se trasează fazorul curentului de mers în gol la o scară oarecare:  $I_{mm} = aA$  (fig. 7.35). Deoarece mașina acoperă propriile pierderi mecanice, funcționarea nu are loc la alunecarea nulă, iar  $A_0$  nu reprezintă punctul de funcționare la sincronism.  $P_g$  acoperă pierderile în fier  $P_{Fe}$  și pe cele mecanice  $P_m$ ; la mașinile asincrone  $P_{Fe}$  și  $P_m$  sînt aproximativ egale:  $P_0 = P_{Fe} + P_m \approx 2P_{Fe}$ . Din  $A_0$  se duce o perpendiculară pe abscisă și la jumătatea ei se găsește punctul de funcționare la sincronism  $A_\mu$ . Prin acest punct se duce o paralelă la axa absciselor  $A_\mu E$ , dreapta pe care se va găsi centrul cercului. Fazorul  $OA_\mu$  reprezintă curentul de mers la sincronism.

Pentru încercarea de scurtcircuit se calează mașina și se alimentează cu o tensiune alternativă redusă, deoarece curentul de scurtcircuit  $I_{1k}$  nu trebuie să depășească curentul nominal, pentru a nu distruge mașina.

Se măsoară tensiunea de alimentare  $U_{1k}$ , puterea de scurtcircuit  $P_{1k}$ ,  $\cos \varphi_{1k}$ .

Pentru tensiunea nominală curentul de scurtcircuit se recalculează  $I_{11} = I_{1k} \frac{U_{1N}}{U_{1k}}$ ;

$\cos \varphi_{11} = \cos \varphi_{1k}$ . Neglijînd pierderile de magnetizare, puterea luată de la rețea acoperă pierderile în cuprul rotoric și statoric:

$$P_{1k} = P_{Cu1} + P_{Cu2} = 3(R_1 I_{1k}^2 + R'_2 I_{2k}^2) \approx 3I_{1k}'^2 (R_1 + R'_2)$$

și deci, putem determina

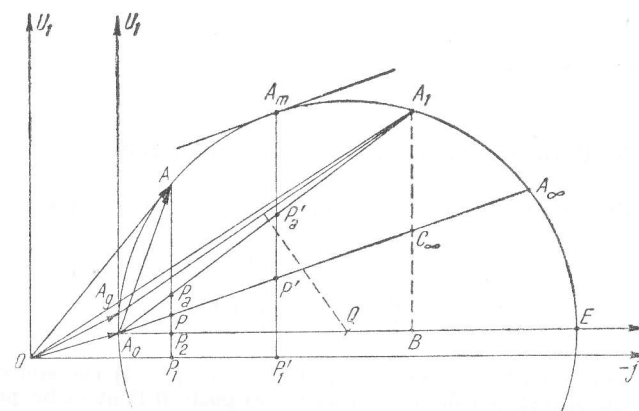


Fig. 7.35. Construcția experimentală a diagramei cercului.

$R_1 + R'_2 = \frac{P_{1k}}{3I_{1k}^2}$ . Măsurind printr-o metodă oarecare rezistența unei faze statorice, prin diferență se determină  $R'_2$ .

Dreapta  $\overline{OA_1}$  de pe diagramă reprezintă curentul de scurtcircuit. Centrul cercului  $Q$  se obține ducând mediatoarea segmentului  $A_0A_1$ ; punctul  $Q$  se găsește la intersecția mediatoarei cu dreapta  $\overline{A_0E}$ . Punctul corespunzător alunecării infinite se determină coborînd din  $A_1$  o ordonată  $\overline{A_1B}$ . Acest segment se împarte în raportul

$\frac{\overline{A_1C_\infty}}{\overline{C_\infty B}} = \frac{R'_2}{R_1}$  și se găsește punctul  $C_\infty$ . La intersecția dreptei  $\overline{A_0C_\infty}$  cu cercul se află punctul de funcționare la alunecarea infinită,  $A_\infty$ .

Dreapta  $\overline{A_0A_1}$  reprezintă dreapta puterii mecanice, iar  $\overline{A_0A_\infty}$  — dreapta puterii electromagnetice sau a cuplului.

Pentru un curent oarecare, de exemplu,  $\overline{OA}$ , perpendiculara  $\overline{AP_1}$  la scara puterilor reprezintă puterea activă luată de rețea;  $\overline{AP_a}$  — puterea mecanică;  $\overline{AP}$  — puterea electromagnetică;  $\overline{P_aP}$  — pierderile în cuprul rotorului  $P_{Cu2}$ ;  $\overline{PP_2}$  — pierderile în cuprul statoric  $P_{Cu1}$ .

Scara puterilor: 1 mm =  $3U_1a$  [W].

Alunecarea  $s = \frac{P_{Cu2}}{P} = \frac{\overline{PP_a}}{\overline{AP}}$ .

Cuplul  $M = \frac{P}{\Omega_1}$  la scara: 1 mm =  $\frac{3U_1a}{\Omega_1}$  [Nm].

Randamentul  $\eta = \frac{P_a}{P_1} = \frac{\overline{AP_a}}{\overline{AP_1}}$ .

Pentru determinarea cuplului maxim se trasează o paralelă la dreapta cuplurilor, tangentă la cerc. Punctul de tangență  $A_m$  corespunde cuplului maxim, segmentul  $\overline{A_mP'}$  la scara cuplurilor reprezintă cuplul maxim.

Alunecarea maximă  $s_m = \frac{P_{Cu2m}}{P_m} = \frac{\overline{P'P'_a}}{\overline{A_mP'}}$ .

### 7.3.2. Pornirea, reglarea vitezei și frînarea

**Pornirea.** Curentul statoric este aproximativ dat de relația

$$I_1 = \frac{U_1}{\sqrt{\left(R_1 + \frac{R'}{s}\right)^2 + (X_1 + X'_2)^2}}$$

În cazul pornirii prin cuplare directă la rețea ( $s = 1$ ) curentul care străbate mașina poate fi periculos de mare. Valoarea sa poate fi limitată fie prin reducerea tensiunii (pornirea stea-triunghi, pornire cu autotransformator), fie introducând în

serie cu statorul sau rotorul o serie de inductanțe sau rezistențe de pornire. Pornirea stea-triunghi (fig. 7.36) este o metodă simplă de pornire pentru mașinile de mică putere. Scăderea tensiunii la borne are dezavantajul că și cuplul de pornire scade proporțional cu pătratul tensiunii. Inductanțele suplimentare statorice sau rotorice, precum și rezistența suplimentară statorică o dată cu scăderea curentului de pornire conduc și la o scădere a cuplului.

Introducerea de rezistențe suplimentare în circuitul rotoric are avantajul că pe lângă o limitare a curentului de pornire conduce și la o creștere a cuplului de pornire. Pentru  $R'_2 + R'_{2supl} = \sqrt{R_1^2 + (X_1 + X'_2)^2}$  cuplul de pornire devine egal cu cuplul maxim  $M_p = M_m$ .

**Reglarea vitezei.** Viteza de rotație se reglează acționînd fie asupra vitezei de sincronism  $n_1 = \frac{60f}{p}$ , fie asupra alunecării.

Astfel se folosesc următoarele metode:

**Schimbarea numărului de poli.** O metodă comodă care permite schimbarea în trepte fixe a vitezei de exemplu de la 3 000 rot/min la 1 500 rot/min. Se construiesc, în general, mașini cu două trepte — mai rar cu trei trepte de viteză.

**Reglarea frecvenței.** În special, în ultimul timp utilizînd instalații cu tiristoare, această metodă a devenit convenabilă. Simultan cu frecvența se reglează și tensiunea, astfel ca raportul  $\frac{U_1}{f_1}$  să rămână constant (fig. 7.37).

**Reglarea vitezei prin introducerea unor rezistențe suplimentare în circuitul rotoric** (fig. 7.38) — reglarea alunecării — pe lângă faptul că este destul de dificilă, are dezavantajul că mașina funcționează cu un randament scăzut.

**Frînarea mașinii asincrone** se obține prin trei metode:

a) frînarea în regim de generator cu recuperare (fig. 7.39, a);

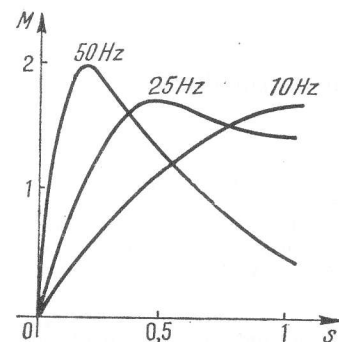


Fig. 7.37. Caracteristicile mecanice  $M = f(s)$  pentru frecvență variabilă, la  $\frac{U_1}{f_1} = \text{const.}$

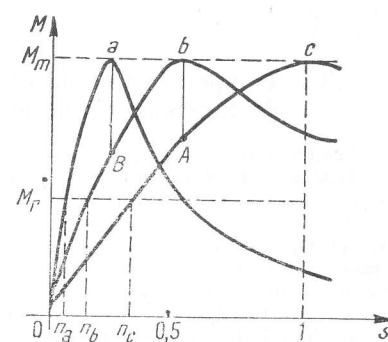


Fig. 7.38. Pornirea și reglarea vitezei mașinii asincrone prin introducerea de rezistențe rotorice suplimentare.

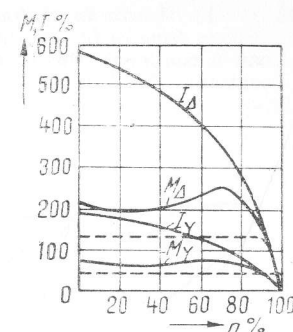


Fig. 7.36. Pornirea stea-triunghi a motorului asincron cu rotorul în scurtcircuit.

b) *frînarea în contracurent*, prin inversarea sensului de rotație (fig. 7.39, b);  
 c) *frînarea în curent continuu*; statorul decuplat de la rețea este alimentat în curent continuu; frînarea este asemănătoare celei dinamice de la mașina de curent continuu (fig. 7.39, c).

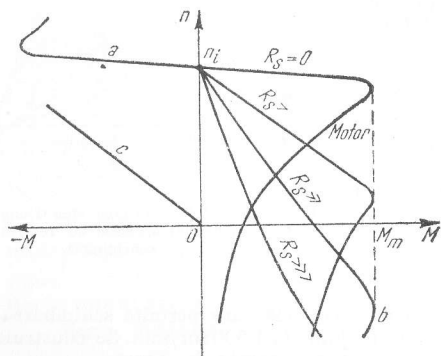


Fig. 7.39. Frînarea mașinilor asincrone:  
 a — regim de generator cu recuperare; b — frînare propriu-zisă; c — frînare dinamică.

### 7.3.3. Tipuri speciale de motoare asincrone

Pentru ușurarea condițiilor de pornire și pentru obținerea unor caracteristici speciale ale motoarelor în scurtcircuit s-au construit motoare cu dublă colivie și motoare cu bare înalte. Ambele tipuri se bazează pe principiul efectului pelicular, la alunecări mari producându-se o refluxare a curentului spre partea superioară a barelor rotorice și deci creștere automată a rezistenței coliviei. Caracteristicile electro-mecanice ale acestor mașini sînt prezentate în fig. 7.40.

### 7.3.4. Comportarea motorului asincron în condiții de funcționare anormală

Creșterea tensiunii (la putere constantă la arbore).

- 1) Curentul rotorice și componenta curentului statoric care depinde de sarcină scad în raport aproape invers proporțional cu tensiunea.
- 2) Curentul de magnetizare, inducția magnetică în întrefier și pierderile de fier cresc. (Temperatura în fier crește din cauza creșterii pierderilor în fier, iar curentul de magnetizare crește rapid la motoarele cu fierul saturat; toate acestea limitează creșterea tensiunii).
- 3) Curentul de pornire crește aproximativ în același raport ca și tensiunea.
- 4) Cuplul de pornire și cuplul de răsturnare cresc aproximativ proporțional cu pătratul tensiunii.
- 5) La aceeași putere debitată, factorul de putere descrește, datorită curentului de magnetizare mărit și datorită curentului activ mai mic.

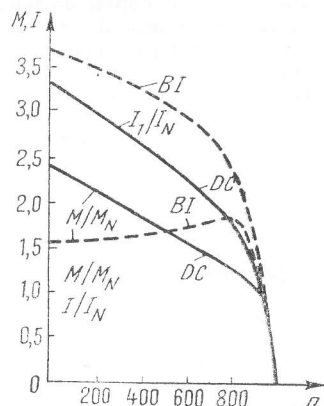


Fig. 7.40. Caracteristicile mecanice și curentului la alunecări variabile pentru motoarele cu dublă colivie (DC) și cu bare înalte (B).

6) Creșterea temperaturii în înfășurările rotorului și în general și în cele ale statorului se reduce. Încălzirea totală a motorului depinde de faptul dacă predomină efectul încălzirii în fier sau în cupru. În general, pentru variațiile de tensiune uzuale, încălzirea înfășurărilor practic nu se schimbă.

7) Randamentul variază puțin, crescînd sau descrescînd în funcție de variațiile pierderilor în cupru, respectiv în fier.

8) Datorită pierderilor mai mici în rotor, turația va crește ușor.

#### Scăderea tensiunii

- 1) Curentul statorului și cel al rotorului cresc.
- 2) Curentul de magnetizare, inducția magnetică în întrefier, pierderile în fier și creșterea temperaturii în fier, scad.
- 3) Curentul de pornire scade aproximativ în aceeași proporție.
- 4) Curentul de pornire și cuplul de răsturnare scad aproximativ proporțional cu pătratul tensiunii.
- 5) Factorul de putere se îmbunătățește.
- 6) Pierderile în cupru în rotor și stator cresc. În general, temperatura crește.
- 7) Randamentul este afectat numai într-o măsură neînsemnată.
- 8) Turația scade puțin.

În ambele cazuri, adică în cazul creșterii sau scăderii tensiunii, variația este limitată de creșterea temperaturii. La variații mai mari ale tensiunii, intervine în fier sau în înfășurări o creștere inadmisibilă a temperaturii.

La variații ale tensiunii de circa  $\pm 5\%$  față de tensiunea nominală, mașina poate funcționa la putere nominală.

#### Variația frecvenței

Variația frecvenței de alimentare are drept urmare o variație proporțională a turației și afectează caracteristicile de funcționare ale motorului invers variațiilor similare de tensiune. Puterea variază aproximativ proporțional cu frecvența, însă la frecvențe mai mici, puterea scade mai mult decît proporțional, datorită înrăutățirii condițiilor de răcire.

### 7.4. PARAMETRII DE FUNCȚIONARE AI MOTOARELOR ELECTRICE

#### Notății:

- $P$  — puterea activă, în kW;  
 $P_M$  — puterea mecanică la ax, în kW;  
 $\eta$  — randamentul, în %;  
 $I$  — curentul absorbit de la rețea (curentul statorului pentru motoare de c.a.), în A;  
 $S$  — puterea aparentă, în kVA;  
 $Q$  — puterea reactivă, în kvar;  
 $U$  — tensiunea rețelei, în V;  
 $\cos \varphi$  — factorul de putere.

Puterea electrică absorbită din rețea de un motor de c.c.:

$$P = \frac{P_M \cdot 100}{\eta}.$$



Curentul absorbit:

$$I = \frac{P_M \cdot 1000 \cdot 100}{U \eta}$$

Pentru motoarele asincrone trifazate:

puterea activă absorbită de rețea:  $P = \frac{P_M \cdot 100}{\eta};$

puterea aparentă absorbită:  $S = \frac{P_M \cdot 100}{\eta \cos \varphi};$

sau  $S = \frac{\sqrt{3} UI}{1000};$

puterea reactivă absorbită:  $Q = \frac{P_M \operatorname{tg} \varphi \cdot 100}{\eta};$

curentul absorbit  $I = \frac{P \cdot 1000}{\sqrt{3} U \cos \varphi};$

sau  $I = \frac{P_M \cdot 1000 \cdot 100}{\sqrt{3} U \eta \cos \varphi}.$

Formula aproximativă la 380 V:  $I \approx 2,2 P_M.$

Tabelul 7.6. Randamentul și factorul de putere pentru motoare de joasă tensiune

Turația motorului 1500 rot/min		Randamentul $\eta$ %	Factorul de putere $\cos \varphi$
Motoare de c. c.	1...10 kW	70...84	—
	pînă la 100 kW	84...92	—
	pînă la 1000 kW	92...95	—
Motoare de c. a. cu inele de contact		86...93	0,79...0,87
		93...95	0,87...0,91
Motoare de c. a. cu rotorul în scurtcircuit	sub 1 kW	53...74	0,67...0,78
	pînă la 11 kW	74...88	0,81...0,85
	pînă la 132 kW	88...95	0,86...0,88
	pînă la 400 kW	95...97	0,88...0,89

Randamentul și factorul de putere al motoarelor asincrone variază în funcție de sarcină (v. tabelul 7.7).

În fig. 7.43 este reprezentată grafic relația între puterile activă, reactivă și aparentă. Mărimile necunoscute pot fi ușor determinate din această diagramă.

Tabelul 7.7. Randamentul și factorul de putere pentru motoare asincrone

Randamentul, în %, la diverse sarcini				Randamentul, în %, la diverse sarcini			
1/2	3/4	4/4	5/4	1/2	3/4	4/4	5/4
din sarcina nominală				din sarcina nominală			
93,5	95	95	94,5	70	73	73	71
92,5	94	94	93,5	68	72	72	70
91,5	93	93	92,5	67	71	71	69
91	92	92	91,5	66	70	70	68
90	91	91	90	65	69	69	67
89	90	90	89	64	67,5	68	66
88	89	89	88	62	66,5	67	65
87	88	88	87	61	65	66	64
86	87	87	86	60	64	65	63
85	86	86	85	59	63	64	62
84	85	85	83,5	57	62	63	61
83	84	84	82,5	56	60,5	62	60,5
82	83	83	81,5	55	59,5	61	59,5
81	82	82	80,5	54	58,5	60	58,5
80	81	81	79,5	53	58	59	57
79	80	80	78,5	52	57	58	56
77	79,5	79	77,5	51	55	57	55
75,5	78,5	78	76,5	49	54	56	54
74	77,5	77	75	47	52	55	53
73	76	76	74	46	51	54	52
72	75	75	73	45	50	53	51
71	74	74	72				
Factorul de putere la diverse sarcini				Factorul de putere la diverse sarcini			
1/2	3/4	4/4	5/4	1/2	3/4	4/4	5/4
din sarcina nominală				din sarcina nominală			
0,83	0,88	0,90	0,90	0,65	0,75	0,80	0,81
0,80	0,86	0,89	0,89	0,63	0,74	0,79	0,80
0,78	0,85	0,88	0,88	0,61	0,72	0,78	0,80
0,76	0,84	0,87	0,87	0,59	0,71	0,77	0,79
0,75	0,83	0,86	0,86	0,58	0,70	0,76	0,78
0,73	0,81	0,85	0,86	0,56	0,69	0,75	0,78
0,71	0,80	0,84	0,85	0,55	0,68	0,74	0,77
0,69	0,79	0,83	0,84	0,54	0,67	0,73	0,76
0,67	0,77	0,82	0,83	0,52	0,63	0,72	0,77
0,66	0,76	0,81	0,82	0,50	0,62	0,71	0,76

În fig. 7.41 și 7.42 sînt reprezentate valorile aproximative pentru randamentul și factorul de putere, în funcție de puterea nominală, la motoarele asincrone.

Dacă pentru compensarea puterii reactive absorbită de un motor asincron se folosește un condensator, legat direct la bornele motorului, este necesar să fie compensată numai circa 90% din puterea reactivă la mers în gol (v. tabelele 7.8 și 7.9).

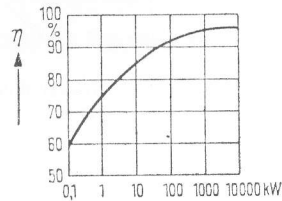


Fig. 7.41. Randamentul mașinii asincrone funcție de puterea nominală.

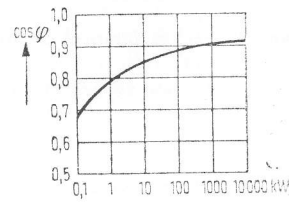


Fig. 7.42. Factorul de putere al mașinii asincrone funcție de puterea nominală.

Exemplu: Un motor trifazat de putere nominală  $P = 6,3 \text{ kW}$ , randament  $\eta = 84\%$ ,  $\cos \varphi = 0,83$ , absoarbe din rețea  $P_W = 7,5 \text{ kW}$  putere activă,  $S = 9 \text{ kVA}$  putere aparentă și  $Q = 5 \text{ kvar}$  putere reactivă.

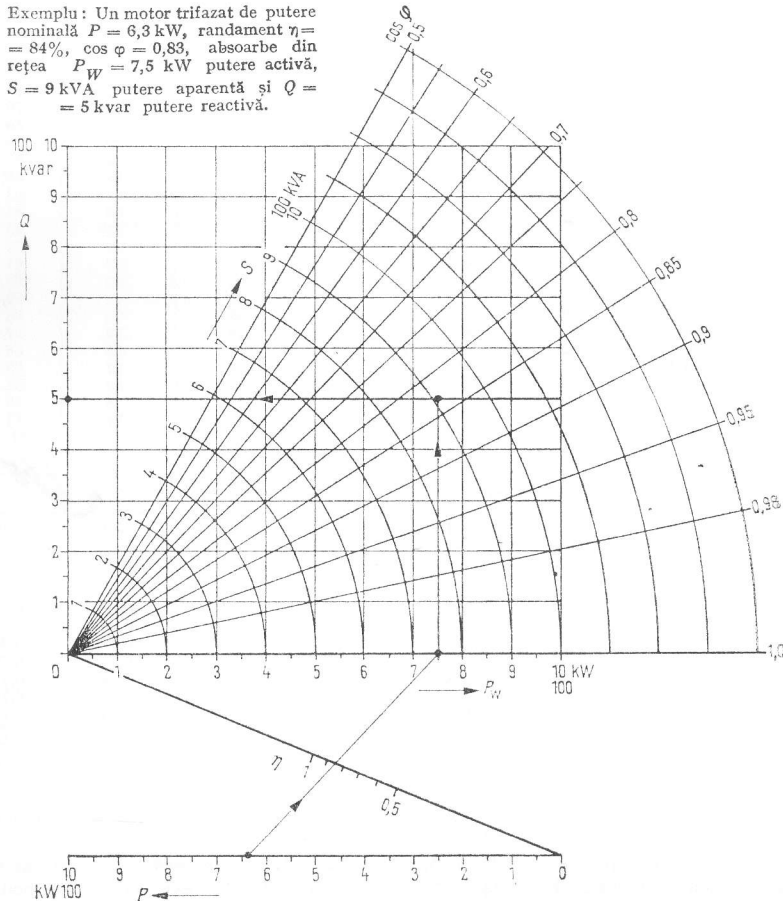


Fig. 7.43. Relația între puterea activă, reactivă și aparentă.

Tabelul 7.8. Puterea reactivă necesară pentru compensarea motoarelor asincrone trifazate

Puterea nominală a motorului kW ..	4	5,5	7,5	11	15	18,5	22	peste 30
Puterea nominală a condensatoarelor kvar	2	2,5	3	5	6	8	10	aproximativ 35% din puterea nominală a motorului

Tabelul 7.9. Curentul aproximativ în A, pentru 1 kW de putere nominală, pentru motoare cu turație de 1500 rot/min

Puterea nominală kW	CP	c.c.		c.a.		
		220 V	440 V	220 V	380 V	500 V
0,75	1	6,4	3,2	5,3	3	2,3
1,1 ... 1,5	1,5 ... 2	6,2	3,1	4,4	2,5	2,0
2,2 ... 7,5	3 ... 10	5,5	2,8	4,0	2,25	1,6
11 ... 22	15 ... 30	5,3	2,7	3,5	2,0	1,5
30 ... 75	40 ... 100	5,2	2,6	3,3	1,9	1,4
90 ... 315	125 ... 420	5,1	2,6	3,1	1,8	1,35

## 7.5. ACȚIONĂRI ELECTRICE

### 7.5.1. Caracteristicile mecanice

Pentru predeterminarea proceselor de pornire și de frinare, precum și pentru alegerea unor mașini cu turație reglabilă, este necesară cunoașterea caracteristicilor mecanice ale instalațiilor acționate (cuplul funcție de turație).

În fig. 7.44 și 7.45 sînt reprezentate cele patru forme principale ale caracteristicii cuplului, respectiv ale puterii. Aceste caracteristici se referă la următoarele cazuri principale de aplicații:

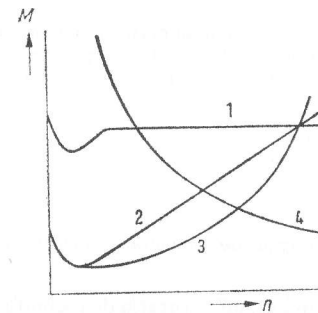
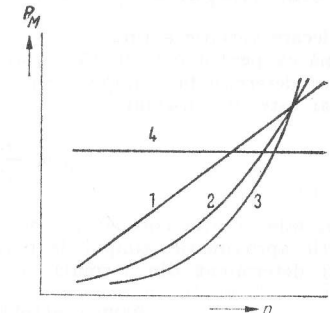


Fig. 7.44. Cuplul funcție de turație.


 Fig. 7.45. Puterea  $P_M$  funcție de turație.

1) Cuplul de sarcină practic constant, puterea direct proporțională cu turația. Acesta este cazul, de exemplu, pentru: macarale, pompe și compresoare cu piston în cazul refulării la presiune constantă, suflante cu rotoare angrenate, laminoare, benzi transportoare, mori fără ventilatoare, mașini-unelte cu forța de așchiere constantă.

2) Cuplul de sarcină crește proporțional cu turația, puterea este proporțională cu pătratul turației, de exemplu, cazul calandrelor.

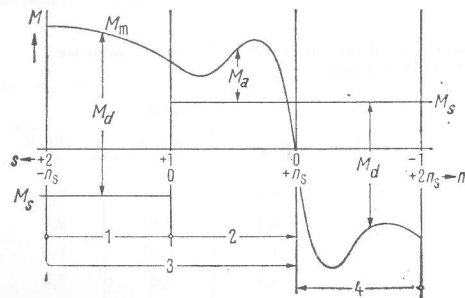


Fig. 7.46. Pornirea, frinarea și inversarea sensului de rotație a motoarelor cu rotorul în scurtcircuit:  $M_a = M_m - M_s$ ;  $M_m$  — cuplu motor;  $M_s$  — cuplul de sarcină;  $M_a$  — cuplu de accelerare;  $M_d$  — cuplu de decelerare; 1 — frinarea în contracurent; 2 — pornirea; 3 — inversarea; 4 — frinarea recuperativă.

3) Cuplul de sarcină crește proporțional cu pătratul turației, iar puterea proporțional cu puterea a treia a turației. Acesta este cazul pompelor centrifuge, ventilatoarelor și mașinilor cu piston care refilează într-un sistem deschis de conducte.

4) Cuplul de sarcină scade invers proporțional cu turația, puterea este constantă. Acesta este cazul întilnit câteodată la strunguri și alte mașini-unelte similare, la mașini, de derulat furnir sau la acționări cu reglarea mecanică a turației.

Compararea caracteristicii cuplului mașinii acționate cu cea a cuplului motorului permite determinarea comportării mașinii electrice în timpul funcționării. La pornire, respectiv la frinare, diferența între aceste două cupluri reprezintă cuplul motor de accelerare  $M_a$ , respectiv de decelerare  $M_d$ .

Această situație este exemplificată în fig. 7.46 pentru un motor cu rotorul în scurtcircuit, în funcție de turația  $n$  și de alunecarea  $s$ .

## 7.5.2. Timpul de pornire

Fiecare variație a turației este asociată unei variații a energiei cinetice; aceasta înseamnă că pentru o anumită variație a turației pe unitatea de timp este necesară o putere determinată. Timpul de pornire  $t_p$  de la starea de repaus până la regimul staționar este în consecință

$$t_p = \frac{GD^2}{375} \int_{n_1=0}^{n_2} \frac{1}{M_a} dn$$

unde  $n_2$  este turația normală (v. pag. 30)

Prin aproximație, timpul de pornire la un cuplu de accelerare mediu constant poate fi determinat din formula (v. și fig. 7.51):

$$\text{Timpul de pornire (în s)} = \frac{\text{momentul total de volant (în kgf. m}^2) \times \text{turația de regim (în rot/min)}}{375 \times \text{cuplul mediu de accelerare (în kgfm)}}$$

În timpul pornirii și în timpul funcționării intervine, datorită pierderilor, o creștere a temperaturii până ce se ajunge la temperatura normală de regim. După un anumit timp de funcționare continuă  $t$  se ajunge la temperatura finală  $\theta_E$ .

$$t \approx 3 \dots 4 T_{\theta} \frac{\pi}{2}$$

unde  $T_{\theta}$  este constanta de timp a încălzirii.

În fig. 7.47 este reprezentată caracteristica creșterii de temperatură. Din punct de vedere practic și economic temperatura finală trebuie să coincidă pe cit posibil cu

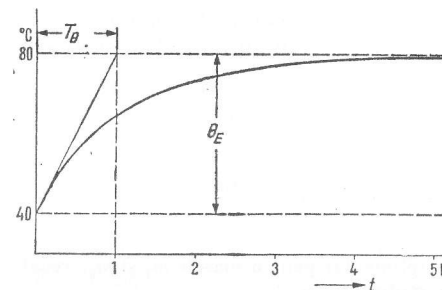


Fig. 7.47. Creșterea în timp a temperaturii părților componente ale unui motor care funcționează cu pierderi constante.

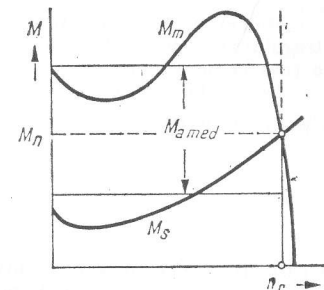


Fig. 7.48. Determinarea cuplului mediu de accelerare:  $M_m$  — cuplul motorului;  $M_s$  — cuplu de sarcină;  $M_{amed}$  — cuplu mediu de accelerare;  $n_r$  — turația de regim.

temperatura limită, stabilită prin regulamentele în vigoare (v. tabelul 6.3 p. 337).

În regim staționar, cuplul motor este egal cu cuplul de sarcină

$$M_m = M_s.$$

Dacă motorul de acționare este ales în mod corect, puterea nominală la funcționare în regim staționar trebuie să corespundă puterii de acționare a mașinii de lucru. Prescripțiile nu prevăd o depășire permanentă a cuplului.

Timpul de pornire  $t_p$  (în s) pentru un motor se poate determina cunoscând valoarea medie a cuplului motorului a cuplului de sarcină, și momentul de volant al mașinii și instalației acționate:

$$t_p = \frac{\pi n_m}{30 \cdot 4 g} \frac{GD^2}{M_a} = \frac{1}{375} \frac{n_m GD^2}{M_a},$$

unde:  $n_m$  este turația nominală a motorului, în rot/min;

$GD^2$  — momentul de volant total în kgf.m<sup>2</sup>; el este dat de:  $GD^2 = 4 g j = GD^2$  (motor) +  $GD^2$  (mașina acționată);

$J$  — momentul de inerție, în kgf.s<sup>2</sup>. m;  $J = m \frac{D^2}{4}$  și  $m = \frac{G}{g}$ ;

$M_a$  — cuplul de accelerare, în kgf.m; el este dat de  $M_a = M_m - M_s$ ;

$g$  — accelerația gravitației:  $g = 9,81 \text{ m/s}^2$ .

În fig. 7.48 este reprezentat grafic cuplul mediu de accelerare.

Momentul de volant  $GD^2$  în  $\text{kgf}\cdot\text{m}$  pentru corpuri cilindrice goale se determină din formula

$$GD^2 = 393\gamma L(d_e^4 - d_i^4),$$

în care:  $d_e$  este diametrul exterior, în m;

$d_i$  — diametrul interior, în m (pentru cilindrii plini  $d_i = 0$ );

$L$  — lungimea cilindrului, în m;

$\rho$  — densitatea, în  $\text{g}/\text{cm}^3$ .

Momentul de volant total se poate calcula din suma momentelor individuale ale întregului grup de mașini, inclusiv motorul, fiecare moment urmînd a fi recalculat pentru turația motorului.

Recalcularea momentelor de volant ale mașinii acționate  $GD_s^2$ , avînd turațiile  $n_1$  și  $n_2$ , la turația motorului  $n_m$  se poate efectua folosind formula următoare:

$$GD_s^2 = \frac{n_1^2}{n_m^2} m_1 + \frac{n_2^2}{n_m^2} m_2; \quad m_1 = G_1 D_1^2, \quad m_2 = G_2 D_2^2,$$

în care:  $GD_s^2$  reprezintă momentul de volant suplimentar pentru masele  $m_1$  și  $m_2$ , recalculat pentru turația motorului  $n_m$ ;

$n_1, n_2$  — turațiile maselor  $m_1$  și  $m_2$ .

Conform fig. 7.49, momentele de volant ale maselor accelerate la turația  $n_1, n_2$ , trebuie reduse la turația axului motorului;

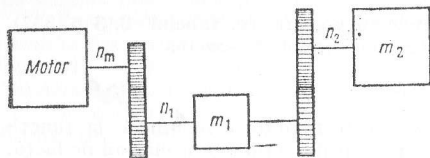


Fig. 7.49. Motor și mașină acționată, avînd turații diferite.

$$t_p = \frac{1}{375} \frac{n_m GD_{red}^2}{M_a},$$

$$GD_{red}^2 = G_m D_m^2 + G_1 D_1^2 \frac{n_1^2}{n_m^2} + G_2 D_2^2 \frac{n_2^2}{n_m^2} \dots,$$

unde:  $G_m D_m^2$  este momentul de volant al motorului, în  $\text{kgf}\cdot\text{m}^2$ ;

$G_1 D_1^2, G_2 D_2^2$  sînt momentele de volant ale maselor  $m_1, m_2, \dots$ , în  $\text{kgf}\cdot\text{m}^2$ .

În cazul unor mase se deplasează în linie dreaptă, ca de exemplu la acționări pentru mese sau cărucioare, momentul de volant, raportat la turația axului motorului este:

$$(GD_s^2)_{nm} = 365 \frac{Gv^2}{n_m^2},$$

unde:  $GD_s^2$  este momentul de volant în  $\text{kgf}\cdot\text{m}^2$  (v. pag. 11) raportat la turația axului motorului,

$G$  — sarcina, în  $\text{kgf}$ ;

$v$  — viteza, în  $\text{m/s}$ ;

$n_m$  — turația motorului, în  $\text{rot/min}$ .

Observații la nomograma fig. 7.50.

1. Se unește momentul de volant dat, de exemplu  $GD^2 = 0,1 \text{ kgf}\cdot\text{m}^2$ , și turația asociată  $n = 500 \text{ rot/min}$ ; punctul de intersecție cu scara de mijloc se unește cu punctele reprezentînd turațiile motorului  $n = 1000, 1500$  sau  $3000 \text{ rot/min}$ , prelungindu-se pînă la intersecția cu scara  $GD^2$ ; momentul de volant raportat la turația motorului este de  $0,025 \text{ kgf}\cdot\text{m}^2$  la  $1000 \text{ rot/min}$ ,  $0,011 \text{ kgf}\cdot\text{m}^2$  la  $1500 \text{ rot/min}$ ,  $0,0028 \text{ kgf}\cdot\text{m}^2$  la  $3000 \text{ rot/min}$ .

2. Se unește greutatea masei, de exemplu  $G = 5000 \text{ kgf}$  cu viteza  $v = 0,5 \text{ m/s}$ ; punctul de intersecție cu scara din mijloc se unește cu turația motorului  $n = 1000 \text{ rot/min}$  și se prelungeste pînă la intersecția cu scara  $GD^2$ ; momentul de volant raportat la turația motorului este de  $0,45 \text{ kgf}\cdot\text{m}^2$ .

Din fig. 7.51 se poate deduce timpul de pornire în gol pentru motoare cu rotorul în scurt-circuit (fără alte mase inerțiale cuplate cu mașina).

Timpul de pornire la mers în gol

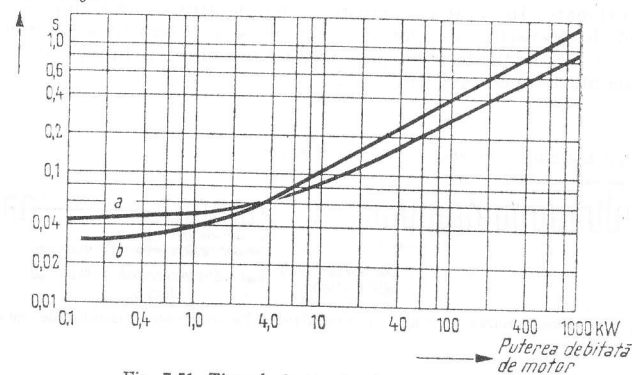


Fig. 7.51. Timpul de pornire la mers în gol:

a — motor cu răcire interioară; b — motoare cu răcire prin ventilare exterioră.

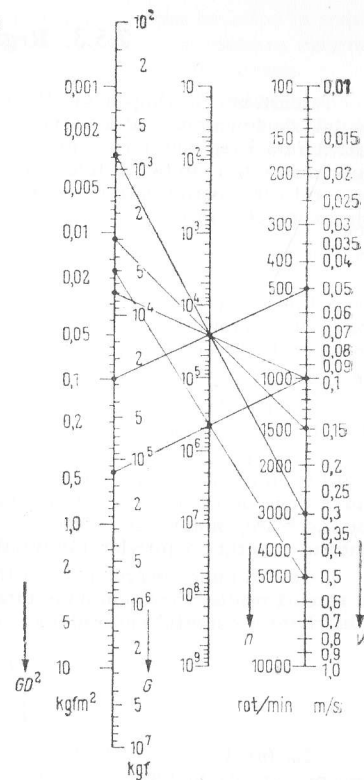


Fig. 7.50. Nomogramă pentru convertirea momentelor de volant.

### 7.5.3. Regimurile de funcționare

Constanta de timp a încălzirii  $T_{\theta}$  are o importanță deosebită în aprecierea regimului de funcționare al unei mașini electrice. Se consideră *regim de funcționare de scurtă durată* regimul în care un motor este deconectat de la rețea după un timp de funcționare  $t_f$ , înainte ca diversele părți ale sale să fi ajuns la o temperatură stabilă, motorul fiind pornit din nou abia după o pauză care permite ca mașina să revină la starea practic rece

$$t_f < 3T_{\theta}.$$

Constanta de timp a răcirii în stare de repaus  $T_{\theta st}$ , când ventilatorul, montat pe axul motorului, nu mai funcționează, este mai mare decât constanta de timp de încălzire în timpul funcționării raportul fiind:  $T_{\theta st} \approx 2T_{\theta}$  pentru motoare răcite în interior;  $T_{\theta st} \approx 1,4 \dots 2,0 T_{\theta}$  pentru motoare cu răcire prin ventilare exterioară.

Timpul de funcționare  $t_f$  trebuie limitat astfel ca temperatura la care ajunge motorul să fie sub valoarea limită admisibilă (v. tab. 6.3).

Funcționarea continuă cu sarcină intermitentă este similară cu funcționarea de scurtă durată, deoarece timpul în care se aplică sarcina este așa de scurt, încât motorul nu ajunge la temperatura de regim staționar. În timpul repausului dintre perioadele de încărcare, motorul se răcește practic la temperatura lui finală la mers în gol, ventilatorul montat în interior rămânând în funcțiune.

În cazul unei încărcări de scurtă durată, cu sarcină variabilă, se consideră în general o sarcină medie. Presupunând o durată suficient de scurtă a unui ciclu și o dependență liniară între curentul motorului și sarcină, sarcina medie poate fi calculată din formula:

$$P_{med} = \sqrt{\frac{P_1^2 t_1 + P_2^2 t_2 + \dots + P_n^2 t_n}{t_1 + t_2 + \dots + t_n}}.$$

La funcționarea în regim intermitent timpii de încărcare alternează cu timpii de oprire, fără ca motorul să se poată răci la temperatura agentului de răcire. Puterea nominală a motorului se determină în funcție de valorile standardizate de 20, 40 sau 60% pentru durată relativă de conectare.

Funcționarea cu conectări repetate constituie o variantă a regimurilor de funcționare susmenționate; în acest caz, creșterea temperaturii motorului este determinată în primul rând de operațiile de pornire, frinare sau inversare a sensului de rotație, puterea limită și frecvența de conectare trebuie stabilite în funcție de creșterile maxime admisibile ale temperaturii (fig. 7.52).

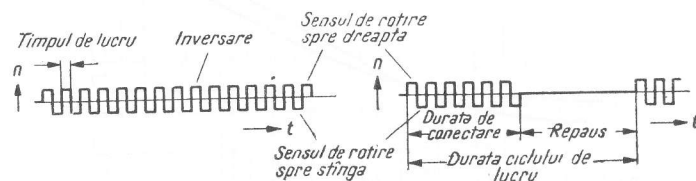


Fig. 7.52. Funcționarea continuă și intermitentă cu inversarea sensului de rotație.

Dacă pentru un anumit motor, de exemplu un motor asincron cu rotor în scurt-circuit este cunoscută frecvența de conectare, se poate determina puterea maximă admisibilă și frecvența de conectare pentru celelalte regimuri de funcționare.

Dacă la un motor cu un moment de volant  $(GD^2)_m$  în  $\text{kgf} \cdot \text{m}^2$ , mergînd în gol în regim de funcționare continuu fără să fie cuplat cu mase suplimentare inerțiale, se inversează sensul de rotație, frecvența de conectare la care motorul ajunge, în condiții de regim staționar, la temperatura maximă admisibilă, se numește frecvența de conectare la mers în gol  $Z_0$ ; ea se exprimă prin numărul de inversări pe oră.

În tabelul 7.10 se dau momentele de volant și frecvențele de conectare la mers în gol  $Z_0$  pentru câteva tipuri de motoare asincrone trifazate, cu răcire prin ventilare exterioară, în funcție de puterea lor nominală.

Tabelul 7.10. Puterea nominală, momentul de volant și frecvența de conectări la mers în gol a motoarelor

Puterea nominală kW	Motor $GD^2$ $\text{kgf} \cdot \text{m}^2$	Frecvența de conectări la mers în gol, $Z_0$ , inversări/h	Puterea nominală kW	Motor $GD^2$ $\text{kgf} \cdot \text{m}^2$	Frecvența de conectări la mers în gol, $Z_0$ , inversări/h
0,12	0,0014	4000	3	0,0234	2500
0,18	0,0016	4000	4	0,0439	2000
0,25	0,0024	3500	5,5	0,085	1400
0,37	0,0033	3500	7,5	0,105	1200
0,55	0,0061	3000	11	0,205	1100
0,75	0,0072	3000	15	0,24	600
1,1	0,0109	3500	18,5	0,59	300
1,5	0,0143	3000	22	0,65	300
2,2	0,0207	2800	30	1,2	240

În ce privește solicitarea motoarelor, în special a motoarelor cu rotor în scurt-circuit, funcționînd în regim cu conectări repetate, prezintă o importanță deosebită următorii factori: mărimea maselor suplimentare inerțiale cuplate cu motorul, sarcina motorului la pornire și frinarea electrică. În tabelul 7.11 se dau formulele și factorii de convertire pentru determinarea frecvenței admisibile de conectare în funcție de condițiile de funcționare date și de frecvența de conectare la mers în gol.



Tabelul 7.11. Frecvența de conectare în timpul funcționării  $Z_f$  funcție de frecvența de conectare la mers în gol  $Z_0$  și regimul de funcționare pentru motoarele trifazate cu rotorul în scurtcircuit

Regimul de funcționare	Factorul de convertire	Frecvența de conectare în timpul funcționării $Z_f$
Pornire	—	$Z_f = (2,2 - 3)Z_0$
Frinare în curent continuu	—	$Z_f = 1,6Z_0$
Frinare prin contracurent	—	$Z_f = Z_0$
Mase exterioare suplimentare	$k_{spl} = \frac{GD_{mot}^2}{GD_{mot}^2 + GD_{supl}^2}$	$Z_f = k_{spl}Z_0$
Pornirea sub sarcină	$k_p = 1 - \frac{M_t}{M_m}$	$Z_f = k_pZ_0$
Încărcarea în timpul funcționării	$k_s = 1 - \left(\frac{P}{P_N}\right)^2$	$Z_f = k_sZ_0$
Sarcini diferite în timpul mersului spre dreapta și spre stînga	$k_s = \frac{t_R P_R^2 + t_s P_s^2}{(t_R + t_s) P_N^2}$	

### 7.5.4. Măsurarea puterii motoarelor electrice

#### Măsurarea directă

Motorul de verificat se cuplează cu o a doua mașină electrică. Măsurînd puterea electrică produsă sau absorbită și ținînd seama de randament, se poate determina puterea mecanică produsă. Eroarea de măsurare la puterea nominală: 2...3%.

#### Măsurarea indirectă

Cuplul și turația se măsoară separat, calculînd din aceste rezultate puterea mecanică la ax:

$$P_M = \frac{M\omega}{102}, \quad P_M = \frac{Mn}{975}, \quad P_M = \frac{Mn}{716} [\text{CP}]$$

unde:  $P_M$  este puterea, în kW;

$M$  — cuplul, în kgf·m;

$\omega$  — viteza unghiulară, în s<sup>-1</sup>;

$n$  — turația în rot/min.

În cazul unor mașini de construcție specială cu stator mobil cu ajutorul unui dinamometru se poate măsura direct cuplul de reacțiune. Pentru dinamul frînă eroarea este 1—2% (v. fig. 7.53).

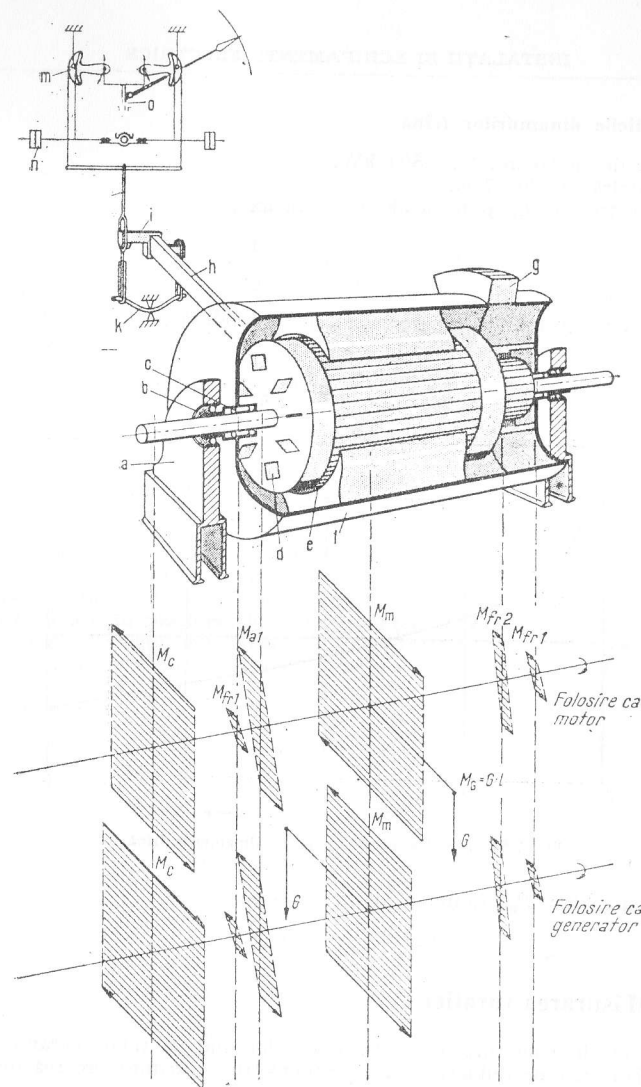


Fig. 7.53. Secțiune printr-un dinam frînă și cuplurile în cazul utilizării ca motor și ca generator. Cuplul transmis prin cuplaj egal cu cuplul de reacție  $M_c = M_G$ ; a — suportul lagărelor statorice; b — câmașa exterioară a lagărelor statorice; c — lagărul rotorului; d — ventilator; e — indus; f — carcasă oscilantă; g — orificii de ieșire a aerului; h — pîrghie; i — cuțit de balanțe; k — suspensie de inversare; l — sistem de bare; m — segmenti de cerc în lagăre excentrice; n — contragreutăți; o — cremalieră;  $M_c$  — cuplul transmis prin cuplaj;  $M_{fr1}$  — cuplul de frecare în lagăr;  $M_{a1}$  — cuplul de frecare în aer;  $M_m$  — cuplul electromagnetic;  $M_G$  — cuplul de reacție al dinamului frînă (reacției);  $M_{fr2}$  — cuplul de frecare al periilor.

### Caracteristicile dinamurilor frână

Domeniul de încărcare: 2... 2500 kW.

Turația limită: v. fig. 7.54.

Puterea de frinare  $P_f$  (puterea absorbită la ax);

$$P_f = P_G \frac{1}{\eta} = P_m \frac{1}{\eta^2}.$$

Puterea ca generator  $P_G$  (puterea electrică produsă);

$$P_G = P_f \eta = P_m \frac{1}{\eta}.$$

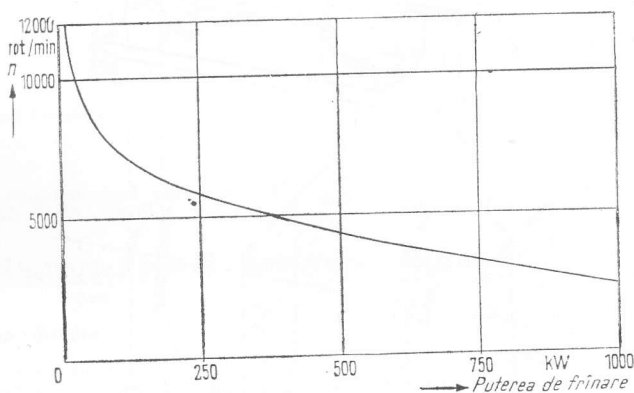


Fig. 7.54. Turațiile maxime pentru dinamurile frână.

Puterea ca motor  $P_m$  (puterea mecanică la ax):

$$P_m = P_f \eta^2 = P_G \eta.$$

### 7.5.5. Măsurarea turației

Măsurări grosiere de turație se efectuează folosind un tahogenerator și un voltmetru, un tahometru de inducție sau un tahometru centrifug; eroarea de măsurare 3...5‰.

Măsurările de precizie se efectuează folosind un contor mecanic de turație sau un contor electronic și un etalon de timp cu cristal de cuarț (eroarea de măsurare la 1000 rot/min:  $\leq 10^{-6}$ ).

## 8. REȚELE ELECTRICE, STAȚII DE TRANSFORMARE ȘI MUTATOARE

### 8.1. PARAMETRII REȚELOR ELECTRICE ȘI VALORI CARACTERISTICE

Prima etapă de calcul a circuitelor de alimentare cu energie electrică constă în determinarea rezistențelor și reactanțelor sistemului de transport. Elementele principale ale unui sistem de transport sunt liniile aeriene, cablurile, transformatoarele, reactoarele, condensatoarele și generatoarele.

În cazul sarcinilor simetrice au importanță practică numai impedanțele sistemului de secvență directă  $Z_1$ . În cazul circuitelor cu sarcini asimetrice, linii asimetrice etc., trebuie să fie luate în considerație și impedanțele sistemului de secvență inversă  $Z_2$  și uneori, cea de secvență homopolară  $Z_0$ . Impedanțele, cu excepția impedanțelor mașinilor rotative, au aceeași valoare în sistemele de secvență directă și inversă.

#### Linii aeriene

Fig. 8.1 reprezintă circuitul echivalent al unei linii aeriene (circuit în  $\pi$ ).

Sistemul de secvență directă;

$$Z_L = R_L + jX_L$$

$$C_L$$

$$R_{aL}$$

Sistemul de secvență homopolară:

$$Z_{0L} = R_{0L} + jX_{0L}$$

$$C_{0L}$$

$$R_{0aL}$$

impedanța serie în  $\Omega$ /fază;

capacitatea în derivație în F/fază;

rezistența în derivație în  $\Omega$ /fază.

impedanța homopolară în  $\Omega$ /fază;

capacitatea homopolară (față de pământ),

în F/fază;

rezistența homopolară în derivație în  $\Omega$ /fază.

Parametrii electrici ai liniilor aeriene sunt examinați la pag. 585. Rezistența în derivație  $R_{aL}$  se poate de obicei neglija.

În cazul liniilor cu dublu circuit, apar reacții din partea celui de al doilea circuit. Efectul lor este redus în cazul sistemului de secvență directă; de obicei, parametrii rezultanți care se folosesc consideră cazul unor curenți și tensiuni egale în ambele circuite (v. pag. 585). Efectul reacțiilor este considerabil în sistemul de secvență homopolară, astfel trebuie să se țină seama de cuplaj. Fig. 8.2 reprezintă un circuit echivalent în  $\pi$ . S-au folosit următoarele notații:

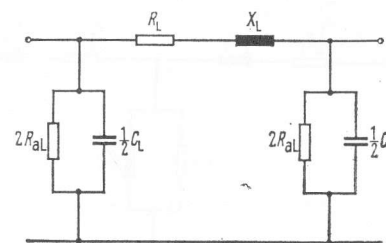


Fig. 8.1. Circuitul echivalent al unei linii aeriene (reprezentare în  $\pi$ ).

- $Z_{0I}$  și  $Z_{0II}$  — impedanța de secvență homopolară cu al doilea circuit deschis;  
 $C_{0I}$  și  $C_{0II}$  — capacitatea de secvență homopolară cu al doilea circuit pus la pământ;  
 $Z_{0mI, II}$  — impedanța mutuală de secvență homopolară;  
 $C_{0mI, II}$  — capacitatea mutuală de secvență homopolară;  
 $\tilde{U}$  — transformator ideal 1:1.

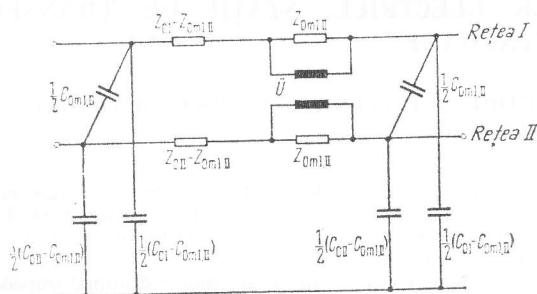


Fig. 8.2. Circuitul echivalent pentru sistemul de secvență homopolară al unei linii cu dublu circuit.

### Cabluri

Circuitele echivalente folosite pentru linii aeriene se aplică și la cabluri. Parametrii electrici sînt examinați la pag. 551-552.

### Transformatoare

Fig. 8.3 reprezintă un circuit echivalent în  $T$ , care este suficient pentru calcule practice referitoare la transformatorul cu două înfășurări.

**Impedanța serie.** Rezistența echivalentă  $R_T$  și reactanța echivalentă de scăpări  $X_T$  sînt

$$R_T = \frac{u_r U_T^2}{100 S_T} [\Omega/\text{fază}]; \quad (8.1)$$

$$X_T = \frac{u_x U_T^2}{100 S_T} [\Omega/\text{fază}]; \quad (8.2)$$

$$u_x = \sqrt{u_k^2 - u_r^2} [\%]; \quad (8.3)$$

$$u_r = 0,1 \frac{V_k}{S_T} [\%]; \quad (8.4)$$

Fig. 8.3. Circuitul echivalent al transformatorului.

- unde:  $U_T$  este tensiunea nominală a transformatorului, în kV;  
 $S_T$  — puterea nominală a transformatorului, în MVA;  
 $u_k$  — tensiunea nominală de scurtcircuit, în %;  
 $u_x$  — căderea de tensiune în reactanța de scăpări, în %;  
 $V_k$  — pierderi de scurtcircuit, în kW

În cazul transformatoarelor cu prize, impedanța pentru fiecare poziție se poate calcula din tensiunea reglată de mers în gol și din tensiunea de scurtcircuit corespunzător corectată.

**Impedanța derivație.** Rezistența echivalentă pierderilor în fier  $R_{mT}$  și reactanța de magnetizare  $X_{mT}$  sînt

$$R_{mT} = \frac{U_T^2}{V_m} \cdot 10^3 [\Omega/\text{fază}]; \quad (8.5)$$

$$X_{mT} = \frac{100 U_T^2}{i_m S_T} [\Omega/\text{fază}]; \quad (8.6)$$

unde:  $V_m$  reprezintă pierderile de mers în gol, în kW;

$i_m$  — curentul de magnetizare, în % din curentul nominal;

Valorile pentru  $u_k$ ,  $i_m$ ,  $V_k$  și  $V_m$  sînt date în tabelele 8.14 și 8.17 (pag. 484 și 486).

Impedanța derivație poate fi adeseori neglijată.

Impedanțele de secvență homopolară ale transformatoarelor sînt examinate la pag. 480.

În cazul transformatoarelor cu trei înfășurări se poate folosi un circuit echivalent în stea (fig. 8.4, a) Impedanțele pe ramuri se pot calcula din următoarele ecuații:

$$Z_{T1} = \frac{1}{2} (Z_{T12} - Z_{T23} + Z_{T31}); \quad (8.7)$$

$$Z_{T2} = \frac{1}{2} (Z_{T12} + Z_{T23} - Z_{T31}); \quad (8.8)$$

$$Z_{T3} = \frac{1}{2} (-Z_{T12} + Z_{T23} + Z_{T31}). \quad (8.9)$$

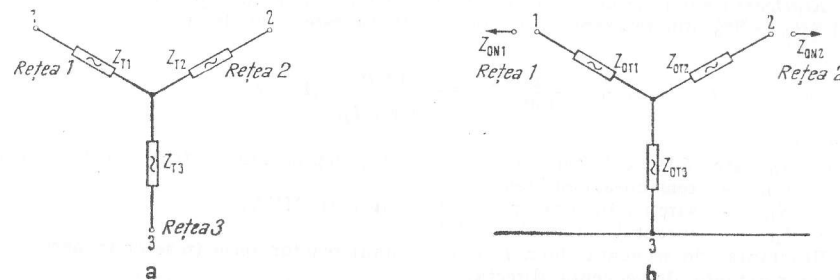


Fig. 8.4. Circuitul echivalent al transformatorului cu trei înfășurări: a — sistem de secvență directă; b — sistem de secvență homopolară.

$Z_{T12}$ ,  $Z_{T23}$  și  $Z_{T31}$  sînt aici impedanțele serie ale oricăror două înfășurări. Ele se pot calcula din ecuațiile (8.1) și (8.2), în care trebuie introduse în fiecare caz valorile pentru  $u_r$ ,  $u_x$  și  $S_T$  corespunzătoare pentru cele două înfășurări considerate. Schema echivalentă pentru secvența homopolară a unui transformator cu două înfășurări în stea și o înfășurare în triunghi este reprezentată în fig. 8.4.b. În cazul cînd punctul neutru este legat rigid la pămînt, sistemul de secvență homopolară al rețelei respective este direct legat de punctul 1 sau 2. În cazul folosirii unor impedanțe de legare la neutru (de exemplu bobine Petersen), impedanța lor de secvență homopolară trebuie să fie legată între transformator și rețea.

### Reactoare

*Bobinele de compensare* (reactoare derivație). Rezistența  $R_{PD}$  și reactanța  $X_{PD}$  pentru conectare în paralel sînt date de relațiile:

$$R_{PD} = \frac{U_{PD}^2}{V_{PD}} 10^3 \quad [\Omega/\text{fază}]; \quad (8.10)$$

$$X_{PD} = \frac{U_{PD}^2}{Q_{PD}} \quad [\Omega/\text{fază}], \quad (8.11)$$

în care:  $U_{PD}$  este tensiunea nominală în kV;

$Q_{PD}$  — puterea nominală, în Mvar;

$V_{PD}$  — pierderile în reactor, în kW.

În esență, cele arătate în privința impedanței de secvență homopolară pentru transformatoare sînt valabile și pentru reactoarele în derivație (v. pag. 480).

Bobinele Petersen și orice alte impedanțe legate la punctul neutru sînt eficace numai în sistemul de secvență homopolară. Reactanța lor de secvență homopolară este

$$X_{0ES} = 3 X_{ES} = 3 \frac{U_{ES}}{I_{ES}} \cdot 10^{-3} \quad \Omega, \quad (8.12)$$

unde:  $U_{ES}$  este tensiunea nominală a reactorului (tensiunea pe fază), în kV;

$I_{ES}$  — curentul nominal al reactorului, în A;

$X_{ES}$  — reactanța reactorului, în  $\Omega$ .

*Reactoare limitatoare de curent* (reactoare serie). Rezistența  $R_D$  este de obicei neglijabilă ( $R_D = 3\%$  din reactanța  $X_D$ ), iar reactanța este dată de relația

$$X_D = \frac{u_D U_D^2}{100 S_D} = \frac{u_D U_D}{100 \sqrt{3} I_D} \quad [\Omega/\text{fază}], \quad (8.13)$$

în care:  $u_D$  este căderea de tensiune pe reactanță, în procente din tensiunea nominală;

$U_D$  — tensiunea nominală, în kV;

$S_D$  — sarcina în serie (putere trifazată), în MVA;

$I_D$  — curentul nominal, în kA.

Reactanța de secvență homopolară a unui reactor serie (reactor în aer) este egală cu reactanța de secvență directă:

$$X_{0D} = X_D.$$

### Condensatoare

*Condensatoarele în derivație.* Reactanța capacitivă  $X_C$  și capacitatea  $C$  sînt date de relațiile:

$$X_C = \frac{U_C^2}{Q_C} \quad [\Omega/\text{fază}]; \quad (8.14)$$

$$C = \frac{Q_C}{\omega U_C^2} \quad [\text{F}/\text{fază}], \quad (8.15)$$

în care:  $U_C$  este tensiunea nominală a condensatorului, în kV;

$Q_C$  — puterea condensatorului (putere trifazată), Mvar;

$\omega$  — pulsația rețelei =  $2\pi f$  ( $f$  în Hz).

În sistemul de secvență homopolară capacitățile în derivație intervin numai în cazul legării la pămînt a punctului neutru al stelei bateriei de condensatoare

$$X_{0C} = X_C.$$

*Condensatoare serie.* Reactanța capacitivă  $X_{RC}$  și capacitatea  $C_{RC}$  sînt date de relațiile:

$$X_{RC} = \frac{Q_{RC}}{3 I_{RC}^2} \quad [\Omega/\text{fază}], \quad (8.16)$$

$$C_{RC} = \frac{3 I_{RC}^2}{\omega Q_{RC}} \quad [\text{F}/\text{fază}], \quad (8.17)$$

în care:  $Q_{RC}$  reprezintă sarcina serie a condensatorului (putere trifazată), Mvar;

$I_{RC}$  — curentul nominal de linie al bateriei de condensatoare, în kA.

Reactanța de secvență homopolară a condensatoarelor serie este egală cu reactanța de secvență directă

$$X_{0RC} = X_{RC}.$$

Rezistența de pierderi a condensatoarelor de putere este de obicei neglijabilă, deoarece pierderile constituie numai 0,2–0,5% din puterea nominală a condensatorului.

### Generatoare

Necesare pentru sarcini simetrice în regim staționar: reactanțele sincrone  $X_d$  și  $X_q$ .

Necesare pentru condițiile de regim tranzitoriu, ca de exemplu scurtcircuite: reactanțele supratranzitorii  $X_d''$  și  $X_q''$  și reactanțele tranzitorii  $X_d'$  și  $X_q'$ .

Necesare pentru sarcini nesimetrice: reactanța de secvență inversă  $X_2$  și reactanța de secvență homopolară  $X_0$ .

Reactanțele generatorului sincron sînt examinate la pag. 353 și se pot găsi în special în tabelul 7.2. pag. 357

Rezistența serie a generatoarelor este 0,5–10% din reactanța subtranzitorie și se poate de obicei neglija.

### Circuite compuse

Pentru circuite care constau din mai multe elemente componente este util să se lucreze cu impedanța echivalentă a unui circuit simplificat, dedus din circuitul origina

și avînd aceeași impedanță efectivă. Circuitul se simplifică prin combinarea elementelor componente legate în paralel (formule la pag. 217), iar rețelele se transformă cu ajutorul transfigurării triunghi-stea (formule la pag. 233).

În cazul cînd calculele trebuie efectuate asupra unui sistem care conține diverse trepte de tensiune, se recomandă să se utilizeze o tensiune de referință pentru întregul sistem. În acest caz transformatoarele se tratează ca transformatoare cu raportul de transformare 1 : 1.

Impedanțele tuturor, elementelor sistemului trebuie raportate la tensiunea de referință, fiind necesar să se folosească raportul de transformare real la mers în gol al transformatorului. În cazul alegerii rețelei 1 din fig. 8.5 ca rețea de referință, im-

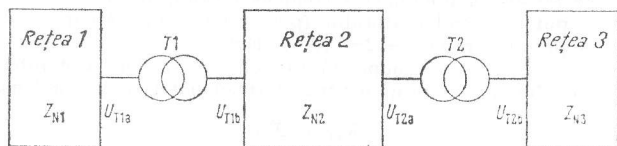


Fig. 8.5. Sistem cu mai multe trepte de tensiuni

pedanțele  $Z_N$  ale elementelor din diversele rețele separate care au fost calculate cu ajutorul tensiunii lor nominale pot fi raportate după cum urmează:

rețeaua 1:  $Z_{N1}$  (fără raportare);

rețeaua 2:  $Z'_{N2} = Z_{N2} \left( \frac{U_{T1a}}{U_{T1b}} \right)^2$ ;

rețeaua 3:  $Z'_{N3} = Z_{N3} \left( \frac{U_{T1a}}{U_{T1b}} \right)^2 \left( \frac{U_{T2a}}{U_{T2b}} \right)^2$ ,

unde  $U_{T1a}$  și  $U_{T1b}$ , precum și  $U_{T2a}$  și  $U_{T2b}$  sînt tensiunile de mers în gol ale transformatoarelor  $T_1$  și  $T_2$ .

Tensiunile generatoarelor  $U_G$  din rețele se raportează după cum urmează:

rețeaua 1:  $U_{G1}$  (fără raportare);

rețeaua 2:  $U'_{G2} = U_{G2} \frac{U_{T1a}}{U_{T1b}}$ ;

rețeaua 3:  $U'_{G3} = U_{G3} \frac{U_{T1a}}{U_{T1b}} \cdot \frac{U_{T2a}}{U_{T2b}}$ .

După calcularea sistemului complet, curenții și tensiunile reale  $I_N$  și  $U_N$  din diversele rețele se obțin din valorile calculate ale curenților și tensiunilor  $I'_N$  și  $U'_N$  cu ajutorul următoarelor relații:

rețeaua 1:  $I_{N1} = I'_{N1}$ ;

$U_{N1} = U'_{N1}$  (fără transformare);

rețeaua 2:  $I_{N2} = I'_{N2} \frac{U_{T1a}}{U_{T1b}}$ ;

$U_{N2} = U'_{N2} \frac{U_{T1b}}{U_{T1a}}$ ;

rețeaua 3:  $I_{N3} = I'_{N3} \frac{U_{T1a}}{U_{T1b}} \cdot \frac{U_{T2a}}{U_{T2b}}$ ,

$U_{N3} = U'_{N3} \frac{U_{T1b}}{U_{T1a}} \cdot \frac{U_{T2b}}{U_{T2a}}$ .

### Exemple

#### Linii de înaltă tensiune cu sarcini multiple

O metodă suficient de exactă pentru calculul liniilor de înaltă tensiune cu sarcini multiple prin folosirea circuitelor echivalente este explicată în tabelul 8.1 pentru exemplul din fig. 8.6. Sarcinile sînt simetrice, astfel încît se aplică numai sistemul de secvență directă. Impedanțele figurate sînt raportate la tensiunea de 110 kV.

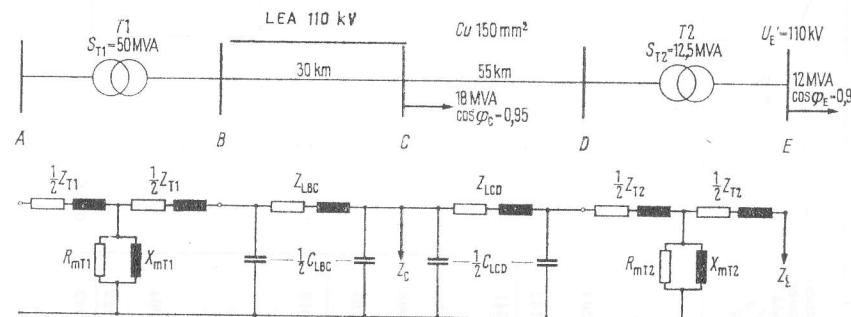


Fig. 8.6. Reprezentare schematică și circuitul echivalent al unui sistem de transport cu sarcini multiple.

#### Transformator $T_2$

(valori raportate la 110 kV)

$S_{T2} = 12,5 \text{ MVA}$ ;

$R_{T2} = 6,8 \Omega$ ;

$u_{rT2} = 0,7\%$ ;

$X_{T2} = 106 \Omega$ ;

$u_{xT2} = 11\%$ ;

$R_{mT2} = 504 \cdot 10^3 \Omega$ ;

$V_{mT2} = 24 \text{ kW}$ ;

$X_{mT2} = 46,1 \cdot 10^3 \Omega$

$i_{mT2} = 2,1\%$ ;

#### Linii aeriene

#### Linia CD

#### Linia BC

$R'_L = 0,119 \Omega/\text{km}$ ;

$R_{LCD} = 6,55 \Omega$ ;

$R_{LBC} = 3,57 \Omega$ ;

$X'_L = 0,40 \Omega/\text{km}$ ;

$X_{LCD} = 22,0 \Omega$ ;

$X_{LBC} = 12,0 \Omega$ ;

$C'_L = 9,2 \text{ nF/km}$ ;

$C_{LCD} = 506 \text{ nF}$ ;

$C_{LBC} = 276 \text{ nF}$ ;

$X_{cLCD} = 6,3 \cdot 10^3 \Omega$

$X_{cLBC} = 11,6 \cdot 10^3 \Omega$ .



Tabelul 8.1. Calculul liniilor de transport cu sarcini multiple

Rîndul		Parametrii elementelor rețelei	Tensiunea longitudi- nală $U_l$ V	Tensiunea transver- sală $U_q$ V	$\operatorname{tg} \delta$	$\cos \varphi$	Putere activă $P$ kW	Putere reactivă $Q$ kvar
1	$U_E$	Sarcina E	110 000			0,90	10 800	5230
2		$\frac{1}{2} R_{T2} = 3,4 \Omega$	334	5203			33	511
3		$\frac{1}{2} X_{T2} = 53,0 \Omega$	2520	—162			8	120
4		$\begin{cases} R_{mT2} = 504 \cdot 10^3 \Omega \\ X_{mT2} = 46,1 \cdot 10^3 \Omega \end{cases}$	112 854	5041	0,045		25	277
5			113				10 866	6138
6	$U_{T2}$		112 967				31	490
7		$\frac{1}{2} R_{T2} = 3,4 \Omega$	327	5098			10	156
8		$\frac{1}{2} X_{T2} = 53 \Omega$	2880	—185			10 907	6784
9			116 174	4913	0,042			
10			104					
11	$U_D$	$2 X_{cLCD} = 12,6 \cdot 10^3 \Omega$	116 278					—1073
12							10 907	5711
13		$R_{LCD} = 6,55 \Omega$	614	2064			58	194
14		$X_{LCD} = 22 \Omega$	1081	—322			16	53
15			117 973	1742	0,015		10 981	5958
16		$2 X_{cLCD} = 12,6 \cdot 10^3 \Omega$	13					—1105

17	$U_C$	Sarcina C	117 986			0,95	10 981	4853
18							17 100	5616
19		$2 X_{cLBC} = 23,2 \cdot 10^3 \Omega$					28 081	10 469
20								—600
21							28 081	9869
22		$R_{LBC} = 3,57 \Omega$	850	2856			202	680
23		$X_{LBC} = 12,0 \Omega$	1 004	—299			25	84
24			119 840	2557	0,021		28 308	10 633
25		$2 X_{cLBC} = 23,2 \cdot 10^3 \Omega$	27					—619
26	$U_B$		119 867				28 308	10 014
27		$\frac{1}{2} R_{T1} = 0,72 \Omega$	171	3141			40	742
28		$\frac{1}{2} X_{T1} = 13,3 \Omega$	1111	—61			5	93
29			121 149	3080	0,025		79	849
30		$\begin{cases} R_{mT1} = 186 \text{ k} \Omega \\ X_{mT1} = 17,3 \text{ k} \Omega \end{cases}$	39					
31	$U_{T1}$		121 188				28 432	11 698
32		$\frac{1}{2} R_{T1} = 0,72 \Omega$	170	3120			40	732
33		$\frac{1}{2} X_{T1} = 13,3 \Omega$	1284	—70			7	124
34			122 642	3050	0,025			
35			38					
36	$U_A$		122 680				28 494	12 554

Căderea totală de tensiune  $\Delta U = 11,53\%$ .Pierderi totale  $\Delta P = 2,07\%$ .

Transformator $T_1$	(valori raportate la 110 kV)
$S_{T1} = 50 \text{ MVA};$	$R_{T1} = 1,45 \Omega;$
$u_{rT1} = 0,6\%;$	$X_{T1} = 26,6 \Omega;$
$u_{xT1} = 11\%;$	$R_{mT1} = 186 \cdot 10^3 \Omega;$
$V_{mT1} = 65 \text{ kW};$	$X_{mT1} = 17,3 \cdot 10^3 \Omega$
$i_{mT1} = 1,4\%$	

Elaborarea tabelului 8.1 (în următoarele formule se vor introduce tensiunile în V, puterile în kVA și rezistențele în  $\Omega$ ).

Rîndul 1, coloana 3	tensiunea în punctul E, în V
coloana 7 și 8	puterea activă și puterea reactivă a sarcinii din punctul E, în kW sau kvar
Rîndul 2, coloana 3	tensiunea longitudinală $U_1$ , în V
	$\frac{P}{U_E} \frac{1}{2} R_{T2} \cdot 10^3$
coloana 4	tensiunea transversală $U_q$ , în V
	$\frac{P}{U_E} \frac{1}{2} X_{T2} \cdot 10^3$
coloana 7	pierderi, în kW
	$\left(\frac{P}{U_E}\right)^2 \frac{1}{2} R_{T2} \cdot 10^3$
coloana 8	consumul de putere reactivă, în kvar
	$\left(\frac{P}{U_E}\right)^2 \frac{1}{2} X_{T2} \cdot 10^3$
Rîndul 3, coloana 3	tensiunea longitudinală $U_1$ , în V
	$\frac{Q}{U_E} \frac{1}{2} X_{T2} \cdot 10^3$
coloana 4	tensiunea transversală $U_q$ , în V
	$-\frac{Q}{U_E} \frac{1}{2} R_{T2} \cdot 10^3$
coloana 7	pierderi, în kW
	$\left(\frac{Q}{U_E}\right)^2 \frac{1}{2} R_{I2} \cdot 10^3$

coloana 8	consumul de putere reactivă, în kvar
	$\left(\frac{Q}{U_E}\right)^2 \frac{1}{2} X_{T2} \cdot 10^3$
Rîndul 4,	suma tensiunilor pentru $U_1$ și $U_q$ , $\text{tg } \delta = U_q/U_1$
Rîndul 5, coloana 3	creșterea tensiunii longitudinale corespunzătoare deplasării fazorului tensiune
	$U_1 \frac{1}{2} \text{tg}^2 \delta$
coloana 7	pierderile în fier ale transformatorului, în kW
	$\frac{U_{T2}^2}{R_{mT2} \cdot 10^3}$
coloana 8	puterea reactivă de magnetizare a transformatorului, în kvar
	$\frac{U_{T2}^2}{X_{mT2} \cdot 10^3}$
Rîndul 6, coloana 3	tensiunea longitudinală în punctul median al transformatorului $T_2$ și
coloanele 7 și 8	suma puterilor activă și reactivă
Rîndurile 7 și 8	tensiunile și puterile la impedența
	$\frac{1}{2} Z_{T2}$ , ca la rîndurile 2 și 3
Rîndul 9	sumele tensiunilor și puterilor, $\text{tg } \delta_D = U_{qD}/U_{ID}$
Rîndul 10, coloana 3	creșterea tensiunii pe fază, în V
	$U_{ID} \frac{1}{2} \text{tg}^2 \delta_D$
Rîndul 11, coloana 3	tensiunea longitudinală în punctul D
coloana 8	jumătate din puterea capacitivă datorită liniei CD, în kvar
	$-\frac{U_D^2}{2X_{LCD} \cdot 10^3}$
Rîndul 12	suma puterilor
Rîndurile 13 și 14	ca rîndurile 2 și 3 sau 7 și 8, folosind tensiunea din rîndul 11, puterile din rîndul 12 și impedența liniei CD
Rîndul 15	suma tensiunilor și puterilor, $\text{tg } \delta_C = U_{qC}/U_{1C}$

Rîndul 16, coloana 3 creșterea tensiunii longitudinale, în V  

$$U_{1C} \frac{1}{2} \operatorname{tg}^2 \delta_C$$
  
 coloana 8 jumătate din puterea capacivă datorită liniei CD, în kvar  

$$-\frac{U_C^2}{2X_{CLCD} \cdot 10^3}$$

Rîndul 17 tensiunea longitudinală în punctul C și suma puterilor  
 Se continuă apoi calculul spre punctul A în mod similar.

#### Linie cu condensator serie

În tabelul 8.2 se prezintă un exemplu de calcul al unei linii de înaltă tensiune cu sarcini multiple, care conține un condensator serie pentru ameliorarea reglajului tensiunii. Pentru un curent  $I = \frac{25}{\sqrt{3} \cdot 56 \cdot 0,8} = 0,322$  kA s-a ales un condensator serie, trifazat, de 4,50 Mvar. Conform ecuației (8.16), reactanța capacivă a acestui condensator serie este  $X_{RC} = 4,5/(3 \cdot 0,322^2)$ , adică 14,46  $\Omega$  pe fiecare conductor. Restul calculelor se efectuează în mod similar cu cele din tabelul 8.1.

#### Factorul de sarcin: și factorul de pierderi

$$G_s = \frac{A_u}{P_{max} t} \quad \text{factorul de sarcină (durata de utilizare a sarcinii maxime)}$$

$$G_V = \frac{A_v}{V_{max} t} \quad \text{factorul de pierderi}$$

unde:  $P_{max}$  este puterea maximă transportată (sarcina de vîrf) într-o anumită perioadă, în MW;

$t$  — durata perioadei, în h;

$A_u$  — energia transportată în timpul  $t$ , în MWh;

$V_{max}$  — pierderile de putere la o sarcină cu putere aparentă  $S_{max}$ ;

$A_v$  — pierderile de energie în perioada  $t$ .

Pentru relația  $G_V = f(G_S)$  nu există o singură curbă corectă pentru fiecare caz care să țină seama de efectul factorului de putere și al fluctuației sarcinii ci numai o plajă, după cum se vede în fig. 8.7. Lățimea plajei este dată de relația  $G_V = (G_S)$ . Indicele 1 este valabil pentru o curbă de sarcină care conține numai valorile  $P = P_{max}$  și  $P = 0$ . O curbă de sarcină pentru indicele 2 ar avea puterea  $P_{max}$  pentru o foarte scurtă perioadă de timp, în restul timpului existînd o sarcină constantă. Curba trasată cu linie groasă se poate folosi cu suficientă precizie în majoritatea condițiilor apărute în practică (corespunde aproximativ unui indice de 1,6).

Prin referire la perioada de 1 an = 8760 h, se obține din  $G_S$  și  $G_V$  următoarele: durata de utilizare anuală echivalentă a puterii maxime

$$t_B = G_S \cdot 8760 \text{ h} = \frac{A_u}{P_{max}}$$

durata anuală echivalentă a pierderilor maxime<sup>1)</sup>

$$t_V = G_V \cdot 8760 \text{ h} = \frac{A_v}{V_{max}}$$

<sup>1)</sup> Metoda uzuală în România constă în determinarea timpului de pierderi  $\tau$ , în funcție de  $G_S$  (denumit  $T_{max}$ ) și de factorul de putere al consumului (v. N. V. Boțan ș. a. Rețelele electrice — Calculul electric. Editura tehnică, 1961, pag. 247).

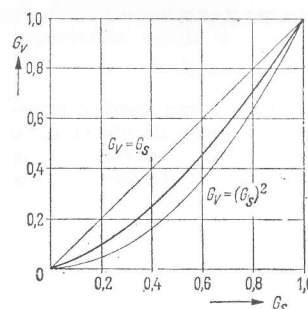


Fig. 8.7. Factorul de pierderi în funcție de factorul de sarcină

Tabelul 8.2. Linie de transport cu condensator serie

Linii	Linii de transport și sarcini					
	Tensiunea longitudinală $U_1$ V	Tensiunea transversală V	$\frac{1}{2} \operatorname{tg}^2 \delta$	$\cos \varphi$	Putere activă P kW	Putere reactivă Q kvar
Punctul C $X_{RC} = -14,46 \Omega$	56 000 - 4841	- 6455		0,8	25 000 -	18 750 - 4500
$2 X_{CLBC} = 16,3 \cdot 10^3 \Omega$	51 159 407		0,008		-	14 250 - 161
$R_{LBC} = 6,49 \Omega$	51 566 3146	8339			25 000 1525	14 089 4043
$LBC = 17,2 \Omega$	4699	- 1773			484	1284
$2 X_{CLBC} = 16,3 \cdot 10^3 \Omega$	59 411 363	6566	0,006		27 009 -	19 416 - 219
Punctul B $2 X_{CLAB} = 35 \cdot 10^3 \Omega$	59 774			0,8	27 009 1500	19 197 1125
$R_{LAB} = 3,02 \Omega$	59 774				28 509 -	20 322 - 102
$LAB = 8,0 \Omega$	1440 2706	3815 - 1022			28 509 687 346	20 220 1820 916
$2 X_{CLAB} = 35 \cdot 10^3 \Omega$	63 920 61	2793	0,001		29 542 -	22 956 - 117
Punctul A	63 981				29 542	22 839

## 8.2. CURENȚI DE SCURTCIRCUIT ÎN SISTEME TRIFAZATE

## 8.2.1. Calculul curenților de scurtcircuit

În cazul unui scurtcircuit la bornele generatoarelor trifazate sau după o impedanță echivalentă de sistem, apar curenți de scurtcircuit care încep de obicei cu o valoare ridicată, de șoc, dar care descresc pînă la o valoare de regim permanent, în concordanță cu constantele de timp ale circuitelor. Curba care reprezintă acest proces este dată în figura 8.8.

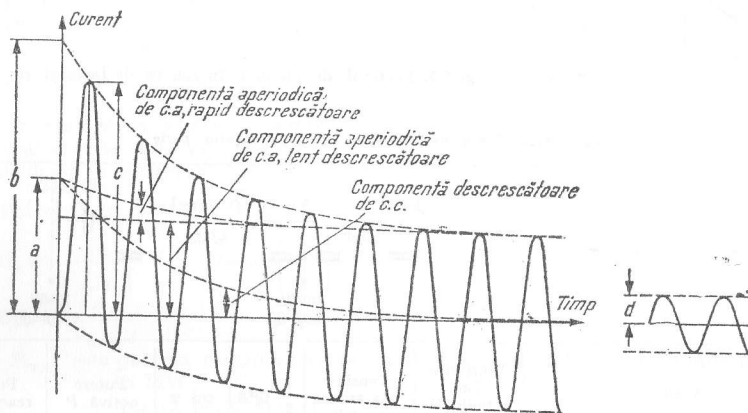


Fig. 8.8. Variație tip pentru curentul de scurtcircuit în momentul cel mai defavorabil de închidere a circuitului:

$a$  — valoarea inițială a componentei aperiodice de c.c.  $I_g$ ;  $b/2\sqrt{2}$  — curentul simetric inițial de scurtcircuit  $I''_k$ ;  $c$  — curentul de șoc de scurtcircuit  $I_s$ ;  $d$  — curentul permanent de scurtcircuit.

Curentul de șoc de scurtcircuit (asimetric)  $I_s$  este valoarea instantanee maximă a acestui curent pentru condiții inițiale de scurtcircuit date și este indicat ca o valoare de vîrf. Pe lîngă componenta de curent alternativ, conține și componenta de curent continuu  $I_g$  care apare la un scurtcircuit brusc. Valoarea  $I_s$  determină eforturile dinamice în părțile componente ale instalației, precum și curentul care trece prin aparatajul de manevră.

$I''_k$  este valoarea efectivă a curentului simetric inițial de scurtcircuit și servește ca bază pentru calcularea curentului de șoc  $I_s$  de scurtcircuit (asimetric) precum și a curentului și puterii de rupere. Curentul de rupere  $I_a$  este valoarea efectivă a componentei de curent alternativ a curentului de scurtcircuit în momentul separării contactelor întreruptorului.

Curentul permanent de scurtcircuit  $I_k$  este curentul simetric care se menține după perioada tranzitorie; el se dă ca valoare efectivă.

Defectele care apar în general în sistemele trifazate și relațiile pentru calculul curentului de scurtcircuit simetric inițial  $I''_k$  sînt indicate în tabelul 8.3. Curentul de

scurtcircuit trifazat este factorul determinant în ceea ce privește alegerea echipamentului și capacitatea sa de a rezista la scurtcircuite.

Tabelul 8.3. Formule pentru unele cazuri de scurtcircuit<sup>1</sup>

Tipul de defect	Formula de calcul
Trifazat 	$I''_{k(3)} = \frac{1,1 U}{\sqrt{3} Z}$
Bifazat 	$I''_{k(2)} = \frac{1,1 U}{2Z}$
Monofazat 	$I''_{k(1)} = \frac{1,1 \sqrt{3} U}{2Z + Z_0 + 3Z_p}$
Bifazat cu pămînt	$I''_{k(pp)} = \frac{1,1 \cdot 3U}{\frac{6Z_I Z_{II} + 2Z_{III} (Z_I + Z_{II})}{Z_I + Z_{II} + Z_{III}}} + Z_{0III}$

<sup>1)</sup> Spre deosebire de modul obișnuit de scriere în manualele din România a formulelor pentru curent,  $U$  reprezintă tensiunea între faze și nu de fază, deci coeficienții sînt micșorați cu  $\sqrt{3}$ .

## Simboluri și definiții

$$I_s = \kappa \sqrt{2} I''_k$$

$$I_a = \mu I''_k$$

$$I_k$$

$$I_{k(3)} = \lambda I_N$$

$$I_{k(2)} = \sqrt{3} \lambda I_N$$

$$I_{k(1)} = 3 \lambda I_N$$

$$S''_k = I''_k \sqrt{3} U$$

$$S_a = I_a \sqrt{3} U$$

$$Z = \sqrt{R^2 + X^2}$$

$$Z_0 = \sqrt{R_0^2 + X_0^2}$$

$$Z_p = \sqrt{R_p^2 + X_p^2}$$

curentul de șoc de scurtcircuit (asimetric), în kA;

curentul de rupere în kA;

curentul permanent de scurtcircuit, în kA;

$I_N$  curentul nominal al generatorului, în kA;

puterea inițială simetrică de scurtcircuit;

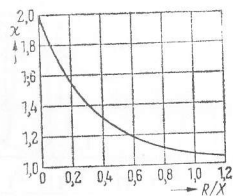
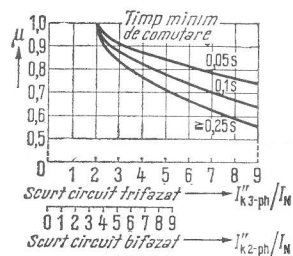
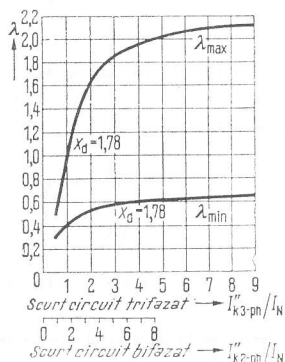
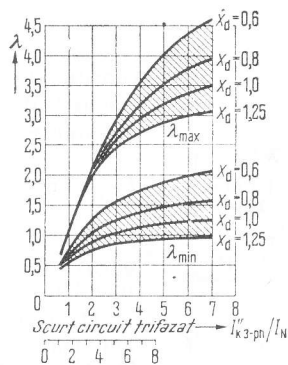
puterea de rupere;

impedanța de secvență directă a căii de scurtcircuit, în  $\Omega$ /conductor;

impedanța de secvență homopolară a căii de scurtcircuit, în  $\Omega$ /conductor;

impedanța pămîntului în  $\Omega$ ,

- unde:  $U$  este tensiunea nominală a sistemului (tensiunea între faze), în kV;  
 $R$  — rezistențe;  $X$  — reactanțe inductive;  
 $\kappa$  — factor, care indică efectul componentei aperiodice de curent continuu; depinde de raportul  $R/X$  al căii de scurtcircuit și se poate determina din fig. 8.9;  
 $\mu$  — factor care determină descreșterea curentului inițial simetric de scurtcircuit pînă la începutul separării contactelor; depinde de raportul  $I_k''/I_N$  al generatorului și se poate determina din fig. 8.10;  
 $\lambda$  — factor care permite determinarea mărimii curentului de scurtcircuit  $I_k$  din raportul  $I_k''/I_N$ . Curbele  $\lambda$  din fig. 8.11 și 8.12 sînt construite pentru generatoare la plină sarcină și la excitație de mers în gol, presupunînd valori uzuale pentru  $x_d''$ ,  $x_d'$  și  $x_d$ .

Fig. 8.9. Factorul  $\kappa$ .Fig. 8.10. Factorii  $\mu$ .Fig. 8.11. Factorii  $\lambda$  pentru turbogeneratoare.Fig. 8.12. Factorii  $\lambda$  pentru generatoare cu poli aparenti.

### Valorile impedanțelor elementelor circuitului

Impedanța de secvență directă a elementelor simetrice este impedanța măsurată în condiții de sarcină simetrică și este deci egală cu impedanța pe fază a liniilor, impedanța de scurtcircuit a transformatoarelor și reactoarelor și impedanța efectivă a generatorului în momentul scurtcircuitului.

Impedanța de secvență homopolară este impedanța care rezultă atunci cînd cele trei faze ale sistemului trifazat sînt legate în paralel și li se aplică o tensiune alternativă monofazată; ea trebuie luată în considerație numai pentru acele părți ale sistemului în care poate circula un curent de secvență homopolară printr-un punct de defect la pămînt sau prin conductorul neutru; de exemplu, în cazul unui defect monofazat la pămînt, curentul circulă între locul defectului și steaua pusă la pămînt, în cazul elementelor de rețea legate rigid la pămînt. În cazul unui defect bifazat la pămînt într-un sistem cu neutru izolat curentul circulă între cele două puncte de defect.

Generatoare (v. și pag. 357 tabelul 7.2).

Rezistența armăturii  $R_G$  neglijabilă

$$\frac{R_G}{X_d''} \approx 0,03$$

$$X_d'' = \frac{x_d'' U_G^2}{100 S_G} [\Omega/\text{fază}],$$

unde:  $X_d''$  este reactanța supratranzitorie, în  $\Omega$ ;

$S_G$  — puterea nominală a generatorului, în MVA;

$U_G$  — tensiunea nominală a generatorului, în kV;

$x_d''$  — reactanța supratranzitorie a generatorului, în %.

Valori medii pentru  $x_d''$ :

— aproximativ 12% pentru turbogeneratoare (v. pag. 357);

— aproximativ 20% pentru generatoare cu poli aparenti.

Pentru calculele de scurtcircuit, generatoarele funcționînd în paralel și avînd puteri nominale diferite, dar aceleași reactanțe supratranzitorii, pot fi reprezentate printr-un generator echivalent avînd puterea egală cu suma puterilor fiecărui generator.

### Motoare sincrone

Din punctul de vedere al calculului, motoarele sincrone se tratează în același mod ca și generatoarele.

### Motoare asincrone

În cazul scurtcircuitelor trifazate la care participă motoare asincrone trebuie determinată contribuția acestora la curentul de șoc de scurtcircuit (asimetric) și la curentul de rupere. Reactanța de scăpări a acestor motoare se poate presupune cu aproximație ca fiind 20%. În cazul scurtcircuitelor bifazate, motoarele asincrone dau și un curent de scurtcircuit permanent.



Transformatoare cu două înfășurări

Rezistența

$$R_T = \frac{u_r U_T^2}{100 S_T} [\Omega/\text{fază}],$$

reactanța

$$X_T = \frac{u_x U_T^2}{100 S_T} [\Omega/\text{fază}],$$

unde:  $S_T$  este puterea nominală a transformatorului, în MVA;

$U_T$  — tensiunea nominală a transformatorului, în kV;

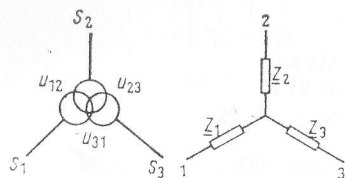
$u_r$  — căderea de tensiune rezistivă (pierderi de scurtcircuit), în %;

$u_x$  — tensiunea de scăpări, în % ( $u_x = \sqrt{u_k^2 - u_r^2}$ ) unde  $u_k$  este tensiunea de scurtcircuit, în %).

Dacă  $u_k$  este mai mare decât 5%, ea poate fi considerată egală cu  $u_x$ . De obicei  $R_T$  este neglijabilă pentru transformatoarele mari. Pentru valori caracteristice ale lui  $u_k$  și  $u_r$ , vezi tabelele 8.15 și 8.18.

Impedanța de secvență homopolară a transformatoarelor depinde de tipul conexiunii. Pentru valori v. pag. 481.

Transformatoare cu trei înfășurări



$$Z_1 = \left( \frac{u_{12}}{S_{12}} + \frac{u_{31}}{S_{31}} - \frac{u_{23}}{S_{23}} \right) \frac{U_N^2}{2 \cdot 100} [\Omega/\text{fază}];$$

$$Z_2 = \left( \frac{u_{23}}{S_{23}} + \frac{u_{12}}{S_{12}} - \frac{u_{31}}{S_{31}} \right) \frac{U_N^2}{2 \cdot 100} [\Omega/\text{fază}];$$

$$Z_3 = \left( \frac{u_{31}}{S_{31}} + \frac{u_{23}}{S_{23}} - \frac{u_{12}}{S_{12}} \right) \frac{U_N^2}{2 \cdot 100} [\Omega/\text{fază}].$$

unde:  $u_{12}$  reprezintă

$u_{23}$  — tensiunea de scurtcircuit raportată la  $S_{12}$ , în %;

$u_{31}$  — tensiunea de scurtcircuit raportată la  $S_{23}$ , în %;

$S_{12}, S_{23}, S_{31}$  — tensiunea de scurtcircuit raportată la  $S_{31}$ , în %;

— puterea nominală aparentă a transformatorului.

Reactoare limitatoare de curent

Rezistența  $R_D$  neglijabilă

$$\frac{R_D}{X_D} \approx 0,03.$$

Reactanța inductivă

$$X_D = \frac{u_D U_D}{100 \sqrt{3} I_D} \text{ sau } \frac{u_D U_D^2}{100 S_D} [\Omega/\text{fază}].$$

unde:  $U_D$  este tensiunea nominală a reactorului, în kV;

$u_D$  — căderea de tensiune pe reactanța reactorului în %;

$S_D$  — puterea aparentă a reactorului, în MVA;

$I_D$  — curentul nominal al reactorului, în kA.

Cabluri

Pentru rezistența  $R$ , în  $\Omega/\text{km}$  de conductor v. tabelul 8.42, pag. 553. Pentru reactanța inductivă  $X$ , în  $\Omega/\text{km}$  de conductor v. pag. 554-556. Pentru calcule aproximative se poate folosi o reactanță inductivă medie de  $0,1 \Omega/\text{km}$  conductor. Pentru impedanța de secvență homopolară a cablurilor v. tabelul 8.47 pag. 556.

Linii aeriene

Pentru rezistența  $R$ , în  $\Omega/\text{km}$  de conductor v. tabelul 8.42 pag. 553. Pentru reactanța inductivă  $X$  în  $\Omega/\text{km}$  de conductor v. fig. 8.112, pag. 587. Pentru calcule aproximative se pot folosi pentru reactanța inductivă valorile date mai jos:

$X = 0,4 \Omega/\text{km}$  de conductor, pentru linii cu tensiunea peste 30 kV;

$X = 0,35 \Omega/\text{km}$  de conductor, pentru linii cu tensiunea pînă la 30 kV.

Pentru impedanța de secvență homopolară a liniilor v. tabelul 8.79, pag. 595.

Pentru rezistența curențului închis prin neutru este necesar să se adauge  $0,15 \Omega/\text{km}$  la valorile din tabelul 8.42, pag. 553 (rezistența căii de întoarcere prin pământ).

Bare colectoare și aparataj în stații

Rezistența  $R$  (neglijabilă). Pentru reactanța inductivă  $X$  se poate folosi în calcule aproximative valoarea de  $0,15 \Omega/\text{km}$  de conductor.

În cazul instalațiilor cu tensiunea nominală de peste 1 kV aceste reactanțe se determină rareori, deoarece sînt neglijabile în comparație cu valorile reactanțelor generatoarelor, transformatoarelor și reactoarelor.

Reactanța inductivă a legăturilor la barele colectoare în instalațiile de joasă tensiune nu este însă neglijabilă. În cazul cînd stația are tensiunea nominală pînă la 500 V, la calculul curenților de scurtcircuit trebuie să se țină seama de lungimea legăturilor de pe partea secundară, chiar dacă acestea au o lungime de numai cîțiva metri. În stațiile de joasă tensiune, efectele de limitare ale curențului de scurtcircuit (rezistențe de contact, rezistența de arc) pot ajunge pînă la 30% și mai mult, dar acestea sînt greu, dacă nu imposibil, de evaluat.

Determinarea impedanței echivalente  $Z$  a căii de scurtcircuit

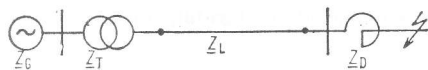
Impedanța se definește după cum urmează:

$$\underline{Z} = Z e^{j\alpha} = Z (\cos \alpha + j \sin \alpha) = R + jX,$$

$$Z = \sqrt{R^2 + X^2}, \alpha = \arctg \frac{X}{R}.$$

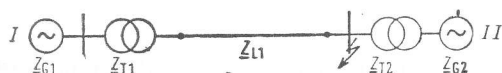
## Cazuri generale de scurtcircuit

a) Scurtcircuit alimentat de o singură sursă



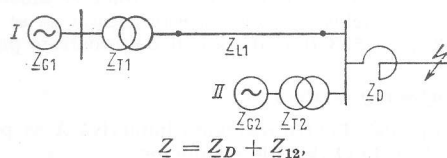
$$Z = Z_G + Z_T + Z_L + Z_D.$$

b) Scurtcircuit alimentat de mai multe surse pe diferite căi de curent



$$Z_1 = Z_{G1} + Z_{T1} + Z_{L1}; \quad Z_2 = Z_{G2} + Z_{T2}; \quad I''_{ktot} = I''_{kI} + I''_{kII}.$$

c) Scurtcircuit alimentat de mai multe surse parțial pe căi comune de curent

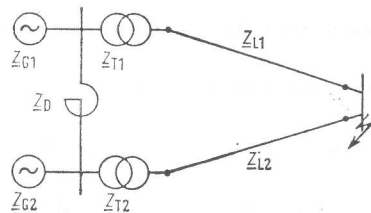


$$Z = Z_D + Z_{12},$$

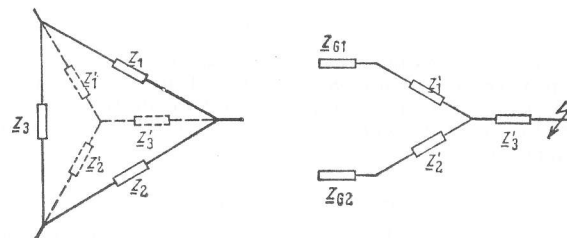
unde:  $Z_{12}$  este impedanța echivalentă a impedanțelor  $Z_1$  și  $Z_2$  legate în paralel.

$$\left. \begin{aligned} \text{Se ia } I''_{kI} &= I''_{ktot} \cdot \frac{Z_{12}}{Z_1} \\ \text{și } I''_{kII} &= I''_{ktot} \cdot \frac{Z_{12}}{Z_2} \end{aligned} \right\} \text{ pentru determinarea coeficienților } \mu.$$

d) Scurtcircuit alimentat de mai multe surse prin sistem de rețele interconectate

Se aplică următoarele relații:  $Z_1 = Z_{T1} + Z_{L1}$ ;  $Z_2 = Z_{T2} + Z_{L2}$ ;  $Z_3 = Z_D$ .

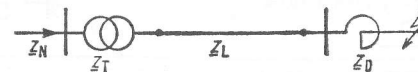
Conexiunile în triunghi se elimină prin transfigurarea triunghi-stea cu valorile reale ale impedanțelor, calculele fiind efectuate în mod obișnuit cu regulile date la pag. 233



Schema circuitului echivalent de mai sus, rezultată din transfigurare, se tratează de aici înainte ca la pag. 414 cazul de scurtcircuit c).

## Caz special I

O parte din sistem este legată la un punct de alimentare cu putere de scurtcircuit cunoscută.



În cazul cînd se cunoaște numai puterea de scurtcircuit într-un punct dat din sistem, în locul puterii generatorului, se poate calcula impedanța sistemului prin care se face alimentarea scurtcircuitului din expresia

$$Z_N = \frac{1,1 U^2}{S_k''} [\Omega/\text{conductor}],$$

$$Z = Z_N + Z_T + Z_L + Z_D.$$

Sistemele cu conexiuni în triunghi, sau cele cu mai multe surse se tratează în modul expus la p. 414 ultimul exemplu însă pentru punctul de alimentare cu o putere de scurtcircuit cunoscută, nu trebuie să se determine coeficienții  $\mu$  și  $\lambda$ .

## Caz special II

Sisteme cu mai multe trepte de tensiuni.

În cazul acesta, toate impedanțele trebuie să fie raportate la o tensiune aleasă ca referință, care poate fi una din tensiunile sistemului, sau oricare altă tensiune. Impedanță  $Z_1$ , determinată pentru tensiunea de sistem  $U_1$ , devine  $Z_2$  la tensiunea de referință  $U_2$ , unde

$$Z_2 = Z_1 \left( \frac{U_2}{U_1} \right)^2.$$

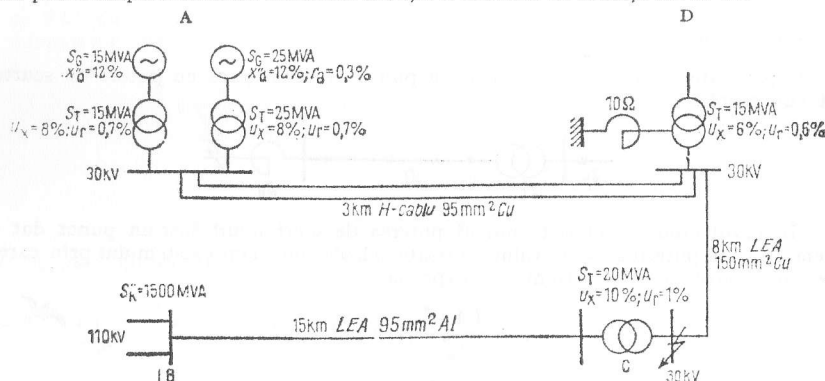
Pentru a obține curenții corespunzători tensiunii reale a sistemului, curenții determinați pentru tensiunea de referință trebuie să fie transformați conform relației

$$I_1 = I_2 \frac{U_2}{U_1}$$

Se recomandă a se raporta impedanțele generatoarelor, transformatoarelor și reactoarelor la tensiunea de sistem chiar din punctul de scurtcircuit, astfel încât să fie necesară numai o singură transformare a impedanțelor de linie. De aceea, ori de câte ori se efectuează un calcul de scurtcircuit este necesar să se specifice la ce tensiune sînt raportate impedanțele.

#### Exemplu de calcul de scurtcircuit

Centrala A este legată la sistemul de înaltă tensiune din B prin intermediul unor linii în cablu și aeriene; se cere să se determine curenții de scurtcircuit de pe barele colectoare de 30 kV ale stației de transformare din C — la defect trifazat și la defect monofazat. Punctul neutru al sistemului este legat la pămînt la transformatorul Dy din stația D, prin intermediul unei reactanțe inductive de  $10 \Omega$  ( $R/X = 0,03$ ). Timpul minim pînă la începerea deschiderii contactelor este 0,25 s. Tensiunea de referință este 30 kV.



#### Determinarea impedanțelor de secvență directă și homopolară

Impedanțele generatoarelor și transformatoarelor din centrala A. Deoarece generatoarele au aceleași reactanțe supratranzistorii și sînt conectate direct la transformatoare, impedanța echivalentă se poate determina din puterea totală și reactanța totală:

$$X_{GT} = \frac{(12 + 8) \cdot 30^2}{100 \cdot 40} = 4,5 \Omega/\text{fază};$$

$$R_{GT} = \frac{(0,3 + 0,7) \cdot 30^2}{100 \cdot 40} = 0,23 \Omega/\text{fază}.$$

Linia dublă în cablu, de 3 km, 95 mm², Cu

$$R_K = \frac{0,2}{2} \cdot 3 = 0,3 \Omega/\text{conductor};$$

$$X_K = \frac{0,126}{2} \cdot 3 = 0,19 \Omega/\text{conductor}$$

LEA de 8 km, 150 mm², Cu

$$R_L = 0,12 \cdot 8 = 0,96 \Omega/\text{conductor};$$

$$X_L = 0,35 \cdot 8 = 2,80 \Omega/\text{conductor}.$$

Impedanța transformatorului din stația C

$$R_T = \frac{1 \cdot 30^2}{100 \cdot 20} = 0,45 \Omega/\text{fază};$$

$$X_T = \frac{10 \cdot 30^2}{100 \cdot 20} = 4,5 \Omega/\text{fază}.$$

LEA de 15 km, 95 mm², Al

$$R_L = 0,32 \cdot 15 \left( \frac{30}{110} \right)^2 = 0,36 \Omega/\text{conductor};$$

$$X_L = 0,41 \cdot 15 \left( \frac{30}{110} \right)^2 = 0,46 \Omega/\text{conductor}.$$

Impedanța sistemului de înaltă tensiune pînă la punctul B

$$Z_N \approx X_N = \frac{1,1 \cdot 30^2}{1500} = 0,66 \Omega/\text{fază}.$$

Pentru a determina curenții de scurtcircuit monofazat, în afară de aceste impedanțe de secvență directă sînt necesare valorile impedanțelor de secvență homopolară ale sistemului, între punctul de legare la pămînt și punctul de defect.

Impedanța de punere la pămînt la transformatorul D

$$3R_E = 0,9 \Omega/\text{fază};$$

$$3X_E = 30 \Omega/\text{fază}.$$

Impedanța de secvență homopolară a transformatorului D

$$R_{0T} = \frac{0,6 \cdot 30^2}{100 \cdot 15} = 0,36 \Omega/\text{fază};$$

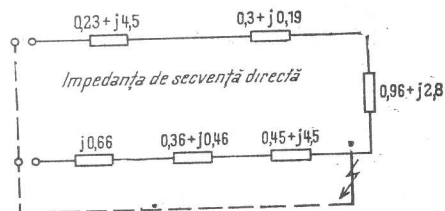
$$X_{0T} = \frac{6 \cdot 30^2}{100 \cdot 15} = 3,6 \Omega/\text{fază}.$$

Impedanța de secvență homopolară a LEA de 8 km, 150 mm², Cu, conform tabelului 8.79, pag. 595.

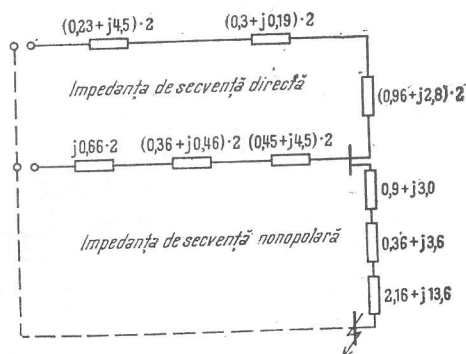
$$R_{0L} = (0,12 + 0,15) \cdot 8 = 2,16 \Omega/\text{conductor};$$

$$X_{0L} = 1,7 \cdot 8 = 13,6 \Omega/\text{conductor}.$$

Circuit echivalent pentru determinarea scurtcircuitului trifazat



Circuit echivalent pentru determinarea componentelor scurtcircuitului monofazat.



Determinarea valorilor curenților de scurtcircuit trifazat

Aportul centralei A

Impedanța echivalentă pînă la punctul de defect

$$\begin{array}{r} 0,23 + j 4,5 \\ 0,30 + j 0,19 \\ 0,96 + j 2,80 \\ \hline 1,49 + j 7,49 \end{array}$$

$$Z_A = 1,49 + j 7,49 \Omega/\text{fază}.$$

$$Z_A = \sqrt{1,49^2 + 7,49^2} = 7,64 \Omega/\text{fază}.$$

Astfel curenții inițiali simetrici de scurtcircuit devine

$$I''_{kA} = \frac{1,1 \cdot 30}{\sqrt{3} \cdot 7,64} = 2,5 \text{ kA}.$$

Mai departe se calculează:

$$\frac{R}{X} = \frac{1,49}{7,49} = 0,2; \quad x = 1,54;$$

$$I_{sA} = 1,54 \sqrt{2} \cdot 2,5 = 5,45 \text{ kA}.$$

Curentul nominal al generatoarelor din centrala A (raportat la 30 kV) este

$$I_{NA} = \frac{40}{\sqrt{3} \cdot 30} = 0,77 \text{ kA}.$$

Deoarece pentru  $\frac{I''_{kA}}{I_{NA}} = \frac{2,5}{0,77} = 3,24$  se obține conform fig. 8.10, valoarea  $\mu = 0,81$ , curenții

trifazați de rupere devine

$$I_{aA} = 0,81 \cdot 2,5 = 2,02 \text{ kA}.$$

Aportul sistemului de înaltă tensiune din punctul B.

Impedanța totală pînă la punctul de defect devine în acest caz

$$\begin{array}{r} 0,45 + j 4,5 \\ 0,36 + j 0,46 \\ 0,02 + j 0,66 \\ \hline 0,83 + j 5,62 \end{array}$$

$$Z_B = 0,83 + j 5,62 \quad \Omega/\text{fază}.$$

$$Z_B = \sqrt{0,83^2 + 5,62^2} = 5,68 \Omega/\text{fază}.$$

Astfel

$$I''_{kB} = \frac{1,1 \cdot 30}{\sqrt{3} \cdot 5,68} = 3,35 \text{ kA}.$$

În cazul curenților de scurtcircuit din sistemul de înaltă tensiune

$$\frac{R}{X} = \frac{0,83}{5,62} = 0,148; \quad x = 1,63;$$

avem

$$\mu_1 = 1, \text{ astfel că } I_{aB} = I''_{kB}.$$

Valorile totale ale curenților și puterii de scurtcircuit în punctul C

$$I_{sB} = 1,63 \sqrt{2} \cdot 3,35 = 7,71 \text{ kA};$$

$$I''_{ktot} = 2,5 + 3,35 = 5,85 \text{ kA};$$

$$I_{a tot} = 2,02 + 3,35 = 5,37 \text{ kA};$$

$$I_{s tot} = 5,45 + 7,71 = 13,16 \text{ kA}$$

$$S_a = \sqrt{3} \cdot 5,37 \cdot 30 = 279 \text{ MVA}.$$

## Determinarea curentului de scurtcircuit monofazat

După cum se poate vedea din circuitul echivalent, impedanțele de secvență directă  $Z_A$  și  $Z_B$  trebuie conectate în acest caz, în paralel, impedanțele din circuitul de secvență homopolară trebuind să fie adăugate acestei impedanțe în paralel. În vederea calculării curentului de scurtcircuit monofazat impedanța în paralel a sistemului de secvență directă trebuie să fie dublată<sup>1)</sup>.

Impedanța în paralel este

$$\underline{Z} = \frac{\underline{Z}_A \cdot \underline{Z}_B}{\underline{Z}_A + \underline{Z}_B} = \frac{(1,49 + j 7,49)(0,81 + j 5,62)}{2,3 + j 13,11} = 0,51 + j 3,22 \text{ } \Omega/\text{fază},$$

ar impedanța totală a căii de scurtcircuit este

$$\begin{aligned} \frac{2}{3} \underline{Z} &= 1,02 + j 6,44 & \underline{Z}_{tot} &= 4,44 + j 53,64 \text{ } \Omega/\text{fază}; \\ \underline{Z}_0 &= 2,52 + j 17,2 & \underline{Z}_{tot} &= 53,9 \text{ } \Omega/\text{fază}. \\ \frac{3}{4} \underline{Z}_p &= 0,90 + j 30,0 \end{aligned}$$

Curentul inițial simetric de scurtcircuit monofazat este deci

$$I''_{k(1)} = \frac{1,1 \sqrt{3} \cdot 30}{53,9} = 1,06 \text{ kA}.$$

## 8.2.2. Solicitări termice datorite curentului de scurtcircuit

Solicitarea termică depinde de durata și mărimea curentului de scurtcircuit, care descrește, pornind de la o valoare maximă — curentul de șoc de scurtcircuit (asimetric) — până la valoarea permanentă. Diferențe mari de valori ale curentilor de scurtcircuit sînt remarcate în mod special la scurtcircuitele care se produc în apropierea generatorului. În cazul cînd defectul se produce la mare depărtare, reactanța generatorului devine neînsemnată în comparație cu cea a restului sistemului, curentul de scurtcircuit este practic constant; singura excepție constă în regimul tranzitoriu de la începutul scurtcircuitului provocat de componenta de curent continuu.

Fig. 8.13 ... 8.24 permit dimensionarea cablurilor, liniilor și a aparatului cu suficientă exactitate, ținînd seama de solicitările termice; în acest fel se evită calcule laborioase. Formula pentru secțiunea conductorului  $q$  indicată în diagrame se obține din relația:

$$q = \sqrt{\frac{I_k 1000 \sqrt{t}}{4,184 \frac{c \rho_d}{\rho_r \alpha} \ln[1 + \alpha(\theta_{max} - \theta_1)]}},$$

în care:  $q$ , în mm<sup>2</sup>;  
 $I_k$ , în kA;  
 $t$ , în s;

<sup>1)</sup> Se consideră impedanță de secvență directă egală cu cea de secvență inversă.

$c$  — căldura specifică (v. tabelul 2.11, pag. 59):

pentru Cu 0,0925 cal/g.grd;  
pentru Al 0,217 cal/g.grd;

$\rho_d$  — densitatea (v. tabelul 2.11, pag. 59):

pentru Cu 8,9 g cm<sup>-3</sup>;  
pentru Al 2,7 g cm<sup>-3</sup>;

$\rho_r$  — rezistivitatea, în  $\Omega\text{mm}^2 \text{ m}^{-1}$ , la temperatura  $\theta_1$ ;

$$\rho_r = \rho_{20}[1 + \alpha(\theta_1 - 20)] \text{ (v. tabelul 2.21, pag. 82)}$$

$\rho_{20}$  — rezistivitatea la 20°C;

pentru Cu 0,0178  $\Omega\text{mm}^2 \text{ m}^{-1}$ ;  
pentru Al 0,0286  $\Omega\text{mm}^2 \text{ m}^{-1}$ ;

$\alpha = 0,004$ ;

$\theta_1$  temperatura inițială, în °C;

$\theta_{max}$  temperatura maximă, în °C.

În diagramele din fig. 8.13 ... 8.24 curentul de scurtcircuit este considerat ca o valoare constantă. Pentru a permite folosirea acestei valori constante la scurtcircuite în apropierea generatorului, caz în care curentul variază mult în timpul scurtcircuitului (chiar pentru scurtcircuite cu o durată foarte redusă, cînd componenta de curent continuu este încă eficace din punctul de vedere al încălzirii), trebuie să se introducă o valoare medie efectivă a curentului (v. fig. 8.13). Acest curent produce același efect termic ca și curentul variabil care circulă în realitate.

Acest curent notat cu  $I_{k med}$  se folosește ca o valoare constantă atunci cînd se dimensionează liniile și aparatul.

## Exemplu

Pentru un punct din sistem se dau următoarele valori ale curentului de scurtcircuit:

$$I_s = 60 \text{ kA}; \quad I''_k = 25 \text{ kA}; \quad I_k = 10 \text{ kA}; \quad \text{timp de rupere } t = 0,5 \text{ s}.$$

Care este valoarea lui  $I_{k med}$  care trebuie folosită pentru calculul solicitării termice?

**Rezolvare.** Se calculează coeficientul

$$x = \frac{I_s}{\sqrt{2 \cdot I''_k}} = \frac{60}{\sqrt{2 \cdot 25}} = 1,7$$

și apoi raportul

$$\frac{I''_k}{I_k} = \frac{25}{10} = 2,5.$$

Pentru  $t = 0,5 \text{ s}$  se iau din fig. 8.13 următoarele date:  $m = 0,06$  și  $n = 0,7$ .  
Curentul mediu efectiv este

$$I_{k med} = I''_k \sqrt{m + n} = 25 \sqrt{0,06 + 0,7} = 21,8 \text{ kA}.$$



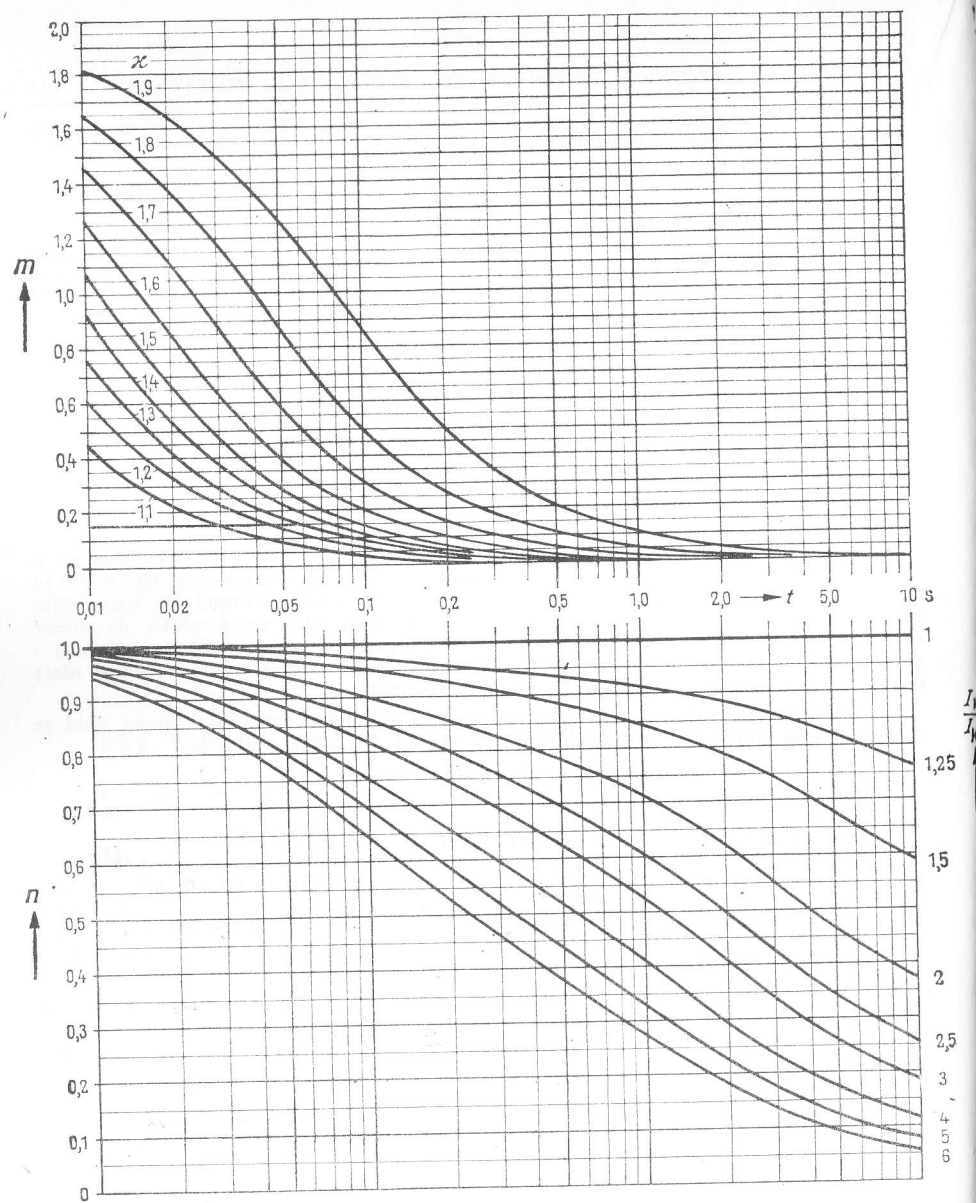


Fig. 8.13. Determinarea curentului mediu efectiv  $I_{k\text{ med}}$  în cursul regimului tranzitoriu al curentului de scurtcircuit, în legătură cu solicitarea termică:

$m$  — influența componentei de curent continuu;  $n$  — influența componentei de curent alternativ.

Notă. Din diagramă se pot obține doi coeficienți de corecție  $m$  și  $n$  ca funcții de cantități cunoscute: curentul inițial simetric de scurtcircuit  $I_k''$ , curentul permanent de scurtcircuit  $I_k$  și coeficientul  $\kappa$ , care împreună cu  $I_k''$  permit calcularea curentului de scurtcircuit.

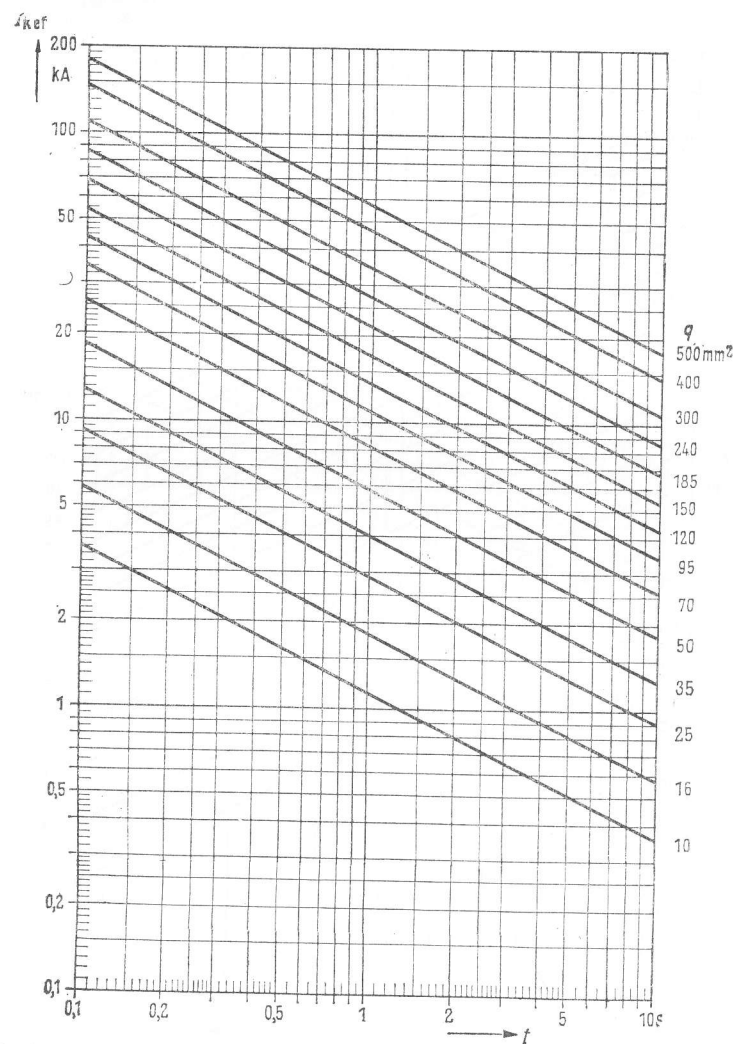


Fig. 8.14. Curenti de scurtcircuit limită termici pentru cabluri de cupru cu tensiuni de funcționare până la 6kV; la o temperatură inițială de sarcină de 65°C și o temperatură maximă de 160°C.  $q = 8,7 \cdot I_k \cdot \sqrt{t}$  [ $\text{mm}^2$ ].

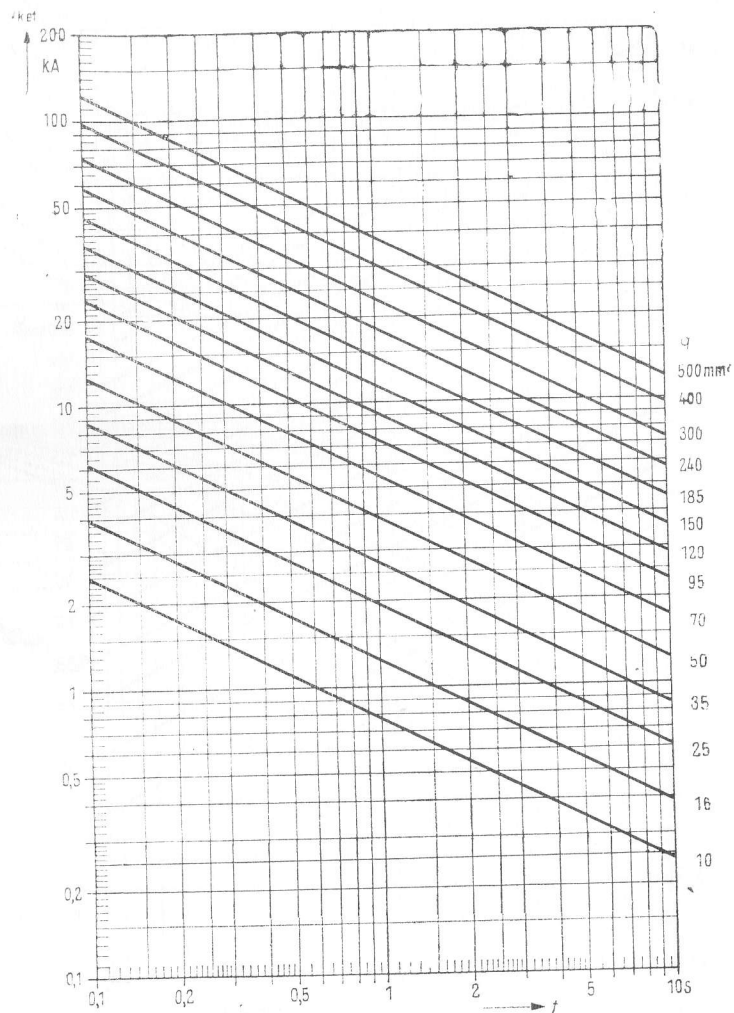


Fig. 8.15. Curenți de scurtcircuit limită termici pentru cabluri de aluminiu cu tensiuni de funcționare pînă la 6 kV, la o temperatură inițială de sarcină de 65°C și o temperatură maximă de 160°C.  $q = 13,1 I_k \cdot \sqrt{t}$  [mm²].

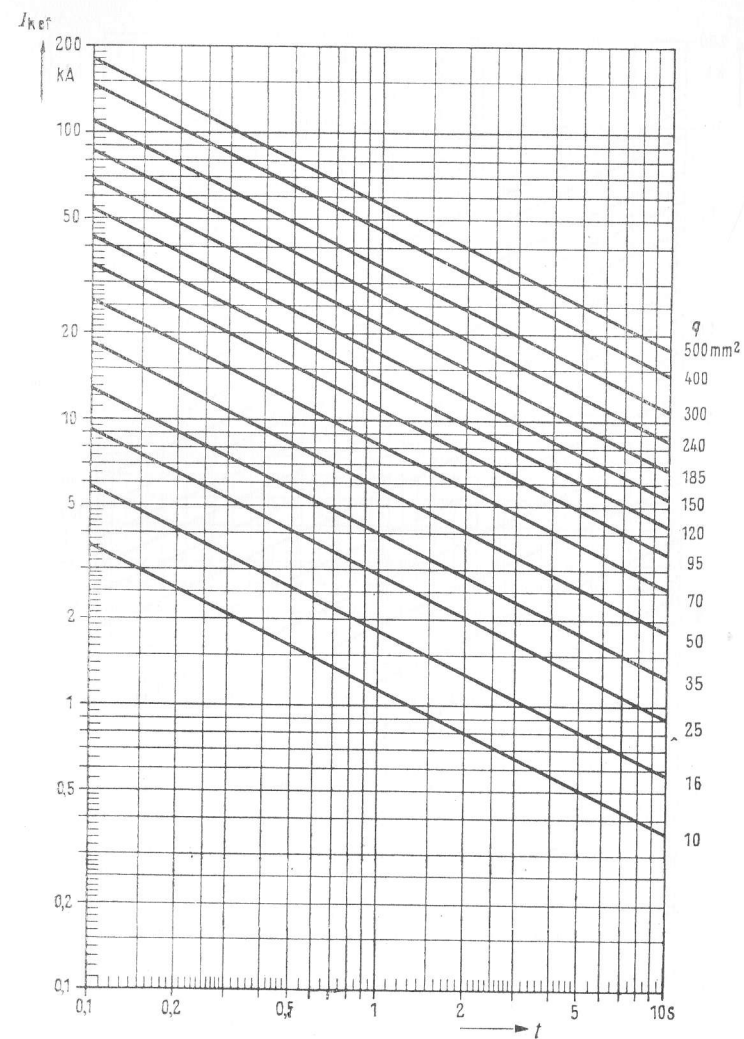


Fig. 8.16. Curenți de scurtcircuit limită termici pentru cabluri de cupru cu tensiuni de funcționare între 10 și 20 kV, la o temperatură inițială de sarcină de 55°C și o temperatură maximă de 140°C.  $q = 9,0 \cdot I_k \cdot \sqrt{t}$  [mm²].

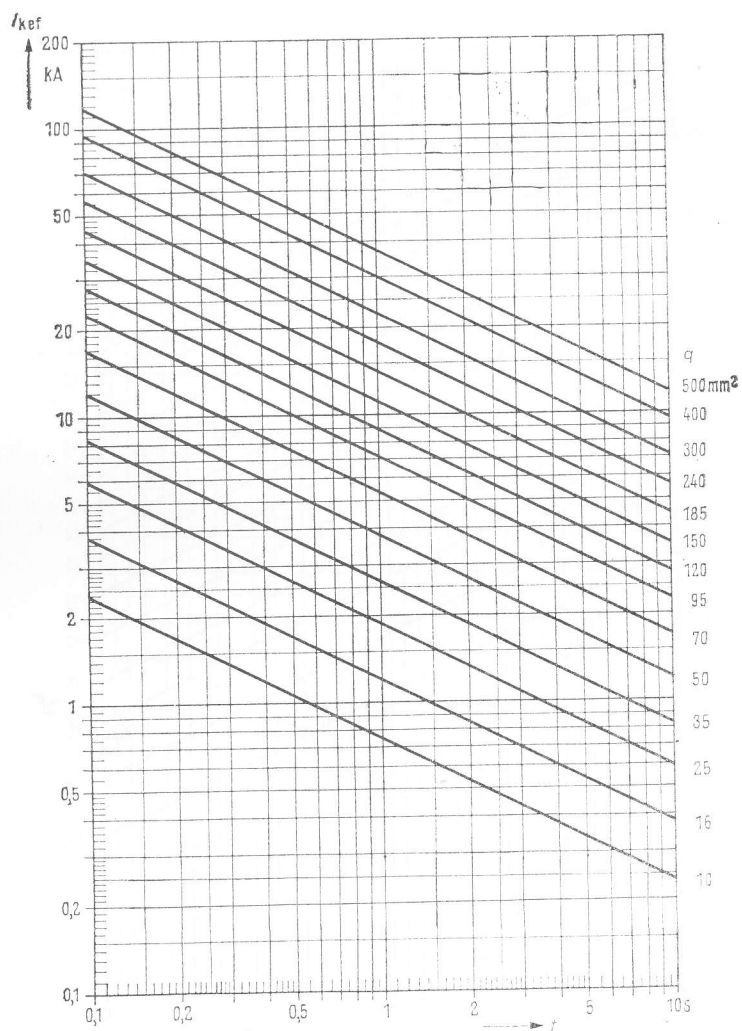


Fig. 8.17. Curenți de scurtcircuit limită termici pentru cabluri de aluminiu cu tensiuni de funcționare între 10 și 20 kV, la o temperatură inițială de sarcină de 55°C și o temperatură maximă de 140°C.  $q = 13,5 \cdot I_k \cdot \sqrt{t}$  [mm²].

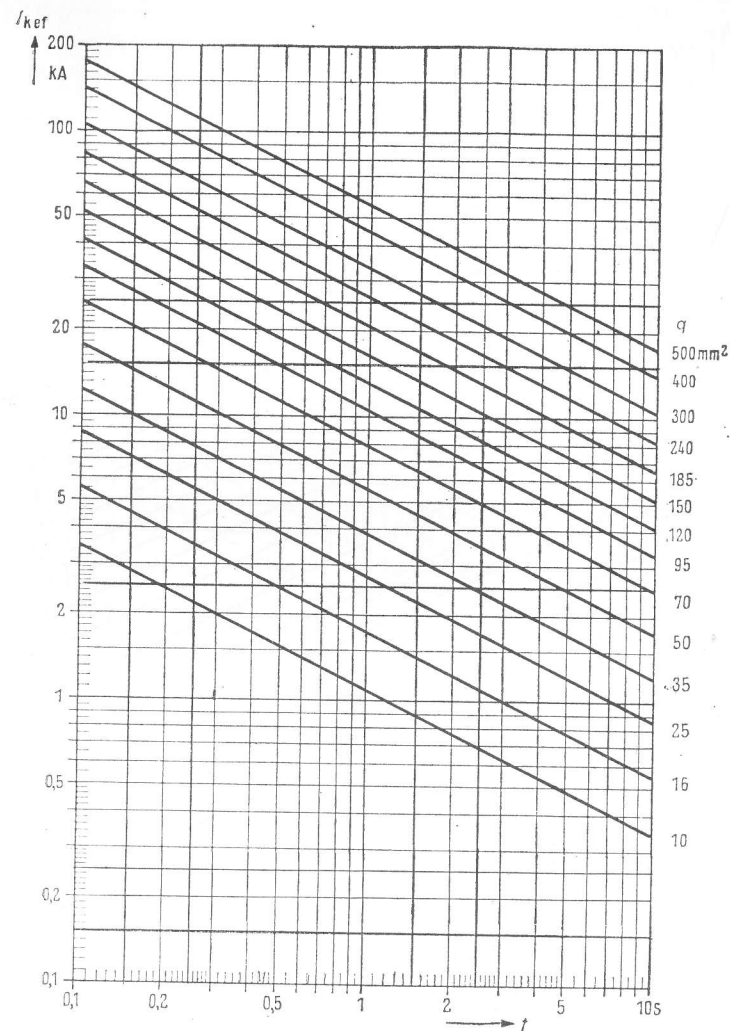


Fig. 8.18. Curenți de scurtcircuit limită termici pentru cabluri de cupru cu tensiuni de funcționare peste 20 kV, la o temperatură inițială de sarcină de 45°C și o temperatură maximă de 120°C.  $q = 9,3 \cdot I_k \cdot \sqrt{t}$  [mm²].

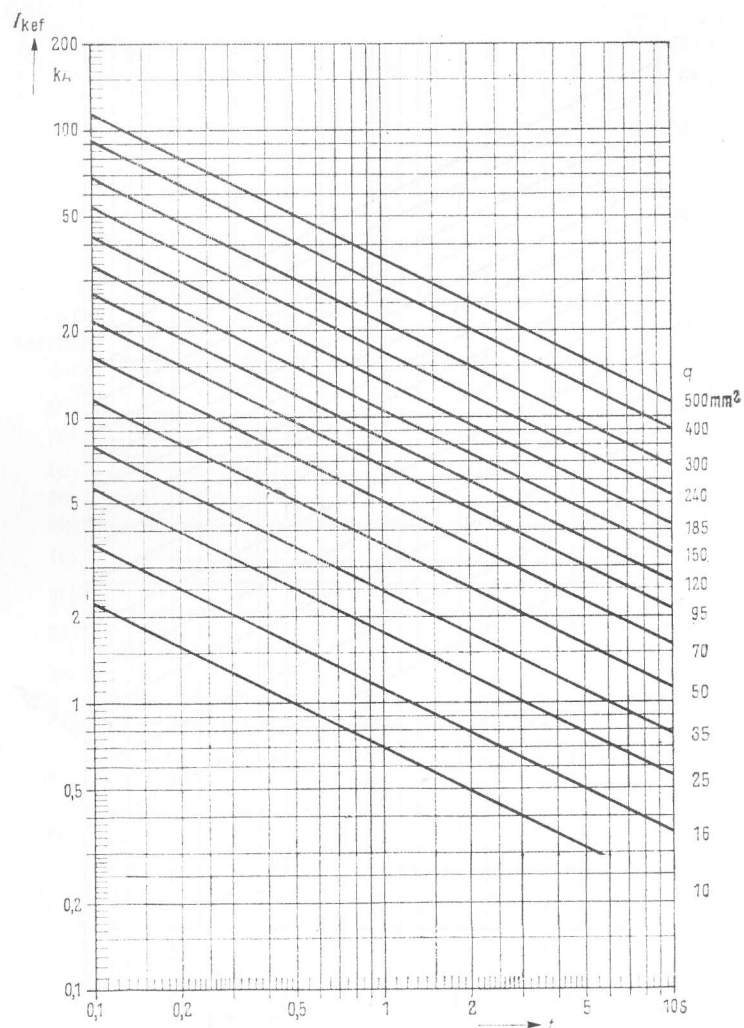


Fig. 8.19. Curenți de scurtcircuit limită termici pentru cabluri de aluminiu cu tensiuni de funcționare peste 20 kV, la o temperatură inițială de sarcină de 45°C și o temperatură maximă de 120°C.  $q = 14 \cdot I_k \cdot \sqrt{t}$  [mm²].

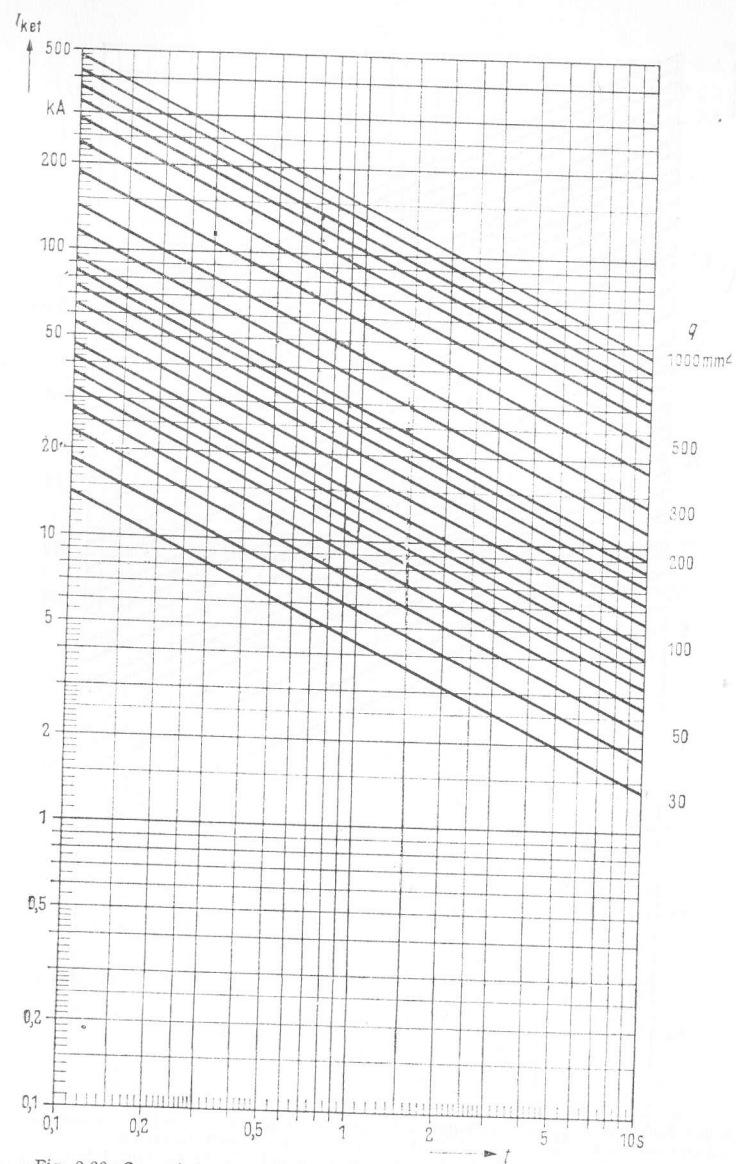


Fig. 8.20. Curenți de scurtcircuit limită termici pentru conductoare neizolate de cupru, la o temperatură inițială de sarcină de 50°C și o temperatură maximă de 200°C.  $q = 71 k \sqrt{t}$  [mm²]

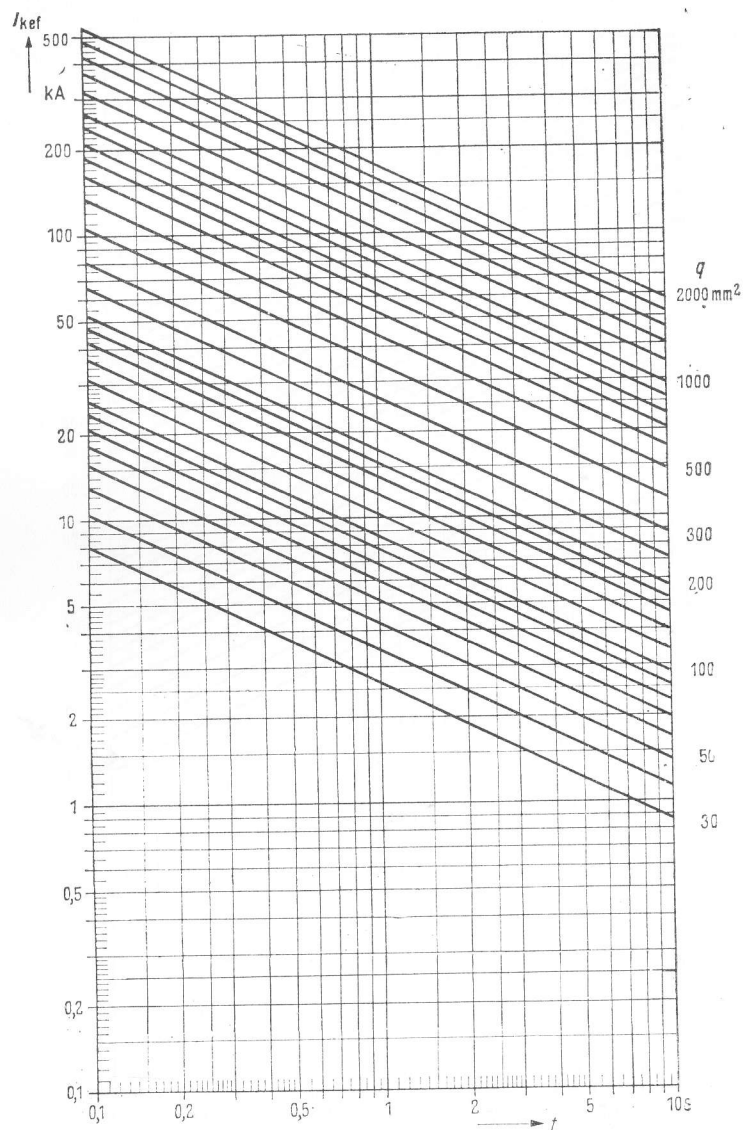


Fig. 8.21. Curenți de scurtcircuit limită termici pentru conductoare neizolate de aluminiu, la o temperatură inițială de sarcină de 50°C și o temperatură maximă de 180°C.  $q = 11,2 \cdot I_k \cdot \sqrt{t}$  [mm²].

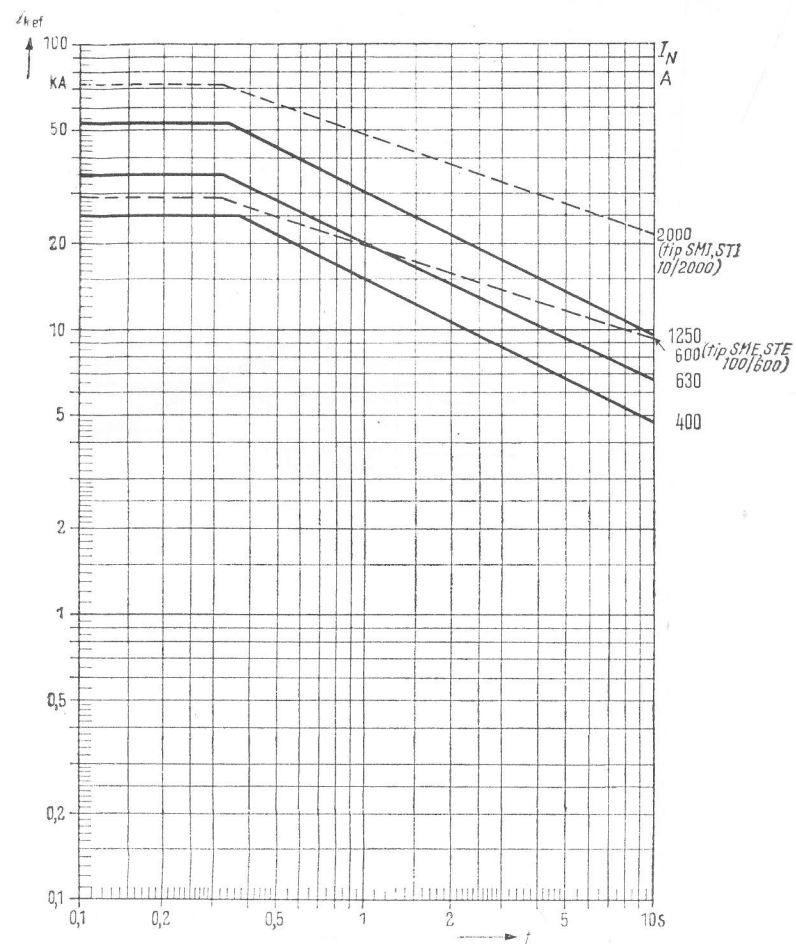


Fig. 8.22. Curenți de scurtcircuit limită termici pentru separatoare de tip H 244 și H 245 (linie plină) și pentru separatoare de fabricație românească tip SM și ST (linie întreruptă). Separatoarele fiind stabile dinamic la valoarea curentului de șoc, mult mai mare decât  $I_{k\text{ ef}}$ , pentru timp reduși de deconectare, diagramele sînt limitate pentru valori constante ale lui  $I_k$ .



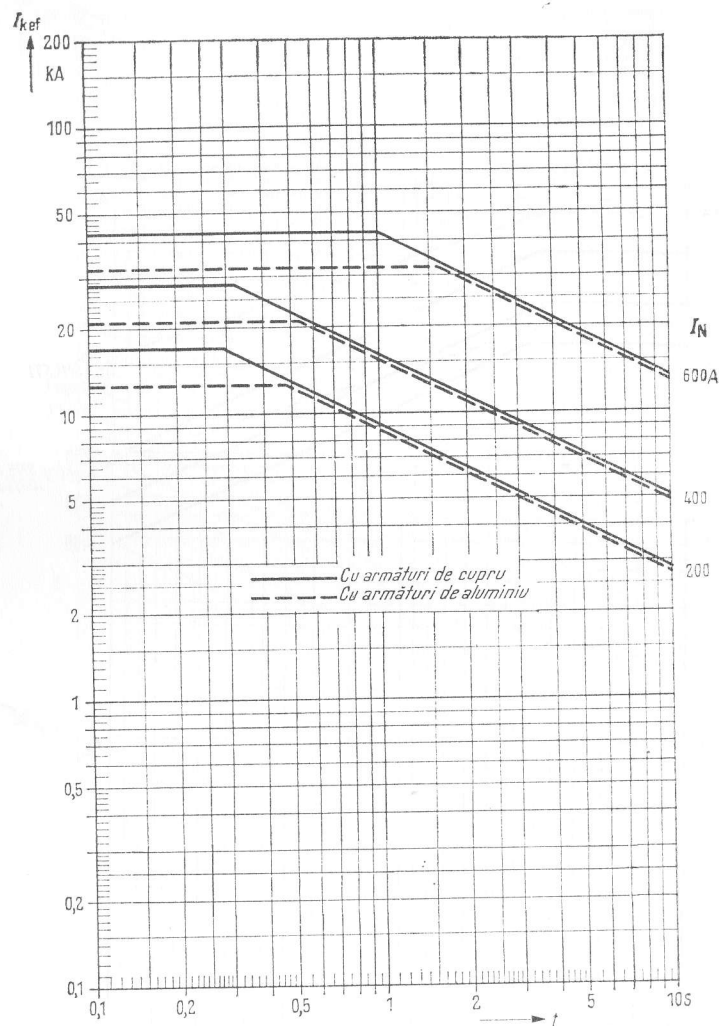


Fig. 8.23. Curenți de scurtcircuit limită termici pentru izolatoare de trecere. Separatoarele fiind stabile dinamic la valoarea curentului de șoc, mult mai mare decât  $I_{kef}$  pentru timpi reduși de deconectare, diagramele sînt limitate pentru valori constante ale lui  $I_k$ .

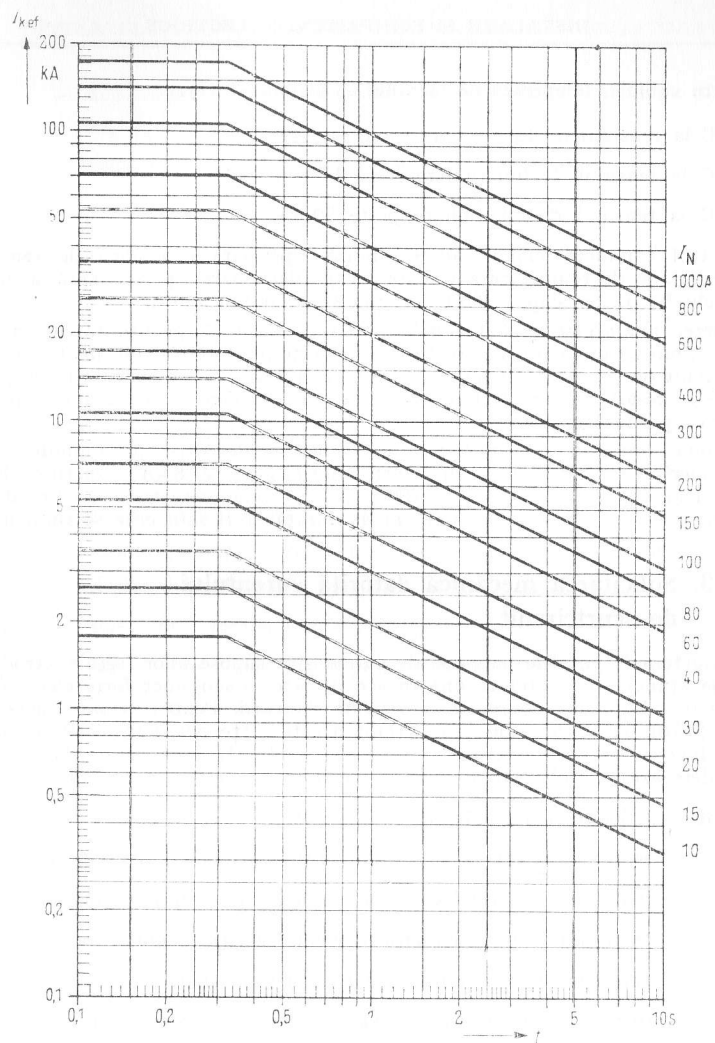


Fig. 8.24. Curenți de scurtcircuit limită termici pentru transformatoare de curent — performanță normală de scurtcircuit a transformatoarelor de măsură:

$$I_d = 250 I_N; I_t = 100 I_N.$$

În cazul cînd valorile lui  $I_t$  și  $I_d$  sînt de  $z$  ori mai mari decît cele normale, Curentul de scurtcircuit maxim admisibil  $I_k$  este și el de  $z$  ori mai mare.

Separatoarele fiind stabile dinamic la valoarea curentului de șoc, mult mai mare decît  $I_{kef}$ , pentru timpi reduși de deconectare, diagramele sînt limitate pentru valori constante ale lui  $I_k$ .

Pentru cabluri, temperaturile maxime admisibile sînt<sup>1)</sup>:

160°C la tensiuni de funcționare pînă la 6 kV;

140°C la tensiuni de funcționare între 10 și 20 kV;

120°C la tensiuni de funcționare peste 20 kV.

În cazul conductoarelor neizolate, limita superioară a creșterii de temperatură este determinată de temperatura la care începe deformarea permanentă a metalului conductorului<sup>2)</sup>, pentru cupru 200°C, iar pentru aluminiu 180°C.

Alegerea aparatelor după fig. 8.22... 8.24 se bazează pe rezultatele încercărilor efectuate. Limita superioară a curentului de scurtcircuit este determinată de curentul de scurtcircuit de șoc pentru aparatul respectiv. În cazul cînd aparatul de producție curentă este nesatisfăcător, trebuie să se execute, la cerere, o comandă specială de către fabrica producătoare.

Secțiunea minimă necesară pentru un conductor derivație, din aluminiu se determină considerînd un curent mediu de scurtcircuit  $I_{k\text{ med}} = 21,8 \text{ kA}$  și un timp de rupere  $t = 0,5 \text{ s}$ . Din fig. 8.21. rezultă  $q = 180 \text{ mm}^2$ , secțiune care trebuie adoptată, chiar dacă pentru curentul de sarcină în regim de durată ar fi suficiente secțiuni mai mici.

### 8.2.3. Solicitarea mecanică datorită curentului de scurtcircuit

Conductoarele paralele parcurse de curent sînt supuse unor forțe electrodinamice, de atracție atunci cînd curenții sînt în același sens — sau unor forțe electrodinamice de respingere, atunci cînd curenții au sensuri contrarii. Pentru valoarea acestor forțe v. relația (8.18). În cazul unui scurtcircuit aceste forțe pot deveni atât de mari încît efortul la încovoire al conductoarelor precum și solicitările de rupere, la compresiune și la întindere asupra izolatoarelor necesită verificarea acestora prin calcul.

Simboluri folosite în formule (v. și fig. 8.25)

- $A$  — secțiunea efectivă a conductorului principal (pe o fază), în  $\text{cm}^2$ ;
- $A_t$  — secțiunea fiecărei bare conductoare din pachet, în  $\text{cm}^2$ ;
- $A_e$  — secțiunea unui conductor derivație elastic (cablu), în  $\text{cm}^2$ ;
- $A_s$  — secțiunea unui conductor derivație rigid (bară), în  $\text{cm}^2$ ;
- $a$  — distanța între conductoarele principale (faze), în  $\text{cm}$ ;
- $a_{1t}$  — distanța geometrică dintre prima și cea de a  $t$ -a bară conductoare dintr-un pachet, în  $\text{cm}$ ;
- $a_t$  — distanța efectivă dintre conductoare, în  $\text{cm}$ ;

<sup>1)</sup> Aceste temperaturi maxime admisibile se vor lua în considerare numai dacă nu există instrucțiuni în vigoare care să indice alte valori, în care caz diagramele 8.14... 8.19 vor trebui corectate corespunzător.

<sup>2)</sup> În cazul cînd conductoarele sînt supuse și la eforturi de tracțiune, temperatura maximă nu trebuie să depășească 170°C pentru cupru, 160°C pentru OL-AL și 130°C pentru aluminiu.

- $b$  — dimensiunea barei conductoare pe axa perpendiculară pe direcția forței, în  $\text{cm}$ ;
- $c_1$  — influența pieselor de distanțare asupra frecvenței;
- $c'_1$  — influența pieselor de distanțare asupra frecvenței în porțiunea  $(l - l_d)$ ;
- $c_2$  — influența masei și a rigidității conductoarelor derivație asupra frecvenței;
- $c'_2$  — influența masei și a rigidității conductoarelor derivație asupra frecvenței pe porțiunea  $(l - l_d)$ ;
- $c_3$  — influența coturilor la conductoare derivație asupra frecvenței;
- $d$  — dimensiunea barei conductoare în direcția forței, în  $\text{cm}$ ;
- $E$  — modulul lui Young în  $\text{kgf/cm}^2$  (Cu:  $E = 1,1 \cdot 10^6 \text{ kgf/cm}^2$ ;  
Al:  $E = 0,65 \cdot 10^6 \text{ kgf/cm}^2$ );
- $e$  — numărul conductoarelor elastice (cabluri) derivație pe fiecare deschidere dintre două izolatoare suport;
- $F_h$  — forța între conductoarele principale (faze) datorită curentului, în  $\text{kgf}$ ;
- $F_t$  — forța între barele pachetului datorită curentului, în  $\text{kgf}$ ;
- $F_d$  — efortul pe izolator, în  $\text{kgf}$ ;
- $F_N$  — sarcina maximă nominală a izolatorului, în  $\text{kgf}$ ;
- $f$  — frecvența de lucru a circuitului, în  $\text{s}^{-1}$ ;
- $f_0$  — frecvența proprie a sistemului de conductoare, în  $\text{s}^{-1}$ ;
- $f_{00}$  — frecvența proprie a unui conductor, în  $\text{s}^{-1}$ ;
- $G$  — greutatea pieselor de distanțare, în  $\text{kg}$ ;
- $g_t$  — greutatea barei conductoare, în  $\text{kg/cm}$ ;
- $h$  — distanța între punctul de aplicație al forței și suprafața de sprijin, în  $\text{mm}$ ;
- $\hat{i}_s$  — curentul de șoc (valoarea de vîrf), în  $\text{kA}$ ;
- $J$  — momentul de inerție al conductorului principal (de fază), în  $\text{cm}^4$ ;
- $J_t$  — momentul de inerție al unei bare conductoare, în  $\text{cm}^4$ ;
- $J_e$  — momentul de inerție al unui conductor elastic derivație, în  $\text{cm}^4$ ;
- $J_s$  — momentul de inerție al unui conductor rigid derivație, în  $\text{cm}^4$ ;

- $k$  — numărul de piese de distanțare pe o deschidere de sprijin (între două izolatoare);  
 $k_{lt}$  — coeficient de corecție pentru distanța efectivă a barelor conductoare;  
 $l$  — distanța dintre izolatoarele suport, în cm;  
 $l_a$  — distanța dintre un conductor derivație și următorul punct de sprijin, în cm ( $l_a \leq 0,5 l$ );  
 $l_e$  — lungimea unui conductor derivație elastic, în cm;  
 $l_s$  — lungimea unui conductor derivație rigid, în cm;  
 $l_t$  — distanța dintre punctul de sprijin și piesa de distanțare alăturată, în cm;  
 $l_{t1}$  — distanța dintre două piese de distanțare învecinate, în cm;  
 $s$  — numărul de conductoare derivație rigide pe o deschidere de sprijin;  
 $t$  — numărul barelor conductoare din care se compune fiecare conductor (fiecare pachet);  
 $u$  — factorul de asimetrie al conductorului derivație;  
 $v_F$  — factor de frecvență pentru efortul în punctul de sprijin;  
 $v_\sigma$  — factor de frecvență pentru efortul în conductor;  
 $W$  — modul de rezistență al conductorului principal, în cm<sup>3</sup>;  
 $W_t$  — modul de rezistență al barei conductoare, în cm<sup>3</sup>;  
 $\alpha$  — înclinarea unghiulară a conductorului derivație, în grd;  
 $\sigma_{0,2}$  — limita minimă de curgere a materialului, în kgf/cm<sup>2</sup>;  
 $\sigma_{0,2}$  — limita maximă de curgere a materialului în kgf/cm<sup>2</sup>;  
 $\sigma_h$  — efortul unitar în conductorul principal, în kgf/cm<sup>2</sup>;  
 $\sigma_t$  — efortul unitar într-o bară conductoare din pachet, în kgf/cm<sup>2</sup>.

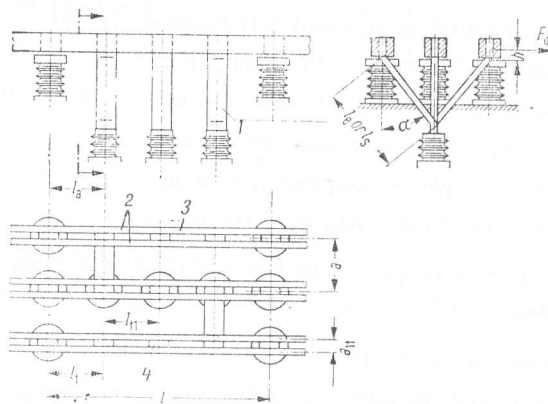


Fig. 8.25. Bare colectoare cu trei conductoare principale (faze) compuse fiecare din două bare conductoare cu conductoare derivație:  
 1 — conductor derivație cu  $l_e$  sau  $l_s$  și  $A_e$  sau  $A_s$ ; 2 — conductor principal; 3 — bară conductoare; 4 — piesă de distanțare.

### Acțiunea forței datorită curentului

Pentru a determina acțiunea forței datorită curentului se aplică următoarea ecuație cantitativă;

$$F_h = 2,04 \cdot i_s^2 \frac{l}{a} 10^{-2} \text{ kgf.} \quad (8.18)$$

Această forță este uniform distribuită de-a lungul distanței de sprijin  $l$ , care este fie deschiderea unui conductor care trece prin mai multe puncte de sprijin, fie lungimea unui conductor fixat la ambele capete. Excepțiile față de aceste moduri de fixare, care apar de exemplu în cazul introducerii unor legături elastice sau în cazul deschiderilor de la capăt ale conductoarelor cu suport multipli, sînt în general de importanță redusă și de aceea nu se vor trata.

### Efortul unitar în conductoare

Efortul în conductoare rezultă din însumarea efortului din conductoarele principale, datorit forței dintre conductoarele principale (fazele) circuitului, cu efortul din barele conductoare ale pachetului produs de acțiunea forțelor dintre aceste bare (în cazul realizării conductoarelor principale din pachete de bare), (fig. 8.25).

### Efortul unitar în conductoarele principale

Dacă se consideră că forța conform ecuației (8.18) acționează sub forma unor pulsații, sau periodic, cu un factor de frecvență  $v_\sigma$ , ecuația

$$\sigma_h = v_\sigma \frac{F_h l}{12W} = v_\sigma \frac{1,7 \cdot 10^{-3} i_s^2 l^2}{aW} \frac{\text{kgf}}{\text{cm}^2} \quad (8.19)$$

este valabilă pentru efortul în conductoarele principale.

### Factorul de frecvență la curent continuu

Acest factor are valoarea  $v_\sigma = 2$ , deoarece atunci cînd există un impuls de curent continuu și se neglijează timpul de creștere finită a curentului, efortul este dublu față de cel care apare atunci cînd există o sarcină de durată.

### Factorul de frecvență la curent alternativ și circuite trifazate

Valoarea lui este  $v_\sigma \leq 1$ . Pentru simplificarea calculului, se consideră mai întîi  $v_\sigma = 1$ . Numai în cazul cînd, în urma verificării efortului în conductoare se găsește că acesta este prea mare, se poate determina, cu ajutorul raportului de frecvențe și cu fig. 8.28, dacă  $v_\sigma < 1$ . De aici se poate determina frecvența proprie a sistemului de conductoare, conform paragrafului intitulat „Capacitatea de oscilație” (pag. 443).

Modulul de rezistență  $W$  al conductorului principal (fază). În cazul conductoarelor principale multiple (pachete de conductoare) modulul de rezistență  $W$  este egal cu suma modulelor de rezistență  $W_t$  ale barelor conductoare atunci cînd solicitarea apare conform fig. 8.26, *a* sau cînd solicitarea este conformă cu fig. 8.26, *b*

și grupul de conductoare este asamblat prin cel mult o piesă de întărire (piesele de distanțare împiedicând ca barele conductoare să fie deplasate una spre cealaltă). Dacă efortul este conform fig. 8.26, *b* și conductoarele sînt unite prin mai multe piese de întărire, mai mult sau mai puțin egal distribuite de-a lungul lungimii *l*, atunci pentru

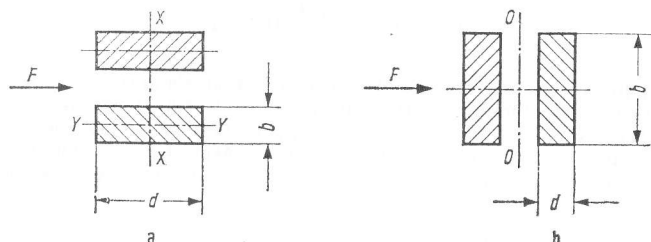


Fig. 8.26. Direcția forței și axele de încovoiere în cazul unui pachet de conductoare.

pachetele de conductoare cu secțiune dreptunghiulară, modulele de rezistență din ecuația (8.19) raportate la axa *o-o* se vor reduce la 60%; pentru pachetele de conductoare cu secțiune din profile se vor reduce la 50%. Pentru secțiuni tip se dau astfel de module de rezistență în tabelul 8.4 a.

Tabelul 8.4 a. Valorile lui *W*, în cm<sup>3</sup>, pentru conductoare principale asamblate prin cel puțin două piese de întărire

Dispoziția barelor colectoare	Conductor dreptunghiular (plat)							
	40×10	50×10	60×10	80×10	100×10	120×10	160×10	200×10
$F_h \rightarrow$	3,5	4,3	5,2	6,9	8,7	10,4	13,9	17,4
$F_h \rightarrow$	7,9	9,9	11,9	15,8	19,8	23,8	31,7	39,6
$F_h \rightarrow$ *	6,9	8,7	10,4	13,9	17,3	20,8	27,7	34,7
	Bare din profile							
	[6]	[8]	[10]	[12]	[14]	[16]	[18]	[20]
$F_h \rightarrow$	12,7	27,9	41,5	74	113	162	224	300

\*) În această dispoziție se prevăd distanțoare numai între barele foarte apropiate între ele.

Solicitarea barelor conductoare din pachete

Prin analogie cu ecuațiile (8.18) și (8.19), expresia

$$F_t = 2,04 \left( \frac{\hat{i}_s}{t} \right)^2 \frac{l_t}{a_t} \cdot 10^{-2} \text{ kgf}, \quad (8.20)$$

este valabilă pentru forța dintre barele conductoare, iar expresia

$$\sigma_t = v_\sigma \frac{F_t l_t}{12 W_t} = \frac{v_\sigma \cdot 1,7 \cdot 10^{-3} \hat{i}_s^2 \cdot l_t^2}{a_t \cdot W_t \cdot t^2} \frac{\text{kgf}}{\text{cm}^2} \quad (8.21)$$

este valabilă pentru efortul *n* bara conductoare.

Factorul de frecvență în curent continuu

Ca și în cazul efortului în conductoarele principale, acest factor are valoarea  $v_\sigma = 2$

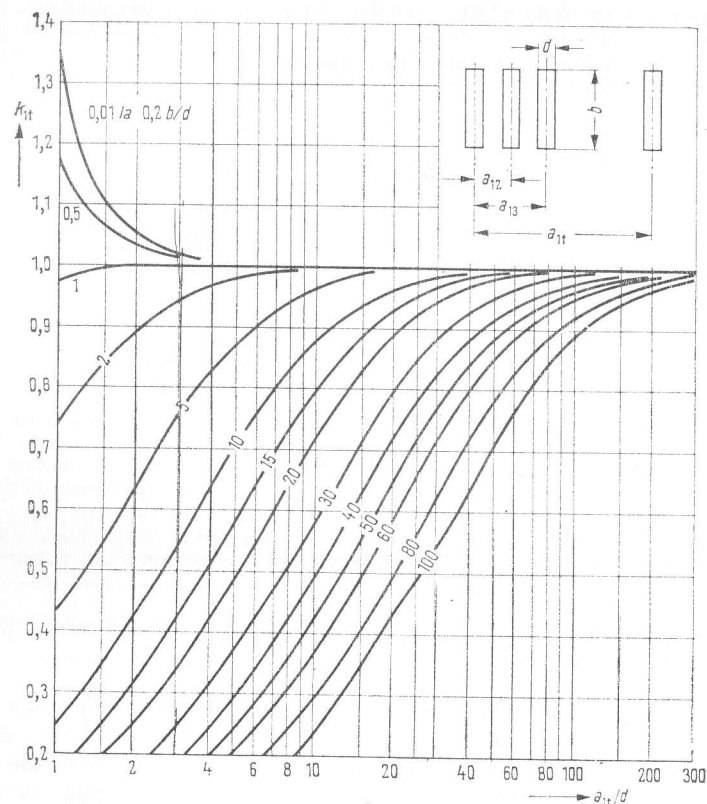
Factorul de frecvență în curent alternativ și pentru curent trifazat

Spre deosebire de efortul în conductorul principal, factorul de frecvență este totdeauna  $v_\sigma = 1$ . Nu este posibil ca  $v_\sigma < 1$  pentru că, datorită distanței reduse dintre barele conductoare  $a_t$ , distanța pînă la plăcuța intermediară  $l_t$  rămîne de asemenea redusă, determinînd astfel un puternic efect de rezonanță între frecvența conductorului și frecvența forței ( $f_0 > f$ ).

Distanța efectivă dintre barele conductoare  $a_t$ . În ecuațiile (8.20) și (8.21) distanța  $a_t$  nu mai este egală cu distanța dintre axele barelor conductoare atunci cînd barele conductoare se află la foarte mică distanță una de cealaltă. În realitate

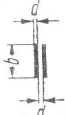
$$\frac{1}{a_t} = \frac{k_{12}}{a_{12}} + \frac{k_{13}}{a_{13}} + \frac{k_{14}}{a_{14}} + \dots + \frac{k_{1r}}{a_{1r}}, \quad (8.22),$$

valorile, pentru  $k_{1t}$  fiind date în fig. 8.27.




Fig. 8.27. Factorul de colecție  $k_{1t}$  pentru distanța efectivă dintre barele conductoare.

Pentru celelalte secțiuni de conductor se dau valorile lui  $a_t$  în tabelul 8.4 b.

Tabelul 8.4 b. Distanța efectivă a barelor conductoare  $a_t$ , în cm

Dispoziția barelor colectoare	Grosimea barei conductoare $d$ cm	Lățimea barei conductoare $b$ , în cm							
		4	5	6	8	10	12	16	20
	0,5 1	2,0 2,8	2,4 3,1	2,7 3,4	3,3 4,1	4,0 4,7	5,4	6,7	8,0

Tabelul 8.4 b (continuare)

Dispoziția barelor colectoare	Grosimea barei conductoare $d$ cm	Lățimea barei conductoare $b$ , în cm							
		4	5	6	8	10	12	16	20
	0,5 1	1,7	1,3 1,9	1,3 2,0	1,8 2,3	2,2 2,7	3,0	3,7	4,3
	0,5 1	1,74	1,4 1,8	1,5 2,0	1,8 2,2	2,0 2,5	2,7	3,2	
		Bare din profile							
		[6] 7,9	[8] 9,4	[10] 10	[12] 12	[14] 14	[16] 16	[18] 18	[20] 20

Valorile date pentru  $a_t$  sînt valabile pentru [6, dacă  $h = 8,5$  cm; pentru [8, dacă  $h = 10$  cm; pentru [10... [20, dacă  $b = h$ .

#### Efortul unitar admisibil în conductor

Admițînd că săgeata permanentă reprezintă 3–5% din distanța  $l$  dintre suporti, conductoarele sînt suficient dimensionate pentru efortul electrodinamic la încovoiere, care apare numai momentan, dacă dublul valorii limitei elastice a materialului conductorului nu este depășit de suma eforturilor la încovoiere din conductorul principal și din bara conductoare din pachet

$$\sigma_h + \sigma_t \leq 2 \sigma_{0,2} \quad (8.23)$$

În cazul conductorului principal (al fazei) format dintr-un singur conductor, avem în mod analog

$$\sigma_h \leq 2 \sigma_{0,2} \quad (8.23 a)$$

În cazul barelor colectoare compuse din pachete de bare conductoare,  $l_t$ , distanța dintre suport și piesa de distanțare următoare trebuie astfel aleasă încît efortul la încovoiere al barei conductoare, luat singur, să nu depășească limita elastică

$$\sigma_t \leq \sigma_{0,2} \quad (8.24)$$



Distanța dintre două piese de distanțare trebuie să fie

$$l_{11} \leq 1,2 l_t \sqrt{\frac{\sigma_{0,2}}{\sigma_t}} \quad (8.25)$$

Deoarece acțiunea forței exercitată între barele conductoare are totdeauna tendința de a le apropia, piesele de distanțare trebuie montate astfel încît să împiedice barele conductoare de a se lovi între ele.

În cazul cînd și piesele de distanțare trebuie să contribuie la mărirea modului de rezistență al conductorului principal (fazei), ele trebuie să împiedice deplasarea longitudinală a conductoarelor unul față de celălalt și devin piese de întărire. Acesta este cazul în care piesele de distanțare sînt fixate prin buloane, nituire sau sudare la barele conductoare.

Tabelul 8.5. Valori pentru limita de curgere<sup>5)</sup>

Tipul materialului	Produce semifinite					Limita de curgere	
	Bare plate		Profile	Țevi		Valoarea minimă $\sigma_{0,2}$ kgf/cm <sup>2</sup>	Valoarea maximă $\sigma'_{0,2}$ kgf/cm <sup>2</sup>
	Grosimea mm	Lățimea mm	Grosimea mm	Dia- metru mm	Grosimea peretelui mm		
E-Cu F 25	2...40	10...100	pînă la 14	oricare	pînă la 10	2000	2900
	5...30	>100...200 <sup>1)</sup>					
E-Cu F 30	2...15	10...100	—	pînă la 160	pînă la 5	2500	3600
	2...12	>100...200 <sup>2)</sup>					
E-Cu F 37	2... 3	10...100	—	pînă la 50	pînă la 3	3300	4000
	>3... 6	10... 50					
E-Al F 6,5	oricare	oricare	oricare	oricare	oricare	250	600
E-Al F 8 <sup>3)</sup>	>5	>120	<sup>4)</sup>	<sup>4)</sup>	—	500	1100
E-Al F 8,5	pînă la 10	pînă la 120	—	—	—	700	950
E-Al F 10	pînă la 10	pînă la 60	—	—	pînă la 6	850	1250
E-Al F 13	pînă la 5	pînă la 40	—	—	pînă la 1,5	1000	1300
E-AlMgSi 0,5 F22	oricare	oricare	oricare	oricare	oricare	1600	2400

<sup>1)</sup> Grosime/lățime > 0,05; secțiune maximă 5000 mm<sup>2</sup>.

<sup>2)</sup> Grosime/lățime > 0,05.

<sup>3)</sup> Presat conform unor procedee speciale de fabricație.

<sup>4)</sup> Secțiune peste 800 mm<sup>2</sup>.

<sup>5)</sup> În STAS 392-66, pentru barele dreptunghiulare de cupru cu secțiunea ≤ 500 mm<sup>2</sup> se prevede

$\sigma_{min} = 25 \text{ kgf/mm}^2$ ; pentru barele dreptunghiulare de cupru cu secțiunea > 500 mm<sup>2</sup> se prevede  $\sigma_{min} = 24 \text{ kgf/mm}^2$ .

În STAS 391-66, pentru barele rotunde de cupru se prevede  $\sigma_{min} = 2500 \text{ kgf/cm}^2$ .

În STAS 3322-66, pentru barele dreptunghiulare de aluminiu E, jumătate tare pînă la 3 mm grosime se prevede  $\sigma_{min} = 1100 \text{ kgf/cm}^2$ , peste 3 mm grosime se prevede  $\sigma_{min} = 800 \text{ kgf/cm}^2$ .

Notă.  $\sigma_{min}$  — reprezintă rezistența de rupere la tracțiune.

### Capacitatea de oscilație

Conductoarele și izolatoarele au tendințe de oscilație. Pulsăția constantă a curentului de scurtcircuit de curent continuu produce oscilații, iar scurtcircuitul în curent alternativ cu atît mai mult, deoarece, datorită componentei sale de curent continuu, produce nu numai forțe la dublul frecvenței de lucru, dar și la frecvența normală de lucru. Acest fapt este luat în considerație prin factorii de frecvență  $v_\sigma$  pentru efortul în conductor și  $v_F$  pentru efortul pe izolator. Factorii de frecvență sînt rapoarte care dau diferența dintre efortul produs ținînd seama de capacitatea de oscilație a sistemului de conductoare și valoarea calculată conform ecuației (8.18), care este identică cu forța datorită unui curent continuu constant după amortizarea șocului inițial.

### Curent continuu

Atunci cînd există un impuls de curent continuu și se neglijează timpul finit de creștere a curentului, efortul în conductoare și izolatoare este dublu față de cel ce apare la o sarcină constantă. În consecință, așa după cum s-a arătat în ecuațiile (8.19) și (8.21),  $v_\sigma = 2$ , iar pentru efortul la izolatoare  $v_F = 2$ .

### Curent alternativ și trifazat

Forțele periodice din cazul curentului alternativ și al scurtcircuitelor trifazate dau naștere la oscilații în sistemul de conductoare și izolatoare. Deoarece un scurtcircuit are numai o durată scurtă, oscilația conductoarelor reprezintă un regim tranzitoriu compus din oscilații libere și forțate. Astfel, amplitudinea maximă de oscilație și deci eforturile cele mai mari, nu au un caracter brusc, ci se formează într-un număr de perioade. Valoarea lor este determinată de două elemente și anume de raportul dintre frecvența proprie a sistemului de conductoare și frecvența de lucru a circuitului — și de posibilitatea ca conductorul, care este un oscilator liniar la începutul oscilației, să devină în timpul oscilației un oscilator neliniar.

Primul din aceste două elemente s-a determinat cu suficientă exactitate prin calcul și măsurări pentru un oscilator liniar (adică un conductor care este solicitat numai pînă la limita de elasticitate) și este reprezentat în fig. 8.28 ca o curbă de frecvență (curbă de rezonanță) a factorilor de frecvență  $v_F$  și  $v_\sigma$ .

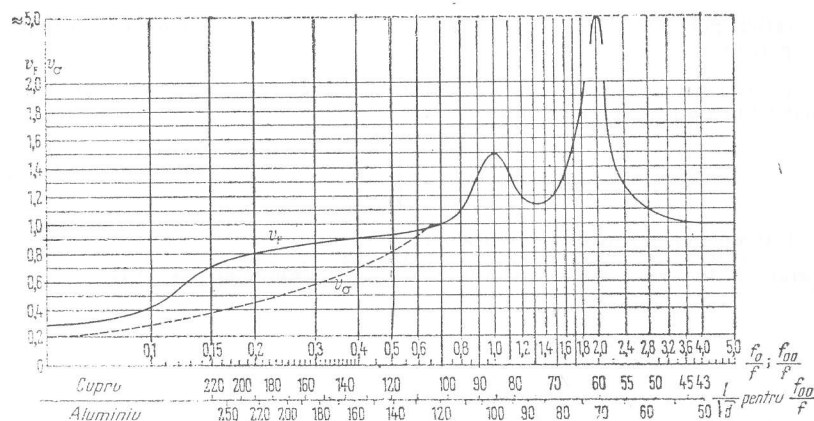


Fig. 8.28. Factorii de frecvență pentru scurtcircuite bi și trifazate pentru conductoare dispuse în același plan. Factorul de frecvență pentru reacțiunea izlatorului suport  $v_F$ . Factorul de frecvență pentru efortul de încovoiere  $v_\sigma$ .

În ceea ce privește cel de al doilea element, s-au făcut, de asemenea, determinări prin măsurări. S-a stabilit că sistemul de conductoare devine un oscilator neliniar atunci când efortul de încovoiere este mai mare de 80% din limita de elasticitate a materialului conductor. Atunci când această valoare este depășită (admisibil până la  $2 \sigma_{0,2}$ ), oscilațiile se reduc considerabil, datorită plasticității materialului conductor și frecvența proprie variază, astfel încât amplitudinile oscilațiilor maxime liniare nu sunt depășite. Factorii de frecvență din fig. 8.28 nu mai sînt deci valabili dacă sînt mai mari ca 1. Condițiile pentru factorii de frecvență sînt următoarele:

— În cazul cînd  $\sigma_h + \sigma_t < 0,8 \sigma'_{0,2}$ , factorii de frecvență pot atinge valoarea maximă

$$v_F = (v_\sigma) = \frac{0,8 \sigma'_{0,2}}{\sigma_h + \sigma_t}, \quad (8.26)$$

cu condiția de a se lua  $v_F = 5$  pentru valori  $v_F > 5$  ca în fig. 8.28.

— În cazul cînd  $\sigma_h + \sigma_t \geq 0,8 \sigma'_{0,2}$ , factorii de frecvență sînt cel mult

$$v_F = (v_\sigma) = 1. \quad (8.27)$$

În cazul cînd se renunță la determinarea frecvenței așa cum va fi descrisă mai jos, trebuie luate în considerație aceste valori. Atunci cînd se cunoaște raportul frecvențelor este valabilă fig. 8.28, cu condiția ca valorile extrase din aceasta să fie mai mici decît cele calculate prin folosirea ecuațiilor (8.26) și (8.27). În cazul cînd  $v_\sigma < 1$ , această valoare introdusă în ecuația (8.19) înlocuiește ipoteza că  $v_\sigma < 1$ .

#### Calculul raportului de frecvențe

În cazul cînd conductorul și punctul de sprijin sînt rigid fixate, raportul de frecvențe este

$$\frac{f_0}{f} = \frac{f_{00}}{f} c_1 c_2 c_3. \quad (8.28)$$

(Dacă punctele de sprijin sînt elastice avem cazul unui lanț oscilator compus din două porțiuni).

Frecvența caracteristică a unei singure secțiuni a conductorului principal

$$f_{00} = \frac{112}{l^2} \sqrt{\frac{E \cdot J_t}{g_t}} s^{-1}. \quad (8.29)$$

Introducînd constantele materialului, se obțin expresiile simple de mai jos pentru raportul  $\frac{f_{00}}{f}$  în cazul conductoarelor de cupru și aluminiu, cînd  $f = 50$  Hz,

$$\text{cupru: } \frac{f_{00}}{f} = \frac{2,49}{l^2} \sqrt{\frac{J_t}{A_t}} \cdot 10^4,$$

$$\text{aluminiu: } \frac{f_{00}}{f} = \frac{3,42}{l^2} \sqrt{\frac{J_t}{A_t}} \cdot 10^4.$$

Pentru secțiunile dreptunghiulare vezi scara  $l/\sqrt{a}$  din fig. 8.28.

#### Influența pieselor de distanțare

Influența pieselor de distanțare asupra raportului frecvențelor se poate exprima printr-un factor  $c_1$  care depinde de direcția forței, raportul masei  $G/(tg \cdot l)$  și numărul  $k$  al pieselor de distanțare. Acest factor se poate determina din fig. 8.29.

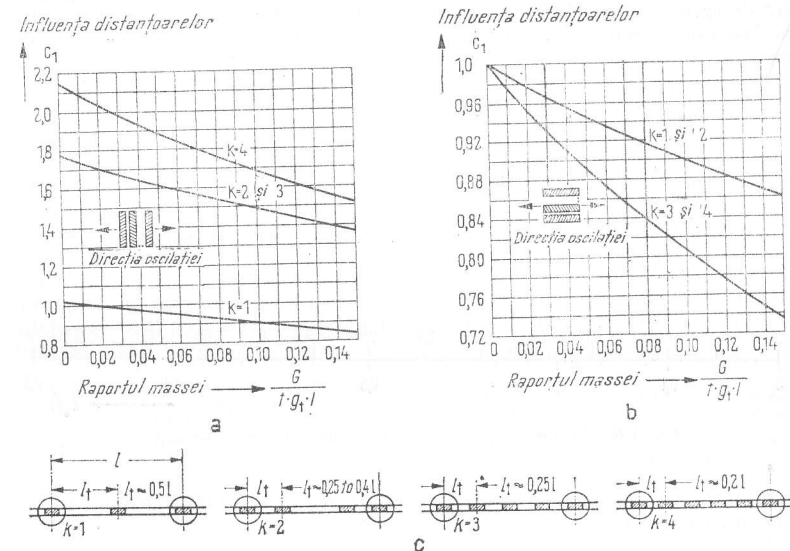


Fig. 8.29. Influența pieselor de distanțare dintre bare: a — direcția de oscilație normală la suprafață; b — direcția de oscilație în direcția suprafeței; orice direcție a oscilației (piesa de distanțare fără efect de piesă de întărire); c — dispoziția pieselor de distanțare.

#### Influența masei și rigidității derivațiilor

$$c_2 = \sqrt{\frac{1 + \frac{1}{64} \sum_s (J_s/J) (l/l_s)^3 u_s + \frac{1}{16} \sum_e (J_e/J) (l/l_e)^3 u_e}{1 + 0,6 \sum_s (A_s/A) (l/l_s) u_s + \sum_e (A_e/A) (l/l_e) u_e}}. \quad (8.30)$$

Un conductor de derivație este considerat rigid, caracteristicile sale primind indicele  $s$ , atunci cînd momentul său de inerție este aproximativ egal cu momentul de inerție al conductorului principal și lungimea sa este mai mică sau egală cu 0,6 din distanța de sprijin, sau cînd momentul său de inerție este mai mic decît momentul de inerție al conductorului principal și lungimea sa mai mică sau egală cu 0,3 din distanța de sprijin.

Pentru determinarea momentului de inerție al conductorului principal sînt valabile aceleași condiții ca și cele date pentru modulul de rezistență al conductorului principal.

În cazul cînd un conductor derivație nu îndeplinește nici una din aceste două condiții, el este considerat ca *elastic* și caracteristicile sale primesc indicele  $e$ . Conductoarele derivație a căror categorie se evidențiază în modul arătat sînt prinse în ecuația (8.30) sub semnul de însumare cu variabila corespunzătoare.

În cele mai frecvente cazuri, atunci cînd există un singur conductor pe fiecare distanță de sprijin, fie termenii sumei cu indicele  $s$ , fie termenii cu indicele  $e$  sînt egali cu zero. Dacă de exemplu, există numai un singur conductor derivație pe fiecare distanță de sprijin și acesta este elastic, avem:

$$c_2 = \sqrt{\frac{1 + \frac{1}{16} (J_e/J) (l/l_e)^3 u_e}{1 + (A_e/A) (l_e/l) u_e}}.$$

Factorul de asimetrie  $u$  este dat în fig. 8.30. Distanța  $l_a$  este raportată la următorul punct de sprijin, astfel încît  $l_a \leq 0,5 l$ .

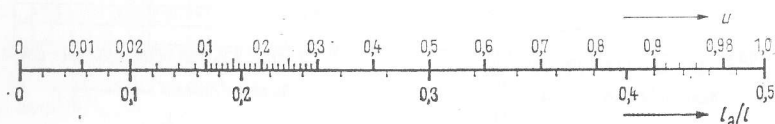


Fig. 8.30. Factorul de asimetrie  $u$  al conductoarelor derivație.

La limită, un conductor derivație rigid acționează integral ca un punct de sprijin. Cazul acesta are loc dacă

$$\sqrt[3]{\frac{J_s}{J} \frac{l}{l_s}} \geq 10. \quad (8.31)$$

Distanța de sprijin  $l$  se descompune în distanțele de sprijin  $l_a$  și  $l - l_a$ , astfel încît pentru aceste distanțe trebuie să se indice rezistența mecanică la scurtcircuit. În cazul cînd condiția (8.31) nu este îndeplinită, conductoarele derivație mai preiau o parte din sarcina barelor colectoare. Gradul suplimentar de siguranță determinat de acest fapt nu se ia însă în considerație în general.

Factorul de influență al unei curburi a conductorului derivație este

$$c_3 = 1 + \left[ \left( \frac{l}{l - l_a} \right)^2 \frac{c'_1 c'_2}{c_1 c_2} - 1 \right] \sin \alpha. \quad (8.32)$$

În această expresie  $c'_1 c'_2$  reprezintă factorul de influență al elementelor existente în deschiderea  $(l - l_a)$  și raportate la această deschidere (de exemplu piesă de distanțare, conductor derivație suplimentar).

#### Efortul unitar pe izolator

Sub acțiunea forței datorită curentului dată de ecuația 8.18 apare o forță rezultantă pe lungimea unei distanțe de sprijin. Conform legilor mecanicii și ținînd seama de paragraful „Capacitatea de oscilație” (pag. 443) efortul pe izolator este deci de-a lungul conductorului

$$F_d = v_F F_h; \quad (8.33)$$

la capetele conductorului

$$F_d = \frac{1}{2} v_F F_h. \quad (8.33, a)$$

Pentru izolatoarele suport întărite, din rășină turnată, în fig. 8.31, și 8.32 se dă sarcina de încovoiere maximă nominală în funcție de distanța pînă la punctul de aplicație al efortului  $h$ . Sarcina maximă de compresiune nominală pentru aceste izolatoare este  $\geq 10$  t, iar sarcina maximă de întindere nominală este egală cu sarcina maximă de încovoiere nominală atunci cînd  $h = 0$ . Pentru cazul aplicării unui efort egal cu sarcina maximă nominală se dă o probabilitate statistică de distrugere a izolatorului de circa 5%. Chiar dacă se ține seama de faptul că apariția simultană a tuturor condițiilor nefavorabile la scurtcircuit constituie un caz relativ rar (de exemplu apariția scurtcircuitului în momentul trecerii tensiunii prin zero), totuși pentru a se obține un înalt grad de siguranță este necesar să se considere ca sarcină admisibilă pentru elementele de fixare, maximum 80% din sarcina maximă nominală. Probabilitatea de deteriorare este atunci  $\leq 0,5\%$ .

#### Exemplu

Să se verifice barele colectoare compuse din 2 (120 × 10) E—A1 pentru 3000 A, ale unor circuite trifazate de înaltă tensiune de la 10 kV și 50 Hz. Puterea inițială de scurtcircuit curent alternativ este  $S''_k = 500$  MVA. Curentul de scurtcircuit de șoc este  $I_s = 73,5$  kA. Dispoziția barelor colectoare corespunde cu numărul de piese de distanțare, conform fig. 8.25. Din motive constructive se vor respecta următoarele dimensiuni:

- |   |                       |
|---|-----------------------|
| — distanța dintre conductoarele principale (faze)   | $a = 21$ cm;          |
| — distanța geometrică între barele colectoare din pachet  | $a_{1t} = 2$ cm;      |
| — distanța dintre izolatoarele suport   | $l = 90$ cm;          |
| — distanța dintre conductorul derivație și punctul de sprijin în cazul conductoarelor principale exterioare | $l_a = 24$ cm;        |
| — distanța între conductorul derivație și punctul de sprijin în cazul conductorului principal central       | $l_a = 45$ cm;        |
| — lungimea conductorului derivație de la conductoarele principale exterioare                                | 27,7 cm;              |
| — lungimea conductorului derivație de la conductorul principal central                                      | 18 cm;                |
| — unghiul cotului conductoarelor derivație exterioare   | $\alpha = 50^\circ$ . |

**Rezolvare.** Nu se prevăd piese de distanțare suplimentare pentru conductorul principal central. Deoarece capetele conductoarelor derivație pătrund în barele colectoare, numărul pieselor de distanțare este  $k = 1$  iar  $l_t = 45$  cm.

Conductoarele principale exterioare au o piesă de distanțare suport în mijloc, adică o piesă de distanțare suplimentară pentru  $l_t = 45$  cm. În acest caz, deoarece și extremitatea conductorului derivație pătrunde în bara colectoare,  $k = 2$ . Greutatea piesei de distanțare este  $G = 0,5$  kg.

#### Efortul unitar în conductoarele principale

Conductorul principal central

Deoarece există o singură piesă de distanțare cu rol de întărire,  $W = 2 W_t$ , în care  $W_t = 2,0$  cm<sup>3</sup> din tabelul de curenți admisibili DIN 43 670

$$\sigma_h = 1 \cdot \frac{1,7 \cdot 10^{-3} \cdot 73,5^2 \cdot 90^2}{21 \cdot 2 \cdot 2,0} = 885 \text{ kgf/cm}.$$

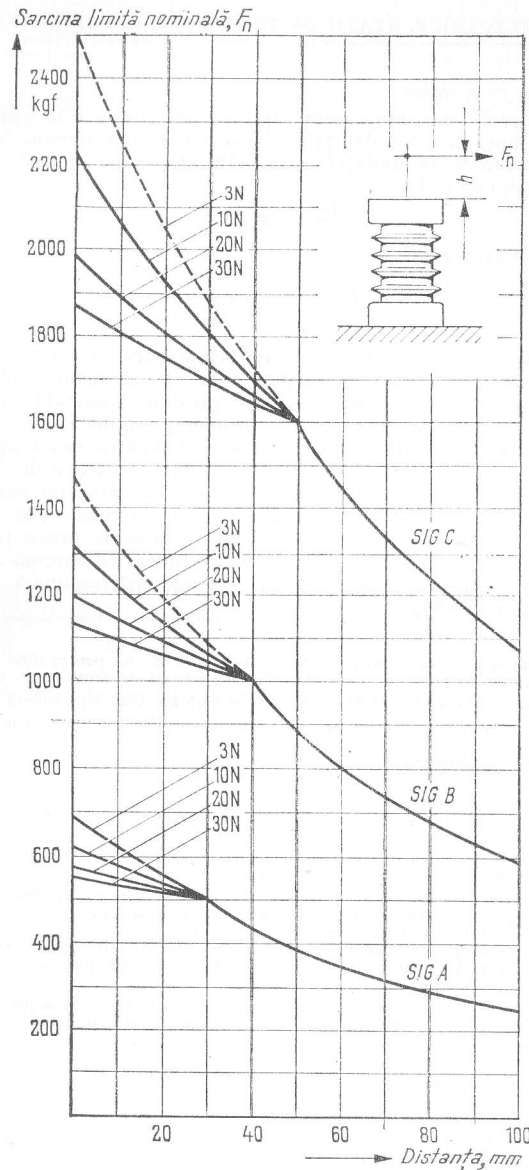


Fig. 8.31. Sarcina de încovoiere maximă nominală pentru izolatoare suport întărite, din rășină turnată, seria 3 N până la 30 N.

#### Conductoarele principale exterioare

Piese de distanțare sînt foarte neuniform distribuite pe deschiderea  $l$ , astfel încît pentru  $W$  este valabilă o valoare între  $4 \text{ cm}^3$  (distanțor) și  $10,4 \text{ cm}^3$  (tabelul 8.4, a). Alegînd  $W = 10,4 \text{ cm}^3$ , se obține

$$\sigma_h = 1 \cdot \frac{1,7 \cdot 10^{-3} \cdot 73,5^2 \cdot 90^2}{21 \cdot 10,4} = 340 \text{ kgf/cm}^2.$$

Deci

$$\sigma_h = 340 \text{ pînă la } 885 \text{ kgf/cm}^2.$$

#### Efortul unitar în bara conductoare din pachet

Pentru calculul efortului unitar se adoptă  $a_t$  din tabelul 8.4, b,  $W_t = 2,0 \text{ cm}^3$  din tabelul de curenți admisibili și se obține

$$\sigma_t = 1 \cdot \frac{1,7 \cdot 10^{-3} \cdot 73,5^2 \cdot 45^2}{5,4 \cdot 2 \cdot 2^2} = 430 \text{ kgf/cm}^2. \quad (\text{v. 8.21})$$

Pentru bare cu secțiune dreptunghiulară  $120 \times 10 \text{ E} - \text{Al}$ ,  $F_{0,2} = 700 \text{ kgf/cm}^2$  (tabelul 8.5) în conformitate cu aceasta,

$$\sigma_t < \sigma_{0,2} \quad (\text{v. 8.24})$$

și deoarece,  $\sigma_h + \sigma_t = (340 \dots 885) + 430 = 770 \dots 1315 \text{ kgf/cm}^2$ ,

$$\sigma_h + \sigma_t < 2 \sigma_{0,2} \quad (8.23)$$

Decarece  $\sigma_h + \sigma_t > 0,8 \sigma'_{0,2} = 760 \text{ kgf/cm}^2$ ,

$$v_F = v_\sigma = 1. \quad (\text{v. 8.27})$$

#### Efortul unitar pe izolatoare

$$F_d = 1 \cdot 2,04 \cdot 73,5^2 \cdot \frac{90}{21} \cdot 10^{-2} = 472 \text{ kgf} \quad (\text{v. 8.18}); (8.33)$$

cu  $h = 90 \text{ mm}$  (semilățimea barei  $b/2 = 60 \text{ mm}$ , înălțimea armăturii suport de tip jug a barei  $30 \text{ mm}$ ). Se alege izolatoare întărit din rășină turnată, de tip SIGB 10 N. Conform fig. 8.31 sarcina maximă nominală a acestui izolatoare pentru ( $h=90$ ) este  $F_h = 625 \text{ kgf}$ , astfel încît sarcina admisibilă poate să ajungă la  $0,8 \cdot 625 \text{ kgf} = 500 \text{ kgf}$ , valoare mai mare decît cea calculată pentru efortul pe izolatoare  $F_d$ .

Pentru conductoarele principale (fazele) exterioare s-a obținut  $v_F = 1$ , cu efortul maxim din bară determinat de  $l_t = 45 \text{ cm}$ . În cazul cînd piesele de distanțare ar fi fost dispuse simetric în raport cu conductoarele derivație, adică la  $l_t = 24 \text{ cm}$ , ceea ce ar fi fost favorabil pentru capacitatea de încărcare a conductorului principal,  $\sigma_t = 123 \text{ kgf/cm}^2$ ,  $\sigma_h + \sigma_t = 463 \text{ kgf/cm}^2$  și, din ecuația (8.26) s-ar fi obținut  $v_F = 1,64$ .

Izolatoarele suport de tipul B ar fi deci necorespunzătoare. Totuși, s-ar putea realiza un factor de frecvență mai mic decît 1,64 pe baza raportului de frecvență din fig. 8.28. Acest lucru se analizează în cele ce urmează:

$$\text{Luînd } l/\sqrt{a} = 90, \text{ conform fig. 8.28 se obține } \frac{f_{00}}{f} = 1,23.$$

$$\text{Luînd } \frac{G}{t g_t l} = \frac{0,5}{2 \cdot 0,0324 \cdot 90} = 0,086, \text{ conform fig. 8.29, a.}$$

Se obține din diagramă, pentru  $k = 2$ ,  $c_1 = 1,52$  (fig. 8.29, a).

Influența masei și rigidității conductoarelor derivație asupra frecvenței

Momentul de inerție al conductorului principal

$$J = W \left( d + \frac{d}{2} \right) = 10,4 \cdot 1,5 = 15,6 \text{ cm}^4 \text{ (} W \text{ din tabelul 8.4, a)}.$$

Momentul de inerție al conductorului derivație

Lungimea conductorului derivație este de 27,7 cm, valoare mai mare decât  $0,3 l = 27 \text{ cm}$ , ceea ce înseamnă că conductorul derivație se consideră elastic, cu  $u = 0,37$  pentru  $l_a/l = 24/90 = 0,267$  (fig. 8.30)

$$c_3 = \sqrt{\frac{1 + \frac{1}{16} (0,5/15,6) (90/27,7)^3 \cdot 0,37}{1 + (6/24) (27,7/90) \cdot 0,37}} = 1,0 \quad (\text{v. 8.30})$$

Influența cotelui derivației asupra frecvenței

$$\text{Avind } \frac{G}{t g_t (l - l_a)} = \frac{0,5}{2 \cdot 0,0324 (90 - 24)} = 0,117, \text{ pentru } k = 1$$

(în deschiderea  $l - l_a$ ),  $c_1 = 0,89$  (fig. 8.29, a),

$$c_3 = 1 + \left[ \left( \frac{90}{90 - 24} \right)^2 \frac{0,89 \cdot 1}{1,52 \cdot 1} - 1 \right] \sin 50^\circ = 1,07 \quad (\text{v. 8.32})$$

Raportul frecvențelor

$$\frac{f_s}{f} = 1,23 \cdot 1,52 \cdot 1,0 \cdot 1,07 = 2,0 \quad (\text{v. 8.28})$$

Factorul de frecvență

$$v_F \approx 5 \text{ (fig. 8.28).}$$

Deoarece rezonanța se produce la curentul de frecvență dublă, nu apare pericolul de a nu se atinge factorul de frecvență  $v_F = 1,64$  determinat conform ecuației (8.26); dimpotrivă, în cazul unui scurtcircuit cu  $\hat{i}_s = 73,5 \text{ kA}$  efectul de rezonanță este limitat în mod considerabil. O dispoziție simetrică a pieselor intermediare ( $l_t = 24 \text{ cm}$ ) în locul dispoziției asimetrice alese ( $l_t = 24 \text{ cm}$  pentru conductorul derivație;  $l_t = 45 \text{ cm}$  pentru piesa intermediară) ar duce la creșterea efortului la izolator cu 64% pentru conductoarele principale exterioare.

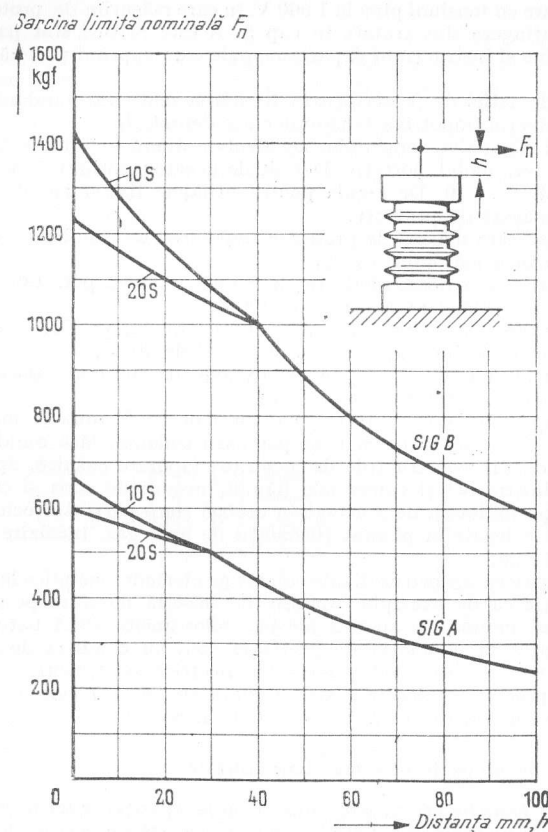


Fig. 8.32. Sarcina de încovoiere maximă nominală pentru izolatoare din rășină turnată, seria 10 S și 20 S.

### 8.3. PROTECȚIA ÎMPOTRIVA TENSIUNILOR ACCIDENTALE ÎN INSTALAȚII DE CURENȚI TARI

#### 8.3.1. Instalații cu tensiuni nominale pînă la 1000 V

Prescripțiile în vigoare (normative, standarde, instrucțiuni) privind construcția instalațiilor și echipamentelor energetice cu tensiuni pînă la 1000 V cuprind și prevederi speciale referitoare la protecția împotriva tensiunilor accidentale. Dintre acestea, principala prescripție în vigoare în România cu caracter republican este Normativul C S C A S I 7-68 pentru proiectarea și executarea instalațiilor



electrice interioare cu tensiuni pînă la 1 000 V, în care măsurile de protecție împotriva tensiunilor de atingere sînt tratate în cap 5. Aceste măsuri sînt particularizate în diferite normative și instrucțiuni departamentale care cuprind precizări și completări specifice.

În afară de astfel de prescripții în România mai sînt standarde și normative specifice de protecție împotriva tensiunilor accidentale.<sup>1)</sup>

Protecțiile împotriva tensiunilor accidentale diferă în funcție de categoria utilajului electric: fix, mobil, portativ. Definițiile acestor noțiuni sînt date în STAS 8275-68 pct. 1.8 ... 1.10. De regulă pentru utilajele fixe și mobile se prevăd aceleași limite și măsuri de protecție.

Nu sînt necesare măsuri de protecție împotriva tensiunilor de atingere pentru astfel de utilaje în următoarele cazuri:

— în locurile periculoase (definite în STAS 8275-68 pct. 1.6) dacă tensiunile nominale ale instalațiilor sînt mai mici de 65 V;

— în locurile foarte periculoase (definite în STAS 8275-68 pct. 1.5) dacă tensiunile nominale ale instalațiilor sînt mai mici de 40 V;

— în locurile foarte periculoase din excavațiile subterane dacă tensiunile nominale ale instalațiilor sînt mai mici de 24 V;

— la echipamentele cu tensiuni mai mari de 65 V pînă la maximum 250 V față de pămînt din încăperi normale cu pardoseli izolante, fără umiditate, praf, vapori corosivi etc., din construcțiile de locuințe (aparate casnice, aparate de încălzire etc.), administrative și comerciale (lămpi, mașini de scris și calculat etc.), în care nu există posibilitatea de a atinge în același timp părți din echipamentul electric fix și obiecte legate la pămînt (instalații de apă, gaz, încălzire etc.) sau două utilaje electrice fixe;

— la echipamente electrice fixate solidar pe elemente metalice legate la o instalație de protecție ca de exemplu: aparate de măsură montate pe stelaje metalice legate la pămînt, motoare și aparate ale mașinilor-unelte, dacă batiul pe care sînt montate este legat la instalația de protecție etc., cu condiția de a se realiza un contact sigur între carcasa echipamentelor electrice și elementele metalice legate la instalația de protecție și dacă nu există posibilitatea de a se face ineficace protecția prin demontarea unora dintre aceste elemente metalice.

#### Sistemele de protecție cele mai larg utilizate

*Izolarea de protecție* are ca scop împiedicarea apariției unei tensiuni periculoase cînd un om atinge un echipament electric defect; această izolare este destinată exclusiv protecției împotriva tensiunilor accidentale și se aplică suplimentar față de izolarea de lucru<sup>2)</sup>.

Izolarea de protecție poate fi realizată prin:

— izolarea de protecție a echipamentului electric;

— izolarea amplasamentului efectuată special pentru izolarea omului față de pămînt sau obiecte conductive în contact cu pămîntul aflate în zona de manipulare.

Izolarea de protecție a echipamentului electric este de preferat izolării amplasamentului.

În cazul izolării de protecție a unei mașini, toate părțile conductoare cu care se pot produce atingeri și care în cazul unui defect pot primi în mod direct sau indirect tensiune, trebuie să fie prevăzute cu un înveliș (strat) rezistent și durabil din material izolant.

Izolarea amplasamentelor în scopuri de siguranță este admisibilă numai în cazul instalațiilor fixe. Într-un asemenea caz, izolația trebuie să acopere atît pardoseala, cît și orice elemente componente conductoare accesibile care sînt în contact cu pămîntul.

*Tensiuni reduse de protecție* ( $\leq 42$  V) se folosesc pentru a împiedica apariția unor tensiuni de atingere periculoase. Circuitele de curent de pe partea tensiunii reduse trebuie să fie izolate față de pămînt și să nu fie legate galvanic cu instalații cu tensiune mai ridicată (fig. 8.33).

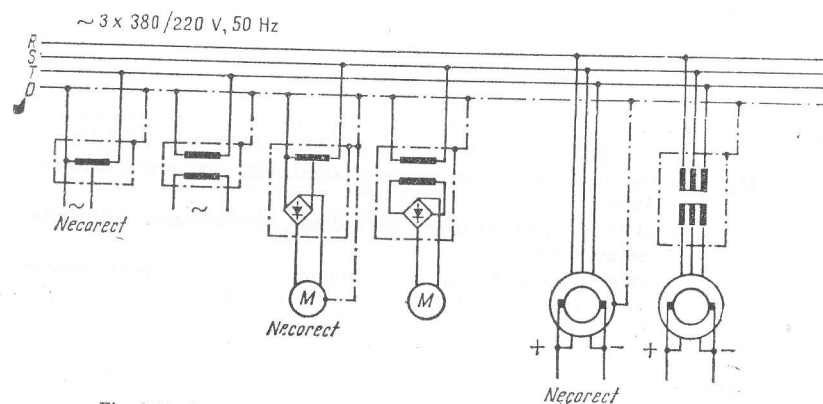


Fig. 8.33. Exemple de metode corecte și incorecte de obținere a tensiunilor reduse pentru protecție.

Domeniu de aplicație: lămpi de iluminat și unelte electrice portative folosite în locuri periculoase și foarte periculoase cum sînt cele folosite în cazane, în medii umede, dispozitive electrice de comandă la distanță nelegate la o instalație de protecție, dispozitive cu încălzire electrică pentru tratament dermatologic sau pentru pîr și jucării electrice. La acestea din urma tensiunea maximă de alimentare este 24 V. Pentru alte categorii de utilaje și locuri în care sînt folosite tensiuni reduse de alimentare sînt indicate în STAS 2612-68 și Normativul I-7-68.

Tensiunile reduse se pot obține din transformatoare cu înfășurări separate din punct de vedere electric, grupuri convertizoare și acumulatori (acestea din urmă nu se vor încărca de la barele principale în timpul funcționării).

*Legarea la pămînt de protecție* este destinată să împiedic existență de durată mai mult de 3 s a unei tensiuni de atingere periculoase la părțile componente conductoare care nu fac parte din circuitul de lucru. Ea se realizează prin conectarea elementelor componente respective la o instalație de legare la pămînt (fig. 8.34).

Rezistența de dispersie a acestora se determină cu relația  $R_p = \frac{U_a}{I_{def}}$ ,

<sup>1)</sup> Normele Republicane de Protecția muncii 1966, cap. VIII.

STAS 6616-1969 Instalații de legare la nul de protecție.

STAS 6119-1968 Instalații de legare la pămînt de protecție.

STAS 8275-1968 Protecția împotriva electrocutărilor. Terminologie.

STAS 2612-1968 Protecția împotriva electrocutărilor. Limite admisibile.

<sup>2)</sup> Prin izolare de lucru se înțelege izolarea normală prevăzută pentru buna funcționare a echipamentului prin evitarea scurtcircuitelor, pierderilor de curent etc.

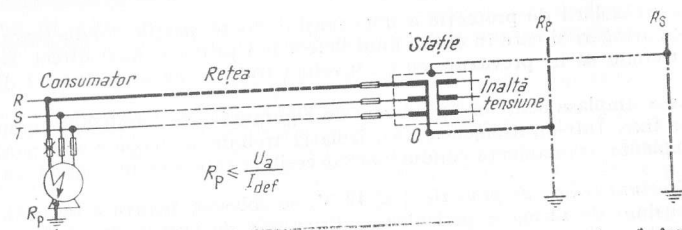


Fig. 8.34. Schema unei rețele la care punctul neutru este legat la pământ; legarea la pământ de protecție:

$I_{def}$  — curentul protecției maxime majorat cu un coeficient conform STAS 6119-68;  $R_p$  — rezistența instalației de legare la pământ a sistemului de joasă tensiune;  $R_s$  — legătura la pământ de protecție a părții de înaltă tensiune.

unde:  $I_{def}$  este curentul de defect la care se deconectează sigur echipamentul defect prin protecția acestuia (v. STAS 6119-68 pct 1.4.1);

$U_a$  —

tensiunea de atingere maxim admisibilă care are următoarea valoare:

- 65 V în cazul locurilor periculoase, deconectarea realizându-se în cel mult 3 s;
- 40 V în cazul locurilor periculoase cînd nu se poate asigura deconectarea în mai puțin de 3 s și în cazul locurilor foarte periculoase;
- 24 V în cazul instalațiilor din excavațiile subterane.

Condițiile de realizare a instalațiilor de legare la pământ de protecție sînt date în STAS 6119-68.

Legarea la nul de protecție are drept scop împiedicarea existenței de durată a unor tensiuni de atingere periculoase pe părțile componente care nu fac parte din circuitul de lucru. Această protecție necesită în instalația respectivă un punct neutru legat la pământ printr-o rezistență neglijabilă și se realizează prin legarea elementelor componente care trebuie protejate la conductorul de nul racordat la punctul de nul al rețelei. În rețelele și instalațiile în care se folosește legarea la nul de protecție se admite și legarea la pământ de protecție, folosind însă numai instalații de legare la pământ care au legături directe cu conductoare de nul de protecție din rețeaua respectivă.

Conductorul de nul trebuie să fie legat la pământ în apropierea sursei de alimentare (generatorul sau transformatorul), iar în rețelele cu linii aeriene trebuie să fie legat și la capătul fiecărei derivații din rețea (orice derivație cu lungimea de peste 200 m), precum și pe traseu la anumite intervale. De asemenea se leagă la pământ suplimentar bornele sau barele de nul ale tuturor tablourilor de distribuție (generale, principale, intermediare și secundare).

De regulă instalațiile de legare la pământ care deservesc instalația de legare de nul trebuie să aibă o rezistență de dispersie sub valoarea de 4  $\Omega$ . Excepție fac prizele de pământ la care se racordează nului rețelelor electrice aeriene. La acestea, dacă distanța între două prize de pământ este mai mare de 200 m, dar mai mică

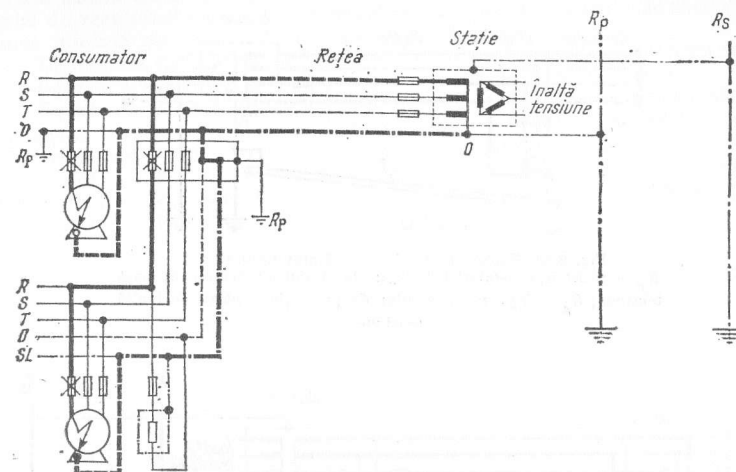


Fig. 8.35. Exemplu de folosire a legării la nul cu conductorul de nul de lucru separat de cel de legare la nul de protecție.

de 500 m, rezistența de dispersie maximă trebuie să fie de 10  $\Omega$ . Dacă această distanță este mai mică sau cel mult egală cu 200 m rezistența de dispersie trebuie să fie sub 20  $\Omega$ .

În afară de legarea la nul, la utilajele fixe sau mobile trebuie să se mai prevadă o măsură suplimentară de protecție în următoarele cazuri întîlnite foarte des în instalațiile de joasă tensiune (STAS 6616-69 pct. 4.6):

— pentru legarea la nul se folosește unul din conductoarele de aluminiu ale cablurilor;

— locul de muncă este periculos sau foarte periculos.

Ca măsură suplimentară de protecție se poate aplica una din următoarele măsuri posibile:

— legarea la o instalație de legare la pământ;

— executarea unor legături suplimentare între carcassele echipamentelor grupate în același loc;

— egalizarea potențialelor în zona de manipulare;

— izolarea amplasamentelor în zona de manipulare;

— aplicarea unei protecții automate împotriva tensiunilor de atingere (PATA) sau împotriva curenților de defect (PACD).

Pentru executarea instalațiilor de legare la pământ trebuie să se folosească de preferință prizele naturale cum sînt:

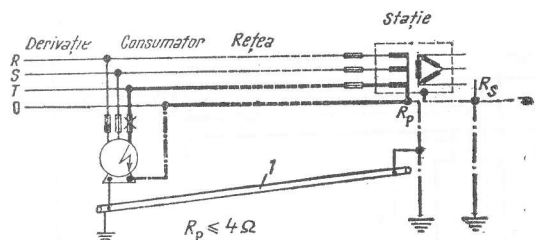


Fig. 8.36. Folosirea prizelor de pământ naturale:  
 $R_p$  — rezistența instalației de legare la pământ a sistemului de joasă tensiune;  $R_s$  — legătura la pământ de protecție a părții de înaltă tensiune.

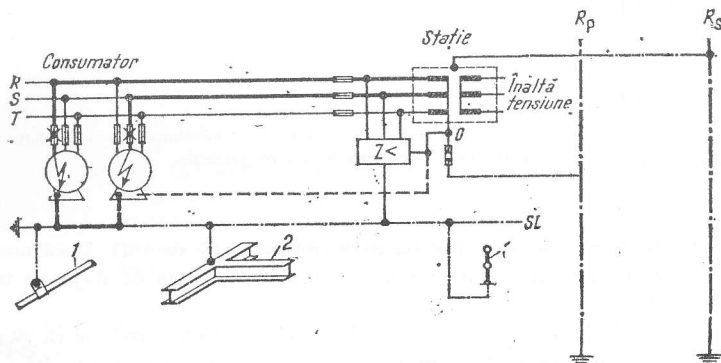


Fig. 8.37. Exemple de folosire a prizelor naturale:  
 0 — conductorul de nul; SL — conductor de legare la pământ; 1 — sistem de alimentare cu apă; 2 — șarpanta metalică a clădirii; 3 — șină.

- armăturile metalice ale construcțiilor de beton armat;
- construcții metalice cu caracter permanent;
- conducte metalice de apă îngropate;
- învelișurile metalice continue ale cablurilor electrice îngropate;
- țevile metalice pentru foraje.

Sînt interzise conductele prin care trec fluide combustibile sau elemente care prin demontarea lor probabilă ar modifica condițiile de protecție.

O instalație de legare la pământ la care se racordează barele sau bornele de nul ale tablourilor de distribuție, poate fi folosită și pentru legarea carcaselor echipamentelor electrice care trebuie legate la pământ.

Construcțiile metalice ale clădirilor sau ale altor construcții tehnologice constituite din elemente montate fix (cu caracter permanent) poate fi folosite și drept conductoare de nul de protecție dacă îndeplinesc condițiile necesare de secțiune și

continuitate. Se admite să fie neizolat conductorul de nul de protecție numai pînă la ultimul tablou de distribuție în sensul transportului de energie; în acest caz, indiferent de rezultatul calculului secțiunii în funcție de condițiile de deconectare, secțiunea minimă este 50 mm<sup>2</sup> oțel sau 16 mm<sup>2</sup> cupru.

De la acest tablou pînă la receptor conductorul de nul de protecție va fi izolat și protejat în aceleași condiții ca și conductoarele de fază (de lucru).

În cele de mai sus s-au menționat unele din condițiile principale ale protecției prin legare la nul. Restul condițiilor sînt indicate în STAS 6616-69 și normativele sau instrucțiunile departamentale. Dintre acestea din urmă se poate menționa Normativul MEE 1 S-2-69 privind proiectarea și execuția instalațiilor electrice sub 1000 V și Instrucțiunile MEEPE 121/70 privind proiectarea și execuția instalațiilor de legare la pământ.

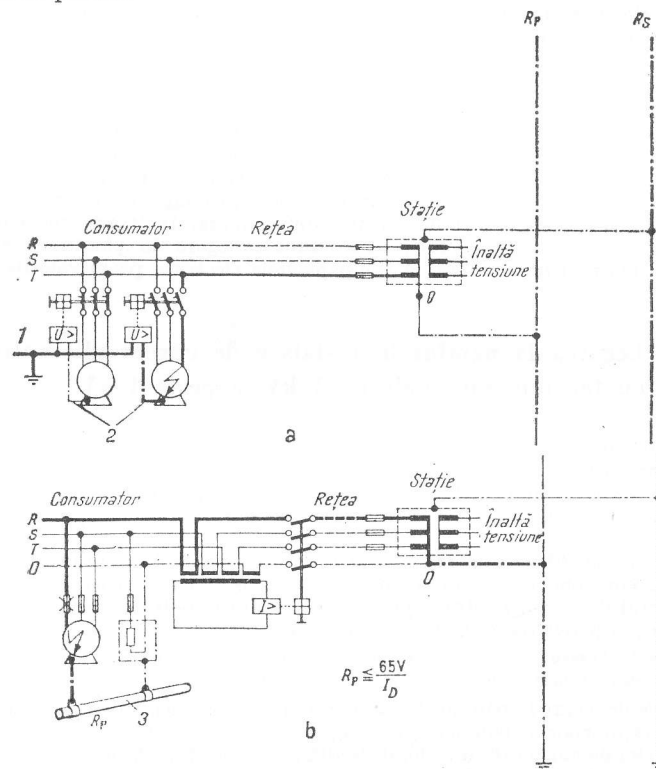


Fig. 8.38. Exemple de sistem de protecție prin deconectare automată:  
 a — împotriva tensiunii de atingere; b — împotriva curentului de punere la pământ;  $R_p$  — legătura la pământ a sistemului de joasă tensiune;  $R_s$  — legătura la pământ de protecție a părții de înaltă tensiune; 1 — priză auxiliară de pământ; 2 — conductor de protecție; 3 — sistem de alimentare cu apă;  $I_D$  — curentul limită de punere la pământ (curentul de declanșare) al întreruptorului automat de curent de defect (PACD).

**Protecția automată împotriva tensiunilor de defect (PATD)** are drept scop să împiedice existența de durată a unei tensiuni de atingere periculoase, pe un element conductor component al instalației care nu face parte din circuitul de lucru, prin separarea rapidă (în interval de 0,2 s) a instalației sau echipamentului defect la astfel de tensiuni. Ori ce conductor de nul care face parte din schemă va fi întrerupt în același timp.

Protecția PATD se compune din întreruptorul automat, un releu de tensiune maximă, un dispozitiv de control al bunei funcționări, conductorul de protecție, conductorul auxiliar de legare la pământ și priza de pământ auxiliară.

Electrodul prizei auxiliare trebuie să fie amplasat la o distanță de minimum 10 m de alți electrozi de legare la pământ. Conductorul auxiliar de legare la pământ trebuie să fie izolat corespunzător. Conductorul de protecție nu trebuie să vină în atingere cu elemente componente conductoare, care nu fac parte din circuitul de lucru, al unor echipamente electrice la care legăturilor se întrerup în caz de defect cu ajutorul întreruptorului automat; în caz contrar conductorul de protecție se va monta de asemenea cu izolație corespunzătoare.

**Protecția automată împotriva curenților de defect (PACD)** are drept scop să împiedice existența de durată a unei tensiuni de atingere periculoasă pe elemente conducătoare componente ale instalației, care nu fac parte din circuitul de lucru, făcând ca un curent de defect, care depășește o valoare predeterminată, să întrerupă toate liniile de alimentare și orice conductor de nul într-un interval de 0,2 s. Întreg echipamentul protejat de întreruptoare automate PACD se va racorda la o instalație de legare la pământ, a cărei rezistență de dispersie trebuie astfel determinată, încât trecerea curentului de declanșare al întreruptorului PACD prin circuitul de legare la pământ să nu provoace apariția unei tensiuni de atingere, la echipamentele electrice, peste valorile admisibile.

### 8.3.2. Legarea la pământ în instalații de curent alternativ cu tensiuni nominale de 1 kV și peste 1 kV

Prescripția de bază pentru astfel de instalații o constituie STAS 7334-70<sup>1)</sup>. Această prescripție nu se referă la instalațiile din excavațiile subterane ale exploatărilor miniere, la instalațiile din medii cu pericol de explozie și la instalațiile de tracțiune electrică, pentru care se vor respecta prescripțiile tehnice specifice instalațiilor respective.

**Legarea la pământ de protecție** este legarea rigidă la pământ a unui element conductor component al unui echipament sau instalații electrice care nu fac parte din circuitul de lucru, pentru a proteja personalul împotriva unei tensiuni de atingere și de pas periculoase, în condiții de defect.

**Legarea la pământ de exploatare** este legarea la pământ a unui element component al instalației, care face parte din circuitul de lucru.

Exemple de legare la pământ de exploatare (fig. 8.39): legarea la pământ a punctelor neutre ale înfășurărilor, a bobinelor de compensare, a punctului neutru al rezistențelor, a conductoarelor de nul, a înfășurărilor de înaltă tensiune a transformatoarelor de tensiune și a condensatoarelor (legarea la pământ a înfășurărilor de înaltă tensiune ale transformatoarelor se poate executa la dispozitivul de legare la pământ de protecție al carcaselor și cuvelor lor).

<sup>1)</sup> STAS 7334-70 Instalații electrice de 1 000 V și peste 1 000 V. Instalații de legare la pământ de oțec ție.

Exemple :

Mașini

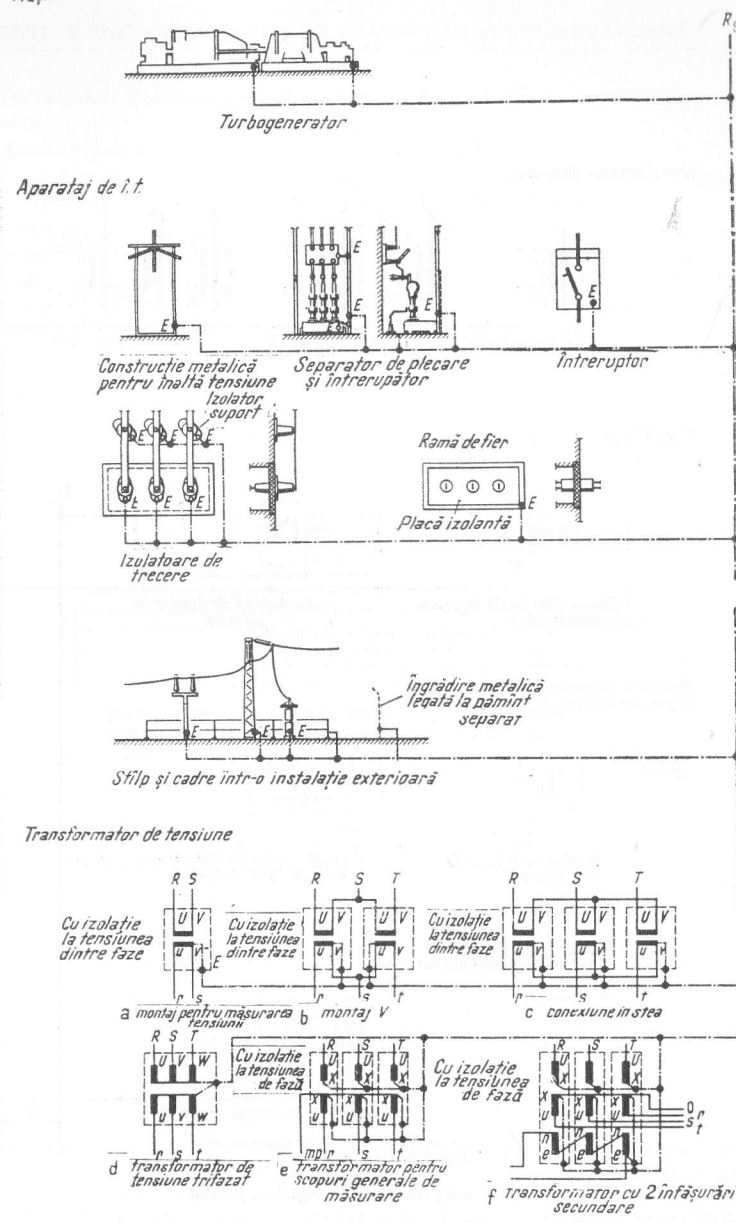


Fig. 8.39. Exemple de legări la pământ.



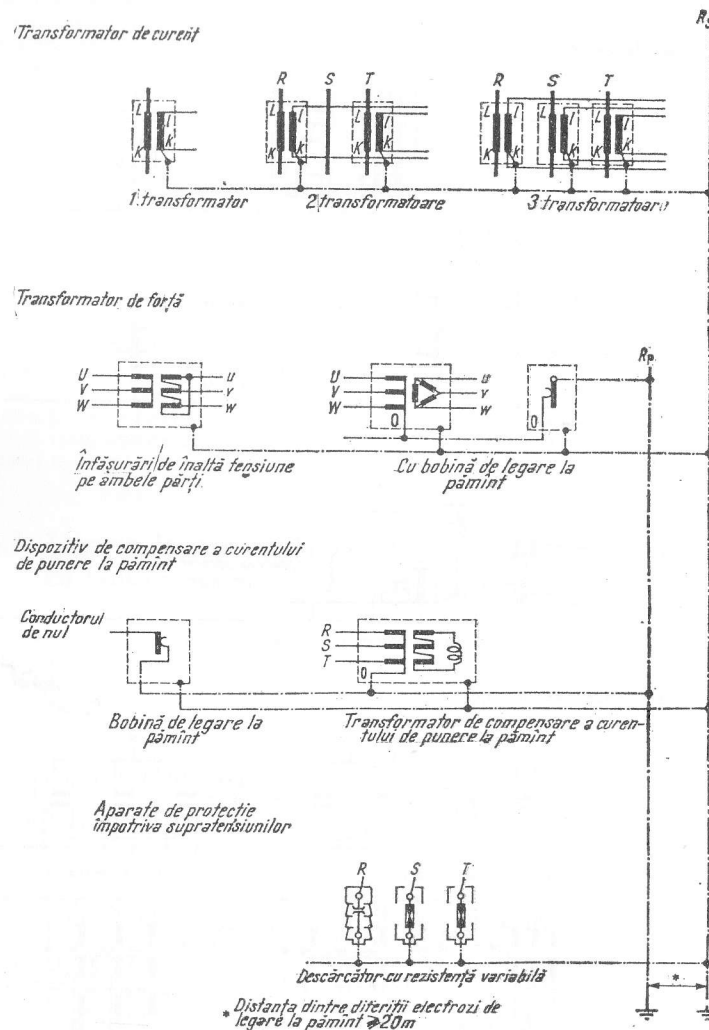


Fig. 8.39 Exemple de legări la pământ

Conductoarele de legare la pământ aparținând instalației de legare la pământ sunt următoarele:

- conductoarele principale de legare la pământ;
- conductoarele de ramificație care stabilesc legăturile dintre elementele ce se leagă la pământ și un conductor principal de legare la pământ;
- conductoarele care stabilesc legăturile între conductoarele principale de legare la pământ și prizele de pământ respective.

Conductoarele de legare la pământ trebuie să fie astfel dimensionate încât temperatura lor să nu depășească valoarea de  $200^{\circ}\text{C}$  în medii cu pericol de incendiu și  $300^{\circ}\text{C}$  dacă nu există un astfel de pericol.

În cazul rețelor cu neutrul izolat sau cu compensarea curentului de punere la pământ, conductoarele de legare la pământ trebuie să fie dimensionate la solicitarea termică apărută în cazul unei duble puneri la pământ (scurtcircuit bifazat metalic).

Elementele metalice componente, care nu fac parte din circuitul de lucru, ale instalațiilor și echipamentelor, cu tensiuni nominale de și peste 1 kV, trebuie să fie legate la pământ dacă există posibilitatea de a veni în atingere cu părți sub tensiune înaltă ca urmare a unor defecte de izolație sau printr-un arc electric.

Exemple de legare la pământ sunt date în fig. 8.40.

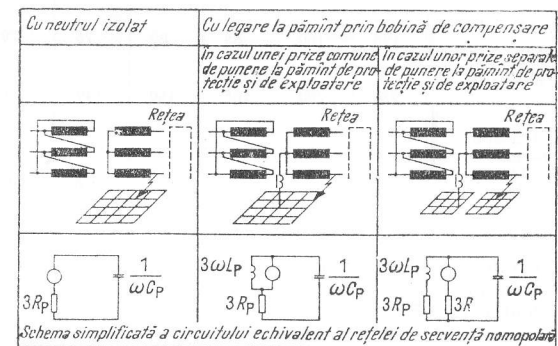


Fig. 8.40. Curentul prin rezistența de dispersie a prizei de pământ a unei stații;

$R_p$  — rezistența de dispersie a prizei de pământ a instalației de legare la pământ a stației;  $R$  — rezistența de dispersie a prizei de pământ a instalației de legare la pământ de exploatare a stației;  $L_p$  — inductivitatea bobinei de compensare;  $C_p$  — capacitatea față de pământ a rețelei.

Dispozitivele mobile de scurtcircuitare și legare la pământ sunt destinate pentru legarea la pământ a elementelor conductoare făcând parte din circuitele de lucru (scoase de sub tensiune pentru lucrări) în vederea realizării protecției împotriva electrocutării lor prin atingere directă în timpul executării lucrărilor în instalația respectivă. Elementele componente ale acestor dispozitive (conductoare și cleme de legătură), trebuie



să poată rezista la curenții de scurtcircuit care ar apărea în punctul lor de instalare. Se vor folosi numai conductoare de cupru. Densitatea de curent maxim admisibilă este  $j = 264 \text{ A/mm}^2$ .

Rezistența admisibilă de dispersie a instalațiilor de legare la pământ în cazul aplicării în instalațiile de înaltă tensiune a protecției prin legare la pământ

Rezistența de dispersie maximă admisă rezultă din condițiile din STAS 7334-70. În cazul în care instalația de legare la pământ de pe partea de înaltă tensiune este separată de cea din rețeaua de joasă tensiune care alimentează consumatorii din afara instalației electrice de înaltă tensiune, rezistențele de dispersie rezultă din condiția ca tensiunile de atingere și de pas să fie mai mici sau cel mult egale cu valorile din tabelul 8.6 a în funcție de timpul curentului de punere la pământ prin priză (timpul de bază al protecției respective) și de categoria instalației.

Tabelul 8.6 a

Categorii instalației sau echipamentului	Timpul de întrerupere a curentului de punere la pământ prin priză s							
	≤ 0,2	0,3	0,4	0,5	0,6	0,7	0,8...3	≥ 3
I Din zonă cu circulație frecventă	125	100	85	80	75	70	65	40
II Din zonă cu circulație redusă	250	200	165	150	140	130	125	125
III Din zonă cu circulație redusă și se folosesc mijloace individuale de protecție izolante	500	400	330	300	280	260	250	250

În cazul instalațiilor electrice din afara incintelor industriale (stații, posturi, centrale), pentru timpi mai mari de 3 s și zone cu circulație frecventă, se admite de asemenea valoarea de 65 V.

Pentru posturile de transformare și stâlpii liniilor electrice aeriene se prevăd condiții speciale.

La determinarea rezistenței de dispersie trebuie să se ia în considerație și coeficienții de atingere  $k_a$  și de pas  $k_{pas}$  ai instalației de legare la pământ respective (STAS 7334-70 pct. 2.3.1).

În acest scop se prevăd electrozi special destinați dirijării cât mai favorabile a distribuției potențialelor.

Relațiile de determinare a rezistenței de dispersie sînt:

$$R_p \leq \frac{U_a}{k_a I_p} \text{ și } R_p \leq \frac{U_{pas}}{k_{pas} I_p}$$

Se va mai efectua o verificare la stabilitatea termică astfel încît temperatura pe suprafața electrozilor prizei să nu depășească valoarea de 95°C. Condițiile de stabilitate termică sînt:

a) regim termic de lungă durată (nelimitat)

$$R_p \leq \frac{12 \sqrt{\rho}}{I_p};$$

b) regim termic limitat la un timp egal cu cel indicat în tabelul 8.6 b în funcție de rezistivitatea solului, dacă timpul de deconectare considerat  $t'$  este diferit de cel din tabel  $t$ , însă nu mai mare decît acesta:

$$R_p \leq \frac{125}{I_p} \sqrt{\frac{t}{t'}};$$

Tabelul 8.6 b

Rezistența solului $\Omega m$	Durata $t$ maximă, în min	
	Priză verticală din țevi	Priză orizontală din bandă sau bară rotundă
50	100	30
100	200	60
200	400	120
300	600	180

c) Regim termic de scurtă durată,  $t$  de ordinul secundelor; suprafața electrozilor prizei în  $m^2$  trebuie să fie:

$$S = I_p \cdot \sqrt{\rho t} \cdot 10^{-4}$$

În relațiile de mai sus  $\rho$  se exprimă în  $\Omega \cdot m$ , iar  $I_p$  în A.

#### Folosirea în comun a instalațiilor de legare la pământ

1. La instalațiile electrice (centrale, stații, posturi de transformare) unde partea de joasă tensiune este utilizată numai pentru alimentarea unor consumatori proprii din incinta acestora se va folosi totdeauna în comun instalația de legare la pământ atît pentru partea de joasă tensiune cît și pentru partea de înaltă tensiune.

**Definiție.** Prin consum propriu al unei centrale, stații de conexiune sau de transformare se înțelege necesarul de putere pentru asigurarea funcționării echipamentului electric auxiliar, încălzire și iluminatul instalației; în această categorie mai sînt cuprinse încăperile administrative și birourile, terenul instalației și locuințele din cadrul unor asemenea instalații sau oricare alți consumatori din zona prizei de pământ, care sînt alimentați din rețeaua serviciilor proprii (auxiliare).

Se vor lega între ele elementele componente ale instalațiilor de legare la pământ de protecție.

Instalațiile de legare la pământ de protecție ale instalațiilor de înaltă tensiune vor fi legate cu instalația de legare la pământ de exploatare și cu cele ale instalațiilor de pe partea de joasă tensiune.

2. La instalațiile electrice (centrale, stații, posturi de transformare) a căror parte de joasă tensiune alimentează consumatorii din afara instalației respective se va folosi în comun instalația de legare la pământ în următoarele cazuri:

— rețeaua de înaltă tensiune este compusă în întregime din cabluri cu mantale exterioare conductoare;

— rețeaua de înaltă tensiune este compusă din linii aeriene și cabluri având mantale exterioare conductoare — numai pentru instalațiile din zona în cablu a rețelei —; această zonă în cablu a rețelei trebuie să aibă o lungime totală de minimum 3 km.

Dacă rețeaua de înaltă tensiune este compusă din linii aeriene sau cabluri fără înveliș metalic, de regulă instalația de legare la pământ pentru partea de joasă tensiune se va separa față de instalația de legare la pământ de pe partea de înaltă tensiune. Separarea va fi astfel realizată încât să nu rezulte în rețeaua de joasă tensiune, tensiuni de atingere și de pas mai mari de 65 V; se va realiza distanțarea electrozilor prizelor de pământ la cel puțin 20 m între ei, distanțarea necesară între conductoarele de legare la pământ sau intercalarea de materiale izolante.

În cazul în care separarea practic nu se va putea realiza sau ar necesita cheltuieli mari, se va putea folosi în comun instalația de legare la pământ numai dacă se respectă condiția ca rezistența instalației de legare la pământ să fie

$$R_p \leq \frac{65}{I_p}.$$

La posturile de transformare la care se folosește în comun instalațiile de legare la pământ, indiferent de rezultatele calculului, rezistența de dispersie trebuie să fie mai mică sau cel mult egală cu 4  $\Omega$ .

#### Stilpii liniilor aeriene

La stilpii fără aparatăi ai oricăror linii electrice aeriene din zona cu circulație redusă (definite în STAS 8275-68 pct. 1. 14) tensiunile de atingere și de pas nu se normează și deci instalațiile de legare la pământ de la acești stilpi se dimensionează numai din condiții de protecție împotriva supratensiunilor atmosferice.

În rețelele cu neutrul izolat sau legat la pământ prin bobină de compensare, pentru stilpii cu aparatăi (transformator de putere sau de măsură, separator, descărcător, bobină condensator, întrerupător etc.) se aplică condițiile generale de respectare a tensiunilor de atingere și de pas aplicate instalațiilor electrice. Se impune ca personalul de exploatare să folosească mijloace individuale de protecție cînd se apropie de acești stilpi. La stilpii fără aparatăi din aceste rețele, aflați în zona cu circulație frecventă (definite în STAS 8275-68 pct. 1.15), instalațiile de legare la pământ vor fi astfel dimensionate încât tensiunile de atingere și de pas să fie mai mici sau cel mult egale cu 125 V indiferent de timpul de întrerupere a curentului de punere la pământ considerat în calcule:

$$R_p \leq \frac{125}{k_a I_p} \text{ și } R_p \leq \frac{125}{k_{pas} I_p}.$$

Se recomandă folosirea izolatoarelor nestrăpungibile.

În rețelele legate la pământ (definite în STAS 8275-68 pct. 1.12), la stilpii cu aparatăi indiferent de zonă și la stilpii fără aparatăi din zone cu circulație frecventă, instalațiile vor fi astfel dimensionate încât tensiunile de atingere și de pas să fie mai mici sau cel mult egale cu 250 V indiferent de timpul de deconectare a curentului de punere la pământ. Fac excepție stilpii din incintele îngrădite ale unităților industriale sau agricole unde valoarea limită a tensiunilor de atingere și de pas este 125 V indiferent de timpul de deconectare. Pentru ambele cazuri se recomandă folosirea de izolatoare nestrăpungibile la stilpii respectivi.

În cazul în care nu se pot realiza cu mijloace economice tensiunile de mai sus, folosirea izolatoarelor nestrăpungibile este obligatorie la stilpii respectivi, iar prizele de pământ se realizează cu cel puțin trei electrozi inelari și patru radiali pentru dirijarea distribuției potențialelor.

Curenții prin prizele de pământ în cazul punerilor la pământ în instalațiile electrice cu tensiuni nominale de și peste 1 kV

Rețelele cu neutrul izolat sau legat la pământ prin bobine de compensare. Aceste rețele vor fi prevăzute cel puțin cu protecții pentru semnalizarea punerilor simple la pământ și protecții pentru deconectarea automată în cazul punerilor duble la pământ.

Pentru calcule privind respectarea tensiunilor de atingere și de pas se consideră curentul de punere simplă la pământ sau, în cazul compensării, curentul rezidual (rezultat după compensare) însă nu mai puțin de 10 A. Timpul acestui curent se consideră de lungă durată (mai mare de 3 s).

Pentru calcule de verificare la stabilitate termică se disting două cazuri:

a) rețeaua este constituită din cabluri cu înveliș metalic continuu în întregime sau avînd o lungime predominantă (peste 66% din totalul rețelei), dar nu mai mică de 10 km; se consideră curentul de punere simplă la pământ sau cel rezidual dar nu mai puțin de 10 A, timp de lungă durată (nelimitat);

b) rețeaua este constituită din linii aeriene sau cabluri care nu îndeplinesc condițiile de mai sus; se consideră condiția cea mai grea din următoarele situații:

— curentul maxim de punere dublă la pământ printr-o rezistență de trecere la pământ de calcul de 4  $\Omega$ , la timpul protecției maxime de curent respectiv <sup>1)</sup>;

— curentul de punere simplă la pământ sau cel rezidual, dar nu mai puțin de 10 A, timp de lungă durată;

— curentul minim prin priză la care acționează protecția prevăzută pentru deconectarea automată, cu timpul considerat pentru înlăturarea punerilor simple la pământ; dacă această verificare nu dă rezultate satisfăcătoare, nu se reduce rezistența de dispersie, ci se verifică în exploatare instalațiile respective de legare la pământ cînd are loc o punere dublă nedeconectată.

Pentru determinarea curentului de calcul în cazul acestui mod de tratare a neutrului, generatorul fictiv din sistemul de secvență homopolară are drept tensiune la borne aproximativ tensiunea neutrului. Curentul rezultat determină apariția potențialului prizei de pământ la bornele unei rezistențe a cărei valoare este de trei ori mai mare decît rezistența prizei de pământ.

<sup>1)</sup> Această condiție nu se aplică în cazul stilpilor liniilor aeriene.

În cazul stațiilor din rețele de cabluri, se introduce rezistența de legare la pământ a mantalelor metalice ale cablurilor care sînt legate la pământ cînd instalația este în funcțiune. Folosind procedeul descris în cazul generatorului fictiv, se calculează potențialul prizei de pământ cu un coeficient de siguranță.

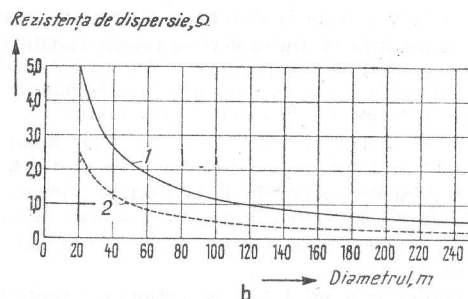
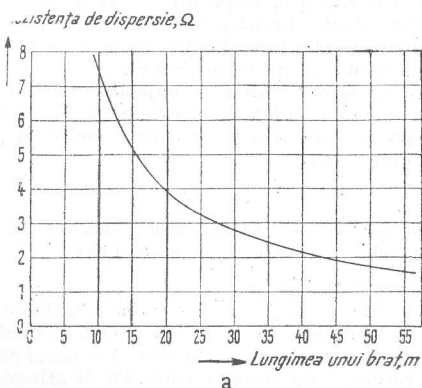


Fig. 8.41. Rezistența de dispersie a unei prize:  
a — cu electrozi dispuși radial în stea cu patru brațe, în funcție de lungimea brațelor (condiții: rezistivitatea solului 100 Ωm; diametrul echivalent al benzii 2 cm);  
b — cu electrozi din bară de cupru (secțiunea 50 mm<sup>2</sup>) dispuși în formă de inel circular și cu placă circulară în funcție de diametru (diametru 20—250 m; condiții: rezistivitatea solului 100 Ωm); 1 — inel circular; 2 — placă circulară.

**Rețele legate la pământ.** Aceste rețele vor fi prevăzute cu protecții care să decolecteze rapid (în cel mult 3 s) circuitul în cazul unei puneri la pământ monofazate în rețeaua respectivă.

Atît pentru calculele privind respectarea tensiunilor de atingere și de pas cît și pentru cele de verificare la stabilitate termică a prizei de pământ, se consideră curentul de punere la pământ maxim prin priză la un scurtcircuit monofazat în rețea, cu mențiunea că în primul caz se consideră timpul protecției de bază, iar în cel de al doilea caz timpul protecției de rezervă.

Suma vectorială a curenților de întoarcere prin pământ ai tuturor liniilor care pleacă din instalație, trece prin rezistența prizei de pământ.

Această regulă se aplică pentru defecte atît în interiorul, cît și în afara instalației. Curentul de întoarcere prin pământ este în acest caz produsul dintre curentul total de secvență homopolară  $3 I_0$  și coeficientul de reducere al liniei. Curentul de secvență homopolară se determină din calcul sau prin măsurări pe un model de rețea. Produsul dintre factorul de reducere și rezistența instalației de legare la pământ se poate de asemenea măsura.

Tensiunile care apar în cazul unui scurtcircuit la pământ, dacă nu sînt provocate prin inducție, sînt aproximativ proporționale cu curentul care circulă prin rezistența instalației de legare la pământ. Obținerea tensiunilor de atingere și de pas admisibile se poate realiza în cele mai numeroase cazuri prin combinații corespunzătoare de electrozi ai prizei de pământ în vederea dirijării avantajoase a distribuției potențialelor în interiorul incintei instalației electrice.

Potențialele prizelor de pământ ai stîlpilor liniei aeriene, care apar în cazul cel mai defavorabil al unui defect în porțiunea centrală a unei linii ce leagă între ele două transformatoare, se poate obține, pentru unele dispoziții normale ale conductorului de protecție, din fig. 8.42 ... 8.47 ca o funcție de curentul total de defect, de rezistențele instalațiilor de legare la pământ ale stîlpilor<sup>1)</sup>, de secțiunea conductorului de protecție și de lungimea medie a deschiderii.

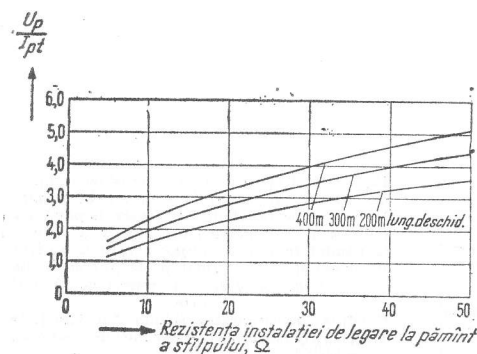


Fig. 8.42. Raportul dintre tensiunea prizei de pământ și curentul de punere la pământ în funcție de rezistența instalației de legare la pământ a stîlpului respectiv și de lungimea deschiderii, la puneri la pământ în zona de mijloc a unei linii aeriene lungi, avînd conductorul de protecție din cablu de oțel cu secțiunea de 50 mm<sup>2</sup>:

$U_p$  — potențialul prizei de pământ;

$I_{pt}$  — curentul total de punere la pământ.

Condiție: rezistivitatea solului 200 Ωm (alte valori introduc variații relativ mici în acest caz).

<sup>1)</sup> Fără conductorul de protecție

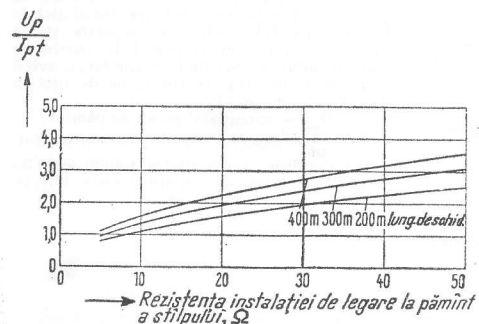
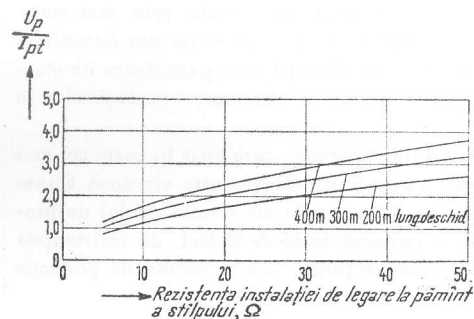
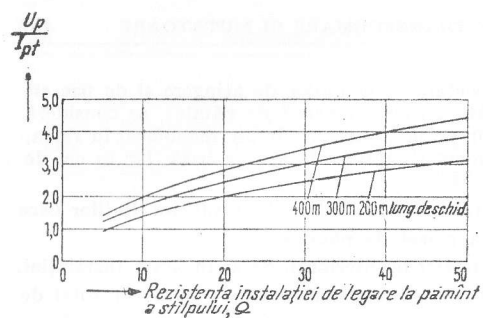


Fig. 8.43. Raportul dintre tensiunea prizei de pământ și curentul de defect la pământ în funcție de rezistența de legare la pământ a stîlpilor și de lungimea deschiderii la defecte la pământ în zona de mijloc a unei linii aeriene lungi, avînd conductorul de protecție din cablu de oțel cu secțiunea 70 mm². Condiție: rezistivitatea solului 200 Ωm (alte valori introduc variații relativ mici în acest caz).

Fig. 8.44. Raportul dintre tensiunea prizei de pământ și curentul de defect la pământ în funcție de rezistența de legare la pământ a stîlpilor și de lungimea deschiderii la defecte la pământ în zona de mijloc a unei linii aeriene lungi, avînd conductorul de protecție din cablu de oțel cu secțiunea de 95 mm². Condiție: rezistivitatea solului 200 Ωm (alte valori introduc variații relativ mici în acest caz).

Fig. 8.45. Raportul dintre tensiunea prizei de pământ și curentul de defect la pământ în funcție de rezistența de legare la pământ a stîlpilor și de lungimea deschiderii la defecte la pământ în zona de mijloc a unei linii aeriene lungi, avînd conductorul de protecție compus din două cabluri de oțel cu secțiunea de 50 mm² fiecare. Condiție: rezistivitatea solului 200 Ωm (alte valori introduc variații relativ mici în acest caz).

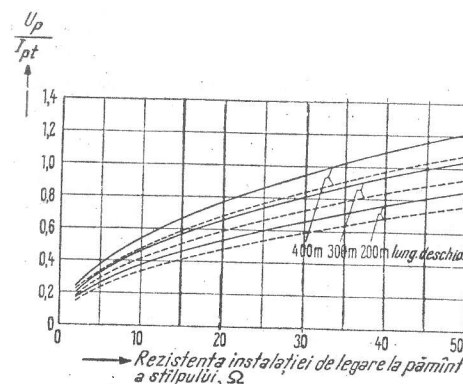
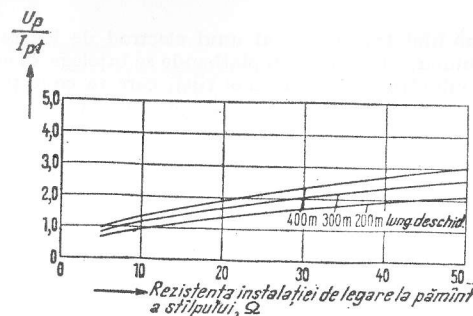


Fig. 8.46. Raportul dintre tensiunea prizei de pământ și curentul de defect la pământ în funcție de rezistența de legare la pământ a stîlpilor și de lungimea deschiderii la defecte la pământ în zona de mijloc a unei linii aeriene lungi, avînd conductorul de protecție compus din două cabluri de oțel cu secțiunea de 70 mm² fiecare. Condiție: rezistivitatea solului 200 Ωm (alte valori introduc variații relativ mici în acest caz).

Fig. 8.47. Raportul dintre tensiunea prizei de pământ și curentul de defect la pământ în funcție de rezistența de legare la pământ a stîlpilor și de lungimea deschiderii la defecte la pământ în zona de mijloc a unei linii aeriene lungi. Condiție: rezistivitatea solului 200 Ωm (alte valori introduc variații relativ mici în acest caz).

#### Rezistența prizelor simple de pământ

Rezistențele de dispersie a prizelor simple de pământ sînt date în fig. 8.48—8.53.

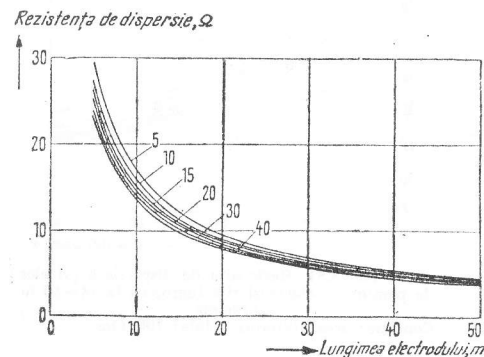


Fig. 8.48. Rezistența de dispersie a prizelor de pământ cu electrozi din bandă sau conductor cu lungimea pînă la 50 m pozați în pământ la adîncimea de 0,5 m, pentru diferite diametre și diametre echivalente ale benzii sau ale electrodului dreptunghiular, în mm. Condiții: rezistivitatea solului 100 Ωm dispoziție extinsă.



Prin diametrul echivalent pentru profilul transversal al unui electrod de legare la pământ (de exemplu un profil dreptunghiular), în cazul unei platbande se înțelege diametrul unui electrod de legare la pământ cilindric (de ex. al unei tije), care în condiții în rest egale prezintă rezistență egală.

Rezistența de dispersie,  $\Omega$

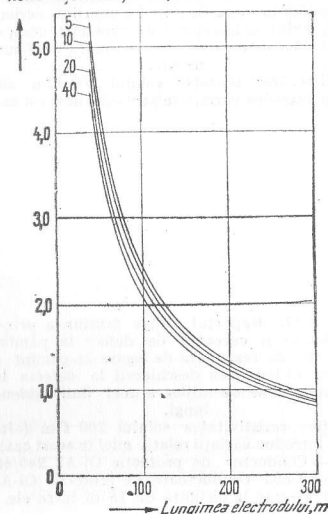


Fig. 8.49. Rezistența de dispersie a prizelor de pământ cu electrozi din bandă sau conductor cu lungimea de 40-300m poziți în pământ la adâncime de 0,5 m, pentru diferite diametre și diametre echivalente ale benzii sau ale electrodului dreptunghiular în mm.

Condiții: rezistivitatea solului 100  $\Omega$ m; dispoziție extinsă.

Rezistența de dispersie,  $\Omega$

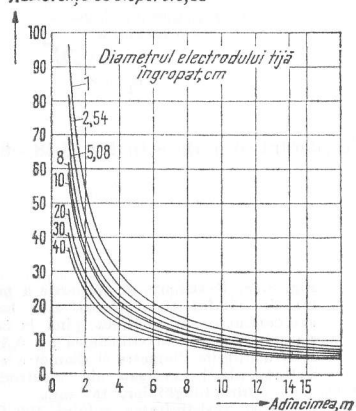


Fig. 8.50. Rezistența de dispersie a prizelor de pământ cu electrozi tijă îngropați la 1-15 m adâncime, pentru diferite diametre ale electrodului tijă îngropat, în cm. Condiție: rezistivitatea solului 100  $\Omega$ m.

Rezistența de dispersie,  $\Omega$

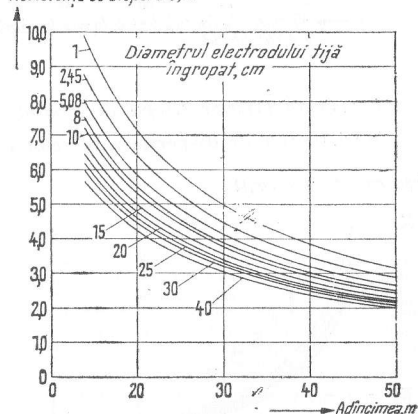


Fig. 8.51. Rezistența de dispersie a prizelor de pământ cu electrozi tijă îngropați la 14-50 m adâncime.

Condiție: Rezistivitatea solului 100  $\Omega$ m.

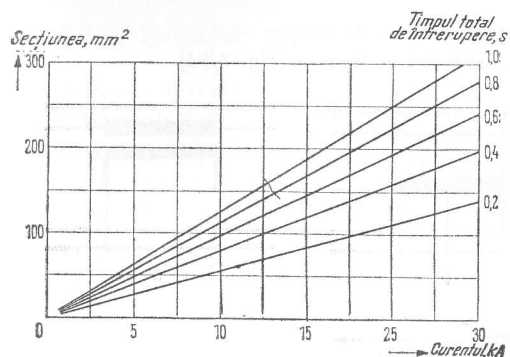


Fig. 8.52. Secțiunea necesară a conductoarelor de legare la pământ din oțel galvanizat (la cald) în funcție de mărimea curentului de dublă punere la pământ sau de scurtcircuit monofazat și de timpul total de întrerupere. Ordinul de mărime al curentului: 5-25 kA.

Condiții: Temperatura finală 300°C. Temperatura în momentul inițial a scurtcircuitului 20°C.

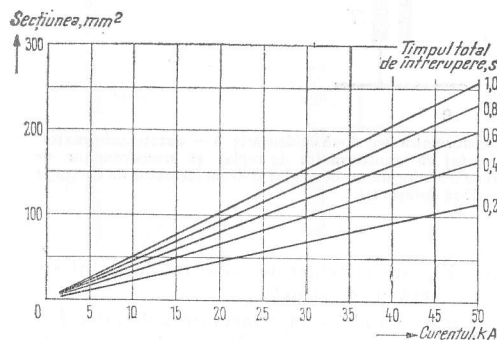


Fig. 8.53. Secțiunea necesară a conductoarelor de legare la pământ din cupru în funcție de mărimea curentului de dublă punere la pământ sau de scurtcircuit monofazat și de timpul total de întrerupere. Ordinul de mărime al curentului: 5-50 kA.

Condiții: Temperatura finală 300°C. Temperatura în momentul inițial al scurtcircuitului 20°C.

Tabelul 8.6. c. Valori orientative pentru capacitatea de încărcare a conductoarelor de legare la pământ

Secțiune mm <sup>2</sup>	Curent permanent, în A, pentru conductoare din			Curent admisibil timp de 1 s, în A, pentru conductoare din		
	Oțel	Aluminiu <sup>2)</sup>	Cupru	Oțel	Aluminiu <sup>2)</sup>	Cupru
16	—	—	150	—	—	2 500
25	—	160	200	—	2 700	4 000
35	—	200	280	—	3 700	5 500
50	150 <sup>1)</sup>	250 <sup>1)</sup>	480 <sup>1)</sup>	3 300	5 300	8 000
70	180 <sup>1)</sup>	320 <sup>1)</sup>	590 <sup>1)</sup>	4 700	7 400	11 500
100	240 <sup>1)</sup>	430 <sup>1)</sup>	780 <sup>1)</sup>	6 700	10 500	16 000
200	420 <sup>1)</sup>	760 <sup>1)</sup>	1 380 <sup>1)</sup>	13 500	21 500	32 500

<sup>1)</sup> Numai în cazul platbandelor.

<sup>2)</sup> Admisibil numai dacă, în cazul respectiv de utilizare, aluminiul este mai rezistent la coroziune decât oțelul și cuprul.

Notă. Datele de mai sus se referă la temperatura maximă de 200°C. Se admite o creștere a temperaturii maxime până la 300°C cu condiția să nu apară riscul de incendiu; în acest caz valorile se înmulțesc cu 1,2.



8.4. TRANSFORMATOARE<sup>1)</sup>

## 8.4.1. Tipuri de transformatoare, mod de funcționare (fig. 8.54)

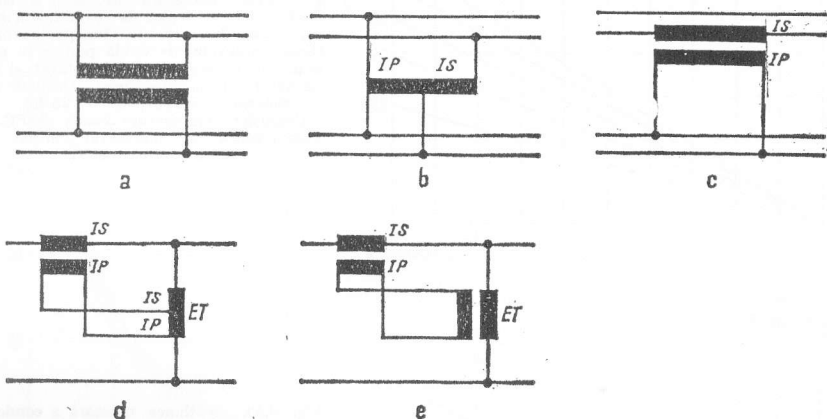


Fig. 8.54. Tipuri de transformatoare: a - transformator cu două înfășurări; b - autotransformator; c - transformator de reglaj (booster); d - montaj cu transformator de reglaj și transformator de excitație ET ca autotransformator; e - montaj cu transformator de reglaj și transformator de excitație ET cu două înfășurări.

**Transformatoare cu două înfășurări.** Fiecare sistem este conectat la o înfășurare separată, în paralel cu ea. Puterea se transferă prin inducție.

**Autotransformatoare.** Înfășurările serie și paralel sînt conectate galvanic. Înfășurarea paralel este în paralel cu un sistem, iar înfășurarea serie leagă cele două sisteme. Puterea transmisă  $P_T$  este transferată parțial prin conducție galvanică și parțial prin inducție. Puterea interioară  $P_I$  a unui autotransformator este puterea transferată prin inducție.

$$P_I = P_T \frac{U_1 - U_2}{U_1}$$

unde:  $U_1$  este tensiunea înaltă, iar  $U_2$  este tensiunea joasă.

**Transformatoare de reglaj (booster).** Înfășurările serie și paralel sînt separate între ele. Înfășurarea paralel este în paralel cu un sistem, iar înfășurarea serie este în serie cu celălalt sistem. Puterea în aceste transformatoare se transmite prin inducție. Montajele cu transformator de reglaj (booster) se compun dintr-un transformator de excitație, care poate fi cu două înfășurări sau un autotransformator și un transformator de reglaje booster) a cărui înfășurare în paralel este legată la transformatorul de excitație.

<sup>1)</sup> Toate caracteristicile transformatoarelor sînt reglementa prin STAS 1703-67; pentru nivelele de izolație STAS 6489-67.

## 8.4.2. Reglajul raportului de transformare

Raportul de transformare se poate regla în trepte, atît la mersul în gol, cu ajutorul reglatoarelor de mers în gol (domenii de reglaj ale prizelor, de exemplu  $\pm 2,5\%$ ,  $\pm 4\%$  sau  $5\%$ ) cît și în sarcină, cu ajutorul reglatoarelor sub sarcină (domenii de reglaj ale prizelor, de exemplu  $\pm 11\%$ ,  $\pm 16\%$  sau  $\pm 22\%$ ). În cazul transformatoarelor cu două înfășurări reglatorul prizelor se leagă de preferință la neutrul înfășurării de înaltă tensiune. La autotransformatoare există diverse moduri posibile de legare a reglatorului de prize, de exemplu pe neutrul, la extremitatea înfășurărilor serie, între înfășurările serie și paralel sau în montaj ramificat (fig. 8.55).

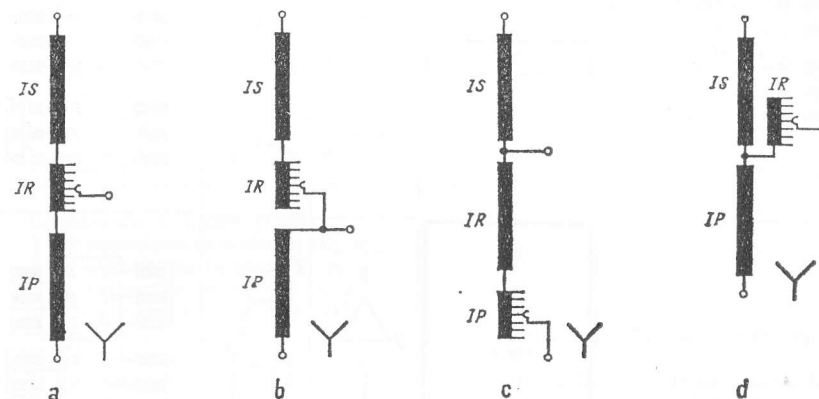


Fig. 8.55. Moduri de reglaj al raportului de transformare al autotransformatoarelor: a - dispoziția înfășurării de reglaj între înfășurarea serie și cea în paralel; b - dispoziția înfășurării de reglaj la extremitatea înfășurării serie; c - dispoziția înfășurării de reglaj pe neutrul stelar; d - dispoziția înfășurării de reglaj în montaj ramificat la borna de joasă tensiune; IS - înfășurare serie; IP - înfășurare paralel; IR - înfășurare de reglaj.

În cazuri speciale se combină transformatoare cu două înfășurări, autotransformatoare sau transformatoare de reglaj în scopul reglării raportului de transformare sub sarcină, de exemplu în montaje cu transformatoare de reglaj.

În cazul reglatoarelor de inducție, reglatoarelor cu bobină mobilă etc. este posibil un reglaj continuu al raportului de transformare.

8.4.3. Grupe de conexiuni<sup>1)</sup>

Grupa de conexiuni indică modul de conectare a fazelor a două înfășurări ale unui transformator și, prin indicele numeric (numărul orar), defazajul dintre fazorii celor două tensiuni stelate (tabelul 8.7).

<sup>1)</sup> În România sînt reglementate prin STAS 1703-67. Nu se consideră cazul înfășurărilor deschise.

Tabelul 8.7. Grupe de conexiuni și diagrame uzuale pentru transformatoare trifazate

Denumirea		Diagrama vectorială		Schema de conexiuni <sup>1)</sup>	
Indice numeric	Grupa de conexiuni	IT	JT	IT	JT
12	Dd <sub>12</sub>				
	Yy 12				
	Dz 12				
5	Dy 5				
	Yd 5				
	Yz 5				
6	Dd 6				
	Yy 6				
	Dz 6				

Tabelul 8.7 (continuare)

Denumirea		Diagrama vectorială		Schema de conexiuni <sup>1)</sup>	
Indice numeric	Grupa de conexiuni	IT	JT	IT	JT
11	DY 11				
	Yd 11				
	Yz 11				

<sup>1)</sup> Înfășurările sînt presupuse a fi executate în același sens, adică, în schemele de conexiuni înfășurările trebuie să fie considerate ca fiind (fizic) îndreptate în jos.

Conexiunile trifazate pot fi:

- 1 — conexiune în triunghi (D, d);
- 2 — conexiunea în stea (Y, y);
- 3 — conexiune în zig-zag (Z, z);
- 4 — cu înfășurări deschise (III, iii).

Literele mari se aplică la înfășurarea de înaltă tensiune IT, iar literele mici la înfășurarea de joasă tensiune JT.

Indicele numeric arată cu ce multiplu de 30° este defazat în urmă fazorul joasei tensiuni ( rotație antiorară a fazorilor) față de fazorul de înaltă tensiune al bornei de același nume. Bornele *u, v, w* sau *x, y, z*, de pe partea de joasă tensiune corespund bornelor *U, V, W* pe partea de înaltă tensiune.

Fig. 8.56 arată cum se determină indicii numerici pentru grupele de conexiuni Dy5 și Yz11.

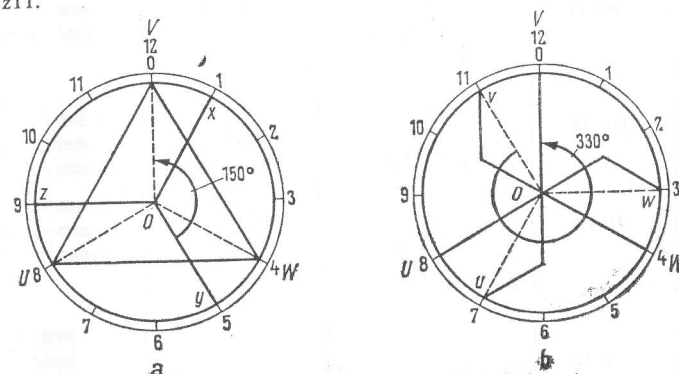


Fig. 8.56. Determinarea indicelui numeric (numărul orar):  
a — grupa de conexiuni Dy 5; b — grupa de conexiuni Yz11.

## Grupa de conexiuni Dy5

Înaltă tensiune conectată în triunghi (D); joasă tensiune conectată în stea (y); unghiul de fază între tensiunile y-0 și V-0 este de 150°; indicele numeric:  $\frac{150^\circ}{30^\circ} = 5$ .

## Grupa de conexiuni Yz11

Înaltă tensiune conectată în stea (Y); joasă tensiune conectată în zig-zag (z); unghiul de fază între tensiunile y-0 și V-0 este de 330°; indicele numeric:  $\frac{330^\circ}{30^\circ} = 11$ .

Grupele obișnuite de conexiuni sînt indicate în tabele 8.7 și 8.8.

Tabelul 8.8. Exemple de grupe și scheme de conexiuni pentru transformatoare cu înfășurări deschise, autotransformatoare și transformatoare monofazate

Denumirea		Diagrama vectorială		Schema de conexiuni <sup>1)</sup>	
Indice numeric <sup>2)</sup>	Grupa de conexiuni <sup>2)</sup>	IT	JT	IT	JT

## Unități de transformare trifazate

12	Yiii 12			
11	Diii 11			
12	IIIy 12			
5	IIIId 5			
12	Y 12			

Tabelul 8.8 (continuare)

Denumirea		Diagrama vectorială		Schema de conexiuni <sup>1)</sup>	
Indice numeric <sup>2)</sup>	Grupa de conexiuni <sup>2)</sup>	IT	JT	IT	JT
Unități de transformare monofazate pentru conectare trifazată <sup>3)</sup>					
12	Ii 12				
12	I 12				

<sup>1)</sup> V. nota 1 de la tabelul 8.7.

<sup>2)</sup> Indicii numerici din acest tabel se aplică în cazul legării în stea a înfășurărilor deschise (punctul neutru în X, Y, Z și respectiv x, y, z).

<sup>3)</sup> În cazul transformatoarelor pentru sisteme monofazate, denumirile bornelor X, x se înlocuiesc cu V, v.

#### 8.4.4. Metode de răcire, temperaturile agenților de răcire, creșteri de temperatură

Răcirea naturală (L): răcire prin circulație naturală de aer și radiație.

Răcirea forțată (S): răcire prin aer pus în mișcare de ventilatoare.

Răcirea cu circulație forțată de ulei cu ajutorul unor pompe (F)<sup>1)</sup>:

Răcirea naturală și circulație de ulei FL; răcirea uleiului circulat prin circulație naturală de aer și radiație.

Răcirea prin circulație forțată de aer și circulație de ulei FS: uleiul este pompat prin răcitoare de ulei cu aer în afara cuvei transformatorului și răcite prin circulație de aer pus în mișcare de ventilatoare.

Răcirea cu apă și circulație de ulei FA: uleiul este pompat prin răcitoare de ulei cu apă în afara cuvei transformatorului și răcite cu apă.

Creșterile de temperatură indicate în tabelul 8.9 <sup>2)</sup> se aplică pentru temperaturile următorilor agenți de răcire:

<sup>1)</sup> În locul literelor F, normele germane prevăd litera U, iar cele engleze C.

<sup>2)</sup> Aceste valori concordă cu supratemperaturile admisibile prevăzute în STAS 1703-67.

Tabelul 8.9. Creșteri admisibile de temperatură, în grade

	Clasa materialului izolat					
	A	A <sub>0</sub>	E	B	F	H
Înfășurări	60	65	75	80	100	135
Uleiul în stratul superior	—	(60 <sup>1)</sup> (55)	—	—	—	—
Miezuri de fier și alte elemente	Temperatura nu trebuie să deterioreze materialele situate în imediata apropiere.					

<sup>1)</sup> În cazul când uleiul din cuvă este separat de aer, de exemplu prin folosirea unui conservator; în cazul contrar trebuie considerată valoarea de 55° (v. și tabelele 2.19 și 2.20).

- Transformatoare cu răcire cu aer (moduri de răcire L, S, FL, FS):  
temperatura maximă a aerului 40°C;  
temperatura medie zilnică a aerului 30°C;  
temperatura medie anuală a aerului 20°C.
- Transformatoare cu răcire cu apă (modul de răcire FA); temperatura apei la admisie 25°C.

### 8.4.5. Caracteristicile transformatoarelor

#### Tensiunea de scurtcircuit, reglajul tensiunii

La transformatoare trifazate, pentru sistemele de secvență directă și inversă este importantă tensiunea de scurtcircuit (impedanța de mers în gol se poate neglija în general). Tensiunea de scurtcircuit este tensiunea de frecvență nominală care trebuie să fie aplicată pe partea de alimentare pentru a se obține pe partea de consum, legată în scurtcircuit, curentul nominal. Ea se exprimă de obicei ca un procent din tensiunea nominală de mers în gol pe partea alimentării.

Banda de reglaj (reglajul) de tensiune a unui transformator este diferența dintre tensiunea nominală și tensiunea la plină sarcină pe partea de consum, în condiții nominale de funcționare la un anumit factor de putere  $\cos \varphi$ . Se exprimă după cum urmează ecuația numerică pentru calculul reglajului de tensiune ca procent din tensiunea nominală)

$$u_{\varphi} = u'_{\varphi} + 100 - \sqrt{100^2 - u''_{\varphi}^2} \approx u_{\varphi} + \frac{u''_{\varphi}^2}{200};$$

$$u'_{\varphi} = u_X \sin \varphi + u_R \cos \varphi; \quad u''_{\varphi} = u_X \cos \varphi - u_R \sin \varphi,$$

unde:  $u_R$  reprezintă pierderea de putere  $P_L$  raportată la puterea nominală  $P_N$ , adică

$$u_R = \frac{P_L}{P_N} 100\%;$$

$u_X$  — componenta reactivă a tensiunii de scurtcircuit  $u_c$  (în procente)

$$u_X = \sqrt{u_c^2 - u_R^2}.$$

Valoarea curentului de scurtcircuit (valoarea efectivă simetrică) a unui transformator,  $I_{ss}$ , este

$$I_{ss} = \frac{I_N}{u_c} 100\%,$$

unde  $I_N$  este curentul nominal.

Transformatoarele care leagă mai mult decît două sisteme se reprezintă cu ajutorul circuitelor echivalente. Dintre acestea, cel mai important este circuitul echivalent în stea al transformatorului cu trei înfășurări (fig. 8.57).

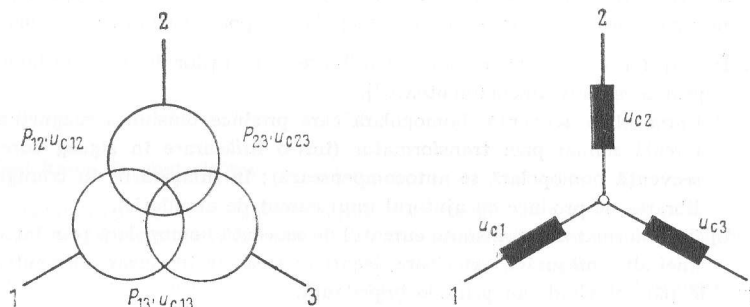


Fig. 8.57. Circuitul echivalent în stea al unui transformator cu trei înfășurări.

Tensiunile de scurtcircuit raportate ale celor trei ramuri ale circuitului echivalent sînt în acest caz:

$$u_{c1} = \frac{u_{c12} + u_{c13} - u_{c23}}{2},$$

$$u_{c2} = \frac{u_{c12} + u_{c23} - u_{c13}}{2},$$

$$u_{c3} = \frac{u_{c13} + u_{c23} - u_{c12}}{2}.$$

Toate valorile se vor raporta la aceeași putere.

#### Impedanța de secvență homopolară

Impedanțele de secvență homopolară au valori foarte diferite, în funcție de tipul de conexiuni și de construcția transformatoarelor (se neglijează curenții capacitivi și rezonanța între capacitățile și impedanțele de secvență homopolară).

Conductoarele legate la înfășurări de transformator cu conexiunea în triunghi sau cu conexiunea în stea sau în zigzag cu neutrul izolat nu sînt parcurse de curent homopolar. Rezultă că impedanța de secvență homopolară a acestora este infinită.

În cazul cînd neutrul unei înfășurări în stea sau în zigzag este legat la pămînt, în sistemul racordat pot circula curenți de secvență homopolară.

1. În cazul cînd transformatorul nu poate produce tensiune magnetomotoare pentru echilibrarea curenților de secvență homopolară (de exemplu curenții de secvență homopolară circulă printr-o înfășurare stea, iar toate celelalte înfășurări sînt legate în stea sau în zigzag și cu neutrul izolat), impedanța sa de secvență homopolară — în cazul transformatoarelor compuse din transformatoare monofazate și în cazul transformatoarelor trifazate cu miezul în manta sau cu cinci coloane — este de același ordin de mărime cu impedanța de mers în gol; în cazul transformatoarelor cu miezul din trei coloane impedanța depinde de mărimea curentului de secvență homopolară și poate varia în mod considerabil.
2. În transformator poate exista o echilibrare a curenților de secvență homopolară prin tensiunea magnetomotoare<sup>1)</sup>.
  - a) Curentul de secvență homopolară care produce tensiunea magnetomotoare circulă numai prin transformator (într-o înfășurare în zigzag curenții de secvență homopolară se autocompensează); în înfășurările în triunghi echilibrarea se produce cu ajutorul unui curent de circulație).
  - b) Transformatorul transmite curentul de secvență homopolară prin intermediul unei alte înfășurări, exterioare, legate în stea sau în zigzag, cu neutrul legat la pămînt rigid sau printr-o impedanță.

Impedanța de secvență homopolară a unei înfășurări în zigzag în cazul a) corespunde aproximativ impedanței de scurtcircuit dintre cele două porțiuni ale înfășurării de pe o coloană, care, în mod obișnuit, este foarte mică. În toate celelalte cazuri b) impedanța de secvență homopolară a transformatorului este aproximativ egală cu impedanța corespunzătoare de scurtcircuit. Diferențele (depinzînd de curent) sînt produse de curentul de mers în gol, în sistemul de secvență homopolară și de cuvă, care introduce o tensiune magnetomotoare de echilibrare de anumită valoare.

În tabelul 8.10 sînt indicate valorile medii măsurate pentru transformatoare construite trifazat, cu miez de fier cu trei coloane, cu înfășurări cilindrice dispuse în ordinea tensiunilor crescătoare dinspre miez spre exterior ( $R_0$ ,  $X_{00}$  reprezintă rezistența, respectiv reactanța sistemului de secvență homopolară la mers în gol, iar  $R$  și  $X_s$  reprezintă rezistența, respectiv reactanța transformatorului).

Valorile se aplică pentru prizele nominale ale transformatoarelor echipate cu reglatoare de tensiune sub sarcină pe partea de înaltă tensiune. În sensul prizelor cu plus  $\frac{X_{00}}{X_s}$  scade în oarecare măsură, iar pe de altă parte  $\frac{R_0}{R}$  crește; în sensul prizelor cu minus  $\frac{X_{00}}{X_s}$  crește în oarecare măsură, în timp ce  $\frac{R_0}{R}$  scade.

<sup>1)</sup> Sînt posibile combinații ale cazurilor a) și b).

Tabelul 8.10. Rapoarte de reactanță și rezistență pentru transformatoare (valori reprezentative)

Tipul transformatorului	Conexiuni și tensiuni nominale kV	Tensiunea nominală a înfășurării la care se referă valorile <sup>1)</sup> kV	$\frac{X_{00}}{X_s}$	$\frac{R_0}{R}$
Transformator de stație	$\Delta 220/\Delta 110/\Delta 10$	220 110	0,65 0,81	2,5 1,6
	$\Delta 110/\Delta 30/\Delta 10$	110 30	0,81 0,94	2,3 1,3
Transformator de generator	$\Delta 220/\Delta 10$	220	0,84	2,0
	$\Delta 110/\Delta 6$	110	0,87	2,0

<sup>1)</sup> Cealaltă înfășurare legată în stea rămîne deschisă. (Valori comparative pentru transformatoare de stații  $\Delta 110/\Delta 20$  kV: în cazul cînd curentul de secvență homopolară al înfășurării de 110 kV este 10% din curentul nominal,  $X_{00}/X_s \approx 5,0$ , iar  $R_0/R \approx 50$ ).

#### Solicitarea la scurtcircuit

Tabelul 8.11<sup>1)</sup> indică valorile maxime admisibile ale valorii efective simetrice a curentului de scurtcircuit (raportat la curentul nominal) și ale duratei scurtcircuitului

Tabelul 8.11. Curenții admisibili de scurtcircuit și durata admisibilă pentru transformatoare trifazate de putere cu două înfășurări

Puterea nominală kVA	$U_b \leq 36$ kV			$U_b > 36$ kV		
	$\frac{I_{ss adm}}{I_N}$	$\frac{t_{adm}}{s}$	$\frac{u_{cN}}{\%}$	$\frac{I_{ss adm}}{I_N}$	$\frac{t_{adm}}{s}$	$\frac{u_{cN}}{\%}$
Pînă la 630	25,0	2	4,0	—	—	—
Peste 630 pînă la 3150	16,7	4	6,0	—	—	—
Peste 3150 pînă la 10 000	12,5	5	8,0	10,0	6	10,0
Peste 10 000 pînă la 40 000	10,0	6	10,0	9,1	7	11,0
Peste 40 000 pînă la 200 000	—	—	—	8,0	8	12,5

Semnificația simbolurilor:

- $U_b$  — este tensiunea maximă a sistemului (valoare efectivă) pe partea de înaltă tensiune;  
 $I_{ss adm}$  — valoarea maximă admisibilă a curentului de scurtcircuit simetric (valoare efectivă);  
 $I_N$  — curent nominal;  
 $t_{adm}$  — durata maximă admisibilă a scurtcircuitului;  
 $u_{cN}$  — tensiunea de scurtcircuit procentuală corespunzătoare.

<sup>1)</sup> În România prevederile STAS 1703-66 nu diferă esențial de cele prezentate în tabelul 8.11.



pentru transformatoare de forță cu două înfășurări, precum și tensiunile de scurtcircuit corespunzătoare curenților de scurtcircuit indicați. În cazul când tensiunea nominală de scurtcircuit a unui transformator este mai mare decât valoarea dată în tabelul 8.11, curentul de scurtcircuit simetric raportat este redus în mod corespunzător, iar durata admisibilă de scurtcircuit crește.

În cazul transformatoarelor din grupele de conexiuni Yz sau Dz, pot apărea curenți de defect mai mari la scurtcircuite monofazate pe partea de joasă tensiune decât la scurtcircuite trifazate, deoarece impedanța de secvență homopolară a înfășurărilor în zig-zag este de obicei foarte redusă.

#### Funcționarea în paralel

Condițiile pentru funcționarea în paralel a transformatoarelor sînt:

- 1) grupe de conexiuni cu același indice numeric;
- 2) rapoarte de transformatoare pe cît posibil egale;
- 3) tensiuni de scurtcircuit diferite cu maximum  $\pm 10\%$  față de valoarea medie la toate unitățile ce trebuie să funcționeze în paralel;
- 4) raportul puterilor nominale sub 3 : 1.

Transformatoarele aparținînd grupelor de conexiuni cu indicii numerici 5 și 11 pot funcționa în paralel în cazul când conexiunile sînt transpuse în mod corespunzător.

În cazul funcționării în paralel pe aceleași bare colectoare, trebuie să se verifice ca impedanțele conexiunilor să fie aproximativ egale.

În cazul când funcționarea în paralel nu se realizează pe bara colectoare, ci numai prin impedanțe de interconectare într-o rețea, sînt admisibile abateri mai mari decât cele indicate la punctele 2, 3 și 4.

#### Capacitatea de supraexcitare și șocul de curent de magnetizare

Măsura în care transformatoarele pot fi supraexcitate este determinată de fluxul maxim admisibil. O dată cu mărirea fluxului, curentul de mers în gol și armonicele sale cresc, și în același timp cresc și pierderile în miezul de fier, în înfășurări și în elementele constructive. Fluxul este proporțional cu tensiunea aplicată și invers proporțională cu frecvența acestei tensiuni.

Se admit următoarele abateri pe partea de alimentare: tensiunea aplicată poate avea o abatere permanentă de  $\pm 5\%$  față de tensiunea nominală, iar frecvența poate avea o abatere permanentă de  $\pm 2,5\%$  față de frecvența nominală.

Supraexcitarea admisibilă a transformatoarelor și duratele corespunzătoare se pot obține din fig. 8.58 cu ajutorul funcției  $\frac{U}{U_N} \frac{f}{f_N}$ , în care:  $U$  este tensiunea pe partea

alimentării;  $f$  — frecvența acestei tensiuni;  $U_N$  — tensiunea nominală a înfășurării pe partea alimentării;  $f_N$  — frecvența nominală. În cazul când variațiile de frecvență sînt  $\pm 2,5\%$  se ia  $f \approx f_N$ .

La punerea sub tensiune a transformatoarelor poate apărea un curent mărit, cu amplitudine exponențial descrescătoare. Mărimea acestui șoc de curent depinde de valoarea instantanee a tensiunii și de magnetismul remanent al transformatorului în momentul punerii sub tensiune.

Tabelul 8.12 indică valorile maxime ale amplitudinii inițiale a șocului de curent pentru transformatoare mono și trifazate la mers în gol în raport cu valoarea de vîrf a curentului nominal. Cifrele sînt valabile pentru transformatoare cu înfășurări cilindrice concentrice. În cazul punerii sub tensiune a înfășurării exterioare (în mod normal înfășurarea de înaltă tensiune), curenții care apar sînt considerabil mai mici decât în cazul punerii sub tensiune a înfășurării interioare (în mod normal înfășurarea de joasă tensiune). Pe lângă valorile pentru tole cu cristale orientate — tipul exclusiv folosit în prezent —

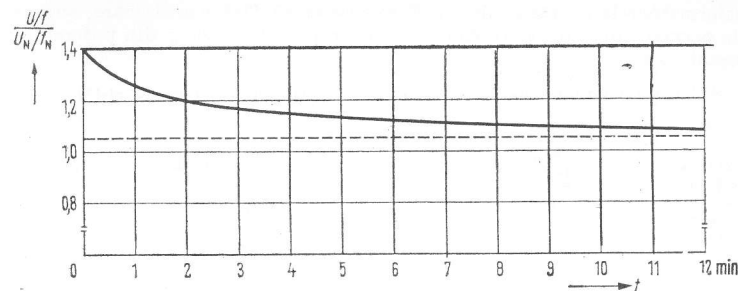


Fig. 8.58. Supraexcitarea admisibilă a transformatoarelor.

tabelul prezintă, în scopuri comparative, și curenții de șoc ai transformatoarelor cu tole cu cristale neorientate, tip folosit în trecut.

Tabelul 8.12. Curentul de șoc al transformatorului cu înfășurări cilindrice concentrice (Valoarea maximă a curentului de șoc/valoarea de vîrf a curentului nominal)

Putere nominală kVA	Tole cu cristale orientate		Tole cu cristale neorientate	
	Punere sub tensiune a		Punere sub tensiune a	
	înfășurării exterioare	înfășurării interioare	înfășurării exterioare	înfășurării interioare
500	11,0	16	6,0	9,4
1000	8,4	14	4,8	7,0
5000	6,0	10	3,9	5,7
10 000	5,0	10	3,2	3,2
50 000	4,5	9	2,5	2,5

Pentru puteri cuprinse între 500 și 1 000 kVA, amplitudinile curenților de șoc se reduc la jumătate din valoarea lor inițială după 8—10 perioade. În cazul unităților cu puteri de 1 000—10 000 kVA, această amortizare necesită 10—60 perioade, iar pentru puteri mai mari 60...3600 perioade.

#### Capacitatea de supraîncărcare

Transformatoarele se pot supraîncărca în mod temporar sau permanent, în funcție de sarcina inițială, de temperaturile agenților de răcire și de valorile maxime admisibile ale temperaturilor înfășurărilor. În cazul depășirii temperaturilor admisibile ale înfășurărilor, durata normală de viață a transformatorului se scurtează, în afară de cazul când supraîncărcarea este compensată de o perioadă de sarcină mai redusă. În cazul când transformatoarele urmează să fie supraîncărcate este important să se verifice în prealabil dacă toate elementele componente ale transformatorului și echipamentului său sînt capabile să corespundă cerințelor ce li se impun (de exemplu izolatoarele de trecere, regulatoarele de tensiune și cuitile terminale ale cablurilor).

Tabelul 8.13 conține valori reprezentative pentru perioada de supraîncărcarea a transformatoarelor în ulei în raport cu sarcina anterioară și cu temperatura uleiului la începutul supraîncărcării. Temperaturile medii ale înfășurărilor nu depășesc 105°C, dacă temperatura medie a agentului de răcire în perioada respectivă este de 25°C. În cazul

cînd transformatoarele cu răcire de tip S funcționează fără ventilatoare, suprasarcinile și sarcinile permanente anterioare trebuie să fie raportate la 60% din puterea nominală a transformatorului.

Tabelul 8.13. Durata de supraîncărcare a transformatoarelor în ulei<sup>1)</sup>

Sarcina de durată anterioară, în %, din puterea nominală	Temperatura uleiului la începutul supraîncărcării, în °C, pentru modul de răcire					Durata supraîncărcării pentru o suprasarcină, în % din puterea nominală, de:				
	L	S	FL	FS	FA	10%	20%	30%	40%	50%
						h	h	min	min	min
50		55			49	3	1,5	60	30	15
75		68			60	2	1,0	30	15	8
90		78			68	1	0,5	15	8	4

1) Prevederile STAS 1703-66 sînt identice cu cele din acest tabel

Tabelul 8.14 cuprinde valori reprezentative pentru perioada de supraîncărcare a transformatoarelor de tip uscat cu materiale izolante din clasa A în raport cu sarcina anterioară. Se presupune că înfășurările sînt în contact direct cu curentul de aer. Condițiile care se aplică agentului de răcire și temperatura medie a înfășurărilor sînt aceleași ca în tabelul 8.13. În cazul transformatoarelor de tip uscat cu izolație din clasa E și B perioadele de supraîncărcare indicate în tabelul 8.13 trebuie să fie reduse respectiv la 90% și 85%.

Tabelul 8.14. Durata de supraîncărcare a transformatoarelor de tip uscat<sup>1)</sup>

Sarcina de durată anterioară, în % din puterea nominală	Durata supraîncărcării pentru o suprasarcină, în % din puterea nominală de:				
	10%	20%	30%	40%	50%
	min	min	min	min	min
50	60	30	20	15	12
75	55	23	15	11	9
90	45	16	10	7	5

1) Cu izolație A (v. tabelul 8.9)

În cazul cînd temperaturile aerului diferă de valorile standardizate folosite ca bază pentru dimensionarea transformatoarelor (v. pag. 478) transformatoarele în ulei cu răcire cu aer pot fi supuse la încărcări permanente indicate în tabelul 8.16.

### Zgomotul transformatoarelor

Zgomotul transformatoarelor este produs în principal de magnetostricțiunea miezului de fier. El depinde de flux. Variații de 10% ale fluxului produc o variație de 2-3 dB a nivelului de zgomot în domeniul inducțiilor de 12-16 kGs. Spectrul sonor radiat este între 100 și 500 Hz.

Tabelul 8.17 indică nivelele admisibile de zgomot ale transformatoarelor în ulei și ale transformatoarelor de tip uscat. Valorile cuprind toate sursele de zgomot existente la transformator.

Tabelul 8.15. a. Transformatoare de forță trifazate, în ulei, cu înfășurări de cupru și răcire naturală, la 50 Hz

Putere nominală kVA	Curentul de mers în gol, în % din curentul nominal		Pierderi la mers în gol W			Pierderi în sarcină la 75 °C W		Tensiunea de scurtcircuit, în % din tensiunea nominală	
	pînă la		pînă la			grupa de conexiuni		pînă la	
	R 20 N	R 30 N	R 10 N	R 20 N	R 30 N	Y y O	Yz 5/Dy5	R 20	R 30
100	2,6	—	320	340	—	1950	2150	4,0	—
100 <sup>1)</sup>	2,5	—	320	—	—	1750	—	4,0	—
160	2,4	—	455	480	—	2800	3100	4,0	—
160 <sup>1)</sup>	2,3	—	460	—	—	2350	—	4,0	—
250	2,3	—	670	—	—	4100	—	4,0	—
250 <sup>1)</sup>	2,1	—	650	—	—	3250	—	4,0	—
250	2,1	2,3	610	—	650	4600	4450	6,0	—
400	2,1	—	960	—	—	6000	—	4,0	—
400 <sup>1)</sup>	1,9	—	930	—	—	4600	—	4,0	—
400	1,8	2,0	850	—	900	6450	—	6,0	—
630	2,0	—	1350	—	—	8400	—	4,0	—
630 <sup>1)</sup>	1,8	—	1300	—	—	6500	—	4,0	—
630	1,6	1,7	1200	—	1260	8700	9300	6,0	—
1000	1,4	1,5	1750	—	1800	12 300	13 500	6,0	—
1600	1,3	1,4	2550	—	2600	18 000	19 800	6,0	—

Observații. 1. Prizele reglabile fără tensiune sînt prevăzute pe partea de înaltă tensiune:  $\pm 2,5\%$  (în cazul cînd această valoare este insuficientă,  $\pm 4\%$ ), la tensiunea de scurtcircuit de 4%;  $\pm 5\%$  la tensiunea de scurtcircuit de 6%.

2. Joase tensiuni nominale și grupele de conexiuni aferente: 231 V pînă la 400 kVA — grupa de conexiuni YyO; 400 V pînă la 200 kVA — grupa de conexiuni Yz5; peste aceste valori — Dy5, 525 V — grupa de conexiuni YyO; 3150 și 6300 V (numai la tensiune de scurtcircuit 6% și puteri nominale de la 630 kVA), grupa de conexiuni YyO.

3. Curenții de mers în gol indicați sînt valorile medii pentru înfășurările trifazate.

<sup>1)</sup> Transformatoare din seria standardizată a Pieții Comune Europene.

Tabelul 8.15. b. Transformatoare cu înfășurări de aluminiu, cu răcire naturală și reglaj al tensiunii fără sarcină, fabricate de uzinele Electroputere

Puterea nominală kVA	Curent de mers în gol %	Pierderi la mers în		Tensiunea de scurt-circuit %	Grupa de conexiuni	Reglaj pe IT%
		gol W	scurtcircuit W			
100	3,4	480	2760	4	Yz <sub>0</sub> 5 Yy <sub>0</sub> 12	± 5
160	3,15	685	3720	4	Yz <sub>0</sub> 5 Yy <sub>0</sub> 12	± 5
250	3	900	5040	6	Dy <sub>0</sub> <sup>-5</sup> Yy <sub>0</sub> <sup>-12</sup>	± 5
400	2,7	1150	6850	6	Dy <sub>0</sub> <sup>-5</sup> Yy <sub>0</sub> <sup>-12</sup>	± 5
630	2,4	1550	9720	6	Dy <sub>0</sub> <sup>-5</sup> Yy <sub>0</sub> <sup>-12</sup>	± 5
1000	2	2100	13 500	6	Dy <sub>0</sub> <sup>-5</sup> Yy <sub>0</sub> <sup>-12</sup>	± 5
1600	1,7	3500	20 200	6	Dy <sub>0</sub> <sup>-5</sup> Yy <sub>0</sub> <sup>-12</sup>	± 5

Tabelul 8.16. Sarcini permanente admisibile pentru transformatoare în ulei cu răcire cu aer, la temperaturi ale aerului diferite de valorile standard

Diferența temperaturilor aerului față de valorile standard		- 20 °C	- 10 °C	0 °C	+ 10 °C	+ 20 °C
Încărcarea permanentă în %, din puterea nominală în cazul modului de răcire	L S FS	121 115 115	111 109 107	100 100 100	91 92 92	81 83 84

Tabelul 8.17. Nivelele admisibile de zgomot la transformatoare

1. Putere nominală 30...1600 kVA; distanța la care se efectuează măsurarea = 1 m

Putere nominală, kVA	30	75	125	200	315	500	800	1250
	50	100	160	250	400	630	1000	1600
Nivelul de zgomot pentru transformatoare în ulei, dB(A)	45	46	47	48	50	52	54	56
Nivelul de zgomot pentru transformatoare de tip uscat dB(A)	54	56	58	60	62	64	—	—

2. Putere nominală 2...40 MVA; distanța la care se efectuează măsurarea = 3 m.

Puterea nominală, MVA	2	2,5	3,15	4	5	6,3	8	10	12,5	16	20	25	31,5	40
Nivel de zgomot, dB(A)	52	53	55	56	57	59	60	62	63	65	66	67	69	70

În domeniul valorilor normale de flux nivelele de zgomot se pot reduce cu circa 10 dB prin măsuri de reducere a zgomotului aplicate transformatorului însuși. Se pot realiza reduceri suplimentare ale zgomotului prin modificări corespunzătoare ale construcției transformatoarelor sau prin dispoziții constructive suplimentare la locurile de instalare.

## Standardizarea transformatoarelor

Datele tehnice ale transformatoarelor din cadrul unor anumite domenii de puteri, precum și dimensiunile, elementele componente și accesoriile lor sunt standardizate de normele germane (DIN) <sup>1)</sup>. Tabelele 8.15 conțin date tehnice standardizate pentru transformatoare de forță cu puteri nominale cuprinse între 100 și 1 600 kVA.

Tabelul 8.18 conține un extras cu date tehnice pentru transformatoare de forță în ulei cu puteri nominale de 2000—40 000 kVA.

Tabelul 8.18. a. Transformatoare de forță trifazate, în ulei, cu înfășurări de cupru, pentru 50 Hz. Moduri de răcire L, S, FL, FS, FA

Puterea nominală kVA	Curentul de mers în gol, în % din curentul nominal			Pierderi de mers în gol kW			Pierderi în sarcină la 75 °C kW			Tensiunea de scurt-circuit, în % din tensiunea nominală		
	până la			până la			până la			până la		
	R 30 N	R 60 N	R 110 N	R 30 N	R 60 N	R 110 N	R 30 N	R 60 N	R 110 N	R 30 N	R 60 N	R 110 N
2000	1,2	—	—	3,2	—	—	21	—	—	6	—	—
3150	1,0	—	—	4,6	—	—	28	—	—	6	—	—
5000	0,9	1,1	—	6,5	8,0	—	38	41	—	7	8	—
6300	0,9	1,0	1,2	7,7	9,3	—	45	48	53	7	8	10
10 000	0,8	0,9	1,1	11	12,5	14	63	65	72	7	8	10
12 500	0,7	0,8	0,9	13	15	16	77	81	86	10	11	12
20 000	0,6	0,7	0,8	18	20	21	107	112	118	10	11	12
31 500	0,5	0,6	0,7	25	27	29	150	155	162	10	11	12
40 000	0,5	0,6	0,7	30	32	34	180	185	192	10	11	12

**Observații.** Pe partea de înaltă tensiune sunt prevăzute prize de  $\pm 5\%$ , reglabile fără tensiune. În cazul unor domenii mai extinse de reglaj sau la transformatoare cu reglaj sub sarcină, curenții de mers în gol, pierderile și tensiunile de scurtcircuit sunt considerabil mai mari. Conform normelor germane, domeniile de reglaj de  $\pm 11\%$ ,  $\pm 16\%$  și  $\pm 22\%$  determină o majorare de 5% a pierderilor de mers în gol și o majorare de 10% a tensiunii de scurtcircuit față de valorile indicate în tabel. Pierderile în sarcină la funcționarea pe prizele nominale cresc cu 5% în cazul domeniilor de reglaj de  $\pm 11\%$  și  $\pm 16\%$  și cu 7,5% în cazul unui domeniu de reglaj de  $\pm 22\%$ .

Pentru puteri nominale până la și inclusiv 10 MVA și curenți de 1200...2400 A, precum și pentru puteri nominale de 12,5... $\pm 50$  MVA inclusiv și curenți de la 2400 la 4800 A, pierderile în sarcină cresc cu 5%. La transformatoarele cu înfășurări de stabilizare pierderile în sarcină și tensiunea de scurtcircuit cresc cu 5%.

Curenții de mers în gol indicați reprezintă valorile medii ale înfășurărilor trifazate.

<sup>1)</sup> În România prin STAS 1703-66.

Tabelul 8.18, b. Transformatoare trifazate, în ulei, cu răcire forțată cu suflaj de aer, fabricate de uzinele „Electroputere“

Puterea nominală kVA	Curentul de mers în gol %	Pierderi de mers în		Tensiunea de scurt- circuit %	Grupa de conexiuni	Reglaj pe ÎT %
		gol kW	scurtcircuit kW			
Transformatoare cu înfășurări din aluminiu						
10 000	1,3	16,5	69	11	Yod 11	±9×1,78
16 000	1 2	24	97	11		
Transformatoare cu înfășurări din cupru						
25 000	1,0	26	130	11 <sup>1)</sup>	Yod 11	±9×1,78
40 000	1,5	42	180	12 <sup>1)</sup>		
80 000	—	75	300	11,5 <sup>1)</sup>		

1) La cererea beneficiarului, aceste transformatoare pot fi construite și pentru valori de 17 % (STAS 1703 - 67)

## 8.5. MUTATOARE

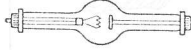
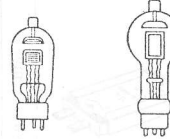
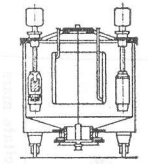
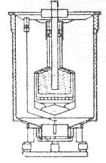
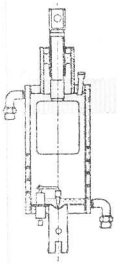
### 8.5.1. Tipuri de mutatoare

După principiul de funcționare, mutatoarele se împart în:

- *redresoare*, care transformă curentul alternativ (inclusiv cel trifazat) în curent continuu;
- *invertoare*, care transformă curentul continuu în curent alternativ (inclusiv trifazat);
- *convertizoare statice* care transformă curentul alternativ cu o anumită tensiune, o anumită frecvență și un anumit număr de faze în curent alternativ cu alte valori ale acestor mărimi;
- *variatoare de tensiune alternativă*, care reglează circulația de energie în circuite de curent alternativ după principiul întârzierii la amorsare;
- *variatoare de tensiune continuă*, care reglează circulația de energie în circuite de curent continuu după principiul comenzii prin variația duratei pulsului.

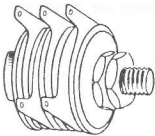

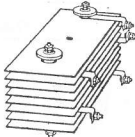
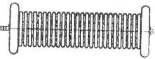
Pentru a face deosebirea între diversele tipuri de mutatoare cu mai multe moduri de funcționare, caracteristica curent-tensiune pentru partea de curent continuu, care indică semnul tensiunii continue  $U_d$  și al curentului continuu  $I_d$ , este împărțită în patru cadrane. În fig. 8.59 același semn pentru curent și tensiune indică faptul că se furnizează putere pe partea de curent continuu; aceasta este cazul în cadranele I și III, corespunzătoare funcționării în regim de redresor. În cazul cînd semnul curentului direct și cel al tensiunii continue sînt opuse, se primește putere pe partea de curent continuu, ceea ce este valabil pentru cadranele II și IV, corespunzătoare funcționării în regim de inverter. Redresoarele și invertoarele sînt deci mutatoare ale căror caracteristică curent-tensiune se situează într-un singur cadran, și au numai un singur sens de circulație a

Tabelul 8.19. Tipuri constructive de elemente de circuit ale mutatoarelor

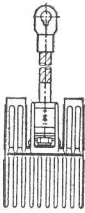

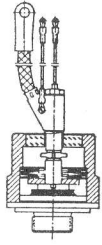
Mutatoare cu vapori de mercur	Cu catod lichid	Convertizoare cu vid înaintat			Tuburi de sticlă cu vid înaintat cu catod cald, cu sau fără grilă, pentru tensiuni înalte pînă la 100 kV și mai sus.. Curent: cîțiva miliamperi pînă la circa 1 A. Aplicații: raze X, echipament de încercări, cîmp de înaltă frecvență.
		Cu catod încălzit			Tuburi de sticlă sau de oțel cu vacuum cu vapori de mercur, sau cu gaz inert, catod cald, fără grilă (redresor), cu grilă (tiratron). Aplicații: mutatoare pentru tensiuni înalte pînă la circa 15 kV, curent pe element de obicei sub 20 A
		Cu anodi multipli	Cuvă mare		Cuve de oțel sudate, cu capac în buloane, excitație continuă, cu pompă de vid, cu aprindere succesivă, răcire cu apă, 12, 18, 24 anodi și, în mod normal, grile de comandă. Aplicații: în instalații de mutatoare ca redresor sau inverter Curent: 3000—8000 A. Tensiune: 500—3000 V.
			Cu excitație continuă (Excitron)		Cuvă sudată ermetic, etanșă, de obicei fără pompă, excitație continuă, aprindere succesivă, răcire cu apă sau cu aer, grilă de comandă. Aplicații: în instalații de mutatoare, ca redresor sau convertizor. Curent de convertizor: 30—1000 A Tensiune: 500—3000 V. Tipuri constructive speciale pentru tensiuni foarte înalte.
Cu un singur anod	Cu electrod de aprindere (ignitron)	Cu electrod de aprindere (ignitron)			Cuvă de oțel sudată ermetic, etanșă, cu vapori de mercur de obicei fără pompă de vid, răcire cu apă sau cu aer. De asemenea cu tub de sticlă, răcire cu aer. Aprindere la fiecare perioadă cu electrod de aprindere, fără excitație continuă, unele cu excitație auxiliară și grilă de comandă. Aplicații: mutator pentru funcționare ca redresor sau inverter. Preferabil pentru curenți pînă la 1000 A, ca întrerupător instantaneu pentru șocuri de curent pînă la 5 kA, de exemplu pentru sudarea prin rezistență. Tensiuni pînă la 600 V, construcții speciale pentru tensiuni mai înalte.



Tabelul 8.19 (continuare)

Fără vid	Semiconductoare	Policristal	Necomandate	Plăci redresoare de cuproxid		Între cupru și oxidul de cupru se găsește un strat de mare rezistență, stratul de oxid avînd rolul de pol negativ iar placa de cupru de pol pozitiv. Aplicații: redresor de măsurare, supapă de blocare și pentru funcționare ca modulator.
						Strat subțire de seleniu pe placă metalică, iar ca electrod opus aliaj de metal moale aplicat în strat subțire prin pulverizare în aer, strat intermediar de mare rezistență (pol pozitiv). Redresor mic constituit din plăci de format redus. Tip plat pentru 1 V sau bară pentru curenți mici la tensiuni pînă la 10 kV și mai mult, pe coloană
				Plăci redresoare de seleniu		Coloane redresoare constituite din plăci de pînă la cîteva sute de cm <sup>2</sup> . Unități pentru curenți pînă la 10 kA la tensiuni joase, pentru curenți mici la tensiuni înalte. Construcții cu răcire forțată cu aer și în ulei.
						Unități de foarte înaltă tensiune construite sub formă de coloane înelare pentru funcționare în aer sau în ulei. Unități cu tensiune inversă de vîrf pînă la 600 kV și mai mult

Tabelul 8.19 (continuare)

Fără vid	Semiconductoare	Monocristal	Necomandate	Diode redresoare		Elemente monocristal de germaniu sau siliciu cu două straturi diferit impurificate, joncțiunea $pn$ acționînd ca joncțiune redresoare. Tip constructiv sub formă de celulă în linie sau montată pe o tijă, sau de celulă disc. Temperatura joncțiunii pentru germaniu circa 65 °C, pentru siliciu pînă la 200 °C. Diode redresoare cu siliciu cu curenți nominali pînă la cîteva sute de A, tensiune inversă pînă la 2 kV pe celulă. Curenți măriți pînă la 2 kA pe celulă. Curenți măriți pînă la 40 kA pe unitate redresoare prin conectare în paralel, tensiuni mărite prin conectare în serie. Răndament foarte ridicat.
				Tranzistoare		Elemente monocristal de germaniu sau siliciu cu trei straturi diferit impurificate, comandă continuă. Dimensiuni minime. Numeroase aplicații ca amplificator. La funcționare în regim de comutare poate fi folosit ca element de circuit de mutator.
			Comandate	Tiristoare		Elemente monocristal de siliciu cu patru straturi diferit impurificate. Funcționare în sens invers ca diodă redresoare. Comutare cu ajutorul unui puls (pe grilă) de la stare de blocare în stare de conducție. Tip constructiv sub formă de celulă montată pe tijă sau de celulă disc. Temperatura joncțiunii pînă la 120 °C. Curent pe celulă pînă la cîteva sute de A, tensiune inversă pînă la 1500 V pe celulă. Curenți și tensiuni mărite prin conectare în paralel sau în serie. Aplicații la toate tipurile de mutatoare.

Notă. Pe lîngă mutatoarele indicate în tabel, există unele dispozitive cu contacte mecanice sau jeturi rotative de mercur, care însă nu sînt mutatoare propriu-zise.



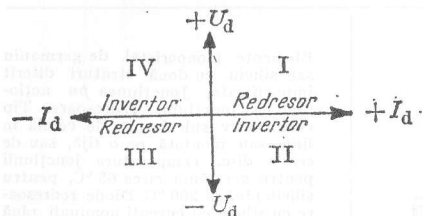


Fig. 8.59. Clasificarea convertizoarelor statice după cadrane pe partea de curent continuu

Pe lângă redresoarele și invertoarele necomandate, se construiesc și tipuri de mutatoare comandate pentru un singur cadran. Acestea se compun dintr-un redresor comandat sau un invertor comandat.

Redresoarele sau invertoarele necomandate se utilizează adeseori împreună cu unul din următoarele elemente de reglare:

- transformator de reglare pe partea de curent alternativ;
- transductoare pe partea de curent alternativ;
- dispozitive de comandă în curent alternativ pe partea de curent alternativ;
- transductoare în ramurile conexiunii mutatorului;
- dispozitive de comandă în curent continuu pe partea de curent continuu.

Invertoarele comandate din domeniul puterilor superioare pot fi constituite din două invertoare necomandate, tensiunile lor de ieșire legate în serie fiind decalate ca fază una față de cealaltă.

În funcție de modul de comutare mutatoarele se împart în:

— *mutatoare cu comutație externă*, la care curentul trece din una din ramurile mutatorului în cealaltă, datorită numai acțiunii tensiunii de pe partea de curent alternativ, fără dispozitive speciale de comutare. Mutatoarele cu comutație de la rețea sînt deosebit de importante;

— *mutatoare cu comutare internă* (mutatoare cu comutație proprie), la care dispozitive speciale de comutare obligă curentul să treacă dintr-o ramură a mutatorului în cealaltă. Aceste dispozitive sînt în principal condensatoare (mutatoare cu comutare prin condensatoare), care furnizează tensiunea și energia necesară pentru comutare.

În funcție de tipul comenzii mutatoarele se împart în:

— *mutatoare cu comandă externă*, la care frecvența este stabilită de un generator de pulsații exterior mutatorului; mutatoarele cu comandă de la rețea sînt în acest caz dintre cele mai importante, rețeaua de curent alternativ comandînd frecvența proceselor de comutare;

— *mutatoare cu comandă proprie*, la care frecvența este comandată de un generator de frecvență inclus în mutator.

## 8.5.2. Aplicații

Mutatoarele sînt întrebunțate pe scară largă în toate felurile de sisteme de alimentare cu energie pentru industrie, tracțiune, transport și comerț.

Cu condiția de a fi utilizate în mod corect, ele au următoarele avantaje în comparație cu mașinile electrice: greutate redusă, construcție simplă, lipsa pieselor mari în mișcare, dimensiuni reduse; nu necesită fundații speciale; nu necesită practic nici un

puterii. Pe lângă acestea există și mutatoare care permit inversarea fluxului de putere, dar nu și a curentului. Ele funcționează ca mutatoare comutabile cu două cadrane, în cadranele I și II (fig. 8.59).

Mutatoarele duble, care permit inversarea sensului atât a tensiunii directe, cit și curentului direct, pot funcționa ca mutatoare cu patru cadrane, adică în toate cele patru cadrane din fig. 8.59. Ele se compun din mutatoare cu două cadrane, conectate în paralel, acționînd în sensuri opuse, fiecare pentru un sens al curentului.

fel de întreținere; au un randament tehnic și economic ridicat; oferă posibilitatea folosirii unor sisteme de comandă mai sensibile, mai rapide sau mai exacte (acest lucru prezintă o deosebită importanță).

Aceste avantaje sînt în special valabile la mutatoarele cu semiconductoare care, în comparație cu cele cu vapori de mercur oferă avantajul suplimentar de a se menține în funcțiune într-un domeniu de temperaturi foarte larg.

*Redresoarele cu semiconductoare* se execută în prezent pentru acoperirea întregului domeniu de puteri. La curenți foarte mici și tensiuni înalte se preferă seleniul. Restul domeniului de aplicabilitate este acoperit de diode redresoare cu siliciu. Se folosesc redresoare în domeniul puterilor medii pentru alimentarea sistemelor de curent continuu, iar la puteri mari, pentru alimentarea instalațiilor de electroliză, pentru sisteme de alimentare a căilor ferate sau pentru motoare de tracțiune în sistemele de tracțiune în curent continuu.

*Mutatoarele cu funcționare într-un singur cadran cu comutație de la rețea cu tiristoare* se adoptă pentru acționările reglabile cu motoare mici, precum și pentru încărcarea tuturor tipurilor de baterii. În cazul cînd domeniul de reglaj este restrîns, se recurge la redresoare cu semiconductoare și reglare prin transductoare.

*Mutatoarele simple și duble cu comutație de la rețea* se folosesc pentru acționări de motoare de curent continuu cu un consum ridicat de putere, în special la acționări reversibile; se construiesc cu tuburi cu vapori de mercur sau cu tiristoare.

*Invertoarele cu comutație proprie* echipate cu tiristoare se folosesc pentru alimentarea aparatului de curent alternativ de pe vehicule care dispun de energie de curent continuu de la o baterie. În instalații fixe o asemenea posibilitate de alimentare în curent alternativ poate asigura și funcționarea neîntreruptă în cazul unui defect de alimentare de pe bare; în acest caz invertoarele funcționează împreună cu baterii și redresoare de încărcare.

*Convertizoarele statice de frecvență cu tiristoare* pot alimenta de la rețea motoare trifazate cu frecvență variabilă. Aceste convertizoare se compun de obicei dintr-un redresor cu comutație de la rețea, un circuit intermediar de curent continuu și un invertor trifazat cu comutație proprie; ele oferă posibilitatea unei comenzi a vitezei motoarelor trifazate aproape fără pierderi.

Convertizoarele cu comutare de la sarcină alimentează circuite de medie frecvență pentru sisteme de încălzire prin inducție, fiind echipate fie cu tuburi cu vapori de mercur, fie cu tiristoare.

*Variatoarele de tensiune alternativă cu tiristoare* comandă tensiunea alternativă în circuite de iluminat (comanda strălucirii), fiind de asemenea folosite pentru reglarea vitezei mașinilor trifazate mici.

*Variatoarele de tensiune continuă* înlocuiesc reostatele de pornire în acționările de curent continuu și permit o reglare a vitezei în mod continuu și cu pierderi reduse, astfel încît în cazul vehiculelor de tracțiune în curent continuu aderența se poate exploata mai eficient.

## 8.5.3. Tiristoare. Caracteristicile tehnice principale ale tiristoarelor

### 8.5.3.1. Definiții. Structură fizică

Tiristorul este un ventil electric cu siliciu comandabil, care, în lipsa semnalului de comandă, blochează trecerea curentului în ambele sensuri. La apariția unui impuls de comandă tiristorul trece în conducție, permițînd trecerea curentului într-un singur sens.

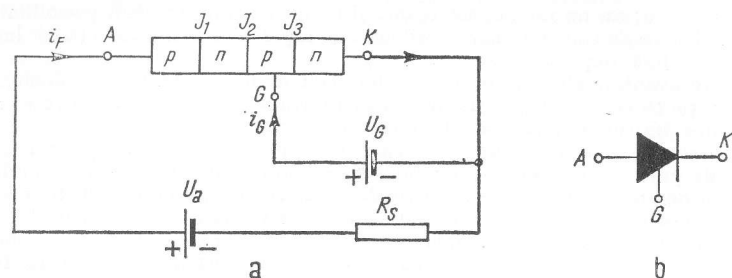


Fig. 8.60. Tiristorul:  
a - structura tiristorului; b - simbolul de reprezentare al tiristorului;  
 $J_1, J_2, J_3$  - joncțiuni pn; A - anod; K - catod; G - grilă;  $i_F$  - curent în regim de conducție;  $i_G$  - curent de grilă;  $U_G$  - tensiune de grilă;  $U_a$  - tensiune anodică;  $R_S$  - rezistența de sarcină.

În fig. 8.60 se prezintă structura fizică a unui tiristor și simbolul de reprezentare al tiristorului în schemele electrice. Constructiv, tiristorul prezintă trei joncțiuni pn notate în figură cu  $J_1, J_2, J_3$ . Primul strat de tip p este denumit „anod”, iar ultimul strat de tip n se numește „catod”. *Sensul direct* de conducție al tiristorului este de la anod spre catod. Joncțiunea  $J_3$  este joncțiunea de comandă, iar stratul al doilea p este numit „grilă de comandă”.

Trecerea în conducție a tiristorului se obține aplicînd pe grila tiristorului un impuls de comandă de amplitudine și durată corespunzătoare.

În afara tiristorului propriu-zis, despre care va fi vorba în cele ce urmează s-a realizat în ultimii ani o întreagă gamă de elemente semiconductoare cu caracteristici similare, precum: tiristorul bidirecțional (triacul), tiristorul cu stingere pe grilă (tiristorul GTO), fototiristorul.

### 8.5.3.2. Caracteristici tehnice principale

Curba caracteristică tensiune-curent a tiristorului este prezentată în fig. 8.61. Pe baza acestei curbe se vor defini următoarele mărimi caracteristice ale tiristoarelor, specificate și în cataloagele firmelor producătoare.

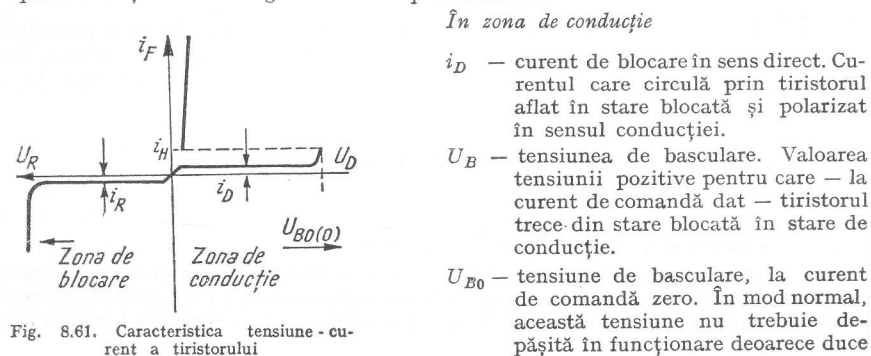


Fig. 8.61. Caracteristica tensiune-curent a tiristorului

În zona de conducție

$i_D$  - curent de blocare în sens direct. Curentul care circulă prin tiristorul aflat în stare blocată și polarizat în sensul conducției.

$U_B$  - tensiunea de basculare. Valoarea tensiunii pozitive pentru care - la curent de comandă dat - tiristorul trece din stare blocată în stare de conducție.

$U_{B0}$  - tensiune de basculare, la curent de comandă zero. În mod normal, această tensiune nu trebuie depășită în funcționare deoarece duce

la trecerea în conducție a tiristorului, independent de prezența impulsului de comandă.

- $i_H$  - curent static de menținere. Curentul minim care trebuie să circule prin tiristor pentru ca tiristorul o dată aprins să rămână în conducție.
- $i_{HD}$  - curent dinamic de menținere. Valoarea minimă a curentului anodic care trebuie să se stabilească prin tiristor în momentul trecerii sale în conducție; această valoare este dependentă de amplitudinea, de forma și de durata impulsului de comandă, și este superioară curentului static de menținere.
- $i_F$  - curent de conducție. Valoarea instantanee a curentului care circulă prin tiristorul aflat în conducție.
- $I_{F(AV)}$  - valoare medie pe o perioadă a curentului de conducție.
- $I_N$  - curent nominal al tiristorului. Valoarea recomandată de fabricant pentru valoarea medie pe o perioadă a curentului de conducție pentru o schemă monofază și sarcină rezistivă. Această valoare este dependentă de radiatorul de răcire ales și de felul ventilației.
- $I_{FL}$  - curent limită de durată. Valoarea medie a curentului de conducție maxim admis în regim de durată pentru schemă monofază și sarcină rezistivă. În cataloagele de tiristoare se prezintă diagrame de variație a lui  $I_{FL}$  funcție de temperatura carcasi tiristorului  $T_G$ , pentru diferite unghiuri de conducție.
- $I^{3t}$  - integrală limită de sarcină. Reprezintă valoarea maximă admisibilă a integralei în timp a pătratului curentului prin tiristor, calculată pentru 10 ms și 1 ms. Este utilă la dimensionarea elementelor de protecție a tiristoarelor (siguranțe, întreruptoare automate).

În zona de blocare

- $i_R$  - curent de blocare în sens invers. Curentul care trece prin tiristorul polarizat în sens invers conducției.
- $U_{DRL}, U_{RRL}$  - tensiune de vîrf maximă admisă în starea blocată, pozitivă sau negativă, periodică. La alegerea tiristoarelor din punct de vedere al tensiunii admise trebuie să se aibă în vedere pentru  $U_{DRL}, U_{RRL}$  un coeficient de siguranță de 1,5 - 2,5 față de tensiunea nominală din circuitul în care lucrează tiristorul. Acest coeficient ține seama de supratensiunile care apar în funcționare și se consideră 1,5 pentru cazurile cînd supratensiunile se pot evalua prin calcul și 2,5 în celelalte cazuri.
- $U_{DSL}, U_{RSL}$  - tensiune de vîrf maximă admisă în sens pozitiv sau negativ, neperiodică. Aceste valori nu trebuie să fie depășite, nici chiar pentru scurt timp, deoarece duc la distrugerea tiristorului.

Mărimi de comandă

- $I_G$  - curent de comandă. Curentul care circulă prin electrodul de comandă (grilă). Este pozitiv cînd intră prin grilă.
- $U_G$  - tensiune de comandă. Tensiunea între grilă și catod.
- $I_{GTHS}$  - curent maxim de aprindere. Curentul de comandă capabil să asigure aprinderea tuturor tiristoarelor de un anumit tip trebuie să fie mai mare ca  $I_{GTHS}$ .

$U_{GTHS}$  — tensiune maximă de aprindere. Valoarea maximă din plaja de împrăștiere a valorilor tensiunii de aprindere care pot apărea la o serie de tiristoare de același tip.

$U_{GTLs}$  — tensiune minimă de aprindere. Valoarea minimă din plaja de împrăștiere a valorilor tensiunii de aprindere a unei serii de tiristoare de același tip.

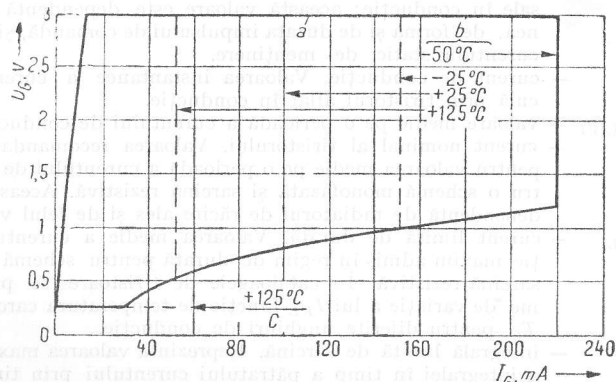


Fig. 8.62. Diagrama de aprindere a tiristorului

Prin diagrama de aprindere a unui tip de tiristor se înțelege câmpul curbelor de sarcină a joncțiunii de comandă. Domeniul aprinderii posibile este limitat de curentul și tensiunea maximă de aprindere și de curentul și tensiunea minimă de aprindere. Acest domeniu este dependent de temperatura joncțiunii  $T_J$ .

#### Caracteristici dinamice

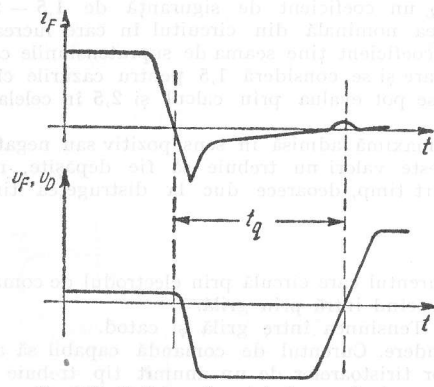


Fig. 8.63. Definierea timpului de revenire  $t_q$ .

$t_{gt}$  — timp de aprindere. Intervalul de timp între aplicarea unui impuls de comandă și momentul în care tensiunea pozitivă de blocare  $U_D$  atinge 10% din valoarea sa inițială.

$t_{ga}$  — întârziere la aprindere. Durata între aplicarea unui impuls de comandă și momentul în care tensiunea pozitivă de blocare atinge 90% din valoarea sa inițială. Micșorarea acestui timp se realizează prin comanda tiristorului cu impulsuri de amplitudine mare și pantă foarte abruptă.

$t_q$  — timp de revenire. Intervalul minim între anularea curentului

prin tiristorul care trece în blocare și reaplicarea ulterioară a unei tensiuni de semn pozitiv pe tiristor (fig. 8.63).

În cazul că tensiunea  $U_D$  se aplică din nou după un timp inferior lui  $t_q$  tiristorul se reaprinde fără aplicarea unui nou impuls de aprindere. Valoarea timpului de revenire limitează posibilitățile de utilizare a tiristoarelor în domeniul frecvențelor înalte de lucru.

Constructiv, se realizează tiristoare cu timp de revenire garantat de valoare mică, așa numite „tiristoare rapide”, indicate pentru schemele cu comutație forțată (variatoare de tensiune continuă, invertore).

Pentru schemele cu comutație de la rețea (redresoare comandate), se pot folosi „tiristoare lente” cu  $t_q$  mai mare decât al celor din prima categorie.

$(du/dt)_{max}$  — viteza maximă admisă de creștere a tensiunii în sensul conducției. La depășirea acestei valori tiristorul poate trece în conducție fără ca pe grilă să se aplice impuls de comandă.

$(di_F/dt)_{max}$  — viteza maximă admisă de creșterea curentului. La trecerea în conducție a tiristorului, în primul moment conducția se realizează printr-o zonă de suprafață mică din centrul pastilei tiristorului, propagându-se apoi radial cu o viteză finită. Dacă viteza de creștere a curentului depășește anumite limite, în zona centrală apar pierderi suplimentare care duc la încălzirea exagerată a tiristoarelor și la distrugerea lor. Dacă în circuit apar totuși creșteri bruște de curent este necesar să se modifice schema pentru limitarea acestor variații.

Ca exemplu sînt date în tabelul 8.20 cîteva tipuri de tiristoare cu caracteristicile lor principale.

#### Caracteristici termice

$T_J$  — temperatura joncțiunii. Valoarea maximă a acestei temperaturi nu trebuie depășită pentru a nu se produce distrugerea tiristorului.

$T_G$  — temperatura carcasi.

$T_A$  — temperatura mediului de răcire. În cataloage se indică curentul nominal pentru următoarele temperaturi ale mediului ambiant:  
— 45°C, pentru răcire naturală;  
— 35°C, pentru răcire forțată cu o viteză a aerului de 6 m/s.

În cazul în care condițiile de temperatură ale mediului ambiant diferă de cele normale, în cataloage se indică diagrama de variație a curentului limită de durată  $I_{FL}$  în funcție de temperatura mediului ambiant  $T_A$ .

Dacă tiristorul se utilizează fără radiator sau cu radiator de alt tip decât cel pentru care s-a recomandat curentul nominal, se utilizează diagramele de variație a lui  $I_{FL}$  funcție de temperatura carcasi  $T_G$ .

Pentru stabilirea transferului de căldură între tiristor și mediul ambiant se definesc următoarele rezistențe termice:

$$R_{thJG} = \frac{T_J - T_G}{P} - \text{rezistență termică internă}$$

Diferența temperaturilor joncțiunii și carcasi raportată la pierderile totale  $P$ . Este o mărime care caracterizează capsula propriu zisă a tiristorului.

$$R_{thGA} = \frac{T_G - T_A}{P} - \text{rezistență termică externă}$$

Tabelul 8.20. Caracteristicile principale ale citorva tipuri

TIP	Firma	$I_{FL}$ la $T_J = 89^\circ\text{C}$ A	$I_N$ A		$i_{TJ}$ A <sup>1/2</sup> · s		$i_D, i_R$ $T_J = 125^\circ\text{C}$ mA	$i_H$ la $T_J = 25^\circ\text{C}$ mA
			ventilație naturală	ventilație forțată	$t = 10$ ms $T_J = 125^\circ\text{C}$	$t = 1$ ms $T_J = 125^\circ\text{C}$		
T 50 N 700 EOH, cu radiator KL 42	AEG-RFG	50	30	55	2450	1200	20	300
T 95 F 900 EEC cu radiator KL 91	AEG-RFG	95	55	110	16 000	8000	30	300
T 160 N 1400 EOB, cu radiator KL 91	AEG-RFG	160	70	160	61 000	30 500	50	300

Notă: Tiristoarele cu indice N sînt de tip „lent” utilizate pentru schemele cu comutație de la rețea iar cele cu indice F de tip „rapid” — utilizate în schemele cu comutație forțată.

Această valoare reprezintă suma rezistențelor termice dintre capsula tiristorului și radiator, a radiatorului și cea dintre radiator și mediul de răcire.

$$R_{thJA} = \frac{T_J - T_A}{P} - \text{rezistență termică totală.}$$

### 8.5.3.3. Protecția tiristoarelor

Tiristoarele montate într-o instalație trebuie protejate la supratensiunile și suprasarcinile accidentale care pot apărea în funcționare.

#### Protecție la supratensiuni

Supratensiunile din instalațiile cu tiristoare se pot datora următoarelor cauze:

- supratensiuni provenite din rețeaua de alimentare (prin conectări sau deconectări sau de natură atmosferică);

- conectarea și deconectarea transformatorului redresorului;
- conectarea unor consumatori inductivi;
- efectul de stocaj al tiristorului (inerția tiristorului);
- comanda prin varierea lățimii pulsului, în cazul variatoarelor de tensiune alternativă.

Pentru protecție la aceste tipuri de supratensiuni se folosesc în general grupuri RC, în câteva scheme tipice.

de tiristoare mai frecvent utilizate

$i_{HD}$ la $T_J = 25^\circ\text{C}$ mA	$U_{DRL}$ $U_{RRL}$ V	$I_{GTHS}$ $T_J = 25^\circ\text{C}$ mA	$U_{GTHS}$ $T_J = 25^\circ\text{C}$ V	$t_{gd}$ $T_J = 25^\circ\text{C}$ $\mu\text{s}$	$t_q$ $T_J = 125^\circ\text{C}$ $\mu\text{s}$	$(du/dt)_{max}$ $T_J = 125^\circ\text{C}$ V/ $\mu\text{s}$	$(di_F/dt)_{max}$ A/ $\mu\text{s}$
630	700	100	3	9	40...80	400	25
600	900	100	3	3,5	<20	400	20
800	1 400	250	3	15	50...100	50	20

#### Circuit de protecție pe tiristor

Metoda constă în cuplarea în paralel pe tiristor a unui grup serie RC și are ca efect atenuarea supratensiunilor datorate efectului de stocaj. Supratensiunile maxime care apar datorită acestui fenomen sînt funcție de tensiunea, de comutare, de inductanța circuitului de comutare și de curentul care este comutat.

Practic, firmele constructoare recomandă valori pentru grupul RC pentru fiecare tip de tiristor, funcție de tensiunea de lucru, sau prezintă diagrame de determinare a valorilor elementelor de protecție.

#### Circuit de protecție în primarul sau secundarul transformatorului

Protecția în acest caz se face la supratensiunile ce provin din conectarea sau deconectarea transformatorului, cuplarea și decuplarea sarcinii, precum și la supratensiuni provenite din rețeaua de alimentare. Aceste circuite se cuplează de obicei în secundarul transformatorului principal. Pentru calculul elementelor de amortizare se pornește de la ideea că energia înmagazinată în cîmpul magnetic al transformatorului trebuie să fie preluată de către condensatorul din grupul de amortizare.

Relațiile pe baza cărora se calculează capacitățile condensatorului sînt:

$$C = \frac{P_T I_0 \cdot 10^7}{2\pi f (U_{RRL}^2 - U_{max}^2)}, \text{ pentru transformator monofazat;}$$

$$C = \frac{P_T I_0 \cdot 10^7}{6\pi f (U_{RRL}^2 - U_{max}^2)}, \text{ pentru transformator trifazat,}$$



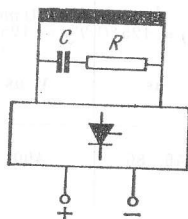


Fig. 8.64. Circuit de protecție la supratensiuni, în secundarul unui transformator monofazat.

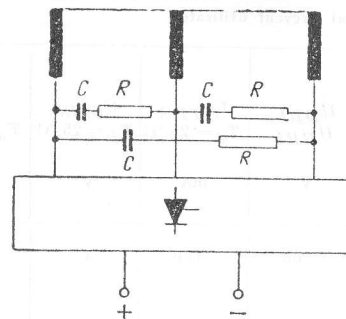


Fig. 8.65. Circuit de protecție la supra-tensiuni, în secundarul unui transformator trifazat.

- în care:  $C$  este valoarea capacității condensatorului de amortizare, în  $\mu\text{F}$ ;  
 $P_T$  — puterea nominală a transformatorului, în kVA;  
 $I_0$  — curentul de mers în gol al transformatorului, în % din curentul nominal (v. tabelul 8.21);  
 $f$  — frecvența rețelei, în Hz;  
 $U_{RRL}$  — tensiune de vîrf maximă admisă a tiristorului sau diodei, în V;  
 $U_{max}$  — valoarea de vîrf a tensiunii aplicate pe tiristor sau diodă avînd în vedere și supratensiunile care pot apărea, în V.

Tabelul 8.21. Curentul de mers în gol al transformatorului  $I_0$  în funcție de puterea nominală a transformatorului  $P_T$

$P_T$ kVA	$I_0$ %
0,1	10
3	5
10	3
100	2,7
200	2,5
500	2
1000	1,6

Mărirea și puterea disipată a rezistenței de amortizare se deduc din:

$$R \geq 2 \sqrt{\frac{L_s}{C}}; \quad P = 2(U2\pi fC)^2 \cdot R \cdot 10^{-12}, \quad \text{pentru}$$

unde:  $U$  este valoarea efectivă a tensiunii care se aplică pe grupul de protecție, în V;  
 $f$  — frecvența tensiunii, în Hz;  
 $R$  — rezistența de amortizare, în  $\Omega$ ;  
 $L_s$  — inductanța de scăpări a transformatorului, raportată la acea înfășurare a transformatorului pe care este cuplat grupul de protecție, în  $\mu\text{H}$ ;  
 $C$  — capacitatea condensatorului de amortizare, în  $\mu\text{F}$ .

Formula de calcul a inductanței de scăpări este

$$L_s = \frac{u_K U^2}{2\pi f \cdot 100 P_T}$$

în care  $L_s$  este inductanța de scăpări a transformatorului, în mH;

$u_K$  — tensiunea de scurtcircuit a transformatorului, în %;

$U$  — valoarea efectivă a tensiunii alternative, în V;

$f$  — frecvența tensiunii alternative, în Hz;

$P_T$  — puterea nominală a transformatorului, în kVA.

Un caz particular apare cînd redresorul este legat direct la rețeaua de alimentare. În acest caz, în ramurile de alimentare ale redresorului se introduc inductanțe liniare, care limitează supratensiunile nedorite care apar datorită comutărilor din rețea și limitează în același timp viteza de creștere a curentului absorbit de la rețea; această inductanță suplimentară se calculează cu formula

$$L = \frac{u_K U}{100 I 2\pi f}$$

în care:  $L$  este inductanța suplimentară, în H;

$u_K$  — căderea de tensiune pe inductanță, în procente din tensiunea de linie (se consideră de obicei ca suficientă o valoare de 4%).

$U$  — valoarea efectivă a tensiunii care se aplică pe inductanță la scurtcircuit, în V;

$I$  — valoarea efectivă a curentului care circulă prin inductanță, pentru sarcina nominală, în A;

$f$  — frecvența rețelei, în Hz.

#### Protecția maximală de curent

Protecția la scurtcircuite se realizează prin utilizarea siguranțelor ultrarapide, concepute în mod special pentru protecția dispozitivelor semiconductoare (diode cu siliciu, tiristoare).

Aceste siguranțe se pot dispune fie ca siguranțe în serie cu fiecare tiristor, fie ca siguranțe pe partea de alimentare. Cunoșcînd schema mutatorului și curenții care circulă prin ramurile sale se pot determina curenții nominali ai siguranțelor.

Alegerea corespunzătoare a elementului de protecție la supracurent se face comparînd caracteristica acestuia cu cea a tiristorului. O protecție integrală a tiristorului are în vedere atît protecția la scurtcircuite cît și la suprasarcini de durată. Protecția la scurtcircuite se realizează prin siguranțe, care se aleg astfel încît în permanență integrala limită de sarcină ( $I^2t$ ) a tiristorului să fie superioară celei a siguranței. În acest mod se evită distrugerea tiristorului la șocuri de curent de scurtă durată.

Pentru protecția la suprasarcini de durată se utilizează relee termice sau electromagnetice, a căror caracteristică de acționare trebuie să fie acoperitoare față de caracteristica de suprasarcină a tiristorului.

### 8.5.4. Mutatoare cu comutație de la rețea

#### 8.5.4.1. Definiții

Numărul de pulsuri este o caracteristică a unei scheme de mutator, exprimată ca numărul total de comutări succesive în cursul unei perioade. În consecință, grupurile de comutare care comută independent unul de altul, au același număr de comutări  $q$ .



În perioada de suprapunere două ramuri ale mutatorului care trebuie să fie parcurse de curent succesiv, sint parcurse de curent simultan, datorită reactanțelor din circuitul de comutare. În cazul mutatoarelor cu comutație de la rețea această reactanță de comutare este compusă din reactanța de scăpări a transformatoarelor și reactanța sistemului. Această reactanță compusă este redată prin căderea de tensiune inductivă relativă,  $u_k$ , la un curent sinusoidal de aceeași valoare efectivă ca și curentul alternativ care trece prin mutator cînd este încărcat la curentul continuu de sarcină nominal,  $I_{dN}$ . Suprapunerea care rezultă este definită ca unghiul inițial de suprapunere  $u_0$ . Fig. 8.67 indică valorile acestui unghi în funcție de reactanța de comutare și de raportul  $I_d/I_{dN}$  al curentului continuu de sarcină al mutatorului.

Cînd se consideră mutatoarele din punct de vedere ideal atît această suprapunere, cît și pierderile se neglijează. În cazul redresoarelor, tensiunea continuă se compune din una sau două semiunde sau din amplitudinile a trei sau mai multe semiunde ale curentului alternativ, cu care este alimentat mutatorul. De aceea, atunci cînd se lucrează cu mutatoare este necesară să se facă distincție între valoarea medie, valoarea efectivă și valoarea maximă (amplitudine) a tensiunii și a curentului.

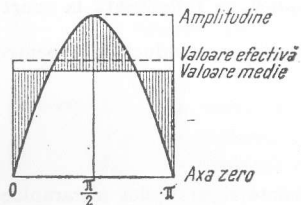
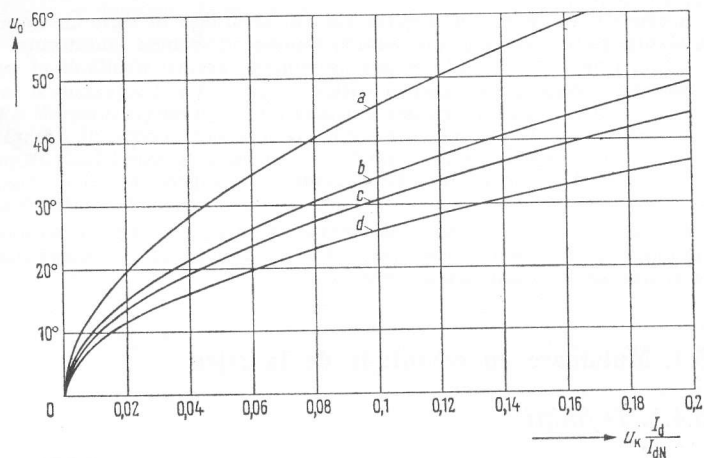


Fig. 8.66. Valori pentru o semiundă sinusoidală.

Fig. 8.67. Unghiul inițial de suprapunere  $u_0$  la tensiunea nominală: a — conexiune în dublă stea DS; b — conexiune în stea S; c — conexiune în punte p; d — conexiune în dublă stea cu transformator între faze DSS.

De exemplu, o semiundă sinusoidală conform fig. 8.66 cu valoarea maximă 1 are valoarea medie  $\frac{2}{\pi} = 0,637$  și o valoare efectivă  $\frac{1}{\sqrt{2}} = 0,707$ . În funcție de numărul de pulsuri pe perioadă apar diferite valori medii și efective, indicate în tabelul 8.22 ca rapoarte între tensiuni. Cu cît este mai mare numărul de pulsuri, cu atît valorile medii și efective ale tensiunii redresate se apropie mai mult de valoarea maximă.

Tabelul 8.22. Variația raportului între diferite valori ale tensiunii în funcție de numărul de pulsuri

Raportul între diferite valori ale tensiunii		Numărul de pulsuri $p$				
		$p = 1$	$p = 2$	$p = 3$	$p = 6$	$p = 12$
Valoare efectivă	(factor de formă)	1,57	1,11	1,017	1,0009	1,00005
Valoare medie						
Valoare maximă	(factor de vîrf al redresorului)	3,14	1,57	1,21	1,05	1,01
Valoare medie						

În afară de cazul cînd se specifică altfel, valorile afectate de indicele  $d$  pe partea de curent continuu reprezintă valori medii, în timp ce cele de pe partea de curent alternativ se dau întotdeauna ca valori efective. Pentru calculul raportului tensiunii continue ideale  $U_{di}$  față de tensiunea de curent alternativ  $U_{s0}$  se poate folosi următoarea formulă generală

$$U_{di} = \sqrt{2} U_{s0} \frac{ms}{\pi} \sin \frac{\pi}{m},$$

în care  $s$  indică numărul de grupuri de comutare conectate în serie iar  $m$  este numărul fazelor.

Mutatoarele pot fi comandate prin întîrzierea momentului de amorsare (comandă de fază). Cu ajutorul acestui principiu momentul începerii conducerii în fiecare ramură a mutatorului este comandat în timpul fiecărei perioade. În cazul mutatoarelor cu comutație de la rețea, unghiul de întîrziere  $\alpha$  indică cu cît este întîziată în timp amorsarea în comparație cu punctul natural la care ar începe conducția de curent în aceeași ramură a unui mutator necomandat. Valoarea unghiului de întîrziere  $\alpha$  determină amplitudinea tensiunii continue ideale  $U_{di\alpha}$  comandate. Comanda pe întreg domeniul de lucru al mutatoarelor cu două cadrane de funcționare, de exemplu, și cu o sarcină inductivă este

$$\frac{U_{di\alpha}}{U_{di}} = \cos \alpha.$$

Tensiunea continuă maximă se obține la limita domeniului de comandă pentru  $\alpha = 0$ ; pentru  $\alpha > 90^\circ$  invertorul produce o tensiune continuă negativă.

Comanda de fază modifică nu numai amplitudinea tensiunii continue, ci și unghiul de suprapunere. În fig. 8.68 sînt indicate valorile acestui unghi  $u$  în funcție de unghiul inițial de suprapunere  $u_0$  și de unghiul de întârziere  $\alpha$ .

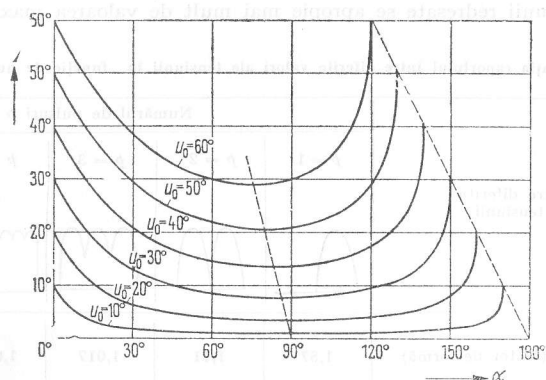


Fig. 8.68. Unghiul de suprapunere  $u$  pentru mutatoare cu două cadrane.

Puterea mutatorului pe partea de curent continuu trebuie determinată avînd în vedere următoarele: numai dacă tensiunea sau curentul de pe această parte au o valoare suficient de uniformă, puterea de curent continuu rezultă ca produsul dintre valorile medii ale tensiunii și curentului continuu. Puterea astfel determinată se numește putere de redresare. În cazul redresoarelor aceasta se indică întotdeauna ca puterea produsă pe partea de curent continuu, chiar dacă tensiunea sau curentul nu sînt pe deplin continue (filtrate), deoarece în cele mai numeroase cazuri de aplicare, puterea de curent alternativ suprapusă peste curentul continuu produce numai pierderi nedorite<sup>1)</sup>.

#### Date pentru circuitele mai uzuale de mutatoare

##### Simboluri și denumiri

- $U_{dN}$  este tensiunea continuă la sarcina nominală (valoare medie), în V;  
 $I_{dN}$  — curentul continuu nominal (valoare medie), în A;  
 $z$  — numărul de plăci sau de celule conectate în serie pe fiecare ramură a mutatoarelor cu semiconductoare;  
 $s$  — numărul de grupuri de comutare conectate în serie (tabelul 8.23, rîndul 5);  
 $U_i$  — partea din tensiunea de conducție în sens direct, în V, (tensiune de prag), independentă de curent, la un element de circuit al mutatorului (placă, celulă) (tabelul 8.23, rîndul 5).  
 $U_{st}$  — partea din tensiunea de conducție în sens direct, în V, a unui dispozitiv cu semiconductoare, dependentă de curent la curentul nominal; se poate neglija la mutatoarele cu tuburi cu vapori de mercur;

<sup>1)</sup>Datorită prezenței armonicilor

- $D$  — căderea de tensiune continuă, în %, între mersul în gol  $U_{d0}$  și sarcina nominală  $U_{dN}$ ;  
 $P_v$  — pierderile în cupru în transformator, inclusiv pierderile ohmice în bobinele și conductoarele de pe partea de curent continuu, în W;  
 $K$  — coeficient auxiliar, care indică raportul dintre  $U_{dN}$  și tensiunea continuă ideală  $U_{di}$  (tabelul 8.23, rîndul 5);  
 $u_x$  — componenta inductivă a tensiunii de scurtcircuit a transformatorului, inclusiv a tuturor inductanțelor din circuitul de comutare, în %; se poate folosi în majoritatea cazurilor tensiunea de scurtcircuit a transformatorului;  
 $x$  — coeficient determinat de circuit pentru reglajul tensiunii inductive (tabelul 8.23, rîndul 5);  
 $\alpha$  — unghiul de întârziere al comenzii de fază;  
 $U_{d0}$  — tensiunea continuă la mers în gol, în V. Valoarea finală a curbei caracteristice prelungită pînă la valoarea zero a curentului (tensiunea continuă convențională la mers în gol);  
 $U_{di}$  — tensiunea continuă ideală, neglijînd pierderile și fenomenul de suprapunere, în V;  
 $U_1$  — tensiunea între faze, pe partea dinspre rețea a transformatorului, în V;  
 $U_{s0}$  — tensiunea pe fază, pe partea dinspre mutator a transformatorului la mers în gol, în V.

În tabelul 8.23 sînt indicate valorile numerice ale principalelor mărimi ale circuitelor mutatoarelor adoptate uzual, în funcție de care se dimensionează transformatoarele și elementele de circuit. Aceste valori presupun o tensiune alternativă sinusoidală și se aplică — în afară de cazul că se specifică altfel — redresoarelor necomandate, cu sarcină ohmică. În cazul cînd sarcina nu este ohmică, valorile din coloanele  $a \dots c$  se modifică în conformitate cu notele de sub tabel. Abaterile, în cazul circuitelor cu număr de pulsuri mai mare decît cele din coloanele  $d \dots h$ , sînt mai mici, astfel încît valorile din tabel pot fi în general folosite.

În afara conexiunilor de transformatoare indicate în tabelul 8.23 (v. rîndurile 1 și 2) se pot alege și altele. Conexiuni pentru 12 pulsuri se pot obține prin legarea în paralel a două conexiuni de șase pulsuri decalate cu  $30^\circ$  electrice una față de cealaltă prin intermediul unui alt transformator între faze.

În schemele redresorului reprezentate în tabelul 8.23 (rîndul 3) prin simbol se indică întotdeauna o ramură a conexiunii mutatorului.

Tensiunea  $U_{s0}$  a transformatorului pe partea dinspre mutator (v. rîndurile 4 și 5) se dă în funcție de tensiunea continuă  $U_{dN}$ , căderea de tensiune continuă datorită sarcinii fiind luată în considerație prin intermediul coeficientului  $K$ . Formula dată ca notă la tabel pentru coeficientul  $K$  este explicată la paginile 510-511.

Pentru calcule aproximative, valoarea 1,1 pentru coeficientul  $K$  este corespunzătoare. În cazul conexiunii dublă stea din coloana  $h$ , transformatorul dintre faze își pierde efectul de divizor de tensiune la sarcini reduse — sub curentul critic de circa 2% din curentul continuu nominal — astfel încît apare o trecere spre funcționarea cu șase pulsuri, o dată cu o creștere de 15% a tensiunii continue. Acest virf de mers în gol se poate evita cu ajutorul unor inductanțe sau rezistențe de sarcină suplimentare.

Valorile la care se referă nota 3) pot fi considerate valori limită atunci cînd se folosește un condensator de filtrare mare, adică în cazul cînd tensiunea continuă este practic filtrată.

Valoarea efectivă a curentului în conductorul de legătură pe partea mutatorului  $I_l$  (v. rîndul 6) este folosită pentru dimensionarea electrică a înfășurărilor transformatorului a inductanțelor și conductoarelor.

Tabelul 8.23. Valori pentru calculul celor mai

	Coloana	a	b	c
1	Conexiunea mutatorului	Conexiune monoalternanță E	Conexiune cu două pulsuri cu punct median M	Conexiune în punte monofază P
2	Conexiunea transformatorului	—	—	—
3	Schema circuitului			
	Mărimea cerută	Formula		
4	Valoarea efectivă a tensiunii alternative la mers în gol pe partea mutatorului .....	$\frac{U_{s0}}{K U_{dN}}$	2,22 0,71 *)	1,11 1,11 *)
5	Factorul de diferență de tensiune. Valori auxiliare de calcul *)	$\alpha_s$	1 1	0,7 2
6	Valoarea efectivă a curentului pe conductor pe partea mutatorului	$\frac{I_l}{I_{dN}}$	1,57 2,5—3,5 *)	0,79 0,71 *)
7	Valoarea efectivă a curentului din înfășurarea primară a transformatorului *)	$\frac{I_1}{I_{dN}}$	1,21	1,11 1,0 *)

uzuale circuite de mutator (pentru denumiri v.p. 504-505)

d	e	f	g	h	
Conexiune în stea S	Conexiune în punte trifază DP	Conexiune în stea dublă DS	Conexiune cu ramificație în furcă	Conexiune în dublă stea cu transformator între faze DSS	1
M 3 (Dy 5)	P 3 (Yy 0)	M 6 (F <sub>1</sub> )	M 6 (F <sub>2</sub> )	M6(F <sub>2</sub> )	2
					3
0,86	0,43	0,74	0,74	0,86	4
0,9 1	0,5 2	1,5 1	0,5 1	0,5 1	5
0,59	0,82	0,41	0,41	0,29	6
0,48	0,82	0,58	0,47	0,41	7

Coloana			a	b	c
	Mărimea cerută	Formula			
8	Valoarea efectivă a curentului dintre faze <sup>*)</sup>	$\frac{I_L}{I_{dN}}$	1,21	1,11 1,0 <sup>*)</sup>	1,11 1,0 <sup>*)</sup>
9	Puterea înfășurării secundare, în kVA ....	$\frac{P_2}{K U_{dN} I_{dN}}$	3,49	1,75 1,57 <sup>*)</sup>	1,23 1,0 <sup>*)</sup>
10	Puterea înfășurării primare, în kVA .....	$\frac{P_1}{K U_{dN} I_{dN}}$	2,69	1,23 1,11 <sup>*)</sup>	1,23 1,11 <sup>*)</sup>
11	Puterea aparentă nominală absorbită din rețea .....	$\frac{P_{LN}}{K U_{dN} I_{dN}}$	2,69	1,23 1,11 <sup>*)</sup>	1,23 1,11 <sup>*)</sup>
12	Puterea medie a transformatorului, în kVA	$\frac{P_T}{K U_{dN} I_{dN}}$	3,09	1,49 1,34 <sup>*)</sup>	1,23 1,11
13	Valoarea medie aritmetică a curentului pe ramură .....	$\frac{I_{zm}}{I_{dN}}$	1,0	0,5	0,5
14	Amplitudinea, valoarea de vîrf sau de creastă a tensiunii inverse ..	$\frac{\hat{u}_{sp}}{K U_{dN}}$	3,14 2 <sup>*)</sup>	3,14 2 <sup>*)</sup>	1,57 1 <sup>*)</sup>
15	$w_i$ (în % din $U_{di}$ ) Ondulația ideală a tensiunii pe partea de curent continuu ....	$w_i$	121,1 0 <sup>*)</sup>	48,3 0 <sup>*)</sup>	48,3 0 <sup>*)</sup>

$$^*) \text{ Formula generală } K = 1 + z s \frac{U_v}{U_{dN}} + z s \frac{U_{st}}{U_{dN}} + \frac{P_{Cu}}{U_{dN} I_{dN}} + u x.$$

<sup>\*)</sup> La raport de transformare  $U_1/U_{s0} = 1$ .

<sup>\*)</sup> În sarcină, fără bobină de filtrare, la tensiune contraelectromotoare (de exemplu baterie, condensator).

Tabelul 8.23 (continuare)

d	e	f	g	h	
0,83	0,82	0,82	0,47	0,41	8
1,51	1,05	1,81	1,79	1,48	9
1,23	1,05	1,28	1,05	1,05	10
1,23	1,05	1,05	1,05	1,05	11
1,37	1,05	1,55	1,42	1,26	12
0,33	0,33	0,17	0,17	0,17	13
2,09	1,05	2,09	2,09	2,09	14
18,3	4,2	4,2	4,2	4,2	15

<sup>\*)</sup> Cu bobină mare de filtrare.

**Notă.** Valorile fără notă de subsol se aplică strict numai pentru sarcină rezistivă.

Raportul  $I_1/I_{dN}$  este valabil presupunând că  $U_1/U_{s0} = 1$  (v. rîndul 7).

Curentul dintre faze  $I_L$  (v. rîndul 8) din rețeaua de curent alternativ determină dimensionarea întreruptorului și a dispozitivelor de protecție de pe partea de curent alternativ.

Puterea  $P_2$ , în kVA, a înfășurării secundare a transformatorului (v. rîndurile 9, 10 și 12) care este determinată de  $U_{s0}$  și  $I_L$  se poate calcula din puterea nominală produsă în curent continuu folosind valoarea din tabel; puterea  $P_1$ , în kVA, a înfășurării primare care este determinată de  $U_1$  și  $I_1$  se poate calcula în același mod. De aici rezultă puterea medie a transformatorului

$$P_T = \frac{P_1 + P_2}{2}.$$

Puterea aparentă nominală  $P_{LN}$  și puterea  $P_1$ , în kVA, a înfășurării primare (v. rîndurile 10 și 11) se poate calcula direct din puterea nominală produsă în curent continuu  $U_{dN}I_{dN}$ .

*Notă.* La dimensionarea mutatoarelor mari trebuie să se țină seamă și de armonicele conținute în curentul de linie, precum și de puterea reactivă absorbită de mutatoarele comandate, pentru a calcula puterea instalată. Pot fi adoptate circuite cu o putere reactivă foarte redusă (de exemplu punți semicomandate).

Valoarea medie aritmetică a curentului pe ramură  $I_{zm}$  (v. rîndul 13) este un parametru important în dimensionarea mutatoarelor.

Tensiunea inversă de vîrf  $\hat{u}_{sp}$  (v. rîndul 14) are o importanță hotărîtoare pentru alegerea conexiunii mutatorului și pentru numărul de plăci sau celule care trebuie să fie legate în serie. În prospectele redresoarelor cu seleniu sau cuproxid se dă de obicei valoarea efectivă a tensiunii alternative maxime admisibile, adică  $\hat{u}_{sp}/\sqrt{2}$  ca o indicație a capacității de blocare.

Prospectele pentru celule de germaniu sau siliciu dau tensiunea inversă de vîrf maxim admisibilă pe celulă care, datorită supratensiunilor, trebuie să fie mai mare cu un coeficient de siguranță apreciabil față de valoarea ce revine fiecărei celule din valoarea de vîrf a tensiunii inverse ( $\hat{u}_{sp}$ ).

Ondulația ideală  $w_i$  (v. rîndul 15) a tensiunii redresate este raportul dintre valoarea efectivă a tensiunii ideale alternative suprapuse și tensiunea continuă ideală  $U_{di}$  în cazul unei sarcini pur ohmice; acest raport determină dimensiunile elementului de filtrare. Valorile din tabel, care nu țin seamă de reglarea tensiunii continue sînt valabile pentru funcționarea necomandată. În cazul mutatoarelor comandate, valorile se măresc considerabil o dată cu scăderea valorii tensiunii continue.

#### 8.5.4.2. Curbe de sarcină, coeficientul de diferență de tensiune $K$

Valorile de bază folosite în cazul adoptării valorilor din tabelul 8.23 sînt curentul continuu nominal  $I_{dN}$  și tensiunea continuă nominală asociată  $U_{dN}$ . Pentru calcularea tensiunii transformatorului pe partea dinspre mutator (rîndul 4 din tabelul 8.23) trebuie să se țină seamă de valoarea căderii de tensiune pe tiristor în sens direct independent de curent și de diferența dintre tensiunea redresată la mers în gol și la mers în sarcină; aceste valori trebuie să fie adăugate la valoarea tensiunii continue cerute la sarcina nominală (pentru denumiri v. pag. 504-505...).

În condiții de funcționare apropiate de mersul în gol al mutatorului, tensiunea de mers în gol (convențională) este

$$U_{d0} = U_{dN} + D \quad (8.34)$$

Căderea de tensiune  $D$  cuprinde cîțiva termeni care țin seama de diferite pierderi ce depind de curent

$$D = z_s U_{st} + \frac{P_{Cu}}{I_{dN}} + u_x U_{dN}. \quad (8.35)$$

Tensiunea redresată ideală  $U_{di}$  diferă de tensiunea continuă de mers în gol  $U_{d0}$  cu valoarea căderii de tensiune pe tiristor în sens direct  $U_v$  dependentă de sarcină

$$U_{di} = U_{d0} + z_e U_v \quad (8.36)$$

Semnificația diferitelor valori ale tensiunii este ilustrată de curba de sarcină din fig. 8.69.

Pentru simplificarea calculului, în practică se definește un coeficient de diferență de tensiune  $K$  ( $K > 1$ ), după cum urmează

$$U_{di} = U_{dN} K. \quad (8.37)$$

Din ecuațiile (8.34) și (8.37) rezultă

$$K = 1 + z_s \frac{U_v}{U_{dN}} + z_s \frac{U_{st}}{U_{dN}} + \frac{P_{Cu}}{U_{dN} I_{dN}} + u_x K. \quad (8.38)$$

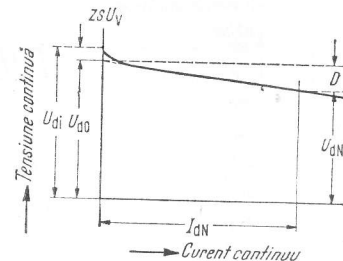


Fig. 8.69. Variația tensiunii unui mutator cu comutare de la rețea.

Coeficientul  $K$  se aplică la redresoarele necomandate, sau la cele comandate la tensiunea continuă maximă de ieșire (unghi de întârziere  $\alpha = 0$ ) și sarcină nominală. În funcție de tipul și de conexiunea mutatorului, se întîlnesc în mod normal valori de ordinul 1,03 ... 1,15. În cazul șocurilor de sarcină apar valori a lui  $K$  mult mai mari, care în cazul mutatoarelor comandate trebuie să fie avute în vedere printr-o rezervă corespunzătoare în domeniul de comandă.

În funcție de tipul constructiv și de dimensiunile tuburilor cu vapori de mercur, valorile lui  $U_v$  variază între 18 și 30 V, însă la tiratroane mici ajunge numai pînă la circa 12 V, iar la redresoare de înaltă tensiune are valoarea de aproximativ 50 V. Pentru calcule aproximative  $U_v$  se poate lua adeseori 20 V, iar  $U_{st}$  se poate neglija. În general, nu se întîlnesc mai multe tiristoare conectate în serie pe o singură ramură, astfel încît  $z$  poate fi egal cu 1.



În cazul mutatoarelor cu semiconductoare se întâlnește conectarea în serie pe aceeași ramură a mai multor plăci sau celule. Căderea de tensiune pe element în sens direct se înmulțește atunci cu numărul  $z$  al plăcilor sau celulelor conectate în serie.

Fracțiunea dependentă de curent  $U_{st}$  este căderea medie de tensiune în timpul perioadei de conducție pe o ramură, minus tensiunea de prag  $U_v$ . În cazul unei tensiuni redresate puternic filtrate  $U_{st}$  se poate determina din valoarea căderii de tensiune în sens direct la curentul continuu nominal  $I_{dN}$ . În funcție de conexiunea mutatorului, numărul de pulsuri, caracterul sarcinii și tipul răcirii, porțiunea dependentă de curent variază între 0,22 și 0,55 V pe placă de seleniu, porțiunea fixă  $U_v$  fiind evaluată la circa 0,6 V pe placă la redresoarele de putere. În cazul diodelor redresoare cu siliciu se consideră  $U_{st} = 0,3$  V, iar  $U_v = 0,7$  V pe celulă, la temperatura de funcționare normală. Tensiunea  $U_v$  a diodelor redresoare cu germaniu este ceva mai redusă, iar numărul de celule care se conectează în serie la tensiuni înalte este mai mare.

Determinări mai exacte ale valorilor se pot obține cu ajutorul caracteristicilor de conducție care se pot găsi în prospectele de fabrică. Fig. 8.70 și 8.71 prezintă caracteristicile de conducție ale unei plăci redresoare de seleniu și ale unei diode redresoare cu siliciu la două temperaturi diferite.

Pentru diode redresoare cu siliciu și tiristoare caracteristica de conducție poate fi aproximată printr-o dreaptă echivalentă cu ajutorul ecuației

$$u_F = U_s + R_{dif} i_F.$$

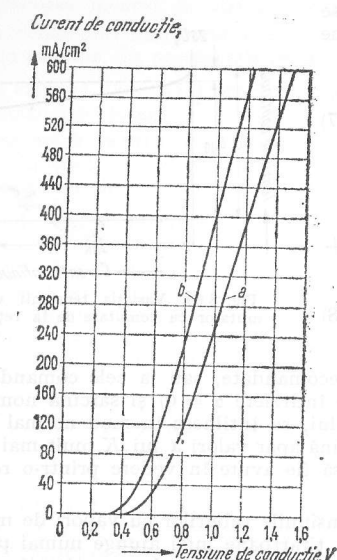


Fig. 8.70. Caracteristicile de conducție ale unei plăci redresoare cu seleniu: a — la temperatura mediului (20°C); b — la temperatura medie de funcționare (70°C).

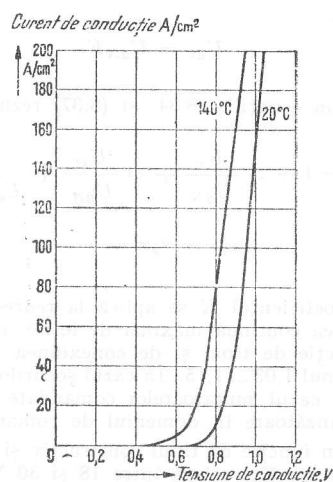


Fig. 8.71. Caracteristicile de conducție ale unei diode redresoare cu siliciu raportată la 1 cm² de suprafață de placă (valori instantanee ale curentului direct și ale căderii de tensiune în sens direct).

Tensiunea de prag  $U_s$  reprezintă porțiunea independentă de curent  $U_v$  a căderii de tensiune în sens direct  $u_F$ , în timp ce porțiunea dependentă de curent  $U_{st}$  este reprezentată ca produs dintre rezistența dinamică de conducție  $R_{dif}$  și valoarea instantanee a curentului direct  $i_F$ .

### 8.5.4.3. Pierderi de conducție

Cu tot randamentul excepțional al mutatoarelor cu siliciu, densitatea mare de putere pe celulă determină pierderi considerabile. Acestea se compun din pierderi de conducție, pierderi de blocare și pierderi de comutare. În cazul tiristoarelor este necesar să se adauge pierderi în circuitul de grilă și pierderi de blocare în sens direct. Capacitatea de preluare a curentului este determinată în acest caz în primul rînd de pierderile de conducție

$$P_F = U_s I_F + R_{dif} (I_F)^2.$$

În această ecuație se introduce curentul mediu prin celulă în locul lui  $I_F$ , iar  $f$  — factorul de formă — se ia din curba din fig. 8.72, în funcție de forma undei de curent și de unghiul de conducție  $\lambda$ . În cazul redresoarelor acest curent mediu corespunde valorii medii pe ramură  $I_{zm}$  din tabelul 8.23.

$$f = \frac{I_{Fef}}{I_F},$$

$$I_{Fef} = \sqrt{\frac{1}{T} \int i^2 dt},$$

$$I_F = \frac{1}{T} \int i dt.$$

În cazul în care unda curentului direct are o alură mult diferită de dreptunghi sau sinusoidală, pierderile în funcție de timp se determină din valorile instantanee ale curentului  $i_F$  și ale căderii de tensiune în sens direct  $u_F$ , din care se poate obține valoarea medie în timpul perioadei  $T$ , de exemplu prin integrare grafică.

Capacitatea sistemelor de răcire, care trebuie să disipeze pierderile termice, este determinată de pierderile de conducție. În majoritatea cazurilor se folosește un element de răcire din cupru sau din aluminiu. Pentru celulele de dimensiuni mai mici este suficientă convecția naturală, dar pentru unitățile mai mari este de obicei necesară ventilația forțată. Echipa-

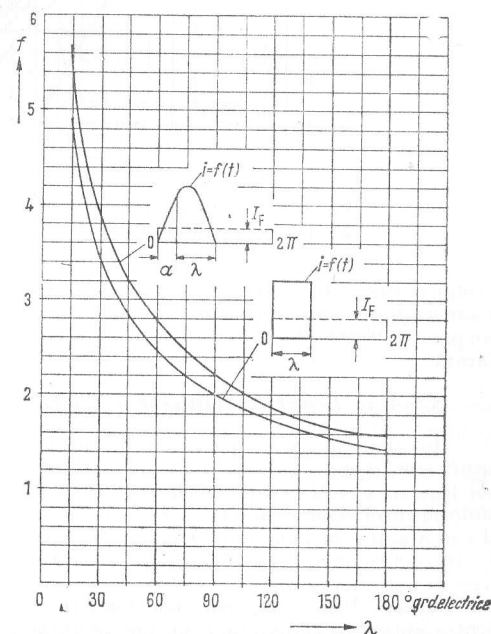


Fig. 8.72. Factorul de formă  $f$  în funcție de unghiul de conducție  $\lambda$ .

mentele de foarte mare putere necesită o răcire cu lichid cu circulație forțată, agentul de răcire fiind uleiul sau apa deionizată, a căror răcire are loc în schimbătoare de căldură prin care trece apă brută sau aer.

Eficacitatea răcirii se verifică prin măsurarea temperaturii carcsei celulelor. Relația dintre temperatura maximă admisibilă a carcsei și valoarea maximă a curentului mediu este dată de pierderi, de temperatura maximă admisibilă a joncțiunii și de rezistența termică internă a celei. Temperatura admisibilă a carcsei tiristorului B St L02 este reprezentată grafic în fig. 8.73 pentru câteva forme de undă de curent și diferite frecvențe, ca exemplu de date conținute în prospecte. Curbele sînt independente de modul de răcire. Trebuie avut în vedere însă că nu se admite o supraîncărcare

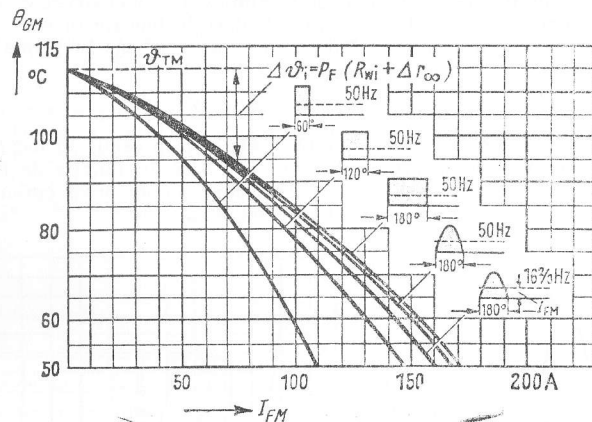


Fig. 8.73. Temperatura maximă admisibilă a carcsei  $\theta_{GM}$  în funcție de valoarea maximă a curentului mediu de conducție  $I_{FM}$  al unui tiristor de tip BSt L02.

a celei atunci cînd este utilizată la temperatura maximă a carcsei. Suprasarcinile pot fi suportate în limite raționale, cu condiția ca mutatorul să fie astfel dimensionat încît temperaturile maxime admisibile să nu fie atinse în timpul funcționării normale de durată.

#### 8.5.4.4. Legarea celulelor în serie și în paralel

În cazul în care capacitatea de încărcare cu curent a unei anumite celule este insuficientă pentru curentul pe ramură, în conformitate cu tabelul 8.23, de exemplu, se pot lega mai multe celule în paralel. Deoarece curentul total nu se distribuie în mod uniform între celule, curentul continuu admisibil nu reprezintă multiplul corespunzător al curentului continuu considerat fără legarea în paralel: este necesar să se țină seama de un coeficient de legare în paralel, a cărui valoare este de obicei 0,8. În cazuri speciale se pot adopta măsuri astfel încît să se obțină factori de legare în paralel cu valori mai ridicate. Prin adăugarea unei celule în plus față de cîte sînt necesare în mod real pentru obținerea curentului continuu de durată, mutatorul poate să funcționeze la plină sarcină, chiar dacă una din celule se defectează. Această metodă se folosește și în cazul în care sînt de așteptat suprasarcini la mutator.

Atunci cînd celulele sînt legate în serie, tensiunea inversă nu se distribuie nici ea în mod uniform pe fiecare celulă. Circuitul RC, necesar pentru alte motive în cazul celulelor cu siliciu, permite obținerea unui coeficient de legare în serie de 0,9.

În cazul tiristoarelor și în cîteva cazuri de aplicare ale diodelor se include și un divizor de tensiune continuă pur ohmic.

Pe lângă distribuțiile de curent și de tensiune mai sus menționate, trebuie să se țină seama de procesele dinamice, a căror importanță depinde de viteza de variație a curentului pe ramură la începutul și la sfîrșitul perioadei de conducție. Viteza de creștere a curentului atinge maximum la mutatoarele comandate la începutul comutării, cînd unghiul de întîrziere este  $\alpha \approx 90^\circ$ . Fig. 8.74 reprezintă reacțanța de comutare în funcție de vitezele maxime de variație a curentului pentru cîteva valori ale curentului continuu,  $f_u$  fiind un coeficient determinat de schema mutatorului. Valorile din fig. 8.74 pot fi transformate pentru orice valoare de curent, înmulțindu-se cu puterea corespunzătoare a lui zece atît scara din ordonată, cît și valorile curentului continuu con-

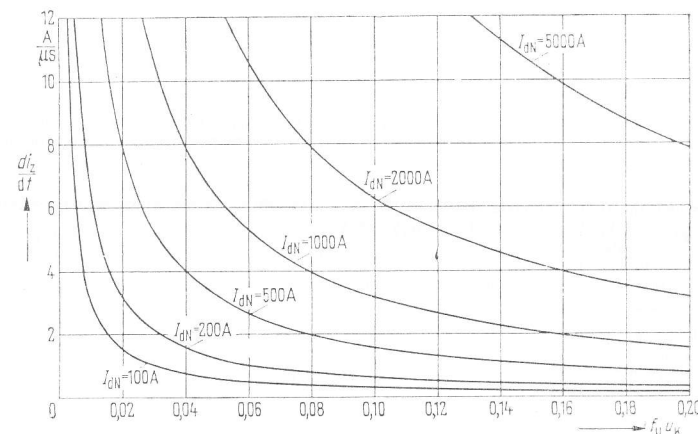


Fig. 8.74. Viteza maximă de variație a curentului la 50 Hz,  $f_u = 1,0$  în cazul conexiunii DP;  $f_u = 1,414$  în cazul conexiunii P;  $f_u = 1,732$  în cazul conexiunii S;  $f_u = 3,0$  în cazul conexiunii DS;  $f_u = 2,0$  în cazul conexiunii DSS

siderat ca parametru. Viteza maximă de creștere a curentului pe ramură în conexiunea în punte trifazată DP, de exemplu, la  $u_k = 4\%$  și cu un curent continuu nominal  $I_{dN} = 5$  kA este  $di_z/dt = 40$  A/μs.

În cazul conectării în paralel a mai multor celule pentru a se putea face față unui curent continuu nominal de valoarea ridicată viteza maximă medie de variație a curentului pe celulă este

$$\frac{di}{dt} = \frac{1}{z} \cdot \frac{di_z}{dt}$$

În practică trebuie să se admită valori cu pînă la 50% mai mari, deoarece celulele legate în paralel nu pot fi montate în mod ideal, astfel încît în ele pot să apară viteze diferite de variație a curentului. Vitezele maxime de variație a curentului trebuie

să fie cunoscute, de exemplu, pentru determinarea elementelor din circuitul  $RC$  ținând seamă de supratensiunile provocate de efectele de stocaj ale purtătoarelor de sarcină.

În cazul în care celulele legate în paralel au siguranțe individuale, distribuția staționară a curentului de durată se poate determina din căderea de tensiune la bornele acestor siguranțe. Este important ca înainte de a se determina curentul pe fiecare celulă valorile măsurate să fie transformate cu ajutorul unei curbe de etalonare adaptată tipului respectiv de siguranțe și unghiului de conducție pe ramură al conexiunii comutatorului. Trebuie de asemenea să se aibă în vedere că suma curenților pe celulă pe o ramură astfel obținuți poate să nu corespundă curentului continuu, din diferite motive. În orice caz, se obține o imagine suficient de corectă a distribuției de curent, dacă valoarea de curent determinată pentru fiecare celulă se raportează la suma acestor curenți. În cazul când se folosește curba de etalonare a siguranțelor, distribuția de curent va părea mai defavorabilă decît este în realitate.

#### Exemple de calcul

##### Redresor cu semiconductoare

Să se aleagă un redresor cu seleniu <sup>1)</sup> avînd următoarele caracteristici:

$$U_{dN} = 55 \text{ V}, I_{dN} = 100 \text{ A}$$

pentru racordare la o rețea de alimentare trifazată. Există două dispoziții constructive posibile care utilizează redresoare cu seleniu avînd tensiunea inversă de 25 V pe fiecare placă, cu un coeficient de diferență de tensiune  $k = 1,1$ :

— conexiune în punte trifazată  $DP$ :

$$U_{s0} = 26 \text{ V, deci tensiune în triunghi } 45 \text{ V;}$$

$$z = 2 \text{ plăci în serie;}$$

— conexiune în stea  $S$ :

$$U_{s0} = 52 \text{ V, deci tensiune în triunghi } 90 \text{ V;}$$

$$z = 4 \text{ plăci în serie.}$$

**R e z o l v a r e.** Dimensiunile și tipul plăcilor care trebuie folosite se pot lua dintr-un prospect de redresoare cu seleniu. Conform tabelului 8.23, rîndul 13, trebuie alese plăci care, montate individual sau în paralel, să poată permite circulația unui curent de ramură  $I_{zm}$  de cel puțin

$$I_{zm} = 0,33 \cdot I_{dN} = 33 \text{ A.}$$

În cazul cînd nu este necesară legarea în paralel se pot folosi următoarele:

— conexiune în punte trifazată  $DP$ :

6 ramuri cu cîte două plăci legate în serie pe fiecare, în total 12 plăci;

— conexiune în stea  $S$ :

3 ramuri cu cîte patru plăci legate în serie pe fiecare, în total 12 plăci.

Numărul necesar de plăci este deci același în ambele variante. Puterea în kVA a transformatorului (tabelul 8.23, rîndul 12) este însă

— în cazul conexiunii trifazate în punte  $DP$ :

$$P_T = 1,05 K U_{dN} I_{dN} = 6,35 \text{ kVA;}$$

— în cazul conexiunii în stea  $S$ :

$$P_T = 1,37 K U_{dN} I_{dN} = 8,28 \text{ kVA.}$$

Deci conexiunea în punte trifazată reprezintă varianta cea mai favorabilă și, de asemenea, produce un curent continuu mai uniform, în conformitate cu tabelul 8.23, rîndul 14.

<sup>1)</sup> STAS 3034-63 pentru redresoare cu seleniu pînă la 100 A.

Pentru a se determina tensiunea transformatorului, trebuie să fie determinat, conform tabelului 8.23 nota 1, coeficientul de diferență de tensiune  $K$ :

$$K = 1 + z s \frac{U_v}{U_{dN}} + z s \frac{U_{st}}{U_{dN}} + \frac{P_{Cu}}{I_{dN} U_{dN}} + u_x x,$$

unde:

$$z = 2$$

$$s = 2$$

$$x = 0,5$$

$$U_v = 0,6 \text{ și } U_{st} = 0,22$$

$$P_{Cu} = 0,03 U_{dN} I_{dN}$$

$$u_x = 0,08$$

două plăci pe ramură legate în serie

tabelul 8.23, coloana  $e$  rîndul 5

din prospectul redresoarelor cu seleniu

valoarea de proiectare

valoarea de proiectare,

$$K = 1 + \frac{4 \cdot 0,6}{55} + \frac{4 \cdot 0,22}{55} + 0,03 + 0,08 \cdot 0,5 = 1,115.$$

Din tabelul 8.23 rîndul 4, se obține acum valoarea

$$U_{s0} = K U_{dN} \cdot 0,43 = 1,115 \cdot 55 \cdot 0,43 = 26,4 \text{ V}$$

(în comparație cu valoarea 26 V cu aproximație obținută prin folosirea unui coeficient  $K = 1,1$ ).

$$P_T = 1,05 \cdot 1,115 \cdot 55 \cdot 100 = 6,44 \text{ kVA.}$$

##### Mutatoare cu tuburi cu vapori de mercur, cu un singur anod

Să se proiecteze transformatorul legat la un circuit hexafazat, cu transformator între faze, cu tensiunea trifazată de linie 30 kV, pentru un redresor cu vapori de mercur, avînd

$$U_{dN} = 880 \text{ V și } I_{dN} = 5000 \text{ A,}$$

conform tabelului 8.23, coloana  $b$ .

**R e z o l v a r e.** Coeficientul de diferență de tensiune  $K$  are expresia

$$K = 1 + s \frac{U_v}{U_{dN}} + \frac{P_{Cu}}{U_{dN} I_{dN}} + u_x x$$

unde:

$$s = 1$$

$$x = 0,5$$

$$U_v = 21 \text{ V}$$

$$P_{Cu} = 59 \text{ kW}$$

$$u_x = 0,105$$

tabelul 8.23, coloana  $e$ , rîndul 5

apreciat

ținînd seama și de bobinele anodice de aprindere, estimate la circa 2% din  $P_T$ , valoare estimată ținînd seama și de reactanța sistemului și a bobinelor anodice de aprindere

$$K = 1 + \frac{21}{880} + \frac{59000}{880 \cdot 5000} + 0,105 \cdot 0,5 = 1,09.$$

Tensiunea pe fază  $U_{s0}$  pe partea mutatorului (rîndul 4) este

$$U_{s0} = 0,86 K U_{dN} = 0,86 \cdot 1,09 \cdot 880 \text{ V} = 825 \text{ V.}$$

Curentul de fază pe partea mutatorului  $I_l$  (rîndul 6):

$$I_l = 0,29 I_{dN} = 1450 \text{ A.}$$

Acest curent are un rol determinant pentru dimensionarea conductoarelor de pe partea spre mutator a transformatorului care se leagă la anozii individuali.

Curentul primar  $I_1$  (rîndul 7)

$$I_1 = 0,41 I_{dN} \frac{U_{s0}}{U_1} = 0,41 \cdot 5000 \frac{825 \sqrt{3}}{30000} = 97,5 \text{ A.}$$

Acest curent trebuie să fie cunoscut pentru calculul puterii, în kVA, a înfășurării primare.

Curentul de linie  $I_L$  (rîndul 8):

$I_L = I_1$  deoarece înfășurarea primară este legată în stea;

$I_L = 97,5 \text{ A.}$

Acest curent servește la dimensionarea legăturilor cu rețeaua, transformatoarelor de curent, a întreprinderilor etc.

Puterea  $P_2$ , în kVA, a înfășurării secundare (rîndul 9) are valoarea

$$P_2 = 1,48 K U_{dN} I_{dN} = 7100 \text{ kVA.}$$

Puterea  $P_1$ , în kVA, a înfășurării primare (rîndul 10) are valoarea

$$P_1 = 1,05 K U_{dN} I_{dN} = 5040 \text{ kVA.}$$

Puterea  $P_T$ , în kVA, a transformatorului (rîndul 12):

$$P_T = 1,26 K U_{dN} I_{dN} = 6070 \text{ kVA.}$$

Puterea aparentă nominală  $P_{LN}$  absorbită din rețea (rîndul 11):

$$P_{LN} = 1,05 K U_{dN} I_{dN} = P_1 = 5040 \text{ kVA.}$$

Puterea în kVA a transformatorului trebuie să fie deci 6070 kVA, în timp ce puterea aparentă care trebuie să fie disponibilă din sistem trebuie să fie de numai 5040 kVA. Această cifră nu cuprinde puterea consumată de serviciile auxiliare (excitație, comanda grilei, răcire etc.).

### 8.5.4.5. Invertoare

#### Generalități

Invertoarele reprezintă o grupă de mutatoare care transformă energia de curent continuu în energie de curent alternativ (inclusiv trifazată).

O clasificare a invertoarelor se poate face după următoarele două criterii: după felul comutării ventilelor și după felul în care se stabilește frecvența, amplitudinea și faza tensiunii de ieșire (felul comenzii).

După tipul comutării există invertoare:

- cu comutație de la sarcină;
- cu comutație proprie, prin circuit oscilant LC;
- cu comutație prin condensator, amorsat printr-un tiristor principal;
- cu comutație prin condensator, amorsat printr-un tiristor auxiliar;
- cu comutație externă;
- cu comutație de la rețea (în cazul redresorului comandat funcționând în regim de inverter).

Din punct de vedere al comenzii deosebim invertoare:

- cu comandă externă — la care amplitudinea, frecvența și faza tensiunii de ieșire se stabilesc din afara inverterului propriu-zis;
- cu comandă proprie — la care amplitudinea, frecvența și faza tensiunii de ieșire se stabilesc în însuși ansamblul inverterului.

#### Utilizări

Invertoarele se utilizează în principal în următoarele cazuri:

— în instalații cu consumatori în curent alternativ, la care se dispune de o rețea de curent continuu. Acesta este cazul instalațiilor de pe vehicule, unde sursa de energie este o baterie de acumuloare;

— în cazurile în care pentru alimentarea consumatorilor este necesară o tensiune mai stabilă ca amplitudine și frecvență decât cea a rețelei de curent alternativ;

— în toate cazurile unde este necesară o alimentare continuă a consumatorilor, indiferent de incidentele din rețeaua de alimentare în curent alternativ (centrale electrice, instalații de telecomunicații, alimentarea calculatoarelor electronice etc.).

Schema de principiu de alimentare cu siguranță mărită cu inverter este reprezentată în fig. 8.75. Atîta timp cît este posibilă alimentarea de la rețea, elementul de sesizare ES comandă contactoarele  $C_1 \dots C_3$  în pozițiile indicate cu linie continuă. Prin aceasta, consumatorul este alimentat direct din rețea prin  $C_2$ , iar redresorul  $R$ , alimentat prin  $C_1$ , menține în tampon bateria  $B$ , alimentînd inverterul  $I$  care funcționează în gol. În momentul dispariției tensiunii rețelei, elementul de sesizare comandă contactoarele  $C_1 \dots C_3$  trecîndu-le în poziția reprezentată în figură prin linie punctată. Inverterul funcționează cu alimentarea de la baterie și furnizează tensiune consumatorilor. Pauza în alimentarea sarcinii este de ordinul a cîteva zecimi de secundă. La reapariția tensiunii rețelei, inverterul este decuplat pe partea de ieșire, iar redresorul reintră în funcțiune, încărcînd bateria care s-a descărcat în timpul regimului anterior.

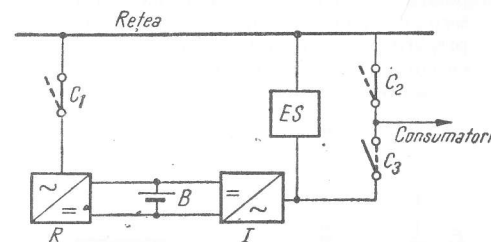


Fig. 8.75. Schema de principiu de alimentare cu siguranță mărită cu inverter.

#### Scheme de invertoare

*Invertoare monofazate.* Cele mai utilizate scheme de invertoare monofazate sînt: schema cu punct median și schema în punte.

Schema cu punct median este utilizată la puteri și tensiuni continue de alimentare mai reduse.

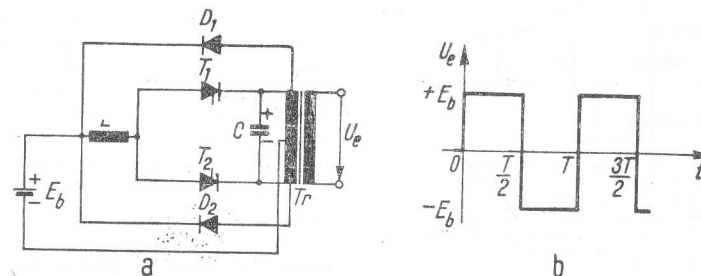


Fig. 8.76. Inverter în schemă cu punct median: a — schema de principiu; b — forma de undă a tensiunii de ieșire.



În schema din figura 8.76 cele două tiristoare  $T_1$  și  $T_2$  sînt comandate cu impulsuri de comandă decalate între ele cu  $180^\circ$  electrice, corespunzătoare la  $1/2 T$ . Presupunînd că în primul moment conduce  $T_1$ , pe jumătatea superioară a primarului transformatorului  $Tr$  se aplică tensiunea de alimentare  $E_b$ , iar în secundar (presupunînd un raport de transformare 1 : 1) apare aceeași tensiune  $E_b$ , cu semn pozitiv. Condensatorul  $C$  s-a încărcat cu polaritatea din figură la tensiunea  $2 E_b$ . După intervalul de timp  $\frac{T}{2}$  se aplică un impuls de comandă pe  $T_2$ , care trece în conducție.

Condensatorul  $C$  se descarcă prin circuitul  $C, T_2, T_1$ , blocîndu-l pe  $T_1$ . În cea de a doua semiperioadă, pe jumătatea inferioară a primarului  $Tr$  se aplică  $E_b$ , cu polaritatea inversă față de prima semiperioadă, rezultînd în secundar a doua semialternanță a tensiunii de ieșire. Condensatorul se încarcă cu polaritatea inversă, fiind pregătit pentru următorul proces de comutare. Rolul inductanței  $L$  este de a limita curentul care este absorbit din sursă în timpul trecerii conducției de pe un tiristor

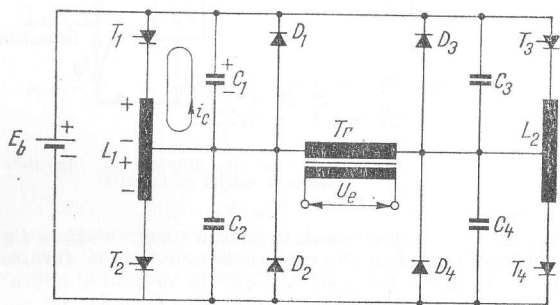


Fig. 8.77. Invertor în punte  
monofazat. Schema de principiu.

pe celălalt, intervenind și în procesul comutării. Pentru ca invertorul să poată funcționa pe sarcină reactivă s-au introdus diodele de recuperare  $D_1 - D_2$ , care permit recuperarea energiei reactive în sursa de curent continuu.

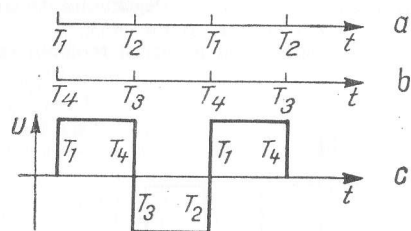


Fig. 8.78. Forma de undă a tensiunii de ieșire a invertorului din fig. 8.77: a - impulsuri de aprindere pentru perechea de tiristoare  $T_1 - T_2$ ; b - impulsuri de aprindere pentru perechea de tiristoare  $T_3 - T_4$ ; c - forma de undă a tensiunii de ieșire.

tiristoare  $T_1 - T_2$ , considerînd în primul moment tiristorul  $T_2$  în conducție. În acest timp condensatorul de comutare  $C_1$  s-a încărcat la tensiunea  $E_b$  cu polaritatea din figură.

Din momentul în care  $T_1$  primește comanda de aprindere, condensatorul începe să se descarce prin circuitul compus din  $C_1, T_1$  și jumătatea superioară a bobinei de comutare  $L_1$ , pe care apare o cădere de tensiune cu polaritatea din figură. Datorită cuplajului magnetic a celor două jumătăți a bobinei de comutare, în porțiunea inferioară apare o tensiune indusă, care se aplică ca tensiune de stingere pe tiristorul  $T_2$ , blocîndu-l. Pentru perechea  $T_3 - T_4$  fenomenele de comutare decurg similar, datorită grupului de comutare  $C_3 - C_4 - L_2$ . Pentru funcționare cu sarcină reactivă s-a introdus în antiparalel redresorul format din diodele  $D_1 - D_4$ .

**Invertoare trifazate.** În cazul în care este necesară alimentarea unor consumatori trifazați se poate realiza un invertor trifazat prin cuplarea a trei invertoare monofazate de tipul celor descrise mai sus (fig. 8.79)

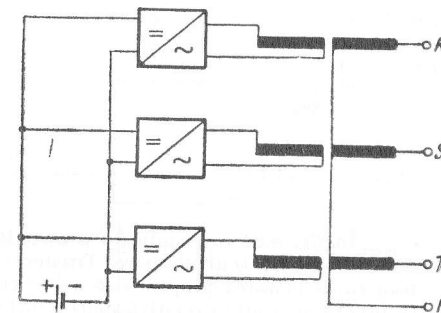


Fig. 8.79. Schema de principiu a unui  
invertor trifazat compus prin cuplarea a trei  
invertoare monofazate.

Cele trei invertoare monofazate se alimentează în paralel de la aceeași sursă de curent continuu, tensiunile lor de ieșire fiind cuplate printr-un transformator trifazat. Impulsurile de comandă pentru fiecare invertor sînt decalate cu  $120^\circ$  față de celelalte invertoare

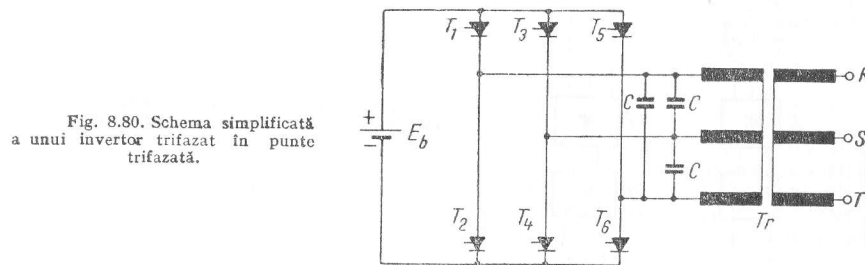


Fig. 8.80. Schema simplificată  
a unui invertor trifazat în punte  
trifazată.

În fig. 8.80 este reprezentată schema simplificată a unui invertor trifazat, în punte trifazată. Tiristoarele  $T_1 \dots T_6$  sînt comandate printr-o schemă de comandă cu șase pulsuri, care furnizează impulsuri de comandă într-o succesiune corespunzătoare obținerii în secundarul transformatorului  $Tr$  a unei tensiuni alternative trifazate.



### Reglarea tensiunii de ieșire a inverterului

În majoritatea aplicațiilor industriale se impune menținerea constantă a tensiunii de ieșire a inverterului, indiferent de variațiile tensiunii de alimentare sau de variațiile sarcinii. Principal, pentru reglarea tensiunii de ieșire a inverteoarelor se dispune de următoarele procedee:

- reglarea tensiunii pe partea de intrare;
- reglarea tensiunii pe partea de ieșire;
- reglarea tensiunii în inverterul propriu-zis.

*Reglarea tensiunii pe partea de intrare.* Această metodă presupune varierea tensiunii continue de alimentare a inverterului în corelație cu valoarea tensiunii de ieșire.

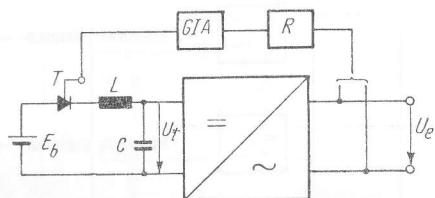


Fig. 8.81. Principiul de reglare a tensiunii unui inverter prin comutator electronic în circuitul de curent continuu GIA — generator de impulsuri de aprindere; R — regulator.

În fig. 8.81 este indicată o metodă utilizată în cazul funcționării inverterului pe o baterie de acumuloare. Tiristorul  $T$ , funcționând ca un comutator electronic, face ca la intrarea propriu-zisă a inverterului să se aplice o tensiune  $U_i$ , variabilă în funcție de durata relativă de conducție a lui  $T$  (raportul impuls-pauză).

Metoda de mai sus este recomandată în special la puteri mici. În cazul cînd inverterul este alimentat printr-un redresor există două posibilități de aplicare a acestui procedeu, indicate în fig. 8.82.

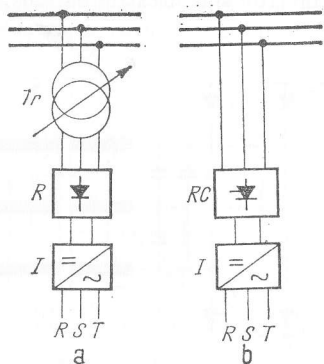
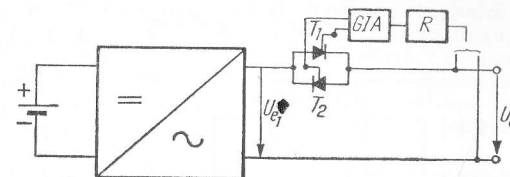


Fig. 8.82. Reglarea tensiunii inverterului prin: a — autotransformator; b — redresor comandabil cu tiristoare.

*Reglarea tensiunii pe partea de ieșire.* Principiul de reglare este prezentat în fig. 8.83. La ieșirea inverterului se cuplează în antiparalel două tiristoare  $T_1, T_2$ , în montaj de variator de tensiune alternativă, reglînd valoarea efectivă  $U_e$  a tensiunii de ieșire pe principiul întîzierii momentului de aprindere față de punctul natural de aprindere al tiristorului.

Fig. 8.83. Principiul de reglare a tensiunii inverterului prin variator de tensiune alternativă pe partea de ieșire; GIA — generator de impulsuri de aprindere; R — regulator.



Pentru puteri mici de ieșire reglarea tensiunii pe partea de ieșire se poate realiza printr-un stabilizator magnetic.

*Reglarea tensiunii în inverterul propriu-zis.* O metodă de reglare a tensiunii de ieșire, a cărei justificare economică apare mai evident în cazul unor inverteoare de putere mai mare și care deci necesită conectarea în paralel a mai multor tiristoare, este realizarea inverterului din două inverteoare parțiale de putere mai mică, alimentate în paralel pe partea de curent continuu și legate în serie pe partea de curent alternativ (fig. 8.84).

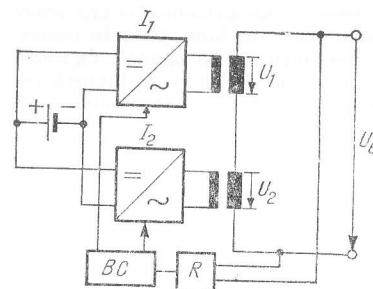


Fig. 8.84. Principiul de reglare a tensiunii prin cuplarea în serie a două inverteoare parțiale.

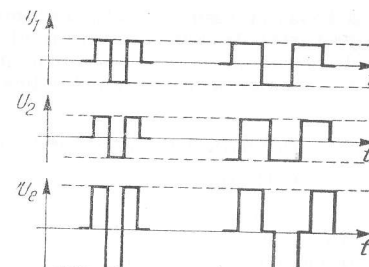


Fig. 8.85. Variația tensiunii inverterului compus din două inverteoare parțiale.

Regulatorul  $R$ , care urmărește menținerea constantă a valorii lui  $U_e$ , comandă în mod corespunzător blocul de comandă  $BC$ , care furnizează impulsurile de comandă necesare funcționării corecte a celor două inverteoare. În funcție de semnalul de la regulator, blocul de comandă decalează impulsurile corespunzătoare unui inverter în raport cu cele corespunzătoare celuilalt, obținînd în acest mod varierea valorii efective a tensiunii de ieșire (fig. 8.85).

Din această figură rezultă că prin mărirea unghiului de decalaj  $\theta$  se obține o scădere a valorii efective a tensiunii de ieșire pentru aceeași valoare a tensiunii de alimentare.

Inverterul reprezentat în fig. 8.77 se pretează la un mod de reglare a tensiunii prin variația fazei impulsurilor de comandă pentru perechea de tiristoare  $T_3-T_4$ , după cum rezultă din fig. 8.86.

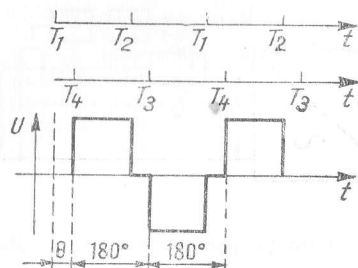


Fig. 8.86. Variația tensiunii inverterului prin comanda decalată a tiristoarelor.

#### Filtrarea tensiunii de ieșire

Forma tensiunii din secundarul transformatorului inverterului este dreptunghiulară. În majoritatea aplicațiilor se cere însă la ieșirea inverterului o formă de undă cât mai apropiată de sinusoidală. Din analiza Fourier a unei tensiuni alternative dreptunghiulare rezultă că cea mai mare pondere dintre armonice o are armonica a treia; aproximativ 33% din amplitudinea armonice fundamentale. În consecință pe partea de ieșire a inverterului se va cupla un filtru „trece bandă”, cu frecvența de rezonanță egală cu cea a fundamentalei și cu o bandă suficient de îngustă pentru a atenua armonica de amplitudine maximă și frecvență minimă (armonica a treia).

#### 8.5.4.6. Convertizoare de curent continuu

##### Definiție. Generalități

Convertizoarele de curent continuu reprezintă categoria de mutatoare care transformă energia de curent continuu cu anumite caracteristici (tensiune, curent) în energie de curent continuu cu alte valori ale acestor caracteristici.

În aplicațiile industriale se întâlnește o gamă largă de convertizoare de curent continuu, puterile nominale variind între ordinul waților și zecilor de kilowați. Pentru puteri mici și tensiuni de alimentare sub 100 V se realizează convertizoare cu tranzistoare, în timp ce la tensiuni de peste 5 000 V este recomandată folosirea tuburilor cu vapori de mercur (tiratroane, ignitroane). Convertizoarele de curent continuu cu tiristoare acoperă gama intermediară acestor situații limită.

Din punct de vedere al principiului de funcționare, se disting două grupe principale de convertizoare de curent continuu:

- cu circuit intermediar de curent alternativ;
- fără circuit intermediar de curent alternativ (variatoare de tensiune continuă).

##### Convertizoare de curent continuu, cu circuit intermediar de curent alternativ

Aceste convertizoare se realizează prin combinarea schemelor de redresor și inverter descrise anterior. Inverterul care intră în componența unui convertizor de acest tip este alimentat la tensiunea continuă  $U_C$  și furnizează la ieșire tensiunea alternativă  $U_a$ . Redresorul se poate alimenta direct sau printr-un transformator

Și în acest caz, prin varierea unghiului de decalaj  $\theta$  se obține o variație corespunzătoare a tensiunii de ieșire.

Pentru invertearele trifazate problema reglării tensiunii în cazul funcționării pe o sarcină trifazată se reduce la reglarea amplitudinii tensiunilor pe faze. În cazul în care inverterul este încărcat neuniform pe cele trei faze se pot realiza următoarele situații:

- se menține constantă amplitudinea tensiunii pe fiecare fază, schimbându-se în acest caz fazele celor trei faze;
- se menține constantă relația de fază, dar se modifică repartiția tensiunilor pe faze

de la această tensiune, tensiunea sa de ieșire  $U_{C2}$  fiind și tensiunea de ieșire a convertizorului de curent continuu. Pentru astfel de scheme sînt recomandabile inverteare cu tensiune de ieșire cu formă de undă dreptunghiulară, deoarece pentru filtrarea tensiunii  $U_{C2}$  este necesar un filtru mult mai simplu dimensionat.

Varierea tensiunii de ieșire a convertizorului se poate realiza în cele mai diferite moduri, folosind metodele de variere a tensiunii de ieșire a inverterului sau redresorului descrise la capitolele respective.

Avantajele pe care le oferă acest tip de convertizor de curent continuu constau în gama largă de variere a tensiunii de ieșire, deosebita ușurință de obținere a oricăror tensiuni de ieșire pentru cele mai variate tensiuni de alimentare și în separarea galvanică care se realizează între intrare și ieșire. Ca un dezavantaj trebuie menționat randamentul relativ scăzut, datorat transformării energiei în două etape: în inverter și apoi în redresor.

##### Convertizoare de curent continuu, fără circuit intermediar de curent alternativ (variatoare de tensiune continuă)

Variatoarele de tensiune continuă funcționează pe principiul varierii lățimii pulsului.

Înterruptorul  $S$  din fig. 8.87 se închide la intervale de timp egale  $T$ , pe rezistența de sarcină  $R_S$  aplicându-se tensiunea continuă de alimentare  $U_C$ . După un interval de timp  $\tau$  de la fiecare comandă de închidere a lui  $S$  acesta este redeschis,

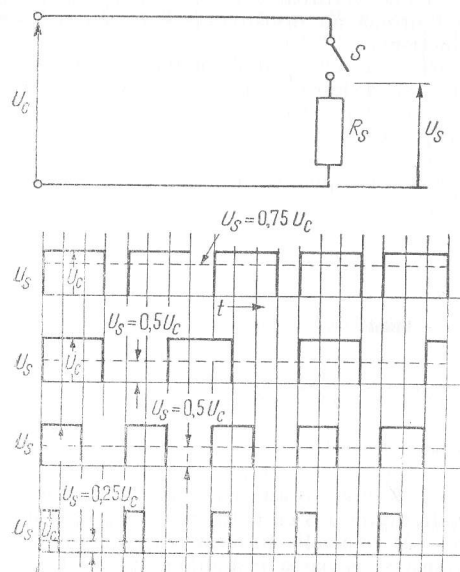


Fig. 8.87. Principiul comenzii prin varierea lățimii pulsului

întrerupând alimentarea sarcinii. Raportul dintre timpul  $\tau$  în care  $S$  este închis și perioada de comutare  $T$  este denumit *durată relativă de conducție*,  $a$

$$a = \frac{\tau}{T}, \quad a \leq 1.$$

Valoarea medie a tensiunii pe sarcină  $U_S$ , pentru aceeași tensiune de alimentare, depinde de durata relativă de conducție prin relația

$$U_S = a U_C, \quad U_S \leq U_C.$$

Din această relație rezultă că tensiunea medie maximă de sarcină nu poate depăși valoarea tensiunii de alimentare. Mai mult decît atît, în fig. 8.87 s-au considerat procese de comutare ideale, care decurg instantaneu. În cazul unei analize reale,  $a$  nu poate atinge nici valoarea zero și nici unitatea, limitînd astfel gama de variație a tensiunii de ieșire.

Practic varierea duratei relative de conducție se poate realiza prin următoarele procedee: cu frecvență de lucru constantă ( $T = \text{constant}$ ,  $\tau = \text{variabil}$ ); cu frecvență de lucru variabilă ( $T = \text{variabil}$ ,  $\tau = \text{constant}$ ); cu varierea concomitentă a perioadei  $T$  și a duratei de conducție  $\tau$ .

La un variator de tensiune continuă real, funcția întreruptorului  $S$  este realizată de un întreruptor electronic realizat cu tiristoare; acestea se aprind și se sting la intervale de timp stabilite printr-un dispozitiv de comandă, în funcție de tensiunea de ieșire impusă.

Prin comparație cu convertizoarele de c.c. cu circuit intermediar de c. a. variatoarele de tensiune continuă au următoarele dezavantaje, care rezultă din însuși principiul lor de funcționare:

- gama de variație a tensiunii de ieșire mai redusă;
- tensiunea maximă de ieșire nu poate depăși valoarea tensiunii de alimentare;
- tensiunea de intrare și cea de ieșire au un punct comun.

Avantajul principal al metodei este randamentul ei ridicat, datorită transformării directe a energiei.

În cele ce urmează se vor prezenta cîteva scheme de principiu ale variatoarelor de tensiune continuă.

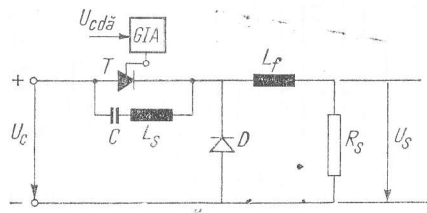


Fig. 8.88. Variator de tensiune continuă, cu frecvență de lucru variabilă.

Variatorul din fig. 8.88 are o schemă principală identică cu cea din fig. 8.87 în care s-a înlocuit întreruptorul  $S$  cu tiristorul  $T$  și grupul de comutare  $C-L_S$ . La aplicarea unui impuls de comandă furnizat de generatorul de impuls  $GIA$ , tiristorul începe să conducă și valoarea instantanee a lui  $U_S$  devine egală cu  $U_C$ . Condensatorul de comutare  $C$  se descarcă prin circuitul compus din  $C$ ,  $T$ ,  $L_S$ , ducînd după un anumit timp la blocarea lui  $T$  și la decuplarea sarcinii de la sursa

de alimentare. În plus față de schema din fig. 8.87 s-a introdus bobina de filtrare  $L_f$  și dioda de descărcare  $D$ . Dioda de descărcare este o cale de închidere pentru curentul de sarcină în intervalul de timp în care  $T_1$  este blocat, iar bobina de filtrare  $L_f$  se introduce pentru filtrarea curentului de sarcină.

Regimul de lucru al acestui variator este cu frecvență variabilă. Intervalul de timp  $\tau$  în care tiristorul conduce este fix și depinde de tensiunea de alimentare și de dimensionarea bobinei saturabile  $L_S$ . Varierea tensiunii de ieșire se obține prin varierea frecvenței impulsurilor de comandă pentru tiristor, frecvență dată de generatorul de impulsuri funcție de tensiunea de comandă  $U_{cd}$ .

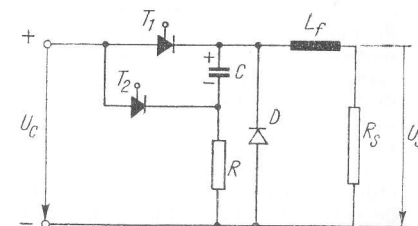


Fig. 8.89. Variator de tensiune continuă cu frecvență de lucru fixă.

Schema din fig. 8.89 funcționează cu frecvența de lucru constantă, varierea tensiunii de ieșire obținîndu-se prin varierea duratei de timp în care tiristorul  $T_1$  rămîne în conducție. În momentul în care apare un impuls de comandă pe grila lui  $T_1$ , tensiunea de alimentare se aplică pe sarcină și — în același timp — condensatorul de comutare  $C$  se încarcă la tensiunea  $U_C$  cu polaritatea din figură. Blocarea tiristorului principal este amorsată în momentul aplicării unui impuls de comandă pe tiristorul auxiliar  $T_2$ ; prin trecerea în conducție a lui  $T_2$  tensiunea condensatorului  $C$  se aplică ca tensiune inversă pe  $T_1$ , blocîndu-l. La apariția unui nou impuls de comandă pentru  $T_1$  condensatorul se reîncarcă la  $+U_C$ , fiind pregătit pentru un nou proces de comutare. Varierea duratei relative de conducție a tiristorului  $T_1$  se realizează prin decalarea impulsurilor de comandă pentru  $T_2$  față de impulsurile de comandă pentru  $T_1$ .

#### 8.5.4.7. Convertizoare de curent alternativ

##### Definiție. Generalități

Convertizoarele de curent alternativ reprezintă categoria de mutatoare care transformă energia de curent alternativ cu anumite caracteristici (tensiune, frecvență) în energie de curent alternativ cu alte valori ale acestor caracteristici.

Din punct de vedere al principiului de funcționare, se disting două grupe principale de convertizoare de curent alternativ;

- cu circuit intermediar de curent continuu (convertizoare statice de frecvență);
- fără circuit intermediar de curent continuu (variatoare de tensiune alternativă, cicloconvertoare).

### Convertizoare de curent alternativ, cu circuit intermediar de curent continuu (convertizoare statice de frecvență)

Acest tip de convertizor se realizează prin cuplarea la ieșirea unui redresor alimentat de la tensiunea alternativă monofazată sau trifazată  $U_{a1}$  a unui inverter care furnizează la ieșire o tensiune monofazată sau trifazată  $U_{a2}$ . Circuitul intermediar de curent continuu — aflat între ieșirea redresorului și intrarea inverterului cuprinde un filtru de curent continuu compus dintr-o bobină de filtrare în serie și un condensator în paralel cu intrarea inverterului. Cu un asemenea convertizor de frecvență se pot modifica concomitent amplitudinea și frecvența tensiunii de ieșire.

Utilizările cele mai frecvente ale convertizoarelor de curent continuu de tipul de mai sus sînt acționările reglabile ale motoarelor de curent alternativ. În cazul motoarelor asincrone alimentarea cu tensiune de amplitudine și frecvență variabilă este asigurată de un convertizor compus dintr-un redresor cu tiristoare cu comutație de la rețea, — prin comanda căruia se realizează varierea tensiunii din circuitul intermediar de curent continuu și prin urmare și a tensiunii de ieșire a convertizorului — urmat de un inverter cu comutație proprie. Prin comanda frecvenței inverterului se realizează variația frecvenței de alimentare a motorului. Pentru ca motorul asincron să-și păstreze caracteristicile statice (în special cuplul maxim) în întreaga gamă de turații trebuie ca fluxul învîrtitor în mașină să rămînă constant; acest lucru se realizează prin varierea simultană și corelată a amplitudinii și frecvenței tensiunii de alimentare a motorului asincron.

### Convertizoare de curent alternativ, fără circuit intermediar de curent continuu (variatoare de tensiune alternativă, cicloconvertoare)

Schema de funcționare a unui variator de tensiune alternativă monofazat este reprezentată în fig. 8.90, *a*, în care variatorul propriu-zis este compus din tiristoarele cuplate în antiparalel  $T_1$  și  $T_2$ . Tiristoarele primesc periodic impulsuri de la generatorul de impulsuri  $GI$ , impulsuri decalate cu un unghi  $\alpha$  față de momentele de comutare naturale, rămînînd în conducție pînă cînd valoarea instantanee a tensiunii de alimentare corespunzătoare tiristorului în conducție devine negativă.

După cum rezultă din fig. 8.90, *b*, prin modificarea lui  $\alpha$  se realizează modificarea formei tensiunii și curentului de sarcină. Pentru sarcină rezistivă curentul de sarcină poate fi variat între valoarea sa maximă  $U/R$  (corespunzător  $\alpha = 0^\circ$  el) și zero ( $\alpha = 180^\circ$  el).

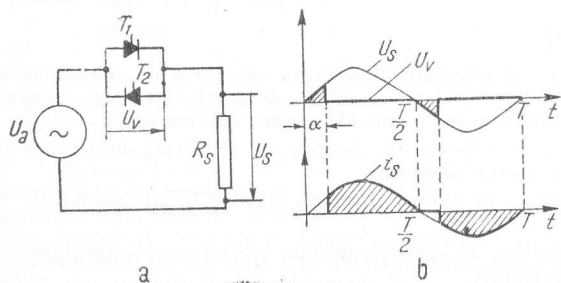


Fig. 8.90. Variator de tensiune alternativă, monofazat: *a* — schema de principiu; *b* — diagrama tensiunii și curentului de sarcină, pentru sarcină ohmică

Pentru sisteme trifazate, variatorul de tensiune continuă se compune din trei variatoare de tipul de mai sus, dispuse câte unul pe fiecare fază și comandate cu impulsuri de comandă decalate de la o fază la alta cu  $120^\circ$  el.

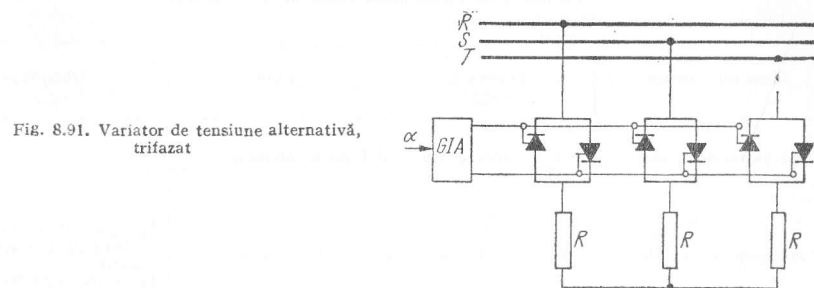


Fig. 8.91. Variator de tensiune alternativă, trifazat

În ultimii ani s-a pus la punct un nou tip de element semiconductor — *triacul* — care își găsește o utilizare deosebită în schemele de variatoare de tensiune alternativă. Triacul se caracterizează prin aceea că poate permite trecerea curentului în ambele sensuri, intrînd în conducție la aplicarea unui impuls de comandă corespunzător. În acest mod, prin folosirea fiecărui triac se înlocuiește un grup de două tiristoare montate în antiparalel.

Cicloinverterul permite atît variația tensiunii alternative, cît și a frecvenței.

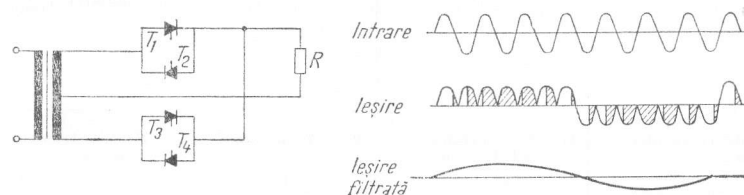


Fig. 8.92. Schema de principiu a unui cicloinverter monofazat în schemă cu punct median.

În fig. 8.92 este reprezentată schema unui cicloinverter monofazat în schemă cu punct median, avînd în fiecare ramură două tiristoare în antiparalel. Comandînd concomitent tiristoarele  $T_1$  și  $T_3$  se obține la ieșire o anumită polaritate a tensiunii, cealaltă polaritate obținîndu-se pentru comanda concomitentă a lui  $T_2$  și  $T_4$ . Comandînd aprinderile celor două perechi de tiristoare cu o frecvență mai mică decît frecvența de intrare se obține o frecvență a semnalului de ieșire variabilă teoretic între zero și frecvența de intrare. Prin varierea momentelor aprinderii tiristoarelor în raport cu punctul natural de aprindere al tiristoarelor se variază valoarea efectivă a tensiunii de ieșire.

Prin filtrarea corespunzătoare a tensiunii de ieșire se obține o formă de undă sinusoidală.

## 8.6. CONDENSATOARE

Tabelul 8.24. Tipuri constructive de condensatoare

Tipul constructiv	Dielectric	Folii	Observații
Condensatoare cu ulei	Hîrtie impregnată cu ulei.	Folii de aluminiu	În general pentru curent continuu și curent alternativ În special la 50 Hz și pentru tensiuni înalte și puteri mari prin legare în serie și în paralel Aplicații tehnice pînă la circa 4kHz; factor de pierderi: $18 \dots 45 \cdot 10^{-4}$ . Condensatoare cu peliculă sintetică, $4 \dots 8 \cdot 10^{-4}$ ; înfășurare cilindrică sau plată în recipiente ermetic închise, umplute cu substanțe de impregnare. Impregnarea și umplerea recipientelor efectuată sub vid înaintat
Condensatoare cu clofen <sup>1)</sup>	Hîrtie impregnată cu clofen	Folii de aluminiu	
Condensatoare cu peliculă sintetică	Peliculă sintetică și hîrtie impregnată cu clofen	Folii de aluminiu	
Condensatoare cu hîrtie metalizată (MP)	Hîrtie impregnată cu ulei	Metal aplicat prin pulverizare sau vaporizare pe hîrtie metalizată)	
Condensatoare cu ulei de ricin	Hîrtie impregnată cu ulei de ricin	Folii de aluminiu	Pentru tensiuni și curenți de șoc
Condensatoare Styroflex	Folie extinsă de polistiren (Styroflex) cu sau fără substanță lichidă de impregnare	Folii de aluminiu	Pentru frecvențe medii și înalte, preferabil 10 kHz pînă la puteri de cîteva mii de kvar; factor de pierderi: $1 \dots 6 \cdot 10^{-4}$ la $10^4$ Hz
Condensatoare ceramice	Substanțe ceramice speciale sub formă de plăci, cilindri, oale sau țevi	Strat de argint ars	Pentru tensiuni înalte de curent continuu sau de curent alternativ pînă la frecvențe foarte înalte, putere unitară pînă la 50 kvar, factor de pierderi $5 \dots 10 \cdot 10^{-4}$ la $10^4$ Hz

<sup>1)</sup> Clofenul este un lichid izolan inflamabil.

## 8.6.1. Calculul unui condensator pentru o putere cerută (fig. 8.93 și 8.94)

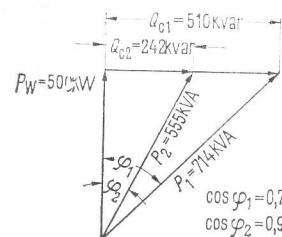


Fig. 8.93. Reducerea puterii aparente transportate

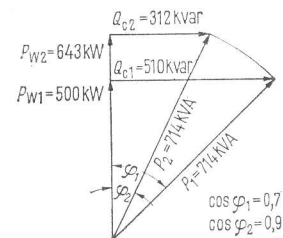


Fig. 8.94. Mărirea puterii active transportate

Condensator monofazat  $Q_c = U^2 \omega C \cdot 10^{-3}$ ;  $I_c = \frac{Q_c}{U}$

$$C = \frac{Q_c \cdot 10^3}{U^2 \omega}; X_c = \frac{U}{I_c}$$

În formulele de mai sus:



$Q_c$  — este puterea condensatorului, în kvar;  
 $U$  — tensiunea condensatorului, în kV;  
 $I_c$  — curentul condensatorului, în A;  
 $C$  — capacitatea, în  $\mu F$ ;  
 $\omega$  — pulsația ( $\omega = 2\pi f$ );  
 $X_c$  — reactanța, în  $\Omega$ .

La 50 Hz:  $Q_c = 0,314 U^2 C$ , iar  $C = \frac{Q_c}{0,314 U^2}$ .

Condensatoarele trifazate au aceeași putere reactivă dacă

$$C = C_Y = 3 C_{\Delta}$$

unde:  $C$  — este capacitatea unui condensator monofazat corespunzător;

$C_Y$  — capacitatea pe o fază în conexiune stea;

$C_{\Delta}$  — capacitatea pe o fază în conexiune triunghi.

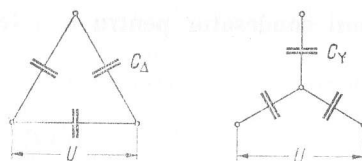
Dacă  $U$  este tensiunea de linie, în kV, puterea totală a condensatoarelor pentru conexiune trifazată în stea sau în triunghi este

$$Q_c = U^2 \omega C_Y \cdot 10^{-3}; I_c = \frac{Q_c}{U \sqrt{3}}$$

$$Q_c = 3 U^2 \omega C_{\Delta} \cdot 10^{-3}; X_c = \frac{U}{I_c \sqrt{3}}$$

<sup>1)</sup> V. STAS 7083-64 pentru condensatoare destinate îmbunătățirii factorului de putere.





Tabelul 8.25 Aplicații principale

Destinație	Aplicații preferențiale
Condensator de putere pentru îmbunătățirea factorului de putere Determină compensarea puterii reactive, reducând astfel sarcina reactivă a conductoarelor de legătură, a transformatoarelor, a liniilor de transport și în sfârșit a generatoarelor; de asemenea servește la mărirea transportului de putere activă la putere aparentă constantă Stimulent pentru compensare la consumatori prin tarife; de asemenea pentru întreprinderi producătoare de energie, datorită creșterii randamentului și a puterii active transportate	<ol style="list-style-type: none"> <li>Îndeosebi în rețele de joasă și medie tensiune. Compensare individuală, de grup sau centrală: <ol style="list-style-type: none"> <li>acționări cu motoare electrice;</li> <li>consumatori de curenți mari ca: cuptoare electrice, mașini de sudat, instalații de medie frecvență;</li> <li>lămpi fluorescente.</li> </ol> </li> <li>În rețele de înaltă tensiune pentru compensarea puterii reactive a liniilor de transport, a transformatoarelor și în puncte de concentrare a puterii reactive</li> </ol>
Condensatoare serie pentru compensarea liniilor de transport și a transformatoarelor	<ol style="list-style-type: none"> <li>Pe linii de medie tensiune pentru menținerea tensiunii.</li> <li>Pe linii de înaltă tensiune pentru mărirea stabilității și puterii naturale</li> </ol>
Condensatoare pentru motoare	Pentru pornirea și funcționarea motoarelor de curent alternativ monofazat sau pentru conectarea motoarelor trifazate la o rețea monofazată
Condensatoare de aplatizare pentru reducerea virfurilor tensiunii redresate	În sisteme de curent continuu ca element de acumulare de energie sau ca element de filtrare
Condensator de protecție contra supratensiunilor, pentru protecția transformatoarelor și generatoarelor	În instalații de înaltă tensiune pentru aplatizarea frontului undelor de șoc
Condensatoare de cuplare	Pe linii de înaltă tensiune pentru telecomunicații prin curenți purtători de înaltă frecvență
Condensatoare de unde de șoc	Construcția generatoarelor de șoc
Condensatoare de curenți de șoc cu inductanță proprie redusă	Pentru producerea șocurilor de curent în cercetări asupra plasmei și pentru tehnologii speciale (de exemplu formare de metal — ca Hidrospark)

## 8.6.2. Exploatarea condensatoarelor de putere

Condensatoarele trebuie să fie montate pe cât posibil în apropierea instalațiilor consumatoare de putere reactivă pentru ca aceasta să se închidă pe circuite scurte.

Compensarea individuală se aplică atunci când există o cerere constantă de putere reactivă, de exemplu în cazul motoarelor mai mari, cu un număr mare de ore de funcționare.

În cazul când este vorba de un grup de consumatori de putere reactivă cu sarcini intermitente sau variabile, este avantajos să se efectueze compensarea cererii medii de putere reactivă în comun (compensare de grup).

În cazul compensării centrale, puterea reactivă a unei întregi instalații sau rețele este compensată cu ajutorul unei singure baterii de condensatoare. Bateria este astfel subîmpărțită încât să se adapteze la cererea de putere reactivă și se reglează automat, prin relee de putere reactivă (reglaj automat al condensatoarelor).

La punerea sub tensiune, în special atunci când se leagă în paralel condensatoare, la joasă tensiune este necesar să se folosească întreruptoare sigure, de preferință contactoare cu rupere în aer. La tensiuni înalte și puteri mai mari, sînt necesare bobine sau rezistențe pentru limitarea pantei curentului și a valorii maxime a acestuia. În cazul tensiunilor medii și înalte este adeseori avantajoasă instalarea condensatoarelor în exterior.

Condensatoarele au pierderi reduse; în cazul condensatoarelor cu clofen, de exemplu, acestea sînt 0,18...0,45 din puterea condensatoarelor. Totuși este recomandabilă montarea condensatoarelor într-o încăpere răcoroasă și bine ventilată, ceea ce mărește durata lor de viață.

Reducerea puterii aparente este încurajată de întreprinderile furnizoare de electricitate printr-un tarif diferențiat<sup>1)</sup>. Tabelul 8.26 indică modul de determinare a puterii condensatoarelor necesare în acest scop.

Tabelul 8.26. Puterea condensatoarelor pentru un factor de putere dorit

Factor de putere existent \ Factor de putere dorit	Puterea condensatoarelor, în kvar, la 1 kW putere activă pentru următorii factori de putere						
	0,70	0,75	0,80	0,85	0,90	0,95	1,00
0,20	3,88	4,02	4,15	4,28	4,42	4,57	4,90
0,30	2,16	2,30	2,43	2,56	2,70	2,85	3,18
0,40	1,27	1,41	1,54	1,67	1,81	1,96	2,29
0,45	0,96	1,10	1,23	1,36	1,50	1,66	1,98
0,50	0,71	0,85	0,98	1,11	1,25	1,40	1,73
0,55	0,50	0,64	0,77	0,90	1,03	1,19	1,52
0,60	0,31	0,45	0,58	0,71	0,85	1,00	1,33
0,65	0,15	0,29	0,42	0,55	0,69	0,84	1,17
0,70	—	0,14	0,27	0,40	0,54	0,69	1,02
0,72	—	0,08	0,21	0,34	0,48	0,64	0,96
0,74	—	0,03	0,16	0,29	0,43	0,58	0,91
0,76	—	—	0,11	0,24	0,37	0,53	0,86
0,78	—	—	0,05	0,18	0,32	0,47	0,80

<sup>1)</sup> În R.S.R. problema compensării factorului de putere este reglementată de Regulamentul de utilizare a energiei electrice. Factorul de putere neutral (azi 0,93) conduce la plata energiei electrice la valoarea rezultată din tariful normal. Pentru  $\cos \varphi < 0,93$  se aplică penalizări. Pentru  $\cos \varphi > 0,93$  se acordă bonificații.

Tabelul 8.26 (continuare)

Factor de putere existent	Factor de putere dorit	Puterea condensatoarelor, în kvar, la 1 kW putere activă pentru următorii factori de putere					
		0,70	0,75	0,80	0,85	0,90	0,95
0,80	—	—	—	—	0,13	0,27	0,42
0,82	—	—	—	—	0,08	0,21	0,37
0,84	—	—	—	—	0,03	0,16	0,32
0,86	—	—	—	—	—	0,11	0,26
0,88	—	—	—	—	—	0,06	0,21
0,90	—	—	—	—	—	—	0,16
0,92	—	—	—	—	—	—	0,10
0,94	—	—	—	—	—	—	0,04

## Exemplu:

Factor de putere existent  $\cos \varphi_1$  0,76  
 Factor de putere dorit  $\cos \varphi_2$  0,90  
 Puterea condensatoarelor pentru 1 kW putere activă conform tabelului 8.26 0,37  
 Valoarea medie a puterii active din citirile contoarelor 140 kW  
 Putere necesară a condensatoarelor:  $0,37 \cdot 140 = 51,8$  kvar,  
 Putere aleasă, 50 kvar.

**Compensarea individuală a motoarelor asincrone trifazate.** Condensatorul se leagă în general în paralel la bornele motorului; el se introduce și se scoate din circuit o dată cu motorul.

Pentru a se evita supracompensarea la sarcina parțială și autoexcitarea la reducerea vitezei, trebuie să se compenseze în general numai circa 90% din puterea reactivă la mers în gol a motorului. În consecință, la plină sarcină se obține în general un factor de putere de circa 0,90, iar la sarcină parțială și la mers în gol, de circa 0,95. Puterea reactivă de mers în gol  $Q_{C0}$  se poate calcula cunoscând unghiul de defazaj  $\varphi_0$ , valoarea curentului absorbit la mers în gol  $I_0$  și tensiunea  $U$

$$Q_{C0} = \sqrt{3} UI_0 \sin \varphi_0 \cdot 10^{-3} \text{ kvar} \approx \sqrt{3} UI_0 \cdot 10^{-3} \text{ kvar}.$$

Diagrama din fig. 8.95 poate servi în mod orientativ pentru stabilirea puterii reactive la mers în gol. Curbele reprezintă valori medii ale unui mare număr de măsurări la motoare cu rotoare în colivie de veveriță.

Motoarele cu pornirea în stea-triunghi pot fi compensate astfel:

a) cu ajutorul unor condensatoare trifazate și comutatoare speciale stea-triunghi pentru motoare trifazate compensate;

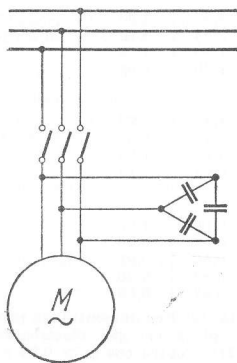
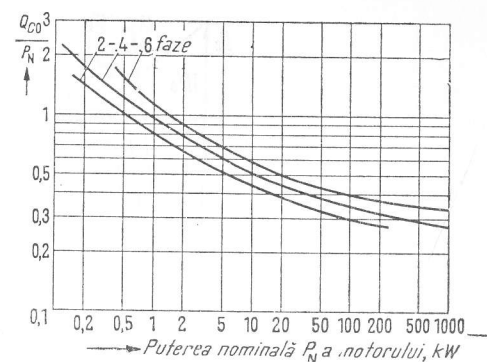


Fig. 8.95. Raportul dintre puterea reactivă  $Q_{C0}$  și puterea nominală a motorului  $P_N$  a motoare cu rotor în colivie de veveriță (valori medii)



b) prin conectarea a câte unui singur condensator la fiecare din cele trei înfășurări ale motorului (de obicei cu condensatoare trifazate cu șase borne libere);  
 c) prin conectarea condensatorului cu ajutorul unui contactor în aer propriu.

**Condensatoare alimentate prin transformatoare.** Când sarcina este redusă, puterea capacitivă în aval de transformatoare trebuie să fie limitată pentru a împiedica apariția rezonanței la armonice superioare. În general, se manifestă mai puternic armonicile de ordinul 5 și 7; puterea admisibilă a condensatoarelor se determină de preferință pentru cazul rezonanței cu aceste frecvențe. În același timp, pentru condensatoare, creșterea tensiunii se limitează la 1,5%. În fig. 8.96 sînt indicate valori practice. Deoarece echipamentele de reglaj automat al condensatoarelor trebuie de asemenea să evite creșteri de tensiune și rezonanța pe armonice, regulatorul trebuie să se mențină în aceleași limite.

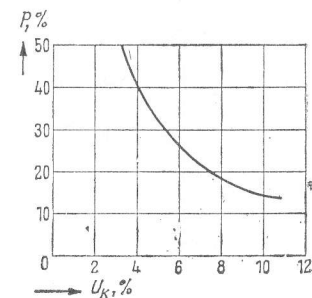


Fig. 8.96. Puterea admisibilă a condensatoarelor, în % din puterea transformatorului la sarcină redusă.

**Condensatoarele legate în serie.** Legarea în serie a condensatoarelor se utilizează în rețele de medie tensiune pentru stabilizarea tensiunii (fig. 8.97 și 8.98).

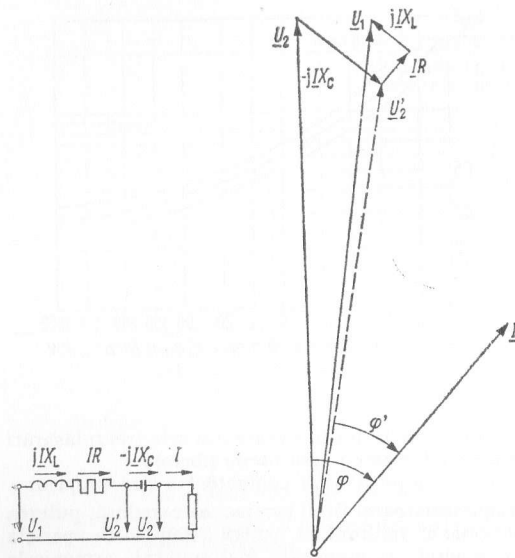


Fig. 8.97. Circuitul echivalent și diagrama fazorială a unei linii de medie tensiune cu condensator serie.

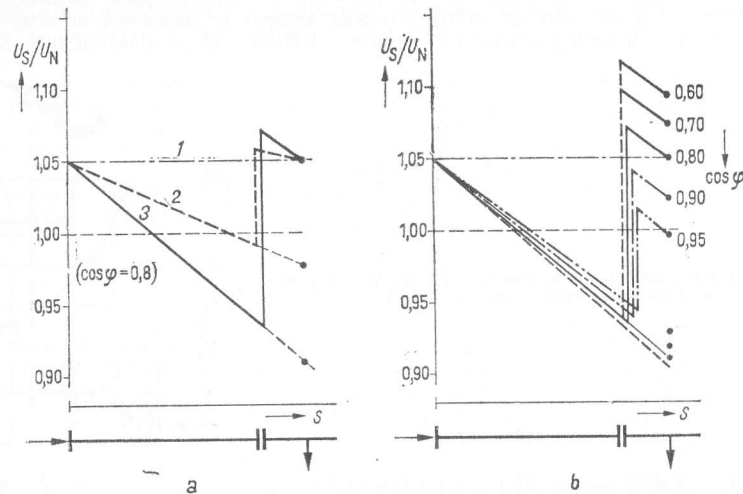


Fig. 8.98. Caracteristica tensiunii de-a lungul unei linii de medie tensiune cu condensatoare serie: a - în funcție de sarcină; b - în funcție de factorul de putere. 1 - mers în gol; 2 - jumătate din sarcină; 3 - plină sarcină.

#### Notații:

- $U_1$  — este tensiunea la începutul liniei, în V;
- $U_N$  — tensiunea nominală a liniei, în V;
- $U_2$  — tensiunea la ieșirea din condensatorul serie, în V;
- $U_2'$  — tensiunea la intrarea în condensatorul serie, în V;
- $U_c$  — tensiunea nominală a bateriei de condensatoare pe fază, în V;
- $U_k$  — tensiunea de scăpări a transformatorului, în V;
- $U_S$  — tensiunea alternativă de funcționare în curent alternativ, în V;
- $\Delta U$  — creșterea dorită de tensiune în punctul de instalare, în V/fază;
- $I$  — curentul total maxim care trece prin condensatorul serie (curentul nominal al liniei și deci al condensatorului serie), în A;
- $I_b$  — componenta reactivă a curentului din linie în punctul de instalare, în A;
- $I_w$  — componenta activă a curentului, în A;
- $X_L$  — reactanța inductivă a liniei ce trebuie compensată, în  $\Omega$ /fază;
- $X_c$  — reactanța capacitivă a condensatorului serie, în  $\Omega$ /fază;
- $R$  — rezistența liniei ce trebuie compensată, în  $\Omega$ /fază;
- $\varphi$  — defazajul dintre curent și tensiune în punctul instalării condensatorului serie;
- $Q_c$  — puterea nominală a întregii baterii de condensatoare (respectiv puterea condensatoarelor ce trebuie instalată), în kvar.

**Formule aproximative de calcul.** Reactanța capacitivă a condensatorului, când la extremitatea liniei există sarcini și tensiunea  $U_1$

$$X_c = X_L + R \cos \varphi.$$

Reactanța capacitivă a condensatorului în cazul sarcinii distribuite și a creșterii de tensiune dorită în punctul de instalare a condensatorului

$$X_c = \frac{\Delta U}{I_b}.$$

Tensiunea nominală a condensatorului serie are expresia

$$U_c = X_c I.$$

Puterea nominală a întregii baterii de condensatoare adică pentru toate trei fazele luate împreună este

$$Q_c = X_c I^2 \cdot 3 \cdot 10^{-3}.$$

Pentru linia reprezentată în fig. 8.99 și condițiile de sarcină date, condensatorul serie trebuie astfel dimensionat încît

$$U_c = U_1.$$

Variația de tensiune pînă în punctul de instalare, cu o circulație de putere de 2 MVA, care corespunde unui curent total de 115,5 A ( $I_w = 92,4$  A;  $I_b = 69,3$  A, cu  $\cos \varphi = 0,8$ ) și cu

$$R = 3,57 \, \Omega \text{ și } X_L = 3,55 \, \Omega,$$

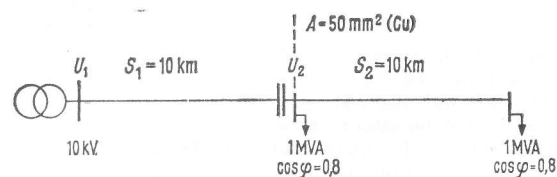


Fig. 8.99. Exemplu de linie.

este

$$\Delta U = RI_w + X_L I_b = 576 \text{ V/fază},$$

adică circa 10%. Variația de tensiune la extremitatea liniei este de circa 15%.

Reactanța capacitivă a condensatorului serie pentru condiția dată este

$$X_c = \frac{576}{69,3} \Omega/\text{fază} = 8,32 \Omega/\text{fază}.$$

Tensiunea nominală a condensatorului are valoarea

$$U_c = 115,5 \cdot 8,32 = 960 \text{ V}.$$

Puterea nominală a bateriei de condensatoare este

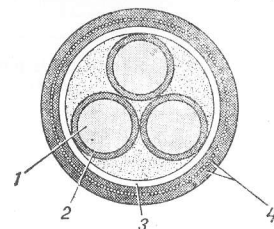
$$Q_c = 115,5^2 \cdot 8,32 \frac{3}{10^3} \text{ kvar} = 333 \text{ kvar}.$$

Ținând seamă de creșterile de sarcină care ar putea apărea este practic să se instaleze o baterie de 450 kvar (150 kvar pe fază) această valoare fiind convenabilă și pentru elementele componente și corespunzătoare unui curent nominal de 134,3 A și unei tensiuni nominale de 1117 V. După instalarea condensatorului serie, la mijlocul liniei apare aceeași tensiune ca la începutul ei la  $\cos \varphi = 0,8$ , iar la capătul liniei apare o variație de tensiune de circa 5%.




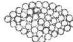

**Indicații de exploatare pentru compensarea în serie.** Tensiunea la bornele condensatorului serie este funcție de curentul de trecere, adică ea poate crește până la valori inadmisibile la curenți mari (în special în cazul apariției unui scurtcircuit în aval de punctul de instalare). De aceea condensatorul se protejează printr-un descărcător în paralel, care funcționează imediat ce se atinge o tensiune anumită, descărcând astfel condensatorul și comandând introducerea așa-numitului întreruptor de șuntare prin intermediul releelor. Acest întreruptor servește și la punerea în funcțiune a instalației.

În cazul instalațiilor mai mari trebuie să se prevadă și o protecție împotriva defectelor interne, care comandă întreruptorul de șuntare al întregului echipament atunci când apare o străpungere într-un element de condensator.

Din cauza unor fenomene care apar uneori în legătură cu instalarea condensatoarelor serie, de exemplu ferorezonanța (la anclanșarea în gol a transformatoarelor și uneori la apariția unor puneri la pământ în rețelele prevăzute cu bobine de stingere) și autoexcitarea motoarelor asincrone, este necesară o proiectare atentă.



8.7. CABLURI DE FORȚĂ<sup>1)</sup>

Tabelul 8.27. Construcția cablurilor. Tip constructiv de bază pentru cabluri

Materialul conductorului	Tipul conductorului	Izolația miezului conductor	Manta	Înveliș protector și armătură	
Cupru	rotund	monofilar re 	hîrtie impregnată	plumb	Peste mantaua de plumb: 1) compound, bandă de hîrtie, iută
		multifilar rm 			2) compound, bandă de hîrtie, armare cu bandă sau sîrmă de oțel, iută
	sector	monofilar se 			3) compound, manta din plastic
		multifilar sm 			4) compound, bandă de hîrtie, armare cu bandă sau sîrmă de oțel, manta din plastic
Aluminiu	alte forme ale secțiunii conductorului	rm/v rotund, împletit, comprimat în timpul împletirii 	cauciuc	aluminiu	Peste mantaua de aluminiu: 1) strat cu bandă din plastic în compound, manta din plastic

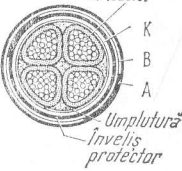
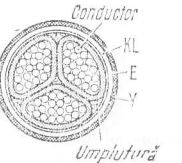
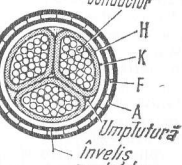
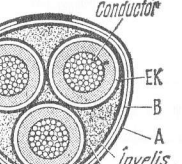
<sup>1)</sup> STAS 6007-59; 2405-61; 4481-66

Tabelul 8.27 (continuare)

Materialul conductorului	Tipul conductorului	Izolația miezului conductor	Manta	Înveliș protector și armătură
Aluminiu		rse/3f 	Cauciuc	Aluminiu
		miezul conductor compus din trei conductoare sub formă de sector și acoperit cu un strat de sîrmă plată profilată		
	tubular	rm/v 12 h 	plastic	Peste mantaua de cauciuc sau din plastic: 1) fără armătură, fără înveliș de protecție
		conductor de tip tubular, cu diametrul interior 12 mm, compus din unul sau mai multe straturi de sîrmă rotunde sau profilate (de asemenea cu bandă răsucită de întărire)	plastic	2) armătură din sîrmă de oțel rotundă sau plată sub manta exterioară

În afară de tipurile constructive de cabluri din tabelul de mai sus, există variante în care numărul conductoarelor principale, secțiunea, dispoziția mantalelor și învelișurilor, diferă. În plus, se execută cabluri speciale pentru utilizare în montaj suspendat (legind puncte între care există mari diferențe de înălțime), cabluri de întindere, cabluri pentru montaj în puțuri, cabluri pentru mine, cabluri pentru montaj aerian, cabluri pentru montaj submarin (care pot rezista la solicitări de tracțiune) cabluri pentru nave, cabluri de medie frecvență etc.

Tabelul 8.28. Exemple de tipuri constructive de cabluri uzuale<sup>1)</sup>

Cabluri cu izolație de hirtie		
<b>Cablu în manta</b> <i>Cablu în manta de plumb cu izolație de hirtie</i> Izolația mantalei și a conductoarelor principale: hirtie impregnată Manta de plumb Înveliș de protecție Armare Înveliș de protecție	Cablu trifazat cu patru conductoare NKBA 4 × 50 Sm 0,6/1 kV: (CHPBI) N — cablu conform normelor VDE conductoare de cupru (C) K — manta de plumb (P) B — armare cu bandă de oțel (B) A — înveliș exterior din compound și iută (I) sm — conductoare în formă de sector, împletite (z)	
<b>Cablu cu manta de aluminiu</b> Izolația conductoarelor principale și a mantalei: hirtie impregnată Manta de aluminiu Înveliș de protecție: bandă din material plastic în compound manta din material plastic Mantaua de aluminiu are rolul de conductor de nul legat la pămînt	Cablu trifazat, cu trei conductoare NAKLEY 3 × 95 sm 0,6/1 kV (ACYABY) <sup>2)</sup> N — cablu conform normelor VDE (C) A — conductoare de aluminiu (A înaintea simbolului) KL — manta de aluminiu (—) E — bandă din material plastic (—) Y — manta din material plastic (Y) sm — conductoare în formă de sector, împletite (z)	
<b>Cablu cu cîmp radial</b> <i>Cablu ecranat</i> Izolația conductoarelor: Hirtie impregnată cu înveliș de hirtie metalizată (cablu „tip H”) Manta metalică Înveliș de protecție Armătură Înveliș de protecție	Cablu trifazat, cu trei conductoare NHKFA 3 × 70 sm 8,7/15 kV: N — cablu conform normelor VDE (C) conductoare de cupru (C înaintea simbolului) H — hirtie metalizată („folie H”) (—) K — manta de plumb (P) F — armătură din sîrmă plată de oțel A — înveliș exterior din compound și iută (I) sm — conductoare în formă de sector, împletite (z)	
<b>Cablu SL</b> Izolația conductoarelor principale: hirtie impregnată hirtie metalizată Manta metalică peste fiecare parte conductoare Înveliș de protecție peste fiecare manta Armătură comună Înveliș de protecție	Cablu trifazat, cu trei conductoare NAEKBA 3 × 120 rm; 17,3/30 kV; N — cablu conform normelor VDE (C) A — conductoare de aluminiu (A înaintea simbolului) E — fiecare conductor principal înconjurat de o manta metalică și strat de protecție împotriva coroziunii, apoi împletite (—) K — manta de plumb (P) B — armătură din bandă de oțel (B) A — înveliș exterior din compound și iută (I) rm — conductoare rotunde, împletite	

<sup>1)</sup> STAS 2405-61, 4481-66; în paranteză se indică prevederile STAS.<sup>2)</sup> Cablu care se execută la cererea beneficiarului.



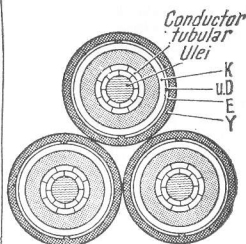
Tabelul 8.28 (continuare)

## Cabluri umplute cu ulei și cu gaz

## Cabluri monofilare umplute cu ulei de joasă presiune

Conductor tubular  
 Izolația conductorului principal:  
 hirtie impregnată  
 hirtie metalizată  
 Manta de plumb  
 Împletitură rezistentă la presiune  
 Înveliș de protecție  
 Circulație de ulei în interiorul  
 conductorului tubular

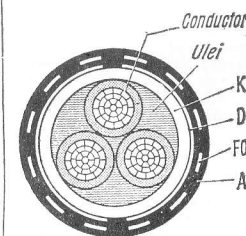
Cablu monofilar pentru sisteme trifazate  
 NOKUDEY 1 x 185 r.m/v 12 h  
 64/110 kV:  
 N — cablu conform normelor VDE(C)  
 O — cablu umplut cu ulei, conductor  
 de cupru (—)  
 K — manta de plumb (P)  
 uD — împletitură de protecție nemag-  
 netică împotriva presiunii (—)  
 E — bandă din material plastic în  
 compound (—)  
 Y — înveliș exterior din material  
 plastic (Y)  
 rm/v 12 h — conductor tubular rotund,  
 sirme profilate, diametru interior  
 12 mm



## Cablu trifazat cu ulei

Uleiul circulă în spațiile dintre  
 părțile conductoare și manta  
 Izolația conductoarelor princi-  
 pale:  
 hirtie impregnată  
 hirtie metalizată  
 Manta de metal  
 a) Manta comună de plumb  
 Împletitură rezistentă la  
 presiune:  
 Bandă de material plastic în  
 compound  
 Armătură  
 Înveliș de protecție sau:  
 b) Manta din aluminiu cu nervuri  
 Bandă de material plastic  
 în compound  
 Manta de material plastic

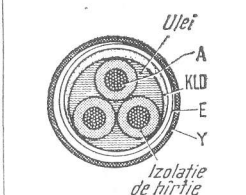
Cablu trifazat cu trei conductoare:  
 NOKDEFOA 3 x 120 rm/v 17,3/30 kV:  
 N — cablu conform normelor VDE (C)  
 O — cablu umplut cu ulei, conductoare  
 de cupru  
 K — manta de plumb (P)  
 D — împletitură rezistentă la presiuni  
 E — bandă de material plastic în  
 compound  
 FO — armătură de sirmă de oțel plat  
 deschisă, înveliș parțial cabul  
 (—)  
 A — înveliș exterior din compound  
 și iută (—)  
 rm/v — conductoare rotunde comprimate



## Cablu cu presiune internă de gaz cu țevă de oțel

Izolația conductoarelor principale:  
 hirtie impregnată  
 hirtie metalizată  
 Folie metalică și hirtie carbon  
 peste fiecare conductor prin-  
 cipal

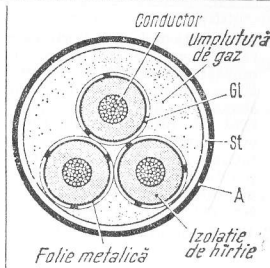
Cablu trifazat cu trei conductoare  
 Gi KLDEY 3 x 150 rm/v 64/110 kV:  
 Gi — cablu cu presiune internă de gaz  
 conductoare de cupru



Tabelul 8.28 (continuare)

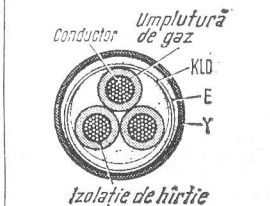
Sirme de ghidare peste fiecare  
 conductor principal  
 Trei conductoare principale trase  
 în țevă de presiune (oțel)  
 Țeava este umplută cu gaz inert  
 la mare presiune

Gl — sirme de ghidare peste fiecare con-  
 ductor principal  
 St — țevă de oțel  
 A — protecție contra coroziunii țevii  
 de oțel, constând dintr-un înveliș  
 din fibră de sticlă impregnat  
 rm/v — conductor rotund, comprimat

Cablu cu presiune internă de gaz  
cu manta metalică

Izolația conductoarelor princi-  
 pale:  
 hirtie impregnată  
 hirtie metalizată  
 Folie metalică și hirtie carbon  
 peste fiecare conductor prin-  
 cipal  
 Manta din aluminiu cu nervuri  
 Protecția contra coroziunii:  
 bandă din material plastic în  
 compound; manta din material  
 plastic  
 Cablul este sub presiune de gaz

Cablu trifazat cu trei conductoare  
 Gi KLDEY 3 x 150 rm/v 34,7/60 kV:  
 Gi — cablu cu presiune internă de gaz  
 conductoare de cupru  
 KLD — manta din aluminiu cu nervuri  
 E — bandă din material plastic în  
 compound  
 Y — manta din material plastic (Y)  
 rm/v — conductor rotund comprimat

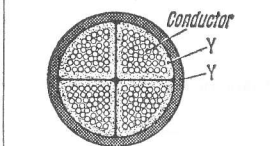


## Cabluri cu izolație din material plastic

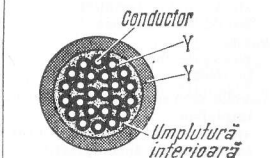
Cablul cu izolație din material  
plastic

Izolația părților conductoare  
 Material plastic, de obicei poli-  
 clorură de vinil (PVC)  
 Înveliș comun al conductoarelor  
 principale:  
 amestec de material plastic și  
 cauciuc sau material termo-  
 plastic (sau înveliș din bandă)  
 Manta din material plastic (PVC)  
 indicat în mod special pentru  
 folosire în montaje interioare,  
 unde nu este necesară o pre-  
 gătire a capetelor terminale

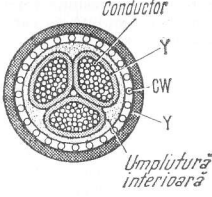
Cablu trifazat cu patru conductoare  
 principale  
 NYY 4 x 150 sm 0,6/1 kV:  
 (CYY)  
 N — cablu conform normelor VDE(C)  
 Y — izolație din material plastic (Y)  
 Y — manta din material plastic (Y)  
 sm — conductoare în formă de sector,  
 împletite



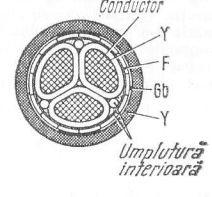
Cablu de comandă multifilar  
 NYY 24 x 2,5 re 0,6/1 kV:  
 (CSYY)  
 N — cablu conform normelor VDE (C)  
 conductoare de cupru  
 Y — izolație din material plastic (Y)  
 Y — manta din material plastic (Y)  
 re — conductoare rotunde monofilare;  
 firele identificate prin cifre impri-  
 mate pe ele



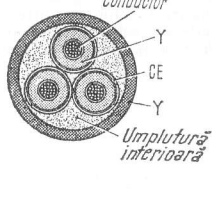
Tabelul 8.28 (continuare)

Al patrulea conductor (conductorul de nul poate fi și el montat concentric sub manta. El se compune în acest caz din sîrme rotunde de cupru montate ca întăritură împreună cu împletitură de contact („Cablul Ceander“). Acest lucru permite montarea manșoanelor de înădare fără secționarea conductorului concentric.	Cablul trifazat cu 31/2 conductoare principale NYCWY 3 × 185 sm/95 0,6/1 kV: N — cablu conform normelor VDE (C) conductoare de cupru Y — izolație din material plastic (Y) CW — conductor concentric din sîrme de cupru montate ca întăritură („Cablul Ceander“) cu împletitură de contact Y — manta din material plastic (Y) sm — conductoare în formă de sector, împletite 95 — secțiunea conductorului concentric	
---	---	---

Cablul de medie tensiune cu izolație din material plastic și ecranat

Izolația conductoarelor principale: material plastic din policlorură de vinil (PVC) Înveliș comun al conductoarelor principale: amestec de cauciuc sintetic sau material termoplastic sau înfășurare din bandă Ecran metalic Manta din material plastic (PVC)	Cablul trifazat cu trei conductoare principale NYFGbY 3 × 70 sm/6 3,5/6 kV: N — cablu conform normelor VDE (C) conductoare de cupru Y — izolație din material plastic (Y) F — ecran din sîrmă plată de oțel galvanizat (E) Gb — împletitură din bandă de oțel (—) Y — manta din material plastic (Y) sm — conductoare în formă de sector, împletite 6 — secțiunea ecranului corespunde la 6 mm <sup>2</sup> cupru	
--	---	---

Cablul cu izolație din material plastic cu conductoare principale ecranate individual

Conductoare principale: strat conductor de izolație din material plastic, policlorură de vinil (PVC) strat de lac conductor bandă conductoare Ecran: bandă de cupru (secțiune 2 mm <sup>2</sup> pe fiecare conductor principal) Înveliș comun al conductoarelor împletite: amestec de cauciuc sintetic sau material termoplastic Manta din material plastic	NYCEY 3 × 95 sm/3 × 2 5,8/10 kV: N — cablu conform normelor VDE (C) conductoare de cupru Y — izolație din material plastic (Y) CE — ecran de cupru pe fiecare conductor principal (—) Y — manta din material plastic (Y) rm — conductoare rotunde, împletite 3 × 2 — secțiunea ecranului 2 mm <sup>2</sup> pe fiecare conductor principal.	
---	--	---

Încărcările pentru cabluri cu izolație din material plastic și din hîrtie montate în pămînt. Valorile recomandate pentru curentul admisibil al cablurilor sînt în curs de pregătire pe baza metodelor internațional valabile pentru calcul și pentru constantele de linie. Pînă la publicarea acestor valori, valorile pentru încărcări indicate în tabele sînt aplicabile în următoarele condiții tip (în afară de cazul cînd se precizează anumite excepții):

- pentru un singur cablu în pămînt, cu condiția ca evacuarea căldurii să nu fie împiedicată de uscarea pămîntului;
- temperatura ambiantă 20°C;
- rezistivitatea termică a izolației de hîrtie și a învelișurilor de protecție de hîrtie și iută în compound 550 grd cm/W;
- rezistivitatea termică a izolației de PVC 650 grd cm/W;
- rezistivitatea termică a pămîntului 70 grd cm/W;
- adîncimea șanțului de montare 70 cm; cărămizi de protecție într-un singur strat.

În cazul cînd condițiile locale diferă de cele indicate mai sus, valorile încărcărilor trebuie să fie modificate în conformitate cu tabelele 8.35 ... 8.40.

Tabelul 8.29. Temperatura conductorului și creșterea temperaturii

Izolație	Tensiunea nominală $U_0/U$ kV	Valori maxime admisibile	
		Temperatura conductorului °C	Creșterea temperaturii conductorului la temperatura ambiantă de 20 °C grd
Hîrtie impregnată	0,6/1...3,5/6	65	45
	5,8/10...11,6/20	55	35
	17,3/30...34,7/60	45	25
PVC	0,6/1...3,5/6	70	50
	5,8/10	60	40

Tabelele de încărcare se bazează pe temperaturile conductoarelor și creșterile de temperatură datorate curentului indicate în tabelul 8.29.

Dacă se notează cu  $\theta_{un}$  creșterea de temperatură a conductoarelor folosite ca bază pentru tabelele de încărcări, iar curentul nominal conform acestor tabele cu  $I_N$ , se obține pentru un curent  $I$  diferit de  $I_N$ , pentru aceeași rezistență a conductorului, următoarea expresie a creșterii de temperatură a conductorului  $\theta_u$  care apare în noua situație:

$$\theta_u = \theta_{un}(I/I_N)^2.$$

Tabelul 8.30. Cabluri în manta cu unul și mai multe conductoare de 0,6/1 kV, cu izolație din material plastic și izolație de hirtie<sup>1)</sup>

Secțiunea nominală a conductorului	Cabluri cu un conductor *)		Cabluri cu două conductoare		Cabluri cu trei-patru conductoare	
	Încărcarea, în A					
	Cu	Al	Cu	Al	Cu	Al
mm*						
1,5	35	—	30	—	25	—
2,5	50	—	40	—	35	—
4	65	50	50	40	45	35
6	85	70	65	50	60	45
10	110	90	90	70	80	65
16	155	125	120	95	110	90
25	200	160	155	125	135	110
35	250	200	185	150	165	130
50	310	250	235	190	200	160
70	380	305	280	225	245	195
95	460	370	335	270	295	235
120	535	430	380	305	340	270
150	610	490	435	350	390	310
185	685	550	490	390	455	355
240	800	640	570	455	515	410
300	910	730	640	510	590	470
400	1080	865	760	610	700	560
500	1230	985	—	—	—	—

<sup>1)</sup> Valorile prevăzute prin normele românești sînt cu 10–15% mai mici (v. lucrarea „Conducte electrice” de C. Cruceru ș.a.).

<sup>2)</sup> Aceste valori sînt aplicabile în cazul unui singur cablu în rețelele de curent continuu și pentru un singur cablu fără manta metalică și fără armare în curent alternativ și rețele trifazate. Cablurile cu împletitură de sîrmă de oțel sau cupru se vor considera armate.

Tabelul 8.31. Cabluri în manta cu izolație de hirtie și cabluri cu izolație din material plastic de 3,5/6 și 5,8/10 kV

Secțiunea nominală a conduc- torului mm²	3,5/6kV		5,8/10 kV	
	Încărcarea, în A			
	Cu	Al	Cu	Al
6	55	45	—	—
10	75	60	65	50
16	100	80	85	70
25	130	105	110	90
35	160	130	135	110
50	195	155	165	130
70	235	190	200	160
95	280	225	240	190
120	325	260	280	225
150	370	295	320	255
185	420	335	360	290
240	490	390	420	340
300	560	445	475	385

Tabelul 8.32. Cabluri SL cu izolație de hirtie și cabluri ecranate cu trei conductoare principale de 3,5/6–34,7/60 kV

Secțiunea nominală a conduc- torului mm²	3,5/6 kV		5,8/10 âV		8,7/15 kV		11,6/20 kV		17,3/30 kV		34,7/60 kV	
	Încărcarea, în A											
	Cu	Al	Cu	Al	Cu	Al	Cu	Al	Cu	Al	Cu	Al
6	60	—	—	—	—	—	—	—	—	—	—	—
10	80	65	70	55	—	—	—	—	—	—	—	—
16	110	85	95	75	90	70	—	—	—	—	—	—
25	145	115	125	100	120	95	115	90	—	—	—	—
35	180	145	150	120	145	115	140	110	135	105	—	—
50	220	175	190	150	180	145	170	135	165	130	—	—
70	265	210	230	185	220	175	210	170	200	160	—	—
95	310	250	270	215	255	205	245	195	235	185	210	170
120	365	290	310	250	295	240	285	230	270	215	240	190
150	415	330	350	280	340	270	325	260	310	250	270	215
185	465	370	395	315	380	305	365	290	345	275	305	245
240	535	430	460	370	445	355	425	340	400	320	355	280
300	610	490	520	415	500	400	480	385	450	360	400	320
400 1)	700	560	600	480	575	460	550	440	515	415	460	370
400 2)	665	530	570	455	545	435	525	420	490	395	435	350
500 1)	780	625	670	540	640	510	615	490	580	465	—	—
500 2)	740	595	635	515	610	485	585	465	550	440	—	—

Notă. Cablurile ecranate cu trei conductoare cu manta comună metalică pe conductoarele împletite se pot încărca cu 95% din valorile indicate pentru curenți. Pînă la secțiuni de 300 mm<sup>2</sup> valorile din tabel se aplică la cabluri cu manta de plumb sau aluminiu.

<sup>1)</sup> Valorile sînt aplicabile în cazul cablurilor cu manta de plumb.

<sup>2)</sup> Valorile sînt aplicabile în cazul cablurilor cu manta de aluminiu.

Tabelul 8.33. Cabluri cu izolație de hirtie, cu un singur conductor cu manta de plumb, pentru 0,6/1 pînă la 17,3/30 kV și cabluri cu izolația din material plastic pentru 0,6/1 pînă la 5,8/10 kV (trei cabluri separate alăturate, nearmate, în rețele trifazate)

Secțiunea nominală a conductorului mm²	0,6/1 kV		3,5/6 kV		5,8/10 kV		8,7/15 kV		11,6/20 kV		17,3/30 kV		34,7/60kV	
	Încărcarea, în A													
	Cu	Al	Cu	Al	Cu	Al	Cu	Al	Cu	Al	Cu	Al	Cu	Al
16	140	115	130	105	110	90	105	85	—	—	—	—	—	—
25	180	145	170	135	145	115	140	110	135	105	—	—	—	—
35	220	175	210	165	175	140	170	135	165	130	155	125	—	—
50	270	215	260	205	220	175	215	170	205	160	190	155	—	—
70	325	260	310	250	265	215	260	205	250	200	235	190	—	—
95	390	310	375	300	315	255	305	245	295	235	280	225	250	200
120	445	355	430	345	360	290	350	280	340	270	320	255	285	230
150	500	400	485	390	410	330	400	320	390	310	365	290	325	260
185	550	440	535	430	460	365	445	355	430	345	405	325	365	295
240	625	500	615	490	520	415	505	405	490	390	465	370	420	335
300	695	555	680	545	570	455	555	445	540	430	515	410	465	370
400	785	630	770	620	645	515	630	505	615	490	590	470	535	430
500	855	685	845	675	705	565	690	555	675	540	650	520	—	—

Notă: Aceste valori sînt aplicabile pentru cabluri nearmate pozate unul lîngă altul cu un spațiu liber de circa 7 cm (grosimea unei cărămizi) între ele, pentru a se ține seamă de pierderile prin încălzire în mantaua de plumb atunci cînd mantaua este scurtcircuitată la ambele capete ale cablului fără rezistență.

Tabelul 8.34. Cabluri cu izolație de hirtie, cu un singur conductor, cu manta de aluminiu pentru 0,6/1 până la 17,3/30 kV (trei cabluri separate, alăturate, nearmate, în rețele trifazate<sup>1)</sup>)

Secțiunea nominală a conductorului  mm²	0,6/1 kV		3,5/6 kV		5,8/10 kV		8,7/15 kV		11,6/20 kV		17,3/30 kV	
	Încărcarea, A											
	Cu	Al	Cu	Al	Cu	Al	Cu	Al	Cu	Al	Cu	Al
16	140	115	130	105	110	90	105	85	—	—	—	—
25	180	145	170	135	145	115	140	110	135	105	—	—
35	220	175	210	165	175	140	170	135	165	130	155	125
50	270	215	260	205	220	175	215	170	205	160	190	155
70	310	250	295	240	250	205	245	195	240	190	225	180
95	370	295	355	285	300	240	290	235	280	225	265	215
120	425	340	410	330	340	275	335	265	325	255	305	240
150	475	380	460	370	390	315	380	305	370	295	345	275
185	495	395	480	390	415	330	400	320	390	310	365	295
240	565	450	555	440	470	375	455	365	440	350	420	335
300	590	475	580	465	485	390	500	400	485	390	465	370

<sup>1)</sup> V. nota de la tabelul 8.33.

Tabelul 8.35. Cabluri la diferite temperaturi ambiante

Tensiunea nominală U kV	Încărcarea în procente din valorile din tabelele 8.30...8.34 la următoarele temperaturi ambiante, °C									
	5	10	15	20	25	30	35	40	45	50
Izolație de hirtie										
0,6/1 3,5/6	115	110	105	100	94	88	82	75	67	58
5,8/10 11,6/20	120	113	107	100	93	85	76	65	54	38
17,3/30 34,7/60	126	118	110	100	90	78	63	45	—	—
Izolație din material plastic										
0,6/1 3,5/6 5,8/10	114 117	109 112	105 106	100 100	95 94	90 87	84 79	77 71	71 61	63 50

Tabelul 8.36. Cabluri montate în aer liber

Tensiunea nominală U kV	Încărcarea în procente din valorile din tabelele 8.30...8.34		
	1 cablu	3 cabluri alăturate	6 cabluri alăturate
0,6/1 ... 3,5/6 5,8/10...11,6/20 17,3/30...34,7/60	85 90 95	Distanța dintre cabluri = = diametrul cablului	
		80	—
		85	80
0,6/1 ... 3,5/6 5,8/10...11,6/20 17,3/30...34,7/60	— — —	Cabluri în atingere	
		70	65
		75	70
0,6/1 ... 3,5/6 5,8/10...11,6/20 17,3/30...34,7/60	— — —	80	75

Tabelul 8.37. Montarea comună în pământ a unui număr de cabluri de curent continuu monofilare și a unor cabluri multifilare

Numărul de cabluri într-un șanț <sup>1)</sup>	2	3	4	5	6	8	10
Încărcarea în procente din valorile din tabelele 8.30...8.32	90	80	75	70	65	62	60

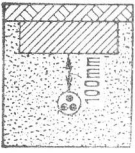
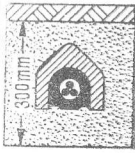
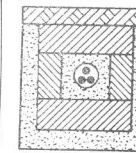
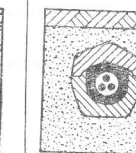
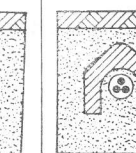
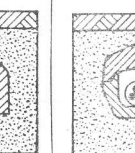
<sup>1)</sup> Interval liber între cabluri minimum 7 cm (grosimea unei cărămizi).

Tabelul 8.38. Montarea comună în pământ a unui număr de cabluri monofilare în rețele trifazate

Numărul de cabluri într-un șanț <sup>1)</sup>	2	3	4
Încărcarea în procente din valorile din tabelele 8.33 și 8.34	80	75	70

<sup>1)</sup> Interval liber între cabluri minimum 7 cm (grosimea unei cărămizi).

Tabelul 8.39. Cabluri cu acoperire de protecție

					
Nisip compact și acoperire cu cărămizi	Acoperire cu olane de zid, golul umplut cu lut	Acoperire de jur împrejur cu cărămizi, golul umplut cu nisip	Jgheab acoperit, golul umplut cu lut	Acoperire cu olane de zid, golul umplut cu nisip	Jgheab acoperit, golul umplut cu aer

Încărcarea în procente din valorile din tabelele 8.30...8.34

100	93	91	89	84	83
-----	----	----	----	----	----

Tabelul 8.40. Cabluri cu mai multe conductoare montate în tuburi de oțel sau lut ars și în canale de tuburi prefabricate din cărămidă

Numărul de țevi conținând fiecare câte un cablu	1	2	3	4	5	6	7	8	9	10
Încărcarea în procente din valorile din tabelele 8.30...8.34	82	74	70	67	65	63	62	60	59	58

**Diferite rezistențe ale solului.** În cazul când rezistivitatea termică a solului diferă de valoarea de 70 grd cm/W pe care se bazează tabelele de încărcare, sarcina admisibilă se poate determina din fig. 8.100.

Coeficient de reducere

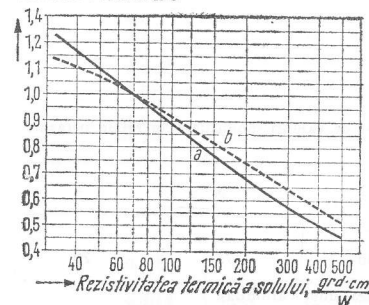


Fig. 8.100. Coeficienți de reducere pentru diferite rezistențe termice ale solului (valori medii): a — tensiune nominală 0,6/1...5,8/10 kV; b — tensiune nominală 8,7/15...17,3/30 kV.

Tabelul 8.41. Rezistivitatea termică a diverselor tipuri de soluri

Tipul solului	Rezistivitatea termică grd · cm/W	Coeficientul de reducere	
		0,6/1 ... 5,8/10 kV	8,7/15 ... 17,3/30 kV
Umplutură de zgură, uscată	550	0,43	0,50
Nisip normal 0% umiditate	310	0,57	0,63
10% umiditate	105	0,87	0,90
20% umiditate	75	0,98	0,98
saturat de umezeală	55	1,07	1,05
Pământ nisipos, uscat	95	0,90	0,93
8% umiditate	60	1,05	1,03
lut sau pământ argilos	65	1,03	1,02
Pământ umed sau umplutură de nisip			
expusă ploii	40	1,17	1,11
Rocă densă (granit, bazalt etc.)	35	1,22	1,13
Rocă poroasă (gresie, calcar moale)	60	1,05	1,03

La determinarea rezistivității termice trebuie avut în vedere că patul cablului se poate usca cu timpul datorită pierderilor de căldură din cabluri. De acest lucru trebuie să se țină seamă în mod special atunci când se pozează împreună un număr mare de cabluri supuse la sarcini de durată (de exemplu cabluri pentru întreprinderi chimice).

**Cablurile montate în apă.** Pentru aceste condiții de montare este permisă o încărcare de 115% față de cea a cablurilor montate în pământ, cu condiția ca secțiunea conductorului principal să fie majorată în mod corespunzător atunci când cablurile trec din apă în pământ sau în aer.

**Creșterea temperaturii aerului în canalul de cabluri.** În fig. 8.101 este reprezentată variația temperaturii aerului din canalul de cabluri în funcție de pierderea totală de energie pe metru de canal de cabluri, pentru canale de diverse dimensiuni.

**Rezistența conductorului și căderea de tensiune.** Pentru rezistența  $R$ , în  $\Omega/\text{km}$ , a unui conductor se aplică următoarea formulă:

— rezistența în curent continuu la 20°C;

$$R_{20} = \frac{1000}{\chi_{20} q},$$

unde:  $\chi_{20}$  este conductivitatea la 20°C; pentru cupru 56 m/ $\Omega\text{mm}^2$ ; pentru aluminiu 33 m/ $\Omega\text{mm}^2$ ;

$q$  — secțiunea conductorului, în  $\text{mm}^2$ ;

— rezistența în curent continuu la temperatura de lucru (v. p. 230)

$$R_{\theta} = R_{20} [1 + \alpha_{20} (\theta - 20)]$$

Creșterea temperaturii canalului, grd

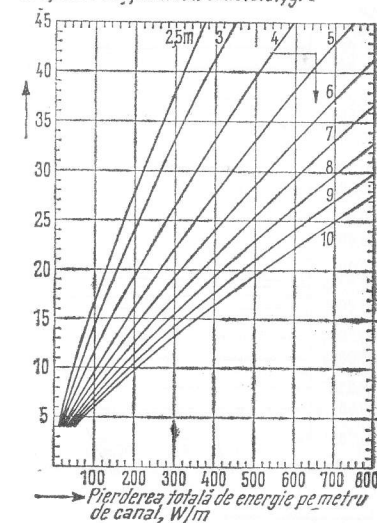


Fig. 8.101. Temperatura canalelor de cabluri la diferite dimensiuni.



unde  $\alpha_{20}$  este coeficientul de temperatură al rezistenței electrice: pentru cupru 0,00393  $\text{grd}^{-1}$ ; pentru aluminiu 0,00403  $\text{grd}^{-1}$ .

Rezistența efectivă la temperatura de lucru  $\vartheta$  are expresia

$$R_{w\vartheta} = R_{20}[1 + \alpha_{20}(\vartheta - 20)] + \Delta R.$$

Rezistența suplimentară  $\Delta R$ , în  $\Omega/\text{km}$ , ține seamă de pierderile suplimentare din cablu atunci când acestea lucrează în rețele de curent alternativ monofazat și în rețele trifazate. În fig. 8.102 sunt reprezentate rezistențele suplimentare ale cablurilor cu mai multe conductoare de diferite tipuri constructive.

Determinarea căderii de tensiune în următoarele cazuri:

- a) curent continuu:  $\Delta U = 2 I R l$ ;  
 b) curent alternativ monofazat<sup>1)</sup>:  $\Delta U = 2 I l (R_{w\vartheta} \cos \varphi + X \sin \varphi)$ ;  
 c) curent trifazat<sup>1)</sup>:  $\Delta U = \sqrt{3} I l (R_{w\vartheta} \cos \varphi + X \sin \varphi)$ ;  
 d) pierderea de putere:  $\Delta P = 3 I^2 R_{w\vartheta} l \cdot 10^{-3}$ ,

unde:  $I$  este curentul, în A;

$R$  — rezistența în curent continuu, în  $\Omega/\text{km}$ ;

$R_{w\vartheta}$  — rezistența efectivă, în  $\Omega/\text{km}$ ;

$X$  — reactanța inductivă, în  $\Omega/\text{km}$ ;

$l$  — lungimea cablului, în km.

Pentru calcule aproximative, căderea de tensiune  $\Delta U$ , în V, pentru tensiuni de funcționare de la 125 la 3000 V se poate obține din fig. 8.105, iar pierderea de putere  $\Delta P$ , în kW, la tensiuni de funcționare cuprinse între 6 și 380 kV, din fig. 8.106.

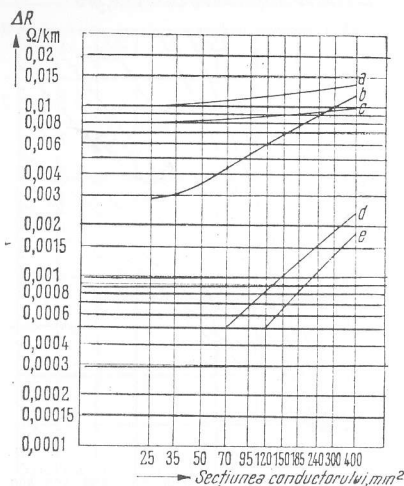


Fig. 8.102. Rezistența suplimentară  $\Delta R$  a cablurilor cu mai multe conductoare, la  $f = 50$  Hz: a — cabluri armate cu manta de plumb și conductoare de cupru sau aluminiu; b — cabluri nearmate cu manta de aluminiu și conductoare de cupru sau aluminiu; c — cabluri armate cu izolație din material plastic, cu conductoare de cupru sau aluminiu; d — cabluri nearmate cu izolație din material plastic, cu conductoare de cupru; e — cabluri nearmate, cu izolație din material plastic, cu conductoare din aluminiu.

<sup>1)</sup> Pentru curent defazat în urmă (sarcină inductivă). Pentru curent defazat înainte componenta reactivă devine negativă

Puterea de transport admisibilă

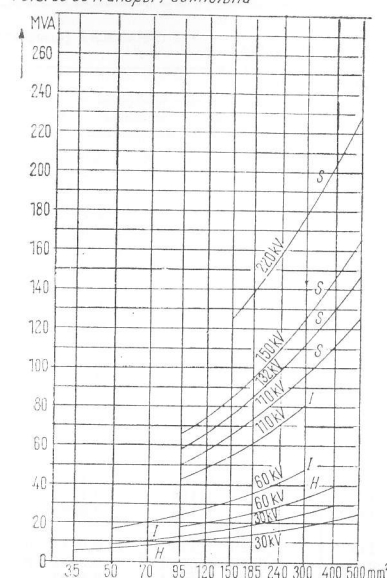


Fig. 8.103. Valori normalizate pentru puterea transportată prin cabluri de înaltă tensiune cu conductoare de aluminiu pozate în pământ: S — cablu cu un singur conductor cu ulei, nearmat; I — cablu trifazat cu ulei; H — cablu SL impregnat cu compound.

Puterea de transport admisibilă

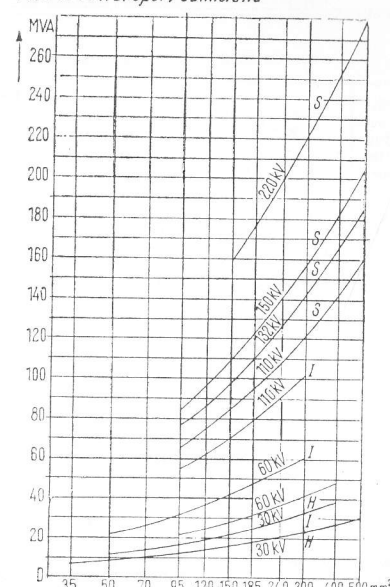


Fig. 8.104. Valori normalizate pentru puterea transportată prin cabluri de înaltă tensiune cu conductoare de cupru pozate în pământ: S — cablu cu un singur conductor cu ulei, nearmat; I — cablu trifazat cu ulei; H — cablu SL impregnat cu compound.

Tabelul 8.42. Rezistența în curent continuu a conductoarelor de cupru și aluminiu, în  $\Omega/\text{km}$  în funcție de temperatura conductorului<sup>1)</sup>

Secțiunea conductorului mm²	Temperatura conductorului											
	20 °C		25 °C		30 °C		35 °C		40 °C		45 °C	
	Cu <sup>2)</sup>	Al	Cu	Al	Cu	Al	Cu	Al	Cu	Al	Cu	Al
1,5	11,9	—	12,1	—	12,4	—	12,6	—	12,8	—	13,0	—
2,5	7,14	12,1	7,28	12,3	7,42	12,6	7,56	12,8	7,7	13,0	7,84	13,3
4	4,46	7,58	4,55	7,73	4,63	7,88	4,72	8,04	4,81	8,19	4,9	8,34
6	2,98	5,05	3,03	5,15	3,09	5,25	3,15	5,35	3,21	5,45	3,27	5,56
10	1,79	3,03	1,82	3,09	1,86	3,15	1,89	3,21	1,92	3,27	1,96	3,33
16	1,12	1,89	1,14	1,93	1,16	1,97	1,18	2	1,2	2,04	1,22	2,08
25	0,714	1,21	0,728	1,23	0,742	1,26	0,756	1,28	0,77	1,31	0,784	1,33
35	0,510	0,866	0,52	0,883	0,530	0,9	0,54	0,918	0,55	0,935	0,56	0,95
50	0,357	0,606	0,364	0,618	0,371	0,63	0,378	0,642	0,385	0,654	0,392	0,667
70	0,255	0,433	0,26	0,442	0,265	0,45	0,27	0,459	0,275	0,468	0,28	0,476
95	0,188	0,319	0,192	0,325	0,195	0,332	0,199	0,338	0,203	0,345	0,206	0,351
120	0,149	0,253	0,152	0,258	0,155	0,263	0,158	0,268	0,161	0,273	0,163	0,278
150	0,119	0,202	0,121	0,206	0,124	0,21	0,126	0,214	0,128	0,218	0,131	0,222
185	0,097	0,164	0,098	0,167	0,1	0,171	0,102	0,174	0,104	0,177	0,106	0,18
240	0,074	0,126	0,076	0,129	0,077	0,131	0,079	0,134	0,08	0,136	0,082	0,139
300	0,0595	0,101	0,0607	0,103	0,0618	0,105	0,0630	0,107	0,0641	0,109	0,0653	0,111
400	0,0446	0,0758	0,0455	0,0773	0,0463	0,0788	0,0472	0,0804	0,0481	0,0819	0,0489	0,0834
500	0,0357	0,0606	0,0364	0,0618	0,0371	0,063	0,0378	0,0642	0,0385	0,0654	0,0392	0,0667

Tabelul 8.42 (continuare)

Secțiunea conductorului mm <sup>2</sup>	Temperatura conductorului									
	50 °C		55 °C		60 °C		65 °C		70 °C	
	Cu	Al	Cu	Al	Cu	Al	Cu	Al	Cu	Al
1,5	13,3	—	13,5	—	13,8	—	14,0	—	14,2	—
2,5	7,98	13,6	8,11	13,8	8,25	14,0	8,39	14,3	8,53	14,5
4	4,98	8,49	5,07	8,6	5,16	8,79	5,24	8,94	5,33	9,1
6	3,32	5,66	3,38	5,76	3,44	5,86	3,5	5,96	3,56	6,06
10	2,0	3,39	2,03	3,45	2,06	3,51	2,1	3,58	2,13	3,64
16	1,25	2,12	1,27	2,16	1,29	2,2	1,31	2,23	1,33	2,27
25	0,798	1,36	0,811	1,38	0,825	1,4	0,839	1,43	0,853	1,45
35	0,57	0,970	0,58	0,987	0,589	1,0	0,6	1,02	0,609	1,04
50	0,399	0,679	0,406	0,691	0,413	0,703	0,42	0,715	0,427	0,727
70	0,285	0,485	0,29	0,494	0,295	0,502	0,3	0,511	0,303	0,52
95	0,21	0,357	0,214	0,364	0,217	0,370	0,221	0,376	0,225	0,383
120	0,166	0,283	0,169	0,288	0,172	0,293	0,175	0,299	0,178	0,304
150	0,133	0,226	0,135	0,23	0,138	0,234	0,14	0,238	0,142	0,242
185	0,108	0,184	0,110	0,187	0,112	0,19	0,113	0,194	0,115	0,197
240	0,083	0,141	0,085	0,144	0,086	0,146	0,087	0,149	0,089	0,151
300	0,0665	0,115	0,0676	0,115	0,0688	0,117	0,0699	0,119	0,0711	0,121
400	0,0498	0,0849	0,0507	0,0864	0,0516	0,0879	0,0524	0,0894	0,0533	0,091
500	0,0399	0,0679	0,0406	0,0691	0,0413	0,0703	0,042	0,0715	0,0427	0,0727

Notă Acest tabel se poate folosi cu suficientă exactitate și în cazul liniilor aeriene. În cazul conductoarelor din oțel-aluminiu se ia în considerație numai secțiunea de aluminiu.

a) Deosebirile față de tabelul 2.21 sînt explicate la p. 83 nota 2.

Tabelul 8.43. Inductivitatea  $L$  și reactanța inductivă  $X_L$  a cablurilor cu izolație de hirtie ( $f = 50$  Hz) în manta, cu  $3\frac{1}{2}$  și 4 conductoare de 0,6/1 kV

Numărul și secțiunea conductoarelor	$L$	$X_L$	Numărul și secțiunea conductoarelor	$L$	$X_L$
	mH/km	Ω/km		mH/km	Ω/km
3 × 25/16	0,294	0,292	4 × 16	0,314	0,099
3 × 35/16	0,286	0,090	4 × 25	0,300	0,094
3 × 50/25	0,278	0,087	4 × 35	0,294	0,092
			4 × 50	0,286	0,090
3 × 70/35	0,272	0,085	4 × 70	0,278	0,087
3 × 95/50	0,267	0,084	4 × 95	0,274	0,086
3 × 120/70	0,264	0,083	4 × 120	0,270	0,085
3 × 150/70	0,267	0,084	4 × 150	0,274	0,086
3 × 185/95	0,264	0,083	4 × 185	0,270	0,085
3 × 240/120	0,262	0,082	4 × 240	0,269	0,084
3 × 300/150	0,260	0,081	4 × 300	0,267	0,084
3 × 400/185	0,256	0,080	4 × 400	0,264	0,083

Tabelul 8.44. Cabluri în manta cu trei conductoare de 0,6/1 ... 5,8/10 kV

Numărul și secțiunea conductoarelor mm <sup>2</sup>	0,6/1 kV		3,5/6 kV		5,8/10 kV	
	$L$	$X_L$	$L$	$X_L$	$L$	$X_L$
	mH/km	Ω/km	mH/km	Ω/km	mH/km	Ω/km
3 × 6	0,326	0,102	0,460	0,144	—	—
3 × 10	0,304	0,095	0,423	0,133	0,452	0,142
3 × 16	0,288	0,090	0,393	0,123	0,420	0,132
3 × 25	0,276	0,086	0,355	0,111	0,390	0,122
3 × 35	0,266	0,083	0,337	0,106	0,358	0,112
3 × 50	0,258	0,081	0,320	0,100	0,338	0,106
3 × 70	0,252	0,079	0,306	0,096	0,323	0,101
3 × 95	0,247	0,077	0,297	0,093	0,312	0,098
3 × 120	0,244	0,077	0,290	0,091	0,303	0,095
3 × 150	0,247	0,077	0,280	0,088	0,294	0,092
3 × 185	0,244	0,076	0,276	0,086	0,288	0,090
3 × 240	0,243	0,076	0,272	0,085	0,282	0,088
3 × 300	0,240	0,075	0,265	0,083	0,275	0,086
3 × 400	0,238	0,075	0,260	0,081	—	—

Tabelul 8.45 a. Cabluri ecranate de 3,5/6...5,8/10 kV

Numărul și secțiunea conductoarelor mm <sup>2</sup>	3,5/6 kV		5,8/10 kV	
	$L$	$X_L$	$L$	$X_L$
	mH/km	Ω/km	mH/km	Ω/km
3 × 10 re	0,425	0,134	0,455	0,143
3 × 16 re sau se	0,395	0,124	0,420	0,132
3 × 25 re sau se	0,370	0,116	0,390	0,123
3 × 35 re sau se	0,350	0,110	0,375	0,118
3 × 25 rm sau sm	0,355	0,111	0,375	0,118
3 × 35 rm sau sm	0,340	0,106	0,360	0,113
3 × 50 rm sau sm	0,320	0,100	0,340	0,107
3 × 70 rm sau sm	0,305	0,096	0,325	0,102
3 × 95 rm sau sm	0,295	0,092	0,310	0,098
3 × 120 rm sau sm	0,285	0,090	0,300	0,094
3 × 150 rm sau sm	0,280	0,088	0,295	0,092
3 × 185 rm sau sm	0,275	0,086	0,285	0,091
3 × 240 rm sau sm	0,270	0,084	0,280	0,088
3 × 300 rm sau sm	0,265	0,083	0,275	0,086

Tabelul 8.45 b. Cabluri ecranate de 8,7/15 kV...17,3/30 kV

Numărul și secțiunea conductoarelor	8,7/15 kV		11,6/20 kV		17,3/30 kV	
	$L$	$X_L$	$L$	$X_L$	$L$	$X_L$
	mH/km	Ω/km	mH/km	Ω/km	mH/km	Ω/km
3 × 16 re	0,470	0,148	—	—	—	—
3 × 25 re	0,440	0,138	0,470	0,148	—	—
3 × 35 re	0,415	0,130	0,445	0,140	0,490	0,154
3 × 50 rm sau sm	0,375	0,118	0,400	0,125	0,440	0,138
3 × 70 rm sau sm	0,355	0,111	0,380	0,119	0,415	0,130
3 × 95 rm sau sm	0,340	0,107	0,360	0,113	0,400	0,125
3 × 120 rm sau sm	0,330	0,103	0,350	0,110	0,385	0,121
3 × 150 rm sau sm	0,320	0,100	0,340	0,107	0,370	0,116
3 × 185 rm sau sm	0,310	0,097	0,330	0,103	0,360	0,113
3 × 240 rm sau sm	0,300	0,094	0,320	0,100	0,345	0,108
3 × 300 rm sau sm	0,295	0,092	0,310	0,097	0,335	0,105

Tabelul 8.46. Cabluri SL de 3,5/6...17,3/30 kV

Numărul și secțiunea conductoarelor mm <sup>2</sup>	3,5/6 kV		5,8/10 kV	
	$L$ mH/km	$X_L$ Ω/km	$L$ mH/km	$X_L$ Ω/km
3 × 6 re	0,545	0,171	—	—
3 × 10 re	0,500	0,157	0,525	0,165
3 × 16 re	0,465	0,146	0,485	0,152
3 × 25 re	0,430	0,136	0,450	0,142
3 × 35 re	0,410	0,129	0,425	0,134
3 × 35 rm	0,390	0,123	0,410	0,129
3 × 50 rm	0,370	0,116	0,385	0,121
3 × 70 rm	0,350	0,110	0,365	0,115
3 × 95 rm	0,340	0,107	0,355	0,111
3 × 120 rm	0,330	0,103	0,340	0,107
3 × 150 rm	0,320	0,100	0,330	0,104
3 × 185 rm	0,310	0,098	0,320	0,101
3 × 240 rm	0,305	0,095	0,315	0,099
3 × 300 rm	0,295	0,092	0,305	0,096

Tabelul 8.46 (continuare)

Numărul și secțiunea conductoarelor mm <sup>2</sup>	8,7/15 kV		11,6/20 kV		17,3/30 kV	
	$L$ mH/km	$X_L$ Ω/km	$L$ mH/km	$X_L$ Ω/km	$L$ mH/km	$X_L$ Ω/km
3 × 16 re	0,525	0,165	—	—	—	—
3 × 25 re	0,485	0,152	0,510	0,160	—	—
3 × 35 re	0,460	0,144	0,486	0,153	0,525	0,165
3 × 50 rm	0,420	0,132	0,440	0,138	0,475	0,149
3 × 70 rm	0,395	0,124	0,415	0,130	0,450	0,141
3 × 95 rm	0,380	0,119	0,400	0,125	0,430	0,135
3 × 120 rm	0,365	0,114	0,385	0,121	0,415	0,130
3 × 150 rm	0,355	0,111	0,370	0,116	0,400	0,125
3 × 185 rm	0,345	0,108	0,360	0,113	0,390	0,122
3 × 240 rm	0,330	0,103	0,345	0,108	0,375	0,118
3 × 300 rm	0,325	0,102	0,335	0,105	0,360	0,113
3 × 70 rm/v	0,400	0,125	0,420	0,132	0,455	0,143
3 × 95 rm/v	0,390	0,122	0,405	0,127	0,440	0,138
3 × 120 rm/v	0,380	0,119	0,395	0,124	0,425	0,133
3 × 150 rm/v	0,370	0,116	0,385	0,121	0,415	0,130
3 × 185 rm/v	0,355	0,111	0,375	0,118	0,400	0,125

Tabelul 8.47. Impedanța de secvență homopolară a cablurilor trifazate, la  $f = 50$  Hz

Cabluri de 5,8/10 kV, în manta (cupru)		Cabluri SL de 17,3/30 kV impregnate cu compound		Cabluri cu un conductor de 64/110 kV cu ulei	
Secțiune mm <sup>2</sup>	$Z_0$ Ω/km	Secțiune mm <sup>2</sup>	$Z_0$ Ω/km	Secțiune mm <sup>2</sup>	$Z_0$ Ω/mm
35	1,27 + j 1,76	95	1,2 + j 1,2	120	0,8 + j 0,31
70	1,15 + j 1,52	150	1,12 + j 1,0	185	0,7 + j 0,27
150	1,13 + j 1,12	240	1,03 + j 0,83	300	0,60 + j 0,24

Tabelul 8.48. Cabluri Protodur (pe bază de PVC) de tip NYY, NYCY, NYFGbY de  $U_0/U = 0,6/1$  kV. Inductanța  $L$  și reactanța inductivă  $X_L$  ( $f = 50$  Hz)

Numărul și secțiunea conductoarelor mm <sup>2</sup>	Conductoarele exterioare și de întoarcere <sup>1)</sup>			
	$L$ mH/km	$X_L$ Ω/km	$L$ mH/km	$X_L$ Ω/km
2 × 1,5 re	0,69	0,217	0,77	0,242
2 × 2,5 re	0,66	0,207	0,74	0,232
2 × 4 re	0,64	0,201	0,71	0,223
2 × 6 re	0,60	0,189	0,66	0,207
2 × 10 re	0,56	0,176	0,62	0,195
2 × 10 rm	0,54	0,17	0,60	0,189
2 × 16 re	0,53	0,167	0,59	0,185
2 × 16 rm	0,51	0,16	0,57	0,179
2 × 25 rm	0,51	0,16	0,57	0,179
2 × 35 rm	0,49	0,154	0,55	0,173
2 × 50 rm	0,49	0,154	0,54	0,17
2 × 70 rm	0,47	0,148	0,53	0,167
2 × 95 rm	0,47	0,148	0,52	0,163
2 × 120 rm	0,46	0,145	0,51	0,16
2 × 150 rm	0,46	0,145	0,51	0,16
2 × 185 rm	0,46	0,145	0,51	0,16
2 × 240 rm	0,46	0,145	0,51	0,16
2 × 300 rm	0,46	0,145	0,51	0,16
2 × 400 rm	0,45	0,141	0,51	0,16
Un singur conductor <sup>1)</sup>				
3 × 1,5 re	0,345	0,108	0,385	0,121
3 × 2,5 re	0,33	0,104	0,37	0,116
3 × 4 re	0,32	0,10	0,355	0,111
3 × 6 re	0,30	0,094	0,33	0,104
3 × 10 re	0,28	0,088	0,31	0,097
3 × 16 re	0,265	0,083	0,295	0,093
3 × 25 rm	0,255	0,080	0,285	0,090
3 × 35 rm sau sm	0,245	0,077	0,275	0,086
3 × 50 rm sau sm	0,245	0,077	0,27	0,085
3 × 70 rm sau sm	0,235	0,074	0,265	0,083
3 × 95 rm sau sm	0,235	0,074	0,26	0,082
3 × 120 rm sau sm	0,23	0,072	0,255	0,080
3 × 150 rm sau sm	0,23	0,072	0,255	0,080
3 × 185 rm sau sm	0,23	0,072	0,255	0,080
3 × 240 rm sau sm	0,23	0,072	0,255	0,080
3 × 300 rm sau sm	0,23	0,072	0,255	0,080
3 × 400 rm sau sm	0,225	0,071	0,255	0,080

1) În cazul cînd întoarcerea se realizează prin conductorul concentric, (v.pag. 544) la „Două conductoare și conductor concentric” și „Treie conductoare și conductor concentric”.

Tabelul 8.49. Cabluri Protodur (pe bază de PVC) de tip NYCY cu conductor concentric de  $U_0/U = 0,6/1$  kV  
Inductanța  $L$  și reactanța inductivă  $X_L$  ( $f = 50$  Hz) între un conductor de nul sau de protecție

Numărul și secțiunea conductoarelor			Numărul și secțiunea conductoarelor			Numărul și secțiunea conductoarelor		
$L$	$X_L$		$L$	$X_L$		$L$	$X_L$	
mm <sup>2</sup>	mH/km	Ω/km	mm <sup>2</sup>	mH/km	Ω/km	mm <sup>2</sup>	mH/km	Ω/km
Un singur conductor și un con- ductor concentric			Două conductoare și un conductor concentric			Trei conductoare <sup>1)</sup> și un conductor concentric.		
1 × 1,5 re/1,5	0,29	0,091	2 × 1,5 re/1,5	0,39	0,122	3 × 1,5 re/1,5	0,34	0,107
1 × 2,5 re/2,5	0,25	0,079	2 × 2,5 re/2,5	0,37	0,166	3 × 2,5 re/2,5	0,33	0,104
1 × 4 re/4	0,22	0,069	2 × 4 re/4	0,35	0,110	3 × 4 re/4	0,32	0,10
1 × 6 re/6	0,21	0,066	2 × 6 re/6	0,33	0,109	3 × 6 re/6	0,30	0,094
1 × 10 re/10	0,18	0,057	2 × 10 re/10	0,31	0,098	3 × 10 re/10	0,28	0,088
1 × 16 re/16	0,17	0,053	2 × 16 re/16	0,29	0,091	3 × 16 re/16	0,26	0,082
1 × 25 rm/16	0,12	0,038	2 × 25 rm/16	0,28	0,088	3 × 25 sm/16	0,25	0,079
1 × 35 rm/16	0,12	0,038	2 × 35 rm/16	0,26	0,082	3 × 35 sm/16	0,24	0,075
1 × 50 rm/25	0,11	0,035	2 × 50 rm/25	0,26	0,082	3 × 50 sm/25	0,24	0,075
1 × 70 rm/35	0,11	0,035	2 × 70 rm/35	0,26	0,082	3 × 70 sm/35	0,24	0,075
1 × 95 rm/50	0,11	0,035	2 × 95 rm/50	0,26	0,082	3 × 95 sm/50	0,24	0,075
1 × 120 rm/70	0,10	0,031	2 × 120 rm/70	0,26	0,082	3 × 120 sm/70	0,23	0,072
1 × 150 rm/70	0,10	0,031	2 × 150 rm/70	0,26	0,082	3 × 150 sm/70	0,23	0,072
1 × 185 rm/95	0,10	0,031	2 × 185 rm/95	0,26	0,082	3 × 185 sm/95	0,23	0,072
1 × 240 rm/120	0,10	0,031	2 × 240 rm/120	0,26	0,082	3 × 240 sm/120	0,23	0,072
1 × 300 rm/150	0,10	0,031	2 × 300 rm/150	0,26	0,082			
1 × 400 rm/185	0,10	0,031	2 × 400 rm/185	0,26	0,082			
1 × 500 rm/240	0,10	0,031						

<sup>1)</sup> Valabil de la secțiunea de 25 mm<sup>2</sup> și pentru cabluri cu conductoare rm.

Tabelul 8.50. Cabluri Protodur (pe bază de PVC) de  $U_0/U = 3,5/6$  kV,  $U_0/U = 5,8/10$  kV,  $U_0/U = 8,7/15$  kV  
și  $U_0/U = 11,6/20$  kV. Inductanța  $L$  și reactanța inductivă  $X_L$  ( $f = 50$  Hz)

Numărul și secțiunea con- ductoarelor  mm <sup>2</sup>	NYFGbY		NYCEY <sup>1)</sup>		Numărul și secțiunea conductoare- lor  mm <sup>2</sup>	YHFGbY			
	$U_0/U = 3,5/6$ kV		$U_0/U = 5,8/10$ kV			$U_0/U = 8,7/15$ kV		$U_0/U = 11,6/20$ kV	
	$L$	$X_L$	$L$	$X_L$		$L$	$X_L$	$L$	$X_L$
	mH/km	$\Omega$ /km	mH/km	$\Omega$ /km		mH/km	$\Omega$ /km	mH/km	$\Omega$ /km
3 × 6 re	0,475	0,149	—	—	3 × 16 rm	0,48	0,151	—	—
3 × 10 re	0,435	0,137	0,45	0,142	3 × 25 rm	0,445	0,140	0,47	0,148
3 × 16 re	0,40	0,126	0,415	0,131	3 × 35 rm	0,425	0,134	0,45	0,141
3 × 25 rm	0,365	0,115	0,37	0,117	3 × 50 rm	0,40	0,126	0,42	0,132
3 × 35 rm sau sm	0,35	0,110	0,355	0,111	3 × 70 rm	0,375	0,118	0,395	0,124
3 × 50 rm sau sm	0,33	0,104	0,33	0,104	3 × 95 rm	0,36	0,113	0,38	0,119
3 × 70 rm sau sm	0,315	0,099	0,315	0,099	3 × 120 rm	0,35	0,110	0,365	0,115
3 × 95 rm sau sm	0,31	0,197	0,30	0,095	3 × 150 rm	0,335	0,105	0,35	0,110
3 × 120 rm sau sm	0,30	0,094	0,29	0,092	3 × 185 rm	0,325	0,102	0,34	0,107
3 × 150 rm sau sm	0,29	0,091	0,285	0,089	3 × 240 rm	0,315	0,099	0,33	0,104
3 × 185 rm sau sm	0,285	0,090	0,275	0,087	3 × 300 rm	0,305	0,096	0,32	0,10
3 × 240 rm sau sm	0,28	0,088	0,265	0,084	3 × 400 rm	0,295	0,093	0,31	0,097
3 × 300 rm sau sm	0,275	0,086	0,26	0,082					
3 × 400 rm sau sm	0,265	0,083	0,25	0,079					

<sup>1)</sup> Numai conductoare rotunde.

Capacitatea, momentul de încărcare și curentul de punere la pământ al cablurilor.

*Cabluri în manta.* Capacitatea cablurilor cu trei conductoare, în manta, se măsoară prin următoarele metode de legare;

- un conductor față de celelalte două conductoare și față de mantaua de plumb — capacitatea  $C'$ ;
- toate conductoarele legate împreună față de mantaua de plumb — capacitatea  $C''$ .

Mărima capacității din aceste două metode de legare se exprimă prin următoarele capacități parțiale:

$C_{10}$  conductor/mantaua de plumb (capacitatea parțială),  $C_{12}$  conductor/conductor, (capacitate de serviciu).

Mărima capacității:

$$C' = C_{10} + 2 C_{12} [\mu F/km];$$

$$C'' = 3 C_{10} [\mu F/km].$$

Deoarece  $C'$  și  $C''$  sint cunoscute pentru fiecare cablu din măsurări, se pot determina din cele de mai sus capacitățile parțiale  $C_{10}$  și  $C_{12}$  și cu ajutorul acestora se calculează capacitatea mutuală  $C$  — care este capacitatea unui cablu în manta la care cele trei conductoare sint legate la un sistem trifazat simetric fără nici o perturbare și a cărei manta de plumb este legată la pământ.

Capacitatea mutuală

$$C = C_{10} + 3 C_{12} [\mu F/km].$$

Următoarele formule se aplică pentru curentul de încărcare  $I_c$ , în A/km, la funcționarea trifazată simetrică și pentru curentul de punere la pământ  $I_p$ , în A/km, adică pentru curentul capacitiv care circulă printr-un punct de punere la pământ:

— curentul de încărcare

$$I_c = \frac{U}{\sqrt{3}} \omega C \cdot 10^{-3};$$

— curentul de punere la pământ

$$I_p = \sqrt{3} U \omega C_{10} \cdot 10^{-3}.$$

*Cabluri cu cîmp radial* (cabluri ecranate, cabluri cu un singur conductor, cabluri SL). În cazul acestor cabluri, capacitatea fiecărui conductor în raport cu ecranul de peste izolație este și capacitatea mutuală  $C$ .

Curentul de încărcare  $I_c$  pentru funcționarea trifazată simetrică și curentul de punere la pământ  $I_p$  se pot calcula cu ajutorul următoarelor formule pentru cabluri cu cîmp radial:

— curentul de încărcare:

$$I_c = \frac{U}{\sqrt{3}} \omega C \cdot 10^{-3},$$

în care  $U$  este tensiunea de lucru (între faze) a sistemului trifazat în kV;

— curentul de punere la pământ:

$$I_p = \sqrt{3} U \omega C \cdot 10^{-3}.$$

Tabelul 8.51. Capacitatea cablurilor în manta cu izolație de hirtie pentru  $U_0/U = 0,6/1 \text{ kV}^1$ 

Secțiunea conductoarelor	Capacitatea unui conductor față de celelalte și față de mantaua de plumb	Capacitatea tuturor conductoarelor față de mantaua de plumb	Capacitatea mutuală	Secțiunea conductoarelor	Capacitatea unui conductor față de celelalte și față de mantaua de plumb	Capacitatea tuturor conductoarelor față de mantaua de plumb	Capacitatea mutuală
mm <sup>2</sup>	μF/km	μF/km	μF/km	mm <sup>2</sup>	μF/km	μF/km	μF/km
Cablul cu două conductoare				Cablul cu trei conductoare			
2 × 1,5 re	0,17	0,26	0,105	3 × 1,5 re	0,17	0,35	0,195
2 × 2,5 re	0,195	0,29	0,125	3 × 2,5 re	0,195	0,40	0,225
2 × 4 re	0,22	0,33	0,14	3 × 4 re	0,23	0,46	0,27
2 × 6 re	0,24	0,35	0,155	3 × 6 re	0,25	0,48	0,295
2 × 10 re	0,28	0,40	0,18	3 × 10 re	0,30	0,57	0,355
2 × 16 re	0,31	0,44	0,20	3 × 16 re	0,33	0,62	0,39
2 × 25 sm	0,49	0,67	0,325	3 × 16 se	0,43	0,74	0,52
2 × 35 sm	0,54	0,75	0,35	3 × 25 sm	0,46	0,81	0,56
2 × 50 sm	0,60	0,82	0,40	3 × 35 sm	0,52	0,93	0,63
2 × 70 sm	0,71	0,98	0,47	3 × 50 sm	0,68	1,2	0,82
2 × 95 sm	0,82	1,12	0,54	3 × 70 sm	0,75	1,28	0,91
2 × 120 sm	0,91	1,25	0,60	3 × 95 sm	0,85	1,42	1,04
				3 × 120 sm	0,96	1,68	1,16
				3 × 150 sm	0,93	1,69	1,11
				3 × 185 sm	1,0	1,73	1,21
				3 × 240 sm	0,98	1,73	1,18
				3 × 300 sm	1,08	1,97	1,29

<sup>1)</sup> Valorile capacităților cablurilor de  $U_0/U = 0,6/1 \text{ kV}$  trebuie să se considere având în vedere că ele prezintă o mare dispersie. Valorile indicate pentru cabluri cu trei conductoare se aplică aproximativ și pentru cabluri cu 3<sup>1</sup>/<sub>2</sub> și 4 conductoare.

Tabelul 8.52. Capacitatea, curentul de încărcare la sarcină trifazată simetrică și curentul de punere la pământ pentru cabluri în manta, cu izolație de hirtie, pentru  $U_0/U = 3,5/6 \text{ kV}$  până la  $U_0/U = 11,6/20 \text{ kV}$ 

Tensiune nominală	Secțiune	Capacitatea unui conductor față de celelalte și față de mantaua de plumb	Capacitatea tuturor conductoarelor față de mantaua de plumb	Capacitatea mutuală	Curentul de încărcare pe conductor	Curentul de punere la pământ
$U_0/U$	mm <sup>2</sup>	μF/km	μF/km	μF/km	A/km	A/km
3,5/6 kV	3 × 10 re	0,165	0,36	0,19	0,207	0,392
	3 × 16 re	0,19	0,42	0,215	0,234	0,457
	3 × 25 re	0,22	0,46	0,255	0,278	0,500
	3 × 25 se	0,24	0,50	0,275	0,300	0,545
	3 × 35 se	0,28	0,55	0,33	0,360	0,600
	3 × 25 sm	0,25	0,53	0,285	0,311	0,577
	3 × 35 sm	0,28	0,56	0,33	0,360	0,610
	3 × 50 sm	0,33	0,66	0,385	0,420	0,720
	3 × 70 sm	0,38	0,76	0,44	0,480	0,830

Tabelul 8.52 (continuare)

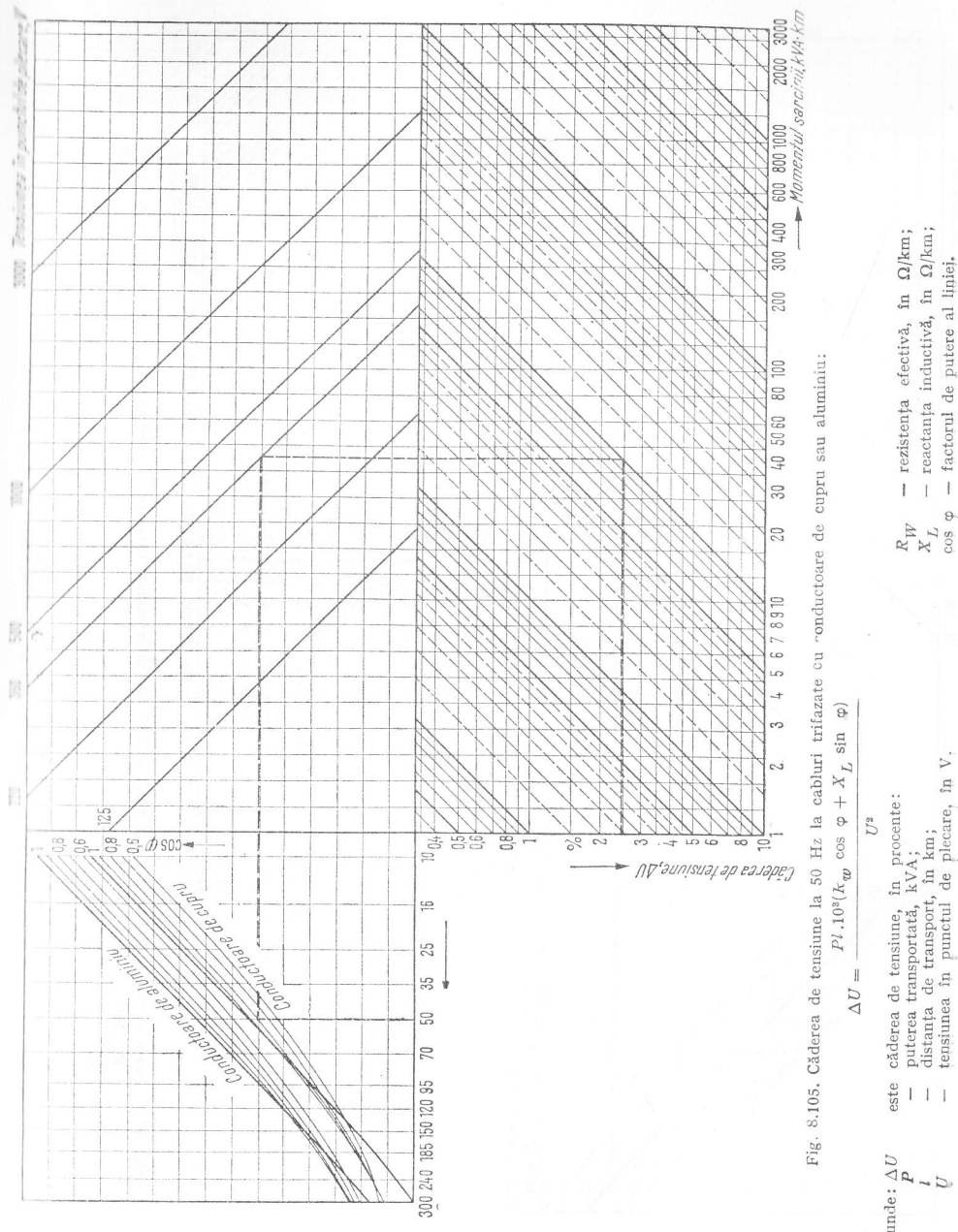
Tensiune nominală	Secțiune	Capacitatea unui conductor față de celelalte și față de mantaua de plumb	Capacitatea tuturor conductoarelor față de mantaua de plumb	Capacitatea mutuală	Curentul de încărcare pe conductor	Curentul de punere la pământ
$U_0/U$	mm <sup>2</sup>	μF/km	μF/km	μF/km	A/km	A/km
3,5/6 kV	3 × 95 sm	0,40	0,78	0,47	0,512	0,850
	3 × 120 sm	0,47	0,92	0,55	0,600	1,000
	3 × 150 sm	0,50	1,00	0,58	0,630	1,090
	3 × 185 sm	0,56	1,08	0,66	0,720	1,180
	3 × 240 sm	0,61	1,21	0,71	0,775	1,320
	3 × 300 sm	0,63	1,24	0,74	0,805	1,350
5,8/10 kV	3 × 10 re	0,15	0,35	0,165	0,300	0,634
	3 × 16 re	0,175	0,38	0,20	0,362	0,687
	3 × 25 re	0,20	0,41	0,23	0,416	0,745
	3 × 25 sm	0,225	0,47	0,26	0,470	0,850
	3 × 35 sm	0,25	0,52	0,29	0,525	0,940
	3 × 50 sm	0,30	0,61	0,35	0,634	1,100
	3 × 70 sm	0,33	0,67	0,385	0,700	1,210
	3 × 95 sm	0,37	0,75	0,43	0,780	1,360
	3 × 120 sm	0,39	0,78	0,46	0,833	1,410
	3 × 150 sm	0,46	0,93	0,54	0,980	1,690
	3 × 185 sm	0,48	0,97	0,56	1,010	1,760
	3 × 240 sm	0,57	1,14	0,67	1,210	2,060
	3 × 300 sm	0,59	1,18	0,69	1,250	2,130
8,7/15 kV	3 × 16 re	0,14	0,32	0,155	0,426	0,87
	3 × 25 re	0,155	0,35	0,175	0,476	0,95
	3 × 35 re	0,17	0,38	0,19	0,517	1,03
	3 × 50 sm	0,21	0,47	0,235	0,640	1,28
	3 × 70 sm	0,23	0,50	0,26	0,705	1,36
	3 × 95 sm	0,26	0,56	0,30	0,815	1,52
	3 × 120 sm	0,28	0,61	0,32	0,870	1,66
	3 × 150 sm	0,31	0,66	0,355	0,970	1,80
	3 × 185 sm	0,33	0,70	0,38	1,030	1,90
	3 × 240 sm	0,36	0,76	0,41	1,120	2,07
11,6/20 kV	3 × 25 re	0,145	0,33	0,165	0,590	1,20
	3 × 35 re	0,16	0,36	0,18	0,652	1,31
	3 × 50 re	0,175	0,39	0,20	0,725	1,42
	3 × 70 sm	0,21	0,46	0,24	0,870	1,67
	3 × 95 sm	0,23	0,50	0,26	0,943	1,81
	3 × 120 sm	0,25	0,54	0,29	1,050	1,96
	3 × 150 sm	0,27	0,58	0,31	1,120	2,10
	3 × 185 sm	0,29	0,62	0,33	1,200	2,25
	3 × 240 sm	0,32	0,69	0,37	1,340	2,50



Tabelul 8.53. Capacitatea, curentul de încărcare la sarcină trifazată simetrică și curentul de punere la pământ pentru cabluri cu cimp radial, cu izolație de hirtie, pentru  $U_0/U = 3,5/6$  pînă la  $U_0/U = 17,3/30$  kV (cabluri ecranate, cabluri SL și cabluri monofilare)

Tensiunea nominală	Secțiune	Capacitatea pe conductor	Curentul de încărcare pe conductor	Curentul de punere la pământ	Tensiunea nominală	Secțiune	Capacitatea pe conductor	Curentul de încărcare pe conductor	Curentul de punere la pământ
$U_0/U$	mm <sup>2</sup>	μF/km	A/km	A/km	$U_0/U$	mm <sup>2</sup>	μF/km	A/km	A/km
3,5/6 kV	3 × 6 re	0,20	0,22	0,66	8,7/15 kV	3 × 185 rm	0,57	1,55	4,65
	3 × 10 re	0,23	0,25	0,75		3 × 240 rm	0,64	1,74	5,22
	3 × 16 re sau se	0,27	0,29	0,87		3 × 300 rm	0,70	1,90	5,70
	3 × 25 re sau se	0,32	0,35	1,05		3 × 70 rm/v	0,38	1,03	3,09
	3 × 35 re sau se	0,36	0,39	1,17		3 × 95 rm/v	0,41	1,12	3,36
	3 × 25 rm sau sm	0,335	0,37	1,11		3 × 120 rm/v	0,44	1,20	3,60
	3 × 35 rm sau sm	0,38	0,41	1,23		3 × 150 rm/v	0,48	1,31	3,93
	3 × 50 rm sau sm	0,44	0,48	1,44		3 × 185 rm/v	0,52	1,42	4,26
	3 × 70 rm sau sm	0,50	0,54	1,62		3 × 25 re	0,22	0,80	2,40
	3 × 95 rm sau sm	0,565	0,61	1,83		3 × 35 re	0,245	0,89	2,67
	3 × 120 rm sau sm	0,625	0,68	2,04		3 × 35 rm	0,265	0,96	2,88
	3 × 150 rm sau sm	0,69	0,75	2,25		3 × 50 rm	0,30	1,09	3,27
	3 × 185 rm sau sm	0,76	0,83	2,50		3 × 70 rm	0,335	1,22	3,66
	3 × 240 rm sau sm	0,86	0,93	2,80		3 × 95 rm	0,37	1,34	4,02
	3 × 300 rm sau sm	0,95	1,03	3,10		3 × 120 rm	0,405	1,47	4,40
						3 × 150 rm	0,445	1,61	4,83
						3 × 185 rm	0,48	1,74	5,22
						3 × 240 rm	0,53	1,89	5,67
5,8/10 kV	3 × 10 re	0,205	0,37	1,11	11,6/20 kV	3 × 300 rm	0,58	2,10	6,30
	3 × 16 re	0,24	0,44	1,32		3 × 70 rm/v	0,325	1,18	3,54
	3 × 25 re	0,275	0,50	1,50		3 × rm/v f	0,35	1,27	3,81
	3 × 35 re	0,315	0,57	1,71		3 × rm/v f	0,375	1,36	4,08
	3 × 25 rm	0,29	0,53	1,60		3 × rm/v f	0,405	1,47	4,41
	3 × 35 rm	0,325	0,59	1,77		3 × rm/v f	0,44	1,60	4,80
	3 × 50 rm	0,375	0,68	2,04		3 × 35 re	0,20	1,08	3,24
	3 × 70 rm	0,43	0,78	2,35		3 × 35 rm	0,21	1,14	3,42
	3 × 95 rm	0,48	0,87	2,60		3 × 50 rm	0,24	1,31	3,93
	3 × 120 rm	0,53	0,96	2,88		3 × 70 rm	0,265	1,45	4,35
	3 × 150 rm	0,58	1,05	3,15		3 × 95 rm	0,295	1,60	4,80
	3 × 185 rm	0,635	1,15	3,45		3 × 120 rm	0,32	1,74	5,22
	3 × 240 rm	0,715	1,30	3,90		3 × 150 rm	0,345	1,88	5,65
	3 × 300 rm	0,79	1,43	4,30		3 × 185 rm	0,37	2,02	6,05
						3 × 240 rm	0,41	2,23	6,70
						3 × 300 rm	0,45	2,45	7,35
						3 × 70 rm/v	0,26	1,41	4,23
8,7/15 kV	3 × 16 re	0,225	0,61	1,83	17,3/30 kV	3 × rm/v f	0,275	1,50	4,50
	3 × 25 re	0,255	0,69	2,07		3 × rm/v f	0,295	1,60	4,80
	3 × 35 re	0,28	0,76	2,28		3 × rm/v f	0,32	1,74	5,22
	3 × 35 rm	0,305	0,83	2,50		3 × rm/v f	0,34	1,85	5,55
	3 × 50 rm	0,35	0,95	2,85					
	3 × 70 rm	0,395	1,07	3,20					
	3 × 95 rm	0,44	1,20	3,60					
	3 × 120 rm	0,48	1,30	3,90					
	3 × 150 rm	0,525	1,43	4,30					

Notă. Pentru cablurile conductoare împletite, care au un înveliș de hirtie metalizată peste izolație, valorile la  $U_0/U = 3,5/6$  și la  $U_0/U = 5,8/10$  kV se vor majora cu 3%.



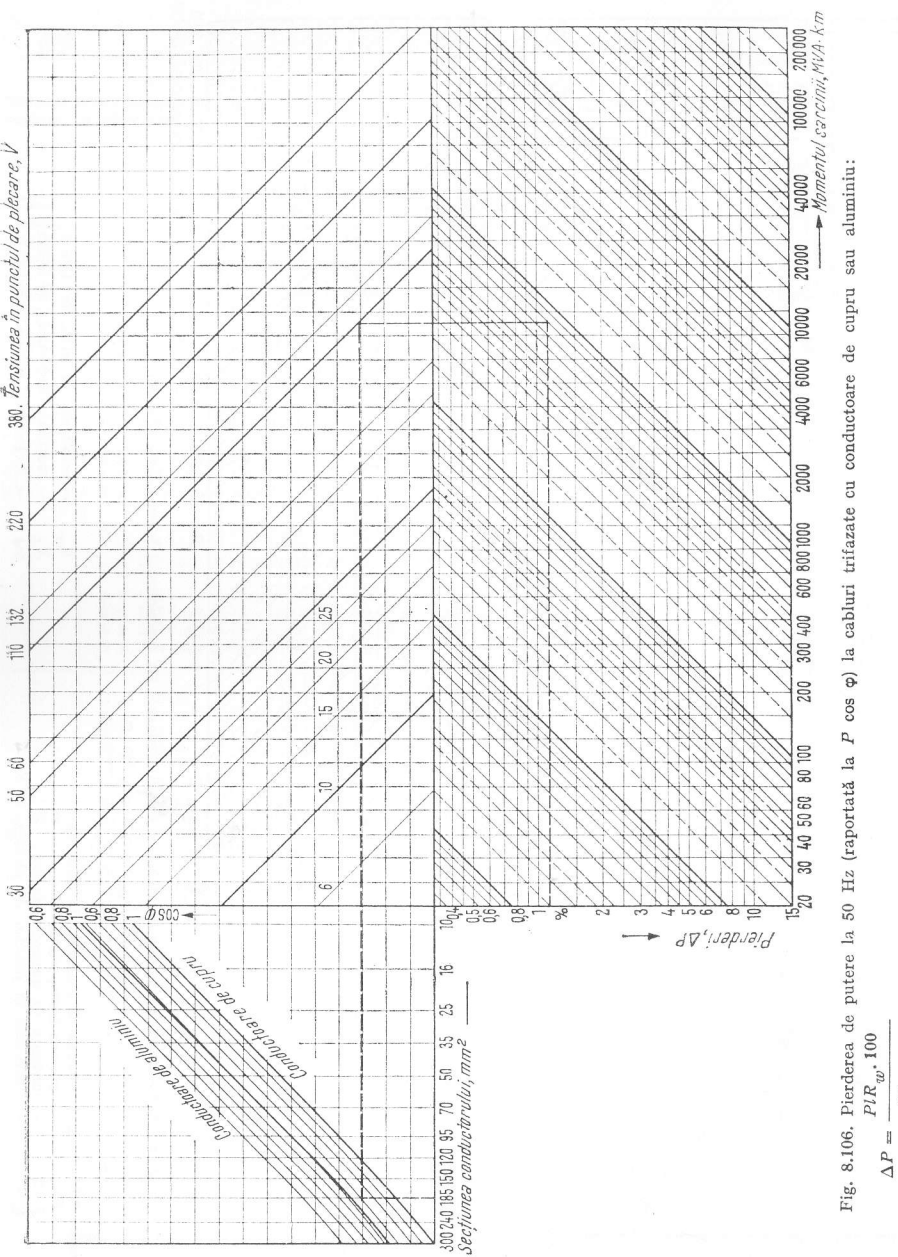


Fig. 8.106. Pierdere de putere la 50 Hz (raportată la  $P \cos \varphi$ ) la cabluri trifazate cu conductoare de cupru sau aluminiu:

$\Delta P = \frac{P I^2 R_w}{100}$   
 $\Delta P = \frac{U^2 \cos \varphi}{P}$

unde:  $\Delta P$  este pierderea de putere, în %;  
 $P$  puterea transportată, în MVA;  
 $I$  distanța de transport, în km;

## 8.8. LINII ELECTRICE AERIENE

### 8.8.1. Caracteristici mecanice

#### Isolatoare și conductoare

Tabelul 8.54. Isolatoare cu inima plină de tip VK, în special pentru medie tensiune. Isolatoare tip tijă LP și LG.

Tipul	Sarcina meca- nică medie de ru- pere	Sarcina maxi- mă de lucru	Efortul de în- cercare meca- nică curentă	Lungi- mea liniei de fugă	Greu- tate	Dia- metr- ul miezu- lui izo- latoru- lui	Număr de ari- pioare	Lungi- mea totală	Montat cu	
	Mgf	Mgf	Mgf	cm	kgf	mm		mm	nucă, cu di- mensi- unea	bolț pentru articu- lații cu dimen- siunea
Isolatoare cu inimă plină, tip VK										
VK 60/2	5,5	1,37	3	45	6,5	60	2	230	11	—
VK 75/2	10	2,5	5,5	57	12,5	75	2	300	16	
Isolatoare tijă tip LP										
LP 60/5/380	5,5	1,37	3,8	50	7	60	5	380	11	—
LP 60/5/390	6,7	1,67	4,7	50	7,5	60	5	390	16	
LP 60/7/490	6,7	1,67	4,7	70	8	60	7	490	16	
LP 75/14/860 <sup>1)</sup>	12,0	3	8,4	150	20	75	14	860	16	
LP 75/22/1240 <sup>2)</sup>	12,0	3	8,4	230	28	75	22	1240	16	—
LP 85/14/900 <sup>1)</sup>	15,0	3,75	10,5	150	27	85	14	900	20	
LP 85/22/1280 <sup>2)</sup>	15,0	3,75	10,5	230	36	85	22	1280	20	
LP 75/17/860	12,0	3	8,4	180	22	75	17 <sup>3)</sup>	860	16	
LP 75/27/1240	12,0	3	8,4	285	31	75	27 <sup>3)</sup>	1240	16	—
LP 85/17/900	15,0	3,75	10,5	180	30	85	17 <sup>3)</sup>	900	20	
LP 85/27/1280	15,0	3,75	10,5	285	40	85	27 <sup>3)</sup>	1280	20	
Isolatoare tijă tip LG										
LG 60/5/400	5,5	1,37	3,8	50	7	60	5	400		13
LG 60/5/420	6,7	1,67	4,7	50	7,5	60	5	420		19
LG 60/7/520	6,7	1,67	4,7	70	8	60	7	520		19
LG 75/14/900 <sup>1)</sup>	12	3	8,4	150	20	75	14	900	—	19
LG 75/22/1270 <sup>2)</sup>	12	3	8,4	230	28	75	22	1270		19
LG 85/14/920 <sup>1)</sup>	15	3,75	10,5	150	27	85	14	920		19
LG 85/22/1300 <sup>2)</sup>	15	3,75	10,5	230	36	85	22	1300		19
LG 75/17/900	12	3	8,4	180	22	75	17 <sup>3)</sup>	900		19
LG 75/27/1270	12	3	8,4	285	31	75	27 <sup>3)</sup>	1270	—	19
LG 85/17/920	15	3,75	10,5	180	30	85	17 <sup>3)</sup>	920		19
LG 85/27/1300	15	3,75	10,5	285	40	85	27 <sup>3)</sup>	1300		19

<sup>1)</sup> Se pot folosi și izolatoare cu 9 aripioare.

<sup>2)</sup> Se pot folosi și izolatoare cu 14 aripioare.

<sup>3)</sup> Pentru exploatarea în zone cu condiții nefavorabile (număr de elemente mărit, cu același diametru și aceeași lungime totală).

Tabelul 8.55. Izolatoare suport N și St

Pentru tensiuni nominale sub 1 kV			Pentru tensiuni nominale peste 1 kV		
Tipul	Valoarea medie a sarcinii de rupere Mgf	Greutate ≈ kgf	Tipul	Valoarea medie a sarcinii de rupere Mgf	Greutate ≈ kgf
N 95 cu o rilă .....	1,8	0,55	St 10 St 15	1,25 1,25	1,5 2,3
N 95/2 cu două rile ....	1,8	0,60	St 20 St 30	1,50 1,50	3,4 6,5

Tabelul 8.56. Sarcinile admisibile pentru suporturile izolatoarelor

Tipul izolatoarelor	Suport drept	Forța orizontală kgf	Greutate ≈ kgf	Suport curb	Forța orizontală $F_h$ în funcție de forța verticală $F_v$		Greutate kgf
					$F_{vmax}$ kgf	$F_{omax}$ kgf	

Pentru joasă tensiune

N 95 și N 95/2	SG 95	450	0,6	SBV E 95 SBV D 230/95 SBV D 300/95	110	160	2,17 2,70 2,88
-------------------	-------	-----	-----	--	-----	-----	----------------------

Pentru înaltă tensiune

St 10, St 15	SGZ 10/15	125	1,2	SBE 10/15 SBD 10/15	75	65	2,5 3,9
St 20	SGZ 20	145	1,57	SBE 20 SBD 20	108	55	3,6 4,85
St 30	SGZ 30	165	2,45	SBD 30	117	90	7,85
St 10, St 15 St 20 St 30	SGK 10/15 SGK 20 SGK 30	300 365 420	1,65 2,1 2,45				

Semnificația notațiilor: SG — suport drept; SGZ — suport drept cu extremitatea cilindrică; SGK — suport drept cu extremitate conică; SB — suport curb, cu indicațiile literale: V — cu lungime mărită și întărită; D — pentru folosire ca izolator de trecere; E — pentru fixare prin înșurubare; M — pentru fixare la zidărie.

Tabelul 8.57. Corelarea izolatoarelor de tip suport, cu inimă plină și tijă pentru tensiuni peste 1 kV

Tensiune kV	Numărul de elemente pentru diferite condiții de lucru		
	normale	nefavorabile	foarte nefavorabile
Izolatoare suport ST			
3	1 element St 10	1 element St 10	1 element St 10
6	1 element St 10	1 element St 10	1 element St 20
10	1 element St 10	1 element St 10	1 element St 30
15	1 element St 20	1 element St 20	1 element St 30
20	1 element St 20	1 element St 30	1)
30	1 element St 30	1)	1)

Izolatoare cu inimă plină VK

10	1 element VK 60/2	1 element VK 60/2	1 element VK 60/2
15	1 element VK 60/2	1 element VK 60/2	1 element VK 75/2
20	1 element VK 60/2	1 element VK 75/2	1 element VK 75/2
30	1 element VK 75/2	2 elemente VK 60/2	2 elemente VK 60/2
45	2 elemente VK 60/2	2 elemente VK 75/2	3 elemente VK 75/2
60	2 elemente VK 75/2	3 elemente VK 75/2	4 elemente VK 75/2
110	4 elemente VK 75/2	5 elemente VK 75/2	6 elemente VK 75/2
150	6 elemente VK 75/2	7 elemente VK 75/2	8 elemente VK 75/2

1) Sînt necesare măsuri speciale sau se folosesc izolatoare tip lanț.

Tabelul 8.58. Izolatoare tip tijă LP și LG

Tensiune kV	Număr de elemente pentru diferite condiții de lucru			
	normale	mai puțin favorabile	nefavorabile	foarte favorabile
15	1 element 60/50	1 element 60/5	1 element 60/5	
20	1 element 60/5	1 element 60/5	1 element 60/7	
30	1 element 60/5	1 element 60/7	2 elemente 60/5	
45	2 elemente 60/5	1 element 60/5 și 1 element 60/7	2 elemente 60/7	
60	1 element 75/9	1 element 75/14	1 element 75/17	1 element 75/22
110	1 element 75/22	1 element 75/27	2 elemente 75/14	2 elemente 75/17
150	2 elemente 75/14	2 elemente 75/17	1 element 75/14	1 element 75/17
			și 1 element 75/22	și 1 element 75/27
220	2 elemente 75/22	2 elemente 75/27	2 elemente 75/22	3 elemente 75/22
380	2 elemente 75/22	3 elemente 75/22	1 element 75/14 și 3 elemente 75/27	75/22 3 elemente 75/22
	și 1 element 75/14			și 1 element 75/14

Notă. Valorile indicate pentru miezuri cu diametrul de 75 mm se aplică și în cazul miezurilor cu diametrul de 85 mm.

Tabelul 8.59. Conductoare de cupru, aluminiu și oțel utilizate în R.S.R.

Material	Secțiune		Fire		Diametrul conductorului; valoare nominală mm <sup>2</sup>	Greutatea conductorului kgf/km
	valoare nominală mm <sup>2</sup>	valoare calculată mm <sup>2</sup>	număr	diametru mm		
Cupru	10	9,73	7	1,33	4,0	89
	16	15,54	7	1,68	5,0	142
	25	24,50	7	2,11	6,3	224
	35	33,81	7	2,49	7,5	309
	35	34,01	19	1,51	7,5	312
	50	48,83	19	1,81	9,0	448
	70	68,40	19	2,14	10,7	628
	95	91,77	19	2,49	12,5	842
	120	117,29	37	2,01	14,1	1078
	150	145,78	37	2,27	15,7	1339
	185	178,71	37	2,49	17,4	1642
	240	236,06	37	2,85	19,9	2169
	240	234,24	61	2,21	19,9	2153
	300	292,19	61	2,47	22,2	2686
Aluminiu	16	15,89	7	1,7	5,1	44
	25	24,25	7	2,1	6,3	67
	35	34,36	7	2,5	7,5	94
	50	49,48	7	3,0	9,0	135
	50	48,36	19	1,8	9,0	133
	70	65,82	19	2,1	10,5	181
	95	93,27	19	2,5	12,5	256
	120	117,00	19	2,8	14,0	322
	150	147,10	37	2,25	15,7	406
	185	181,60	37	2,5	17,5	511
	240	242,50	61	2,25	20,2	670
	300	299,40	61	2,50	22,5	827
	400	400,10	61	2,89	26,0	1105
Oțel	10	10,0	7	1,35	4,0	80
	16	15,9	7	1,70	5,1	128
	25	24,2	7	2,10	6,3	194
	35	34,4	7	2,50	7,5	275
	50	49,5	7	3,00	9,0	396
	50	48,3	19	1,80	9,0	389
	70	65,8	19	2,10	10,5	528
	95	93,3	19	2,50	12,5	751
	120	117,0	19	2,80	14,0	941
	95	94,0	37	1,80	12,6	759
	120	116,2	37	2,00	14,7	936
	150	147,1	37	2,25	15,8	1187
	185	181,6	37	2,50	17,5	1465

Notă. Valorile cuprinse în acest tabel sînt conform STAS 687-56, 3032-69 și 3734-60.

Tabelul 8.60. Constantele materialelor conductoare

Denumirea	Rezistența la tracțiune de durată kgf/mm <sup>2</sup>	Rezistența de încercare kgf/mm <sup>2</sup>	Greutatea specifică γ kgf/cm <sup>3</sup>	Coeficientul de dilatare termică ε <sub>t</sub> 1/grad	Coeficientul de alungire elastică α cm <sup>2</sup> /kgf	Valori de calcul	
						$\frac{\alpha}{\epsilon_t}$	24 εt
Cupru .....	30	40	$8,9 \times 10^{-3}$	$1,7 \times 10^{-5}$	$\frac{1}{1,3 \times 10^6}$	0,0453	$4,08 \times 10^{-4}$
Bronz B I .....	40	50	$8,9 \times 10^{-3}$	$1,7 \times 10^{-5}$	$\frac{1}{1,3 \times 10^6}$	0,0453	$4,08 \times 10^{-4}$
Bronz Bz II .....	50	60	$8,65 \times 10^{-3}$	$1,66 \times 10^{-5}$	$\frac{1}{1,3 \times 10^6}$	0,0464	$3,98 \times 10^{-4}$
Bronz Bz III .....	62	70	$8,65 \times 10^{-3}$	$1,66 \times 10^{-5}$	$\frac{1}{1,3 \times 10^6}$	0,0464	$3,98 \times 10^{-4}$
Aluminiu .....	12	18 <sup>1)</sup>	$2,7 \times 10^{-3}$	$2,3 \times 10^{-5}$	$\frac{1}{0,56 \times 10^6}$	0,0778	$5,52 \times 10^{-4}$
Aldrey .....	24	30	$2,7 \times 10^{-3}$	$2,3 \times 10^{-5}$	$\frac{1}{0,60 \times 10^6}$	0,0725	$5,52 \times 10^{-4}$
Oțel Ol I .....	32	40	$7,8 \times 10^{-3}$	$1,23 \times 10^{-5}$	$\frac{1}{1,92 \times 10^6}$	0,0425	$2,95 \times 10^{-4}$
Oțel Ol II .....	56	70	$7,8 \times 10^{-3}$	$1,1 \times 10^{-5}$	$\frac{1}{1,96 \times 10^6}$	0,0465	$2,64 \times 10^{-4}$
Oțel Ol III .....	90	120	$7,8 \times 10^{-3}$	$1,1 \times 10^{-5}$	$\frac{1}{2,00 \times 10^6}$	0,0454	$2,64 \times 10^{-4}$
Oțel Ol IV .....	110	150	$7,8 \times 10^{-3}$	$1,1 \times 10^{-5}$	$\frac{1}{2,0 \times 10^6}$	0,0454	$2,64 \times 10^{-4}$
Al/OL 11,3:1 ....	2)		$3,2 \times 10^{-3}$	$2,09 \times 10^{-5}$	$\frac{1}{0,62 \times 10^6}$	0,0772	$5,02 \times 10^{-4}$
Al/Ol 7,7:1 .....	2)		$3,36 \times 10^{-3}$	$1,92 \times 10^{-5}$	$\frac{1}{0,72 \times 10^6}$	0,0724	$4,61 \times 10^{-4}$
Al/Ol 6:1 .....	2)		$3,5 \times 10^{-3}$	$1,85 \times 10^{-5}$	$\frac{1}{0,77 \times 10^6}$	0,0703	$4,44 \times 10^{-4}$
Al/Ol 4,3:1 .....	2)		$3,75 \times 10^{-3}$	$1,76 \times 10^{-5}$	$\frac{1}{0,83 \times 10^6}$	0,0685	$4,22 \times 10^{-4}$
Al/Ol 1,7:1 .....	2)		$4,66 \times 10^{-3}$	$1,49 \times 10^{-5}$	$\frac{1}{1,09 \times 10^6}$	0,0617	$3,58 \times 10^{-4}$
Al/Ol 1,4: 1 .....	2)		$4,91 \times 10^{-3}$	$1,43 \times 10^{-5}$	$\frac{1}{1,16 \times 10^6}$	0,0602	$3,43 \times 10^{-4}$

<sup>1)</sup> Cu diametrul conductorului 2,5 mm și mai mult 17 kgf/mm<sup>2</sup>.

<sup>2)</sup> Pentru conductoarele de oțel-aluminiu, rezistența la tracțiune de durată a conductorului trebuie să se ia de 0,9 x suma rezistențelor de tracțiune de durată a fiecăruia dintre materiale, ținînd seama de raportul secțiunilor de aluminiu față de cele de oțel.

Tabelul 8.61. Conductoare de oțel-aluminiu utilizate în R.S.R.

Secțiunea nominală	Inima de oțel			Mantaua de aluminiu			Conductor complet			Raportul secțiunilor
	Număr de fire	Diametrul firului	Secțiunea calculată a conductorului	Număr de fire	Diametrul firului	Secțiunea calculată a conductorului	Diametrul conductorului	Secțiunea conductorului	Greutate: valori medii	
mm <sup>2</sup>		mm	mm <sup>2</sup>		mm	mm <sup>2</sup>	mm	mm <sup>2</sup>	kgf/km	Al/OL
Construcția conductorului: NORMALĂ										
16/2,5	1	1,8	2,55	6	1,80	15,30	5,4	17,85	61,8	6
25/4	1	2,25	4,0	6	2,25	23,90	6,8	27,90	96,6	6
35/6	1	2,7	5,70	6	2,7	34,30	8,1	40,00	139,2	6
50/8	1	3,2	8,00	6	3,2	48,30	9,6	56,30	195,3	6
70/12	7	1,45	11,60	26	1,8	66,20	17,6	77,80	272,4	5,7
95/15	7	1,65	15,00	26	2,1	90,00	13,4	105,00	366,0	6
120/21	7	1,95	20,90	26	2,45	122,60	15,7	143,50	503,0	5,8
150/25	7	2,15	25,90	26	2,7	148,90	17,3	174,30	612,0	5,8
185/32	7	2,4	31,70	26	3,0	183,80	19,2	215,50	757,0	5,8
240/40	7	2,7	40,10	26	3,4	236,00	21,7	276,10	968,0	5,9
300/50	7	3,0	49,50	26	3,8	294,9	24,2	344,40	1205	6
400/75	19	2,25	75,5	28	4,24	395,2	28,2	470,70	1689	5,3
450/75	19	2,25	75,50	63	3,0	445,1	29,25	520,6	1828	5,9
680/85	19	2,4	85,9	54	4	678,6	36	764,5	2570	7,7
Construcția conductorului: ÎNTĂRITĂ										
95/55	7	3,2	56,3	12	3,2	96,5	16	152,8	712	1,7
120/28	7	2,25	27,8	30	2,25	119,4	15,75	147,2	549	4,3
150/36	7	2,55	35,7	30	2,55	153,3	17,85	189	705	4,3
185/43	7	2,8	43,10	30	2,8	184,8	19,6	227,9	650	4,3
240/56	7	3,2	56,20	30	3,2	241,2	22,4	217,4	1110	4,3
300/69	19	2,15	69	30	3,6	305,4	25,15	374,4	1390	4,5
400/85	19	2,4	85,90	30	4,1	395,6	28,4	481,5	1773	4,5
450/97	19	2,55	96,9	68	2,9	449	30,2	545,9	2016	4,6

Notă: Valorile indicate sînt luate din STAS 3000-69.

Tabelul 8.62. Eforturi de tracțiune maximă

Fire de cupru	12	kgf/mm <sup>2</sup>
Conductor de cupru	19	kgf/mm <sup>2</sup>
Conductor de bronz Bz I	24	kgf/mm <sup>2</sup>
Conductor de bronz Bz II	30	kgf/mm <sup>2</sup>
Conductor de bronz Bz III	35	kgf/mm <sup>2</sup>
Conductor de aluminiu	8	kgf/mm <sup>2</sup>
Conductor de aldreay	12	kgf/mm <sup>2</sup>
Conductor Al-OL 11,3:1	9,5	kgf/mm <sup>2</sup>
Conductor Al-OL 7,7:1	10,0	kgf/mm <sup>2</sup>
Conductor Al-OL 6:1	11,0	kgf/mm <sup>2</sup>
Conductor Al-OL 4,3:1	11,5	kgf/mm <sup>2</sup>
Conductor Al-OL 1,7:1	19,0	kgf/mm <sup>2</sup>
Conductor Al-OL 1,4:1	20,0	kgf/mm <sup>2</sup>
Conductor de oțel I	16	kgf/mm <sup>2</sup>
Conductor de oțel II	28	kgf/mm <sup>2</sup>
Conductor de oțel III	45	kgf/mm <sup>2</sup>
Conductor de oțel IV	55	kgf/mm <sup>2</sup>

Tabelul 8.63. Săgeata maximă, în cm, pentru conductoare de aluminiu. Efort maxim de tracțiune 6 kgf/mm<sup>2</sup>

Lungimea deschiderii m	Secțiunea, valoarea nominală, în mm <sup>2</sup>								
	16	25	35	50	70	95	120	150	185
10	11,6	11,6	11,6	11,6	11,6	11,6	11,6	11,6	11,6
20	25,4	25	25	25	25	25	25	25	25
30	55	44	39	39	39	39	39	39	39
40	96	75	63	54,5	54,5	54,5	54,5	54,5	54,5
50	149	115	95	82	72	72	72	72	72
60	214	164	134	114	100	89	89	89	89
70	260	222	180	152	132	116	108	106	106
80	374	288	234	195	169	147	137	128	126
90	472	364	295	244	210	182	168	158	149
100	588	448	362	299	256	220	220	188	178
110			436	361	307	262	240	222	210
120			518	427	363	308	282	260	244
130			607	499	423	357	326	300	283
140			703	577	488	412	374	332	320
150			806	662	558	470	426	390	363
160					633	531	480	441	407
170					712	596	540	491	457
180					797	666	602	547	505
190					886	741	667	606	559
200					980	818	736	668	616
210					1079	899	808	733	675
220					1183	985	844	800	735
230					1291	1073	964	871	800
240					1404	1167	1047	946	869
250					1522	1264	1133	1014	940
260							1223	1098	1013
270							1317	1185	1088
280							1414	1276	1165
290							1514	1369	1244
300							1618	1465	1325

Tabelul 8.64. Săgeata maximă, în cm, pentru conductoare Al-OL (Al/OL 6:1)  
Efort maxim de tracțiune 8 kgf/mm<sup>2</sup>

Lungimea deschiderii m	Secțiunea, valoarea nominală, în mm <sup>2</sup>											
	16/2,5	25/4	35/6	50/8	70/12	95/15	120/20	150/25	185/30	210/35	240/40	300/50
10	7,7	7,7	7,7	7,7	8,2	8,2	8,2	8,2	8,2	8,2	8,2	8,2
20	18	17,5	17,5	17,5	18,5	18,5	18,5	18,5	18,5	18,5	18,5	18,5
30	38	30	29	29	30,5	30,5	30,5	30,5	30,5	30,5	30,5	30,5
40	67,5	51	43	43	44	44	44	44	44	44	44	44
50	105	79	64	57	59	59	59	59	59	59	59	59
60	152	114	92	79	74	74	74	74	74	74	74	74
70	206	155	125	107	97	91	91	91	91	91	91	91
80	269	202	164	139	124	113	108	108	108	108	108	108
90	341	256	207	174	154	140	129	126	126	126	126	126
100	421	316	255	214	188	169	156	148	146	146	146	146
110	510	383	309	258	227	202	183	175	167	167	167	167
120	606	456	367	306	268	237	215	205	195	191	188	188
130		535	430	358	312	275	250	236	225	219	214	210
140		620	498	414	359	316	285	271	257	249	244	235
150		712	572	475	412	361	326	306	290	281	275	265



Tabelul 8.64 (continuare)

Lungimea deschiderii mm	Secțiunea, valoarea nominală, în mm²											
	16/2,5	25/4	35/6	50/8	70/12	95/12	120/20	150/25	185/30	210/35	240/40	300/50
160					465	409	365	344	325	315	308	296
170					523	459	409	385	363	351	342	328
180					586	512	455	428	403	389	379	363
190					651	569	504	473	445	429	418	399
200					720	628	556	521	489	472	459	437
210					792	690	611	571	536	517	502	477
220					868	756	668	624	585	563	547	519
230					949	824	727	678	635	613	593	563
240					1032	896	790	735	687	662	641	608
250					1118	969	854	796	742	714	692	656
260							921	858	800	769	744	704
270							991	921	859	825	799	755
280							1063	989	920	884	855	806
290							1138	1058	983	945	913	861
300							1215	1130	1049	1007	974	918
310											1036	976
320											1100	1035
330											1167	1098
340											1236	1161
350											1306	1226

## Formule pentru calculul săgeții

## Notații folosite

- $a$  — lungimea deschiderii, în cm;  
 $f$  — săgeata, în cm;  
 $\sigma$  — tensiunea în conductor, în kgf/cm²;  
 $\sigma_z$  — tensiunea în conductor la  $-5^\circ\text{C}$  și sarcină suplimentară, în kgf/cm²;  
 $g_c$  — greutatea conductorului, în kgf/cm;  
 $\gamma$  — greutatea conductorului, în kgf/cm³;  
 $\gamma_z$  — greutatea conductorului inclusiv sarcina suplimentară raportată la secțiunea nominală, în kgf/cm³;  
 $d$  — diametrul conductorului, în mm;  
 $q$  — secțiunea conductorului, în mm²;  
 $H$  — efortul de tracțiune orizontal, în kgf;  
 $V, (V_1 V_2)$  — componenta verticală a sarcinii, în kgf;  
 $E$  — modulul de elasticitate al materialului conductorului, în kgf/cm²;  
 $\epsilon$  — temperatura, în  $^\circ\text{C}$ ;  
 $\epsilon$  — coeficientul de dilatare termică al materialului conductorului pe grad

Greutatea conductorului cu sarcina suplimentară

$$\gamma_z = \gamma + \frac{0,18 \sqrt{d}}{q}$$

Normativele românești<sup>1)</sup> precizează sarcinile de chichiură prin grosimi ale depunerii. Greutatea conductorului cu sarcină suplimentară este:

$$\gamma_z = \gamma + 0,9 \frac{\pi b(b+d)}{q}$$

unde  $b$  este grosimea stratului de chichiură, variind între 13 mm și 30 mm în funcție de regiunea meteorologică a țării și de importanța, respectiv tensiunea liniei.

$$\text{Săgeata totală } f = \frac{a^2 \gamma}{8\sigma} \text{ sau } f = \frac{a^2 g}{8H}$$

Săgeata la  $-5^\circ\text{C}$  și sarcină suplimentară

$$f = \frac{a^2 \gamma_z}{8\sigma_z}$$

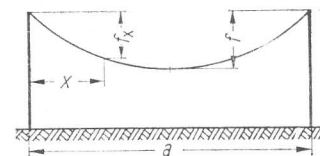
Ecuația de stare

$$\sigma_1^2 + \sigma_2^2 \left[ \frac{a^2 \gamma_1^2}{24\sigma_1^2} + (t_2 - t_1)\epsilon E - \sigma_1 \right] = \frac{a^2 \gamma_2^2 E}{24}$$

În locul valorilor  $\sigma_1, \gamma_1, t_1$  pentru starea de încărcare 1, sau  $\sigma_2, \gamma_2, t_2$  pentru starea de încărcare 2, în ecuație se pot folosi valorile  $\sigma_z$  și  $\gamma_z$  cu  $t = -5^\circ\text{C}$ .

Săgeata în orice punct sau deschidere, în cm

$$f_x = \frac{4f x(a-x)}{a^2}$$

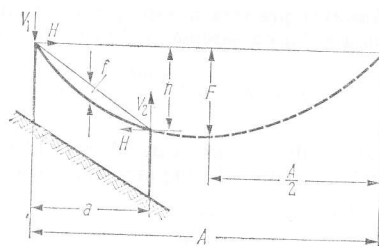


Săgeți la puncte de suspensie de înălțime diferită, în cm

$$A = a + \frac{2Hh}{ag} = a + \frac{ah}{4f}$$

$$F = f \left( 1 + \frac{h}{4f} \right)^2 = \frac{A^2 g}{8H}$$

<sup>1)</sup> Aceste indicații sînt prevăzute în normativul 1-L1-67, privind construcția liniilor electrice aeriene.

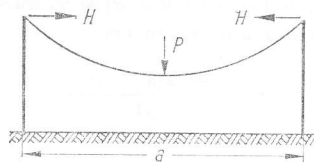


$$V_1 = \frac{A}{2} g_c; \quad V_2 = \left( \frac{A}{2} - a \right) g_c.$$

Formulele sînt valabile și cînd  $a > A/2$ . În acest caz  $V_2$  își schimbă semnul și acționează ca o presiune în jos.

*Săgeata în cazul sarcinii datorite greutateii conductorului și unei sarcini concentrate*  
 $P$  (sarcina de montaj, în kgf):

$$f = \frac{1}{H} \left( \frac{a^2 g}{8} + \frac{Pa}{4} \right).$$



*Calculul săgeții cu aceeași lungime de arc și diferite deschideri*

Se dă săgeata  $f_1$  la deschiderea  $a_1$ .

Se cere săgeata  $f_2$  la noua deschidere  $a_2$ , cu aceeași lungime a arcului

$$f_2^2 = f_1^2 \frac{a_2}{a_1} + \frac{3}{8} a_2 (a_1 - a_2).$$

Distanța dintre conductoare

Distanța minimă  $a$ , în m, dintre conductoare trebuie să fie

$$a = k\sqrt{f + l_K} + \frac{U_n}{150},$$

unde:  $l_k$  este lungimea lanțului de izolatoare, în m;

$k$  — coeficient în conformitate cu tabelul 8.65;

$f$  — săgeata maximă, în m;

$U_n$  — tensiunea nominală, în kV.

Tabelul 8.65 a. Distanțe și unghiuri de oscilație

Materialul conductoarelor	Cupru, bronz, oțel	Secțiune nominală mm <sup>2</sup>	10,16	25,35	50, 70, 95
	Aluminiu și aliaje de aluminiu	Secțiune nominală mm <sup>2</sup>	25, 35, 50, 70, 95, 120, 150	> 150	—
	Oțel-aluminiu	Secțiune nominală mm <sup>2</sup>	16/2,5 25/4 35/6 50/8 70/12	44/32 50/30 95/15 120/20 150/25 125/30	95/55 105/75 120/70 170/40 și mai mare conf. tab. 8.64

Unghiul de oscilație al conductorului la vânt	grade	peste 65°	peste 55° pînă la 65°	peste 40° pînă la 55°
Conductoare la aceeași înălțime, alăturate	coeficientul $k$	0,7	0,65	0,62
Conductoare la două sau mai multe înălțimi	coeficientul $k$	0,95	0,85	0,75
Dispoziția conductoarelor sub formă de triunghi echilateral	coeficientul $k$	0,75	0,70	0,65

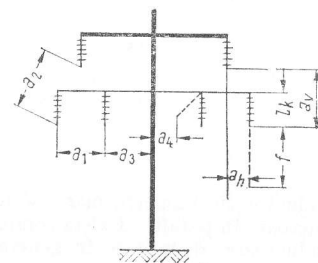
În normativul românesc I-L1-67 pentru construcția liniilor aeriene de energie electrică, valoarea coeficientului  $k$ , la așezări oarecare ale conductoarelor, este precizată prin relația

$$k = k_n + (k_v - k_n) \frac{a_v^2}{a_v^2 + a_h^2},$$

în care:  $a_v$  și  $a_h$  reprezintă cotele indicate în figura alăturată, iar coeficienții  $k_h$  și  $k_v$  au valorile din tabelul 8.65 b.

În continuare urmărind figura alăturată, se precizează următoarele distanțe:

$a_3$  — distanța minimă față de elementele constructive legate la pământ în cazul unui conductor în poziție de repaus, în m;



$a_4$  — distanța minimă în cazul deplasării conductorului la o sarcină dată de vînt acționînd asupra conductorului și lanțului de izolatoare, în m.

În rețele care funcționează cu neutrul nelegat rigid la pămînt

$$a_3 = 0,1 + \frac{U_n}{150} \text{ (minimum 0,2 m); } a_4 = \frac{U_n}{150}.$$

În rețele care funcționează cu neutrul legat rigid la pămînt

$$a_3 = a_4 = \frac{U_n}{150}.$$

Tabelul 8.65 b. Valorile coeficienților  $k_h$ ,  $k_v$

Materialul și secțiunea conductoarelor			Așezarea conductoarelor			
Cupru, bronz, oțel mm <sup>2</sup>	Aluminiu și aliaje de aluminiu mm <sup>2</sup>	Oțel-aluminiu mm <sup>2</sup>	Vertical $k_v$		Orizontal $k_h$	
			$U_n \geq 35 \text{ kV}$	$U_n < 35 \text{ kV}$	$U_n \geq 35 \text{ kV}$	$U_n < 35 \text{ kV}$
10...16	16...150	16...70	0,95	0,85	0,70	0,65
25...35	> 150	95...150	0,85	0,75	0,65	0,62
70...95	—	185...300	0,75	0,70	0,62	0,60
> 95	—	340...450	0,70	0,70	0,60	0,60

În tabelul 8.66 sînt prezentate distanțele minime față de elementele constructive legate la pămînt conform normativului românesc 1-L1-67.

Tabelul 8.66. Distanțe minime față de elementele constructive legate la pămînt, conform normativului românesc 1-L1-67

Condiția climatică	Distanțe minime, în cm						
	6—15 kV	20 kV	25 kV	35 kV	110 kV	220 kV	400 kV
Temperatura + 15 °C Viteza vîntului: 0 m/s .....	20	25	30	40	90	180	290
Temperatura + 15 °C Viteza vîntului: 20 m/s .....	10	15	20	30	80	160	250
Temperatura + 15 °C Viteza vîntului maximă .....	7	10	15	25	40	60	100

#### Conductoare fasciculate

În locul unui singur conductor cu diametru mare, se folosesc, din motive electrice (v. p. 588), mai multe conductoare în paralel. Există conductoare fasciculate compuse din două, trei sau patru conductoare, distanțate în general la 400 mm (v. fig. 8.113

și tabelul 8.74). Distanța dintre conductoare este menținută cu ajutorul unor piese de distanțare montate la intervale de 50—80 m. În cazul a două conductoare, acestea pot fi dispuse orizontal, unul lingă celălalt, sau vertical — unul deasupra celuilalt. Trei conductoare se dispun sub forma unui triunghi echilateral, iar patru — sub forma unui pătrat. Este avantajos să se folosească dimensiuni de conductoare normalizate de lungime standardizată și cu aceeași metodă de montare, folosindu-se același echipament de montaj ca și în cazul conductoarelor individuale. Din motive economice, se caută să se monteze mai multe conductoare în același timp.

În cazul oscilațiilor produse de vînt, piesele de distanțare împiedică apariția aceleiași frecvențe de oscilație în conductoarele individuale și în plus, reduc amplitudinea oscilațiilor.

Pentru eforturile de tracțiune în conductoarele individuale ale conductorului fasciculat, se aplică aceleași principii ca și în cazul conductoarelor simple. Pentru conductoarele alăturate ale unui conductor fasciculat factorul de ecranare al conductorului deplasat de vînt este 0,8. Atunci cînd se calculează rezistența la torsiune a stîlpilor metalici, la proiectare se ia în considerație numai un sfert din tracțiunea maximă într-o singură direcție a conductoarelor fasciculate, în cazul stîlpilor situați în zone cu sarcină suplimentară normală; în cazul zonelor în care se constată apariția regulată a unor sarcini suplimentare mai mari decît cele normale se consideră numai jumătate din acest efort maxim de tracțiune.

Tabelul 8.67. Calculul influenței presiunii dinamice a vîntului asupra elementelor constructive, conform normativului românesc 1-L1-67

Zona meteorologică <sup>1)</sup>	Presiunea dinamică, kgf/m <sup>2</sup>				Coeficienți de majorare a presiunii dinamice funcție de înălțimea de la sol — H, în m			
	vînt maxim		vînt simultan cu chiciură					
	$U_n \leq 110 \text{ kV}$	220 — 400 kV	$U_n \leq 110 \text{ kV}$	220 — 400 kV	$H \leq 30$	$30 < H \leq 50$	$50 < H \leq 75$	$75 < H \leq 100$
I, a	76,5	100	25	25	1,0	1,4	1,7	1,9
I, b	56	76,5	14	18				
II	45,5	76,5	10,5	18				
zone muntoase, altitudini peste 1000 m	100	120	25	30				

<sup>1)</sup> Teritoriul României este împărțit în trei zone distincte din punct de vedere al condițiilor meteorologice de calcul.

#### Sarcina dată de vînt pe stîlpi cu zăbrele, pătrați sau dreptunghiulari

În cazul stîlpilor cu zăbrele, pătrați sau dreptunghiulari, trebuie să se țina seamă numai de suprafața porțiunii de stîlp expusă vîntului. Sarcina dată de vînt pe construcțiile cu zăbrele situate pe direcția vîntului se poate neglija.

Pentru valorile presiunilor date de vînt vezi tabelul 8.67. Înălțimea de suspendare a conductorului constituie factorul determinant al presiunii dinamice apărută în urma sarcinii dată de vînt pe conductoare.

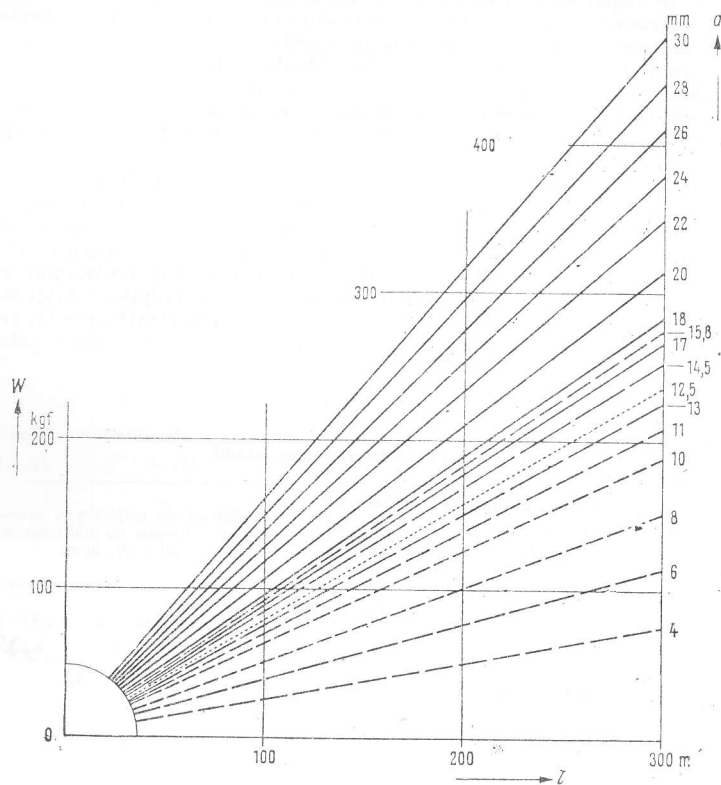


Fig. 8.107. Sarcina dată de vînt pe conductoare la înălțimi pînă la 100 m deasupra nivelului solului:

$W$  —  $cpdl$ ; presiunea vîntului, în kgf; în care:  
 $d$  este diametrul conductorului, în mm;  
 $l$  — lungimea conductorului, în m;  
 $c$  — coeficientul de presiune dinamică al conductoarelor;  
 $p$  — presiunea dinamică pentru înălțimi pînă la 15 m: 44 kgf/m<sup>2</sup>; idem, pentru înălțimi pînă la 40 m: 52,5 kgf/m<sup>2</sup>; idem, pentru înălțimi pînă la 100 m: 67,5 kgf/m<sup>2</sup>.

Sarcina dată de vînt pe elemente constructive

$$W = cpF$$

unde:  $F$  este suprafața lovită de vînt, în m<sup>2</sup>;

$p$  — presiunea vîntului, în kgf/m<sup>2</sup>;

$c$  — coeficientul de presiune dinamică.

Coeficienți de presiune dinamică  $c$  pentru:

Suprafețe plane cu zăbrele din oțel laminat .....	1,4
Stilpi cu zăbrele, pătrați sau dreptunghiulari construiți din oțel laminat .....	2,6
Pereți plani din zăbrele executate din țevi .....	1,1
Stilpi cu zăbrele, pătrați sau dreptunghiulari construiți din țevi .....	2,0
Stilpi de lemn, stilpi din țevă de oțel, stilpi din beton armat cu secțiune circulară .....	0,7
Stilpi din țevă de oțel și stilpi din beton armat cu secțiune exagonală sau octogonală .....	1,0
Conductoare cu diametrul pînă la 12,5 mm .....	1,2
Conductoare cu diametrul peste 12,5 pînă la 15,8 mm .....	1,1
Conductoare cu diametrul peste 15,8 mm .....	1,0.

Tabelul 8.68. Scara intensității vîntului

Intensitate Beaufort	Descriere	Efectul vîntului		Viteza vîntului m/s
		pe uscat	pe mare	
0	calm	lipsă de vînt; fumul se ridică vertical	suprafața mării liniștită ca o oglindă	0 — 0,2
1	curent slab de aer	direcția vîntului indicată de deviația fumului, dar nu de giruete	valuri mici, cu aspect solzos, fără zîmți de spumă	0,3 — 1,5
2	briză ușoară	vîntul se simte pe obraz; frunzele foșnesc ușor; giruetele se mișcă	valuri mici, scurte încă, dar mai distincte; crestele valurilor apar sticloase, dar nu se sparg	1,6 — 3,3
3	briză slabă	frunzele și ramurile mici se mișcă; vîntul desfășoară un steag ușor (fanion)	crestele valurilor încep să se spargă; spumă cu aspect sticios; apariții singulare de mici valuri cu creste albe	3,4 — 5,4
4	briză mijlocie	ridică praf și hîrtii; mișcă ramuri și crăci mici subțiri	valurile sînt încă mici, dar mai lungi; apar creste albe, dar totuși destul de întinse	5,5 — 7,9
5	briză accentuată	pomii mici cu frunze încep să oscileze; se formează creste de valuri pe lacuri	valurile moderate, care iau formă vizibilă lungă; creste albe de valuri peste tot; se poate vedea în mod cu totul ocazional spumă	8,0 — 10,7
6	briză puternică	crăcile mari în mișcare; zumzet în firele de telegraf; dificultăți la folosirea umbrelor	începe formarea valurilor mari; crestele se sparg și lasă în urmă mari suprafețe albe de spumă; apare o oarecare pulverizare a apei în atmosferă	10,8 — 13,8
7	vînt puternic	copaci în mișcare cu tot trunchiul; rezistență sensibilă înțîmpinată la mers împotriva vîntului	marea se înalță; spuma albă produsă prin spargerea valurilor începe să se orienteze în șuvițe după direcția vîntului	13,9 — 17,1

Tabelul 8.68 (continuare)

Inten- sitate Beau- fort	Descriere	Efectul vântului		Viteza vântului m/s
		pe uscat	pe mare	
8	furtună	ramuri rupte din copaci; mersul în aer considerabil îngreuiat	valuri de înălțime moderată, cu creste de lungime considerabilă; pulberea de apă începe să fie purtată de vânt de pe muchiile creștelor valurilor. Se formează spumă în fișii clar vizibile în direcția vântului	17,2–20,7
9	furtună puternică	deteriorări ușoare la clădiri (coșuri și țigle de acoperiș smulse)	valuri înalte; șuvițe groase de spumă în direcția vântului, marea începe mișcarea de „rulare”; pulberea lichidă poate înrăutăți vizibilitatea	20,8–24,4
10	furtună grea	copaci smulși; deteriorări considerabile la clădiri	valuri foarte înalte cu creste lungi care se sparg; marea albă de spumă, cu o mișcare masivă de ridicare; vizibilitatea redusă de pulberea lichidă	24,5–28,4
11	furtună tip uragan	deteriorări extinse (foarte rareori pe uscat)	valuri excepțional de înalte; vizibilitatea împiedicată de pulberea lichidă	28,5–32,6
12	uragan	—	atmosfera saturată de spumă și pulbere lichidă; marea complet albă; vizibilitate considerabil redusă; imposibilitate de a vedea obiecte la distanță	32,7–36,9
13	—	—	—	37,0–41,4
14	—	—	—	41,5–46,1
15	—	—	—	46,2–50,9
16	—	—	—	51,0–56,0
17	—	—	—	> 56,1

## Calcul de rezistență pentru stâlpi

Stâlpi de lemn:

— Stâlpi simpli de susținere; diametrul la vîrf  $Z$  (aproximativ), în cm;

$$Z = 0,65 H + k\sqrt{ad} \quad (k = 0,22 \text{ pentru lemn de pin})$$

unde:  $H$  este înălțimea totală a stîlpului, în m; $a$  — lungimea deschiderii, în m; $d$  — suma diametrelor tuturor conductoarelor de pe stîlp, în mm.— Stâlpi A; momentul de inerție necesar  $J$ , în  $\text{kgf m}^2$ , la jumătatea lungimii nesprrijinite la care apare flambajul:

$$J = n5F_p l^2 \text{ (minim)}$$

unde:  $n$  este coeficientul de siguranță la flambaj ( $n = 4$  pentru lemn de pin); $F_p$  — forța de compresiune, în  $10^3 \text{ kgf}$ ; $l$  — lungimea de flambaj nesprrijinită, în m, de la mijlocul cîrligului sau bolțului de la extremitatea superioară a stîlpului pînă la jumătate din adîncimea de îngropare.

Tabelul 8.69. Eforturi admisibile

Efortul	Lemn de pin $\text{kgf/cm}^2$	Esențe tari $\text{kgf/cm}^2$
Întindere sau încovoiere .....	145	190
Presiunea în direcția fibrelor .....	110	120
Presiunea perpendiculară pe direcția fibrelor .....	35	50
Forfecarea în direcția fibrelor .....	18	20
Forfecarea perpendiculară pe direcția fibrelor .....	30	40

Notă. În acest tabel s-a considerat rezistența de încovoiere pentru lemnul rotund de  $500 \text{ kgf/cm}^2$  pentru brad și de  $800 \text{ kgf/cm}^2$  pentru esență tare.

## Stâlpi metalici

Tabelul 8.70. Eforturi admisibile pentru elemente constructive metalice la sarcini normale

Efortul	Marca oțelului	Efortul admisibil $\text{kgf/cm}^2$
Întindere și încovoiere .....	O1 37 O1 52	1600 2400
Forfecare la nituri și bolțuri .....	O1 34 resp. 4 D O1 44 resp. 5 D	1600 2400
Presiunea pe gaură la nituri și bolțuri .....	O1 34 resp. 4 D O1 44 resp. 5 D	4000 4800
Forfecare la șuruburi obișnuite .....	4 D	1120
Presiune pe gaură la șuruburi obișnuite .....	4 D	2500
Întindere la șuruburi obișnuite și bolțuri .....	4 D 5 D	1120 1500



*Bare cu efort de flambaj*

Rezistența barei  $F_s$  trebuie înmulțită cu coeficientul de flambaj  $\omega$ , apoi bara se poate calcula ca un element supus la întindere în raport cu  $\sigma_{adm}$ , dar fără scăderea niturilor. Deci

$$\frac{\omega F_s}{q} \leq \sigma_{adm}$$

Tabelul 8.71. Coeficientul de flambaj  $\omega$  pentru diverse rapoarte de subțirime pentru bare de oțel Ol 37

$\lambda$	$\omega$	$\lambda$	$\omega$	$\lambda$	$\omega$	$\lambda$	$\omega$
0	1	60	1,30	130	2,85	190	6,10
10	1	70	1,41	140	3,31	200	6,75
20	1,04	80	1,55	150	3,80	210	7,45
30	1,08	90	1,71	160	4,32	220	8,17
40	1,14	100	1,90	170	4,88	230	8,93
50	1,21	110	2,11	180	5,47	240	9,73
		120	2,43			250	10,55

Se pot introduce și valori intermediare. Semnificația simbolului  $\lambda$  din tabel este

$$\lambda = \frac{l}{i},$$

unde:  $i = \sqrt{\frac{J}{q}}$

$l$  — lungimea liberă a barei la care apare flambajul, în cm;

$q$  — secțiunea barei, în porțiunea neslăbită de găuri, în cm<sup>2</sup>;

$J$  — momentul de inerție corespunzător al barei în porțiunea neslăbită de găuri, în cm<sup>4</sup>.

*Elemente supuse la eforturi de flambaj și încovoiere*

În cazul elementelor supuse unui moment de încovoiere  $M$  care se adaugă sarcinii de compresie  $F_p$ , dacă elementele au centrul de greutate situat la o distanță mai mică (sau egală) față de frontiera întinderii datorite încovoierii decât față de frontiera compresiunii datorite încovoierii, se aplică următoarea formulă

$$\frac{\omega F_p}{q} + 0,9 \frac{M}{W_d} \leq \sigma_{adm};$$

$W_d$  se raportează la o axă principală a secțiunii neslăbite; același lucru este valabil și pentru momentul  $M$ .

În cazul elementelor ale căror centre de greutate sînt mai aproape de frontiera compresiunii de încovoiere decât de frontiera întinderii de încovoiere, se aplică următoarele două condiții:

$$\frac{\omega F_p}{q} + 0,9 \frac{M}{W_d} \leq \sigma_{adm} \text{ și } \frac{\omega F_p}{q} + \frac{300 + 2\lambda}{1000} \frac{M}{W_z} \leq \sigma_{adm};$$

$W_d$  și  $W_z$  sînt modulele de rezistență ale secțiunii neslăbite a grinzii, în cm<sup>3</sup>, raportate la frontiera compresiunii de încovoiere sau la frontiera întinderii datorite încovoierii.

## Dimensionarea fundațiilor stîlpilor și a stîlpilor metalici

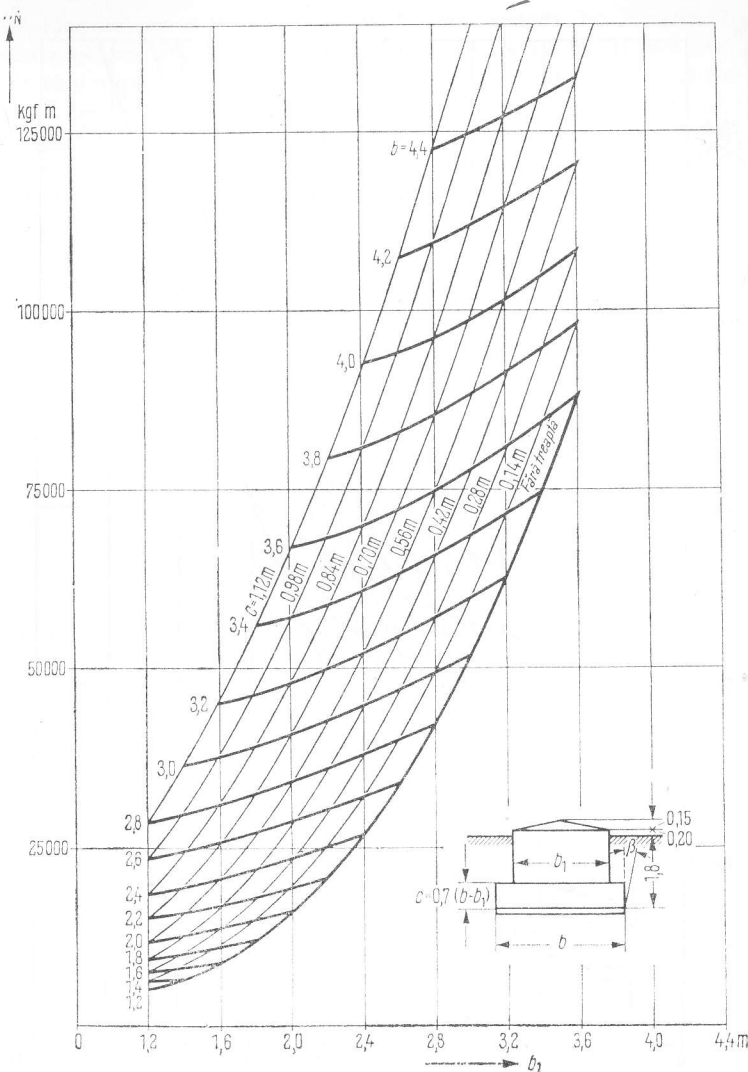


Fig. 8.108. Dimensiunile fundațiilor tip monolit cu adâncimea de îngropare de 1,8 m:  
 $M_N$  — momentul efectiv la baza fundației, în kgf m;  
 $b$  — lățimea fundației, în m;  
 $b_1$  — lățimea fundației la partea superioară, în m; sol de fundare:  $\gamma_e$  — 1600 kgf/m<sup>3</sup>;  
 $\beta = 5^\circ$ ;  $\rho = 35^\circ$ ;  $\mu = 0,4$ ;  $\sigma = 1$  kgf/cm<sup>2</sup>.

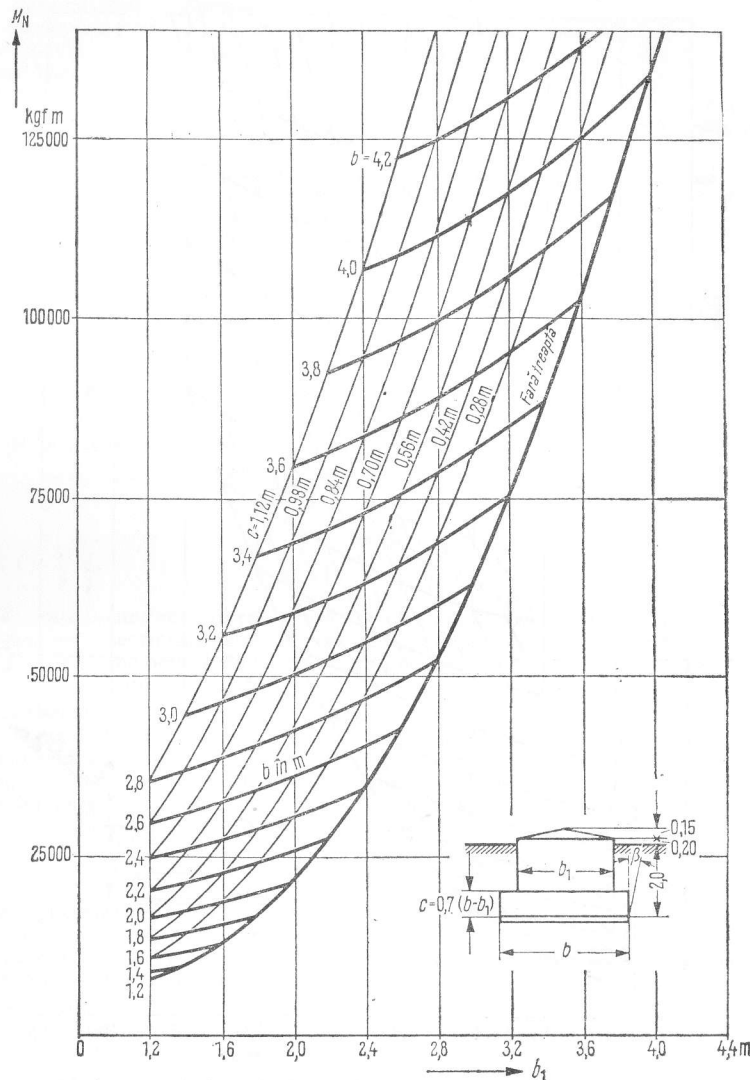
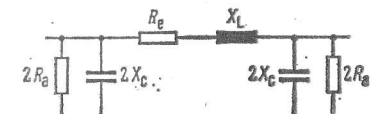


Fig. 8.109. Dimensiunile fundațiilor tip monolit cu adâncimea de îngropare de 2 m:  
 $M_N$  — momentul efectiv la baza fundației, în kgf·m;  
 $b$  — lățimea fundației, în m;  
 $b_1$  — lățimea fundației la partea superioară, în m;  
 sol de fundare:  $\gamma_e = 1600 \text{ kgf/m}^3$ ;  $\beta = 5^\circ$ ;  $\rho = 35^\circ$ ;  $\mu = 0,4$ ;  $\sigma = 1 \text{ kgf/cm}^2$ .

Fundațiile trebuie să fie dimensionate folosind metoda lui Bürklin. Dimensiunile necesare pentru fundații de tip monolit, executate cu trepte sau fără trepte, pentru adâncimi variabile de 1,8 și 2,0 m și pentru încărcări pînă la 125 000 kgf m se pot obține din fig. 8.108 și 8.109. Se consideră următoarele ipoteze: sol de fundare normal cu greutatea de  $1600 \text{ kgf/cm}^3$  și unghiul  $\beta$  dintre rezultanta împingerii pămîntului și normala la peretele fundației de  $5^\circ$ ; un coeficient de frecare între beton și pămînt  $\mu = 0,4\%$ ; unghiul taluzului natural al solului  $\rho = 35^\circ$ ; o presiune admisibilă pe sol de  $1,0 \text{ kgf/cm}^2$  la adîncimea de 1 m.

### 8.8.2. Caracteristici electrice

Fig. 8.110. Diagrama circuitului echivalent mono-fazat pentru o secțiune de linie aeriană simetrică (schema în  $\pi$ ).



Rezistența

$$R_e = \frac{\rho}{q} \Omega/\text{km pe fază}, \quad (8.39)$$

unde:  $\rho$  — este rezistivitatea, în  $\Omega\text{mm}^2/\text{km}$  (v. fig. 8.111);  
 $q$  — secțiunea conductorului liniei, în  $\text{mm}^2$ .

Creșterea rezistenței conductorului liniei datorită efectelor de răscire și săgeții este de 2 ... 4% și datorită efectului pelicular (skin) la frecvențe de lucru pînă la 60 Hz de 0 ... 2%, în funcție de secțiune.

Reactanța inductivă  $X_L$  (reactanța de secvență directă și inversă)

$$(X_L \text{ în } \Omega/\text{km pe fază})$$

Linii aeriene cu conductoare funie

Linie monofazată (două conductoare izolate):

linie simplu circuit

$$X_L = \omega L = \omega \frac{\mu_0}{2} \ln \frac{d_{12}}{0,779 r} = \omega \frac{\mu_0}{2\pi} \left( \ln \frac{d_{12}}{r} + \frac{1}{4} \right). \quad (8.40)$$

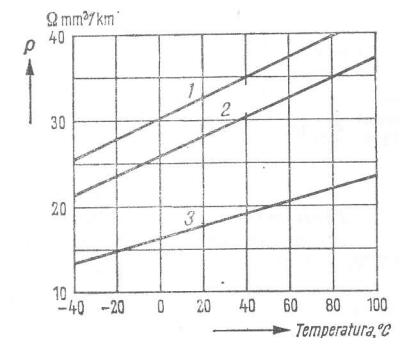


Fig. 8.111. Rezistivitatea  $\rho$  a materialelor conductoarelor de linie:  
 1 — Aldrey; 2 — Aluminiiu; 3 — Cupru.

Linie trifazată cu transpunere simetrică:  
— linie simplu circuit

$$X_L = \omega \frac{\mu_0}{2\pi} \ln \frac{d_m}{0,779 r}; \quad (8.41)$$

— linie cu dublu circuit

$$X_L = \omega \frac{\mu_0}{2} \ln \frac{D_m}{0,779 r}; \quad (8.42)$$

unde:  $\omega$  este frecvența unghiulară, în  $s^{-1}$  ( $\omega = 2\pi f = 314 s^{-1}$  la 50 Hz);  
 $f$  — frecvența de lucru, în Hz;  
 $L$  — inductanța, în H/km;  
 $\mu_0$  — permeabilitatea vidului;  $\mu_0 = 4\pi \cdot 10^{-4}$  H/km;  
 $r$  — raza conductorului, în mm;  
 $d_m, D_m$  — distanțele medii geometrice între conductoare, în mm;  
 $d_m = \sqrt[3]{\frac{d_{12} d_{23} d_{31}}{d_{1I} d_{2II} d_{3III}}}$  (8.41 a)  
 $D_m = \sqrt[3]{\frac{d_{12} d_{23} d_{31} d_{1II} d_{2III} d_{3I}}{d_{1I} d_{2II} d_{3III}}}$  (8.42 a)  
 $d_{12}$  — distanța din centrul conductorului I la centrul conductorului 2, în mm.

Indicii 1, 2, 3 se referă la conductoarele unui circuit; I, II, III indică conductoarele celui de al doilea circuit (v. tabelul 8.76).

În tabelul 8.72 sînt date valori pentru distanțele medii geometrice între conductoare  $d_m$  ale liniilor aeriene trifazate. Pentru reactanța inductivă  $X_L$  se dau valori medii în  $\Omega/km$  pe fază la  $f = 50$  Hz pentru o linie trifazată cu un circuit, cu transpuneri simetrice, cu conductoare de OL—Al, în funcție de distanța medie geometrică  $d_m$  dintre conductoare.

Tabelul 8.72. Distanțe medii geometrice între conductoare  $d_m$  ale liniilor aeriene trifazate (50 Hz)

Tensiunea kV	0,5	10	15	20	30	60	110	150	220	380
$d_m$ , m	0,4... 0,6	0,8... 1	1,2... 1,4	1,4... 1,6	1,6... 2	2,4... 3,2	3,6... 5,6	5...6,2	6,2...8	9...19

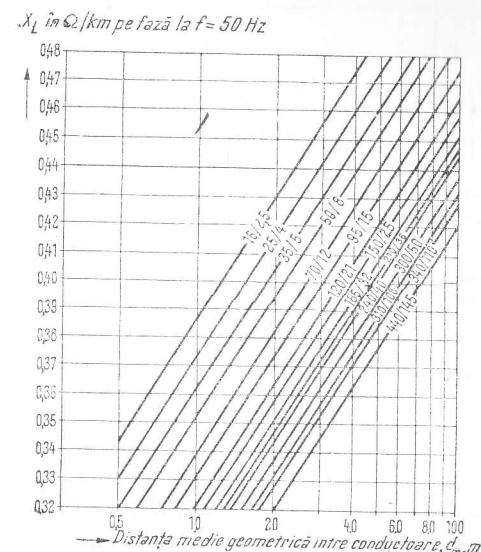
Linii aeriene cu conductoare fasciculate simetrice

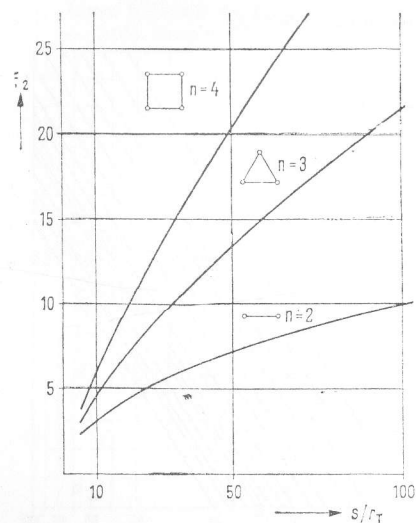
$X_L$  se calculează din ecuațiile (8.40 ... 8.42) folosindu-se în locul valorii numerice 0,779, valoarea

$$\xi_1 = \sqrt[3]{0,779}, \quad (8.43)$$

iar în locul razei conductorului, raza echivalentă

$$r_e = \xi_2 r_T, \quad (8.44)$$



Fig. 8.113. Factorul  $\xi_3$  pentru conductoare fasciculate.Tabelul 8.74. Reactanța inductivă  $X_L$ , în  $\Omega/\text{km}$  pe fază, pentru LEA trifazate, cu conductoare fasciculate, la  $f = 50$  Hz (valori medii)

Tensiunea kV	220	380	220	380	220	380
	Configurația fazelor					
Compunerea conductorului fasciculat $n \times d_p/s$						
$2 \times 21,9/400$ .....	0,32	—	0,31	—	0,29	—
$2 \times 32,4/400$ .....	—	0,34	—	0,33	—	0,32
$4 \times 21,9/400$ .....	—	0,30	—	0,29	—	0,27

Linii aeriene cu conductoare tubulare

$X_L$  se calculează din ecuațiile (8.40) ... (8.42), cu introducerea razei echivalente  $r'$  în locul razei conductorului  $r$

$$r' = \xi_3 \cdot r_1, \quad (8.45)$$

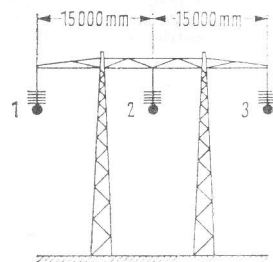


Fig. 8.114. Linie trifazată, cu un singur circuit cu stâlpi portal.

unde:  $\xi_3$  este un factor numeric conform fig. 8.115;

$r_1$  — raza exterioară a conductorului tubular, în mm;

$r_2$  — raza interioară a conductorului tubular, în mm.

Rezistența de scurgere și descărcări corona  $R'_a$

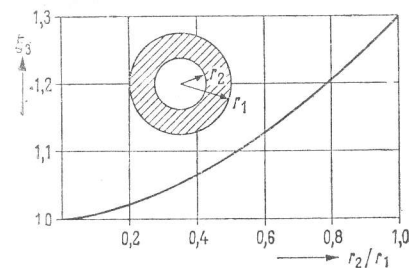
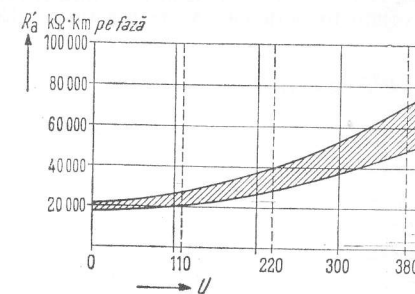
Scurgerile de curent prin izolație spre pământ și descărcările corona produc pierderi de energie electrică pe rețea. Rezistența efectivă în derivație, introdusă în acest scop în schema circuitului echivalent (fig. 8.110) este

$$R'_a = \frac{U^2}{P'_v} \text{ k}\Omega \text{ km pe fază} \quad (8.46)$$

unde:  $U$  este tensiunea de lucru, în kV (între faze);

$P'_v$  — pierderea de putere datorită scurgerilor de curent și descărcărilor corona, în kW/km pe sistem trifazat.

Scurgerile de curent și fenomenul corona depind în foarte mare măsură de condițiile atmosferice, astfel încât nu se pot da valori numerice pentru  $R'_a$ . Ca medie anuală pentru condițiile din centrul Europei se pot folosi în scopuri estimative valorile din fig. 8.116, în limitele de dispersiune indicate (în cazurile în care se cere o indicație aproximativă). Valorile inferioare se vor folosi pentru LEA la mare altitudine și în zone cu climă umedă.

Fig. 8.115. Factorul  $\xi_3$  pentru conductoare fasciculate.Fig. 8.116. Rezistența de scurgere și de descărcări corona  $R'_a$ :  $U$  — tensiunea între faze.

Pentru calcule de linii în condiții normale fenomenul de scurgere și de descărcări corona se poate neglija, deoarece valoarea rezistenței  $R_a$  este foarte mare în raport cu aceea a celorlalte rezistențe.

Reactanța capacitivă  $X_C$

Linii aeriene cu conductoare funie

Linii monofazate (două conductoare izolate),

linie simplu circuit

$$X_C = \frac{1}{\omega C'} = \frac{1}{\omega 2\pi \epsilon_0} \ln \frac{d_{12}}{r} [\Omega \text{ km pe fază}]. \quad (8.47)$$

Linie trifazată, cu transpunere simetrică:

— linie simplu circuit

$$X_C = \frac{1}{\omega 2\pi \epsilon_0} \ln \frac{d_m}{r} [\Omega \text{ km pe fază}]; \quad (8.48)$$

— linie cu dublu circuit

$$X_C = \frac{1}{\omega 2\pi \epsilon_0} \ln \frac{D_m}{r} [\Omega \text{ km pe fază}], \quad (8.49)$$

unde:  $\omega$  este frecvența unghiulară, în  $s^{-1}$  ( $\omega = 2\pi f = 314 s^{-1}$ ; la 50 Hz);  
 $\epsilon_0$  — permitivitatea vidului  $\epsilon_0 = 0,896 \cdot 10^{-8} F/km$ ;  
 $r$  — raza conductorului, în mm;  
 $d_{12}$  — distanța medie din centrul conductorului 1 la centrul conductorului 2, în mm;  
 $d_m, D_m$  sînt distanțele medii geometrice, în mm, conform ecuațiilor (8.41 a) și (8.42 a).

În fig. 8.117 se dau valori medii pentru reactanța capacitivă  $X_C$ , în  $k\Omega \text{ km pe fază}$ , la  $f = 50 \text{ Hz}$ , în cazul unei linii trifazate cu transpuneri simetrice, simplu circuit, cu conductoare de Ol—Al, în funcție de distanța medie geometrică între conductoare  $d_m$ .

$X_C \times 10^3$  în  $k\Omega \cdot km$  pe fază la  $f = 50 \text{ Hz}$

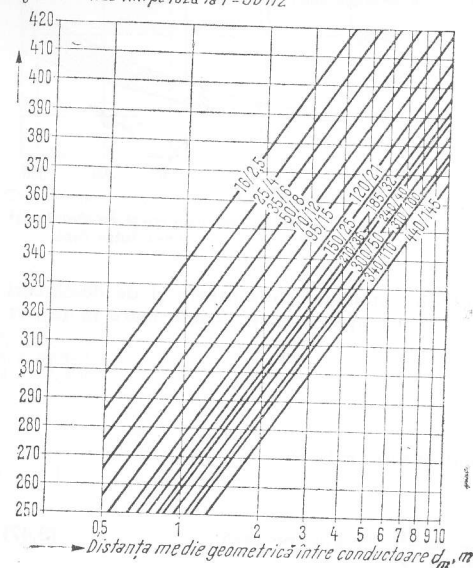


Fig. 8.117. Reactanța capacitivă  $X_C$  pentru o linie trifazată cu transpuneri simetrice, simplu circuit, cu conductoare din Ol-Al:  $X_C$  — reactanța capacitivă, în  $k\Omega \text{ km pe fază}$ , la  $f = 50 \text{ Hz}$ ;  $d_m$  — distanța medie geometrică între conductoare

LEA cu conductoare fasciculate simetrice

$X_C$  se calculează conform ecuațiilor (8.47 ... 8.49); în locul lui  $r$  se introduce raza echivalentă  $r_e$  a conductorului fasciculat, luată din ecuația (8.44).

Pentru  $X_C$  se dau valori medii în tabelul 8.75.

Tabelul 8.75. Reactanța capacitivă  $X_C$ , în  $k\Omega \text{ km pe fază}$ , a conductoarelor trifazate fasciculate,  $f = 50 \text{ Hz}$  (valori medii)

Tensiunea, kV	220	380	220	380	220	380
	Configurația fazelor					
Compunerea conductorului fasciculat $n \times d_{T/s}$						
$2 \times 21,9/400$ .....	280	—	270	—	260	—
$2 \times 32,4/400$ .....	—	300	—	280	—	270
$4 \times 21,9/400$ .....	—	250	—	240	—	230

LEA cu conductoare tubulare

$X_C$  se calculează din ecuațiile (8.47 ... 8.49); în locul lui  $r$  se introduce raza exterioră  $r_1$  a conductorului tubular.

Capacități parțiale

Conductoarele unei linii aeriene trifazate au capacități parțiale  $C_e$  față de pământ și o capacitate parțială mutuală  $C_g$  între conductoare (fig. 8.118).

Pentru o linie cu dublu circuit cu o construcție simetrică și cu transpuneri simetrice, cu conductor de protecție, calculul capacităților parțiale este dat în tabelul 8.77

$$C'_e \approx C'_{11} \approx C'_{22} \approx C'_{33} \quad F/km \text{ pe fază};$$

$$C'_g \approx C'_{12} \approx C'_{23} \approx C'_{31} \quad F/km.$$

Toate dimensiunile liniare trebuie să fie date în unități identice; pentru  $\epsilon_0$  v. pag. 590. Pentru linii trifazate simplu circuit, toate valorile afectate de semnul \* în ecuații dispar, iar valoarea \*\*2 se înlocuiește cu 1. În cazul liniilor fără conductor de protecție toți termenii cu indicele s dispar (tabelul 8.76).

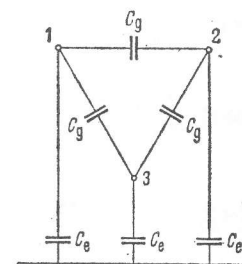


Fig. 8.118. Capacitățile parțiale  $C_e$  și  $C_g$  ale unei linii aeriene trifazate.



Capacitatea echivalentă a unui conductor se raportează la capacitățile parțiale cu ajutorul expresiei

$$C'_b = \frac{1}{\omega X_C} = C'_e + 3 C'_g = \frac{1}{A_{11} - A_{12}} \quad (8.50)$$

Valorile reduse ale lui  $C_e$  sînt valabile în cazul liniilor aeriene fără conductor de protecție, iar valorile mai mari ale lui  $C_e$  sînt valabile în cazul liniilor aeriene cu conductor de protecție. Pentru  $C_g$  se procedează invers.

Tabelul 8.76. Calculul capacităților parțiale ale unei linii trifazate cu dublu circuit cu transpuneri simetrice cu conductor de protecție

$$a_m = \sqrt[3]{a_{12} a_{23} a_{31}}$$

$$h_m = \sqrt[3]{h_1 h_2 h_3}$$

$$*a'_m = \sqrt[3]{d_1 I^{d_2} II^{d_3} III}$$

$$*a''_m = \sqrt[3]{d_1 I^{d_2} II^{d_3} III}$$

$$d_s = \sqrt[3]{d_{1s} d_{2s} d_{3s}}$$

$$a_{11} = \frac{1}{2\pi\epsilon_0} \ln \frac{2h_m}{r}$$

$$*a_{11} = \frac{1}{2\pi\epsilon_0} \ln \frac{D'_m}{d'_m}$$

$$a_{ss} = \frac{1}{2\pi\epsilon_0} \ln \frac{2h_s}{r_s}$$

$$A_{11} = a_{11} + *a_{\pi} - **2 \frac{a_{1s}^2}{a_{ss}}$$

$$A_{12} = a_{12} + a_{1II}^* - **2 \frac{a_{1s}^2}{a_{ss}}$$

$$D_m = \sqrt[3]{D_{12}' D_{23}' D_{31}'}$$

$$*D'_m = \sqrt[3]{D_{1I}' D_{2II}' D_{3III}'}$$

$$*D''_m = \sqrt[3]{D_{1II}' D_{2III}' D_{3I}'}$$

$$D_s = \sqrt[3]{D_{1s}' D_{2s}' D_{3s}'}$$

$$a_{12} = \frac{1}{2\pi\epsilon_0} \ln \frac{D_m}{d_m}$$

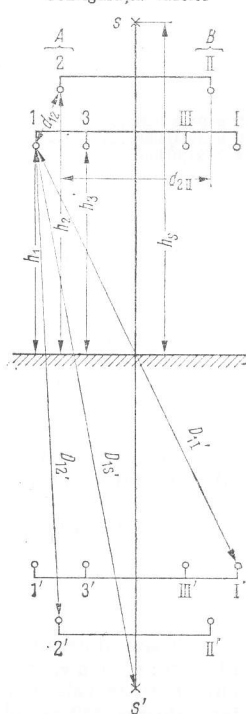
$$*a_{1II} = \frac{1}{2\pi\epsilon_0} \ln \frac{D''_m}{d''_m}$$

$$a_{1s} = \frac{1}{2\pi\epsilon_0} \ln \frac{D_s}{d_s}$$

$$C_e = \frac{1}{A_{11} + 2A_{12}}$$

$$C_g = \frac{A_{12}}{A_{11} - A_{12}} C_{11}$$

Configurația fazelor



Imagina în oglindă

Tabelul 8.77. Capacitățile parțiale ale liniilor aeriene trifazate cu transpuneri simetrice  $f = 50$  Hz (valori medii)

Configurația fazelor			
$C_e$	(0,6 ... 0,7) $C_b$	(0,55 ... 0,60) $C_b$	(0,50 ... 0,55) $C_b$
$C_g$	(0,13 ... 0,10) $C_b$	(0,15 ... 0,13) $C_b$	(0,17 ... 0,15) $C_b$

#### Impedanța de secvență homopolară $Z_0$

Impedanța de secvență homopolară înseamnă, pe scurt, impedanța pe fază a sistemului homopolar (fig. 8.119) al unei linii trifazate, în care, prin cele trei conductoare ale fazelor sistemului, circulă curenți egali și în fază. Impedanța de lucru homopolară depinde, printre altele, de conductivitatea electrică a solului și de existența conductoarelor de protecție. În cazul liniilor cu dublu circuit, care au aceeași configurație a conductoarelor de fază, aceeași construcție și sînt parcurse de aceeași curenți, impedanța de secvență homopolară este în mod virtual aceeași pentru ambele circuite.

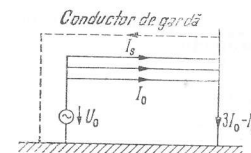


Fig. 8.119. Sistem de curenți de secvență homopolară.

Linii aeriene cu conductoare funie  
linie simplu circuit fără conductor de protecție

$$Z'_{0E} = R'_0 + j X'_0 = \frac{U_0}{I_0} [\Omega/\text{km pe fază}]; \quad (8.51)$$

linie simplu circuit cu conductor de protecție

$$Z'_{0Es} = Z'_{0E} - 3 \frac{(Z'_{sm})^2}{Z'_s} [\Omega/\text{km pe fază}]; \quad (8.52)$$

linie cu dublu circuit, fără conductor de protecție

$$Z'_{0D} = Z'_{0E} + 3 Z'_m [\Omega/\text{km pe fază}]; \quad (8.53)$$

linie cu dublu circuit cu conductor de protecție

$$Z'_{0Ds} = Z'_{0D} - 6 \frac{(Z'_{sm})^2}{Z'_s} [\Omega/\text{km pe fază}]. \quad (8.54)$$



$\kappa = 2$  S/km și valori aproximative pentru reducerea reactanței homopolare inductive prin existența conductoarelor de protecție.

Reducerea reactanței de secvență homopolară datorită conductoarelor de protecție este de 0,85...0,95 în cazul conductoarelor de protecție de oțel și de 0,70...0,85 în cazul conductoarelor de protecție de Ol-Al.

*Linii aeriene cu conductoare fasciculate sau tubulare simetrice*

Valorile corespunzătoare din ecuațiile (8.43) și (8.44) precum și din (8.45) se vor introduce în ecuația (8.56) (v. pag. 594).

#### Puterea naturală a liniilor trifazate

Puterea naturală  $P_{nat}$  în MW se definește prin expresia

$$P_{nat} = \frac{U^2}{Z} \quad (8.65)$$

în care:  $U$  este tensiunea de lucru, în kV (între faze);

$Z$  — impedanța caracteristică, în  $\Omega$ .

Impedanța caracteristică a unei linii fără pierderi este

$$Z = \sqrt{\frac{L}{C}} = \sqrt{X_L X_C},$$

în care:  $L$  este inductanța, în H/km;

$C$  — capacitatea, în F/km.

În tabelul 8.80 sînt date valorile medii ale puterii naturale în cazul liniilor trifazate cu simplu circuit, cu transpuneri simetrice în domeniul tensiunilor normale de transport. În cazul liniilor cu dublu circuit valorile pot fi mai mari, deoarece distanțele între conductoare sînt mai reduse.

Tabelul 8.80. Puterea naturală  $P_{nat}$  a liniilor trifazate simplu circuit (valori medii)

Tensiunea de lucru kV	Linie cu un conductor singur MW	Linie cu conductoare fasciculate	
		cu două conductoare MW	cu patru conductoare MW
60	10	—	—
110	33	—	—
150	60	73	85
220	130	160	180
300	240	290	340
380	370	460	540

#### Limita termică a capacității de transport

Valorile puterii aparente care poate fi transportată timp îndelungat sînt indicate în fig. 8.120 pentru linii aeriene trifazate de înaltă tensiune.

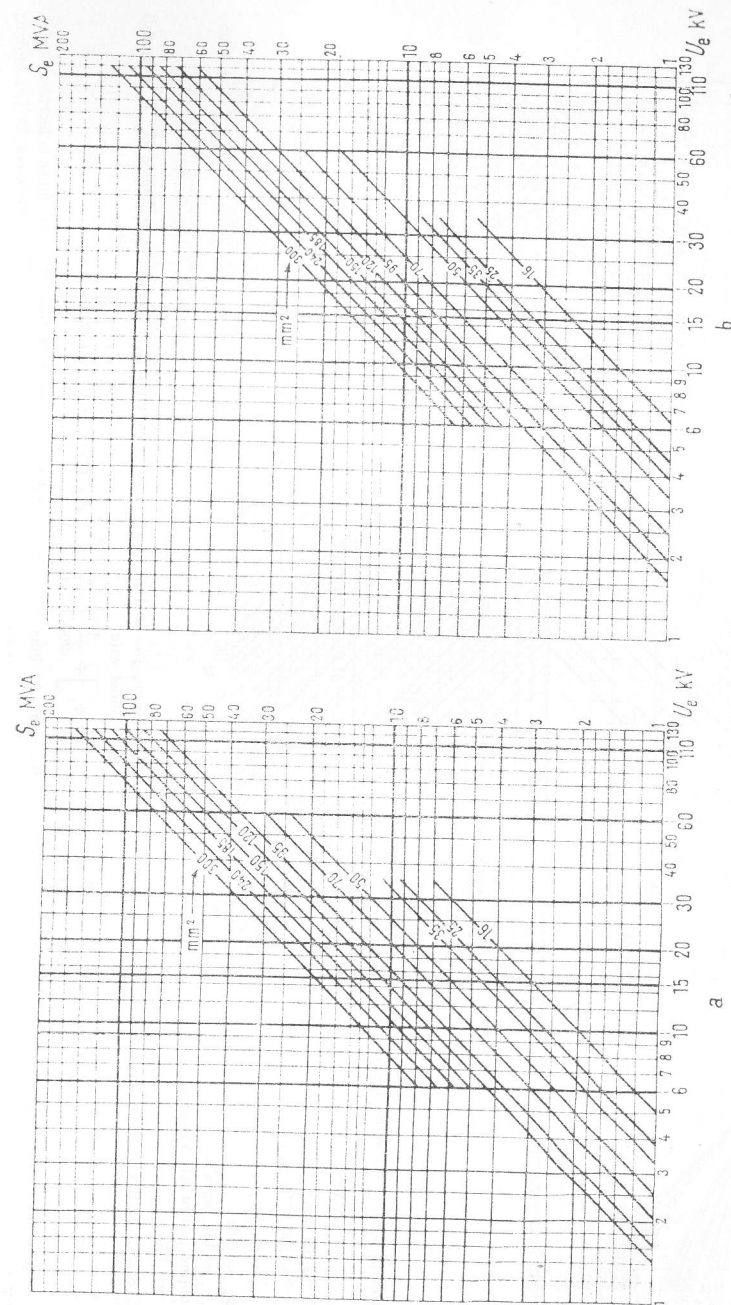


Fig. 8.120. Linii aeriene trifazate de înaltă tensiune:  $f \leq 60$  Hz; puterea aparentă  $S_e$  ce se poate transporta timp îndelungat este în funcție de tensiunea  $U_e$  la bornele de alimentare ale liniei (viteza vîntului: 0,6 m/s, temperatura inițială: 35°C).  
Conductor de cupru: temperatura finală 70°C.  
Conductor de Ol-Al: temperatura finală 80°C.  
 $a$  — conductoare de cupru;  $b$  — conductoare din Ol-Al.

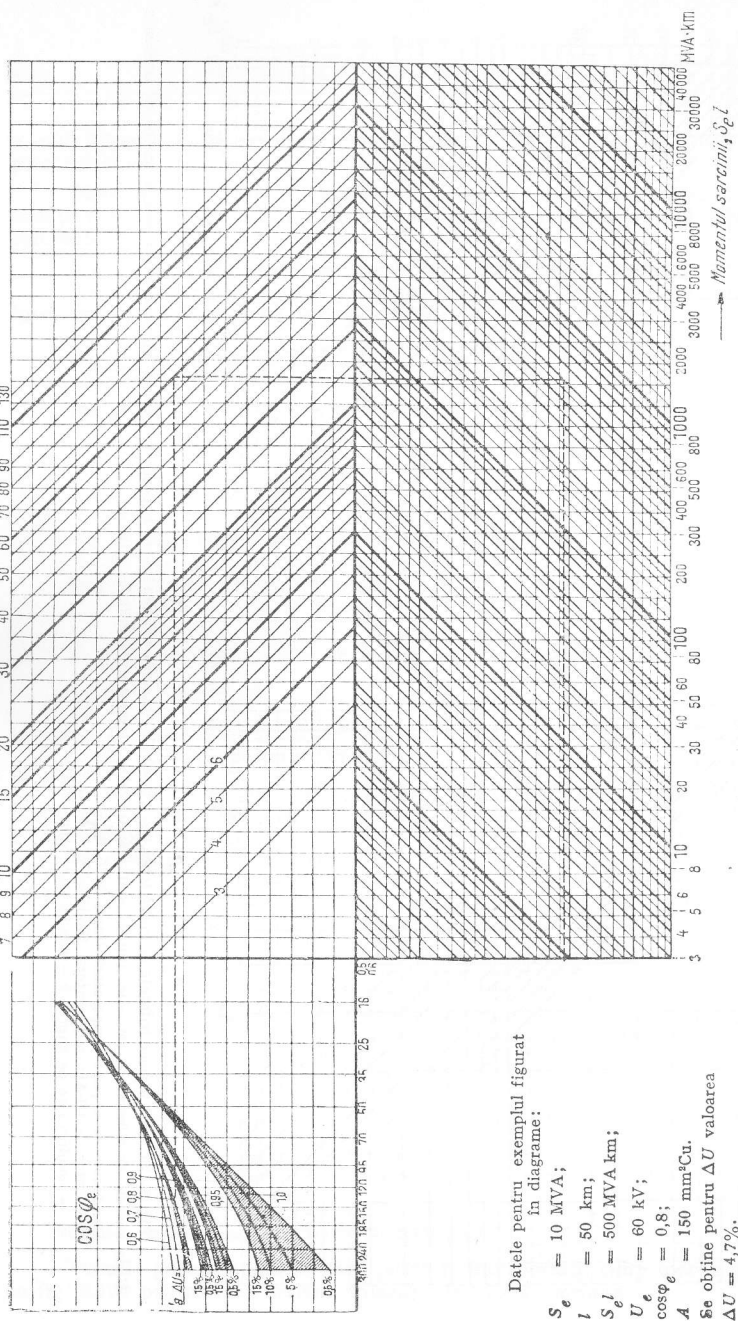


Fig. 8.121. Linii aeriene trifazate de înaltă tensiune cu conductoare de cupru,  $f = 50 \text{ Hz}$ . Căderea de tensiune  $\Delta U\%$ , raportată la tensiunea  $U_e$  la începutul liniei este

$$\Delta U\% = \frac{S_l 100}{U_e^2} \left[ \frac{\rho}{A} \cos \varphi_e + X_L \sin \varphi_e \right] + \frac{1}{200} \left[ \frac{S_l 100}{U_e^2} \left( X_L \cos \varphi_e - \frac{\rho}{A} \sin \varphi_e \right) \right]^2$$

$S_e$  — puterea aparentă transportată, în MVA;  $l$  — distanța de transport, în km;  $S_l$  — momentul sarcinii, în MVA km;  $U_e$  — tensiunea la începutul liniei, în kV (între faze);  $\cos \varphi_e$  — factorul de putere al puterii aparente la începutul liniei;  $A$  — secțiunea conductorului, în  $\text{mm}^2$ ;  $\rho$  — rezistivitatea, în  $\Omega \text{ mm}^2/\text{km}$ ;  $X_L$  — reactanța inductivă, în  $\Omega/\text{km}$ .

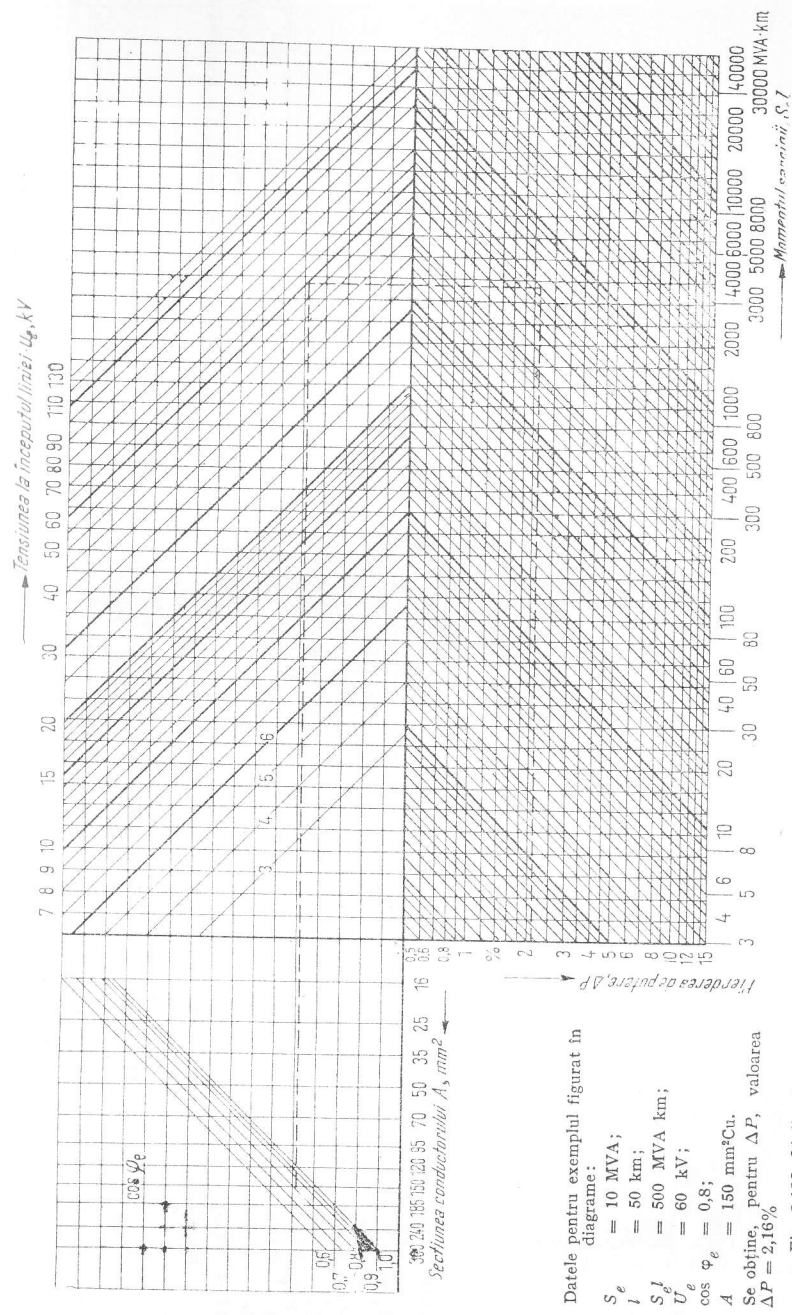
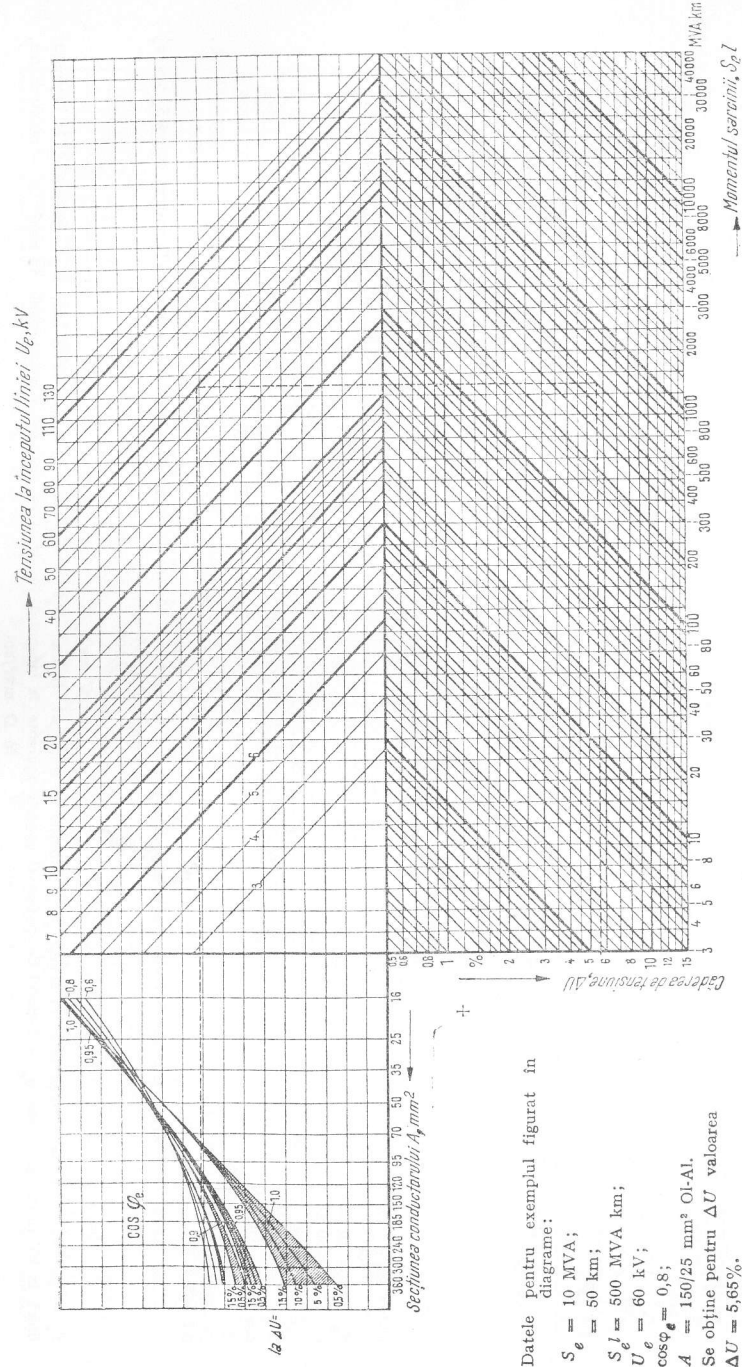


Fig. 8.122. Linii aeriene trifazate de înaltă tensiune, cu conductoare de cupru,  $f = 50 \text{ Hz}$ . Pierderea de putere  $\Delta P\%$ , raportată la puterea activă  $S_e \cos \varphi_e$  la începutul liniei este

$$\Delta P\% = \frac{S_l 100 \rho}{S_e \cos \varphi_e A}$$

$S_e$  — puterea aparentă transportată, în MVA;  $l$  — distanța de transport, în km;  $S_l$  — momentul sarcinii, în MVA km;  $U_e$  — tensiunea la începutul liniei, în kV (între faze);  $\cos \varphi_e$  — factorul de putere al puterii aparente la începutul liniei;  $A$  — secțiunea conductorului, în  $\text{mm}^2$ ;  $\rho$  — rezistivitatea, în  $\Omega \text{ mm}^2/\text{km}$ .





Datele pentru exemplul figurat în diagramă:

$S_e = 10$  MVA;

$l = 50$  km;

$S_l = 500$  MVA km;

$U_e = 60$  kV;

$\cos \varphi_e = 0,8$ ;

$A = 150/25$  mm² Ol-Al.

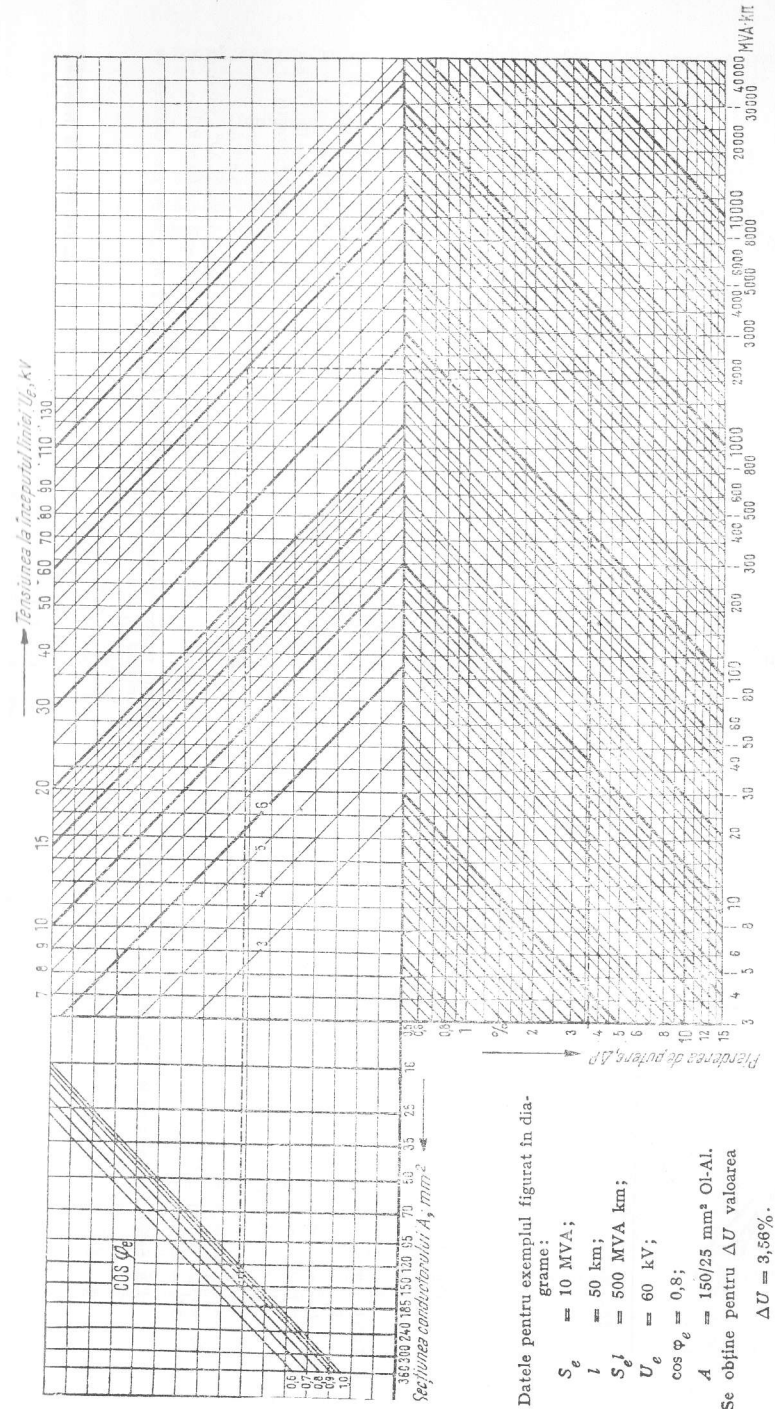
Se obține pentru  $\Delta U$  valoarea

$\Delta U = 5,65\%$ .

Fig. 8.123. Linii aeriene trifazate de înaltă tensiune cu conductoare de aluminiu sau Ol-Al,  $f = 50$  Hz. Căderea de tensiune  $\Delta U\%$  raportată la tensiunea  $U_e$  la începutul liniei este

$$\Delta U\% = \frac{S_e l}{U_e^2} \left[ \frac{\rho}{A} \cos \varphi_e + X_L \sin \varphi_e \right] + \frac{1}{200} \left[ \frac{S_e l}{U_e^2} \left( X_L \cos \varphi_e - \frac{\rho}{A} \sin \varphi_e \right) \right]^2$$

$S_e$  — puterea aparentă transportată, în MVA;  $l$  — distanța de transport, în km;  $S_l$  — momentul sarcinii, în MVA km;  $U_e$  — tensiunea la începutul liniei în kV (între faze);  $\cos \varphi_e$  — factorul de putere al puterii aparente la începutul liniei;  $A$  — secțiunea conductorului, în mm²;  $\rho$  — rezistivitatea, în  $\Omega$  mm²/km;  $X_L$  — reactanța inductivă, în  $\Omega$ /km.



Datele pentru exemplul figurat în diagramă:

$S_e = 10$  MVA;

$l = 50$  km;

$S_l = 500$  MVA km;

$U_e = 60$  kV;

$\cos \varphi_e = 0,8$ ;

$A = 150/25$  mm² Ol-Al.

Se obține pentru  $\Delta U$  valoarea

$\Delta U = 3,58\%$ .

Fig. 8.124. Linii aeriene trifazate de înaltă tensiune cu conductoare din Al sau Ol-Al,  $f = 50$  Hz. Pierderea de putere  $\Delta P\%$ , raportată la puterea activă  $S_e \cos \varphi_e$  la începutul liniei

$$\Delta P\% = \frac{S_e l}{U_e^2 \cos \varphi_e} \left[ \frac{\rho}{A} \cos \varphi_e + X_L \sin \varphi_e \right]$$

$S_e$  — puterea aparentă transportată, în MVA;  $l$  — distanța de transport, în km;  $S_l$  — momentul sarcinii, în MVA km;  $U_e$  — tensiunea la începutul liniei, în kV (între faze);  $\cos \varphi_e$  — factorul de putere al puterii aparente la începutul liniei;  $A$  — secțiunea conductorului, în mm²;  $\rho$  — rezistivitatea, în  $\Omega$  mm²/km.



Căderile de tensiune  $\Delta U$  și pierderile de putere  $\Delta P$

*Linie aeriană fără derivații*

Căderile de tensiune și pierderile de putere la capătul liniilor aeriene în sarcină sint indicate în fig. 8.121 ... 8.125 de la p. 598 ... 602. Formulele de calcul sint date în diagrame.

*Linie aeriană cu derivații*

Căderile de tensiune și pierderile de putere pe liniile aeriene cu derivații se pot obține tratind porțiunile individuale de transport ca unități separate. O metodă exactă pentru determinarea lor este dată la pag. 402, în tabelul 8.1.

### 8.9. INSTALAȚII ELECTRICE

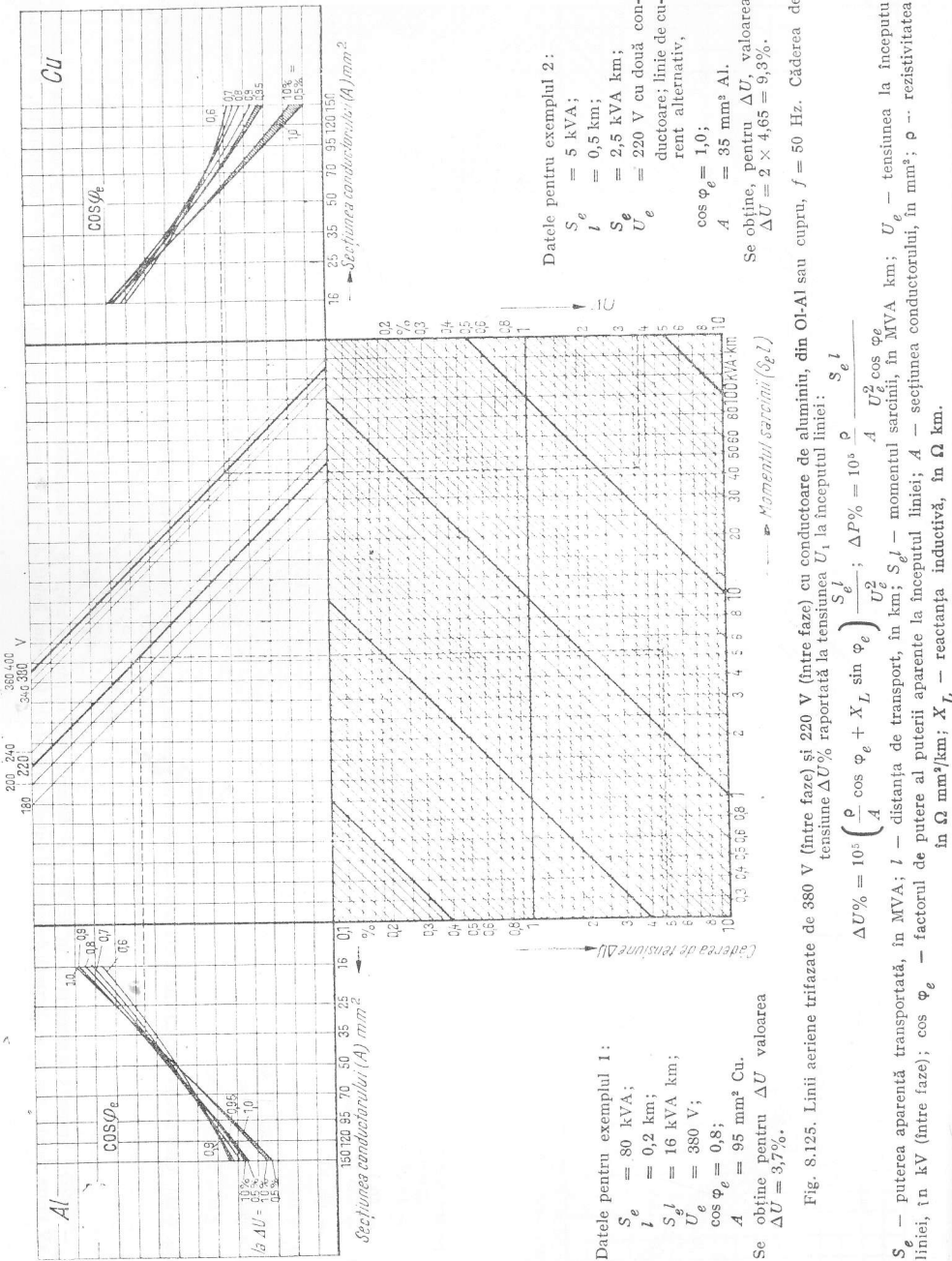
Tabelul 8.81. Calculul căderii de tensiune și al secțiunii

Legea lui Ohm	$U = RI$	Felul curentului	Căderea de tensiune, V	Secțiunea mm <sup>2</sup>
Cînd se cunoaște curentul $I$				
Puterea în c.c. ....	$P = UI$	c.c.	$\Delta U = \frac{2II}{\gamma A}$	$A = \frac{2II}{\gamma \Delta U}$
Randamentul .....	$\eta = \frac{P_u}{P_a}$	c.a. monofazat	$\Delta U = \frac{2II}{\gamma A} \cos \varphi$	$A = \frac{2II}{\gamma \Delta U} \cos \varphi$
Puterea activă în c.a. monofazat .....	$P = UI \cos \varphi$	c.a. trifazat	$\Delta U = \frac{\sqrt{3}II}{\gamma A} \cos \varphi$	$A = \frac{\sqrt{3}II}{\gamma \Delta U} \cos \varphi$
Cînd se cunoaște puterea $P$				
Puterea activă în c.a. trifazat .....	$P = \sqrt{3}UI \cos \varphi$	c.a. monofazat și c.c.	$\Delta U = \frac{2IP}{\gamma AU}$	$A = \frac{2IP}{\gamma \Delta U U}$
Rezistența conductorului .....	$R = \frac{l}{\gamma A}$	c.a. trifazat	$\Delta U = \frac{IP}{\gamma AU}$	$A = \frac{IP}{\gamma \Delta U U}$

Observații: 1. Relațiile din tabel sint valabile pentru coloane și circuite de joasă tensiune cu conductoare izolate protejate în tuburi și pentru cabluri, neglijînd inductanța.

2. Semnificația simbolurilor din tabel:  $U$  — tensiunea de lucru, în V;  $\Delta U$  — căderea de tensiune, în V;  $R$  — rezistența, în  $\Omega$ ;  $I$  — curentul, în A;  $P$  — puterea activă, în W;  $l$  — lungimea simplă a conductorului, în m;  $A$  — secțiunea conductorului, în mm<sup>2</sup>;  $\gamma$  — conductivitatea, în Sm/mm<sup>2</sup>;  $\eta$  — randamentul;  $P_u$  — puterea utilă, în W;  $P_a$  — puterea absorbită, în W;  $\cos \varphi$  — factorul de putere.

3. Valorile pentru conductivitate sint date în tabelele 2.21 și 2.22, iar, valorile puterilor uzuale pentru aparatele electrocasnice, în tabelele 13.28 și 13.29.



## Conductoare izolate pentru curenți tari

**Prescripții.** Pentru circuitele electrice se admit numai acele tipuri de conductoare, care corespund prescripțiilor respective din diferite țări. În aceste prescripții, în mod obișnuit, sînt specificate conductoarele pentru curenți tari, utilizate în instalații fixe și pentru racordarea receptoarelor mobile.

**Fire indicatoare.** În conformitate cu normele germane se admite ca conductoarele să aibă un fir indicator al încălzirii de tip. De asemenea ele trebuie să conțină un „fir indicator al firmei”, care, în cazul întreprinderilor Siemens, au succesiunea de culori: verde — alb — roșu — alb.

La conductoarele cu înveliș izolan din material sintetic termo-plastic în locul firelor indicatoare sau pe lângă acestea se folosește pentru identificare marcarea sau imprimarea continuă pe înveliș.

**Tensiunea nominală** este valoarea efectivă a tensiunii sinusoidale, aplicate între conductoarele a două faze, în curent alternativ, sau între conductoarele de lucru, în curent continuu, pentru care s-a prevăzut izolația conductorului respectiv și care definește acest conductor.

**Tensiunea de lucru** este tensiunea care există în orice moment între conductoarele unui circuit.

Obișnuit tensiunea admisibilă poate depăși tensiunea nominală a conductoarelor cu pînă la 15%. De aceea conductoarele se pot folosi:

1) În instalații de curent trifazat a căror tensiune de lucru (în triunghi) nu este mai mare de 1,15 ori tensiunea nominală a conductorului.

2) În instalații de curent monofazat și de curent continuu a căror tensiune de lucru nu este mai mare de 1,15 ori tensiunea nominală a conductorului.

3) În instalații de curent monofazat și de curent continuu cu un pol legat la pămînt a căror tensiune de lucru nu depășește de  $1,15/\sqrt{3} = 0,66$  ori tensiunea nominală a conductorului.

Excepțiile se specifică de la caz la caz.

**Sarcina.** Pentru capacitatea de încălzire a conductoarelor și pentru protecția lor electrică sînt valabile tabelele 8.82 ... 8.84.

Încălzirea conductoarelor izolate în regim permanent este arătată în tabelul 8.82. Valorile încălzirilor date în acest tabel asigură încălzirea conductoarelor în limitele admisibile și anume (inclusiv temperatura mediului ambiant):

- pînă la  $+60^{\circ}\text{C}$ , pentru conductoare cu izolație din cauciuc;
- pînă la  $+65^{\circ}\text{C}$ , pentru conductoare cu izolație din materiale sintetice termo-plastice.

Valorile date în tabel au un coeficient de siguranță, pentru a permite montarea grupată a numărului de conductoare indicat; în cazul cînd este necesară o dimensionare mai precisă a secțiunii conductoarelor funcție de încălzirea admisibilă, se vor folosi indicațiile fabricii constructoare sau ale normativelor de specialitate. De asemenea, în cazul conductoarelor îngrămădite sau în colaci, sarcina admisibilă se va calcula de la caz la caz. În regim de lucru intermitent, cu durata totală a ciclului de minimum 10 min. din care 4 min. de funcționare, încălzirea admisibilă pentru conductoare de cupru cu secțiunea peste  $10\text{ mm}^2$  și pentru conductoare de aluminiu cu secțiunea peste  $16\text{ mm}^2$  se determină prin înmulțirea valorii încălzirii maxime admisibile în regim permanent indicate în tabele cu coeficientul

$$a = \frac{0,875}{\text{DC}}$$

unde DC este durata relativă de conectare, definită prin raportul dintre timpul de funcționare și durata totală a ciclului; pentru conductoarele cu secțiuni mai mici, încălzirile admisibile sînt cele din regim permanent.

În cazul cînd există posibilitatea unei încălziri de lungă durată a conductoarelor peste valorile menționate mai sus, trebuie să se aleagă pentru protecție un curent reglat la o valoare mai mică.

Tabelul 8.82. Sarcina maximă admisibilă în A, în regim permanent de funcționare a conductoarelor izolate la temperaturi ale mediului ambiant de  $+25^{\circ}\text{C}$

Secțiune nominală mm <sup>2</sup>	Categorie I: 2, 3, 4 conductoare în tuburi sau sub tencuială		Categorie II: corderne multifilare pentru receptoare mobile		Categorie III: conduțe unifilare pentru instalații în aer	
	Cu	Al	Cu	Al	Cu	Al
0,5	—	—	12	—	—	—
0,75	—	—	14	—	13	—
1	14	—	16	—	15	—
1,5	16	—	20	—	20	—
2,5	25	19	28	—	27	18
4	30	23	36	—	36	25
6	40	30	45	—	47	35
10	50	39	60	—	65	48
16	75	55	80	—	87	64
25	90	70	105	—	115	90
35	115	85	130	—	143	110
50	150	120	160	—	173	135
70	185	140	200	—	220	170
95	225	175	—	—	265	200
120	260	200	—	—	310	235
150	—	—	—	—	370	300

**Observație.** În cazul unor temperaturi ale mediului ambiant diferite de  $+25^{\circ}\text{C}$ , sarcina admisibilă în regim permanent se va corecta corespunzător, conform indicațiilor din tabelul 8.83.

Tabelul 8.83. Sarcina admisibilă în regim permanent a conductoarelor izolate, la diferite temperaturi ale mediului ambiant, în % din valorile date în tabelul 8.82

Temperatura, $^{\circ}\text{C}$ .....	+ 5	+ 10	+ 15	+ 20	+ 25	+ 30	+ 35	+ 40
Sarcina, % .....	122	117	112	106	100	94	87	79

Tabelul 8.84. Protecția conductoarelor izolate prin siguranțe fuzibile și relee, funcție de secțiunea lor nominală

Secțiunea conductorului de cupru mm <sup>2</sup>	Curentul nominal al protecției, A											
	Categorie I				Categorie II				Categorie III			
	Forță				Forță				Forță			
	Lumină	Siguranțe	Relee		Lumină	Siguranțe	Relee		Lumină	Siguranțe	Relee	
			EM	T			EM	T			EM	T
0,5	—	—	—	—	6	25	50	15	—	—	—	—
0,75	—	—	—	—	10	35	60	20	10	35	60	20
1	10	35	60	20	10	50	80	25	10	35	70	25
1,5	10	50	80	25	16	63	100	32	16	50	80	32
2,5	16	63	100	40	20	80	125	40	20	80	125	40
4	20	80	125	40	25	100	160	40	25	100	160	60
6	25	100	160	60	35	125	200	60	35	125	200	80
10	35	125	200	80	50	160	270	80	50	160	270	100
16	50	200	315	100	63	200	315	100	63	250	400	125
25	63	250	400	125	80	250	400	125	80	315	500	160
35	80	315	500	160	100	315	500	160	100	400	600	200
50	100	400	600	200	125	400	600	200	125	500	800	250
70	125	500	800	250	160	500	800	315	160	630	1000	315
95	160	630	1000	315	—	—	—	—	200	—	1150	400
120	200	—	1200	400	—	—	—	—	250	—	1400	500
150	—	—	—	—	—	—	—	—	345	—	1650	600

**Observații.**

1. La temperaturi ale mediului ambiant diferite de + 25 °C, curentul nominal al protecției trebuie corectat conform indicațiilor din tabelul 8.83; se va alege valoarea curentului nominal al protecției imediat inferioară valorii calculate.

2. În cazul folosirii conductoarelor din aluminiu, valoarea curentului nominal al protecției se va alege cu o treaptă de reglaj mai jos decât valorile date în tabel pentru aceeași secțiune a conductorului (v. fig. 8.126, a și b).

Tabelul 8.85. Secțiuni minime în folosirea conductoarelor

Destinația conductorului	Secțiune minimă, mm <sup>2</sup>	
	Cu	Al
Circuite de forță și lumină protejate în tuburi, inclusiv derivațiile la un singur loc de lampă și circuitele prizelor din apartamente	1,5	2,5
În interiorul corpului de iluminat	0,75	—
La instalații aeriene interioare cu distanța între izolatoare:		
— între 1 și 2 m	1,5	4
— peste 2 m, până la 6 m	2,5	6
— peste 6 m, până la 15 m	4	10
— peste 15 m	6	16
Circuite primare pentru alimentarea firmelor cu gaze rarefiate	2,5	4
Coloanele dintre tabloul principal și tablouri secundare	2,5	4
Legături dintre contor și tabloul de distribuție din locuințe:		
— peste 220 V	4	6
— sub 120 V	10	16
Pentru instalațiile monofazate:		
— conductoarele de fază (lumină și prize)	1,5	2,5
— conductorul de nul (comun)	2,5	2,5
— între contor și tabloul de distribuție	2,5	4
Circuitele secundare ale reductoarelor de curent	2,5	—

Tabelul 8.85 (continuare)

Destinația conductorului	Secțiune minimă, mm <sup>2</sup>	
	Cu	Al
Legăturile în interiorul tablourilor de distribuție și automatizare:		
— legături lipite	1	—
— legături cu cleme sau borne	1,5	2,5
Pentru racordarea receptoarelor mobile, pentru un curent:		
— până la 6 A	0,75	—
— peste 6 A, până la 10 A	1	—
— peste 10 A, până la 16 A	1,5	—
— peste 16 A, până la 25 A	2,5	—
— peste 25 A, până la 31,5 A	4	—
— peste 31,5 A, până la 40 A	6	—
— peste 40 A, până la 63 A	10	—
Pentru racordarea corpurilor de iluminat portative, pentru un curent:		
— până la 4 A	0,5	—
— peste 4 A, până la 10 A	0,75	—
Conductorul de nul:		
a) în circuite monofazate	ca și conductorul de fază	
b) în circuitele trifazate:		
— până la secțiunea de 16 mm <sup>2</sup>	idem	
— pentru secțiunile de 25 mm <sup>2</sup> și 35 mm <sup>2</sup>	16	16
— pentru secțiunea de 50 mm <sup>2</sup>	25	25
— pentru secțiunea de 70 mm <sup>2</sup>	35	35
— pentru secțiunea de 95 mm <sup>2</sup>	50	50
— pentru secțiunile de 120 mm <sup>2</sup> și 150 mm <sup>2</sup>	70	70
— pentru secțiunea de 185 mm <sup>2</sup>	95	95
— pentru secțiunea de 240 mm <sup>2</sup>	120	120

**Protecția circuitelor**

**Siguranțe.** Siguranțele trebuie montate pe traseul conductoarelor în acele puncte unde sînt absolut necesare, ținînd seama de încărcările admisibile; de exemplu:

— la intrarea în tablourile de distribuție cu peste 5 circuite, alimentate direct din rețeaua publică, sau cu puteri instalate de peste 8 kW, alimentate prin coloane magistrale;

— la plecările coloanelor și circuitelor din tablouri;

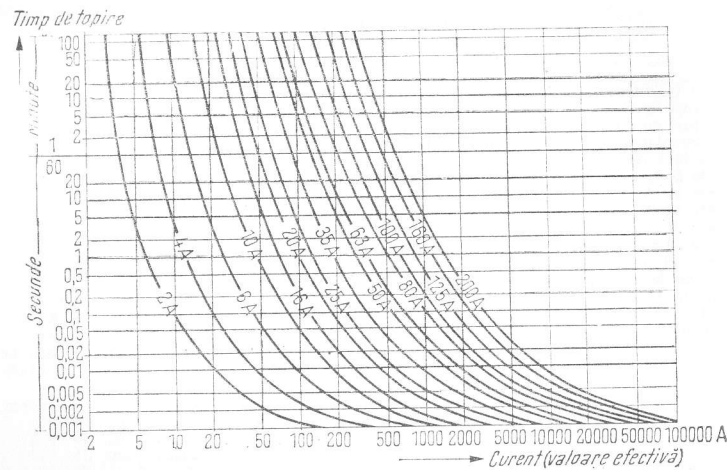
— pe derivații, în punctele de derivație sau la maximum 5 m de ele, dacă secțiunea conductoarelor derivației este mai mică și nu este satisfăcută de siguranțele circuitului sau coloanei magistrale; cînd punctul de derivație este greu accesibil, siguranțele se pot monta convenabil, la distanțe de maximum 30 m de acesta, cu condiția ca secțiunea conductoarelor derivației să aibă o capacitate de transport de minimum 10% din a coloanei magistrale.

**Fuzibilele siguranțelor.** Dependența timpului de topire a fuzibilelor siguranțelor de intensitatea curentului care le străbate este concretizată prin curbele curent-timp. După aceste curbe siguranțele fuzibile pot fi:

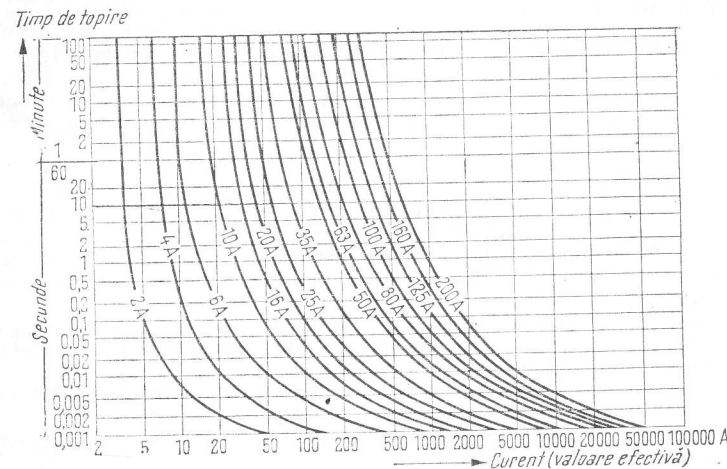
— cu acțiune rapidă, folosite pentru limitarea la minimum posibil a efectelor termice și dinamice ale curenților de scurtcircuit;

— cu acțiune lentă, folosite pentru a suporta curentul de pornire al motoarelor asincrone cu rotorul în scurtcircuit.

În fig. 8.126 s-au reprezentat curbele timp-curent pentru siguranțele fuzibile Siemens-Original DIAZET. Aceste curbe indică caracteristicile medii de funcționare, domeniul lor de folosire lărgindu-se într-o plajă de ± 5% față de valorile date în diagramă.



a



b

Fig. 8.126. Caracteristicile curent mediu-timp, pentru siguranțele Siemens-Original DIAZET: a — cu acțiune rapidă; b — cu acțiune lentă.

**Întreruptoare pentru protecția liniilor (PL).** Întreruptoarele pentru protecția liniilor sint prevăzute cu relee termice (temporizate) și cu relee electromagnetice (instantanee). În acest mod se obține stabilitatea curentului în zone de suprasarcină (prin releele termice) și declanșarea rapidă în caz de scurtcircuit (prin releele electromagnetice).

Caracteristicile întreruptoarelor pentru protecția liniilor (PL) sint superioare celor ale siguranțelor fuzibile, permițând o mai bună utilizare a secțiunii conductoarelor (fig. 8.127).

Contactoarele cu relee românești DITU sau AC-3 nu sint prevăzute cu relee electromagnetice; de aceea, în cazul folosirii lor protecția la scurtcircuit urmează să fie realizată prin siguranțe fuzibile montate în amonte.

**Selectivitatea.** În cazul în care între sursa de alimentare și locul unde s-a produs un defect există înseriate mai multe protecții, va trebui să funcționeze protecția cea mai apropiată de defect, pentru izolarea acestuia și lăsarea în stare de funcționare a restului rețelei. Aceasta se realizează dacă caracteristicile curent-timp ale siguranțelor și ale întreruptoarelor PL legate în serie nu se întrepătrund. De aceea, la proiectarea protecției liniilor va trebui să se țină seamă de următoarele reguli:

- 1) În cazul folosirii siguranțelor rapide curenții nominali se eșalonează din două în două trepte. Pentru siguranțele Siemens—Original DIAZET selectivitatea se poate obține eșalonându-se curentul nominal la o singură treaptă.
- 2) Siguranțele cu topire lentă se pot eșalona la o singură treaptă de curent.
- 3) Nu se vor introduce siguranțe cu topire rapidă înaintea siguranțelor cu topire lentă în sensul circulației de energie; se pot însă introduce siguranțe cu topire lentă înaintea siguranțelor cu topire rapidă.
- 4) La legarea în serie a siguranțelor cu topire lentă și a întreruptoarelor PL se va ține seama ca siguranțele dinaintea întreruptorului să aibă curentul nominal mai mare cu cel puțin două trepte, pentru curenți de scurtcircuit de valoare probabilă pînă la 500 A și de cel puțin trei trepte, pentru curenți de scurtcircuit mai mari de 500 A. Indicațiile asupra comportării selective a siguranțelor și întreruptoarelor PL sint date de valorile termice care determină timpul de topire al fuzibilelor și de timpii de întrerupere ai întreruptoarelor.

Pentru înlăturarea posibilității deteriorării întreruptoarelor automate pentru protecția liniilor în cazul depășirii puterii de rupere nominale, se vor monta în amonte

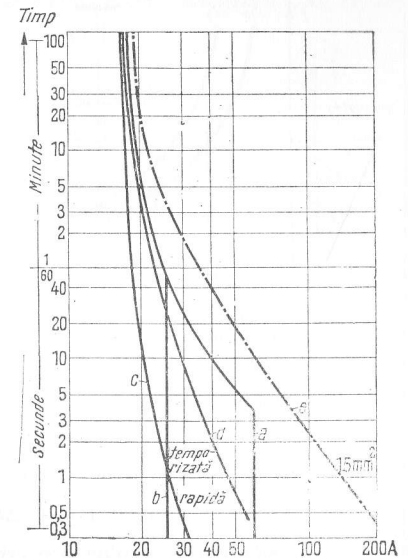


Fig. 8.127. Compararea caracteristicilor curent-timp:

a — caracteristica medie curent-timp pentru un întreruptor PL tip L 10 A; b — caracteristica medie curent-timp pentru un întreruptor PL tip H 10 A; c — caracteristica medie curent-timp pentru o siguranță cu topire rapidă de 10 A; d — caracteristica medie curent-timp pentru o siguranță cu topire lentă de 10 A; e — curentul nominal al unui conductor de cupru de 1,5 mm<sup>2</sup>.



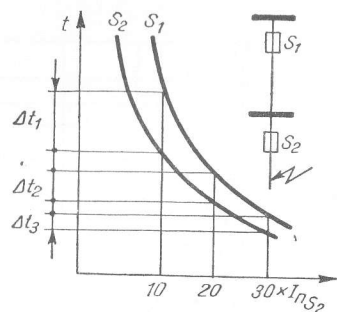


Fig. 8.128. Determinarea grafică a selectivității protecției liniilor.

siguranțe fuzibile cu topire lentă corespunzătoare. Pentru întreruptoarele cu curentul nominal până la 100 A, această prevedere este obligatorie.

5) Asigurarea selectivității prin întreruptoare PL nu este posibilă, deoarece, chiar dacă există o eșalonare a curenților nominali, în cazul unui scurtcircuit relelele cu declanșare rapidă pot funcționa simultan.

Se menționează că problema selectivității protecției devine mai complicată când siguranțele sunt de fabricație diferită, deoarece caracteristicile timp-curent se pot intersecta. În aceste cazuri aprecierea selectivității se va face trasind curbele siguranțelor care îmbracă plaja valorilor curenților de protecție (exemplu fig. 8.128) și alegându-le pe acelea care:

— nu se intersectează sau se intersectează pentru valori ale curentului mai mari decât cele ale curentului de scurtcircuit la locul instalării siguranței;

— au diferențele de timp, măsurate pe diagramă, corespunzătoare treptelor de curent de 10, 20, 30 ori curentul nominal al siguranței, respectiv de:

$$\Delta t_1 \geq 1 \text{ s}; \quad \Delta t_2 \geq 0,5 \text{ s}; \quad \Delta t_3 \geq 0,02 \text{ s}.$$

La siguranțele rapide și pentru curenți nominali mici se admit și valori mai reduse ale treptelor de timp.

#### Tuburi și țevi de protecție

**Tuburi izolate metalice.** Sunt confecționate dintr-o manta din tablă de oțel, plumbuită sau lăcuită pe ambele părți, care îmbracă un tub de carton impregnat. Se utilizează în montaj aparent sau îngropat (IP, IPF, IPFR, IPE).

**Tuburi izolate din PVC.** Se folosesc pentru montaj aparent sau îngropat, în anumite condiții de temperatură (IPY, IPFY, IPEY).

**Tuburi sau țevi de oțel fără înveliș izolan.** Pot fi filetate sau nu; se folosesc în montaj aparent sau îngropat (PEL, T).





**Țevă din PVC dur** filetată la capete. Se folosește de asemenea în montaj aparent sau îngropat, în anumite condiții de temperatură și în locuri ferite de deteriorări mecanice (U).

Alegerea tipului de tub se face funcție de caracteristicile mediului ambiant și de protecția mecanică cerută de locul de pozare, iar a diametrului tubului, funcție de numărul și de secțiunea conductoarelor care se protejează, conform indicațiilor din tabelul 8.86 și 8.87.

#### Domenii de utilizare a conductoarelor izolate

Alegerea corectă a tipului de conductor funcție de destinația instalației și de locul de pozare se face ținând seama de diverse prescripții. În tabelele 8.88...8.90 se dau indicații generale asupra domeniilor de utilizare a conductoarelor izolate folosite obișnuit în R. S. R.

Tabelul 8.86. Diametrul interior minim al tuburilor și țevelor pentru protecția conductoarelor F, AF, FY, AFY

Secțiunea conductorului mm <sup>2</sup>				
	Diametrul interior minim necesar, mm <sup>2</sup>			
1	11	11	13,5	16
1,5	11	13,5	13,5	16
2,5	11	13,5	16	21
4	13,5	16	21	21
6	13,5	21	21	21
10	13,5	21	21	29
16	16	29	29	29
25	21	29	36	36
35	21	36	36	36
50	21	36	42	50
70	29	42	50	65
95	29	50	65	65
120	36	65	65	80
150	36	65	65	80
185	36	65	80	80

#### Observații.

1. Valorile diametrelor date în tabel sînt cele ale tuburilor IPE (deasupra liniei frîntă) și ale țevelor de oțel de instalații (sub linia frîntă). În cazul în care se alege alt tip de tub sub țeava de protecție, se vor folosi diametrele echivalente date în tabelul 8.87.

2. Valorile înscrise în tabel se aplică la alegerea diametrelor tuburilor și țevelor în toate condițiile de pozare, între două doze neexistînd însă mai mult de trei curbe sau coturi.

3. Valorile date în tabel sînt valabile și în cazul folosirii altor conductoare izolate cu același diametru exterior.

Tabelul 8.87. Diametrele interioare ( $\varnothing_i$ ) și exterioare ( $\varnothing_e$ ) ale tuburilor și țevelor de protecție pentru conductoarele izolate

Diametrul de referință, mm	Tuburi metalice izolate				Tuburi izolate PVC				Tuburi și țevi metalice				Țevi PVC	
	IP; IPF		IPE		IPY		IPEY		PEL		T		U	
	$\varnothing_i$ mm	$\varnothing_e$ mm	$\varnothing_i$ mm	$\varnothing_e$ mm	$\varnothing_i$ mm	$\varnothing_e$ mm	$\varnothing_i$ mm	$\varnothing_e$ mm	$\varnothing_i$ mm	$\varnothing_e$ mm	$\varnothing_i$ mm	$\varnothing_e$ mm	$\varnothing_i$ mm	$\varnothing_e$ mm
9	—	—	—	—	—	—	—	—	12,8	15,2	—	—	—	—
11	11	15,8	11	18,6	11	13	—	—	16	18,6	—	—	—	—
13,5	13,5	18,7	13,5	21,4	14	16	14	16	17,8	20,4	15	17	—	—
16	16	21,2	16	22,5	16	18	16,8	20	19,9	22,5	20	21,8	—	—
21	23	28,5	21	28,3	21,8	25	21,8	25	25,5	28,3	25	26,8	—	—
29	29	31,5	29	37	28,4	32	28,8	32	34,2	37	32	33,5	—	—
36	36	42,5	36	47	35,4	36	36,4	40	44	47	40	42,3	—	—
42	—	—	42	54	—	—	46	50	51	54	—	—	46	50
48	—	—	—	—	—	—	—	—	56,3	59	50	60	57,8	63
66	—	—	—	—	—	—	—	—	—	—	65	75,5	69,8	75
80	—	—	—	—	—	—	—	—	—	—	80	88,5	84,2	90



Tabelul 8.88. Conductoare cu domenii speciale de utilizare

Domenii de utilizare		Tensiune nominală, V	Conductoare corespunzătoare (tipuri de bază)
Conducte pentru	aprindere	10 000	VA; VAI; VACT
	lumină și pornire	150	VLP; VLPAr; VLPY
	lumină	150	VLm; VLmp; VLmAr
autovehicule:	locomotive mină	500 c.a. ... 1000 c.c.	VLM
	aviație	10 000	VAvPL
	acumulatoare	—	—
Cabluri navale de lumină și forță, manta	plumb	1000 c.c. 500 c.a.	CNP
	cauciuc		CNI; CNIE; CNIf; CNIAr
	PVC		CNYY; CNYE
	cauciuc, flexibile		CNM; CNMAr; CNMI; CNMA
Cabluri miniere pentru	mașini havat cărbune	660	Tip 1-7
	benzi rulante, excavatoare	660; 3000; 6000	ecranate și neecranate
	instalații forare	250	ecranate și neecranate
	iluminat abataje	250; 660	armate
	instalații mobile în cariere și mine	660; 3000 6000	cu sau fără întăritură exterioară de pînă
Cabluri pentru prospecțiuni petroliere, pentru	lucrări geofizice (de carotaj)	—	KBG; KOBd; KOBdT; KRT; KSB; KTB; KTBt; KTO; KST; KSTN
	alimentarea aparatelor de măsurat și control în lucrări geofizice	—	KPUS; PM; PMO; PRS; PSM; PSMO; PSMS; KRBK; KRPB; KRE; KREP; KTSE
	alimentarea instalațiilor petroliere	—	KTO; PrECu; PrECuO; PrEY; PrSY; PrGCu; PrGCuO; CEP; CEI; CE; OCE; CEY; OCEY; R

Tabelul 8.89. Conductoare izolate de curenți tari pentru instalații fixe

Denumirea conductorului	Simbol	Tensiune nominală V	STAS	Domeniul de utilizare
Conducte de cupru sau aluminu cu izolație de cauciuc	F AF	≤ 500 c.a. 1000 c.c.	526-67 5699-67	În instalații electrice fixe interioare pe role sau în tuburi
Conducte de cupru cu izolație de cauciuc, flexibile	Ff	≤ 500 c.a. 1000 c.c.	526-67	În instalații electrice fixe, cînd se cere la montaj conductor flexibil
Conducte de cupru cu izolație de cauciuc pentru corpuri de iluminat	Fci; Fcii; Fcip; Fcipi	250	1023-67	În instalații fixe, pentru legături în corpurile de iluminat și racordarea acestora la rețea în încăperi uscate
Conducte de cupru cu izolație de cauciuc pentru suspendarea corpurilor de iluminat	Fs	250	—	În instalații electrice fixe, pentru suspendarea corpurilor de iluminat în încăperi uscate
Conducte de cupru cu umplutură din fire textile, armate	FA 1000 FAf 1000	1000	5577-63	În mediu uscat, montate fix pe perete și la instalații pe macarale, poduri rulante, ascensoare etc.
Conducte de cupru cu manta de cauciuc, armate	FAC 1000 FACf 1000	1000	5577-63	În medii cu intemperii, abur, ploaie, montate fix (estacade, macarale, betoniere etc.)
Conducte de cupru speciale cu izolație de cauciuc	FS; FSf; FSff	2000— 15 000	5647-68	În instalațiile fixe din mediile corosive
Conducte puncte	cu izolație PVC și manta cauciuc	1000	6864-63	În încăperi uscate și umede cu intermitență, în montaj obișnuit îngropat în elemente de construcție incombustibile sau între straturi incombustibile; în situații de provizorat poate fi montat aparent pe elemente de construcții sau straturi incombustibile
	cu izolație cauciuc și manta PVC			
	cu izolație și manta din PVC			
Conducte de cupru sau aluminu cu izolație din policlorură de vinil	FY AFY	500	6865-63	Ca și conductoarele F și AF, respectîndu-se temperaturile de montaj (— 5... + 35°C) și cele de exploatare (— 20... + 40°C)

Tabelul 8.90. Conductoare izolate de curenți tari pentru racordarea receptoarelor mobile

Denumirea conductorului	Simbol	Tensiunea nominală V	STAS	Domeniul de utilizare
Șnur cu izolație de cauciuc în împletitură textilă	M	250	4937-66	Racordarea aparatelor electrice de uz casnic sau pentru scopuri similare la rețea, pentru tensiuni nominale alternative de maximum 250 V
Cordon cu izolație din cauciuc în împletitură textilă (plat sau rotund)	Mp; Mr			
Cordon în PVC	MYp; MYUp			
Cordon în manta PVC, execuție	ușoară	250	7350-65	Idem, la solicitări ușoare, respectiv mijlocii, respectind tensiunea nominală
	mijlocie	380		
Cordon în manta de cauciuc execuție	ușoară	380	1236-66	Racordarea aparatelor electrice casnice și semiindustriale, la solicitări mecanice ușoare (lămpi, reșouri etc.)
	mijlocie	500	1236-66	Idem, mijlocii (plite, cuptoare etc.)
Cablu în manta de cauciuc execuție grea	MCG	750	1236-66	Racordarea aparatelor sau mașinilor mobile sau transportabile, la solicitări mecanice grele

## 9. APARATE ELECTRICE

### 9.1. APARATAJ DE JOASĂ TENSIUNE

#### Parametrii echipamentului<sup>1)</sup>

Tensiunea nominală  $U_n$  a unui întreruptor este tensiunea la care se referă capacitatea de rupere a întreruptorului.

Tensiunea nominală de izolație  $U_i$  a unui întreruptor este tensiunea pentru care este prevăzută izolația întreruptorului.

Tabelul 9.1. Tensiunile nominale standardizate, tensiunile nominale de izolație și tensiunile de încercare a rigidității dielectrice<sup>1)</sup>

Tensiunile nominale V		Tensiunile nominale de izolație V		Tensiunea de încercare a rigidității dielectrice (50 Hz) $V_{ef}$
continue	alternative	continue	alternative	
24	24	—	—	1000
—	36	—	—	
48	48(42)	—	—	
—	—	60	60	2000
100 sau 125	110 sau 127	—	—	
220 sau 250	220	—	250	
—	—	—	—	
400	380	440	—	2500
—	660(500)	—	660(500)	
800(750) <sup>2)</sup>	—	800	800	3000
—	1000	1000	1000	3500
1200	—	1200	—	

Conform STAS 553-68.

<sup>2)</sup> Valorile din paranteze sînt folosite în tracțiunea electrică.

<sup>1)</sup> Condițiile generale și speciale precum și terminologia specifică aparatajului electric de joasă tensiune sînt cuprinse în grupa de standarde F 45.

Curentul nominal de lucru  $I_n$  este determinat de condițiile de utilizare, modul de funcționare, domeniul de utilizare, durata de viață a părților componente și de tipul de protecție. Unui întreruptor i se pot atribui mai mulți curenți nominali de lucru diferiți, de exemplu pentru conectarea motoarelor, a sarcinilor capacitive sau rezistive.

Parametrii echipamentului caracterizează domeniul de utilizare al întreruptoarelor pentru motoare, în special al contactoarelor, care nu sînt suficient caracterizate prin indicarea unui curent nominal de lucru. În acest caz se atribuie valori numerice mai mari pentru performanțe mai ridicate.

Capacitatea de anclanșare a unui întreruptor se caracterizează prin curentul maxim (în cazul curentului alternativ, valoarea de vîrf a curentului de scurtcircuit trifazic asimetric maxim) pe care întreruptorul îl poate închide la tensiunea nominală și la inductanța sau factorul de putere impuse de circuitul respectiv.

Capacitatea nominală de rupere a unui întreruptor se caracterizează prin curentul cel mai mare (în cazul curentului alternativ, valoarea efectivă a curentului de scurtcircuit trifazic asimetric maxim) pe care aparatul îl poate întrerupe în cazul unei tensiuni de restabilire egală cu tensiunea nominală și la inductanța sau factorul de putere impuse de circuit.

Tabelul 9.2. Clasificarea întreruptoarelor și contactoarelor

Clasificare după	Tipul întreruptorului	Caracteristici	Exemple
Comportarea mecanică în pozițiile de comutare	Întreruptor de fine de cursă	Fără forță de revenire	Întreruptoare cu pîrghie, întreruptoare cu camă, întreruptoare de presiune
	Cheie (sau buton) de comandă	Cu forță de revenire	Contactoare, întreruptoare principale
	Întreruptoare cu blocaj de poziție	Cu blocaj mecanic și declanșare liberă	Întreruptoare, întreruptoare pentru protecția motoarelor
Modul de lucru	Întreruptoare manuale (sau acționate cu piciorul)	Acționate prin efort uman	Întreruptoare cu acționare manuală
	Întreruptoare cu comandă de la distanță	Acționate prin sursă auxiliară	Întreruptoare acționate cu aer comprimat, motor sau magnet
Capacitatea de rupere	Separatoare	Pentru întreruperea circuitelor practic fără sarcină activă	Întreruptoare de curenți mari, separatoare de izolare de protecție
	Întreruptoare de sarcină	Cu o capacitate nominală de anclanșare și declanșare de pînă la aproximativ $1,5 I_n$	Întreruptor cu pîrghie cu camere de stingere
	Demaratoare pentru motoare	Cu o capacitate nominală de anclanșare și declanșare corespunzătoare curentului de pornire al motoarelor	Cheii de comandă, contactoare, întreruptoare cu presiune
	Cu condiții grele de funcționare	Cu o capacitate nominală de anclanșare și declanșare conform tabelelor 9.3 și 9.6	Întreruptoare, întreruptoare de protecție pentru motoare

Tabelul 9.2 (continuare)

Clasificare după	Tipul întreruptorului	Caracteristici	Exemple
Modul de stingere a arcului	Întreruptoare în aer		În prezent, aproape exclusiv la întreruptoarele de joasă presiune
	Întreruptoare în ulei		Contactoare în ulei
	Întreruptoare cu jet de gaz		Cu utilizare redusă în tehnica de joasă tensiune
Utilizare	Întreruptoare de protecție	Pentru protecție la valori excesive ale curentului, creșterii de temperatură, tensiunii de defect sau tensiunii minime	Întreruptoare de protecție pentru motoare, automate de protecție împotriva curenților de punere la pămînt, automate de siguranță pentru instalații
	Întreruptoare de comandă	Pentru anclanșări și declanșări frecvente	Întreruptoare cu camă, contactoare
	Separatoare	Pentru întreruperea tuturor conductoarelor unui circuit cu indicare precisă a poziției	Întreruptor cu pîrghie de protecție
	Întreruptoare de alegere	Pentru alegerea unei căi de curent din două sau mai multe căi	Comutatoare, comutatoare multiple
	Cheii de comandă	Pentru acționarea circuitelor de comandă	Întreruptoare cu buton de comandă Întreruptoare de comandă la situații anormale, rele
	Întreruptoare de cursă limitatoare, senzori	Pentru acționare atunci cînd limita prescrisă pentru o mărime fizică sau situație de funcționare este depășită sau nu este atinsă	Întreruptoare de fine de cursă, chei de fine de cursă, întreruptoare cu presiune, senzori de presiune, senzori termici
	Contacte auxiliare, normal deschise, normal închise, normal deschise-normal închise, trecător normal deschise	Pentru comutarea circuitelor auxiliare (secundare)	Elemente componente ale echipamentului secundar de comutare pentru comutarea circuitelor de acționare, blocaj și semnalizare, de exemplu

Tabelul 9.3. Capacitatea de rupere minimă a întreruptoarelor de curent alternativ<sup>1)</sup> cu tensiuni nominale pînă la 1000 V

Tipul aparatului	$I_n$ A	Capacitatea de rupere, $I_p$ , kA	cos $\phi$
Întreruptoare automate pentru protecția motoarelor, rețelelor și transformatoarelor	$\leq 100$	5	0,5
	$\leq 200$	10	0,5
	$\leq 400$	15	0,3
	$\geq 630$	$15 < I_p \leq 50$	0,25
		$> 50$	0,2

<sup>1)</sup> Conform STAS 4480-68.

Tabelul 9.4. Tipuri de contactoare și caracteristicile lor principale <sup>1)</sup>

Tipul contactorului	Curentul nominal $I_n$ , A	Tensiunea nominală $U_n$ , V		Puterea maximă a motorului acționat kW
		curent continuu	curent alternativ	
AC3	10	—	500	4
	25	—	500	10
	40	—	500	17
	63	—	500	30
	100	—	500	40
	200	—	500	100
BC	60	220	—	—
MC	80	220	—	—
	100	750	—	—
RMC	150	220	—	—
	80	220	—	—
MCA	150	220	—	—
	16	3000	3000	—

<sup>1)</sup> Conform STAS 4479-61.Tabelul 9.5. Valori standardizate pentru curenții nominali, în A <sup>1)</sup>

0,1	0,12	0,16	0,2	0,25	0,3	0,4	0,05	0,06	0,08
1	1,25	1,6	2	2,5	3,15	4	0,5	0,6	0,8
10	12,5	16	20	25	31,5	40	50	63	80
100	125 <sup>2)</sup>	160	200	250	315	400	500	630	800
1000	1250	1600	2000	2500	3150	4000	5000	6300	8000

<sup>1)</sup> Conform STAS 4297-66.<sup>2)</sup> Se referă la aparatele care urmează să fie alimentate din secundarul transformatoarelor de măsurat.<sup>3)</sup> Valoare tolerată.Tabelul 9.6. Capacitatea de rupere minimă a întreruptoarelor de curent continuu <sup>1)</sup> cu tensiuni nominale până la 1200 V

Tipul aparatului	$I_n$ A	Capacitatea de rupere	$I/R$ ms
Întreruptoare automate pentru protecția motoarelor și rețelelor	$\leq 100$	5	15
	$\leq 200$	8	15
	$\leq 400$	15	15
	$\geq 630$	< 15	15

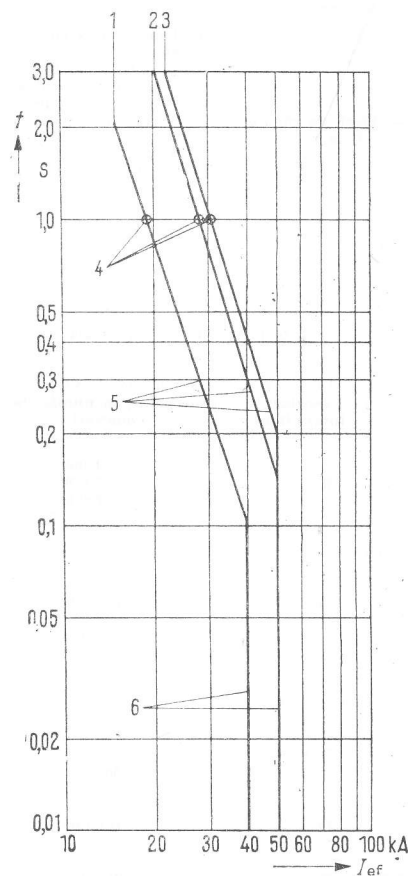
<sup>1)</sup> Conform STAS 4480-68.

Curentul nominal de scurtcircuit de șoc este valoarea instantanee maximă admisibilă a curentului de scurtcircuit neamortizat de pe calea de curent cu solicitarea maximă, al cărui efect dinamic este suportat de întreruptor fără a fi deteriorat.

Curentul nominal de scurtă durată este curentul admisibil de scurtă durată pe care întreruptorul îl poate suporta timp de 1 s fără a suferi deteriorări din cauza creșterii temperaturii. În locul acestui curent se poate folosi un curent de scurtcircuit cu indicarea timpului admisibil.

Fig. 9.1. Curenți admisibili ai întreruptoarelor (aparate Siemens):

1 — întreruptor pentru curent nominal  $I_n = 1000$  A;  
2 — întreruptor pentru curent nominal  $I_n = 2000$  A;  
3 — întreruptor pentru curent nominal  $I_n = 3000$  A;  
4 — curent nominal de scurtă durată (1 s); 5 — curent de scurtă durată; 6 — curent de scurtcircuit de șoc.



#### Parametrii termici

Creșterea maximă de temperatură este creșterea admisibilă de temperatură stabilită pentru elementele componente ale echipamentului.

Temperatura maximă este temperatura admisibilă stabilită pentru elementele componente ale echipamentului. Ea este egală cu suma dintre creșterea maximă de temperatură și temperatura stabilită pentru aerul ambiant.

Tabelul 9.7. Supratemperaturi maxime admisibile ale contactelor <sup>1)</sup>

Denumirea elementului din aparat	Execuția sau materialul elementului	Supratemperatura maximă admisibilă grd
Piesă de contact în aer	a) lamele cu arcuire proprie din cupru sau aliaje din cupru	35
	b) masive cu arcuire separată, forța de contact pînă la 2 kgf, din cupru sau aliaje din cupru	45
	c) masive cu arcuire separată, forța de contact peste 2 kgf, din cupru și aliaje de cupru	65
	d) cu plăci de argint lipite cu aliaje de cositor (STAS 96-49)	80
	e) cu plăci de argint sudate sau lipite cu aliaje de alamă sau argint	Limitată numai de temperatura maximă admisibilă a pieselor învecinate

<sup>1)</sup> Conform STAS 553-68.

Tabelul 9.8. Durata de viață nominală a echipamentului electric fabricat în România

Clasa de serviciu intermitent	Durata de viață mecanică, în număr de conectări	Tipul aparatului
0	1 000	Separatoare tripolare pentru interior de 1 kV
	2 000	Înterruptoare cu manetă tripolare de 200, 350, 600 și 1000
	5 000	Înterruptoare cu pîrghie tripolare de 25, 63 și 100 A A
I	8 000	Înterruptoare automate de uz general tip AMT 200
	10 000	Înterruptoare automate de uz general tip AMT 400, DITA 1000 și AG 350 și întreruptor monopolar de curent continuu tip AV 2
	100 000	Contactoare cu relee în aer DITA 25 și contactor cu relee în construcție antigriztoasă tip AG 60
	120 000	Contactoare cu relee în aer tip AC 3 de 10-160 A și de tip antiexploziv
	250 000	Contactoare monopolare de curent continuu și alternativ tip MCA 16 pentru instalații de încălzire în vagoane CFR și contactor cu relee în construcție antigriztoasă tip AG de 25 și 125 A
	300 000	Contactoare bipolare de curent continuu tip BC 60 pentru acționări de scurtă durată
	500 000	Contactoare de curent continuu de 40, 80, 150 și 250 A, pentru motoare de tracțiune
II	100 000	Contactoare cu relee, în ulei tip DITU de 25, 60 și 100 A și contactoare cu relee în aer tip DITA de 60, 100 și 200 A
	300 000	Contactoare monopolare de curent continuu tip MC de 80 și 150 A, ruptor RMC de 80 și 150 A și contactor bipolar tip BC 80
	500 000	Contactoare de comandă pentru circuite auxiliare de curent continuu
	5 000 000	Contactoare tip AC3 de 100 și 200 A
III	1 000 000	Contactoare monopolare de curent continuu tip MC 100 pentru motoare de troleibuz
	5 000 000	Contactor tip AC 3 de 40 și 63 A
	10 000 000	Contactoare de tip AC3 de 10 și 25 A

## Frecvența de lucru

Este numărul de cicluri de lucru (numărul de operații de conectare și deconectare) pe oră.

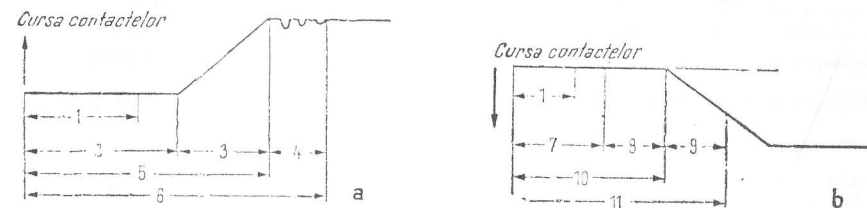


Fig. 9.2. Timpii întreruptoarelor:

a — conectare; b — deconectare; 1 — durata minimă a comenzii; 2 — întârziere la acționare; 3 — timpul de închidere; 4 — durata de vibrație; 5 — întârziere la anclanșare; 6 — timpul total de anclanșare; 7 — timpul de deblocare; 8 — timpul propriu al întreruptorului; 9 — durata arcului; 10 — întârzierea la declanșare; 11 — timpul total de declanșare.

Tabelul 9.9. Timpii întreruptoarelor <sup>1)</sup>

Denumirea	Durata
Pentru procesele de anclanșare și declanșare	
Durata minimă a comenzii	Durata minimă a comenzii de anclanșare sau de declanșare necesară pentru închiderea sau deschiderea completă a întreruptorului
Pentru procesul de închidere (anclanșare)	
Întârzierea la acționare	De la începutul comenzii pînă la începutul mișcării contactului
Timpul de închidere	De la începutul mișcării contactului pînă la prima atingere a contactelor primului pol care se închide
Durata de vibrație	De la prima pînă la ultima închidere a contactelor
Întârzierea la anclanșare	Suma timpilor de întârziere la punerea în mișcare și de închidere
Timpul total de anclanșare	Timpul de la începerea comenzii pînă la închiderea finală a tuturor contactelor
Pentru procesul de deschidere (declanșare)	
Timpul de deblocare	De la apariția stării care determină deblocarea pînă la deblocarea întreruptorului
Timpul propriu al întreruptorului	De la deblocarea întreruptorului pînă la deschiderea contactului din ultima cale de curent
Durata arcului	De la deschiderea contactului pînă la stingerea arcului la toți polii
Întârzierea la declanșare	Suma timpului de deblocare cu timpul propriu al întreruptorului
Timpul total de declanșare	Timpul de la apariția stării care determină deblocarea pînă la sfîrșitul circulației de curent la toți polii

<sup>1)</sup> Definițiile acestor timpi standardizați în R.S.R. sînt stabilite prin STAS 4480-68.



Tabelul 9.10. Dispozitive de declanșare cu măsurare și rele

Modul de declanșare	Declanșare la
Declanșare la suprasarcină	Depășirea unei anumite valori de curent
Declanșare la curent minim	Scăderea curentului sub o anumită valoare
Declanșare la curent invers	Inversarea sensului curentului
Declanșare la tensiune minimă, declanșare la tensiune nulă	Scăderea tensiunii sub o anumită valoare
Declanșare la curent de defect	Depășirea unui anumit curent de defect
Declanșare la tensiune de defect	Depășirea unei anumite valori a tensiunii de defect
Supraintensitate în conductorul comun	Depășirea unui anumit curent în conductorul comun

## Dispozitive de declanșare și rele

Dispozitivele de declanșare sînt elemente componente ale întreruptoarelor pe care le deblochează mecanic. Releele sînt dispozitive care comandă electric alte dispozitive. Dispozitivele de declanșare și releele sînt acționate de mărimi fizice, în special electrice, care variază.

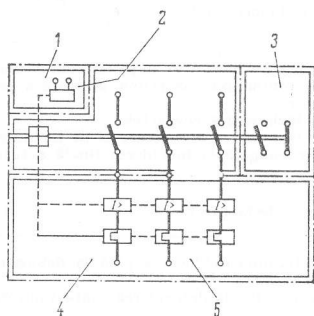


Fig. 9.3. Schema de legături a unui întreruptor de protecție pentru motoare prevăzut cu dispozitive de declanșare de curent temporizate termic și instantanee electromagnetice și cu dispozitiv de declanșare la tensiune minimă:  
 1 — dispozitiv de declanșare în circuit deschis (cu curent de lucru); 2 — dispozitiv de declanșare la tensiune minimă; 3 — dispozitiv de declanșare la tensiune nulă; 4 — placă cu borne; 5 — dispozitiv de declanșare trifazică la supracurent.

Există dispozitive de declanșare cu măsurare și dispozitive de declanșare fără măsurare (de exemplu în circuit deschis).

Tabelul 9.11. Valori de reglaj și de acționare ale dispozitivelor de declanșare electromagnetice cu măsurare și ale releelor<sup>1)</sup>

Mărimea de acționare	Utilizare	Valoarea temporizării	Valoarea de reglaj ca multiplu al valorii nominale	
			Reglabilă între limitele	Fixă, reglată la o valoare cuprinsă între
Supracurent	Mod preferat de declanșare la scurtcircuit pentru	Automate de protecție pentru generatoare	Fără temporizare sau cu temporizare scurtă	3 pînă la 6 — 6 pînă la 12 ~ 2 pînă la 4 — 3 pînă la 6 ~ 2 și 6 — 3 și 6 ~
		Automate de linie		
		Automate pentru motoare	Fără temporizare	4 pînă la 8 ~ 8 și 14 ~
	Pentru declanșare la suprasarcină		Temporizare dependentă sau independentă de curent	1,2 pînă la 2 ~
Curent minim	Întreruptor sau releu de curent minim		Instantaneu	0,1 și 0,15 —
Curent invers	Întreruptor sau releu de curent invers		Instantaneu	0,05 și 0,15
Tensiune minimă	Releu sau dispozitiv de declanșare de tensiune minimă pentru automate de protecție		Fără temporizare, sau cu temporizare independentă, sau cu temporizare dependentă	0,07 și 0,35
Tensiune nulă	Releu sau dispozitive de declanșare de tensiune nulă pentru automate de protecție		Instantaneu	0,35 și 0,1 ~
Curent de defect	Automate de protecție la curent de defect (ID)		Temporizare scurtă, timpul de întrerupere ≤ 0,2 s	
	Declanșare prin curent diferențial pentru automate de protecție pentru instalații		Temporizare dependentă	

<sup>1)</sup> Condițiile generale privind releele electrice de măsurat standardizate în R.S.R. sînt stabilite în STAS 4196-63.

Tabelul 9.12. Curenți de acționare și timpi de declanșare ai dispozitivelor de declanșare la supracurent și ai releelor dependente de curent, cu temporizare termică (dispozitive și relee cu bimetal) la temperatura ambiantă de 20°C

Curentul de acționare ca multiplu al valorii de reglaj	Timpul de declanșare	Observații
1,05	> 2 h	Începând din stare rece
1,20 <sup>1)</sup>	< 2 h	Începând din starea de funcționare caldă <sup>2)</sup>
1,50	< 2 min <sup>3)</sup>	Începând din starea de funcționare caldă <sup>3)</sup>
6,00	> 2 s <sup>4)</sup> > 5 s <sup>5)</sup>	Începând din stare rece
2,00	< 30 s	Începând din stare rece <sup>6)</sup>

<sup>1)</sup> În cazul când dispozitivele de declanșare sau releele trifazice au sarcina numai pe doi poli, se admite o creștere a curentului de acționare cu 10%, iar în cazul sarcinii pe un singur pol, creșterea admisibilă este de 20%.

<sup>2)</sup> Încărcare prealabilă cu curentul de reglaj pînă la încălzirea finală.

<sup>3)</sup> Pentru întrerupătoare de protecție a motoarelor. Se admit timpi mai lungi de declanșare în cazul automatelor pentru motoare cu condiții grele de pornire, dacă motoarele suportă suprasarcini cu o durată mai mare de 2 min de 1,5 ori curentul nominal al motorului.

<sup>4)</sup> Pentru automate de protecție de motoare, în cazul motoarelor cu condiții ușoare de pornire: grad de inerție I (v. fig. 9.4).

<sup>5)</sup> Pentru automate de protecție de motoare, în cazul motoarelor cu condiții grele de pornire: grad de inerție II.

<sup>6)</sup> Numai pentru dispozitive de declanșare de pe conductorul median al întrerupătoarelor de protecție de instalații.

#### Siguranțe de joasă tensiune cu mare putere de rupere (siguranțe JTMPR<sup>1)</sup>)

Siguranțele JTMPR de joasă tensiune au un element fuzibil și o capacitate nominală de rupere de cel puțin 25 kA pentru o tensiune alternativă de 500 V și pentru o tensiune continuă de 440 V. Siguranțele MPR se compun dintr-un soclu și un element fuzibil ce se poate schimba <sup>2)</sup>.

Tabelul 9.13. Dimensiuni de siguranțe 00-4

Dimensiunea	Curentul nominal
00	6 pînă la 100
0	6 pînă la 160
1	80 pînă la 250
2	200 pînă la 400
3	315 pînă la 630
4	500 pînă la 1000

Tipuri de siguranțe: lente și instantanee (rapide).

<sup>1)</sup> Inițialele JTMPR înlocuiesc expresia germană „siguranța de joasă tensiune și mare putere“.

<sup>2)</sup> Condițiile generale privind siguranțele rapide cu mare putere de rupere, de joasă tensiune, standardizate în România sînt stabilite în STAS 4173-67.

Tabelul 914. Curenți de încercare și durata încercărilor pentru elemente fuzibile închise

Curentul nominal $I_n$ A	Curent de încercare de valoare redusă (fără întrerupere în timpul încercării)	Curent de încercare de valoare mare (întrerupere în timpul încercării)	Durata încercării, ore
Peste 25 pînă la 63	$1,3 I_n$	$1,6 I_n$	1
Peste 63 pînă la 160	$1,3 I_n$	$1,6 I_n$	2
Peste 160 pînă la 400	$1,3 I_n$	$1,6 I_n$	3

Tabelul 9.15. Timpii siguranțelor

Denumirea	Timpul
Timp de topire .....	De la apariția supraințensității pînă la începerea procesului de întrerupere
Timp de stingere .....	De la începutul pînă la sfîrșitul procesului de întrerupere
Timp de întrerupere .....	Suma timpului de topire și timpului de stingere
Caracteristica .....	Raportul dintre intensitatea curentului de topire și supraințensitate

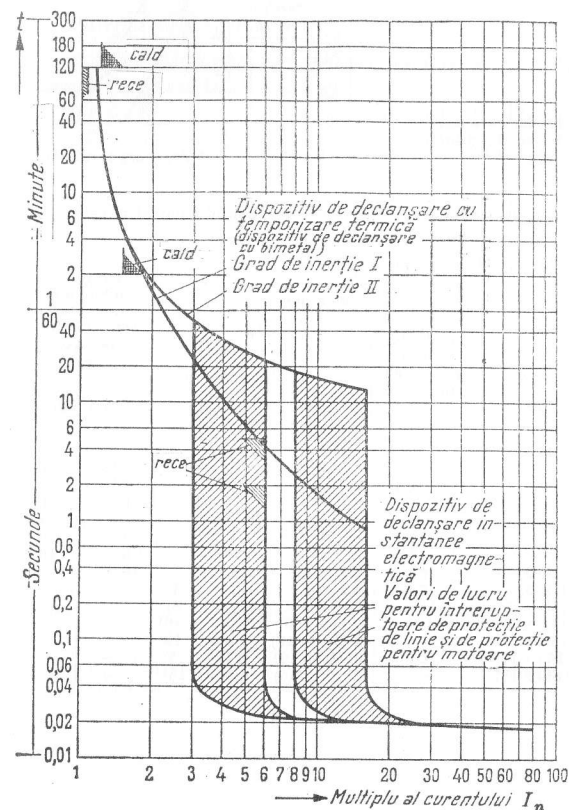


Fig. 9.4. Modul de declanșare al întrerupătoarelor de suprasarcină cu temporizare termică și declanșator instantaneu electromagnetic.

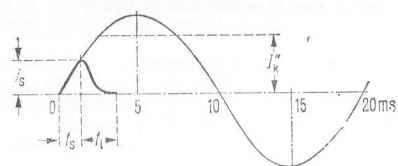
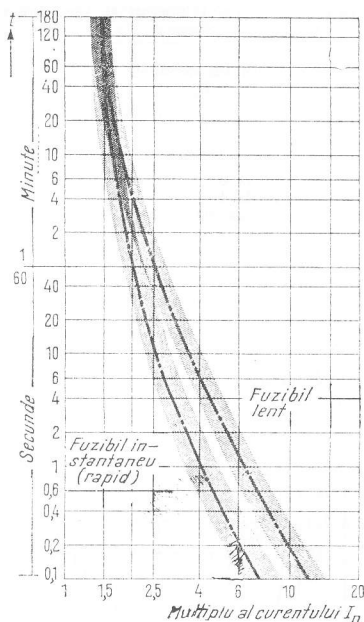


Fig. 9.5. Curenți și timpi caracteristici pentru siguranțe fuzibile:

$t_s$  — timp de stingere;  $t$  — timp de topire;  
 $I''_k$  — curentul de scurtcircuit simetric inițial;  
 $i_s$  — valoarea de vîrf a curentului real, în A.

Fig. 9.6. Caracteristici de timp de topire a siguranțelor fuzibile ( $I_n = 80$  A) cu benzi de dispersiune.



Tabelul 9.16. Secțiunile nominale ale conductoarelor de racord funcție de curentul nominal al aparatului <sup>1)</sup>

Curentul nominal A	Secțiunea nominală a conductoarelor						Secțiunea nominală a conductoarelor pentru prize și fișe mobile mm²	
	minimă			maximă				
	Conductor rotund masiv sau flexibil mm²	Bară		Conductor rotund masiv sau flexibil mm²	Bară			
		de Cu mm	de Al mm		de Cu mm	de Al mm		
pină la							minim	maxim
6,3	0,75	—	—	2,5	—	—	0,75	1
10	1	—	—	2,5	—	—	0,75	1
16	1,5	—	—	4	—	—	1	1,5
31,5	4	—	—	6	—	—	2,5	4
40	6	—	—	10	—	—	4	6
63	10	—	—	16	—	—	6	10
100	16	15 × 2	15 × 3	25	20 × 2	20 × 5	16	25
200	50	20 × 3	20 × 5	70	25 × 5	2 (20 × 5)	—	—
400	120	30 × 5	2 (30 × 3)	185	2 (25 × 5)	2 (30 × 5)	—	—
630	240	40 × 10	2 (40 × 5)	2 × 185	2 (40 × 5)	2 (40 × 10)	—	—
1000	2 × 240	50 × 10	2 (50 × 10)	—	2 (50 × 10)	2 (80 × 10)	—	—
2000	—	2 (80 × 10)	2 (100 × 10)	—	2 (100 × 10)	2 (120 × 15)	—	—
3150	—	2 (120 × 10)	2 (160 × 10)	—	2 (100 × 10)	2 (160 × 15)	—	—

<sup>1)</sup> Conform STAS 553-68.

## 9.2. APARATAJ DE ÎNALTĂ TENSIUNE <sup>1)</sup>

### 9.2.1. Întreruptoare <sup>2)</sup>

#### Generalități

Întreruptoarele sînt dispozitive automate care au o astfel de capacitate de rupere și de anclanșare încît aparatul poate suporta solicitările care se produc atunci cînd echipamentul și părți ale unei instalații sînt anclanșate sau declanșate în condiții normale și anormale, în special în condiții de scurtcircuit.

Valorile nominale sînt valorile caracteristice pentru care sînt dimensionate întreruptoarele sau accesoriile lor și la care se raportează alte valori nominale.

Valorile nominale cuprind:

Tensiunea nominală, frecvența nominală, curentul nominal, curentul nominal nesimetric, curentul nominal de scurtă durată, curentul nominal de rupere (simetric sau nesimetric), puterea nominală de rupere, curentul nominal de anclanșare, frecvența naturală nominală a tensiunii de restabilire, factorul nominal de amplitudine, regimul nominal de funcționare, presiunea nominală.

Valoarea nominală a izolației este o denumire standardizată pentru caracterizarea parametrilor izolației unui întreruptor sau ai unui element accesoriu.

#### Puterea de rupere

Puterea de rupere simetrică nominală  $P_r$  (în VA) a unui întreruptor tripolar se definește prin relația

$$P_r = I_{pr} U_r \sqrt{3}$$

în care:  $I_{pr}$  este curentul nominal de rupere simetric (în A) în momentul primei separări a contactelor;

$U_r$  — tensiunea de restabilire de linie (în V), la frecvența de serviciu, după întreruperea curentului la toți polii și amortizarea componentei tranzitorii a tensiunii de restabilire.

Puterea de rupere este o valoare convențională, deoarece cele două elemente care o compun și anume „curentul nominal de rupere” și „tensiunea de restabilire” nu apar simultan, ci consecutiv. Conform convențiilor internaționale, în viitor se va folosi numai curentul nominal de rupere pentru definirea capacității de rupere a unui întreruptor.

#### Regim de lucru

Stingerea arcului nu se produce simultan la cei trei poli ai unui întreruptor trifazic, ci consecutiv, la trecerea prin zero a curentului pe cele trei faze. De asemenea, solicitarea pe cei trei poli este diferită în raport cu tensiunea maximă și durata trecerii cu-

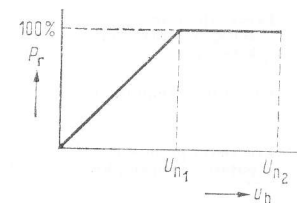


Fig. 9.7. Caracteristica puterii de rupere a unui întreruptor în funcție de tensiunea de lucru:  $P_r$  — puterea de rupere;  $U_b$  — tensiunea de lucru;  $U_{n1}$  — tensiunea nominală inferioară;  $U_{n2}$  — tensiunea nominală superioară.

<sup>1)</sup> V. STAS 5081-55.

<sup>2)</sup> V. STAS 3686-63 (în curs de revizuire).

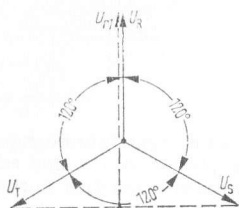


Fig. 9.8. Steaua tensiunilor înainte și după întreruperea curentului pe primul pol la care se execută stingerea (faza R) în timpul întreruperii unui scurtcircuit trifazic  $U_R, U_S, U_T$  — tensiuni pe fază;  $U_{r1}$  — tensiunea de restabilire la primul pol care execută întreruperea, după întreruperea curentului și amortizarea componentei tranzitorii a tensiunii de restabilire.

unde  $t_m$  (în s) este durata de timp între valoarea zero și valoarea de vîrf a tensiunii tranzitorii de restabilire.

La încercarea întreruptoarelor pentru diverse tensiuni nominale trebuie să se respecte anumite valori ale factorului de amplitudine  $\gamma$  și ale frecvenței proprii de oscilație  $f_n$  (în Hz) a tensiunii tranzitorii de restabilire.

#### 9.17. Frecvențele proprii de oscilație ale tensiunilor tranzitorii de restabilire și factorii de amplitudine<sup>1)</sup>

Tensiunea nominală, kV	6	10	(15)	20	35	(60)	110	220	400
Frecvența proprie la 100% putere de rupere, kHz	6	4	3,3	2,5	1,8	1	0,8	0,6	0,4
Factorul de amplitudine	1,5								
Frecvența proprie la 50% putere de rupere, kHz	20	15	12	9	7	4,5	3	2	1
Factorul de amplitudine	1,5								

<sup>1)</sup> Conform STAS 3686-63 (în curs de revizuire).

#### Condiții de comutare

În afară de întreruperea curenților de sarcină în condiții de lucru, întreruptoarele trebuie să îndeplinească o serie de condiții speciale de comutare. Cele mai importante dintre acestea sînt prezentate în tabelul următor

<sup>1)</sup> Într-un circuit cu frecvență multiplă sînt necesari patru parametri pentru determinarea caracteristicii de timp a tensiunii tranzitorii de restabilire. Aceștia sînt: viteza inițială de creștere, factorul inițial de creștere, frecvența proprie de oscilație și factorul de amplitudine.

rentului; în general, primul pol care întrerupe curentul este solicitat cel mai puternic de tensiunea de restabilire mai mare a polului respectiv.

Solicitarea cea mai mare dată de tensiune, pe care trebuie să o poată suporta rigiditatea dielectrică a izolației apare imediat după întreruperea curentului, înainte de amortizarea componentei tranzitorii a tensiunii de restabilire și se numește tensiunea tranzitorie de restabilire  $e_m$ . Expresia ei (în V) este

$$e_m = U_{r1} \gamma \sqrt{2},$$

în care:  $U_{r1}$  este tensiunea de restabilire pe pol (în V), la primul pol care execută întreruperea;  $\gamma$  — factorul de amplitudine.

Pentru solicitarea izolației are importanță caracteristica de timp a tensiunii de restabilire. Aceasta se determină pentru circuitul cu o singură frecvență<sup>1)</sup> cu ajutorul frecvenței proprii de oscilație ( $f_n$  în Hz):

$$f_n = \frac{1}{2t_m},$$

Condiții de lucru	Cerințe speciale
Scurtcircuit la borne	Curentul maxim
Reanclanșare automată rapidă	Solicitare puternică a izolației datorită operațiilor de comutare care se succed rapid. Ciclu de încercare D-300 ms-ID-3 min-ID
Defect kilometric	Viteză mare de creștere inițială a tensiunii tranzitorii de restabilire datorită suprapunerii oscilației de înaltă frecvență peste tensiunea de restabilire la frecvențele de serviciu
Opoziție de fază	Tensiune tranzitorie de restabilire mare sau tensiune de restabilire la frecvența de serviciu mare pe pol
Dublă punere la pământ	Tensiune tranzitorie de restabilire mare sau tensiune de restabilire la frecvența de serviciu mare pe pol
Anclanșarea liniilor aeriene și a cablurilor la mers în gol	Valoare ridicată a tensiunii de restabilire la frecvența de serviciu pe pol, determinată de sarcina capacitivă reziduală a liniei sau a cablului. Reamorsarea nu trebuie să se producă din cauza posibilității mărite de apariție a unor supratensiuni de comutație de valoare ridicată, datorite acestor sarcini
Anclanșarea transformatoarelor în gol	Evitarea supratensiunilor de comutație prin tăierea curentului pe cît posibil înainte de trecerea prin zero
Defect evolutiv (variație bruscă a curentului de la o valoare redusă la o valoare ridicată, în cursul operației de comutare, de exemplu în urma unor conturnări în porțiunea directă întreruptă și străpungerea simultană prin arc a distanțelor de izolație)	Solicitare termică ridicată (în special în cazul întreruptoarelor cu stingere de arc dependentă de curent) provocată de arcuri lungi

#### Caracteristici

Puteri nominale de rupere standardizate<sup>1)</sup> pentru întreruptoarele de înaltă tensiune trifazate: 50 (75)<sup>2)</sup>, 100 (125), 150, 250, 350 (400), 500, 750, 1000, 1500, 2500, 3500, 5000, 6000, 7500, 10000, 12000, 15000, 25000 MVA.

În viitor se vor standardiza curenții nominali de rupere în locul puterilor nominale de rupere. În prezent sînt în discuție următoarele valori: 5,0; 6,3; 8; 10; 12,5; 16; 20; 25; 31,5; 40; 50; 63; 80; 100 kA.

<sup>1)</sup> V. STAS 3686-63.

<sup>2)</sup> Valorile din paranteze nu sînt recomandate.

Tabelul 9.18. Curenți nominali pentru întrerupătoare de înaltă tensiune

Aparatul	Curenți nominali standardizați, A
Elemente pentru siguranțe MPR și dispozitive de declanșare în serie, tensiuni nominale 1–60 kV	6, 10, 16, 25, 40, 63, 100, 160, 200, 250 <sup>1)</sup> , 315 <sup>2)</sup> , 400 <sup>3)</sup> , 630 <sup>4)</sup>
Întrerupătoare și separatoare, tensiuni nominale 1–60 kV .....	200 <sup>3)</sup> , 400, 630, (1000), 1250, 1600, (2000), 2500, 4000, 6300, 8000
Întrerupătoare și separatoare, tensiuni nominale 110 kV și valori superioare .....	400 <sup>4)</sup> , (630), 800, (1000), 1250, 1600, 2000

<sup>1)</sup> Numai pentru elemente fuzibile.<sup>2)</sup> Dispozitive de declanșare serie.<sup>3)</sup> Suporturi de fuzibile.<sup>4)</sup> Separatoare de sarcină și separatoare.<sup>5)</sup> Curenții nominali standardizați în R.S.R. sînt dați în STAS 3686-63 și 8087-68.*Timpi de comutare*

Timpul de închidere este intervalul de timp dintre momentul în care mărimea ce acționează asupra dispozitivului auxiliar sau a contactorului asociat cu întreruptorul atinge valoarea de lucru și momentul în care contactele se închid, stabilind circuitele la toți polii.

Timpul de deschidere este intervalul de timp dintre momentul în care mărimea ce acționează asupra dispozitivului auxiliar sau a contactorului asociat cu întreruptorul atinge valoarea de lucru și momentul separării contactelor, întrerupînd circuitele la toți polii.

Durata arcului este intervalul de timp dintre momentul separării contactelor care întrerup circuitul la primul pol și sfîrșitul circulației de curent la toți polii.

Timpul total de întrerupere este intervalul de timp dintre momentul în care mărimea ce acționează asupra dispozitivului sau contactorului asociat cu întreruptorul atinge valoarea de lucru și sfîrșitul circulației de curent la toți polii.

Timpul (pauza) de reanclanșare este intervalul de timp dintre momentul în care mărimea ce acționează asupra dispozitivului sau contactorului folosit pentru declanșarea întreruptorului atinge valoarea de lucru și restabilirea circulației de curent la primul pol.

Timpul total de întrerupere (la curent nominal) este de 0,05–0,06 s în cazul întrerupătoarelor indicate în tabelele 9.19 și 9.20.

Încercările echipamentului de tip interior se execută în condiții uscate și cu atmosferă curată, iar încercările echipamentului de tip exterior se execută sub ploaie.

Tabelul 9.19. Mărimi nominale ale întrerupătoarelor tripolare <sup>1)</sup> <sup>2)</sup>

Mărimea nominală	Tensiunea nominală		Puterea nominală de rupere MVA	Curentul nominal A
	Inferioară kV	Superioară kV		
Cu mediu de stingere—ulei (întrerupătoare T)				
10	6	7,2	100	400
			150	630, 1250, 1600
			250	630, 1250, 1600
			350	630, 1250, 1600, 2500
			500	1250, 2500
			750	1250, 2500
10	10	12	150	400
			250	630, 1250, 1600
			350	630, 1250, 1600
			500	630, 1250, 1600, 2500
			750	1250, 2500
			1000	1250, 2500
20	20	24	250	630
			350	630, 1250
			500	630, 1250
			1000	1250, 2500
30	30	36	500	630
			750	1250
			1000	1250, 2500
			1500	1250, 2500

<sup>1)</sup> Tip Siemens.<sup>2)</sup> Pentru întrerupătoare fabricate în R.S.R. v. STAS 3686-63 (p. 5 și 6).Tabelul 9.20. Mărimi nominale ale întrerupătoarelor tripolare <sup>1)</sup> pentru 60–380 kV

Mărimea nominală	Tensiunea nominală		Puterea nominală de rupere MVA	Curentul nominal A
	Inferioară kV	Superioară kV		
a) Cu mediu de stingere—ulei				
60	60	72,5	1500	800, 1250
110	110	123 *)	2500	800, 1250, 1600
			3500	800, 1250, 1600
			4000	1250, 1600, 2000
			5000	1250, 1600, 2000

<sup>1)</sup> Tip Siemens.



Tabelul 9.20 (continuare)

Mărimile nominale	Tensiunea nominală		Puterea nominală de rupere MVA	Curentul nominal A
	Inferioară kV	Superioară kV		
b) Cu mediu de stingere—gaz SF <sub>6</sub> *)				
220	220	245 *)	10 000 15 000	2000 2000
380	380	420	20 000	2000
			25 000	2000, 4000
			35 000	2000, 4000
500	500	525	35 000	2000, 4000

\*) Gazul SF<sub>6</sub> (hexafluorură de sulf) are o rigiditate dielectrică deosebit de mare și caracteristici excepționale de bune la stingere. Este incolor, lipsit de gust, inactiv din punct de vedere chimic, neinflamabil și neotrăvitor.

\*) În locul acestor valori sînt date valorile 125 și 250 respectiv în tabelul 9.21 și se are în vedere o adaptare.

Tabelul 9.21. Mărimi nominale de izolație și tensiuni de încercare conform normelor germane<sup>1)</sup>

Seria izolației	Tensiunea maximă a echipamentului (de linie) kV	Tensiunea de încercare la frecvența industrială, valoare eficace		Tensiunea nominală de ținere la șoc, seria N (valoare de vîrf a unei pline)		Tensiunea nominală de ținere la șoc, seria S (valoare de vîrf a unei pline)	
		față de pămînt și între poli kV	distanța de izolare în aer kV	față de pămînt și între poli kV	distanța de izolare în aer kV	față de pămînt și între poli kV	distanța de izolare în aer kV
3 N/3 S	3,6	21	25	45	52	40	46
6 N/6 S	7,2	27	35	60	70	50	58
10 N/10 S	12	35	45	75	85	60	70
15 N/15 S <sup>1)</sup>	17,5	45	60	95	110	75	85
20 N/20 S	24	55	75	125	145	95	110
25 N/25 S <sup>2)</sup>	27,5	65	90	145	170	125	145
30 N/30 S	36	75	100	170	195	145	170
45 N/45 S	52	105	145	250	290	190	220
60 N/60 S	72,5	140	190	325	375	250	290
110 N/110 S	125	230	310	550	630	450	520
150 N/150 S	170	325	440	750	860	650	750
220 N/220 S	250	460	620	1050	1200	900	1040
110 NE/110 SE <sup>3)</sup>	125	185	250	450	520	375	430
150 NE/150 SE <sup>3)</sup>	170	275	370	650	750	550	630
220 NE/220 SE <sup>3)</sup>	250	395	535	900	1040	750	860
380 NE/380 SE <sup>3)</sup>	420	680	900	1425	1640	1300	1500

<sup>1)</sup> În special pentru echipament de tracțiune pe linii de cale ferată electrificate în curent alternativ.

<sup>2)</sup> Pentru linii de cale ferată electrificată în curent alternativ.

<sup>3)</sup> Pentru sisteme cu neutrul legat efectiv la pămînt.

### 9.2.2. Separatoare de sarcină<sup>1)</sup>

Separatoarele de sarcină sînt separatoare care au o capacitate de anclanșare și de rupere astfel încît pot suporta fără a se defecta solicitările care au loc atunci cînd echipamentul și părțile unei instalații sînt introduse sau scoase dintr-un circuit și care, în poziția deschis au o distanță de izolare.

Capacitatea de rupere a acestor separatoare este dată de curenții de rupere de lucru. Curentul de rupere de sarcină  $I_s$  este curentul întrerupt la tensiunea nominală cu un factor de putere  $\lambda \geq 0,7$ . El se numește curentul nominal de rupere  $I_{sN}$ , dacă poate fi întrerupt de  $N$  ori de separator (de exemplu  $I_{sN} = I_{s20}$ ). Se mai precizează și noțiunile de curent de rupere inductiv  $I_L$  (cu  $\lambda \geq 0,15$ ), curentul de rupere capacitiv  $I_C$  și curentul de rupere de circuit buclat  $I_b$ . Și în acest caz indicele arată numărul de operații de comutare pe care separatorul le poate efectua la sarcina corespunzătoare (de exemplu  $I_{L200}$ ).

Tabelul 9.22. Valori maxime admisibile pentru mărimile nominale cele mai importante ale separatoarelor de sarcină<sup>1)</sup>

Tipul separatorului (seria tensiunii)	Tensiunea nominală kV <sub>ef</sub>	Tensiunea maximă de serviciu kV <sub>ef</sub>	Curentul nominal A	Curentul de închidere pe scurtcircuit kA <sub>ef</sub>	Curentul limită termic de 1 s kA <sub>ef</sub>	Curentul limită dinamic (valoare de vîrf) kA
6	6	7,2	100	10	10	25
6			200	10	10	25
6			400	10	10	25
10	10	12	100	10	10	25
10			200	10	10	25
10			400	10	10	25
20	20	24	100	10	10	25
20			200	10	10	25
20			400	10	10	25

<sup>1)</sup> Conform STAS 8087-68.

### 9.2.3. Separatoare<sup>2)</sup>

Separatoarele sînt aparate care, atunci cînd sînt deschise au o distanță de izolare și se comută cu curent practic nul, sau se folosesc pentru comutare de curenți, dacă acest lucru nu produce o modificare importantă a tensiunii dintre contacte.

<sup>1)</sup> Condițiile generale ale separatoarelor de sarcină de interior de înaltă tensiune sînt stabilite în STAS 8087-68.

<sup>2)</sup> Condițiile generale ale separatoarelor de curent alternativ pentru tensiuni de 1 kV și peste 1 kV sînt stabilite în STAS 1564-62 (în curs de revizuire).

Tabelul 9.23. Curenți caracteristici ai separatoarelor în poziția închis<sup>1)</sup>

Tensiunea nominală kV	Curentul nominal kA	Curentul limită termic timp de 1 s kA <sub>ef</sub>	Curentul limită dinamic (valoare de vîrf) kA
3 (1)	200—400	10	25
	630—1250	30	75
	2000—3150	50	125
6	200—400	10	25
	400—1250	15	38
	630—1250	30	75
	630—1600	40	100
	2000—3150	50	125
10	200—400	10	25
	400—630	15	38
	630—1250	20	50
	1250—2000	30	75
	2000—3150	50	125
(15) 20 (25)	200—400	10	25
	400—630	10	25
	630—1250	20	50
	1250—2000	30	75
	2000—3150	40	100
35	200—400	10	25
	400—630	10	25
	630—1250	20	50
	1250—1600	30	75
(60)	630—1250	15	38
	1250—1600	30	75
110	630	15	38
	800—1250	20	50
	800—1250	30	75
220	800	10	25
	800—1250	15	38
	1250—1600	20	50

<sup>1)</sup> Conform STAS 1564-62.

#### 9.2.4. Siguranțe de înaltă tensiune cu mare putere de rupere (siguranțe ITMPR<sup>1)</sup>)

Siguranțele ITMPR sînt aparate care servesc la întreruperea unei căi de curent cu ajutorul topirii anumitor părți (conductoare fuzibile) sub influența căldurii generate de propriul lor curent, în cazul în care curentul depășește o anumită valoare, un anumit timp (corespunzător caracteristicii timpului de topire). Siguranțele ITMPR cuprind

<sup>1)</sup> Clasificare și terminologie pentru siguranțe fuzibile de înaltă tensiune sînt stabilite în STAS 4262-67

piese ce se pot schimba împreună cu conductorul fuzibil. Ele conțin piesa de contact, mediul de stingere și carcasa.

Valorile nominale sînt: tensiunea nominală, frecvența nominală, curentul nominal de rupere (simetric sau asimetric), curentul nominal de trecere, curentul nominal de șoc, frecvența naturală nominală, factorul de amplitudine nominal. Curentul nominal de trecere este valoarea momentană maximă a curentului în timpul întreruperii. În cazul siguranțelor limitatoare de curent, curentul de trecere este considerabil mai mic decît valoarea de vîrf a curentului de scurtcircuit neamortizat.

#### Capacitatea de rupere

Tabelul 9.24. Curenți nominali de rupere ai patroanelor siguranțelor ITMPR corelați cu curenții nominali și tensiunile nominale corespunzătoare

Curentul nominal A	Curentul de rupere nominal ( $\cos \varphi = 0,15$ ), kA				
	La tensiuni nominale de				
	3 kV	6 kV	10 kV	20 kV	30 kV
6	75	75	75	30	30
10	75	75	75	30	30
16	75	75	75	30	30
25	75	75	75	30	25
40	75	75	75	30	20
63	75	65	60	—	—
100	75	65	60	—	—
150	75	65	—	—	—
200	75	30	—	—	—

<sup>1)</sup> Tip Siemens, denumite în germană siguranțe HH.

#### Curenți limită

Tabelul 9.25. Curenți nominali de trecere pentru un curent alternativ de scurtcircuit  $I''_k$  de 10 kA ( $i_{D10}$ ) în funcție de curentul nominal

Curent nominal, A	6	10	16	25	40	63	100	150	200
Curent nominal de trecere $i_{D10}$ , kA	0,707	1,33	1,9	3,23	5,43	7,58	12,4	16	18,5

Pentru orice alte valori ale curenților alternativi de scurtcircuit  $I''_k$ , curentul nominal de trecere se calculează din relația  $i_D = f \times i_{D10}$ . În această relație, coeficientul  $f$  se ia din fig. 9.9 pentru valoarea de vîrf a curentului de scurtcircuit corespunzător.

Atunci cînd două elemente fuzibile ITMPR funcționează în paralel, curentul nominal de trecere  $i_D$  se calculează prin înmulțirea valorii corespunzătoare unui element fuzibil cu 1,6.

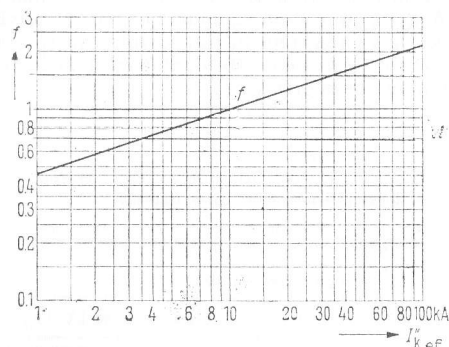


Fig. 9.9. Variația factorului  $f$  în funcție de curentul de scurtcircuit  $I_k''$ .

#### Caracteristicile timpului de topire

Caracteristica timpului de topire a unui fuzibil reprezintă timpul echivalent de topire  $t_s$  în funcție de curentul neamortizat  $I$ , care determină topirea fuzibilului

$$t_s = \frac{1}{I^2} \int_0^{t_s} i^2 dt$$

în care:  $i$  este curentul de scurtcircuit, în A;  
 $t_s$  — timpul de topire, în s.

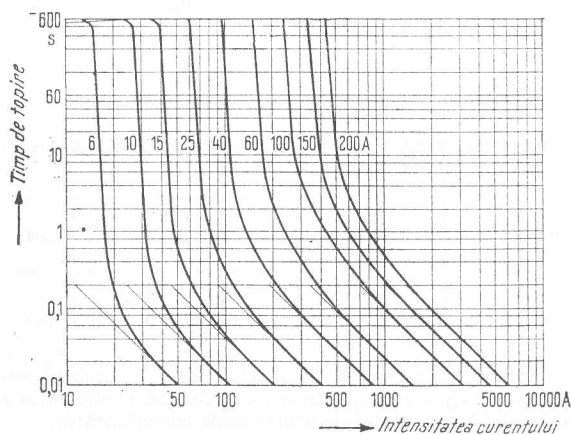


Fig. 9.10. Caracteristicile timpului mediu de topire (pentru curent se admite o toleranță de  $\pm 12\%$ ).

Tabelul 9.26. Alegerea patroanelor fuzibile ale siguranțelor ITMPR pentru protecția împotriva scurtcircuitelor a transformatoarelor trifazice, atunci cînd nu se pun condiții de selectivitate

Puterea nominală a transformatorului (trifazică) kVA	Tensiune de lucru					
	3 kV	6 kV	10 kV	15 kV	20 kV	30 kV
	Curentul nominal al patronului fuzibil al siguranței ITMPR					
	A	A	A	A	A	A
20	16	10	6	6	6	6
30	25	10	10	6	6	6
50	25	16	10	10	6	6
75	40	25	16	10	10	6
100	40	25	25	16	10	10
125	63	40	25	16	16	10
160	63	40	25	25	16	10
200	100	40	40	25	25	16
250	100	63	40	25	25	16
315	100	63	40	40	25	25
400	150	63	63	40	40	25
500	150	100	63	40	40	25
630	200	100	63	40	40	25
800	2 x 150	150	100	2 x 25	40	25
1000	2 x 150	150	100	2 x 40	2 x 25	40

#### Selectivitate

Selectivitatea înseamnă întreruperea porțiunii defecte a liniei într-o măsură limitată la minimum; elementele sănătoase ale circuitului rămîn în funcțiune și nu sînt separate de sursa de alimentare cu energie.

O bandă de toleranțe îngustă a curbei caracteristice precum și o stingere eficace a arcului asigură o bună selectivitate reciprocă a patroanelor fuzibile ale siguranțelor ITMPR.

Tabelul 9.27. Patroane fuzibile ITMPR și JTMPR cu funcționare selectivă utilizate în partea de înaltă tensiune și de joasă tensiune a transformatoarelor

Puterea nominală a transformatorului (trifazică) kVA	Înaltă tensiune (ÎT)						Joasă tensiune (JT)		
	3 kV	6 kV	10 kV	15 kV	20 kV	30 kV	231 V	400 V	525 V
	Curent nominal al patroanelor fuzibile ale siguranțelor ITMPR						Curent nominal al patroanelor fuzibile ale siguranțelor JTMPR		
	A	A	A	A	A	A	A	A	A
20	16	10	6	6	6	6	50	25	25
30	25	10	10	6	6	6	80	50	36
50	40	16	10	10	6	6	100	63	63
75	40	25	16	16	10	10	200	100	80
100	63	40	25	16	16	10	224	160	100
125	63	40	25	25	16	10	250	200	125
160	100	40	40	25	16	16	425	224	160
200	100	63	40	25	25	16	500	250	224
250	100	63	40	25	25	16	600	355	250
315	150	100	63	40	40	25	—	425	355
400	200	100	100	—	40	25	—	500	425

<sup>4)</sup> Condițiile generale pentru aparatele de măsurat electrice indicatoare sînt stabilite în STAS 4640-61

























		Joasă frecvență									
Galvanometru cu spot luminos cu redresor .....						x	x	x	x		
Oscilograf cu jet lichid ....								x	x	x	x
Aparat magnetoelectric cu redresor, prin rezistență serie .....						x	x	x	x	x	x
Aparat de panou cu magnet mobil .....						x	x	x	x	x	
Voltmetru cu amplificator ..								x	x	x	
Aparat cu magnet mobil cu termocuplu .....							x	x	x	x	x
Aparat de precizie cu magnet mobil, prin transformator de măsură .....										x	x
Înregistrator cu bobină mobilă și redresor .....								x	x	x	
Aparat de precizie cu magnet mobil .....								x	x	x	
Aparat electrostatic .....								x	x	x	
Înregistrator continuu cu indicator electrodinamic ..									x	x	
Aparat de panou cu bobină mobilă, cu redresor prin transformator de măsură										x	x
Aparat de panou cu magnet mobil .....										x	x
Înregistrator cu indicator electrodinamic prin transformator de măsură ....										x	x
Înregistrator cu bobină mobilă și redresor .....										x	x
Eclator cu sfere .....											x
Aparat de măsurat tensiuni de vîrf (amplitudini) ....											x
		Audiofrecvență									
Oscilograf cu fascicul luminos direct sau prin transformator de măsură .....						x	x	x	x	x	x
Oscilograf catodic, direct sau prin transformator de măsură .....						x	x	x	x	x	x
Potențiometru complex ....							x	x	x	x	
Aparat cu bobină mobilă cu redresor, prin rezistență serie .....								x	x	x	x
Voltmetru cu amplificator ..								x	x	x	x

ε este eroarea de măsurare admisibilă în %. Ea este egală cu diferența dintre valoarea indicată și valoarea reală a mărimii măsurate în procente față de valoarea cea mai mare a domeniului de măsură.














Tabelul 9.38. Simboluri pentru indicarea aparatelor de măsurat

	Pentru curent continuu
	Pentru curent continuu și alternativ
	Pentru curent alternativ <sup>1)</sup>
	Pentru curent trifazic cu un dispozitiv de măsurare
	Pentru curent trifazic cu două dispozitive de măsurare
	Pentru curent trifazic cu trei dispozitive de măsurare
1,5	Clasa de precizie, raportată la valoarea maximă a domeniului de măsură
	Clasa de precizie raportată la lungimea scării sau lățimea de înregistrare
	Clasa de precizie raportată la valoarea exactă
	Cu cadran vertical
	Cu cadran orizontal









Tabelul 9.38 (continuare)

	Cu cadran inclinat față de orizontală (cu indicarea unghiului de inclinare)
	Tensiune de încercare în kV
	Șunt exterior
	Rezistență adițională
	Ecranare magnetică (ecran de fier)
	Ecranare electrostatică
ast	Măsurători astatice
	Referire la un document atașat aparatului
	Semnul de prevenire pentru înalta tensiune
	Suspensie prin bandă elastică (semn sub simboluri, standard propriu Siemens)
	Aparat magnetoelectric cu cadran mobil

Tabelul 9.38 (continuare)

	pe limbă	Redresor cu semiconductor
		Termocuplu neizolat exterior
		Termocuplu izolat inclus în aparat
		Logometru magnetoelectric
		Aparat cu magnet mobil
		Logometru cu magnet mobil
		Aparat feromagnetic
		Logometru feromagnetic mobil
		Aparat electrodinamic (fără fier)
		Logometru electrodinamic (fără fier)
		Aparat ferodinamic (cu miez de fier)
		Logometru ferodinamic (cu miez de fier)

Tabelul 9.38 (continuare)










	Aparat de inducție
	Logometru de inducție
	Aparat termic
	Aparat bimetalic
	Aparat electrostatic
	Aparat cu lame vibrante
	Tip protejat contra incendiilor. Tip de protecție „cu siguranță sporită” <sup>1)</sup>
	Tip protejat contra exploziilor. Tip de protecție „cu protecție sporită”. Categoria de inflamabilitate G1 <sup>1)</sup>

 50  1,5  1  2  
 50/5A 1000/100V








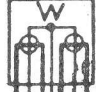
Exemplu: Aparat pentru curent trifazic, 50 Hz, cu două dispozitive de măsurare electrodinamice cu miez de fier, clasa de precizie 1,5; utilizare în poziție verticală; tensiune de încercare 2 kV; legare prin transformator de măsură; curent nominal primar 50 A; curent nominal secundar 5 A; tensiune nominală primară 1000 V; tensiune nominală secundară 100 V.

<sup>1)</sup> Când nu se indică altă frecvență, domeniul nominal de frecvență este de 45–65 Hz.

Tabelul 9.39. Reprezentarea aparatelor și dispozitivelor electrice de măsură în scheme de circuite


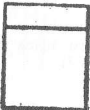
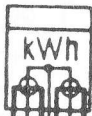
	Aparat indicator, reprezentare generală
	Aparat indicator cu un echipaj pentru măsurarea produsului <sup>1)</sup>
	Aparat indicator cu un dispozitiv pentru măsurarea raportului <sup>1)</sup>
	Aparat de măsurat, reprezentare generală pentru aparat indicator
	Aparat de măsurat, reprezentarea generală a aparatului indicator cu zero la mijloc
	Aparat de măsurat, reprezentare a aparatului indicator
	Ampermetru, indicație în A
	Ampermetru, cu un echipaj, indicație în A <sup>1)</sup>
	Voltmetru pentru măsurări în curent continuu și curent alternativ, indicație în V

Tabelul 9.39 (continuare)

	Aparat de măsurat diferențe de tensiuni, cu un echipaj
	Wattmetru pentru sistem trifazic cu patru conductoare pentru orice fel de sarcină, cu trei echipaje (căile de curent în serie), indicația în W <sup>1)</sup>
	Aparat înregistrator, reprezentare generală
	Aparat înregistrator, reprezentarea înregistrării continue
	Aparat înregistrator, reprezentarea înregistrării prin puncte
	Aparat înregistrator, reprezentarea înregistrării prin afișare numerică
	Aparat înregistrator, reprezentarea înregistrării prin perforare
	Wattmetru înregistrator pentru sistem trifazic cu trei conductoare pentru orice fel de sarcină, cu două echipaje (căile de curent în serie) indicație în W <sup>1)</sup>



Tabelul 9.39 (continuare)

	Punte pentru măsurarea rezistențelor cu aparat inclus cu zero la mijloc
	Aparat integrator, în special contor
	Contor pentru sistem trifazic cu trei conductoare pentru orice fel de sarcină cu două echipaje

\*) Numai atunci cînd este necesar a se face o distincție, circuitul de tensiune este reprezentat cu grosime simplă, iar circuitul de curent este figurat cu grosime dublă.

## 9.4. TRANSFORMATORE DE MĂSURĂ ȘI CONTOARE

### 9.4.1. Transformatoare de curent și de tensiune<sup>1)</sup>

Transformatoarele de măsură reduc valorile de lucru (curentul primar sau tensiunea primară) printr-un raport de transformare fix la o valoare potrivită pentru aparatele de măsurat și în același timp izolează circuitul de măsură de circuitul de înaltă tensiune.

Transformatoarele de curent funcționează ca transformatoare cu înfășurările secundare aproape scurtcircuitate. Materialul feromagnetic din care este făcut miezul determină caracteristicile de măsură și curentul de saturație. Atunci cînd în circuitele transformatoarelor de măsură se leagă contoare și aparate de măsurat este de dorit ca valoarea curentului de saturație să fie redusă ( $5 < n < 10$ , în afară de o precizie bună de măsurare), pentru a se asigura protecția aparatelor, în cazul unui scurtcircuit. Spre deosebire de acest caz, dacă în circuitele transformatoarelor se leagă relee de protecție, este necesar un înalt grad de proporționalitate între curenții primari și curenții secundari în zona de suprasarcină și deci o valoare cât mai mare a curentului de saturație ( $n > 10$ ). În cazul transformatoarelor cu mai multe miezuri, miezul pentru contoare, miezul pentru măsură și miezul pentru protecție au înfășurări secundare separate. La transformatoarele de curent care au înfășurarea principală reglabilă (numai începînd din clasa 10), raportul de transformare se poate modifica cu 1 : 2 în sarcină.

<sup>1)</sup> Condițiile generale pentru transformatoarele de tensiune sînt stabilite în STAS 4323-62 iar pentru cele de curent în STAS 4324-62 (în curs de revizuire).

Tabelul 9.40. Curenți nominali primari standardizați pentru transformatoare de măsură, în A

Nr.	Clasa	Transformator cu raport fix	Transformator cu raport 1 : 2 reglabil	Transformator cu raport 1 : 2 : 4 reglabil
1	0,5 la 45	5	2 × 5	
		10 100 1 000 10 000	2 × 10	
		15 150 1 500 15 000	2 × 15	
		20 200 2 000 20 000	2 × 25	
		30 300 3 000 30 000	2 × 50'	
2	60	400 4 000 40 000	2 × 75	
		50	2 × 100	
		600 6 000 60 000	2 × 150	
		75	2 × 200	
		800 8 000 80 000	2 × 300	
3	110 și 110 E precum și 150 și 150 E		2 × 400	
			2 × 50	
			2 × 75	
			2 × 100	
			2 × 150	
4	220 și 220 E precum și 300 E		2 × 200	
			2 × 300	
			4 × 50	
			4 × 100	
			4 × 150	
5	380 E		4 × 300	
			4 × 400	
			4 × 500	
			4 × 600	
			4 × 800	

Tabelul 9.41. Transformatoare de curent și de tensiune

Construcția	Clasa de tensiune kV	Curentul nominal primar A	Utilizare
Transformator de curent, uscat, de dimensiuni reduse (fibră, masă plastică, porțelan) .....	0,5	> 1000	Instalații interioare
Sub formă de transformator tijă și bară .....	0,5	200-3000	
Transformator de curent, uscat (porțelan) .....	0,5-3	> 1000	
Sub formă de transformator cu o singură spirală .....	0,5-3	100-2000	
Transformator de curent, uscat, transformator de trecere, transformator tip suport (porțelan, rășină turnată) .....	10-30	5-1000	
Sub formă de transformator în izolator de trecere .....	10-30	5-800	Instalații exterioare
Transformator de trecere pentru bară .....	10-30	750-6000	
Transformator de trecere pentru tijă .....	10-20	100-4000	
Cu izolator de trecere capacitiv .....	60-110	800	
Transformator tip suport (porțelan cu izolație de ulei) .....	60-400	50-1200	

Tabelul 9.42. Erorile transformatoarelor de curent în funcție de clasa de precizie și de curentul care trece prin înfășurarea primară<sup>1)</sup>

Clasa de precizie	Curentul primar, în % din curentul nominal	Erorile tolerate	
		de curent %	de unghi minute
0,2	120-100	$\pm 0,2$	$\pm 10$
	20	$\pm 0,35$	$\pm 15$
	10	$\pm 0,5$	$\pm 20$
0,5	120-100	$\pm 0,5$	$\pm 30$
	20	$\pm 0,75$	$\pm 40$
	10	$\pm 1,0$	$\pm 60$
1	120-100	$\pm 1,00$	$\pm 60$
	20	$\pm 1,50$	$\pm 80$
	10	$\pm 2,00$	$\pm 120$
3	100-50	$\pm 3$	—

1) Conform STAS 4324-62

Puterea nominală secundară a transformatoarelor de curent nu trebuie să fie depășită. Valoarea normală pentru transformatoare de curent este de 15 VA. Sarcina secundară a transformatorului de curent în VA se determină cunoscând puterea consumată de contoarele și aparatele de măsurat legate în circuit și puterea pierdută în conductoarele de legătură

$$P_2 = \frac{0,018 I_s^2}{A}$$

unde:  $l$  este lungimea (în buclă) a conductoarelor secundare, în m;  
 $I_s$  — curentul secundar al transformatorului de curent, în A;  
 $A$  — secțiunea conductorului secundar, în mm<sup>2</sup>.

### Terminologie

Curentul nominal  $I_N$  și tensiunea nominală  $U_N$  sînt valorile mărimilor de măsurat primare și secundare indicate pe placă. Sarcina este impedanța (în  $\Omega$ ) aparatelor consumatoare legate în secundarul transformatoarelor de curent.

Sarcina nominală este sarcina transformatoarelor de curent dată în legătură cu limitele de eroare și indicată pe placă. Puterea nominală este puterea aparentă a transformatoarelor de tensiune indicată în legătură cu limitele de eroare.

Valoarea nominală a curentului de saturație este multiplul curentului nominal primar la care, avînd sarcina nominală și  $\cos \beta = 0,8$ , eroarea de curent este de 10% ( $\beta$  este unghiul de defazare dintre curentul secundar și tensiunea secundară).

Raportul de transformare nominal este raportul dintre valoarea nominală a curentului sau tensiunii primare și a celei secundare. Curentul  $I_t$  este valoarea efectivă maximă a curentului primar (în kA) la care înfășurarea secundară legată în scurtcircuit poate fi menținută timp de 1 s fără a apărea o creștere inadmisibilă a temperaturii.

Curentul limită dinamic  $I_{din}$  este curentul de vîrf maxim care poate fi suportat de transformator fără deteriorări, înfășurarea secundară fiind în scurtcircuit. În cazul transformatoarelor de curent tip tijă,  $I_{din} = \infty$ .

Eroarea de curent  $\varepsilon_i$  și de tensiune  $\varepsilon_u$  reprezintă abaterea procentuală a valorii măsurate față de valoarea teoretică.

Unghiurile de defazare  $\beta$ ,  $\delta_i$ ,  $\delta_u$  reprezintă defazarea dintre valoarea de măsurat primară și cea secundară (rotită cu 180°).  $\beta$  și  $\delta$  sînt pozitive dacă valoarea secundară este decalată înaintea celei primare.

Transformatoarele de tensiune funcționează ca transformatoare în gol. Tensiunea de funcționare variază numai în limite strînse. Aceste transformatoare trebuie să aibă o rigiditate dielectrică mare la supratensiuni de comutație și atmosferice. Tensiunea lor nominală secundară este de obicei 100 V.

Tabelul 9.43. Tipuri constructive de transformatoare de tensiune

Construcția	Clasa de tensiune kV	Utilizare
Transformator de tensiune de dimensiuni reduse (fibră, material plastic, rășină turnată) .....	0,3 — 3	Instalații interioare
Transformator de tensiune uscat cu izolație plină (porțelan, cuarț, rășină turnată) .....	3 — 30	
Transformator cu izolație degresivă .....	34	
Transformator de tensiune cu izolație plină cu ulei puțin .....	10 — 30	Instalații exterioare
Transformator cu izolație degresivă .....	45	
Transformator de tensiune tip oală, izolator suport, în cascadă (cu izolație de ulei) .....	60 — 400	

Tabelul 9.44. Erorile transformatoarelor de tensiune în funcție de clasa de precizie<sup>1)</sup>

Clasa de precizie	Tensiunea primară	Erorile tolerate	
		de tensiune %	de unghi minute
0,2	(0,8-1,2) $U_{1n}$ <sup>2)</sup>	$\pm 0,2$	$\pm 10$
0,5	(0,8-1,2) $U_{1n}$	$\pm 0,5$	$\pm 20$
1	(0,8-1,2) $U_{1n}$	$\pm 1$	$\pm 40$
3	(0,8-1,2) $U_{1n}$	$\pm 3$	—

1) Conform STAS 4323-62.

2)  $U_{1n}$  este tensiunea nominală primară.

Puterea nominală secundară a transformatoarelor de tensiune. Nu trebuie să fie depășită valoarea normală de 45 VA. Sarcina secundară se obține prin însumarea consumului de putere din circuitele de tensiune ale tuturor contoarelor și aparatelor de măsurat. În plus, trebuie să se calculeze căderea de tensiune pe conductoarele de legătură cunoscînd curentul de sarcină rezultat și rezistența circuitului. Această tensiune nu trebuie să depășească 0,05% din tensiunea nominală. Tensiunea secundară nominală este  $100/\sqrt{3}$  în cazul unui transformator cu izolație degresivă și 100 V în cazul unui transformator cu izolație plină.

Tabelul 9.45. Clase de tensiune

U, kV	0,5	1	3	6	10	20	30	45	60	110	150	220	440
U <sub>p</sub> , kV	3	10	27	33	42	64	86	119	152	262	350	505	900

Notă: U — clasa de tensiune, U<sub>p</sub> — tensiunea de încercare a izolației între înfășurări, între înfășurările primare și secundare față de miezul de fier; tensiunea U<sub>p</sub> se aplică timp de un minut.

Standardizare. Contoarele și transformatoarele de măsură folosite pentru decontarea energiei trebuie să fie aprobate oficial, standardizate și înregistrate.

### 9.4.2. Contoare<sup>1)</sup>

Contoarele măsoară energia electrică furnizată prin punctul de transfer al energiei (punctul de măsurare).

Contoarele cu motor au un dispozitiv de măsurare rotativ care antrenează un mecanism înregistrator cu șase indicații numerice prin intermediul unui angrenaj demultipliator. Viteza discului de măsurare (rotorul dispozitivului de măsurare) corespunde puterii instantanee, iar numărul de rotații al discului, transmis dispozitivului de măsurare, corespunde consumului de energie din timpul de referință. Contorul nu poate fi readus la zero; consumul este dat de diferența dintre cele două citiri ale contorului din perioada corespunzătoare de măsurare.

Contoarele statice au un dispozitiv de măsurare static. Până în prezent se execută numai contoare de amper-ore, care măsoară efectul de transport al curentului. Acestea sînt așa-numitele contoare electrolitice. Cantitatea de gaz eliberată într-un tub de măsurare etalonat este proporțională cu cantitatea de electricitate care trece.

Datorită capacității limitate de contorizare a acestui dispozitiv, elementul de măsurare trebuie să fie răsturnat după citire, pentru a provoca revenirea gazului la anod.

Contoarele de curent alternativ pentru rețele de curent alternativ monofazat (cu două fire) sînt contoare de inducție, al căror element de măsurare constă dintr-un sistem de antrenare, un magnet de frinare și un rotor cu lagăre cu rubine. Sistemul de antrenare este constituit de un electromagnet cu o bobină de tensiune la care se aplică tensiunea barelor și cu o bobină de curent prin care circulă curentul de sarcină. Fluxurile datorate curentului și tensiunii induc în discul rotorului curenți concentrici cu fluxul care le dă naștere producînd un cuplu (principiul Ferraris). Cuplul este maxim atunci cînd fluxul produs de bobina de tensiune este decalat cu 90° în urma fluxului produs de bobina de curent. În cazul contoarelor de energie activă acest lucru se realizează printr-o „echilibrare de 90°”, o compensare a circuitului magnetic.

Magnetul de frinare împreună cu discul rotorului acționează prin curenți turbionari ca o frînă în sens antagonist față de momentul de acționare al discului contorului. Cuplul de frinare este proporțional cu viteza discului. Această frînare îmbunătățește proporționalitatea între viteza rotorului și puterea consumată de receptor, deoarece reduce influența mărimilor perturbatoare, ca fluctuațiile de tensiune și de curent. Caracteristicile de măsură ale contoarelor de serie se definesc cu ajutorul curbei de eroare medie. Fiecare contor trebuie să se încadreze în limitele de eroare prescrise pentru întreg domeniul de măsură

<sup>1)</sup> Condițiile generale privind contoarele electrice de curent alternativ de energie activă și reactivă sînt stabilite în STAS 4198/1-67.

cuprins între 5% din puterea nominală și puterea maximă. Raportul dintre puterea maximă și puterea nominală se exprimă prin capacitatea de încărcare. În cazul curenților care depășesc 60 A trebuie să se folosească un transformator de curent.

Tabelul 9.46. Tipuri obișnuite de contoare.

Capacitatea de încărcare %	Tensiunea nominală V	Curentul nominal A	Curentul maxim A	Puterea de pornire W	Puterea maximă W
300	220	10	30	11	6600
400	220	10	40	11	8 800
400	220	15	60	16,5	13 200
600	220	10	60	11	13 200

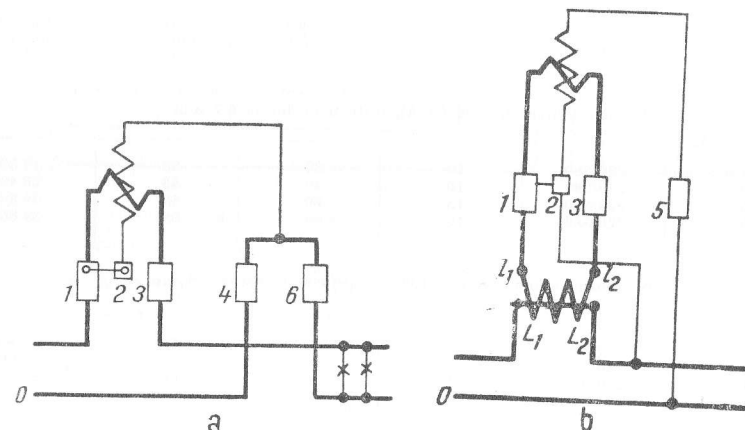


Fig. 9.11. Circuitele contoarelor:

a — pentru conectarea directă a unui contor monofazat; b — pentru conectare prin transformator de curent.

### Borne

Orificii cu diametrul de 6,7 mm pentru conductoare cu secțiune de maximum 16 mm<sup>2</sup> și în cazuri speciale și pentru conductoare multifilare cu secțiunea de 25 mm<sup>2</sup>.

### Echipament pentru tarifyare

Contor cu două tarifye pentru măsurarea separată a consumului de energie în perioadele de tarify ridicat și scăzut (curent de zi și de noapte). Comutare prin comutator de timp separat sau sistem de comandă prin curenți purtători.

### Contoare trifazate

pentru rețele de curent alternativ polifazat (sisteme cu 3 și 4 fire) acestea sînt contoare de inducție, al căror dispozitiv de măsură constă din trei echipaje (R, S, T), sistemul de

frinare și rotorul în lagăre cu pietre prețioase, care antrenează contorul. Contoarele au de regulă două discuri, influența mutuală a echipajelor fiind compensată prin legături convenabile ale circuitelor de tensiune și printr-o anumită dispoziție în spațiu. Modul de funcționare al echipajului de măsurare pentru curent trifazic este în esență același cu al contorului de curent alternativ monofazic. În cazul sistemelor trifazice cu trei conductoare (fără conductor neutru) și în special în cazul legăturilor pentru înaltă tensiune, se poate folosi montajul Aron (schema cu două wattmetre). Dispozitivul de măsură are în acest caz numai două echipaje, cu compensare de  $60^\circ$ , pentru că sînt legate la  $I_R$  și  $U_{RS}$  sau la  $I_T$  și  $U_{TS}$ . Contoarele trifazice de energie reactivă sînt contoare cu diferite defazări în circuitul de tensiune (echilibrare de  $180^\circ$  și de  $60^\circ$  între fluxurile de curent și de tensiune).

Tabelul 9.47. Mărimi nominale uzuale pentru contoare (conectare directă)

Capacitatea de încărcare %	Tensiunea nominală V	Curentul nominal A	Curentul maxim A	Puterea de pornire W	Puterea maximă W
Tip mic (curent maxim 60 A), orificiu de bornă 6,7 mm					
300	220/380	10	30	33	19 800
400	220/380	10	40	33	26 400
400	220/380	15	60	50	39 600
600	220/380	10	60	33	39 600
Tip mijlociu (curent maxim 100 A), orificiu de bornă 8,5 mm					
400	220/380	20	80	66	52 800
400	220/380	25	100	83	66 000
600	220/380	15	90	50	59 400
Tip mare (curent maxim 150 A) orificiu de bornă 11 mm					
400	220/380	30	120	100	79 200
600	220/380	20	120	66	79 200
600	220/380	25	150	83	99 000

Tabelul 9.48. Mărimi nominale uzuale pentru contoare (conectare prin transformatoare de măsură)

Capacitatea de încărcare %	Tensiunea nominală V	Contor		Transformator		
		Curentul nominal A	Curentul maxim A	Curentul nominal A	Curentul maxim A	Clasa de precizie
400	220/380	1,5	6	5	6	0,5
400	/100	2,5	10	5	10	0,5 G
400	/100	1	6	5	6	0,5

## Echipament pentru tarifar

Contor cu două tarife pentru măsurarea separată a consumului de energie în perioadele de tarif ridicat și scăzut (energie consumată ziua și noaptea). Contorul include două serii de mecanisme pentru înregistrare care sînt antrenate alternativ de rotor. Comutarea

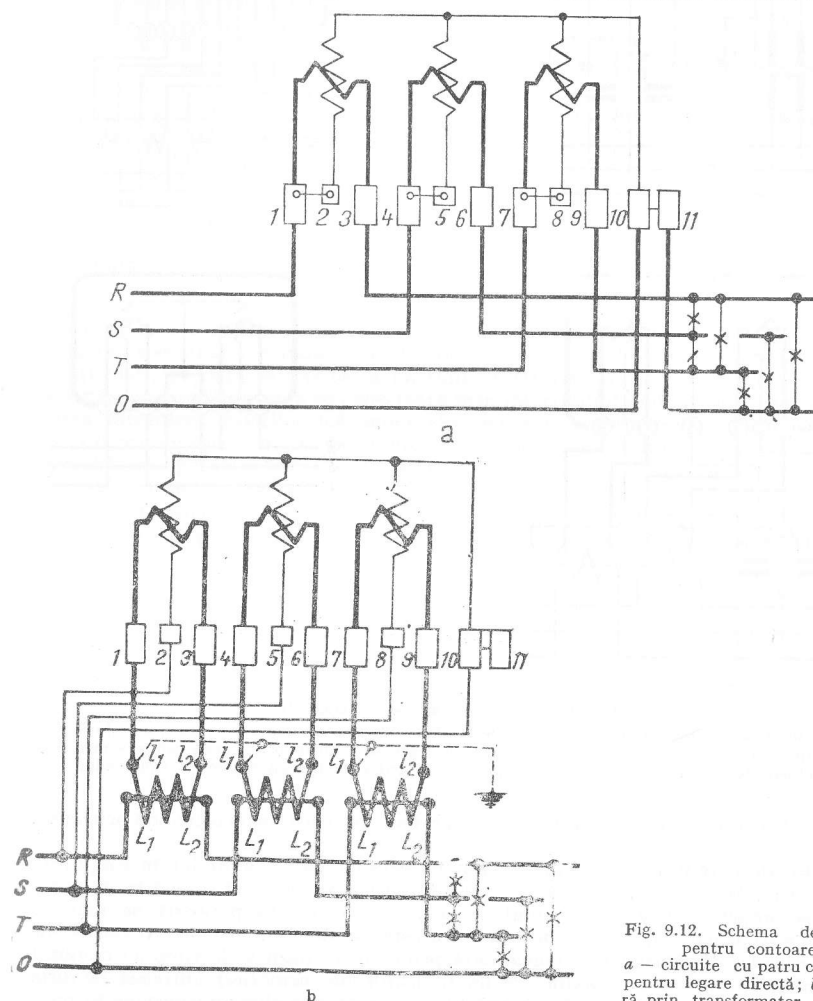


Fig. 9.12. Schema de legături pentru contoare<sup>1)</sup>:  
a - circuite cu patru conductoare pentru legare directă; b - legătură prin transformator de curent.

<sup>1)</sup> Schemele electrice ale contoarelor pentru măsurat energia activă sînt stabilite în STAS 4198/2-68, iar pentru energie reactivă în STAS 4198/3-68.

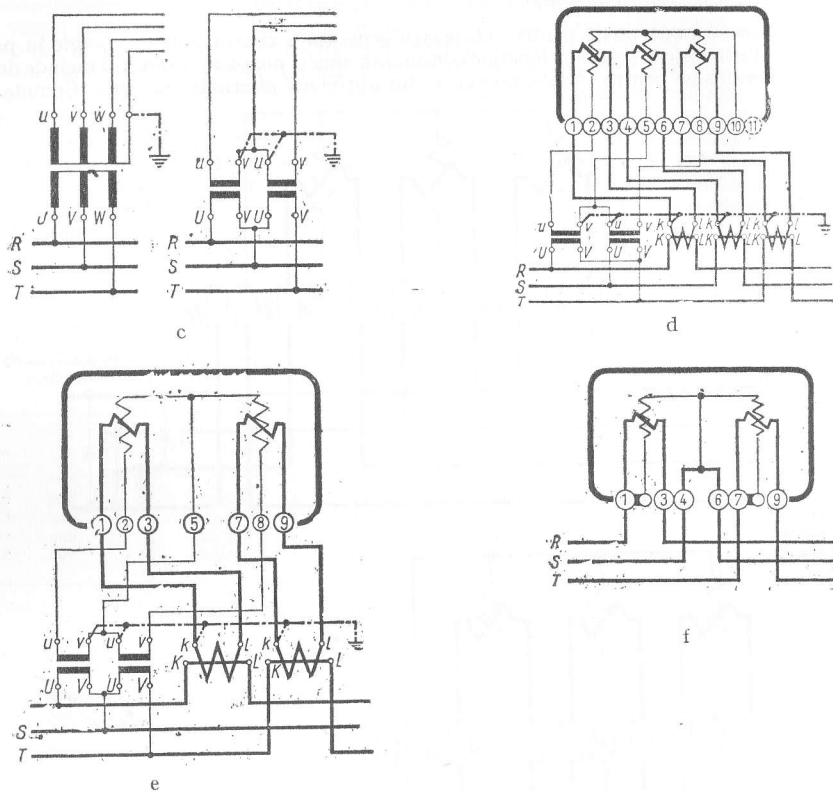


Fig. 9.12. Schema de legături pentru contoare:

c — mod de legare a transformatorului de măsură de tensiune; d — legarea contoarelor cu trei echipaje mobile prin transformatoare de curent și tensiune; e — mod de legare a contoarelor cu două echipaje mobile prin transformatoare de curent și tensiune; f — bornele unui contor pentru un sistem cu trei conductoare.

se efectuează printr-un comutator de timp separat sau prin sistem de comandă prin curenți purtători.

Contor de maxim pentru indicarea puterii maxime care a avut loc în timpul perioadei de citire. Media se efectuează pe o durată de timp constantă, astfel încât puterea medie este proporțională cu consumul de energie din această perioadă de măsurare.

În mod normal, o perioadă de măsurare este de 15 min, mai rar 30 sau 60 min. Durata perioadei de măsură este comandată printr-un dispozitiv de timp cu comutator de maxim. Dispozitivul de maxim are un indicator (de urmărire) antrenat de rotorul contorului. După trecerea perioadei de măsurare, acesta este eliberat și revine în poziția originală. Indicatorul de maxim este un ac antrenat, deplasat de indicatorul de urmărire și care rămâne la valoarea maximă atinsă. Există și dispozitive indicatoare de maxim

la care antrenarea dispozitivului indicator se realizează cu ajutorul unui motor auxiliar pentru a elibera contorul de efectuarea unui lucru mecanic, precum și contoare cumulative care preiau deviația indicatorului de maxim când acesta este readus la zero la sfârșitul perioadei de citire (1 lună).

#### Dispozitiv de pulsații

Pentru comanda echipamentelor de tarifare separate, de exemplu înregistratoare de maxim, imprimatoare de maxim sau perforatoare de maxim, există dispozitive care înregistrează valoarea puterii medii pe perioada de măsurare. Cartelele de înregistrare se extrag la sfârșitul lunii. Pentru obținerea maximului total se pot însuma datele unui număr de contoare de pulsații prin însumarea pulsațiilor. Dispozitivele de pulsații montate în prezent în contoare funcționează în mare măsură fără efect reactiv, adică fie folosesc un motor cu amplificare pentru acționarea contactului de pulsații, fie contorul are un dispozitiv electronic de impuls inclus.

#### Contoare de curent continuu

Acestea sînt în mod aproape exclusiv contoare de amper-oră pentru măsurarea circulației de curent sau integratoare de valori măsurate. Măsura circulației de curent servește în special la comandarea unor procese electrochimice. În cazul aparatelor pentru curenți mari, pe bară se montează un șunt de 60 mV (cădere de tensiune de 60 mV). Contorul de curent continuu se conectează prin intermediul unui amplificator de măsură. Pentru integrarea valorilor mărimilor electrice sau neelectrice măsurate, contorul de curent continuu este introdus în circuitul de măsură al unui transductor sau amplificator împreună cu aparatele indicatoare. Prin integrarea valorilor măsurate în mod analog se obține cantitatea dorită. Pentru scopuri de dozare, contorul de cantitate are un alt contact de pulsații (contact de cantitate fixă) care comandă un contor de pulsații, iar acesta dă un impuls de comandă atunci când se atinge un număr predeterminat de pulsații.

#### Citirea contoarelor

Contoarele au elemente de numărare cu funcționare continuă. Consumul de energie este dat de diferența dintre pozițiile înregistrate la începutul și la sfârșitul perioadei de citire. În cazul contoarelor pentru conectare directă, contorul indică energia în unitățile de măsură (kWh, kVarh și Ah). În cazul contoarelor conectate prin transformatoare de măsură trebuie să se facă distincție între dispozitivele de înregistrare primare, semiprimare și secundare.

Dispozitivele de înregistrare primare indică energia în mod direct, exact ca și cele pentru conectare directă. Rapoartele de transformare sînt cuprinse în constanta dispozitivului de înregistrare.

Dispozitivele de înregistrare semiprimare țin seamă numai de tensiunea primară pentru constanta dispozitivului de înregistrare. Citirea acestuia trebuie să fie multiplicată cu raportul transformatorului de curent.

Dispozitivele de înregistrare secundare dau citiri care trebuie multiplicat atît cu raportul de transformare al transformatorului de curent cit și cu raportul de transformare al transformatorului de tensiune (dar numai cu raportul transformatorului de curent în cazul rețelelor de joasă tensiune).

Rapoartele de transformare ale transformatoarelor sînt înscrise pe o placă suplimentară de mărimi nominale montată în exteriorul contorului.



Determinarea sarcinii instantanee a unui contor se face cu relația

$$P_{inst} = \frac{\text{număr de rotații citit } (n) \times 3\,600 \times 1\,000}{\text{constanta contorului } (k_c) \times \text{timpul de citire}}, \text{ în W}$$

Introducând valoarea sarcinii nominale în relația de mai sus pentru  $t_{teor} = 60$  s numărul nominal de rotații este:

$$u = n = \frac{k_c \times P}{60 \times 1\,000}$$

#### Reglementări

Contoarele care servesc la tariful energiei electrice furnizate trebuie să fie conforme standardelor și certificatelor oficiale, adică trebuie să fie controlate de un birou de încercări electrice.

Limitele erorilor de etalonare pentru contoare de curent continuu:

$P/P_N$	0,05	0,1	0,5	1	1,25	$P$ — sarcina măsurată în W
$\pm \epsilon \%$	9	6	3	3	4	$P_N$ — sarcina nominală în W

Pentru contoare de curent alternativ mono și polifazat se poate folosi următoarea formulă:

$$\pm \epsilon = 3 + 0,05 \frac{P_N}{P} + 0,5 \left( 1 + 0,1 \frac{P_N}{P} \right) \text{tg } \varphi.$$

Pentru contoare legate prin intermediul transformatoarelor de măsură se poate folosi următoarea formulă:

$$\pm \epsilon = 2 + 0,03 \frac{P_N}{P} + 0,3 \left( 1 + 0,05 \frac{P_N}{P} \right) \text{tg } \varphi.$$

În cazul contoarelor de energie reactivă,  $Q_N$  este sarcina nominală reactivă,  $Q$  sarcina reactivă pentru același timp de citire, în Var s. În acest caz în formulă trebuie să se înlocuiască  $\text{tg } \varphi$  cu  $\text{ctg } \varphi$ .

În cazul contoarelor în condiții de exploatare, limitele legale de eroare aplicabile sînt duble.

#### Determinarea erorilor la contoare

*Metoda de încercare la sarcină de durată.* Se compară indicația contorului cu cea a unui contor standardizat conectat în serie

$$\epsilon = \frac{W - W_{teor}}{W_{teor}} \times 100\%,$$

unde:  $W$  este energia indicată de contor, în kWh;  
 $W_{teor}$  — valoarea teoretică corespunzătoare (indicată de contorul standardizat fără eroare).

*Metoda wattmetrului și a cronometrului.* Rotațiile rotorului sînt măsurate cu un cronometru. În prezent acest lucru se realizează folosindu-se instalații de încercare cu comanda automată a sarcinii, cronometre electronice și un dispozitiv de numărare care întrerupe în mod automat după un număr prestabilit de rotații ale rotorului.

$$\epsilon = \frac{t_{teor} - t}{t} \times 100\% = \frac{u \times 3\,600 \times 1\,000}{k_c \times P}$$

unde:  $t_{teor}$  este timpul teoretic de încercare;

$t$  — timpul măsurat;

$u$  — rotațiile numărate ale rotorului;

$k_c$  — constanta contorului (numărul teoretic al rotațiilor rotorului pentru 1 kWh);

$P$  — sarcina în W, care trebuie să fie constantă în timpul efectuării măsurii.

*Încercarea de funcționare.* Contoarele sînt conectate în serie cu un contor etalon de același tip, reglat în mod corespunzător. Contorul etalon este oprit după un număr prestabilit de rotații ale rotorului, de exemplu 10 sau 20. Eroarea de măsură a contorului se poate determina din pozițiile rotoarelor contoarelor și din indicațiile rotoarelor. Această metodă se folosește numai pentru contoare produse în serie pe scară largă.

*Încercarea stroboscopică.* Aceasta constă într-o comparare a vitezei contorului etalon cu cea a contorului de încercat. Cu ajutorul efectului stroboscopic, contorul etalon produce frecvența de bătăi. Marginea discului rotorului este divizată în 400 părți. Această metodă se folosește în prezent în fabricație, în scopuri de reglaj.

*Verificarea contorului la locul de montaj.* Se folosește un contor portabil de etalonare legat în serie cu contorul de încercat. Contorul de etalonare are atît un indicator de energie cît și un numărător separat de rotații. Contoarele de etalonare sînt executate, de obicei, pentru două domenii de tensiuni și de curent.

*PARTEA A TREIA*

**INSTALAȚII DE UTILIZARE A  
ENERGIEI ELECTRICE**

## 10. TRACȚIUNEA ELECTRICĂ

### 10.1. GENERALITĂȚI

#### Ecartamentul liniilor de cale ferată

500 ... 750 mm	exploatări miniere, cariere de nisip, cariere de piatră, fabrici de cărămizi;
600 mm	căi ferate ușoare, căi ferate locale în: Brazilia, Bulgaria, R.D.G., R.F.G., Indonezia, Polonia;
610 mm	Australia, India, Republica Sud Africană
700 mm	Cuba, Indonezia;
750 mm	Argentina, Sahara spaniolă, Cuba, Ecuador, Egipt, Finlanda, R.D.G., R.F.G., Indonezia, Norvegia, Paraguay, Peru, Polonia, România, Turcia, U.R.S.S.;
762 mm	Austria, Bulgaria, Chile, Cuba, Cipru, Cehoslovacia, Ghana, India, Jugoslavia, Japonia, Nepal, Pakistan, Paraguay, San Domingo, Sierra Leone, Ungaria;
785 mm	Danemarca, Polonia;
891 mm	Suedia;
900 mm	exploatări de cărbune brun în Australia, R.D.G., R.F.G., Portugalia și România;
914 mm	Mozambic, Canada, Cuba, Filipine, Guatemala, Irlanda, Insula Man, Mexic, Panama, Peru, San Salvador, Suedia, Venezuela;
950 mm	Italia, Libia;
1000 mm	Guinea Bissau, Algeria, Argentina, Australia, Belgia, Birmania, Bolivia, Brazilia, Chile, China, Sahara spaniolă, Columbia, Egipt, Elveția, Etiopia, Franța, R.D.G., R.F.G., Grecia, Guyana, Italia, Luxemburg, Madagascar, Federația Malaysia, Pakistan, Peru, Polonia, Portugalia, Porto Rico, Spania, Tanzania, Thailanda, Togo, Tunisia, Uganda, Ungaria, Venezuela. Utilizat și pentru tramvaie; Iordania, Siria, Tunisia;
1050 mm	Africa de Sud, Angola, Australia, Canada, Congo, Costa Rica, Ecuador, Filipine, Ghana, Guatemala, Guyana, Honduras, Indonezia, Japonia, Mozambic, Nicaragua, Nigeria, Norvegia, Noua Zeelandă, Queensland (Australia), Rhodesia, Spania, Sudan, Suedia, Taiwan, Tasmania, U.R.S.S., Venezuela;
1067 mm	

1100 mm	rețeaua de tramvaie în Brunswick, Kiel, Lübeck;
1435 mm (ecartament standard)	Argentina, Australia, China, Egipt, Europa (în afară de Irlanda, Portugalia, Spania și U.R.S.S.), Franța: 1500 mm distanță între axele șinelor, este posibilă însă circulația cu ecartamentul standard al osiei montate) Arabia Saudită, Canada, R.P.D. Coreeană, Coreea de Sud, Cuba, Ecuador, Guyana, Iran, Irak, Izrael, Jamaica, Japonia, Liban, Manciuria, Maroc, Mauritania, Mexic, New South Wales, Paraguay, Peru, Tunisia, Turcia, Uruguay, S.U.A.: folosit și pentru tramvaie;
1524 mm	Finlanda, Panama, U.R.S.S.;
1600 mm	Australia, Brazilia, Irlanda;
1665 mm	Portugalia;
1676 mm	Argentina, Ceylon, Chile, India, Pakistan, Spania.

### Notarea formulei osiilor la vehiculele cu acționare electrică

Osiile purtătoare succesive ale boghiului de susținere sau ale șasiului principal sînt notate cu cifre arabe.

Osiile motoare succesive ale boghiului sau ale șasiului principal sînt notate cu litere mari latine.

În cazul acționării individuale a osiilor se adaugă un zero mic la litera mare.

Dacă aparatul de rulare este divizat, numărul sau litera prin care se notează formula osiilor boghiului (de exemplu: boghiu purtător, boghiu motor, boghiu Bissel), este prevăzută cu accent.

Notarea formulei osiilor boghiului cu mai mult de o cifră sau o literă este pusă în paranteză.

La vehicule cu unități motoare multiple fără suprastructură, notațiile care indică formula osiilor vehiculelor parțiale, sînt legate între ele cu semnul +.

### Notații

1	o singură osie purtătoare;
1'	o singură osie purtătoare independentă de șasiul principal (de exemplu osia alergătoare);
2'	două osii purtătoare succesive independente de șasiul principal (de exemplu boghiu purtător);
Ao	o singură osie motoare;
Ao'	o singură osie motoare independentă de șasiul principal;
B	două osii motoare succesive, cuplate;
B'	două osii motoare succesive cuplate independente de șasiul principal (de exemplu boghiu motor);
Bo	două osii motoare succesive cu acționare individuală;
Bo'	două osii motoare succesive cu acționare individuală independente de șasiul principal (de exemplu boghiu motor);
C	trei osii motoare succesive cuplate;
C'	trei osii motoare succesive cuplate, independente de șasiul principal (de exemplu boghiu motor);
Co	trei osii motoare succesive cu acționare individuală;
Co'	trei osii motoare succesive cu acționare individuală independente de șasiul principal (de exemplu boghiu motor);

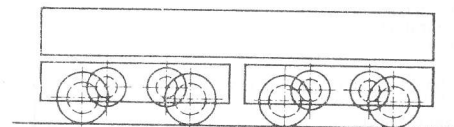
### Notații

D	patru osii motoare succesive cuplate;
Do	patru osii motoare succesive cu acționare individuală;
(1 Ao)	boghiu motor cu o singură osie purtătoare și o singură osie motoare;
(A1A)	boghiu motor cu o singură osie purtătoare centrală și două osii motoare cuplate;
(Ao1Ao)	boghiu motor cu o singură osie purtătoare centrală și două osii motoare cu acționare individuală;
(1B)	boghiu motor cu o singură osie purtătoare și două osii motoare succesive cuplate;
(1Bo)	boghiu motor cu o singură osie purtătoare și două osii motoare succesive cu acționare individuală.

### Exemple :

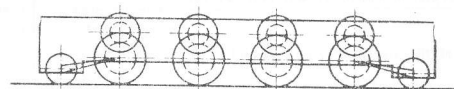
#### a) Bo' Bo'

Locomotivă cu două boghiuri motoare, fiecare cu două osii motoare acționate individual.



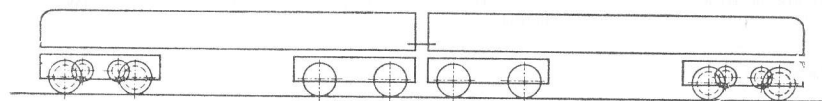
#### b) 1' Do 1'

Locomotiva cu șasiul principal cu patru osii motoare succesive acționate individual și cite o osie alergătoare la fiecare capăt.



#### c) Bo' 2' + 2'Bo

Automotor cu două unități, fiecare unitate avînd două boghiuri; un boghiu motor cu două osii acționate individual și un boghiu purtător cu două osii succesive.



Tensiunea nominală a sursei de energie la alimentarea prin linie de contact este de regulă cu 10% mai mare iar în unele cazuri cu 5% mai mare, decît tensiunea nominală a dispozitivelor consumatoare de energie.

Abaterea de durată admisă pentru tensiunea de lucru față de tensiunea nominală:

a) În sistemul de curent continuu la linia de contact între +20% și -30% iar în curent alternativ monofazat între +15% și -20%.

b) Pentru serviciile auxiliare ale vehiculelor cu alimentare în curent continuu de la linia de contact între +20% și -30% și de la rețele auxiliare speciale de alimentare între +20% și -15%.

La alimentarea în curent alternativ monofazat prin transformator între +15% și -30% față de tensiunea nominală.

Abaterea frecvenței de lucru, de la frecvența nominală la alimentarea în 16 2/3 Hz de la +2% la -3%, iar la alimentarea în 50 Hz de ± 0,5%.

Tabelul 10.1. Tensiuni nominale folosite și felul curentului

Tipul de cale ferată electrică	Felul curentului	Tensiunea nominală V
Vehicule cu baterii de acumuloare pentru căi ferate miniere și căi ferate suburbane	c.c.	72, 110, 440
Căi ferate miniere, căi ferate industriale, căi ferate miniere de suprafață		220, 600, 1200, 1500
Tramvaie, troleibuze		600, 750
Căi ferate interurbane, metrouri, căi urbane rapide, căi ferate suburbane		750, 1200, 1500
Căi ferate magistrale		1500, 3000
Căi ferate industriale, căi ferate miniere de suprafață, căi ferate suburbane, căi ferate magistrale	c.a. 16 <sup>2</sup> /3 sau 50 Hz	6000, 15000, 25000
Sistemul electric de iluminat	c.c.; c.a.	24, 110, 220
Dispozitive de comandă	c.c.; c.a.	24, 88, 110, 200, 220
Serviciile auxiliare ale vehiculelor	c.c.; c.a.	24, 110, 200, 220
Sisteme de încălzire a vehiculelor	c.c. c.a	corespunzător tensiunii liniei de contact 1 000 V, 1 500 V

Tabelul 10.2. Greutăți și puteri ale locomotivelor și vagoanelor motoare

Tipul de cale ferată electrică	Tipul de construcție conform sursei de alimentare și sursei de energie	Formula osiilor	Greutatea Mgf	Putere nominală kW
a) Locomotive				
Căi ferate miniere, căi ferate industriale	Locomotive cu baterii de acumuloare	Bo	4—35	10—100
Căi ferate industriale	Locomotive cu baterii de acumuloare	Bo' Bo'	60—80	200—300
Căi ferate miniere, căi ferate industriale	Locomotive cu pantograf	Bo	6—50	35—500
Căi ferate din exploatare miniere de suprafață	Locomotive cu pantograf	Bo' Bo'	50—140	400—3000
Căi ferate magistrale cu trenuri de călători și marfă	Locomotive cu pantograf	Bo' Bo'	64—80	1600—4000
Căi ferate magistrale cu trenuri expres și rapide	Locomotive cu pantograf	Bo' Bo' sau Co' Co'	80—120	2000—6000—7800

Tabelul 10.2 (continuare)

Tipul de cale ferată electrică	Tipul de construcție conform sursei de alimentare și sursei de energie	Formula osiilor	Greutatea Mgf	Putere nominală kW
Căi ferate magistrale cu trenuri grele de marfă	Locomotive cu pantograf	Co' Co' sau Bo' + Bo' + Bo'	120	2 000—4 400—7 800
Căi ferate industriale, căi ferate din exploatare miniere de suprafață	Locomotive cu pantograf	Bo' + Bo' + Bo'	120—150	1 100—1 800
b) Vagoane motoare <sup>1)</sup>				
Tramvaie, căi ferate, interurbane	Vagon motor cu pantograf	B' B' sau Bo' Bo' B' 2' B' sau Bo' 2' Bo' B' 2' 2' B' sau Bo' 2' 2' Bo'	15—30	200—300
Troleibuze	Vagon motor cu pantograf	1 Ao	7—12	90—120
Căi ferate subterane, căi ferate urbane rapide	Vagon motor cu alimentare prin șină, vagon motor cu pantograf	B' B' + B' B' sau Bo' Bo' + Bo' Bo' sau Bo' Bo' + 2' 2' + + Bo' Bo' <sup>2)</sup>	40—120	400—1 200
Căi ferate magistrale	Vagon motor electric	Bo' 2'	50—60	200
Căi ferate suburbane, căi ferate magistrale	Vagon motor cu pantograf	Bo' 2' + 2' Bo' sau Bo' Bo' + 2' 2' sau Bo' 2 + 2' 2' + + 2' Bo' <sup>3)</sup> sau Bo' Bo' + Bo' Bo' + Bo' Bo'	60—150	400—2 500

<sup>1)</sup> Inclusiv vagoane motoare cu unități multiple.

<sup>2)</sup> De exemplu: vagoane motoare de curent continuu cu trei unități pentru calea ferată urbană din Hamburg.

<sup>3)</sup> De exemplu: vagoane motoare de curent alternativ cu trei unități pentru traficul expres din Ruhr.

Gabaritul de liberă trecere pentru căile ferate electrice de ecartament standard<sup>1)</sup> în concordanță cu construcția căilor ferate și regulamentelor de exploatare

Gabaritul de liberă trecere definește prin liniile B—C (fig. 10.1) spațiul în al cărui interior afară de materialul rulant trebuie să nu intre nici o parte a construcțiilor și instalațiilor fixe și este valabilă pentru linii drepte și în curbe cu rază de 250 m sau

<sup>1)</sup> Valabil pentru ecartamentul standard german.



mai mare. În curbe cu rază mai mică de 250 m, gabaritul de liberă trecere, trebuie mărit în concordanță cu raza de curbura.

Cînd staționează în poziția centrală în aliniament, vehiculele trebuie să nu depășească conturul *F* din gabaritul pentru locomotive și vagoane. Lățimea maximă permisă trebuie astfel limitată încît să fie îndeplinite condițiile pentru deplasarea în curbele din linie curentă și curbele de la macazuri.

*B/C stînga:* Gabaritul de liberă trecere pentru linii principale directe și linii de plecare și sosire pentru trenuri de călători.

*B/C dreapta:* Același pentru celelalte linii.

*F stînga:* Gabaritul pentru locomotive și automotoare.

*F dreapta:* Gabaritul pentru vagoane.

*G:* Gabaritul pentru pantografe la tensiune nominală de 15 kV, în poziția cea mai înaltă și cea mai joasă de funcționare.

*Gabaritul de material rulant pentru liniile electrificate cu ecartament standard în conformitate cu fișa UIC-505*

Nici o parte a vehiculului de ecartament standard nu trebuie să depășească dimensiunile de gabarit arătate în schița din fig. 10.2, în poziție de staționare sau în mișcare sau cînd supraînălțarea nu este mai mare decît 0,05 m dacă planul median longitudinal al vehiculului motor conține axa căii de ecartament standard de 1435 mm.

Pentru alte supraînălțări și în curbe sînt admise anumite toleranțe specificate de la caz la caz în fișele UIC. Săgeata de încovoiere a arcului pe verticală și pe orizontală, trebuie luată de asemenea în considerare.

Pentru părțile cele mai joase ale vehiculului motor este valabilă fig. 10.3.

La Căile Ferate Române, gabaritul de liberă trecere și gabaritul de material rulant este reglementat prin STAS 4392-68. În fig. 10.4 este reprezentat gabaritul de liberă trecere standardizat la CFR.

Pentru stabilirea dimensiunilor părții superioare ale gabaritului de liberă trecere pe liniile electrificate este necesară cunoașterea distanțelor de izolare electrică. La CFR, în condițiile utilizării sistemului de tracțiune electrică în curent monofazat 50 Hz — 25 kV, aceste distanțe se stabilesc conform fig. 10.5 și tabelului 10.3.

În general gabaritele standardizate sau cele utilizate în tracțiunea electrică la CFR sînt în concordanță cu prevederile fișelor UIC-505 și 606.

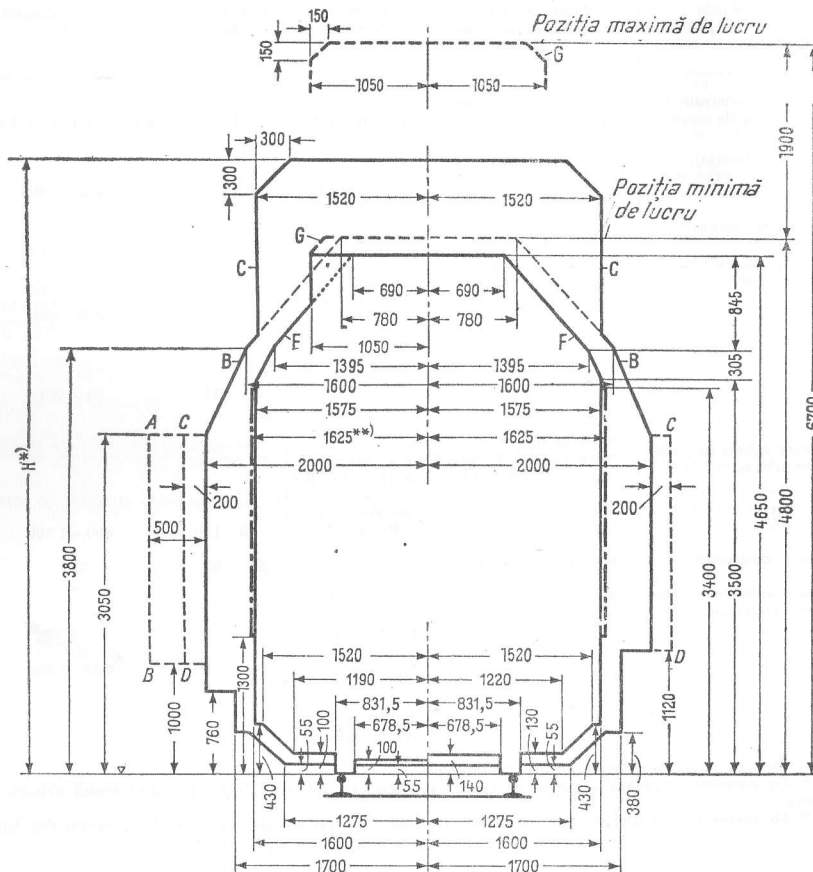


Fig. 10.1. Gabaritul de liberă trecere și gabaritul de material rulant:

*A - B* — zone laterale ce trebuie menținute libere pentru linia electrică aeriană, în afară de lucrările de construcție aferente; *C - D* — zone laterale ce trebuie menținute libere pentru stații și lucrări de construcție aferente ale liniei electrice aeriene; *H\** = 5500 mm pentru suprastructuri și tunele noi; *H* = 5300 mm pentru suprastructuri și tunele existente cînd tracțiunea cu abur este înlocuită cu tracțiunea electrică; \*\* pentru discuri și lămpi de semnalizare.

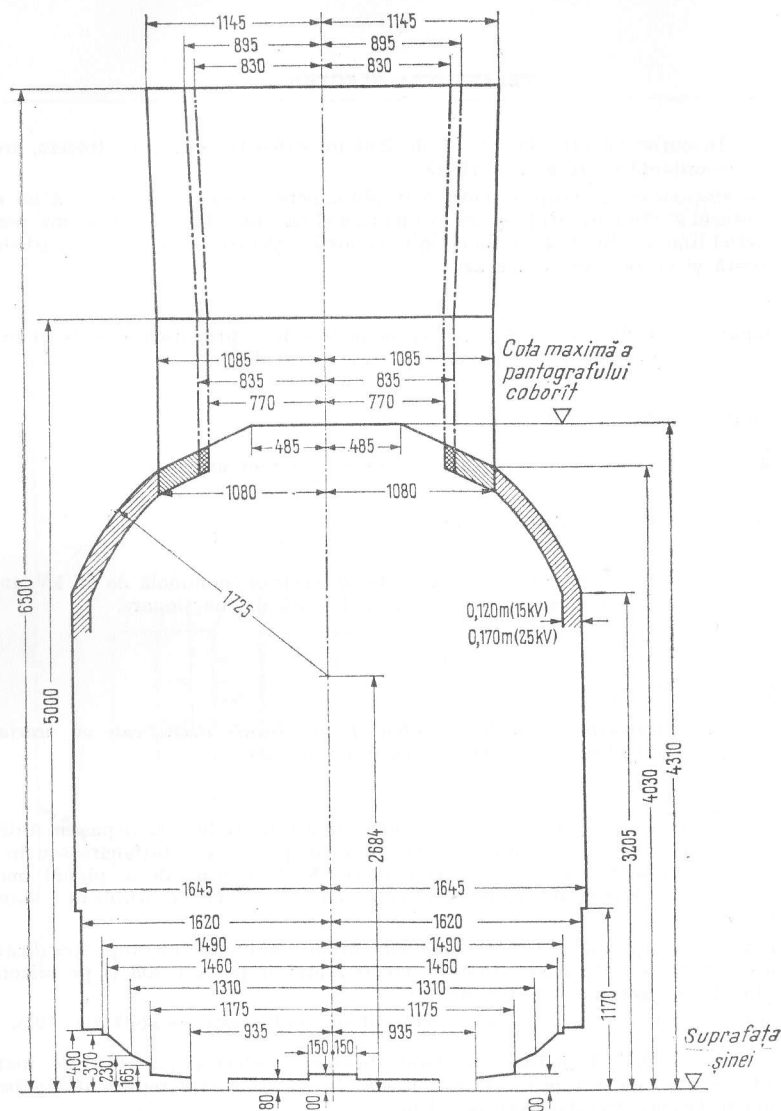


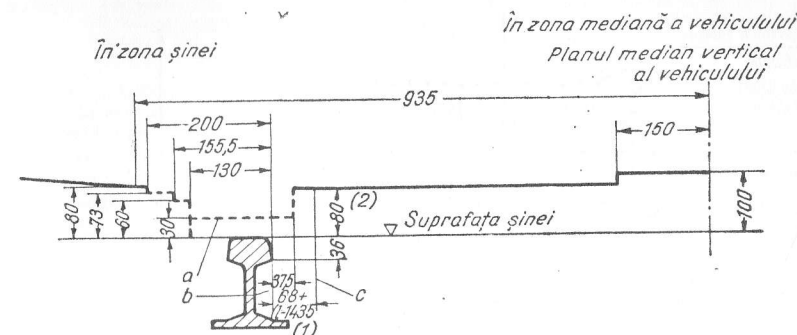
Fig. 10.2. Gabaritul provizoriu de material rulant pentru echipamentul de pe acoperișul unității de tracțiune ce poate fi utilizat în traficul internațional:

- Spații ce trebuie menținute libere de elemente neizolate sub tensiune.  
 Aceste părți trebuie distanțate de gabaritul liniei la minimum:  
 0,120 m pentru alimentarea cu 15 kV;  
 0,170 m pentru alimentarea cu 25 kV.

Gabaritul liniei pentru pantograf:

- la o înălțime de 1,950 m  
 - - - la o înălțime de 1,450 m  
 . . . la o înălțime de 1,320 m

Pantograf cu sau fără capete de furcă izolate.


 Fig. 10.3. Gabaritul de material rulant pentru părțile cele mai joase ale trenurilor cu unități multiple:  
 a — dimensiuni de gabarit ale părților vehiculului, cu excepția roților; b — lățimea maximă admisă a buzei de bandaj, luându-se în considerare înclinarea posibilă a osiei montate față de șină; c — poziția limită a părții interioare a bandajului roții, când osia montată este împinsă către șina opusă.

(1) — ecartamentul.

(2) Notă: Cel mai scăzut nivel orizontal 80 mm deasupra coroanei șinei este valabil pentru zona cu boghiuri la unități de tracțiune cu boghiuri și pentru zonele osiilor montate la unitățile de tracțiune fără boghiuri. În afara acestor zone părțile de vehicul nu pot fi coborâte la mai puțin de 100 mm deasupra coroanei.

Tabelul 10.3. Distanțele minime de izolare

Cazul	Distanțe de izolare		Condițiile în care se aplică
	b mm	c mm	
1	320	320	Când distanța minimă de izolare durează un timp îndelungat (cazul când locomotiva cu pantograful ridicat staționează sub lucrarea de artă și împinge suspensia în sus) dacă pe linia respectivă există circulație importantă de locomotive cu abur sau când lucrarea de artă și linia de contact sunt situate în zona marină (mediu salin)
2	270	270	Idem ca în cazul 1, însă nu există circulație importantă de locomotive cu abur sau când lucrarea de artă și linia de contact nu sunt situate în zona marină (mediu salin)
3	270	220	Când distanța minimă de izolare durează un timp scurt (cazul când locomotiva cu pantograful ridicat trece pe sub lucrarea de artă), dacă pe linia respectivă există o circulație importantă de locomotive cu abur sau când lucrarea de artă și linia de contact sunt situate în zona marină (mediu salin)
4	220	170	Idem ca în cazul 3, însă nu există circulație importantă de locomotive cu abur sau când lucrarea de artă și linia de contact nu sunt situate în zona marină (mediu salin)

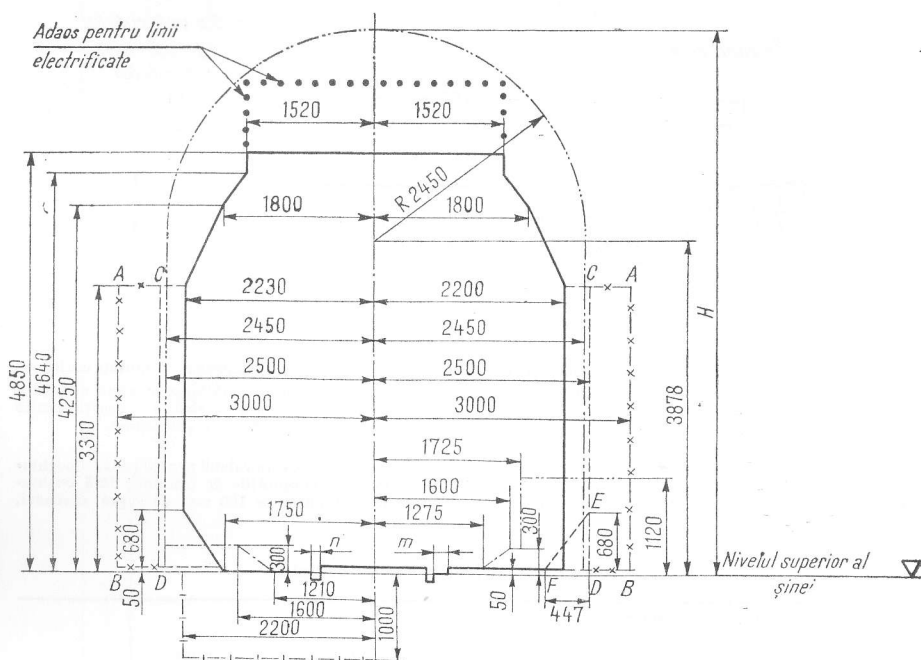


Fig. 10.4. Gabarit de liberă trecere pentru construcții noi, valabil în aliniament și în curbe cu raze mai mari de 4000 m:

- $a$  — în linie curentă;
- — — Gabarit de construcție pentru lucrări de artă noi
- — —  $CD$  spațiu liber care trebuie respectat de infrastructura podurilor care traversează calea ferată cu lățime sub 6 m, de parapetele podurilor, precum și de semnalele instalațiilor SCB (semnalizare, centralizare, bloc) și stîlpilor rețelei de contact<sup>1)</sup>
- x - x -  $AB$  spațiu liber care trebuie respectat de alte construcții și de ziduri paralele și infrastructuri de poduri care traversează calea ferată, cu lățimea de 6 m sau mai mare
- - - - - Limita de apropiere a peroarelor în haltele din linia curentă
- | - | - Spațiu liber care trebuie asigurat pentru acțiunea mașinii de ciuruit balastul, cu excepția lucrărilor de artă, trecerilor de nivel și instalațiilor SCB
- ... - - - Gabarit pentru tuneluri
- $b$  — în stații (între vîrfurile macazurilor) și pe porțiunea liniilor de tragere și garaje care depășește aceste macazuri (în afara stației);
- — — Gabarit pentru semnale, coloane hidraulice, stîlpi de iluminat, precum și stîlpilor rețelei de contact plasați între linii
- ... - - - Limita de apropiere a peroarelor, rampelor și cheiurilor, aparatelor de manevră la macazuri și semnalelor pitice
- — —  $CD$  spațiu liber care trebuie respectat de infrastructura podurilor care traversează liniile și de soclurile masive de siguranță cu lățimea sub 6 m
- — —  $CEF$  spațiu liber care trebuie respectat de suprastructura podurilor metalice cu calea jos în stații

<sup>1)</sup> Această dimensiune poate fi redusă în cazuri impuse de condițiile locale între 2 500 și 2 200 mm cu aprobarea anticipată a Conducerii Departamentului Căilor Ferate.

- x - x -  $AB$  spațiu liber care trebuie respectat de alte construcții, precum și de ziduri paralele și de infrastructura podurilor care traversează liniile și de soclurile masive de siguranță cu lățimea de 6 m sau mai mare, stîlpilor peroarelor sau stîlpilor exteriori ai rețelei de contact
- ... - - - Gabarit pentru tuneluri

Notă: 1. Înălțimea liberă  $H$  sub o lucrare de artă sau construcție situată pe o cale ferată electrificată se măsoară în axa căii de la nivelul superior al șinelor și pînă la partea cea mai de jos a lucrării de artă. Această înălțime este determinată de:

- caracteristicile constructive ale lucrării de artă și ale liniei de contact;
- tipul suspensiei catenare (rigidă, semicompensată, compensată, cu sau fără cablu purtător etc.);
- condițiile meteorologice ale zonei în care se află construcția;
- poziția lucrării de artă pe traseul liniei (în linie curentă, în stații de cale ferată, în apropiere de o trecere de nivel sau macaz);
- înălțimea minimă a firului de contact;
- asigurarea distanței minime de izolare pe verticală (lama de aer —  $b$ ), conform fig. 10.5;
- jocul pe verticală al suspensiei (variația săgeții) datorită variației de temperatură sau depunerii maxime de chiciură;
- nivelul definitiv al căii.

2.  $m \geq 150$  mm pentru obiecte fixe nelegate de șina de rulare;  $m \geq 135$  mm pentru obiecte rigide legate de șina de rulare;  $n = 67$  mm + supralărgirea curbei la treceri de nivel, linii în pavaje etc.; 45 mm + supralărgirea curbei la contrașine lingă firul interior în curbe; 44 mm la șanțul de rulare al inimilor simple; 41 mm  $\pm \frac{2}{3}$  pentru contrașine care ghidează roata pe fața interioară; 46 mm pentru contrașine la traversările fixe.

3. Conturul gabaritului în curbe cu raze de 4 000 m sau mai mici se stabilește prin înclinarea gabaritului astfel ca după înclinare axa să fie perpendiculară pe planul tangent la ciupercile ambelor șine; lățimile din gabarit de mai sus se sporesc și ele în acest caz conform reglementărilor STAS 4392-68.

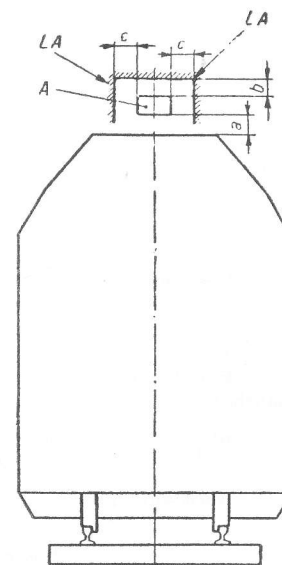


Fig. 10.5. Distanța de izolare în tracțiunea electrică.

Notă:  $A$  reprezintă partea neizolată a liniei de contact și a pantografului (inclusiv deplasările datorită jocurilor și curbelor) aflate sub tensiune;  $LA$  — lucrare de artă.

## 10.2. VEHICULE MOTOARE

## Calculul performanțelor

Ecuția forței de tracțiune:

$$F_o = W_t = W_r + W_s + W_c + W_a = w_t G_{tren} = (w_r + w_s + w_c + w_a) G_{tren}$$

Rezistența principală la înaintare:

$$W_r = w_r G_{tren} = c_0 G_0 + (c_0 + c_1) G_a + (c_2 + c_3 n) \times 0,5 \Omega \left( \frac{V + 15}{10} \right)^2.$$

Rezistența specifică a declivității:

$$w_s = \pm s$$

Rezistența specifică în curbe:

$$w_c = \frac{153e + 100a}{R}$$

La CFR se utilizează formulele lui Röckl:

$$\text{— pentru } R < 250 \text{ m: } w_c = \frac{500}{R - 30}$$

$$\text{— pentru } 250 < R < 350: w_c = \frac{530}{R - 35};$$

$$\text{— pentru } R > 350: w_c = \frac{650}{R - 55}$$

Rezistența specifică de accelerare:

$$w_a = \frac{1000 (1 + \xi) a_a}{9,81}$$

$$w_a = 110 a_a \text{ pentru un spor mediu } \xi = 0,08$$

și

$$w_a = 108 a_a \text{ pentru un spor mediu } \xi = 0,06.$$

Rezistența principală la înaintare pentru locomotive

$$W_L = c_0 G_0 + (c_0 + c_1) G_a + c_2 \cdot 0,5 \Omega \left( \frac{V + 15}{10} \right)^2.$$

Rezistența principală la înaintare a trenurilor de călători (fără locomotivă) după Sauthoff:

$$W_{cdl} = (1,9 + 0,0025 V) \times G_V + 0,5 c_3 \times (n + 2,7) \times \Omega \left( \frac{V + 15}{10} \right)^2.$$

Rezistența principală la înaintare a trenurilor de marfă:

$$W_{mar} = \left[ 2 + (0,007 + c_4) \left( \frac{V + 15}{10} \right)^2 \right] G_V$$

La CFR se utilizează următoarele formule pentru calculul rezistenței specifice principale.

Pentru locomotive Co' Co':

$$W_L = (150 + 1,2 V + 0,03 V^2) \frac{G_L}{120}$$

Pentru locomotive Bo' Bo'

$$W = (100 + 0,8 V + 0,03 V^2) \frac{G_L}{80}$$

Pentru trenuri de marfă:

— cu vagoane specializate:

$$W_{mar} = \left( 1,6 + \frac{V^2}{2700} \right) G_V$$

— cu vagoane diferite (încărcate):

$$W_{mar} = \left( 2 + \frac{V^2}{1950} \right) G_V$$

Pentru trenuri de călători:

$$W_{cdl} = \left( 2 + \frac{V^2}{3200} \right) G_V$$

În aceste relații s-au folosit notațiile:

- $F_o$  — forța de tracțiune la obadă, în kgf;
- $W_t$  — rezistența totală la înaintare, în kgf;
- $W_c$  — rezistența în curbă, în kgf;
- $W_s$  — rezistența declivității, în kgf;
- $W_a$  — rezistența de accelerare, în kgf;
- $W_r$  — rezistența principală la rulare, în kgf;
- $W_L$  — rezistența principală la înaintare pentru locomotive, în kgf;
- $W_{cdl}$  — rezistența principală la înaintare pentru trenuri de călători, în kgf;
- $W_{mar}$  — rezistența principală la înaintare pentru trenuri de marfă, în kgf;
- $G_{tren}$  — greutatea trenului, în tf;
- $G_V$  — greutatea vagoanelor, în tf;
- $c_0$  — coeficientul de frecare de rostogolire și alunecare a osiilor, în kgf/tf;
- $c_1$  — coeficientul rezistenței de frecare al mecanismului de acționare, în kgf/tf;
- $c_2$  — coeficientul rezistenței la înaintare a vehiculului de tracțiune<sup>1)</sup>;
- $c_3$  — coeficientul rezistenței la înaintare a vagoanelor remorcate;
- $c_4$  — coeficientul rezistenței la înaintare a vagoanelor remorcate în trenurile de marfă (v. tabelul 10.4);
- $n$  — numărul vehiculelor remorcate;
- $\Omega$  — suprafața frontală (suprafața geometrică a secțiunii transversale) a vehiculului;
- $V$  — viteza de circulație, în km/h;
- $R$  — raza de curbură, în m;

<sup>1)</sup> Pentru tunele coeficientul trebuie dublat.

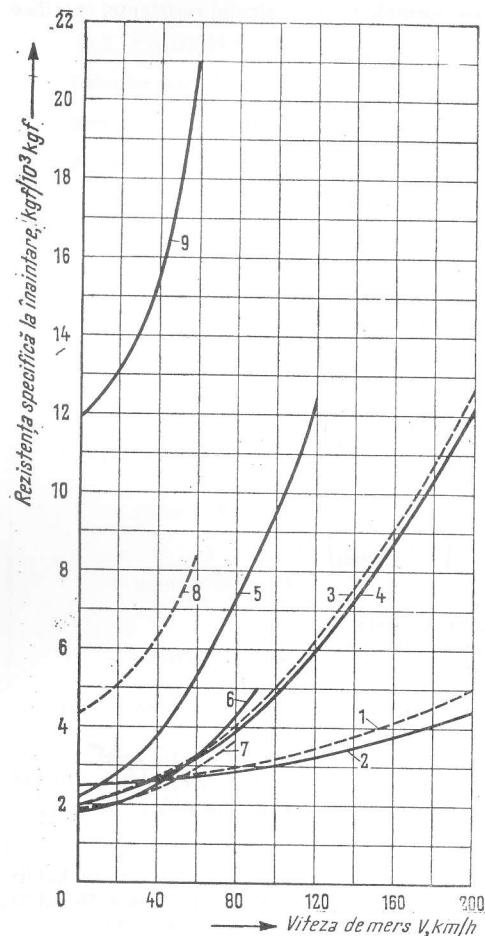


Fig. 10.6. Rezistența principală la înaintare:

1 — locomotive cu patru osii Bo' Bo' de 85 tf; 2 — locomotive cu șase osii Co'Co' de 112 tf; 3 — trenuri interurbane de 350 tf formate din 7 vagoane; 4 — trenuri rapide de 600 tf, formate din 13 vagoane; 5 — trenuri de marfă de 1200 tf; 6 — trenuri suburbane cu 2-3 unități motoare alimentate prin pantograf; 7 — trenuri urbane rapide cu 2-3 unități motoare alimentate prin șină conductoare; 8 — tramvaie formate dintr-un vehicul motor și o remorcă; 9 — troleibuze

$a$  — valoarea medie a ampatamentului rigid la toate vehiculele cu  $a < 3,3 e$ , în m;  
 $a_a$  — accelerația de pornire, în  $m/s^2$ ;  
 $s$  — declivitatea, în  $\text{‰}$ ;  
 $w_t$  — rezistența specifică totală la înaintare, în  $kgf/tf$ ;  
 $w_c$  — rezistența specifică a curbei, în  $kgf/tf$ ;  
 $w_s$  — rezistența specifică a declivității, în  $kgf/tf$ ;  
 $w_a$  — rezistența specifică pentru accelerare, în  $kgf/tf$ ;  
 $w_r$  — rezistența specifică principală la înaintare, în  $kgf/tf$ ;  
 $G_a$  — greutatea aderentă, în tf;  
 $G_0$  — partea din greutatea locomotivei rezemată pe osiile libere, în tf;  
 $G_L$  — greutatea totală a locomotivei, în tf;  
 $e$  — ecartamentul, în m;  
 $\xi$  — factor de creștere pentru masele în mișcare de rotație.

#### Forțe de tracțiune determinante

1. Forța de tracțiune la demaraj în palier și aliniament.

2. Forța de tracțiune necesară pentru mișcarea uniformă cu viteză redusă pe declivități lungi.

3. Forța de tracțiune la viteza maximă în palier și aliniament.

Forța de tracțiune a locomotivelor la demaraj este în general determinată de valoarea limită a coeficientului de aderență. Aceasta poate fi de pînă la trei ori mai mare decît cea din regim uniorar. Pentru automotoare forța de tracțiune la demaraj este determinată cu ajutorul accelerației maxime. Ea este în general de 1,4 — 2 ori valoarea de regim uniorar.

Forța de tracțiune a vehiculului motor la viteza maximă este determinată de accelerația finală impusă. Pentru trenuri remorcate de locomotive se ajunge la  $0,15 m/s^2$ . Pentru automotoare accelerația finală este de  $0,5-0,6 m/s^2$ .

Tabelul 10.4. Coeficienții de rezistență

Coeficientul de frecare de rostogolire și alunecare a osiilor	$c_0$ kgf/tf
Cuzinet cu metal antifricțiune și șine Vignole la căi cu ecartament standard și la linii de tramvai	1,5
Cuzinet exterior cu alunecare și șine Vignole la căi cu ecartament standard și la linii de tramvai	2
Cuzinet interior cu alunecare și șine Vignole la căi cu ecartament standard	2,5
Cuzinet cu metal antifricțiune și șine cu șanț la linii de tramvai	3
Cuzinet cu alunecare și șine cu șanț, la linii de tramvai	3,5
Căi ferate miniere de suprafață și căi ferate industriale cu ecartament standard	5-7
Căi ferate miniere de suprafață și căi ferate industriale cu ecartament de 900 mm	7-10
Căi ferate miniere cu ecartament de 600 și 750 mm	8-11
Căi ferate miniere cu ecartament de 500 mm	9-12
Linii fără șine în funcție de compoziția căii	10-16
Coeficientul rezistenței de frecare al mecanismului de acționare	$c_1$ kgf/tf
Acționare cu motoare semi-suspendate	2,0
Acționare cu articulații	2,0
Acționare elastică cu rotor sau arbore tubular	2,5
Acționare elastică cu inel de cauciuc	2,5
Acționare cu doi arbori longitudinali	2,5
Acționare cu ax cardanic	3
Acționare prin arbore intermediar cu trei osii cuplate	3
Acționare prin arbore intermediar a patru osii cuplate	4
Acționare cu ax cardanic și roți suspendate pe cauciuc	4
Coeficientul rezistenței aerului la vehicule motoare	$c_a$ kgf/tf
Locomotivă cu muchiile acoperișului rotunjite	0,6
Automotor cu o singură unitate sau remorcă înaintașă cu muchiile acoperișului rotunjite	0,6
Automotor cu două unități cu muchiile acoperișului rotunjite	0,65
Automotor cu trei unități cu muchiile acoperișului rotunjite	0,7
Automotor cu patru unități cu muchiile acoperișului rotunjite	0,8
Locomotivă cu muchiile acoperișului nerotunjite	0,8
Tramvaie, troleibuze	0,8
Automotor cu o singură unitate sau remorcă înaintașă cu muchiile acoperișului nerotunjite	0,8
Automotor cu două unități motoare cu muchiile acoperișului nerotunjite	0,9



Tabelul 10.4 (continuare)

Coeficientul rezistenței aerului la vehicule remorcate	$c_3$ kg/tf
Remorcă pentru automotoare cu muchiile acoperișului rotunjite .....	0,2
Remorcă pentru automotoare cu muchiile acoperișului nerotunjite .....	0,25
Automotor cu două unități cu muchiile acoperișului rotunjite .....	0,3
Automotor cu două unități cu muchiile acoperișului nerotunjite .....	0,4
Automotor cu trei unități cu muchiile acoperișului rotunjite .....	0,4
Vagoane de călători pe două și trei osii .....	0,12
Vagoane cu patru osii pentru trenuri exprese.....	0,14
Adaos pentru pantograf .....	0,1
Coeficientul rezistenței aerului pentru vagoane în trenurile de marfă	$c_4$ kg/tf
Vagoane de marfă de mare capacitate .....	0,025
Trenuri de marfă compuse din vagoane diferite.....	0,05
Trenuri de marfă compuse din vagoane goale.....	0,2

Tabelul 10.5. Suprafața frontală a vehiculelor

Tipul de vehicul	Suprafața frontală $m^2$
Locomotive de mare viteză .....	11,4
Locomotive pentru trenuri de călători și marfă, automotoare de ecartament standard .....	10,5
Automotoare rapide .....	10,3
Tramvaie, troleibuze .....	7,2
Vagoane de călători .....	10
Vagoane de marfă .....	6-10

Puterea vehiculelor cu unități multiple este egală cu puterea unioară a vehicului motor, respectiv este egală cu suma puterilor unioare ale motoarelor de tracțiune

$$P_h = \frac{F_h V_h}{367}$$

unde:

$P_h$  este puterea unioară, în kW;

$F_h$  — forța de tracțiune unioară la arborele motor, în kgf;

$V_h$  — viteza unioară a motorului de tracțiune, în km/h.

Regimul unioară al motoarelor de tracțiune corespunde regimului de oră admis din considerente termice și la o anumită viteză de referință. Această viteză unioară este aproximativ 35—40% din viteza maximă, în cazul motoarelor de tracțiune de curent continuu ale tramvaielor, metrourilor, vehiculelor rapide de pe liniile urbane și sub-urbane, și de 45—60% din viteza maximă pentru motoarele locomotivelor de curent continuu. Viteza de referință este determinată de excitația nominală prescrisă. Pentru motoarele de tracțiune ale vehiculelor de curent alternativ viteza unioară reprezintă 70—100% din viteza maximă.

Forța de aderență și coeficientul de aderență:

$$F_{max} = F_a = G_a \mu$$

în care:

$F_{max}$  este forța maximă de tracțiune sau de frinare, în kgf;

$F_a$  — forța de aderență, în kgf;

$G_a$  — greutatea aderentă, în kgf;

$\mu$  — coeficientul de aderență.

Tabelul 10.6. Coeficienții de aderență pentru vehicule motoare

Starea șinelor	Valoarea medie a coeficientului de aderență $\mu$
Șine uscate cu nisipare .....	1/3
Șine uscate fără nisipare .....	1/4
Șine umede fără nisipare .....	1/5
Șine alunecoase cu nisipare .....	1/6
Șine alunecoase fără nisipare .....	1/10
Cale uscată și anvelope de cauciuc .....	1/2

Transformarea caracteristicilor motorului în caracteristici ale vehiculului

$$\frac{V}{n} = \frac{3,6 D \pi}{60 i}, \quad \frac{F_m}{M} = \frac{2zi}{D}, \quad F_o = F_m \eta_t$$

unde:

$V$  este viteza de mers, în km/h;

$F_m$  — forța de tracțiune la arborele motorului, în kgf;

$F_o$  — forța de tracțiune la obadă, în kgf;

$i$  este raportul de angrenare, de exemplu raportul dintre turația motorului și a osiei antrenate;

$D$  — diametrul roții motoare, în m;

$z$  — numărul motoarelor de tracțiune;

$n$  — turația motorului, în rot/min;

$M$  — cuplul motor, în kgf·m;

$\eta_t$  — randamentul transmisiei mecanice;

Randamentul transmisiei mecanice este de aproximativ 0,97. Diametrul roții motoare trebuie luat la valoarea corespunzătoare bandajelor semiuzate; de exemplu în general cu valoarea nominală micșorată cu 35 mm pentru automotoare și cu 40 mm pentru locomotive.

### Calculul diagramelor de mers

Diagrama de pornire, care reprezintă forța de tracțiune în funcție de viteza de mers, începe cu forța de tracțiune de demaraj a cărei valoare este limitată de aderență și de curentul maxim admisibil, și continuă la vehiculele de curent continuu la aceeași valoare pînă cînd intersectează curba forței de tracțiune ce corespunde situației cu motoarele în paralel și cîmp plin (excitație nominală), urmată de o scădere a forței de tracțiune de demaraj, pînă la intersecția cu curba forței de tracțiune pentru excitația minimă (cîmp slăbit). În curent alternativ la vehiculele cu unități multiple, după caz ea continuă pînă la 30–70% din viteza maximă, urmată de o scădere a forței de tracțiune de demaraj pînă la intersecția curbei forței de tracțiune corespunzătoare treptei de tensiune maximă.

Ecuția dinamică fundamentală pentru determinarea timpului de mers este:

$$a = \frac{dv}{dt} = \frac{(F_o - W_r - W_s) 9,81}{(1 + \xi) \times 1000 G_{tren}} = \frac{f - s}{110} [\text{m/s}^2] = 118(f - s) [\text{km/h}^2]$$

Pentru  $\xi = 0,06$  coeficienții ecuației devin 108 și respectiv 120.

Timpul de mers și distanța parcursă pe secția de remorcare respectivă sînt calculate prin integrarea pe porțiuni a ecuației fundamentale cu ajutorul următoarelor relații:

Pornirea:

$$\Delta t_a = \frac{\Delta V}{3,6 a_a}; \quad \Delta l_a = \frac{V_2 - V_1}{2} \Delta t_a$$

Mersul cu viteză constantă:

$$t_l = \frac{l_1 \times 3,6}{V_1}$$

Încetinirea:

$$\Delta t_{inc} = \frac{110 \Delta V}{3,6(w_r + w_s + w_m)}; \quad \Delta l_{inc} = \frac{V_2 - V_1}{2} \Delta t_{inc}$$

Frînarea:

$$t_f = \frac{V_f}{3,6 a_f}; \quad \Delta l_f = \frac{V_f}{2} t_f$$

Pe secția de remorcare:

$$T = t_a + t_l + t_{inc} + t_f; \quad L = l_a + l_1 + l_{inc} + l_f$$

în care:

- $a$  este accelerația sau decelerația, în  $\text{m/s}^2$ ;
- $v$  — viteza de mers, în  $\text{km/h}$ ;
- $f$  — forța specifică de accelerare în palier, în  $\text{kgf/tf}$ ;
- $s$  — rezistența specifică a declivității, în  $\text{kgf/tf}$ ;
- $a_a$  — accelerația de pornire, în  $\text{m/s}^2$ ;
- $a_f$  — decelerația de frînare, în  $\text{m/s}^2$ ;
- $\Delta V$  — diferența de viteză, în  $\text{km/h}$ ;
- $V_1$  — viteza inițială, în  $\text{km/h}$ ;
- $V_2$  — viteza finală, în  $\text{km/h}$ ;
- $V_l$  — viteza de mers, în  $\text{km/h}$ ;
- $V_f$  — viteza la începutul frînării, în  $\text{km/h}$ ;
- $\Delta t$  — interval de timp, în s;
- $t_a$  — timpul de pornire, în s;
- $t_l$  — timpul de mers cu viteză constantă, în s;
- $t_{inc}$  — timpul de încetinire, în s;
- $t_f$  — timpul de frînare, în s;
- $T$  — timpul total de mers, în s;
- $w_m$  — rezistența specifică de frecare a motoarelor de tracțiune în  $\text{kgf/tf}$ ;
- rezistența de frecare se ridică la 1,5–2% din regimul uniorar;
- $\Delta l$  — intervalul de distanță parcursă, în m;
- $l_a$  — drumul de pornire, în m;
- $l_1$  — drumul parcurs cu viteză constantă, în m;
- $l_{inc}$  — drumul de încetinire, în m;
- $l_f$  — drumul de frînare, în m;
- $L$  — drumul total parcurs, în m.

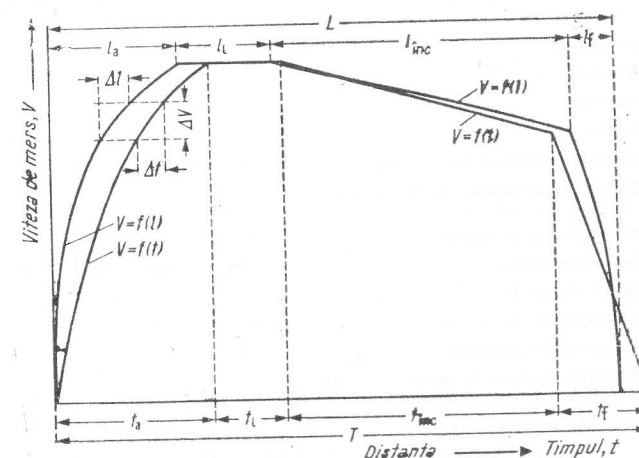


Fig. 10.7. Curbele de parcurs

Valoarea eficace a curentului:

$$I_e = \sqrt{\sum_{k=1}^n I_k^2 \Delta t_k / T}$$

este proporțională cu solicitarea motorului.

Consumul de energie la pantograf se obține din următoarele ecuații:

$$A = \frac{U}{3600 G_{tren}} \cdot \sum_{k=1}^n I_k \Delta t_k \quad \text{— pentru tracțiune în curent continuu}$$

$$A = \frac{U}{3600 G_{tren}} \sum_{k=1}^n I_k \cos \varphi_k \Delta t_k \quad \text{— pentru tracțiune în curent alternativ,}$$

în care:

- $I_e$  este curentul eficace al motorului, în A;
- $I$  — curentul motorului sau curentul transformatorului, în A;
- $\Delta t$  — intervalul de timp, în s;
- $T$  — timpul total de parcurs, inclusiv timpul de oprire, în s;
- $A$  — energia consumată, raportată la unitatea de greutate a trenului, în Wh/tf;
- $a$  — energia specifică medie, în Wh/tf·km ( $a = A/L$ );
- $U$  — tensiunea rețelei, în V;
- $\varphi$  — defazajul dintre tensiune și curent.

Tabelul 10.7. Valori caracteristice ale tracțiunii electrice

Tipul tracțiunii electrice	Viteza maximă de exploatare km/h	Accelerația la pornire m/s <sup>2</sup>	Decelerația medie la frinare m/s <sup>2</sup>	Distanța medie între opriri km	Energia specifică medie la pantograf, $S < 5\%$ în Wh/tfkm
Tramvai .....	50—70	0,8—1,2	1,0	0,4—0,6	60—90
Troleibuz .....	50—60	0,8—1,2	1,0	0,4—0,6	80—120
Metrou .....	50—80	0,8—1,2	1,0	0,6—1,2	60—100
Căi ferate rapide urbane .....	80—100	0,8—1,0	1,0	0,8—1,5	60—100
Căi ferate interurbane cu trenuri expres de lung parcurs .....	120—180 (200)	0,3—0,5	0,6	100—200	20—35
Trenuri rapide și expres .....	100—160	0,25—0,35	0,5	50—100	20—25
Trenuri de călători .....	140	0,3—0,45	0,5	4—5	25—35
Trenuri de marfă directe și rapide .....	65—120	0,1—0,2	0,25	40—50	15—20
Trenuri rapide de marfă <sup>1)</sup> .....	120	0,1—0,2	0,3	50—100	20—25
Trenuri locale de marfă .....	60	0,1—0,2	0,2	5	20—25
Căi ferate industriale și din exploatare miniere de suprafață .....	50—70	0,1—0,3	0,3	—	20—30
Căi ferate miniere .....	15	0,05—0,1	0,2	—	15—30

<sup>1)</sup> Folosind vagoanele de marfă cu frână tip călători și o viteză de circulație de 100 km/h.

Tabelul 10.8. Încălzirile maxime ale mașinilor electrice în condiții de încercare

Nr. crt.	Izolație	Tipul de exploatare	Partea ce va fi încercată	Determinarea temperaturii cu ajutorul	Încălzirea maximă °C
1	Clasă A	Regim de durată	Înfășurările rotorului și statorului	Creșterea rezistenței	85
2			Colectorul	Termometru electric	100
3		Regim uniorar	Înfășurările rotorului și statorului	Creșterea rezistenței	100
4			Colectorul	Termometru electric	105
5	Clasa E	Regim de durată și regim uniorar	Înfășurările rotorului	Creșterea rezistenței	105
6			Înfășurările statorului		115
7			Colectorul		Termometru electric
8	Clasa B		Înfășurările rotorului	Creșterea rezistenței	120
9			Înfășurările statorului		130
10			Colectorul		Termometru electric
11	Clasa F		Înfășurările rotorului	Creșterea rezistenței	140
12			Înfășurările statorului		155
13			Colectorul		Termometru electric
14	Clasa H		Înfășurările rotorului	Creșterea rezistenței	160
15			Înfășurările statorului		180
16			Colectorul		Termometru electric

Tabelul 10.9. Tensiuni de încercare a înfășurărilor mașinilor

Nr. crt.	Tipul de mașină	Tensiunea de încercare $U_p$
1	$\leq 2$ kW și $\leq 40$ V .....	500 V
2	$5$ kW și $\leq 100$ V .....	1000 V
3	Toate celelalte cu excepția mașinilor care lucrează independent de tensiunea liniei de contact și sînt conectate la baterie .....	$2 U + 1500$ V cel puțin 2500 $2 U + 1000$ V cel puțin 1500

Tabelul 10.10. Supraturații

Nr. crt.	Tipul mașinii	Supraturația
1	Motoare de tracțiune	În general .....
2		Un număr de motoare cu acționarea individuală a osiei cuplată continuu
3	Mașini auxiliare cu excitație derivație .....	1,25 turația maximă admisibilă
4	Mașini auxiliare cu excitație serie .....	1,35 turația maximă admisibilă
5	Dinamuri pentru iluminat .....	1,2 turația de mers în gol
		1,5 turația nominală
		1,25 turația maximă admisibilă

Tabelul 10.11. Încercări de suprasarcină la motoare de tracțiune

Tipul motorului	Durata	Gradul de excitație	Tensiunea	Curentul
A. Motoare de curent continuu				
1. Motoare fără reglaj de cîmp	30 s în fiecare direcție de rotație	100%	1,25 U	I
2.			U	2 I
3. Motoare cu reglaj de cîmp		cea mai scăzută valoare	1,25 U	I
4.			U	2 I
5. Motoare cu conexiuni în serie		100%	1,5 U	I pentru $n_{max}$
6. Motoare fără frinare în pantă	30 s	se reduce excitația astfel ca motorul pentru 1,5 din viteza de rotație să aibă cîmpul nominal la aceleași valori ale tensiunii și curentului dar viteza $\leq n_{max}$	1,3 $U_F/2$	1,25 I
7. Motoare pentru frinare a locomotivelor			1,5 $U_F/2$	1,4 I
8. Motoare pentru frinare a automotoarelor			1,6 $U_F/2$	2,5 I

9. Pentru motoarele de tramvai pentru frinare reostatică cu autoexcitație

10. Motoarele de troleibuz pentru frinare reostatică cu excitație separată sau autoexcitație; trebuie respectate instrucțiunile speciale.

Tabelul 10.11. (continuare)

Tipul motorului	Durata	Gradul de excitație	Tensiunea	Curentul
B. Motoare monofazate de curent alternativ				
11. Motoare în general	30 s la motoare pentru ambele sensuri de rotație 30° pentru fiecare sens de rotație		1,1 U	I
12.			0,75 U	1,7 I
13. Motoare care funcționează continuu conectate în serie			1,33 U	I

 $U_F$  — tensiunea nominală a liniei de contact, în V; $z$  — numărul motoarelor permanent conectate în serie; $n$  — turația motorului, în rot/min; $U$  — tensiunea nominală a motorului, în V; $I$  — curentul nominal al motorului, în A.

Tabelul 10.12. Limitele de încălzire ale transformatoarelor și bobinelor de reacță în condiții de încercare

Nr. crt.	Izolație	Tipul de exploatare <sup>1)</sup>	Tipul transforma- torului sau al bobinei de reactanță	Metoda de măsu- rare a temperaturii	Încălzirea limită °C
1	Clasa A	Regim de durată	Toate bobinele	Variația rezistenței	85
2		Regim unioară			100
3	Clasa E	Regim de durată și regim unioară			115
4	Clasa B				130
5	Clasa F				155
6	Clasa H				180
7	Clasa A <sub>0</sub>				80
8	Ulei	Baie de ulei	Termometru cu mercur	70	

<sup>1)</sup> În funcționarea de scurtă durată, funcționare ce trebuie stabilită în funcție de timp, sînt valabile încălzirile corespunzătoare regimului unioară.

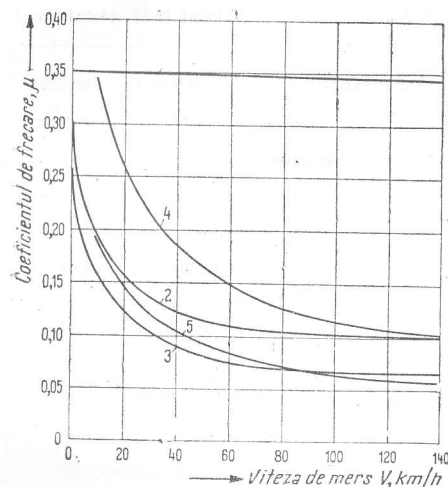


Fig. 10.8. Coeficientul de frecare al trinelor:  
1 — frînă disc cu garnituri de frînă sintetice;  
2 — frînă cu saboți de frînă din fontă la presiunea de 6 kgf/cm²; 3 — idem la presiunea de 12 kgf/cm²; 4 — frînă electromagnetică cu magneți articulați; 5 — idem cu magneți rigizi

### 10.3. Substații de tracțiune

Tabelul 10.13. Necesarul mediu de vehicule

Tipul de tracțiune electrică	Vehicule pentru 10 km de linie
Tramvai .....	15—30
Troleibuz .....	10—20
Cale ferată suburbană .....	15—30
Cale ferată rapidă urbană, metrou .....	30—70
Căi ferate magistrale .....	2 — 4

Tabelul 10.14 Durata de utilizare anuală a substațiilor și vehiculelor

Tipul de tracțiune electrică	Durata de utilizare anuală <sup>1)</sup> , h	
	substații	vehicule
Trenuri urbane rapide, metrou .....	700—1600	600—1400
Tramvai, troleibuz .....	600—1400	500—1100
Cale ferată suburbană .....	1000—2400	700—1400
Cale ferată în curent continuu .....	1800—4000	700—1400
Cale ferată magistrală în curent alternativ .....	2600—5200	500—1000

<sup>1)</sup> Când se presupune un consum anual de 1—4,5 GWh/km pentru trenuri urbane rapide și metrou sau 0,3—1,5 GWh/km pentru celelalte tipuri de tracțiune.

Tabelul 10.15. Randamentul anual între sursa de energie primară și obada vehiculelor motoare

Sursa de energie	Dispozitivul consumator de energie	Energia transformată între:	Randament anual
Apă	Vehicule electrice	CHE → vehicul electric	40—42
Cărbune	Vehicule electrice	CTE cu contrapresiune → vehicul electric	36—38
Cărbune	Vehicule electrice	CET cu condensatie → vehicul electric	13—16
Motorină	Vehicule Diesel	Vehicule Diesel	20—23
Cărbune	Locomotive cu abur	Locomotive cu abur	4—6

### 10.4. LINIA DE CONTACT

#### Efortul la întindere și deschiderea liniei de contact

Liniile de contact sint construite fie cu suspensie simplă, fie cu suspensie catenară cu cablu purtător și fir de contact. Sistemul fir de contact — cablu purtător poate fi cu sau fără dispozitive de compensare automată.

În cazul construcțiilor cu catenare se folosesc de obicei „fir de contact și cablu purtător compensate” și „fir de contact compensat și cablu purtător fix”. Săgeata firului de contact la liniile cu suspensie simplă și a cablului purtător la liniile cu suspensie catenară și cu firul de contact tensionat la același nivel, se obține pentru centrul deschiderii cu formula:

$$f = \frac{\gamma l^2}{8\sigma} \quad (1)$$

în care:  $\sigma$  este efortul la întindere ( $\sigma_F$  — efortul în firul de contact și  $\sigma_T$  — efortul în cablu purtător).

La variația parametrilor liniei aeriene (temperatură, sarcină) efortul la întindere în firul de contact și în cablu purtător rămâne aproximativ constant în cazul „fir de contact și cablu purtător compensate”.

Pentru linia cu suspensie simplă, efortul la întindere poate fi calculat din relația:

$$\frac{\gamma^2 l^2}{24\sigma_F^2} - \frac{\gamma_0^2 l^2}{24\sigma_{F0}^2} = \frac{\sigma_F - \sigma_{F0}}{E} + \alpha(t - t_0) \quad (2)$$

în care:

$$\gamma_0 = \gamma + \gamma_z$$

În cazul unei construcții catenare, cu cablu purtător fix și fir de contact compensat, formula este:

$$(\sigma_{T0} + \sigma_F)^2 \left\{ \sigma_{T0} + E \left[ \frac{\gamma^2 l^2}{24\sigma_T} - \frac{\sigma_T}{E} - \alpha(t - t_0) \right] \right\} = \frac{E\gamma^2 l^2}{24} \left( \frac{\sigma_F}{\sigma_T} - \frac{\gamma_0}{\gamma} \right)^2 \quad (3)$$

$$f_z = \frac{(\gamma\sigma_T + \gamma_0\sigma_F) l^2}{8\sigma_T(\sigma_{T0} + \sigma_F)} \quad (4)$$

Sarcina normală adițională este:

$$\gamma_z = \frac{0,18 \sqrt{d}}{A_1} \quad (5)$$

Deviația datorată vîntului, pentru sarcina suplimentară a vîntului  $w = cpd$ , este:

$$e = \frac{wl^2}{8\sigma_F d_1} \quad (6)$$



Lungimea admisibilă a deschiderii liniei de contact dispuse în zigzag, permisă pentru lățimea efectivă a pantografului și deviației datorată vîntului, este pentru o linie în aliniament:

$$l \leq 2 \sqrt{\frac{\sigma_F q_1}{w} (b + \sqrt{b^2 - z^2})} \quad (7)$$

La curbe,  
pentru

$$R \geq \frac{\sigma_F A_1 (b - z)}{2zw} \quad \text{este} \quad l \leq 2 \sqrt{\frac{R(b + z)}{1 + \frac{Rw}{\sigma_F A_1}}} \quad (8a)$$

pentru

$$R < \frac{\sigma_F A_1 (b - z)}{2zw} \quad \text{este} \quad l \leq 2 \sqrt{2Rz} \quad (8b)$$

În aceste relații s-au folosit notațiile:

- $l$  — lungimea deschiderii, în cm;
- $\gamma$  — sarcina pe linie, în kgf/cm<sup>2</sup>;
- $\gamma_z$  — sarcina adițională, în kgf/cm<sup>2</sup>;
- $\sigma_F$  — efortul la întindere a firului de contact, în kgf/cm<sup>2</sup>;
- $\sigma_F$  — efortul la întindere maxim admisibil al firului de contact, în kgf/cm<sup>2</sup>;
- $\sigma_T$  — efortul la întindere a cablului purtător, în kgf/cm<sup>2</sup>;
- $\sigma_{T0}$  — efortul la întindere maxim admisibil al cablului purtător, în kgf/cm<sup>2</sup>;
- $E$  — modulul de elasticitate al lui Young, în kgf/cm<sup>2</sup>;
- $\alpha$  — coeficientul de dilatare longitudinală, în grd<sup>-1</sup>;
- $t$  — temperatura, în °C;
- $t_0$  — temperatura de referință, în °C ( $t_0 = -5^\circ\text{C}$ );
- $d$  — diametrul conductorului, în mm;
- $A_1$  — secțiunea transversală a liniei, în mm<sup>2</sup>;
- $f$  — săgeata, în cm;
- $e$  — deviația datorată vîntului, în cm;
- $w$  — sarcina datorată vîntului, în kgf/m;
- $p$  — presiunea dinamică, în kgf/cm<sup>2</sup>;
- $c$  — coeficientul de presiune dinamică;
- $b$  — lățimea efectivă a pantografului, în cm;
- $z$  — zigzag-ul firului de contact, în cm;
- $R$  — raza arcului, în cm.

Sarcinile suplimentare datorate formării poleiului, chiciurii, zăpezii sau vîntului pot fi determinate în funcție de condițiile locale, dacă se îndepărtează cu mult de la valorile normale. Valorile greutateii liniei, diametrelor, modulului de elasticitate, coeficientului de dilatare longitudinală, efortului maxim admis la întindere, care nu trebuie depășit cu sarcini suplimentare pentru temperatura de referință de  $-5^\circ\text{C}$ , pot fi luate din tabelele 10.16—10.19.

Tabelul 10.16. Firul de contact și cablul purtător

Firul de contact				Cablul purtător				
Fir profilat	Fir cu profil larg <sup>1)</sup>		Secțiunea nominală, $A_1$ mm <sup>2</sup>	Greutatea kgf/km	Densitatea continuă A/mm <sup>2</sup>	Secțiunea		Greutăți medii
	Simbolul	Diametrul, $d$ mm				Valoarea nominală mm <sup>2</sup>	Valoarea calculată mm <sup>2</sup>	
Ri 65		9,4		580	4,5	50 <sup>2)</sup>	49,48	Cupru 447 Bronz 447 Oțel 391
Ri 80		10,6	BRi 80	710	4,25	70	65,82	597 523
Ri 100		12,0	BRi 100	890	4,0	95	93,27	846 741
Ri 120		13,2	BRi 120	1070	3,8	120	117	1061 930
Ri 150		14,8	BRi 150	1335	3,6	150	147,1	1337 1171

<sup>1)</sup> Lățime 13 mm.

<sup>2)</sup> Fascicol de 7 conductoare elementare.

Tabelul 10.17. Caracteristicile conductoarelor de cupru electrolitic STAS 686-65 utilizat la firele de contact la C.F.R.

Secțiunea mm <sup>2</sup>	Abatere admisă la secțiune %	Rezistență la rupere min kgf/mm <sup>2</sup>	Alungire min %	Rezistivitatea la 20 °C max $\Omega \frac{\text{mm}^2}{\text{m}}$	Masa la secțiunea nominală kgf/km
85	± 4	36,3	3,5	$\frac{1}{56}$	712
100	± 4	36	3,5	$\frac{1}{56}$	890

Tabelul 10.18. Șine

## Șine conductoare

Secțiunea transversală $A_s$ , mm <sup>2</sup>	Greutatea $G_s$ kgf/m	Conductivitatea $\kappa_1$ S m/mm <sup>2</sup>	Curentul este cules de la:
3509	27,55	7,85—8	deasupra
5100	40,04	7,85—8	dedesubt
5530	43,4	7,85—8	lateral

## Șine profilate

Simbolul	Secțiunea transversală $A_3$ , mm <sup>2</sup>	Greutatea $G_s$ kgf/m	Conductivitatea $\kappa_2$ S m/mm <sup>2</sup>
NP 4	7380	57,9	4—5
NP 4 a	7860	61,7	4—5

## Șine de rulare, șine Vignoles

Simbolul	Secțiunea transversală $A_3$ , mm <sup>2</sup>	Greutatea $G_s$ kgf/m	Conductivitatea $\kappa_2$ S m/mm <sup>2</sup>
S 14	1784	14	4—5
S 18	2331	18,3	4—5
S 20	2527	19,84	4—5
S 24	3112	24,43	4—5
S 30	3825	30,03	4—5
S 33	4264	33,47	4—5
S 34	4420	34,72	4—5
S 41	5217	40,95	4—5
S 49	6297	49,43	4—5
S 54	6948	54,54	4—5
S 64	8270	64,92	4—5

Tabelul 10.19. Caracteristicile liniilor și șinelor

Linia	Conductivitatea la 20 °C $\kappa = 1/\rho$ S m/mm <sup>2</sup>	Rezistivitatea în c.c. la 20 °C $\rho$ $\Omega \text{ mm}^2/\text{m}$	Coefficientul de temperatură grd <sup>-1</sup>	Densitatea kg/dm <sup>3</sup>
Firul de contact din cupru	56	0,01786	$3,92 \times 10^{-3}$	8,9
Cablul purtător din cupru	56	0,01786	$3,92 \times 10^{-3}$	8,9
Cablul purtător din bronz	36	0,02778	$2,4 \times 10^{-3}$	8,65
Cablul purtător din oțel	7,9	0,127	$2,5 \times 10^{-3}$	7,8
Șina de rulare	5,2	0,192	$5,2 \times 10^{-3}$	7,85
Șina de contact	7,8	0,128	$4,5 \times 10^{-3}$	7,85
Pământul	$3,7 \times 10^{-8}$	$27,0 \times 10^6$	—	—

Linia	Permeabilitate relativă	Coefficientul de dilatare longitudinală grd <sup>-1</sup>	Modulul lui Young kgf/cm <sup>2</sup>	Rezistența de încercare kgf/mm <sup>2</sup>	Efort de întindere maxim admisibil kgf/mm <sup>2</sup>
Firul de contact din cupru	1	$1,7 \times 10^{-5}$	$1,3 \times 10^6$	40	12
Cablul purtător din cupru	1	$1,7 \times 10^{-5}$	$1,3 \times 10^6$	40	19
Cablul purtător din bronz	1	$1,66 \times 10^{-5}$	$1,3 \times 10^6$	60	30
Cablul purtător din oțel	—	$1,1 \times 10^{-5}$	$1,96 \times 10^6$	70	28
Șina de rulare	300	—	—	—	—
Șina de contact	—	—	—	—	—
Pământul	1	—	—	—	—

$$1 \text{ Sm/mm}^2 = 10^4 \text{ S/cm}; \quad 1 \Omega \text{ mm}^2/\text{km} = 10^{-7} \Omega \text{ cm} = 10^{-2} \Omega \text{ cm}^2/\text{km}$$

Pentru fir de contact și cablu purtător cu compensare automată la care variațiile de temperatură nu au nici un efect asupra efortului de întindere, iar greutatea variabilă a liniei provoacă numai variații ale săgeții, se poate presupune că efortul de întindere nu variază.

Formula deviației datorată vântului se aplică firului de contact și cablului purtător cu compensare automată, iar în cazul ultimului și pentru terminațiile fixe. Valoarea presiunii dinamice, corespunzătoare unei viteze a vântului de 26 m/s trebuie folosită la linii cu  $p = 42,3 \text{ kgf/m}^2$ ; coeficientul presiunii dinamice  $c = 1,2 \cdot 10^{-3}$  se folosește pentru diametre ale conductoarelor până la 12,5 mm și  $c = 1,1 \cdot 10^{-3}$  pentru diametre ale conductoarelor de 12,5—15,8 mm (conform paginilor 575—579).

La determinarea lungimii admisibile a deschiderii, se consideră fie valoarea efortului în conductoare și a sarcinii vântului pentru firul de contact singur, fie suma valorilor pentru ansamblul fir de contact — cablu purtător depinzând de valorile care dau efortul cel mai mare deschiderii. Trebuie acordată atenție creșterii posibile a eforturilor din sistemul de conductoare datorate presiunii vântului.

În cazul unei dispunerii oblice, în zig-zag a cablului purtător aranjat opus firului de contact, cu suporti orizontali, valoarea zig-zag-ului cablului purtător poate fi folosită la calcule în locul aceleia pentru firul de contact.

**Rezistența liniei pentru căi ferate în curent continuu**

Rezistența ohmică a firului de contact sau a șinei conductoare pentru o lungime de 1 km este următoarea:

$$R_F = \frac{\rho \cdot 1000}{A_1} \quad (1 a)$$

-sau

$$R_{ST} = \frac{1000}{\kappa_1 A_2} \quad (1 b)$$

Pentru șine de aceeași lungime, se aplică următoarele:  
Se calculează valoarea:

$$R_G = \frac{1}{G_s} \quad (2 a)$$

Fără a se lua în considerare joantele de cale:

$$R_G = \frac{1000}{\kappa_2 2A_4} \quad (2 b)$$

Cu joantele de cale (valorile tehnice pot fi cerute de la firma producătoare:

$$R_G = \frac{1000}{\kappa_2 2A_3} + \frac{n \rho_1 l_1}{2A_4} \quad (2 c)$$

Rezistența liniei de contact și a circuitului de întoarcere poate fi obținută din ecuațiile (1) și (2). De exemplu, pentru ecuațiile (1 a) și (2 b)

$$R_S = \frac{\rho \cdot 1000}{A_1} + \frac{1000}{\kappa_2 2A_3} \quad (3 a)$$

și pentru (1 b) și (2 b)

$$R_S = \frac{1000}{\kappa_1 A_2} + \frac{1000}{\kappa_2 2A_3} \quad (3 b)$$

La alte temperaturi decât cea normală de 20°C, trebuie luate în considerare și coeficienții de dilatare longitudinală a diferitelor materiale. De exemplu pentru ecuația (1 a)

$$R_F' = \frac{\rho(1+\alpha\theta) \cdot 1000}{A_1} \quad (4)$$

Rezistența liniei de contact este determinată de rezistența firului de contact și rezistența cablului purtător legate în paralel. Conectoarele longitudinale ale joantelor de cale, măresc rezistența șinei de conductoare cu 0,001 Ω/km și rezistența căii de rulare

pentru șine nesudate cu aproximativ 20%. În lungimi de secțiuni de 10 km sau mai mult, rezistența conductorului de întoarcere este egală cu dublul valorii rezistenței de propagare

$$R_e = \frac{1}{2} \sqrt{\frac{R_G}{G}} \quad (5)$$

Factorii  $G$  pentru determinarea conductivității transversale a terasamentului căii sînt:

- pentru cale ferată,  $G = 2$  S/km;
- pentru linii de tramvai cu traverse de lemn,  $G = 4$  S/km;
- pentru linii de tramvai cu fundație de beton,  $G = 8$  S/km.

În aceste relații s-au folosit notațiile:

- $\alpha$  — coeficientul de dilatare liniară, în  $\text{grd}^{-1}$ ;
- $\theta$  — creșterea de temperatură, în  $\text{grd}$ ;
- $\kappa_1$  — conductivitatea șinei conductoare, în  $\text{Sm/mm}^2$ ;
- $\kappa_2$  — conductivitatea șinei de rulare, în  $\text{Sm/mm}^2$ ;
- $\rho$  — rezistivitatea în curent continuu a firului de contact, în  $\Omega \text{ mm}^2/\text{m}$ ;
- $\rho_1$  — rezistivitatea în curent continuu a materialului folosit pentru dispozitivul de contact, în  $\Omega \text{ mm}^2/\text{m}$ ;
- $G$  — conductivitatea transversală a terasamentului căii, în S/km;
- $G_s$  — greutatea șinelor, în  $\text{kgf/km}$ ;
- $l_1$  — lungimea joantelor de cale, în m;
- $n$  — numărul de joante pentru 1 km de cale;
- $R_e$  — rezistența de propagare, în  $\Omega/\text{km}$ ;
- $R_G$  — rezistența căii, în  $\Omega/\text{km}$ ;
- $R_F$  — rezistența firului de contact sau a cablului purtător, în  $\Omega/\text{km}$ ;
- $R_S$  — rezistența liniei de contact și circuitului de întoarcere, în  $\Omega/\text{km}$ ;
- $R_{ST}$  — rezistența șinei conductoare, în  $\Omega/\text{km}$ ;
- $A_1$  — secțiunea firului de contact, în  $\text{mm}^2$ ;
- $A_2$  — secțiunea șinei conductoare, în  $\text{mm}^2$ ;
- $A_3$  — secțiunea șinelor căii, în  $\text{mm}^2$ ;
- $A_4$  — secțiunea joantelor de cale, în  $\text{mm}^2$ .

**Impedanța secțiunii pentru căi ferate de curent alternativ**

$$\underline{Z}_s = \underline{Z}_f - k \omega \underline{M}_f; \quad k = \omega \underline{M}_f / \underline{Z}_g$$

Impedanța buclei de întoarcere prin pământ (buclo de întoarcere prin pământ a firului de contact, a cablului purtător, sau a șinei conductoare):

$$\underline{Z} = R \frac{\omega \mu_0}{8} + j \frac{\omega \mu_0}{2\pi} \left( \frac{\mu_r'}{4} + \frac{1}{2} + \ln \frac{2}{\gamma h r} \right)$$

Inductivitatea mutuală între două bucle:

$$\underline{M} = \frac{\mu_0}{8} + j \frac{\mu_0}{2\pi} \left( \frac{1}{2} + \ln \frac{2}{\gamma h a} \right)$$

Rezistența efectivă a liniei:

$$R = \frac{Kp}{\sqrt{2U}}$$

Permeabilitatea echivalentă și factorul de dispersare a curentului.

$$\mu_r' = \frac{8 \pi K \rho}{\sqrt{2} \omega \mu_0 U}; \quad K = \sqrt{\frac{\omega \mu_0 \mu_r}{\rho}}$$

Impedanța rezultantă a buclelor în paralel:

$$Z_{12} = \frac{Z_1 Z_2 - \omega^2 M_{12}^2}{Z_1 + Z_2 - 2\omega M_{12}}$$

în care:

- $a$  — este distanța între linii, în cm;
- $\gamma$  — constanta Euler;
- $K$  — factorul de dispersie al curentului, în  $\text{cm}^{-1}$ ;
- $M$  — inductanța mutuală între două bucle cu întoarcere prin pământ, în H/km;
- $M_f$  — inductanța mutuală între bucla linie aeriană-pământ și bucla șină-pământ, în H/km;
- $M_{12}$  — inductanța mutuală a ambelor bucle cu întoarcere prin pământ, în H/km;
- $\mu_0$  — constanta magnetică, în H/km;
- $\mu_r$  — permeabilitatea relativă a materialului liniei;
- $\mu_r'$  — permeabilitatea echivalentă;
- $R$  — rezistența efectivă a liniei, în  $\Omega/\text{km}$ ;
- $r$  — raza circumferinței liniei, în cm;
- $\rho$  — rezistivitatea materialului liniei, în  $\Omega \text{ mm}^2/\text{m}$ ;
- $U$  — circumferința secțiunii transversale a liniei de contact, în cm;
- $\omega$  — frecvența unghiulară a curentului alternativ, în  $\text{s}^{-1}$ ;
- $Z$  — impedanța buclei cu întoarcere prin pământ, în  $\Omega/\text{km}$ ;
- $Z_1$  — impedanța unei bucle, în  $\Omega/\text{km}$ ;
- $Z_2$  — impedanța celeilalte bucle, în  $\Omega/\text{km}$ ;
- $Z_{12}$  — impedanța rezultantă, în  $\Omega/\text{km}$ ;
- $Z_g$  — impedanța buclei șinei, în  $\Omega/\text{km}$ ;
- $Z_f$  — impedanța buclei firului de contact, în  $\Omega/\text{km}$ ;
- $Z_s$  — impedanța secțiunii, în  $\Omega/\text{km}$ .

Constanta Euler,  $\gamma = 1,781$ .

Constanta magnetică  $\mu_0 = 4\pi \times 10^{-4}$  H/km.

Pentru linii de cupru și bronz, permeabilitatea echivalentă  $\mu_r' = 1$ , iar rezistența efectivă este aproximativ aceeași ca și rezistența în curent continuu. Distanța între bucla de legare la pământ a liniei de contact și bucla de legare la pământ a șinei poate fi luată ca distanța dintre firul de contact și muchia superioară a șinei.

Căderea de tensiune maximă pentru o secțiune alimentată în curent continuu sau în curent alternativ, este:

$$\Delta U = c_v I_f R_s l \text{ sau } \Delta U = c_v I_f Z_s l.$$

Căderea relativă de tensiune longitudinală pentru căi ferate de curent alternativ;

$$\frac{\Delta U_1}{U_n} = \frac{I_f (R_s \cos \varphi + X_1 \sin \varphi) l}{U_n}$$

în care:

- $\Delta U$  — este căderea de tensiune, în V;
- $\Delta U_l$  — căderea de tensiune longitudinală, în V;
- $U_n$  — tensiunea nominală a liniei de contact, în V;
- $I_f$  — curentul liniei de contact, în A;
- $l$  — lungimea secției, în km;
- $R_s$  — rezistența efectivă a secției, în  $\Omega/\text{km}$ ;
- $X_s$  — reactanța secției, în  $\Omega/\text{km}$ ;
- $\varphi$  — defazajul dintre tensiune și curent la sfârșitul sarcinii;
- $c_v$  — factorul de distribuție a căderii de tensiune pe secție.

Tabelul 10.20. Factorul de distribuție a căderii de tensiune pe secție

Tipul de alimentare și încărcare	Factorul de distribuție
Alimentare de la un capăt, sarcina într-un singur punct, la capăt .....	1
Alimentare în centru, sarcină într-un singur punct la un capăt .....	1/2
Alimentare la un capăt, sarcină distribuită uniform .....	1/2
Alimentare la centru, sarcină într-un singur punct de ramificație la capăt .....	1/4
Alimentare de la două capete, un singur punct de încărcare în centru .....	1/4
Alimentare în centru, sarcină distribuită uniform .....	1/8
Alimentare de la două capete, sarcină distribuită uniform .....	1/8

Tabelul 10.21. Factorii determinanți pentru rezistență

Echipamentul de tracțiune electrică	Tipul curentului și a tensiunii	Rezistența secțiunii <sup>1)</sup>	
		Cale simplă <sup>2)</sup> $\Omega/\text{km}$	Cale dublă <sup>2)</sup> $\Omega/\text{km}$
Tramvai cu fir de contact de cupru de 100 mm și cale de rulare S 41 .....	curent continuu 600 V	0,2	0,1893
Cale ferată suburbană rapidă cu șină conductoare de 40 kg/m și cale de rulare S 41 .....	curent continuu 750 V	0,0426	0,0338
Cale ferată cu ecartament standard cu fir de contact de 480 mm <sup>2</sup> secțiune transversală echivalentă, de cupru și cale de rulare S 49 .....	curent continuu 1500 V	0,0547	0,0459

Tabelul 10.21. (continuare)

Echipamentul de tracțiune electrică	Tipul curentului și a tensiunii	Rezistența secțiunii <sup>1)</sup>	
		Cale simplă <sup>2)</sup> Ω/km	Cale dublă <sup>3)</sup> Ω/km
Cale ferată cu ecartament standard cu fir de contact 2 × 100 mm <sup>2</sup> cupru și 120 mm <sup>2</sup> cablu suport din cupru, cale de rulare S 49 .....	curent continuu 3000 V	0,0646	0,0558
Cale ferată cu ecartament standard cu fir de contact de 100 mm <sup>2</sup> de cupru, cablu suport de 50 mm <sup>2</sup> de bronz, și cale de rulare S 49 .....	curent alternativ 16 2/3 Hz, 15 kV	0,223 < 46'	0,209 < 43° sau 0,127 < 49°
Cale ferată cu ecartament standard cu fir de contact de 100 mm <sup>2</sup> de cupru, cablu suport de 50 mm <sup>2</sup> de bronz și cale de rulare S 49 .....	curent alternativ 50 Hz, 15 kV	0,475 < 66°	0,435 < 65° sau 0,282 < 69°

<sup>1)</sup> La o temperatură medie a liniei aeriene de 20 °C și șine sudate fără joante de cale.

<sup>2)</sup> Circuitul de întoarcere cale simplă.

<sup>3)</sup> Circuitul de întoarcere cale dublă.

## 11. ÎNCĂLZIREA ELECTRICĂ INDUSTRIALĂ

### 11.1. CUPTOARE CU ARC ELECTRIC ȘI CUPTOARE DE INDUCȚIE

Tabelul 11.1. Valori de referință ale consumului de energie în cuptoare cu arc electric

Pentru elaborarea de:	kWh/t	Pentru elaborarea de:	kWh/t
Fontă brută .....	2000... 3000	Ferocrom cu 2-8% C	5000... 7 000
Carbură de calciu .....	2900... 4000	0,8-1% C	8000... 10 000
Alumină topită .....	3500... 4500	0,1-0,2% C	14 000... 16 000
Feromangan .....	3000... 4000	Ferotungsten .....	8000
Ferosiliciu 45% .....	4500... 5500	Feromolibden .....	10 000
75% .....	9000... 11 000	Ciment aluminos .....	800 ... 1000
90% .....	14 000... 16 000		

Tabelul 11.2. Cuptoare cu arc electric pentru topirea oțelului și a fontei

Mărimea cuptorului <sup>1)</sup>	Puterea trans- formatorului	Puterea reactivă	Diametrul electrozilor de grafit	Mărimea cuptorului <sup>1)</sup>	Puterea trans- forma- torului	Puterea reactivă	Diametrul electrozilor de grafit
t	kVA	kVA	mm	t	kVA	kVA	mm
1	750	250	150	25	10 000	—	450
1,5	1000	300	150	50	18 000	—	550
3	1500	400	200	80	25 000	—	600
6	2500	600	250	100	31 000	—	600
10	4000	800	300	150	45 000	—	600
15	6000	1000	350				

Tensiunile primare ..... 6...110 kV  
 Consumul de electrozi pe tona de oțel ..... 6... 8 kg  
 Consumul de energie pentru topirea deșeurilor de oțel și de fier ..... 425...525 kWh/t  
 Consumul de energie pentru purificare și rafinare, funcție de caracteristici (în special de  
 conținutul în C al șarjei și al produsului obținut în final) ..... 150...400 kWh/t

<sup>1)</sup> Capacitatea pentru o șarjă compactă.



Tabelul 11.3. Caracteristicile cuptoarelor de inducție pentru oțel cu creuzet, cu frecvență medie și cu frecvență industrială

Cuptoare cu frecvențe medii:

Capacitatea maximă, kg	1—5	10	20	30	50	100	200	300	500
Puterea generatorului, kW	10	18	25	50	75	150	200	250	300
Frecvența, kHz	10	10	10 sau 4	10 sau 4	10 sau 4	4 sau 2	2	2 sau 1	2 sau 1

Capacitatea maximă, kg	750	1000	1500	2000	3000	5000	7500	10 000
Puterea generatorului, kW	400	800	1000	1200	1600	2000	3000	4000
Frecvența, kHz	1 sau 0,5	0,5	0,5	0,5	0,5	0,5	0,5	0,5

Cuptoare cu frecvență industrială:

Capacitatea maximă, t	0,5	1	1,5	2	3	5	7,5	10	15	20	25	20
Puterea la borne, kVA..	100	200	300	400	500	600	800	1000	1500	2000	3000	5000

Tabelul 11.4. Valori de referință pentru consumul de energie al cuptoarelor de inducție cu creuzet, în kWh/t

Înaltă și medie frecvență:			
Oțel topit (cuptoare peste 1000 kg)	500—550	Nichel.....	650
Cupru .....	420	Alamă roșie 85% Cu, 5% Sn, 5% Pb .....	350
Aliaje cupru-nichel .....	520	Aluminiu .....	650
Frecvență industrială:			
Fontă .....	480—530	Aluminiu .....	550—600

Tabelul 11.5. Cuptoare cu inducție de tip inelar cu frecvență industrială

	Pentru cupru și aliaje de cupru							
Capacitatea utilă a cup- torului, t .....	0,25	0,5	0,75	1	3	5	10	15
Puterea la borne, kVA..	70	120	200	250	450	650	1200	1800
Productivitatea orară de topire, t .....	0,2—0,3	0,3—0,5	0,5—0,8	0,8—1	1,5—2	2—3	4—6	6—9
	Pentru aluminiu				Pentru zinc			
Capacitatea utilă a cup- torului, t .....	1	2	4	10	12	20	100	
Puterea la borne, kVA..	250	350	400	900	250	400	1000	
Productivitatea orară de topire, t .....	0,4	0,75	1,1	2,3	2	4	10	

Factorul de putere 0,7—0,8; tensiunea la borne până la 800 V, depinzând de dimensiuni și dacă siste-  
mul este mono-bi- sau trifazat.

Tabelul 11.6. Valori de referință pentru consumul de energie, în kWh/t, al cuptoarelor inelare de inducție cu joasă frecvență

Cupru .....	250—320	Alamă presată Ms 63 (63% Cu, 37% Zn)	200—215
Cupru-Nichel (80% Cu) .....	350—400	Alamă tare Ms 58 (58% Cu, 40% Zn, 2% Pb) .....	190—200
Alamă roșie Ms 85 (85% Cu, 15% Zn) .....	250—270	Aluminiu .....	400—500
Alamă galbenă Ms 72 (72% Cu, 28% Zn) .....	210—225	Zinc .....	95—110

## 11.2. ÎNCĂLZIREA PRIN INDUCȚIE

Încălzirea prin inducție este procesul de încălzire prin care în piesa de lucru căldura este produsă prin curenții electrici ce apar în piesă datorită inducției electromagnetice. Acest proces de încălzire se poate aplica numai în cazul materialelor bune conducătoare de electricitate.

Încălzirea prin inducție oferă posibilitatea ridicării, în timp scurt, a temperaturii în jurul punctului de topire, a suprafeței sau a întregii secțiuni transversale a pieselor definite ca subțiri. Valoarea curentului indus se reduce cu distanța de pătrundere  $x$  în piesa de lucru conform funcției:

$$I_x = I_0 e^{-x/\delta}$$

unde:  $I_0$  este curentul la suprafața piesei,  $\delta$  indică adâncimea specifică de pătrundere, la care curentul scade la valoarea  $I_0 e^{-1}$ . Adâncimea de pătrundere scade cu creșterea frecvenței (fig. 11.1). În funcție de puterea  $P$  și timpul de încălzire  $t$ , piesa de lucru poate fi încălzită cu creșterea temperaturii,  $\Delta T$  dorită:

$$\Delta T = \frac{P \cdot t}{CM},$$

unde:  $c$  este căldura specifică a materialului (fig. 11.2);

$M$  — masa materialului ce trebuie încălzit.

Domeniul de aplicare se extinde de la procese de uscare, lipire, călire și formare la cald până la topire și sinterizare.

Întrucât reactanța inductivă a inductorului, sub sarcină cu piesa de încălzit, este foarte mare comparativ cu rezistența lui efectivă, în cazul instalațiilor de joasă și medie frecvență, bobinele de inducție sînt compensate pînă a  $\cos \varphi \approx 1$  prin condensatoare. Deci transformatoarele, generatoarele de medie frecvență, aparatajul de comutație și cablurile de conexiune din circuitul de alimentare se dimensionează numai pentru puterea de lucru. În cazul oscilatoarelor cu tuburi de înaltă frecvență, aceste condensatoare fac parte componentă din circuitul oscilant și deci sînt incluse în generatorul de înaltă frecvență.

Încălzirea electrică poate fi aplicată cu avantaje economice numai acolo unde diametrul și lungimea piesei sînt de 3,5 ori, respectiv 2,5 ori mai mari decît adâncimea de pătrundere specifică.

În procesele de încălzire prin inducție se utilizează surse de frecvență variabilă, în funcție de dimensiunile materialului piesei și de programul necesar de încălzire.

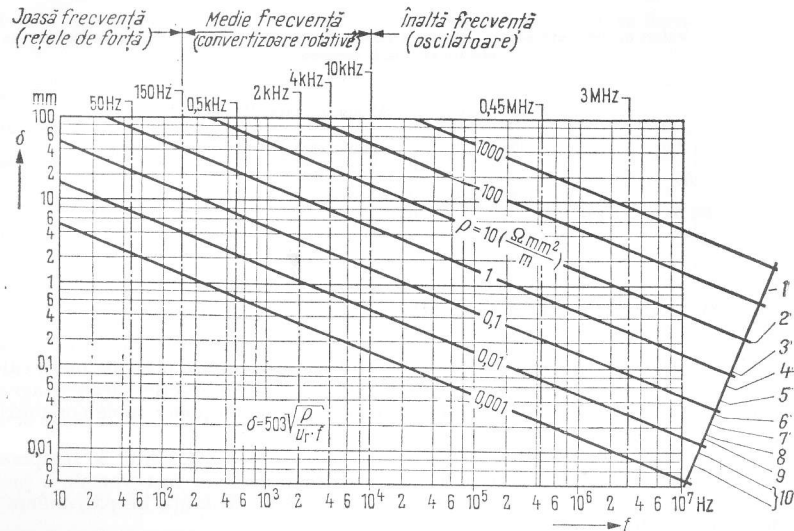


Fig. 11.1. Adâncimea de pătrundere  $\delta$  a curentului într-un conductor în funcție de frecvența  $f$  și de rezistivitatea  $\rho$  (aplicabil numai pentru piese având diametrul mai mare de  $3,5 \delta$ ): 1 - carbon; 2 - grafit; 3 - oțel la  $1200^\circ\text{C}$   $\mu_r = 1$ ; 4 - oțel la  $650^\circ\text{C}$   $\mu_r = 1$ ; 5 - oțel la  $300^\circ\text{C}$   $\mu_r = 1$ ; 6 - alamă; 7 - aluminiu; 8 - cupru; 9 - argint; 10 - oțel la  $600^\circ\text{C}$  și oțel la  $20^\circ\text{C}$  cu  $\mu_r = 50$ .

Conținut  
de căldură

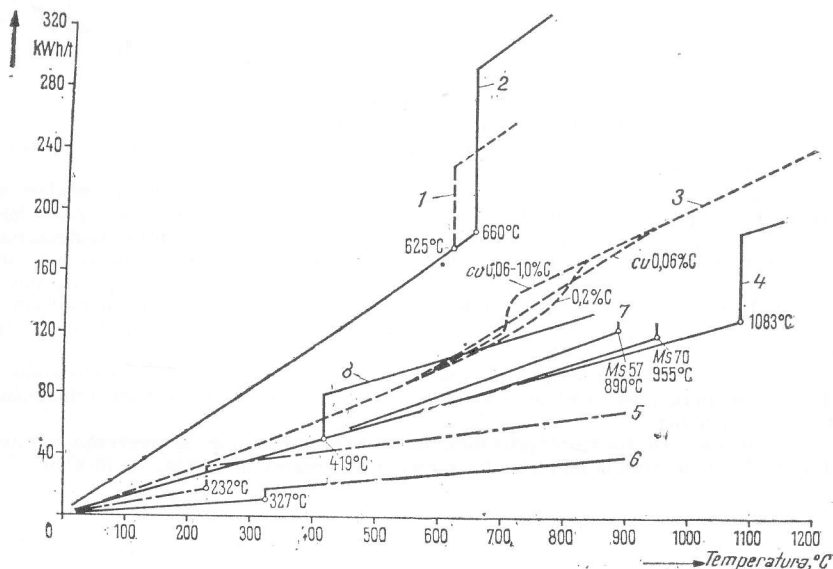


Fig. 11.2. Conținutul de căldură și consumul de metal. 1 - electron; 2 - aluminiu; 3 - oțel; 4 - cupru; 5 - staniu; 6 - plumb; 7 - alamă; 8 - zinc.

### Instalații cu frecvență industrială

Inductorul este conectat fie direct, fie prin transformator la sursa de putere printr-o conexiune mono sau trifazată. În multe cazuri, bobina de inducție monofazată este compensată simetric cu bobine de impedanță și condensatoare. În cazul unor puteri mici absorbite se poate renunța la transformatoarele intermediare și la condensatoarele de compensare.

Domenii de aplicare; încălzirea metalelor și pieselor mari de oțel și topire prin inducție.

### Instalații de medie frecvență

Curentul de medie frecvență este obținut dintr-un convertizor rotativ sau un mutator static de frecvență proiectat pentru o frecvență bine determinată. Partea electrică a schemei include convertizorul mecanic de curent (ce folosește un motor asincron de acționare), aparatul electric și bateria de condensatoare. Numărul de poli ai generatorului pentru o turație dinainte stabilită determină frecvența generatorului (convertizorului) care pentru frecvența peste 1 kHz lucrează pe principiul cîmpului unidirecțional variabil. În acest scop se utilizează rotoare canelate, pentru a se modifica în timp prin caneluri reluctanța magnetică a întrefierului cu frecvența dorită, modulindu-se astfel fluxul magnetic stabilizat. Mașinile care lucrează pe acest principiu sînt mașinile homopolare cu bobinaj de excitație inelar, generatoarele Lorenz și GUY.

Condensatoarele sînt proiectate special pentru tensiunea și frecvența impusă. Puterea absorbită este aproximativ de 4...15 ori puterea debitată de generatorul de medie frecvență. Densitatea puterii debitate fiind ridicată, bateria de condensatoare poate fi mică.

Pierderile de căldură care rezultă sînt preluate printr-o răcire suplimentară (prin introducerea de aer din afară sau de lichid de răcire) sau se reduc la minimum prin utilizarea unui material special avînd pierderi mici dielectrice (Styroflex).

Aparatul electric include aparatele necesare pentru manevră pentru comandă, supraveghere și dacă este necesar, pentru reglarea utilajului. La instalații mici, toate elementele de manevră și condensatoarele sînt montate în celule.

Trebuie avut grijă ca la reamplasarea cablurilor de forță toate legăturile și în special cele de la condensatoare, să fie cit se poate de bine ferite de cîmpuri de inducție.

Dimensiunile timpurilor standardizate de convertizoare de curent continuu sînt:

- convertizoare rotative
  - 10 kHz, 15 - 200 kW;
  - 4 kHz, 25 - 250 kW;
  - 1 kHz, 250 - 2 000 kW;
  - 500 Hz, 400 - 3 000 kW.
- mutatoare statice de frecvență:
  - 500 - 2 000 Hz; 400 - 2 000 kW.

Domeniul de aplicare: încălzirea pentru forjare, presare, laminare, normalizare, sudare, călire și topirea prin inducție.

### Instalațiile de înaltă frecvență

Aceste instalații produc înaltă frecvență prin oscilatoare cu tuburi autoexcitate, cu un singur etaj. Inductanța circuitului oscilant de înaltă frecvență constă de regulă din înfășurarea primară a transformatorului de ieșire de înaltă frecvență. Tensiunea este dată de redresorul de înaltă tensiune, înglobat. Radiația de energie de înaltă frecvență trebuie menținută la un nivel redus.

Caracteristicile tipurilor standardizate de astfel de generatoare sînt următoarele:  
Frecvență: 300 - 500 kHz. Putere: 30 - 150 kW (în cazuri speciale pînă la 700 kW);  
Frecvență: 500 - 4 500 kHz. Putere 1 - 30 kW.

Variația cu temperatura a caracteristicilor electrice ale piesei este compensată prin variația frecvenței atît în cazul convertizoarelor statice de medie frecvență cît și în cazul generatoarelor de înaltă frecvență.

Domenii de aplicare: încălzirea parțială, de exemplu pentru călire, sudare, recoacere.

#### Inductorul pentru încălzire

Acesta este în general adaptat formei suprafeței piesei (de exemplu, inductor inelar, inductor de suprafață, sau inductor tip ac). Conectarea la sursa de alimentare, în cazul călirii, în majoritatea cazurilor se realizează printr-un transformator. Uneori inductorul este echipat cu bobine de scurtcircuitare din fier (din tablă laminată, în cazul frecvenței industriale și medii; din materiale din ferită, în cazul frecvențelor înalte). Inductoarele în formă de bară cu o singură înfășurare pot fi diferite în ceea ce privește lățimea netă, putîndu-se adapta la o gamă largă de piese. Inductorul pentru încălzire este realizat în cele mai multe cazuri din cupru, iar datorită densităților mari de curent se prevede apă de răcire suplimentară prin conducte de apă.

#### Dispozitive mecanice anexe

Se utilizează dispozitive speciale pentru transportul pieselor de încălzit (incluzînd introducerea, extracția și răcirea piesei). Acestea, împreună cu inductorul pentru încălzire, formează instalația de încălzire prin inducție (cunoscută și sub numele de cuptor cu inducție), mașina de sudat automată sau de călire automată. Instalația poate fi încorporată într-o linie de producție (automată sau neautomată) cu ajutorul unor dispozitive speciale.

#### Avantajele procesului de încălzire prin inducție

Încălzirea fără contact (fără aplicarea din exterior a unor electrozi), încălzirea directă a pieselor (fără sursă exterioară de căldură), oxidare minimă, calitate uniformă a materialului prelucrat, timp minim necesar pentru pregătirea instalației pentru, lucru, reglare rapidă, muncă curată și neînsemnate deranjamente datorite radiației termice.

#### Încălzirea prin inducție folosită la deformarea la cald, recoacere, topire și sinterizare

Se folosesc în mod obișnuit instalații de frecvență medie și industrială; mai rar de înaltă frecvență. Piesa de prelucrat poate fi menținută pe toată durata tratamentului termic în dispozitivul de încălzire (încălzire statică) sau poate fi deplasată de-a lungul instalației de încălzit (încălzire cu piesă mobilă), ca de exemplu în cazul barelor, țevilor, sîrmelor sau al țagelilor sau blocurilor de oțel (încălzire pe porțiuni).

Întrucît curentul indus încălzește direct suprafața materialului supus tratamentului, timpul de încălzire a oțelului este considerabil mai scăzut decît în cazul unei încălziri indirecte. Printr-o proiectare adecvată a dispoziției bobinelor inductoare, în cea mai mare parte din cazuri este posibil să se obțină o încălzire numai în anumite porțiuni dorite (încălzire parțială). Prin aceasta se obțin eficiență și timp de încălzire convenabile.

Pentru obținerea unor bavuri minime și unor pierderi prin radiație termică scăzute se utilizează instalații de frecvențe cît mai joase. Timpul minim de încălzire este o funcție de dimensiunile piesei, conductibilitatea termică și raportul dintre adîncimea de pătrundere și diametrul piesei de lucru (fig. 11.3).

Bobinele de inducție trebuie să aibă o lungime suficientă pentru a se asigura o încălzire adecvată și satisfăcătoare în profunzime (de la suprafață pînă în miezul piesei). Viteza de transport sau ciclul de operații se adaptează la vitezele de lucru ale benzii de producție sau ale presei de forjare.

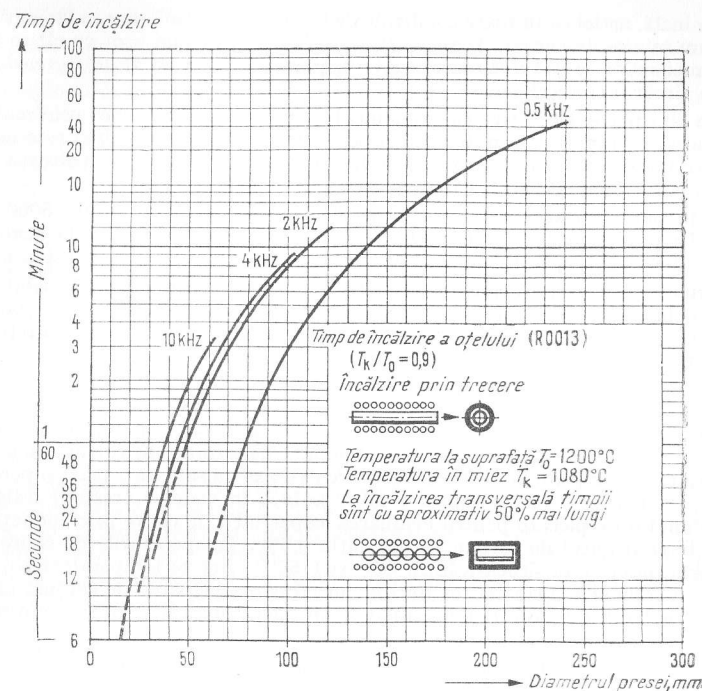


Fig. 11.3. Timp de încălzire pentru oțel.

#### Puterea absorbită

Puterea absorbită de la rețeaua de alimentare este în funcție de temperatura de regim, de greutatea materialului care străbate instalația și de proprietățile materialului ce urmează a fi încălzit. Randamentul inductorului variază în acest caz între 40 și 80%, depinzînd de materialul respectiv. De regulă este necesară o putere de inducție de 300—400 kW pentru a încălzi o tonă de oțel. Ținînd seama de randamentul convertizoarelor rotative este necesară în aceste cazuri o putere de circa 400—500 kW.

#### Repartizarea puterii în instalațiile de încălzire cu inducție (rețele de medie frecvență)

Acolo unde există multe puncte de încălzire cu operații mai mult sau mai puțin simultane, care cer să fie alimentate cu frecvență medie, iar puterea de medie frecvență absorbită variază în limite largi, este întotdeauna justificată realizarea unei instalații de frecvențe medii cu mai multe convertizoare de frecvență rotative și cîțiva consumatori.

În aceste condiții generatoarele care debitează în paralel pe rețea trebuie să poată fi conectate sau deconectate, pentru ca ele să fie întotdeauna încărcate aproximativ la

sarcină nominală, astfel ca în toate condițiile de lucru să se obțină un randament mai bun și un consum minim de curent. Acest lucru se obține cu atât mai ușor cu cât se folosește un număr mai mare de convertizoare legate în paralel sau cu cât se micșorează puterea nominală a fiecărui convertizor.

Pe de altă parte, este știut că randamentul convertizoarelor mari este mai ridicat, iar costul acestora raportat la puterea debitată este mai scăzut. În final este necesar ca puterea aleasă a convertizorului să se afle într-un raport rațional cu valoarea medie a puterii degajate la punctul de încălzire respectiv.

Pînă în prezent s-au construit sisteme de bare avînd o putere de 5000 pînă la 6000 kW. La puteri mari se utilizează sistemul barelor multiple, care la nevoie pot fi grupate în cîteva subgrupe. Sîntiunea barelor se reglează la o valoare constantă.

Pentru anumite scopuri este necesară menținerea constantă a puterii debitate sau a curentului debitat și posibilitatea variației continue a frecvenței. În aceste cazuri este mai utilă folosirea unui sistem de bare secționare, în care caz se utilizează în rețea schimbătoare statice de frecvență.

#### Călirea prin inducție

Această operație este executată, în general, cu instalații de frecvențe medii sau înalte. În majoritatea cazurilor este încălzit numai un strat subțire superficial pînă la temperatura de călire (călire contra uzurii). Pentru axe cu solicitări mari și pentru piese cu destinații similare se poate realiza o călire adîncă în vederea creșterii rezistenței la oboseală. Punctul de plecare pentru evaluarea capacității de călire prin inducție a unui material este conținutul de carbon de cel puțin 0,3%. Temperaturile de călire în cazul încălzirii prin inducție se situează între 850 și 1150°C. Aceste temperaturi pot fi atinse în fracțiuni de secundă. Prin călirea imediat următoare, disiparea de căldură către interiorul piesei de lucru este așa de mică, încît se obține o zonă călită precis conturată.

Tabela 11.7. Adîncimile de călire pentru oțel (valori informative)

Frecvența	Adîncimea de călire	Frecvența	Adîncimea de călire
500 Hz 10 kHz	15 mm 2 mm	200 kHz 1 MHz	0,6 mm 0,3 mm

#### Avantajele călirii prin inducție

Piesa de lucru rămîne rece în cea mai mare parte, astfel încît solicitările termice create sînt neînsemnate. Piese pot fi astfel în mod frecvent prelucrate pînă la forma lor finală în stare necălită, fiind călite ulterior. Pot fi făcute astfel economii în privința operațiilor de finisare care sînt costisitoare. Numeroase loturi de piese sînt supuse unui tratament de încălzire identic, astfel că este garantată o calitate uniformă. Este posibilă automatizarea procesului de călire și includerea mașinilor de călire într-un flux tehnologic. Este suficient supravegherea printr-un personal mediu calificat.

#### Utilizări

Călirea prin inducție este utilizată la călire diferitelor repere pentru autovehicule, mașini agricole, echipament de construcție, mașini-unelte, ca și a axelor, bolțurilor, niturilor, elementelor de transmisie, pinioanelor, cremalierelor etc.

#### Consumul de putere

În funcție de frecvență se poate transmite suprafeței, în vederea călirii, o putere între 0,5 și 8 kW/cm<sup>2</sup>. Puterea necesară este o funcție de temperatură, de dimensiunile piesei, de regimul de lucru și de adîncimea stratului călit. Sînt necesare puteri ale generatoarelor de călire de 2 pînă la 500 kW.

#### Limite de frecvență:

- frecvența medie de 2 pînă la 10 kHz;
- frecvențe înalte de 300 kHz pînă la 1,5 MHz.

#### Lipirea (sudarea) prin inducție

În acest scop este utilizat echipament de medie și înaltă frecvență. Utilizarea principală este în producția de masă pentru sudarea metalelor, mai ales la încălzirea parțială a suprafețelor de sudat. Pentru această operație se utilizează aliaje de lipit tari și moi din comerț, și agenți de decapare sau gaz de protecție.

#### Temperaturi de lucru:

- pentru lipituri moi sub 450°C;
- pentru lipituri tari 450 pînă la 1100°C;

Sînt necesari de asemenea agenți de topire și gaze de protecție, în scopul eliminării straturilor de oxizi la locul de lipire.

Forma și dimensiunile marginilor de sudat sînt factori importanți în calitatea sudurii. Puterea necesară este dictată de dimensiunile locului de îmbinat, de temperatura de lucru și de golul dintre piesele de îmbinat. Pentru piese cu pereți mici și subțiri, (zonă mică de încălzire) gama de înaltă frecvență este cea mai favorabilă, iar pentru piese avînd pereți groși și cu suprafețe mari (zonă largă de încălzire) este indicată gama de frecvențe ridicate și medii. Puterea necesară este situată între 0,1 și 2 kW/cm<sup>2</sup>.

#### Domenii speciale

Uscarea și topirea pentru metalizări pe metale, normalizarea, recristalizarea, încălzirea, normalizarea cusăturilor de sudură, formarea la cald. Pentru aceste scopuri este preferabil să se folosească frecvențe medii și industriale.

### 11.3. TRATAMENTUL BAZAT PE ÎNCĂLZIREA DIELECTRICULUI

Dacă un material omogen, care este rău conducător de electricitate, este plasat într-un câmp electric alternativ uniform, atunci, ca rezultat al pierderilor dielectrice și prin rezistența ohmică, se va produce o cantitate de căldură identică pe fiecare unitate de volum al aceluia material.

#### Procedee de încălzire

Pentru majoritatea scopurilor, materialele sînt încălzite uniform în toată masa lor. Totuși, uneori la piesele neomogene, datorită pierderilor dielectrice diferite, apar variații importante de temperatură; de exemplu la îmbinările încheiate de lemn cleiul se încălzește mai intens decît porțiunea adiacentă din lemn.

În scopuri de uscare sînt utilizate în general cuptoare intermediare, iar în cazul manipulărilor mecanice simultane, (de exemplu presarea necesară operației de încheiere) sînt mai utilizate procedee statice sau periodice.



### Repartizarea căldurii în piesă

Deoarece majoritatea materialelor dielectrice au conductibilitate termică mică, ele nu pot fi uniform încălzite prin aplicarea externă a căldurii. Prin încălzirea dielectrică, căldura este produsă în fiecare particulă a materialului.

Ca rezultat al disipării căldurii în direcția spre exterior, zona de temperaturi maxime se află în general în interiorul pieselor iar temperatura electrozilor rămâne scăzută. În scurt timp pot fi încălzite materiale până la temperatura necesară fără ca să fie deteriorate prin temperaturi prea înalte la suprafață.

Dispozitivele de încălzire necesare pentru astfel de procedee constau în principiu din două plăci de condensator, care sînt montate pe piesă. În cazul dispozitivelor de trecere se poate folosi o bandă de transport metalică care constituie totodată și una din plăcile condensatorului.

### Oscilatoare electrono-ionice de frecvență

- Putere debitată: 2 ... 100 kW;
- Domeniu de frecvență: 1 ... 30 MHz;
- Benzi de frecvență preferențiale: 13,560 MHz  $\pm$  0,05% ;  
27,120 MHz  $\pm$  0,6% ;  
40,68 MHz  $\pm$  0,05%.

La aceste frecvențe nu există reguli care guvernează nivelul radiației, însă armonice pot fi emise numai într-o foarte mică măsură.

În scopul de a se acorda circuitul oscilant care conține materialul pentru încălzit, se folosesc condensatoare variabile cu pierderi mici, conectate în serie cu condensatorul de bază.

Puterile debitate necesare sînt funcție de proprietățile materialului (factorul de pierderi și permitivitatea relativă), de temperatura necesară și de puterea transmisă.

### Exemple de încălzire în dielectric

**Uscarea.** În cazul uscării în cameră de uscare statică, există dificultăți pentru uscarea unor materiale cu conductivitate termică scăzută. În acest caz materialele se usucă inițial la suprafață, unde ele suportă efecte de călire și deformații, astfel că este dificil să se elimine umezeala inclusă în profunzimea materialelor. Spre deosebire de aceasta, uscarea bazată pe încălzirea dielectricului elimină umezeala treptat din interior spre exterior, astfel că suprafața materialului rămîne umedă pînă la sfîrșitul procesului de uscare.

Aplicații importante ale uscării în dielectric sînt: uscarea miezurilor turnate în instalații continue și uscarea diferitelor materiale în industria textilă, alimentară, a materialelor plastice. Roțile de măcinat cu liant de rășini fenolice pot fi de asemenea tratate într-un mod similar.

**Operațiile de lipire.** Încălzirea îmbinărilor lipite ale elementelor de lemn s-a dovedit a fi deosebit de reușită. În acest scop, generatoare avînd puteri debitate între 2 și 12 kW sînt combinate cu piese de incleiat (de exemplu piese de incleiat cu saboți, prese hidraulice pentru scaune și banchete, prese de montaj final, prese de incleiat continuu pentru producția de serie în fabricile de izoplac, echipamente pentru plăci de lemn stratificate și fabrici de parchete).

**Sudarea și metalizarea.** Instalațiile de înaltă frecvență sînt folosite de asemenea pentru realizarea izolării pieselor componente ale refrigeratoarelor cu izolație din polistiren expandat și pentru acoperirea cu PVC și poliesteri a pardoselilor.

## 11.4. SUDAREA ELECTRICĂ

Tabelul 11.8. Procedee de sudare

Procedee de sudare cu arc electric:		
Sudare manuală Sudare cu arc electric după procedeul Humboldt-Meller Sudare cu arc electric cu electrod învelit culcat Sudare cu arc electric cu electrod cu înveliș cu plasă	Sîrmă sau vergele cu înveliș	
Sudare cu arc electric cu electrod metalic cu miez		
Sudare sub flux Sudare sub flux cu arc electric între doi electrozi-sîrmă Sudare sub flux cu electrod-bandă Sudare electrică în baie de zgură (arcul fiind folosit numai la început)	Sîrmă (bandă) și flux granulat	Arcul arde la capătul unui electrod fuzibil
Încărcare cu arc între două sîrme	În aer	
Sudare cu arc electric în mediu de gaz protector cu electrod fuzibil (în mediu de gaz inert sau în mediu de CO <sub>2</sub> ) Sudare cu arc electric pulsator Sudare cu arc electric scurt Sudare cu arc electric în mediu de gaz inert, cu electrod nefuzibil de wolfram Sudare cu jet de plasmă Încărcare prin sudare cu plasmă Sudare cu arc de plasmă Tăiere cu plasmă Sudare cu arc electric a buloanelor	Mediu de gaz protector	Arcul arde la capătul unui electrod nefuzibil de wolfram
	În aer	
Procedee de sudare prin presiune	Procedee speciale de sudare electrică	Alte procedee de sudare
Sudare prin puncte Sudare prin relief Sudare în linie Sudare în linie cu impuls de curent Sudare electrică cap la cap în stare solidă (sudare prin rezistență) Sudare cap la cap prin topire intermediară	Sudarea țevilor prin curenți de înaltă frecvență Sudare cu ultrasunete Sudare cu fascicul cu electroni Sudare cu fascicul de lumină (laser) Sudare cu arc prin descărcarea condensatoarelor	Sudare oxiacetilenică și tăiere cu oxigen Sudare cu termite prin presiune Sudare prin difuzie Sudare prin presare la rece Sudare prin frecare Sudare prin explozie

### 11.4.1. Sudarea cu arc electric

Energia de sudare pentru topirea metalului de bază sau a metalului de adaos este produsă prin arc electric. Cea mai mare parte din energie este eliberată la rădăcina cusăturii (cădere de tensiune anodică sau catodică în caracteristica tensiunii). Dacă coloana arcului se îngustează într-un ajutoraj, care înconjoară arc electric, acesta din urmă se va supraîncălzi extrem de mult, ionizîndu-se intens. În acest caz, arc electric se numește arc de plasmă.



## Caracteristicile sudării cu arc electric

Sudarea cu arc electric necesită surse de alimentare cu energie electrică cu caracteristici speciale, care depind de procedeul respectiv. Pentru sudarea manuală și pentru sudarea cu electrozi de wolfram, curentul de sudare este menținut constant printr-o caracteristică exterioară (statică) pronunțat căzătoare a sursei de alimentare (fig. 11.4).

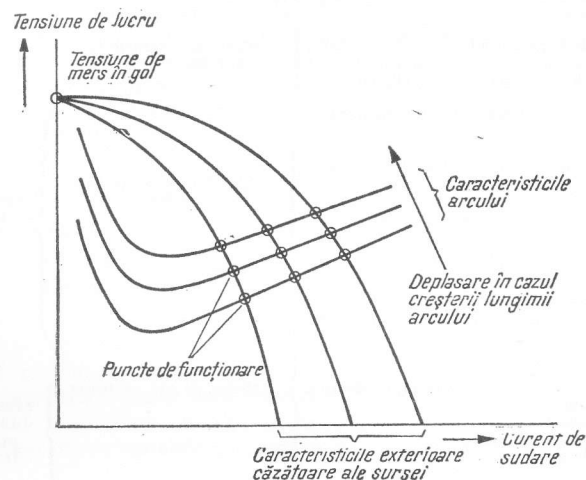


Fig. 11.4. Diagrama sudurii în cazul unei surse de alimentare cu caracteristica exterioară căzătoare.

**Observație:** Procesul de sudare se realizează în punctul de funcționare. Acesta este intersecția a două curbe, dintre care una este caracteristica exterioară a sursei de alimentare, iar cealaltă caracteristica arcului electric, care depinde de felul electrozilor, de lungimea arcului, de felul gazului protector etc. Pentru amorsarea corespunzătoare a arcului este necesar să se mențină o tensiune constantă de mers în gol, chiar și în domeniul de reglare pentru curenți de sudare mici.

Procedeele care implică topirea sirmelor, necesită o tensiune constantă pentru reglarea automată a arcului, adică o caracteristică exterioară orizontală. Soluțiile inițiale constă în reglarea vitezei de avans a sîrmei în funcție de tensiunea arcului, devenind astfel învechite. Încălzirea sursei de alimentare nu trebuie să afecteze reglarea tensiunii.

La procedeul cu arc electric scurt, la care un electrod subțire de sudare se introduce în baia de metal de 50 ori pe secundă, se recomandă o caracteristică ușor crescătoare. După scurtcircuit, arcul trebuie restabilit printr-o creștere cât mai bruscă posibil a curentului. Comportarea dinamică a sursei de alimentare este în acest caz deosebit de importantă (fig. 11.5).

Caracteristici căzătoare ale sursei de alimentare se realizează prin generatoare cu înfășurare anticompund, prin generatoare cu cîmp transversal sau prin reglarea cîmpului de scăpări la generatoare cu poli de dispersie (fig. 11.6).

Pentru a se obține la transformatoarele și redresoarele de sudare o caracteristică exterioară pronunțat căzătoare, în circuitele acestora se intercalează bobine de șoc premagnetizate (fig. 11.7).

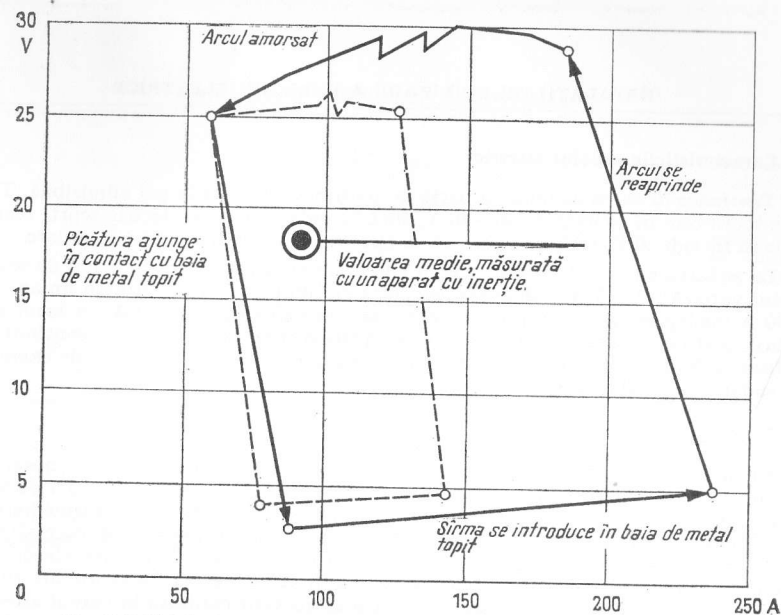


Fig. 11.5. Ciclul procesului de sudare cu arc electric scurt în mediu de  $CO_2$ .

## Observații:

1. Procesul de sudare în cazul unei reactanțe mici în circuit (linie continuă) se efectuează la 160 Hz, durata ciclului fiind de 4,5 ms, durata arcului de 3 ms, timpul de scufundare (imersiune) sau timpul de scurtcircuit de 1,5 ms, iar viteza de creștere a curentului la restabilirea arcului de 70 000 A/s. 2. Procesul de sudare în cazul unei reactanțe mai mari (linie punctată) are o durată a ciclului mai lungă (6 ms), iar viteza de creștere a curentului este mai mică (45 000 A/s).

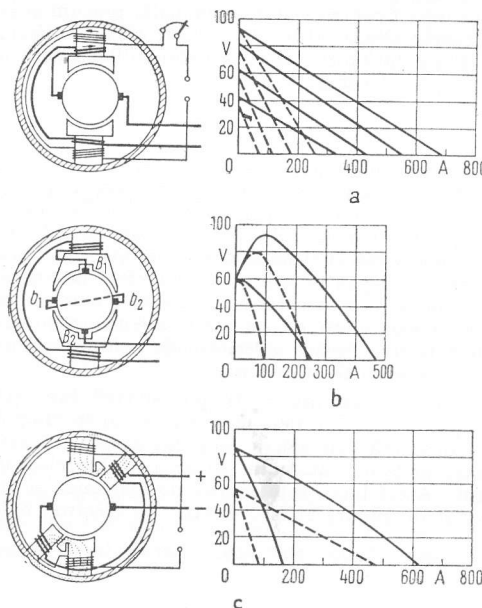


Fig. 11.6. Construcția și caracteristicile generatoarelor de sudare: a - generator cu compoundare diferențială; b - generator cu cîmp transversal; c - generator cu poli de dispersie.

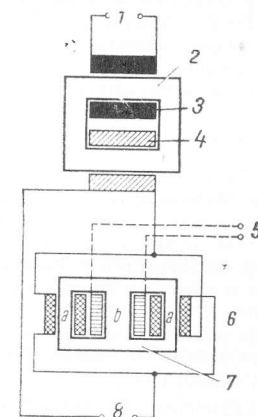


Fig. 11.7. Transformator de sudare, reglat printr-o bobină de șoc, premagnetizată cu curent continuu:

a - bobină de curent alternativ; b - bobină de curent continuu;

1 - legătură la rețea; 2 - miezul de fier al transformatorului; 3 - înfășurarea primară; 4 - înfășurarea secundară; 5 - bornele curentului continuu de reglare; 6 - bobină de șoc, premagnetizată cu curent continuu; 7 - miezul de fier al bobinei de șoc; 8 - borne pentru curentul de sudare.

### Caracteristicile arcului electric

*Tensiunea de lucru* depinde în parte de tensiunea de mers în gol admisibilă. Tensiunea de lucru este în general de 30–40 V, însă la sudarea cu arc electric scurt, tensiunea trebuie să fie sub 20 V, ținându-se seamă de specificul acestui procedeu de sudare.

La sudarea cu arc electric în mediu de gaz inert, cu electrod nefuzibil de wolfram, curentul variază între 5 A, valoare considerată ca limita inferioară pentru un arc stabil, și 3000 A (nedepășind însă în practică decât rareori valoarea de 1500 A) în cazul sudării sub flux cu sîrmă groasă; în cazul sudării cu plasmă însă, arcu poate fi menținut stabil și utilizat, coborîndu-se valoarea curentului de sudare chiar pînă la 0,5 A, de exemplu în cazul sudării unor table subțiri.

### Felul curentului

În cazul utilizării de electrozi-sîrmă fuzibili, sudarea cu arc electric în curent continuu este cea mai convenabilă; sudarea sub flux poate fi însă realizată la fel de bine în curent continuu cît și în curent alternativ. În cazul sudării aluminiului în mediu de gaz inert, cu electrozi de wolfram, este necesară o sursă de alimentare cu curent alternativ pentru a se asigura îndepărtarea continuă a stratului de oxid. Componentele de curent continuu în curentul sursei de alimentare trebuie în acest caz să fie suprimate (filtrate) prin condensatoare. Sudarea manuală este tot mai frecvent realizată în curent alternativ, pe de o parte pentru că este o sursă de curent mai economică, iar pe de altă parte, datorită eliminării efectului de suflare a arcului. Transformatoarele de sudare uzuale sînt mai scumpe decît redresoarele, însă au caracteristici dinamice mai favorabile, ceea ce poate prezenta importanță în cazul sudării cu un efect redus de împorșcare.

La sudarea în curent continuu, alegerea polarității prezintă importanță. Electrozii-sîrmă și electrozii de wolfram se conectează în general la polul negativ; numai la electrozii cu înveliș de oxid de calciu cu caracter bazic, pentru sudarea manuală, precum și la sudarea cu arc electric scurt se preferă conectarea la polul pozitiv. Electrozii de wolfram se uzează mult mai repede dacă sînt legați la polul pozitiv sau dacă sînt utilizați pentru sudarea în curent alternativ, decît în cazul legării lor la polul negativ.

### Electrozi pentru sudarea manuală

Electrozii pentru sudare manuală constau din vergele de metal (miez de sîrmă) cu înveliș. Materialul învelișului asigură stabilitatea arcului, și produce atmosfera de gaz și zgura, necesare pentru protejarea materialului sudat împotriva accesului aerului. Electrozi fără înveliș nu sînt ușor de utilizat corect, iar îmbinările respective sînt de calitate slabă și de rezistență redusă. Învelișul conține adeseori și un adaos de pulbere metalică pentru mărirea rezistenței mecanice a sudurii sau pentru a produce un efect de aliere. Învelișurile sînt constituite din substanțe minerale cu caracter acid, din rutil acid, din oxid de calciu cu caracter bazic sau din componente numeroase și microelemente importante. Curentul de sudare este de 40–50 A pentru fiecare milimetru de sîrmă care formează miezul electrodului, în funcție de grosimea și tipul învelișului.

„Electrozii de contact” (electrozi cu înveliș, la care în timpul sudării învelișul se reazemă cu vîrfurile pe piesa de sudat) pot fi deplasați de-a lungul rostului în timpul sudării, eliminîndu-se astfel menținerea constantă, dificilă, a lungimii arcului. Acești electrozi pot fi folosiți de asemenea pentru sudarea automată (sudarea cu arc electric după procedeul Humboldt-Meller fig. 11.8). Acest lucru este posibil de asemenea și cu alți electrozi, de exemplu la procedeul de sudare cu arc electric cu electrod culcat (fig. 11.9).

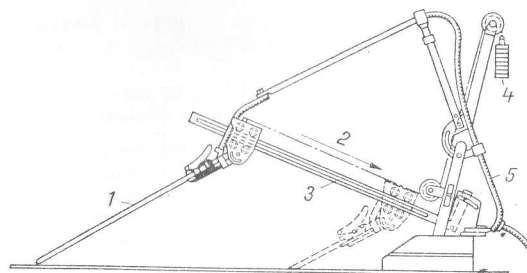


Fig. 11.8. Port-electrod aluneacător, folosit în procedeul de sudare cu arc electric Humboldt-Meller (sudarea cu productivitate mare): 1 – electrod; 2 – sens de aluneacăre; 3 – bară de aluneacăre; 4 – greutate; 5 – cablu.

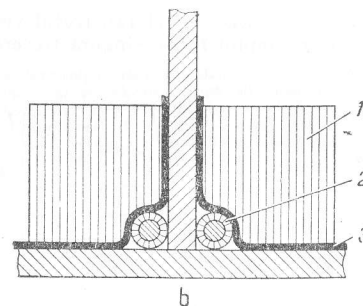
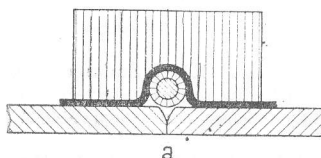


Fig. 11.9. Sudare cu arc electric cu electrod înveliș culcat: a – sudare cap la cap; b – pentru sudare în T; 1 – șină de protecție (din metal neferos); 2 – electrod înveliș; 3 – hîrtie.

### Sudarea sub flux și procedee înrudite

La sudarea cu sîrmă de lungime mare, trebuie de asemenea să existe un înveliș protector, acesta putînd fi însă înlocuit și printr-o altă acțiune protectoare similară. Dacă este necesar, ca învelișul să rămînă aderent pe sîrmă, chiar cînd aceasta este supusă la încovoieri și răsuciri, sînt necesari electrozi cu înveliș cu plasă. Suprafața plasei de sîrmă trebuie să fie astfel dispusă încît curentul de sudare să poată fi ușor transmis de la contactul electric la sîrmă. În comparație cu metoda, mai ieftină, de sudare sub flux, sudarea cu electrozi cu înveliș cu plasă prezintă avantajul că arcu electric poate fi observat în timpul operației.

La sudare sub flux, fluxul presărat îndeplinește și funcția de înveliș protector (fig. 11.10). Arcu electric arde în mod invizibil sub stratul de flux. Pentru încărcare prin sudură cu topirea redusă a metalului de bază se aplică sudarea sub flux cu arc electric între doi electrozi-sîrmă, precum și sudarea sub flux cu electrozi-bandă. La primul procedeu, arcu electric arde între două sîrme conductoare de curent, direct deasupra

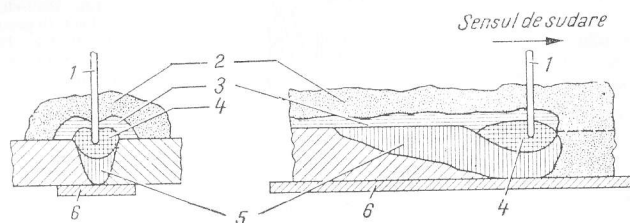


Fig. 11.10. Sudare sub flux:

1 — electrod; 2 — flux; 3 — zgură; 4 — zgură topită; 5 — oțel topit;  
6 — bară de cupru.

materialului de bază, care nu este conectat la nici un pol (fig. 11.11). Sudarea sub flux cu electrozi-bandă permite o dispersie largă a energiei arcului peste materialul de bază. Arcul efectuează o mișcare de du-te-vino pe marginea care se topește, a benzii, urmînd întotdeauna calea cea mai scurtă.

La sudarea electrică în baie de zgură (fig. 11.12), rostul vertical între două plăci groase, de îmbinat prin sudură, este umplut într-o singură trecere, iar baia de sudură

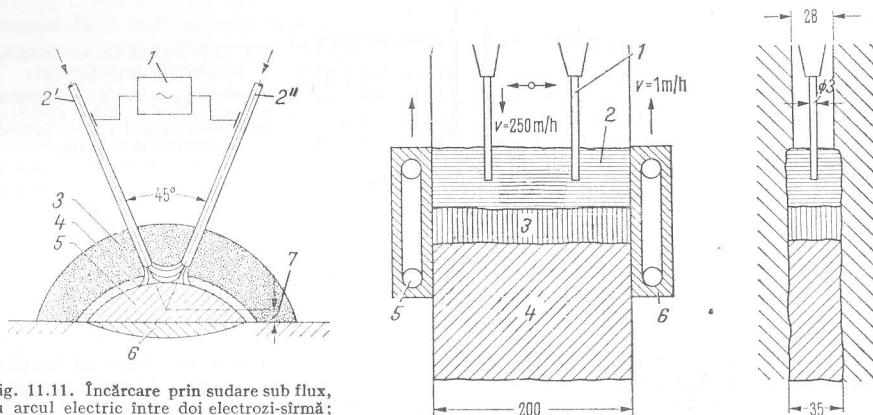


Fig. 11.11. Încărcare prin sudare sub flux, cu arcul electric între doi electrozi-sîrmă; 1 — sursă de alimentare; 2' — electrod-sîrmă 1; 2'' — electrod-sîrmă 2; 3 — flux; 4 — zgură; 5 — încărcare prin sudare; 6 — pătrundere (umplere); 7 — distanța între intersecția axelor electrozilor și piesa de încărcare prin sudare.

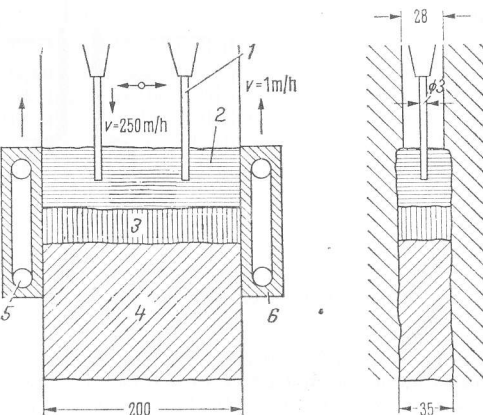


Fig. 11.12. Sudare electrică în baie de zgură:

1 — electrod-sîrmă; 2 — baie de zgură topită; 3 — baie de metal; 4 — cusătură; 5 — răcire cu apă; 6 — sabot-patină glisant de cupru.

este menținută în rost prin sabot-patină glisantă de cupru, răciți cu apă, care se deplasează în sus, concomitent cu baia de sudură. La plăci foarte groase se lucrează cu doi sau mai mulți electrozi. După amorsare, se produce un arc electric, care este înlocuit treptat printr-o baie de zgură supraîncălzită. O variantă a acestui procedeu este sudarea în canal, la care electrodul-sîrmă este introdus printr-o țevă, care se topește încet, fiind

imersată în zgură și conducînd curentul de sudare. Pe această cale pot fi obținute cusături cu înălțimea pînă la 1,5 m, fără vreo deplasare a părților echipamentului de sudare.

#### Sudarea cu arc electric în mediu de gaz inert cu electrod fuzibil (M.I.G.) și metode înrudite

Protecția materialului sudat (cusăturii) față de accesul aerului poate fi realizată de asemenea printr-un mediu de gaz protector. În cazul unor materiale sensibile la gaze, ca de exemplu cuprul, aluminiul și oțelurile aliate, trebuie folosite gaze inerte (argon, heliu), procedeu fiind denumit în consecință M.I.G.<sup>1)</sup>. Bioxidul de carbon este mai ieftin, însă expune procesul mai mult la împrăscări. Sudări de oțeluri cu împrăscare redusă pot fi obținute de asemenea cu amestecuri de  $\text{CO}_2$ , Ar și  $\text{O}_2$ . Pentru încărcare prin sudare (sudare cu metal de adaos), cu pătrundere scăzută, capul de sudare folosit la procedeul M.I.G. poate să oscileze pe lățime pînă la 60 mm; pentru răcirea cusăturii servește un al doilea electrod-sîrmă, neracordat la circuitul electric (fig. 11.13).

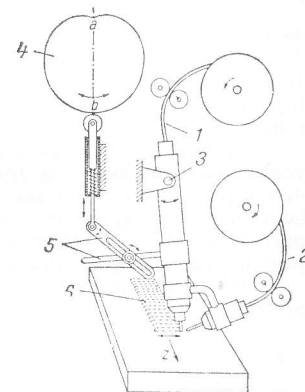


Fig. 11.13. Încărcare prin sudare după procedeul M.I.G., cu oscilația transversală a electrodului și cu electrod-sîrmă suplimentar rece (pentru a produce cusături largi cu o pătrundere minimă în materialul de bază): 1 — electrod-sîrmă; 2 — electrod-sîrmă suplimentar, rece; 3 — axă de oscilație orizontală; 4 — disc în formă de cardioidă; 5 — tijă de reglare; 6 — încărcare.

Transferul picăturii prin arc poate fi influențat, suprapunîndu-se peste curentul continuu un impuls de curent de intensitate mare. Aceste impulsuri se produc prin filtrarea și modularea unei semialternanțe de curent alternativ sau prin descărcări de condensatoare. Se caută a se obține o frecvență a impulsurilor de circa 50 Hz, precum și un raport între intervalul dintre impulsuri și lățimea impulsului de 7 : 1, raport care se obține de preferință prin descărcări ale unui condensator. Această metodă permite sudarea după procedeul M. I. G., fără împrăscări, a aluminiului, utilizîndu-se transferul normal de material prin picături fine. Acest procedeu prezintă de asemenea avantaje și în cazul altor materiale.

Sudarea cu arc electric scurt, care a fost descrisă anterior s-a dovedit a fi corespunzătoare pentru table subțiri (cu grosimea sub 3 mm), precum și pentru stratul de la rădăcină la sudarea țevilor. Capete speciale de sudare, rezistente la uzură, debitează sîrma de sudare la viteza corectă, corespunzătoare unui proces de sudare fără perturbații (fig. 11.14).

1) M.I.G. — Metal-Inert-Gas

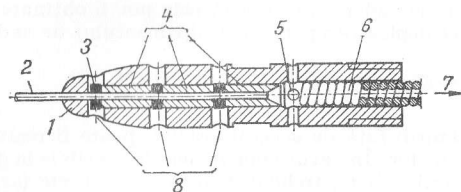


Fig. 11.14. Cap special de sudare, rezistent la uzură pentru sudare după procedeul M.I.G. : 1 - material electric conductor; 2 - sîrmă de sudare (electrod); 3 - material dur; 4 - distanțiere; 5 - orificiu de evacuare a gazului; 6 - sîrmă bobinată; 7 - bornele cablului coaxial de sudare; 8 - orificii de descărcare a rezultatelor uzurii.

#### Sudare cu arc electric în mediu de gaz inert cu electrod nefuzibil (T.I.G.)<sup>1)</sup> și sudare cu plasmă

Un procedeu convenabil de sudare fără metal de adaos este cel al utilizării electrozilor de wolfram. Acest procedeu implică utilizarea unui gaz inert (dacă este necesar, azot sau hidrogen) ca gaz protector. În câteva cazuri speciale (sudare rapidă în aer) se pot utiliza de asemenea și electrozi de grafit.

La utilizarea unui metal de adaos, alimentat în stare rece, procedeul nu este așa de eficient ca procedeul M.I.G., însă permite sudarea tablelor subțiri (cu grosimea de la 1 mm în sus) rezultînd suduri de încărcare considerabil mai înguste și mai plate. Încărcarea prin sudare pe suprafețe mici la fabricația în serie poate fi realizată prin topirea unor table (plăci) sinterizate sau a unor elemente fasonate, aplicate pe piesa respectivă.

Trebuie remarcat că arcul electric este amorsat printr-un impuls de înaltă frecvență. Astfel se ionizează zona arcului electric, intensitatea lui depinzînd de distanța de străpungere, de tipul gazului protector, precum și de tensiunea de mers în gol. În heliu, această străpungere este considerabil mai dificilă decît în argon. În locul unui impuls de înaltă frecvență se poate utiliza în cazuri excepționale un arc electric auxiliar pentru armorsarea arcului principal.

Sudarea cu plasmă reprezintă o variantă a sudurii cu arc electric în mediu de gaz protector, cu electrod nefuzibil (T.I.G.), (fig. 11.15).

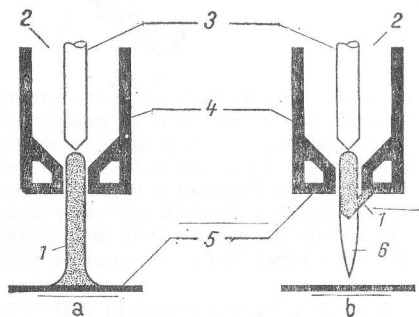


Fig. 11.15. Principiul generării plasmelor: a - cu arc de plasmă; b - cu jet de plasmă; 1 - coloana arcului; 2 - gaz; 3 - catod de wolfram; 4 - duză de cupru, răcită cu apă; 5 - anod; 6 - jet cu plasmă

La sudarea cu jet de plasmă, arcul electric arde între electrodul de wolfram și un electrod inelar, care înconjură arcul. Arcul este suflat de gazul protector, care este refulat din spațiul dintre electrodul de wolfram și cel inelar, precum și printr-un jet

1) T.I.G. - Tungsten (wolfram) - Inert - Gas.

îngust de plasmă. Acest jet de plasmă poate fi utilizat, între altele și pentru îmbinări prin sudare a unor folii foarte subțiri, în care caz jetul de plasmă produce în cusătură (în îmbinarea de sudat) un orificiu care se deplasează și care se închide singur. Dacă gazului protector i se adaugă o pulbere metalică sau ceramică, procedeul de sudare cu jet de plasmă reprezintă un procedeu care poate fi aplicat la curenți de sudare de intensitate mare (pînă la 600 A).

Sudarea cu arc de plasmă diferă de procedeul precedent prin adăugarea unui al doilea arc electric, dirijat spre materialul de bază (spre piesa de sudat). Ca rezultat al acestei topiri, precis focalizate, a materialului de bază se obțin suduri compacte de încărcare. Domeniul principal de aplicație al acestui procedeu este placarea dură (încărcare prin sudare cu depuneri dure) cu materiale care pot fi adăugate numai în formă de pulbere, deoarece nu pot fi aglomerate într-un electrod de sudare (fig. 11.16).

Îmbinarea prin sudare a tablelor groase este încă în curs de dezvoltare. Căldura excepțional de mare și focalizarea precisă a jetului de plasmă sînt deosebit de indicate pentru tăierea prin topire a tablelor de aluminiu, cupru sau oțel aliat rezistente la tăierea oxiacetilenică. Astfel pot fi tăiate table cu grosimi pînă la 100 mm. În aceste cazuri, se poate utiliza ca gaz protector azotul. Tensiunile de lucru pot fi mărite adeseori - luîndu-se precauțiile necesare - pînă la 150 V.

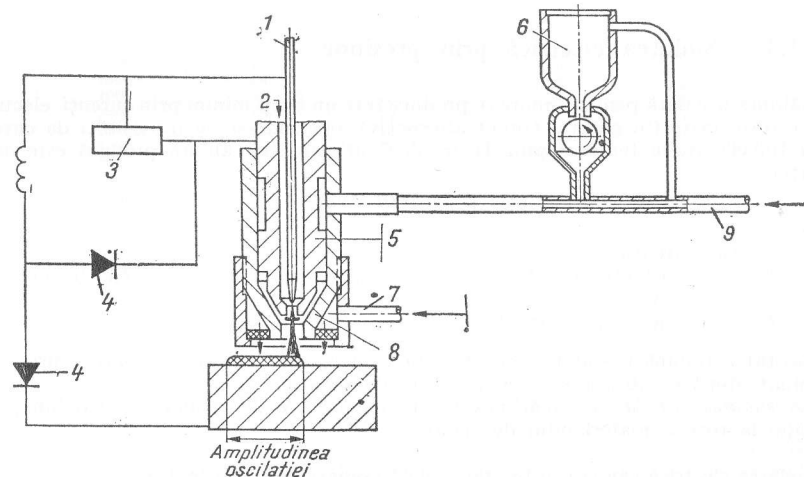


Fig. 11.16. Încărcarea (placarea) prin sudare cu arc de plasmă cu mișcare oscilantă a piesei de încărcat. Schema de principiu a capului de sudare și a alimentării cu pulbere metalică, precum și schema electrică: 1 - catod de wolfram; 2 - alimentarea cu gaz pentru vîrf (pentru punctul central); 3 - sursă de înaltă frecvență; 4 - redresoare; 5 - duză principală; 6 - recipient de pulbere metalică; 7 - conducte pentru alimentare suplimentară cu gaz protector; 8 - duză de capăt; 9 - conductă de gaz pentru transportul pulberii metalice.

#### Electrometalizarea și sudarea cu arc electric a buloanelor

La operația de electrometalizare, arcul electric arde între doi electrozi, așezați aproximativ perpendicular unul față de altul (fig. 11.17). Metalul topit este proiectat printr-un jet de aer comprimat pe suprafața care urmează a fi acoperită.



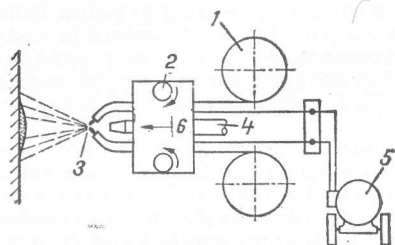


Fig. 11.17. Pistol de metalizare cu arc electric: 1 - tambur cu sîrmă; 2 - rolă pentru alimentarea cu sîrmă; 3 - arc electric; 4 - țevă de aer comprimat; 5 - generator de curent continuu; 6 - alimentator.

Sudarea buloanelor se efectuează utilizîndu-se un suport de tip pistol în care se introduce bulonul. Capătul bulonului are un diametru mai redus, formînd un vîrf cu care bolțul se reazemă pe piesa de care trebuie fixat. În momentul declanșării „pisto-lului”, bulonul se îndepărtează pentru scurt timp de pe suprafața piesei de lucru, arc-ul electric se amorsează și bulonul se sudează instantaneu pe piesă, după ce cele două suprafețe s-au topit. Arcul electric este produs prin descărcarea unui condensator montat într-un echipament.

#### 11.4.2. Sudarea electrică prin presiune

Căldura necesară pentru sudare se produce într-un timp minim prin curenți electrici de intensitate mare (în general curent alternativ), operîndu-se cu intensități de curent pînă la 100 000 A, la tensiuni pînă la 15 V. Cantitatea de căldură produsă este dată de relația:

$$Q = \text{const } I^2 R t \text{ [Ws]}$$

în care:

- $I$  este curentul, în A;
- $R$  — rezistența (rezistența materialului de sudat + rezistențele de contact), în  $\Omega$ ;
- $t$  — timpul de sudare, în s.

Calitatea îmbinării sudate este afectată de forța cu care sînt presate suprafețele de imbinat, după ce au ajuns la temperatura de sudare.

La sudarea cap la cap, mărimea presiunii specifice de refulare este o funcție a rezistenței la roșu a materialului de sudat.

#### Sudarea electrică cap la cap în stare solidă (sudare prin rezistență)

Forma inițială a sudării cap la cap este sudarea în stare solidă (prin rezistență), prin refulare, cu suprafețele de imbinat îngrijit prelucrate. Acest procedeu se aplică de preferință la sudarea metalelor neferoase și a pieselor de secțiune mică din oțel.

#### Sudarea cap la cap prin topire intermediară (tab. 11.9)

Procesul normal de sudare se compune din preîncălzire, topire și refulare. Procesul de preîncălzire aduce suprafețele de sudat la temperatura necesară, iar procesul de topire egalizează temperatura pe întreaga secțiune, producînd în același timp un mediu protector gazos. Procesului de topire îi urmează procesul de refulare realizat cu o viteză de refulare determinată.

Diferitele operații mecanice și electrice sînt complet automatizate, în special la instalațiile mari de sudat cap la cap. La sudarea cap la cap, cu topire intermediară, a oțelurilor aliate, sudurile sînt răcite încet prin acoperire, sau în funcție de necesități, viteza de răcire se reduce printr-o încălzire ulterioară, modificîndu-se astfel structura din zona influențată termic.

La piesele de formă inelară și la cele cu secțiuni transversale complexe (țevi, profile I, profile pentru construcții în pinze subțiri etc.), sînt necesari curenți de sudare mai mari, datorită scurgerilor de curent și datorită suprafeței de răcire mai mari. Sudarea oțelurilor cu procent mare de carbon și a oțelurilor aliate, datorită conductivității termice mai mici, necesită în general un consum de putere mai scăzut; presiunea specifică de refulare, în  $\text{kgf/mm}^2$ , din contră, crește, corespunzător rezistenței la roșu mai mari.

Tabelu 11.9. Valori informative pentru sudare cap la cap cu topire intermediară a oțelurilor moi

Secțiunea transversală $\text{mm}^2$	Lungimea liberă de reglare (în fiecare parte) $\text{mm}$	Adaosul de material pentru topire (în fiecare parte) $\text{mm}$	Energia electrică pentru o sudură $\text{kWh}$	Timpul mediu de sudare $\text{s}$
500	15	6	0,10	15
1000	25	7	0,25	25
2000	30	8,5	0,75	35
3000	40	10	1,4	55
4000	45	10,5	2,2	70
5000	50	11,5	3,0	100
6000	60	12	4,0	120
8000	75	13	6,0	210
10 000	80	14	8,5	240
15 000	85	16	15	260
20 000	90	17,5	24	300
30 000	90	20	42	330
40 000	90	22	70	480

#### Sudarea prin puncte

Tablele care urmează a fi îmbinate se încălzesc la temperatura de sudare între electrozi cu vîrfuri de contact, prin care trece curentul. Presiunea asupra locului de sudat se realizează printr-o pedală sau printr-un dispozitiv pneumatic, hydraulic sau mecanic, care acționează asupra vîrfurilor electrozilor. Vîrfurile electrozilor trebuie să aibă o rigiditate suficientă, care se poate menține prin simplă răcire cu apă, sau chiar fără răcire dacă se utilizează pentru electrozi materiale de mare rezistență, stabilitate termică și cu o capacitate de aliere scăzută.

Tipuri de aliaje:

Cu-Cr-Zr, Cu-Cr, Cu-Cd, Cu-Co-Be, W-Cu

Sudarea simplă prin puncte se efectuează cu o mașină, acționată de o pedală, al cărei transformator de sudare este conectat pe partea primară la sursa de alimentare. Timpul de sudare nu este reglat în mod automat, temperatura de sudare fiind apreciată numai prin observarea culorii de incandescență a locului de sudare. Mașinile de sudat, folosite la fabricația în masă, sînt echipate însă cu dispozitive de reglare pentru curentul și timpul de sudare, precum și pentru forța exercitată asupra electrozilor. Dispozitivele de reglare lucrează automat, în funcție de necesități, după un program curent-presiune-



timp sau cu un programator de timp (pentru diferite succesiuni de puncte). Liniile tehnologice sînt astfel alcătuite încît combină mai multe mașini de sudat prin puncte cu prese și instalații de transport (vezi și sudarea prin puncte multiple).

Sudarea pieselor voluminoase se realizează mai economic cu clești de sudare prin puncte, pistoale de sudare sau alte dispozitive similare portabile, decît cu mașini staționare de sudat prin puncte. În acest caz, transformatorul este montat pe dispozitivul de sudare sau suspendat separat și conectat la dispozitivul de sudare portabil prin cabluri flexibile, răcite cu apă și avînd o lungime cît mai scurtă posibil. S-au construit și transformatoare speciale, cu putere de vîrf mare și de dimensiuni minime, astfel încît se poate combina de exemplu un aparat de sudat prin puncte de tip pistol cu acest transformator, fără ca prin aceasta minuirea acestui echipament să devină dificilă.

În tabelul 11.10 sînt date valori informative pentru sudare prin puncte a oțelurilor moi în cazul îmbinărilor cu suprapunere, cu o singură suprafață de forfecare.

Sudarea prin puncte a metalelor neferoase, în special a aliajelor ușoare bune conductoare de electricitate se efectuează cu curenți de intensitate mare și cu timpi de sudare mai scurți, pentru a se compensa conductivitatea termică mai mare și rezistența electrică mai mică. Datorită cerințelor mari din industria de autovehicule și de avioane privind rezistența mecanică a sudurilor, mașinile de sudat prin puncte pentru aliaje ușoare, trebuie să lucreze cu forțe de apăsare mari pe electrozi și în consecință cu intensități mai mari de curent. Un program forță-curent-timp conform fig. 11.18 are un efect favorabil în ce privește formarea de retasuri și de fisuri la metalele ușoare, aliate cu Si, Cu și Zn, greu de sudat; alt efect favorabil este dispersia mai scăzută a rezistenței.

Reglarea precisă, corespunzătoare perioadelor, a curentului și a forței de apăsare pe electrozi au putut fi realizate, datorită unor dispozitive electronice de control (limitatoare automate, sincrone ale timpului de sudare).

Ținîndu-se seamă de faptul că în sistemul monofazat de 50 Hz, puterea absorbită este mare, este preferabil să se folosească pentru aceste mașini de mare productivitate

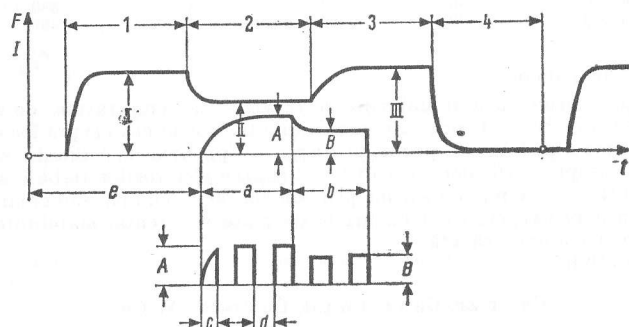


Fig. 11.18. Program forță-curent-timp:

$I$  — curentul ( $A$  — curentul de sudare;  $B$  — curentul de postîncălzire);  
 $F$  — forța de apăsare pe electrod ( $I$  — forța de apăsare prealabilă;  $II$  — forța de apăsare la sudare;  $III$  — forța de apăsare la forjare);  
 $t$  — timpul ( $I$  — timpul forței de presare prealabilă;  $2$  — timpul de presare la sudare;  $3$  — timpul de forjare;  $4$  — timpul fără presiune);  
 $(a$  — timpul de sudare;  $b$  — timpul de postîncălzire;  $c$  — timpul de încălzire;  $d$  — timpul de răcire;  $e$  — timpul de presare).

Tabelul 11.10. Valori informative pentru sudare prin puncte

Grosimea tablei $s$ mm	Diametrul și forma electrodului $30^\circ$ $D$ mm $d$ mm	Distanța minimă între puncte $e$ mm	Distanța de la margine $a$ mm	Diametrul nucleului $d$ mm	Curentul de sudare (curentul de post-încălzire) kA	Forța pe electrod, la sudare (la forjare) kgf	Timpul de sudare (de post-încălzire) s
------------------------------	---	---	-------------------------------------	----------------------------------	---	--	---

Oțel carbon obișnuit:

a) Mașini pentru condiții ușoare de lucru:

$2 \times 0,5$	12	4	10	6	3 — 5	20 — 40	1,2 — 0,36
$2 \times 1,0$	16	6	17	8	4 — 6	40 — 80	1,5 — 0,6
$2 \times 1,5$	16	6	22	9	4,5 — 7	60 — 120	1,8 — 0,8
$2 \times 2,0$	16	8	28	10	5 — 8	80 — 160	2,2 — 0,96
$2 \times 2,5$	16	8	33	11	5,5 — 9	100 — 200	2,6 — 1,1
$2 \times 3,0$	20	9	38	12	6 — 10	120 — 240	3,0 — 1,3

b) Mașini pentru condiții grele de lucru — mașini de productivitate mare:

$2 \times 0,5$	12	4	10	6	6 — 7	80 — 120	0,16 — 0,1
$2 \times 1,0$	16	6	17	8	7,2 — 9	160 — 240	0,34 — 0,16
$2 \times 1,5$	16	6	22	9	8,4 — 11	240 — 360	0,48 — 0,24
$2 \times 2,0$	16	8	28	10	9,6 — 13	320 — 480	0,6 — 0,34
$2 \times 2,5$	16	8	33	11	10,8 — 15	400 — 600	0,72 — 0,42
$2 \times 3,0$	20	9	38	12	12 — 17	480 — 720	1,0 — 0,5

Aluminiu și aliaje de aluminiu <sup>1)</sup>

c) Mașini monofazate:

$2 \times 0,5$	16	25 plat	10	5	3,2	18	150	4
$2 \times 1,0$	16	76 plat	13	7	4,6	31	270	7
$2 \times 1,5$	16	76 plat	16	10	6,4	35	330	8
$2 \times 2,0$	22	100	19	11	7,6	40	380	8
$2 \times 2,5$	22	152	25	13	9,0	53	460	12
$2 \times 3,0$	22	152	32	14	10,8	69	560	12

d) Mașini trifazate:

$2 \times 0,5$	16	76	10	5	3,2	30	250	1
$2 \times 1,0$	16	102	13	7	4,6	40(11,5)	325(850)	1(3)
$2 \times 1,5$	16	152	16	10	6,4	52(16,5)	550(1250)	2(4)
$2 \times 2,0$	22	152	19	11	7,6	62(24)	850(1825)	3(5)
$2 \times 2,5$	22	203	25	13	9,0	79(32,5)	1225(2650)	3(7)
$2 \times 3,0$	22	203	32	14	10,8	96(42,5)	1650(3600)	4(8)

<sup>1)</sup> Pentru AlMg 5(56 S), AlZn MgCu (75 S) și AlMg 7 (58 S) curenți pînă la 10% mai mici. Pentru Al(2 S), AlMgMn (4 S) și AlMgSi(51 S) curenți cu pînă la 10% mai mari.

<sup>2)</sup> Electrozi cu suprafețe plane de contact cu diametrul  $d$ .

<sup>3)</sup> Aceste valori se referă la electrozi cu vîrf sferic; prin urmare se va citi „r” în loc de „d”.

mașini lucrând în condiții grele) un sistem trifazat de alimentare cu montaj de simetrizare, utilizându-se 3-6 ignitroane prin care se reduce totodată frecvența în circuitul de sudare și deci și absorbția de putere reactivă și aparentă, îmbunătățindu-se de asemenea și factorul de putere.

În tabelul 11.10 sînt cuprinse unele valori informative pentru parametrii principali la sudarea prin puncte a aliajelor de aluminiu.

#### Sudarea prin puncte multiple

Pentru a se putea efectua simultan un număr mai mare de suduri prin puncte, se folosesc transformatoare de dimensiuni foarte reduse, însă de putere mare, de exemplu transformatoare în manta, cu miez din oțel siliciu cu grăunți orientați. Acestea prezintă avantajul unei bune distribuții de curent în circuitul primar, precum și avantajul unei posibilități mai bune de adaptare la variația condițiilor în circuitul secundar. În fabricația caroseriilor pentru autoturisme se utilizează prese de sudat cu electrozi multipli, cu aceste mici transformatoare de sudare ca unități interschimbabile pentru cite o anumită piesă de prelucrat. Electrozii sînt dispuși în funcție de configurația spațială a piesei de sudat. Presele de sudare automată în liniile tehnologice, combinate cu mașini pentru prelucrarea tablei (în majoritate prese) și cu transportoare automate, permit automatizarea completă a procesului de producție.

#### Sudarea prin relief

Sudarea prin relief este aplicată cînd se cere sudarea simultană în mai multe puncte a unor piese ștanțate, ambutisate sau presate. Aplicația principală este domeniul fabricării de piese în serie mare, de exemplu în construcția de autovehicule și în industria producătoare de accesorii pentru acestea, în construcția de rezervoare și aparate, în fabricația aparatelor de uz casnic, precum și în alte ramuri industriale asemănătoare.

Dacă de exemplu urmează a fi îmbinate două table, pe una din ele se presează, concomitent cu procesul de ștanțare sau de presare, și bosajele corespunzătoare. Scopul bosajelor este de a concentra curentul și forța de apăsare a electrodului în punctele de sudare. Dispozitivul de sudare, constînd dintr-un electrod superior și unul inferior, trebuie să fie adaptat pieselor de sudat; acestea se introduc între placa superioară și cea inferioară a mașinii, care este asemănătoare unei prese. Forța de apăsare a electrodului se produce prin dispozitive pneumatice sau hidraulice.

Caracteristicile sudării prin relief sînt următoarele:

- a) cu o singură mișcare a electrodului se realizează simultan mai multe sudări prin puncte;
- b) schimb de căldură satisfăcător în cazul sudării unor piese, ale căror dimensiuni variază în limite mari;
- c) dispersie scăzută a rezistenței la forfecare a nucleelor în multe domenii de aplicare, în special la piese la care punctele de sudare sînt foarte apropiate;
- d) durata de serviciu lungă a electrozilor și lucrări de întreținere reduse;
- e) aspectul pieselor sudate este în general îmbunătățit;
- f) procesul poate fi automatizat;
- g) precizia sudării  $\pm 0,1$  mm;
- h) distorsiuni foarte mici, deoarece toate sudurile prin puncte se efectuează simultan.

Sudarea în relief este influențată de următorii factori:

- compoziția materialului;
- proprietățile suprafeței;
- numărul, mărimea și așezarea bosajelor;
- forma și materialul electrozilor;
- forța de apăsare a electrozilor;
- curentul de sudare;
- frecvența de sudare;
- timpul de sudare;
- mărimea ferestrei [produsul între distanța dintre plăcile de stringere și distanța

dintre centrul plăcii de stringere și peretele (partea) din față a mașinii].

Calitatea și durabilitatea sudurii depind de forma bosajelor. Înălțimea bosajelor stă într-un raport specific cu grosimea tablei. Cel mai frecvent se folosesc bosaje rotunde. În fig. 11.19 sînt reprezentate formele mai frecvent folosite ale bosajelor. Tabelul 11.11 cuprinde valori informative, privind datele în legătură cu sudarea prin relief.

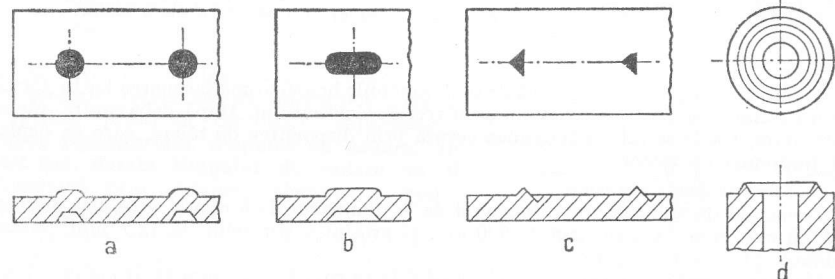


Fig. 11.19. Forme de bosaje:

a - bosaj rotund; b - bosaj alungit; c - bosaj cu vîrf ascuțit; d - bosaj inelar.

Mașinile de sudat prin relief se construiesc pentru curenți de sudare pînă la 150 kA și pentru forțe de apăsare a electrozilor pînă la 10 tf. Mașinile sînt construite pentru alimentarea monofazată sau trifazată. Reglarea forței de apăsare a electrozilor, a curentului și a timpului se realizează printr-un dispozitiv electronic cu ignitroane.

Tabelul 11.11. Valori informative pentru sudare prin relief de table paralele,  $C < 0,15\%$

Grosimea tablei mm	Diametrul bosajului mm	Înălțimea bosajului mm	Pasul bosajelor mm	Curentul de sudare pe bosaj kA	Forța de apăsare pe electrozi kgf	Timpul de sudare, în perioade la 50 Hz
1,0	3	0,75	22	6	105	6-10
1,5	3,5	0,85	24	7	145	10-15
2,0	4	1,0	25	8,5	190	14-20
2,5	4,5	1,1	27	9	240	16-25
3,0	5	1,25	28	10,5	300	20-30
3,5	5,5	1,4	29	11	360	24-35
4,0	6	1,5	30	12	425	27-40
4,5	6,5	1,6	32	13	500	30-45
5,0	7	1,75	33	14	580	34-50

## Sudarea în linie

Sudarea în linie este în principiu un procedeu de sudare continuă prin puncte, folosindu-se electrozi rotativi în formă de role de contact care în general sînt antrenate mecanic. La cusături etanșe, punctele de sudură individuale se suprapun, pe cînd la sudare prin serii de puncte se prevăd de obicei intervale mai mari între impulsurile succesive de curent. La sudarea în linie a tablelor din metale ușoare, sudarea fiecărui punct se face în general în timp ce rolele sînt oprite.

Frecvența normală a curentului alternativ, de exemplu de 50 Hz poate fi folosită fără întreruperea circuitului numai pentru table subțiri, la viteze de sudare mari. În general însă, procedeu cu impulsuri dă rezultate mai satisfăcătoare. O precizie mai mare a dozării impulsurilor de curent se realizează prin reglatoare electronice, care permit reglarea în limite largi a timpului de sudare și a pauzei. Astfel se asigură și reducerea maximă a deformării tablelor.

Regulatorul electronic poate comanda nu numai timpii de sudare și pauzele, ci și cuplajul magnetic pentru deplasarea rolor la sudarea prin puncte cu role, precum și contactorul electromagnetic pentru acționarea forței de apăsare a electrozilor.

## Sudarea țevelor

La fabricarea țevelor din bandă de oțel, muchiile benzii, după fasonarea lor în formă de țevi deschise, se sudează continuu prin trecerea curentului. După debavurare, răcire și îndreptare, țevile se taie la lungimea cerută prin dispozitive de tăiere, care se deplasează împreună cu țeava.

## Sudarea la joasă frecvență

Domeniul de aplicare: țevi, începînd de la diametrul de 6 mm și grosimea peretelui de 0,5 mm, pînă la diametrul de 500 mm și grosimea peretelui de 12,7 mm. Viteza de sudare: pînă la 60 m/min.

Un transformator de sudare cu electrod-rolă se rotește deasupra țevii mobile. Pentru a se realiza etanșeitarea cusăturii la viteze mari de sudare, frecvența curentului trebuie mărită la 150–400 Hz. Curentul de sudare poate să ajungă pînă la 300 kA.

## Sudarea la frecvență medie

Sudarea prin inducție la frecvențe de 4–10 kHz

Sudarea la frecvență înaltă (circa 500 kHz)

a) Sudarea prin conducție, cu alimentarea cu curent printr-un contact alunecător.

b) Sudarea prin inducție, cu inductor elicoidal.

Domenii de aplicare: țevi cu diametrul exterior de la 10 la 520 mm.

Viteza de sudare: pînă la circa 80 m/min (v. tab. 11.12).

Țeava fasonată, deschisă, este trecută printr-un inductor, care înconjoară țeava în spirală, fără a fi în contact cu ea. În cîmpul inductorului, se induce în țeavă un curent de înaltă frecvență, al cărui circuit este constituit din muchiile țevii și punctele

lor de contact. Densitățile scăzute de curent în partea din spatele țevii și densitățile mari de curent la margini și la punctele de contact asigură concentrația de căldură necesară în zona de sudare. Puterea de 60–700 kW, indusă în țeavă, se produce printr-un oscilator cu tuburi electronice (fig. 11.20).

## Reglarea mașinilor de sudat prin presiune

Una din condițiile pentru reglarea timpului la mașinile de sudat prin puncte, prin relief și în linie este condiția ca suprafața tablelor să fie curată. Pentru table acoperite cu straturi de oxizi, există relee de limitare a timpului de sudare, lucrînd în funcție de curent, de putere sau de tensiune; ele nu satisfac însă în întregime cerințele puse.

În timpul sudării prin puncte a tablelor de oțel plane, variația reglării mașinii se poate realiza între anumite limite, în funcție de variația tensiunii rețelei sau de toleranțele pieselor de sudat, printr-un dispozitiv suplimentar, aplicat regulatorului timpului de sudare. În acest caz, durata timpului de sudare va fi influențată prin rezistența electrică a punctului de sudură.

În cazurile de putere de sudare relativ redusă, de frecvență mică a punctelor de sudură și de materiale ușor sudabile, este suficient un singur contactor cu un limitator (regulator al timpului de sudare).

La frecvențe de conectare mai mari, precum și la puteri electrice mai mari, pentru a se obține o dozare exactă a energiei de sudare, partea primară a transformatorului de sudare trebuie să fie reglată printr-un regulator al timpului de sudare, în montaj asincron sau în montaj sincron.

Aceste aparate sînt construite din subansambluri asamblabile.

## Tipuri de bază pentru aparate de reglat:

- Reglarea în ciclu simplu cu și fără acționarea unui ventil magnetic (fără repetare).
- Reglarea în ciclu simplu cu acționarea unui ventil magnetic (cu repetare).
- Reglarea în ciclu complex cu acționarea unui ventil magnetic (fără repetare).
- Reglarea în ciclu complex cu acționarea unui ventil magnetic (cu repetare).
- Reglarea treptelor de curent, cu acționarea unui ventil magnetic.
- Reglarea cusăturii cu acționarea unui ventil magnetic
- Program conform fig. 11.21.

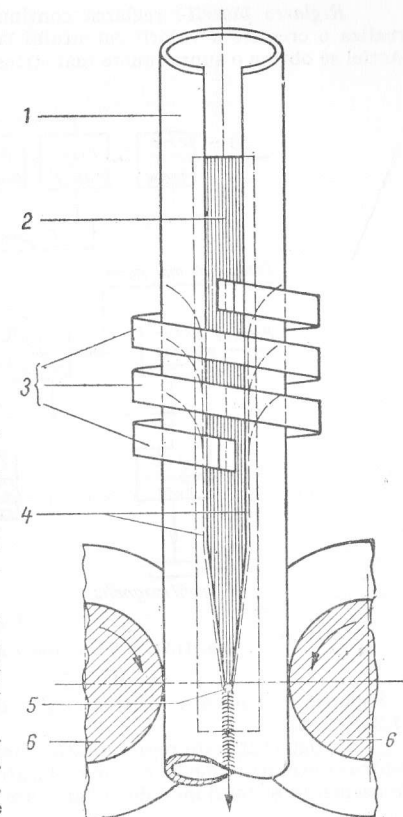


Fig. 11.20. Sudarea țevelor prin inducție cu inductor: 1 — țeavă; 2 — miez magnetic; 3 — inductor; 4 — marginile deschise ale țevii; 5 — punct de sudare; 6 — role de stringere.

Tabelul 11.12. Viteze de sudare  $v$  a țevelor în funcție de grosimea peretelui țevii  $s$ , pentru diferite puteri induse

$s$ , în mm	$v$ , în m/min		
	60 kW	100 kW	250 kW
0,75	80		
1,0	57		
1,5	40		
2,0	31	50	> 80
2,5	24	39	74
3,0	19	32	64
3,5	15	27	55
4,0	13	22	48
4,5	11	18	42
5,0		15	37
5,5		12	33
6,0			28
6,5			25
7,0			22

**Reglarea puterii:** reglarea continuă a intensității curentului. La cerere se poate realiza o creștere a valorii curentului la începerea intervalului în care circulă curentul. Astfel se obține o suprapunere mai strânsă a pieselor de sudat, o împroșcare mai redusă,

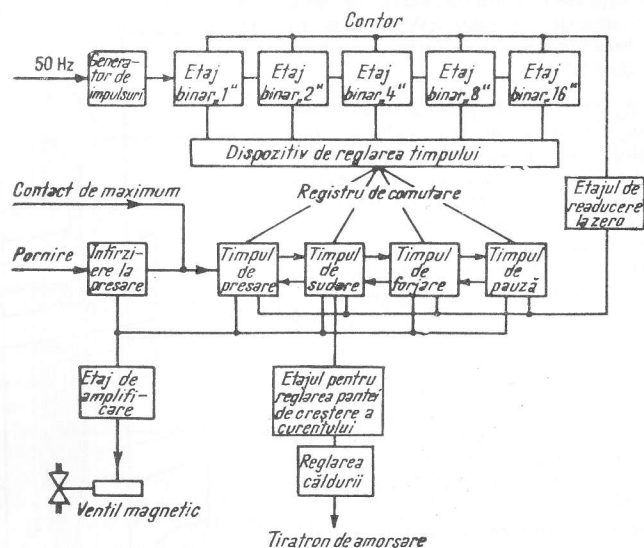


Fig. 11.21. Schema bloc a unui regulator electronic cu ignitron.

o dispersie mai mică a rezistenței și o durată de serviciu mai mare a electrozilor (fig. 11.22).

În fig. 11.23 este reprezentată schema de principiu a unui convertor de frecvență pentru conectarea unei sarcini monofazate la o rețea trifazată. În figură este reprezentată de asemenea și tensiunea de sudare care derivă din cele trei faze ale rețelei.

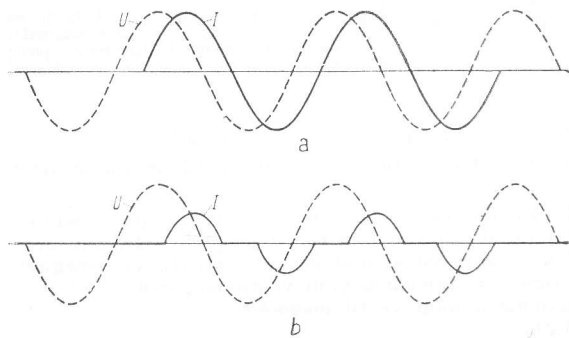


Fig. 11.22. Regulator de timp cu ignitron pentru reglarea puterii. Caracteristicile curentului. Timpul de sudare este de două perioade;  $\cos \varphi = 0,5$ : a — modulație  $0^\circ$ ; b — modulație  $45^\circ$ .

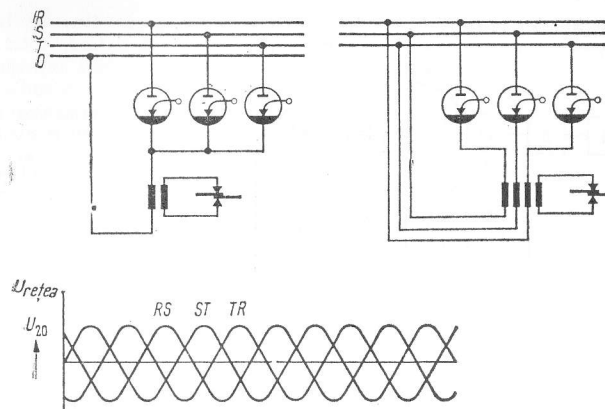


Fig. 11.23. Conectarea trifazată a unei mașini de sudat prin presiune.

Dacă un impuls de curent continuu, a cărui durată maximă este influențată de secțiunea transversală a miezului transformatorului de sudare, nu este suficient, se combină mai multe semialternanțe (fig. 11.24).

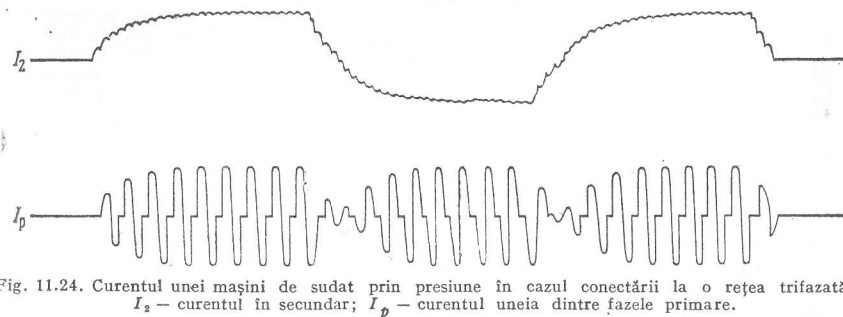


Fig. 11.24. Curentul unei mașini de sudat prin presiune în cazul conectării la o rețea trifazată:  $I_2$  — curentul în secundar;  $I_p$  — curentul uneia dintre fazele primare.

#### Aparate de măsurat

Aparatele de măsurat se folosesc pentru controlul și urmărirea curentului de sudare, a timpului de sudare și a forței de apăsare a electrozilor. În afară de aceasta, în practica curentă se mai măsoară și rezistența de contact a pieselor sudate.

#### Ampermetrul de impuls

Ampermetrul de impuls (fig. 11.25), care măsoară curentul în circuitul secundar, este prevăzut cu un integrator dublu și o unitate de memorare. Gama ampermetrului acoperă curenți de formă predominant nesinusoidală, care circulă în interval de numai câteva perioade.

#### Contorul de perioade

Contorul de perioade (fig. 11.26) este un aparat complet electronic, utilizat pentru controlul timpului prestabilit al reguletoarelor electronice. Contorul se conectează la circuitul secundar al mașinii de sudat prin presiune.



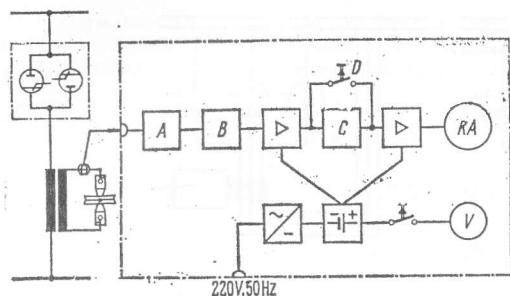


Fig. 11.25. Schema-bloc a unui ampermetru de impuls (tip cu baterie):

A — primul integrator; B — al doilea integrator; C — blocul cu memoria măsurării; D — buton de readucere la zero.

#### Aparatul indicator de măsurat forța de apăsare a electrozilor

O metodă simplă de măsurare a forței electrozilor constă în intercalarea unui aparat, de exemplu, între vîrfurile electrozilor unei mașini de sudat prin puncte. Îndoirea unui inel de oțel produce deviația indicatorului aparatului, forța citindu-se direct pe un cadran etalonat în kilograme-forță.

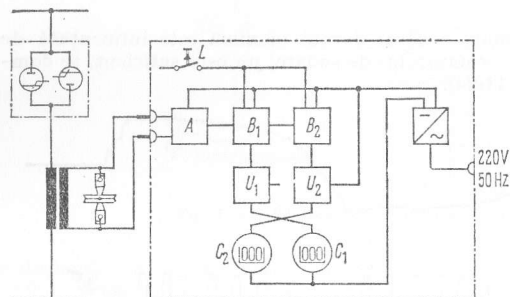


Fig. 11.26. Schema-bloc a unui contor de perioade:

A — blocul de formare a supra-curentului; B<sub>1</sub> — contor binar „unități”; B<sub>2</sub> — contor binar „zeci”; U<sub>1</sub> — transpunere, decada binară „unități”; U<sub>2</sub> — transpunere, decada binară „zeci”; C<sub>1</sub> — indicator „unități”; C<sub>2</sub> — indicator „zeci”; L — buton de readucere la zero.

#### Aparatul înregistrator de măsurat forța de apăsare a electrozilor

În mod frecvent se cere măsurarea forței de apăsare a electrozilor în timpul sudării, cînd nu poate fi utilizat inelul mai sus menționat. În aceste cazuri, se poate folosi aparatul înregistrator OSCILLOMINK, care înregistrează prin cerneală, fiind înzestrat cu un convertor și un transmițător (fig. 11.27).

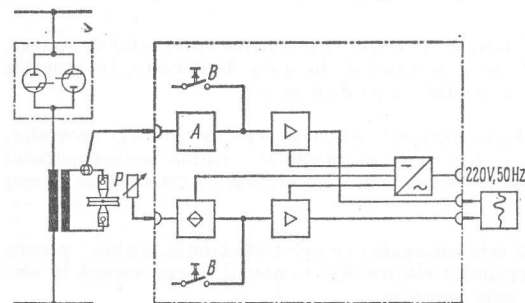


Fig. 11.27. Schema-bloc a convertorului: A — integrator; B — întreruptor de verificare; P — dinamometru.

Dispozitivele utilizate ca transmițătoare de măsură sînt: pentru curent — bobina toroidală fără miez; pentru presiune — indicatoare de presiune; pentru forța de apăsare — aparate de măsurat forța (dinamometre). Semnalele de măsură sînt prelucrate într-un convertor și alimentează un aparat înregistrator pentru înregistrarea a două mărimi. Convertorul integrează semnalul de la bobina toroidală, respectiv transmite, pentru circuitul punții, tensiunea de măsură de la indicatorul de presiune sau de la dinamometru. Utilizîndu-se un înregistrator de tip OSCILLOMINK, se obține o înregistrare continuă și vizibilă a presiunii, a forței și a curentului (fig. 11.28), pentru fiecare ciclu de operații asigurîndu-se astfel realizarea unor sudări prin puncte de înaltă calitate, de exemplu în industria de automobile și de avioane.

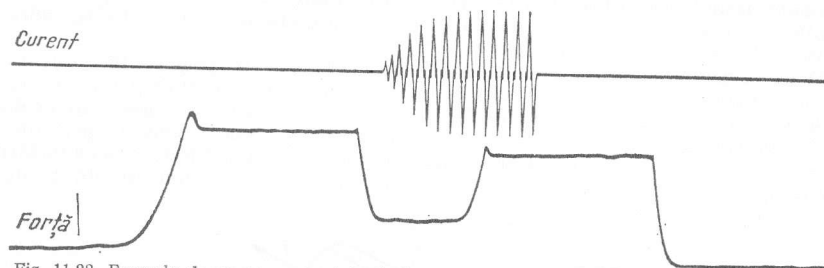


Fig. 11.28. Exemplu de program curent-forță, înregistrat cu un aparat de tip OSCILLOMINK, pentru înregistrarea a două mărimi cu convertor, bobină toroidală și indicator de presiune.

La mașinile de sudat prin presiune, cu alimentare trifazată, măsurarea curentului se efectuează cu un alt aparat, echipat cu un generator Hall. În acest caz, integrarea în convertor nu este necesară.

#### Aparatul de măsurat rezistența de contact

Aparatul de măsurat rezistența de contact (fig. 11.29) a fost dezvoltat pentru controlul stării de pregătire a suprafețelor pieselor de sudat și constă dintr-o presă de încercare și un element indicator. Epruvetele sub formă de bandă sînt prinse între doi electrozi și apăsate cu o presiune de încercare predeterminată. Căderea de tensiune constituie o măsură a rezistenței de contact, deoarece curentul de măsurare este reglat la 20 A. Milivoltmetrul este etalonat direct în microohmi. Controlul rezistenței de contact este necesar cînd se lucrează, în special în industria aeronautică și de automobile, cu aliaje ușoare, după decapare și înainte de sudarea lor prin puncte.

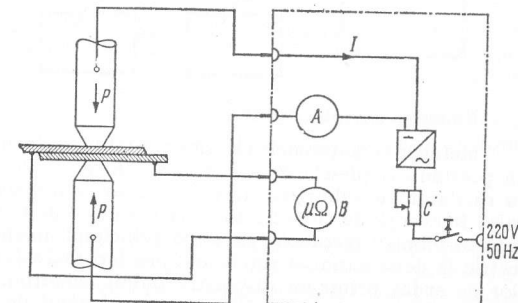


Fig. 11.29. Schema-bloc a aparatului de măsurat rezistența de contact: B — voltmetru, etalonat în  $\mu\Omega$ ; C — reglarea curentului de încercare; I — curentul de încercare; P — forța de apăsare a electrozilor.



### 11.4.3. Procedee speciale de sudare electrică

În afară de procedeele de sudare cu arc electric și prin presiune, în ultimii zece ani s-au mai dezvoltat alte procedee electrice de sudare, care diferă între ele prin aparatul electric necesar și prin efectele obținute.

#### Sudarea țevelor prin curenți de înaltă frecvență

Țevile sînt fasonate din benzi de tablă, iar rostul longitudinal se sudează prin încălzire prin curenți de înaltă frecvență. După ce banda de tablă a trecut prin rolele de fasonare, ieșind sub formă de țeavă, curentul de înaltă frecvență este concentrat în marginile benzii de tablă, care formează un clin; marginile astfel încălzite se sudează în momentul cînd vin în contact una cu alta.

Dacă alimentarea cu curent de înaltă frecvență se face prin contact direct cu marginile benzii de tablă, procedeul este denumit sudare prin curenți de înaltă frecvență cu încălzire prin conducție (fig. 11.30). Dacă curentul de încălzire este indus liniar deasupra interstițiului dintre marginile benzii prin intermediul unei bobine suspendate de înaltă frecvență, procedeul se numește sudare prin curenți de înaltă frecvență cu încălzire prin inducție (fig. 11.31). Pentru țevi cu grosimea peretelui de 6 mm, se obțin viteze de sudare pînă la 60 m/min.

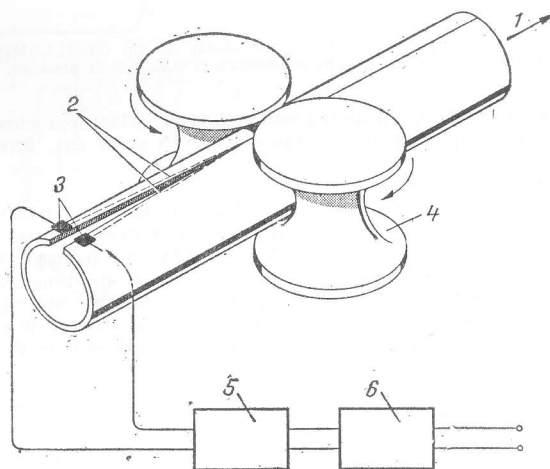


Fig. 11.30. Sudarea țevelor prin curenți de înaltă frecvență cu încălzire prin conducție:

1 — sensul de deplasare a țevii; 2 — curentul de sudare; 3 — contacte alunecătoare (fixate); 4 — role de stringere; 5 — transformator de înaltă frecvență; 6 — generator.

#### Sudarea cu ultrasunete

Metalele și materialele plastice pot fi îmbinate prin sudare cu ultrasunete, frecîndu-se sau presîndu-se piesele de sudat una contra alteia, astfel încît ele să vibreze mecanic. Un oscilator cu tuburi electronice sau un generator tranzistorizat produc un curent de înaltă frecvență de circa 22 kHz, la o putere de 6 kW. Energia electrică este transformată în vibrații mecanice, fie după principiul magnetostricțiunii, fie prin efectul piezoelectric (a doua variantă producînd pierderi mai scăzute). Vibrațiile se transmit materialelor de sudat printr-un dispozitiv numit sonotrod. Capul emițătorului de ultrasunete este adus în poziția potrivită, deasupra locului de sudare.

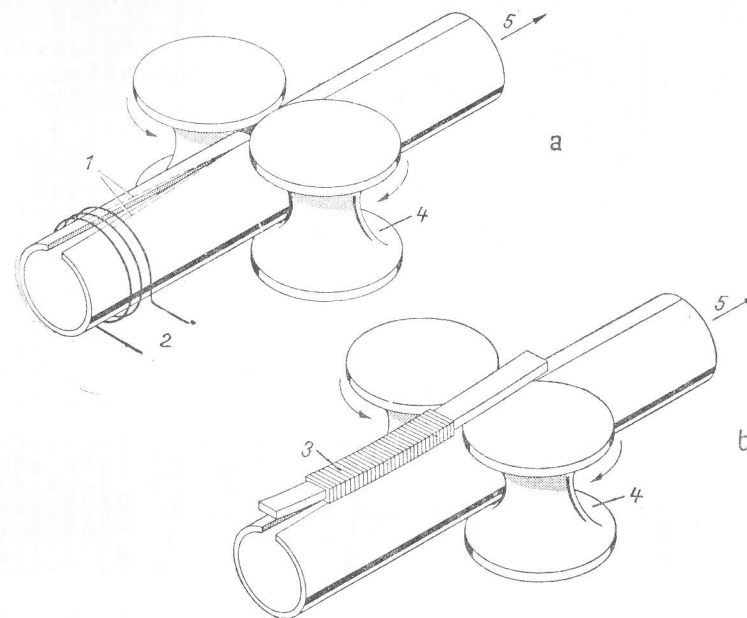


Fig. 11.31. Sudarea prin curenți de înaltă frecvență cu încălzire prin inducție:

a — cu inductor elicoidal; b — cu inductor liniar;  
1 — curent de sudare; 2 — inductor elicoidal; 3 — inductor liniar; 4 — role de stringere;  
5 — sensul de deplasare a țevii.

Pentru sudarea metalelor, vibrațiile ultrasonore sînt incidente paralel cu suprafețele de sudat (fig. 11.32), astfel încît se produce o sudare prin microfrecare. Cele mai potrivite pentru acest procedeu de sudare sînt metalele cu tendința de eroziune și de minjire, de exemplu aluminiul.

Pentru sudarea materialelor plastice, vibrațiile ultrasonore sînt incidente perpendicular pe suprafețele de sudat (fig. 11.33). Energia de reflexie absorbită provoacă topirea zonei de suprafață și sudarea ei. Pentru acest procedeu sînt potrivite numai materialele termoplastice.

În cazul metalelor, se poate proceda și la sudarea în linie. În acest caz, sonotrozii, ale căror capete sînt înzestrate cu discuri, se rotesc împreună cu generatorul de vibrații.

#### Sudarea cu fascicul de electroni

Mașina de sudat cu fascicul de electroni (fig. 11.34) funcționează după principiul unui tub de raze X, cu deosebirea să se utilizeze energia de șoc (energia incidentă) a unui fascicul de electroni. Fasciculul este produs cu o tensiune de 30–200 kV. Sudarea se efectuează prin producerea unui orificiu în material, cu ajutorul unui fascicul precis

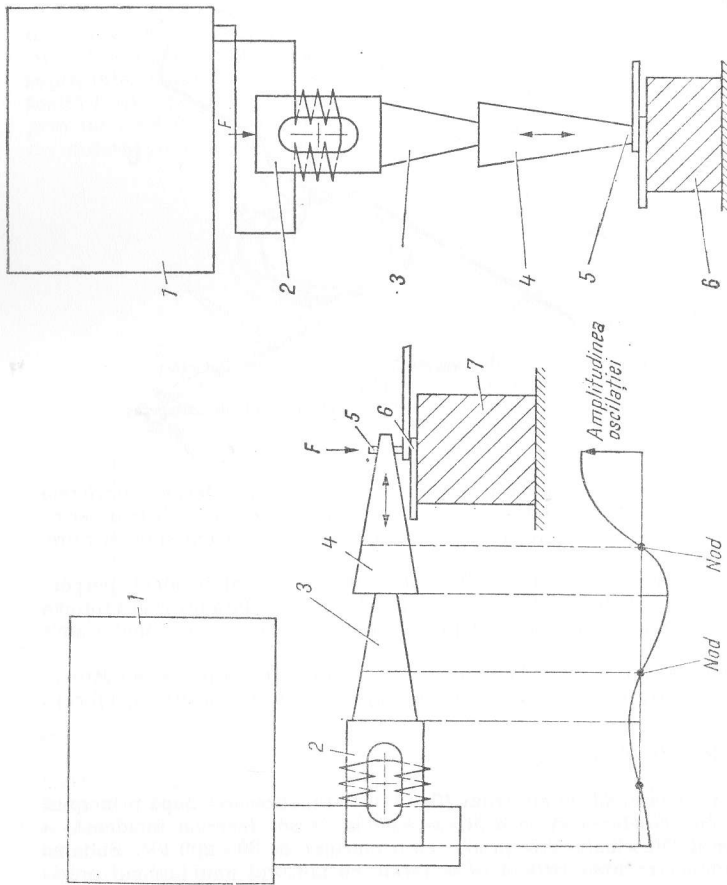


Fig. 11.32. Sudare cu ultrasunete a metalelor (suprafețele fiind frecate una de alta):  
1 — generator de înaltă frecvență; 2 — vibrator magnetostator; 3 — ghidaj de vibrații; 4 — traductor ultrasonor; 5 — sonotrod; 6 — piesă de sudat; 7 — reazem fix.  
„Nod” este punctul de zero al vibrației. Caracteristica vibrațiilor arată distribuția valorilor maxime, iar săgețile duble indică mărimea și direcția vectorilor de vibrații în sistemul de rezonanță.

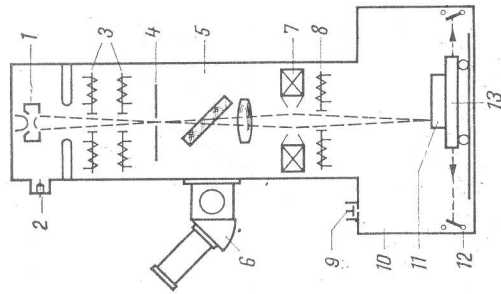


Fig. 11.34. Mașina de sudat cu fascicul de electroni:  
1 — sursa fasciculului de electroni; 2 — măsurarea vidului; 3 — bobine magnetice de reglare; 4 — diafragmă; 5 — camera fasciculului; 6 — obiectivul observatorului; 7 — lentile magnetice; 8 — bobine de focalizare; 9 — supapă de admisie a aerului; 10 — cameră de vid; 11 — piese de sudat; 12 — întrerupător de sfârșit de cursă; 13 — suport pentru piesele de sudat.

Fig. 11.33. Sudare cu ultrasunete a materialelor plastice (suprafețele vibrează una deasupra alteia):  
1 — generator de înaltă frecvență; 2 — vibrator magnetostator; 3 — ghidaj de vibrații; 4 — traductor de ultrasunete; 5 — capul emitorului de ultrasunete este fasonat (adaptat la piesa de sudat); 6 — reazem fix.

focalizat. Acest orificiu se închide continuu, deplasându-se deci de-a lungul cusăturii. Ca rezultat se produc cusături cu lățimi de numai 0,5–1,5 mm, chiar și în cazul unui material cu o grosime de 50 mm și mai mare. Sudurile mai prezintă avantajul că practic nu suferă nici o deformare.

Acest procedeu prezintă inconvenientul că sudarea trebuie efectuată sub vid. Scoaterea afară a fasciculului printr-o ecluză pneumatică în aer ar produce o dispersie prea mare a fasciculului și în consecință o lățire a cusăturii sudate.

Prin evaporarea succesivă a materialului, se pot produce orificii foarte fine, a căror formă depinde însă în foarte mare măsură de secțiunea transversală a fasciculului, precum și de condițiile de focalizare.

#### Sudarea cu fascicul de lumină (laser)

Un fascicul de lumină (laser) poate fi folosit pentru sudat (fig. 11.35). Acest procedeu s-a dovedit a fi deosebit de valoros la microsudarea unor elemente electronice miniaturizate. Fasciculul laser produs de un cristal de rubin sau de un gaz permite o concentrație de energie, care nu poate fi obținută prin nici un alt procedeu. Performanțe mai mari au fost realizate până în prezent numai cu operații de descărcare prin impulsuri. Fasciculul circular de mare precizie permite de asemenea tăierea în metale, în rubine și în diamante microorificii cu precizia cerută.

Primul aparat de sudat cu laser, fabricat în Germania (Siemens UBL 5001), care în prezent se găsește pe piață, este adaptat pentru următoarele scopuri:

- fixarea contactelor pe elemente microelectronice;
- fixarea contactelor în scheme imprimate;
- sudarea sîrmelor izolate;
- sudarea unor elemente mici călite fără deformare;
- sudarea elementelor de ceasornice;
- sudarea prin puncte a materialelor plastice;
- sudarea prin puncte a materialelor ceramice;
- sudarea microtermoelementelor;
- calibrarea unor elemente electronice;
- abraziunea de precizie a unor straturi de metal aplicate prin vaporizare.

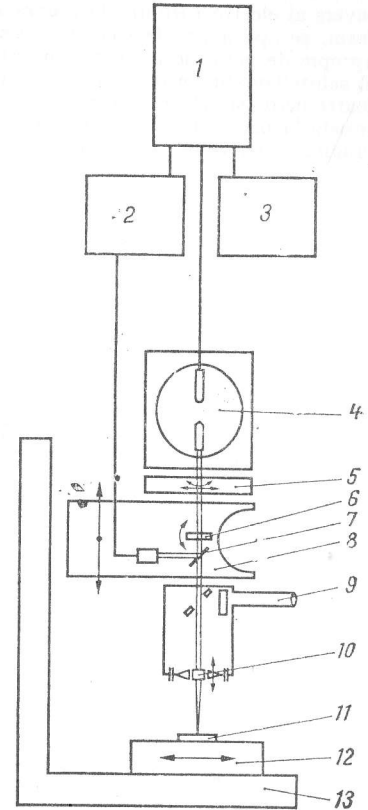


Fig. 11.35. Laser universal pentru prelucrarea materialelor (energia de impuls 10Ws, timpul de impuls 0,4–4 ms, frecvența impulsurilor 25 Hz):

1 — legătura la rețea și la elementele LC;  
2 — regulator pentru energie constantă a laserului;  
3 — regulator pentru tensiune înaltă constantă;  
4 — lampă de impuls și bară de laser în capul de laser;  
5 — reglarea fasciculului;  
6 — oglindă exterioară;  
7 — divizor de lumină;  
8 — suport de fontă;  
9 — sistem optic pentru observator cu filtru;  
10 — obiectiv pentru observator și pentru laser;  
11 — piesă de prelucrat;  
12 — suport mobil; 13 — suport fix de fontă.

## Încărcare prin scînteii cu descărcarea unui condensator

Procedul de încărcare prin scînteii cu descărcarea unui condensator este procesul invers al electroeroziunii. Deasupra materialului de placat, de exemplu carbură de wolfram, se aplică un electrod, care execută oscilații axiale. Ori de cîte ori electrodul se apropie de piesa de prelucrat, intervine o descărcare dintr-un condensator. Ca rezultat al scînteii produse prin descărcare, o particulă din electrod se dizolvă sub o supraîncălzire foarte mare, suficientă pentru a asigura aderența ei pe piesa de lucru, într-un mod care rezistă la uzură. Prin acest proces, durata de serviciu a tășurilor sculelor poate fi prelungită foarte mult. Înălțimea stratului variază între 1 și 20  $\mu\text{m}$ .

## 12. ELECTROCHIMIE

Tabelul 12.1. Echivalenți electrochimici <sup>1)</sup>

	Valența	Greutatea echivalentă g	Cantitatea depusă (teoretică) g/Ah	Randamentul optim de curent (aproximativ) %
Aluminiu .....	3	8,9938	0,33558	85-98
Cadmiu .....	2	56,20	2,0970	90-95
Crom .....	3	17,332	0,64672	—
Crom .....	6	8,666	0,32336	10-18
Cupru .....	1	63,54	2,37090	65-98
Cupru .....	2	31,77	1,18545	97-100
Aur .....	3	65,6556	2,44984	—
Fier .....	2	27,9235	1,04190	95-100
Fier .....	3	18,6156	0,69461	—
Plumb .....	2	103,595	3,86548	95-100
Magneziu .....	2	12,156	0,45358	—
Nichel .....	2	29,355	1,09534	95-98
Nichel .....	3	19,57	0,73022	—
Argint .....	1	107,87	4,02500	98-100
Staniu .....	2	58,345	2,21437	70-95
Staniu .....	4	29,6725	1,10718	70-95
Zinc .....	2	32,685	1,21959	85-98
Hidroxid de potasiu .....	1	56,10937	2,0936	95
Hidroxid de sodiu .....	1	39,99717	1,49243	95
Clor .....	1	35,453	1,32287	95
Hidrogen .....	1	1,00797	0,037610	100
Oxygen .....	2	7,9997	0,29850	100

<sup>1)</sup> Raportați la izotopul  $^{12}\text{C} = 12,000$ .

## 12.1. TEHNICA GALVANIZĂRII

În procesele de galvanizare, straturile de metal se depun în special pe metale de bază, în scopul asigurării unei mai bune protecții împotriva coroziunii, pentru a se mări rezistența la uzură și pentru a se îmbunătăți aspectul. Pentru mărirea gradului de reflexie a metalului, în special în cazul aluminiului pur folosit la oglinzi, se folosesc procedee speciale.

Procesele de galvanizare se combină cu cele de degresare, de decapare și de spălare, în funcție de tipul și numărul de piese ce trebuie tratate. Se folosesc următoarele tipuri de băi (v. tab. 12.3):

- băi statice;
- băi mobile (rotative sau tobe);
- băi statice cu mișcarea pieselor (băi cu mișcare, băi circulare, instalații automate în linie, instalații automate ciclice).

Transformarea gradelor Baumé (°Bé) în kg/l

$$\rho = \frac{m}{m - ^\circ\text{Bé}} \text{ kg/l pentru produse mai grele decât apa;}$$

$$\rho = \frac{m}{m + ^\circ\text{Bé}} \text{ kg/l pentru produse mai ușoare decât apa.}$$

în Germania:  $m = 144,3$ ;

în S U A  $m = 145$ ;

în Olanda  $m = 144$ ;

după scara nouă Gerlach  $m = 146,78$ .

#### Oxidarea electrolitică a aluminiului (ELOXAL)

Tabelul 12.2. Grosimea stratului și consumul de putere în cazul straturilor de eloxare pe aluminiu pur

Procesul	Grosimea stratului $\mu\text{m}$	Tensiunea băii V	Densitatea de curent $\text{A/dm}^2$	kWh/m <sup>2</sup> pentru 15 $\mu\text{m}$
GS	≈ 25–30	13	1,6	1–1,5
GX	≈ 25	60	1	4–5
WX	≈ 15	40	2	6–8

Proprietățile speciale ale stratului de oxid sint: porozitatea fină, culoarea, rezistența mare la coroziune și uzură, efectul decorativ și izolarea electrică stabilă.

Procedeul are un domeniu larg de aplicare, de exemplu: în industriile chimică, farmaceutică și alimentară; pentru acoperirea interioară sau exterioară a multora dintre uneltele folosite curent, a multor articole cu aplicații industriale și casnice; pentru impregnarea cu săruri fotosensibile, în procese fotografice SEO; pentru vopsiri sau imprimări, ca de exemplu la scalele aparatelor de măsurat, diagrame mecanice, panouri, rigle de calcul etc; pentru acoperirea conductoarelor electrice care devin termo-stabile, cu condiția ca tensiunea de lucru să nu fie prea ridicată.

Tabelul 12.3. Caracteristici principale a diferite băi de galvanizare

Tipul băii	Densitatea băii $^\circ\text{Bé}$	Temperatura băii $^\circ\text{C}$	Tensiunea la electrozi V	Densitatea la curent $\text{A/dm}^2$	Grosimea depunerii $\mu\text{m/h}$	Grosimea minimă admisibilă a stratului $\mu\text{m}$	Randamentul curentului catodic %
Plumb	10–11	20–40	0,5–1,0	0,5–1,0	17,04–34,08	10	98–100
Crom (lucios)	30–32	40–45	3,8–4,5	10–20	5,48–10,93	0,3–1	12
Crom (dur)	22	50–55	4–12	30–60	24,59–49,19	24–400	18
Cupru	18–20	20–45	1,5–2	3–6	39,03–78,07	6–150	98
Nichel	25	20–45	1,5–6	1–3	18,45–73,80	3–48	95
Nichel, în tobă	20–24	20–50	6–8	0,5–1	5,57–11,13	3–24	90
Staniu	1,5–2	60–80	2,5–3,5	1–2	12,93–25,86	6–24	85
Staniu	10–11	18–24	0,5–1,5	1–4	28,89–115,56	24	95
Zinc	25	18–30	2–4,5	1–2,5	16,91–42,27	3–48	99
Cadmium (lucios)	14	18–20	1,5–4,5	1–2	23,03–46,06	3–24	95
Cadmium, în tobă	21	18–25	7–14	0,8–1,0	13,36–16,99	3–12	70
Cupru	21	20	1,5–4	0,3–0,5	5,30–8,84	6–12	75
Alamă	17–18	20–24	2,5–3,5	0,3–0,5	5,18–8,63	6–24	70
Argint	3	20	0,5–2	0,2–0,3	7,28–10,92	6–48	95
Argint (lucios)	13	20–30	0,5–1,5	0,5–1,5	18,78–56,34	6–48	98
Zinc	15	18–20	2–4	1–4	14,52–58,08	3–48	85
Zinc, în clopot	22	24–30	9–15	1	11,96	6–24	70

Notă. Electrolitul este cianura de potasiu.

## 12.2. DIFERITE PRO

Tabelul 12.4. Procede

Clasificare	Produse	Procedeu
Procedee electrolitice nemetalurgice	NaOH, Cl <sub>2</sub> , H <sub>2</sub>	Electroliza clorurilor alcaline: 1. Procedeu cu electrod de mercur 2. Procedeu cu diafragmă a) procedeu cu diafragmă orizontală (procedeu Siemens-Billiter) b) procedeu cu diafragmă verticală (de ex. cu elemente Gibbs și Townsend) 3. Procedeu prin stratificare a) cu clopot Aussig b) procedeu cu ecran contra gazelor
	H <sub>2</sub> , O <sub>2</sub>	Electroliza apoasă: 1. Cu elemente unipolare (de ex. celule clopot) 2. Celule bipolare (de ex. celule de trecere, tancuri de descompunere de tipul filtru-presă, sau circulare)
	NaClO <sub>3</sub> H <sub>2</sub> O <sub>2</sub>	Electroliza cloratului de sodiu Procedeu Weissenstein Procedeu Muenchen Procedeu Riedel-Loewenstein
	Perborat de Na (ozon)	
Electrometalurgia soluțiilor apoase	Cu Cupru electrolitic	1. Procedeu cu anodi solubili (rafinarea cuprului) 2. Procedeu cu anodi insolubili
	Zn Zinc electrolitic	1. Procedeu Anaconda, densitate de curent scăzută, conținut scăzut de H <sub>2</sub> SO <sub>4</sub> în electrolit 2. Procedeu Tainton, densitate de curent mare, conținut mare de H <sub>2</sub> SO <sub>4</sub> în electrolit 3. Procedeu combinat Variante ale procedurii Bett
	Pb Plumb electrolitic	
	Fe Fier electrolitic	1. Procedeu acid cu anodi solubili (rafinare) 2. Procedeu Estelle
	Sn Staniu electrolitic	1. Procedeu acid cu anodi solubili (rafinare) 2. Procedeu de îndepărtare a staniului
	Ag Ag rafinat Au Aur rafinat	1. Procedeu Moebius 2. Procedeu Siemens-Moebius Procedeu Siemens-Wohlwill
Electroliza maselor topite	Al	
	Mg	
	Na	

## CEDEE ELECTROCHIMICE

## electrolitice

Compoziția băii	Tensiunea V	Randamentul curentului %	Necesarul de energie
300 g/l clorură alcalină	3,8–4,8	8,7–9,5	3,3–3,6 kWh/kg NaOH
Densități ale hidroxidului de potasiu 1,24–1,26 (180° C)	1,8–2,4	99	4,1–5,3 kWh/m <sup>3</sup> H <sub>2</sub> + 1/2 m <sup>3</sup> O <sub>2</sub>
250 g NaCl/l Acid sulfuric Amoniac Sulfat acid	2,5–4 5	75–90 85	6 kWh/kg NaClO <sub>3</sub> 13–20 kWh/kg H <sub>2</sub> O <sub>2</sub> (35%) 5,2 kWh/kg 10–20 kWh/kg (O <sub>2</sub> )
Acid sulfuric Soluție de CuSO <sub>4</sub>	0,15–0,3 2,5–3	90–95	0,2–0,3 kWh/kg 2,5–3 kWh/kg
Soluție de ZnSO <sub>4</sub>	3–4	≈ 90	3,5–4 kWh/kg
Soluție de fluorosilicat, fluoroborat sau perclorat de plumb	0,4–0,7	85–95	0,18 kWh/kg
Soluție de H <sub>2</sub> SO <sub>4</sub> Soluție stanică Acid azotic Soluție de HCl	3–4 1,6–1,8 0,5 2 2–2,5 ≈ 1	90 80 95	3–3,5 kWh/kg 0,2 kWh/kg 1,8 kWh/kg 0,5–0,7 kWh/kg 0,6 kWh/kg
Aluminiu topit în criolit ≈ 950 °C MgCl <sub>2</sub> cu substanțe alcaline și cloruri alcalino-pământoase NaCl	4,1–6,5 7–7,5 7	95 90 85	17–20 kWh/kg 20 kWh/kg 10–12 kWh/kg



### Procedul VOLTOL pentru tratamentul uleiurilor

Un alt domeniu de aplicare a reacțiilor electrochimice, implicând folosirea vacuului este procedul VOLTOL.

Frecvența 500—10 000 Hz; tensiunea 5 000 V.

### Producerea ozonului

O<sub>3</sub> (o variantă chimic-activă a oxigenului).

Din considerente economice, procesul tehnologic preferabil pentru producerea ozonului este cel cu ajutorul descărcărilor statice, folosindu-se:

— aerul;

— oxigenul.

Frecvența 50—10 000 Hz; tensiunea 8—10 kV. Puterea necesară pentru aer foarte bine uscat este de aproximativ 20 Wh/g de O<sub>3</sub>. Puterea necesară pentru oxigen bine uscat este de circa 10 Wh/g de O<sub>3</sub>. Cu creșterea frecvenței crește de asemenea și productivitatea.

### Aplicațiile produselor de la electroliză

**Clorul:** fabricarea clorului lichid și folosirea lui ulterioară în uzinele de produse organice sau anorganice ale industriei chimice; fabricarea clorurii de var; fabricarea soluției decolorante din lapte de var sau concomitent a soluției de hidroxid de potasiu; producerea acidului clorhidric din H<sub>2</sub> și Cl<sub>2</sub> degajate concomitent.

**Soluția de hidroxid de sodiu:** fabricarea soluției de concentrație comercială de aproximativ 700 g/l cu ajutorul concentrării ulterioare sau fabricarea alcaliilor solide prin topire.

**Hidrogenul:** hidrogenul este folosit în procesele de hidrogenare cu precădere la hidrogenarea grăsimilor și a uleiurilor, în procesele metalurgice ca gaz de protecție, la sudarea și tăierea autogenă și ca combustibil în pilele de combustie.

**Oxigenul:** oxigenul este de asemenea folosit la sudarea și tăierea autogenă, în instalații de respirație artificială, diferite procedee de oxidare, de exemplu în pilele de combustie etc.

**Ozonul:** se utilizează pentru intensificarea și accelerarea proceselor de oxidare ca de exemplu: la purificarea aerului în încăperi; pentru sterilizarea aerului în abatoare și camere de răcire; pentru sterilizarea apei potabile.

În scopuri medicale (pentru tratarea rănilor și pentru inhalații). În industria chimică (uscarea vopselelor, îmbătrânirea artificială a alcoolului și viscozei, producerea vanilinei, decolorare etc.).

**Voltolul:** este folosit la fabricarea uleiurilor lubrifiante de înaltă calitate și a uleiurilor pentru scopuri speciale.

## 12.3. PILE DE COMBUSTIE

În pilele de combustie electrochimice, energia chimică este transformată direct în energie electrică, adică fără a se trece prin etape de randament scăzut de energie calorică sau mecanică, ca în cazul motoarelor termice.

Tensiunea pilei este determinată de către afinitatea  $A$  a componentelor din reacție. În cazul unui proces experimental izotermic și reversibil, sub presiune constantă, oxidarea combustibililor utilizați (hidrogen, hidrazină, hidrocarburi etc.) se va realiza cu o utilizare maximă a energiei libere de reacție  $\Delta G$ . În limbaj termodinamic această cantitate este raportată la entalpia  $\Delta H$  și entropia  $\Delta S$ , conform ecuației:

$$\Delta G = \Delta H - T\Delta S = -nFE$$

în care  $E$ , definește t.e.m. iar  $-T\Delta S$ , pierderea sau câștigul de energie, rezultată din încălzirea sau răcirea pilei. Deoarece t.e.m.  $E = -U$  este egală cu tensiunea fără sarcină, negativă, a pilei, tensiunea teoretică  $U$  este calculată din entalpia  $\Delta H$  și entropia  $\Delta S$ . În cazul unui proces reversibil și izotermic (pentru unități v. tab. 12.5):

$$U = \frac{\Delta G}{nF} = \frac{\Delta G}{n \cdot 23,06} \left[ \frac{\text{kcal}}{\text{kcal/V}} = \text{V} \right]$$

în care  $n$  este numărul echivalentului electrochimic și  $F$  (constanta lui Faraday) = 96487 As/echivalent = 26802 Ah/echivalent.

Tensiunile pilei pentru câteva din cele mai importante reacții sînt date în tabelul 12.5.

Randamentul termodinamic sau termic al unei pile de combustie galvanică este dat de

$$\eta = \frac{\Delta G}{\Delta H} = \frac{\Delta G}{\Delta G + T\Delta S} = \frac{U_n F}{\Delta H}$$

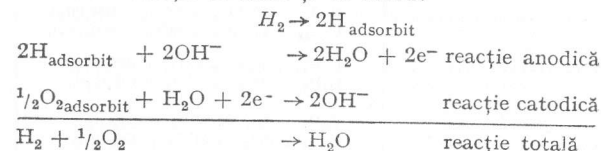
Valoarea randamentului  $\eta$  este funcție de starea gazoasă (g) sau lichidă (fl), în care se prezintă apa ca produs al combustiei.

Randamentul electrochimic se obține în raportul tensiunii la bornele pilei  $U_{ef}$ , care este o funcție de încărcarea pilei și tensiunea teoretică  $\Delta G$  sau  $U$ .

$$\eta^* = \frac{U_{ef} n F}{\Delta G} = \frac{U_{ef}}{U}$$

### Principiul de funcționare a pilei

Principiul de funcționare a pilei va fi explicat pe baza exemplului pilei de hidrogen-oxigen (fig. 12.1). Între doi electrozi poroși este interpus un electrolit cu conductivitate bună (de exemplu 6N KOH, H<sub>2</sub>SO<sub>4</sub>, H<sub>3</sub>PO<sub>4</sub>, v. fig. 12.2). Fig. 12.3 reprezintă dependența solubilității și punctului de fierbere în raport cu concentrația, în % de greutate, a soluției de KOH la o presiune de 1 atm. Anodul (polul negativ) este înconjurat de hidrogen la o anumită presiune, iar catodul (polul pozitiv) de către oxigen. Între cei doi poli ai acestei pile apare la temperatura mediului ambiant o tensiune în gol de circa 1,15 V. Apar următoarele reacții la anod și la catod:



\* 1 joule = 0,239 cal/Ws = 0,239 cal/CP

$$F = 0,239 \times 96\,487 = 23,06 \frac{\text{cal}}{\text{CP} \times \text{echivalent electrochimic}}$$

Tabelul 12.5. Caracteristici termodinamice privind cele mai

Combustibil	Reacțiile din pile	$\Delta H$ kcal/mol
Amoniac .....	$\text{NH}_3 + \frac{3}{4}\text{O}_2 \rightarrow \text{N}_2 + \frac{3}{2}\text{H}_2\text{O}(\text{fl})$	- 91,440
Benzen .....	$\text{C}_6\text{H}_6 + 7\frac{1}{2}\text{O}_2 \rightarrow 6\text{CO}_2 + 3\text{H}_2\text{O}(\text{g})$	- 757,532
Benzen .....	$\text{C}_6\text{H}_6 + 7\frac{1}{2}\text{O}_2 \rightarrow 6\text{CO}_2 + 3\text{H}_2\text{O}(\text{fl})$	- 789,092
Carbon (grafit) .....	$\text{C} + \frac{1}{2}\text{O}_2 \rightarrow \text{CO}$	- 26,416
Carbon (grafit) .....	$\text{C} + \text{O}_2 \rightarrow \text{CO}_2$	- 94,052
Monoxid de carbon .....	$\text{CO} + \frac{1}{2}\text{O}_2 \rightarrow \text{CO}_2$	- 67,636
Etilenă .....	$\text{C}_2\text{H}_4 + 3\text{O}_2 \rightarrow 2\text{CO}_2 + 2\text{H}_2\text{O}(\text{g})$	- 316,200
Etilenă .....	$\text{C}_2\text{H}_4 + 3\text{O}_2 \rightarrow 2\text{CO}_2 + 2\text{H}_2\text{O}(\text{fl})$	- 337,240
Etan .....	$\text{C}_2\text{H}_6 + 3\frac{1}{2}\text{O}_2 \rightarrow 2\text{CO}_2 + 3\text{H}_2\text{O}(\text{g})$	- 341,268
Etan .....	$\text{C}_2\text{H}_6 + 3\frac{1}{2}\text{O}_2 \rightarrow 2\text{CO}_2 + 3\text{H}_2\text{O}(\text{fl})$	- 372,828
Acid formic .....	$\text{HCOOH} + \frac{1}{2}\text{O}_2 \rightarrow \text{CO}_2 + \text{H}_2\text{O}(\text{g})$	- 54,052
Acid formic .....	$\text{HCOOH} + \frac{1}{2}\text{O}_2 \rightarrow \text{CO}_2 + \text{H}_2\text{O}(\text{fl})$	- 64,572
Formaldehidă .....	$\text{CH}_2\text{O} + \text{O}_2 \rightarrow \text{CO}_2 + \text{H}_2\text{O}(\text{g})$	- 124,152
Formaldehidă .....	$\text{CH}_2\text{O} + \text{O}_2 \rightarrow \text{CO}_2 + \text{H}_2\text{O}(\text{fl})$	- 134,672
Glicol .....	$\text{C}_2\text{H}_6\text{O}_3 + 2\frac{1}{2}\text{O}_2 \rightarrow 2\text{CO}_2 + 3\text{H}_2\text{O}(\text{g})$	- 252,924
Glicol .....	$\text{C}_2\text{H}_6\text{O}_3 + 2\frac{1}{2}\text{O}_2 \rightarrow 2\text{CO}_2 + 3\text{H}_2\text{O}(\text{fl})$	- 284,484
Hidrazină .....	$\text{N}_2\text{H}_4 + \text{O}_2 \rightarrow \text{N}_2 + 2\text{H}_2\text{O}(\text{fl})$	- 148,690
Hidrogen .....	$\text{H}_2 + \frac{1}{2}\text{O}_2 \rightarrow \text{H}_2\text{O}(\text{g})$	- 57,800
Hidrogen .....	$\text{H}_2 + \frac{1}{2}\text{O}_2 \rightarrow \text{H}_2\text{O}(\text{fl})$	- 68 320
Hidrogen .....	$\text{H}_2 + \text{Cl}_2 \rightarrow 2\text{HCl}(\text{g})$	- 44,120
Hidrogen .....	$\text{H}_2 + \text{Cl}_2 \rightarrow 2\text{HCl}(\text{aq})$	- 80,040
Metan .....	$\text{CH}_4 + 2\text{O}_2 \rightarrow \text{CO}_2 + 2\text{H}_2\text{O}(\text{g})$	- 191,763
Metan .....	$\text{CH}_4 + 2\text{O}_2 \rightarrow \text{CO}_2 + 2\text{H}_2\text{O}(\text{fl})$	- 212,803
Metanol .....	$\text{CH}_3\text{OH} + 1\frac{1}{2}\text{O}_2 \rightarrow \text{CO}_2 + 2\text{H}_2\text{O}(\text{g})$	- 152,632
Metanol .....	$\text{CH}_3\text{OH} + 1\frac{1}{2}\text{O}_2 \rightarrow \text{CO}_2 + 2\text{H}_2\text{O}(\text{fl})$	- 173,672
n-Butan .....	$\text{C}_4\text{H}_{10} + 6\frac{1}{2}\text{O}_2 \rightarrow 4\text{CO}_2 + 5\text{H}_2\text{O}(\text{g})$	- 635,396
n-Butan .....	$\text{C}_4\text{H}_{10} + 6\frac{1}{2}\text{O}_2 \rightarrow 4\text{CO}_2 + 5\text{H}_2\text{O}(\text{fl})$	- 687,996
n-Hexan .....	$\text{C}_6\text{H}_{14} + 9\frac{1}{2}\text{O}_2 \rightarrow 6\text{CO}_2 + 7\text{H}_2\text{O}(\text{g})$	- 928,952
n-Hexan .....	$\text{C}_6\text{H}_{14} + 9\frac{1}{2}\text{O}_2 \rightarrow 6\text{CO}_2 + 7\text{H}_2\text{O}(\text{fl})$	- 1002,592
n-Octan .....	$\text{C}_8\text{H}_{18} + 12\frac{1}{2}\text{O}_2 \rightarrow 8\text{CO}_2 + 9\text{H}_2\text{O}(\text{g})$	- 1222,796
n-Octan .....	$\text{C}_8\text{H}_{18} + 12\frac{1}{2}\text{O}_2 \rightarrow 8\text{CO}_2 + 9\text{H}_2\text{O}(\text{fl})$	- 1317,476
n-Pentan .....	$\text{C}_5\text{H}_{12} + 8\text{O}_2 \rightarrow 5\text{CO}_2 + 6\text{H}_2\text{O}(\text{g})$	- 782,060
n-Pentan .....	$\text{C}_5\text{H}_{12} + 8\text{O}_2 \rightarrow 5\text{CO}_2 + 6\text{H}_2\text{O}(\text{fl})$	- 845,180
Propan .....	$\text{C}_3\text{H}_8 + 5\text{O}_2 \rightarrow 3\text{CO}_2 + 4\text{H}_2\text{O}(\text{g})$	- 488,536
Propan .....	$\text{C}_3\text{H}_8 + 5\text{O}_2 \rightarrow 3\text{CO}_2 + 4\text{H}_2\text{O}(\text{fl})$	- 530,616
Sodiu .....	$\text{Na} + \frac{1}{2}\text{H}_2\text{O} + \frac{1}{4}\text{O}_2 \rightarrow \text{NaOH}(\text{aq})$	- 78,080
Zinc .....	$\text{Zn} + \frac{1}{2}\text{O}_2 \rightarrow \text{ZnO}$	- 83,170

Factorul de transformare pentru calorii în Joule internațional: 1 cal (15 °C) = 4,18933 Joule interna

importante reacții în pile. Tensiunile pilelor și randamentele termice

$\Delta S$ cal mol $\times$ grd	$\Delta G$ la 25°C kcal mol	Echivalentul electrochimic n	U		$\eta = \frac{\Delta G}{\Delta H}$ la 25°C (%)
			la 25 °C V	la 100 °C V	
- 34,797	- 81,071	3	1,172	1,134	88,6
+ 9,834	- 760,462	30	1,099	1,100	100,3
- 75,336	- 766,642	30	1,108	1,100	97,1
+ 21,439	- 32,804	2	0,711	0,746	124,1
+ 0,697	- 94,259	4	1,02	1,02	100,2
- 20,741	- 61,456	2	1,33	1,299	90,8
- 7,207	- 314,053	12	1,134	1,15	99,3
- 63,987	- 318,172	12	1,149	1,15	94,3
+ 11,092	- 344,573	14	1,067	1,0698	100,9
- 74,078	- 350,753	14	1,086	1,069	94
+ 40,850	- 66,225	2	1,435	1,052	122,5
+ 12,460	- 68,285	2	1,480	1,502	105,7
- 5,092	- 122,635	4	1,329	1,325	98,7
- 33,482	- 124,695	4	1,351	1,325	92,5
+ 75,045	- 275,287	10	1,193	1,218	108,8
- 10,125	- 281,467	10	1,220	1,218	98,9
+ 1,254	- 149,063	4	1,616	1,617	100,2
- 10,601	- 54,641	2	1,185	1,167	94,5
- 38,991	- 56,701	2	1,229	1,167	82,9
+ 4,740	- 45,532	2	0,987	0,995	103,2
- 58,160	- 62,709	2	1,356	1,265	78,3
- 1,225	- 191,398	8	1,0375	1,037	99,8
- 58,005	- 195,518	8	1,0598	1,036	91,8
+ 37,477	- 163,800	6	1,183	1,204	107,3
- 19,303	- 167,920	6	1,213	1,204	96,6
+ 37,175	- 646,474	26	1,078	1,08	101,7
- 104,775	- 656,774	26	1,095	1,08	95,4
+ 64,158	- 948,071	38	1,08	1,087	102
- 134,572	- 962,490	38	1,098	1,087	96
+ 91,121	- 1249,950	50	1,084	1,090	102,2
- 164,389	- 1268,489	50	1,100	1,090	96,2
+ 50,671	- 797,159	32	1,080	1,085	101,9
- 119,669	- 809,519	32	1,097	1,085	95,7
+ 24,098	- 495,717	20	1,075	1,078	101,4
- 89,462	- 503,957	20	1,09	1,078	94,9
- 20,910	- 71,849	1	3,116	3,047	92
- 23,951	- 76,033	2	1,649	1,609	91,4

gionale; 1 cal (20 °C) = 4,18121 Joule internațional; (g) - gaz; (fl) - lichid; (aq) - apos.

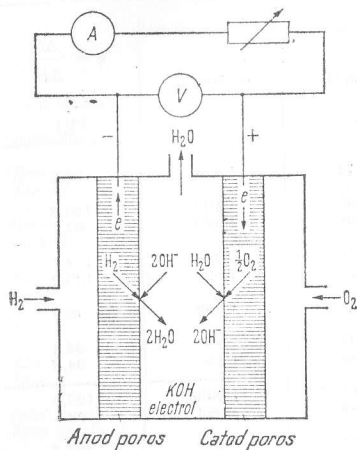


Fig. 12.1. Principiul funcționării pilei de combustie  $H_2/O_2$ .

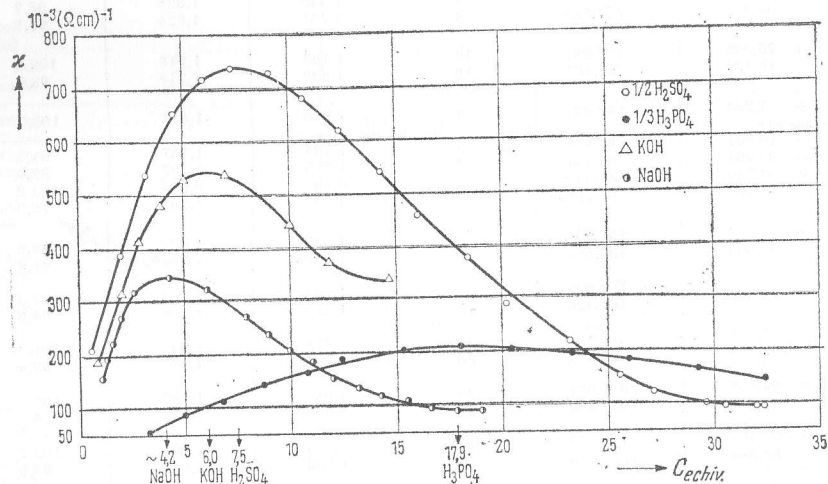


Fig. 12.2. Conductivitatea diferiților electroliți pentru pile. Conductivitatea specifică  $\kappa$  ca funcție de  $C_{echiv}$  la 18°C.

Catalizatori adecvați, în afară de platină și argint, sînt spinelii ca de exemplu:  $CoAl_2O_4$  sau compuși cu Fe-Mn-Ag încorporați în electrozi de carbon poros. Metalele din grupa fierului și a platinei din tabelul lui Mendeleev, folosite drept catalizatori pentru electrodul de hidrogen s-au dovedit a fi cele mai satisfăcătoare, acești catalizatori reglînd foarte bine potențialul reversibil calculat al hidrogenului.

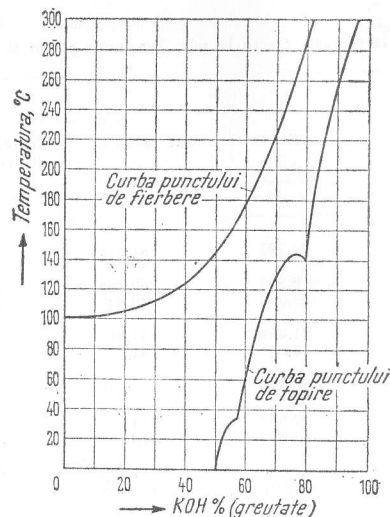


Fig. 12.3. Dependența solubilității și punctului de fierbere de concentrație, în %, a soluției de KOH la 1 at.

### Tipuri de electrozi și pile

În legătură cu cataliza, structura geometrică a electrozilor este un factor critic. Se deosebesc două tipuri de electrozi în concordanță cu tipul proceselor care apar la fiecare din ei:

- electrozi poroși cu trei faze de separație (gazul de reacție/electrod/electrolit);
- electrozi cu suprafață mare cu două faze de separație (amestec de electrolit cu combustibil/electrod și gazul de reacție-electrod/electrolit) (v. fig. 12.4).

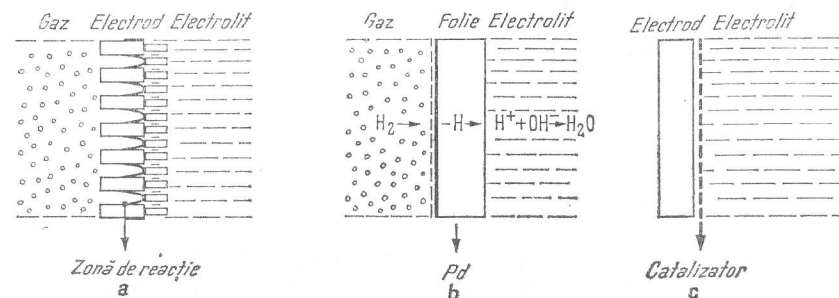


Fig. 12.4. Electrozi cu două sau trei faze de separație, arătînd tipurile de reacție în care se produce curentul și tensiunea:

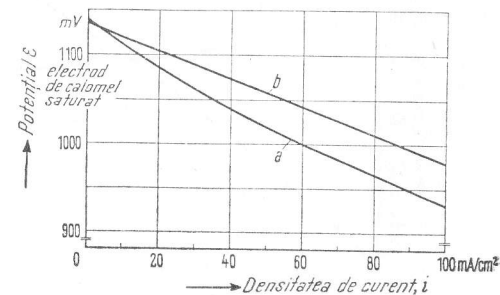
- a — electrod cu dublu strat și trei faze de separație (gaz de reacție/electrod/electrolit :  $H^+ + OH^- \rightarrow H_2O$ );  
b — electrod din folie cu două faze de separație (gaz de reacție/electrod/electrolit); c — electrod cu două faze de separație (electrod/amestec electrolit-combustibil).

Electrozii poroși sînt aproape fără excepție construiți ca electrozi cu dublu strat pentru a asigura o degajare gazoasă de 100%.

Fig. 12.5 reprezintă curbele curent/tensiune ale electrodului de pulbere catalitică cu straturi de acoperire și suport pentru operații de hidrogen (la 23°C și 1,3 at). Sarcina pe electrod ( $mA/cm^2$ ) poate fi mărită substanțial printr-un tratament prealabil adecvat al catalizatorului.

Principiul de bază și dotarea pilei cu electrozi cu suprafața mare de difuzie a gazului (electrozi suport) realizat de Siemens, sînt reprezentate în fig. 12.6. Curba curent-tensiune și randamentul într-o pilă cu hidrazină-oxigen, construită de Siemens — model

Fig. 12.5. Curbă curent-tensiune a anozilor de hidrogen de hidrogen: a — catalizator netratat; b — catalizator pretrat.



în scopul ilustrării demonstrative și în scopuri didactice — poate fi văzută în fig. 12.7. Anodul pilei este construit în formă de plasă metalică (cu două faze de separație) iar catodul din carbon poros (cu trei faze de separație) după principiul electrodului suport.

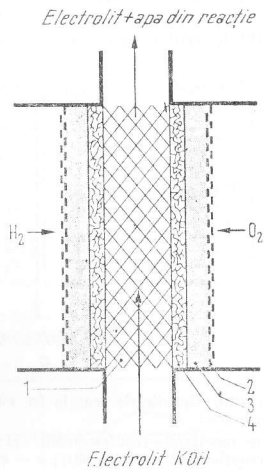


Fig. 12.6. Alcătuirea unei pile cu electrod suport cu pulbere catalitică: 1 — scheletul suport; 2 — grila de nichel; 3 — catalizator; 4 — hirtie de azbest.

În timp ce combustibilul hidrazină este adăugat la electrolit și circulă spre anod, catodul se alimentează cu oxigen la o presiune de 1,4 at.

Clasificarea pilelor de combustie se poate face după un număr mare de criterii. Câteva date caracteristice și tipuri au fost rezumate în tabelele 12.6 și 12.7. Aceste tabele nu se pot considera însă complete.

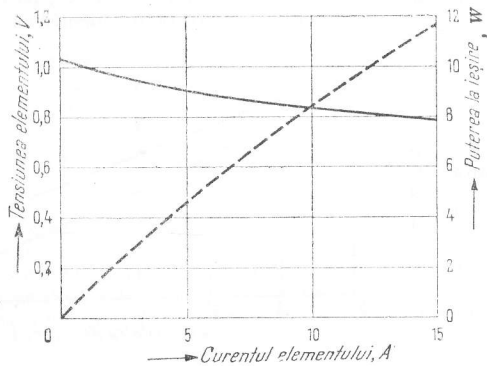


Fig. 12.7. Curba curent-tensiune și randamentul dependent de curentul pilei pentru o pilă de combustie cu hidrazină-oxigen.

Tabelul 12.6 Clasificarea pilelor de combustie în funcție de temperatură

Tipul pilei de combustie	Domeniul de temperatură °C	Electrozii	Electrolitii	Combustibilul	Agentul oxidant
Pile de temperatură joasă .....	0 — 150	Electrozi de carbon poros și metal cu trei zone de separație, electrozi de metal și carbon cu înveliș catalitic și două zone de separație Anod: electrozi de nichel poros, electrod Pd sau folie Pd-Ag. Catod: electrozi Ni-NiO (îm bogătit cu Li)	5 — 12 n KOH 5 — 6 n H <sub>2</sub> SO <sub>4</sub> 3 — 6 n H <sub>3</sub> PO <sub>4</sub> Membrana schimbătoare de ioni HClO <sub>4</sub>	H <sub>2</sub> , hidrazină H <sub>2</sub> N <sub>2</sub> , amalgam de sodiu, propan și alte hidrocarburi, alcooli, aldehide	O <sub>2</sub> , aer H <sub>2</sub> O <sub>2</sub> , Cl <sub>2</sub> Br <sub>2</sub> , NO <sub>2</sub> , HClO <sub>2</sub> , HBO <sub>2</sub>
Pile de temperatură medie .....	150 — 250		45 % KOH la 28,5 at sau 80—85% KOH la 2—8 at presiune a gazului NaOH-KOH topitura eutectică	H <sub>2</sub> (pur) Electrozi folie, gaz de reforming, gaz de builă	O <sub>2</sub> (pur) O <sub>2</sub> (aer)
Pile de temperatură înaltă .....	550 — 800	Electrozi de Ni, Co, Fe, Cu și Ag/ZnO	Topituri de carbonați (eutectice) în formă de pastă sau MgO aglomerat	H <sub>2</sub> (impur) CO, hidrocarburi	O <sub>2</sub> (impur) Aer
Pile de temperatură foarte înaltă .....	800 — 1100	Electrozi de Pt	Electrolit solid constând din ZrO <sub>2</sub> cu CaO și Y <sub>2</sub> O <sub>3</sub>	H <sub>2</sub> (impur) CO, hidrocarburi	Aer

Tabelul 12.7. Proveniența și capacitățile

Tipul pilei de combustie	Anodul	Catodul
F.T. Bacon Pilă de combustie $H_2/O_2$	Electrod poros de Ni în dublu strat	Electrod poros de Ni-NiO (imbogățit cu Li)
Pratt și Whitney Pilă de combustie $H_2/O_2$ din proiectul Apollo Pilă de combustie gaz natural/aer	Anod Bacon modificat	Catod Bacon modificat Catod Ni-Co
E. Justi și A. Winsel Electrozi DSK Pilă de combustie $H_2/O_2$	Electrod Ni-DSK	Electrod de argint-DSK
Varta Pilă de combustie $H_2/O_2$ Metanol/ $O_2$	Electrod Ni-DSK	Electrod de argint
Siemens AG Pilă de combustie $H_2/O_2$ Hidrazină/ $O_2$	Electrod suport cu pulbere catalitică Platină pe grilă metalică	Electrod suport cu pulbere catalitică Cărbune (Ag)
E. Yeager Pilă amalgam	Oțel + Na-amalgam	Cărbune poros
Union Carbide K. Kordesch Pile de combustie $H_2/O_2$ , $H_2$ /aer, hidrazină/aer	Electrod de cărbune poros hidrofobizat pe Ni cu platină	Electrod de cărbune poros hidrofobizat pe Ni cu spineli Ag, Pt
General electric Proiectul Gemini a) Grubb și Niedrach Pilă de combustie cu membrană schimbătoare de ioni $H_2/O_2$ b) Niedrach, Liebhavsky Pilă de combustie Young KW	Electrozi din platină poroasă 8,8 mg Pt/cm <sup>2</sup> Electrozi de platină poroasă	Electrozi de platină poroasă 8,8 mg Pt/cm <sup>2</sup> Electrozi de platină poroasă
Allis Chalmers Pile de combustie $H_2/O_2$ $N_2$ $H_2/O_2$	Nichel sinterizat cu Pt și Pd Idem	Nichel sinterizat cu Pt și Pd Ag și Ni sinterizat (hidrofobizat)
ASEA — Suedia Pilă de combustie $H_2/O_2$	Nichel sinterizat cu borați de Ni	Nichel sinterizat cu Ag sau Pd-Ag
Brown Boveri (Elveția) Pilă de combustie $H_2/O_2$	Platină pe metal poros 1–3 mg Pt/cm <sup>2</sup> (Raney-Ni monoskeleton MSK)	Cărbune hidrofobizat
CGE (Franța)	Electrod de Ag-Ni	Electrod de Ag-Ni poros

diferitelor tipuri de pile de combustie

Electrolitul	Temperatura de lucru °C	Presiunea gazului at	Densitatea de curent mA/cm <sup>2</sup>	Tensiunea pilei V	Elemente construite sau planificate
45% KOH	200–250	29,5	200	0,6	5 kW
85% KOH	200	2	200	0,9	560–1420 W/24 V 360 kWh 4 kW
6 n KOH	20–85	2–3	50–100	0,6–0,9	
6 n KOH	20–85	2–3	50–100	0,8	50 W/6 V 250/750 W/12 V 1,5/5/10 kW/24 V 35 W/6 V
6 n KOH 6 n KOH + $N_2H_4$	20–60 20–60	1,2–1,7 1,4	50–100 30–100	0,8–0,9 0,5–0,9	500 W/24 V 10 W/0,7 V
6 n KOH	60	—	400	1,4	16 kW/10 V
8–9 n KOH	20–60	1,5–2	50–200	0,82 0,76	500 W/28 V 30 kW/400 V 4 kW/28 V 300 W
Cationi	20–60	1,55–1,62	30–50	0,7	1 kW/26 V 1,5 kW
3 n $H_2SO_4$ sau $H_3PO_4$	90–150	1,5	15–90	0,5	
6 n KOH și azbest ca purtător al electrolitului	20–80 70–80	1,5–2	190–210 100–200	0,8 0,6–0,7	200 W/30 V 4 unități 450–700 W
6 n KOH	70–80	2–2,5	80–120	0,7	5 kW 200 kW/24 V pentru submarine
10 n KOH + 4,5 mg $CH_3OH$ 6 n KOH	5–30	—	2–10	0,4–0,8	50 W 3 kW
6 n KOH	60–80	2–3	250	0,75	1 kW



## Domeniul de aplicație al pilelor de combustie

Pilele de combustie sînt folosite: ca înlocuitori ai bateriilor de acumuloare și ai pilelor clasice; ca o nouă sursă de energie în zborurile spațiale, avînd un randament mare și o bună siguranță în funcționare, de exemplu în cazul proiectelor Gemini și Apollo, în SUA; ca ansambluri independente fixe, în locuri greu accesibile, de exemplu în cazul stațiilor de rele radio și TV, în instalații de semnalizare, stații radio și meteo; în ansambluri de alimentare improvizate; ca înlocuitoare ale motoarelor cu ardere internă ale autovehiculelor comerciale, navelor de pasageri, submarinelor, tractoarelor, autoîncărcătoarelor, încărcătoarelor cu braț; în stațiile de acumulare prin pompare etc.

## 12.4. BATERII DE ACUMULATOARE

Pilele galvanice, în care reacția care rezultă în timpul debitării curentului, poate fi realizată aproape complet reversibilă prin reîncărcare ulterioară, se numesc baterii de acumuloare sau acumuloare.

*Acumuloare cu plăci de plumb.* Următoarele valori se aplică stării de repaus, atunci cînd nu are loc nici încărcare și nici descărcare (debitare):

- tensiunea în gol corespunzătoare densității acidului (în  $\text{kg/dm}^3$ ):  $+0,85 \text{ V}$ ;
- densitatea acidului (în  $\text{kg/dm}^3$ ) corespunzătoare tensiunii în gol:  $-0,85 \text{ V}$ .

În scopul compensării variațiilor de tensiune în timpul încărcării și descărcării, se folosesc regulatoare de comutare. Încărcarea automată se efectuează cu ajutorul comutatoarelor Pohler și Siemens (acestea însă nu corespund întru totul acumuloarelor alcaline).

Tabelul 12.8. Capacitatea la diferiți timpi de descărcare raportată la o perioadă de descărcare de trei ore

Durata de descărcare, h ....	1	2	3	5	7,5	10
Capacitatea, Ah .....	0,69	0,83	1	1,11	1,25	1,33
Tensiunea finală, V .....	1,75	1,75	1,83	1,83	1,83	1,83

Tabelul 12.9. Punctele de îngheț ale acumuloarelor

	Unitatea de măsură	Încărcat	Semiîncărcat	Descărcat
Densitatea acidului.....	$^{\circ}\text{Bé}^2)$ $\text{kg/dm}^3$	32 (27) <sup>3)</sup> 1,285 (1,23)	23 (18) 1,19 (1,14)	16...14 (11...9) 1,12...1,11 (1,08...1,06) <sup>4)</sup>
Punctul de <sup>1)</sup> îngheț	$^{\circ}\text{C}$	- 65 (- 40)	- 23 (- 13)	- 11... - 9 (- 6... - 4)

Trebuie respectate instrucțiunile de exploatare a acumuloarelor, ale furnizorului.

Camera acumuloarelor sau magazia trebuie să fie bine ventilată (se degajează oxigen și hidrogen).

<sup>1)</sup> Cifrele în paranteze sînt aplicabile la tropice.

<sup>2)</sup> Măsurat cu hidrometrul.

<sup>3)</sup> La  $20^{\circ}\text{C}$ .

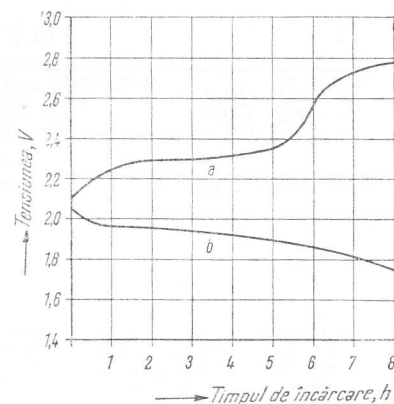


Fig. 12.8. Variația tensiunii în timp la acumuloarele cu plăci de plumb: a — încărcare; b — descărcare (debitare).

*Acidul acumulatorului.* La electrozi nesulfatați, densitatea acidului pentru un acumulator în stare de repaus este un indiciu al stării de încărcare. Acumuloarele trebuie protejate împotriva înghețului, deoarece acumulatorul înghețat nu debitează curent.

În general, înghețul nu dăunează atîta timp cît acidul nu distruge elementele; iar acumuloarele pot funcționa normal și după dezghețare. Pentru punctele de îngheț v. tabelul 12.9.

Tabelul 12.10. Structura, date de exploatare

Structura și date de exploatare	Acumulatori cu plăci de plumb	Acumulatori nichel-cadmium (cu electrozi casete)
Pila	Pilă în înveliș plastic, sticlă sau ebonită cu electrozi pozitivi armați și grilă negativă	Pilă în înveliș de oțel nichelat cu electrozi casete pozitiv și negativ
Electrodul pozitiv	Bioxid de Pb ( $PbO_2$ )	Oxihidrat de nichel ( $NiOOH$ )
Electrodul negativ	Plumb (Pb)	Cadmium (Cd)
Electrolitul	Soluție diluată de acid sulfuric ( $H_2SO_4$ ) 22°Bé ( $\gamma = 1,18$ )	Soluție de hidroxid de potasiu
Tensiunea în gol complet încărcată	2,1 V	1,3 V
Tensiunea nominală	2 V	1,2 V
Tensiunea la borne după o oră de descărcare <sup>1)</sup> (debitare)	la + 25 °C 1,86 V la - 20 °C 1,84 V la - 40 °C 1,72 V	la + 25 °C 1,05 V la - 25 °C 1,00 V la - 40 °C 0,75 V
Randament, Ab	200-2000 (aprox.)	> 2000 (aprox.)
Capacitate, W/kg	4-8 (11)	3-5
a) Avantaje	Cost scăzut, domeniu larg de aplicație, durată de funcționare mare, tensiune înaltă pe element, capacitate bună	Foarte bună comportare în exploatare, siguranță mare pentru vehicule, potrivite pentru condiții grele de exploatare
b) Dezavantaje	Sensibile la manipulări greșite (șocuri mecanice, supracurenți, suprasarcini), caracteristici slabe de descărcare la temperatură joasă	Cost ridicat, caracteristici slabe ale curentului de descărcare la temperatură joasă, ciclu slab de descărcare (debitare)

<sup>1)</sup> Dacă 20% din tensiune este utilizată pentru descărcare (debitare).

și caracteristicile acumulatorilor

Acumulatori nichel-cadmium (cu electrozi sinterizați)	Acumulatori Edison (feronichel)	Acumulatori argint-zinc	Acumulatori argint-cadmium
Pilă cu înveliș de oțel nichelat și electrozi sinterizați	Pilă cu înveliș de oțel și electrozi pozitiv și negativ	Pilă cu electrozi masivi negativ și pozitiv în înveliș de material plastic	
	Trioxid de Ni ( $Ni_2O_3$ )	Mono și bioxid de argint $Ag_2O + Ag_2O_2$	
	Fier (Fe + HgO)	Zinc (Zn)	Cadmium (Cd)
20% KOH ( $\gamma = 1,2$ )		Soluție alcalină	
1,3 V	1,4 V	1,86 V	1,4 V
1,2 V	1,2 V	1,5 V	1,1 V
la + 25 °C 1,18 V la - 20 °C 1,15 V la - 40 °C 1,08 V	la + 25 °C 0,85 V la - 20 °C - la - 40 °C -	la + 25 °C 1,43 V la - 20 °C 1,27 V la - 40 °C -	la + 25 °C 0,90 V la - 20 °C 0,95 V la - 40 °C 0,77 V
> 2000 (aprox.)	> 2000 (aprox.)	10-400 (aprox.)	300-1000 (aprox.)
5-7	5-6	11-25	5-17
Foarte bună comportare, siguranță mare pentru vehicule, caracteristici bune de încărcare, descărcare la temperatură joasă, aplicabile în condiții grele de exploatare, pot fi închise ermetic	Foarte bună comportare, aplicabile pentru condiții foarte grele de exploatare, nu se distrug la suprasarcină sau descărcare intensivă	Capacitate foarte bună raportată la greutate și volum, caracteristici foarte bune privitor la descărcare intensivă	Putere mare în raport cu greutatea și volumul, bună comportare în exploatare
Cost ridicat	Cost ridicat, slabă rezervă de descărcare, caracteristici slabe de descărcare la temperaturi joase	Cost ridicat, slabă comportare și caracteristici slabe de descărcare la temperaturi joase	Cost ridicat

## 13. ALTE APLICAȚII

### 13.1. TEHNICA ILUMINATULUI

Tabelul 13.1. Mărimi fotometrice principale și unitățile lor

Denumirea și simbolul mărimii	Unitatea	Relația de definiție <sup>1)</sup>	Definiția
Fluxul luminos $\Phi$ ...	lumen	lm	$\Phi = K_m \int_0^\infty \frac{d\Phi_e}{d\lambda} V_\lambda d\lambda$ Evaluarea fotometrică a fluxului energiei radiante $\Phi_e$ ( $V_\lambda$ fiind eficacitatea luminoasă spectrală relativă corespunzătoare lungimii de undă $\lambda$ )
Intensitatea luminoasă $I$ .....	candela	cd	$I = \frac{\Phi}{\omega}$ Raportul dintre valoarea fluxului luminos emis de către o sursă într-un unghi solid și valoarea unghiului solid respectiv
Iluminarea $E$ .....	lux	lx	$E = \frac{\Phi}{A}$ $E = \frac{I_e}{r^2} \cos i$ $E = \frac{I_e}{h^2} \cos^2 i$ Raportul dintre fluxul luminos primit de o suprafață și mărimea suprafeței iluminate $A$ (în m <sup>2</sup> ). Iluminarea poate fi definită și în funcție de: intensitatea $I$ a sursei în direcția suprafeței iluminate, distanța $r$ dintre sursă și suprafață (sau înălțimea $h$ dintre poziția sursei și orizontala locului iluminat) și unghiul $i$ de incidență al luminii (unghiul $\varepsilon$ caracterizează direcția sursă-suprafață iluminată)
Luminanța $L$ .....	1 cd/cm <sup>2</sup> 1 stilb  1 cd/cm <sup>2</sup>  1 apostilb	sb  asb	$L = \frac{\Phi}{\omega A \cos \varepsilon}$ $1 \text{ cd/m}^2 = \frac{1}{10^4} \text{ cd/cm}^2$ $1 \text{ asb} = \frac{1}{\pi 10^4} \text{ cd/cm}^2$ Raportul dintre fluxul luminos care părăsește, atinge sau traversează o suprafață, propagându-se într-o direcție dată în interiorul unui unghi solid și produsul dintre unghiul solid respectiv și proiecția suprafeței pe un plan perpendicular pe direcția dată. cd/cm <sup>2</sup> este valoarea utilizată în principiu pentru corpuri luminoase (surse) cd/m <sup>2</sup> și asb pentru suprafețe iluminate sau transmițătoare.

<sup>1)</sup> Relațiile de definiție sînt date în formă simplificată prin valori medii. Relațiile de definiție riguroase trebuie scrise sub formă diferențială.

Tabelul 13.2. Noțiuni de tehnica iluminatului

Mărimea și simbolul	Unitatea	Definiția
Unghiul solid, $\omega$	sterradian sr	Raportul dintre aria $A$ decupată de un con pe o suprafață sferică (avînd centrul în vîrfurile conului) și pătratul razei sferei $r$
Curba de distribuție a intensității	cd	Reprezintă distribuția intensității luminoase a unei lămpi sau corp de iluminat, în funcție de unghiul de emisie, într-un plan dat. Această curbă este adeseori desenată cu valorile intensității luminoase reduse, corespunzător unui flux luminos total al sursei de 1000 lumeni
Unghiul de emisie, $\varepsilon$	grad	Pentru surse de lumină: unghiul format de direcția de emisie și direcția definită ca origine. Pentru suprafețe luminoase: unghiul dintre normala la suprafață și direcția considerată
Cantitatea de lumină, $Q$	lm · s	Produsul dintre fluxul luminos și timpul cît este emis $Q = \Phi t$
Cantitatea de iluminare, $H$	lx · s	Produsul dintre iluminare și timpul de expunere
Eficacitatea luminoasă, $\eta$	lm/W	Raportul dintre fluxul luminos emis și puterea efectivă consumată de sursă
Randamentul corpului de iluminat, $R_L$	1	Raportul dintre fluxul luminos emis de un corp de iluminat la temperatura mediului ambiant (normal 25 °C) și fluxul luminos total (optim) al lămpii (sau lămpilor) montate în corpul de iluminat
Factorul de utilizare, $u$	1	Raportul dintre fluxul luminos $\Phi_u$ primit de suprafața $A$ și fluxul luminos total $\Phi$ $u = \frac{\Phi_u}{\Phi}$
Indicele încăperii, $i$	1	Este folosit pentru a exprima influența geometriei încăperii asupra factorului de utilizare al încăperii. Se utilizează diferite formule, cea mai întrebuintată în țara noastră fiind: $i = \frac{0,2 L_1 + 0,8 L_2}{h}$ în care: $L_1$ — lungimea încăperii; $L_2$ — lățimea încăperii; $h$ — înălțimea sursei de iluminat deasupra suprafeței de utilizare, în cazul iluminatului direct, semidirect și mixt, sau înălțimea tavanului față de suprafața de utilizare în cazul iluminatului semiindirect și indirect.

Tabelul 13.2 (continuare)

Mărimea și simbolul	Unitatea	Definiția
Suprafața de utilizare		În cazul iluminatului interior este în general planul orizontal situat la 0,85 m deasupra dușumelei. În cazul iluminatului exterior este suprafața orizontală de la nivelul drumurilor sau cel mult la o înălțime de 20 cm deasupra lor
Factorul de reflexie, $\rho$	1	Raportul dintre fluxul luminos reflectat de către corp și fluxul luminos ce cade asupra lui. Aplicabil la reflexii regulate sau difuze
Factorul de transmisie, $\tau$	1	Raportul dintre fluxul luminos transmis de către un corp și fluxul luminos ce cade asupra lui. Aplicabil la transmisii regulate sau difuze.
Factorul de absorbție, $\alpha$	1	Raportul dintre fluxul luminos absorbit de către un corp și fluxul luminos ce cade asupra lui
Putere de dispersie, $\sigma$	1	Raportul dintre media aritmetică a luminanțelor corespunzătoare unghiurilor de emisie de $20^\circ$ și $70^\circ$ și luminanța corespunzătoare unghiului de emisie de $5^\circ$ , în cazul incidenței normale a luminii $\sigma = \frac{L_{20^\circ} + L_{70^\circ}}{2L_{5^\circ}}$
Factorul de uniformitate, $g$	1	Raportul dintre iluminarea minimă și iluminarea medie — respectiv, maximă — a unei suprafețe: $g_1 = E_{min}/E_{med}; \quad g_2 = E_{min}/E_{max}$ În mod similar se definește și uniformitatea luminanței.
Factorul luminii naturale, $T$	1	Raportul dintre luminarea $E_p$ în punctul de măsurare și iluminarea orizontală în atmosferă liberă $E_a$ cu orizont liber $T = \frac{E_p}{E_a} \cdot 100 \text{ (în \%)}$
Temperatura de culoare, $T_c$	K	Temperatura corpului negru (radiator integral) la care acesta are aceeași cromaticitate cu a corpului radiant supus cercetării
Durata medie de exploatare	h	Perioada economică de funcționare a surselor luminoase în concordanță cu specificațiile producătorului, adeseori dependente de frecvența de comutație, temperatura ambiantă și variațiile de tensiune

Tabelul 13.3. Lămpi electrice cu incandescență pentru utilizări generale

Puterea nominală W	Diametrul maxim mm	Lungimea maximă mm	Felul sticlei balonului mm	Fluxul luminos, lm			Felul soclului
				120 V	220 V	230 V	
15	61	112	clar mat	120 115	105 100,5	104 100	E 27/27 sau B 22 d/25 x 26
25	61	112	clar mat	217 208	190 184	187,5 180	
40	61	112	clar mat	372 348	312 299	308 295	
60	66	117	clar solar mat	623 349 598	517 290 495	505 282 485	
75	71	117	clar solar mat	840 470 806	690 306 662	690 386 662	
100	76	130	clar solar mat	1210 677 1060	1040 583 1000	1020 564 980	
150	81	150	clar	2020	1770	1740	
200	91	160	clar	2880	2540	2440	
300	111,5	240	clar	4680	4270	4200	
500	131,5	275	clar	8000	7350	7300	
1000	151,5	309	clar	17 700	16 700	16 400	
							E 40/45
							E 40/65 x 50

Tabelul 13.4. Lămpi fluorescente (cu starter)

Tipul lămpii	Puterea nominală W	Curentul nominal A	Diametrul maxim mm	Lungimea maximă <sup>1)</sup> mm	Fluxul luminos nominal, lm pentru culoarea:					Observații
					1 X Alb lumina zilei corectat	2 Alb	3 Alb de lux	3 Alb cald	3 X Alb cald de lux	
LFA 14	14	0,39	40,5	363,2	430	580	360	590	390	Montaj cu starter
LFA 20	20	0,39	40,5	589,8	820	1080	700	1080	750	
LFA 40	40	0,44	40,5	1199,4	2120	2800	1750	2800	1880	
LFA 65	65	0,70	40,5	1500,0	3300	4400	2800	4400	3000	
LFB 40	40	0,44	40,5	1199,4	2000	2650	1680	2650	1780	Montaj cu starter, aprindere la temperaturi scăzute
LFR 40	40	0,44	40,5	1199,4	2000	2650	1680	2650	1780	Montaj fără starter, aprindere la temperaturi scăzute

<sup>1)</sup> Se referă la distanța dintre suprafețele externe ale soclurilor.

Tabelul 13.5. Accesorii necesare (balasturi și startere) pentru lămpi fluorescente

Tipul lămpii	Starterul	Balastul	Nr. de lămpi alimentate	Tensiunea rețelei, V
LFA 14	SLB 20	BTA 14 BTB 14 BTA 30	1 1 2	220 120 220
LFA 20	SLB 20	BTA 20 BIB 20 BIA 40	1 1 2	220 120 220
LFA 40	SLA 40	BTA 40	1	220
LFB 40	SLA 40	BTA 40	1	220
LFR 40	Fără	BRA 40 BRB 40	1 1	220 220
LFA 65	SLA 65	BTA 65	1	220

Tabelul 13.6. Lămpi cu mercur

Tipul	Diametrul maxim mm	Lungimea maximă mm	Curent de lucru A	Consum de putere cu balast W	Flux luminos lm	Soclu
LVF 80	70	156	0,80	89	3000	E 27
LVF 125	75	177	1,15	136	5400	E 27
LVF 250	90	227	2,05	267	11 500	E 40
LVF 400	120	290	3,15	425	20 000	E 40

Tabelul 13.7. Lămpi cu lumină mixtă, cu material fluorescent

Tipul	Diametrul mm	Lungimea mm	Tensiunea nominală V	Consum de putere W	Flux luminos lm	Soclu	Luminanță (aproximativ) sb
HWL 160 W/225 V	87	187	225	160	2900	E 27	8
HWL 160 W/235 V			235				
HWL 250 W/225 V	106	230	225	250	5200	E 40	10
HWL 250 W/235 V			235				
HWL 500 W/225 V	130	275	225	500	12 500	E 40	12
HWL 500 W/235 V			235				
HWL 1 000 W/225 V	160	315	225	1000	28 000	E 40	15
HWL 1 000 W/235 V			235				

Tabelul 13.8. Lămpi cu vapori de sodiu

Tipul	Diametrul exterior mm	Lungimea totală mm	Tensiunea de lucru c.a. V	Curent de lucru (necomp) A	Consum de putere cu trafo W	Flux luminos lm	Randament luminos cu trafo lm/W	Luminanță (aproximativ) sb
Cu înveliș termoizolant, soclu B 22 d								
Na 45 W-1 .....	50	257	220/470	1,45/0,6	66	3700	52	11
Na 60 W-1 .....	50	310	220/470	1,4/0,6	81	5000	62	11
Na 85 W-1 .....	50	424	220/470	1,4/0,6	106	8400	79	11
Na 140 W-1 .....	60	525	220/470	2,1/0,9	163	14 000	86	12
Na 200 W .....	60	775	220/660	3,1/0,9	240	23 000	96	13

Cu peliculă reflectoare de radiații infraroșii, soclu B 22d

Na 40 W-2 .....	51	310	220/490	1,4/0,6	61	4400	72	10
Na 60 W-2 .....	51	425	220/490	1,4/0,6	81	7400	91	10
Na 100 W-2 .....	64,5	528	220/490	2,1/0,9	123	12 500	102	10
Na 150 W-2 .....	64,5	775	220/660	3,1/0,9	190	20 500	108	10
Na 200 W-2 .....	64,5	1120	220/660	3,1/0,9	240	30 000	125	10

În formă tubulară, soclu G 13, starter: St 181 pentru Na/T 200 W-3, St 291 pentru Na 220 W

Na/T 200 W-3 .....	45	1200	220	2,3	235 <sup>1)</sup>	31 000	124 <sup>2)</sup>	7,5
Na 220 W .....	45	1200	380	1,5	245 <sup>1)</sup>	26 000	106 <sup>2)</sup>	14

<sup>1)</sup> Consum de putere cu balast.<sup>2)</sup> Randamentul luminos cu balast.

Tabelul 13.9. Nivele medii de iluminare recomandate pentru diferite categorii de străzi

Clasificarea străzilor	Nivelul de iluminare necesar	Modul de așezare a surselor *)		Iluminarea medie recomandată (lx), învelișul **) străzii fiind de culoare		Coeficienții de uniformitate	
		bh	bh	deschisă	închisă	$\frac{E_{min}}{E_{med}}$	$\frac{E_{min}}{E_{max}}$
Străzile centrale (principale) în orașe din grupa ***) I sau străzile cu trafic intens (peste 1000 vehicule pe oră și sens) sau piețe importante	Intens	Pe ambele părți în zig-zag sau față în față (dacă artera este foarte largă)	Pe ambele părți în zig-zag	10	20	1 : 2,5	1 : 5



Tabelul 13.9 (continuare)

Clasificarea străzilor	Nivelul de iluminare necesar	Modul de așezare a surselor*)		Iluminarea medie recomandată (lx), învelișul **) străzii fiind de culoare		Coeficienții de uniformitate	
		bh	bh	deschisă	închisă	$\frac{E_{min}}{E_{med}}$	$\frac{E_{min}}{E_{max}}$
Străzile centrale (principale) din orașele din grupa II, și străzile situate în zonele de clădiri cu mai multe etaje, cu un număr mare de instituții, magazine, în orașele din grupele I și II, cum și străzile cu circulație importantă (circa 500 vehicule pe oră și sens)	Ridicat	Idem	Pe ambele părți în zig-zag sau pe o singură parte	7	12	1:3	1:6
Străzile centrale (principale) din orașele din grupa III, cum și străzile în zonele cu construcții mixte în care predomină cele cu mai multe etaje, în orașele din grupele I și II, ca și străzile cu circulație medie.	Mediu	Pe ambele părți în zig-zag	Pe ambele părți în zig-zag sau pe o singură parte	5	10	1:3	1:6
Străzile comerciale fără circulație mare de vehicule, însă cu circulație intensă de pietoni	Mediu	Pe ambele părți în zig-zag, sau față în față (dacă artera este foarte largă)	Idem	4	8	1:3	1:6
Străzile cu trafic mic	Mic	Pe ambele părți în zig-zag sau față în față	Pe o singură parte	3	6	1:3	1:6

\*) b — lățimea străzii;  
h — înălțimea de suspendare.

\*\*) Înveliș de culoare deschisă: ciment-beton, piatră de granit, bitum (avind  $\rho > 0,15$ );  
Înveliș de culoare închisă: asfalt, asfalt negru (avind  $\rho < 0,15$ ).

\*\*\*) Împărțirea în grupe a localităților:

Grupa I: Municipiul București și celelalte municipii ale țării.

Grupa II: Capitalele de județ, orașele cu o populație de peste 25 000 locuitori, stațiunile turistice și balneo-climaterice importante.

Grupa III: Restul orașelor și comunelor țării.

Tabelul 13.10. Valorile minime admisibile ale iluminărilor medii pentru clădirile industriale (conform STAS 6646-64)

Categororia de muncă	Contrastul între detaliu și fond	Gradul de luminozitate al suprafeței detaliului sau al fondului pe care se distinge detaliul	Valoarea minimă admisibilă a iluminării medii, lx			
			Lămpi fluorescente de joasă și înaltă presiune		Lămpi incandescente	
			Iluminat combinat sau localizat	Numai iluminat general	Iluminat combinat sau localizat	Numai iluminat general
I. Lucru de precizie deosebită (detalii sub 0,1 mm)	a mic	întunecat	3000	750	1500	300
	b mic	luminos	2000	750	1000	300
	c mediu	întunecat	1500	560	750	300
	d mare	luminos	750	300	400	150
	e mare	întunecat	1500	560	750	300
II. Lucru de mare precizie (detalii între 0,1 și 0,3 mm)	a mic	întunecat	2000	750	1000	300
	b mic	luminos	1000	4000	500	1150
	c mediu	întunecat	750	200	400	100
	d mare	luminos	500	200	300	75
	e mare	întunecat	1500	560	750	300
III. Lucru de precizie (detalii între 0,3 și 1 mm)	a mic	întunecat	1000	300	500	150
	b mic	luminos	750	200	400	100
	c mediu	întunecat	500	200	300	75
	d mare	luminos	400	200	200	50
	e mare	întunecat	1500	560	750	300
IV. Lucru de precizie mică (detalii între 1 și 10 mm)	a mic	întunecat	—	150	150	50
	b mic	luminos	—	150	150	50
	c mediu	întunecat	—	150	100	50
	d mare	luminos	—	150	100	50
	e mare	întunecat	—	150	100	50

Tabelul 13.10 (continuare)

Categoria de muncă	Contrastul între detaliu și fond	Gradul de luminozitate al suprafeței detaliului sau al fondului pe care se distinge detaliul	Valoarea minimă admisibilă a iluminării medii, lx			
			Lămpi fluorescente de joasă și de înaltă presiune		Lămpi incandescente	
			Iluminat combinat sau localizat	Numai iluminat general	Iluminat combinat sau localizat	Numai iluminat general
V. Lucru brut (detalii peste 10 mm)	Indiferent de factorul de reflexie al fondului și de contrastul dintre obiect și fond	—	—	150	100	50
VI. Lucrări care necesită supravegherea generală a procesului de producție	—	—	—	75	—	20

**Observații:** Valorile din tabelul 13.10 sînt valabile indiferent de poziția planului util (orizontal, vertical sau înclinat). Dacă nu se face nici o precizare specială asupra planului de lucru, sau dacă locul de lucru are o poziție mobilă, iluminările date în tabel se consideră valabile pentru întregul plan, situat după cum urmează:

- la 0,85—1,00 m înălțime de la nivelul pardoselii pentru încăperile de producție;
- la nivelul pardoselii, pentru coridoare, scări, pasaje, căi interioare de transport, garaje, depozite de mărfuri cu bucata etc., cum și în încăperile în care se efectuează lucrul la sol.
- La valorile indicate pentru iluminatul combinat se includ și iluminările date de iluminatul general.
- Prin dimensiunile detaliilor se înțeleg mărimile anumitor părți ale obiectului privit și care trebuie distinse.

— Gradul de luminozitate al suprafeței detaliului sau al fondului se consideră:

- întunecat, pentru un factor de reflexie de maximum 0,3;
- luminos, pentru un factor de reflexie de minimum 0,3.

— Contrastul dintre detalii și fond se consideră:

- mic, pentru valori sub 0,2 (nuanțele culorilor detaliului și fondului se disting slab una de alta);
- mediu, pentru valori între 0,2 și 0,5 (nuanțele culorilor detaliului și ale fondului se disting bine una de alta);
- mare, pentru valori peste 0,5 (nuanțele culorilor detaliului și ale fondului se disting foarte bine una de alta).

Valorile date corespund situațiilor medii de exploatare a echipamentului pentru iluminat. În cazul iluminatului în serviciu trebuie să se aibă în vedere coeficienții de depreciere ai instalațiilor. Dacă valoarea oarecare a iluminării scade la 80% față de cifrele indicate în tabele, datorită uzurii sau murdăririi, echipamentul trebuie să fie revizuit.

În cazul iluminatului bancurilor de lucru, iluminatul general trebuie suplimentat. În cazul iluminatului general gradul de uniformitate  $g_2 = E_{min}/E_{med}$  în zonele de lucru, din aceleași motive, nu trebuie să scadă sub valoarea 0,5 (1:2). La locul de lucru, luminașă maximă de 0,4 sb trebuie să fie satisfăcută într-o zonă de 0°—30° deasupra orizontalei, iar în săli de clasă într-o zonă de 0°—45° deasupra orizontalei. În proiectarea instalațiilor de iluminat trebuie acordată de asemenea atenție efectului de umbrire și incidenței luminii, uniformității iluminatului în timp, atenuării strălucirii (neincluzînd și strălucirea din reflexie) și culorii potrivite a luminii.

Tabelul 13.11. Iluminări recomandate pentru iluminatul interior

Instalații de iluminat pentru:	Tipul localului și al muncii	Iluminarea medie $E_{med}$ lx	
		incandescent	fluorescent
Școli	— Săli de clasă, săli de muzică, licee, laboratoare chimice și fizice, studiouri, săli pentru lucru manual .....	150—200 150 200	300—400 300 400
Magazine	— Cu mărfuri colorate luminos, cu mărfuri de culori închise din depozite .....	100 200	200 1000
Locuințe, camere de zi	— Încăperi de zi, dormitoare, camere de hotel, baruri .....	50	—
	— Bucătării, săli de baie .....	150	250
	— Săli pentru desen, scris și studiu .....	200	400
Locuri de muncă <sup>1)</sup>	— Forje, laminoare, fabrici de cherestea, săli de electroliză, depozite de marfă, garaje .....	cat. III	
	— Procese tehnologice de fasonare, turnare, prelucrare a lemnului, vopsire, prelucrări în industria alimentară .....	cat. III	
	— Montaj de precizie, filaturi, țesătorii, tipografii, birouri .....	cat. I	
	— Tehnică de mare precizie, optică, vopsitorii, țesătorii, croitorii, desen tehnic .....	cat. II	
	— Gravură, observații microscopice, operații chirurgicale .....	cat. I—III	

<sup>1)</sup> Categoriile de iluminare corespund cu cele definite în tabelul 13.10. Se vor alege nivelele de iluminare conform indicațiilor din acest tabel, corespunzător categoriei indicate.

Tabelul 13.12. Factorul de reflexie  $\rho$  al diferitelor culori și materiale iluminate în lumină albă

Aluminiu:		Granit .....	10...25%
— polizat și tratat prin procedeul de eloxare <sup>1)</sup> .....	85%	Verde deschis .....	45...65%
— mat .....	55...60%	Roșu deschis .....	30...50%
— polizat mecanic .....	65...75%	Galben deschis .....	50...70%
— laminat .....	80%	Marmură albă .....	60...85%
Alamă:		Argint oglindă .....	88...93%
— mată .....	54%	Mortar:	
— polizată .....	60%	— închis .....	20...30%
Căramidă .....	10...30%	— deschis .....	40...50%
Acetat de celuloză .....	10...40%	Bleumarin .....	5...10%
Crom polizat .....	60...70%	Nichel:	
Asfalt comprimat, suprafața gudurată .....	8...15%	— mat .....	50%
Beton .....	10...50%	— polizat .....	53...63%
Smaltină .....	60...75%	Vopsea albă .....	87%
Maro închis, galben închis .....	10...20%	Pergament .....	20...50%
Gri închis .....	10...15%	Trandafiriu .....	45...55%
Roșu închis .....	10...20%	Oglindă de sticlă argintată .....	85...90%
Email alb .....	75...87%	Albastru deschis .....	35...45%
Sticlă:		Oțel .....	55%
— curată .....	6...8%	Cenușiu .....	45...50%
— jirată .....	5...15%	Staniu polizat .....	70%
— opal .....	20...70%	Alb .....	70...90%
		Maro-gălbui .....	30...50%
		Zinc polizat .....	55%

<sup>1)</sup> Gradul de puritate 99,99%.

Tabelul 13.13. Factorul de utilizare al încăperii  $u$  (pentru lămpi cu incandescență)

Elementul camerei	Indicele încăperii <sup>1)</sup> $i$	Tipul de iluminat				
		Direct	Semi-direct	Mixt	Semi-indirect	Indirect
Plafon luminos.....	1	0,17	0,15	0,15	0,09	0,09
( $\rho = 0,8$ ) .....	1,2	0,20	0,18	0,18	0,12	0,11
Pereți cu iluminare medie .....	1,5	0,24	0,22	0,23	0,15	0,14
( $\rho = 0,5$ ) .....	2	0,30	0,27	0,27	0,18	0,17
Dușumea cu iluminare medie.....	4	0,42	0,39	0,38	0,26	0,25
( $\rho = 0,3$ ) .....	6	0,48	0,44	0,43	0,29	0,29
Plafon cu iluminare medie .....	1	0,15	0,13	0,11	0,06	0,06
( $\rho = 0,5$ ) .....	1,2	0,17	0,15	0,14	0,08	0,07
Pereți întunecoși .....	1,5	0,21	0,18	0,17	0,10	0,09
( $\rho = 0,3$ ) .....	2	0,27	0,23	0,22	0,13	0,11
Podea întunecoasă.....	4	0,40	0,35	0,32	0,17	0,17
( $\rho = 0,1$ ) .....	6	0,46	0,40	0,37	0,22	0,19

<sup>1)</sup> Indicele încăperii poate fi calculat din tabelul 13.2.

Tabelul 13.14. Randamentul de exploatare a corpurilor de iluminat  $R_L$ 

Tipul distribuției luminii și corpul de iluminat		Randament de exploatare
Direct	— tip reflector .....	0,65...0,80
	— tip încastrat cu abajur .....	0,50...0,65
	— tip încastrat cu sticlă sintetică albă .....	0,45...0,60
Semidirect	— corp cu sticlă sintetică albă .....	0,50...0,65
	— corp cu sticlă sintetică transparentă .....	0,60...0,85
	— corp în tavan cu abajur sau grătare .....	0,55...0,75
Difuz	— corp cu radiant liber .....	0,78...0,92
	— corp cu abajur suspendat.....	0,65...0,85
Semiindirect.....		0,60...0,80

Tabelul 13.15. Formule pentru calculul iluminării

Iluminarea orizontală într-un punct de la o sursă luminoasă punctiformă

$$E_h = \frac{I_\varepsilon}{r^2} \cos i = \frac{I_\varepsilon}{h^2} \cos^3 i$$

$E_h$  — iluminarea orizontală (in lx) la punctul considerat  
 $I_\varepsilon$  — intensitatea luminoasă în direcția  $\varepsilon$  (direcția către punctul considerat) (in cd)  
 $r$  — distanța de la sursa de lumină la punctul considerat (in m)  
 $i$  — unghiul de incidență față de verticală  
 $h$  — înălțimea sursei de lumină deasupra planului în care se află punctul considerat (in m)

Iluminatul încăperii

$$E_{h\text{ med}} = \frac{uN\Phi_L}{A}$$

$$N = \frac{\Phi_L}{\Phi_T}$$

$E_{h\text{ med}}$  — iluminarea medie orizontală (in lx)  
 $\Phi_L$  — fluxul luminos al unei lămpi (in lm)  
 $\Phi_T$  — fluxul total necesar a fi instalat în încăpere (in lm)  
 $N$  — numărul de lămpi  
 $A$  — suprafața necesară a fi luminată (in m<sup>2</sup>)  
 $u$  — factorul de utilizare a încăperii.

Tabelul 13.16. Exemplu pentru iluminatul birourilor

Tipul încăperii	Birou, tavan de culoare deschisă, pereți cu factor de reflexie mediu
Tipul de muncă	Muncă de birou, desen
Nivelul de iluminare cerut	Ridicat, conform tabelului 13.11
Iluminare medie necesară $E_{h\text{ med}}$	500 lx
Cele mai indicate tipuri de iluminat	Iluminat general cu lămpi fluorescente, corpuri pentru tavan, cu capace de sticlă sintetică, distribuția luminii fiind semi-directă. Randamentul corpurilor de iluminat, conform tabelului 13.14, este $R_L = 0,60$
Dimensiunile încăperii	Lățime $L_1 = 6$ m; lungime $L_2 = 10$ m; înălțime $H = 3,2$ m. Înălțimea corpului de iluminat deasupra planului de lucru $h = 2,35$ m.
Factorul de utilizare al încăperii	$u_f = 0,3$ , conform tabelului 13.13 pentru indicele de încăpere $i = \frac{0,2 \times 10 + 0,8 \times 6}{2,35} = 2,9$
Factorul de utilizare	$u = u_f \cdot R_L = 0,3 \cdot 0,60 = 0,18$

Se aleg lămpi LFA 65/2 avînd fiecare cîte 4400 lm.  
 Numărul de lămpi  $n = 38$ .

În vederea obținerii unei valori medii de exploatare pentru iluminarea de  $E_{med} = 500 \text{ lx}$  în zona biroului, sînt necesare 38 lămpi fluorescente LFA 65/2. Pentru a traduce aceasta în termeni practici se vor alege două benzi de iluminat, fiecare constînd din zece perechi de corpuri de iluminat și acoperind întreaga lungime a încăperii. Iluminarea medie ce se poate obține astfel pe această cale este de aproximativ 518 lx:

$$E_{h med} = \frac{0,18 \times 38 \times 4400}{60} = 500 \text{ lx.}$$

### 13.2. TEHNICA VENTILAȚIEI INDUSTRIALE

#### 13.2.1. Instalația de ventilație

Rolul instalației de ventilație este de a reînnoi aerul din încăperi. Adesea aceasta implică și îndepărtarea prafului cu ajutorul filtrelor de aer și încălzirea aerului cu ajutorul bateriilor de încălzire.

Ventilația prin depresiune împiedică pătrunderea gazelor, vaporilor, mirosurilor, prafului etc. în încăperile învecinate. Dacă aerul este doar ușor absorbit din încăpere, atunci aerul proaspăt pătrunde prin crăpăturile sau golurile din ferestre și uși. Dacă acest lucru este insuficient (în cazul unui nivel înalt de vacuum) trebuie să fie prevăzute deschideri pentru pătrunderea aerului de exemplu din încăperile învecinate cu aer proaspăt (curat) din exterior prin fante practice în luminatoare; acestea trebuie să fie amplasate astfel încît curentul de aer inițial să fie îndreptat în sus, către tavan.

Sistemul de echilibru se obține prin prevederea unei ventilații de intrare și ieșire. Depresiunea se obține și dacă debitul de aer evacuat este mai mare decît cel care intră.

Ventilația prin suprapresiune se prevede pentru protecția împotriva gazelor din exterior, a prafului, mirosurilor etc. Acest tip de ventilație este potrivit pentru împiedicarea pătrunderii prafului în camere de comandă, laboratoare sau ateliere, de exemplu în fabrici de instrumente de precizie.

Aerul filtrat este insuflat în încăperi de unde se scurge prin goluri și crăpături. Dacă aceasta este insuficient, trebuie prevăzută o ventilație de evacuare.

Cînd se utilizează ventilatoare de introducere și de evacuare a aerului, suprapresiunea se obține dacă ventilatoarele de intrare au un debit mai mare.

La un punct de intrare a aerului (guri de introducere sau refulare) este dificil în general să se întrerupă jetul de aer format, ceea ce duce la apariția curenților de aer. Din acest motiv, în cele mai multe cazuri, este necesar un echipament de distribuție a aerului. O soluție ideală este tavanul fals, perforat. De asemenea adesea este avantajos de a se insufla aerul printr-o sită direct sub nivelul tavanului sau vertical prin locul ferestrei de-a lungul pereților. Această metodă nu se recomandă pentru încăperile foarte înalte sau cele neocupate.

La un punct de evacuare a aerului (guri de evacuare), aerul curge din toate direcțiile în mod uniform spre orificiul de aspirație. Viteza curentului de aer este din această cauză mică și crește mai mult doar pe direcția perpendiculară a gurii de evacuare. Punctele de acces și de evacuare trebuie să fie astfel aranjate încît curenții de aer să circule uniform prin toată încăperea și să nu formeze colțuri moarte.

Viteza curentului de aer în încăpere

Viteza curentului de aer în conducte și la aspirație

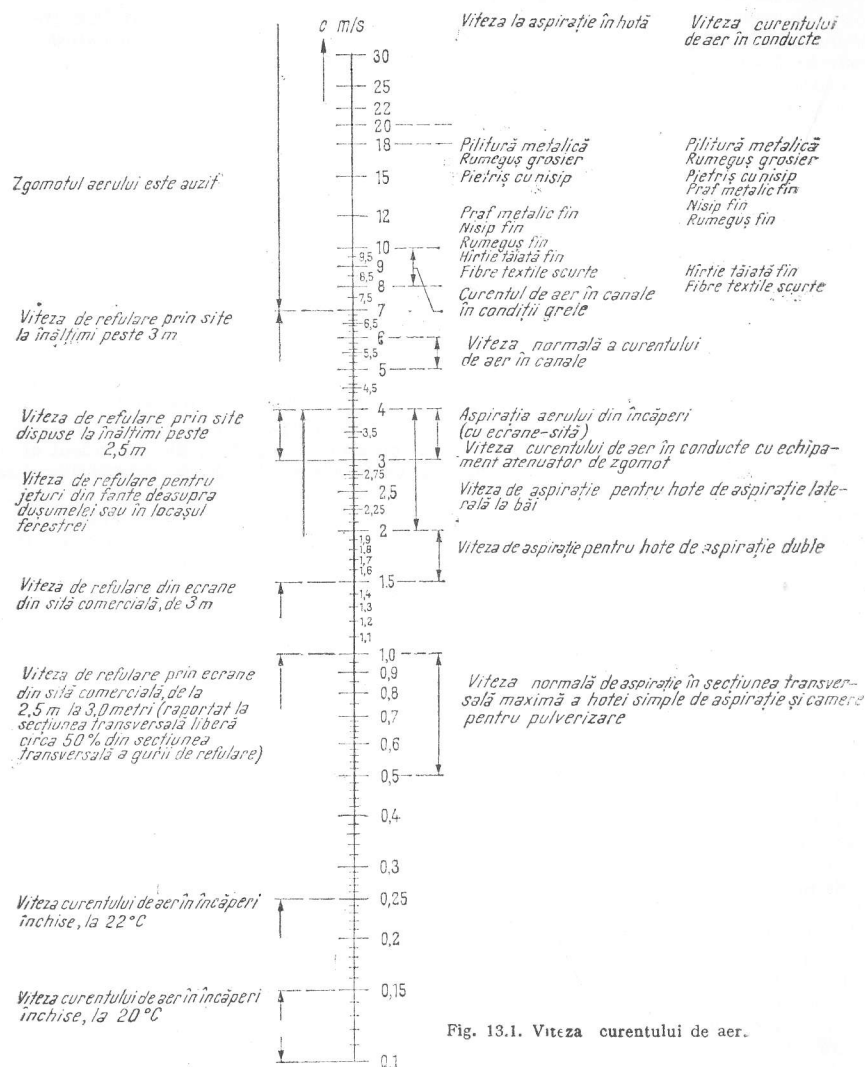


Fig. 13.1. Viteza curentului de aer.



Chiar dacă această condiție nu este îndeplinită în totalitate, mișcarea aerului în zonele mai puțin accesibile ale încăperii se produce prin circulația naturală a aerului, datorită diferențelor de temperatură.

În vederea înlăturării curenților de aer supărători în încăpere este important ca atunci cind temperatura exterioară este scăzută cantitatea de aer introdusă să fie redusă. Aceasta se obține prin montarea unor clapete de reglaj, prin reducerea turăției ventilatoarelor sau prin deconectarea citorva ventilatoare în cazul în care instalația cuprinde mai multe.

Dacă reducerea cantității de aer introdus se dovedește insuficientă sau nu este permisă, aerul introdus trebuie încălzit în vederea împiedicării apariției curenților de aer, sau formării ceței în încăperile umede. Umezeala se poate forma, de exemplu, în bucătărie, vopsitorii, magazine, încăperi din uzine textile, industria laptelui și a hîrtiei sau la instalații de galvanizare. În acest caz sînt necesare dispozitive de reglare automată a temperaturii.

În cazul ventilației prin depresiune (numai cu ventilatoare de evacuare) se va avea în vedere că încălzirea încăperii trebuie corelată cu încălzirea aerului ce pătrunde în încăpere.

Pentru calculul căldurii necesare pentru încălzirea aerului, v fig. 13.2.

Este preferabilă evacuarea gazelor, a vaporilor sau prafului chiar de la punctul lor de formare (de origine), astfel ca aerul din încăpere să fie cît mai puțin contaminat cu aceste elemente. Hota de aspirație, necesară acestui scop, trebuie să fie dispusă cît mai aproape de punctul de formare a prafului sau vaporilor. Trebuie să se țină seama de orice mișcare a acestora din urmă, de exemplu de curenții termici ascendenți al vaporilor sau de zborul centrifugal tangențial al prafului provenit de la pietrele de polizor. Hotele trebuie să fie cît mai mici posibil, dar în număr suficient pentru a îndeplini condițiile impuse. Pentru suprafețe mai întinse dar cu conținut mai scăzut de vaporii sau praf, se pot monta două hote de aspirație de mărimi diferite, una într-una (hotă dublă). Rămîne astfel deschisă doar o margine îngustă și o mică secțiune centrală. Vitezele curenților de aer în secțiunile transversale de admisie și în conducte sînt date în figura 13.1.

#### Instalații de încălzire a aerului

Instalația de încălzire a aerului este în general legată de sistemul de ventilare.

**Încălzirea prin recirculație.** Dacă ventilația încăperilor prin circulație naturală de aer este suficientă, se recomandă încălzirea prin recirculație. Aerul din încăpere este pur și simplu forțat să treacă printr-un dispozitiv de încălzire. Aceasta se obține fie cu ajutorul unor aeroterme, fie printr-o instalație centrală. În ultimul caz, încălzitoarele de aer și ventilatoarele mai pot fi legate în serie cu filtre și dispozitive anti-zgomot. De asemenea, se poate prevedea un dispozitiv central de comandă și reglare. Problema zgomotului pentru ventilatoare dispare, iar costul instalației este relativ scăzut. Acolo unde nu este necesar un calcul exact al încălzirii totale necesare sau în cazul unor încăperi mici se poate utiliza abaca din figura 13.2.

Folosind datele pentru tipul de încăperi<sup>1)</sup> (scara A<sub>1</sub>) și volumul încăperii (scara B), prin trasarea unei linii prin aceste două puncte se va citi pe scara C debitul caloric necesar  $Q$  în kcal/h, pentru  $t_e = -15^\circ\text{C}$  și  $t_i = +20^\circ\text{C}$ . Dacă diferența dintre temperatura exterioară și cea interioară este mai mare de  $35^\circ\text{C}$ , valoarea găsită pe scara C poate fi corectată cu ajutorul scării E. Debitul caloric necesar poate fi atunci citit pe scara D.

<sup>1)</sup> Dacă necesarul pentru  $1\text{ m}^3$  este cunoscut, se pot începe calculele pe scara A<sub>2</sub>.

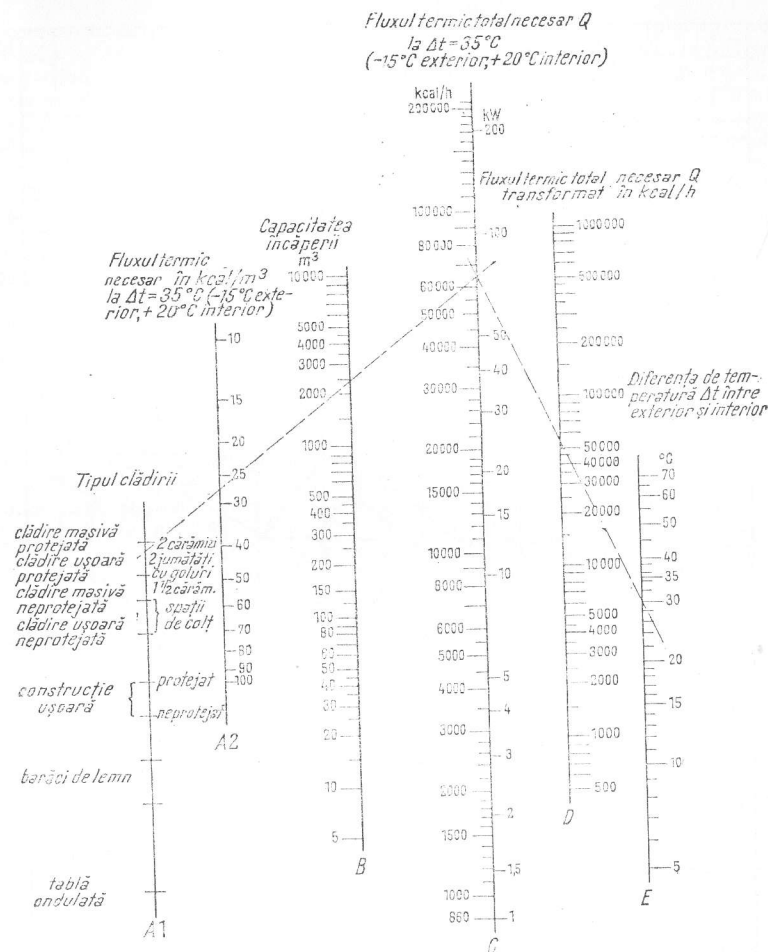
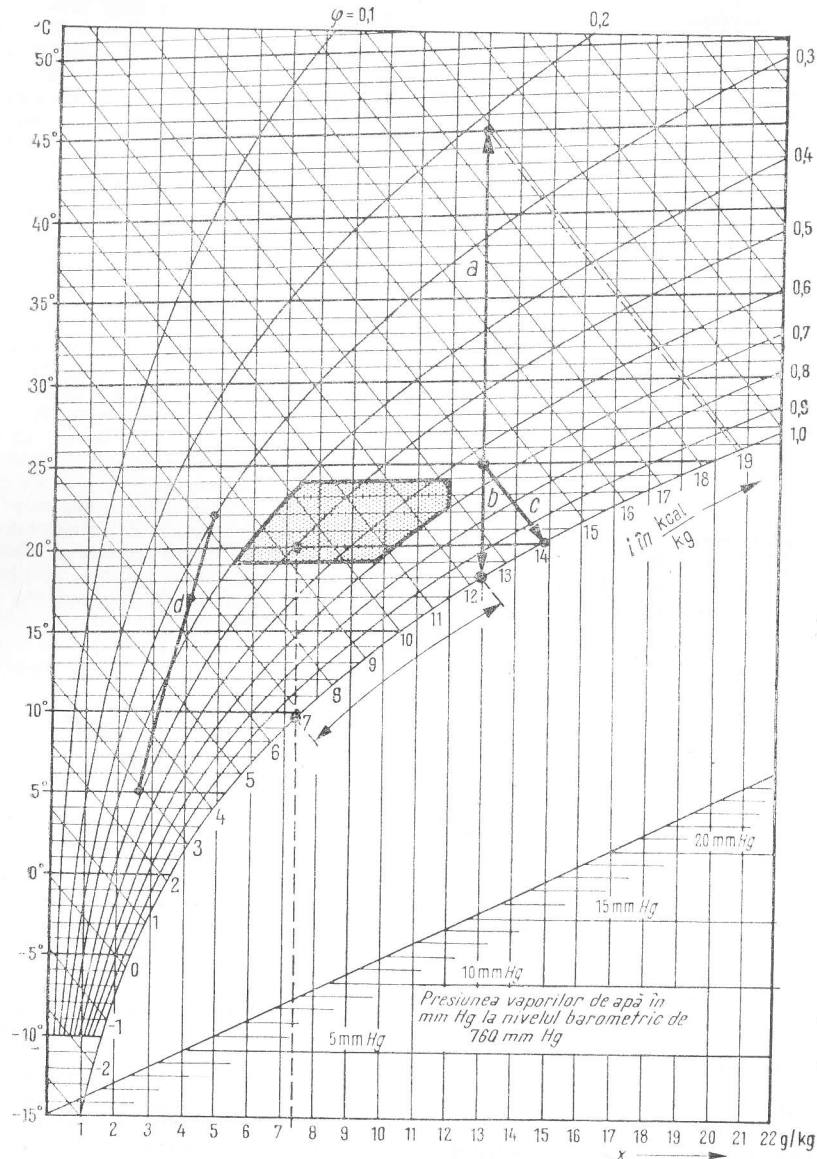


Fig. 13.2. Abacă pentru determinarea pierderilor de căldură a încăperilor.

**Încălzirea mixtă a aerului.** Acest tip de încălzire face posibilă combinarea ventilației încăperii cu activarea circulației naturale a aerului avînd ca urmare încălzirea rapidă și uniformă a încăperii.

O parte din aerul viciat este evacuat din încăpere, fiind refulat în atmosferă și o cantitate echivalentă de aer proaspăt este admisă înăuntru. În funcție de necesități, această instalație poate fi proiectată pentru ventilație prin suprapresiune sau prin depresiune, printr-o dimensionare potrivită a ventilatoarelor de admisie sau de evacuare. Acest sistem se poate utiliza și numai în scopuri de ventilare (de exemplu vara).




 Fig. 13.3. Diagrama  $i-x$  pentru aer umed.

### Instalații de condiționare a aerului

Instalațiile de condiționare a aerului, pe lângă funcțiunile de înlocuire a aerului și încălzire a încăperii, au rolul de a menține temperatura și umiditatea din încăpere la o valoare precisă, indiferent de starea aerului din exterior. Pe lângă echiparea cu filtre, ventilatoare, încălzitoare de aer și dispozitive de atenuare a zgomotului, vor fi necesare și răcitoare și umidificatoare de aer, pentru răcirea și schimbarea umidității aerului.

Tratamentul aerului admis, necesar în vederea obținerii climatului prescris pentru încăpere, poate fi găsit în diagrama  $i-x$  (fig. 13.3). Această diagramă arată relația între temperatura aerului, umiditatea absolută și relativă și entalpia sa (la 760 mm Hg), în domeniul care ne interesează din punct de vedere al tehnologiei aerului condiționat. Toate modificările parametrilor variabili ce apar în cazul încălzirii, răcirii și umidificării aerului sînt conținute în această diagramă.

Explicarea simbolurilor:

- $x$  — umiditatea absolută (grame de vapori de apă/kg aer uscat);
- $\varphi$  — umiditatea relativă, adică raportul dintre umiditatea aerului și cea mai mare umiditate posibilă, la o temperatură anumită;
- $i$  — entalpia în kcal/kg aer uscat, amestecat cu  $x$  grame vapori de apă.

Încălzirea modifică starea aerului de-a lungul dreptei  $x = \text{constant}$  (săgeata „a”). Entalpia necesară poate fi citită cu ajutorul valorilor „i”.

Prin răcire apare de asemenea, variația de stare de-a lungul dreptei  $x = \text{constant}$  (săgeata „b”), pînă ce este atinsă linia punctului de rouă ( $\varphi = 1$ ) și aici variația continuă de-a lungul liniei punctului de rouă înspre stînga, cu condensarea apei. Cantitatea de apă condensată poate fi citită pe scara  $x$ , iar cantitatea de căldură disipată — de-a lungul scării  $i$ .

În cazul umezirii aerului cu ajutorul apei fin pulverizate, variația de stare apare de-a lungul dreptei  $i = \text{constant}$  (săgeata „c”). Entalpia rămîne constantă, așadar căldura de vaporizare este luată din atmosferă (din aer).

Punctul de stare pentru amestec de aer se găsește pe dreapta ce unește punctele de stare pentru componentele amestecului. Acesta împarte dreapta ce unește cele două puncte, proporțional cu debitele amestecate.

O ultimă scară pe care se poate citi presiunea parțială a vaporilor de apă, în funcție de valorile umidității absolute (valorile  $x$ ) este inclusă de asemenea în partea de jos a diagramei.

### 13.2.2. Principii și noțiuni de ventilație

Puterea cerută de un ventilator, în kW, este dată de relația

$$P_w = \frac{V p_t}{\eta \cdot 102},$$

în care:  $V$  este debitul ventilatorului (cantitatea de aer), în  $\text{m}^3/\text{s}$ ;

$p_t = p + p_d$  este presiunea totală;

$p$  — presiunea statică, în mm H<sub>2</sub>O, care poate fi furnizată de ventilator;

$p_d$  — presiunea dinamică, în mm H<sub>2</sub>O (energia cinetică a aerului în mișcare) în secțiunea transversală de refulare a ventilatorului;

$$p_d = \frac{1}{2g} \gamma c^2;$$

$\gamma$  — greutatea specifică a aerului, în  $\text{kgf}/\text{m}^3$ ;

$c$  — viteza curentului de aer în secțiunea transversală de refulare a ventilatorului, în m/s;

$g$  — accelerația gravitațională, în m/s<sup>2</sup>;

$\eta$  — randamentul ventilatorului (fără pierderile motorului).

În scopul unor evaluări aproximative în starea standard (760 mm Hg, 15°C) se poate utiliza formula:

$$p_{d0} = \frac{c^2}{16}$$

Mărimile referitoare la starea standard sînt marcate cu indicele „0”. În cazul unei situații diferite de starea standard se aplică următoarea expresie:

$$p = p_0 \frac{b T_0}{b_0 T}$$

în care:  $p_0$  — presiunea în starea standard, în mm H<sub>2</sub>O;

$p$  — presiunea în condițiile date, în mm H<sub>2</sub>O;

$b$  — nivelul barometric, în mm Hg;

$b_0$  — nivelul barometric în starea standard, în mm Hg;

$T$  — temperatura aerului, în K;

$T_0$  — temperatura aerului în starea standard, în K.

Tabelul 13.17. Parametrii recomandați ai aerului în diferite industrii

Industria	Operația	Temperatura °C	Umiditatea relativă %
Textilă	Bumbac:		
	— preparare.....	20...25	50...60
	— filare .....	20...25	60...70
	— țesătorie .....	20...25	70...85
	Lină:	20...25	65...70
	— preparare .....		
	— filare .....	20...25	60...80
	— țesătorie .....	20...25	60...80
	Mătase artificială:		
	— filare .....	20...25	80...90
Pielărie și blănărie	— răsucire .....	20...25	70...80
	Mătase:		
	— filare .....	22...25	65...70
	— țesătorie .....	22...25	60...70
	Preparare, vopsire, depozitare.....	30 5	sub 40 25...30
Tutun	Țigări de foi și țigarete:		
	— manufacturi .....	20...22	60...70
	— umidificare .....	22...24	92...93
	— depozitare .....	18...20	60...65
Hîrtie	Calandrare .....	pînă la 27	60...65
	Țiere, făcuire .....	20...22	60...65
	Țipărire .....	20...22	60...65
	Depozitare .....	20...25	60 și sub
Cărți	Depozitare .....	18...20	40...60

Tabelul 13.17. (continuare)

Industria	Operația	Temperatura °C	Umiditatea relativă %
Fotografie	Developare .....	20...22	60
	Uscare .....	22...25	50
	Țiere .....	22	65
Construcții de instrumente optice			nu peste 35
Alimentară	Ciocolată:		
	— fabricare .....	17...18	30...50...60
	— impachetare .....	18	
	— depozitare .....	15	
Pictură	Pictură prin stropire .....	20...25	56...65
Măsurări:			
	— încăperi cu aparate de măsurat,	20	50
	— încăperi pentru calibrare		
Spitale	Săli de operații .....	20...25	55
Încăperi pentru depozitare	Cartofi .....	3... 7	cît se poate de ridicată
	Fruite și legume .....	1... 4	85...95
	Produce lactate .....	0... 2	60...65
	Carne .....	-20...-10	

Prin introducerea unui difuzor după ventilator o parte din presiunea dinamică este transformată în presiune statică. Presiunea adițională astfel obținută reprezintă o îmbunătățire în sistemul de ventilație, sau — acolo unde ventilatorul este echipat cu palete ajustabile — dă posibilitatea exploatării cu un unghi mai mic de atac al paletelor. Aceasta va permite reducerea considerabilă a necesarului de putere avînd ca urmare o reducere corespunzătoare a costului exploatării.

Creșterea presiunii statice în difuzor se poate calcula cu relația:

$$\Delta p = \eta_D \frac{\gamma}{2g} (c^2 - c_1^2),$$

în care:  $c_1$  este viteza curentului de aer în secțiunea transversală de ieșire a difuzorului de diametru  $D_1$ , care este egală cu  $4V/(\pi D_1^2)$ ;

$\eta_D$  — randamentul difuzorului (în cazul unui difuzor cu o deschidere unghiulară de 15° și cu suprafața interioară netedă,  $\eta_D \approx 0,75$ ).

#### Legi de similitudine

Cunoscînd performanțele unui ventilator la o anumită turație ( $n_1$ ) se pot calcula performanțele sale la alte turații ( $n_2$ ), iar în cazul unor ventilatoare asemenea (similare geometric) și la alte diametre ale rotorului cu ajutorul relațiilor:

$$\text{— debitul} \quad V_2 = V_1 \frac{D_2^3 n_2}{D_1^3 n_1};$$

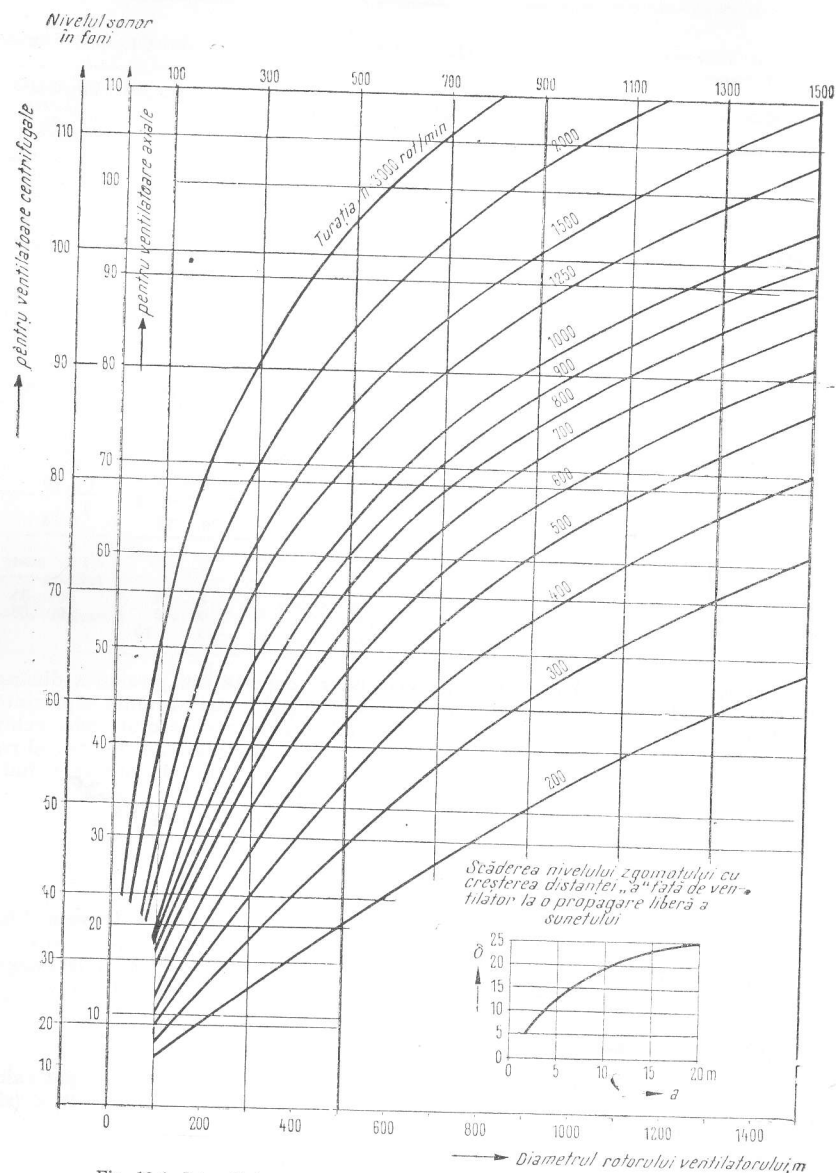


Fig. 13.4. Intensitatea sunetului, în foni, conform standardelor germane. Aceste valori se aplică pentru un curent continuu de aer la o distanță de 1 m, măsurate din centrul lamei în direcție axială, în cazul propagării libere a sunetului.

— presiunea ( $p_t$ ,  $p$ ,  $p_d$ ): 
$$p_2 = p_1 \left( \frac{D_2 n_2}{D_1 n_1} \right)^2;$$

— puterea necesară: 
$$P_{w2} = P_{w1} \frac{D_2^5 n_2^3}{D_1^5 n_1^3}.$$

Diferențele principale între ventilatoarele axiale și cele radiale (ventilatoare centrifugale)

Ventilatoarele axiale absorb și evacuează aerul în direcția axială, furnizând o mică cantitate de aer la presiune scăzută.

Ventilatoarele radiale absorb aerul axial și îl evacuează radial, furnizând o mare cantitate de aer, la presiune înaltă.

Ambele diagrame, oricum, includ modele de joasă și înaltă presiune, de exemplu datele de performanțe limite suprapuse. De exemplu, parametri realizați de ventilatoarele axiale de tip tubular sînt cuprinși în limitele celor realizați de ventilatoarele radiale de joasă presiune.

#### Zgomotul de exploatare al ventilatorului

O bună indicație asupra zgomotului produs de ventilatoare se poate obține prin figura 13.4 (după Lücke). Această prezentare, însă nu ține seama de diferitele tipuri de ventilatoare proiectate. De asemenea nu dă informații în legătură cu domeniul de frecvență a zgomotului produs, care este important pentru evaluarea valorii supărătoare. Informații mai precise pot fi obținute prin înregistrarea și analiza zgomotului.

#### 13.2.3. Alegerea ventilatoarelor

Dimensiunile ventilatoarelor și puterea lor sînt determinate de debitul de aer necesar (cantitatea de aer livrată în unitatea de timp), de presiunea statică și nivelul admisibil de zgomot.

##### Determinarea debitului necesar de aer

Debitul de aer necesar se stabilește astfel ca acesta să fie suficient pentru evitarea vicierei aerului în încăpere peste o valoare maximă impusă, precum și pentru evitarea creșterii (sau scăderii) temperaturii și umidității în încăpere peste o anumită limită.

1) Vicierea aerului datorită prezenței gazelor, prafului, vaporilor etc.

Instalația de ventilație are drept scop limitarea vicierei aerului. Debitul de aer necesar se exprimă prin relația:

$$V = \frac{K}{k_i - k_0} \text{ m}^3/\text{h}$$

în care:  $K$  este debitul de noxe degajate în încăpere, în  $\text{cm}^3/\text{h}$  pentru materialele gazoase și în  $\text{mg}/\text{h}$  pentru pulberi;

$k_i$  — concentrația de noxă maxim admisă în aerul din încăpere, în  $\text{cm}^3/\text{m}^3$  sau  $\text{mg}/\text{m}^3$ ;

$k_0$  — concentrația de noxă în aerul din exterior (aer proaspăt).

Se mai utilizează uneori notația MAC (*maximum working area concentration* — concentrația maximă a zonei de lucru) pentru  $k_i$ .

Tabelul 13.18. Valori limită pentru vicierea aerului în încăperi de lucru

Conținutul de  $\text{CO}_2$  în aerul exterior,  $k_0 \approx 0,05\% \approx 500 \text{ cm}^3/\text{m}^3$  aer. Coloana a doua a tabelului dă limita maximă permisă a concentrației  $k_i$  în încăperile de lucru, coloana a treia — valorile care nu mai sînt neutre prin efectul lor după o lungă perioadă de expunere și coloana a patra — nivelul periculos (toxic) (în cazul unei inhalări pe o perioadă de 1/2...1 oră. Valorile marcate cu (S) conform cu Standard Association (1950) au fost alese fără definirea ulterioară de către GI Arbeitsblätter (Tabele de lucru), fascicula 19 (1952).

Substanța	$k_i$ nivel permis	Limita inferioară a riscului	Nivel periculos
Gaze nocive, în $\text{cm}^3/\text{m}^3$ aer			
1. Acid cianhidric .....	20	40	100
2. Acid clorhidric gazos .....	10	50 <sup>1)</sup>	1000
3. Acid nitrosulfuric .....	10	35	100
4. Amoniac .....	50 <sup>1)</sup>	100	2500
5. Bioxid de carbon .....	1400	—	—
6. Bioxid de sulf .....	10 <sup>1)</sup>	20 <sup>2)</sup>	400
7. Clor .....	1	2 <sup>1)</sup>	25
8. Fosgen .....	0,25	0,5	12
9. Hidrură arsenică .....	0,6	1,5	60
10. Hidrogen fosforat .....	0,7	2,5...3,0 <sup>1)</sup>	400
11. Hidrogen seleniat .....	0,3...0,6 <sup>1)</sup>	1,5	—
12. Hidrogen sulfurat .....	20 <sup>1)</sup>	120	400
13. Oxid de carbon .....	100	160	1200...2000
14. Ozon (după Dr. Roedler) .....	0,05	0,18...0,47 <sup>2)</sup>	0,6

Vapori solubili toxici, în  $\text{cm}^3/\text{m}^3$  aer

1. Acetonă .....	260	—	—
2. Alcool etilic .....	1000	2500	—
3. Alcool metilic .....	200	400	—
4. Anilină .....	20	25	—
5. Benzen .....	50	500	—
6. Bisulfură de carbon .....	20	100	—
7. Cloroform .....	280	600	—
8. Clorură de etil .....	200	400	—
9. Clorură de metil .....	100	500	—
10. Clorură de metilen .....	500	800	—
11. Eter etilic .....	150	1800	—
12. Petrol .....	750 (100 S)	—	—
13. Tetracloretan .....	1,5	4	—
14. Tetraclorură de carbon .....	50	peste 1000	—
15. Toluen .....	200 (S)	—	—
16. Tricloretilenă .....	150	200	—
17. Xilenă .....	200 (S)	—	—

<sup>1)</sup> Sesizabile prin miros.

<sup>2)</sup> Iritante ale căilor respiratorii.

Tabelul 13.18 (continuare).

Substanța	$k_i$ nivel permis	Domeniul periculos <sup>1)</sup>
Vapori metalici toxici și prafuri, în $\text{mg}/\text{m}^3$ aer		
1. Arsenic și compuși .....	1...2 (0,15 S)	peste 5
2. Berilium și compuși .....	—	peste 0,1
3. Cadmiu și compuși .....	0,1	peste 0,5
4. Crom și compuși .....	0,1	peste 0,5
5. Mangan și compuși .....	6,0	de la 50
6. Mercur .....	0,1	de la 1,0
7. Pentoxid de fosfor .....	1,0	—
8. Plumb și compuși .....	0,15	de la 0,5
9. Seleniu .....	0,8	peste 1,0

<sup>1)</sup> Periculos (toxic) în cazul unei expuneri de lungă durată.

2) Creșterea temperaturii încăperii, datorită aportului de căldură al utilajelor și al echipamentului electric.

Instalația de ventilare are drept scop reducerea creșterii de temperatură peste o valoare admisibilă. Debitul de aer necesar va fi:

$$V = \frac{I_1 \pm I_2}{c_p(t_i - t_0)} \text{ m}^3/\text{h}$$

unde:  $I_1$  este debitul caloric (aportul de căldură) disipat în încăpere, în kcal/h;

$I_2$  — pierderile de căldură ale încăperii în cazul unor temperaturi exterioare mai mici ca ale încăperii (semnul minus) sau debitul caloric pătruns datorită radiației solare (semnul plus), în kcal/h;

$c_p$  — căldura specifică a aerului ( $c_p = 0,31 \text{ kcal}/\text{m}^3 \text{ grad}$ );

$t_i$  — temperatura maxim admisă pentru încăpere, în  $^{\circ}\text{C}$ ;

$t_0$  — temperatura aerului la intrare (temperatura exterioară), în  $^{\circ}\text{C}$ ;

În cazul motoarelor electrice și al transformatoarelor, cantitatea de căldură  $I_1$  poate fi calculată cu o precizie suficientă, din puterea nominală  $P$  (în kW) și randamentul  $\eta$ . În acest caz cantitatea de aer necesară este ( $1 \text{ kW} = 860 \text{ kcal/h}$ ):

$$V = \frac{P \left( \frac{1}{\eta} - 1 \right)}{c_p(t_i - t_0)} 860 \text{ m}^3/\text{h},$$

unde  $I_2$  nu s-a luat în considerare.

Pentru scopuri estimative:

La o diferență de temperatură  $t_i - t_0 = 10^{\circ}\text{C}$  și la o putere pierdută prin disipație de 1 kW, cantitatea necesară de aer va fi:

$$V = 300 \text{ m}^3/\text{h}.$$

3) Creșterea umidității încăperii datorită producerii de vapori din băi deschise (evaporarea pe suprafețe libere).

Instalația de ventilație are drept scop ca, prin introducerea de aer încălzit, să absoarbă cantitatea de vapori de apă și să-i evacueze în atmosfera exterioară. Înainte de toate este necesar să se determine cantitatea de vapori de apă din atmosfera încăperii (v. fig. 13.3 și 13.5).

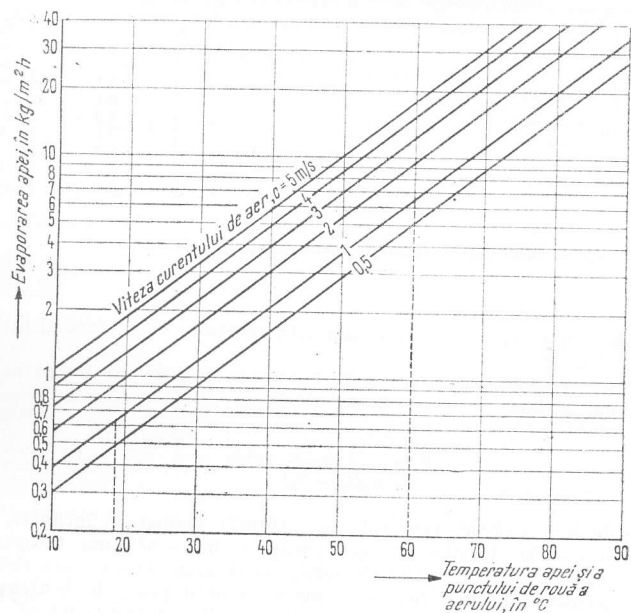


Fig. 13.5. Evaporarea de pe o suprafață de apă liber expusă.

Debitul necesar de aer va fi:

$$V = \frac{WA}{(x_2 - x_1) 3,6 \rho} \text{ m}^3/\text{s}$$

unde:  $W$  este evaporarea apei, în  $\text{kg}/\text{m}^2\text{h}$ ;  
 $x_2$  — conținutul de apă al aerului evacuat la temperatura încăperii, în  $\text{g}/\text{kg}$  aer;  
 $x_1$  — conținutul de apă al aerului admis, încălzit la temperatura încăperii, în  $\text{g}/\text{kg}$  aer;  
 $\rho$  — densitatea aerului, în  $\text{kg}/\text{m}^3$ ;  
 $A$  — suprafața totală de evaporare, în  $\text{m}^2$ .  
 Puterea necesară pentru încălzirea aerului admis este:

$$P = \frac{Vc_p(t_i - t_0) 3600}{860} \text{ kW.}$$

Pentru scopuri estimative ( $t_0 = -10^\circ\text{C} \dots +10^\circ\text{C}$ ) se consideră

$$P = 1,4V(t_i - t_0) \text{ kW.}$$

4) Determinarea debitului necesar de aer cu ajutorul numărului de schimburi orare.

Dacă pentru întocmirea calculului nu există datele necesare, cantitățile de aer proaspat pot fi calculate din tabelele determinate experimental. Din acestea rezultă numărul

Tabelul 13.19. Cifre pentru schimbul normal și pentru consumul normal de aer

Tipul încăperii	Schimbul de aer AE/h	Consumul de aer/persoană $\text{m}^3/\text{h}$	Observații
Baruri, cluburi, cantine, săli de adunări sau de conferințe	fumat oprit 5...8 fumat permis 6...10	20...30 30...50	Spațiul necesar pentru o persoană 4...8 $\text{m}^3$
Birouri:			
— fără accesul publicului	5...7		
— cu accesul publicului	6...10		
Cinematografe, teatre mici	5...8	20...30	
Depozite, magazine	5...8		
Școli	3...5	20...30	
Săli de operație	4...8	60...100	
Secție de spital	3		
Încăperi de locuit	3		
Dependințe, toalete	4...8		
Bucătări:			
— mari	8...15		
— mici	10...20		
Secție de uzină, atelier:			
— fără vicierea aerului	3...8		
— cu vicierea aerului	10...20		
Ateliere de pictură, vopsitorie	25...50		
Ateliere de decapare	5...15		
Vopsitorii chimice și călătorii	10...20		
Încăperi pentru acumuloare	5...10		Instalație de împiedicare a formării ceții, cu formulă mai bună ca $V = 110 I n^1$ )
Încăperi pentru activitate fotografică	10...15		
Garaje	5...8		
Ateliere mecanice și încăperi pentru cazane	10...40		Dependent de nivelul de căldură
Instalații cu suprapresiune:			
— construcție solidă	3...5		
— construcție ușoară	5...10		Pentru prevenirea intrării prafului
Îndepărtarea aburilor din instalații de distribuție	30...60		

<sup>1)</sup>  $V$  — cantitatea de aer, în  $\text{m}^3/\text{h}$ ;  
 $I$  — curentul de încărcare, în A;  
 $n$  — numărul de elemente.



de schimburi necesar per oră (AE/h) pentru majoritatea tipurilor de încăperi (v. tabelul 13.19). Debitul de aer va fi:

$$V = \text{volumul încăperii} \times \text{AE/h} [\text{m}^3/\text{h}].$$

În cazul unor încăperi destinate locuitului, trebuie inclus și consumul orar per persoană.

### Determinarea presiunii statice

Pentru determinarea presiunii statice este necesar să se facă însumarea următoarelor pierderi de presiune:

- pierderi prin rezistența opusă de instalație ( $p_A$ );
- pierderi de presiune în conducte.

#### 1. Pierderi prin rezistența opusă de instalație ( $p_A$ )

Valorile pierderilor de presiune ale diferitelor aparate folosite sînt indicate de obicei de către firmele producătoare pentru anumite debite de aer. Pentru recalcularea pierderilor de presiune a acestor aparate pentru alte debite decît cele indicate de firmă se poate folosi formula:

$$\Delta p_2 = \Delta p_1 \left( \frac{V_2}{V_1} \right)^2.$$

În cazul condiționării aerului se vor lua în considerare următoarele valori medii:

- filtre ..... 5... 10 mm  $\text{H}_2\text{O}$
- filtre electrice ..... 2... 4 mm  $\text{H}_2\text{O}$
- încălzitoare de aer ..... 2... 10 mm  $\text{H}_2\text{O}$
- baterii de încălzire ..... 5... 20 mm  $\text{H}_2\text{O}$
- clapete de închidere ..... 2... 4 mm  $\text{H}_2\text{O}$ .

Tabelele firmelor producătoare dau în mod frecvent pierderile de presiune pentru instalații curate de filtrare. Trebuie menționat că în cazul unor filtre contaminate (murdare) pierderile de presiune pot să sporească adeseori pînă la de 3 ori. Condiții similare se pot aplica și bateriilor de încălzire.

#### 2. Pierderi de presiune în conducte

Rezistența întîmpinată la curgeri în conducte și țevi se datorește rezistenței de frecare (pierderi lineare) și rezistenței datorită coturilor, ramificațiilor și variațiilor în secțiunea transversală (pierderi locale).

Pierderi prin frecare ( $p_r$ ) (pierderi liniare)

Pierderile prin frecare se calculează din presiunea dinamică  $p_d$  pe baza relației

$$p_r = \lambda \frac{l}{D} p_d \text{ [mm H}_2\text{O]}$$

în care:  $\lambda$  este coeficientul de frecare (v. fig. 13.6);

$l$  — lungimea conductei, în m;

$D$  — diametrul interior al conductei, în m.

Pentru instalații normale de ventilație, valorile pierdute prin frecare pot fi obținute cu ajutorul abacei din figura 13.7.

Vom determina înți viteza aerului în conductă cunoscînd debitul de aer (scara A) și secțiunea transversală a conductei.

Această valoare citită pe scara B se va uni, printr-o dreaptă, cu valoarea diametrului  $D$ , în cazul conductelor circulare, sau cu valoarea diametrului echivalent  $D_g$ , în cazul conductelor cu secțiunea dreptunghiulară — pe scara D. Acolo unde această

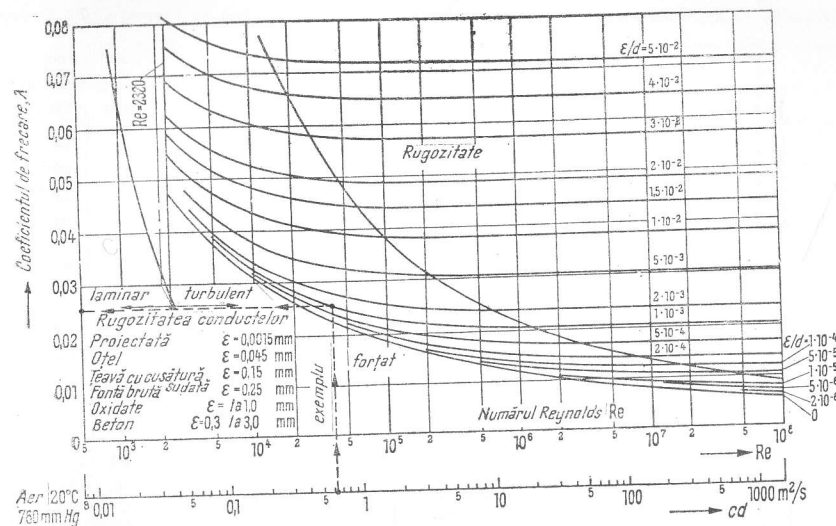


Fig. 13.6. Coeficientul de frecare  $\lambda$  în cazul conductelor drepte, după Prandtl-Kármán-Colebrook.

dreaptă va intersecta scara C se va putea citi pierdere de presiune lineară (pierdere prin frecare) pentru un metru linear de conductă. Această valoare este valabilă în cazul conductelor cu suprafața netedă. Pentru țevi de lemn, valoarea găsită se va multiplica cu 1,5, iar pentru țevi de ceramică sau beton se va multiplica cu 2. Diametrul echivalent pentru țevi dreptunghiulare se calculează cu relația:

$$D_g = \frac{2ab}{a+b}.$$

Pierderi de presiune locale ( $p_u$ ).

Pentru instalații simple, rezistența datorată secțiunilor curbe ale conductelor (pierderile locale) poate fi găsită cu ajutorul abacei (fig. 13.7). Valorile intermediare se pot interpola. Pentru calcule mai precise poate fi utilizat tabelul 13.20, care conține de asemenea și coeficientul de rezistență pentru ramificații și variații în secțiunea transversală a conductei. Pierderile  $p_u$  se obțin din formula:

$$p_u = \Sigma (\xi \cdot p_d)$$

Presiunea statică totală, care trebuie produsă de ventilator este astfel:

$$p = \Sigma p_r + \Sigma (\xi \cdot p_d) + \Sigma p_A.$$

La valoarea totală a pierderilor trebuie adăugată presiunea dinamică, corespunzătoare valorii maxime a debitului ce poate apare în sistemul de conducte; în felul acesta, presiunea totală, pe care trebuie s-o dezvolte ventilatorul rezultă:

$$p_t = p + p_{d \max}.$$

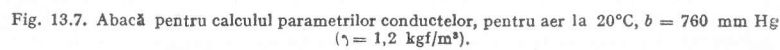
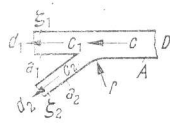
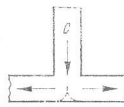
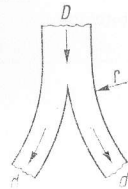
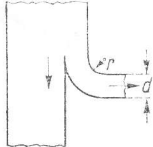
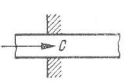
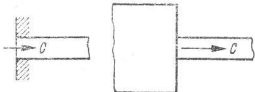


Fig. 13.7. Abacă pentru calculul parametrilor conductelor, pentru aer la 20°C,  $b = 760$  mm Hg ( $\gamma = 1,2$  kgf/m³).

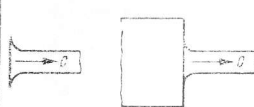
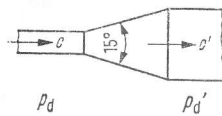
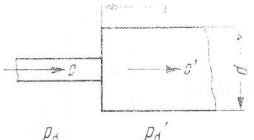
Tabelul 13.20 (continuare)

Modul de curgere a fluidului	$\xi$	Observații												
B. Conducte ramificate														
1 		$\xi_1 = 0$ $\xi_2 \approx 0,01 \dots 1,5$ pentru cazurile A1...A8. Numai pentru conducte ramificate la care $c \approx c_1 \approx c_2$ și $A \approx a_1 + a_2$												
2 	$\xi \approx 1,5$ fiecare	Conductă ramificată cu mișcarea aerului în două direcții opuse												
3 	$\xi$ corespunde lui $r$ din cazul B4 (de mai jos)	Piesă Y (pantalon)												
4 		Conductă ramificată rotund $k = \frac{r}{d}$												
<table><tr><td><math>k</math></td><td>0</td><td>0,5</td><td>2,0</td><td>4,0</td><td>6,0</td></tr><tr><td><math>\xi</math></td><td>1,1</td><td>0,28</td><td>0,14</td><td>0,07</td><td>0,02</td></tr></table>			$k$	0	0,5	2,0	4,0	6,0	$\xi$	1,1	0,28	0,14	0,07	0,02
$k$	0	0,5	2,0	4,0	6,0									
$\xi$	1,1	0,28	0,14	0,07	0,02									

C. Variația secțiunii transversale

1 	0,6	Aspirație directă în conductă
2 	0,4	Aspirație de perete cu muchie dreaptă sau trecere de la secțiune mare la mică

Tabelul 13.20 (continuare)

Modul de curgere a fluidului	$\xi$	Observații
3 	$\approx 0$	Ajutaj de intrare sau trecere la secțiunea transversală mică prin ajutaj
4 	—	Pierderi în difuzor $(p_d - p_{d'}) (1 - \eta_D) = \frac{\gamma}{2g} (c^2 - c'^2) (1 - \eta_D)$ Randamentul difuzorului $\eta_D \approx 0,75$ pentru unghiul difuzorului mai mic sau egal cu $15^\circ$ și fără curgere turbulentă
5 		Pierderi în punctul de impact (lărgire bruscă de secțiune) $\frac{p}{2g} (c - c')^2$ unde $l \leq 8d$ , altfel pierderile cresc

## Limite pentru zgomotul de funcționare

Pentru alegerea ventilatorului, zgomotul de funcționare este în cele mai multe cazuri un factor important, în special acolo unde ventilatorul este exploatat sau instalat în vecinătatea zonelor de locuit.

Dacă ventilatorul este instalat astfel încât zgomotul se poate propaga liber, de exemplu la instalarea pe sau în perete, nivelul zgomotului poate fi determinat cu ajutorul figurii 13.4. Dacă nivelul de zgomot este prea mare, se recomandă a fi alese ventilatoare cu turație scăzută și diametru mare al rotorului, cu condiția ca presiunea necesară să nu fie prea mare. Dacă se folosește un alt ventilator cu model geometric similar de exemplu cu turație de două ori mai mică decât a originalului, diametrul trebuie să fie crescut numai cu  $\sqrt[3]{2}$  (conform legilor de similitudine). Viteza periferică a paletelor, care este importantă din punct de vedere al nivelului de zgomot este în acest caz redusă cu 63% și puterea necesară a ventilatorului mai mare este redusă cu aproximativ 40% față de a ventilatorului considerat inițial.

Zgomotul ventilatorului instalat în legătură cu un sistem de conducte în amonte sau în aval, este atenuat într-o măsură destul de mare la instalațiile actuale. Se poate, de asemenea, reduce și mai mult zgomotul prin următoarele măsuri: ventilatoarele să fie asigurate cu elemente de atenuare a vibrațiilor (amortizoare de cauciuc) în scopul de a reduce propagarea zgomotului în clădiri; conductele să fie racordate cu ventilatorul prin intermediul unor legături elastice, în scopul de a reduce propagarea zgomotului în sistemul de conducte; secțiunea transversală a conductelor să fie dimensionată pentru o viteză mică a aerului; de asemenea se utilizează vopsirea carcaselor ventilatoarelor și conductelor cu vopsea antirezonanță precum și acoperirea interioară a tuburilor cu materiale fonoabsorbante.

## 13.3. CONDUCTE ȘI POMPE PENTRU FLUIDE

Puterea necesară pentru o pompă

Aceasta este dată de relația:

$$P = \frac{QH\rho}{102\eta} \text{ kW},$$

unde:

 $H$  este înălțimea manometrică totală de transport, în m col de lichid; $P$  — puterea necesară pentru pompă, în kW; $n$  — viteza de rotație a pompei, în rot/min; $Q$  — debitul de lichid transportat, în m<sup>3</sup>/s; $\rho$  — densitatea lichidului, în kg/m<sup>3</sup>; $\eta$  — randamentul total al pompei.

Valori orientative pentru randamentul total al pompelor;

— pompe cu piston  $\eta = 0,8 \dots 0,95$ ;— pompe rotative  $\eta = 0,5 \dots 0,85$ .

## Principii de proporționalitate aplicabile la pompe

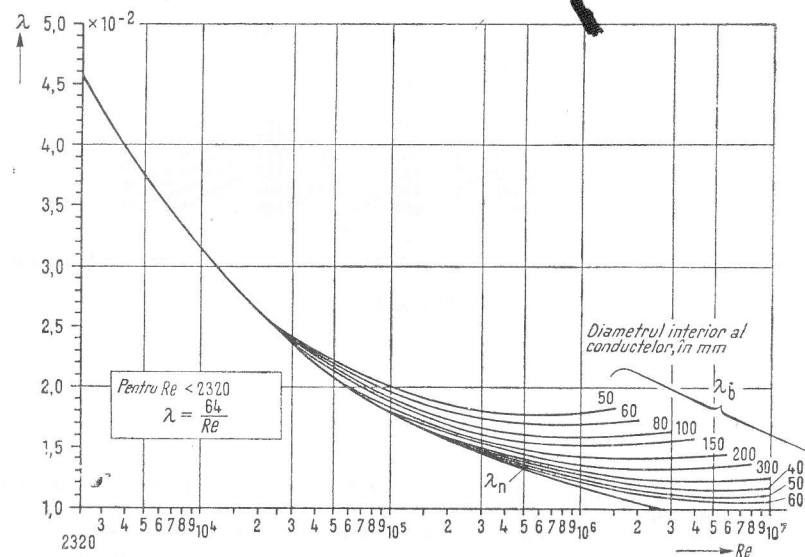
Modificarea vitezei pompei de la  $n$  la  $n_1$  are drept rezultat următoarele modificări ale parametrilor:

Tipul de pompă	Debit	Înălțime de pompare	Puterea necesară
Pompe rotative	$Q_1 = Q \frac{n_1}{n}$	$H_1 = H \left( \frac{n_1}{n} \right)^3$	$P_1 = P \left( \frac{n_1}{n} \right)^3$
Pompe cu piston	$Q_1 = Q \frac{n_1}{n}$	$H_1 = H$	$P_1 = P \frac{n_1}{n}$

## Pierderea de presiune prin frecare în conducte

Pierderea de sarcină  $H_w$  în conducte rugoase, în cazul apei reci (după Lang) este, dată de relația:

$$H_w = \left( 0,02 + \frac{0,0018}{\sqrt{vD}} \right) \frac{v^2}{2g} \frac{L}{D} \text{ m},$$

în care:  $D$  este diametrul interior al conductei, în m; $L$  — lungimea conductei drepte, în m; $l$  — lungimea conductei echivalente pentru curburi, ventile etc., în m; $Re$  — numărul Reynolds; $v$  — viteza de curgere a lichidului, în m/s; $z$  — coeficientul de siguranță pentru conducte foarte uzate; $\lambda_n$  — coeficientul de rezistență al conductei în stare nouă; $\lambda_b$  — coeficientul de rezistență al conductei în stare de funcționare; $\nu$  — viscozitatea cinematică, în cm<sup>2</sup>/s; $g$  — accelerația gravitațională, în m/s<sup>2</sup>;Fig. 13.8. Coeficienții de rezistență  $\lambda$  pentru conducte.Pierderea de sarcină  $H_w$  în conducte drepte, rugoase.

Pentru lichide în general (după Blasius, Galavics și Poiseuille)

$$H_w = \lambda_b \frac{v^2}{2g} \frac{L}{D} \text{ m}.$$

Valoarea  $\lambda_b$  poate fi obținută în funcție de numărul Reynolds  $Re$  din diagrama din fig. 13.8, în care caz

$$Re = \frac{vD}{\nu} \cdot 10^4.$$

Viscozitate ( $\nu$ , de asemenea tab. 13.22)

Tabelul 13.21. Compararea viscozității cinematice  $\nu$  cu alte unități convenționale de viscozitate

Grade Engler E	Viscozitatea cinematică $\nu$ cm <sup>2</sup> /s	Al doilea număr al lui Redwood R s	Al doilea număr al lui Saybold S s
1,0	0,010	29,2	31,1
1,5	0,0625	41,4	46,0
2,0	0,118	57,9	66,3
2,5	0,166	73,7	85,2
3,0	0,211	89	104
3,5	0,245	105	122
4,0	0,293	119	140
4,5	0,333	133	157
5,0	0,373	149	174
5,5	0,412	163	192
6,0	0,451	178	209
7,0	0,529	206	242

Pentru viscozități mai mari ca 7E (grade Engler) se aplică următoarele formule:

$$R = 29,2 \times E$$

$$S = 34,5 \times E$$

$$\nu = 0,076 \times E.$$

#### Unități de viscozitate

Germania: „Grade Engler“ (E) — raportul dintre timpul de scurgere a unei cantități de 200 cm<sup>3</sup> ulei la temperatura măsurată și 200 cm<sup>3</sup> apă distilată la 20°C (recipientul de scurgere sau viscozimetru conform DIN 51560);

Anglia: „Redwood — pe secundă“ (R) — timpul de scurgere în secunde din anumite recipiente;

USA: „Saybold — pe secundă“ (S) — timpul de scurgere în secunde din anumite recipiente;

Anglia: 1 poise = 1 dyn·s/cm<sup>2</sup>;

și USA: 1 decipoise = 10<sup>-1</sup> poise;

1 centipoise = 10<sup>-2</sup> poise;

Lichidul are viscozitatea de 1 poise, dacă o forță de 1 dyn ce tinde să deplaseze relativ două suprafețe paralele de lichid de 1 cm<sup>2</sup> fiecare, distanța dintre acestea fiind de 1 cm, imprimă acestora o viteză de 1 cm/s.

Apa distilată are la 20°C o viscozitate de aproximativ 1 centipoise.

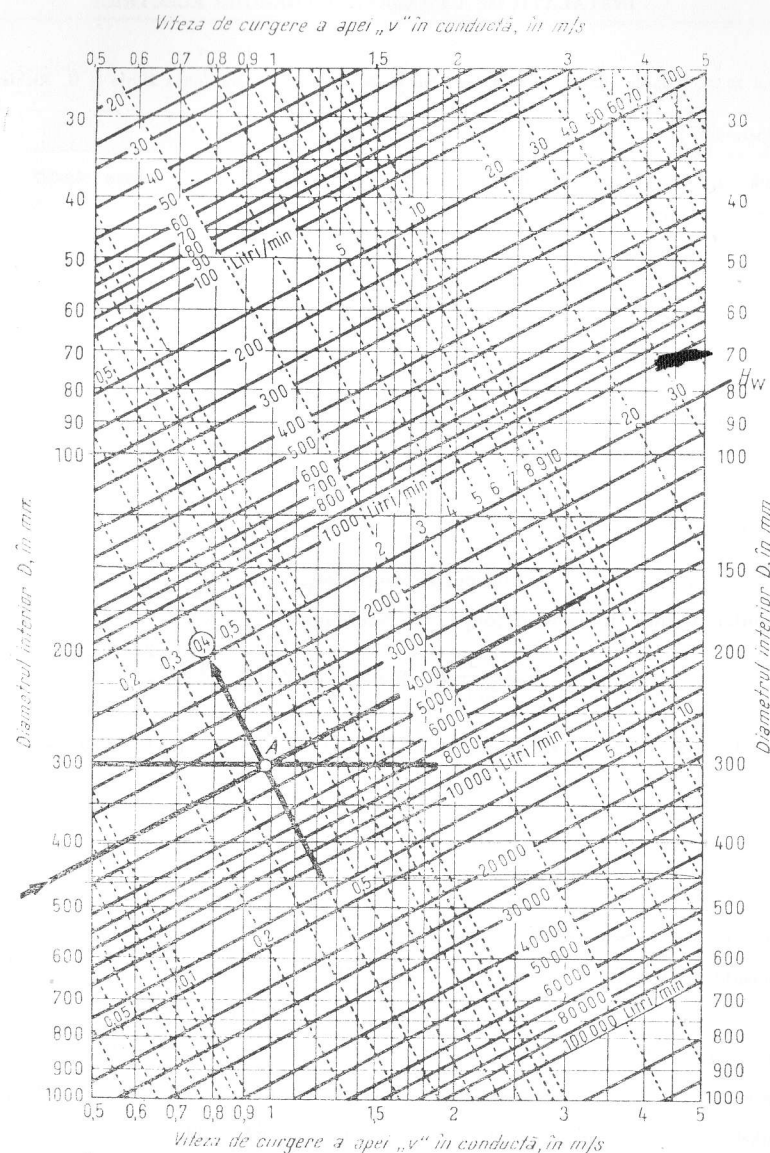


Fig. 13.9. Determinarea pierderilor prin frecare în conducte standard cu diametrul interior de 30...1000 mm, în cazul apei. Exemplu: La  $Q = 4000$  l/min și  $D = 300$  mm,  $H_w = 0,4$  m pierderi de sarcină pentru 100 m de conductă.



Tabelul 13.22. Valorile viscozității  $\nu$  în  $\text{cm}^2/\text{s}$  în funcție de temperatură (după Hütte și H. Richter)

Temperatura, °C	0	10	20	30	40	50	60	80	100
Apă curată .....	0,0179	0,0131	0,0101	0,0081	0,0066	0,0056	0,0048	0,0037	0,0030
Apă de mare cu conținut de sare:									
2% .....	0,0182	0,0133	0,0103	0,0083					
4% .....	0,0183	0,0136	0,0106	0,0084					
Petrol <sup>1)</sup> .....		0,0289	0,0232	0,0188	0,0160				
Ulei de lagăre <sup>1)</sup> .....			0,5200		0,200		0,08	0,05	
Ulei de mașină <sup>1)</sup> .....		1,8...	1,3...	0,5...	0,3...				
		7,3	5,0	1,7	1,05				
Ulei pentru cilindri <sup>1)</sup> ..					10,0		1,80	0,70	0,40
Țiței .....		0,13...	0,09...	0,07...	0,05...				
		100,0	30,0	10,0	5,0				

<sup>1)</sup> Valori medii.Pierderea de sarcină  $H_w$  în secțiuni curbe, ventile etc.

Pentru lichide în general (după G. Neumann):

$$H_w = \lambda_n z \frac{v^2 \Sigma l}{2gD} \text{ m (pentru } \lambda_n \text{ v. fig. 13.8)}$$

Tabelul 13.23. Lungimile echivalente ale conductelor, în metri, pentru pierderi locale, pentru conducte rugoase, trase și noi

Diametru mm	50	100	150	200	250	300	400	500
Piesa								
Cot de 90°, neted ( $R = 3D$ ) ....	2,0	3,7	6,0	7,5	9,0	11,2	16,5	21,0
Secțiune curbă din fontă .....	4,8	11,2	18,7	27,0	36,0	45,0	66,0	82,0
Ventil cu două căi .....	19,5	46,0	75,0	110,0	150,0	195,0	250,0	400,0
Ventil unghiular standard .....	15,0	30,0	48,0	67,0	91,0	115,0	172,0	225,0
Ventil Koswa .....	3,1	7,5	12,7	18,0	24,0	30,0	45,0	73,0
Ventil Rhei .....	3,0	6,7	12,0	16,5	21,5	27,0	40,0	69,0
Ventil unidirecțional .....	4,8	11,2	18,7	27,0	36,0	45,0	66,0	89,0
Ventil cu două căi paralele ....	0,9	2,2	3,0	4,5	6,0	7,5	11,2	15,0

Coeficienții de siguranță se vor considera:

- pentru conducte fără cusătură de oțel, în stare nouă,  $z = 1,15$ ;
- pentru conducte de fontă în stare nouă,  $z = 1,20$ ;
- pentru conducte de fontă ruginite intens,  $z = 1,40$

Înălțimea permisă de aspirație a pompelor: presiunea atmosferică în m coloană de lichid

$$B = \frac{10,000}{735,5 \rho} H_g$$

unde:

 $H_g$  este presiunea atmosferică (absolută), în mm Hg; $\rho$  — densitatea lichidului ce urmează a fi transportat, în  $\text{kg}/\text{m}^3$ ; $H_{lc}$  — pierderea totală de presiune pentru conducte de aspirație, în m coloană de lichid; $H_t$  — presiunea vaporilor (absolută) a lichidului ce urmează a fi transportat, în m coloană de lichid (v. fig. 13.10); $v$  — viteza de curgere a lichidului ce urmează a fi transportat, în m/s.Înălțimea maximă de aspirație  $H_s$  se găsește cu relația:

$$H_s < B - H_{lc} - H_t \frac{v^2}{2g} \text{ m col lichid.}$$

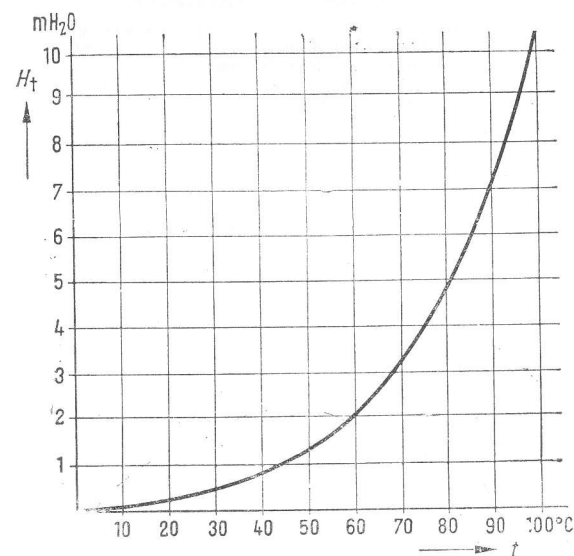


Fig. 13.10. Presiunea absolută a vaporilor de apă la temperatura de funcționare.

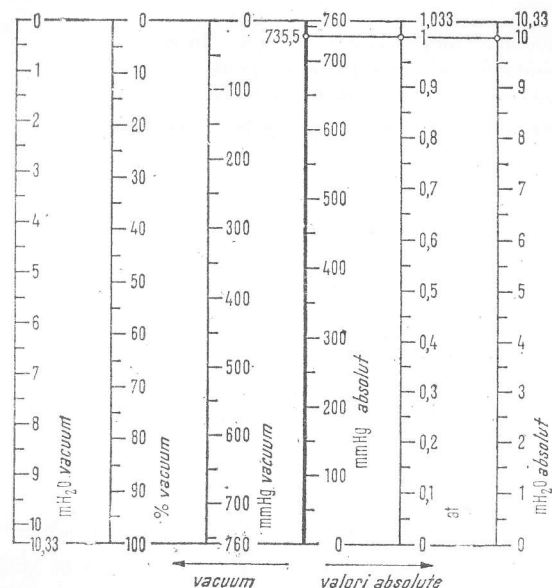


Fig. 13.11. Date comparative pentru presiuni absolute utilizate în mod normal, în domeniul de vacuum. Linia atmosferică la nivelul barometric de 760 mm Hg:

1 atmosferă fizică (atm) = 760 torr = 1,033 kgf/cm<sup>2</sup> = 760 mm Hg;  
1 atmosferă tehnică (at) = 735,5 torr = 1,0 kgf/cm<sup>2</sup>.

Tabelul 13.24. Maxime ale presiunii atmosferice și ale densității aerului<sup>1)</sup>

Înălțimea deasupra nive- lului mării m	Condiții atmosferice				Punctul de fierbere al apei °C
	Temperatura <sup>2)</sup> °C	Presiune (abs) mm Hg	Presiune (abs) mb	Densitate kg/m <sup>3</sup>	
0	+ 15	760	1013	1,226	100
200	+ 13,7	742	986	1,20	99
500	+ 11,8	716	952	1,17	98
1 000	+ 8,5	673	894	1,11	97
1 500	+ 5,3	623	840	1,06	95
2 000	+ 2	595	792	1,01	93
3 000	- 4,5	540	718	0,92	91
5 000	- 17,5	423	561	0,76	84
8 000	- 37	280	371	0,55	74
10 000	- 50	215	285	0,44	68
20 000	- 56,5	46	61	0,10	37
30 000	- 56,5	11	17	0,03	15

<sup>1)</sup> Pentru valorile lui  $H_p$ , pentru apă, v. fig. 13.10.

<sup>2)</sup> Temperatura medie anuală.

### 13.4. APARATE ELECTROCASNICE

#### Plite electrice și mașini de gătit

Reșouri și plite mici pentru preparatul sumar al mâncărilor în încăperi mici.

Plite mijlocii pentru garsoniere și apartamente mici.

Mașini de gătit cu trei sau patru discuri încălzitoare (ochiuri) pentru gospodării normale (combinat uneori cu arzătoare cu cărbune sau motorină pentru încălzirea bucătăriei în timpul sezonului rece).

Plite electrice de tip încorporate în dulapuri sau corpuri pentru bucătări comerciale. Se mai utilizează uneori în gospodării rurale.

Tabelul 13.25. Dimensiuni și puteri ale discurilor reglabile pentru mașini de gătit

Treptele comu- tatorului <sup>1)</sup>	Nr.	0	6	5	4	3	2	1
Diametrul reșoului mm	Nr. de elemente	Puterea elemen- tului încălzitor W	Trepte de putere W					
145	1	250	1000	750	500	250	165	100
	2	250						
	3	500						
	1	750	1500 <sup>2)</sup>	750	500	250	165	135
	2	250						
	3	500						
180	1	350	1500	1150	850	300	220	135
	2	500						
	3	650						
	1	850	2000 <sup>2)</sup>	1150	850	300	220	175
	2	300						
	3	850						
220	1	600	2000	1400	950	450	305	200
	2	450						
	3	950						
	1	800	2600 <sup>2)</sup>	1800	1300	500	360	250
	2	500						
	3	1300						
Scopul :			Fierbere, prăjire, coa- cere puternică			Fierbere înă- busită slabă		încăl- zire

<sup>1)</sup> Comutator cu 7 poziții.

<sup>2)</sup> Discuri rapide cu restricție de putere.

*Reșouri cu încălzire prin conducție* — constau din discuri de fontă sau oțel, în care elementul încălzitor este înglobat între nervurile materialului ceramic izolan. Caracteristici: durata mare de viață la preț mic, încălzire uniformă a unei mari suprafețe; vasele pentru asemenea instalații trebuie să aibă baza plată.

*Reșouri cu încălzire prin radiație* — constau din elementele încălzitoare formate din spirale, având o capacitate de încălzire mai scăzută; schimbul de căldură făcându-se prin radiație se poate utiliza orice echipament de bucătărie. Datorită temperaturii înalte, acestea sînt mai costisitoare, necesitînd materiale rezistente.

*Reșouri pentru încălzire rapidă* cu o putere deosebit de mare (cel mai adesea cu diametrul de 180 mm și puterea 2 000 W), echipate cu dispozitive de reglare a timpului sau temperaturii funcție de putere, pentru a evita supraîncălzirea cînd se lucrează fără sarcină.

*Reșourile automate* — sînt în parte echipate cu regulatoare de putere sau temperatură cu reglaj continuu. Sînt construite în special pentru puteri mari (180 mm diametru, 2 000 W — reșouri Siemens automate, reșouri Regla, reșouri EGO automate).

Consumul mediu necesar pentru o plită fără rezervă de apă caldă, este pentru

2	3	4	5	6	persoane
50	60	70	80	90	kWh/lună

Aceste cifre includ consumul de energie pentru încălzirea unor mici cantități de apă pentru prepararea băuturilor. Un prînz complet pentru 4 persoane necesită aproximativ 1 kWh, iar încălzirea unei aproximativ jumătate din această cifră.

*Puterea cuptorului* este de 1 800 ... 2 100 W. În funcție de dimensiuni și de izolație, cuptorul este în general ales pentru a fi capabil să atingă o temperatură medie de 200°C în aproximativ 15 min, cînd este gol.

Pentru *grătar* se pot introduce elemente de putere cu radiații infraroșii.

### Încălzitoare electrice de apă

*Boilerele* diferă în privința dimensiunilor și a puterii.

Dimensiuni normale: 5 litri pentru bazine de spălare, 8 sau 10 litri pentru chiuvete de bucătărie, 15 litri pentru dușuri, 80 litri pentru băi. Este de asemenea posibilă alimentarea mai multor robinete.

*Boilere electrice* (neizolate) au ca aplicație specială încălzirea apei pentru dușuri sau băi. Servesc de asemenea, pentru a produce apă fiartă pentru bucătărie.

*Încălzitoare instantanee de apă*. Aceste aparate au dimensiuni mici dar putere nominală mare (de exemplu 18 kW...24 kW).

Puterea necesară: 1 kWh furnizează aproximativ

10 litri apă caldă la 85°C sau

20 litri apă caldă la 50°C (spălat partea superioară a corpului) sau

30 litri apă caldă la aproximativ 37°C (higienă personală).

Tabelul 13.26. Energia medie necesară pentru încălzirea apei în bucătărie (rezervoare mici necesare gătitului și spălării)

Numărul de persoane	2	3	4	5	6
Consumul zilnic de apă la 85 °C, în litri/zi	8	10	12	14	16
kWh/zi	0,8	1	1,2	1,4	1,6

Tabelul 13.27. Energia medie necesară încălzirii apei pentru igiena personală

	Necesarul de apă caldă la 85 °C	Temperatura	kWh
	l	°C	
Baie	50	40	5
Duș	10...15	37	1 ... 1,5
Spălat pe mâini	1...2	37	0,1... 0,2
Spălatul părului (bărbați)	2...3	37	0,2... 0,3
Spălatul părului (femei)	3...5	37	0,3... 0,5

### Încălzirea electrică a încăperilor

Aparatele de încălzit electric au următoarele particularități caracteristice: promptitudine, curățenie maximă, exploatare ușoară și posibilitatea de a fi amplasate în orice poziție dorită, cu excepția încălzitoarelor cu acumulare.

Există diferite aparate, proiectate pentru diferite scopuri.

— *Încălzitoare cu acumulare* vor deveni un factor important pentru încălzirea completă a încăperilor. Aceste încălzitoare acumulează în timpul nopții o cantitate de căldură, care apoi este eliberată în timpul zilei. Această formă de încălzire este avantajoasă, economică, în special în zonele cu centrale electrice cu tarif diferențiat în timpul nopții (în afara perioadei consumului de vîrf).

— *Încălzitoare cu acumulare cu reglaj în trepte* au posibilitatea de a realiza un reglaj de putere pornind de la puterea de 1 kW în trepte crescătoare de 0,5 kW. Acestea pot fi folosite pentru reglarea automată a încălzirii încăperilor, dacă sînt prevăzute cu un dispozitiv automat de reglare.

— *Încălzitoare cu acumulare și ventilator* pe lângă faptul că au o mare capacitate de acumulare de căldură, mai au posibilitatea de a selecta, prin intermediul unui regulator continuu, temperatura necesară și debitul ventilatorului cu două turații. Acestea pot fi utilizate pentru încălzirea individuală a încăperilor sau a unor instalații complexe. Temperatura constantă a încăperii este asigurată prin intermediul unui control termostatic.

### Refrigerarea electrică

În cazul refrigerării electrice, temperatura scăzută este produsă prin evaporarea unui lichid (agentul frigorific).

În procesul de absorbție, circulația agentului frigorific — amoniacul — se realizează prin intermediul energiei termice.

În procesul de compresie — circulația agentului frigorific FRIGEN se realizează prin intermediul energiei mecanice.

Frigiderile sînt prevăzute cu diferite agregate și sînt marcate cu 1, 2 sau 3 stele

\* temperaturi de  $-6^{\circ}\text{C}$  și mai jos

\*\* temperaturi de  $-12^{\circ}\text{C}$ ... $-18^{\circ}\text{C}$

\*\*\* temperaturi de  $-18^{\circ}\text{C}$  și mai jos

Tabelul 13.28. Consumul mediu de energie electrică pentru refrigerare

Sistemul de refrigerare	Capacitatea frigiderului litri	Consumul (medie anuală) kWh/lună
Proces de absorbție .....	60...300	40...50
Proces de compresie .....	100...300	20...40

Echipamentul congelatorului lucrează pe principiul compresiei și este realizat din aceleași componente ca și frigiderul. Dulapurile pentru congelatoare au în acest caz o capacitate de utilizare mai mare decît vaporizatoarele frigiderelor (verticale) de dimensiuni echivalente.

Sînt recomandate următoarele cifre pentru dimensiunile congelatoarelor pentru deservirea unui locatar:

70...100 litri volum brut pentru locuințe rurale;

60...80 litri volum brut pentru locuințe urbane.

Capacitatea congelatorului în kg se calculează ca fiind circa 60% din volumul brut dat în litri. Astfel un congelator de 300 litri conține 180 kg alimente înghețate.

Standardele germane stabilesc ca pentru fiecare 100 litri de conținut util, congelatorul să fie capabil, ca la o temperatură exterioară de  $+32^{\circ}\text{C}$ , să înghețe 7 kg de alimente de la  $+25^{\circ}\text{C}$  la  $-18^{\circ}\text{C}$  într-o perioadă de 24 ore.

Pentru congelarea alimentelor este necesară o temperatură cît mai scăzută posibil, mai joasă de  $-35^{\circ}\text{C}$ , iar pentru păstrarea acestor alimente, cel puțin  $-18^{\circ}\text{C}$ . Consumul mediu anual este cuprins între 1 și 3 kWh/zi.

Tabelul 13.29. Puteri nominale ale citorva aparate electrocasnice

Aparatul	Puterea nominală W	Aparatul	Puterea nominală W
Încălzitoare de aer .....	2 000	Congelatoare .....	150...1100
Filtru automat pentru cafea ....	1 000	Uscătoare de rufe .....	600
Spălătoare de vase, automate ..	3 300	Pătură electrică .....	150
Aparat pentru măcinat cafeaua ..	50... 250	Pernă electrică .....	60
Fier de călcat cu termoregulator ..	800...1 000	Uscătoare de păr .....	350... 600
Plite și mașini de gătit:		Uscătoare de mîini .....	1500
— compacte .....	3 000...7 300	Încălzitoare de apă:	
— mijlocii .....	2 500...3 300	— bolier de baie, 80 l .....	4 000...6 000
— model mare .....	7 100...9 800		

Tabelul 13.29 (continuare)

Aparatul	Puterea nominală W	Aparatul	Puterea nominală W
— boiler de baie cu acumulare, 80 l .....	1000...6000	Lustruitor .....	150
— încălzitor instantaneu de apă ..	12 000...24 000	Încălzitor radiant .....	1500
— boiler cu acumulare pentru bucătărie, 8 l .....	2000	Ceainic rapid .....	1600
— boiler pentru bucătărie, 5 l ..	2000	Frigider .....	100... 200
— boiler cu izolație termică pentru duș, 15 l .....	2000...4000	Încălzitor cu acumulare pentru încăperi .....	1000...8000
— boiler pentru spălare, 5 l ..	2000	Uscător centrifugal .....	250
Încălzitor prin imersie .....	700...1000	Ventilator .....	10... 25
Reșou individual .....	1500	Aparat pentru prăjit piine .....	800...1000
Fier de călcat (normal) .....	500	Aspirator de praf .....	200... 600
Mașină de călcat .....	1800...3000	Încălzitor de perete .....	2000
Mixer .....	120	Radiator de perete .....	1000...1300
Aspirator de praf pentru mașină ..	70	Mașină de spălat .....	300
		— fără încălzitor .....	2300...4700
		— cu încălzitor .....	

#### Mașini de spălat

În funcție de modul de construcție, se deosebesc mașini de spălat cu recipient de apă staționar, prevăzute fie cu agitator, fie cu șneac, ca mijloc de punere în mișcare a apei — mașini de spălat cu cuvă — și mașini cu tambur. În mașinile cu cuvă, materialul ce urmează a fi spălat trebuie flotat în clăbuci de săpun (15—25 litri pentru 1 kg de material de spălat), în timp ce la spălarea în mașinile cu tambur sînt necesari numai aproximativ 5 litri pentru 1 kg material de spălat, cu o economie corespunzătoare de apă, încălzire și detergent. În Germania, mașinile de spălat cu tambur sînt utilizate aproape exclusiv, cu introducerea materialului prin partea superioară sau prin partea frontală.

În funcție de gradul de automatizare, mașinile de spălat sînt împărțite în mașini manuale, semiautomate și automate, utimele fiind prevăzute cu program automat de spălare, de la înmuierea preliminară pînă la clătirea finală. Dacă mașina de spălat include și procesul de uscare centrifugală în același tambur, ea reprezintă o mașină complet automată. Există de asemenea, mașini automate de spălat și uscătoare centrifugale separate, înglobate însă în același cadru, cu sau fără includerea unui încălzitor pentru uscare.

#### Uscătoare centrifugale

Uscătoarele centrifugale sînt la ora actuală singurul mijloc folosit pentru a îndepărta apa din materialele spălate; preesele și storcătoarele nu mai au de mult timp o utilizare așa de mare. Uscătoarele centrifugale, ca dispozitive independente, sînt în mod normal prevăzute cu motoare asincrone cu 2 sau 4 poli la 2 800 sau 1 450 rot/min. Operațiunea de uscare centrifugală din mașina de spălat automată se efectuează la viteze cuprinse între 350 și 850 rot/min (acționarea comună este efectuată de un motor asincron prin comutarea numărului de poli sau prin intermediul unui mecanism).

Umiditatea reziduală (apa reziduală pentru 1 kg de materiale spălate și uscate):

— stoarcere manuală	aproximativ 160 %
— uscare centrifugală la 350–600 rot/min	125 – 100 %
— uscare centrifugală la 600–850 rot/min	100 – 85 %
— uscare centrifugală la 1450 rot/min	65 – 70 %
— uscare centrifugală la 2 800 rot/min	40 – 45%

#### *Călcarea materialelor spălate și uscate*

Materialele spălate trebuie să aibă o umiditate reziduală de aproximativ 20%.

#### *Necesarul de putere*

Spălarea, clătirea și uscarea prin centrifugare a unui kilogram de material de spălat în mașini de spălat cu tambur sau mașini de spălat centrifugale, necesită aproximativ 1 kWh, iar uscarea necesită în plus 0,5 kWh (uscarea cu fierul de călcat) până la 1 kWh (cu dulapul de uscat).

#### *Mașini de spălat vase de uz casnic*

Lucrează fie cu palete, pe principiul mișcării turbionare, fie cu pompă de circulație, cu un sistem de jeturi. Astfel spălarea farfuriilor, tăvilor paharelor și vaselor se efectuează în câteva ape, calde și reci, care se schimbă complet în fiecare caz. Programul este în general complet automatizat. Un efect bun de spălare se obține prin stropirea materialului de spălat din toate direcțiile, fără unghiuri moarte, ceea ce implică un consum mai mare de putere și materiale. Sistemul cu jet, în particular cu braț rotitor de stropire, este așadar superior sistemului simplu cu mișcare turbionară. Materialele pentru spălat se introduc prin partea superioară (în principal la sistemul cu palete) sau frontal (la sistemul cu jet). În mașinile de spălat cu introducere frontală pot fi încorporate grupe de 11 articole (de farfurii și vase), corespunzând uzanțelor internaționale.

Pentru apă cu mai mult de 15°dH (grade germane de duritate) este necesară dedurizarea apei așa-zisa schimbare de ioni) pentru a preveni formarea de pete de calciu.

Spălatul unei garnituri întregi de vase pentru o familie de 4–6 persoane necesită un consum de aproximativ 2–3 kWh și de aproximativ 50 litri de apă.

## *PARTEA A PATRA*

# TEHNICA REGLĂRII AUTOMATE ȘI AUTOMATIZAREA



## 14. SISTEME DE REGLARE AUTOMATĂ

### 14.1. NOȚIUNILE FUNDAMENTALE ALE TEHNICII REGLĂRII AUTOMATE

Reglarea automată în buclă deschisă este procesul care are loc într-un sistem în care o variabilă de intrare influențează o variabilă de ieșire (valoare dorită) în virtutea interrelației matematice inerente din sistem (fig. 14.1).

Reglarea automată în buclă închisă este un proces în care variabila care urmează a fi reglată (mărime reglată) este în permanență măsurată și comparată cu o altă variabilă, mărimea de referință. În funcție de rezultatul acestei comparații, mărimea reglată este influențată în așa fel, încât să fie adusă mai aproape — ca valoare — de mărimea de referință (fig. 14.2).

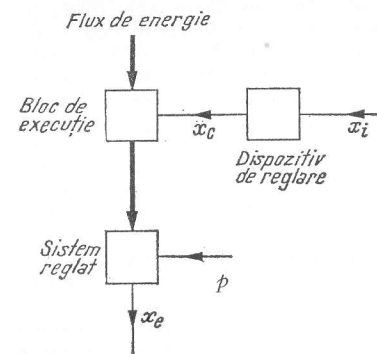


Fig. 14.1. Reglare în buclă deschisă, lanț de reglare:

- $x_i$  — variabila de comandă;
- $x_c$  — variabila de execuție;
- $p$  — variabila de perturbație;
- $x_e$  — variabila de ieșire.

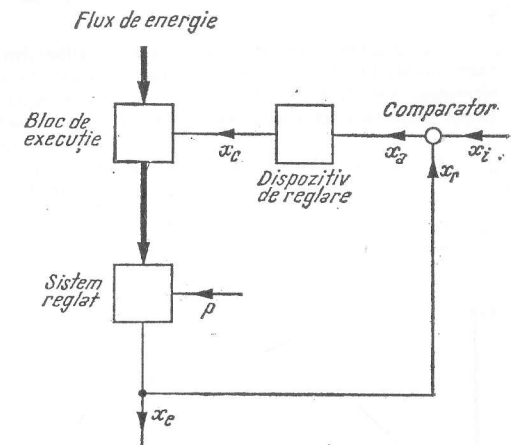


Fig. 14.2. Reglare în buclă închisă, buclă de reglare:

- $x_i$  — variabila de intrare;
- $x_a$  — abaterea (eroarea) de reglare;
- $x_c$  — variabila de execuție;
- $p$  — variabila de perturbație;
- $x_r$  — variabila reglată;
- $x_e$  — variabila de ieșire.

Dacă mărimea de ieșire este mărimea măsurată, mărimea reglată și mărimea de ieșire sînt identice.

#### Lanț de reglare automată, buclă de reglare automată

Procesul de *reglare automată* este descris printr-o succesiune deschisă de operații într-un *lanț de reglare automată*. În cazul reglării automate în buclă închisă succesiunea efectivă este înfăptuită într-un circuit închis, *bucla de reglare automată*. În ambele cazuri *mărimea de referință* acționează asupra *mărimii de ieșire*  $x_e$ . În cazul reglării automate în buclă deschisă, relația dintre mărimea de referință și mărimea de intrare este dată de proprietățile de transfer ale elementelor lanțului de reglare automată. La reglarea automată în buclă închisă, mărimea de ieșire se apropie de mărimea de referință, calitatea acestui proces de apropiere fiind determinată de proprietățile de transfer ale elementelor din bucla de reglare automată.

#### Mărime de execuție, mărime de perturbație

*Mărimea de execuție*  $x_c$ , adică mărimea de ieșire a dispozitivului de reglare automată, influențează mărimea de ieșire intervenind într-un flux de energie prin intermediul elementului de corecție.

*Mărimile de perturbație*  $p$  care afectează porțiunea de reglare produc variații nedorite ale mărimii de ieșire; aceste variații sînt contracarate de mărimea de execuție.

### 14.2. PROPRIETĂȚILE ELEMENTELOR DE TRANSFER

Proprietățile de transfer ale unităților din lanțul sau bucla de reglare automată care constituie factorii decisivi în procesul de reglare automată sînt simbolizate prin *elemente*. Astfel, elementul de transfer este reprezentat printr-un dreptunghi (bloc) (fig. 14.3). Simbolul în formă de dreptunghi înfățișează relația efectivă dintre mărimea de intrare  $x_1$  și mărimea de ieșire  $x_2$ , care sînt arătate sub forma de *linii de acțiune*. Întrucît acesta este pur și simplu un mod de reprezentare a informației, mărimile sînt numite *semnale*.

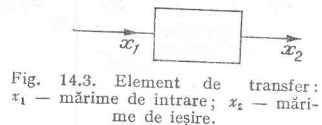


Fig. 14.3. Element de transfer:  $x_1$  — mărime de intrare;  $x_2$  — mărime de ieșire.

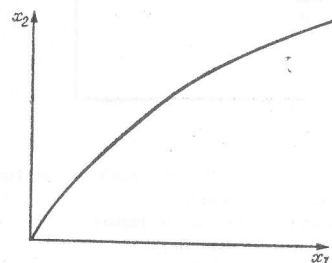


Fig. 14.4. Curba caracteristică în regim staționar a unui element de transfer.

*Răspunsul tranzitoriu al unui element* determină relația efectivă dintre semnalul de intrare și cel de ieșire. Se face distincție între răspunsul staționar (permanent) și comportarea în regim tranzitoriu. *Răspunsul staționar* caracterizează relația dintre semnalul de intrare și cel de ieșire după ce toate procesele tranzitorii s-au stins (v. curba caracteristică în fig. 14.4).

*Comportarea în funcție de timp* indică modul în care semnalul de ieșire urmărește un semnal de intrare variabil în timp.

Clasificarea elementelor după caracteristicile lor statice

În cazul unui element cu acțiune continuă, un semnal de ieșire continuu este atribuit unui semnal de intrare continuu (fig. 14.4). În cazul unui element

cu două stări de funcționare (stări multiple de funcționare), două (mai multe) valori ale semnalului de ieșire sînt atribuite la două (mai multe) game de valori ale semnalului de intrare (fig. 14.5 și 14.6).

*Elementele de comutație binare* sînt elemente cu două stări de funcționare, în care semnalul de intrare are de asemenea numai două valori (semnal binar) (v. tabelul 14.1). Se face distincție între *elemente de comutație binare* (cuplarea logică a mai multor semnale de intrare binare) și *elemente de memorare binare*.

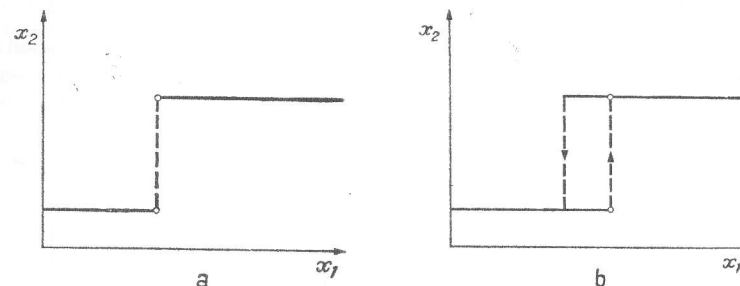


Fig. 14.5. Elemente cu două stări de funcționare: a — fără histerezis; b — cu histerezis.

*Operația de transfer liniară* are un element dacă legea superpoziției este satisfăcută.

*Legea superpoziției.* Dacă semnalul de intrare  $x_1^1$  formează semnalul de ieșire  $x_2^1$  și semnalul de intrare  $x_1^2$  formează semnalul de ieșire  $x_2^2$ , atunci semnalul de ieșire  $x_2^1 + x_2^2$  este atribuit semnalului de intrare  $x_1^1 + x_1^2$ .

*Clasificarea elementelor în funcție de comportarea lor în timp.* Pentru descrierea comportării în timp a elementelor liniare se folosesc următoarele noțiuni:

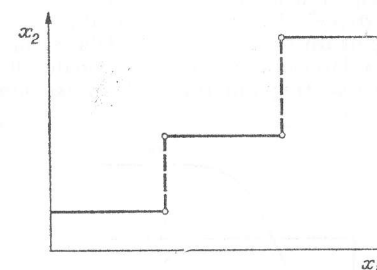


Fig. 14.6. Element cu stări multiple de funcționare.

*Răspunsul în timp* este caracterizat prin panta de timp a semnalului de ieșire pentru semnale de intrare tipice (treaptă și rampă).

*Răspunsul în frecvență* este raportul în regim staționar, dintre semnalul de ieșire sinusoidal și semnalul de intrare sinusoidal, pentru toate frecvențele cuprinse între zero și infinit.

Tabelul 14.1. Elemente de comutare binare

Funcțiunea	Simbolul	Tabelul de funcțiun.	Notafia logică	Exemplu																								
Circuit ȘI		<table><tr><td><math>x_1^1</math></td><td><math>x_1^2</math></td><td><math>x_2</math></td></tr><tr><td>0</td><td>0</td><td>0</td></tr><tr><td>1</td><td>0</td><td>0</td></tr><tr><td>0</td><td>1</td><td>0</td></tr><tr><td>1</td><td>1</td><td>1</td></tr></table>	$x_1^1$	$x_1^2$	$x_2$	0	0	0	1	0	0	0	1	0	1	1	1	$x_2 = x_1^1 \wedge x_1^2$										
$x_1^1$	$x_1^2$	$x_2$																										
0	0	0																										
1	0	0																										
0	1	0																										
1	1	1																										
Circuit SAU		<table><tr><td><math>x_1^1</math></td><td><math>x_1^2</math></td><td><math>x_2</math></td></tr><tr><td>0</td><td>0</td><td>0</td></tr><tr><td>1</td><td>0</td><td>1</td></tr><tr><td>0</td><td>1</td><td>1</td></tr><tr><td>1</td><td>1</td><td>1</td></tr></table>	$x_1^1$	$x_1^2$	$x_2$	0	0	0	1	0	1	0	1	1	1	1	1	$x_2 = x_1^1 \vee x_1^2$										
$x_1^1$	$x_1^2$	$x_2$																										
0	0	0																										
1	0	1																										
0	1	1																										
1	1	1																										
Circuit NU		<table><tr><td><math>x_1</math></td><td><math>x_2</math></td></tr><tr><td>0</td><td>1</td></tr><tr><td>1</td><td>0</td></tr></table>	$x_1$	$x_2$	0	1	1	0	$x_2 = \overline{x_1}$																			
$x_1$	$x_2$																											
0	1																											
1	0																											
Funcția de s tocare		<table><tr><th>Treapta</th><th><math>x_1^1</math></th><th><math>x_1^2</math></th><th><math>x_2</math></th></tr><tr><td>1</td><td>0</td><td>0</td><td>0</td></tr><tr><td>2</td><td>1</td><td>0</td><td>1</td></tr><tr><td>3</td><td>0</td><td>0</td><td>1</td></tr><tr><td>4</td><td>0</td><td>1</td><td>0</td></tr><tr><td>5</td><td>0</td><td>0</td><td>0</td></tr></table>	Treapta	$x_1^1$	$x_1^2$	$x_2$	1	0	0	0	2	1	0	1	3	0	0	1	4	0	1	0	5	0	0	0	stabilire revenire	
Treapta	$x_1^1$	$x_1^2$	$x_2$																									
1	0	0	0																									
2	1	0	1																									
3	0	0	1																									
4	0	1	0																									
5	0	0	0																									

Tipurile speciale de procese sînt:

**Răspunsul la treaptă**, răspunsul semnalului de ieșire atunci cînd are loc o variație bruscă (în formă de treaptă) a semnalului de intrare (fig. 14.7). **Funcția indicială** se obține din răspunsul la treaptă atunci cînd se face raportul dintre semnalul de ieșire și înălțimea trepte. **Răspunsul la impuls**, răspunsul semnalului de ieșire atunci cînd există un impuls tip Dirac la intrare. Din răspunsul la impuls se obține **funcția pondere** atunci cînd se formează citul dintre semnalul de ieșire și aria cuprinsă între semnalul de intrare și axa timpului (fig. 14.8). **Răspunsul la rampă**, răspunsul semnalului de

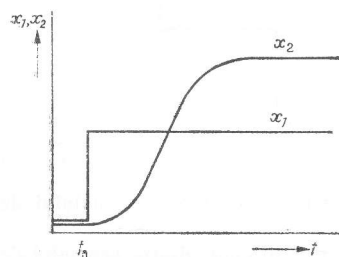


Fig. 14.7. Răspunsul la treaptă (Funcția indicială).

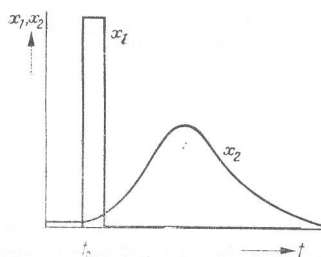


Fig. 14.8. Răspunsul la impuls (Funcția pondere).

ieșire în cazul unei funcții rampă a semnalului de intrare care are o viteză de variație constantă (fig. 14.9).

### Ecuția diferențială liniară

**Ecuția diferențială liniară generală** a unui element liniar este:

$$E_0 x_1 + E_1 \frac{dx_1}{dt} + \dots + E_n \frac{d^n x_1}{(dt)^n} = A_0 x_2 + A_1 \frac{dx_2}{dt} + A_m \frac{d^m x_2}{(dt)^m}$$

cu coeficienții constanți  $E_0, E_1, \dots, E_n; A_0, A_1, \dots, A_m$ .

Dacă semnalul de intrare  $x_1$  este variabil sinusoidal, semnalul de ieșire  $x_2$  este de asemenea variabil sinusoidal. De aceea,  $x_1$  poate fi înlocuit prin vectorul:

$$x_1 = \hat{x}_1 e^{j\omega t}$$

și, în mod corespunzător,  $x_2$  poate fi înlocuit prin:

$$x_2 = \hat{x}_2 e^{j(\omega t + \varphi)}$$

obținându-se:

$$\frac{x_2}{x_1} = \frac{E_0 + E_1 j\omega + \dots + E_n (j\omega)^n}{A_0 + A_1 j\omega + \dots + A_m (j\omega)^m}$$

**Răspunsul în frecvență** este:

$$F(j\omega) = \frac{x_2}{x_1} = \frac{\hat{x}_2}{\hat{x}_1} e^{j\varphi}$$

în care  $\hat{x}_2/\hat{x}_1$  este raportul amplitudinilor, iar  $\varphi$  este faza. Dacă determinăm, pentru fiecare frecvență  $\omega_r$ , raportul  $\hat{x}_{2r}/\hat{x}_{1r}$  al amplitudinilor și faza  $\varphi_r$  și introducem valorile funcției  $F(j\omega_r)$ , obținem punctul de pe hodograful răspunsului cu frecvența.

În cazul unei ecuații diferențiale liniare date, hodograful poate fi obținut prin calcularea sau măsurarea raportului amplitudinilor și al fazei (fig. 14.10).

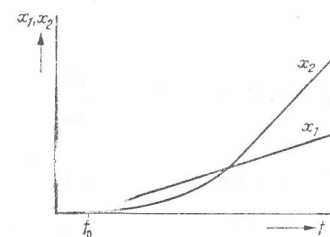
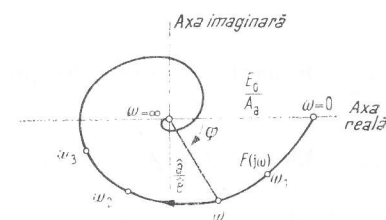
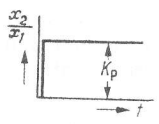
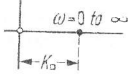
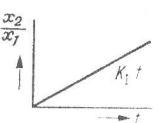
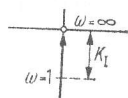
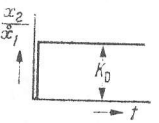
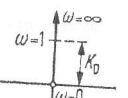
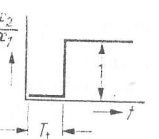
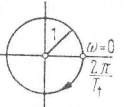


Fig. 14.9. Răspunsul la un semnal în formă de rampă.

Fig. 14.10. Hodograful  $F(j\omega)$ .

Combinății de elemente liniare elementare se obțin prin combinarea elementelor în conformitate cu tabelul 14.2.

Tabelul 14.2. Termeni liniari elementari

Tipul comportarea	Ecuția	Funcția de transfer	Răspunsul în frecvență	Hodograful
$P$ — element proporțional	$x_2(t) = K_P x_1(t)$ $K_P$ — factor proporțional		$Y(j\omega) = K_P$	
$I$ — element integral	$x_2(t) = K_I \int_0^t x_1(t) dt$ $K_I$ — factor integral		$Y(j\omega) = \frac{K_I}{j\omega}$	
$D$ — element diferențial	$x_2(t) = K_D \frac{dx_1(t)}{dt}$ $K_D$ — factor diferențial		$Y(j\omega) = K_D j\omega$	
$T_t$ — element de întârziere	$x_2(t) = x_1(t - T_t)$ $T_t$ — timp de întârziere		$Y(j\omega) = \exp(-T_t j\omega)$	

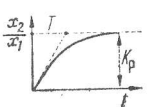
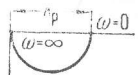
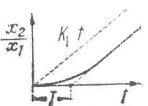
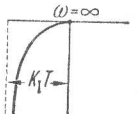
Element  $PI$ :  $x_2(t) = K_P x_1(t) + K_I \int_0^t x_1(t) dt$ ,  $Y(j\omega) = K_P + \frac{K_I}{j\omega}$

Element  $PD$ :  $x_2(t) = K_P x_1(t) + K_D \frac{dx_1(t)}{dt}$ ,  $Y(j\omega) = K_P + K_D j\omega$ .

Element  $PT_t$ :  $x_2(t) = K_P x_1(t - T_t)$ ,  $Y(j\omega) = K_P \exp(-T_t j\omega)$ .

În practică se obțin termeni liniari cu defazaje adiționale (tabelul 14.3) supra-punând un defazaj adițional peste operația ideală. Simbolului pentru termen  $i$  se adaugă  $T_k (k = 1, 2, \dots)$  Indicele exprimă ordinul defazajului.

Tabelul 14.3. Element liniar elementar cu defazaj în urmă de ordinul 1

Elementul	Ecuția	Funcția de transfer	Răspunsul în frecvență	Hodograful
$P - T_1$	$x_2(t) + T_1 \dot{x}_2(t) = K_P x_1(t)$		$Y(j\omega) = \frac{K_P}{1 + j\omega T_1}$	
$I - T_1$	$x_2(t) + T_1 \dot{x}_2(t) = K_I \int_0^t x_1(t) dt$		$Y(j\omega) = \frac{K_I}{j\omega (1 + j\omega T_1)}$	

### 14.3. DEFINIȚIILE DISPOZITIVELOR REGLATE

*Dispozitivul sau instalația reglată* este acea parte dintr-un sistem, în care are loc modificarea unei mărimi. Ea poate fi considerată efectiv ca un element de transfer sau o combinație de asemenea elemente.

*Blocul de execuție* este elementul situat la intrarea instalației care introduce energie. Punctul de aplicare al acesteia este numit poziție de corecție.

*Poziția de măsurare* este punctul în care este captată mărimea care urmează a fi reglată. *Poziția de perturbare* este punctul de aplicare a perturbației.

Pentru procesul de reglare este esențială cunoașterea *proprietăților de transfer ale instalației*. Comportarea în regim staționar este reprezentată prin curba caracteristică a dispozitivului de reglare sau a porțiunii de reglare, pe când răspunsul în timp este caracterizat de către funcția indicială, răspunsul la impuls sau răspunsul în frecvență.

Datele caracteristice ale unei instalații pot fi definite din *funcția indicială*. Un mare număr de instalații au panta funcției indiciale de forma indicată în fig. 14.11. *Instalațiile cu compensare* ating o valoare finală dată de *valoarea de compensare*  $q$ . În instalațiile necompensate  $q = 0$ .

Tabelul 14.4. Exemple cu și fără compensare

	Generator de c.c.	Cuptor	Vapor
Mărime de execuție	Tensiune de alimentare	Tensiunea rotorului	Unghiul cîrmei
Mărime de ieșire	Curent de încălzire	Temperatură	Traseul
Valoare de compensare	$q > 0$	$q > 0$	$q = 0$

Reprezentînd grafic tangenta în punctul de inflexiune (fig. 14.11), timpul de întârziere  $T_u$  și constanta de timp  $T_g$  sînt definite drept caracteristici ale funcției indiciale. Valoarea de creștere  $A$  a unui sistem este valoarea inversă a vitezei maxime de variație

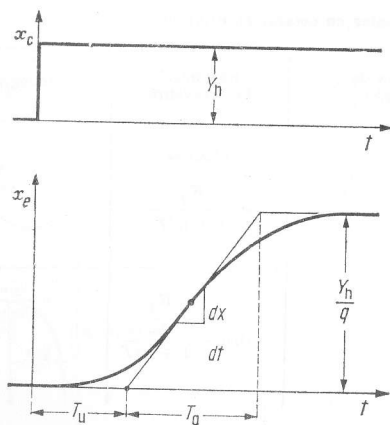


Fig. 14.11. Răspunsul unui sistem la un semnal în formă de treaptă;  
 $x_c$  — mărimea de execuție;  $Y_h$  — domeniul de reglare;  $x_e$  — mărime de ieșire;  $q$  — valoare de compensare;  $T_u$  — timp de întârziere;  $T_g$  — constanta de timp.

a mărimei de ieșire, în situația în care are loc o variație în salt a mărimei de execuție  $x_c$  între limitele întregului interval de reglare  $Y_h$ .

$$A = \frac{1}{(dx/dt)_{max}}$$

Pentru a fi indentificat răspunsul unei instalații la o funcție treaptă, trebuie să fie format ca o funcție de variațiile bruște ale mărimilor de perturbație (tabelul 14.5).

Tabelul 14.5. Exemple de perturbații

	Generator de c.c.	Cuptor	Vapor
Mărime de perturbație	Viteza, încărcarea	Șarja, temperatura ambiantă	Deriva vîntului
Mărime de ieșire	Tensiunea rotorului	Temperatura cuptorului	Traseul

Regimul de funcționare al unei instalații poate fi descris complet numai atunci cînd proprietățile sale de transfer în ceea ce privește mărimea de execuție și mărimile de perturbație sînt cunoscute. Astfel, este necesar să se facă distincție între răspunsul la treaptă și răspunsul în frecvență al variabilei de ieșire în raport cu variabila de execuție și variabila de perturbație. Comportarea în raport cu variabila de execuție poate fi cu totul diferită de aceea în raport cu variabila de perturbație.

#### 14.4. DISPOZITIVE DE REGLARE

Denumirea combinată a tuturor elementelor de pe traseul efectiv care influențează elementul de execuție este dispozitivul de reglare. Într-un dispozitiv de reglare cu energie auxiliară puterea necesară pentru acționarea elementului de execuție este obținută total sau parțial de la o sursă auxiliară de energie.

Un regulator este combinația de părți ale dispozitivului de reglare care conține comparatorul.

Dispozitivul de reglare cuprinde mijloace de măsurare a mărimei reglate pentru compararea acesteia cu mărimea de referință și pentru formarea mărimei de execuție. Comparatorul formează diferența  $x_d$  dintre mărimea reglată  $x_r$  și mărimea de intrare de referință  $x_i$ .

$$x_d = x_i - x_r$$

Eroarea de reglare este valoarea negativă a abaterii de reglare  $x_r - x_i$  cînd valoarea mărimei de referință coincide cu valoarea dorită a mărimei reglate. Valoarea dorită este valoarea necesară pe care mărimea reglată trebuie să o aibă pentru o anumită problemă particulară.

Clasificarea și caracteristicile principale ale aparatelor de reglare sînt fixate de către proprietățile de transfer pe care le are aparatul de reglare în calitate de element de transfer. Semnalele de intrare sînt mărimea reglată  $x_r$  și mărimea de referință  $x_i$ , iar semnalul de ieșire este mărimea de execuție  $x_c$ . În cazul unor aparate de reglare cu două și mai multe stări, mărimea de execuție poate căpăta numai două sau mai multe valori diferite (fig. 14.12, a). În cazul aparatelor de reglare continue, mărimea de execuție poate căpăta orice valoare între limitele domeniului de execuție (fig. 14.12, b).

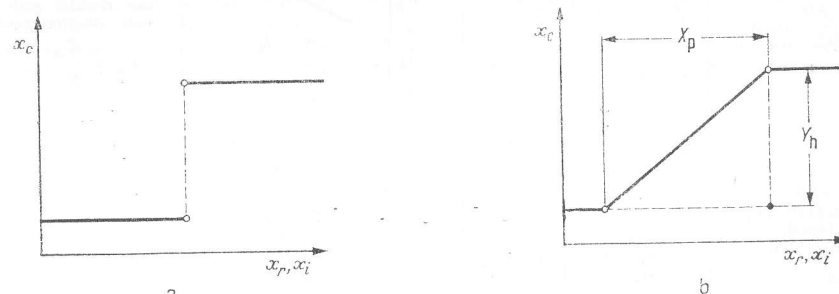


Fig. 14.12. Caracteristicile dispozitivelor de reglare:

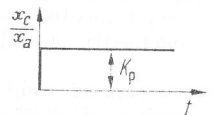
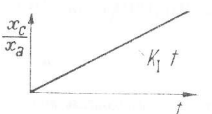
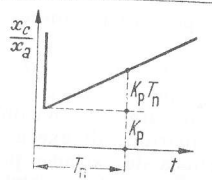
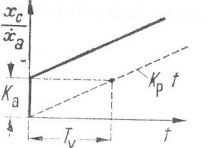
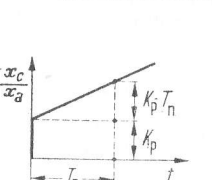
- a — cu două stări de funcționare;  
 b — cu funcționare continuă (de exemplu P).

Răspunsul în funcție de timp al dispozitivelor de reglare continue diferă după elementele de transfer ale acestora.

Vor fi descrise acum formele fundamentale cele mai importante ale dispozitivelor de reglare obișnuite. Acestea sînt alcătuite din elemente liniare elementare și combinații ale acestora sub forma de dispozitive de reglare idealizate. Acestea au o comportare liniară și fără defazare în urmă (tabelul 14.6).



Tabelul 14.6. Dispozitive de reglare liniare idealizate ( $x_c$  mărimea de execuție,  $x_a$  abaterea de reglare)

Tipul de aparat de reglare	Ecuția	Răspunsul la treaptă	Caracteristici
$P$ proporțional	$x_c = K_P x_a$		Zona proporțională $X_P = \frac{Y_b}{K_P}$
$I$ integral	$x_c = K_I \int x_a dt$		
$PI$ proporțional integral	$x_c = K_P x_a + K_I \int x_a dt$ $x_c = K_P \left( x_a + \frac{1}{T_n} \int x_a dt \right)$		Timpul de restabilire $T_n = \frac{K_P}{K_I}$
$PD$ proporțional diferențial	$x_c = K_P x_a + K_D \frac{dx_a}{dt}$ $x_c = K_P \left( x_a + T_v \frac{dx_a}{dt} \right)$		Timpul de variație sau durata acțiunii de derivare $T_v = \frac{K_D}{K_P}$
$PID$ proporțional, integral, diferențial	$x_c = K_P x_a + K_I \int x_a dt + K_D \frac{dx_a}{dt}$ $x_c = K_P \left( x_a + \frac{1}{T_n} \int x_a dt + T_v \frac{dx_a}{dt} \right)$		

Reacția este o metodă frecvent prevăzută în dispozitivele de reglare pentru a se obține o comportare de transfer dorită. Un dispozitiv de reacție este conectat în paralel cu un amplificator (fig. 14.13). Dacă factorul de amplificare  $K_e$  este destul de mare, atunci pentru răspunsul cu frecvență al dispozitivului  $F$  de corecție cînd  $F_g$  este răspunsul în frecvență al dispozitivului de reacție, este valabilă relația:

$$F = \frac{1}{F_g}; \quad x_c = x_a F.$$

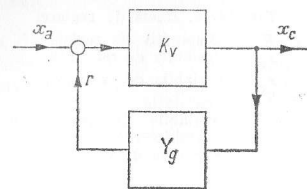


Fig. 14.13. Dispozitiv de reglare cu reacție:

$r$  — mărimea de reacție  $r = x_c Y_g$ .

Ecuțiile răspunsului în frecvență sînt aceleași ca pentru elementele liniare elementare și combinațiile lor (v. tabelul 14.2).

Dispozitivele de reglare practice au defazaje în urmă.

$P - T_1$  aparat de reglare  $x_c + T \dot{x}_c = K_P x_a$ .  
defazaj de ordinul  $I$

$$I - T_1 \text{ aparat de reglare } x_c + T \dot{x}_c = K_I \int_0^t x_a dt.$$

În cazul unor defazaje în urmă de ordine mai înalte, există elemente care conțin  $\ddot{x}_c$  etc. În ecuațiile de frecvență, polinoamele respective apar la numărător.

#### 14.5. LANȚ DE REGLARE AUTOMATĂ ȘI BUCLĂ DE REGLARE AUTOMATĂ

Procesul de reglare automată este realizat în lanțul de reglare automată sau în bucla de reglare automată. În ambele cazuri, o mărime de intrare acționează asupra mărimii de ieșire. Lanțul de reglare automată și bucla de reglare automată sînt obținute interconectînd aparatul de reglare cu instalația prin intermediul dispozitivului de execuție. Proprietățile de transfer determină procesul de reglare automată.

##### Tipuri de reglări automate

În cazul unei reglări cu referință, în regimul permanent există o relație clară între variabila de referință și mărimea de ieșire.

În cazul unei reglări automate cu elemente de menținere după ce variabila de referință a fost îndepărtată, valoarea atinsă de mărimea de ieșire este menținută; un nou semnal de referință este necesar pentru a schimba valoarea mărimii de ieșire. Reglările automate cu program își formează ele însele variabilele de referință în conformitate cu un program. Dacă programul depinde de timp, se utilizează o reglare automată cu orar; dacă el depinde de traseu (distanță), reglarea este numită reglare cu plan de traseu.

În cazul reglării secvențiale, mărimea de ieșire este reglată de către unități de comutare binare, care funcționează în trepte succesive în conformitate cu un program. Programul poate fi înglobat permanent în sistem sau poate fi extras dintr-o memorie.

##### Comportarea buclelor de reglare automată

Variația variabilei de referință sau a variabilei reglate inițiază procesele de reglare automată. Dispozitivele instalației și cele de reglare trebuie să fie acordate în așa fel unele cu altele, încît orice abatere de reglare ( $x_i - x_r$ ) care apare, să dispară.

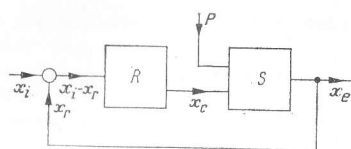


Fig. 14.14. Buclă de reglare:  
 $R$  — dispozitiv de reglare;  
 $x_i$  — variabila de referință;  
 $x_c$  — variabila de execuție;  
 $S$  — instalație;  
 $p$  — variabila de perturbare;  
 $x_r$  — variabila reglată;  
 $x_e$  — variabila de ieșire.

Procesele de reglare automată satisfăcătoare (fig. 14.15) pot fi obținute numai cînd comportarea de transfer a dispozitivului de reglare este adaptată sistemului reglat. Pentru acest caz se aplică legile *sintezii reglării automate*. Dacă se vor întîlni combinațiile indicate în tabelul 14.7, trebuie să se găsească o ajustare a dispozitivului de reglare care să asigure procese de reglare satisfăcătoare. Altfel poate apărea o comportare instabilă.

Tabelul 14.7. Combinații de instalații și aparate de reglare pentru comportarea stabilă a reglării

Sistemul reglat	Exemplu Operația	Debit $P$	Nivel $I$	Tensiune Presiune $P - T_1$	Traseu $1 - T_1$	Viteză Temperatura $P - T_2$	Curea transportoare $PT_t$
Dispozitiv de reglare		$I, PI$	$P, PI$	$P, I, PI$	$PD, PID$	$PI, PID$	$I$ , regulator cu eșantionare

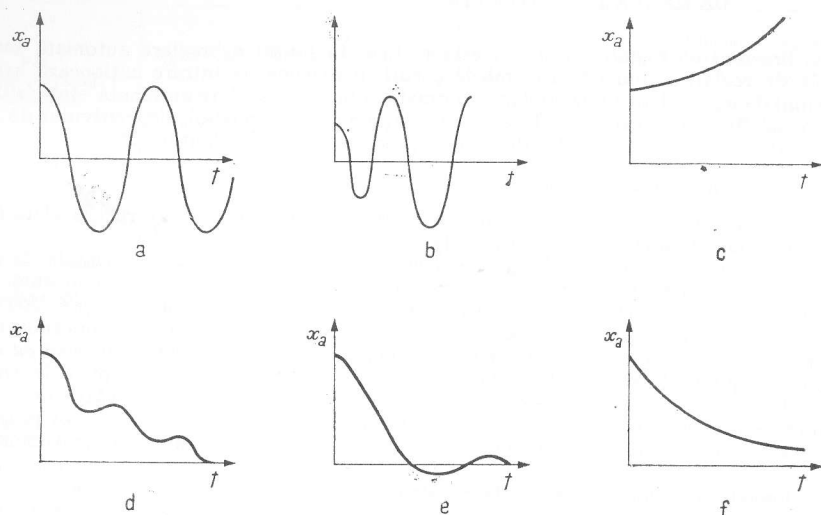


Fig. 14.15. Diagramele proceselor de reglare satisfăcătoare a...c și nesatisfăcătoare d...f:  
 — stabil monoton; b — stabil periodic; c — stabil periodic (de ordin superior); d — nestabil monoton; e — nestabil periodic; f — limita de stabilitate.

### Caracterizarea procesului de reglare

Mărimea de eroare este diferența dintre mărimea reglată și *mărimea dorită*, adică valoarea pe care trebuie să o aibă mărimea reglată. Se face distincție între mărimea de eroare tranzitorie și staționară. Există o gamă de toleranțe pentru abaterea valorii dorite.

Timpul de corecție este timpul care se scurge din momentul variației variabilei de referință sau perturbare pînă la prima reintrare în domeniul de toleranță.

### Comportarea la mărimea de referință și la perturbare a buclelor de reglare

Dacă  $F_R$  este răspunsul în frecvență al regulatorului, iar  $F_S$  este răspunsul în frecvență al instalației, răspunsul în frecvență la mărimea de referință al buclei de reglare este:

$$F_w = \frac{F_R F_S}{1 + F_R F_S}, \quad W F_w = \underline{X}.$$

Obiectivul lui  $F_w$  este să se apropie cît mai mult posibil de valoarea 1, într-o gamă largă de frecvențe.

Dacă  $F_{Sy}$  este răspunsul în frecvență al sistemului, la mărimea de execuție, iar  $F_{Sz}$  este răspunsul în frecvență al sistemului, la mărimea de perturbare (zgomot), răspunsul în frecvență al buclei de reglare la mărimea de perturbare este atunci:

$$F_z = \frac{F_{Sz}}{1 + F_R F_{Sy}}, \quad Z F_z = \underline{X}$$

$F_z$  trebuie să se apropie cît mai mult posibil de valoarea zero într-o gamă largă de frecvențe. Fără intervenția regulatorului este valabilă relația:

$$Z F_{Sz} = \underline{X}_0$$

Factorul  $\frac{1}{1 + F_R F_{Sy}} = R$  mai este numit și *factor de reglare*. El este o mărime complexă.

În circuitele de reglare cu comportarea de tip  $P$  a instalației și a reglării factorul de reglare capătă, pentru  $\omega = 0$ , o valoare reală:

$$R = \frac{1}{1 + V_0}$$

$V_0$  fiind amplificarea în buclă a circuitului de reglare deschis.

Factorul de reglare este fracțiunea cu care o variație a mărimii de ieșire reglate  $\Delta x$ , provocată de o variabilă de perturbare fără regulator, este micșorată prin folosirea regulatorului (diferența de reglare reziduală  $x_w$ ).

$$\Delta x R = x_w$$

*Optimizarea regulatorului.* Dacă principiile sintezii buclei de reglare sînt respectate, se pot găsi valori ale parametrilor regulatorului care provoacă o funcțiune stabilă, bine amortizată, a instalației. Aceste valori sînt determinate de către parametrii instalației

și fac posibilă optimizarea procesului de reglare. Rezultatele procesului de reglare sînt determinate în felul următor: *valoarea absolută* și *optimul simetric* au fost introduse în energetică în calitate de principii de optimizare. În termotehnică și în tehnica proceselor, metodele de respectare a atenuării oscilografice sînt obișnuite. Acestea provoacă reducerea proceselor de reglare cit mai mult posibil, fără supracreșteri după variații ale variabilelor de perturbație și de referință.

Aproximativ următoarele valori sînt valabile pentru metoda de optimizare cu caracteristicile definite pentru instalație și aparatele de reglare (tabelul 14.8):

Tabelul 14.8. Reguli de optimizare și rezultatele reglării

Instalația	Aparatul de reglare	Poziția regulatorului		Perioada de decădere	
		Valoarea absolută optimă	Atenuarea oscilației	Valoarea absolută optimă	Atenuarea oscilației
$P - T_1$	$I$	$K_I = \frac{q}{2T}$	$K_I = \frac{q}{2T}$	$8,4 T$	$9 T$
$P - T_1$	$P$	$K_P = \frac{T_1 q}{2\sigma}$	$K_P = \frac{AY_h}{2Tu}$	$8,4\sigma$	$9T_u$
$P - T_2$	$PI$	$K_P = \frac{T_1 q}{2\sigma}$ $\tau_1 = T_1$	$K_P = \frac{AY_h}{2,2T_u}$ $T_n = 6T_u$	$8,4\sigma$	$12 T_u$
$I - T_1$	$PI$	Optim simetric $K_P = \frac{T_1 q}{2}$ $\tau_1 = 4\sigma$	$K_P = \frac{AY_h}{2,2T_u}$ $T_n = 6 T_u$	Optim simetric $17\sigma$	$12 T_u$

În valoarea absolută și în optimul simetric,  $\sigma$  înseamnă suma constantelor de timp mici, iar  $\sigma_1$  înseamnă constanta de timp în bucla de reacție negativă a amplificatorului de reglare.  $P - T_2$  este o porțiune reglată, cu defazaj în urmă, de ordinul doi; acesta provine dintr-o constantă de timp sau o sumă de constante de timp mici. În termotehnică și tehnica proceselor ea este caracterizată de întârzierea  $T_u$  și constanta de timp  $A$ . Tangenta inițială a răspunsului-treaptă este orizontală ca la  $I - T_1$ .

## 15. SISTEME CU CIRCUITE ELECTRONICE PENTRU PRELUCRAREA INFORMAȚIEI

### 15.1. SEMNALE CA PURTĂTOARE DE INFORMAȚII

Semnalele sînt reprezentarea fizică a unui mesaj și în consecință sînt purtătorii informației care trebuie prelucrată. Construcția și modul de funcționare al sistemelor de reglare sînt prin urmare influențate în mod hotărîtor de tipul semnalelor utilizate.

Prin mărimea amplitudinii lor *semnalele analogice* dau o reprezentare continuă a mărimii care trebuie prelucrată (fig. 15.1).

În traducere liberă „analogic” înseamnă aproximativ „asemănător”. De exemplu, tensiunea unui tahogenerator este proporțională cu viteza sau tensiunea unui termocuplu este proporțională cu temperatura și constituie semnale analogice. Caracteristica fundamentală a semnalelor analogice constă în faptul, că ele pot căpăta orice mărime dorită în intervalul valorilor lor limită.

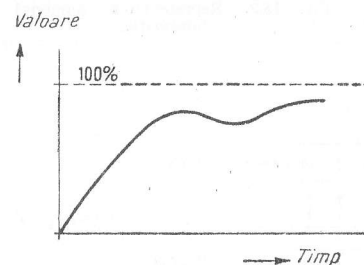


Fig. 15.1. Semnal analogic.

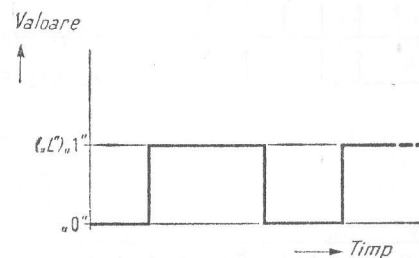


Fig. 15.2. Semnal binar.

*Semnalele binare* pot să ia fie valoarea „1” (adică să existe) fie valoarea „0” (adică să nu existe). În consecință un semnal binar este un semnal de amplitudine constantă care poate diferi numai prin durată sa (fig. 15.2). Semnalele binare au devenit foarte importante în tehnica reglării, deoarece stările semnalului „zero” și „unu” pot fi realizate ușor și sigur prin:

- contact închis — contact deschis
- releu atras — releu întrerupt
- ventil deschis — ventil blocat
- tranzistor în stare de conducție — tranzistor blocat.

Un *dispozitiv binar* este un element (releu, circuit de comutație cu tranzistoare etc.), cu ajutorul căruia pot fi realizate tehnic stările de semnal binar „0” sau „1”. O schimbare a stării semnalului unui dispozitiv binar reprezintă prin conținutul său de mesaj o decizie elementară între două valori posibile. În consecință, în limbaj tehnic se spune că el conține o unitate de informație denumită „bit”, prescurtare de la „binary digit” (în limba română: cifră binară).

*Digital* derivă de la cuvântul englez „digit” (în limba română: număr) și caracterizează reprezentarea *numerică* a mărimilor analogice prin semnale binare. Un semnal binar poate lua numai cele două valori ale mărimii care trebuie reprezentată. Dacă trebuie reprezentat sub formă de semnal un interval continuu al unei mărimi analogice, pentru a face o „distincție fină” sînt necesare mai multe dispozitive binare, iar valorile mărimii analogice care trebuie diferențiată se atribuie combinațiilor posibile ale stărilor semnalelor lor.

Se spune că mărimea este „cuantificată”; ea poate fi diferențială în trecerea sa de la un etaj la altul. Întrucît dispozitivele binare formează  $2^n$  combinații posibile ale stărilor semnalelor, pentru a forma o mărime analogică cu o precizie de 1% sînt necesare cel puțin șapte poziții binare; pentru o precizie de 0,1% — zece poziții binare ( $2^7 = 128$ ;  $2^{10} = 1024$ ).

Un *grup* sau un *cuvînt* este reprezentarea stărilor de semnal ale unei combinații de semnale binare corelate (fig. 15.3). Numărul dispozitivelor binare determină *lungimea* cuvîntului; *ponderea* sa corespunde numărului de dispozitive binare care au starea de semnal „1”. În mod normal acești termeni se utilizează foarte liber.

De exemplu, la calculatoarele numerice grupul este o combinație binară de o anumită lungime, de obicei 6 biți (fig. 15.4). În acest caz cuvîntul are o semnificație ierarhic

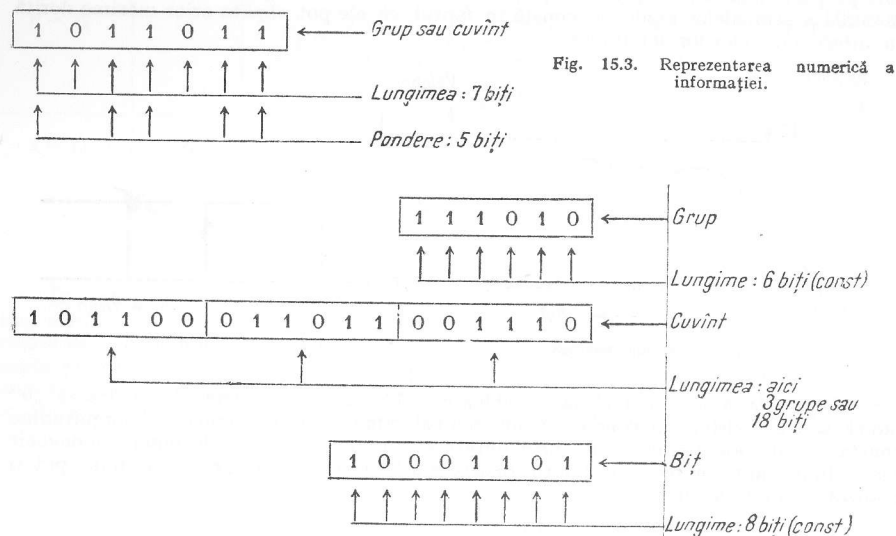
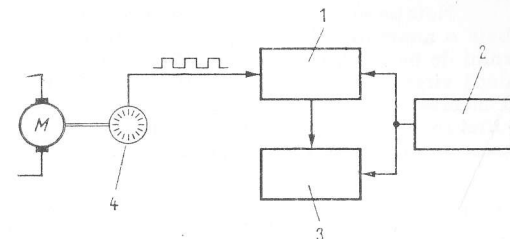


Fig. 15.4. Reprezentarea informației în calculatoarele numerice.

superioară și caracterizează o combinație de mai multe grupuri (în fig. 15.4 de exemplu, un cuvînt = 3 grupuri). Un alt termen este *byte*, care la calculatoarele numerice este un grup cu o lungime constantă de 8 biți.

Fig. 15.5. Măsurarea incrementală a unei mărimi analogice (Exemplu: măsurarea vitezei):  
1 — numărător (valoare numerică); 2 — bază de timp (perioada măsurătorii); 3 — evaluarea; 4 — cuantificarea unghiului arborelui.



În *reprezentarea incrementală* se aplică condiția ca diferite mărimi fizice să fie reprezentate proporționale cu frecvența.

Fiecare impuls de frecvență dată reprezintă o anumită unitate a mărimii, un increment (creștere) care prin acumulare dă o cantitate totală. În fig. 15.5 este arătată o schemă de măsurare a vitezei, care exemplifică recepționarea incrementală a unei mărimi analogice. Un cuantificator al poziției arborelui este cuplat la arbore și emite impulsuri proporționale cu cuplul de rotație. Fiecare impuls corespunde cu conținutul informațional al unui punct de rotație. Prin acumulare într-un numărător, poziția numărătorului indică unghiul total al rotației sau traiectoria rotației. Raportat la timp, adică considerat într-o anumită perioadă de măsură, se obține de aici numărul de rotații pe unitate de timp sub forma mediei pe perioada de măsură.

Reprezentarea incrementală a unei mărimi fizice printr-o frecvență proporțională nu este o prelucrare numerică a semnalelor, deoarece frecvența este proporțională cu mărimea, adică este legată printr-un anumit factor de scară, iar scara este o caracteristică elementară a oricărei analogii. Mărimea care trebuie măsurată primește o reprezentare numerică numai prin acumulare într-un numărător.

*Codul* reprezintă o corespondență dintre valorile individuale ale unei mărimi și stările de semnal ale mai multor poziții binare, prin care aceste valori sînt reprezentate numeric. Pentru a formula mai clar, prin „cod” se înțelege o anumită relație dintre două mulțimi de caractere sau simboluri.

*Caracterul alfa-numeric* este termenul prin care se înțeleg cele zece cifre 0 ...9, cele 26 litere ale alfabetului și semnele cele mai importante ale punctuației și ale formulelor.

## 15.2. SISTEME NUMERICE

### 15.2.1. Sistemele numerice zecimal și binar

Să luăm de exemplu numărul 1965. Prin sensul și expresia sa acest număr este suma valorilor

$$1\,000 + 900 + 60 + 5 = 1965$$

Acest număr se mai poate scrie sub forma următoare:

$$1 \cdot 10^3 + 9 \cdot 10^2 + 6 \cdot 10^1 + 5 \cdot 10^0 = 1965$$

Notăția arată clar structura sistemului numeric zecimal. Cifrelor 0 ... 9 li se atribuie o anumită valență („pondere”), în legătură cu puterile descrescătoare ale numărului de bază 10, denumite unități, zeci, sute și așa mai departe. Puterile negative de după virgula zecimală dau valorile < 1, adică zecimi, sutimi, miimi și așa mai departe. Ponderea diferiților termeni individuali ai unui număr se exprimă, astfel, prin poziția cifrei înainte și după virgula zecimală. După acest principiu, sistemele numerice se numesc și sisteme de numere „poliadice”. Pentru aceste sisteme este valabilă ecuația

$$a_n | a_{n-1} | \dots | a_1 | a_0, \quad a_{-1} | a_{-2} | \dots = \sum_{K=-\infty}^n a_K B^K,$$

unde  $a$  poate să ia o valoare corespunzătoare uneia din cifrele sistemului, iar  $B$  este baza sistemului. Baza trebuie să fie întotdeauna > 1. Pentru sistemul numeric zecimal, în concordanță cu cele de mai sus:

$$a = 0, 1, 2, 3 \dots 9 \text{ (cifre)} \quad B = 10 \text{ (bază)}.$$

Faptul că semnalele binare pot fi formate și prelucrate în mod sigur stă la baza tendinței de a folosi *sistemul numeric binar* pentru reprezentarea numerelor prin semne binare. Pentru acest sistem, denumit câteodată sistem dual, sînt valabile.

$$a = 0 \text{ și } 1 \text{ (cifre)} \quad B = 2 \text{ (bază)}.$$

În sistemul binar 2 ia locul cifrei 10 ca bază a sistemului zecimal. Toate valorile de la 0 la infinit pot fi reprezentate prin cifrele 0 și 1, raportate la puterile descrescătoare în baza 2. De exemplu, numărul 86:

$$1 \cdot 2^6 + 0 \cdot 2^5 + 1 \cdot 2^4 + 0 \cdot 2^3 + 1 \cdot 2^2 + 1 \cdot 2^1 + 0 \cdot 2^0 = 86$$

$$64 + 0 + 16 + 0 + 4 + 2 + 0 = 86$$

sau scris sub formă de număr binar:

număr binar: 1010110 = valoarea zecimală : 86.

În timp ce sistemul zecimal necesită în acest exemplu numai două poziții (unități și zeci) pentru a reprezenta 86, sistemul binar necesită șapte poziții dar numai două cifre, respectiv 0 și 1. În practică numărul de poziții ale unui număr care trebuie prelucrat este o chestiune de cheltuială; cu toate acestea reprezentarea prin cifre este o problemă fundamentală care poate fi rezolvată cel mai bine în practică prin semnale binare folosind echipamentul modern.

În fig. 15.6 numărul 86 este arătat ca o mărime analogică a unei lungimi etalonate într-o scară corespunzătoare sistemului zecimal, în comparație cu reprezentarea numărului 86 ca număr binar printr-o combinație de relee. Fiecare releu este atribuit unei anumite poziții binare a numărului binar și sînt atrase numai acele relee care trebuie să transmită starea de semnal 1. Pentru comparație, în figură se arată și un

numărător electronic, în care cele șapte circuite bistabile au înregistrat valoarea 86 sub formă de număr binar. Ponderea diferitelor poziții binare ale unui număr binar se obține prin puterile descrescătoare ale bazei 2, și anume:

$$\dots 64 - 32 - 16 - 8 - 4 - 2 - 1 - 1/2 - 1/4 - 1/8 - 1/16 \dots$$

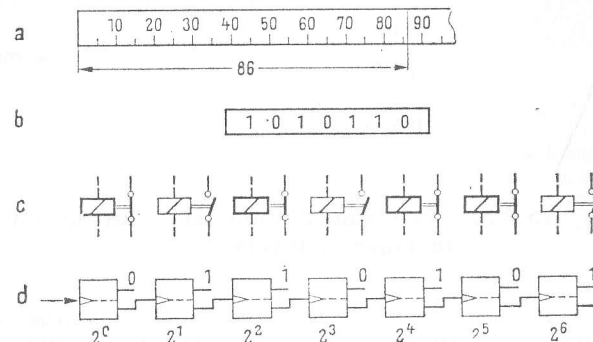


Fig. 15.6. Numărul 86: a - valoarea zecimală a unei lungimi, considerată analogic; b - ca număr binar; c - binar reprezentat prin relee; d - ca un conținut al unui număr binar.

### 15.2.2. Calculul cu numere binare

Deplasarea unui număr binar spre stînga sau spre dreapta echivalează cu înmulțirea cu factorul 2 sau împărțirea cu divizorul 2.

$$\begin{array}{rcl} 86 \triangleq & 1010110,0 & \\ 172 \triangleq & 10101100,0 & \text{— o poziție spre stînga} \\ 43 \triangleq & 101011,0 & \text{— o poziție spre dreapta} \end{array}$$

Pentru adunarea și înmulțirea oricăror numere binare există reguli de calcul simple care pot fi aplicate în practică relativ ușor

Adunarea		Înmulțirea
$0 + 0 = 0$		$0 \times 0 = 0$
$0 + 1 = 1$		$0 \times 1 = 0$
$1 + 0 = 1$		$1 \times 0 = 0$
$1 + 1 = (1) 0$ (0 și transport 1 în poziția următoare)		$1 \times 1 = 1$

Exemplul de formare a unei sume<sup>1)</sup>

$$\begin{array}{r} \text{Zecimal} \quad 3 + 3 = 6 \\ \text{Binar} \quad 011 + 011 = 110 \\ \quad \quad 0 \quad 1 \quad 1 \\ \quad \quad + 0 \quad 1 \quad 1 \\ \hline \end{array}$$

Transport	(1)	(1)		Procesul calculului
Rezultă	1	1	0	$1 + 1 = 0 \text{ (1)}$
			1	$(1) + 1 = 0 \text{ (1)}; 0 + 1 = 1$
			0	$(1) + 0 = 1; 1 + 0 = 1$

1) Termenii transportului sînt în paranteze



Exemplu de formare a unui produs

Zecimal  $3 \times 2 = 6$   
 Binar  $010 \times 011 = 110$   
 $010 \times 011$

$010$   
 $010$   
 $000$

adunate ca mai sus

$00110$

### 15.2.3. Conversiunea numerelor din sistemul zecimal în binar și invers

Cea mai simplă metodă de convertire a numerelor zecimale în binare constă în înjumătățirea repetată a numărului zecimal. Fiecare înjumătățire produce o nouă cifră binară, care este egală cu restul, care poate fi sau 0 sau 1 (un număr par sau impar).

Exemplu:  $56 : 2 = 28$  rest 0  
 $28 : 2 = 14$  rest 0  
 $14 : 2 = 7$  rest 0  
 $7 : 2 = 3$  rest 1  
 $3 : 2 = 1$  rest 1  
 $1 : 2 = 0$  rest 1

număr binar 111 000.

În cazul numerelor zecimale  $< 1$  înjumătățirea se înlocuiește prin dublare. Prin fiecare dublare se obține cifra binară 0, cât timp numărul zecimal nu ajunge la valoarea 1. Când acesta devine  $\geq 1$ , urmează cifra binară 1 și o scădere: zecimal - 1. Cifrele binare, citite de sus în jos, dau numărul binar de după virgulă zecimală.  
 Exemplu:  $0,005 \rightarrow 0,0000110 \dots$

$0,05 \times 2 = 0,1$ ; poziție binară: 0  
 $0,1 \times 2 = 0,2$ ; poziție binară: 0  
 $0,2 \times 2 = 0,4$ ; poziție binară: 0  
 $0,4 \times 2 = 0,8$ ; poziție binară: 0  
 $0,8 \times 2 = 1,6$ ; poziție binară: 1  
 $1,6 - 1 = 0,6$ ;  $0,6 \times 2 = 1,2$ ; poziție binară: 1  
 $1,2 - 1 = 0,2$ ;  $0,2 \times 2 = 0,4$ ; poziție binară: 0

număr binar 0,0000110...

O fracție zecimală finită nu dă exact o fracție binară finită. În cazul numerelor zecimale fracționare, numărul întreg dinaintea virgulei zecimale și pozițiile zecimale de după virgulă sînt separate în conformitate cu cele două metode explicate mai sus.

Un număr binar se convertește într-un număr zecimal prin aceea că se ia cifra binară de ordinul cel mai mare și se dublează, apoi se adună a doua cifră semnificativă

la rezultat și se efectuează o nouă dublare, la care se adaugă a treia cifră binară semnificativă și așa mai departe.

Exemplu:  $111000 \rightarrow 56$

$1 \times 2 + 1 = 3$   
 $3 \times 2 + 1 = 7$   
 $7 \times 2 + 0 = 14$   
 $14 \times 2 + 0 = 28$   
 $28 \times 2 + 0 = 56$

Rezultatul este arătat jos în dreapta.

Cînd se convertește un număr binar  $< 1$  într-o formă zecimală, dublarea folosită la numerele  $> 1$  se înlocuiește prin împărțirea cu 2. Cifra binară de pondere cea mai mică se împarte la 2, proxima cifră se adună la rezultat, această sumă se împarte din nou la 2, se adaugă următoarea cifră superioară la rezultat și așa mai departe.

Exemplu:  $0,10011 \rightarrow 0,59375$

$1 : 2 + 1 = 1,5$   
 $1,5 : 2 + 0 = 0,75$   
 $0,75 : 2 + 0 = 0,375$   
 $0,375 : 2 + 1 = 1,875$   
 $1,875 : 2 + 0 = 0,59375$

Rezultatul este arătat jos în dreapta. În cazul numerelor binare fracționare, poziția dinainte și cea după virgula zecimală se convertește fiecare separat.

### 15.3. CODURI

Sistemul binar ca bază de reprezentare a numerelor prin semnale binare prezintă multe avantaje. Dezavantajul constă, în special în cazul valorilor mari, că numerele binare, ca și numerele romane, nu se citesc ușor și în afară de aceasta există puține posibilități de detectare a erorilor. Acestea au fost cîteva din motivele pentru care s-a creat *codul zecimal* codificat prin „0” — „1”. La acest sistem se menține aranjamentul zecimal al reprezentării numerelor și, în consecință, fiecare decadă se convertește în număr binar sau în alt cod în mod separat.

La *codul „unu din zece”* (fig. 15.7) cele zece cifre ale decadei au atribuite zece poziții binare dintre care cea cu numărul 1 corespunde poziției mărimii care trebuie să fie reprezentată. Acest cod, cu cele zece poziții ale sale, este relativ scump și în consecință utilizarea sa se restrînge în special la dispozitivele cu intrarea și ieșirea în zecimal (cum sînt afișajele numerice, claviaturile zecimale).

În cazul *codului bicvinar* din fig. 15.8, pozițiile 1...5 operează cu codul „1 din 5”; poziția 6 memorează un interval al codului „1 din 5” și în consecință conține informația „5”. Poziția „0” care operează invers acesteia se folosește numai pentru detectarea erorilor și se omite cînd această proprietate nu este necesară. Acest cod este mai puțin costisitor, circuitele sale sînt relativ simple și de aceea se pretează bine la problemele de numărare.

*Codul „2 din 5”* din fig. 15.9 funcționează cu cinci poziții. Din cele  $2^5 = 32$  combinații posibile, se folosește combinația în care „1” apare de două ori. Acesta este un cod de sistem, întrucît (cu puține excepții) nici o valoare particulară nu poate fi atribuită diverselor poziții binare.

Coloana	9	8	7	6	5	4	3	2	1	0
0	0	0	0	0	0	0	0	0	0	1
1	0							1	0	
2	0							1	0	
3	0						1		0	
4	0				1				0	
5	0			1					0	
6	0		1						0	
7	0	1							0	
8	0	1							0	
9	1	0	0	0	0	0	0	0	0	0

Valori zecimale ↓

Coloana	0	5	4	3	2	1	0
0	1	0	0	0	0	0	1
1	1	0	0	0	0	1	0
2	1	0	0	0	1	0	0
3	1	0	0	1	0	0	0
4	1	0	1	0	0	0	0
5	0	1	0	0	0	0	1
6	0	1	0	0	0	1	0
7	0	1	0	0	1	0	0
8	0	1	0	1	0	0	0
9	0	1	1	0	0	0	0

Valori zecimale ↓

Fig. 15.8. Codul bievinar.

Fig. 15.7. Codul „1 din 10“.

Coloana	Nici o alocăție
0	1 1 0 0 0 0
1	0 0 0 1 1 1
2	0 0 1 0 1 1
3	0 1 1 0 0 0
4	0 1 0 0 0 1
5	0 1 0 1 0 0
6	0 1 1 0 0 0
7	1 0 0 0 0 1
8	1 0 0 1 0 0
9	1 0 1 0 0 0

Fig. 15.9. Codul „2 din 5“.

Codul tetradic, ilustrat în fig. 15.10, este unul din codurile cele mai utilizate, deoarece folosește numărul minim posibil de poziții. Fiecare decadă este reprezentată printr-o tetradă, adică printr-un grup de patru poziții binare. 10 din cele  $2^4 = 16$  combinații posibile ale unei tetrade se folosesc pentru reprezentarea cifrelor 0 ... 9 în conformitate cu codul; celelalte șase combinații neutilizate sunt denumite „pseudotetrade“.

Coloana	8	4	2	1	8	4	2	1	2	4	2	1	Nici o alocăție
0	0	0	0	0	0	0	0	0	0	0	0	0	
1	0	0	0	1	1	0	0	0	1	1	0	0	
2	0	0	1	0	2	0	0	1	0	2	0	0	
3	0	0	1	1	3	0	0	1	1	3	0	0	0 0 0 1 1
4	0	1	0	0	4	0	1	0	0	4	0	1	0 0 1 0 0
5	0	1	0	1	5	0	1	0	1				2 0 1 0 1
6	0	1	1	0	6	0	1	1	0				3 0 1 1 0
7	0	1	1	1	7	0	1	1	1				4 0 1 1 1
8	1	0	0	0	8	1	0	0	0				5 1 0 0 0
9	1	0	0	1	9	1	0	0	1				6 1 0 0 1
10	1	0	1	0									7 1 0 1 0
11	1	0	1	1									8 1 0 1 1
12	1	1	0	0									9 1 1 0 0
13	1	1	0	1									
14	1	1	1	0									
15	1	1	1	1									

Sistem binar

BCD

Aiken

Cu exces 3

Fig. 15.10. Codul tetradic.

Codul zecimal codificat binar (codul BCD) utilizează primele 10 din cele 16 combinații posibile. Decadele individuale sînt reprezentate astfel în conformitate cu sistemul dual. Prin aceasta se obține aceeași valoare a poziției (8-4-2-1) ca și în sistemul binar, astfel că numărul 86, de exemplu, apare în codul BCD astfel:

$$1000 \ 0110 \triangleq 86.$$

Codul Aiken utilizează primele și ultimele cinci combinații posibile dintr-o tetradă. Cînd acest cod se folosește în numărătoare, pseudotetradele intermediare sînt omise și acest proces este cunoscut în practică sub denumirea de „corecție Aiken“. De aici rezultă evaluarea pozițională 2-4-2-1 și avantajul că fiecare decadă după ce ajunge a „9“ avansează automat la „0“ cu impulsul următor. Numărul 86 codificat în Aiken devine:

$$1110 \ 1100 \triangleq 86.$$

La codul cu exces 3 (denumit și cod Stibitz) prima și ultimele trei combinații nu se folosesc, astfel în exces 3 orice număr are o valoare mai mică cu 3 decît numărul binar corespunzător acestei combinații. La acest cod nu este posibilă nici o ponderare pozițională. În codul cu exces 3 numărul 86 capătă următoarea reprezentare:

$$1011 \ 1001 \triangleq 86$$

Coloana Nici o alocăție

0	0	0	0	0
1	0	0	0	1
2	0	0	1	1
3	0	0	1	0
4	0	1	1	0
5	0	1	1	1
6	0	1	0	1
7	0	1	0	0
8	1	1	0	0
9	1	1	0	1
10	1	1	1	1
11	1	1	1	0
12	1	0	1	0
13	1	0	1	1
14	1	0	0	1
15	1	0	0	0

Poziții 4 3 2 1

Fig. 15.11. Codul Gray.

Ponderea

0	1	2	3	4	5
0	1	0	0	0	0
0	0	1	0	0	0
0	0	0	1	0	0
0	0	0	0	1	0
0	0	0	0	0	1
0	0	0	0	0	1
0	0	0	0	0	1
0	0	0	0	0	1
0	0	0	0	0	1
0	0	0	0	0	1
0	0	0	0	0	1
0	0	0	0	0	1
0	0	0	0	0	1
0	0	0	0	0	1
0	0	0	0	0	1

→ E Lf Sp Ca T A I N O S R H D L Z G U J W F Y B M C P K Q Fi V Le  
 → 3 Lf Sp Ca 5 - 8 9 4 ) + 7 2 6 ? . : 0 ( f Fi / - Le  
 → - Lf Sp Ca . + , : / ? ) 0 1 2 3 4 5 6 7 8 9 ( Fi - Le  
 A 2-a deplasare: Codul pentru siguranța numerelor ZSC 3 (nou)  
 Prima deplasare: CCIT Nr. 2 (litere)

Fig. 15.12. Coduri cu 5 unități: CCIT Nr. 2 și codul ZSC 3 pentru siguranța numerelor.

În fig. 15.11 este arătat codul Gray ca exemplu de cod din grupul de coduri industriale cu câte o singură schimbare (progresivă). De fiecare dată la trecerea de la un cuvânt al codului la cuvântul următor se schimbă numai o singură poziție binară. De aceea, la acest cod orice valoare poate fi determinată oricând în mod sigur, ceea ce constituie o condiție ce nu poate fi asigurată în cazul codurilor cu mai multe schimbări (de exemplu BCD, Aiken, etc.). În acest caz orice schimbare eronată simultană a mai multor poziții binare simulează niște combinații eronate. Acest risc există în special la convertirea mărimilor analogice în forma numerică cu ajutorul unor sisteme electromecanice sau a sistemelor cu baleiaj electronic simplu și de aceea în asemenea cazuri codurile cu o singură schimbare au un domeniu larg de aplicație. Codul Gray poate fi extins arbitrar prin adăugarea unor poziții binare suplimentare, dar pentru un cod ponderat folosit la prelucrarea reală a informației acest lucru nu este prea convenabil. În codul Gray numărul 86 se reprezintă astfel:

cu 7 poziții binare: 1111101  $\triangleq$  86  
 zecimal: 1100 0101  $\triangleq$  86

Codul CCIT No. 2 pentru teleimprimator este codul impus în mod oficial pentru transmisii poștale de caractere alfanumerice. El funcționează cu 5 poziții binare și o deplasare dublă.

Prima deplasare: litere,

A doua deplasare: numere și caractere speciale.

Identificarea faptului dacă un cuvânt de cod trebuie evaluat în sensul primei deplasări sau deplasării a doua se face cu un cuvânt de cod special (Le:111 sau Fi:11011),

care fac ca evaluarea să se comute de la o deplasare la alta. Deoarece codul funcționează cu distanța Hamming  $d = 1$ , el nu permite un transfer sigur al numerelor (fig. 15.12).

Din această cauză pentru numere s-a mai introdus încă o deplasare, codul cu numere sigure, ZSC3, la care cuvintele de cod diferă cu  $d = 2$ , permițând astfel detectarea erorilor simple.

#### 15.4. FUNCȚIILE FUNDAMENTALE ALE CIRCUITELOR ELECTRONICE

Baza structurii sistematice a circuitelor electronice trebuie raportată la funcțiile logice ȘI — SAU — NICI, care sînt denumite circuite logice. Orice prelucrare de semnale binare poate fi raportată la o combinație a acestor trei funcții, dacă se adaugă și funcția dependentă de timp, memoria. Astfel, în principiu, nu are nici o importanță dacă aceste funcții sînt realizate ca mai înainte, prin intermediul releelor, întreruptoarelor și a contactelor lor, sau ca în prezent, prin intermediul circuitelor fără contacte. Aceste module de circuite electronice sînt construite astfel, încît la ieșirea modului se realizează funcția de bază, care depinde de una, dar de obicei de mai multe intrări.

În fig. 15.13 este arătată funcția ȘI sau produsul logic (conjuncția) care pînă acum se realiza de obicei involuntar, printr-o conexiune serie de mai multe contacte. În consecință, circuitul ȘI din comutația statică produce la ieșire semnale  $x$  numai cînd există semnale la cele două intrări  $a$  și  $b$ . Ecuația algebrică a circuitului corespunzător este de forma următoare:

$$F_x = a \wedge b$$

În consecință, funcția de ieșire  $x$  este egală cu 1 numai cînd ambele intrări  $a$  și  $b$  sînt egale cu 1.

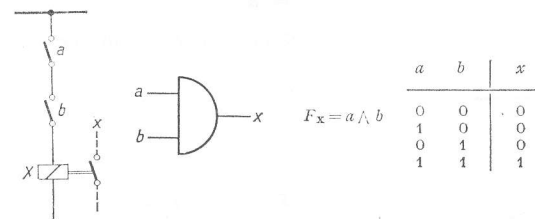


Fig. 15.13. Funcția logică ȘI.

Ca simboluri pentru produsul logic se utilizează frecvent și semnele  $\cdot$  sau  $\&$  (SI latin).

Funcția SAU denumită și sumă logică (disjuncție) se realizează în comutația cu relee cu ajutorul contactelor legate în paralel. Releul X din fig. 15.14 răspunde și prin intermediul contactului său normal deschis dă un semnal de ieșire  $x$  cînd unul din cele două contacte  $a$  sau  $b$  este închis, adică este egal cu 1. Prin urmare, în comutația statică, ieșirea  $x$  a circuitului SAU dă semnale la ieșire cînd cel puțin una din intrările  $a$  sau  $b$  au semnal. Ecuația algebrică a circuitului este

$$F_x = a \vee b$$

Funcția  $x$  a ieșirii este egală cu 1 când cel puțin una dintre intrările  $a$  sau  $b$  este egală cu 1.

În cazul funcției NICI sau a logicii NICI, pentru prelucrarea semnalelor binare se folosește un modul care dă la ieșirea sa un semnal corespunzător stării inverse celei

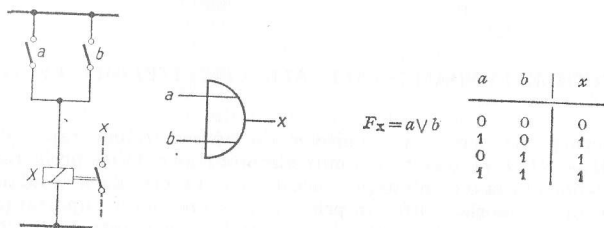


Fig. 15.14. Funcția logică SAU.

de la intrare. Funcția NICI inversează semnalul său de intrare într-un semnal de stare opusă. În algebra circuitelor acest lucru se simbolizează printr-o bară așezată deasupra simbolului contactului sau al semnalului:

$a$  inversată dă  $\bar{a}$

$\bar{a}$  inversat dă  $\bar{\bar{a}} = a$

Circuitele din fig. 15.15 satisfac astfel următoarea expresie din algebra circuitelor:

$$F_x = \bar{a}$$

După cum se vede din fig. 15.16, după două inversări de semnal se obține aceeași stare a semnalului.

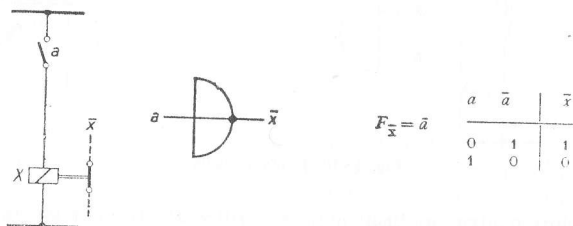
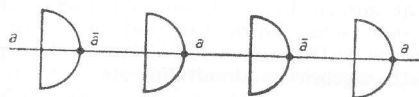


Fig. 15.15. Funcția logică NU.

Fig. 15.16. Inversarea multiplă a semnalului  $a$ 

A patra funcție fundamentală din prelucrarea semnalelor binare este *memoria*. Cu ajutorul memoriilor semnalele binare pot fi memorate un  *timp limitat* sau chiar un  *timp nelimitat* (fig. 15.17).

Memoria convențională cu timp nelimitat se realizează în tehnica circuitelor cu relee prin intermediul unui relee cu autoreținere. În comutația statică există multe tipuri de memorii care se folosesc în tehnică. În general se folosește un circuit *bistabil*, format din două circuite de comutație binară.

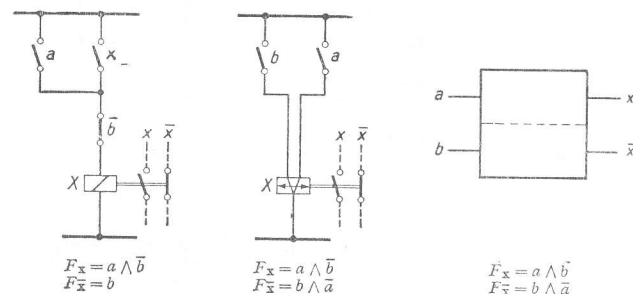


Fig. 15.17. Funcția memorie (bistabil) pe timp nelimitat.

În principiu, memoria fără contacte funcționează la fel, ca și memoria cu relee. Ea se comandă cu un semnal sub formă de impuls, care se aplică la intrarea de comandă  $a$ . Ieșirea de comandă  $x$  devine 1, iar ieșirea de revenire  $\bar{x} = 0$ . Această stare se conservă pe o perioadă nedefinită până ce, prin aplicarea unui impuls la intrarea de revenire  $b$  memoria este ștearsă din nou. Prin aceasta, circuitul revine în poziția normală; ieșirea de comandă  $x$  devine iarăși 0, iar ieșirea de revenire  $\bar{x} = 1$ .

O întrerupere temporară a alimentării cu energie electrică produce ștergerea automată a majorității memoriilor cu timp nedefinit. La toate sistemele la care întreruperea temporară a alimentării cu energie electrică produce ștergerea automată a memoriei poate avea loc o pierdere irecuperabilă a informației și, de aceea, utilizarea unor „memorii conservante” este foarte importantă. Caracteristica acestor memorii conservante constă în faptul că, la încetarea întreruperii energiei electrice ele revin întotdeauna în starea de informație avută înainte de întreruperea acesteia, (de exemplu releele polarizate, memorii cu ferite magnetice, memorii cu bandă magnetică, etc.). Paralel cu memoriile care conservă semnalele pe timp nedefinit memoriile cu  *timp limitat* constituie o variantă a acestei funcții fundamentale. În tehnica releelor există diferite tipuri de relee de timp. Tehnica comutației statice utilizează în cazul cel mai simplu circuite bistabile, cu două module binare la care se produce totuși o ștergere automată după un timp ajustabil cu ajutorul unei rețele RC. În practică, asemenea circuite sînt denumite circuite *monostabile*. Elementele care funcționează în același mod pot fi realizate prin conectarea în serie a elementelor de timp (pasive: combinații RC; active: integrator Miller, amplificatoare de curent continuu cu reacție capacitivă) cu un formator de semnale, care emite la ieșire un semnal binar cînd tensiunea cu creștere exponențială în timp a elementului ajunge la valoarea de răspuns a formatorului de semnale. Dacă la intrarea unui asemenea etaj de timp se aplică un semnal sub formă de impuls (fig. 15.18), circuitul emite semnale la ieșire pe o perioadă  $T$  determinată de circuitul RC.

Astfel, prin funcționarea sa, el se aseamănă cu un relee cu întârziere la revenire. Întârzierea unui semnal poate fi realizată și prin combinarea unor etaje de timp cu alte funcții fundamentale.

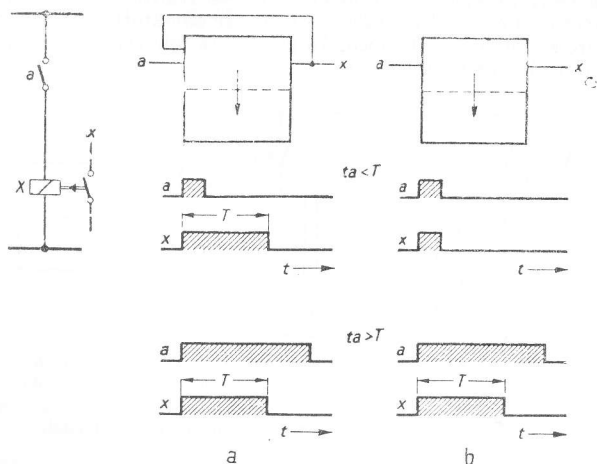


Fig. 15.18. Funcția memorie pe timp limitat (monostabil): a — cu funcție de memorie; b — fără funcție de memorie.

De obicei, una din ramurile de reacție ale unui etaj de timp se prevede ca o legătură extremă a ieșirii cu una din intrări (fig. 4.6). Când această legătură de reacție se întrerupe circuitul pierde comportarea de memorie. În acest caz circuitul memorează semnalul pe toată perioada numai dacă semnalul de la intrare persistă mai mult decât durata perioadei respective. Astfel, la dispariția semnalului de intrare, el revine în poziția de ieșire indicată prin săgeată.

## 15.5. ALGEBRA CIRCUITELOR

Algebra circuitelor permite ca un circuit să fie proiectat și simplificat prin metode matematice. Cunoașterea acestora dă posibilitatea unei înțelegeri profunde a structurii prelucrării semnalelor binare, în special în tehnica comutației statice. Regulile de calcul cele mai importante vor fi explicate în cele ce urmează cu ajutorul unor exemple simple, luate din tehnica comutației cu relee.

Conectarea în serie a mai multor contacte cu aceleași funcții echivalează cu utilizarea numai a unui singur contact; în consecință, orice putere a unei variabile poate fi simplificată, fiind egală cu puterea întâi

$$F_x = a \wedge a \wedge a \dots = a^n = a$$

$$F_x = \bar{a} \wedge \bar{a} \wedge \bar{a} \dots = \bar{a}^n = \bar{a}.$$

În mod similar, la conectarea în paralel a mai multor contacte cu aceeași funcție toți factorii  $> 1$  pot fi eliminați:

$$F_x = a \vee a \vee a \vee \dots = n \cdot a = a.$$

$$F_x = \bar{a} \vee \bar{a} \vee \bar{a} \vee \dots = n \cdot \bar{a} = \bar{a}$$

Legarea în paralel a contactului normal închis și a celui normal deschis de la același relee echivalează cu un circuit permanent închis ( $=1$ ):

$$F_x = a \vee \bar{a} = 1.$$

Conectarea în serie a contactului normal deschis și a celui normal deschis ale aceluiași relee dă o combinație echivalentă cu un circuit întrerupt ( $=0$ ):

$$F_x = a \wedge \bar{a} = 0.$$

Un circuit întrerupt permanent se conectează în paralel cu contactul  $a$ ; aceasta nu influențează funcția contactului:

$$F_x = 0 \vee a = a.$$

Un contact  $a$  este scurtcircuitat printr-o conectare în paralel a unui circuit permanent închis.

$$F_x = 1 \vee a = 1.$$

Un circuit permanent întrerupt este conectat în serie cu contactul  $a$ .

$$F_x = 0 \wedge a = 0.$$

Un circuit permanent închis care nu influențează funcționarea unui contact este conectat în serie cu un contact  $a$ :

$$F_x = 1 \wedge a = a.$$

Legile inversiunii: un circuit realizează funcția inversă dacă în locul contactelor din spate se utilizează contactele frontale, respectiv invers, iar conexiunea paralelă a contactelor se înlocuiește printr-o conexiune serie și conexiunea serie cu o conexiune paralelă:

$$F_x = a \wedge \bar{b} \wedge \bar{c} \wedge d \rightarrow \bar{F}_x = \bar{a} \vee b \vee c \vee \bar{d}$$

$$F_x = \bar{a} \vee \bar{b} \vee \bar{c} \vee d \rightarrow \bar{F}_x = \bar{a} \wedge b \wedge c \wedge \bar{d}$$

La definirea algebrică a unui circuit cu diode, care se utilizează des în decuplări fără reacție a unor legături în circuitele cu relee, dioda prezintă în sensul invers amplificarea  $K = 0$  și este considerată ca un contact permanent deschis, iar în sensul de conducere are  $K = 1$  și echivalează cu un contact permanent închis. Rezultă prin urmare următoarele reguli:

$$\bar{K} \wedge K = 1 \wedge 0 = 0,$$

$$\bar{K} \wedge a = 1 \wedge a = a,$$

$$K \wedge a = 0 \wedge a = 0,$$

$$\bar{K} \vee a = 1 \vee a = 1,$$

$$K \vee a = 0 \vee a = a.$$



## 15.6. SIMBOLURI DE COMUTAȚIE FOLOSITE ÎN SISTEMLILE DE COMUTAȚIE ELECTRONICĂ

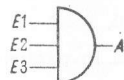
Simbol general pînă la 3 intrări



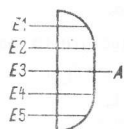
Simbol general pentru mai mult de 3 intrări



Funcția ȘI cu 3 intrări



Funcția SAU cu 5 intrări



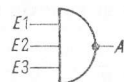
Simbolul inversiunii (negației) cu o ieșire



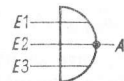
cu o intrare



Funcția ȘI cu inversarea semnalului la ieșire; element ȘI-NU



Funcția SAU cu inversarea semnalului la ieșire; element NICI



Element ȘI-NU cu 2 grupe de intrări SAU (SAU înainte de ȘI-NU)

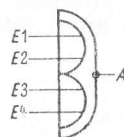
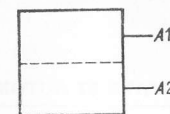
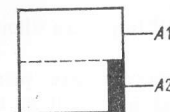


Fig. 15.19. Simbolurile din comutația statică.

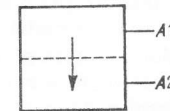
Funcționare bistabilă generală



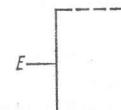
Funcționare bistabilă cu poziție preferențială



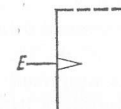
Funcționare monostabilă



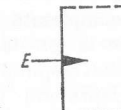
Intrare statică



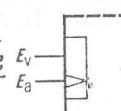
Intrare dinamică: activă la modificarea semnalului de la „0” la „1”



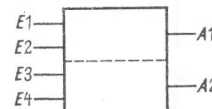
Intrare dinamică la modificarea semnalului de la „1” la „0”



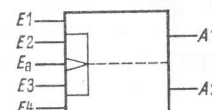
Circuite de intrare cu pregătire;  $E_v$  = intrare pregătitoare statică;  $E_d$  = intrare de comandă dinamică de la „0” la „1”



Bistabil, de fiecare parte 2 intrări statice cuplate după SAU



Bistabile; de fiecare parte o intrare statică și una pregătitoare; cite o intrare de comandă pentru ambele părți



Monostabil; partea de comandă cu 3 intrări SAU statice; partea de ștergere cu o intrare statică

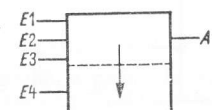


Fig. 15.20. Simbolurile circuitelor cu reacție.

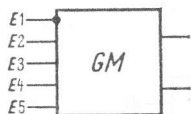
Simbolurile de comutație au fost stabilite pentru identificarea funcțiilor modulelor din sistemele electronice de comutație.

În fig. 15.19 *elementele logice* sînt reprezentate printr-un semicerc, care poate fi extins în mod corespunzător cînd prezintă mai mult de trei intrări. Intrările cuplate în concordanță cu funcția ȘI se termină cu linia dreaptă a semicercului. Intrările cuplate în concordanță cu funcția SAU se termină în linia curbă a semicercului.

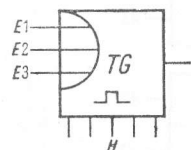
Inversiunea, adică inversarea semnalului, se indică printr-un punct. Punctul aplicat la o intrare înseamnă că intrarea devine activă la semnale „0”. Dacă se prevede cu punct o ieșire, legătura reprezentată realizează o inversare a semnalului la partea de ieșire. Modulele care cuprind o combinație de funcții logice se reprezintă prin combinația logică a simbolurilor.

În fig. 15.20 *circuitele bistabile* sînt reprezentate printr-un dreptunghi. O linie centrală prevăzută cu punct separă cele două circuite de comutație cu reacție, din care este format bistabilul. Dacă bistabilul are o poziție preferențială, aria înegrită indică partea care primește starea de semnal „1” după conectarea la rețea. O săgeată în simbolul unui circuit bistabil indică o comportare monostabilă. Săgeata indică direcția a cărei ieșire este prevăzută în stare normală cu semnalul „1”. Bistabilele pot fi comandate fie static fie dinamic. Intrările care răspund la amplitudinea semnalelor (comandă statică) se termină la linia de contur. Intrările comandate dinamic se termină printr-o săgeată. Dacă săgeata este înegrită înseamnă că intrarea este comandată la schimbarea semnalului de la „1” la „0”. Tot așa o săgeată necompletată indică faptul că intrarea reacționează la variația semnalului de comandă de la „0” la „1”. Dacă o intrare dinamică se leagă cu una sau mai multe intrări care răspund la comenzi pregătitoare static, aceste intrări se încadrează printr-un mic dreptunghi. Intrările comune ambelor părți se termină la linia centrală a simbolului. Modulele cu funcții speciale sînt reprezentate printr-un dreptunghi cu intrare corespunzătoare. În fig. 15.21 sînt arătate câteva exemple.

Etaj bistabil GM;  
Intrare de inhibiție E1;  
Intrări de comandă E2...E5  
pentru diferite valori la ieșire



Generatorul impulsurilor de  
sincronizare TG;  
Intrări de inhibiție E1...E3  
cuplate după SAU; Conexiuni  
speciale pentru R și C



Etaj de putere;  
Intrări statice cuplate  
după SAU

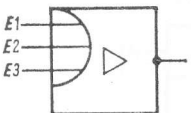


Fig. 15.21. Simboluri pentru module cu funcții speciale.

## 16. APLICAȚII DIN TEHNICA REGLĂRII AUTOMATE

### 16.1. COMANDA NUMERICĂ A MAȘINILOR UNELTE

Circuitele de comandă numerică — SINUMERIK — fac posibilă comanda directă a mașinilor folosite în producție, în special a mașinilor unelte, prin introducerea valorilor care trebuie măsurate. Informațiile necesare pentru diverse operații de prelucrare se introduc prin intermediul benzilor perforate și cuprind indicații referitoare la poziții și la comenzile de întrerupere.

*Lectorul de bandă perforată* convertește combinațiile perforate în semnale electrice, iar *convectorul de coduri* formează cu ajutorul acestora semnale de comandă interne care sînt înmagazinate în memoria pozițiilor și a *instrucțiunilor* de întrerupere. Valoarea reală, măsurată la mașină cu ajutorul unui traductor se compară cu valoarea nominală din memorie și, ca rezultat, se emite spre mașină un semnal de comandă (fig. 16.1 și fig. 16.2).

#### Măsurarea valorii reale

*Valoarea numerică incrementală* prin cuantificarea traiectoriei procesului; elementul de măsură este un traductor de trepte unghiulare.

*Valoarea analogică absolută* prin simularea electrică a poziției mașinii; elementele de măsură sînt generatoare de funcții și traductoare inductive cu scară liniară.

#### Tipuri de comenzi

*Comanda punctului* — selectarea poziției urmată de blocarea uneltei.  
Aplicații: mașini de găurit sau de alezat.

*Comanda cursei*: mișcarea axială paralelă cu scula angajată  
Aplicații: mașini de frezat, strunguri.

*Comanda traiectoriei*: deplasare simultană, definită matematic, a două sau mai multe axe.

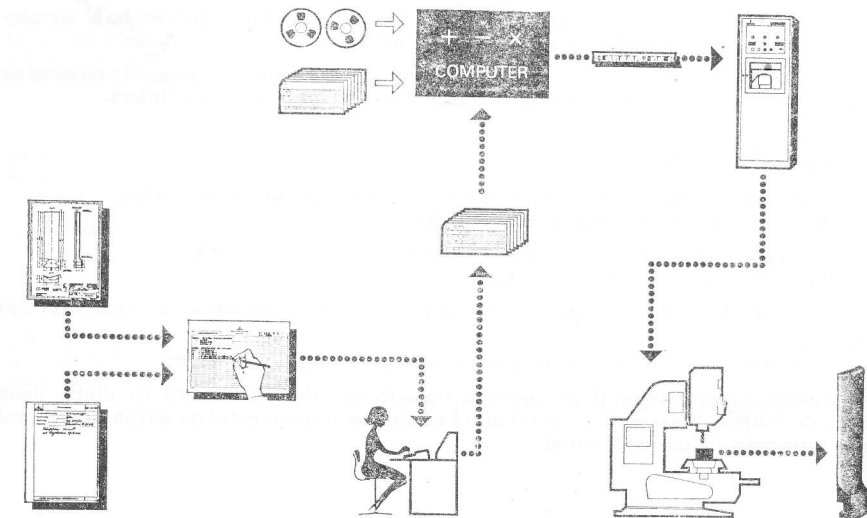
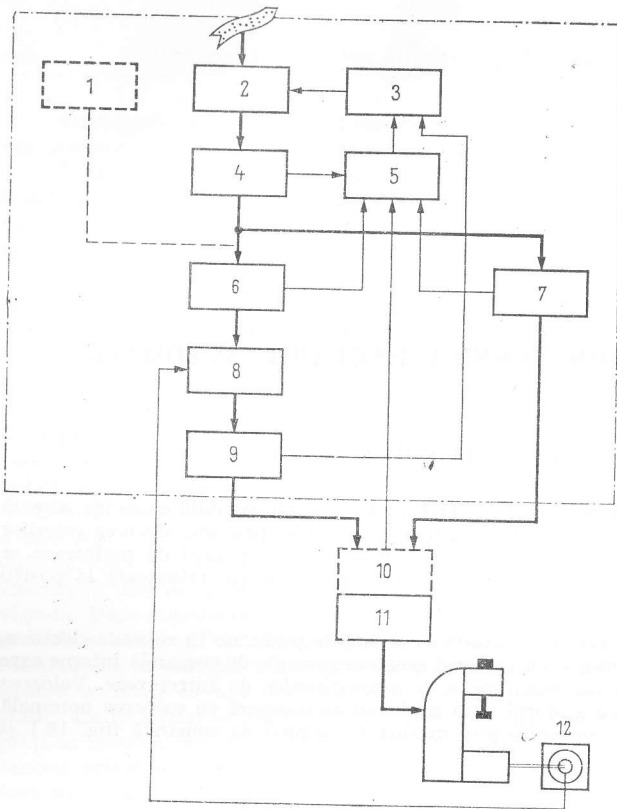
Aplicații: freze, strunguri, mașini de tăiere autogenă, raboteze.

*Interpolatorul* determină la comanda traiectoriei valorile intermediare dintre două puncte de sprijin; de exemplu, în cazul unei linii drepte, între punctul de sprijin și punctul final, raportate la punctul inițial.

Fig. 16.1. Schema-bloc pentru comanda numerică a mașinilor unelte.

1 — intrare manuală; 2 — lector bandă perforată; 3 — element pentru comanda citirii; 4 — decodificator; 5 — element pentru controlul sintaxei; 6 — memoria poziției; 7 — memoria instrucțiunii de comutare; 8 — element pentru măsurarea traiectoriei poziției; 9 — element de comparație și pentru logica intrării; 10 — element adaptor; 11 — element pentru comanda mașinii; 12 — traductor.

Fig. 16.2. Fluxul informațional de la desen la piesa prelucrată — la sistemul SINUMERIK în cazul comenzii cu program. Programarea este raționalizată cu ajutorul sistemului de prelucrare a informației.



### Adaptarea programului la sistemul de prelucrare a informației

Piesa prelucrată este descrisă simbolic cu ajutorul unui „limbaj de programare”. Sistemul de prelucrare a informației produce, cu ajutorul subprogramului traductor („compiler”) și a subprogramului „de prelucrare ulterioară”, banda perforată folosită de mașina unealtă.

## 16.2. SISTEMLILE DE COMANDĂ TRANZISTORIZATE FOLOSITE ÎN TEHNICA ACȚIONĂRIILOR ELECTRICE ȘI ENERGETICE

### 16.2.1. Structura de bază și aplicații analogice

Aparatele de comandă tranzistorizate Siemens sînt utilizate de mulți ani în toate ramurile industriale și în diferite domenii. Ramurile principale ale aplicației sînt acționările electrice și energetice.

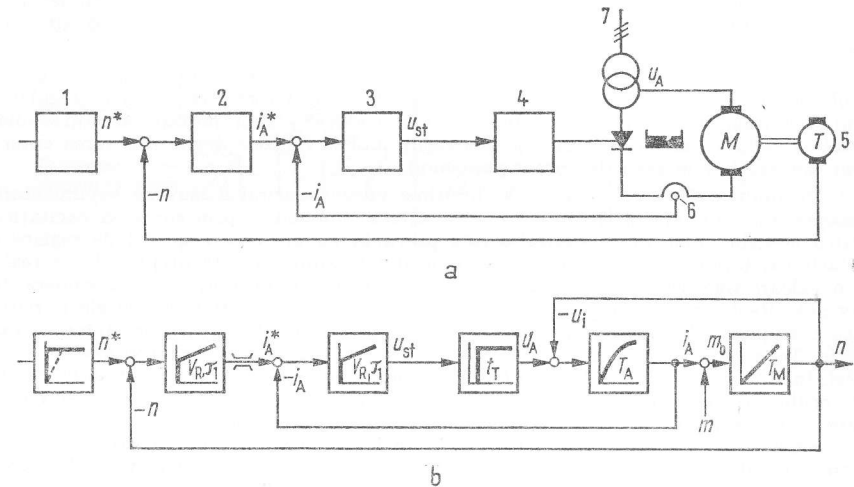


Fig. 16.3. Exemplul unui sistem de reglare în cascadă SIEMENS, tranzistorizat: reglarea vitezei la o acționare electrică de c.c., alimentată prin tiristor, cu reglarea auxiliară a curentului rotoric (excitație constantă).

a — schemă electrică de principiu: 1 — indicatorul valorii de referință; 2 — regulatorul vitezei; 3 — regulatorul curentului rotoric; 4 — unitatea de comandă prin impulsuri; 5 — generator tahometric; 6 — indicatorul valorii reale a curentului rotoric; 7 — alimentarea; b — schemă de structură;  $n^*$  — valoarea reală a vitezei;  $n^*$  — valoarea de referință a vitezei;  $i_A$  — valoarea nominală a curentului rotoric (curentul rotoric este proporțional cu cuplul electric);  $i_A^*$  — valoarea nominală a curentului rotoric;  $U_{st}$  — semnalul de intrare al unității de comandă prin impulsuri (semnal de ieșire al regulatorului de curent);  $U_A$  — tensiunea convertorului care se aplică indusului;  $U_i$  — tensiunea contraelectromotoare din indus;  $m_b$  — cuplul accelerației;  $m$  — cuplul de sarcină;  $V_R$ ,  $\tau_i$  — parametrii de acordare ai regulatorului (regulator PI);  $t_T$  — timpul mort al convertorului (valoarea medie statistică);  $T_A$  — constanta de timp din circuitul rotoric;  $T_M$  — constanta de timp mecanică.

Aceste sisteme de comandă automată sint construite, în general, în conformitate cu principiul buclelor de reglare în cascadă.

În fig. 16.3, se arată un exemplu de reglare a vitezei la o acționare în curent continuu cu tiristoare cu reglare auxiliară a curentului din indus (schema funcțională și schema structurii dinamice). Fiecare buclă are un regulator propriu și, în exemplul dat, bucla de reglare a curentului (bucla de reglare interioară) are un regulator pentru curentul indusului (regulator  $PI$ ) iar bucla de reglare a vitezei (bucla de reglare exterioară) are un regulator de viteză (regulator  $PI$ ). Bucla auxiliară, pentru reglarea curentului indusului, apare pentru regulatorul de viteză mai mult sau mai puțin ca un element integrator de ordinul întâi (cu constanta de timp echivalentă).

La nevoie se poate introduce încă un regulator de accelerație, între regulatorul de viteză și regulatorul curentului din indus, realizându-se astfel un sistem de reglare cu trei bucle. De asemenea, înaintea regulatorului de viteză poate fi conectat, în serie, un generator de funcție rampă pentru accelerație, care adaptează valoarea vitezei cu funcția liniară în formă de rampă pentru a evita variații bruște la intrarea regulatorului.

Subdivizând în felul acesta sistemul de reglare total, se obțin bucle separate, care se observă dintr-o dată. Fiecare din regulatoarele asociate acestor bucle se caracterizează prin maximum 3 parametri, sistemul putând fi astfel optimizat ușor. La punerea în funcțiune a sistemului, buclele de reglare pot fi ajustate succesiv una după alta, începând cu cea interioară.

Prin semnalul său de ieșire, regulatorul buclei exterioare transmite valoarea impusă regulatorului conectat în serie după el. În fig. 16.3, regulatorul de viteză dă regulatorului curentului din indus valoarea impusă a curentului  $i_A^*$ . Prin limitarea acestui semnal variabila reglată din bucla auxiliară este menținută în limitele dorite (limitarea curentului din indusul mașinii de curent continuu).

De multe ori este necesar să se imprime vitezei mașinii o variație suplimentară deasupra sau sub viteza de bază (adică viteza nominală), prin șuntarea excitației. Pentru aceasta circuitul de excitație este prevăzut cu un sistem special de reglare a șuntării excitației, prin care tensiunea indusului mașinii servește drept valoare reală iar o valoare fixă, corespunzătoare tensiunii nominale a indusului, se ia ca valoare de referință. Reglarea vitezei (de exemplu, ca în fig. 16.3) se menține în limitele impuse. Dacă tensiunea indusului este mai mică ca tensiunea nominală, se menține întreaga excitație. Totuși, dacă valoarea de referință a vitezei crește peste sau sub viteza de bază astfel, încât tensiunea indusului ar depăși tensiunea nominală, atunci, prin acțiunea regulatorului de reducere a excitației, excitația este redusă în mod automat și viteza poate să crească fără să atragă o creștere a tensiunii indusului.

Regulatoarele funcționează cu semnale analogice la un nivel de ieșire scăzut. La intrarea regulatorului se formează diferența dintre valoarea de referință și valoarea reală (abaterea de reglare), din care se generează un semnal de ieșire (variabila de comandă) în concordanță cu acțiunea regulatorului ales (regulator  $P$ ,  $I$ ,  $PI$ ,  $PD$ ,  $PID$ ). Semnalul de ieșire al regulatorului din bucla interioară (semnalul de ieșire al regulatorului curentului din indus) trebuie considerat ca variabilă de comandă generală a întregului sistem de reglare. Întrucât această variabilă finală are un nivel foarte scăzut ea este adaptată cu ajutorul unui amplificator de putere (de exemplu un convertor cu tiristoare cu o unitate de comandă prin impulsuri) la nivelul de putere al instalației care urmează.

#### Bucle de reglare numerice

Cînd variabila reglată trebuie să fie foarte precisă, iar valoarea reală a variabilei reglate poate fi obținută direct sub o formă prelucrabilă prin mijloace numerice, fără

pierdere de informație și fără ca aceasta să fie în detrimentul preciziei, peste sistemul de reglare analogic se suprapune o buclă suplimentară de reglare numerică (v. fig. 16.4).

De bucla numerică exterioară depinde precizia cerută. Buclele analogice aservite și regulatoarele lor trebuie să asigure în primul rînd ca variabila reglată să aibă o variație în timp satisfăcătoare la o perturbăție bruscă, cum ar fi variația mărimii de referință a sarcinii (v. capitolul despre „Optimizare”). O reglare analogică subordonată care să lucreze cit se poate de repede constituie condiția necesară pentru o reglare globală satisfăcătoare.

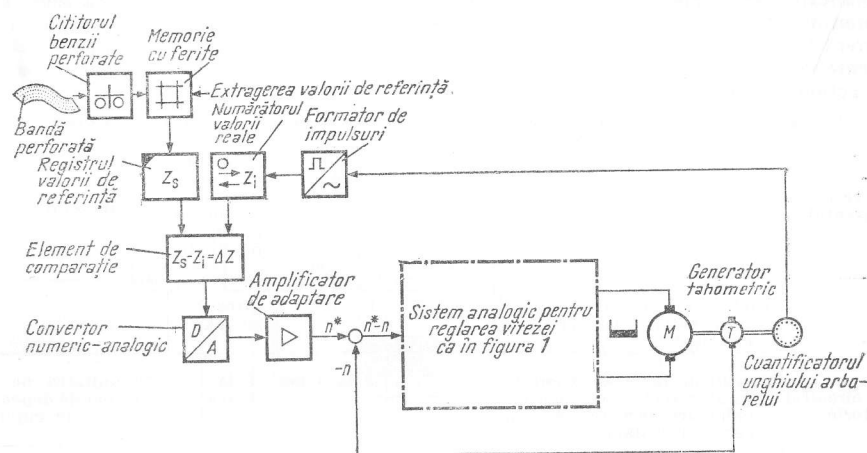


Fig. 16.4. Sistem de reglare cu buclă principală numerică, pentru reglarea distanței sau poziției:  $Z_s$  — mărimea de referință numerică;  $Z_i$  — mărimea reală numerică;  $\Delta Z$  — abaterea sub forma numerică;  $n^*$  — mărimea de referință analogică a vitezei;  $n$  — mărimea reală analogică a vitezei;  $-n$  — abaterea vitezei sub formă analogică.

#### Aplicații în acționări

În aplicațiile modulelor tranzistorizate în acționările electrice, reglarea automată a mașinilor de curent continuu cu excitație în derivație este extrem de importantă. La alegerea echipamentului de forță pentru alimentarea curentului din indus și a excitației mașinii, trebuie să se țină seama de intervalul de lucru dorit în concordanță cu familia de curbe viteză/cuplu și familia corespunzătoare de curbe tensiunea indusului/curentul din indus.

În multe cazuri este suficient ca viteza și cuplul să aibă un singur sens (de exemplu în cazul pompelor și ventilatoarelor). Dar în acționările reversibile care pot accelera și frîna în ambele sensuri de rotație (ca de exemplu la laminoare) este deseori necesar să fie întrunit un ansamblu de condiții; cu alte cuvinte acestea funcționează în toate cele patru cadrane din planul viteză/cuplu.

*Acționări reversibile*

Întrucît cuplul mașinii de c. c. este proporțional cu produsul dintre curentul indusului și fluxului magnetic, ultimul fiind determinat de curentul de excitație, direcția cuplului dezvoltat de indusul motorului poate fi modificată fie prin inversarea curentului din indus, fie a curentului de excitație.

În cazul acționării alimentate prin convertoare electrice statice „inversarea polarității” curentului din indus și a curentului de excitație poate fi efectuată fie prin introducerea contactoarelor fie fără contacte mobile, folosindu-se circuite convertoare convenabile. Convertoarele statice simple pot să prezinte într-adevăr tensiuni de ambele polarități, dar acceptă curentul numai într-un singur sens. Pentru inversarea sensului curentului fără folosirea dispozitivelor mecanice de inversare a polilor, fiecare cale de curent trebuie să aibă un convertor propriu (convertor static reversibil). Cu aceste elemente montate în circuitul rotoric și de excitație se obțin conexiunile principale folosite în acționările reversibile, ca în tabelul 16.1.

Tabelul 16.1. Circuitele principale pentru acționări reversibile și valorile timpilor lor caracteristici

Inversarea curentului	Fără curent, cu convertor static reversibil sau Generator Ward-Leonard	Dispozitiv (comutatoare magnetice) cu inversiunea mecanică a polilor	Timpul fără cuplu (timp mort)	Timpul pentru inversarea cuplului (de la cuplul nominal)	Observații
În circuitul rotoric	Circuit de inversare a curentului rotoric, cu curent circulant		0	Circa 20 ms	
	Circuit de inversare a curentului rotoric, cu două regulatoare de curent și fără curent circulant		2 la 5 ms	40 la 50 ms	Cu unitatea de comandă dependentă de cuplu
	Circuit de inversare a curentului rotoric, cu un regulator de curent și fără curent circulant		10 la 20 ms	Circa 60 ms	
În circuitul rotoric		Comutarea circuitului rotoric	Circa 100 ms	Circa 140 ms	
	Circuit de inversare a curentului rotoric cu ajutorul unui generator Ward-Leonard		0	50 la 250 ms	Cu excitația prin convertor static
În circuitul de excitație	Circuit de inversare a excitației cu convertor reversibil		100 la 1 000 ms	300 la 2500 ms	
		Comutarea circuitului de excitație	100 la 1 000 ms	300 la 4000 ms	

Ele diferă prin cantitatea de echipament folosit, prin durata pauzei fără cuplu (timpul mort) la inversarea polarității și prin durata inversării cuplului (adică timpul necesar pentru trecerea de la cuplul nominal într-un sens de rotație la cuplul nominal în sensul opus). Aceste valori ale timpului constituie un factor determinant pentru calitatea dinamică a celor mai importante sisteme de acționare.

În fig. 16.5, este arătat un exemplu de acționare reversibilă cu dispozitiv de „comutare a circuitului rotoric” prin inversarea mecanică a polilor. Ca exemplu de acționare cu inversarea cuplului fără contacte este prezentat un circuit cu două regulatoare de curent folosit la inversarea curentului rotoric fără curent de circulație.

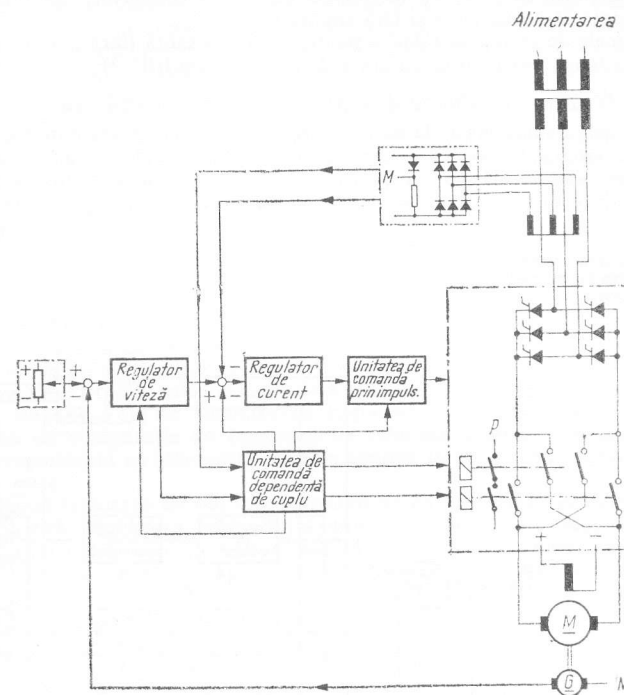


Fig. 16.5. Comutația circuitului rotoric.

În ambele exemple pentru convertoare se utilizează „o unitate de comandă dependentă de cuplu”, regulatoare și unități de comandă prin impulsuri. Acestea comută curentul rotoric într-un sens sau altul în funcție de cuplul cerut la timpul respectiv de regulatorul de viteză, așa cum reglarea centrală și unitatea de interblocare asigură ca succesiunea operațiilor de comutare să fie corectă și foarte rapidă<sup>1)</sup>. De exemplu cele două întreruptoare magnetice utilizate în circuitul rotoric din fig. 16.5 și convertoarele pentru cele două sensuri, din circuitul arătat în fig. 16.6 trebuie să comute simultan în toate cazurile. „Unitatea de comandă dependentă de cuplu” preia alte funcții auxiliare ca, de exemplu, limitarea tranzitorie la zero a ieșirii regulatorului de viteză și comutarea pe „unitatea de urmărire a regulatorului”<sup>2)</sup>.

1) „Unitatea de reglare dependentă de cuplu” este numerică și utilizează elementele SIMATIC.  
2) Dispozitivul de urmărire a regulatorului funcționează cu semnale analogice.



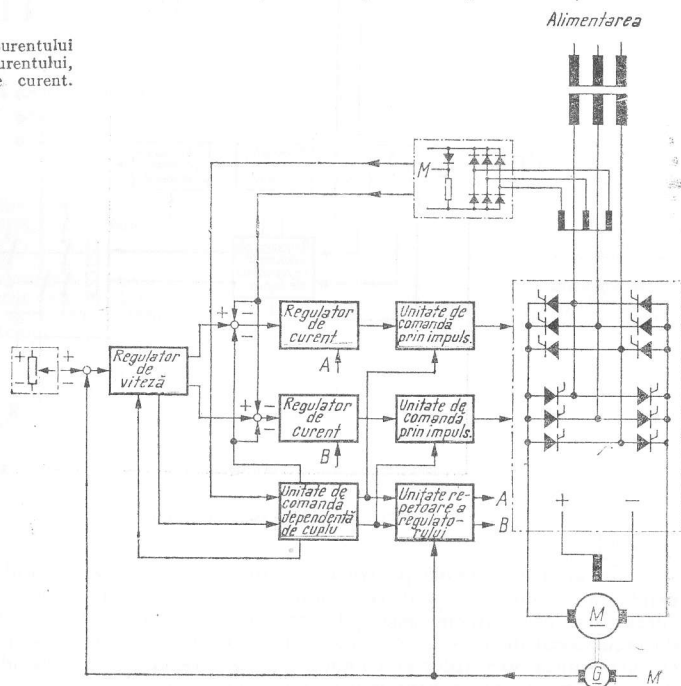
„Unitatea de urmărire a regulatorului” are rolul de a „urmări” regulatorul de curent, care nu a fost acționat și în consecință nu este situat într-o buclă închisă, utilizând tensiunea sa de ieșire (de exemplu, după tensiunea indusului sau tensiunea tahogeneratorului) astfel ca, la comutarea pe direcția cuplului, tensiunea de ieșire a regulatorului să corespundă cel puțin în mare cu modulația cerută de convertor, așa încât trecerea să poată fi efectuată fără întârziere și fără suprasarcini.

La sistemele de acționare folosite pentru oprirea exactă (fără „alunecare” la viteză mică) se mai adaugă așa-numita „unitate de reglare a opririi”.<sup>1)</sup>

#### Sisteme de acționare cu buclă de reglare numerică a poziției sau a vitezei

La sistemele de acționare, la care arborii sînt cuplați cu așa numitul cuantificator al unghiului arborelui (fig. 16.6), valoarea reală a mărimii reglate, „unghi” sau „poziție”, se obține direct sub formă de impulsuri, care pot fi prelucrate ulterior prin mijloace numerice. Cu ajutorul unui circuit special cu ajutorul impulsurilor poate fi obținut simul-

Fig. 16.6. Inversarea curentului rotoric, fără circulația curentului, cu două reglatoare de curent.



tan și sensul mișcării de rotație (în sensul orar sau antiorar). Ținând seama și de semn, numărul de impulsuri constituie măsura unghiului sau a distanței parcurse de arbore.

În fig. 16.6 sînt arătate elementele funcționale<sup>2)</sup> ale buclei numerice principale a căror variabilă reglată este distanța sau poziția.

<sup>1)</sup> Unitatea de reglare a opririi funcționează numeric.

<sup>2)</sup> Aceste elemente funcționale sînt formate din elementele SIMATIC

Impulsurile generate de cuantificatorul unghiului arborelui se aplică unui numărător de impulsuri, care determină numărul (cantitatea) și semnul.

Ambele seturi de informații ajung la numărătorul valorii reale, construit sub forma unui numărător reversibil. Valoarea de referință a variabilei reglate, distanță sau poziție se introduce în registrul valorilor de referință sub forma unui număr, de exemplu, de la o bandă perforată. Conținutul registrului și al numărătorului sînt comparate într-un element de comparație (compararea valorii de referință cu valoarea reală), obținându-se astfel o cifră care arată diferența și semnul. Aceasta este apoi convertită într-un convertor numeric-analogic într-o valoare analogică a vitezei dorite, care se aplică regulatorului auxiliar de viteză, prin intermediul unui amplificator analogic de adaptare, care închide bucla exterioră.

Din punct de vedere al automatistului, numărătorul valorii reale, cu intrarea sa incrementală, reprezintă elementul de măsură al valorii reale a distanței, iar amplificatorul analogic de adaptare poate fi considerat ca un regulator proporțional (regulator P) din bucla de reglare exterioră (a poziției). Când valoarea numerică reală devine egală cu valoarea de referință numerică (conținutul numărătorului valorii reale devine egal cu conținutul registrului valorii de referință) abaterea numerică  $\Delta Z = 0$  și, tot așa valoarea de referință a buclei de reglare a vitezei  $n^* = 0$ , adică sistemul acționat se oprește.

Dacă pentru noua valoare de referință a distanței sau poziției trebuie realizat un interval optim, convertorul numeric-analogic trebuie să fie neliniar.

La sistemul de reglare numerică a vitezei care este similar, frecvența proporțională cu viteza (valoarea reală), dată de cuantificatorul unghiului arborelui sau de generatorul tahometric de c. a., cu un formator de impulsuri conectat în serie, este comparată într-o poartă de comparație cu frecvența de referință impusă. Rezultă un număr de impulsuri proporțional cu diferența, care se adaugă la conținutul numărătorului total, conectat în serie.

Rezultatul (valoarea totală) este convertit de un convertor numeric-analogic într-o valoare analogică, care prin intermediul unui amplificator de adaptare este folosită sub formă analogică la corecția vitezei nominale, de către sistemul auxiliar de reglare a vitezei. Împreună cu convertorul numeric-analogic, amplificatoarele proporționale de adaptare și numărătorul total lucrează ca un regulator cu efect integral (regulator I), situat în bucla exterioră.

### 16.2.2. Module tranzistorizate pentru sistemele de reglare analogice<sup>1)</sup>

#### Schemele fundamentale ale reglatoarelor cu tranzistoare

Schema fundamentală a reglatoarelor cu tranzistoare este arătată în fig. 16.7. Acest circuit cuprinde:

1. Amplificator tranzistorizat cu amplificare mare și întârziere foarte mică
2. Circuit de intrare pentru valoarea reală
3. Circuit de fixare a valorii de referință
4. Circuit de reacție

<sup>1)</sup> Modulele tranzistorizate B, fabricate de SIEMENS, se numesc „Sistem de reglare TRANSIDYN B”, „TRANSIDYN” este o marcă înregistrată în Germania, Republica Africa de Sud, Suedia și în țările „Convenției comerciale de la Madrid”. „Modulul” este un element de ansamblare format din piese electrice

Comportarea statică și dinamică a montajului arătat, este determinată aproape în exclusivitate de circuitul de reacție și de circuitul de intrare.

În practică, la reglatoarele, reacția se conectează deseori prin intermediul unui potențiomtru situat între ieșirea regulatorului și potențialul de referință  $M$ .

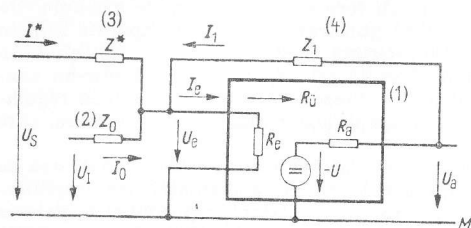


Fig. 16.7. Schema electrică de principiu a reglatoarelor SIEMENS tranzistorizate cu module B (în majoritatea cazurilor  $Z^* = R^*$  și  $Z_0 = R_0$ ).

Prin aceasta devine posibilă o variație suplimentară care se folosește la ajustarea parametrilor caracteristici ai regulatorului<sup>1)</sup>.

Întrucât elementele finale ale regulatorului sînt folosite deseori în instalațiile de forță în mod bidirecțional, amplificatoarele tranzistorizate prezintă la ieșire ambele polarități.

În energetică este avantajos ca semnalele de intrare în regulator să fie tensiuni, deoarece majoritatea variabilelor reglate, măsurate de indicatori de valoare reală, sînt surse de tensiune cu impedanță internă mică și valorile de referință pot fi prezentate foarte ușor sub formă de tensiuni, de exemplu cu ajutorul unor potențiometre cuplate la surse de tensiune constantă.

Tensiunea  $U_I$  de la intrarea regulatorului reprezintă variabila reglată (valoarea reală), tensiunea  $U_S$  reprezintă intrarea de referință (valoarea impusă). Ambele tensiuni sînt măsurate în raport cu potențialul de referință  $M$ . Tensiunile  $U_I$  și  $U_S$  se convertesc în curenți cu ajutorul unui circuit din canalul valorii reale (2) și canalul valorii de referință (3). Pentru nevoile reglării trebuie formată abaterea valorii reale de la valoarea de referință. De aceea, tensiunile de intrare  $U_I$  și  $U_S$  sînt introduse cu semne opuse, astfel încît în regim staționar curenții corespunzători se compensează în întregime sau parțial (curentul nominal de comparație 1 mA).

Amplificatorul dă la ieșire tensiunea  $U_0$ , care se măsoară de asemenea în raport cu potențialul  $M$ . Din punctul de vedere al semnalelor, ea trebuie considerată ca o variabilă de comandă din sistemul de reglare automată, fără a ține seama de elementul final conectat în serie.

Tensiunea de ieșire mai alimentează și circuitul de reacție (4), care în general este format din rezistențe și capacități. Circuitul de reacție cuplează ieșirea amplificatorului cu intrarea acestuia și este parcurs de curentul de reacție  $I_1$ . Comanda reală a amplificatorului se realizează cu ajutorul curentului  $I_0$  (v. fig. 16.7). Curentul de reacție  $I_1$  se ia ca mărime și semn în domeniul util al amplificatorului astfel încît compensează practic curenții care rezultă de la toate intrările regulatorului. Acest lucru are loc cu condiția ca consumul de putere la intrarea amplificatorului să scadă la o valoare foarte mică, practic nulă, avînd drept consecință faptul că toți curenții sînt produși astfel, ca și cum tensiunile ar apărea față de potențialul  $M$  pe rezistențele de intrare și reacție.

Deoarece circuitul de reacție trebuie să aibă un efect regenerativ pentru ca, curba răspunsului tranzistoriu al regulatorului să prezinte forma necesară, amplificatorul (1) schimbă semnul tensiunii. Acest lucru este arătat prin semnul minus de la sursa in-

1) V. subcapitolul 14.4.

terioară de tensiune din schema circuitului echivalent al amplificatorului. Variația tensiunii de ieșire este astfel de sens opus cu variația tensiunii de intrare. Valoarea absolută a tensiunii de ieșire  $U_0$  poate să aibă în consecință același semn sau să fie de semn opus cu tensiunea de intrare, în funcție de circuitul și performanțele precedente ale tensiunii de intrare.

Punctul inițial pentru stabilirea semnelor tensiunii valorii de referință  $U_S$  și a tensiunii valorii reale  $U_I$  este caracteristica și modul de funcționare a elementului de putere final utilizat. Dacă, de exemplu, tensiunea generată de un convertor static crește (funcționare de redresor) cînd tensiunea de intrare a unității de comandă în impulsuri asociată ajunge la valori negative mari, atunci la regulatorul de curent tensiunea valorii de referință  $U_S$  trebuie aplicată cu polaritatea pozitivă, iar tensiunea valorii reale  $U_I$  cu polaritate negativă ținîndu-se seama de inversarea semnelor în amplificatorul regulatorului.

La regulatorul de viteză, adăugat la regulatorul de curent, polaritățile trebuie alese cu sensuri inverse ( $U_S$  negativă,  $U_I$  pozitivă). În afară de elementele fundamentale formate din „amplificator”, „circuit de intrare” și „circuit de reacție”, reglatoarele proiectate în practică conțin adesea și alte montaje, de exemplu „limitatorul” semnalului de ieșire al regulatorului (aceste montaje nu sînt arătate în fig. 16.7; v. fig. 16.8).

#### Scheme practice realizate cu ajutorul modulelor

Sistemul de module tranzistorizate, fabricate de SIEMENS, cuprinde o serie de module fundamentale și auxiliare, compensate electric și mecanic, care permit construirea modulară a sistemelor de reglare automată, simple sau complexe, necesare proceselor tehnologice. Prin folosirea tranzistoarelor și diodelor cu siliciu și a altor piese selecționate în mod corespunzător s-a obținut o siguranță ridicată în funcționare. Ieșirea amplificatoarelor tranzistorizate este aleasă la un nivel destul de ridicat, pentru ca orice perturbare să poată fi înlăturată prin metode simple. Fig. 16.8 prezintă o vedere generală a construcției modulelor a reglatoarelor cu amplificatoarele de 10 mA, pentru diferite variabile reglate și diverse aplicații, adică pentru diferite scheme ale canalelor valorilor reală și impusă. Partea principală a regulatorului, în particular a regulatorului PID cu reacție activă, este desenată cu linie mai groasă. La reglatoarele P, I, PI, PD sau PID cu reacție pasivă, modulul PD suplimentar a fost omis din reacție (v. de asemenea tabelul 16.4)<sup>1)</sup>.

Cu ajutorul modulelor standard pentru reacție poate fi realizat un timp de integrare de cca. 30 s. Cînd la ieșirea regulatorului este nevoie de un curent mai mare, se conectează după el în serie alte amplificatoare de putere. Pentru inversarea semnalelor se folosește un amplificator cu circuit de amplificare proporțională 1 : 1 (de exemplu pentru reglatoarele cu două ieșiri în opoziție).

În afară de amplificatorul regulatorului de 10 mA, sistemul modular conține și alte amplificatoare de comandă cu curenți de ieșire între 5 mA și 2 mA. Amplificatorul de comandă de 5 mA este construit cu un „modul combinat” cu capetele libere la care se pot fixa prin lipire piese pentru orice circuit de intrare sau reacție dorit (amplificatorul și circuitul combinate într-un singur ansamblu). Modulele pentru surse de alimentare conectate la rețea trifazată sau monofazată servesc la alimentarea modulelor B active, cu o tensiune c.c. de  $\pm 24$  V.

1) Notațiile prescurtate au următoarea semnificație: P — regulator proporțional; I — regulator integral; D — componentă derivativă; PI — regulator cu efect proporțional și integral; PD — regulator cu efect proporțional și derivativ; PID — regulator cu efect proporțional, integral și derivativ.

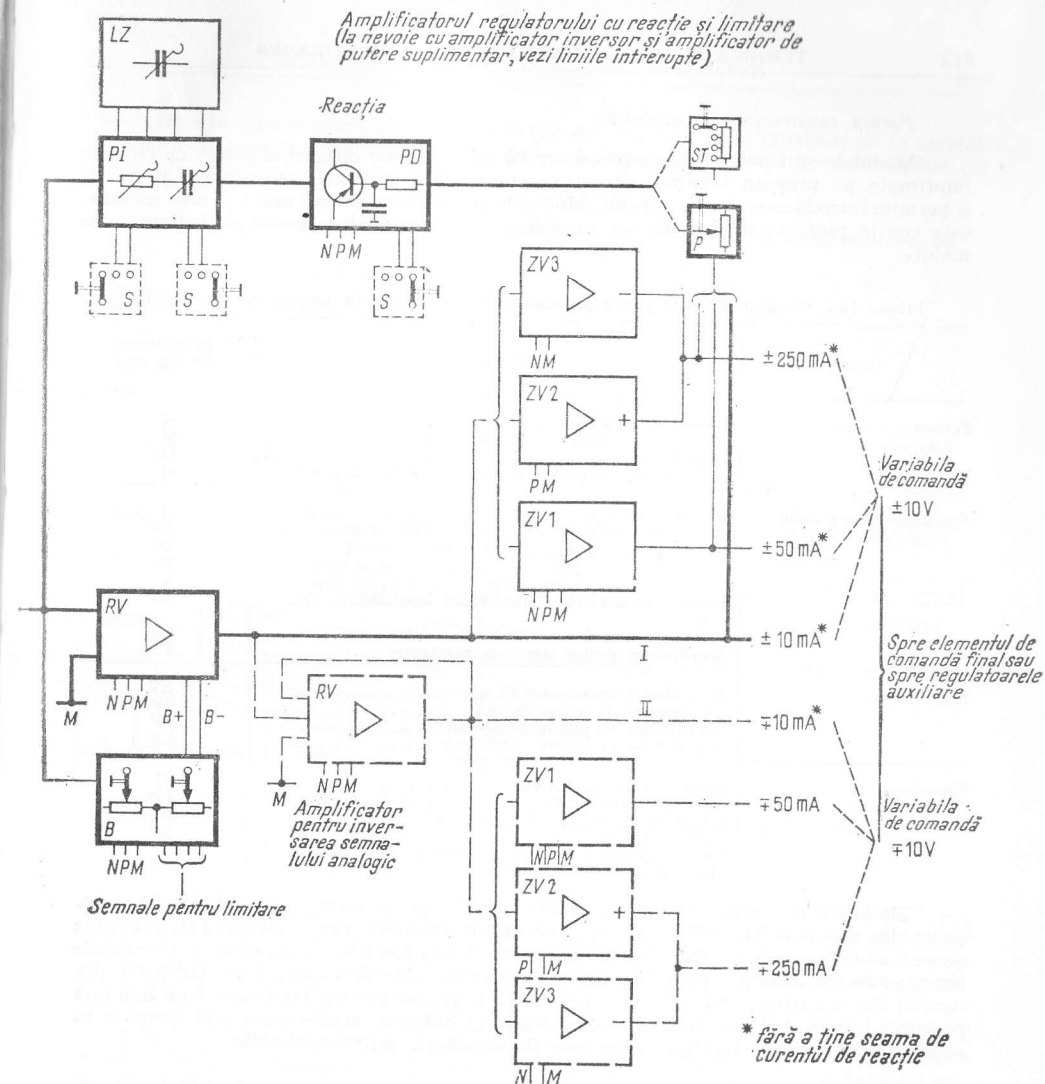
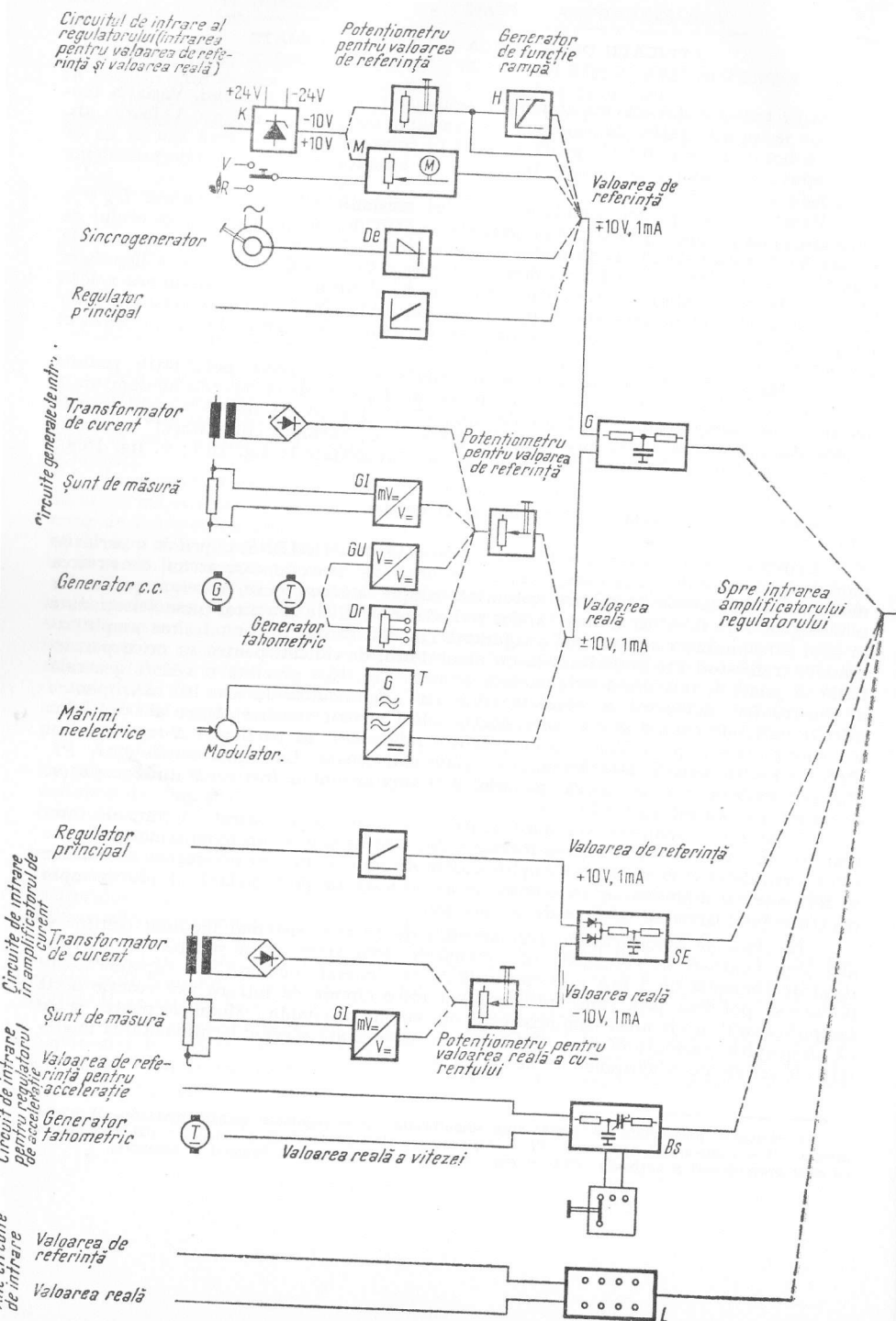


Fig. 16.8. Schema regloatoarelor analogice formate din module B SIEMENS, cu amplificator tranzistorizat de 10 mA (pentru prescurtări v. tabelul 16.2).

I — Ieșirea reacției negative;

II — Ieșirea reacției pozitive.

## Forma constructivă a modulelor

Modulele sînt proiectate cu precădere ca subansamble interschimbabile cu circuite imprimate pe prespan laminat. Structura compactă le imprimă robustețe și protecție și permite introducerea lor în capsule. Modulele pentru sursele de curent și alte module, care conțin piese mari și grele, au un schelet metalic și sînt denumite subansamble majore.

Tabelul 16.2. Circuitul principal pentru acționări reversibile și valorile timpilor lor caracteristici

Grup	Module	Prescurtarea din fig. 16.8
Formarea valorii nominale	Alimentarea cu tensiune constantă .....	K
	Element de ajustare cu motor .....	M
	Demodulator .....	De
	Modul de intrare pentru generatorul de funcție rampă .....	H
Evaluarea valorii reale și module de intrare	Modul de filtrare .....	G
	Modul de intrare pentru regulatorul de curent .....	SE
	Modul de intrare pentru regulatorul de viteză .....	Dr
	Modul de intrare pentru regulatorul de accelerație .....	Bs
	Fiașă cu prizele pentru lipituri .....	L
	Element de măsură pentru curent continuu .....	GI
	și tensiune continuă .....	GU
	Amplificator pentru frecvența purtătoare .....	T
Amplificator	Amplificator operațional 10 mA .....	RV
	Amplificator de putere 50 mA .....	ZV 1
	Amplificator de putere + 250 mA .....	ZV 2
	Amplificator de putere - 250 mA .....	ZV 3
Conexiuni	Modul pentru reacția PI .....	PI
	Modul suplimentar P .....	PD
	Adăus capacitiv .....	LZ
	Modul limitator .....	B
	Modul comutator .....	S
	Modul divizor de tensiune .....	ST

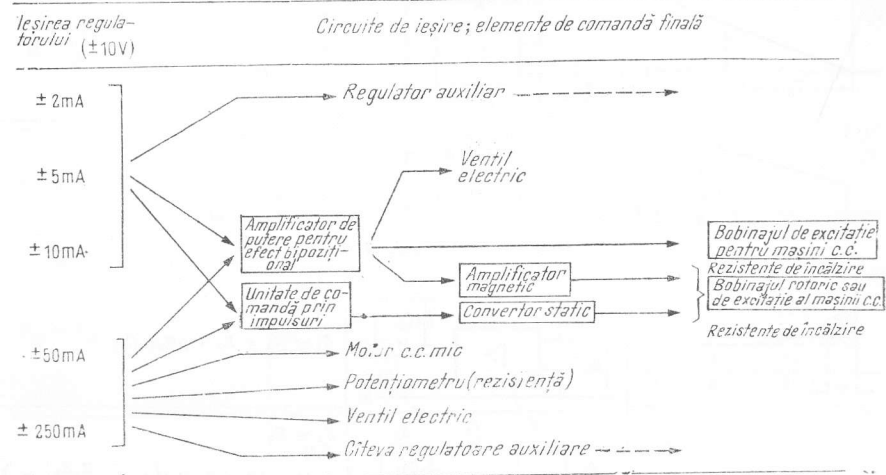
Modulele se fixează în elementele de suport (șasie, sertare și dulăpuri) care fac parte din sistemul SIEMENS, ele sînt un sistem modular, compartimentat, proiectat pentru utilizarea convenabilă în automatizări. Instrumentele indicatoare și elementele funcționale (de exemplu potențioetrele în măsură, care deocamdată nu fac parte din modul) din circuitul regulatorului respectiv, ca și prizele pentru verificare, sînt montate pe panoul frontal al șasiurilor. Pentru sertare și dulăpuri aceste piese sînt grupate în subansamble plăcii frontale, care sînt de asemenea interschimbabile.

## Elemente de comandă finală

Deoarece amplificatoarele tranzistorizate lucrează cu o putere de ieșire foarte mică, în serie cu regulatoarele buclelor interioare trebuie conectate amplificatoare speciale, de putere, pentru a face față la comanda mașinilor de putere etc. În tabelul 16.3 se prezintă o situație generală a celor mai importante posibilități, care se obțin prin folosirea regulatoarelor cu module. Amplificatoarele bipoziționale ale sistemului modular prezintă două ieșiri de c.c., comutate periodic pe senzori fixe ale curentului și tensiunii. Fixarea valorilor medii impuse tensiunii și curentului se realizează printr-o

modulație în lățime a impulsurilor. Unitățile de comandă prin impulsuri de la convertoarele statice sînt construite de asemenea sub formă de module interschimbabile din sistemul „electronic de putere”.

Tabelul 16.3. Circuite de ieșire ale regulatoarelor cu module B SIEMENS tranzistorizate; elemente de comandă finală



## 16.2.3. Schemele amplificatoarelor de reglare; caracteristicile regulatoarelor automate

Pentru a imprima regulatorului format din module efectul dorit (regulator  $P$ ,  $I$ ,  $PI$ ,  $PD$  sau  $PID$ ), amplificatorul său trebuie să aibă un circuit de reacție și intrare cu totul specific. În tabelul 16.4 sînt trecute montajele cele mai importante, cu formulele asociate pentru funcția de transfer, funcția indicială și mărimile caracteristice ale regulatoarelor și elementelor de filtrare.

Funcția de transfer și funcția indicială (v. subcapitolul 14.2) sînt echivalente din punct de vedere matematic. Întrucît considerentele suplimentare (de exemplu optimizarea) se fac în principiu cu ajutorul formulelor funcției de transfer, în tabel au fost trecute numai acestea.

## Formulele funcțiilor de transfer

La un circuit electronic de amplificare ca cel din fig. 16.8 curba variației tensiunii de ieșire, la o anumită variație a tensiunii de intrare, de orice formă cu condiția să fie limitată în amplitudine, este dată de ecuația

$$-U_a(p) = P_R(p) U_E(p).$$



Tabelul 16.4. Scheme de amplificatoare operaționale. Funcția de transfer,

Funcția treaptă	Schema de principiu (fără potențiomtru de reacție)	Circuitul de intrare și de reacție
		$Z_0 = R_0$ $Z_1 = R_1$
		$Z_0 = R_0$ $Z_1 = \frac{1}{pC_1}$
		$Z_0 = R_0$ $Z_1 = R_1 + \frac{1}{pC_1}$
		$Z_0 = R_0$ $Z_1 = R_1 + R_0 + pR_1R_0C_2$
		$Z_0 = R_0$ $Z_1^*) = \frac{[1 + p(R_1 + R_2)C_1] \left( 1 + p \frac{R_1R_2}{R_1 + R_2} C_2 \right)}{pC_1}$
		$Z_0 = R_0$ $Z_1 = \frac{(1 + pR_1C_1)(1 + pR_2C_2)}{pC_1}$
		$Z_0 = R_0$ $Z_1 = \frac{R_1}{1 + pR_1C_1}$
		$Z_0 = R_{01} + R_{02} + pR_{01}R_{02}C_0$ $Z_1 = R_1$

răspunsul indicial și parametrii de acordare ai reguletoarelor

Funcția de transfer	Amplificarea proporțională <sup>1)</sup>	Constanta de timp <sup>1)</sup>
$F_R = V_R$	$V_R = \frac{R_1}{R_0}$	—
$F_R = \frac{1}{p\tau_0}$	—	$\tau_0 = R_0C_1$
$F_R = V_R \frac{1 + p\tau_1}{p\tau_1}$	$V_R = \frac{R_1}{R_0}$	$\tau_1 = R_1C_1 = V_R\tau_0$ $\tau_0 = R_0C_1$
$F_R = V_R \frac{1 + p\tau_2}{1 + p\tau^*}$	$V_R = \frac{R_1 + R_2}{R_0}$	$\tau_2 = \frac{R_1R_2}{R_1 + R_2} C_2$ $\tau^* = \frac{R_1 + R_2}{R_0} \left( 1 + \frac{R_0}{R_0} + \frac{R_0}{R_1} \right) \tau_2$
$F_R = V_R \frac{(1 + p\tau_1)(1 + p\tau_2)}{p\tau_1}$	$V_R = \frac{R_1 + R_2}{R_0}$	$\tau_1 = (R_1 + R_2) C_1$ $\tau_2 = \frac{R_1R_2}{R_1 + R_2} C_2$ $\tau_0 = R_0C_1$
$F_R = V_R \frac{R_1}{R_0}$	$V_R = \frac{R_1}{R_0}$	$\tau_1 = R_1C_1$ $\tau_2 = R_2C_2$ $\tau_0 = R_0C_1$
$F_R = \frac{V_R}{1 + p\tau_g}$	$V_R = \frac{R_1}{R_{01} + R_{02}}$	$t_g = R_1C_1$ $t_g = \frac{R_{01}R_{02}}{R_{01} + R_{02}} C_0$

<sup>1)</sup> Aproximativ.

<sup>2)</sup> În cazul regulatorului PID cu reacție pasivă constanta de timp  $\tau_{21} = R_2C_1$  se neglijează.

<sup>1)</sup> V. la pag. 844 influența potențiometrului de reacție;

<sup>2)</sup> În legătură cu aceasta v. pag. 855;

<sup>3)</sup> În legătură cu aceasta v. pag. 856;



$U_a(p)$  și  $U_E(p)$  sînt transformatele Laplace ale funcțiilor de timp ale tensiunii de ieșire și intrare,  $p$  se numește „operator Laplace” (v. p. 168)  $U_E(p)$  ține loc de  $U_I(p)$  sau  $U_S(p)$ , după caz, ca în fig. 16.7. Se presupune, că semnalele amplificatoarelor sînt mici (astfel încît nici o parte a amplificatorului nu ajunge la saturație), iar circuitul este în întregime liniar.

Raportul complex:

$$F_R(p) = \frac{U_a(p)}{U_E(p)}$$

descrie acțiunea dinamică a regulatorului

Cu  $p = j\omega$  ( $\omega = 2\pi f$ , pulsația),  $F_R(p)$  reprezintă funcția de transfer a regulatorului la tensiuni de intrare și ieșire uniforme sinusoidale (frecvența parametrică). Funcția de transfer poate fi dedusă și din regulile de calcul în complex pentru c.a.

Pornind de la un amplificator de reglare ideal, cu caracteristicile:

Rezistența de ieșire  $R_a = 0$ .

Rezistența de transfer  $R_t = \infty$ .

Raportul dintre rezistența de intrare și rezistența de transfer  $R_e/R_t = 0$ .

Se poate obține următoarea ecuație simplă pentru funcția de transfer a regulatorului automat (unde parametrul  $p$  sau  $j\omega$  se omite pentru simplificarea scrisului):

$$F_R = \frac{Z_1}{Z_0},$$

$Z_1$  fiind impedanța de reacție, iar  $Z_0$  impedanța de intrare pe canalul valorii reale (fig. 16.9).

Ca  $Z_0$  trebuie luată întotdeauna impedanța din canalul valorii reale, deoarece sistemul de reglare automată se închide întotdeauna prin el, iar caracteristicile reglării dinamice trebuie considerate în buclă închisă.

La cazurile obișnuite impedanțele  $Z_0$  și  $Z_1$  trebuie determinate din următoarea ecuație (reprezentarea cuadripolară, v. și fig. 16.9):

$$Z_0 \text{ sau } Z_1 = Z_\alpha + Z_\beta + \frac{Z_\alpha Z_\beta}{Z_\gamma}$$

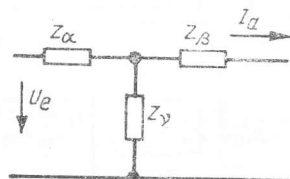


Fig. 16.9. Reprezentarea circuitului general de intrare și reacție sub formă de cuadripol.

În cazuri speciale, trebuie luate în considerare caracteristicile amplificatorului regulatorului, care nu sînt chiar ideale. Aceasta înseamnă că trebuie să se țină seama de valorile reale ale  $R_e$ ,  $R_a$  și  $R_t$ . În acest caz pentru funcția de transfer a regulatorului rezultă o expresie mai complicată. Cu expresiile complexe pentru  $Z_0$  și  $Z_1$  se obține următoarea formulă a funcției de transfer a regulatorului PID:

$$F_R + V_R \left( \frac{1}{p\tau_1} + \frac{\tau_1 + \tau_2}{\tau_1} + p\tau_2 \right)$$

$\tau_1$  și  $\tau_2$  sînt constantele de timp (parametrii de acordare), iar  $V_R$  este factorul de amplificare proporțională al regulatorului.

Cu  $\tau_1 \gg \tau_2$  expresia se poate scrie aproximativ sub forma

$$F_R = V_R \left( \frac{1}{p\tau_1} + 1 + p\tau_2 \right).$$

Aceasta corespunde cu conectarea în paralel a celor trei membri ai transmisiei cu funcțiile de transfer:

$F_{R1} = \frac{1}{p \frac{\tau_1}{V_R}}$	$F_{R2} = V_R$	$F_{R3} = pV_R\tau_2$
Componenta integrală	Componenta proporțională	Componenta derivativă

Semnalele de ieșire ale acestor componente se adună. Din funcția de transfer a regulatorului PID se pot deduce următoarele formule pentru reglatoarele mai simple; cu

$\tau_2 = 0$ și $\tau_1 = \infty$	rezultă reglatoarele $P$ ,
$\tau_2 = 0$	rezultă reglatoarele $PI$ ,
$\tau_1 = \infty$	rezultă reglatoarele $PD$ ,
$\tau_2 = 0$ și componenta $P$ nulă,	rezultă reglatoarele $I$ .

Legătura dintre constantele de timp  $\tau_1$  și  $\tau_2$  și factorul de amplificare proporțional  $V_R$  pe de o parte și valorile  $R$  și  $C$  ale circuitului pe de altă parte poate fi văzută în tabelul 16.4.

Aceste funcții de transfer ale regulatorului PID se scriu adesea în literatură sub forma:

$$F_R = V_R \left( \frac{1}{pT_n} + 1 + pT_v \right),$$

sau

$$F_R = K_D + \frac{K_I}{p} + pK_D, \text{ semnificația diverselor valori caracteristice fiind următoarea:}$$

$$K_p = V_R \text{ factor de amplificare proporțională}$$

$\tau_1 = V_R \cdot \tau_0 = K_p/K_I = T_R$  timpul reglării efectului de integrare

$\tau_2 = K_D/K_p = T_v$  timpul efectului de derivare.

Un alt timp caracteristic se notează cu

$\tau_0 = \tau_1/V_R = 1/K_I$  timpul de integrare.

Explicațiile referitoare la parametrii caracteristici ai regulatorului<sup>1)</sup>

Factorul de amplificare proporțională  $V_R$  al regulatorului  $P$  arată în orice moment raportul dintre tensiunea de intrare și tensiunea de ieșire.

Factorul de amplificare proporțională  $V_R$  al regulatorului  $PI$  dă valoarea variației tensiunii de ieșire, la care ajunge brusc tensiunea de ieșire când la intrare se aplică o variație a tensiunii în formă de treaptă.

Timpul efectului de integrare  $T_R = \tau_1$  al regulatorului  $PI$  arată timpul în care tensiunea de ieșire crește de la nivelul său inițial la valoarea dublă, când la intrare se aplică o variație de tensiune în formă de treaptă, sau timpul în care un regulator  $I$  trebuie să integreze pentru a ajunge la valoarea saltului inițial.

Timpul de integrare  $\tau_0 = \tau_1/V_R$  al regulatorului  $PI$  indică timpul în care, în urma aplicării unei trepte a tensiunii de intrare, tensiunea de ieșire crește, după saltul său inițial proporțional, pentru ca să ajungă la valoarea tensiunii de intrare, datorită efectului de integrare al regulatorului.

Timpul de integrare  $\tau_0 = \tau_1/V_R$  al regulatorului  $I$  este timpul în care tensiunea de ieșire crește la valoarea saltului tensiunii de intrare.

Timpul efectului de derivare  $T_v = \tau_2$  al regulatorului  $PD$  sau  $PID$  este un factor determinant pentru valoarea răspunsului indicial al tensiunii de ieșire a regulatorului în planul tensiune-timp (impuls de derivare, impuls diferențial).

Constanta de timp parazită a regulatorului  $PD$

Regulatorul  $PD$  este construit cu reacție pasivă (circuit  $T$ , v. tabelul 16.4).

Un răspuns indicial sub forma unui impuls de derivare, infinit înalt și infinit îngust, poate fi produs de un amplificator de reglare ideal cu rezistența de transfer  $R_t = \infty$ , în condiții ideale.

Funcția de transfer corespunzătoare este:

$$F_R = V_R (1 + p\tau_2),$$

cu

$$V_R = \frac{R_1 + R_2}{R_0} \quad \text{și} \quad \tau_2 = \frac{R_1 R_2}{R_1 + R_2} C_2.$$

În realitate însă, deoarece  $R_t$  are o valoare finită, rezultă un răspuns indicial de formă exponențială descrescătoare:

$$F_R = V_R \frac{1 + p\tau_2}{1 + p\tau^*}$$

<sup>1)</sup> V. diagramele răspunsurilor indiciale din tabelul 16.4.

unde

$$\tau^* = \frac{R_1 + R_2}{R_t} \left( 1 + \frac{R_e}{R_0} + \frac{R_e}{R_1} \right) \tau_2.$$

Ultima valoare inițială a răspunsului indicial este:

$$U_{am} = U_E \frac{R_t R_1}{R_0 R_1 + (R_0 + R_1) R_e}.$$

$\tau^*$  este constanta de timp parazită. Ea constituie un factor determinant pentru lățimea părții inițiale, exponențial descrescătoare a răspunsului indicial. La o intensitate a impulsului dată cu cât impulsul derivativ este mai larg, cu atât amplitudinea inițială este mai mică (determinată de  $T_v = \tau_2$ ).

Cu ajutorul regulatorului  $PD$ , o întârziere în sistemul de reglare poate fi teoretic compensată prin efectul derivativ, după o ajustare corespunzătoare a regulatorului, astfel încât acesta să aibă o comportare pur proporțională. Datorită faptului că  $R_t$  are o valoare reală finită, constanta de timp parazită rămâne ca o constantă de timp reziduală.

Regulatorul  $PID$  cu reacție pasivă sau activă

Regulatorul  $PID$  poate fi realizat cu reacție activă sau pasivă (v. circuitele fundamentale din tabelul 16.4). Reacția cuprinde un circuit serie, cu o componentă de întârziere și o componentă derivativă; în cazul reacției active se conectează între ele un amplificator de putere (tranzistorizat).

O comparație a funcțiilor de transfer mai importante arată că, cu ajutorul reacției pasive, în afara constantelor de timp necesare  $\tau_1$  și  $\tau_2$  se realizează și constanta de timp a cuplajului  $\tau_{21}$ . Dacă aceasta se neglijează, se obțin funcții de transfer echivalente pentru ambele circuite. Între parametrii caracteristici ai componentelor  $P$ ,  $I$  și  $D$  ale reglatoarelor  $PID$  există anumite relații. Efectul lor este astfel, încât valorile particulare  $\tau_1$  și  $\tau_2$  nu pot fi fixate de loc (v. fig. 16.10) și, în anumite circumstanțe, parametrii de acordare reali nu diferă prea mult de valorile fixate. Aici se face referire la bibliografia de specialitate. Făcînd aceste observații, se presupune că diversele componente ale reacției sînt conectate între ele fără interacțiune. Această condiție se realizează numai în cazul reacției active. La reacție pasivă există o influență reciprocă, datorită cuplajului energetic al elementelor acumulator de energie, întrucît condensatorul  $C_1$  primește energie de la  $C_2$ .

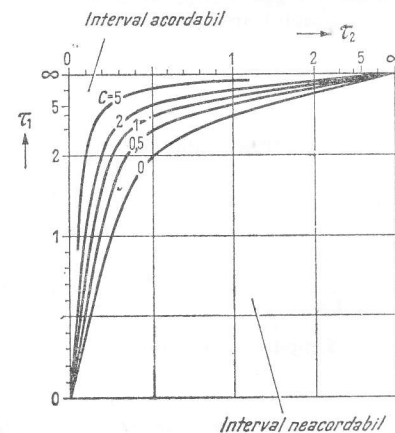


Fig. 16.10. Intervalul de acordare pentru timpul de derivare  $\tau_1$  și timpul de integrare  $\tau_2$ , la un regulator  $PID$  cu reacție pasivă (aceeași scară de timp pentru  $\tau_1$  și  $\tau_2$ ).

Constanta de timp  $\tau'_{21}$  este dată de următoarea ecuație în funcție de constanta de timp  $\tau_2$ ,

$$\tau'_{21} = R_2 C_1 = R_2 C_2 \frac{C_1}{C_2} = c \tau_2$$

unde

$$c = C_1 / C_2.$$

Din această cauză  $c$  este un factor determinant în ceea ce privește efectul interacțiunii;  $c = 0$  reprezintă un cuplaj fără interacțiune. Cu ajutorul unor expresii matematice care nu se dau aici, se poate trasa sistemul de curbe din fig. 16.10. Din acesta se poate vedea că pe măsură ce interacțiunea crește, intervalul ajustabil se reduce foarte mult.

#### Amplificatorul $P$ cu filtrare activă

La amplificatorul  $P$  cu „filtrare activă” circuitul  $RC$  din reacție (v. tabelul 16.4) face ca la timpul  $t = 0$  să apară o mică treaptă (inițială) proporțională în răspunsul indicial, dacă se utilizează un potențiomtru (v. § 16.2.4). În conformitate cu aceasta, în formula funcției de transfer apare un termen suplimentar.

#### Factorii de corecție ai parametrilor de acordare

Cînd la ieșirea regulatorului se folosește un potențiomtru de reacție, valorile parametrilor de acordare diferă de valorile fundamentale, dacă reacția este conectată direct la ieșirea regulatorului.

Amplificarea proporțională:

$$V_{R\alpha} = V_R \frac{1 + (\alpha - \alpha^2) \beta_1}{\alpha}.$$

Timpul efectului de integrare

$$\tau_{1\alpha} = \tau_1 [1 + (\alpha - \alpha^2) \beta_1].$$

Timpul efectului de derivare

$$\tau_{2\alpha} = \tau_2 \frac{1 + (\alpha - \alpha^2) \beta_2}{1 + (\alpha - \alpha^2) \beta_1}.$$

Timpul de integrare

$$\tau_{0\alpha} = \tau_0 \alpha.$$

Amplificarea proporțională a „filtrului activ” la timpul  $t = 0$ :

$$V_{R0} = V_R (1 - \alpha) \beta_1 = V_{R\alpha} - \frac{V_R}{\alpha}.$$

Semnificația termenilor folosiți este următoarea:

$\alpha U_a$  — tensiunea de pe priza, proporțională cu tensiunea de ieșire  $U_a$  ( $\alpha = 0 \dots 1$ ).

$R_q$  — rezistența de fugă la ieșirea regulatorului (potențiomtrul, inclusiv rezistența reziduală fixă).

$\beta_1 = R_q / R_1$  sau  $R_q / (R_1 + R_2)$ ,

$\beta_2 = R_q / R_2$ .

### 16.2.4. Optimizarea

Prin „optimizarea echipamentului de reglare”, se înțelege sarcina de a selecta regulatorul cel mai potrivit (cu acțiune specifică  $P$ ,  $I$ ,  $PI$ ,  $PD$ ,  $PID$ ) și de a acorda parametrii săi astfel încît, la influențele exercitate din afară (de exemplu variația mărimii de referință) asupra sistemului, răspunsul tranzitoriu al sistemului (variația variabilei reglate) să fie „optim”. În strînsă legătură cu acesta se face alegerea și aplicarea celui mai potrivit procedeu de optimizare. Pentru definiția noțiunii de „optim” se pot lua numeroase aspecte funcționale, economice și cele care se referă la dinamica reglării.

Din teorie și practică se cunosc mai multe procedee de optimizare, ce se referă însă numai la cîteva criterii individuale, de seamă și deci foarte specifice, care în consecință permit o acordare mai mult sau mai puțin corespunzătoare a regulatorului.

Pentru optimizare, în general ca punct de plecare pentru funcția reglării se ia o treaptă ideală a mărimii de referință, întrucît aceasta reprezintă de fapt un test foarte critic și deoarece dă o imagine clară despre comportarea tranzitorie a variabilei reglate. Aceasta poate fi luată foarte ușor ca un semnal de verificare practică. În fig. 16.11 se arată variația variabilei reglate la o variație treaptă a mărimii de intrare pentru

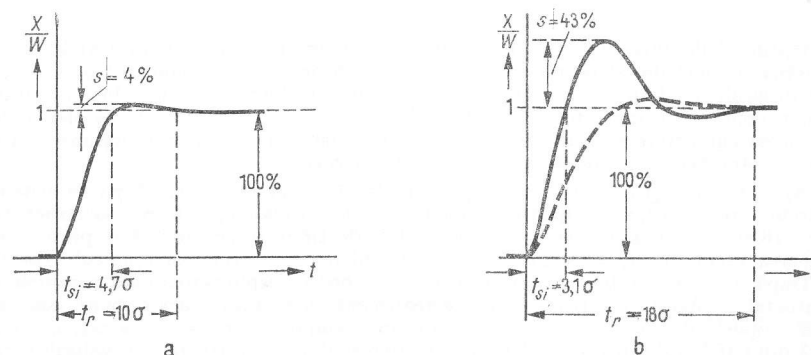


Fig. 16.11. Răspunsul indicial al variabilei reglate la o treaptă unitară a mărimii de referință (abatere tranzitorie, deoarece se admite că elementul de execuție este cu acțiune integrală):  
a — acordare optimă după criteriul modului; b — acordare optimă după criteriul simetric; — fără filtrarea mărimii de referință; ..... cu filtrarea mărimii de referință;  $t_{si}$  — timpul de primă stabilire;  $t_r$  — timpul de răspuns;  $s$  — supraîncălzirea.

două acordări diferite ale regulatorului (*a* — acord după criteriul de acordare optimă al modulului; *b* — acord după criteriul simetric de acordare optimă. În exploatare interesează adesea și comportarea tranzitorie a variabilei reglate la perturbații de exemplu la variații ale sarcinii. În fig. 16.12 este arătată variația mărimii reglate la o anumită variație treaptă a sarcinii.

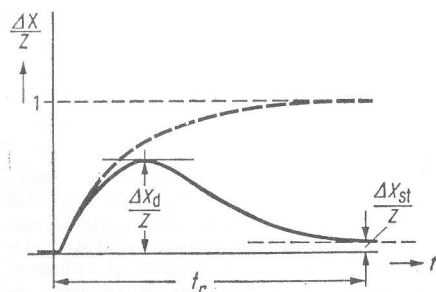


Fig. 16.12. Răspunsul tranzitoriu al mărimii reglate la variația sarcinii în formă de treaptă. .... fără reglare automată;  
— cu reglare automată;

$\frac{\Delta X_d}{Z}$  — eroarea dinamică (tranzitorie);

$\frac{\Delta X_{st}}{Z}$  — eroarea staționară (permanentă) când se utilizează un regulator fără efect integral.

Suprareglarea *s* indică mărimea primei (cele mai mari) depășiri a variabilei reglate, peste noua valoare staționară a mărimii de intrare, raportată la variația mărimii de referință. La multe sisteme practice de reglare automată, de exemplu în acționări, în general o depășire mică este admisibilă. În cazurile speciale când depășirile nu sînt admise de fel, acordarea regulatorului trebuie făcută, de exemplu, conform „optimumului liniar”. Abaterea dinamică la perturbații de sarcină se raportează la variația (staționară) care ar avea loc dacă regulatorul n-ar funcționa.

### Criteriul modulului și criteriul simetric

Optimizările după criteriul „modulului” și „criteriul simetric” s-au dovedit eficace în practica acționărilor și energetică. Ele se bazează pe criterii dinamice teoretice și se aplică deosebit de simplu. Cu ajutorul citorva tabele și formule simple, în majoritatea cazurilor, construcția regulatorului poate fi determinată chiar la proiectarea sistemului, fără a avea cunoștințe speciale de teorie dinamică, iar la punerea în funcțiune a sistemului nu sînt necesare calcule sau diagrame laborioase.

Aplicarea practică a acestor metode are loc în felul următor: după ce sistemul care trebuie reglat a fost analizat din punct de vedere dinamic, și forma sa structurală (v. fig. 16.8) este cunoscută cu toate constantele de timp, se procedează în primul rînd la alegerea regulatorului adecvat și a procedurii de optimizare cu ajutorul tabelului 16.5. După aceea din tabel se iau valorile de acord corespunzătoare ale parametrilor regloarelor. (Aceste valori de acord se realizează cu ajutorul unor circuite convenabile pe canalele de reacție și de intrare ale unui amplificator tranzistorizat, așa cum rezultă din § 16.2.3 și tabelul 16.4.) În tabelul 16.6 se dau în același timp și valorile caracteristice ale răspunsului tranzitoriu corespunzător variațiilor treaptă a mărimii de intrare.

În fig. 16.11 este reprezentată variația variabilei reglate la variația treaptă aplicată la intrarea unui sistem de reglare automată, acordat după criteriul modulului (*a*) și după criteriul simetric (*b*).

Tabelul 16.5. Alegerea regulatorului și a criteriului de acordare optimă în funcție de constantele de timp ale sistemului reglat

Nr.	Partea reglată						Acțiunea regulatorului <sup>2)</sup>	Criteriul de acordare optimă <sup>3)</sup>	Constanta de timp a filtrului pentru mărimea de referință $t_{gs}$
	Constante de timp principale			Constante de timp parazitale <sup>1)</sup>					
	$T_c$	$T_1$	$T_2$	$4\sigma \geq T$	$4\sigma \leq T$	$4\sigma \ll T$			
1				x	x	x	I	BO	—
2a		x		x			PI	BO (SO)	—
2b		x			x		PI	SO (BO)	$0 \leq t_{gs} \leq 4\sigma$ <sup>4)</sup>
2c		x				x	P (PI)	BO (SO)	(4σ)
3a		x	x	x			PID	BO (SO)	—
3b		x	x		x		PID	SO (BO)	$0 \leq t_{gs} \leq 4\sigma$ <sup>4)</sup>
3c		x	x			x	PD (PID)	BO (SO)	(4σ)
4a	x			x			PI	SO	4σ
4b	x				x		PI	SO	4σ
4c	x					x	P (PI)	BO (SO)	(4σ)
5a	x		x	x			PID	SO	4σ
5b	x		x		x		PID	SO	4σ
5c	x		x			x	PD (PID)	BO (SO)	(4σ)

x — Constanta de timp sau raportul constantei de timp existente.

$T_0$  — Timpul de integrare al unității integrale.

$T_1$  — Constanta de timp cea mai mare.

$T_2$  — A doua constantă de timp (ca mărime).

$\sigma$  — Suma constantelor de timp parazite.

BO — Criteriul modulului.

SO — Criteriul simetric.

<sup>1)</sup> Cuadruplul sumei constantelor de timp parazite se raportează la constanta de timp cea mai mare  $T_1$  sau la  $T_0$  în cazul cînd  $T_0$  există.

<sup>2)</sup> Acțiunea regulatorului dată în paranteză este folosită, în cazul deviației remanente staționare prea mari, pentru regloarele *P* sau *PD*.

<sup>3)</sup> Criteriul de acordare optimă dat în paranteze asigură o reglare lentă.

<sup>4)</sup> Pentru determinarea filtrului optim pentru valoarea nominală, v. fig. 16.3.

În primul caz are loc o mică suprareglare a variabilei reglate (suprareglarea  $s = 4\%$ ); în cazul al doilea variația variabilei reglate prezintă o suprareglare mare ( $s = 43\%$ , curba groasă), dar timpul de primă stabilire  $t_{s1}$  este mai mic decît la acordul făcut după optimul modulului. Pentru a împiedica suprareglări mari, regloarele acordate după criteriul simetric primesc pe canalul mărimii de intrare o „filtrare” suplimentară (o rețea integrală de ordinul întii), a cărei dimensionare este dată în ultima coloană din tabelul 16.5, asterisc 4. Cel mai favorabil răspuns indicial al mărimii de reglare la o variație treaptă a mărimii de referință este reprezentat prin linie punctată, în fig. 16.11, *b*.

Dacă trebuie luată o hotărîre între alegerea optimizării după criteriul modulului sau după criteriul simetric, următoarele avantaje ale optimizării simetrice pot fi importante:

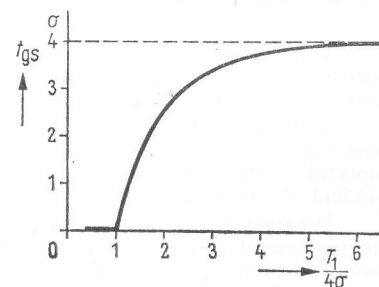


Fig. 16.13. Filtrarea cea mai favorabilă a mărimii de referință pentru sistemele de reglare optimizate după criteriul simetric în proces fără componentă integrală.

Tabelul 16.6. Valorile parametrilor de acordare ai regulatorului, valorile caracteristice ale răspunsului indicial și constanta de timp echivalentă a sistemului

Criteriul de optimizare	Acțiunea regulatorului	Valorile parametrilor de acordare ai regulatorului				Valorile caracteristice ale răspunsului indicial la un salt al mărimii de referință			Constanta de timp echivalentă $t_e$
		$\tau_0$	$\tau_1$	$\tau_2$	$V_R$	$t_{s1}$	$v$	$s$	
BO	I	$2V_S\sigma$	—	—	—	$4,7\sigma$ la $3,8\sigma$ <sup>1)</sup>	8,4	4,3%	$2\sigma$
	PI		—	—	—				
	PID		$T_1$	—	$\frac{T_1}{2V_S\sigma}$				
	PD	—	—	$T_2$	—				
	P	—	—	—	—				
Fără integrator SO	PI	$8V_S\sigma^2$	—	—	$\frac{T_1}{2V_S\sigma}$	$3,1\sigma$ la $4,7\sigma$ <sup>4)</sup>	$8,4\sigma$ la $16,5\sigma$ <sup>4)</sup>	$4,3\%$ la $43,4\%$ <sup>4)</sup>	—
	PID	$T_1$	$4\sigma$	$T_2$	—	$4,7\sigma$ la $7,6\sigma$ <sup>4)</sup>	$8,4\sigma$ la $13,3\sigma$ <sup>4)</sup>	$4,3\%$ la $8,1\%$ <sup>4)</sup>	$2\sigma$ la $4\sigma$
cu integrator	PI	$8V_S\sigma^2$ <sup>2)</sup>	—	—	$\frac{T_0}{2V_S\sigma}$ <sup>3)</sup>	$3,1\sigma$ <sup>5)</sup>	$16,5\sigma$ <sup>5)</sup>	$43,4\%$ <sup>5)</sup>	—
	PID	$T_0$	—	$T_2$	—	$7,6\sigma$ <sup>5)</sup>	$13,3\sigma$ <sup>5)</sup>	$8,1\%$ <sup>5)</sup>	$4\sigma$

Observații: Notațiile folosite sînt explicate în tabelul 16.5.

<sup>1)</sup> Timpul de primă stabilire  $t_{s1}$  este 4,7, dacă  $\sigma$  conține numai o singură constantă de timp; el se reduce la  $3,8\sigma$ , dacă  $\sigma$  este formată dintr-un număr infinit de constante de timp ( $\sigma$  = suma constantelor de timp).

<sup>2)</sup> Se poate scrie în acest caz și  $88\sigma/T_1$  (v. pag. 861).

<sup>3)</sup>  $T_0$  apare în loc de  $T_1$ . Se mai poate scrie și  $T_1/2\sigma$  (v. pag. 859).

<sup>4)</sup> Valorile din rîndul de sus sînt valabile pentru treptele mărimii de referință nefiltrată; cele din rîndul de jos pentru treptele mărimii de referință filtrată.

În ambele cazuri valorile pentru criteriul modulului sînt cu atît mai apropiate, cu cît raportul  $T_1/4\sigma$  se apropie mai mult de 1.

<sup>5)</sup> Valorile din rîndul de sus sînt valabile pentru treptele mărimii de referință nefiltrată; valorile din rîndul de jos pentru treptele mărimii de referință filtrată ( $t_f = 4\sigma$ ).

<sup>6)</sup> Parametrii de acordare și valorile date în acest caz rămîn numai aproximative dacă se folosește criteriul de acordare simetric. În majoritatea cazurilor  $V_R$  este ceva mai mare, iar  $\tau_1$  ceva mai lent.

a) Dacă  $4\sigma < T_1$ , efectele perturbațiilor se înlătură mai repede cu regulatoarele optimizate după criteriul simetric, decît după criteriul modulului. De aceea optimizarea simetrică se preferă la sistemele de reglare supuse în special la perturbații.

b) La mașinile c.c. saturația magnetică are în intervalul de funcționare, efectul unei variații echivalente a constantei de timp a excitației și a amplificării. De aceea raportul acestor valori caracteristice rămîne mai mult sau mai puțin constant, independent de punctul de funcționare real.

Deoarece la sistemele optimizate după criteriul modulului constantele de timp ale regulatorului  $\tau_0$  și  $\tau_1$  sînt determinate de amplificarea  $V_s$  a instalației sau de constanta de timp  $T_1$  a instalației, adaptarea poate fi realizată aici numai într-un singur punct de funcționare de pe curba de magnetizare.

În cazul reguletoarelor optimizate simetric, însă  $\tau_0$  (ca și  $V_R$ ) este determinat de raportul  $T_1/V_s$ , iar valoarea  $\sigma$  care nu depinde de saturație, astfel încît acordul realizat într-un punct de funcționare este corect pentru întregul interval de lucru.

La sistemele cu o componentă integrală (timpul de integrare  $T_0$ ), optimizarea unui regulator cu acțiune integrală (PI, PID poate fi efectuată numai în conformitate cu criteriul simetric (v. tabelul 16.5).

#### Constante de timp echivalente

Regimul tranzitoriu al sistemelor de reglare, proiectate în conformitate cu criteriul modelului sau criteriul simetric (cu filtrarea mărimii de intrare), poate fi descris prin regimul tranzitoriu al unui circuit integral simplu, de ordinul întâi, cu constanta de timp  $t_e$ . Cu privire la întreg sistemul de reglare optimă,  $t_e$  este definită ca „constantă de timp echivalentă a sistemului de reglare optimă” și depinde de parametrii procesului (v. tabelul 16.6, coloana cea mai din dreapta). La optimizarea proximei bucle, ierarhic suprapuse, sistemul de reglare considerat apare cu această constantă de timp echivalentă considerată ca o „constantă de timp mică”.



Dat fiind volumul limitat al memoratorului, în acesta nu au fost cuprinse datele caracteristice ale instalațiilor, echipamentelor și materialelor fabricate în România, în conformitate cu standardele, prescripțiile și normele corespunzătoare. Acestea fac obiectul îndreptărilor de nivel mediu publicate de Editura tehnică, alcătuind o serie din care au apărut până în prezent lucrările:

*N. Bădulescu*

„Linii și stații electrice — îndrumător“

*T. Cănescu, R. Dordea, C. Popescu, D. Savopol*

„Instalații electrice de utilizare — îndreptar“

*A. Băilescu, D. Savopol*

„Iluminatul electric — îndreptar“

*C. Cruceru, L. Morczynski, R. Petrescu*

„Conducte electrice — îndreptar“

*V. Lică, C. Burdulea*

„Materiale electroizolante — îndreptar“

*S. Cedighian*

„Materiale magnetice — îndreptar“